EL PROYECTO RÍO VERDE

Informe Técnico de la Temporada de 2013

Entregado al Consejo de Arqueología
y el Centro INAH Oaxaca
del Instituto Nacional de Antropología e Historia

Septiembre de 2015

Arthur A. Joyce y Sarah B. Barber (editores)

Con contribuciones por:
Sarah B. Barber[1]
Jeffrey S. Brzezinski[2]
Jessica D. Hedgepeth Balkin[2]
Patrick Carroll[1]
Petra Cunningham-Smith[3]
Arthur A. Joyce[2]
Karla López Carranco[4]
Carlo J. Lucido[1]
Victoria L. Menchaca[1]
Arion T. Mayes[5]
Shanti Morell-Hart[6]
Raymond G. Mueller[7]
Víctor E. Salazar Chávez[8]
Max Seidita[1]
Cuauhtémoc Vidal-Guzmán[2]

[1]University of Central Florida, Department of Anthropology, 4000 Central Florida Blvd, Phillips Hall Rm 309, Orlando, FL 32816-1361 EUA
[2]University of Colorado at Boulder, Department of Anthropology, 1350 Pleasant St. Hale Science 350, Campus Box 233 UCB, Boulder, CO 80309-0233 EUA
[3]University of Florida, Department of Anthropology, Turlington Hall, Room 111, PO Box 117305 Gainesville, FL 32611 EUA
[4]Universidad Autónoma de San Luis Potosí, Coordinación de Ciencias Sociales y Humanidades, Av. Industrias 101-A, Fracc. Industrias, C.P. 78494, Zona Universitaria Oriente, San Luis Potosí, México
[5]San Diego State University, Department of Anthropology, 5500 Campanile Drive, San Diego, CA 92182-6040, EUA
[6]McMaster University, Department of Anthropology, Chester New Hall Rm. 524, 1280 Main Street West, Hamilton, Ontario, Canada L8S 4L9
[7]Department of Environmental Studies, Richard Stockton College of New Jersey, Pomona, NJ 08240 EUA
[8]The George Washington University, Department of Anthropology, 2110 G St., NW Washington, DC 20052 EUA

INDICE GENERAL

INDICE DE FIGURAS…… ii

INDICE DE TABLAS…… xii

AGRADECIMIENTOS…… xiii

Capítulo 1: Introducción…… 1

Capítulo 2: Excavaciones de la Operación A, Río Viejo…… 14

Capítulo 3: Excavaciones de la Operación B, Río Viejo…… 51

Capítulo 4: Excavaciones de la Operación C, Río Viejo…… 81

Capítulo 5: Excavaciones de la Operaciones G y E, Río Viejo…… 136

Capítulo 6: Excavaciones de la Operación F, Río Viejo…… 189

Capítulo 7: Excavaciones en Cerro de la Virgen…… 288

Capítulo 8: Excavaciones en Loma Don Genaro…… 510

Capítulo 9: Recorrido Regional de Superficie…… 642

Capítulo 10: Lista de Entierros Identificados…… 759

Capítulo 11: Métodos de Laboratorio de Campo del PRV13…… 770

Capítulo 12: Vasijas Enteras del PRV13…… 820

Capítulo 13: Resultados del Análisis de Fracciones Ligeras de Flotación…… 937

Capítulo 14: La Arqueofauna de Río Viejo, Oaxaca, México…… 951

Capítulo 15: Análisis de Artefactos Líticos de la Acrópolis de Río Viejo…… 957

Capítulo 16: Conclusiones: El Proyecto Río Verde 2013…… 962

Bibliografía…… 976

Apéndice A: Oficios Relevantes…… 986

Apéndice B: Registro Público de Monumentos y Zonas Arqueológicas…… 998

INDICE DE FIGURAS

Figura 1.1: Mapa del bajo Río Verde mostrando sitios excavados durante el PRV13 12
Figura 1.1: Mapa de Río Viejo mostrando la acrópolis (Montículo 1) y el Montículo 9-Estructura 4
Intervalo topográfico es de 50 cm 13
Figura 2.1: Mapa de la Operación A 35
Figura 2.2: Perfiles del bloque de excavación norte (unidades 1W, 2W, 3W, 2X) (1ra parte) 36
Figura 2.3: Perfiles del bloque de excavación norte (unidades 1W, 2W, 3W, 2X) (2da parte) 37
Figura 2.4: Dibujo de planta de la primera y segunda versión de la plataforma asociada con el
desagüe en el bloque de excavación norte 38
Figura 2.5: Primera y segunda versión de la plataforma asociada con el desagüe,
unidades 2W, 3W, 2X 39
Figura 2.6: Diagrama de la primera y segunda versión de la plataforma asociada con
el desagüe (basado de Brzezinski et al. 2012) (Dibujo sin escala) 40
Figura 2.7: Ent107-I119, unidad 2X. Individuo sentado sosteniendo un par de vasijas 41
Figura 2.8: Ent106-I118, unidad 2X. El individuo tuvo una vasija sobre la cabeza 41
Figura 2.9: Perfiles del bloque de excavación sur (unidades 5E, 3F, 4F, 5F, 3G, 4G, 5G) (1ra parte) 42
Figura 2.10: Perfiles del bloque de excavación sur (unidades 5E, 3F, 4F, 5F, 3G, 4G, 5G)
(2da parte) 43
Figura 2.11: Perfiles del bloque de excavación sur (unidades 5E, 3F, 4F, 5F, 3G, 4G, 5G)
(3ra parte) 44
Figura 2.12: Dibujos de planta y perfil (E159) de las piedras asociadas con la ofrenda
del Clásico Tardío 45
Figura 2.13: Piedras (E159) asociadas con la ofrenda del Clásico Tardío (E157), unidades 3F y 4F 46
Figura 2.14: Dibujo de planta de la ofrenda del Clásico Tardío que comprende de dos platos
y dos vasos (E157) 47
Figura 2.15: Ofrenda del Clásico Tardío que comprende de dos platos y dos vasos,
unidades 4F y 4G (E157) 48
Figura 2.16: Ent110-I122, unidad 4F. Del entierro sólo se representan los huesos de las piernas 49
Figura 2.17: Dibujo de cerámica intacta puesta junto con E7, unidad 5E 50
Figura 2.18: Cerámica intacta puesta junto con E7, unidad 5E 50
Figura 3.1: Mapa de la Operación B 71
Figura 3.2: Perfil de la unidad MU1 72
Figura 3.3: Perfil de la unidad 45G 73
Figura 3.4: Perfil de la unidad 46K 74
Figura 3.5: Dibujo de planta de la primera y segunda versión de la plataforma y el desagüe
y E13, en MU1 75
Figura 3.6: Primera y segunda versión de la plataforma y el desagüe y E13 en MU1 76
Figura 3.7: Vista de planta de la primera y segunda versión de la plataforma y el desagüe,
unidad 45G 77
Figura 3.8: Primera y segunda versión de la plataforma y el desagüe y Ent108-I120, unidad 45G 78
Figura 3.9: Vista de planta de la primera y segunda versión de la plataforma y el desagüe,
unidad 46K 79
Figura 3.10: Segunda versión de la plataforma y el desagüe, y piedras arrojadas en
relleno constructivo (quizás originalmente parte del elemento), unidad 46K 80
Figura 4.1: Vista general de la operación 119
Figura 4.2: Fotografía del E69, un bloque de adobe con varios revestimientos de cal y pintura 120

Figura 4.3: Perfil, unidades 11B, 11A (este), 11A (sur), 10ZZ....121
Figura 4.4: Fotografía de E62, un piso de tierra quemado....122
Figura 4.5: Perfil, unidades 10ZZ, 9ZZ (sur, oeste, norte)....123
Figura 4.6: Fotografía, huella de poste en E62 del Montículo 9-Estructura 4-Subestructura 5....124
Figura 4.7: Perfil, unidades 10A y 11B (oeste, norte)....125
Figura 4.8: Perfiles, unidad 11D....126
Figura 4.9: Perfiles, unidad 11K....127
Figura 4.10: Corte de perfil del transecto completo de la Op. C....128
Figura 4.11: Fotografía de E43, muro de bloques de adobe y coluvión en la unidad 11K....129
Figura 4.12: Fotografía de E39, mostrando las laminaciones hechos por la evaporación de un estancamiento de agua....130
Figura 4.13: Perfiles, unidad 11I....131
Figura 4.14: Perfiles, unidad 11G....132
Figura 4.15: Fotografía de E30, bloques masivos de coluvión en la unidad 11G....133
Figura 4.16: Perfiles, unidad 6D....134
Figura 4.17: Fotografía de E2, basurero grande en la bloque de excavación....135
Figura 5.1 Esquema de la Operación G....166
Figura 5.2 MU2/1RR Perfiles de las paredes Este y Sur....167
Figura 5.3 MU2/1RR Perfiles de las paredes Oeste y Norte....168
Figura 5.4 (-3SS) Perfiles....169
Figura 5.5 Perfil y fotografía de E3....170
Figura 5.6 MU1/1WW/2WW/2VV Perfiles de las paredes Norte y Este....171
Figura 5.7 2VV/1WW/2WW/MU2 Perfiles de las paredes Sur y Oeste....172
Figura 5.8 1WW estratigrafía del pedestal en la pared oeste....173
Figure 5.9 Vista en planta de los Elementos 22 y 40....174
Figura 5.10 Fotografía de los Elementos 22 y 40....175
Figura 5.11 Vista en planta del Elemento 18....176
Figura 5.12 Fotografía, Elemento 18....177
Figura 5.13 1MMPerfiles....178
Figura 5.14 Vista en planta del Elemento 29....179
Figura 5.15 1C Perfiles....180
Figura 5.16 1C Vista en planta....181
Figura 5.17 (-7UU) Perfiles....182
Figura 5.18 1DD Perfiles....183
Figura 5.19 Esquema de la Operación E 2013....184
Figura 5.20 MU5 Perfiles....185
Figura 5.21 Vista en planta de E99....186
Figura 5.22 12ZZ Perfiles....187
Figura 5.23 Vista en planta del Elementos 100 y 101....188
Figura 6.1: Croquis de la Operación F....245
Figura 6.2: Perfiles de la unidad 40ª....246
Figura 6.3: Perfiles de la unidades 47A, 48A, 49A, MU2, y 49ZZ....247
Figura 6.3: Perfiles de la unidades 47A, 48A, 49A, MU2, y 49ZZ (continuación)....248
Figura 6.4: Escalinata este de la Estructura 8-sub 1 (vista hacia el oeste)....249
Figura 6.5: Dibujo de planta de la escalinata este, Estructura 8-sub 1....250
Figura 6.6: Dibujo de planta de la Multi-unidad 4....251
Figura 6.7: Dibujo de planta de la unidad 49E....252
Figura 6.8: Perfiles de la unidad 49E....253

Figura 6.9: Perfiles de las unidades 41D, 42D, 43D, y 43C....254
Figura 6.9: Perfiles de las unidades 41D, 42D, 43D, y 43C (Continuación)....255
Figura 6.10: Fotografía de la escalinata oeste en las unidades 41D, 42D, 43D, y 43C (vista hacia el este)....256
Figura 6.11: Dibujo de planta de la unidades 41D, 42D, 43D, y 43C....257
Figura 6.12: Perfiles de la unidad 36XX....258
Figura 6.13: Fotografía de planta de las unidades 36YY, 36XX, 36WW, 37YY y 37XX....259
Figura 6.14: Dibujo de planta de las unidades 36YY, 36XX, 36WW, 37YY y 37XX....260
Figura 6.15: Dibujo de planta de las unidades 37A, 38A, y MU6....261
Figura 6.16: Perfiles de las unidades 42A y 43A....262
Figura 6.16: Perfiles de las unidades 42A y 43A (continuación)....263
Figura 6.17: Perfiles de la unidad 46A....264
Figura 6.18: Perfiles de la Multi-unidad 5....265
Figura 6.19: Perfiles de las unidades 36A, 37A, 38A, 39A, y MU6....266
Figura 6.19: Perfiles de las unidades 36A, 37A, 38A, 39A, y MU6 (continuación)....267
Figura 6.19: Perfiles de las unidades 36A, 37A, 38A, 39A, y MU6 (continuación)....268
Figura 6.20: Piso (E99-s3) en la unidad MU5....269
Figura 6.21: Piso (E99-s1) en la unidad 46A....270
Figura 6.22: Perfiles de la unidad 50A....271
Figura 6.23. Desecho de actividad (E109) en la unidad 40E....272
Figura 6.24: Perfiles de la multi-unidad 4....273
Figura 6.25: Perfiles de las unidades 50I y 50J....274
Figura 6.25: Perfiles de las unidades 50I y 50J (continuación)....275
Figura 6.26: Perfiles de las unidades 36WW, 36XX, 36YY, 37XX, y 37YY....276
Figura 6.26: Perfiles de las unidades 36WW, 36XX, 36YY, 37XX, y 37YY (continuación)....277
Figura 6.26: Perfiles de las unidades 36WW, 36XX, 36YY, 37XX, y 37YY (continuación)....278
Figura 6.27: Desplante de muro de piedra E132 (vista hacia el este)....279
Figura 6.28: Elementos de piedra E159, E132, E133, E134, y E139 en las unidades 36XX, 36YY, 37XX y 37YY....280
Figura 6.29: Probable piso ocupacional del E168 en la unidad 41D; presenta evidencia de haber sido quemada....281
Figura 6.30: Piedras con cara plana, provenientes del E159....282
Figura 6.31: Felino articulado perteneciente al E162 en la unidad 36YY (vista hacia el noroeste)....283
Figura 6.32: Dibujo de planta de la unidad 49ZZ, donde se muestra al E92....284
Figura 6.33: Lajas de piedra del E92....285
Figura 6.34: Dibujo de planta de la multi-unidad 7; se observa los diferentes elementos de una ofrenda de la fase Yugüe....286
Figura 6.35: Elementos de la ofrenda perteneciente a la fase Yugüe....287
Figura 7.1: Mapa topográfico del centro ceremonial de Cerro de la Virgen con las excavaciones del 2011....291
Figura 7.2: Mapa topográfico estilo “alambre” del centro cívico-ceremonial de Cerro de la Virgen....294
Figura 7.3: Vista en planta de la Estructura 2 y las unidades excavadas en la Operación A. Perfiles dibujados indicados por líneas rojas. Unidades de excavación alineadas con la orientación del sitio- 25° al este de norte (magnético)....324
Figura 7.4: Foto de las unidades excavadas en la Operación A con muro de contención y desagüe de la Estructura 2 en el primer plano y el área de la ofrenda en la fondo. Unidades 10A, 10B, 10D y 10E no visibles en la foto....325
Figura 7.5: Corte con vista hacia el este de patio norte y la Estructura 2 durante el uso

del Complejo A (antes del abandono del sitio). Croquis no incluye los estratos pos-Formativos. No a escala 326
Figura 7.6: Perfil estratigráfico de los muros oeste de las unidades 12K, 12L, 12O, 12P, 12Q y 12R....326
Figura 7.7: Perfil estratigráfico de la unidad 4J....327
Figura 7.8: Perfil estratigráfico de los muros este de las unidad 13K, 13L, 13N, 13O, 13P y 13Q....327
Figura 7.9: Perfil estratigráfico de los muros este de las unidades 15J, 15K y 15L....328
Figura 7.10: Perfil estratigráfico de las unidades 8M, 9M, 10M, 11M, 14M, 15M, 16M, y 17M 328
Figura 7.11: Perfil estratigráfico de los muros este de las unidades 16N, 16O, y 16P 329
Figura 7.12: Perfil estratigráfico de los muro este de las unidades 10D, 10E, 10G, y 10H....330
Figura 7.13: Perfil estratigráfico de las unidades 10 F y 11F....330
Figura 7.14: Perfil estratigráfico de las unidades 10G, 10H, 10I y el interior de la Estructura 2 (unidades 10F y 10E)....331
Figura 7.15: Perfil estratigráfico de la unidad 13E....332
Figura 7.16: Vista en planta de la Estructura 2 con desagüe (E20) y dirección del agua indicado....333
Figura 7.17: Foto del desagüe de piedra (E20) 334
Figura 7.18: Punto de entrada del desagüe de piedra (E20) 335
Figura 7.19: Punto de entrada del desagüe de piedra (E20) 336
Figura 7.20: Perfil estratigráfico de las unidades 9M, 10M y 11N....336
Figura 7.21: Perfil estratigráfico de los muros este y sur de la unidad 14P....337
Figura 7.22: Perfil estratigráfico de las unidades 9N, 10N, y 11N 338
Figura 7.23: Perfil estratigráfico de las unidades 9O, 10O, y 11P....338
Figura 7.24: Perfil estratigráfico de las unidades 14Q, 15Q, y16P....339
Figura 7.25: Perfil estratigráfico de las unidades 9M, 10M, 14M, y 15M....339
Figura 7.26: Perfil estratigráfico de las unidades 9N, 10N, 11N, y 15N....340
Figura 7.27: Perfil estratigráfico de las unidades 10P y 11P....340
Figura 7.28: Perfil estratigráfico de la unidad 7I....341
Figura 7.29: Perfil estratigráfico de las unidades 9N y 9M 341
Figura 7.30: Perfil estratigráfico de las unidades 18S y 18R 342
Figura 7.31: Perfil estratigráfico de las unidades 9J, 9K, y 9L 343
Figura 7.32: Perfil estratigráfico de las unidades 11J, 12J, 13J, 14J, y 15J 343
Figura 7.33: Vista en plata del área de ofrenda en el patio norte del Complejo A....344
Figura 7.34: Vista en plata del área de ofrenda con fogones (E3, E7, E8, E9, E10, E22, E23, y E24) indicados....345
Figura 7.35: Foto de las vasijas de ofrenda y compartimentos de piedra (en la foto: unidades 16N y 16O) 346
Figura 7.36: Foto de las vasijas de ofrenda y compartimentos de piedra (en la foto: unidades 13P y 13Q)....347
Figura 7.37: Vista en planta del cuadrante noreste del área de la ofrenda con vasijas individuales indicadas 348
Figura 7.38: Vista en planta del cuadrante noroeste del área de la ofrenda con vasijas individuales indicadas 349
Figura 7.39: Vista en planta del cuadrante sureste del área de la ofrenda con vasijas individuales indicadas 350
Figura 7.40: Vista en planta del cuadrante suroeste del área de la ofrenda con vasijas individuales indicadas 351
Figura 7.41: Foto de un par de vasijas de cuello corto colocadas dentro de compartimentos de piedra en la unidad 12L....352
Figura 7.42: Foto de un par de vasijas cilíndricas colocadas en el área de 9M 353

Figura 7.43: Foto de una vasija cilíndrica en el compartimento de la unidad 10K 354
Figura 7.44: Foto de una vasija cilíndrica con tapa puntiaguda en un compartimento de ofrenda en la unidad 14N 355
Figura 7.45: Foto de vasijas cilíndricas en un compartimento de ofrenda separadas por una solo laja en la unidad 13K 355
Figura 7.46: Foto de tiestos tipo gris de la fase Chacahua dentro de un compartimento de ofrenda triangular (E19-Ob196; ver Figura 7.1.45) 356
Figura 7.47: Foto de un compartimento de ofrenda colocado encima de una vasija de ofrenda anterior (E18-Ob196) 357
Figura 7.48: Foto de una vasija de ofrenda (E18-Ob61) colocada encima de una ofrenda más temprana (E18-Ob67) 358
Figura 7.49: Foto de vasijas cilíndricas de la ofrenda E18 358
Figura 7.50: Foto de vasijas de cuello corto en la ofrenda E1 359
Figura 7.51: Foto de un fogón (E10) con piedras para calentar en la parte norte del patio norte 359
Figura 7.52: Foto del fogón (E7) con las piedras removidas por los excavadores en las unidades 8M, 8N, y 9 360
Figura 7.53: Vista en planta de las unidades excavadas en la Operación B (contorno = 1m) 371
Figura 7.54: Foto de las unidades excavadas en la Operación B viendo hacia el sur; unidad 1O no aparece en la foto 371
Figura 7.55: Perfil estratigráfico de las unidades 5J y 6J 372
Figura 7.56: Perfil estratigráfico de la unidad 11J 372
Figura 7.57: Perfil estratigráfico de las unidades 9K, 10K y 10 373
Figura 7.58: Perfil estratigráfico de la unidad 10 373
Figura 7.59: Stratigraphic profile of unit 1O 374
Figura 7.60: Vista en planta de la ofrenda E3 y del estrato superior del fogón (E4-s2); E3-s1 consiste en fragmentos de figurinas (E3-Ob1) y un jarro (E3-Ob2), E3-s2 consiste en una colección de lajas delgadas 375
Figura 7.61: Foto del fogón de E4 en vista de planta 375
Figura 7.62: Foto del fogón E4 en los perfiles norte y este de la unidad 11 376
Figura 7.63: Foto del fogón E6 en vista de planta 377
Figura 7.64: Foto del fogón (E6) en el perfil norte de las unidades 5J y 6J 377
Figura 7.65: Foto de la cabeza de la figura (E3-Ob1) y jarro sin cuello (E3-Ob2) 378
Figura 7.66: Foto de las lajas de piedra incluidas dentro de la ofrenda E3 (E3-Ob3) 379
Figura 7.67: Perfil estratigráfico del bloque este en la Op. B, incluyendo los perfiles oeste de las unidades 15J y 15K; perfiles norte y este de las unidades 15K y 16J; perfiles sur de las unidades 15J y 16J 380
Figura 7.68: Vista en planta de las excavaciones de la Operación C (contorno = 1m) 387
Figura 7.69: Perfil estratigráfico (norte) de las unidades 9J, 10J, y 11 388
Figura 7.70: Perfil estratigráfico (sur) de las unidades 9J, 10J y 1 389
Figura 7.71: Perfil estratigráfico de la unidad 10J 390
Figura 7.72: Foto del perfil este de la unidad 10J con niveles estratigráficos indicados 391
Figura 7.73: Foto de las excavaciones en la Operación D tomada desde la esquina sureste de la Estructura 1 (visible en primer plano); transecto de las excavaciones en el patio visible en el fondo 414
Figura 7.74: Vista en planta de las excavaciones en la Operación D y la Terraza 10 (contorno = 1m) 415
Figura 7.75: Diagrama de la Terraza 10 y la estructura 1 con vista hasta el norte; no a escala 416
Figura 7.76: Secuencia hipotética de la construcción y ofrendas rituales asociadas con la

Terraza 10 y la Estructura 1; diagrama no a escala 417
Figura 7.77: Perfil estratigráfico del bloque de excavación en la Estructura 1
Sub-estratos en E17, E18 y E20 no indicados (ver Figura 1.1.5) 418
Figura 7.78: Perfil estratigráfico de las unidades 15M, 15N y 15º 419
Figura 7.79: Vista en planta de la forenda E24 en la unidad 15m, incluyendo el grupo
de objetos de piedra (E24-s1) y vasijas cerámicas (E24-s2) 420
Figura 7.80: Foto de E24-s1 in situ 421
Figura 7.81: Foto de E24-s2 in situ (con E24-s1 removido) 421
Figura 7.82: Foto de los objetos reconstruidos en la ofrenda E24-s1; de arriba izquierda
hacia la derecha: E24-Ob1 (máscara de diedad de la lluvia), E24-Ob5 (máscara parcial),
E24-Ob3 (trono miniatura), E24-Ob2 (figura), y E24-Ob4 (trono miniatura) 422
Figura 7.83: Foto de la máscara de la diedad de la lluvia, vista de frente (E24-Ob1) 423
Figura 7.84: Izquierda: Foto de colmillos y dientes con incrustaciones en la boca de la
máscara (E24-Ob1); Derecha: foto del interior de la máscara con hoyos para hilo e
indentación de una 'mentonera' para poderse llevar enfrente de una cara 423
Figura 7.85: Izquierda: Foto con vista de frente de la figura (E24-Ob2); Derecha: vista
de lado de la figura 424
Figura 7.86: Izquierda; vista en planta del trono miniatura (E24-Ob3); Derecha:
de debajo del trono miniatura 424
Figura 7.87: Izquierda: vista en planta del trono de piedra miniatura (E24-Ob4); Derecha:
vista de lado del trono miniatura 424
Figura 7.88: Foto de vista de frente de la máscara de piedra parcial (E24-Ob5) 425
Figura 7.89: Perfil estratigráfico del bloque de excavación central en el patio
oeste de la Estructura 1 426
Figura 7.90: Perfil estratigráfico de la unidad 3H 426
Figura 7.91: Perfil estratigráfico de la unidad 3P 427
Figura 7.92: Vista en planta de la ofrenda E21 en la unidad 15M 428
Figura 7.93: Foto de hueso largo humano (E21-Ob13) encima de vasija de cerámica
(E21-Ob12) en la ofrenda E21 428
Figura 7.94: Vista en planta de la ofrenda E17 en las unidades 15N y 15O 429
Figura 7.95: Foto de la ofrenda E17 en asociación con el muro de contención de la
Estructura 1-sub1 (E15) 429
Figura 7.96: Foto de las posiciones relativas de la ofrenda E24 (debajo derecha),
la ofrenda E17 (debajo izquiera), y el muro de contención E15 (arriba) 430
Figura 7.97: Foto de vasija cilíndrica ecléctica (E17-Ob8) en la unidad 15O 431
Figura 7.98: Foto del muro de contención E15 (abajo) y el muro de cimiento E8 432
Figura 7.99: Vista en planta de la ofrenda E16 en las unidades 15M y 15N 433
Figura 7.100: Vista en planta de la ofrenda E9 en las unidades 15M, 15N, 16L, 16M, y 16N 434
Figura 7.101: Foto de las vasijas en la ofrenda E9 (de izquierda a derecha, E9-Ob9, E9-Ob8,
y E9-Ob6) 435
Figura 7.102: Mapa en planta de la ofrenda E2 en el bloque de excavación central
del patio de la Terraza 10 436
Figura 7.103: Foto de las vasijas de ofrenda en E2 437
Figura 7.104: Foto desde arriba de las vasijas de ofrenda en E2 437
Figura 7.105: Foto de las vasijas de ofrenda en E2 438
Figura 7.106: Foto del posible pozo (E4) en el bloque de excavación del patio 438
Figura 7.107: Mapa en planta del área excavado en la Operación E; pruebas de barreno
se ven en grís 445

Figura 7.108: Foto de las áreas excavadas en la Operación E 445
Figura 7.109: Perfil estratigráfico de la unidad 10J....446
Figura 7.110: Foto del horno de tierra (E2) en el perfil oeste de la unidad 10J 447
Figura 7.111: Vista en planta de las excavaciones en la Operación F (contorno = 1m) 459
Figura 7.112: Foto de las excavaciones en la Operación F; muro de contención de la Terraza 12 (E12) en primer plano (visto hacia el este) 460
Figura 7.113: Perfil estratigráfico de la unidad 10F....461
Figura 7.114: : Perfil estratigráfico de la unidad 12H 462
Figura 7.115: Foto del muro de contención (E12) en el perfil este de la unidad 10....463
Figura 7.116: Perfil estratigráfico de las unidades 12D y 13D 464
Figura 7.117: Foto de la mitad inferior del perfil norte en la unidad 12H....465
Figura 7.118: Foto de la vasija de ofrenda en la unidad 12H (E8) 466
Figura 7.119: Mapa en planta de B1-I1 en las unidades 12D y 13D 467
Figura 7.120: Foto de B1-I1 en las unidades 12D y 13D 467
Figura 7.121: Foto de B1-I1 debajo del muro de contención E5 468
Figura 7.122: Mapa de las excavaciones en la Operación G (contorno = 1m)....475
Figura 7.123: Perfil estratigráfico de la unidad 23T....476
Figura7.124: Perfil estratigráfico de la unidad 15T....477
Figura 7.125: Perfil estratigráfico de las unidades 14L y 15L....477
Figura 7.126: Fragmento de muro de bajareque redepositado en el relleno de construcción (E4) 478
Figura 7.127: Fragmento de bajareque redepositado en el relleno de construcción (E4) 479
Figura 7.128: Mapa en planta de las excavaciones en la Operación H; unidades de excavación no incluidas en la Op. H se ven aquí en negro 492
Figura 7.129: Fotos de las unidades de excavación en la Op H 492
Figura 7.130: Perfil estratigráfico en la unidad 15KK....493
Figura 7.131: Perfil estratigráfico en la unidad 15U 494
Figura 7.132: Perfil estratigráfico en la unidad 15CC....495
Figura 7.133: Foto de un posible muro o escalera (E9) y pavimento (E10) en la unidad 15CC....496
Figura 7.134: Perfil estratigráfico en la unidad 23M 497
Figura 7.135 Perfil estratigráfico en la unidad 15M 498
Figura 7.136: Foto de lajas de piedra o posible compartimento de ofrenda (E9) en la unidad 15U....499
Figura 7.137: Foto de lajas de piedra o posible compartimento de ofrenda (E10) en la unidad 23M....499
Figura 7.138: Foto de lajas de piedra o posible compartimento de ofrenda (E11) en la unidad 15M....500
Figura 8.1: Croquis del sitio de Loma Don Genaro 597
Figura 8.2: Mapeo del sitio mostrando las unidades de excavación 598
Figura 8.3: Vista del Montículo 3 de Loma Don Genaro....599
Figura 8.4: Excavaciones en Montículo 3 de Loma Don Genaro....599
Figura 8.5: Excavaciones en Montículo 3 de Loma Don Genaro....600
Figura 8.6: Vista de la Operación A de Loma Don Genaro....600
Figura 8.7: Perfiles de la unidad 3NN y 3MM de Operación A 601
Figura 8.8: Dibujo de planta de la ofrenda E87 de Operación A....602
Figura 8.9: Foto de la ofrenda E87 de Operación A....603
Figura 8.10: Las vasijas de la ofrenda E87 de Operación A....603
Figura 8.11: Los discos de piedra de E88 de Operación A 604
Figura 8.12: La vasija de la ofrenda E89 de Operación A....604
Figura 8.13: Perfiles de las unidades 10MM, 10NN, y 10OO de Operación A....605
Figura 8.14: Perfiles de la unidad 12NN de Operación A....606
Figura 8.15: Foto del relleno laminado E8 de las unidades 10NN y 12NN de Operación A 606

Figura 8.16: Foto del adobe vertido E62 de la unidad 10NN de Operación A 607
Figura 8.17: Perfiles de la unidad 3RR de Operación A 607
Figura 8.18: Perfiles de la unidad 6RR de Operación A 608
Figura 8.19: Perfiles de la unidad 2OO de Operación A 609
Figura 8.20: Foto de los pisos de arena en la unidad 3NN de Operación A 610
Figura 8.21: Foto de las tres vasijas de la ofrenda E90 en la unidad 3NN de Operación A 611
Figura 8.22: Perfiles de la unidad 3VV de Operación A 612
Figura 8.23 Perfiles de la unidad 6NN de Operación A 612
Figura 8.24: Perfiles de la unidad 3JJ de Operación A 613
Figura 8.25: Foto de la ofrenda E27 en la unidad 3JJ de Operación A 613
Figura 8.26: Foto del muro de piedra y adobe (E20) en la unidad 3JJ de Operación A
La foto también muestra las ofendas E26 y E27 614
Figura 8.27: Foto de la ofrenda E26 en la unidad 3JJ de Operación A 614
Figura 8.28: Perfiles de la unidad 3FF de Operación A 615
Figura 8.29: Foto de las vasijas de la ofenda E91 en la unidad 3NN de Operación A 615
Figura 8.30: Foto de Ent. 5-I 616
Figura 8.31: Perfiles de la unidad 5NN de Operación B 617
Figura 8.32: Perfiles de la unidad 10BB de Operación C 618
Figura 8.33: Perfiles de la unidad 9AA de Operación C 619
Figura 8.34: Fotografía de Entierro6-Individuo 6 620
Figura 8.35: Incrustaciones de pirita, E6-I6 621
Figura 8.36: Ofrendas enterrados con E6-I6. Un cajete parcial de la fase Coyuche (arriba)
y una ollita de la fase Yuta Tiyoo (abajo) 622
Figura 8.37: Perfiles de las unidades 11AA (norte, este) y 11Z (este) 623
Figura 8.38: Perfiles de las unidades 11Z (sur) y 10Z (sur, este) 624
Figura 8.39: Perfiles de la unidad 10CC 624
Figura 8.40: Fotografía de Entierro 10-Individuo 11 625
Figura 8.41: Fotografía de la Operación D 626
Figura 8.42: Perfiles de la unidad 10I 627
Figura 8.43: Bloque central, perfil norte 628
Figura 8.44: Bloque central, perfiles oeste y sur 629
Figura 8.45: Bloque central, perfiles de la unidad 13D y 12D sur 630
Figura 8.46: Perfiles de la unidad 10ª 631
Figura 8.47: Fotografía de los estratos 63-s1, 64, y 68 en la unidad 10A 632
Figura 8.48: Fotografía del elemento E73, un fogón en la unidad 11E 633
Figura 8.49: Perfiles de la unidad 10M 634
Figura 8.50: Fotografía del elemento E45, unidad 10M 635
Figura 8.51: Perfiles de la unidad 16E 636
Figura 8.52: Entierro 1-Individuo 1 637
Figura 8.53: Entierro 7, Individuos 7 y 8 638
Figura 8.54: Ofrendas del Entierro 15-Individuo 16 639
Figura 8.55: Perfiles de la unidad 20E 640
Figura 8.56: Perfiles norte e este de la Operación E 641
Figura 8.57: Perfiles sur y oeste de la Operación E 641
Figura 9.1: Vista general de los bloques de recorrido, sección oeste del Valle del bajo Río Verde 691
Figura 9.2: Mapa general de los sitios registrados en 2013 692
Figura 9.3: Mapa GPS, Emiliano Zapata (RV39) 693
Figura 9.4: Mapa GPS, Camino Charquito el Guayaba (RV43) 694

Figura 9.5: Mapa GPS, Piedra Ancha (RV50) 695
Figura 9.6: Terrazas con múltiples niveles al norte de la cresta de Piedra Ancha (RV50) 696
Figura 9.7: Muro de contención con 2-3 capas de piedras horizontales, Piedra Ancha (RV50) 697
Figura 9.8: Muro de contención con ortostatos, sección suroeste de Piedra Ancha (RV50) 698
Figura 9.9: Mapa GPS, Loma Emiliano Zapata (RV51) 699
Figura 9.10: Mapa GPS, Loma la Boquilla (RV52) 700
Figura 9.11: Pie de monte, RV52 701
Figura 9.12: Mapa GPS, La Humedad (RV74) 702
Figura 9.13: Fábrica de hormigón, La Humedad (RV74) 703
Figura 9.14: Montículo 1 de La Humedad (RV74) cerca de la fábrica de hormigón 704
Figura 9.15: Mapa GPS, Camino a la Humedad (RV170) 705
Figura 9.16: Montículo con plataforma (M1) con trinchera moderna, Camino a la Humedad (RV170) 706
Figura 9.17: Vista de cerca del relleno del montículo expuesto, RV170 707
Figura 9.18: Cresta de Cerro Grande (RV171) 708
Figura 9.19: Mapa GPS, Cerro Grande (RV171) 709
Figura 9.20: Posible residencia sobre la cresta, RV171 710
Figura 9.21: Muro de terraza grande, RV171 711
Figura 9.22: Elemento rectangular RV171 712
Figura 9.23: Mapa GPS, Roca Baja (RV172) 713
Figura 9.24: Posible tumba, Roca Baja (RV172) 714
Figura 9.25: Petroglífos, RV172 715
Figura 9.26: Mapa GPS, Arroyo Vista (RV173) 716
Figura 9.27: Laja de piedra posiblemente incluida dentro de un muro, Arroyo Vista (RV173) 717
Figura 9.28: Mapa GPS, Loma la Humedad (RV174) 718
Figura 9.29: Mapa GPS, Paradero la Tortuga (RV175) 719
Figura 9.30: Mapa GPS, Las Piedras (RV176) 720
Figura 9.31: Mapa GPS, Monte la Soledad (RV177) 721
Figura 9.32: Estela recta, Monte la Soledad (RV177) 722
Figurea 9.33: Mapa GPS, Camino a Atotonilquillo (RV178) 723
Figura 9.34: Mapa GPS, Atotonilquillo (RV179) 724
Figura 9.35: Nacimiento de manantial, Atotonilquillo (RV179) 725
Figura 9.36: Cresta “escalonada” con una serie de terrazas, Atotonilquillo (RV179) 726
Figura 9.37: Mapa GPS, Hierba Gruesa (RV180) 727
Figura 9.38: Mapa GPS, La Sola Pared (RV181) 728
Figura 9.39: Mapa GPS, El Rancho Alto (RV182) 729
Figura 9.40: Mapa GPS, Piedra Ancha Baja (RV183) 730
Figura 9.41: Montículo 1, Piedra Ancha Baja (RV183) 731
Figura 9.42: Hoyos excavados, RV183 732
Figura 9.43: Relleno de montículo (M1), RV183 733
Figura 9.44: Mapa GPS, Cerro del Rancho (RV184) 734
Figura 9.45: Pozo excavado, Cerro del Rancho (RV184) 735
Figura 9.46: Muro de contención con doble fila de piedra, RV184 736
Figura 9.47: Mapa GPS, El Puente (RV185) 737
Figura 9.48: Mapa GPS, Cerro del Charquito (RV186) 738
Figura 9.49: Mapa GPS, Camino al Rancho (RV187) 739
Figura 9.50: Muro de contención con ortostatos, Camino al Rancho (RV187) 740
Figura 9.51: Muro de contención con ortostatos, RV187 741
Figura 9.52: Mapa GPS, Loma Pequeña (RV188) 742

Figura 9.53: Pozo excavado, Loma Pequeña (RV188) 743
Figura 9.54: Base de la cuesta, Buena Vista (RV189) 744
Figura 9.55: Mapa GPS, Buena Vista (RV189) 745
Figura 9.56: Mapa GPS, Cresta Norte (RV190) 746
Figura 9.57: Muro de contención de terraza, Cresta Norte (RV190) 747
Figura 9.58: Roca madre utilizada como muro de contención “natural” para una terraza, RV190 748
Figura 9.59: Mapa GPS, Cerro de Zapata (RV191) 749
Figura 9.60: Mapa GPS, Muros Bajos (RV192) 750
Figura 9.61: Mapa GPS, La Planicie Hermosa (RV193) 751
Figura 9.62: Mapa GPS, Arroyo Grande (RV194) 752
Figura 9.63: Mapa GPS, Camino a Zapata (RV195) 753
Figura 9.64: Mapa GPS, Zapata Baja (RV196) 754
Figura 9.65: Mapa GPS, Cresta Sur (RV197) 755
Figura 9.66: Vista en plano de bioturbaciones en Piedra Ancha (RV50) 756
Figura 9.67: Vista en perfil de tuneles en Piedra Ancha (RV50) 756
Figura 9.68: Sedimento horizonte-A enterrado en la planicie aluvial (ver escala) 757
Figura 9.69: Sedimento coluvial horizonte-A enterrado en RV50 (ver mando naranja) 758
Figura 11.1: Hoja de Registro para Material Excavado 772
Figura 13.1: Configuración de la estación de análisis paleoetnobotánico en el laboratorio INAH Cuilapan 939
Figura 13.2: PRV-12-A-0E-10-PEB1: Aquenio de *Asteraceae* frecuentemente encontrado. Curiosamente, recuperado frecuentemente de muestras donde también se recupera *Zea mays* 947
Figura 13.3: PRV-12-A-0E-10-PEB1: Cúpula de *Zea mays* 948
Figura 13.4: PRV-12-E-13B-8-PEB1: Semilla desconocida encontrada en varias muestras 948
Figura 13.5: PRV-12-E-28A-32-PEB1: Dos vistas de la misma semilla de *Fabaceae* 949
Figura 13.6: PRV-13-DG-A-10M-WP-PEB1: Dos vistas de una semilla desconocida 949
Figura 14.1: Mapa topográfico de Río Viejo, con los montículos 1 y 9 y la Op. C de 2013 indicados 953
Figura 14.2: Mapa topográfico del Montículo 1 de Río Viejo, con las operaciones C, D y E indicados 953

INDICE DE TABLAS

Tabla 2.1: Lista de las capas estratigráficas de la Operación A....16
Tabla 3.1: Lista de las capas estratigráficas de la Operación B....52
Tabla 4.1: Lista de las capas estratigráficas de la Operación C....83
Tabla 5.1: Data de la Operación G....137
Tabla 5.2: Lista de las capas estratigráficas de la operación G....138
Tabla 5.3: Lista de las capas estratigráficas de la operación E....162
Tabla 6.1: Multi-unidades en la Operación....190
Tabla 6.2: Lista de las capas estratigráficas de la Operación F....192
Tabla 6.3: Elementos de la Ofrenda (E120) encontrada en la Operación F del PRV13....229
Tabla 7.1: Lista de niveles estratigráficos en la Operación A....299
Tabla 7.2: Lista de niveles estratigráficos en la Operación B....362
Tabla 7.3: Lista de niveles estratigráficos en la Operación C....382
Tabla 7.4: Lista de niveles estratigráficos en la Operación D....395
Tabla 7.5: Lista de niveles estratigráficos en la Operación E....440
Tabla 7.6: Lista de niveles estratigráficos en la Operación F....450
Tabla 7.7: Lista de niveles estratigráficos en la Operación G....470
Tabla 7.8: Lista de niveles estratigráficos en la Operación H....481
Tabla 8.1: Lista de las capas estratigráficas de la Operación A....514
Tabla 8.2: Lista de las capas estratigráficas de la Operación B....553
Tabla 8.3: Lista de las capas estratigráficas de la Operación C....557
Tabla 8.4: Estratigrafía de la Op. D....565
Tabla 8.5: Entierros de la Op. D, Loma Don Genaro....586
Tabla 8.6: Estratigrafía de la Op. E....591
Tabla 9.1: Categorías Relativas de Densidad de Cerámica....644
Tabla 9.2: Categorías Relativas de Metates....645
Tabla 9.3: Zonas fisiográficas representadas en el área del recorrido de 2013....684
Tabla 9.4: Distribución de los sitios por zona fisiográfica: Recorrido de 2013....684
Tabla 9.5: Asentamientos Prehispánicos por zona fisiográfica (Antes del recorrido de 2013)....687
Tabla 9.6: Estimación de población por fase en la zona de recorrido de 2013....688
Tabla 11.1: Correlación entre Fases Cerámicas y Códigos de Registro....773
Tabla 11.2: Fechas cerámicas de los lotes excavados en Río Viejo....774
Tabla 11.3: Fechas cerámicas de los lotes excavados en Cerro de la Virgen....793
Tabla 11.4: Fechas cerámicas de los lotes excavados en Loma Don Genaro....808
Tabla 12.1: Vasijas Enteras del Proyecto Rio Verde 2013....821
Tabla 13.1: Ubicuidad de especies recuperadas....943
Tabla 13.2: Riqueza taxonómica mínima de las muestras....945
Tabla 13.3: Riqueza taxonómica mínima por sitio....946
Tabla 14.1: Lista Preliminar de los Taxones Recuperados en las Excavaciones de Río Viejo....955

AGRADECIMIENTOS

Muchos individuos e instituciones facilitaron la realización del Proyecto Rio Verde 2013 (PRV13) que se llevó a cabo bajo los auspicios del Instituto Nacional de Antropología e Historia. Agradecemos especialmente la cooperación de los presidentes del Consejo de Arqueología, al Dr. Pedro Francisco Sánchez Nava y al Dra. María de los Ángeles Olay Barrientos, y al director del Centro INAH Oaxaca, al Antrop. Sergio Bautista Orzuna. Los fondos y apoyos para el PRV13 vinieron de la Sociedad Histórico con apoyo de la Fundación Templeton. Queremos agradecer a los habitantes de Rio Viejo, San Felipe y San José del Progreso quienes trabajaron con nosotros durante la temporada de campo. Muchas personas en la costa de Oaxaca nos ayudaron durante el proyecto. Agradecemos el apoyo de los presidentes municipales de Tututepec y Jamiltepec, los miembros del Comité del Museo Comunitario de Tututepec, los agentes de policía de Río Viejo y San José del Progreso y los dueños de terrenos, quienes nos permitieron trabajar en la región. Entre todos nuestros amigos en la costa de Oaxaca, queremos agradecer en especial la amistad de Doña Odilia Herrera, Lucila Herrera, Demetrio Herrera, Santiago Herrera, y toda la familia Herrera, Don Rafael y Doña Chica Borroso, Pilar Barroso y toda la familia Borroso, Roga Santos, y especialmente Doña Heriberta Avelino y Doña Victoria López.

CAPÍTULO 1 - INTRODUCCIÓN

Sarah B. Barber
Arthur A. Joyce

Este informe presenta los resultados del Proyecto Río Verde 2013 (PRV13) que se llevó a cabo en el valle inferior del Río Verde, en la costa Pacífica de Oaxaca (Figura 1.1). El PRV13 consistió en excavaciones arqueológicas en los sitios de Río Viejo, Loma Don Genaro, y Cerro de la Virgen, así como en la continuación del recorrido regional en superficie. La investigación de campo se llevó a cabo durante un periodo de tiempo de tres meses (entre Marzo y Mayo del 2013). El trabajo de campo fue seguido por el análisis en laboratorio de los artefactos de cerámica y de lítica, de entierros humanos, y de muestras botánicas entre Mayo y Junio del 2013.

El PRV13 era la tercera fase de un proyecto multi-anual que fue diseñado para examinar la formación, organización, y caída del primer estado en la parte inferior del valle del Río Verde durante el Formativo Terminal. Los objetivos del proyecto se basaron en los resultados de investigaciones previas llevadas a cabo en el valle inferior del Río Verde que demostraron el desarrollo y la caída rápida de un estado temprano durante el período Formativo Terminal (150 a.C.-d.C. 250; Barber 2005, 2009; Barber and Joyce 2007, 2011, 2012; Joyce 1991, 2006, 2010, 2013; Joyce y Barber 2011; Joyce y Levine 2009).

El proyecto tiene cuatro objetivos, tres de ellos se refieren a nuestras suposiciones y el cuarto se refiere a educación pública: 1) determinar la historia de construcción, la organización espacial, y el uso de la arquitectura pública en Río Viejo (Montículos 1 y 9); 2) examinar la construcción, organización y uso de la arquitectura pública de los sitios secundarios de Cerro de la Virgen y Loma Don Genaro; 3) entender cambios en la distribución de la población al nivel regional; y 4) documentar imágenes digitales, videos, y entrevistas para una página web bilingüe en español e inglés (rioverdearchaeology.org).

1.1 Metodología

El PRV13 incluyó excavaciones sobre arquitectura monumental en dos áreas del sitio Río Viejo: la acrópolis, designada como el Montículo 1 y el Montículo 9-Estructura 4, lo cual sugerimos era el centro monumental del sitio antes de la construcción del Montículo 1 (Figura 1.2). Las excavaciones se llevaron también a cabo en dos sitios secundarios: Cerro de la Virgen y Loma Don Genaro. Cerro de la Virgen es un sitio en el pie de monte en el lado este del río mientras que Loma Don Genaro es un sitio en la planicie aluvial del lado oeste del río (ver Figura 1.1). Finalmente, el PRV13 incluyó la continuación del recorrido regional en la parte norte del valle del bajo Río Verde.

1.1.1 Excavaciones sobre la arquitectura monumental de Río Viejo

Río Viejo (RV20) es un sitio arqueológico ubicado a 500 m al oeste del Río Verde. El sitio tiene una extensión de 250 hectáreas (Joyce 1999, 2009; Joyce, et al. 1998) y ha sido estudiado durante varios proyectos arqueológicos anteriores (Barber 2009; Barber y Joyce 2011, 2012; Joyce 1991, 1999, 2005, 2006; Joyce y Barber 2011; Joyce, et al. 1998). Este sitio consiste en 14 plataformas monumentales, las cuales sostienen múltiples estructuras y docenas de plataformas pequeñas (ver Figura 1.2). Recorridos y excavaciones anteriores han demostrado que Río Viejo fue ocupado de manera continua desde por lo menos el período Formativo Medio (700-400 a.C) hasta finales del Posclásico Temprano (800-1100 d.C.). Las plataformas más grandes del sitio son el Monóculo 1 o la acrópolis, y el Monticulo 9-estructura 4. La acrópolis de Río Viejo es un complejo arquitectónico de gran tamaño que, en su forma final, consistió en una plataforma con una base de aproximadamente 350 x 200 m y una altura de 7 m sobre la planicie aluvial. La plataforma soporta dos sub-estructuras grandes (Estructuras 1 y 2), que llegaron a una altura de 17 m, junto con varias estructuras chicas, una plaza, y un patio hundido (ver Figura 1.2). Montículo 9-estructura 4, por su parte, era la subestructura más grande del sitio aparte del Montículo 1. Midiendo aproximadamente 200 m x 125 m y alcanzando una altura de 10 m sobre el la planicie de inundación, el

Montículo 9-Estructura 4 tenía una huella de casi 25,000 m². Datos estratigráficos de una zanja excavada en esta estructura en 1988 (Op. RV88 B) sugirieron que la Estructura 4 del Montículo 9 fue construida principalmente durante el período Formativo Terminal temprano (Joyce et al. 1998). Las excavaciones de 2013 confirmaron estos descubrimientos y demostraron que no había ninguna construcción sobre las partes más altas del Montículo 9 – Estructura 4 durante el periodo Formativo Terminal tardío, cuando el Montículo 1 fue construido y utilizado (ver Salazar Chávez, este volumen).

Siguiendo las investigaciones previamente llevadas a cabo en la región (e.g., Barber 2005; Barber and Joyce 2011; Joyce 1991: 85-94, 1999; Joyce y Barber 2011; Joyce y Levine 2009; Workinger 2002:81-84), el PRV13 empleó un sistema de código de procedencia que indica el sitio, el año, la operación, el estrato, la unidad, y el lote de cada elemento encontrado. Una operación (Op.) se consideró como un área de excavación que compartía la misma cuadrilla cartesiana. Cuadros de 1 x 1 metro dentro de cada retícula fueron proporcionados con números específicos de identificación (números de unidad). Las unidades de excavación de 1x1 m fueron orientadas con respecto al norte magnético. La latitud (líneas que van de E – O) de cada unidad de 1 x 1 metro en una operación fue designada por una letra mientras que la longitud (líneas que van de N – S) fue designada por un número. Por lo tanto el punto central de una retícula sería (0, A) ó 0A. La intersección en la esquina suroeste de cada unidad fue usada para designar la "dirección" de cada cuadro de 1 x 1 m dentro de la retícula. Por lo tanto, la unidad ubicada a un metro al el este de la unidad central 0A sería 1A, y la unidad un metro hacia el norte sería 0B. Ya que muchas operaciones del PRV13 fueron continuaciones de trabajo empezado durante las temporadas de campo del 2009 y 2012, en algunos casos, fue necesario utilizar números negativos y letras dobles para las unidades ubicadas al sur y al oeste del punto 0A. Esto ocurrió en las operaciones A, B, E, F, y G. Las unidades ubicadas al sur de 0A fueron asignadas doble letras de norte a sur: ZZ, XX, YY, etc. mientras que las unidades ubicadas al oeste de 0A fueron dadas números negativos de este a oeste: -1, -2, -3, etc.

El lote estándar para el PRV13 era un estrato natural o cultural dentro de la unidad de 1 x 1 m. Cuando éstos no podían ser identificados por adelantado, la excavación procedió en incrementos de 5 ó 10 cm. Con base en los métodos de deposición inferidos, todas las capas estratigráficas y los elementos fijos fueron enumerados y designados como un estrato natural (N) o como un elemento (E). Las excavaciones fueron llevadas a cabo usando barretas, palas, y cucharas. El sedimento fue pasado por una criba con malla de 5 mm. Todos los artefactos y ecofactos fueron recolectados de acuerdo con su nivel. Igualmente, se recolectaron muestras de carbón para determinar fechas, así como muestras de flotación para obtener datos sobre la alimentación y el ambiente.

Hubo 6 operaciones en Río Viejo durante la temporada de campo de 2013, cada una con una letra de designación (Ops. A-C y E-G, no hubo ninguna Op. D en 2013; ver Figura 1.3). Cuatro de las operaciones fueron extensiones de operaciones de temporadas previas. La Op. A era una continuación de la Op. A del PRV09 y PRV12 (ver Brzezinski y Aguilar 2011; Brzezinski et al. 2012). La Op. A consistió en dos bloques de excavaciones. El primer bloque tenía como objetivo destapar una plataforma baja, escalera, o desagüe que se había identificado durante el PRV12. El segundo bloque fue abierto para explorar más una ofrenda grande que consistió en grandes vasijas de cerámica enterrada, huesos humanos, y pequeñas vasijas de ofrenda que fueron descubiertos en 2009, así como en las excavaciones de 2012. La Operación B consistió en un transecto de unidades de 1x1m orientado de norte-sur que fue desenado para conectar la Op. A con la Op. F. La Op. B siguió el cimiento de una plataforma baja y un desagüe que fue descubierto en la Op. A del PRV12 (Brzezinski et al. 2012). La Op. PRV13-F era una extensión de la Op. F del PRV12 y fue excavada para exponer una serie de muros y escalones identificados en 2012 (Hill y Villanueva 2012). La Op. PRV13 F consistió en excavaciones en bloque. Finalmente, la Op. PRV13 E consistió en una pequeña expansión de la Op. E de 2012. La operación se empezó inicialmente para expandir una excavación de bloque que había expuesto un muro del periodo

Formativo Terminal (Egan y Barber 2012), pero no hubo suficiente tiempo para llegar a los niveles del Formativo (ver Menchaca, este volumen).

Las otras dos operaciones (Ops. C y G) contenían una combinación de transectos de unidades de 1m x 1m y excavaciones en bloque. La Op. C del PRV13 fue localizada en la cima del Monticulo 9-estructura 4 y fue designada para proveer información sobre la historia de la construcción y el uso del monumento. Un solo bloque de excavación en la Op. C expuso varios episodios en la construcción de una plataforma de tierra escalonada. La Op. G del PRV13 fue localizada al norte del Monticulo 1-estructura 2, en un área que no había sido investigada previamente. El transecto provee información acerca de la historia de la construcción de esta área mientras que las excavaciones en bloque expusieron porciones de una serie de plataformas sub-etructurales bajas sobre el Montículo 1- estructura 3.

1.1.2 Excavaciones en sitios secundarios

Para entender mejor las relaciones políticas durante el periodo Formativo Terminal, el PRV13 incluyó excavaciones en dos sitios secundarios: Cerro de la Virgen y Loma Don Genaro. Cerro de la Virgen es un sitio de 92 ha en el pie de monte al este del río y a aproximadamente 12 km al este de Río Viejo. Fue ocupado desde por lo menos la fase Minizundo del periodo Formativo tardío (400-150 a.C.) hasta el periodo Clásico tardío. El sitio ha sido recorrido y se ha completado un mapa GPS de sus límites (Joyce et al. 2009: 343-345). Barber (2005, 2008) excavó una residencia de estatus alto en la Terraza 1 del sitio y mapeó una plaza ceremonial adyacente en la Terraza 2 que estaba limitada por un juego de pelota y una posible residencia de estatus alto (ver Figura 7.1). Las excavaciones del PRV13 fueron designadas para aumentar el trabajo empezado por Barber tras la examinación de las áreas públicas en este centro secundario grande, en particular un pequeño edificio público (Estructura 1), la plaza, la cancha de juego de pelota, y algunos complejos que se pensaban ser residenciales antes de empezar las excavaciones. Tras las excavaciones se vieron que estas últimas estructuras fueron públicas (Brzezinski, este volumen).

Los métodos de excavación siguieron los descritos arriba para Río Viejo, aunque las unidades de excavación fueron orientadas para seguir la arquitectural del sitio en vez del norte magnético. Esta diferencia se debe a que la arquitectura de mampostería en Cerro de la Virgen hizo posible ver elementos arquitectónicos desde la superficie. Por lo tanto se pudieron alinear las unidades de excavación con la orientación de los edificios.

Hubieron 8 operaciones en Cerro de la Virgen durante la temporada de campo de 2013, cada una con una letra de designación (Ops. A-H; ver Figura 7.1). La Op. A era un área de excavación (75.25m2) sobre la Terraza 11 que incluyó parte de una plataforma sub-estructural baja (la Estructura 2 del Complejo A) y su patio asociado. La Op. A descubrió un conjunto muy importante de ofrendas en el patio que incluyeron 260 vasijas de cerámica. La Op. B consistió en un transecto de 11 unidades de 1m x 1m orientado de este a oeste. Las unidades fueron designadas para investigar un segundo patio más abierto localizado al sur de la Estructura 2 en la Terraza 11. La Op. B permitió fechar la terraza e identificó varios elementos asociados con la preparación de comida. La Op. C era una sola unidad de excavación de 3m x 1m localizado en la base de la Terraza 11, en su lado oeste. Su localización fue para identificar áreas de desecho asociados con la Terraza 11 y para determinar la historia constructiva en esta porción de la plaza central del sitio. La Op. D examinó la Terraza 10, una pequeña terraza localizada entre la Terraza 11 y la Terraza 1, la primera habiendo sido excavada por Barber en 2003. La Terraza 10 fue localizada en un punto elevado del sitio y sostenía una plataforma baja enfrentado por pequeño patio. Las excavaciones de la Op. D incluyeron una excavación de bloque de 7m² dentro de la plataforma así como tres pozos de sondeo de 1 x 1m dentro del patio. Estas unidades fueron designadas para entender el uso de la estructura, que parecía ser un edificio público, y para documentar su historia de construcción. La Op. E consistió en una unidad de 1m x 1m en el borde sur de la Terraza 2, dentro de un grupo de edificios llamado el Complejo C. Esta unidad fue colocada en el patio entre tres estructuras del complejo para entender la historia constructiva de este lado de la plaza principal del sitio. Las

Operaciones F y G consistieron en tres unidades: dos de 1 x 1m y una de 2 x 1 m. La Op. F se ubicó en el borde oeste de la Terraza 12 cerca de la cancha de juego de pelota del sitio y fue colocada para fechar la cancha y documentar la historia constructiva de la Terraza 12. La Op. G fue localizada en la esquina suroeste de la Terraza 2 para documentar las actividades y la histórica constructiva en el borde de las áreas públicas del sitio. Finalmente, la Op. H consistió en 5 unidades de 1 x 1m en la plaza central del sitio. La operación fue designada para documentar la historia constructiva y las actividades en esta gran área abierta.

Loma Don Genaro es un sitio de los periodos Formativo Terminal y Clásico que mide 18.75 ha, y que se encuentra a aproximadamente a 6km al suroeste de Río Viejo en el límite de la planicie aluvial (Figura 1.1). El sitio ha sido recorrido y se ha completado un mapa GPS de sus límites; también se mapearon tres plataformas con montículos. La plataforma más larga mude 183 m x 71m x 3m (el Monticulo 3; ver Figura *8.1),* y fue el enfoque de las excavaciones de 2013. El objetico de las excavaciones del PRV-2013 en Loma Don Genaro trataran el grado de integridad entre Rio Viejo y su periferia. Saber el grado de concordancia entre las técnicas de construcción, estilos arquitectónicos, y actividades ceremoniales en edificios públicos en Loma Don Genaro y Río Viejo permitirá una evaluación de la autonomía local, la afiliación, y el grado de integración dentro del estado de Río Viejo. Los métodos de excavación siguieron los descritos para Río Viejo.

Hubieron 8 operaciones en Loma Don Genaro durante la temporada de campo de 2013, cada una con una letra de designación (Ops. A-E; ver Figura 8.2). Las Operaciones A y D consistieron de transectos de unidades de 1 x 1m combinadas con excavación en bloque limitado. La Operación C era una sola excavación en bloque. Las Operación B y E fueron áreas únicas de 1 x 1 m y 1 x 2 m, respectivamente. La Op. A consistió de siete unidades de 1 x 1m, 1 x 2m, y 1 x 3m que se extendieron por 18 m norte-sur y 11 metros este-oeste a lo largo del borde norte del Montículo 3. La Operación A fue designada para entender la historia ocupacional y el uso de esta área del sitio, la cual, desde la

superficie, parecía representar los vestigios de un edificio público en la forma de una sub-estructura de tierra baja. La Op. B consistió de una sola unidad de 1 x 1 metro localizada a 8m al oeste de la unidad más al oeste de la Operación A. Fue excavada para determinar si la construcción del periodo Formativo terminal se siguió en esta dirección. La Operación C consistió de un solo bloque de excavación de 7m² originalmente colocado para medir la historia ocupacional al sur de las Operaciones A y B, en la sección central-norte del Montículo 3. En particular, la Op. C fue colocada para determinar si el periodo de construcción del Formativo Terminal se continuó en esta área. Los resultados de la excavación revelaron una serie de entierros del periodo Clásico. La Operación D consistió en un transecto de tres unidades de 1 x 1m que se extendieron por 13 m norte-sur, dos unidades de 1 x 1 m, localizados a 6-10 m al este de esta línea norte-sur, y un bloque de excavación de 6 m² en la intersección de estos dos transectos. La Operación D fue designada para continuar la documentación de la historia ocupacional y el uso del Montículo 3 al sur. Las excavaciones de la Op. D revelaron elementos de amos el Formativo Terminal y el periodo Clásico, incluyendo varios entierros de alto estatus. Finalmente, la Op. E contaba con una sola unidad de 1 x 2 m en el borde sur del Montículo 3. El objetivo original de esta operación fue determinar si esta parte más baja del montículo era del periodo Formativo o Clásico, sin embargo, los límites de tiempo hicieron que no fuera posible excavar más lotes antes de cerrar la operación.

1.1.3 Recorrido de superficie regional

El PRV13 examinó los patrones de asentamiento del período Formativo por medio de la extensión del área de recorrido regional de completa cobertura iniciado por el Proyecto Patrones de Asentamiento del Río Verde (PPARV; ver Joyce 1999) en el 1994-1995, el Proyecto Río Verde (PRV) en 2000 y continuado durante el PRV12 (Hedgepeth y Koukopoulos 2012). El recorrido de 2013 fue designado para vincular el área de recorrido de 2012, del lado noroeste del valle del bajo Río Verde, con un bloque al sur, recorrido en 1994-1995 (ver Figura 9.1). El recorrido del PRV13 cubrió 29.53 km² en la

planicie aluvial a lo largo del lado este del Río Verde. En el recorrido no entró el pie de monte a menos que un sitio en la planicie aluvial se extendiera hacia el monte dentro de la zona de recorrido.

La metodología del recorrido fue la misma que se ha usado desde el proyecto RVSPP (Joyce 1999; ver también Joyce et al. 2009; Workinger 2002) la cual tomó como modelo previos recorridos regionales en Mesoamérica (e.g., Blanton et al. 1982; Kowalewski et al. 1989; Sanders et al. 1979). Las áreas recorridas fueron planeadas con una unidad de mapeo Sistema de Posición Global (GPS - Global Positioning System). Los datos de los asentamientos se analizaron con un Sistema de Información Geográfica (GIS- Geographic Information Systems). Se recorrió el campo en intervalos de 20 m entre cada miembro del equipo que caminaron lentamente a lo largo de toda el área. Cuando se encontraron sitios, fueron anotados en mapas con escala topográfica de 1:5,000. Los límites de los sitios fueron mapeados con GPS. Se registraron información en cada sitio incluyendo su ambiente (e.g., vegetación, erosión, características de suelos, uso del terreno) y la distribución de artefactos y de arquitectura (la densidad relativa de cerámica, líticas, y concha; la condición de la cerámica; la presencia de elementos como líneas de paredes y piedras grabadas; el número y el tamaño de montículos). Cuando fue posible, el equipo recuperó muestras de por lo menos 100 tiestos diagnósticos (bordes y cuerpos decorados) de cada área de recolección en superficie. La cerámica fue fechada con base en la cronología establecida para la región (Barber 2009; Hedgepeth 2010; Joyce 1991; Joyce et al. 1998; 2001). Para sitios con múltiples componentes, la extensión de diferentes ocupaciones fue estimada por medio del examen de la distribución de tiestos diagnósticos de las ocho fases cerámicas.

1.1.4 Análisis de Laboratorio

El procesamiento de los artefactos de campo (limpieza, inventario, documentación básica, y preparación para almacenamiento prolongado) fue llevado a cabo en el laboratorio del proyecto en San José del Progreso, Oaxaca. Los materiales procesados en el laboratorio del campo incluyeron:

- Objetos de cerámica: vasijas, figurillas, instrumentos musicales, estampas, orejeras

- Objetos de lítica trabajada: lascas y navajillas prismáticas de obsidiana
- Piedras para la molienda: manos, metates, hachas, machacadores de corteza
- Artefactos de hueso: agujas, cuentas
- Materiales arquitectónicos: bajareque quemado, adobes
- Materiales de esqueleto humano
- Ecofactos de hueso: restos de animales
- Otros ecofactos: muestras de flotación, muestras de fitolitos, muestras de suelo, carbón

El análisis detallado se llevó a cabo en 2013 y durante el verano de 2014, con el permiso del Consejo Nacional de Antropología, e incluyó: (1) el análisis preliminar de los restos humanos; (2) fechar todos los contextos para el estudio de los tiestos de cerámica recuperada; (3) el análisis de artefactos de obsidiana desde contextos primarios excavados en 2012; (4) el análisis de restos macrobotanicos de 2009, 2012 y 2013; y (5) el análisis de restos de animales de 2009, 2012 y 2013.

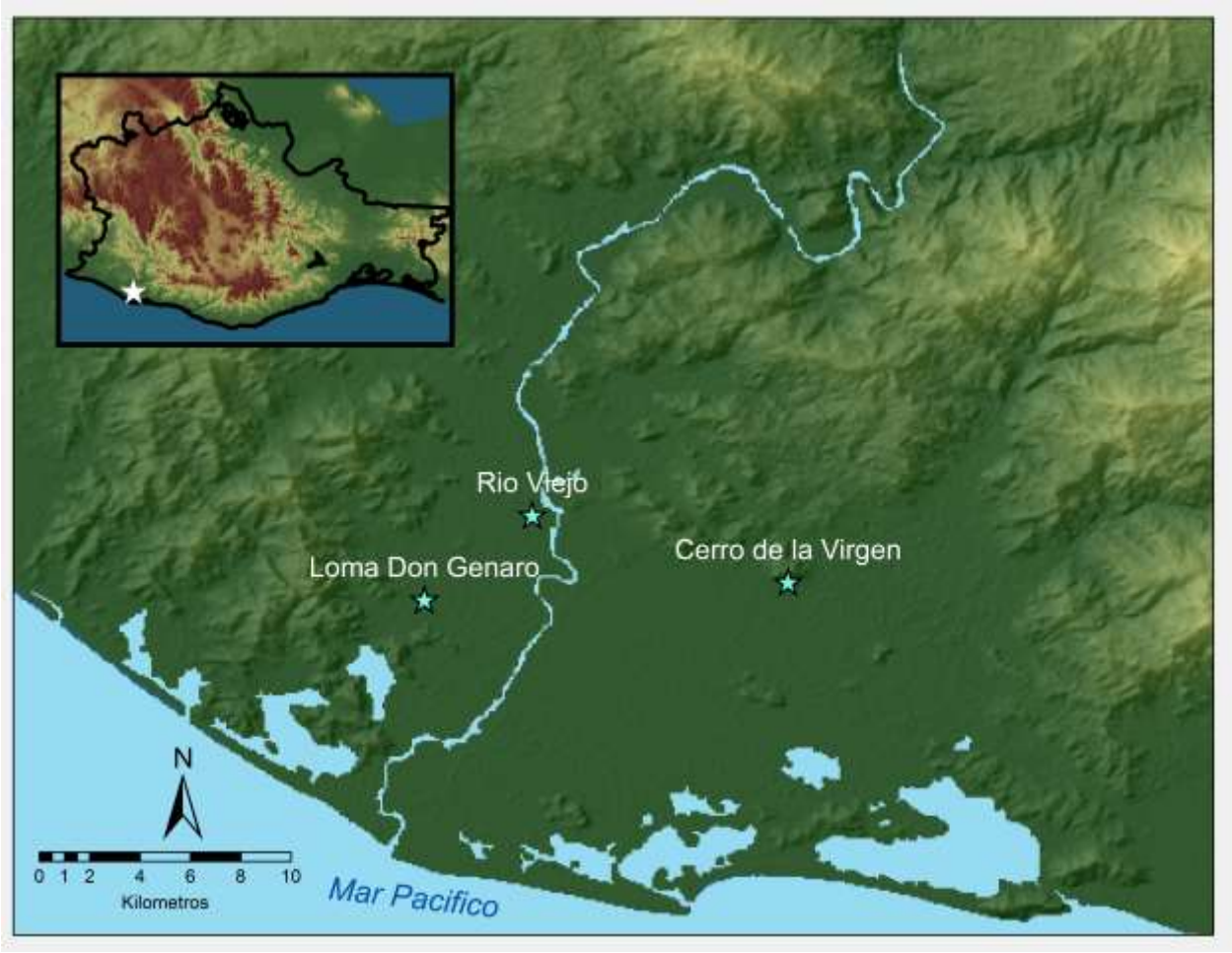
Los datos del recorrido de superficie obtenidos durante la temporada de campo del 2013 fueron combinados con la investigación de patrones de asentamiento previos en una base de datos del SIG. Esto nos permitirá: (1) crear modelos geo-espaciales que toman en cuenta cambios y elementos de asentamiento relacionados con la centralización política, como el tamaño de un sitio o la distribución de arquitectura de montículo, y (2) crear mapas detallados de patrones de asentamiento en relación a cambios ambientales (ver Joyce y Mueller 1992; Goman et al. 2010).

Una vez que los objetos hallados fueron procesados en el laboratorio del campo, éstos fueron colocados dentro de cajas de madera para almacenar y fueron transportados a la bodega de la INAH en Cuilapan, Oaxaca, para su conservación. Después de nuestra llegada a Cuilapan, pusimos el material arqueológico en las cajas de cartón requeridas por el Centro INAH Oaxaca para el almacenamiento a largo plazo (ver Apéndice A).

1.2 Resumen

Los capítulos siguientes describen las excavaciones en Río Viejo, Cerro de la Virgen, y Loma Don Genaro, así como el recorrido de superficie del PRV13. Los capítulos del 2 al 6 presentan los resultados de cada operación de excavación en Río Viejo. El capítulo 7 presenta los resultados de las excavaciones en Cerro de la Virgen. El capítulo 8 presenta los resultados de las excavaciones en Loma Don Genaro. El capítulo 9 presenta los resultados del recorrido de superficie. El capítulo 10 presenta una lista de los entierros encontrados durante las excavaciones en todos los sitios e incluye también detalles del análisis osteológico preliminar. Capítulos 11–14 describen los métodos del laboratorio de campo (Capítulo 11), un índice de las vasijas enteras recuperadas en todos los sitios excavados (Capítulo 12), y proporcionan los resultados del análisis paleobotánico (Capítulo 13) y zooarqueológico (Capítulo 14). El apéndice A contiene los registros públicos de los monumentos y las zonas arqueológicos de la INAH para todos los sitios nuevos recorridos en 2012. El apéndice B contiene copias de los Oficios relevantes.

Figura 1.1: Mapa del bajo Río Verde mostrando sitios excavados durante el PRV13



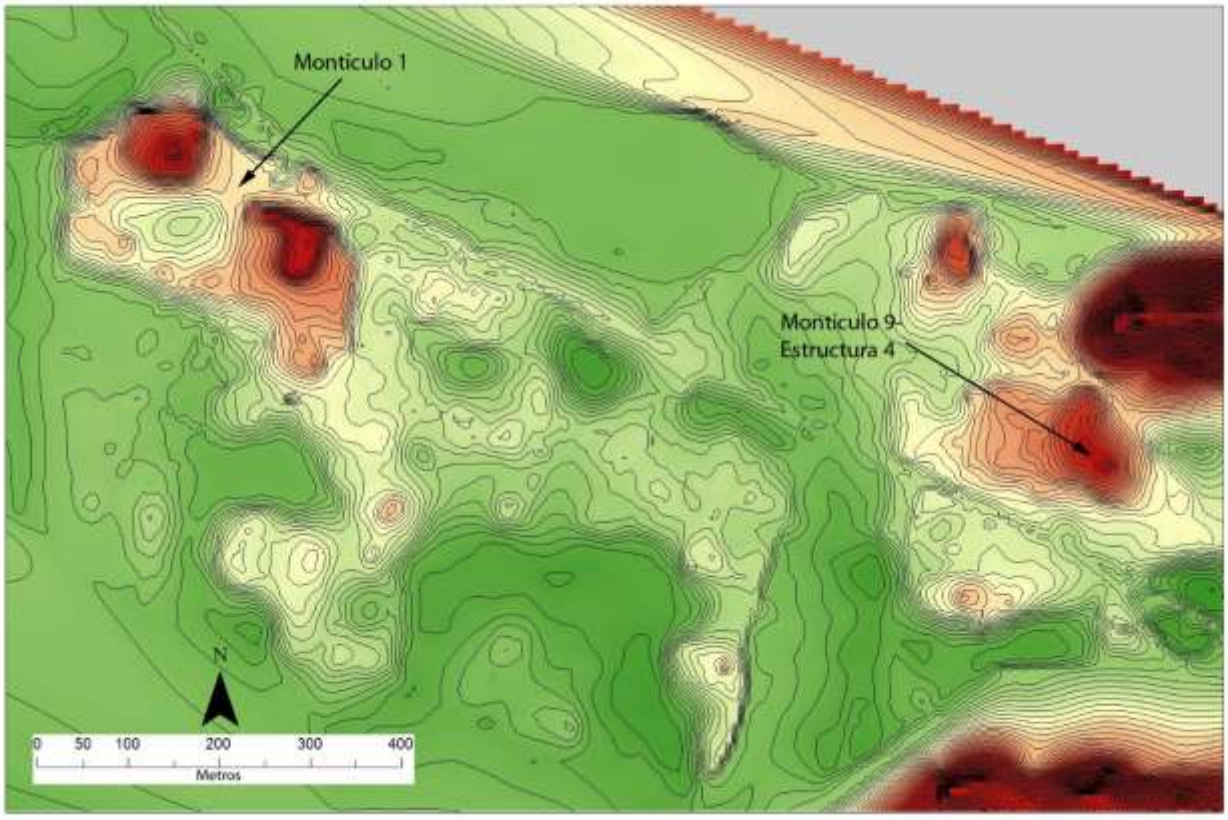


Figura 1.2: Mapa de Río Viejo mostrando la acrópolis (Montículo 1) y el Montículo 9-Estructura 4. Intervalo topográfico es de 50 cm.

CAPÍTULO 2 - Excavaciones de la Operación A

Víctor E. Salazar Chávez
Cuauhtémoc Vidal-Guzmán

2.1 Introducción

La Operación A consistió de dos bloques de excavación dirigidos a investigar más sobre la variabilidad de la arquitectura y las actividades relacionadas con dos de los elementos descubiertos en Op. RV12 A (Fig. 2.1). El primer bloque (unidades 1W, 2W, 3W y 2X) tuvo como objetivo continuar las excavaciones al norte de la operación en donde se halló una plataforma baja asociada con un desagüe, construido en el Formativo Terminal Tardío, fase Chacahua (ver Brzezinski et al. 2012). El segundo (unidades 5E, 3F, 4F, 5F, 3G, 4G, 5G), un bloque mayor de 3 x 3 m, exploró el área al centro de la operación en donde se recuperaron tres vasijas de entierro asociadas a una compleja ofrenda del periodo Clásico Tardío que contuvieron los restos de un individuo cada una (ver Brzezinski y Aguilar 2009; Brzezinski et al. 2012).

Con los resultados de las excavaciones de 2013 pudimos corroborar algunas de las hipótesis planteadas durante las temporadas pasadas. Asimismo, se obtuvieron nuevos datos sobre el sistema de construcción de las plataformas asociadas con el desagüe, las actividades que ocurrieron después de su desuso y la probable extensión de las ofrendas del Clásico Tardío representadas por las vasijas de entierro. Como parte complementaria a las excavaciones de la Operación A, se tiene el transecto B (Op. B), del cual sus hallazgos ayudaron a consolidar la información recolectada para el norte de la operación.

2.2 Metodología

La metodología utilizada sigue los procedimientos ya establecidos en los proyectos anteriores del bajo Río Verde (ver Barber y Joyce 2011, 2012; Joyce 1991, 1999; Joyce y Levine 2009; Joyce et al. 1998). Los bloques de excavación se realizaron cerca de áreas ya exploradas de la operación, comenzando con unidades de 1 x 1 m que fueron extendiéndose conforme a los hallazgos. Se continuó empleando el mismo sistema de numeración de las unidades que en las temporadas 2009 y 2012. Es decir que todo quedó integrado dentro de una misma retícula de excavación. La numeración asciende de oeste a este y la asignación de las letras de sur a norte. Se excavó en lotes arbitrarios de 5 ó 10 cm. Cuando se distinguieron capas diferentes se excavaron en lotes separados. En las unidades donde ya se conocía la estratigrafía se excavó por capas culturales. Varias de estas capas ya habían sido identificadas en las excavaciones del 2009 y 2012, por lo que se les dio el mismo número de elemento. Las capas que no habían sido identificadas previamente se les dieron nuevos números partiendo del último número de elemento de la temporada 2012. Se utilizaron cribas con una malla de 5mm. Los materiales recuperados fueron separados por materia prima y se les asignó un número FS individual. Cada elemento reconocido durante las excavaciones fue fotografiado y dibujado a una escala de 1:10. Se tomaron muestras de sedimento para flotación de 10 litros de los basureros y superficies ocupacionales. Para los entierros se les asignó un número específico de entierro e individuo, siguiendo la numeración de las temporadas anteriores.

Tabla 2.1. Lista de las capas estratigráficas de la Operación A.

Número de Estrato	Unidades	Descripciones de Munsell y Sedimento	Fecha Probable	Proceso de Formación	Comentarios
E1-s1	Todas las unidades	Migajón limo arcilloso, 10 YR 3/3, café oscuro. Contiene inclusiones de piedras.	Yugüe o más tardío	Suelo moderno formado en desecho ocupacional	Formación de suelo en desecho ocupacional. Sedimento muy grumoso con agregados que se fragmentan en pedazos hexagonales. Contiene una alta concentración de tiestos de cerámica.
E139	2X	Migajón con limo arcilloso, 10 YR 5/4, café amarilloso.	Yuta Tiyoo	Relleno de fosa	La fosa fue excavada desde E91-s1. El relleno es muy similar a E91-s1, por lo que ha de tratarse de la redepositación de éste.
Ent107-I119	2X		Yuta Tiyoo	Entierro	El entierro comprende de un individuo puesto en posición sentada, contuvo una vasija como ofrenda.
E137	2X	Migajón con limo arcilloso, 10 YR 5/4, café amarilloso.	Yuta Tiyoo	Relleno de fosa	La fosa fue excavada desde E91-s1. El relleno es muy similar a E91-s1, por lo que ha de tratarse de la redepositación de éste.
Ent106-I118	2X		Yuta Tiyoo	Entierro	El entierro contuvo una vasija como ofrenda. No fue excavado, con excepción del cráneo que se hallaba por debajo de la vasija.
E91-s1	1W, 2W, 2X, 3W	Migajón con limo arcilloso, 10 YR 5/4, café amarilloso. Contiene inclusiones de concha y bajareque.	Yuta Tiyoo	Relleno constructivo	Probablemente esta capa sea análoga a E3 o E7. Contiene una concentración alta de cerámica erosionada.
E3-s2	3F, 3G, 4F, 4G, 5E, 5F, 5G	Limo arcilloso, 10 YR 5/6, café amarilloso.	Yuta Tiyoo	Relleno constructivo	Contiene una concentración de cerámica erosionada de varios periodos.
E7	3F, 3G, 4F, 4G, 5E, 5F, 5G	Limo arcilloso, 10 YR 4/6, café amarilloso.	Yuta Tiyoo	Relleno constructivo	Primer capa de relleno del Clásico. Esta capa cubrió el gran grupo de ofrendas del Clásico Tardío (ver abajo).

E8-s1	3F, 4F	10 YR 5/4; migajón con limo arcilloso de color café amarillento	Yuta Tiyoo	Relleno constructivo	Capa de relleno muy compacta con inclusiones de concha despedazada. Fue puesta después de colocar E157.
E159	3F, 4F		Yuta Tiyoo	Alineación de lajas	Varias lajas puestas de manera horizontal y vertical, quizás como parte del gran grupo de ofrendas del Clásico Tardío. .
Ent110-I122	4F		Yuta Tiyoo	Entierro	Entierro 110, individuo 122. No excavado. Se pudo observar la parte inferior del cuerpo del individuo. Probablemente forme parte del gran grupo de ofrendas del Clásico Tardío.
E157	4F, 4G		Yuta Tiyoo	Grupo de cuatro vasijas completas	Un componente del gran grupo de ofrendas, representado por dos copas pequeñas y dos platos. El pozo donde se colocaron las cerámicas fue rellenado con E7.
E154-s1	3F	Limo arcilloso, 10YR 6/3, café pálido. Contiene inclusiones de concha.	Chacahua	Relleno de pozo y posible elemento de terminación	Relleno de pozo, posiblemente se trate de un elemento de terminación. Contiene menor cantidad de artefactos que E154-s2.
E154-s2	3F	Limo arcilloso, 10YR 2/2, café muy oscuro.	Chacahua	Relleno de pozo y posible elemento de terminación	Capa inferior del elemento de terminación. Se diferencia de E154-s1 por ser más suelto, orgánico y contener mayor cantidad de artefactos.
E155	4F, 4G	Limo arcilloso, 10YR 4/3. Contiene inclusiones de concha.	Chacahua	Relleno de pozo y posible elemento de terminación	Relleno de pozo excavado desde E11, probablemente se trate de un elemento de terminación. Capa con una alta concentración de cerámicas.
E11-s1	3F, 3G, 4F, 4G	Migajón con limo arcilloso, 10 YR 5/4, café amarillento.	Chacahua	Relleno constructivo	Última capa de relleno de la fase Chacahua. Contiene cerámica, concha y arena gruesa.
E12-s1	3G	Arena limosa, 10 YR 5/4, café amarillento. Contiene inclusiones de concha.	Chacahua	Relleno constructivo o coluvión	Capa delgada de relleno no consolidado. Fue registrado como una probable capa de coluvión en PRV12 (ver Brzezinski et al. 2012).

E153	3G	Migajón limo arcilloso, 10YR 2/1, negro. Contiene inclusiones concha casi completa y ceniza.	Chacahua	Pequeño tiradero de basura	Capa delgada de desecho ocupacional. El material parece haber sido arrojado sobre E156 en vez de ser desechado en un pozo.
E156	3G	Arena, 10YR 7/6, amarillo.	Chacahua	Relleno constructivo no consolidado o posiblemente un piso	Capa delgada de relleno no consolidado (pudiera tratarse de un piso). Se halla por debajo de una capa de desecho ocupacional (E153).
E134-s1	1W	Migajón limo arcilloso, 10YR 3/2, café grisáceo muy oscuro. Contiene inclusiones de concha, bajareque y ceniza.	Chacahua	Relleno de pozo que consistió de un basurero que posiblemente es un elemento de terminación	Segundo relleno del pozo que cortó a E133 y E130. El sedimento es similar a E134-s2, pero es más compacto.
E134-s2	1W		Chacahua	Relleno de pozo que consistió de un basurero que posiblemente es un elemento de terminación	Primer relleno del pozo que cortó a E133 y E130. Se caracteriza por un sedimento orgánico que contuvo una significativa cantidad de tiestos de cerámica así como ceniza, bajareque, y concha. Parece como un basurero y posiblemente un elemento de terminación.
E133	1W	Migajón limo arcilloso, 10YR 3/2, café grisáceo muy oscuro. Contiene inclusiones de concha y bajareque.	Chacahua	Relleno de pozo que consistió de un basurero que posiblemente es un elemento de terminación	Relleno de pozo que contuvo una alta concentración de cerámicas y material orgánico. El pozo corta desde E73.

E143	3W	Migajón arcillo arenoso, 10YR 4/2, café grisáceo oscuro. Contiene inclusiones de concha, ceniza, piedras, ceniza y carbón.	Chacahua	Relleno de pozo que consistió de un elemento de terminación	Relleno de pozo y elemento de terminación. Contuvo tiestos grandes de cerámica, ceniza, y concha. La concentración de material orgánico no es tan grande como en E134 ó E133.
E73-s1	2W, 2X, 3W	Migajón con limo arcilloso, 10 YR 5/4, café amarillento	Chacahua	Relleno constructivo	Contiene inclusiones de piedras pequeñas, concha y cerámica. Fue colocado después del periodo erosivo de E131. Varios pozos fueron cortados de este nivel.
E131	2W, 2X, 3W	Migajón arcillo arenoso, 10YR 4/3, café.	Chacahua	Desecho ocupacional o coluvión	Delgada capa de material deslavado. Cubrió de manera general a E130.
E130-s1	1W, 2W, 3W, 2X	Migajón limo arcilloso, 10YR 4/2, café grisáceo oscuro. Contiene inclusiones de piedras, mica y bajareque.	Chacahua	Relleno constructivo	Relleno no consolidado puesto después E140. Probablemente sea análogo a E73-s1.
E130-s2	2X	Limo arcilloso, 10YR 4/2, café grisáceo oscuro.	Chacahua	Relleno constructivo	Subestrato de E130 donde se recuperó una concentración alta de huesos de animal.
E130-s3	2X	Migajón limo arenoso, 10YR 3/2, café grisáceo muy oscuro. Contiene inclusiones de ceniza y carbón.	Chacahua	Relleno constructivo	Capa delgada de arenillas que pudiera estar asociada a E130-s2.

E146	2W, 3W	Migajón arcillo arenoso, 10YR 4/2, café grisáceo oscuro. Contiene inclusiones de concha.	Chacahua	Relleno de probable pozo y un elemento de terminación	Relleno contuvo tiestos grandes de cerámica de pasta gris y concha.
E145	2W	Migajón con arena, 10YR 4/2, café grisáceo oscuro.	Chacahua	Depósito coluvial	Corto periodo erosivo ocurrido después de la colocación de E140.
E135	1W	Limo arcilloso, 10YR 4/2, café grisáceo oscuro. Contiene inclusiones de concha, rocas y ceniza.	Chacahua	Relleno de pozo que consistió de un elemento de terminación	Elemento de terminación en un pozo cortado desde el nivel de E140. Es el pozo más grande excavado en la operación. Contuvo una alta cantidad de tiestos grandes de cerámica así como ceniza, piedras, y concha. El sedimento fue poco orgánico.
E140	1W, 2W, 3W, 2X	Migajón limo arcilloso, 10YR 4/3, café. Contiene inclusiones de arena.	Chacahua	Relleno constructivo	Relleno no consolidado por encima E141 y E138.
E141-s1	3W	Migajón limo arcilloso, 10YR 4/2, café grisáceo oscuro. Con inclusiones de mica.	Chacahua	Relleno de pozo	Capa de sedimento orgánico con concha que rellenó un pequeño pozo excavado en E142.
E141-s2	3W	Migajón con arena, 10YR 4/3, café.	Chacahua	Relleno de pozo	Capa delgada quemada, producto de actividades en el pequeño pozo excavado en E142.
E142	3W	Migajón limoso, 10YR 4/3, café.	Chacahua	Relleno constructivo	Relleno no consolidado que cubrió a E138, nivelando la superficie al nivel de la antigua plataforma.
E138	2W, 2X, 3W	Limo arcilloso, 10TR 4/3, café.	Chacahua	Relleno constructivo	Relleno retenido por E132. Cubrió la segunda versión del desagüe y plataforma.
E132	3W		Chacahua	Muro	Muro de contención que cubrió la segunda fase de la plataforma y el desagüe; descansa sobre E147. Probablemente se trate de una expansión de la plataforma hacia el este.

E136	2W, 2X	Migajón arcilloso, 10YR 4/3, café.	Chacahua	Relleno constructivo	Sedimento retenido por la segunda versión de la plataforma (E47, E48) y desagüe (E46). Puede ser correlacionado con E44 de las excavaciones de la Operación A del 2012.
E48	2W, 2X		Chacahua	Piedras horizontales (remate) encima de muro de contención	Estrato que refiere a las piedras por encima del muro de contención (E47). Se colocaron de manera que estabilizaron el muro.
E47	2W, 2X		Chacahua	Muro de contención de piedra	Piedras careadas puestas de manera vertical para formar la segunda versión del muro de contención. El estrato se encuentra por encima de E45.
E158	2W	Arcilla, 10YR 4/3, café.	Chacahua	Mortero	Mortero que cubrió la segunda versión del desagüe. Sedimento muy compacto y quemado.
E147	3W	Migajón limo arcilloso, 10YR 4/3,	Chacahua	Relleno constructivo	Relleno no consolidado que cubrió la primera versión del desagüe y plataforma. Después de la colocación de E147 se construye la segunda versión del desagüe y plataforma (E47, E48).
E152	3W	Migajón arenoso, 5YR 3/3, café rojizo oscuro.	Chacahua	Piso	Posible resto de un piso quemado.
E144	3W	Arena con migajón, 10YR 5/2, café grisáceo.	Chacahua	Relleno constructivo o periodo erosivo.	Relleno no consolidado o coluvión por encima de E151.
E151	3W	Arena con migajón, 10YR 4/3, café.	Chacahua	Piso	Sedimento semejante a E149.
E150	3W	Migajón limo arcilloso, 10YR 4/3, café.	Chacahua	Relleno constructivo	Capa delgada de relleno no consolidado que divide E151 de E149.
E149	3W	Migajón arenoso, 10YR 4/3, café.	Chacahua	Piso	Capa delgada de material áspero, semi-compacto.
E148	3W	Arcilla, 10YR 4/3, café.	Chacahua	Mortero	Mortero que cubrió la primera versión del desagüe. Sedimento muy compacto.
E45	2W, 2X		Chacahua	Desagüe de piedra	Piedras careadas puestas de forma horizontal para formar la tapa del segundo desagüe; descansan por encima de E46

E46	2W, 2X		Chacahua	Desagüe de piedra	Piedras careadas colocadas de manera vertical para formar el muro de contención original que iba por encima de la primera versión del desagüe. Después de la construcción de la segunda versión de la plataforma y desagüe formó la cara este del segundo desagüe. . Descansa sobre E41.
E41	2W, 3W		Chacahua	Desagüe de piedra	Piedras careadas puestas de manera horizontal para formar la base del desagüe y posiblemente la tapa del primer desagüe (ver Brzezinski y otros 2012).

2.3 Historia ocupacional de las unidades 1W, 2W, 3W y 2X

Debido a que las excavaciones de la Operación A se centraron en la identificación de diferentes tipos de contextos es que la historia ocupacional se divide por bloques de excavación. El bloque al norte de la operación se conforma por cuatro unidades de excavación, siendo 1W, 2W, 3W y 2X (Fig. 2.2, 2.3). Estas unidades se hallan a los 18.10 m s.n.m. La historia ocupacional del bloque inicia con la primera versión de la plataforma baja asociada con el desagüe, siendo el elemento más profundo descubierto. Tal como se pudo identificar en las excavaciones de Op. RV12 A, este elemento se compone de una inicial versión de la plataforma (E46, E148) y el desagüe (E41) que después fue remodelada para dar forma a la versión final del elemento (E46, E45, E47, E48, E136) (Fig. 2.4, 2.5). Ambas versiones de la plataforma y el desagüe son muy semejantes entre sí, siendo la mayor diferencia la elevación por el nivel de la superficie en que se encuentran. La segunda versión del desagüe descansa por encima de la primera, para esto los pobladores de Río Viejo utilizaron la inicial plataforma para la conformación del segundo desagüe. En la Fig. 2.6 se presenta el diagrama de la primera y segunda versión del desagüe, indicando aquellos elementos que han sido identificados en las excavaciones de 2012 y 2013, y aquéllos que son hipotéticos. Las circunstancias que llevaron a la construcción de dos versiones del mismo

elemento aún no son claras. Un posible escenario quizás sea que los pobladores de Río Viejo aumentaron el nivel de la superficie, haciendo del desagüe un elemento obsoleto debido a los cambios en la elevación de la superficie de la Acrópolis, produciendo a la vez una necesidad de reelaborarlo.

A pesar de que el objetivo principal del bloque fue exponer la secuencia de las plataformas y desagües, no se exploraron depósitos más profundos debido a que las excavaciones se complicaron por el descubrimiento de un muro muy cercano a la plataforma y el desagüe (E132). Este nuevo muro no fue identificado en las excavaciones de 2012 y pensamos comprende la última edificación previo al comienzo del abandono del sitio durante la terminación de la fase Chacahua. El hallazgo de esta nueva plataforma ayuda a complementar nuestro conocimiento sobre las actividades llevadas a cabo después del abandono de la segunda versión de la plataforma y el desagüe cerca del final de la fase Chacahua. Consecutivamente al abandono del muro se hallaron varios rellenos formativos que cubrieron la última edificación y elevaron el nivel de la Acrópolis al menos unos 80 cm. Los rellenos fueron cortados en varias ocasiones por pozos profundos que contuvieron una muy alta cantidad de tiestos (E133, E134 E135, E143). Consideramos que estos pozos, y los rellenos asociados, representan elementos de terminación del sitio; es decir que comprenden las últimas actividades llevadas a cabo durante la fase Chacahua, las cuales reproducen de manera simbólica el “cierre” de la Acrópolis. Por encima de los rellenos del Formativo Terminal Tardío se identificaron dos rellenos gruesos pertenecientes al Clásico Tardío; entre ambos tienen un grosor de 90 cm. La colocación de capas de la fase Yuta Tiyoo sobre rellenos de la fase Chacahua es un patrón ya reconocido a lo largo de la Acrópolis (Joyce y Barber 2011, 2012). Dos entierros del Clásico fueron recuperados (Ent106-I188, Ent107-I119). Éstos se hallaron muy cercanos entre sí y probable se traten de entierros realizados como ofrenda durante la construcción del sitio en el Clásico (Brzezinski et al. 2012).

2.3.1 Fase Chacahua

La secuencia ocupacional de las unidades 1W, 2W, 3W y 2X de la Operación A comienza al inicio de la fase Chacahua, con la construcción de la primer versión del drenaje (E41) y la plataforma (E46). Los pobladores de Río Viejo elaboraron la primera versión de la plataforma y el desagüe con hileras de piedras careadas muy bien elaboradas y emplazadas, puestas de formas horizontales y verticales, siguiendo una orientación norte-sur. Estando incorporado al oeste del desagüe (E41), E46 conformó una pequeña plataforma. Las losas que conformaron la parte superior del desagüe fueron revestidas con una delgada capa de mortero hecho con arcilla (E148), probablemente con el fin de sellar el elemento. Por encima de E148 se hallaron una serie de delgados pisos de tierra (E149, E151), separados entre sí por cortos episodios de recubrimiento (E150, E144). E144 se ubicó debajo de los restos de un posible piso de tierra quemado (E155); el sedimento mostró evidencias de haber sido expuesto al fuego. En promedio cada una de las capas tiene un grosor de dos centímetros. Desafortunadamente, el área expuesta de estos elementos fue tan pequeña que no podemos hacer mayores inferencias acerca de su formación, más allá de que debieron formar parte de la superficie ocupacional de la primera versión de la plataforma y el desagüe.

Cuando la primera versión del desagüe quedo en desuso fue cubierto casi por completo por un relleno de migajón con arcillas (E147), haciendo que el nivel de la superficie quedara a la altura de la primera versión de la plataforma (18.10 m s.n.m.). Posteriormente a la colocación de E147, los pobladores de Río Viejo iniciaron las labores de reelaboración de la plataforma y el desagüe (E45, E46, E47, E48). Para esto utilizaron la antigua plataforma (E46) como fundamento para la segunda versión del desagüe, la cual conformó el frente este. Con el fin de estabilizar el muro e impedir una mayor erosión del relleno en los límites de la edificación, se le añadió una hilera de piedras puestas de manera vertical como cubierta (E45). La nueva plataforma retiene el sedimento hacia el oeste (E136). Las piedras

careadas de la segunda versión de la plataforma no están tan bien elaboradas como las utilizadas en la primera versión y en ocasiones faltaban algunas piedras. Es probable que el mal estado se deba a eventos posteriores a su construcción, tal como la reutilización de piedras para la posterior edificación (E132; ver abajo). Dado que la plataforma se halla muy cerca del límite este del patio hundido de la Acrópolis parece ser que la plataforma era extensa en su dimensión norte-sur, pero corta de este a oeste. Por otra parte, E136 y E44 (relleno excavado en 2012 relacionado con la segunda versión de la plataforma), se hallaron muy perturbados por varios pozos, lo que dificultó aún más la tarea de tratar de delimitar sus límites.

Después del abandono de la segunda versión de la plataforma y el desagüe, cerca del final de la fase Chacahua, los pobladores de Río Viejo cubrieron la antigua construcción con un relleno de tierra no consolidado (E138). Este relleno es retenido al este por un muro hecho con lajas (E132), el cual se encuentra a pocos metros de la plataforma asociada con el desagüe. Las lajas que conforman E132 tienen aproximadamente 40 cm de largo por 15 de ancho y mantienen la misma orientación que la plataforma y el desagüe. Debido a que el muro se halló muy cerca de los límites de la unidad 3W es que no se pudo exponer el frente del elemento. Tampoco pudimos explorar dónde es que descansa, aunque siguiendo la estratigrafía cultural hace muy probable que se trate de E147. E132, o algún muro que pudiera relacionarse con éste, no fueron identificados en las excavaciones de 2012. Quizás esto se deba a que la extensión de E132 se restringe a esta parte no explorada de la Acrópolis. Su hallazgo nos indica que los pobladores de Río Viejo intentaron una vez más rediseñar el espacio, construyendo una nueva plataforma que reemplazara la pasada, aunque en menor escala. No queda claro si E132 también pudiera estar relacionado con algún tipo de desagüe. Sin embargo, si E132 conforma una estructura menos extensa que la plataforma asociada con el desagüe, esto hace poco probable la posibilidad de que lo esté.

El abandono de esta parte de la Acrópolis comprendió el entierro de la última edificación (E132) mediante la colocación de diferentes capas de relleno (E142, E140, E130, E73) que se dividen en ocasiones por delgadas capas de depósitos coluviales (E145, E131). Un par de pozos llegaron a cortar las diferentes capas de relleno (E135, E143), los cuales fueron rellenados con tiestos grandes, piedras, concha y ceniza. Pensamos estos pozos, junto con sus rellenos, son elementos de terminación, ya que ningún otro tipo de elementos (p. ej. estructuras, ofrendas, fogones) se hallaron relacionados con éstos, de los cuales se pudiera haber sugerido algún uso distinto al de no ser el resultado de actividades de terminación del sitio.

La capa que cubrió al este la última edificación consistió de un relleno no consolidado (E142). Este relleno sirvió para nivelar el área a la misma elevación del antiguo muro E132 (18.70 m s.n.m.). Parte del relleno fue cortado por un pequeño pozo que en algún momento estuvo expuesto al fuego, enrojeciendo la superficie del elemento (E141-s2). El pozo fue rellenado con desecho ocupacional (E141-s1). Posteriormente, se colocó una capa de relleno de aprox. 20 cm de ancho (E140) que cubrió de manera general el área representada en la excavación (18.50 m s.n.m.). Probablemente este evento ocurrió poco tiempo después de la deposición de E142. Fue de E140 que un gran pozo fue excavado (E135). E135 es un pozo irregular con un diámetro aproximado de un metro y llega a cortar a E136, E138 y E140. Fueron recuperados del elemento una alta cantidad de tiestos de gran tamaño, pocas cantidades de piedras, concha, y ceniza. Este pozo es semejante a los elementos de terminación hallados en la Operación A de la temporada 2012 (Brzezinski et al. 2012). Estos pozos fueron excavados al final de la fase Chacahua y fueron rellenados casi completamente con cerámicas quebradas de manera intencional, y posiblemente representen de manera alegórica una terminación del sitio. A pesar de que E135 no fue excavado de la última capa relacionada con la ocupación del Formativo, lo que sugeriría que

fue hecho al final de la ocupación, creemos que puede relacionarse con el comienzo de dichas actividades.

Por encima de E140, el límite sur de las unidades 2W y 3W, se halló un depósito delgado de coluvión, compuesto de arena gruesa con inclusiones de gravilla y concha (E145). Depósitos similares de coluvión se han hallado en el sur de la Operación A en 2012 (p. ej. E57, E58, E66, E75), como también depósitos de coluvión más gruesos en la Operación B en 2013 (ver Capítulo 3). Estos depósitos son indicadores indirectos de que en la Estructura 2, al este del sitio, ya no se estaban realizando trabajos de mantenimiento para este momento, lo cual provocó la erosión del edificio, favoreciendo la formación de coluvión en esta área. Una pequeña capa con una considerable cantidad de tiestos grandes (E146) se halla a 10 cm al oeste de E145. Es posible que este depósito se hallara dentro de un pozo o simplemente era un pequeño tiradero; siendo semejante a algunos elementos de terminación que hemos encontrado (en pozos o tiraderos) en otras partes del sitio.

Después de la deposición de E145 se colocaron dos capas de relleno (E130, E73) separadas por una delgada capa de desecho ocupacional (E131). E131 es una capa de coluvión que muestra laminaciones, lo que indica que fue el resultado de más erosión proveniente de la Estructura 2. E73 fue la última capa colocada durante el Formativo (ver Brzezinski et al. 2012). Ésta es muy similar en consistencia y grosor (35 cm) a E130, lo que indica que probablemente ambas hayan sido parte del mismo evento de construcción; quizás separados por un breve episodio de erosión. Juntando ambas capas, los pobladores de Río Viejo elevaron por última vez el nivel de la superficie unos 70 cm en promedio.

Varios pozos fueron excavados de este último nivel (E133, E134, E143). E133 tenía una profundidad aproxima de 35 cm y fue rellenado con una alta cantidad de tiestos grandes, concha, piedras, bajareque y huesos. Este elemento es cortado por la mitad por otro pozo (E134). E134 fue

rellenado en dos partes: la primera deposición consiste en un relleno no consolidado de arcillas, ningún artefacto fue recuperado (E134-s2); la segunda deposición es un sedimento orgánico que contuvo una significativa cantidad de artefactos, muy similar al de E133, pero se halla más compacto (E134-s1). Los contenidos de E133 y 134 fueron muy similares y ambos presentaron una mayor cantidad de material orgánico en comparación con la mayoría de los elementos de terminación. Sin embargo, consideramos que estos elementos representan basureros. El último pozo excavado sí corresponde a un elemento de terminación (E143). El relleno de éste se distingue de los de E133 y E134 por no presentar un sedimento orgánico y por contener casi enteramente tiestos grandes, los cuales parecen haber sido quebrados de manera intencional.

2.3.2 Fase Yuta Tiyoo

Después del abandono de la Acrópolis al final de la fase Chacahua, el sitio no fue vuelto a ser ocupado de manera importante hasta el Clásico Tardío, fase Yuta Tiyoo. Esta ocupación se representa en las unidades 1W, 2W, 3W y 2X, por una menor actividad constructiva en comparación con la del Formativo. Los pobladores del Clásico Tardío comenzaron las labores de construcción elevando el nivel de la superficie cerca de medio metro; para esto colocaron capas medianamente gruesas de relleno no consolidado.

Por encima de la última capa relacionada con el Formativo se halla E91-s1 (40 cm de grosor) que consiste en migajón limo arcilloso con inclusiones de concha y bajareque. Dos entierros fueron relacionados con E91 (Ent107-I119 y Ent106-I118) (Fig. 2.7, 2.8). Ent107-I119 es un entierro excavado, pobremente conservado, puesto en posición sentada con las piernas y brazos cruzados, mirando hacia el norte. En la mano izquierda llevaba una vasija intacta. Los límites del pozo del entierro no pudieron ser claramente definidos (E139). Creemos esto se debe a que la fosa fue rellenada con la redepositación de E91. Una situación semejante ocurrió con el relleno de la fosa para Ent106-I118 (E137). Éste último

comprende de un elemento parcialmente excavado, del cual solamente se recuperó el cráneo, pobremente conservado, que se encontraba por debajo de una vasija puesta boca bajo. El resto del entierro queda en los límites de la unidad no excavada de 1X. La distancia entre ambos entierros fue de unos pocos centímetros, lo cual posiblemente sugiere que hayan sido parte del mismo evento.

El último estrato del Clásico Tardío en las unidades 1W, 2W, 3W y 2X fue una capa medianamente gruesa de desecho ocupacional (E1-s1) que cubrió a E91. E3-s1 contuvo cerámica de la fase Yuta Tiyoo, así como de la fase Yugüe del periodo Posclásico Temprano. E1-s1 consiste en una capa de migajón limo arcilloso con gravilla, muy compacto, con desarrollo de suelo, el cual hoy en día comprende el nivel de superficie actual.

2.4 Historia ocupacional de las unidades 5E, 2F, 4F, 5F, 3G, 4G y 5G

El bloque al centro de la operación se integra por siete unidades de excavación (5E, 3F, 4F, 5F, 3G, 4G, 5G) (Figura 2.9, 2.10, 2.11). No todas fueron excavadas a la misma profundidad, lo cual dependió de los elementos encontrados. Las unidades al este del bloque (3F, 3G) son las más profundas con una altitud de 19.10 m s.n.m., mientras que las unidades al oeste llegan a los 19.60 m s.n.m. Los rellenos culturales más antiguos corresponden al Formativo Terminal Tardío, fase Chacahua. De éstos se excavaron alrededor de 20 cm, con la excepción de un probable elemento de terminación que tuvo una profundidad de 90 cm (E154). La poca exploración de elementos del Formativo en esta área se debió a que el objetivo principal era la localización de elementos asociados con un gran grupo de ofrendas de la fase Yuta Tiyoo que ha sido parcialmente excavada en 2009 y 2012. Estas ofrendas comprenden tres vasijas de entierro, varios entierros y un depósito de hueso quemado. Por encima de la ocupación de la fase Chacahua se hallan los rellenos del Clásico Tardío. Varias de las ofrendas del Clásico fueron puestas justamente encima de los depósitos formativos y cubiertas inmediatamente. Por lo tanto, la primera superficie ocupacional del Clásico comprendería la parte superior de los rellenos que cubrieron las

ofrendas. Durante las excavaciones del 2009 un elemento de piedra fue hallado justo en los límites de la unidad 5F (E159). Con las excavaciones de este año el elemento pudo ser expuesto casi en su totalidad y probablemente se trate de un componente más del conjunto de ofrendas. Una pequeña ofrenda (E157) constituida por un par de copas y platos fue hallada cerca de E159. Éstas son similares a algunas de las piezas recuperadas al pie de las vasijas de entierro en las excavaciones de 2009 y 2012. Por otra parte, un entierro se halló en el mismo relleno que cubrió las copas y los platos (Ent110-I122). Probablemente éste se pueda relacionar con los hallados en la unidad 2X, al norte de la operación. Por encima del último relleno del Clásico se halla la superficie moderna.

2.4.1 Fase Chacahua

En el bloque de las unidades 5E, 3F, 4F, 5F, 3G, 4G, 5G solamente se exploraron los últimos rellenos colocados durante el Formativo. E156 es la capa más temprana excavada, la cual consiste en una delgada capa de arena gruesa de color amarillento, medianamente compacta (18.90 m s.n.m.). Es probable que E156 se trate de un piso debido a su distintivo tipo de sedimento. Sin embargo, por su poca exploración no podemos asegurarlo. Por encima de E156 se haya una delgada capa de basura que consistió principalmente en sedimento muy orgánico y una alta concentración de concha (E153). E153 no se halla dentro de ningún pozo, lo que indica que fue arrojado simplemente sobre E156.

Después de la formación de E153, el área fue cubierta por un sedimento limo arenoso con inclusiones de concha (E12-s1). E12-s1 es una capa identificada desde las excavaciones de 2011, en la que fue registrada como un relleno no consolidado. Sin embargo durante 2012, en donde se realizaron excavaciones más extensas, se consideró que probablemente haya sido formado por procesos erosivos provenientes de la Estructura 2. Esto indica que las tareas de mantenimiento al este de la Estructura 2 fueron abandonadas durante este periodo, lo cual posiblemente se pueda relacionar con la formación de E131 o E145 en las unidades al norte de la operación (1W, 2W, 3W y 2X).

Al final de la ocupación de la fase Chacahua los pobladores de Río Viejo colocaron un último relleno, el cual consiste en una capa de migajón limo arcilloso con inclusiones de concha de aproximadamente 20 cm de grosor (E11). Es de esta capa que dos pozos fueron excavados (E154 y E155). Probablemente éstos correspondan a elementos de terminación, ya que cerca de la totalidad de los artefactos recuperados comprenden de tiestos de gran tamaño. E154 corresponde a un pozo de al menos 90 cm de grosor. El elemento no fue excavado en su totalidad debido a que se halló cerca de los límites de la unidad 3F. E154 comprende de dos sub-estratos (E154-s1, s2). La capa superior, E154-s1, se distingue de E154-s2 por ser más compacta y contener tiestos de menor tamaño. Probablemente esta diferencia se deba a que la parte superior del pozo fue expuesta a mayores alteraciones debido a su proximidad con la antigua superficie ocupacional. Por otro lado, E155 es un pozo poco profundo (aprox. 20 cm), pero abarca una extensión de al menos 2 m de ancho. El elemento tampoco fue excavado en su totalidad. E154 y E155 son elementos que pueden ser correlacionados con aquellos pozos excavados desde la última capa formativa identificada en el bloque al norte de la Operación A de 2013. Estos elementos representan las últimas actividades llevadas a cabo por los pobladores de Río Viejo en la Acrópolis antes de su abandono alrededor de 250 d.C.

2.4.2 Fase Yuta Tiyoo

Después del abandono de la Acrópolis al final de la fase Chacahua, el sitio no fue vuelto a ser ocupado de manera importante hasta el Clásico Tardío, fase Yuta Tiyoo. Esta ocupación se caracteriza en el área de las unidades 5E, 3F, 4F, 5F, 3G, 4G, y 5G, por una menor actividad constructiva en comparación con la del Formativo. Sin embargo, un gran grupo de ofrendas ha sido excavada en el área de la Operación A en 2009, 2012, y 2013. Los datos demuestran que la primera actividad del periodo Clásico Tardío fue la colocación de las distintas ofrendas. Las excavaciones de 2009 y 2012 expusieron varios de estos elementos: tres grandes vasijas, cada una con un entierro dentro; varias vasijas de un

tamaño normal colocadas alrededor de las vasijas más grandes; varios entierros formales colocados sobre la antigua superficie formativa; un depósito grande de hueso humano cortado y quemado; una alineación de piedras; y dos estelas lisas (Brzezinski et al. 2012).

Durante la temporada de campo 2013 se expusieron más elementos de esta ofrenda. El primero de ellos es un grupo de seis lajas (aprox. 50 x 40 cm) que fueron colocadas de maneras verticales y horizontales (E159) (Fig. 2.12, 2.13). Este grupo de lajas había sido parcialmente expuesto durante las excavaciones de 2009, donde una de las lajas se halló por debajo de una de las vasijas de entierro. Durante las excavaciones de este año el elemento fue expuesto en su totalidad. Al oeste de E159 se halla una pequeña capa de migajón limo arcilloso con inclusiones de concha que parece tratarse de E8-s1, una capa identificada durante las excavaciones de 2011. Pocos centímetros al noreste de E159 se halló E157, una ofrenda de dos copas y dos platos intactos, asociados con una falange de pie humana, que descansaban sobre E155 (Fig. 2.14, 2.15). Estas vasijas son semejantes a otras encontradas en la base de las vasijas de entierro. Su hallazgo quizás pudiera indicar que en algún momento otra vasija de entierro pudo hallarse por encima de la pequeña ofrenda, la cual por algún motivo fue removida. Desafortunadamente, nuestra suposición no puede ser corroborada debido a la falta de evidencia estratigráfica que pudo haber dejado dicho evento. La última ofrenda se trata de un entierro (Ent110-I120) (Figura 2.16). El entierro no fue excavado debido a que se halló en los límites de la unidad 4F. Sin embargo, pudimos reconocer que se trataba de un entierro medianamente preservado con una orientación noreste-sudoeste. Del entierro únicamente se expusieron la parte baja de lo que fueron ambas piernas (tibia, peroné y basípodos).

Al igual de lo que se pudo documentar en las excavaciones de 2009 y 2012, la ofrenda fue cubierta rápidamente con una secuencia de tres capas de relleno no consolidado: E8-s1, E7, y E3-s2. Si bien, las tres capas comprenden distintos tipos de sedimentos, su colocación bien pudo haber sido simultánea,

ya que en éstas se hallan las ofrendas del Clásico que sirvieron para dar principio a la ocupación. Una pequeña vasija intacta fue identificada en E7, la cual se halló a unos 15 cm debajo de E3-s2 (Fig. 2.17, 2.18). E3-s2 fue cubierta por una capa medianamente gruesa de desecho ocupacional (E1-s1), de la cual se recuperaron tiestos de la fase Yugüe y de fases previas. E1-s1 consiste en una capa de migajón limo arcilloso con gravilla, muy compacto, con desarrollo de suelo, el cual hoy comprende el nivel de superficie.

2.5 Conclusiones

Las excavaciones en la Operación A fueron satisfactorias conforme a los objetivos delineados. La exploración al norte de la operación (unidades 1W, 2W, 3W y 2X) ayudó a corroborar la hipótesis sobre el sistema de construcción de la plataforma asociada con el desagüe, siendo éste caracterizado en dos distintos eventos. El primero consistió con una versión inicial del elemento en el cual el desagüe se hallaba por debajo de la superficie de ocupación representada por una serie de delgados pisos y rellenos no consolidados. Cuando los pobladores de Río Viejo volvieron a modificar el espacio, haciendo de la primera versión del desagüe un elemento no útil, fue cuando las labores de reelaboración de la plataforma y el desagüe tomaron lugar. La segunda versión, en términos constructivos, es muy semejante a la primera. Sin embargo, ésta se halla en una pobre condición de preservación, probablemente por el reuso de los materiales para la construcción de una subsecuente plataforma. Fue hasta que esta última versión del desagüe y la plataforma entró en desuso que fueron cubiertos finalmente con el relleno retenido por la última edificación del Formativo en esta área. Esta construcción indica que las actividades constructivas aún continuaron cerca del final de la fase Chacahua.

Como parte complementaría a los objetivos de la operación, la identificación de más elementos de terminación –pozos que fueron rellenados con una excepcional cantidad de cerámicas quebradas

intencionalmente- refuerza la idea de que estos elementos fueron realizados a una gran escala justo antes del colapso de Río Viejo en el Formativo Terminal Tardío. Los pobladores de Río Viejo crearon dichos elementos con el fin de representar en una manera simbólica el “fin” o “terminación ritual” de la Acrópolis.

Mientras tanto, las excavaciones del bloque al centro de la operación (unidades 5E, 3F, 4F, 5F, 3G, 4G, 5G) ayudó a delimitar la extensión y forma del gran grupo de ofrendas del Clásico Tardío. La recuperación de una concentración de cuatro vasijas durante estas excavaciones puede haber indicado que efectivamente una cuarta vasija de entierro fue colocada y que en algún momento tuvo que ser removida.

Figura 2.1. Mapa de la operación A.





Figura 2.2. Perfiles del bloque de excavación norte (unidades 1W, 2W, 3W, 2X) (1ra parte).

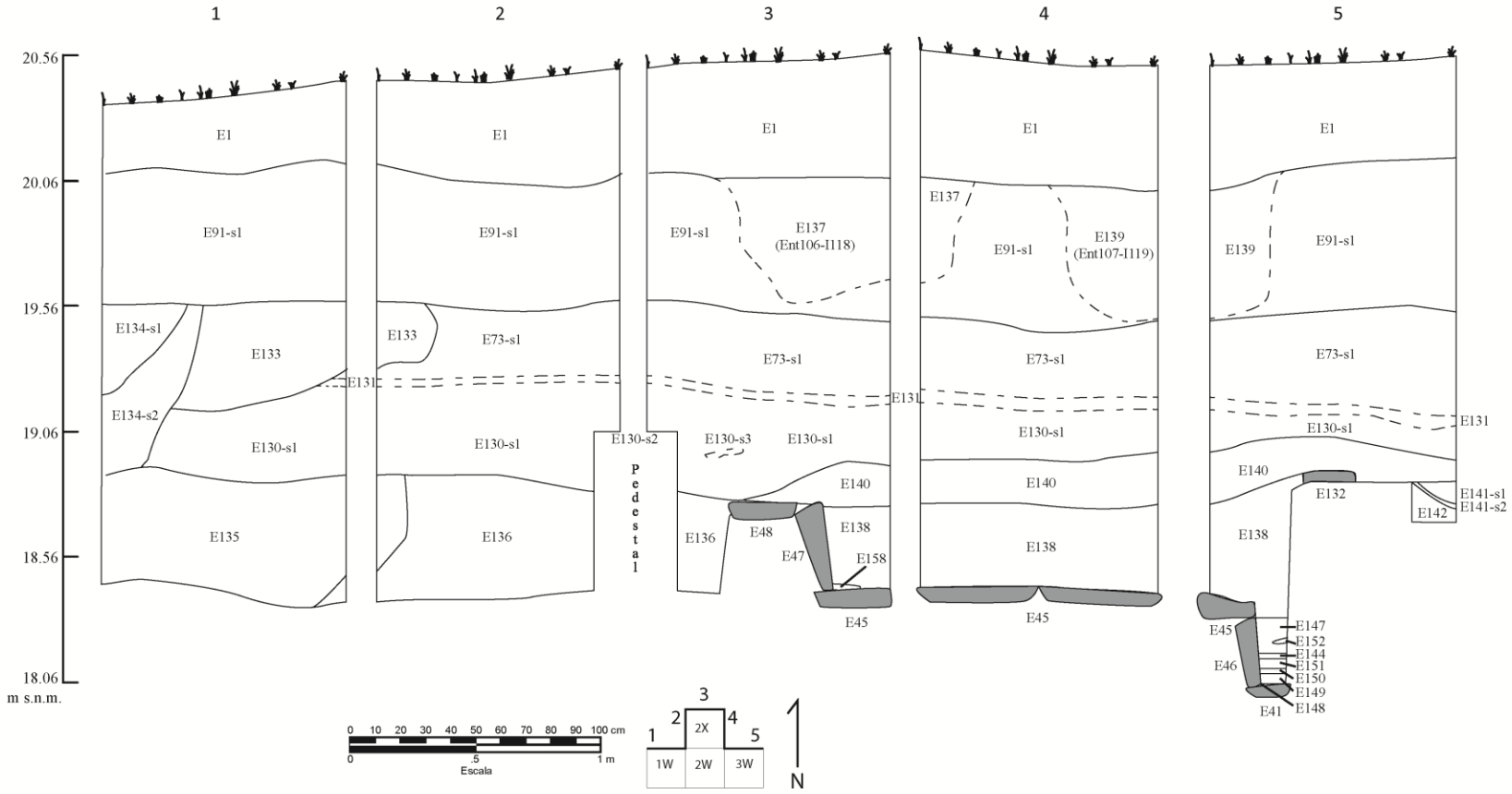


Figura 2.3. Perfiles del bloque de excavación norte (unidades 1W, 2W, 3W, 2X) (2da parte).

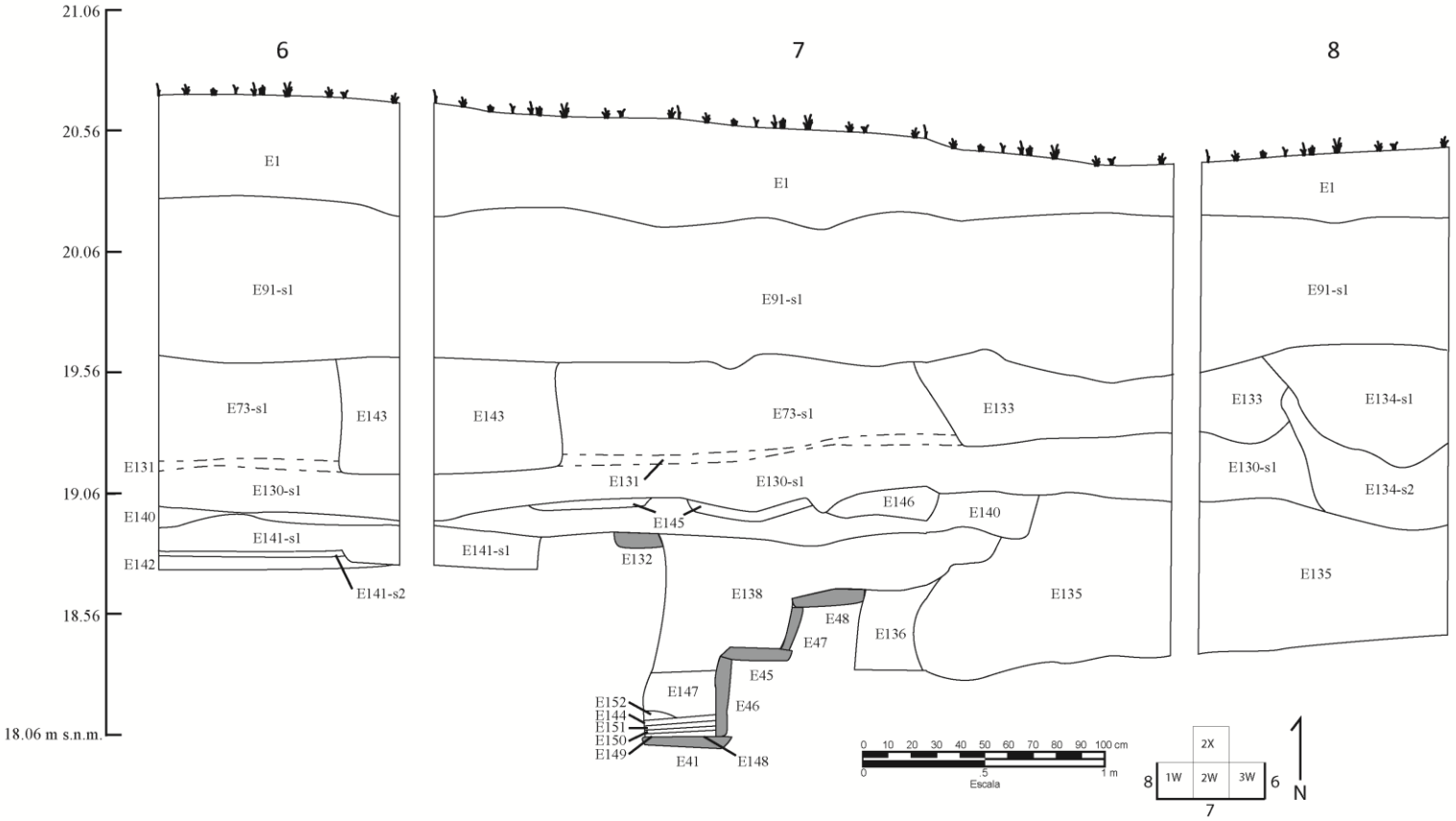


Figura 2.4. Dibujo de planta de la primera y segunda versión de la plataforma asociada con el desagüe en el bloque de excavación norte.



Figura 2.5. Primera y segunda versión de la plataforma asociada con el desagüe en el bloque de excavación norte, unidades 2W, 3W y 2X.



Figura 2.6. Diagrama de la primera y segunda versión de la plataforma asociada con el desagüe (basado de Brzezinsky et al. 2012) (Dibujo sin escala).

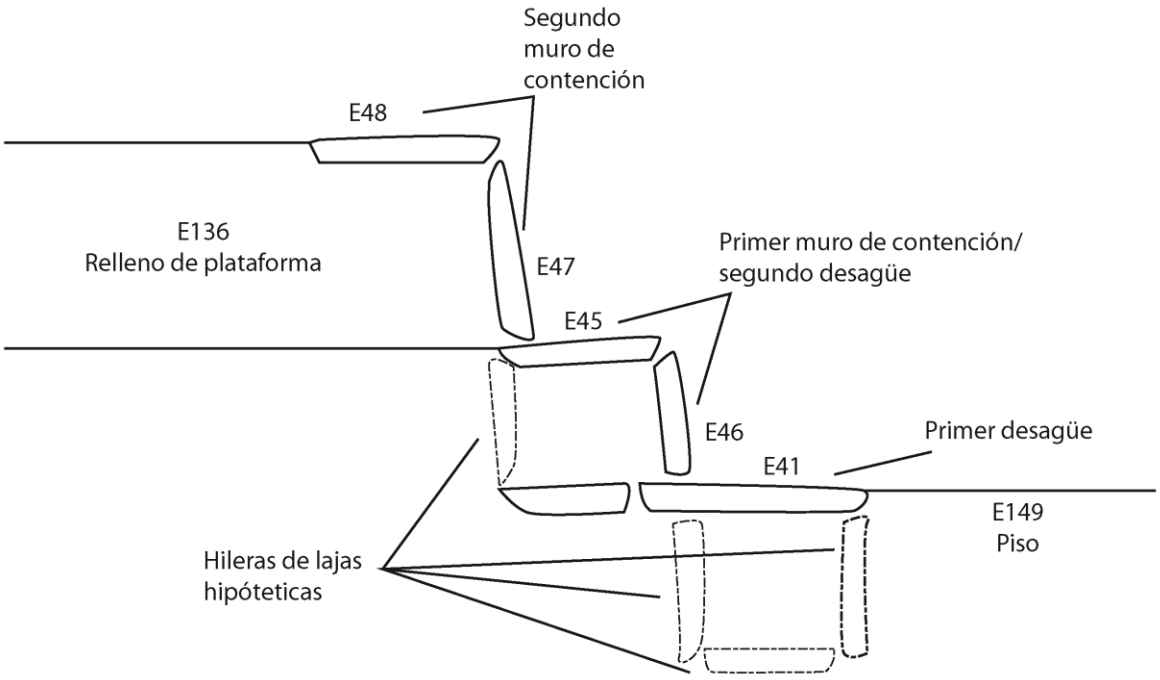


Figura 2.7. Ent107-I119, unidad 2X. Individuo sentado sosteniendo un par de vasijas.



Figura 2.8. Ent106-I118, unidad 2X. El individuo tuvo una vasija sobre la cabeza.



Figura 2.9. Perfiles del bloque de excavación sur (unidades 5E, 3F, 4F, 5F, 3G, 4G, 5G) (1ra parte).

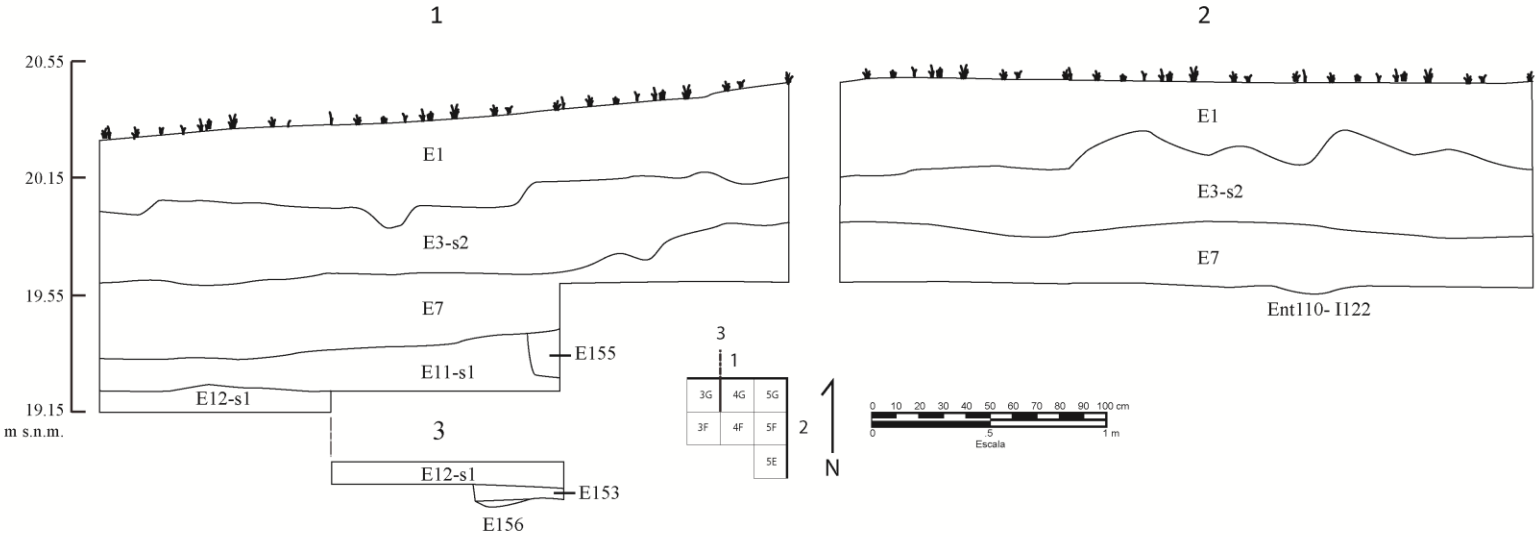


Figura 2.10. Perfiles del bloque de excavación sur (unidades 5E, 3F, 4F, 5F, 3G, 4G, 5G) (2da parte).

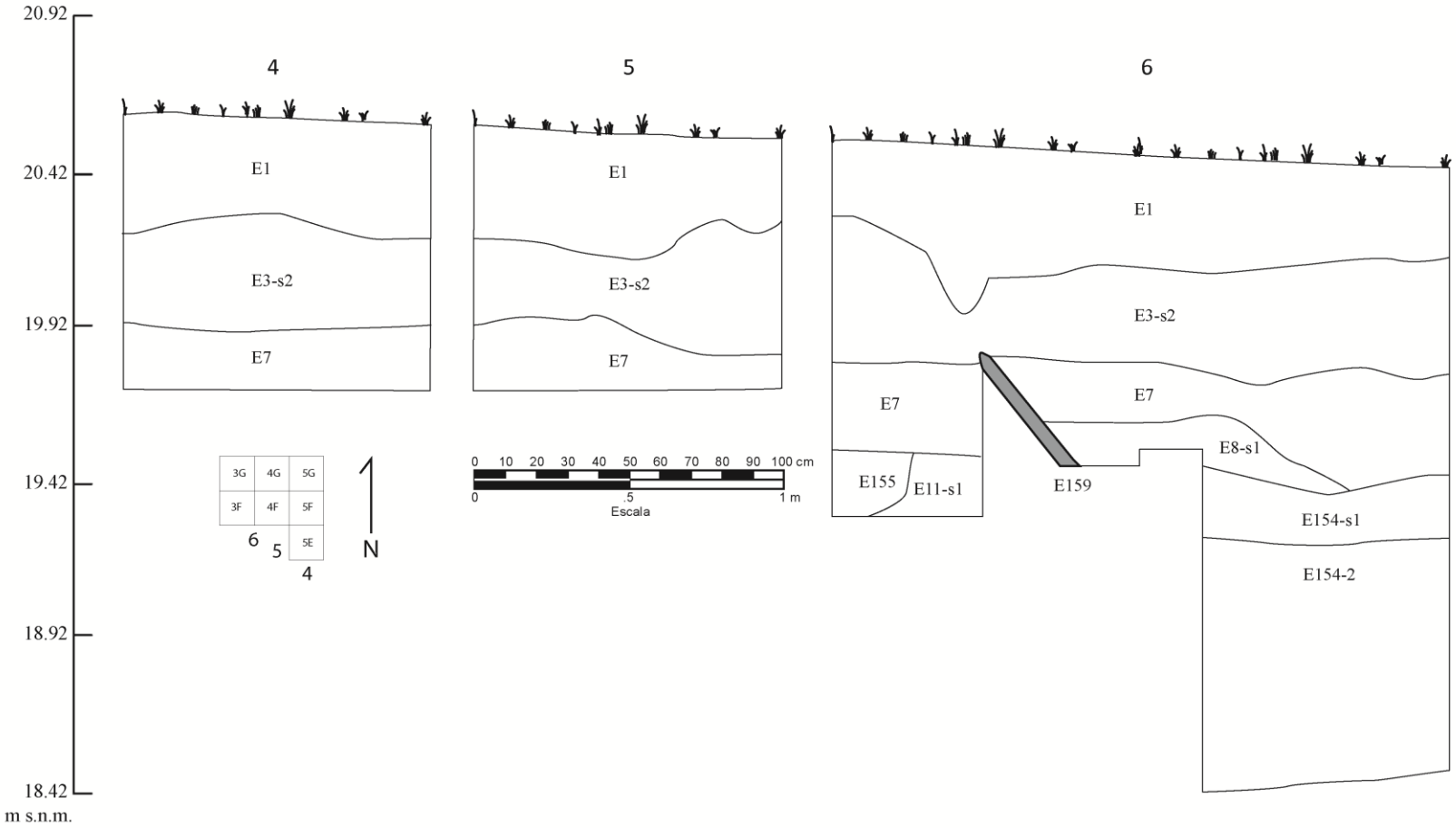


Figura 2.11. Perfiles del bloque de excavación sur (unidades 5E, 3F, 4F, 5F, 3G, 4G, 5G) (3ra parte).

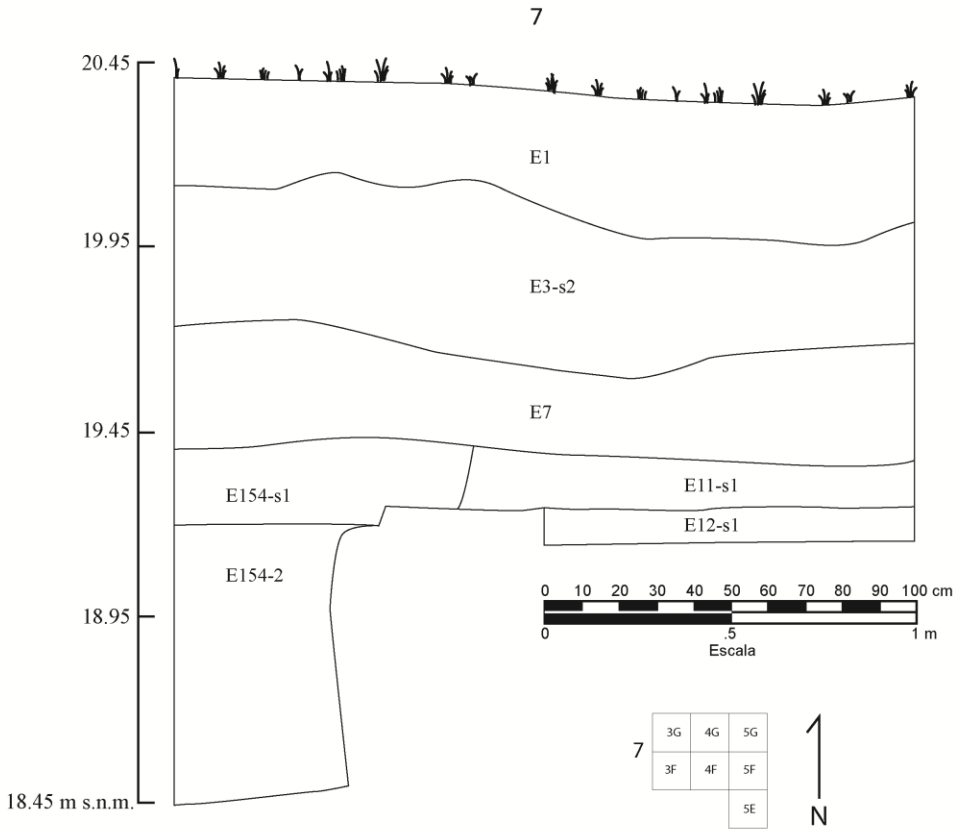


Figura 2.12. Dibujos de planta y perfil de las piedras (E159) asociadas con la ofrenda del Clásico Tardío.

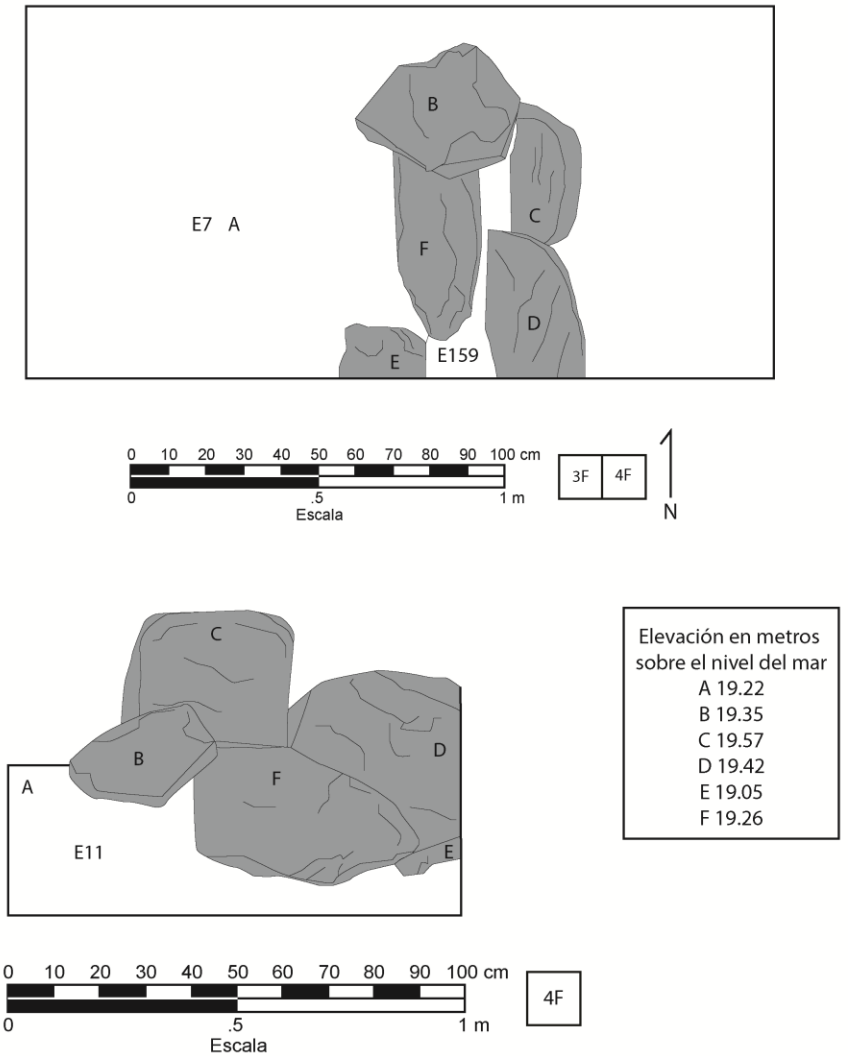


Figura 2.13. Piedras (E159) asociadas con la ofrenda del Clásico Tardío (E157), unidades 3F y 4F.



Figura. 2.14. Dibujo de planta de la ofrenda del Clásico Tardío que comprende de dos platos y dos vasos (E157).

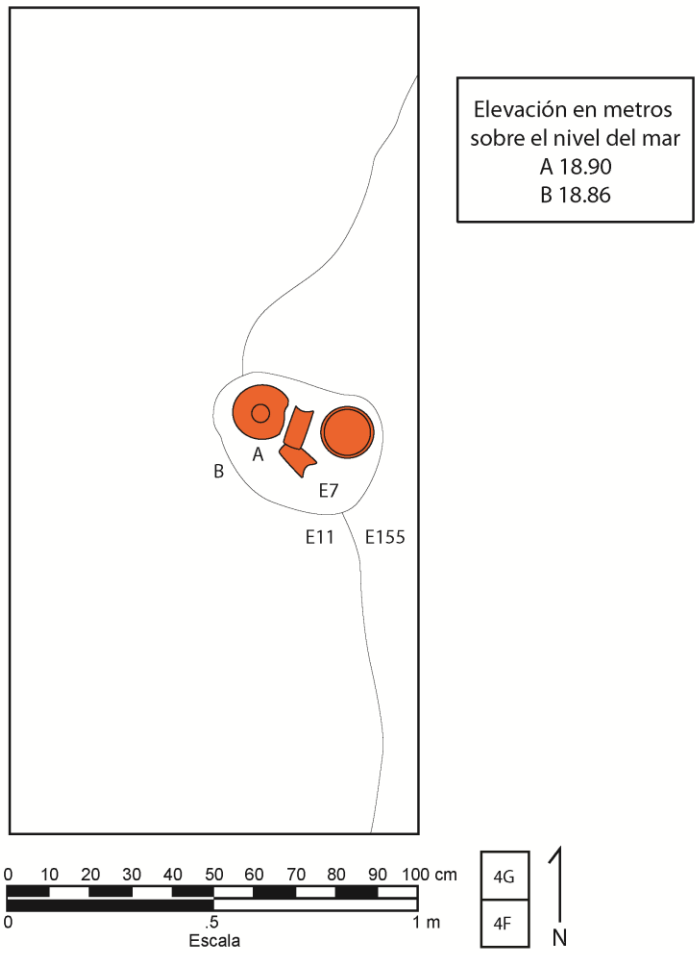


Figura 2.15. Ofrenda del Clásico Tardío que comprende de dos platos y dos vasos, unidades 4F y 4G (E157).



Figura 2.16. Ent110-I122, unidad 4F. Del entierro sólo se representan los huesos de las piernas.



Figura 2.17. Dibujo de cerámica intacta puesta junto con E7, unidad 5E.

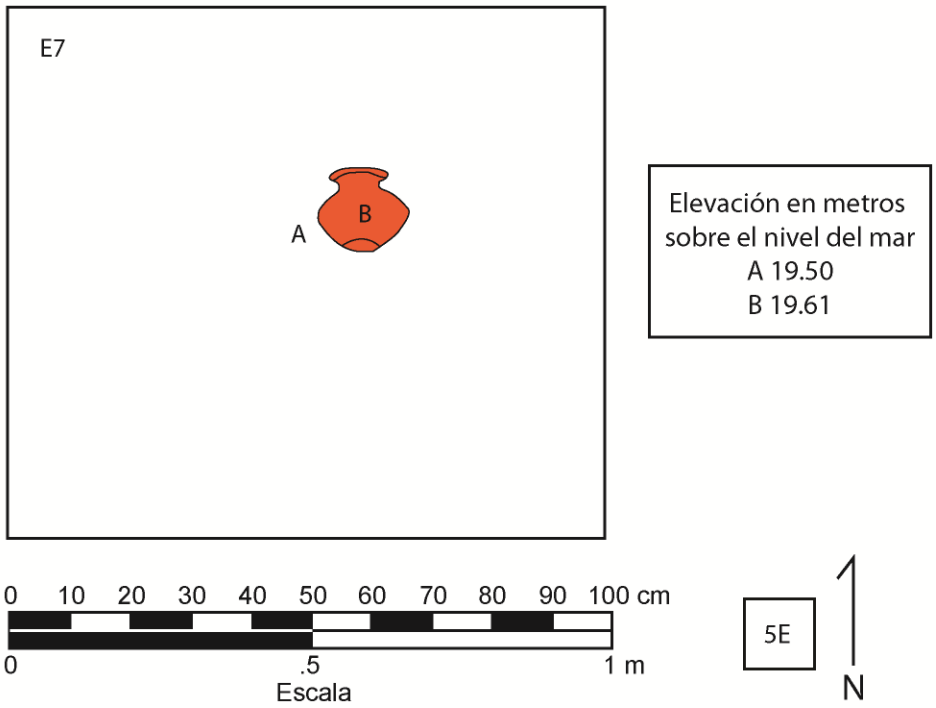


Figura 2.18. Cerámica intacta puesta junto con E7, unidad 5E.



CAPÍTULO 3 - Excavaciones de la Operación B

Víctor E. Salazar Chávez
Cuauhtémoc Vidal-Guzmán

3.1 Introducción

La Operación B consistió en un transecto de 10 m, localizado entre las operaciones PRV13 A y PRV13 F (Fig. 3.1). El objetivo fue relacionar los elementos arquitectónicos, pertenecientes a la fase Chacahua, descubiertos en ambas operaciones durante las excavaciones de 2012. En el norte de la Operación A se halló una plataforma baja asociada con un desagüe (ver Brzezinski et al. 2012; ver Capítulo 2), mientras que en la Operación F se encontraron varias plataformas y muros de piedra que forman parte del cuerpo de varios montículos (ver Hill y Villanueva Ruíz 2012; ver Capítulo 4).

La información obtenida de las excavaciones de la Operación B ayudó a aumentar nuestro conocimiento acerca de los elementos arquitectónicos en el norte de la Operación A. También arrojó nueva información acerca de la breve ocupación del sitio durante el Posclásico Temprano, fase Yugüe. Sin embargo, no se pudo esclarecer de manera satisfactoria la relación entre los elementos arquitectónicos de las operaciones A y F. Es por esto que la Operación B debe verse más como una extensión de las excavaciones de la Operación A en 2009, 2012 y 2013.

3.2 Metodología

La metodología utilizada sigue los procedimientos ya establecidos en los proyectos anteriores del bajo Río Verde (ver Barber y Joyce 2011, 2012; Joyce 1991, 1999; Joyce y Levine 2009; Joyce et al. 1998). El transecto inicia al norte de la última unidad no excavada de la Operación A (unidad 1Z). Las excavaciones se realizaron en unidades de 1 x 1 m, cada cuatro metros de distancia. Cuando algún

elemento impidió continuar las excavaciones, se tomó la decisión de expandir las unidades. El transecto corre de sur a norte, comenzando con la unidad MU1 y finalizando con 46K. La numeración asciende de oeste a este y la asignación de las letras de sur a norte. Se decidió comenzar la numeración de las unidades con un número alto para que en futuras excavaciones no se obtengan números negativos. Se excavó en lotes arbitrarios de 5 ó 10 cm. Cuando se distinguieron estratos diferentes se excavaron en lotes separados. En las unidades donde ya se conocía la estratigrafía se excavó por capas culturales. Se utilizaron cribas con una malla de 5 mm. Los materiales recuperados fueron separados por materia prima y se les asignó un número FS individual. Cada elemento reconocido durante las excavaciones fue fotografiado y dibujado a una escala de 1:10. Se tomaron muestras de sedimento para análisis de flotación de 10 litros de los basureros y superficies ocupacionales. Para los entierros se les asignó un número específico de entierro e individuo, siguiendo la numeración de las temporadas anteriores.

Tabla 3.1. Lista de las capas estratigráficas de la Operación B.

Número de Estrato	Unidades	Descripciones de Munsell y Sedimento	Fecha Probable	Proceso de Formación	Comentarios
E1-s1	MU1	Limo arcilloso, 10YR 3/2, café grisáceo muy oscuro. Contiene inclusiones de grava.	Fase Yugüe o moderno	Suelo moderno	Formación de suelo moderno en desecho ocupacional del Posclásico temprano o más reciente. Sedimento grumoso, con una alta concentración de tiestos de cerámica. E1-s1 se puede correlacionar con E1-s1 de la operación A (Brzezinski y Aguilar 2011; Brzezinski et al. 2012; Salazar Chávez y Vidal-Guzmán 2013a).
E1-s2	45G, 46K	Limo arcilloso (mayor contenido de arcillas), 10YR 3/2, café grisáceo muy oscuro. Contiene inclusiones de grava.	Fase Yugüe o moderno	Suelo moderno	Formación de suelo moderno en desecho ocupacional del Posclásico temprano o más reciente. Se diferencia de E1-s1 por ser un sedimento más arcilloso y compacto. El suelo probablemente se desarrolló de E3.

E1-s3	MU1	Limo arcilloso, 10YR 2/1, negro.	Fase Yugüe o moderno	Suelo moderno	Nivel de superficie. El sedimento se distingue por una coloración más oscura que E1-s1 y por ser más compacto.
E2	46K	Arcilla arenosa, 10YR 4/3, café. Contiene inclusiones de concha y gravilla.	Fase Yugüe	Relleno de fosa	La delineación de la fosa no es clara. Contiene una concentración alta de tiestos de cerámica de tamaño mediano.
E3	45G, 46K	Limo arcilloso (mayor contenido de arcilla), 10YR 5/4, café amarilloso.	Fase Yugüe	Relleno constructivo	Contiene una gran concentración de tiestos de cerámica. La capa se levanta sobre una gran concentración de cerámicas de gran tamaño del Posclásico Temprano. Probablemente resultado de la ubicación de alguna vivienda.
E4	MU1	Migajón limo arcilloso, 10 YR 5/4, café amarilloso. Contiene inclusiones de concha.	Yuta Tiyoo	Relleno constructivo	Contiene una alta concentración de cerámica erosionada y un poco de adobe. Posiblemente un basurero redepositado.
E5-s1	45G, 46K	Limo arcilloso (mayor contenido de arcillas), 10YR 4/3, café. Contiene inclusiones de concha y gravilla.	Yuta Tiyoo	Relleno constructivo	Primer relleno del Clásico en 45G y 46I. En 45G está dividido en varios subestratos. Probablemente se trate de un relleno análogo a E6 en MU1. Los sub-estratos representan variación en la fuente de relleno.
E5-s2	45G	Limo arcilloso (mayor contenido de arcillas), 10YR 5/2, café grisáceo.	Yuta Tiyoo	Relleno constructivo	
E5-s3	45G	Limo arcilloso, 10YR 5/2, café grisáceo. Contiene delgadas capas de arena.	Yuta Tiyoo	Relleno constructivo	Contiene una gran concentración de grava y tiestos de cerámica.

E5-s4	45G	Limo arcilloso, 10YR 4/4, café amarilloso oscuro. Contiene inclusiones de mica, arena y gravilla.	Yuta Tiyoo	Relleno constructivo	
E6	MU1	Migajón limo arcilloso, 10 YR 5/4, café amarilloso. Contiene inclusiones de concha.	Yuta Tiyoo	Relleno constructivo	Primer capa de relleno del Clásico Tardío en MU1. Se relaciona con E8-s1 de la operación A.
E7	MU1	Migajón limo arcilloso, 10 YR 5/4, café amarilloso. Contiene inclusiones de concha y gravilla.	Chacahua Tardío o Coyuche	Relleno de Pozo	El pozo fue cortado desde E8 al nivel de E16-s3, quizás para minar sedimento.
E8	MU1	Limo arcilloso, 10YR 5/3, café. Contiene inclusiones de concha, adobe y tepalcates.	Chacahua Tardío o Coyuche	Depósito coluvial	Última capa de sedimentación ocurrida antes de la reocupación de la acrópolis en el Clásico Tardío. Se distingue por ser una capa gruesa laminada con inclusiones de concha, adobe quemado y tiestos de cerámica. E8 se puede correlacionar con E9 de la unidad 45G y E10 de la unidad 46K.
E9	45G	Limo arcilloso, 10YR 5/3, café. Contiene inclusiones de concha, adobe y tepalcates.	Chacahua Tardío o Coyuche	Depósito coluvial	Última capa de sedimentación ocurrida antes de la reocupación de la acrópolis en el Clásico Tardío. Se distingue por ser una capa gruesa laminada con inclusiones de concha, adobe quemado y tiestos de cerámica.
E10	46K	Limo arenoso, 10YR 6/4, Café amarilloso claro. Contiene inclusiones de concha y gravilla.	Chacahua Tardío o Coyuche	Depósito coluvial	Última capa de sedimentación ocurrida antes de la reocupación de la acrópolis en el Clásico Tardío. Se distingue por ser una capa gruesa laminada con inclusiones de concha, adobe quemado y tiestos de cerámica.

E11-s1	MU1	Migajón arcillo arenoso, 10YR 5/3, café.	Chacahua	Depósito coluvial	Periodo erosivo ocurrido después de la colocación de E13. Las capas de sedimentaciones son muy similares a E16. Los sub-estratos diferentes representan variaciones en el tamaño de los sedimentos.
E11-s2	MU1	Limo arcilloso (mayor contenido de arcilla), 10YR 5/3, café. Contiene inclusiones de mica.	Chacahua	Depósito coluvial	
E12	MU1	Limo arcilloso, 10YR 5/4, café amarilloso. Contiene inclusiones de mica y concha.	Chacahua	Relleno constructivo	Relleno retenido por E13.
E13	MU1		Chacahua	Muro	Muro que desplanta sobre E16. Quizás sirvió para canalizar la sedimentación hacia el norte de la acrópolis.
E14-s1	45G	Limo arcilloso (mayor contenido de arcilla), 10YR 3/6, café amarilloso oscuro.	Chacahua	Depósito coluvial	E14 comprende una serie de capas laminadas de arenas y limo arcillosos formadas mediante procesos erosivos. Se ubican justo por encima del último relleno que cubre la plataforma y las dos versiones del drenaje. Se correlaciona con E15 y E16. Los diferentes sub-estratos representan variaciones en el tamaño de los sedimentos.
E14-s2	45G	Migajón arcillo arenoso, 10YR 5/3, café.	Chacahua	Depósito coluvial	
E14-s3	45G	Limo arcilloso (mayor contenido de arcilla), 10YR 5/3, café. Contiene inclusiones de mica.	Chacahua	Depósito coluvial	

E14-s4	45G	Migajón con arena fina, 10YR 4/4, café amarilloso oscuro. Contiene inclusiones de mica.	Chacahua	Depósito coluvial	
E15-s1	46K	Arcilla arenosa, 10YR 5/4, cafe amarilloso.	Chacahua	Depósito coluvial	E15 comprende una serie de capas laminadas de arenas y limo arcillosos formadas mediante procesos erosivos. Se ubican justo por encima del último relleno que cubre la plataforma y las dos versiones del drenaje. Se correlaciona con E14 y E16. Los diferentes sub-estratos representan variaciones en el tamaño de los sedimentos.
E15-s2	46K	Limo arcilloso, 10YR café amarilloso. Contiene inclusiones de concha.	Chacahua	Depósito coluvial	
E15-s3	46K	Migajón limo arenoso, 10YR 5/3, café. Contiene inclusiones de concha.	Chacahua	Depósito coluvial	
E15-s4	46K	Limo arcilloso (mayor contenido de arcilla), 10YR 5/4, café amarilloso. Contiene inclusiones de concha y gravilla.	Chacahua	Depósito coluvial	
E15-s5	46K	Limo arcilloso, 10YR 5/3, café.	Chacahua	Depósito coluvial	
E15-s6	46K	Migajón arcillo arenoso, 10YR 5/3, café.	Chacahua	Depósito coluvial	

E15-s7	46K	Limo arcilloso, 10YR 5/4, café amarilloso. Contiene inclusiones de concha y arena.	Chacahua	Depósito coluvial	
E15-s8	46K	Limo arcilloso, 10YR 6/3, café pálido.	Chacahua	Depósito coluvial	
E15-s9	46K	Arcillo arenoso, 10YR 5/3, café. Contiene inclusiones de gravilla.	Chacahua	Depósito coluvial	
E15-s10	46K	Arcillo arenoso, 10YR 5/3, café. Contiene inclusiones de concha.	Chacahua	Depósito coluvial	
E15-s11	46K	Migajón con arena fina, 10YR 4/4, café amarilloso oscuro. Contiene inclusiones de mica.	Chacahua	Depósito coluvial	
E16-s1	MU1	Migajón con arena fina, 10YR 4/4, café amarilloso oscuro. Contiene inclusiones de mica.	Chacahua	Depósito coluvial	E16 comprende una serie de capas laminadas de arenas y limo arcillosos formadas mediante procesos erosivos. Se ubican justo por encima del último relleno que cubre la plataforma y las dos versiones del drenaje. Se correlaciona con E14 y E15. Los diferentes sub-estratos representan variaciones en el tamaño de los sedimentos.

E16-s2	MU1	Limo arcilloso, 10YR 5/3, café. Contiene inclusiones de mica.	Chacahua	Depósito coluvial	
E16-s3	MU1	Migajón con arena fina, 10YR 4/4, café amarilloso oscuro. Contiene inclusiones de mica.	Chacahua	Depósito coluvial	
E16-s4	MU1	Migajón arcillo arenoso, 10YR 5/4, café amarilloso. Contiene inclusiones de concha.	Chacahua	Depósito coluvial	
E17-s1	45G	Limo arcilloso, 10YR 5/3, café. Contiene inclusiones de concha, gravilla, adobe quemado.	Chacahua	Relleno de fosa de entierro	Fosa donde se localiza el Ent108-I120. La fosa fue rellenada con lo que parece ser la redepositación de E18.
E17-s2	45G	Limo arcilloso, 10YR 4/3, café.	Chacahua	Relleno de fosa de entierro	Relleno por encima de E13-s1. Probablemente es parte de la misma deposición de E17-s1.
Ent108-I120	45G		Chacahua	Entierro humano	Entierro no excavado.
E18-s1	45G	Limo arcilloso, 10YR 4/2, café grisáceo oscuro. Contiene gran concentración de concha.	Chacahua	Relleno constructivo que incluyó material de un basurero redepositado y/o posible elemento de terminación	Rellenos constructivos que cubrieron por completo la segunda versión del desagüe y la plataforma después de su desuso en la unidad 45G. Sedimento orgánico con una gran concentración de cerámicas, hueso y concha.

E18-s2	45G	Limo arcilloso, 10YR 5/3, café. Contiene inclusiones de concha, mica, bajareque, carbón.	Chacahua	Relleno constructivo	Sedimento no orgánico mezclado con E18-s1. Poca concentración de materiales arqueológicos.
E18-s3	45G	Limo arcilloso, 10YR 5/4, café amarilloso.	Chacahua	Relleno constructivo	Sedimento más áspero que E18-s2, contiene una mayor concentración de arenillas.
E19-s1	MU1	Limo arcilloso, 10YR 4/2, café grisáceo oscuro. Contiene gran concentración de concha.	Chacahua	Relleno constructivo que incluyó material de un basurero redepositado y/o posible elemento de terminación	Rellenos constructivos que cubrieron por completo la segunda versión del desagüe y la plataforma después de su desuso en la unidad MU1. Sedimento orgánico con una gran concentración de cerámicas, hueso y concha. Se puede correlacionar con E18-s1.
E19-s2	MU1	Limo arcilloso, 10YR 6/3, café pálido. Contiene inclusiones de concha, ceniza y gravilla.	Chacahua	Relleno constructivo	Sedimento no orgánico mezclado con E19-s1. Poca concentración de materiales arqueológicos.
E20-s1	46K	Limo arcilloso, 10YR 5/3, café. Contiene inclusiones de concha, adobe quemado, hueso y cerámica.	Chacahua	Relleno constructivo	Última capa expuesta en 46I. El sedimento cubre la segunda versión de la plataforma. Contiene una importante cantidad de materiales que han sido expuestos al calor. Probablemente se trate de una capa análoga a E21.
E20-s2	46K	Migajón limo arcilloso, 10YR 5/4, café amarilloso.	Chacahua	Relleno constructivo	Capas delgadas de material áspero. Se encuentran entremezcladas con E20-s1.

E20-s3	46K	Limo arcilloso, 10YR 6/4, café amarilloso claro.	Chacahua	Relleno constructivo	Relleno con menor cantidad de inclusiones que E20-s1.
E24	MU1, 45G, 46K		Chacahua	Piedras horizontales (remate) encima de muro de contención	Estrato que refiere a las piedras por encima del muro de contención (E25). Se colocaron de manera que estabilizaron el muro de contención. Correlaciona con capa RV13A-E48.
E25	MU1, 45G, 46K		Chacahua	Muro de contención de piedra	Piedras careadas puestas de manera vertical para formar la segunda versión del muro de contención. El estrato se encuentra por encima de E26. Correlaciona con capa RV13A-E47.
E26	MU1, 45G		Chacahua	Desagüe de piedra	Piedras careadas puestas de forma horizontal para formar la tapa del segundo desagüe; descansan por encima de E27. Correlaciona con capa RV13A-E45.
E21	MU1, 45G	Limo arcilloso, 10YR 5/4, café amarilloso. Contiene inclusiones de mica y carbón.	Chacahua	Relleno no consolidado	Primer capa de relleno que cubrió la primera versión del drenaje. Se recuperó una gran concentración de adobe vitrificado, quemado y no quemado. Posiblemente E21 se relacione con E22 y E23.
E22	45G		Chacahua	Piso o superficie ocupacional quemada	Piso o superficie ocupacional quemada asociado con la primera versión del drenaje. Es probable que su formación sea la misma que E23. Parte de la superficie está vitrificada.
E23	MU1		Chacahua	Piso o superficie ocupacional quemada	Piso o superficie ocupacional quemada asociado con la primera versión del drenaje. Se diferencia de E22 por encontrarse a un nivel más bajo.
E27	MU1, 45G		Chacahua	Muro de contención y desagüe de piedra	Piedras careadas colocadas de manera vertical para formar el muro de contención original que iba por encima de la primera versión del desagüe. Después formó la cara este del segundo desagüe. Descansa sobre E28. Correlaciona con capa RV13A-E46.
E28	MU1		Chacahua	Desagüe de piedra	Piedras careadas puestas de manera horizontal para formar la tapa del primer desagüe. Correlaciona con capa RV13A-E41.

3.3 Sumario de excavación

El transecto B consistió en tres unidades de excavación, siendo éstas la Multi-unidad 1 que comprende de las unidades 44B y 44C (mitad sur) (Fig. 3.2), y las unidades 45G y 46K (Fig. 3.3, 3.4). Las unidades siguen la alineación de la plataforma asociada con el desagüe excavado en PRV12 A (sudoeste-noreste). Se decidió iniciar el transecto siguiendo este elemento debido a que previo a la excavación se mantenía un conocimiento más detallado de los elementos arquitectónicos hallados en la Operación A. Como se ha mencionado anteriormente, parte de los objetivos fue unir las excavaciones realizadas al centro y norte de la Acrópolis. Sin embargo, esto no pudo lograrse por cuestiones de tiempo. No obstante, las excavaciones arrojaron nueva información sobre los eventos ocurridos en el área después del desuso de la plataforma asociada con el desagüe y la breve ocupación del sitio durante la fase Yugüe.

La secuencia estratigráfica en las tres unidades de la operación es muy semejante. Esto crea una historia en común para toda el área explorada. Los depósitos más profundos corresponden a la plataforma asociada con el desagüe (E24, E25, E26, E27, E28). Este elemento fue hallado desde la unidad -1M de la Operación A hasta la unidad 46K del transecto B, dando una extensión mínima de 25 m. Esto lo hace uno de los elementos arquitectónicos más extensos excavados en la Acrópolis hasta el momento. Los depósitos hallados al mismo nivel que el desagüe, mostraron evidencia de haber sido expuestos a un calor intenso (E20, E21, E22, E23). Algunos de los depósitos se hallaban muy compactos debido al endurecimiento por el calor y contuvieron una excepcional cantidad de bajareque quemado y no quemado. Estos depósitos pudieran estar relacionados con las actividades que dieron fin a la utilización de la plataforma asociada con el desagüe. Después de este evento, los pobladores de Río Viejo sepultaron la antigua construcción con diferentes tipos de rellenos, consistiendo algunos de basureros que posiblemente se relacionen con elementos de terminación (E18, E19). Con la colocación de estas capas el nivel de la superficie quedó pocos centímetros por encima de la antigua plataforma.

Esta misma característica se presentó en las excavaciones de la Operación A, la cual estuvo asociada con la construcción de un nuevo muro por enfrente de la plataforma y el desagüe (ver Capítulo 2). En el transecto B no se pudo identificar parte de éste, u otro muro, lo cual creemos se debe a lo limitado de las excavaciones, siendo la mayoría unidades individuales de 1 x 1 m. Fue del nuevo nivel de la superficie que un entierro fue excavado (Ent108-I120), éste se halló en la unidad 45G. Ningún otro elemento fue relacionado con esta superficie.

Por encima de los rellenos que cubrieron a la plataforma y el desagüe se ubican una serie de depósitos coluviales (E14, E15, E16). El número de capas y el grosor de éstas varían en cada una de las unidades. Por tal razón, se tomó la decisión de darles un nuevo número de elemento, el cual corresponde a la unidad en que se hallaron. Hay que tomar en cuenta que aunque cada capa tenga un número de elemento distinto no significa necesariamente que se hayan formado bajo otras circunstancias. Las diferencias en la numeración se dan en razón a la dificultad de correlacionar las capas entre las unidades. Sin embargo, consideramos que éstas fueron formadas bajo las mismas condiciones. Los eventos que dieron origen a estas capas debieron de haber estado relacionados con la interrupción de las tareas de mantenimiento en el área, especialmente al oeste de la Estructura 2, lo cual resultó en eventos erosivos que favorecieron su deposición. Una probable berma –un muro de piedra para controlar y encauzar el flujo de agua y sedimento- fue identificada en la unidad MU1 (E13). Ésta fue colocada encima de una de las capas de coluvión (E16). La berma encauzó el agua y sedimento coluvial al norte y protegió el área al sur de la operación, donde encontramos la mayoría de los rituales de terminación. Por otra parte, las actividades en el área al norte de la berma se vieron interrumpidas, especialmente durante la temporada de lluvia, dada la evidencia de la formación de coluvión en esta parte del sitio.

A partir del colapso de la Acrópolis, al final de la fase Chacahua, se originó un gran periodo de erosión, el cual fue reconocido en todas las unidades de la Operación B (E8, E9, E10). El sitio no fue

vuelto a ser ocupado hasta el Clásico Tardío, fase Yuta Tiyoo, cuando los nuevos pobladores elevaron el nivel de la plataforma por lo menos unos 40 cm (E4, E5, E6,). A diferencia de los rellenos del Clásico en la Operación A, ninguna ofrenda u otro tipo de elemento fue identificado en el transecto. Probablemente esto indique que las ofrendas que dan principio a la ocupación del Clásico se restringen al área inmediata al oeste de la Estructura 2 y de que probablemente fue allí donde las personas realizaron la mayoría de sus actividades, siendo parte de los límites exteriores de este espacio el área representada por la operación. Por otro lado, en las unidades 45G y 46K se identificó una capa y un pozo que corresponden al Posclásico Temprano, fase Yugüe (E2, E3). Éstos se ubican por encima de las capas del Clásico, lo cual habla que hubo cierta continuidad en la ocupación del sitio desde la fase Yuta Tiyoo. Debido al tipo de cerámicas recuperadas del pozo, estos elementos pudieran estar relacionados con alguna unidad habitacional. La ocupación del Posclásico Temprano parece haber sido breve, ya que han sido pocos los elementos hallados en el sitio que han sido relacionados con este periodo (ver Arnaud et al. 2009; Egan y Barber 2012). La fase Yugüe representa la última ocupación prehispánica ocurrida en el área. Por encima de los rellenos del Posclásico se ubica el suelo moderno.

3.3.1 La fase Chacahua

La historia ocupacional de la operación inicia con las actividades llevadas a cabo con la primera versión de la plataforma asociada con el desagüe (para una descripción detallada de este elemento ver Brzezinski et al. 2012; Capítulo 2) (Figs. 3.5, 3.6, 3.7, 3.8, 3.9, 3.10). Este elemento está representado en la operación por la cubierta de la primera versión del desagüe (E28, que correlaciona con E41 de la Operación A), así como el muro de contención (E27, que correlaciona con E46 de la Operación A). Directamente al este de E28, en unidad MU1, se descubrió un posible piso quemado (E23) que probablemente corresponda con E22 en unidad 45G. Pensamos que es probable que estos pisos quemados correlacionen con los pisos asociados con la primera plataforma en la Operación A (E149, E151, o E152).

Cuando la primera versión del desagüe quedo en desuso fue cubierto casi por completo por un relleno que contuvo material constructivo, incluso adobe vitrificado, quemado y no quemado (E21; se relaciona con E147 de la Operación A). El espesor de esta capa varía entre las unidades. En la unidad 45G tiene un grosor aproximado de 25 cm, mientras que en la unidad MU1 apenas alcanza los 12 cm. Posterior a estos eventos se comenzó la construcción de la segunda versión de la plataforma y el desagüe. El muro de contención de la primera versión de la plataforma fue utilizado como el frente este del desagüe (E27) y una nueva cubierta fue colocada (E26 que se relaciona con E45 de la Operación A). E25 formó el nuevo muro de contención (E25 se relaciona con E47 de la Operación A) y E24 consistió en piedras por encima de E25, de modo que estabilizaron el muro (E24 se relaciona con E48 de la Operación A). .

Probablemente el material quemado recuperado de E21 hayan sido los restos de algún edificio asociado con la primera versión de la plataforma que se incendió intencionalmente como parte de una ceremonia de terminación. La vitrificación de la materia es un aspecto que solamente se presenta en materiales que han sido expuestos a temperaturas muy altas. En las excavaciones de la Operación A de 2000 y de la Operación D de 2012, se halló parte de una superestructura quemada (Arellano González 2012; Joyce et al. 2013; Rivas 2012); poco tiempo después de que el edificio fuera incendiado, la Acrópolis fue abandonada rápidamente. Estas causalidades plantean la idea de que cerca del final del Formativo los habitantes de Río Viejo pudieron haber realizado el incendio de las estructuras como una forma de darle fin a su vida útil. A pesar de que las actividades en el área continuaron después del desuso de la segunda versión de la plataforma y el desagüe; este elemento arquitectónico es la última construcción compleja identificada en el área. Las excavaciones en la unidad 46K solamente llegaron a exponer la segunda versión de la plataforma. .

Después del abandono de la segunda versión de la plataforma y el desagüe, cerca del final de la fase Chacahua, los pobladores de Río Viejo cubrieron la antigua construcción con un relleno de tierra no

consolidado. En la unidad más al norte, 46K, se halla un sedimento limo arcillo con inclusiones de concha que cubrió por completo la plataforma y el desagüe, y del cual también se recuperó una importante cantidad de materiales quemados (E20-s1). Estos materiales sugieren la posibilidad de la destrucción intencional de otro edificio asociado con la plataforma. E20-s1 se halla entremezclada con E20-s2 y E20-s3; E20-s2 se caracteriza por ser una capa delgada de migajón limo arcilloso de consistencia áspera, mientras que E20-s3 es un relleno similar a E20-s1 pero que contuvo una menor cantidad de inclusiones. En la unidad MU1 la plataforma y el muro están cubiertos por un basurero (E19-s1) entremezclado con relleno no consolidado (E19-s2). E19-s1 es un sedimento orgánico del cual se recuperó una alta concentración de cerámicas, hueso y concha; mientras que E19-s2 es una capa limo arcillosa con inclusiones de concha, ceniza y gravilla. A diferencia de otros basureros hallados en la Acrópolis (Arellano González et al. 2012; Brzezinski et al. 2012; Egan y Barber 2012), E19-s1 parece haber sido arrojado directamente sobre la plataforma y el desagüe, en vez de ser depositado en un pozo. Esto sugiere que los pobladores de Río Viejo aprovecharon cualquier tipo de material que estuviera accesible para cubrir la vieja construcción. Otra posibilidad es que E19-s1, al igual que varios estratos en la Operacíón F (por ejemplo, E83, E89, E90, E91) y los depósitos de desecho orgánico en los pozos excavado en las ultimas capas antes del abandono de la Acrópolis en la Operación A (E133, E134), represente algún elemento de terminación (ver Hutson y Stanton 2007). En la unidad 45G se halló un patrón similar al de la unidad MU1, en donde una capa orgánica se halló en conjunto con un relleno no consolidado (E18).

Una vez más, las diferencias entre los números de elemento entre las unidades se deben a problemas de correlación de las capas. No obstante, consideramos que su formación se debió a las mismas circunstancias. En la unidad 46K la plataforma y el desagüe fueron cubiertos totalmente con los desechos originados por el incendio, por lo que no hubo necesidad de colocar otro tipo de relleno. En las excavaciones de este año de la operación A se pudo conectar el relleno que cubrió la segunda versión de

la plataforma y el desagüe con un muro hecho de piedra que se localizó a corta distancia al este de la antigua construcción (ver Capítulo 2). Desafortunadamente, en la Operación B no se identificó ningún muro asociado con las capas que cubrieron a este elemento arquitectónico. Pensamos esto se debe principalmente a lo limitado de las excavaciones. Es probable que en caso de existir algún muro, éste haya quedado fuera de los límites de las unidades.

Un entierro fue el único elemento relacionado con las actividades llevadas a cabo a partir del nivel de la superficie definido por E18, E19 y E20 (Ent108-I120). Éste se halla en una fosa en la unidad 45G, la cual fue rellenada con un sedimento limo arcilloso con inclusiones de concha, gravilla y adobe quemado (E17), el cual parece haber sido la redepositación de E18 mezclado con E21. Del entierro solamente se identificó el cráneo, pobremente conservado. Fue debido a la profundidad en que se halló (2.20 m de profundidad) que se tomó la decisión de no excavarlo completo.

Por encima de la superficie definida por E18, E19 y E20, hay indicadores estratigráficos de procesos erosivos relacionados con el abandono de la Acrópolis. Toda una serie de capas delgas y medianamente gruesas de depósitos coluviales se hallan en todas las unidades de la Operación B (E14, E15, E16). Pensamos éstas fueron formadas a causa de una restricción de las tareas de mantenimiento, favoreciendo a la acumulación de capas de erosión provenientes principalmente de la Estructura 2. La estructura laminada de varias de estas capas es resultado del flujo del agua desde la Estructura 2 durante la época de lluvias que favoreció en la sedimentación del área. El grosor total de las capas en cada una de las unidades varió: en la unidad más al norte, 46K, consisten en 11 capas individuales con un grosor general de 65 cm (E15; 20.13 a 19.48 m s.n.m.), siendo la unidad con el mayor número de capas; en la unidad 45G se identificaron cuatro capas con un grosor general de 25 cm (E14; 18.59 a 19.340 m s.n.m.); y en la unidad MU1 también se reconocieron cuatro capas con un grosor general de 30cm (E16; 19.59 a 19.29 m s.n.m.). Las capas que forman a E14, E15 y E16 se caracterizan por presentar un patrón intercalado, es decir cada capa de consistencia fina (principalmente sedimentos limo

arcillosos) se halla entre capas de consistencia más áspera (sedimentos con más cantidad de arena o migajón). Muy pocos artefactos fueron recuperados de estos niveles.

Por encima de E16 en la unidad MU1 se halló un alineamiento de piedra, con orientación este-oeste (E13). E13 parece corresponder con una berma –elemento arquitectónico que separa dos zonas definidas-, por haber sido construido para encauzar la erosión proveniente de las partes más altas en el este hacia el norte del área, manteniendo la parte al sur libre de la sedimentación. Esto se fundamenta en que al norte de E13 se identificó un depósito coluvial (E11), lo que indica que la sedimentación del área continuó ocurriendo después de la construcción de la berma. En tanto, al sur se halla un relleno no consolidado, el cual pensamos se trata del relleno retenido por E13 (E12). La formación de algunos depósitos coluviales en las unidades 45G (E14) y 46K (E15), ocurrieron posterior a la construcción de E13. Sin embargo, por la dificultad de distinguirlas fueron nombradas como un sólo elemento. En el perfil norte de la unidad 46K, se puede ver un probable corte erosivo causado por el agua que sugiere la acción de una corriente de fuerza considerable (E15-s9). La construcción de E13 sugiere que los pobladores de Río Viejo restringieron las actividades hacia el área al sur de la operación, en donde se localiza la Operación A. En esta área, las excavaciones han expuesto varios elementos de terminación. La berma habría sido utilizada para proteger de la erosión el área donde se llevaron a cabo las ceremonias de terminación.

Al final de la fase Chacahua la Acrópolis fue abandonada. Aunque todavía no queda claro qué llevó a este abandono general del sitio, el colapso parece estar relacionado con la falta de poder de los gobernantes de Río Viejo en mantener una cohesión social y religiosa de la población de la región (Joyce et al. 2013). Este abandono del sitio pudo reconocerse en las excavaciones. Por encima de las capas de coluvión (E14, E15 y E16) se halla un último gran episodio de erosión (E8, E9, E10), el cual probablemente su deposición ocurrió durante los últimos años del periodo Formativo o durante el Clásico Temprano. E8, E9 y E10 son sedimentos muy semejantes, todos se forman por un sedimento

coluvial limo arcilloso que contiene inclusiones de concha, adobe y tiestos, el cual se halla aproximadamente a 1.15 m de profundidad y tienen un grosor promedio de 30 cm. En la unidad MU1 se identificó un pequeño pozo excavado de este nivel (E7). El relleno de E7 contuvo pocos artefactos asociados, lo que quizás indique que fue excavado con el propósito de minar sedimentos. Pozos similares, posiblemente del Clásico Temprano, han sido identificados en otras partes de la Acrópolis (Joyce y Barber 2011).

3.3.2 La fase Yuta Tiyoo

Después del abandono de la Acrópolis al final del Formativo, el sitio no fue vuelto a ser ocupado de manera importante hasta el Clásico Tardío, fase Yuta Tiyoo. En la Operación B la ocupación del Clásico Tardío está representada únicamente por tres elementos, consistiendo todos en rellenos constructivos (E4, E5, E6). E5 y E6 comprenden las primeras capas en ser colocadas, las cuales se encuentran por encima del último periodo de erosión ocurrido después del Formativo (E8, E9, E10). Éstas aumentaron el nivel de la superficie aproximadamente unos 50 cm. Consideramos que E6 está relacionado con E8-s1 de la Operación A, el cual se describe como el primer relleno importante del Clásico asociado con varias ofrendas puestas al inicio de esta ocupación (Brzezinski et al. 2012). Por otra parte, E5 probablemente sea un relleno análogo a E6, lo que indica que fueron puestos como parte del mismo evento constructivo. Éste se halla subdividido en varias capas en la unidad 45G. Después de la colocación de E6, en la unidad MU1, se suma otro relleno (E4), el cual consiste en un sedimento de migajón limo arcillo que contuvo una alta concentración de cerámica erosionada. Desafortunadamente, a diferencia de la Operación A, en el transecto no se identificó ninguna ofrenda, u otra clase de elemento, asociado con las capas del Clásico. No obstante, esto corrobora la suposición de que este tipo de ofrendas se restringen al área inmediata al oeste de la Estructura 2, que es el área en donde sí se han recuperado una gran cantidad de éstas, siendo las más sobresalientes las vasijas de entierro.

3.3.3 La fase Yugüe

El final de la fase Yuta Tiyoo marcó una disminución considerable de las actividades llevadas a cabo en la Acrópolis, lo cual se traduce en una declinación de la población del sitio de Río Viejo. Varias partes de la Acrópolis fueron abandonadas al final de esta fase (Arellano González et al. 2012; Rivas 2012; Capítulo 4). En tanto, otras mantuvieron una breve y más simple ocupación que se extendió hasta la fase Yugüe del Posclásico Temprano (Brzezinski et al. 2012; Egan y Barber 2012; Capítulo 5).

En la Operación B se pudieron identificar dos capas que contuvieron cerámicas de este periodo, los cuales se hallan por encima de E5 (E2, E3) (20.40 m s.n.m.), último relleno del Clásico en las unidades 45G y 46K. E3 corresponde a un relleno no consolidado, limo arcilloso, que contuvo una concentración moderada de tiestos de gran tamaño. Esta capa elevó el nivel de la superficie al menos unos 50 cm. Es de este relleno que un pozo fue excavado. El pozo fue rellenado con un sedimento arcillo arenoso, muy compacto (E2), que contuvo una alta cantidad de tiestos de mediano tamaño. Muchos de los tiestos recuperados llegan a formar piezas casi completas. Consideramos por el tipo de cerámica que E2 probablemente se relacione con las actividades ocurridas en alguna unidad habitacional, la cual debiera localizarse cerca de las unidades de excavación.

Por encima de E2, E3 y E4 se halla el suelo moderno (E1-s1, s2, s3). Por lo tanto, son los rellenos del Posclásico los que definen el fin de la historia ocupacional de la operación.

3.4 Conclusiones

A pesar de que las excavaciones de la Operación B fallaron en relacionar los hallazgos descubiertos en el 2012 en las operaciones A y F, arrojaron otro tipo de información que ayudó a consolidar algunas de las suposiciones que se tenían para algunos de los elementos hallados en la Operación A.

Con la exploración más detallada de la plataforma asociada con el desagüe se pudo reconocer uno de los eventos que pusieron fin a este elemento. A pesar de que aún no queda claro el porqué de su

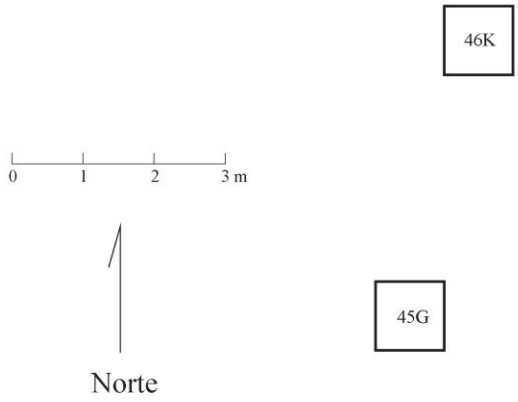
desuso, sabemos que al término de su utilización los pobladores de Río Viejo probablemente incendiaron de manera intencional la estructura y otras cercanas a ésta.

Asimismo, pudimos reconocer que al final de la fase Chacahua parte de las actividades llevadas a cabo por los pobladores de Rio Viejo fueron restringidas al área representada por la Operación A. Para esto, dejaron de mantener el espacio entre las operaciones A y F, lo cual favoreció a su paulatina sedimentación.

Como complemento a las excavaciones de este año en la Operación A, se puede determinar que el área inmediata al oeste de la Estructura 2 es en donde se limita la ubicación de las ofrendas puestas al inicio de la ocupación del Clásico Tardío, siendo el área representada por la Operación B parte de los límites exteriores.

Por último, se identificó una breve y más simple ocupación durante el Posclásico Temprano, fase Yugüe, lo cual complementa nuestro conocimiento sobre los espacios de la Acrópolis que siguieron siendo ocupados al final del Clásico Tardío, cuando se originó un abandono casi general del sitio, debido probablemente a la caída de los dirigentes de la Acrópolis.

Figura 3.1. Mapa de la operación B.



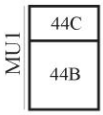




Figura 3.2. Perfil de la unidad MU1.

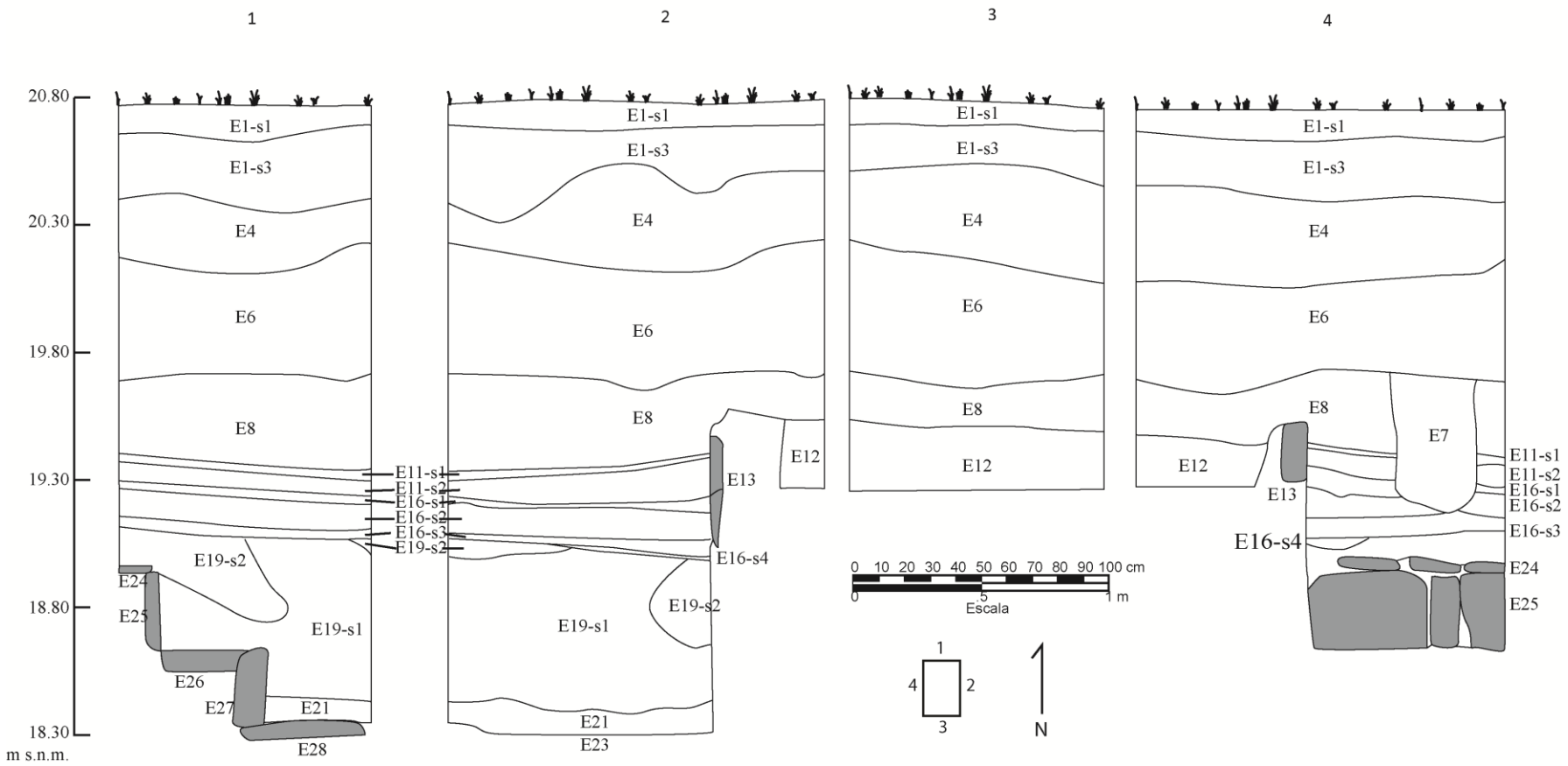
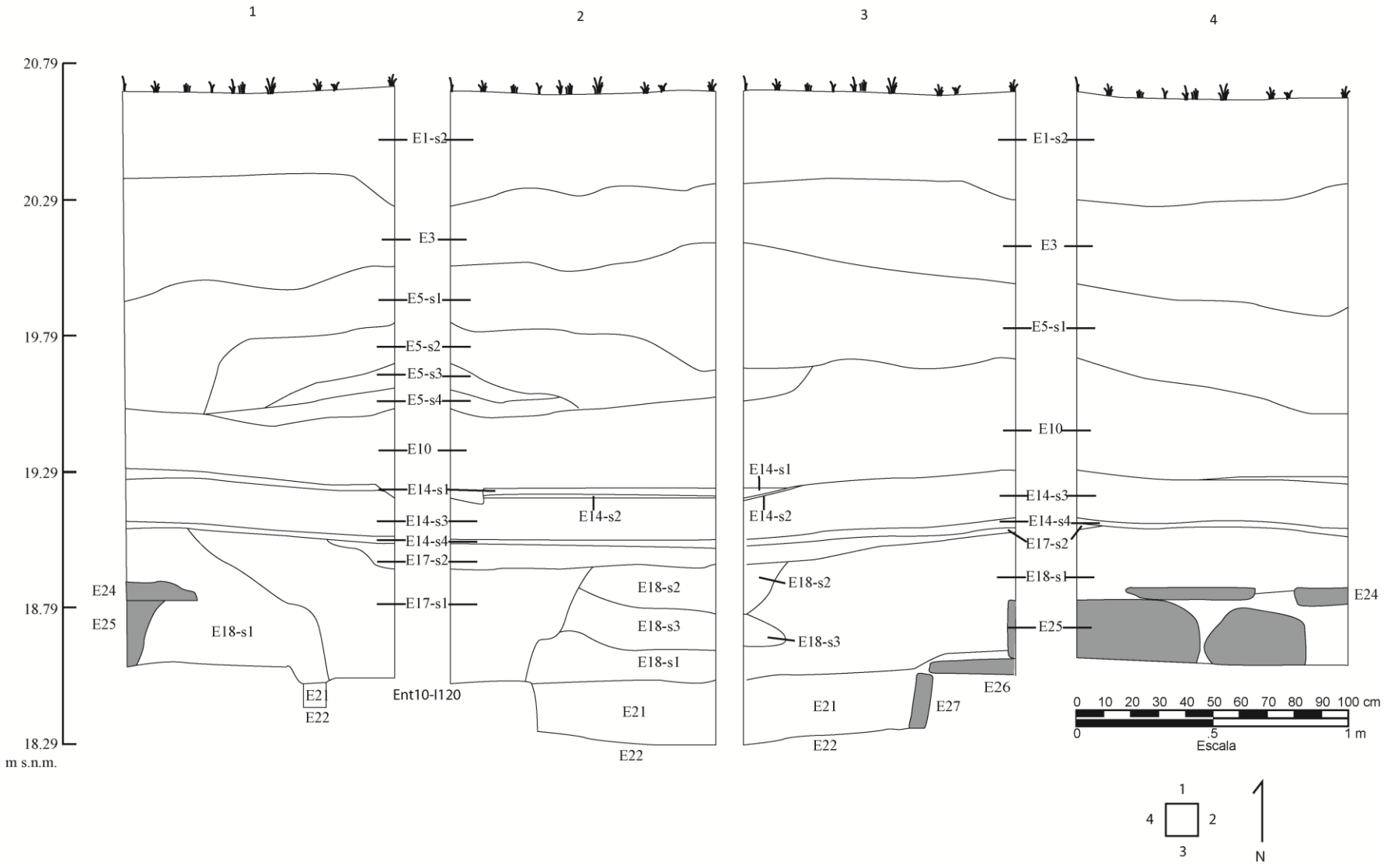


Figura 3.3. Perfil de la unidad 45G.



3.4. Perfil de la unidad 46K.

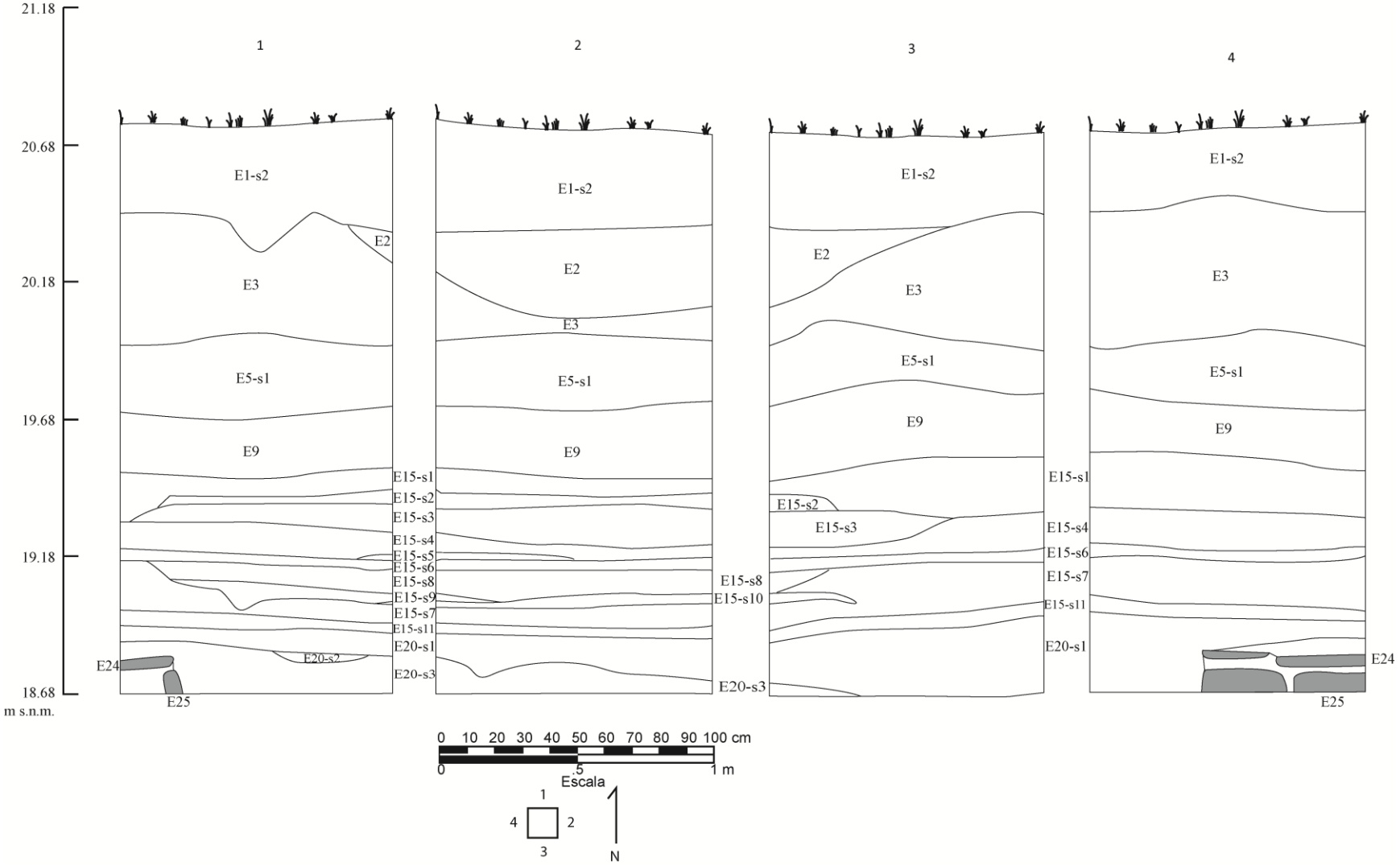


Figura 3.5. Vista de planta de la primera y segunda versión de la plataforma y el desagüe y E13 en MU1 de Operación B.

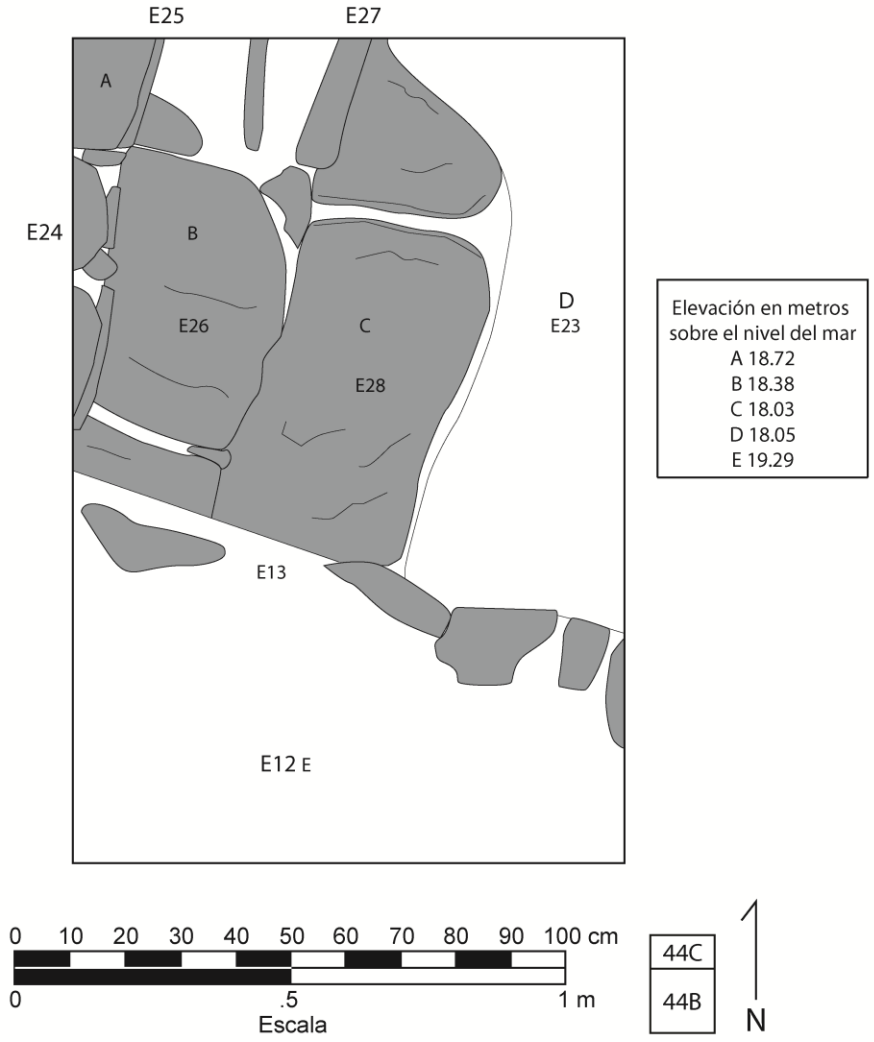


Figura 3.6. Primera y segunda versión de la plataforma y el desagüe y E13 en MU1.



Figura 3.7. Vista de planta de la primera y segunda versión de la plataforma y el desagüe en Unidad 45 G de Operación B.

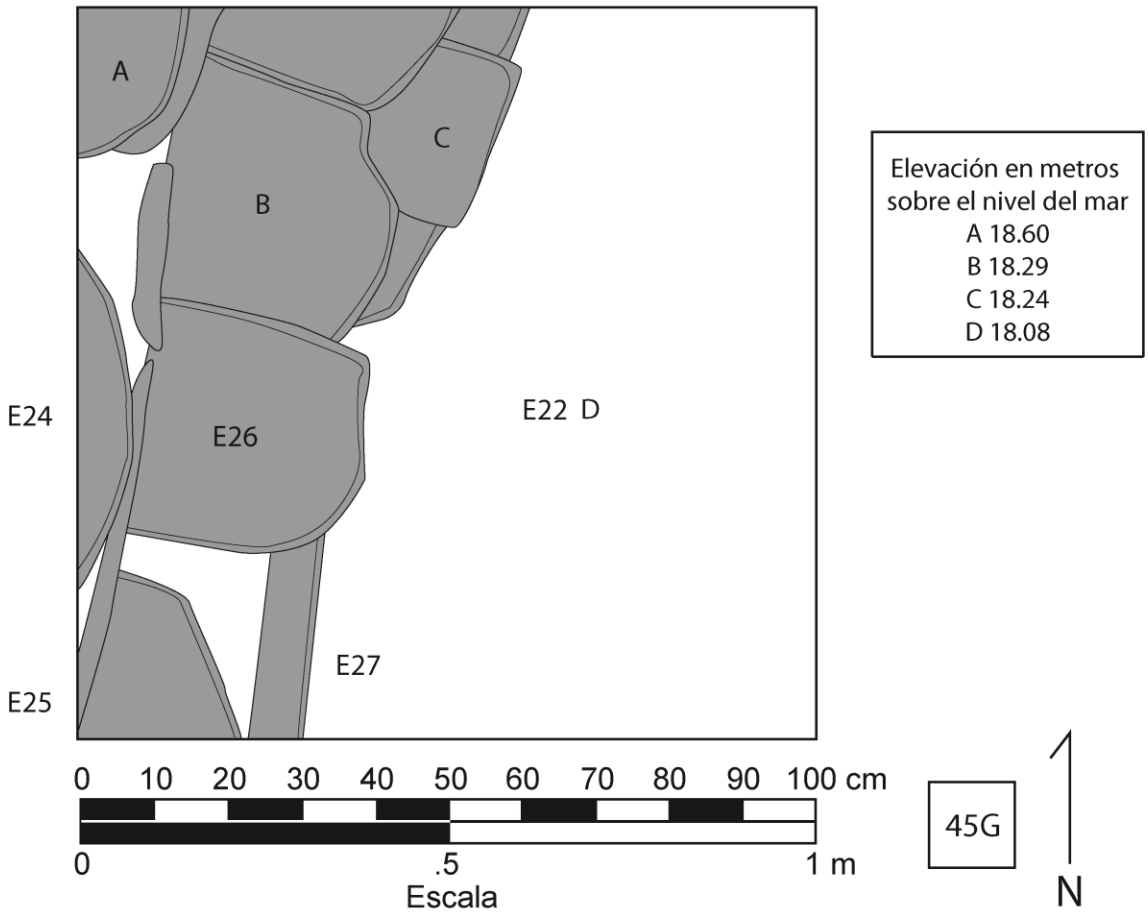


Figura 3.8. Primera y segunda versión de la plataforma y el desagüe y Ent108-I120 en la unidad 45G.



Figura 3.9. Vista de planta de la primera y segunda versión de la plataforma y el desagüe en la Unidad 46K de Operación B.
(D) Piedras arrojadas en E20-s3; quizás originalmente parte de E25.

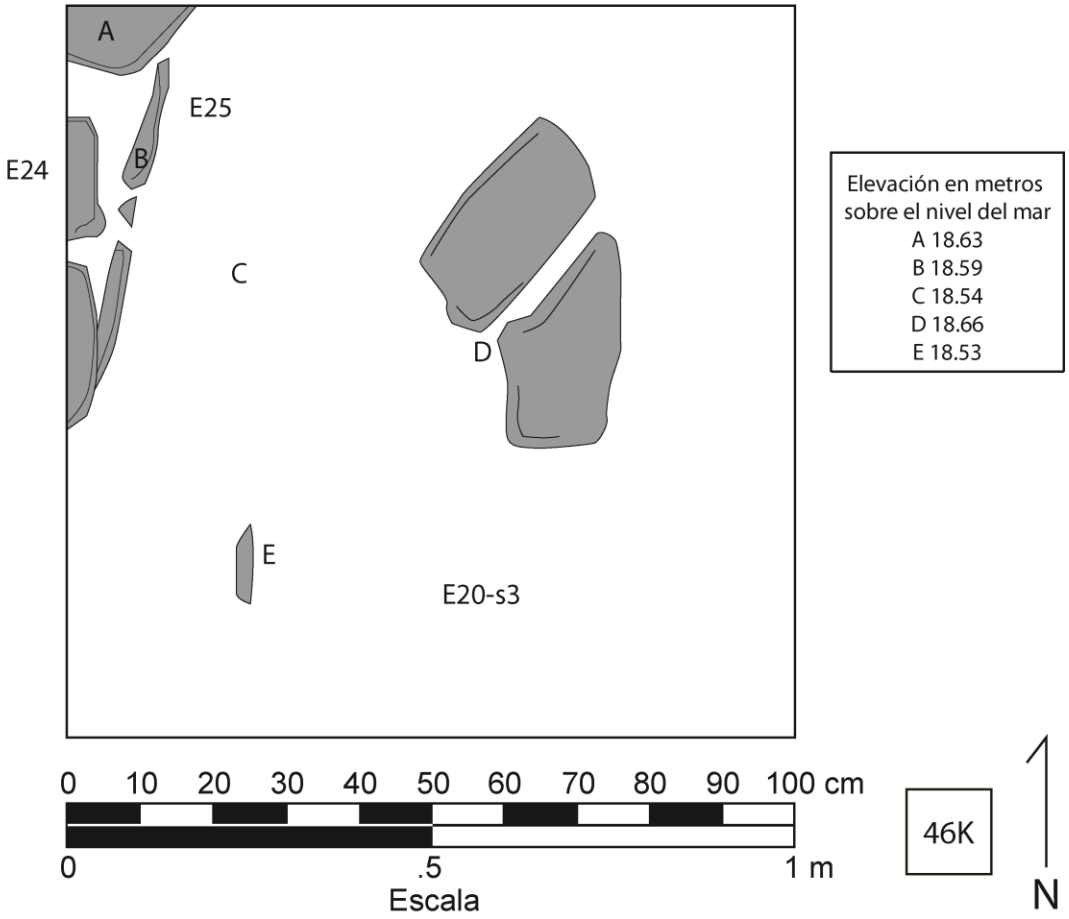


Figura 3.10. Vista de planta de la primera y segunda versión de la plataforma y el desagüe y piedras arrojadas en relleno constructivo; quizás originalmente parte del elemento en Unidad 46K de Operación B.



CAPÍTULO 4 - EXCAVACIONES DE LA OPERACIÓN C

Víctor E. Salazar Chávez
Karla I. López Carranco

4.1 Introducción

La operación C consistió en un bloque de excavación y un transecto que se extienden 12 m al centro-este del Monticulo 9, en la parte más alta de la Estructura 4 (Fig. 4.1). Conforme a los datos obtenidos de las excavaciones realizadas en 1988 (Op. RV88 B), el Montículo 9 fue construído principalmente durante el Formativo Terminal Temprano, fase Miniyua (150 a.C. – 100 d.C.). Los objetivos de las excavaciones fueron dirigidos a obtener más información diacrónica sobre su construcción y uso de los edificios, examinando para esto las técnicas de construcción, la arquitectura y los elementos que dieran cuenta de las actividades llevadas a cabo en el montículo.

Los resultados de las excavaciones del PRV13 C apoyan la hipótesis de que el Montículo 9 fue el centro ceremonial de Río Viejo antes de la construcción de la Acrópolis (Montículo 1), siendo abandonado al final de la fase Miniyua y no vuelto a ser ocupado de manera importante hasta el Clásico Tardío, fase Yuta Tiyoo. Las dos ocupaciones se presentaron en las excavaciones: la primera de ellas, perteneciente al Formativo Terminal Temprano, conformaron casi la totalidad de las etapas de construcción del montículo. Éstas se distinguen entre sí por distintos episodios de remodelación, superposición y erosión. La ocupación del Clásico, se expresa principalmente por una serie de pozos y tiraderos que en varias ocasiones cortan las capas formativas. Se identificaron pocos rellenos constructivos de esta última ocupación, en algunas de las unidades solamente conformaron los primeros 20 cm de profundidad. Esto se debe en parte a que el dueño del terreno empleó maquinaria pesada para nivelar la superficie, llevándose consigo gran parte de un edificio del Clásico.

4.2 Metodología

La metodología utilizada sigue la mayoría de los procedimientos ya establecidos en los proyectos anteriores del bajo Río Verde (ver Barber y Joyce 2011, 2012; Joyce 1991, 1999; Joyce y Levine 2009; Joyce et al. 1998). Las excavaciones se realizaron en unidades de 1 x 1 m, separadas entre sí por distancias de entre dos y cuatro metros. Cuando se hallaron elementos de interés se extendieron las excavaciones, lo que llevó a tener un bloque irregular de 3 x 3 m. Por cuestiones metodológicas y de espacio se decidió alinear el norte de las unidades de excavación con la de las casas modernas, esto es 330° conforme al norte magnético. La manera de nombrar las unidades parte de la primera unidad, 11A. Se inició con esta numeración para no obtener números negativos. La numeración asciende de oeste a este y la asignación de las letras de sur a norte. Las unidades al sur de la línea "A" se les asignaron letras dobles, comenzando con la última letra del alfabeto (ZZ). Se excavó en lotes arbitrarios de 10 cm. Cuando se distinguieron capas diferentes se excavaron en lotes separados. En las unidades donde se conocía la estratigrafía se excavó por capas culturales y naturales. Se utilizaron cribas con una malla de .4 y .5 cm. Los materiales recuperados fueron separados por materia prima y se les asignó un número FS único. Cada elemento reconocido durante las excavaciones fue fotografiado y dibujado a una escala de 1:10. Se tomaron muestras de sedimento de 10 litros de los basureros y superficies ocupacionales. Para los entierros se les asignó un número de entierro e individuo, siguiendo la numeración de las temporadas 1988, 1994, 1995, 2000, 2009 y 2012.

Tabla 4.1: Lista de las capas estratigráficas de la operación C.

Número de Estrato	Unidades	Descripciones de Munsell y Sedimento	Fecha Probable	Proceso de Formación	Comentarios
E1-s1	11A, 11B, 11D, 11G, 11K	Limo arcilloso, 4/4, café amarilloso oscuro.	Yuta Tiyoo o moderno	Suelo moderno	Formación de suelo moderno. Sedimento grumoso, compacto, con una alta concentración de tepalcates. Es cortado en casi todas las unidades por pozos y basureros del Clásico.
E1-s2	6D	Limo arcilloso, 10YR 5/3, café. Contiene inclusiones concha y mica.	Miniyua o moderno	Suelo moderno	Suelo desarrollado sobre E18 en 6D.
E2	9ZZ	Limo arcilloso, 10YR 3/2, café grisáceo muy oscuro. Contiene inclusiones concha, cabrón y arena.	Yuta Tiyoo	Basurero	Basurero más profundo. Se pueden distinguir diferentes deposiciones. La mayoría son orgánicas con una gran cantidad de artefactos. Las diferencias se observan en las coloraciones.
E3	10ZZ	Limo arcilloso, 10YR 4/3, café. Contiene inclusiones de concha.	Yuta Tiyoo	Basurero	En el pozo se distinguen tres diferentes capas. En el fondo es más orgánico, en la parte media es un relleno con pocos materiales y la parte superior vuelve a ser orgánica con una mayor cantidad de artefactos.
E4	(número no utilizado)				
E5	10A, 10ZZ, 11A, 11B	Limo arcilloso, 10YR 3/2, café grisáceo muy oscuro.	Yuta Tiyoo	Acumulación de tepalcates	Acumulación grande de tepalcates. La mayoría son de gran tamaño. Parecen haber sido desechados en el suelo en vez de haber sido descartados en un pozo.
E6-s1	11I	Arcillo arenoso, 10YR 3/2, café grisáceo muy oscuro. Contiene inclusiones de mica y concha.	Yuta Tiyoo	Basurero	Último relleno en ser depositado en el basurero en 11I. Se caracteriza por ser muy orgánico y tener concha triturada. Alta concentración de artefactos.

E6-s2	11I	Migajón limo arcilloso, 10YR 5/3, café. Contiene inclusiones de concha y gravilla.	Yuta Tiyoo	Basurero	Relleno con mayor cantidad de material orgánico que E6-s1. Contiene pedazos completos de concha. Alta concentración de artefactos.
E6-s3	11I	Migajón limo arcilloso, 10YR 5.5/3, café. Contiene inclusiones de concha.	Yuta Tiyoo	Basurero	Capa menos orgánica de E6. Poca concentración de material.
E7	11I	NA	Yuta Tiyoo	Fosa de entierro	Relleno con el que se cubrió el entierro 108, individuo 120.
E8	11B	Limo arcilloso, 10YR 3/2, café grisáceo muy oscuro.	Yuta Tiyoo	Pozo	Relleno de pozo. Se forma por distintas deposiciones, unas son orgánicas, otras parecen conformarse por la redepositación del sedimento excavado por el pozo.
E9	11G	Limo arcilloso, 10YR 5/2, café grisáceo. Contiene inclusiones de cantos rodados.	Yuta Tiyoo	Pozo	Relleno de pozo. Se forma por distintas deposiciones, unas son orgánicas, otras parecen conformarse por la redepositación del sedimento excavado por el pozo. No contuvo gran concentración de artefactos.
E10	11G	Limo arcilloso, 10Yr 5/2, café grisáceo. Contiene inclusiones de concha.	Yuta Tiyoo	Pozo	Relleno de pozo. El sedimento se halla mezclado con ceniza. Contiene una mediana acumulación de tepalcates.
E11	11A	Limo arcilloso, 10YR 4/3, café.	Yuta Tiyoo	Pequeño pozo	Acumulación de tepalcates de gran tamaño. La fosa no se distingue claramente de E1-s1.
E12	11D	Limo arcilloso, 10YR 4.5/3, café. Contiene inclusiones de mica.	Yuta Tiyoo	Pozo	Material orgánico con poco material asociado.
E13	11K	Limo arcilloso, 10YR 5/3, café	Yuta Tiyoo	Pozo	Relleno constructivo que cubrió un pozo, el cual quizás fue hecho para minar. Contuvo muy pocos materiales arqueológicos.
E14	11A	Limo arcilloso, 10YR 5/4, café amarillento.	Yuta Tiyoo	Probable huella de poste	El pozo tiene una forma muy recta y angosta.

E15-s1	10A, 10ZZ, 11A, 11B	Limo arcillo, 10YR 5/3, café. Contiene inclusiones de mica.	Yuta Tiyoo	Relleno constructivo	E15 se conforma por varias capas de relleno no consolidado de la fase Yuta Tiyoo. Los sedimentos provienen de diferentes fuentes. La correlación entre éstas es difícil debido a los disturbios y el desarrollo de suelo en la capa por encima de éste.
E15-s2	9ZZ	Limo arcilloso, 10YR 5/2, café grisáceo. Contiene inclusiones de mica.	Yuta Tiyoo	Relleno constructivo	Capa más compacta que E15-s1.
E15-s3	9ZZ	Limo arcilloso (contiene algo de migajón), 10YR 6/4, café amarilloso claro. Contiene inclusiones de concha.	Yuta Tiyoo	Relleno constructivo	Relleno más claro y menos compacto que E15-s2.
E15-s4	11K	Limo arcilloso (mayor contenido de arcilla), 10YR 4/4, café amarilloso oscuro.	Yuta Tiyoo	Relleno constructivo	
E15-s5	11K	Limo arcilloso, 10YR 4/3, café.	Yuta Tiyoo	Relleno constructivo	Sedimento menos compacto que E15-s4.
E16-s1	11K	Arena, 10YR 5/6, café amarilloso.	Clásico Temprano o Tardío	Desecho ocupacional	Episodio erosivo después del abandono de E15. Las distintas capas son muy similares a las de E16. Capa de arenas.
E16-s2	11K	Migajón limo arcilloso, 10YR 5/4, café amarilloso.	Clásico Temprano o Tardío	Desecho ocupacional	Semejante en consistencia a los rellenos constructivos.
E16-s3	11K	Migajón arcillo arenoso, 10YR 5/3, café. Contiene inclusiones de ceniza.	Clásico Temprano o Tardío	Desecho ocupacional	Sedimento orgánico. Desecho ocupacional. Semejante a E17-s1.

E16-s4	11K	Arcilla arenosa, 10YR 5/3, café. Contiene inclusiones de mica.	Clásico Temprano o Tardío	Desecho ocupacional	
E16-s5	11K	Limo arcilloso, 10YR 4/2, café grisáceo oscuro.	Clásico Temprano o Tardío	Desecho ocupacional	
E16-s6	11K	Arcilla, 10YR 3/4, café amarilloso oscuro.	Clásico Temprano o Tardío	Desecho ocupacional	
E16-s7	11K	Limo arcilloso, 10YR 4/4, café amarilloso oscuro.	Clásico Temprano o Tardío	Desecho ocupacional	
E17-s1	11G, 11I, 11K	Limo arcilloso, 5/4, café amarilloso.	Clásico Temprano o Tardío	Relleno constructivo	Primer relleno importante del Clásico, utilizando rellenos de ocupaciones Miniyua. Tiene inclusiones de tepalcates.
E17-s2	11G, 11K	Arenas, 5/4, café amarilloso.	Clásico Temprano o Tardío	Periodo erosivo	Capa delgada de arenas resultado de un corto periodo de erosión.
E17-s3	11D, 11G, 11I, 11K	Migajón limo arcilloso, 10YR 4.5/4, café amarilloso oscuro.	Clásico Temprano o Tardío	Relleno constructivo	Segundo relleno del Clásico separado de E15-s1 por E15-s2. Es muy similar a E15-s1, pero menos compacto.
E18-s1	6D, 11A, 11B, 11D, 11G, 11I, 11K	Arena, 10YR 5/6, café amarilloso.	Miniyua	Desecho ocupacional	Último gran episodio de erosión al final de la fase Miniyua. Se presenta a diferentes niveles en las distintas unidades. Capa delgada de arenas.
E18-s2	6D, 11A, 11B, 11D, 11G, 11I, 11K	Migajón limo arcilloso, 10YR 5/4, café amarilloso.	Miniyua	Desecho ocupacional	Capas delgadas y gruesas. Semejante en consistencia a los rellenos constructivos.
E18-s3	6D, 11A, 11B, 11D, 11G, 11I, 11K	Arenas (contiene poco migajón), 10YR 4/4, café amarilloso oscuro. Contiene gravilla.	Miniyua	Desecho ocupacional	Capa delgada de material áspero.
E18-s4	11D, 11G, 11I, 11K	Arena con migajón, 10YR 6/6, amarillo café.	Miniyua	Desecho ocupacional	Capa delgada de arenas, se observa laminado.

E19-s1	11A, 11B, 11D, 11G, 11I, 11K	Migajón arcillo arenoso, 10YR 5/3, café. Contiene inclusiones de ceniza.	Miniyua	Desecho ocupacional	Episodio erosivo que se ubica por encima de E20. E19-s1 es la capa más gruesa, caracterizada por tener una matriz de ceniza y algunos tepalcates.
E19-s2	11G, 11K	Migajón arcillo arenoso, 10YR 5/3, café. Contiene inclusiones de ceniza.	Miniyua	Desecho ocupacional	Se distingue de E19-s1 por ser más suelto y ser más orgánico.
E19-s3	11A, 11B, 11G, 11I, 11K	Arenas, 10YR 5/4, café amarilloso.	Miniyua	Desecho ocupacional	Capa delgada de arenas que divide algunos de los subestratos de E19.
E19-s4	11A, 11B	Migajón limo arcilloso, 10YR 5/4, café amarilloso.	Miniyua	Desecho ocupacional	Sedimento con matriz semejante a los rellenos constructivos.
E20	11A, 11B, 11D, 11G, 11I, 11K	Arena gruesa, 10YR 5/8, café amarilloso. Contiene inclusiones de mica.	Miniyua	Piso	Piso conformado por arenas de tamaño grueso de coloración amarilla. Se identificó casi en todas las unidades de excavación. Tiene una pendiente considerable en la unidad 11I.
E21-s1	11B, 11D	Migajón arcilloso, 10YR 5/4, café amarilloso.	Miniyua	Desecho ocupacional	E21 se caracteriza por ser capas delgadas de material deslavado que cubrió la plataforma en general. Algunas tienen una matriz semejante a los rellenos constructivos, otros son desechos de ocupación o arenas.
E21-s2	11D, 11G	Migajón limo arcilloso, 10YR 5/4, café amarilloso.	Miniyua	Desecho ocupacional	
E21-s3	6D, 11A, 11B, 11D, 11G, 11I, 11K	Arenas, 10YR 5/4, café amarilloso.	Miniyua	Desecho ocupacional	Capas delgadas de arena que dividen los subestratos de E21.
E21-s4	11G	Limo arcilloso, 10YR 5/1, gris. Contiene inclusiones de concha.	Miniyua	Desecho ocupacional	Material más orgánico, mezclado con ceniza.
E21-s5	6D, 11G, 11I, 11K	Migajón arcilloso, 10YR 5/4, café amarilloso.	Miniyua	Desecho ocupacional	Contiene una moderada cantidad de bordos de arcilla. Sedimento semejante a E28-s1.

E22-s1	6D	Limo arcillo, 10YR 4/4, café amarilloso oscuro.	Miniyua	Desecho ocupacional	Corto periodo de sedimentación resultado de la erosión de E23. Sedimento similar a E23-s2, pero es más compacto y contiene mayor cantidad de bordos de arcilla.
E22-s2	6D	Arenas, 10YR 5/4, café arenoso.	Miniyua	Desecho ocupacional	Capa delgada de arenas que dividen E22 de E23.
E23	6D	Limo arcillo, 10YR 5/4, café amarilloso.	Miniyua	Relleno constructivo	Relleno no consolidado que cubre a E25. Es muy similar a E30, pero la relación no es muy clara.
E24	6D	Limo arcilloso, 10YR 5/3, café.	Miniyua	¿Relleno constructivo?	Relleno no consolidado o tiradero. Se halla por encima de E25. El sedimento es similar a E25, pero es más orgánico y más suelto. La concentración de tepalcates es media.
E25	6D	Limo arcilloso, 10YR 6/4, café amarilloso claro. Contiene inclusiones de concha.	Miniyua	¿Relleno constructivo?	Sedimento poco compacto, al mismo nivel que E26. Pudiera tratarse de relleno no estructurado o sólo desecho descartado en una depresión creada por E26 y E27.
E26-s1	6D	Limo arcilloso, 10YR6/3, café pálido. Contiene inclusiones mica y gravilla.	Miniyua	Relleno constructivo	Relleno estructurado. Se caracteriza por contener varios bloques de distintas fuentes. Sedimento áspero. Se halla por enfrente de E27.
E26-s2	6D	Migajón limo arcilloso, 10YR 5/4, café amarilloso. Contiene inclusiones de mica.	Miniyua	Bloque	
E26-s3	6D	Arcilla, 10YR 5/3, café.	Miniyua	Bloque	
E26-s4	6D	Arcilla arenosa, 10YR 5/4, café amarilloso.	Miniyua	Bloque	
E27	6D	Limo arcilloso, 10YR 6/3, café pálido. Contiene inclusiones de mica.	Miniyua	Muro de contención	Sedimento medianamente compacto. El muro está orientado de este a oeste.

E28-s1	11K, 11I	Migajón arcilloso, 10YR 5/4, café amarilloso.	Miniyua	Relleno constructivo	Relleno no consolidado que cubre a E33 después del corto periodo erosivo, y a E32 después de su desuso. Con de la colocación de E28 la superficie de la plataforma fue nivelada a un nivel más alto. Probablemente el sedimento proviene de fuentes de arena de río. Contiene una gran cantidad de bordos de arcilla.
E28-s2	11K, 11I	Migajón arcilloso, 10YR 5/4, café amarilloso.	Miniyua	Relleno constructivo	Se distingue de E28-s1 por estar separado por E28-s3 y contener menor cantidad de bordos de arcillas.
E28-s3	11K, 11I	Arenas, 10YR 5/4, café amarilloso.	Miniyua	Desecho ocupacional	Delgada capa de arenas que separa E28-s1 de E28-s2. Es probable que sea un corto periodo de erosión durante la deposición de E28-s1.
E29-s1	11A, 11B, 11D	Migajón, 10YR 5/6, café amarilloso. Contiene inclusiones de mica.	Miniyua	Relleno constructivo	Probablemente el sedimento proviene de fuentes de arena de río. Contiene una gran cantidad de bordos de arcilla. E29 es retenido por E32 en 11I o posiblemente otra pared de contención, posiblemente E30
E29-s2	11G, 11I	Migajón arcilloso, 10YR 5/4, café amarilloso.	Miniyua	Relleno constructivo	Relleno retenido por E32.
E29-s3	11I	Arcilla arenosa	Miniyua	Relleno constructivo	Se diferencia de E29-s2 por ser poco más compacto y tener una mayor cantidad de bordos de arcilla.
E29-s4	11D	Migajón limo arcilloso, 10YR 5/4, café amarilloso. Contiene inclusiones de arena.	Miniyua	Relleno constructivo	Relleno o probable corto periodo de erosión durante la colocación de E29.
E29-s5	11D	Arena, 10YR 5,4, café amarilloso.	Miniyua	Desecho ocupacional	Capa delgada de arenas. Probablemente se deba a un corto periodo de erosión durante la colocación de E29.
E29-s6	11D	Limo arcilloso, 10YR 5/4, café amarilloso.	Miniyua	Relleno constructivo	Se diferencia de E29-s1 por ser más compacta.

E30	11G	NA	Miniyua	Pared o desecho ocupacional	Bloques de coluvión de tamaño considerable arrojados en E29. Posiblemente fueron parte de antiguas construcciones sobre E37 o fragmentos de una pared de contención asociada con E29.
E31	11D	Limo arcilloso, 10YR 4/3, café. Contiene inclusiones de concha.	Miniyua	Tiradero	Capa de material orgánico entre E29-s1.
E32	11I	NA	Miniyua	Pared	Muro hecho de bloques de coluvión.
E33-s1	11K	Migajón arcilloso, 10YR 5/4, café amarilloso. Contiene inclusiones de mica.	Miniyua	Relleno constructivo	Relleno no consolidado con el que se terminó de cubrir el basurero (E35). Presenta una matriz heterogénea con una alta cantidad de bordos de arcilla. Probablemente se trate de la redepositación de E36.
E33-s2	11K	Limo arcilloso (contiene algo de migajón), 10YR 5/3, café. Contiene inclusiones de mica.	Miniyua	Relleno constructivo	Se diferencia de E33-s1 por ser más compacto y comprender de una matriz más limosa.
E33-s3	11K	Limo arcilloso, 10YR 4/3, café. Contiene inclusiones de mica, gravilla y carbón.	Miniyua	Relleno constructivo	Se diferencia de E34-s1 y E34-s2 por ser más áspero.
E33-s4	11K	Arena con migajón, 10YR 3.5/6, café amarilloso oscuro.	Miniyua	Relleno constructivo	Capa gruesa de arenas. Contiene algunos bloques grandes de arcillas. Es la última capa representativa de E34, la cual niveló la superficie.
E33-s5	11K	Arena con migajón, 10YR 5/4, café amarilloso.	Miniyua	Desecho ocupacional	Corto periodo erosivo de E33. Se representa por una delgada capa de arenas de tamaño mediano.
E33-s6	11K	NA	Miniyua	Relleno constructivo	Capa delgada y compactada.

E34-s1	11K	Limo arcilloso, 10YR 4/2, café grisáceo oscuro. Con inclusiones de concha y ceniza.	Miniyua	Basurero	Sedimento orgánico, suelto, con una alta concentración de tepalcates. E35 descansa sobre una cama de concha y corta a E36 y E38.
E34-s2	11K	Concha	Miniyua	Basurero	Capa delgada de concha.
E35-s1	11K	Limo arcilloso, 5/4, café amarilloso.	Miniyua	Relleno constructivo	Relleno no consolidado que cubre a E38, quizás para comenzar a nivelar la superficie de la subestructura al nivel de E30, en el sur.
E35-s2	11K	Arcillas arenosas, 10YR 4/3, café.	Miniyua	Desecho ocupacional	Corto periodo erosivo durante la colocación de E36-s1.
E35-s3	11K	Arenas, 10YR 5/4, café amarilloso.	Miniyua	Desecho ocupacional	Capas delgadas de arenas, resultado de pequeños episodios de erosión durante la colocación de E36.
E35-s4	11K	Limo arcilloso, 10YR 5/3, café. Contiene inclusiones de concha.	Miniyua	Probable tiradero	Sedimento orgánico, quizás desechos arrojados durante la colocación de E35-s1.
E36	11A	Limo arcilloso, 10YR 4/2, café grisáceo oscuro. Contiene inclusiones de concha.	Miniyua	Desecho ocupacional	Capa compuesta por desecho ocupacional proveniente de la erosión de E37. Corta de manera parcial a E30-s1.
E37-s1	10A, 11A, 10ZZ, 9ZZ	Limo arcilloso (mayor contenido de arcillas), 10YR 5/4 café amarilloso.	Miniyua	Relleno arquitectónico	Relleno no consolidado que cubrió al montículo escalonado después de su abandono. Quizás se trate del levantamiento de una plataforma.
E37-s2	11A, 11B	Limo arcilloso, 10YR 5/4, café amarilloso.	Miniyua	Relleno arquitectónico	Sedimento con una alta concentración de bordos de arcilla, muy compacto.
E37-s3	11D	Limo arcilloso, 10YR 5/4, café amarilloso	Miniyua	Relleno arquitectónico	
E37-s4	11D	Limo arcilloso (mayor contenido de arcillas), 10YR 5/4, café amarilloso.	Miniyua	Relleno arquitectónico	Se diferencia de E37-4 por ser más compacto y no contener bordos de arcilla.

E38-s1	11K	Limo arcilloso, 10YR 5/3, café.	Miniyua	Segunda deposición del tiradero	Última capa despositada de la segunda deposición del tiradero. Sedimento compuesto principalmente por ceniza.
E38-s2	11K	Limo arcilloso, 10YR 4/2, café grisáceo oscuro. Contiene inclusiones de concha y ceniza.	Miniyua	Segunda deposición del tiradero	Sedimento orgánico con una alta concentración de tepalcates.
E38-s3	11K	Arcillo arenoso, 10YR 3/2, café grisáceo muy oscuro. Contiene inclusiones de concha y ceniza.	MIniyua	Segunda deposición del tiradero	Sedimento orgánico con una alta concentración de tepalcates.
E38-s4	11K	Arcilla limosa 10YR 5/3, café. Contiene inclusiones de concha y mica.	Miniyua	Segunda deposición del tiradero	Capa de ceniza.
E39	11K	Arena con migajón, 10YR 3/6, café amarilloso oscuro. Contiene inclusiones de concha.	Miniyua	Desecho ocupacional	Última capa de E40. Capa laminada de coloraciones claras y amarillas. Su formación se debe a un periodo de erosión y estancamiento de agua.
E40-s1	11K	Limo arcilloso, 10YR 4/3, café. Contiene inclusiones de concha.	Miniyua	Primera deposición del tiradero	Sedimento no orgánico.
E40-s2	11K	Arena, 10YR 5/8, café amarilloso.	Miniyua	Primera deposición del tiradero	Capa de arenas gruesas de tono amarillo.
E40-s3	11K	Limo arcilloso, 10YR 5/3, café.	Miniyua	Primera deposición del tiradero	Sedimento no orgánico.

E40-s4	11K	Limo arcilloso, 10YR 4/2, café grisáceo oscuro. Contiene inclusiones de concha, arena y carbón.	Miniyua	Primera deposición del tiradero	Sedimento orgánico.
E40-s5	11K	Arcilla arenosa, 10YR 4/2, café grisáceo oscuro. Contiene inclusiones de concha.	Miniyua	Primera deposición del tiradero	Sedimento orgánico.
E40-s6	11K	Arena, 10YR 5/4, café amarilloso.	Miniyua	Primera deposición del tiradero	Capa delgada de arenas que divide diferentes deposiciones de E40. Probablemente se deba a cortos periodos de erosión.
E40-s7	11K	Concha	Miniyua	Primera deposición del tiradero	Cama de concha que divide diferentes deposiciones de E40.
E40-s8	11K	Arcilla arenosa, 10YR 4/2, café grisáceo oscuro. Contiene inclusiones de mica.	Miniyua	Primera deposición del tiradero	Sedimento orgánico.
E40-s9	11K	Limo arcilloso, 10YR 3/2, café gris muy oscuro. Contiene inclusiones de concha, carbón y mica.	Miniyua	Primera deposición del tiradero	Primer capa depositada del tiradero, ubicada justo por encima de E41. Mantiene forma cóncava, lo que indica que probablemente fue arrojado de una depresión. Sedimento orgánico con una gran concentración de tepalcates.
E41	11K	Migajón arcillo arenoso, 10YR 4/3, café.	Miniyua	Desecho ocupacional	Capa delgada de arenas proveniente de la erosión de E42.
E42-s1	11K	Limo arcilloso, 10YR 5/3, café. Contiene inclusiones de mica.	Miniyua	Relleno constructivo	Relleno no consolidado que cubre el frente norte de E43.
E42-s2	11K	Migajón limo arcilloso, 10YR 5/3, café.	Miniyua	Relleno constructivo	Relleno no consolidado que cubre el frente sur de E43.

E42-s3	11K	Migajón limo arcilloso, 10YR 5/3, café.	Miniyua	Relleno constructivo	Capa que se ubica por encima de E42-s1 y E42-s2. Se diferencia de E42-s2 por estar más compacto y áspero.
E43	11K		Miniyua	Muro de adobe	El elemento arquitectónico más antiguo expuesto en 11K. Se desconoce su relación con los demás elementos arquitectónicos en el bloque principal.
E44	11K	Migajón limo arcilloso, 10YR 5/3, café. Contiene inclusiones de concha y arena fina.	Miniyua	Relleno constructivo	Capa de donde desplanta E43.
E45	10A, 9ZZ	Arcilla arenosa, 10YR 5/3, café. Contiene inclusiones de ceniza.	Miniyua	Relleno de pozo	El pozo corta el montículo escalonado, probablemente para minar. El sedimento con el que se rellenó no consiste de un basurero, es poco orgánico. Se recuperaron pocos tepalcates.
E46-s1	10A, 11A, 11B	Limo arcilloso, 10YR 4/2, café grisáceo oscuro. Contiene inclusiones de mica y ceniza.	Miniyua	Desecho ocupacional	Sedimento proveniente de la erosión del montículo escalonado. E46-s1 se caracteriza por ser una capa grisácea (probablemente desecho ocupacional) que recorre los niveles cinco, cuatro, tres y dos. Termina en algún punto en la unidad 11C.
E46-s2	10A, 11A, 11B	Limo arcilloso, 10YR 5/3, café. Contiene inclusiones de mica.	Miniyua	Desecho ocupacional	Se caracteriza por contener una alta cantidad de bordos de arcilla.
E46-s3	10A, 11A, 11B	Migajón limo arcillo, 10YR 5/3, café. Contiene inclusiones de mica.	Miniyua	Desecho ocupacional	Se distingue de E46-s2 por contener menos bordos y presentar una mayor cantidad de tepalcates.
E46-s4	10A, 11A, 11B	Arenas, 10YR 5/4, café amarilloso.	Miniyua	Desecho ocupacional	Capa delgada de arenas.

E47-s1	10A, 11B	Limo arcilloso (contiene algo de migajón), 10YR 5/4, café amarilloso. Contiene inclusiones de mica.	Miniyua	Relleno constructivo	Nivel de la plataforma escalonada relacionado con E48 y E49. La relación con éstos últimos se desconoce debido a que la continuidad de la capa está interrumpida por E45, E3 y E2.
E47-s2	10A	Migajón limo arcilloso, 10YR 5/4, café amarilloso. Contiene inclusiones de mica.	Miniyua	Relleno constructivo	Bloque, se caracteriza por ser más compacto que E47-s1.
E48	9ZZ, 10ZZ	Limo arcilloso, 10YR 6/4, café amarilloso claro. Contiene inclusiones de mica.	Miniyua	Relleno constructivo	Quinta etapa de la plataforma escalonada. La distinción entre E48 y E49 es muy sutil. No se reconoció ningún episodio erosivo entre estos los dos niveles.
E49	11A, 9ZZ, 10ZZ	Migajón limo arcilloso, 10YR 5/3, café. Contiene inclusiones de mica.	Miniyua	Relleno constructivo	Cuarta etapa de la plataforma escalonada. Se distingue de E53 y E55 por ser una capa compacta. Se halla cortada por E45, E3 y E2.
E50	10A,11A, 10ZZ	Arenas, 10YR 5/4, café amarilloso.	Miniyua	Desecho ocupacional	Delgada capa de arenas proveniente de la erosión de E52 que separa éste de E48.
E51	10A	Limo arcilloso, 10YR 6/3, café pálido. Contiene inclusiones de mica.	Miniyua	Relleno de pozo	Pozo de forma irregular (previo a E45). Excavado desde el tercer nivel de la plataforma. En partes se encuentra alterado por madrigueras. Se distingue de E44 por ser más compacto.
E52-s1	11B	Limo arcilloso (contiene poco migajón), 10YR 5/3, café. Contiene inclusiones de mica.	Miniyua	Relleno constructivo	Rellenos que forman parte de E53, quizás para expandir la plataforma en un periodo posterior.
E52-s2	11B	Limo arcilloso, 10YR 6/4, Café amarilloso claro. Contiene inclusiones de mica.	Miniyua	Relleno constructivo	

E52-s3	11B	Migajón arcilloso, 10YR 5/3, café. Contiene inclusiones de mica.	Miniyua	Relleno constructivo	
E52-s4	11B	Migajón con arenas, 10YR 5/4, café amarilloso.	Miniyua	Relleno constructivo	
E52-s5	11B	Migajón limo arcilloso, 2.5YR 5/3, café.	Miniyua	Relleno constructivo	Capa que cubre a los demás subestratos de E51.
E53-s1	10A, 11B	Limo arcilla, 10YR 5/3 café. Contiene inclusiones de mica y gravilla	Miniyua	Relleno constructivo	Tercera etapa de la plataforma escalonada. Se caracteriza por ser un sedimento suave, en el cual se hallan varios bloques grandes de arcillas. El relleno se encuentra cortado por E50.
E53-s2	10ZZ	Arcillas, 10YR 5/3, café. Contiene inclusiones de mica.	Miniyua	Relleno constructivo	Cuatro bloques de arcilla dentro de E53-s1. Todos tienen la misma composición.
E53-s3	9ZZ, 10A	Limo arcilloso, 10YR 5/2, café grisáceo. Contiene inclusiones de mica.	Miniyua	Desecho ocupacional	Corto periodo de erosión durante la colocación de E53-s1.
E54-s1	10A, 11A, 11B, 11D	Limo arcilla, 10YR 4/3, café. Contiene inclusiones de mica y concha.	Miniyua	Desecho ocupacional	Sedimento proveniente de la erosión de E55. Se caracteriza por tener una gran concentración de bordos, con una tonalidad similar a E55. La concentración de tepalcates es mayor en esta capa.
E54-s2	10A, 11A, 11B, 11D	Limo arcilla, 10YR 5/3 café. Contiene inclusiones de mica y gravilla	Miniyua	Desecho ocupacional	Se diferencia de E54-s1 por tener mayor contenido de material orgánico.
E54-s3	10A, 11A, 11B, 10ZZ, 9ZZ, 11D	Arenas, 10YR 5/3, café.	Miniyua	Desecho ocupacional	Se caracteriza por ser una capa delgada de arenas.

E55-s1	10A, 11A, 11B, 10ZZ, 9ZZ	Migajón arcilloso, 4.5/4, café amarilloso oscuro. Contiene inclusiones de mica.	Miniyua	Relleno constructivo	Segunda etapa de la plataforma escalonada (M9-E4-S4). Se caracteriza por ser un sedimento suave, el cual comienza con un bloque de arcillas; probablemente parte del escalón.
E55-s2	11B	Limo arcilloso (mayor contenido de arcillas), 10YR 5/4, café amarilloso. Con inclusiones de mica.	Miniyua	Relleno constructivo	Probablemente se trate de un escalón del segundo nivel de la plataforma.
E56-s1	11B, 11D	Arcilla arenosa fina, 10YR 4/4, café amarilloso oscuro. Contiene inclusiones de mica y gravilla.	Miniyua	Desecho ocupacional	Sedimento proveniente de la erosión de E56. Se caracteriza por tener una gran concentración de bordos, con una tonalidad similar a E56.
E56-s2	11B, 11D	Limo arcilloso, 10YR 5/4, café amarilloso. Contiene una gran concentración de ceniza.	Miniyua	Desecho ocupacional	Se diferencia de E56-s1 por tener mayor contenido de material orgánico.
E56-s3	11B, 11D	Migajón con arena, 10YR 5/4, café amarilloso. Contiene inclusiones de mica.	Miniyua	Desecho ocupacional	Se caracteriza por ser una capa delgada de arenas.
E56-s4	11D	Migajón con arena medianamente gruesa, 10YR 5/4, café amarilloso.	Miniyua	Desecho ocupacional	Se distingue de E56-s3 por presentar arenas más gruesas. También se logran apreciar las laminaciones de la sedimentación.
E56-s5	10A, 9ZZ	Limo arcilloso, 5/4, café amarilloso. Contiene inclusiones de concha	Miniyua	Desecho ocupacional	Se diferencia de E56-s2 por ser más fino.

E57	10A, 11A, 11B, 10ZZ, 9ZZ	Limo arcilloso, 10YR 5/3, café. Contiene inclusiones de mica.	Miniyua	Relleno constructivo	Primera etapa de la plataforma escalonada. Su límite norte no se conoce, pero debe de terminar en algún punto en la unidad 11C.
E58-s1	10A, 11A, 11B, 11D	Arena arcillosa, 10YR 6/4, café amarilloso claro.	Miniyua	Relleno constructivo	Relleno no consolidado de gravilla utilizado para nivelar la superficie después de la sedimentación de E59. Cubre a E61 en la unidad 11D. La interfaz superior de este estrato era una superficie ocupacional.
E58-s2	9ZZ, 10ZZ	Migajón arenoso, 10YR 4/3, café. Contiene inclusiones de mica y gravilla	Miniyua	Relleno constructivo	Se distingue de E58-s1 por contener una matriz de migajón.
E59	11A, 11B	Migajón arcilloso, 10YR 4/4, café amarilloso oscuro. Contiene inclusiones de mica	Miniyua	Desecho ocupacional	Sedimento proveniente de la erosión de E60. Al principio de la capa se distingue una delgada capa de arenas.
E60-s1	10ZZ, 9ZZ	Migajón limo arcilloso, 10YR 4/3, café. Contiene inclusiones de mica.	Miniyua	Relleno constructivo	El relleno es parte de una pequeña plataforma. Una huella de poste se asocia con E60, la cual llega a cortar E62 y fue rellanada después con E58-s1.
E60-s2	10ZZ, 9ZZ	Migajón limo arcilloso (mayor contenido de migajón), 10YR 5/3, café. Contiene inclusiones de mica.	Miniyua	Relleno constructivo	Es menos compacto y contiene más arcillas que E59-s1.
E61	11B, 11D	Arena con migajón, 10YR 3/6, café amarilloso oscuro.	Miniyua	Relleno constructivo	Relleno que cubrió parte del frente de E64. Probablemente fue utilizado para nivelar la superestructura y ampliarla hacia el norte del transecto.

E62	11A, 10ZZ, 9ZZ	Migajón limo arcilloso, 7.5YR 4/4, café.	Miniyua	Piso quemado	Se ubica por encima de E63. En algunas secciones del piso se observan manchones de ceniza. Se identificó una huella de poste con las paredes quemadas, la cual se rellenó con sedimento de E59. Una huella de poste relacionada con E59 corta parte de E61.
E63-s1	11A	Limo arcilloso (mayor contenido de arcillas), 10YR 5/3, café.	Miniyua	Relleno de muro de contención	Primer cuerpo de E63. Es más compacto que E63-s2 y E63-s3.
E63-s2	11A	Limo arcilloso, 10YR 5/3, café. Contiene inclusiones de mica.	Miniyua	Relleno de muro de contención	Segundo cuerpo de E63. Se diferencia de E63-s1 por ser más compacto.
E63-s3	11A, 10A, 10ZZ, 9ZZ	Limo arcilloso, 10YR 4.5/4, café amarilloso oscuro. Contiene inclusiones de mica.	Miniyua	Relleno de muro de contención	El sedimento se caracteriza por tener una matriz heterogénea. Es de E63 donde comienza la superficie ocupacional de la superestructura.
E64-s1	11A	Limo arcilloso, 10YR 5/4, café amarilloso. Contiene inclusiones de concha.	Miniyua	Muro de contención	Primer cuerpo de E64. Se diferencia de E64-s2 por ser más compacto y tener una matriz heterogénea.
E64-s2	11A, 10A, 10ZZ, 9ZZ	Limo arcilloso (poco de migajón), 10YR 5/3, café. Contiene inclusiones de mica.	Miniyua	Muro de contención	Principal elemento arquitectónico excavado. Forma parte de la superestructura de donde desplanta E62.
E65	11A	Arcillo arenoso, 10YR 4/4, café amarilloso oscuro.	Miniyua	Desecho ocupacional	Capa de arenas resultado de la erosión proveniente de E66.
E66-s1	11A	Limo arcilloso, 10YR 4/3, café. Contiene inclusiones de mica.	Miniyua	Relleno constructivo	Relleno que cubre a E67 y E68. Se diferencia de E67 por ser más compacto.

E66-s2	11A	Arcillo arenoso, 10YR 4/4. Café amarilloso oscuro. Contiene inclusiones de mica y gravilla.	Miniyua	Relleno constructivo	
E66-s3	11A	Limo arcilloso, 10YR 5/3, café. Contiene inclusiones de concha y mica.	Miniyua	Relleno constructivo	Se diferencia de E65-s1 por ser menos compacto.
E66-s4	11A	Migajón con arena gruesa, 10YR 4/4, café amarilloso oscuro.	Miniyua	Relleno constructivo	El sedimento es tepetate. Fue utilizado para cubrir a E66.
E66-s5	11A	Limo arcilloso, 10YR 4/3, café. Contiene inclusiones de ceniza.	Miniyua	Relleno constructivo	Basdado en la relación espacial entre E66-s5 y E65, parece que este estrato era parte del mismo episodio de relleno
E67	11A	Limo arcilloso 10YR 4/3, café. Contiene inclusiones de mica.	Miniyua	Relleno constructivo	Relleno retenido por E68. Sedimento homogéneo, medianamente compacto.
E68	11A	Limo arcilloso, 10YR 5/3, café. Contiene inclusiones de mica.	Miniyua	Muro de contención	Sedimento heterogéneo, medianamente compacto.
E69	11A	NA	Miniyua	Bloque de adobe	Presenta varios revestimientos de cal y pintura roja. El único elemento relacionado con el edificio M9-E4-S7

4.3 Sumario de excavación

La operación C se conformó por cinco pozos de sondeo de 1 x 1 m (unidades 11D, 11G, 11I, 11K, 6D) y un bloque irregular de 3 x 3 m (unidades 11A, 11B, 10A, 10ZZ, 9ZZ) (ver Figura 4.1). El bloque de excavación, junto con las unidades 11K y 11D, se excavaron a profundidades que superaron los dos metros; llegando en las unidades 11A y 11K hasta casi los cuatro metros de profundidad. El resto de las

unidades se excavaron alrededor de un metro y medio. Son de las unidades más profundas que proviene la mayoría de nuestra información acerca de la construcción del Montículo 9, Estructura 4.

Las capas más antiguas identificadas pertenecen al Formativo Terminal Temprano, fase Miniyua. Se identificó de éstas un gran número, la mayoría se relaciona con la construcción de plataformas. La fase Miniyua parece haber sido un tiempo de mucha actividad para los pobladores de Río Viejo. El Montículo 9, Estructura 4, fue remodelado en varias ocasiones superponiendo grandes vólumes de sedimento provenientes de áreas cercanas al Río Verde. La construcción del montículo se realizó utilizando únicamente arquitectura de tierra. En ninguna de las unidades excavadas se identificó el uso de mampostería; algo que se vería más tarde durante la construcción de la Acrópolis (ver Menchaca este volumen; Salazar Chávez y Vidal-Guzmán este volumen; y Vidal Guzmán este volumen). Algunas de las capas constructivas fueron empleadas para aumentar el tamaño de los edificios siguiendo un mismo patrón de edificación, mientras que en otras ocasiones las capas representaron cambios drásticos del espacio. Como parte de los elementos relacionados con las prácticas culturales de los pobladores de Río Viejo, se identificó un gran basurero y un tiradero en la unidad 11K. Con el estudio más minucioso de los materiales se podrá caracterizar de forma más detallada el uso de los edificios. Los tiestos de cerámica fueron el principal material recolectado, siendo pocas las muestras de lítica y figurillas recobradas.

Al final de la fase Miniyua el Montículo 9, Estructura 4, fue abandonado. El resultado de esto fue un gran espisodio de erosión de los edificios que se representó en las excavaciones por varias capas delgadas de arenas y arcillas, en un patrón semejante al dejado por el efecto del agua. Este complejo de capas fue reconocido en todas las unidades de excavación a diferentes profundidades. En las unidades al sur se hallaron a los pocos centímetros de profundidad, mientras que en las unidades al norte en ocasiones llegaron a ubicarse hasta una profundidad de un metro. A pesar de no hallarse al mismo nivel, las distintas capas forman una gran capa continua, lo que las hace parte del mismo evento erosivo.

Gracias a su continuidad es que fue posible correlacionar de manera más precisa las diferentes capas culturales entre las unidades.

Los elementos y capas que se ubican justo por encima del episodio erosivo fueron relacionados con el Clásico Tardío, fase Yuta Tiyoo (500 – 800 d.C.); aunque sea posible que al menos un par de éstas pudieran haber sido colocadas tan temprano como el Clásico Temprano (250 – 500 d.C.). Esto indica que al menos el área representada por la excavación no fue ocupada durante el Formativo Terminal Tardío, fase Chacahua, cuando el centro ceremonial de Río Viejo cambió a ser La Acrópolis. Es muy probable que la interrupción de las actividades constructivas en el Montículo 9, Estructura 4, se haya debido a este evento. En todas las unidades, con excepción de 6D, se identificó al menos una capa relacionada con la ocupación del Clásico. La mayoría está representada por pozos que luego fueron rellenados con basura. En la unidad 9ZZ fue donde se encontró el pozo más grande y profundo; aunque sólo se excavó una parte del basurero, una gran cantidad de cerámicas y figurillas fueron recuperados. La ocupación de la fase Yuta Tiyoo parece haber sido menos dinámica que la fase Miniyua. Los pobladores de Clásico elevaron el nivel de la estructura al menos medio metro, empleando para esto tierra que provenía del mismo montículo. Varias de las capas contenían cerámicas redepositadas de elementos de la fase Miniyua. Durante la ocupación Yuta Tiyoo se construyó un edificio de piedra en el área que cubre la excavación. Sin embargo, en tiempos modernos se niveló la superficie utilizando maquinaria pesada, llevándose consigo el edificio. Varias de las piedras que formaron parte de éste puedieron observarse al sur de la operación. Fue ese espacio donde fueron arrastrados los materiales. Es muy probable que otras capas culturales del Clásico se hayan perdido con la remodelación del área, haciendo que nuestro panorama arqueológico del Clásico sea parcial.

4.3.1 La fase Miniyua

Como se ha mencionado antes, las capas más antiguas identificadas en la operación pertenecen al Formativo Terminal Temprano, fase Miniyua. Elementos anteriores a esta fase tampoco fueron

identificados en las excavaciones realizadas en RV88 B. Esto atestigua a que la construcción del Monticulo 9 se dio principalmente durante esa fase.

En ninguna de las unidades se llegó a lo que comúnmente se le llama suelo estéril. Es decir a la superficie de suelo que no ha sido afectada por la acción del ser humano y en la cual descansan aquéllas que sí son producto de la acción de éste. Debido a esto no tenemos información que nos hable acerca de las primeras construcciones del montículo. Por lo tanto, nuestra descripción del sitio comienza por las primeras capas culturales que consideramos comprenden las más antiguas.

En la unidad 11A, a una profundidad de 23.2 m s.n.m., se halló un bloque de adobe muy bien elaborado de aproximadamente 80 cm de largo (E69) y es definido como parte de la estructura M9-E4-S7 (Figuras 4.2, 4.3) . El bloque presentó varios revestimientos muy delgados de cal y pintura roja que pensamos son producto del mantenimiento de éste en diversas ocasiones. Esto sugiere que el bloque estuvo expuesto; quizás formando parte de la pared del edificio. Al este de E69 se ubican dos capas separadas entre sí por un corte vertical (E68 y E67). Ambos elementos no fueron expuestos en su totalidad (se excavaron alrededor de 20 cm), por lo que desconocemos de qué superficie desplantan. Pensamos comprenden una extensión de M9-E4-S7, los cuales conforman un muro de contención (E68) y el relleno retenido por éste (E67), ya que son semejantes en morfología y composición a otros muros y rellenos identificados en la operación (E64 y E63; E26 y E24). E68 está formado por un sedimento limo arcilloso con inclusiones de mica y pocos artefactos asociados; se distingue de E67 por estar menos clasificado. E67 se muestra menos compacto que E68, por lo que suponemos el último comprendendería la parte exterior del edificio. Por encima de E67, E68 y E69 se hallan varios rellenos constructivos que creemos también comprenden parte del mismo evento de construcción (E66-s1, s2, s3, s4, s5) y expansión de M9-E4-S7. Los sedimentos con que se formaron debieron de haber provenido de distintas partes del río, con excepción de E66-s4 que consiste en tepetate. Este último cubre casi de manera exclusiva a E69 en sus costados; quizás de esta manera se intentó proteger el antiguo edificio

durante la remodelación. Con la colocación de E66 la superficie aumentó unos 20 cm en promedio con respecto a E69. Una delgada capa de desecho ocupacional se halló por encima de E66 (E65). Esta capa, conformada por arenas es semejante a varias capas identificadas a lo largo de la operación. Cada una de ellas creemos representan pequeños episodios de erosión que bien pudieron haberse formado a cabo de días, semanas o meses, durante la ocupación de los edificios.

Una nueva plataforma fue levantada sobre E65, siendo definida como M9-E4-S6, de la cual se pudo reconocer un muro de contención (E64-s1, s2), el relleno retenido por éste (E63, s1, s2, s3) y un piso quemado (E62). E64 fue construido en dos partes: El primero (E64-s1) está formado por arcillas limosas con inclusiones de concha que actúa como base del muro y es más compacto; El segundo (E64-s2) consiste en un sedimento muy bien clasificado de 70 cm de alto, del cual no se pudo distinguir los distintos "apisonados" hallados frecuentemente en muros hechos con tierra (los apisonados se deben a la acción de aplanar la tierra por partes). Sin embargo, se pudieron identificar ciertas ondulaturas en la interfase entre E64-s2 y E63-s3 que parecen ser testigos de antiguos cajones elaborados con tablas de madera con los que se fabricó el muro. Cada una de estas ondulaturas tiene más o menos las mismas dimensiones. La diferencia de humedad entre las capas hizo que la interfase se delineara de manera muy clara. Al igual que E64, E63 se compone de arcillas limosas con inclusiones de mica, pero se haya menos clasificado y compacto. En las unidades 10ZZ y 9ZZ se halló un piso de tierra quemado de aproximadamente 2 cm de espesor que se extendía sobre la misma área que E63 (E62) (Figuras 4.4, 4.5). Los límites del piso se hallaban pocos centímetros antes de la interfase con E64. Una huella de poste estuvo asociada con E62 y se halló en la unidad 9ZZ. La huella de poste es evidencia de la construcción de al menos una superestructura hecha de materiales pedecederos encima de M9-E4-S6 (Figura 4.6). La huella tiene alrededor de 15 cm de diámetro y 20 de profundidad. En su interior no se hallaron restos o material calcinado del poste de madera, lo que pudo haber ayudado a estudiar los materiales de construcción del edificio. E62 presentó una delgada capa de ceniza. Esto sugiere que fue enterrado al

poco tiempo de ser expuesto al fuego. El interior de la huella de poste también se halló quemado. Se recuperaron algunas piezas pequeñas de cerámicas quemadas que parecieron haber sido aplanadas contra el piso, como si alguna persona hubiera caminado sobre ellas. El uso del edificio parece haber acabado cuando ocurrió el incendio. No conocemos si este evento pudo haberse dado de manera intencional o no. Aún así, las actividades de construcción del Montíoculo 9 no se detuvieron y una nueva plataforma, M9-E4-S5, fue levantada por encima del viejo edificio.

Con la construcción de M9-E4-S5 los pobladores de Río Viejo nivelaron la superficie. Para esto colocaron un sedimento compacto de arena con migajón (E61) que amplió la superficie de la estructura hacia el norte, al mismo nivel de la antigua plataforma. Esta capa fue identificada en las unidades 11B y 11D. La nueva construcción consiste en una plataforma baja hecha de migajón limoso con inclusiones de mica de aproximadamente 20 cm de alto (E60-s1, s2). Se ubicó en las unidades 11A, 10ZZ y 9ZZ, con una orientación norte-sur respecto al norte mágnetico (todas las construcciones de la operación mantuvieron la misma orientación). Ningún piso fue asociado con la plataforma, pero una huella de poste se localizó en la unidad 10ZZ. La huella de poste de aproximadamente 12 cm de diámetro corta a E62 y E63. La huella de poste indica que otra estructura hecha de materiales pedecederos fue levantada en el mismo lugar en donde se había construido la relacionada con M9-E4-S6. Con el abandono de M9-E4-S5 se originó un episodio de erosión que cubrió con desecho ocupacional el frente norte de la plataforma (E59). Esta capa es muy semejante en composición a E60, por lo que pensamos se trata del material deslavado de éste; siendo este el caso E60 debió de tener una mayor altura a la registrada en las excavaciones.

Cuando la Estructura 4 fue vuelta a ser ocupada se comenzó la construcción de una plataforma más compleja que las anteriores, M9-E4-S4. El resultado de la construcción de M9-E4-S4 fue una plataforma de tierra escalonada que tuvo su parte más alta en el sur del área de excavación (ver Figuras 4.3, 4.7). Existen capas de desecho ocupacional que separan los diferentes cuerpos de la estructura que

es evidencia de periodos de uso individual entre la construcción de cada uno y/o que la construcción de éstos tomó lugar durante la época de lluvias.

Antes de la construcción de M9-E4-S4, se colocó una capa de tierra que sirvió para nivelar el terreno al mismo nivel de la antigua estructura (E58-s1). E58 es muy semejante en composición a E61, en cuanto ambas consisten principalmente en gravilla compacta. Se localiza en el bloque de excavación por encima del desecho ocupacional erosionado de E60, mientras que en la unidad 11D se superpone a E61.

Después de la colocación de E58 se levantó el primer cuerpo de M9-E4-S4 (E57), siendo una construcción más extensa que M9-E4-S5. E57 se halla a lo largo del bloque de excavación, pero sin llegar a la unidad 11D. A pesar de cubrir un área más grande no se identificó ningún elemento asociado a éste. Posterior a la construcción de E57 se originó un episodio de erosión (E56-s1, s2, s3, s4, s5) que deslavó parte de E57. Se hallaron diferentes capas de desecho ocupacional que indican que la acción de la erosión fue más intensa que las que formaron las capas de desecho en las antiguas construcciones, y a diferencia de estas últimas, M9-E4-S4 no fue abandonado después del episodio erosivo. Es posible que E56 sea el resultado de algún hecho natural violento, como una tormenta, y no el efecto provocado por un hiato extenso. Las capas de desecho se hallaron a lo largo del bloque sobre E57, y en 11D por encima de E58-s1 (Figura 4.8).

El segundo cuerpo fue levantado sobre E56 (E55-s1). Para la construcción de éste y los demás cuerpos de la plataforma se empleó una tierra muy semejante, probablemente traída de la misma fuente del río. En ocasiones durante la excavación fue difícil distinguirlas como capas diferentes si es que no se hallaba alguna capa delgada de desecho ocupacional entre éstas. Como parte de la construcción de E55-s1 se halló un bloque compacto de tierra (E55-s2). Pensamos probablemente se trate de un escalón de la plataforma. Ningún otro elemento fue asociado con el segundo nivel. Un evento de erosión muy similar al ocurrido durante el uso de E57 fue reconocido para E55 (E54-s1, s2, s3). Las

distintas capas de desecho están formadas básicamente en el mismo patrón: E54-s1 es una capa formada con un sedimento semejante al de la plataforma, mezclada con tiestos de diferentes tamaños; E54-s2 es la capa que presenta mayor contenido orgánico que quizás se deba a la mezcla de basura con sedimento deslavado; y E54-s3 es una capa delgada de arenas que ha sido descrita con anterioridad.

Al igual que en los demás casos, el siguiente cuerpo de la plataforma se ubica por encima del periodo de erosión. El tercer cuerpo (E53-s1) está asociado con cuatro bloques compactos de tierra (E53-s2), semejantes a E55-s2. En este caso los bloques no formaron parte del escalón de la plataforma, ya que no se hallan en los límites de ésta. Pensamos que pudieran tratarse de algunos cajones hechos para sostener el sedimento durante la construcción. Una capa delgada de sedimento orgánico se halló dentro de E53-s1 (E53-s3); ésta pudo formarse ya sea como basura desechada o un corto perido de erosión durante la construcción. En la unidad 11B se observa que E53-s1 se extiende al norte de E55-s1, modificando en cierto grado el patrón escalonado de la plataforma. En la misma unidad se hallan varias capas de relleno enfrente de E53-s1 (E52-s1, s2, s3, s4, s5). Estas capas quizás se traten de una pequeña adición a la plataforma o algún episodio de erosión. Nuestra inclinación es más hacia la primera debido a que E52-s1 y E52-s5 cubren de manera gentil los demás rellenos, delineando la cara de la plataforma. Al nivel del tercer cuerpo se excavó un pozo (E51). El pozo fue rellenado con un sedimento limo arcilloso con una tonalidad grisácea que advierte cierta mezcla del sedimento con materia orgánica. La concentración de artefactos en el pozo fue baja, aunque fueron más de los que se pudieron recuperar de los rellenos de las plataformas. Una capa delgada de arenas se halla por encima de E53-s1 (E50), la cual se formó a partir del desecho ocupacional erosionado de la platafoma. Esta capa es la que divide a E53-s1 del cuarto cuerpo de la plataforma (E49).

E49 presenta las mismas características que los demás niveles. Por encima de E49 se hallá el quinto y último cuerpo de M9-E4-S4 (E48). En esta ocasión no se halló ninguna capa de desecho ocupacional que dividiera a E48 de E49. Los límites de cada cuerpo fueron difíciles de delimitar a lo largo

de la plataforma, por lo que su división en dos partes se basa principalmente en el estilo constructivo de la estructura; con excepción de estos dos cuerpos no hay ningún otro que haya consistido en dos niveles simultáneos. Probablemente la ausencia de una capa de desecho ocupacional entre éstos se deba a que se construyeron en un intervalo de tiempo más corto que en las demás ocasiones. E47-s1 y E47-s2, hallados en la unidad 11B, tratan de un cuerpo de la plataforma asociado, ya sea, con E48 o E49. La relación con alguna de estas capas en específico no es clara debido a que la continuidad de éstas se vio interrumpida por la excavación de tres grandes pozos (E45, E3 y E2). Con la colocación de E48 se termina la construcción de M9-E4-S4, teniendo una altura mínima total de 150 cm. La plataforma escalonada es la construcción más compleja de la operación. Ningun piso formal o huella de poste fueron identificados en los distintos cuerpos, lo que pudiera indicar que los edificios hechos de materiales pedeceros construidos sobre la plataforma se hallaran poco más al sur de los límites del bloque de excavación. Al final de la vida de uso de la M9-E4-S4 se identificó un gran episodio de erosión. Este se relaciona con la falta de mantenimiento del edificio y llega a cubrirlo casi en su totalidad (E46-s1, s2, s3, s4). Las distintas capas de desecho ocupacional son muy semejantes a las descritas para E56 y E54. Sin embargo hay una que se distingue de éstas: E46-s1 es una capa extensa, medianamente gruesa, mezclada con ceniza y material orgánico, que recorre todos los niveles de la plataforma; siendo ésta la última capa relacionada con el abandono.

En la unidad 9ZZ, 10ZZ y 10A se halló un gran pozo que fue excavado desde la parte más alta de la plataforma escalonada (E45). El sedimento con el que fue rellenado el pozo es muy semejante a E51, pero se encuentra menos compacto. Del pozo no se recuperaron muchos artefactos. La mayoría consiste en cerámicas de mediano y pequeño tamaño mal conservadas. Es por esto que pensamos que E45 fue inicialmente excavado para minar, probablemente utilizando la tierra para otra construcción, y no para la eliminación de basura. No es posible definir la extensión total del pozo, ya que éste a la vez es cortado por otro pozo excavado en el Clásico Tardío (E2).

Al norte de la operación, en la unidad 11K, a una profundidad de 22.82 m s.n.m., se halla otra de las capas más antiguas de la operación (E44) (Figura 4.9). No estamos seguros con cuál de las plataformas presentes en el bloque de excavación podría relacionarse ésta; aunque si tuviéramos que decidir nos inclinaríamos hacia M9-E4-S7, ya que como se puede ver en el corte de perfil de las excavaciones (Figura 4.10) se encuentran a una profundidad similar. E44 es una capa delgada hecha de migajón limo arcilloso con inclusiones de concha y arena fina. Es de ésta que desplanta un muro hecho de bloques de adobe y coluvión (E43) (Figura 4.11). Los bloques de coluvión parecen haber sido el tipo de bloque más utilizado en esta parte del montículo; se hallaron diversos ejemplos en varias de las unidades de la operación. Estos están hechos mediante el modelaje de bloques más grandes extraídos, quizás intactos, de algún banco cercano al río. Los bloques mantienen la orientación usual encontrada en la operación: este-oeste. Ninguno de los bloques presentó alguna cara plana, por lo que pensamos sirvieron simplemente para delimitar un área, en vez de ser utilizados como muro de contención.

Después del desuso del muro, éste fue cubierto por distintas capas: E42-s1 es un sedimento limo arcilloso con inclusiones de mica que se halla al norte del muro; E42-s2 es una capa más compacta de migajón limo arcilloso y se halla al sur del muro; y E42-s3 consiste en una capa más extensa y áspera que cubre a las dos primeras. Creemos las distintas capas de E42 fueron colocadas como parte de un mismo evento, ya que parecen haberse empleado para nivelar la superficie, como se ha visto en otras capas encontradas en el bloque de excavación (E58, E61). Este nuevo nivel de la estructura estaría relacionado con la construcción de M9-E4-S6. Por encima de E42-s3 se halla una capa de desecho ocupacional (E41), la cual debió de haberse formado durante la actividad de E42.

Por encima de E41 se hallaron varias capas orgánicas superpuestas que conformaban un gran basurero, dividio en dos diferentes episodios (E40-s1, s2, s3, s4, s5, s6, s7, s8, s9; E38-s1, s2, s3, s4). Este basurero puede estar relacionado con las actividades llevadas a cabo en M9-E4-S6, -S5 o -S4; aunque consideramos que debido al gran número de capas que integran este basurero, lo cual hablaría de un

uso extenso, probablementen debieron de haber estado más relacionadas con M9-E4-S6 y/o -S5. De las capas de la primera deposición, con excepción de E40-s7 y E40-s8, la mayoría presentó un alto contenido de material orgánico y una gran concentración de tiestos. E40-s7 consiste en capas delgadas de arenas halladas entre los límites de algunas capas; éstas fueron interpretadas como pequeños episodisos de erosión que representan cortos periodos de tiempo entre deposiciones. E40-s8 es una cama de concha que es común encontrar en los basureros de Río Viejo (Arellano Gonzalez et al. 2012). E40 se trata de un basurero poco formal; el descarte de las diferentes capas de desecho tomó lugar sobre la antigua superficie ocupacional, es decir que no se precisó de ningún elemento más elaborado (como un pozo) para su disposición. La forma convexa de las distintas capas da cuenta de que la basura fue acumulada y eliminada en montón. La capa por encima del basurero, E39, comprende de una laminación de coloraciones blancas y amarillas, resultado de la evaporación de un estancamiento de agua (Figura 4.12). Esta capa separa el final de la primera deposición del basurero. La última deposición, desechada tiempo después de E39, presenta un patrón en la deposición de las capas de desecho muy semejante al primer basurero. La mayoría consiste en sedimentos muy orgánicos, con una alta concentración de tiestos (E38-s1, s2, s3, s4). Basado en la elevación relativa, sea posible que E38 se asocie con M9-E4-S4 aunque faltan bastantes datos para estar seguro de esta interpretación.

Después del final de la segunda deposición del basurero (E38) y el abandono de M9-E4-S4, se comenzaron una vez más las actividades de construcción. En el bloque de excavación se hallaron dos capas extensas y compactas, hechas de limos y arcillas (E37-s1, s2) que cubren por completo a M9-E4-S4. Este relleno también se identificó en la unidad 11D, comprendiendo de una pequeña capa por encima de E54-s2. La nueva plataforma es definida como M9-E4-S3. Fue debido a que las unidades 11G y 11I no fueron excavadas a una profundidad mayor de un metro y medio que no conocemos la extensión total de E37. Sin embargo, dado a que en la unidad 11D solamente se representa por una delgada capa es que pensamos éste debe de terminar en un punto en la unidad no excavada de 11E. De

la plataforma no se identificó ningún elemento. Por otra parte, en la esquina noreste de la unidad 11B, E37 presenta una pendiente muy abrupta que es evidencia de un corte erosivo profundo de la capa. Este corte indica un periodo largo de falta de mantenimiento de la estructura previo a la última contrucción a gran escala de la Estructura 4 en la fase Miniyua (M9-E4-S2, ver abajo).

En la unidad 11K se elevó la superficie, colocando para esto un relleno no consolidado hecho de limos y arcillas, sobre los antiguos basureros (E35-s1). Debido a la profundidad en que se encuentra pensamos ocurrió durante el mismo periodo de construcción de M9-E4-S3; aunque la etapa de construcción debió de continuar hasta la edificación de M9-E4-S2. Esto debido a que el último relleno relacionado con este nuevo nivel de superficie (E33) es de donde desplanta el muro de contención de M9-E4-S6 (E32). E35 cubrió por completo el antiguo basurero y aumentó la superficie quizás al menos unos 40 cm. La colocación de E35 parece haber sido paulatina, ya que se identificaron entre ésta varias capas de desecho ocupacional (E35-s2, s3, s4). Durante el uso de E35 se excavó un gran pozo, el cual fue rellenado parcialmente por un basurero (E34-s1, s2). Este pozo llegó a cortar parte del antiguo basurero representado por E38. De E34 se identificó en el fondo una cama de concha de aproximadamente dos centímetros de espesor (E34-s2). Gracias a ésta pudimos delimitar los límites del pozo. E34-s1 es una capa muy orgánica con una alta concentración de artefactos. Se recuperaron más materiales de E34 que de cualquier otra capa de la fase Miniyua. Después de la deposición del basurero, el pozo fue rellenado en su totalidad con lo que creemos fue la redepositación de E35 (E33-s1, s2, s3, s5). Como última capa se colocó un manto grueso de arenas, con el cual se terminó de nivelar la plataforma (E33-s4) y de donde desplanta E32.

La penúltima construcción consiste en una plataforma más extensa que las anteriores y es denominada como M9-E4-S2. Esta plataforma se extiende desde el bloque, al sur del área de excavación, hasta la unidad 11I, en donde se halla un muro de contención (E32), hecho de bloques de coluvión, que retiene el relleno de la plataforma (E29) (Figura 4.13). E29 se conforma por una capa

gruesa de migajón con inclusiones de mica y una concentración considerable de bordos de arcilla (E29-s1, s2), semejante al sedimento fino que trae consigo el río. Se identificó en el bloque de excavación; en la unidad 11D, donde comprende de una de las capas más gruesas; la unidad 11G (Figura 4.14); y la unidad 11I. En 11D se identificó, junto con otras variaciones del relleno (E29-s4,-s5,-s6), una capa medianamente orgánica que contuvo una concentración significativa de tiestos (E31). Quizás se trate de una pequeña capa de basura depostada durante la construcción de M9-E4-S2. En 11G se identificó un grupo de bloques de coluvión (E30) (Figura 4.15), que podría haber sido una pared de contencíon o desecho ocupacional metido en el relleno detrás de E32. Con la colocación de E29, la plataforma aumentó aproximadamente unos 90 cm; siendo una de las capas más gruesas de la excavación.

Con el tiempo se volvió a añadir una nueva capa a E33 en las unidades 11K y 11I, la cual quizás represente una adición tardía a la plataforma (E28-s1, s2). E28 es una capa medianamente gruesa de migajón arcilloso, muy similar en consistencia a la capa inferior. Se halló una capa de desecho ocupacional entre E28, la cual probablemente se formó durante su construcción (E28-s3). Con la colocación de E28 los niveles de la superficie entre el norte de la operación y el sur fueron más sútiles.

En la unidad 6D, el pozo de sondeo más al oeste, se hallaron varios rellenos constructivos que fueron difíciles de correlacionar con las demás capas identificadas en el eje norte-sur de la operación (Figura 4.16). Éstas se hallan cerca de la superficie actual del montículo, aproximadamente a un metro y medio, por lo que es posible que se puedan correlacionar con las plataformas más tardías, como M9-E4-S3 o S2. La capa más temprana identificada consiste en un muro de contención, hecho con tierra compactada (E27), con una alineación este-oeste con referencia al norte magnético. Creemos que al igual que los demás muros de contención el bloque retiene el relleno hacia el sur; siendo esto el caso, el relleno retienido quedó fuera de la unidad de excavación. Por enfrente de E27 se hallan tres capas: la primera, E26, trata del único ejemplo de relleno estructurado identificado en el montículo; cubriendo a éste se halla E25, el cual consiste en un relleno no consolidado de limos y arcillas, probablemente

utilizado para nivelar la superficie al mismo nivel que E27; y por último se identificó una capa medianamente orgánica (E24) que cubrió por completo a E27, E26 y E25 después de su desuso. Esta última capa contuvo varias cerámicas y concha triturada, no estamos seguros a que se debió su colocación. Al mismo nivel de E24, se halla E23, un sedimento muy semejante a E30. Probablemente se trate de una capa relacionada con esta última. Una capa de desecho ocupacional fue identificada por encima de E23 y E24 (E22-s1, s2). La capa es muy semejante a E23, pero se halla más suelta y presenta una mayor cantidad de bordos de arcilla.

Después del abandono de M9-E4-S2 y de los otros rellenos relacionados con éste (E33/28 en 11K y E24/23 en 6D), se formaron varias capas de desecho ocupacional (E21-s1, s2, s3, s4, s5, s6). Éstas son muy semejantes a otras capas de la operación formadas durante episodios largos o cortos de erosión. E21 es el primer elemento que pudo ser identificado en todas las unidades de excavación, por lo que representa una capa continua. La mayoría son capas delgadas de aproximadamente 2 cm de espesor, mientras que en las unidades 11A, 11B y 6D las capas E21-s1 y E21-s5 llegaron a tener diez centímetros de grosor.

La plataforma fue vuelta a ser reocupada por última vez después de la formación de E21. En esta ocasión los pobladores de Río Viejo colocaron un piso directamente por encima de las capas de desecho ocupacional (E20). E20 consiste en una capa delgada de arenas amarillas de grano grueso y se halla en todas las unidades de excavación sino 6D. Debido a que E20 está conformado por un sedimento característico que no está representado en ninguna otra capa de la operación es que no comprende de desecho ocupacional. El piso se halló a la misma profundidad en las unidades al norte de la operación, mientras que en la unidad 11I existe una inclinación acentuada del piso. Es debido a esto que en la unidad 11K el piso y las subsecuentes capas se hallaron a mayor profundidad en comparación con las demás unidades al sur de la operación. E20 se definió como el último relleno constructivo realizado durante la fase Miniyua en la operación, es decir que después de éste hubo un hiato de construcción de

la Estructura 4 hasta el Periodo Clásico. Por encima de E20 se halló varias capas producidas por la erosión que conforman dos grandes capas gruesas (E19-s1, s2, s3, s4; E18-s1, s2, s3, s4). Consideramos que éstas apoyan la hipótesis de un periodo de abandono de las actividades constructivas en esta parte del sitio al final de la fase Miniyua, ya que las capas son lo que se esperaría observar después de dejar a la estructura de tierra expuesta a agentes como la lluvia. E19-s1 trata principalmente una capa de desecho orgánico que contenía varios artefactos. Probablemente éste se formó por el deslave de las superficies ocupacionales de la plataforma. En tanto, E18 consiste en una gran cantidad de capas delgadas (algunas compuestas de arenas, otras de arcillas) que probablemente marquen periodos de erosión estacionales, como la anual temporada de lluvias. En la unidad 11K, donde las capas de la fase Miniyua fueron menos alteradas por ocupaciones subsecuentes, E18 y E19, tienen un espesor conjunto de un metro. Esto habla de que probablemente en las unidades al sur de la operación, donde E18 y E19 se presentan en ocasiones por sólo unos 20 cm, estas capas hayan tenido mayor volumen. Sin embargo, por las actividades llevadas a cabo durante el Clásico Tardío y la actual ocupación de la plataforma estás han sido eliminadas.

4.3.2 La fase Yuta Tiyoo

Por encima de las capas formadas durante la fase Miniyua se hallaron otra serie de rellenos colocados durante el Clásico Tardío. Esto quiere decir que el Montículo 9, Estructura 4, fue abandonado al tiempo que La Acrópolis comenzó a ser el centro político de Río Viejo, permaneciendo así por un periodo de tiempo de al menos un siglo y medio, cuando fue reocupado durante el Periodo Clásico.

En las unidades al norte de la operación, siendo éstas 11G, 11I y 11K, se halla el primer relleno constructivo de la fase Yuta Tiyoo (E17-s1, s3). E17-s1 y E16-s3 consisten en capas similares, ambas son medianamente gruesas de aproximadamente 20 cm cada una. Del relleno se recuperaron más tiestos de lo que usualmente se encontraba en los rellenos colocados durante el Formativo. Hay que advertir que de la capa se hallaron varios tiestos muy erosionados de la fase Miniyua y ninguno de la fase Yuta Tiyoo,

pero al estar la capa ubicada por encima del gran episodio de erosión hace poco probable que pueda relacionarse con algún periodo de construcción durante la fase Miniyua. Por lo tanto, creemos que durante el Clásico, ya sea Temprano o Terminal, se minaron partes del montículo y se utilizó este sedimento para aumentar la superficie de aquellas áreas ahora habitadas. E17 está dividido en dos por una pequeña capa de desecho ocupacional. Probablemente pueda tratarse de un episodio corto de erosión durante su construcción o del sedimento formado durante el uso de la plataforma. Esto último haría que E17-s3 sea por ende una remodelación de E17-s1. En las unidades al sur de la operación no se hallaron estas capas. Probablemente E17 si llegó a ocupar un área más extensa, pero debido a que las capas del Clásico se hallaron altamente alteradas por basureros es que la capa se ha perdido.

Por encima de E17 en la unidad 11K, se identificaron varias capas de desecho ocupacional que sugieren que la plataforma fue abandonada una vez más (E16-s1, s2, s3, s4, s5, s6, s7). E16 es muy semejante a E18, pero menos gruesa y por ende un perido de abandono más corto. Quizás se trate de un abandono corto de la estructura.

Al reocuparse la plataforma los pobladores del Clásico colocaron una nueva capa de relleno, la cual consistió en sedimentos traídos de diversas fuentes (E15-s1, s2, s3, s4, s5, s6). Las capas de E15 se hallaron en 11K y el bloque de excavación. No se identificó ningún patrón en su deposición, por lo que pensamos fueron colocadas como un mismo evento, probablemente tirando la tierra traída de diferentes canastas. Esta construcción es denominada como M9-E4-S1.

Toda una serie de pozos y otros depósitos pertenecientes al Clásico Tardío fueron identificados a lo largo de la operación (E14, E13, E12, E11, E10, E9, E8, E7, E6, E5, E3, E2). Es probable que siete de éstos hayan sido excavados desde E13 (E14, E13, E12, E11, E10, E9, E8), mientras los demás pudieron haber sido excavados de capas superiores que ya no están presentes (E7, E6, E5, E3, E2). E14, en la unidad 11A, probablemente era una huella de poste. Algunos otros pozos presentaron un sedimento orgánico mezclado con tierra estéril. Creemos esto se debe a que la basura fue mezclada con la tierra

excavada. Los pozos que presentaron esta característica fueron E3, E8 y E9. No se recuperó de éstos una gran cantidad de materiales. E2, E5 y E6 fueron de los contextos que contuvieron una excepcional cantidad de artefactos (Figura 4.17). E2 es el pozo más grande excavado en la operación. Tiene más de un metro de diámetro por un metro de profundidad. Se recuperaron tiestos de gran tamaño y varias figurillas muy bien preservadas. E5 es una concentración grande de tiestos hallada en la mayoría de las unidades que componen el bloque de excavación. E5 no fue depositado en un pozo, sino que parece haber sido descartado en la superficie, quizás como una capa de relleno. Los artefactos recuperados fueron principalmente tiestos y hueso de animal, bien conservados. E6 es un pozo que ocupó gran parte de la unidad 11I. Tiene tres deposiciones, la última (E16-s2) contuvo la mayor cantidad de material recolectado.

El entierro 109, individuo 121 (E9-I121), se halló en la misma unidad al mismo nivel que E6-s2 (E7, unidad 11I). Del entierro sólo se descubrió el cráneo que miraba hacia el este de la unidad. No fue excavado debido a su mala preservación. E7 parece haber sido excavado en E6-s2. Sin embargo, no se pudo definir ninguna fosa que lo corroborara. Por encima de la serie de pozos del Clásico Tardío se haya el suelo moderno (E1-s1 y E1-s2). Desafortunadamente, no se pudo excavar ningún elemento que pudiera ser asociado con la gran diversidad de basureros. Es muy probable que éstos hayan sido elementos relacionados con el edificio de piedra que fue demolido en épocas modernas. Debido a que el terreno fue alterado en gran medida es que no conocemos la última capa cultural relacionada con esta ocupación. Sin embargo, parece ser que después del abandono al final del Clásico Tardío, el Montículo 9, Estructura 4, no fue reocupado hasta épocas modernas. Este patrón contrasta con los hallazgos en otros lugares del sitio, como la Acropolis, dónde se han encontrado contextos del periodo Posclásico Temprano.

4.4 Conclusiones

Las excavaciones en la operación C fueron satisfactorias conforme a los objetivos delineados.
Con la exploración de la Estructura 4 se pudo corroborar que el Montículo 9 fue el centro ceremonial de Rio Viejo durante la fase Miniyua, y que al término de la fase ocurrió una disminución en las actividades constructivas en el montículo debido al abandono parcial del sitio. Este hecho estuvo relacionado con la construcción en escala de la Acrópolis durante la fase Chacahua.

En la operación se pudieron identificar al menos seis superestructuras relacionadas con la ocupación del Formativo, las cuales fueron denominadas M9-E4-S2 a S7. Cada una de ellas presentó características de construcción particulares. De éstas, las más representativas fueron las subestructuras 7, 6, 4, y 2. De la subestructura 7 se identificó una cara del muro, la cual estuvo conformada por un bloque de adobe bien hecho con revestiduras. De la subestructura 6 se pudo caracterizar de mejor manera el sistema de construcción de los muros de retención empleados en varias de las plataformas y a la vez se halló el único ejemplo de una superficie ocupacional preservada. Con la excavación de la subestructura 4 se pudo estudiar más sobre los estilos arquitectónicos de las plataformas, siendo éste un ejemplo de una plataforma escalonada; mientras que de la subestructura 2 ayuda a comprender mejor sobre los materiales de construcción empleados para la construcción de los muros de bloque y los rellenos constructivos. Algunos basureros relacionados con la ocupación del formativo fueron excavados, los cuales mediante el análisis de los materiales recuperados se podrá conocer de mejor manera el uso de los edificios.

Más allá del estudio de los patrones arquitectónicos y uso de los edificios del Montículo 9, las exploraciones en el área dieron cuenta sobre los procesos de erosión ocurridos después del abandono de las plataformas de tierra. La operación C representa un escenario ideal para el estudio de los procesos erosivos que afectan las construcciones hechas con base en arquitectura de tierra. Las distintas

capas se caracterizaron principalmente por su composición, dando como resultado que la secuencia de las capas comprende un ciclo repetitivo.

Gracias a la exploración de la operación C se pueden definir nuevas direcciones para investigaciones futuras. Algunas de éstas son el estudio más metículoso de los procesos erosivos en arquitectura de tierra; y la exploración más hacia el sur del área excavada, donde se intuye se hallarían más elementos relacionados con las superficies ocupacionales de las plataformas excavadas.

Figura 4.1: Vista general de la operación

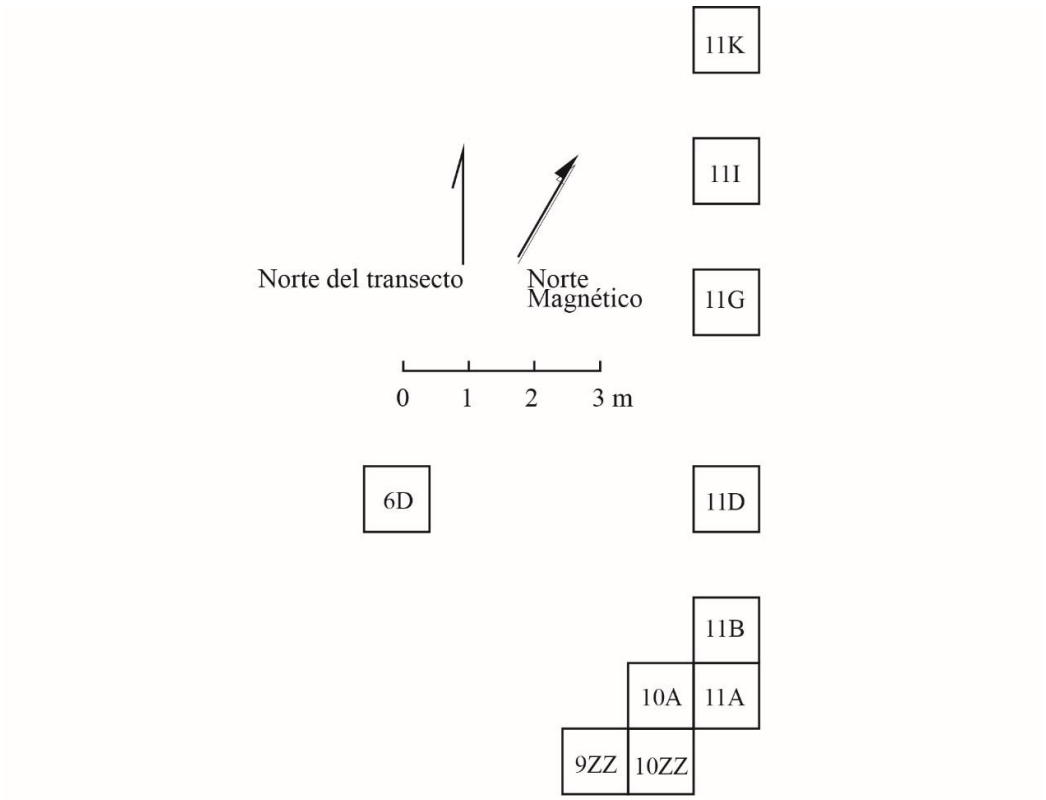




Figura 4.2: Fotografía del E69, un bloque de adobe con varios revestimientos de cal y pintura



Figura 4.3: Perfil, unidades 11B, 11A (este), 11A (sur), 10ZZ

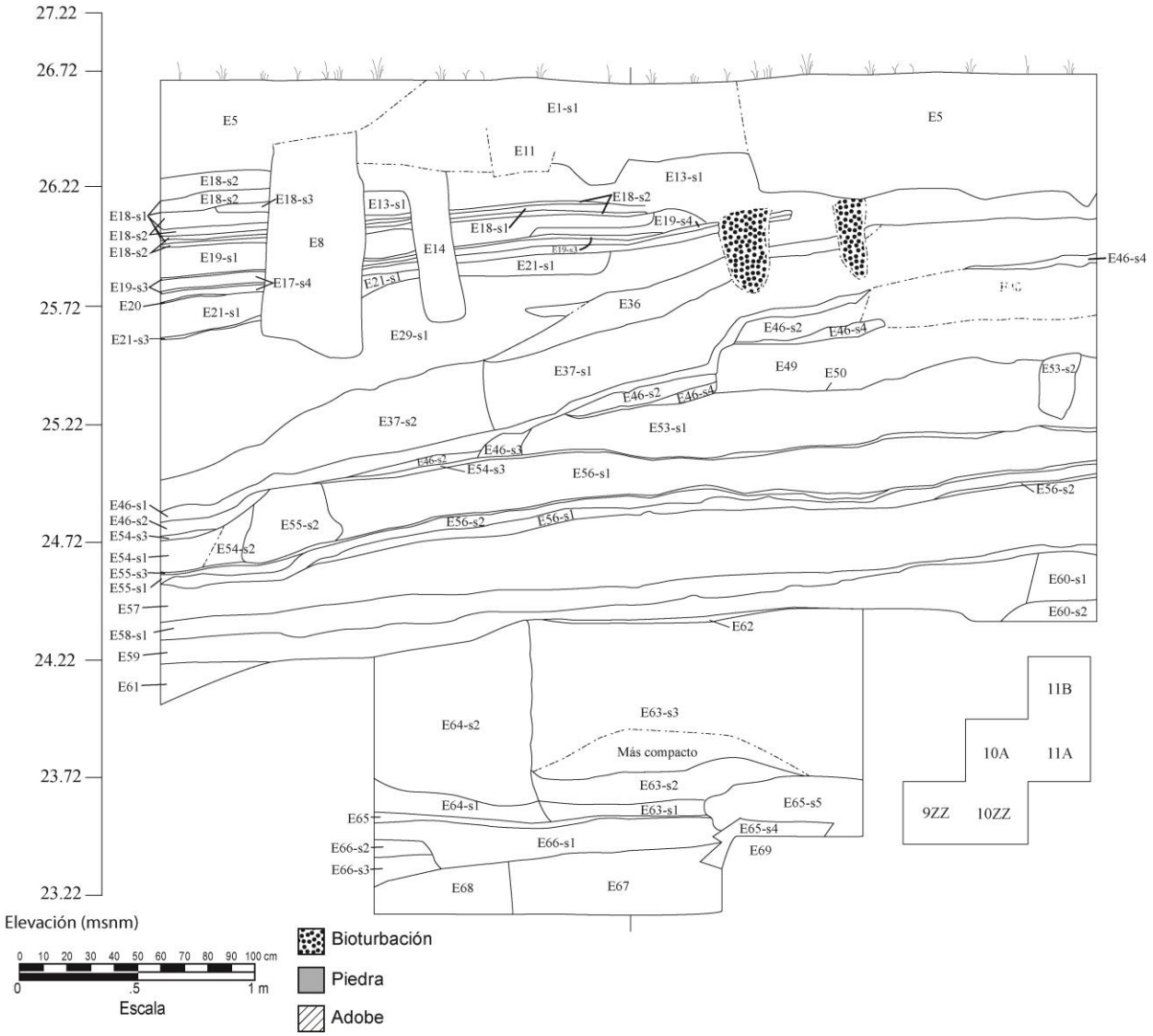


Figura 4.4: Fotografía de E62, un piso de tierra quemado



Figura 4.5: Perfil, unidades 10ZZ, 9ZZ (sur, oeste, norte)

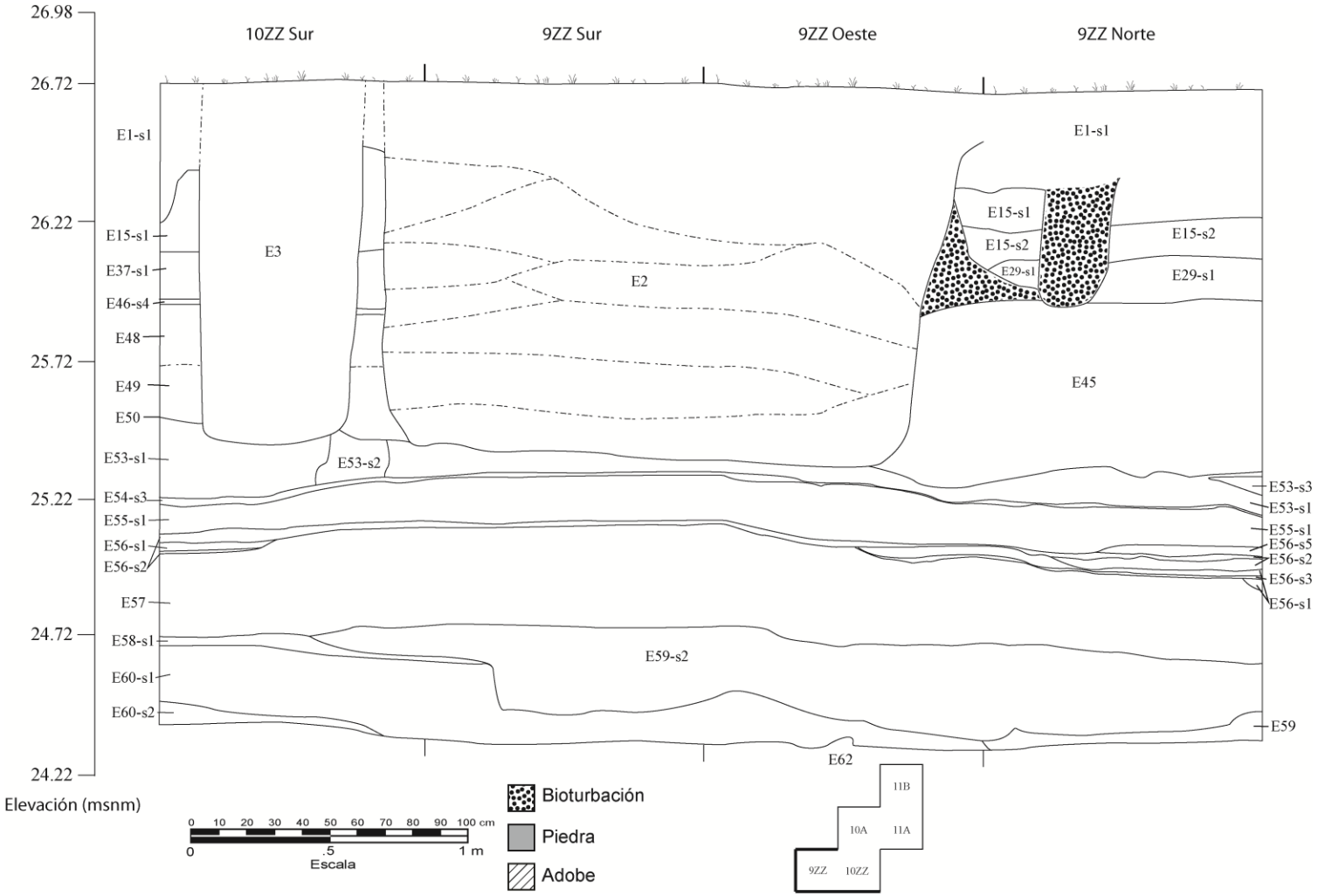


Figura 4.6: Fotografía, huella de poste en E62 del Montículo 9-Estructura 4-Subestructura 5



Figura 4.7: Perfil, unidades 10A y 11B (oeste, norte)

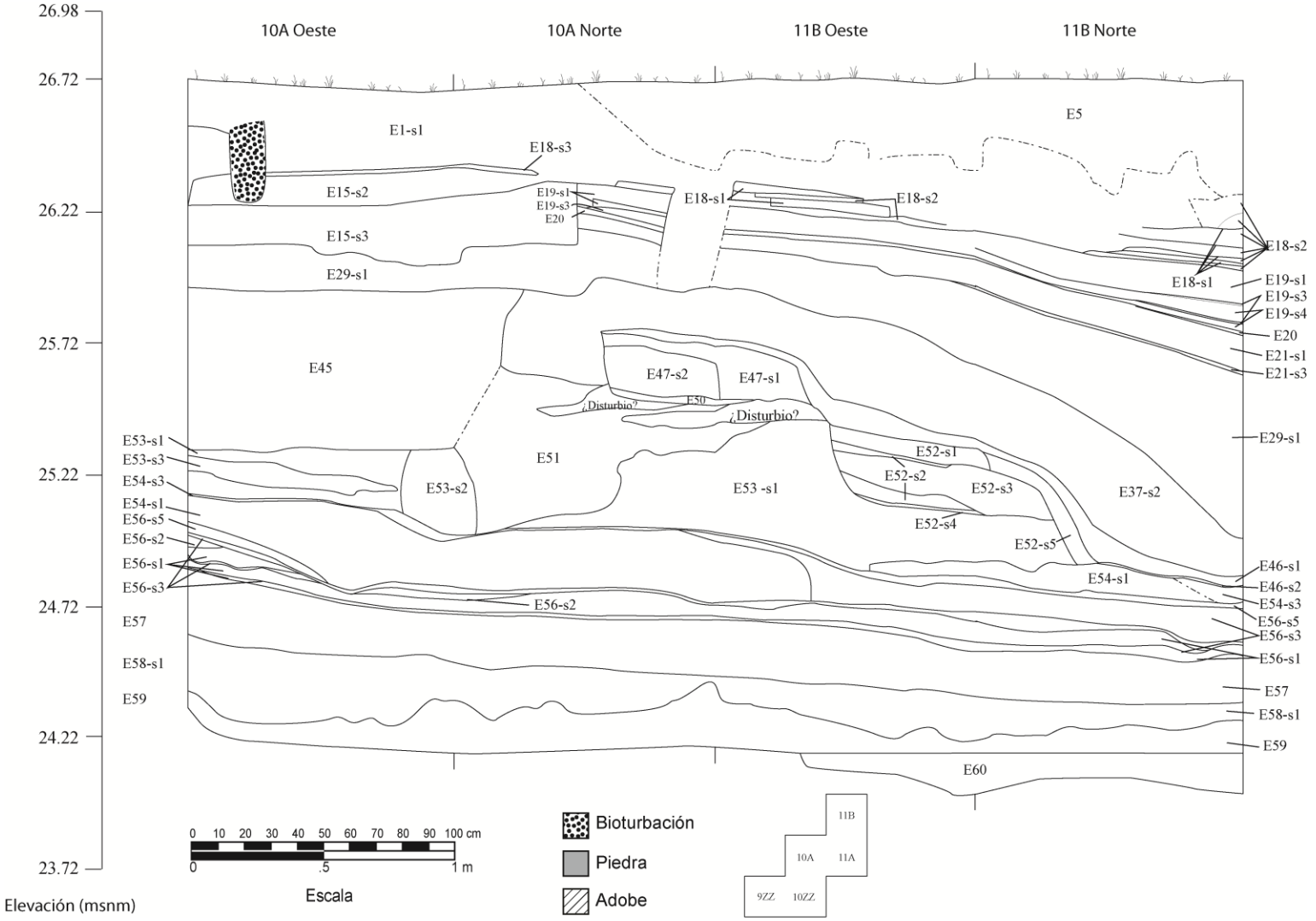


Figura 4.8: Perfiles, unidad 11D

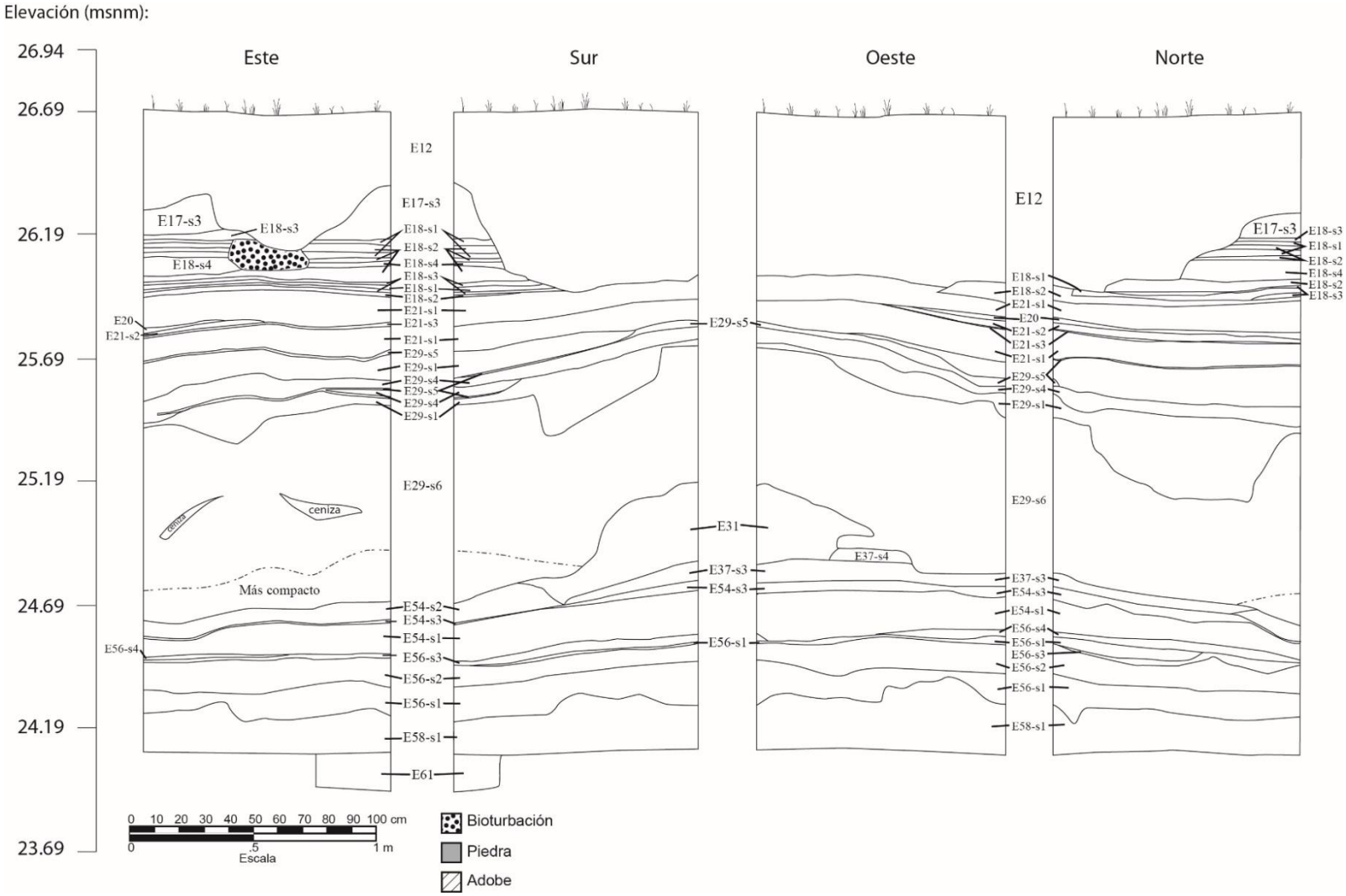


Figura 4.9: Perfiles, unidad 11K

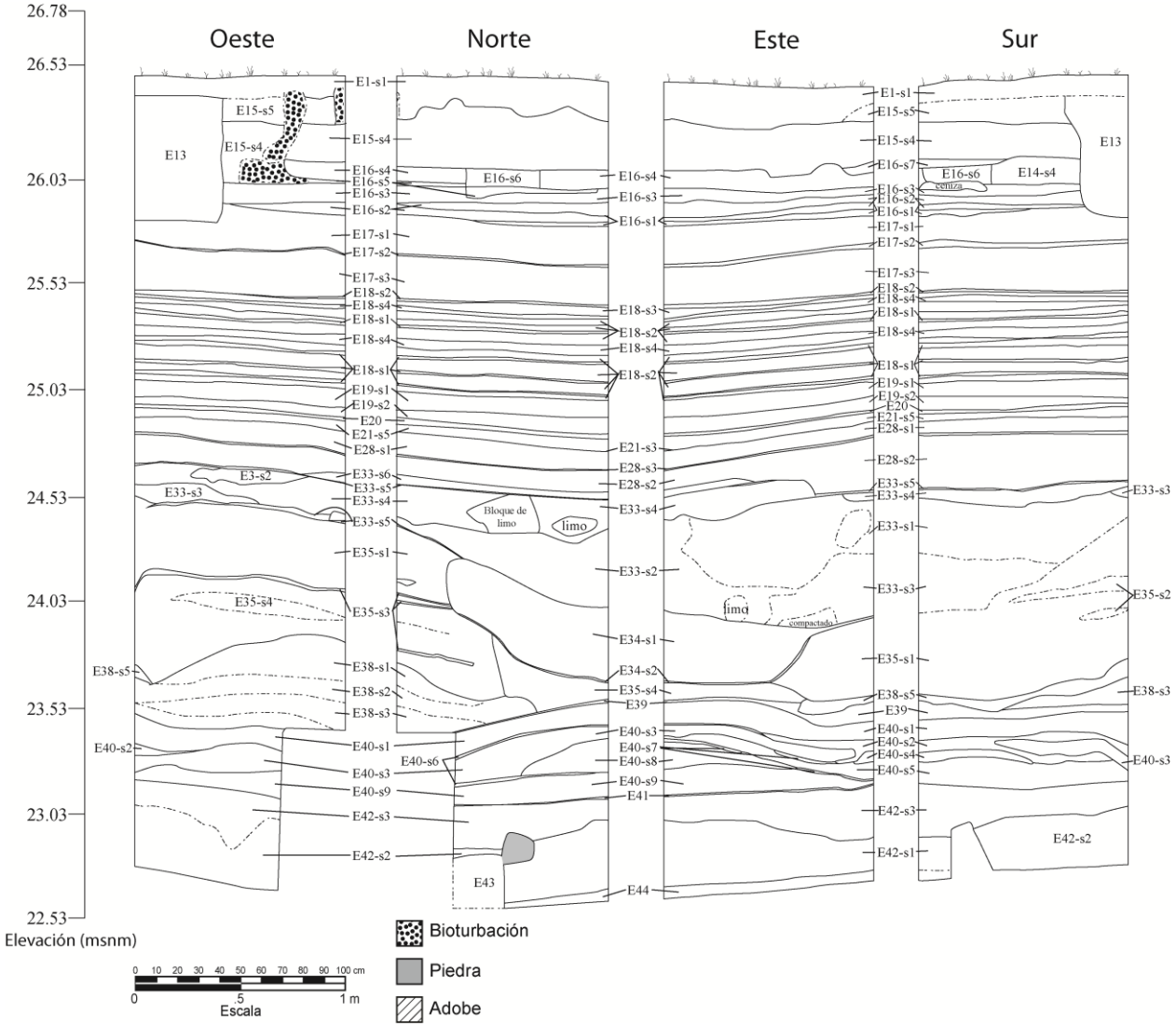


Figura 4.10: Corte de perfil del transecto completo de la Op. C

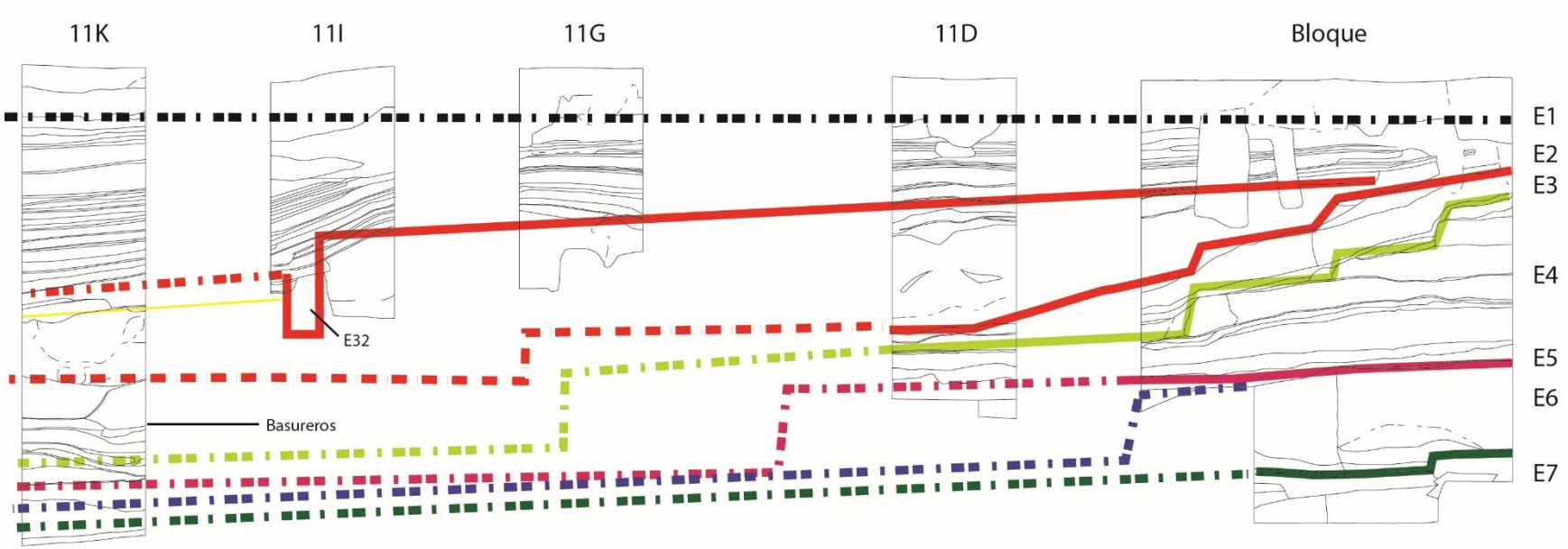


Figura 4.11: Fotografía de E43, muro de bloques de adobe y coluvión en la unidad 11K



Figura 4.12: Fotografía de E39, mostrando las laminaciones hechos por la evaporación de un estancamiento de agua



Figura 4.13: Perfiles, unidad 11I

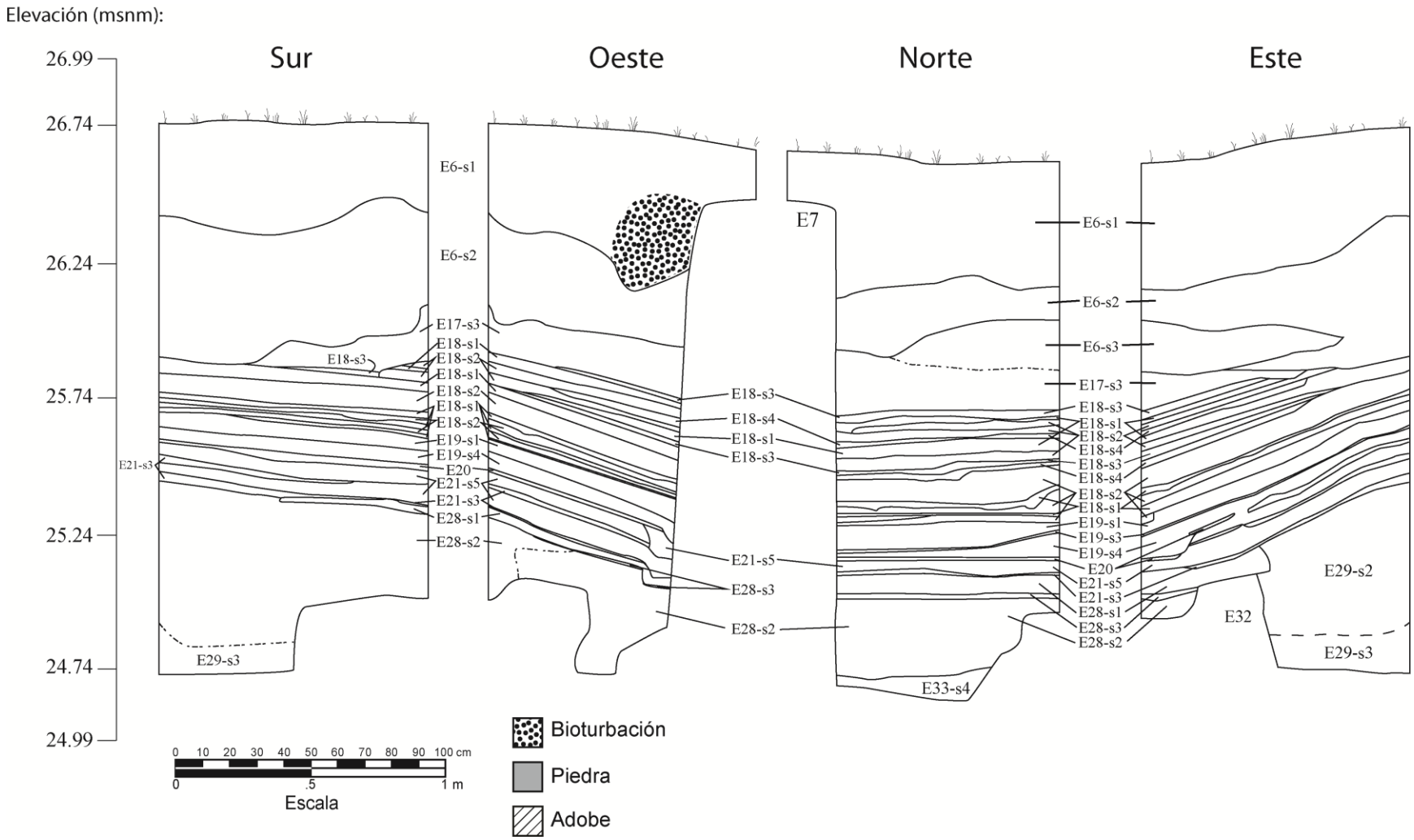


Figura 4.14: Perfiles, unidad 11G

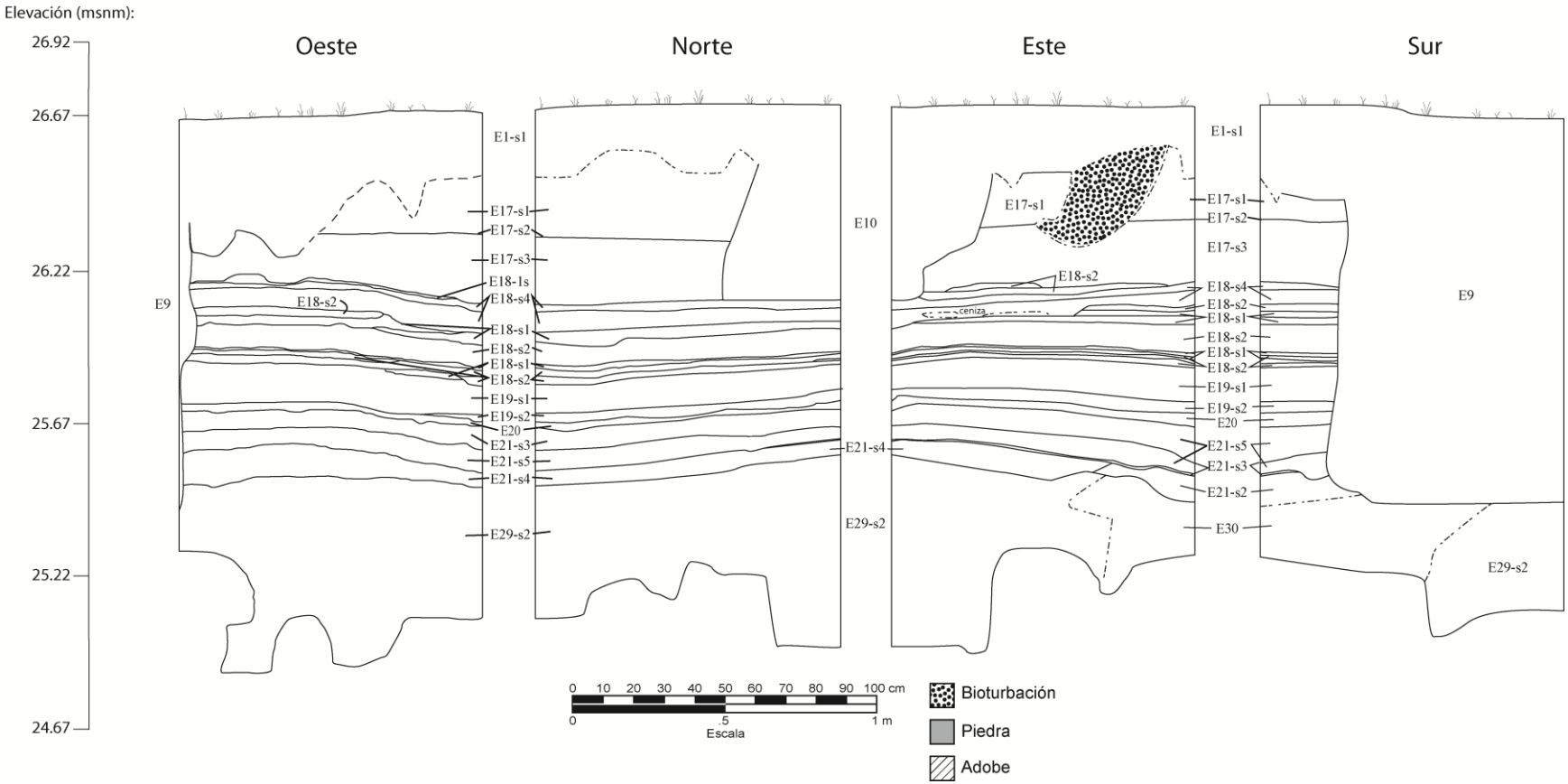


Figura 4.15: Fotografía de E30, bloques masivos de coluvión en la unidad 11G



Figura 4.16: Perfiles, unidad 6D

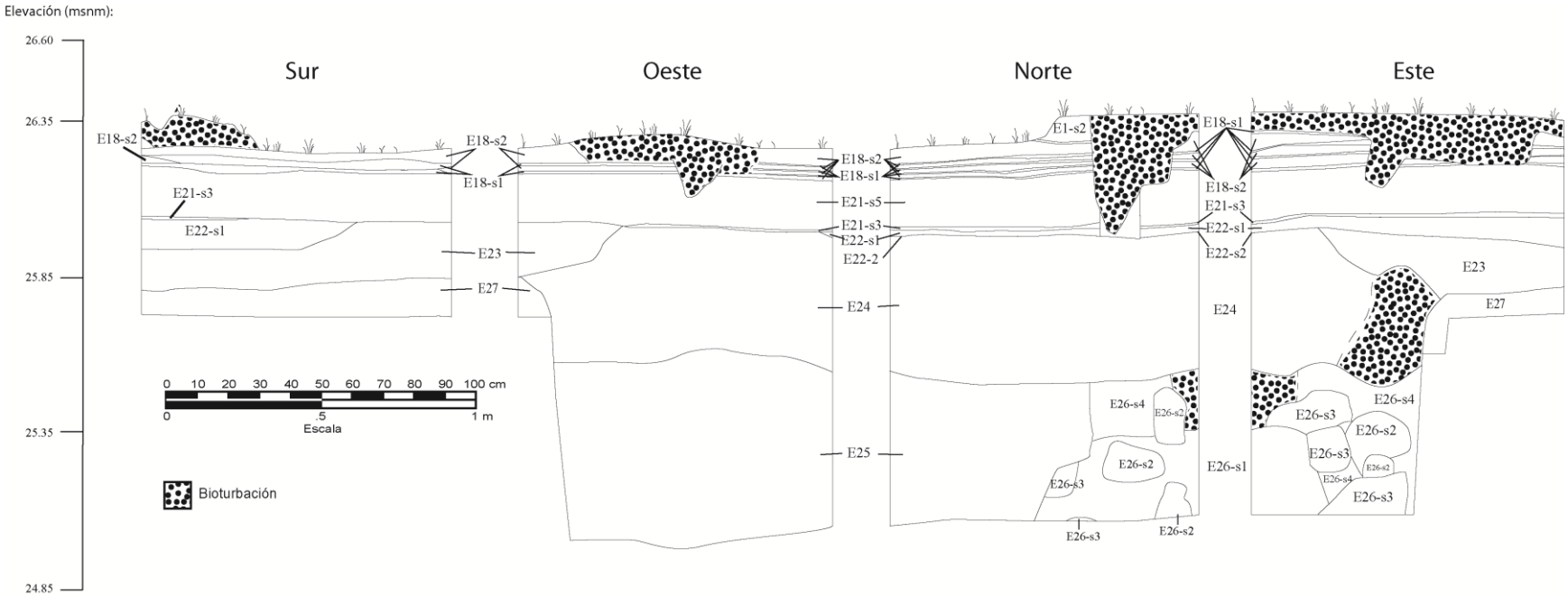


Figura 4.17: Fotografía de E2, basurero grande en la bloque de excavación



CAPÍTULO 5 - Excavaciones de la Operaciones G y E

Victoria Menchaca

5.1 Introduccion

Las excavaciones en la Operación G (Op. G) consistieron en once unidades de 1m x 1m que formaron un transecto en forma de "T" en el borde noreste del Montículo 1. El transecto empezó en la ladera sur de la Estructura 3, una plataforma baja localizada al norte de la Estructura 2, y se extendió por aproximadamente 26 metros al sur sobre el lado de la Estructura 2. El objetivo de la Operación G fue explorar el funcionamiento general del área al norte de la Estructura 2. Esta área de la acrópolis no había sido excavada previamente y se tenía la hipótesis de que la Estructura 3 pudo haber servido como un lado de una cancha de juego de pelota o como una residencia de la élite.

5.2 Metodología

Los métodos de excavación utilizados en la Operación G siguieron el procedimiento estandarizado en los proyectos previamente llevados a cabo en el valle dl bajo Río Verde (Barber y Joyce 2011: Joyce et al. 1998; Joyce y Levine 2009). Cada unidad de excavación del transecto se trabajó como un pozo de 1x1m basándose en una cuadrícula específica de la operación. Siguiendo un sistema pre-establecido de números y letras, se asignó un número y una letra a cada pozo, aumentando el número por cada metro que el transecto avanzaba hacia el este. Cuando el transecto avanzaba al oeste, números negativos fueron asignados. Cuando le transecto avanzaba al sur, le fueron asignadas a las unidades letras en orden alfabético reverso hasta llegar a la letra "A". El orden de letras se volvió a empezar, con doble Z (ZZ). Cuatro data fueron colocados en la Operación (ver Tabla 5.1).

Tabla 5.1: Data de la Operacíon G

Número de datum	Apuntes adicionales acerca de la localización del datum
1	A 0.5 m de la esquina noreste de la unidad 1C; y a 21.39 msnm
2	A 29 cm debajo del datum 1; 21.68 msnm; y 0.3 m al oeste de las Unidades WW1 y WW2
3	A 60 cm debajo del datum 2; 21.08 msnm; y 0.5 m de la esquina noreste de la unidad 1 MM
4	Al mismo nivel que el datum 2 y a 0.5 m de la esquina suroeste de la unidad 1DD

Las unidades fueron excavadas por lotes arbitrarios de 10cm dependiendo del tipo de material excavado o, cuando era posible, de acuerdo con cambios culturales o estratigráficos. La unidad básica de análisis tenía un nivel arbitrario de 10cm. Los lotes más de 10cm se utilizaron en áreas de cambio estratigráfico o en casos de relleno culturalmente estéril, de lo cual había cantidades considerables en la Operación G.

Los pozos en la parte norte-sur del transecto se localizaron a 5, 2.5, 4 y 8 metros de distancia del uno a otro, dependiendo de los elementos y de los artefactos hallados (ver Figura 5.1). Los pozos de la parte este-oeste del transecto fueron colocados en función de la estratigrafía y los elementos previamente descubiertos. Las unidades excavadas en la parte norte-sur del transecto incluyen 1C, 1WW, 2WW, 2VV, MU1, MU2, 1RR, 1MM, y 1DD. Las unidades 2WW y 2VV fueron excavadas para evitar los elementos arquitectónicos del Posclásico temprano encontrados en 1WW y para llegar a los contextos del periodo Formativo al lado de la Estructura 3. Las unidades 1WW y 2WW se juntaron para formar MU1 a una profundidad de aproximadamente 20.18 msnm. MU2 fue localizado a 2.5m al sur de

MU1 y consistió en una trinchera de 2.5 m x 1 m que incluyó la unidad 1RR y la extendió por 1.5 m al norte. La unidad -3SS fue localizada a 3 m al oeste de MU2 para seguir los elementos arquitectónicos encontrados en MU2. La Unidad -7UU fue colocado a 3 m al oeste y a 2 m al norte por la misma razón. 0MM se empezó para ampliar 1MM seguir E29 pero la excavación no se terminó para poder concentrarse en la excavación de 1DD y por límites de tiempo.

Tabla 5.2: Lista de las capas estratigráficas de la operación G

Número de Estrato	Unidades	Descripciones de Munsell y Sedimento	Fecha Probable	Proceso de Formación	Comentarios
E1	1WW, 2WW,and 2VV	10 YR 4.5/3; arcilla limosa de color café	Yugüe	Desecho ocupacional y coluvión	Relleno compacto y no consolidado, coluvión y superficie ocupacional compacta con inclusiones de arena gruesa y mucha cerámica
E48	MU2, 1RR, 1MM, 0MM, (-3SS), (-7UU)	10 YR 4.5/3; café; 10YR 4/4; arcilla limosa de color café oscuro	Yugüe	Coluvión y/o relleno constructivo	Relleno compacto no consolidado y coluvión, inclusiones de arena gruesa y menos cerámica que E1
E42	1DD	10 YR 4.5/3 arcilla limosa de color café	Yugüe	Coluvión	Coluvión compacto de la Estructura 1, arena gruesa e inclusiones muy densas de cerámica
E43	1DD	10 YR 3.5/3; arcilla con migajón de color café/café oscuro	Yugüe	Relleno de construcción o coluvión	Compacto con una densidad baja de cerámica e inclusiones de arena gruesa

Número de Estrato	Unidades	Descripciones de Munsell y Sedimento	Fecha Probable	Proceso de Formación	Comentarios
E44	1DD	10 YR 4/3; Migajón con limo arcilloso de color café	Yugüe	Relleno de construcción o coluvión	Relleno ligeramente compacto o coluvión con inclusiones de arena gruesa debajo de E43
E37-s1	1C	10 YR 3/2; Arcilla limosa de color café grisáceo muy oscuro	Yugüe	Desecho ocupacional	Gran cantidad de artefactos y desecho de construcción del Posclásico temprano, compacto con arena gruesa e inclusiones de color más oscuro que E1
E37-s2	1C	N/A	Yugüe	Desecho ocupacional o relleno	Pequeña concentración de piedras dentro de E37-s1, posiblemente colocado como relleno
E26	1MM	10YR 3.5/3 arcilla limosa de color café oscuro y café	Sin tiestos, Yuta Tiyoo tardío o Yugue	Relleno de construcción	Ligeramente compacto con menos artefactos, grava redonda, y pequeñas piedras redondas
E35	2VV	N/A	Yuta Tiyoo o Yugüe	Muro de Estructura 3-sub1	Borde de un muro encontrado en la esquina suroeste de 2VV, encima de E7-s2 y cubierto por E1-s1

Número de Estrato	Unidades	Descripciones de Munsell y Sedimento	Fecha Probable	Proceso de Formación	Comentarios
E38	1C	10 YR 3.5/3 Arcilla limosa de color café/café oscuro	Yuta Tiyoo	Relleno de construcción	Relleno más suelto de arcilla limosa con menos artefactos, pequeñas inclusiones de calcio carbonato y arena gruesa. Probablemente durante el mismo evento que E7.
E7-s1	1WW, 2WW	10 YR 4/3, Migajón con arcilla limosa de color café	Yuta Tiyoo	Relleno de construcción	Capa de relleno compacto para la Estructura 3-sub1; ubicado a lo largo de las unidades con pocos artefactos, inclusiones de bajareque quemado, arena gruesa
E7-s2	MU1, 2VV	10 YR 3.5/3 Migajón con arcilla limosa de color café / café oscuro	Yuta Tiyoo	Relleno de construcción	Localizado al sur; contiene capas arenosas y es menos compacto que E7-s1. Probablemente una parte del mismo evento de construcción que formó E7-s1 con la excepción que el relleno en esta parte de la unidad ha sido fuertemente perturbado por tuzas

Número de Estrato	Unidades	Descripciones de Munsell y Sedimento	Fecha Probable	Proceso de Formación	Comentarios
E7-s3	1WW	10 YR 4/4; arcilla limosa de color café amarillento oscuro	NA		Caracterizado por concentraciones de material orgánico más oscuro e inclusiones de arena gruesa
E31	1C	10 YR 3/3; arcilla arenosa de color café oscuro	Yuta Tiyoo	Piso	Arcilla arenosa compacta con color rojizo cuando está seco
E33	1C	10YR 3/3; arena limosa de color café oscuro	Yuta Tiyoo	Desecho erosionado o superficie	Arena limosa con partículas blancas, negras y grises
E32	1C	10 YR 3/3; arcilla limosa de color café oscuro	Yuta Tiyoo	Relleno de construcción	Relleno con inclusiones de calcio carbonato y capas delgada de arena; ligeramente compacto
E11-s1	2VV	10 YR 3/3; arcilla con limo de color café oscuro	Yuta Tiyoo	Relleno de construcción	Compacto con inclusiones de arena gruesa, localizado entre E10 y un área perturbado muy grande

Número de Estrato	Unidades	Descripciones de Munsell y Sedimento	Fecha Probable	Proceso de Formación	Comentarios
E11-s2	2VV	10 YR 3/3; Migajón con arcilla limosa de color café oscuro	Yuta Tiyoo	Relleno de construcción	Menos compacto que E11-s1, separado, de E11-s1 por una perturbación grade y adyacente a mas perturbaciones y E7-s2, contiene inclusiones de concha, las diferencias entre E11-s1 y este estrato probablemente relacionadas con las perturbaciones
E10	MU1 , 1WW,2WW	10 YR 3/2; Migajón con arcilla limosa de color café grisáceo muy oscuro	Yuta Tiyoo	Relleno de construcción	Relleno dentro de una plataforma subestructural en la Estructura 3-sub2 (contenido por E9, E8, y E36), el relleno está caracterizado por cerámica e inclusiones de arena
E8	2WW	N/A	Yuta Tiyoo	Muro	Fachada interior de un muro encontrado en la esquina noroeste de 2WW, encima de 13, contiene 10 y cubierto por E7-s1. Muro este de plataforma superestructural encima del Montículo 1-Estructura 3 – sub 2

Número de Estrato	Unidades	Descripciones de Munsell y Sedimento	Fecha Probable	Proceso de Formación	Comentarios
E9	1WW	N/A	Yuta Tiyoo	Muro	Fachada interior de un muro encontrado en la esquina noreste de 1WW, encima de 13, adyacente a 10 y cubierto por E7-s1. Muro norte de la plataforma superestructural encima del Montículo 1-Estructura 3-sub2
E36	2VV	N/A	Yuta Tiyoo	Muro	Fachada interior de un muro encontrado en el lado sur de 2VV, encima de 13 y cubierto por E7s2. Muro sur de la plataforma superestructural del Montículo 1-Estructura3-sub2
E34	1C	10YR 3/4; Arcilla limoda de color café amarillento oscuro	Probablemente Yuta Tiyoo	Relleno de construcción	Compacto, sin inclusiones
E13	MU1, 2VV, 1WW, 2WW	10 YR 3/2 Arcilla limosa de color café grisáceo muy oscuro	Yuta Tiyoo	Relleno de Construcción	Suave con menos cerámica y algunas inclusiones de arena gruesa a lo largo de la unidad. Esta capa de relleno contiene los muros de construcción de una superestructura localizado en la Estructura 3-sub2

Número de Estrato	Unidades	Descripciones de Munsell y Sedimento	Fecha Probable	Proceso de Formación	Comentarios
E46-s1	MU2, 1RR, -3SS, -7UU	10 YR 4.5/4; Migajón arcilloso de color café amarillento/café amarillento oscuro	Sin tiestos diagnósticos, probablemente Yuta Tiyoo	Relleno de construcción	Muy compacto con pocas inclusiones de arena gruesa y tepalcates, probablemente Formativo Terminal tardío por la falta de cerámica, lo cual es diagnóstico del relleno de esta época
E46-s2	MU2	10 YR 4/3 arcilla color café	Sin tiestos diagnósticos, probablemente Yuta Tiyoo	Relleno de construcción	Capa de arcilla ligeramente compacta detrás del muro
E46-s3	-3SS	10 YR 4.5/4; Arcilla limosa de color café amarillento a café amarillento oscuro	Sin tiestos diagnósticos, probablemente Yuta Tiyoo	Relleno de construcción	En la unidad -322 solamente, entre 46-s1 y 41-s2, arriba de E3. Contiene muchas inclusiones de arena gruesa
E39	2VV, MU1	10 YR 4.5/4; limo arcilloso de color café amarillento a café amarillento oscuro	Yuta Tiyoo	Relleno de construcción	Muy compacto con pocas inclusiones de arena gruesa y tepalcates, cubre E22 y 17
E27	1MM	10YR 3/4; arcilla limosa de color café amrillento oscuro	Sin tiestos diagnósticos, Yuta tiyoo o Chacahua	Relleno de Construcción o coluvión	Con arena redondeada y gruesa, inclusiones de artefactos e concha
E30	1MM	10 YR 3.5/4 arena limosa de color café amarillento oscuro	Sin tiestos diagnósticos, Yuta tiyoo o Chacahua	Relleno de construcción	Matriz de arena limosa con inclusiones de arcilla limosa, arena muy fina y compacta. Puede ser un depósito al igual que E41.

Número de Estrato	Unidades	Descripciones de Munsell y Sedimento	Fecha Probable	Proceso de Formación	Comentarios
E41-s2	-3SS	10 YR 4/4; arcilla limosa de color café amarillento	Sin tiestos diagnósticos, Yuta tiyoo o Chacahua	Relleno de construcción	Bloque de arcilla limosa compacta arriba de E3 y debajo de E46-s3 en la esquina noreste de -3SS
E41-s1	MU2, 1 RR, -3SS	10 YR 3/4 Arena con migajón de color café amarillento oscuro	Sin tiestos diagnósticos, Yuta tiyoo o Chacahua	Relleno de construcción	Cubre afuera de E3, contiene pedazos gruesos de arcilla con migajón y pequeñas inclusiones de concha fragmentada
E29	1MM	NA	Sin tiestos diagnósticos, Yuta tiyoo o Chacahua	Alineamiento de piedras	Alineamiento de lajas en forma de 'T', quizás un muro de contención
E28	1MM	10 YR 5/4; Migajón con limo arcilloso de color café amarillento	Sin tiestos diagnósticos, Yuta tiyoo o Chacahua	Probablemente relleno de construcción	Muy compacto sin inclusiones
E45-s2	1RR	10 YR 3/3; migajón arcilloso de color café oscuro	Ningun diagnóstico, probablemente Chacahua	Posiblemente coluvión	Parecido en textura y color a E6
E45-s1	1RR	10 YR 3/3; Migajón con arcilla limosa de color café oscuro	Ningun diagnóstico, probablemente Chacahua	Posiblemente coluvión.	Consiste en sedimento quemado, pequeños pedazos de adobe quemado, y carbono
E17	MU1	10 YR 3/4; arcilla con migajón de color café amarillento oscuro	Sin tiestos diagnósticos, probablemente Chacahua	Relleno de ofrenda/pozo	Arena fina con migajón con pedazos de arcilla limosa, cubre E18

Número de Estrato	Unidades	Descripciones de Munsell y Sedimento	Fecha Probable	Proceso de Formación	Comentarios
E18-s1	MU1	NA	Sin diagnósticos, probablemente Chacahua	Alineamiento linear de piedras	Grupo norte de dos alineamientos de lajas que corren paralelas una a la otra con dirección noroeste-sureste. Las lajas fueron cubiertas por E17. E18-s1 y E18-s2 fueron probablemente colocados al mismo tiempo, indicado por el relleno idéntico que las cubre y su ubicación en el mismo nivel
E18-s2	MU1	NA	Sin diagnosticos, probablemente Chacahua	Alineamiento linear de piedras	Grupo sur de dos alineamientos de piedras
E19	MU1	10 YR 3/3; de color café con anaranjado con granos blancos y arena gruesa	Sin diagnósticos, probablemente Chacahua	Superficie de ocupación o relleno	Arena gruesa y suelta en capas delgadas encontrada a lo largo de MU1, la arena es más gruesa en la parte oeste de la unidad que en la parte este, donde se ubica E18, también localizado entre las líneas de E18 y no directamente encima
E20s-1	2VV	10 YR 3.5/4; Arcilla limosa de color café amarillento oscuro	Sin diagnósticos, probablemente Chacahua	Relleno de Construcción, posible superficie ocupacional	Contenido por E22, compacto y fino con inclusiones de concha

Número de Estrato	Unidades	Descripciones de Munsell y Sedimento	Fecha Probable	Proceso de Formación	Comentarios
E20s-2	2VV	10 YR 4/4; arcilla limosa de color café amarillento oscuro	Sin diagnósticos, probablemente Chacahua	Relleno de construcción	Contenido por E22, fino y compacto con mucha mica
E20s-3	MU1	10 YR 4/4; arcilla limosa de color café amarillento oscuro	Sin diagnósticos, probablemente Chacahua	Relleno de Construcción	Muy compacto, sedimento fino con pocas inclusiones de arena gruesa, contenido al oeste por E22
E22	MU1, 2VV	NA	Sin diagnósticos, probablemente Chacahua	Muro de contención	Muro de contención subestructural o plataforma hacia el sur de E18. Contiene E20 y está cubierto al sur por E39. Base superestructural más joven encontrada en la Estructura3-sub3.
E14	MU1	10 YR 3.5/3; arcilla limosa de color café/ café oscuro		Relleno de Construcción	Relleno compacto con arena gruesa e inclusiones arriba de E15 en 2VV
E15	MU1	10 YR 3.5/4; arcilla limosa de color café amarillento	Sin diagnósticos, probablemente Chacahua	Relleno de construcción	Sedimento compacto contenido por E40 en 2VV
E40	2VV	NA	Sin diagnósticos, probablemente Chacahua	Muro de contención	Alineamiento linear de piedras al sur de E22 con la misma orientacion colocado encima de 23, cubierto por 39 y conteniendo 15. Base superestructural más temprano encontrado en la Estructura 3-sub3.

Número de Estrato	Unidades	Descripciones de Munsell y Sedimento	Fecha Probable	Proceso de Formación	Comentarios
E23	MU1	10 YR 3/4 Migajón con arena de color café amarillento oscuro	Sin diagnósticos, probablemente Chacahua	Relleno de construcción	Ligeramente más compacto que E17, localizado entre las líneas de E18-s1 y s2 y a un lado de estos, se trata del relleno dentro del cual E22 y E40 fueron colocados
E24-s2	MU1	NA, rojizo	Sin diagnósticos, probablemente Chacahua	Cámara de reacción. No visible en perfil.	Parte superior rojizo y quemado de E24-s1 (relleno arcilla limoso); contiene pedazos de adobe e inclusiones de concha. E18 está encima de este estrato y corta ligeramente entro de este.
E24-s1	MU1	10 YR 4/4; arcilla limosa de color café amarillento oscuro	Sin diagnósticos, probablemente Chacahua	Relleno de construcción	Relleno compacto de arcilla limosa
E25	MU1	10 YR 3/4; Migajon de color café amraillento oscuro	Sin diagnósticos, probablemente Chacahua	Relleno de construcción	Suelto y fino, encontrado solamente en la esquina sureste de MU1, debajo de E24
E4-s1	MU2	10 YR 4.5/3; arcilla limosa de color café	Sin diagnósticos, probablemente Chacahua	Relleno de construcción	Ligeramente compacto, relleno de arcilla limosa detrás de E3
E4-s2	MU2	7.5 YR 4/3; arcilla limosa de color café	Sin diagnósticos, probablemente Chacahua	Relleno de construcción	Relleno ligeramente compacto detrás de E3; casi arcilla

Número de Estrato	Unidades	Descripciones de Munsell y Sedimento	Fecha Probable	Proceso de Formación	Comentarios
E4-s4	MU2	10 YR 3/3; arcilla de color café oscuro	Sin diagnósticos, probablemente Chacahua	Relleno de construcción	Bloque denso de arcilla detrás de E3
E4-s5	MU2	10 YR 3/3; arcilla de color café oscuro	Sin diagnósticos, probablemente Chacahua	Relleno de construcción	Bloque de arcilla densa detrás de E3
E4-s6	MU2	7.5 YR 3/4; arcilla limosa de color café oscuro	Sin diagnósticos, probablemente Chacahua	Relleno de construcción	Arcilla limosa detrás del muro; casi arcilla
E4-s7	MU2	10 YR 3.5/4; Arcilla limosa de color café amarillento oscuro	Sin diagnósticos, probablemente Chacahua	Relleno de construcción	Sedimento es el mismo argamasa (E3-s2) dentro del cual se colocó el muro superior
E4-s8	MU2	10 YR 4/4; arcilla limosa de color café amarillento oscuro	Sin diagnósticos, probablemente Chacahua	Relleno de construcción	Relleno detrás del muro con más arcilla
E4-s9	MU2	10 YR 4/4; limoso arenoso de color café amarillento	Sin diagnósticos, probablemente Chacahua	Relleno de construcción	Inclusiones de mica y arena fina
E4-s10	MU2	10 YR 4/3; arcilla limosa de color café	Sin diagnósticos, probablemente Chacahua	Relleno de construcción	Relleno detrás de la construcción del muro con pequeñas inclusiones de concha
E4-s3	MU2	10 YR 3/3; arcilla color café oscuro	Sin diagnósticos, probablemente Chacahua	Relleno de construcción	Arcilla densa detrás del muro

Número de Estrato	Unidades	Descripciones de Munsell y Sedimento	Fecha Probable	Proceso de Formación	Comentarios
E4-s11	MU2	10 YR 4/4; Arcilla limosa de color café amarillento oscuro	Sin diagnósticos, probablemente Chacahua	Relleno de construcción	Relleno detrás del muro con más arcilla que E4-s9, s8 y s15; también contiene inclusiones de mica y arena fina
E4-s12	MU2	10 YR 3/3; arcilla de color café oscuro	Sin diagnósticos, probablemente Chacahua	Relleno de construcción	Bloque de arcilla
E4-s13	MU2	10 YR 3/3; arcilla de color café oscuro	Sin diagnósticos, probablemente Chacahua	Relleno de construcción	Bloque de arcilla
E4-s14	MU2	10 YR 4/4; Arcilla limosa de color café oscuro	Sin diagnósticos, probablemente Chacahua	Relleno de construcción	El mismo sedimento que el argamasa (E3-s3) dentro del cual el muro inferior fue colocado. Mas arcilloso que estratos alrededor
E4-s15	MU2	10 YR 4/4; Arcilla limosa de color café amarillento oscuro	Sin diagnósticos, probablemente Chacahua	Relleno de construcción	Relleno detrás del muro, arcilla limosa gruesa y mal organizada con motas heterogenias de arcilla
E3-s3	MU2	10 YR 4/4; Arcilla limosa de color café amarillento	Sin diagnósticos, probablemente Chacahua	Mortero	Junta con la parte superior del muro. compacto
E3-s2	MU2	10 YR 4/4; arcilla limosa de color café amarillento oscuro	Sin diagnósticos, probablemente Chacahua	Mortero	Junta con la parte inferior del muro, compacto y más arcilloso
E3-s1	-3SS, MU2, 1RR	Sin Munsell	Sin diagnósticos, probablemente Chacahua	Muro de contención de piedra	Piedra conteniendo muro apoyando a la Estructura 3-sub3

Número de Estrato	Unidades	Descripciones de Munsell y Sedimento	Fecha Probable	Proceso de Formación	Comentarios
E5-s2	MU2	10 YR 3/3; Migajón con limo arcilloso de color café oscuro	Sin diagnósticos, probablemente Chacahua	Mortero	Junta con E5-s1 con inclusiones de adobe
E5-s1	MU2 y 1RR	Sin Munsell	Sin diagnósticos, probablemente Chacahua	Muro	Banqueta al fondo del E3.
E6	1RR	10 YR 3/3; Migajón con arcilla de color café oscuro	Sin diagnósticos, probablemente Chacahua	Relleno de construcción	E6-s1

5.3 Construcción y Secuencia Histórica

El transecto de la Operación G proporciona evidencia que indica tres periodos de construcción y ocupación, cada uno seguido por un periodo de abandono. Los tres periodos incluyen el periodo Formativo Terminal tardío (Chacahua), el periodo Clásico tardío (Yuta Tiyoo), y el periodo Postclásico temprano (Yugüe). Sin embargo, por falta de tepalcates diagnósticos, las fechas, especialmente las de las capas más profundas, deben de considerarse como tentativas.

En las capas previas a la fase Yuta Tiyoo (Clásico tardío), la cerámica era escasa, y mucha de la cerámica hallada estaba tan erosionada que no fue posible determinar su fecha. Las secciones que siguen examinarán la secuencia histórica de estos tres periodos de ocupación.

5.3.1 Construcción y Ocupación durante la fase Chacahua

El periodo Formativo Terminal tardío era la fase de ocupación más temprana hallada en esta zona. Está representada por una plataforma hecha de arcilla limosa y bloques de arcilla contenidos por un muro de piedra (E3; Figuras 5.2, 5.3, 5.4, 5.5). E3 era visible en las unidades MU2, 1RR y -3SS, midiendo por lo menos 5 m de largo y orientados a 97°E (7° al este de norte). E3 fue construido en por lo

menos tres fases, con una base y dos fases de construcción. La base (E5) consistió de piedras grandes (con un diámetro aproximado de 40 cm) colocadas dentro de una capa de relleno de construcción (E6). Después, la primera parte del muro (E3) fue construido para llegar a una altura de aproximadamente 110 cm. Después de esta construcción inicial, parece que hubo una pausa durante la cual la composición de la argamasa fue cambiada para incluir arcilla limosa con una concentración ligeramente más alta de arcilla. Después de esta pausa, la construcción continuó y otros 65 cm fueron añadidos al muro. La altura total del muro, incluyendo esta base, era de aproximadamente 210 cm.

Sin embargo, la estratigrafía expuesta en el perfil este de la unidad -1RR reveló que el relleno colocado para cubrir la fachada del muro (E41-s1), probablemente cuando se abandonó la acrópolis, se extiende por casi un medio metro arriba de la capa superior de piedras en E3, para llegar a una altura de 19.55 msnm. La elevación superior de la última capa de construcción (E4-s1) dentro del muro interior se extiende de manera parecida arriba de la última cada de piedras (19.7 msnm). Este cambio entre las elevaciones de relleno y la elevación superior del muro parece indicar que faltan un nivel de piedras o más de la porción más alta del muro (ver Figuras 5.2, 5.3). Además, la ubicación del cimiento de la Estructura 3-sub4 en esta plataforma y la altura máxima de E4-s1 (ambos a aproximadamente 19.48 msnms, a 50 cm más alto que el ultimo nivel de piedras encontrados durante esta excavación) indica que E3 y la plataforma sostenida por el muro eran inicialmente por lo menos 20-30 cm más altos.

En el interior de E3, había aproximadamente 190 cm (de 19.62-17.72 msnm) de capas intercaladas de relleno de construcción. Este relleno, expuesto en la unidad MU2, no estaba organizado y representa probablemente canastas de material de relleno echadas detrás del muro de contención E3. Ninguna laminación y ningún artefacto diagnóstico fueron observados. Las capas de relleno consistieron principalmente de arcilla limosa con porcentajes alternantes de arcilla y bloques ocasionales de arcilla (E4-s3-5, -12, -13; ver Figuras 5.2, 5.3). Es interesante notar que a 18.92 msnm, a la misma profundidad

que el cambio en la argamasa del muro, había una capa muy nivelada y compacta de arcilla limosa (E4-s6). Esta capa compacta puede haber sido una superficie ocupacional temporal durante la breve pausa en la construcción mencionada anteriormente. Dada la falta de artefactos y arena en la interface superior de E4-s6, probablemente no fue utilizada como superficie por mucho tiempo.

La superficie superior de la plataforma (Estructura 3) creada por E3 sostuvo por lo menos dos súper-estructuras superpuestas y sus superficies ocupacionales asociados. La evidencia más temprana de actividad ocupaciones en la plataforma está representada por E24, una capa de arcilla limosa que se fue quemando hasta tener un color rojo en su superficie máxima y contenía pedazos de adobe así como inclusiones de concha (Figuras 5.6, 5.7, 5.8). Ningún cimiento asociado con la superestructura con la cual E24 hubiera sido asociado fue encontrado. Después de que se quemó E24, se empezaron construcciones más formales y una plataforma sub-estructural baja, la Estructura 3-sub4, fue construida. Uno de los muros exteriores (E40; Figura 5.9) fue expuesto por la unidad VV2. La construcción de la Estructura 3-sub5 empezó con la colocación de relleno compacto de arena limosa (E23) dentro del cual el muro bajo sub-estructural (E40) fue colocado y alineado a 109°E (19° al este de norte). Las fachadas norte de las piedras que formaban E40 fueron acabadas, indicando que la plataforma de la base de la estructura se extendía al sur, hacia el borde de la plataforma más grande de la Estructura 3. El interior de la Estructura 3-sub4 fue posteriormente rellenado por E15, un estrato no consolidado de arcilla limosa, pero el área de la estructura no está claro puesto que E15 solo fue expuesto en perfil detrás de E40.

Después, el tamaño de la Estructura 3-sub4 fue ampliada por 50cm al norte con la colocación de E22 (figura 5.10), otro muro bajo sub-estructural, paralelo a E40. Esta renovación creyó una plataforma estructural más grande, la Estructura 3-sub3, y el área entre E22 y E40 fue rellenado por E20. La primera capa de E20, E20-s2, era una capa de 10cm de grueso de arcilla limosa fina y ligeramente compacto con inclusiones de mica – era probablemente relleno de construcción. La segunda capa de E20, E20-s1, era

una capa de arcilla limosa fino de 5 cm de grueso. E20s1 era ligeramente más compacto que la capa abajo y contenía inclusiones de concha. Por ser tan compacto, es posible que E20-s1 era la superficie de un patio al exterior de E40 (y la Estructura 3-sub4) y no solo relleno de construcción. E20-s3 aparece también haber sido relleno contenido por E22. Fue encontrado en el lado oeste de E22, en MU1.

Después de la construcción y expansión de la Estructura 3-sub 3, una superficie (E19), probablemente representando la superficie ocupacional exterior de un patio, fue preparada al norte de E22. Esta superficie fue compuesta de láminas de arena suelta. Un poco después, probablemente antes del final de la fase Chacahua, dos grupos paralelos de lajas (E18-s1 y D18-s2) alineados a 95°E (5° al sur del este) fueron colocados dentro del patio norte de E22 (figura 5.11, 5.12). Estas lajas fueron probablemente parte de una ofrenda y fueron construidas tras una excavación que atravesó de E19 y E23 para llegar a E24. Las lajas fueron colocadas encima de un poco a dentro de E24. Poco después, el elemento fue cubierto por relleno de arena limosa fina (E17). Estos elementos son los últimos encima de la Estructura 3 que pertenecían a la fase Chachahua.

En algún momento después de la construcción del muro pero antes del abandono del area, una capa delgada de sedimento fue colocada para cubrir E5, el banco al base del muro. Este estrato consiste de tierra quemada y pequeños fragmentos de bajareque (E45-s1) cubierto por una capa de arcilla limosa (E45-s2) casi igual a E6. Estos materiales aparecen representar una mezcla de desecho y de erosión de la superficie de la plataforma. Dado que E45 y E6 tienen fuerte inclinación hacia abajo y hacia el sur, alejándose de la superficie del muro, la interface superior de E45, en particular, fue probablemente erosionada antes de la colocación de E41-s1. Por esta razón, E45 y E6 habrían estado expuestos por algún tiempo y afectados por la erosión antes de ser cubiertos por E41-s1.

Al final de la fase Chacahua, parece que esta parte de la acrópolis fue abandonada y enterrada. El muro de contención de la plataforma (E3) fue cubierto por E41, un depósito de 215cm de grueso de

migajón con arena que contenía pedazos de arcilla limosa y pequeñas inclusiones de concha. E41 fue observado en todas las unidades (MU2, 1RR y -3SS) donde se encontró también el muro. Un estrato de textura y apariencia muy parecida a E41 (E30) fue descubierto en la unidad 1MM, ubicado justo al norte de la Estructura 2 (figura 5.13). Si E30 pertenece al mismo evento de relleno que E41, el espacio completo de la plaza o del patio entre las Estructuras 3 y 2 pudieron haber sido rellenadas completamente al mismo tiempo. La superficie de la Estructura 3, incluyendo las Estructuras3-sub4 y –sub3 fue cubierta por una capa de relleno de construcción de migajón con arcilla (E39) de entre 30-50cm de grueso. Puesto que ningún tiesto diagnóstico fue recubierto desde cualquier capa dentro del relleno, no está claro cuando ocurrieron estos eventos. También es posible que estas áreas fueran rellenadas cuando se volvió a ocupar la acrópolis en el periodo Clásico tardío.

Finalmente, un alineamiento de lajas en forma de "T" (E29) fue encontrado a 19.23 msnm en la unidad 1MM (figura 5.14). Su elevación parece ser igual a la cima de E31; sin embargo el alineamiento descansa sobre una capa de migajón con arcilla limosa, E28, la profundidad de la cual no fue explorada por cuestiones de tiempo. E29 fue posteriormente rellenada en sus dos lados y cubierto por una capa de relleno (E30) y otra capa o de coluvión o de relleno de construcción (E27), fue colocado encima. La función y la posición cronológica de E29 no están claras por el hecho de que fue expuesta de manera limitada en 1MM. Puede pertenecer o a la fase Chacahua muy terminal – justo antes de que se rellenó el espacio entre las Estructuras 2 y 3 – o puede ser un elemento del periodo Clásico tardío. Se necesita de más investigación para poder entender la fecha de este elemento.

Gracias a previas excavaciones (Barber y Joyce 2012) se sabe que la acrópolis fue abandonada durante la fase Coyuche o en el periodo Clásico temprano. En la Operación G, solo se encontraron algunos tiestos de cerámica de la fase Coyuche en todas las unidades. Aunque cerámica Coyuche está presente, esta mezclada con cerámica de la fase Yuta Tiyoo, indicando que quizás fue redepositada.

Como resultado, ningún estrato pudo ser identificado como perteneciendo a la fase Coyuche y parece que la Estructura 3 también fue abandonada durante este periodo de tiempo.

5.3.2 Construcción y Ocupación durante la fase Yuta Tiyoo

Siguiendo un momento de abandono durante el periodo Clásico temprano, la plataforma de la Estructura 3 volvió a ser ocupada durante el periodo Clásico tardío y el Posclásico temprano. La historia ocupacional sigue el patrón general visto a lo largo de la acrópolis (Barber y Joyce 2012). Relleno de construcción y evidencia de ocupación de la fase Yuta Tiyoo es aparente en todas las unidades excavadas en el transecto de la Operación G. Sin embargo, la transición estratigráfica entre el último estrato de la fase Chacahua y el primer estrato de la fase Yuta Tiyoo es difícil de identificar por la falta de tiestos de cerámica diagnósticos. Sin embargo, desde E39 para arriba encima de la Estructura 3, cerámica diagnostica ocurrió con más frecuencia y se pudieron asignar fechas de manera segura. La única excepción a esto era en la unidad 1MM donde la falta de tiestos diagnósticos continuo hasta que se encontraron capas claramente de la fase Yugüe en los dos últimos estratos: E26 y E28.

La ocupación durante la fase Yuta Tiyoo estaba principalmente concentrada en esfuerzos para rellenar y nivelar el área en el borde norte de la Operación G. E46, una capa de relleno de arcilla limosa, fue colocada encima de la porción sur de la Estructura 3 (levantándola a 20.25 msnm) y su muro de contención (E3), probablemente para expandir y nivelar la Estructura 3. Esto hubiera creado un espacio grande y nivelado para superestructuras futuras. Se encontró un poco de cerámica de la fase Yugüe en las porciones superiores de esta capa, así que es posible que E46 pertenece a la fase Posclásica temprana. Sin embargo, la alta presencia de perturbaciones en E46 sugiere que la cerámica de la fase Yugue fue introducida desde estratos superiores.

Tres capas de relleno de construcción (E39, E13 y E34) fueron colocadas encima de la Estructura 3, levantando aún más el nivel del acrópolis en esta ara, para llegar a 20.51 msnm. El E13 era la base

dentro de la cual los muros de contención de piedra (representado por E36, E8 y9 E9) de una plataforma subestructural (Estructura 3-sub2) fueron construidos. Basándose en los muros expuestos en las unidades MU1 y VV2, la Estructura 3-sub2 media por lo menos 1.7m x 1m, con una orientación de 7° al este de norte. Dos de los muros E8 y E9 fueron construidos utilizando por lo menos tres niveles de piedra. La Estructura 3-sub2 contenía la capa E10.

Cinco metros al norte de la Estructua3-sub2 (en la unidad 1C), a aproximadamente la misma elevación (20.58 msnm) encima de E13, relleno de construcción arcilloso limoso (E34) fue expuesto, y la presencia de varias piedras grandes y planas fueron observadas en la interface de este estrato con el estrato superior (E32; figuras 5.15, 5.16). Estas piedras grandes y planas probablemente representan escombro de un edificio caído y sugieren que puede haber sido una construcción adicional en esta área. E32 era una capa de relleno que sostenía una superficie ocupacional. Hay dos capas delgadas arenosas (E33 y E31) en la interface superior de E32. E31 era muy probablemente una superficie ocupacional preparada porque consistía de arcilla arenosa compacta de un color rojizo cuando era seco. El origen de E33 es menos claro. Puede ser una capa de arena mal conservada o pudo haberse formado por erosión.

La Estructura 3 fue elevada y expandida una última vez durante la fase Yuta Tiyoo. En el borde sur de la estructura, la Estructura 3-sub2 fue enterrada debajo de E7, una capa de relleno de aproximadamente 50 cm de grueso. Un segmento de un muro bajo (E35) fue encontrado en la unidad 2VV en la interface entre E7 y E1. El estrato posterior pertenece a la fase Yugüe del Posclásico temprano, así que la fecha del muro no está claro (ver abajo). Al norte, una última capa de construcción (E38) cubrió la superficie ocupacional E31. En área entre la Estructura 3 y 3 fue llenada o por mas coluvión o por relleno de construcción (E26).

5.3.3 Construcción y Ocupación de la fase Yugüe

Después de los eventos de relleno al final del Clásico tardío, parece que no se volvió a construir de manera importante en esta área de la acrópolis. El muro bajo (E35) previamente mencionado puede ser del Posclásico temprano, puesto que fue cubierto por E1, sedimento que se formó dentro del desecho ocupacional y coluvión. Elementos parecidos han sido registrados en otras áreas de la acrópolis en la Op E 2012 y 2013 (ver abajo; Egan y Barber 2012), Op. D 2009 (Barber y Baillie 2011), y op. A 2000. Todos los estratos del Posclásico temprano parecen ser o relleno de construcción, coluvión, o desecho ocupacional.

Evidencia clara de ocupación durante la fase Yugüe fue concentrada en los bordes norte y sur del transecto de la Op. G. Aunque no elemento arquitectónico fue identificado durante la excavación, la cantidad de material sugiere una ocupación o el uso de esta área durante la fase Yugüe. Encima de la Estructura 3, en las unidades 1CC, WW1, WW2, y VV2, los últimos estratos (E37 y E1) consistieron de desecho ocupacional, incluyendo una gran cantidad de artefactos, inclusiones de arena gruesa, y desecho de construcción, así como piedras labradas (ver figuras 5.6, 5.7). Al sur, entre la Estructura 3 y la Estructura 2 (expuesto en las unidades MU2, 1RR, 1MM, 0MM, -3SS y -7UU), una última capa de relleno de construcción mezclado y/o coluvión (E48) fue colocado para llenar el área entre las Estructuras 2 y 3 (figura 5.17). En la base norte de la Estructura 2, las unidad 1DD expuso capas sucesivas de coluvión (E44, E43, y E42) de la Estructura 2 (figura 5.18). Estas capas contenía cerámica de la fase Posclásico temprano, probablemente derivado de ocupaciones encima del montículo que pertenecía a este periodo, los cuales han sido previamente documentado (Arnaud Bustamente, Levine y Joyce 2009). Sin embargo, los estratos en sí mismos, probablemente fueron formados en los siglos después del abandono de la acrópolis en AD 1200. No se identificó ningún alineamiento que podía ser asociado con las construcciones del Posclásico temprano.

5.4 Conclusiones

Las excavaciones en la Operación G hallaron elementos que representan tres fases cerámicas distintas en la Estructura 3. Esta parte de la acrópolis fue ocupada durante el periodo Formativo Terminal tardío (fase Chacahua), abandonado durante el Clásico temprano (fase Coyuche), y re-ocupado desde el Clásico tardío (fase Yuta Tiyoo) hasta el Posclásico temprano (fase Yugüe). Los elementos arquitectónicos encontrados en la Operación G ayudan a formar una imagen de la acrópolis más completa, contribuyen a nuestro entendimiento de como el espacio fue utilizado en la acrópolis, y proveen más información acerca de la variabilidad en las técnicas de construcción utilizadas en esta área del sitio. El muro de contención masivo encontrado en las unidades MU2, 1RR y (-3SS) revela la presencia de una plataforma muy grande al norte de la Estructura 2 que era previamente desconocida. Esta plataforma grande, la Estructura 3, sugiere que la actividad humana no fue solamente restringida a la porción sur de la acrópolis. La construcción de arquitectura monumental occurio en la parte norte de la acropolis también. Es más, la mampostería del muro indica que las técnicas de construcción en la acrópolis fueron más variadas que se pensaba antes. Esta variabilidad apoya también las conclusiones de las excavaciones previas que proponen que la acrópolis fue construida a través de la cooperación y la participación de grupos de personas diferentes de todo el valle, unidos debajo de los líderes de Río Viejo.

Investigaciones futuras de la Estructura 3 podrán resolver algunas de las preguntas y asuntos que quedaron acerca de la Operación G al final de la temporada de campo de 2013. Sugerimos una expansión de MU2 al norte y al sur. La expansión norte conectara la excavación con MU1 para confirmar la colocación de la Estructura 3-sub4 sobre la plataforma de relleno del Formativo terminal. La expansión hacia el sur clarificara la relación de E29 con el muro de contención grande de la plataforma y del relleno que cubre su exterior. Estas ampliaciones encontráran también más material diagnóstico

para obtener mejor fechas para las construcciones en esta operación, en especial las construcciones en niveles más profundos. Otra sugestion sería limpiar los cortes erosionales al norte del área, lo que podría ser benéfico para determinar el límite del muro de contención de la plataforma.

5.5 La Operación E

Las excavaciones de 2013 en la Operación E representaron la tercera temporada de excavaciones en el lado oeste de la acrópolis. Las excavaciones en la Operación E empezaron en 2009 con una sola unidad de 1m x 1m al lado oeste del patio hundido del Montículo 1 (ver Barber y Joyce 2011: Figura 1.2; Barber y Baillie 2011). Durante la temporada de campo de 2012, la Operación E se expandió para tener 24 unidades de excavación de 57m de largo sobre un eje este-oeste. Un solo bloque de excavaciones de 4.7 m² en 2012 expuso una serie de elementos de la fase Chacahua, incluyendo un muro de bloques de adobe y un basurero (Egan y Barber 2012). Las excavaciones en la Operación E (Op. E) durante la temporada de campo de 2013 fueron inicialmente designadas para ampliar el bloque de 2012, y dos unidades de 1m x 1m fueron abiertas. Siguiendo el sistema pre-establecido de números y letras, las nuevas unidades fueron llamadas 12ZZ y MU5. 12ZZ era localizado al sur de 12A y MU5 al norte de MU4, abarcando la esquina noreste de 13C y la porción norte de MU4 del año anterior (ver Figura 5.19). Estas unidades fueron abiertas para explorar los dos elementos de muro, E73 en 12A y E74 en 13C encontrados durante la temporada de campo de 2012. Un datum fue colocado a 30 cm arriba de la superficie (21.63 msnm) para ambas unidades y fue localizado a aproximadamente 2m de cada unidad, al oeste del bloque entero.

5.5.1 Metodología

Los métodos de excavación usados en la Operación E siguieron el procedimiento estandarizado por la Operación G y los proyectos previamente llevados a cabo en el valle del bajo Río Verde. (Barber y Joyce 2011; Joyce et al. 1998; Joyce y Levine 2009). Cada unidad de excavación del transecto se trabajó como un pozo de 1x1m basándose en una cuadrícula específica para la operación. Las unidades fueron excavadas en lotes arbitrarios de 10cm dependiendo del tipo de material excavado o, cuando era posible, de acuerdo con cambios culturales o estratigráficos. La unidad básica de análisis tenía un nivel

arbitrario de 10cm. Los lotes de más de 10cm solo se utilizaron en dos casos: en áreas de cambio estratigráfico conocido y cuando encontramos elementos importantes (en este caso el basurero E99). En ambas las unidades 12ZZ y MU5, solo el primer estrato (la superficie modera) fue excavado en un lote de 20 cm. Cada estrato después de este fue excavado por lote arbitrario de 10 cm.

Tabla 5.3: Lista de las capas estratigráficas de la operación E

Número de Estrato	Unidades	Descripciones de Munsell y Sedimento	Fecha Probable	Proceso de Formación	Comentarios
E1-s2	12ZZ, MU5	10YR 2/2; Arcilla limosa de color café muy oscuro	Superficie Moderna	Tierra	Arcilla limosa muy compacta con arena gruesa, elementos arquitectónicos del Clásico tardío o mas tardío
E74	MU5	NA	Yuta Tiyoo o más tardío	Muro	Muro noreste-sudoeste en la interface entre E53 y E1-s2
E53	MU5	10 YR 4/3; Migajón con limo arcilloso de color café oscuro	Yuta Tiyoo	Relleno	Migajón con limo arcilloso ligeramente compacto con pocas inclusiones de concha y algunos tiestos de cerámica
E11	12ZZ, MU5	10 YR 3.5/2; arcilla limosa de color café grisáceo oscuro a muy oscuro	Yuta Tiyoo	Relleno de construction	Compacto con más arcilla
E99	MU5	10YR 4/3; Migajón con arcilla de color café	Yuta Tiyoo	Basurero	Basurero excavado dentro de E94-s3, con inclusiones de ceniza, grandes concentraciones de concha y cerámica (incluyendo una vasija completa)

E100	12ZZ	NA	Yuta Tiyoo	Muro	Muro en dirección norte-sur que corre a lo largo oeste de 12ZZ cubierto por E11
E101	12ZZ	NA	Yuta Tiyoo	Muro	Muro en dirección norte-sur que corre a lo largo oeste de 12ZZ cubierto por E11
E102	MU5	10YR 3/4; Migajón con limo arcilloso de color café amarillento oscuro	Chacahua	Desecho Occupacional	Relleno compacto con muchas inclusiones de concha y un porcentaje más alto de cerámica que E53, quizás se correlaciona con E92-s1 de 2012

5.5.2 Construcción y Secuencia Histórica

Las dos unidades proporcionan evidencia de construcción y ocupación en esta área durante las fases Yuta Tiyoo (Clásico tardío) y Chacahua (Formativo Terminal tardío). Por falta de tiempo las unidades excavadas no pudieron llegar a los elementos arquitectónicos que iban a ser el foco de la operación y tampoco llegaron a las fases de actividades más tempranas.

5.5.2.1 Construcción y Ocupación durante la fase Chacahua

El evento de construcción y ocupación hallado más temprano pertenece al final de la fase Chacahua. Evidencia de este periodo ocupacional temprano se halló en la unidad MU5 (Figura 5.20). El elemento más temprano, E102, era una capa de desecho ocupacional que consistió de migajón con arcilla limosa compacto con una concentración alta de cerámica y concha. Nueve tiestos diagnósticos pertenecientes a la fase Formativo fuero asociados con esta capa. E102 probablemente esta correlacionado con E92-s1, localizado debajo de una capa de relleno (E11) de la fase Yuta Tiyoo (del

Clásico tardío), aunque corta adentro de un basurero de la fase Chacahua tardío (E35) y se encuentra arriba de una capa de relleno de la fase Chacahua tardía (E94-s1). E102 era el único estrato asociado con la fase Chacahua encontrado durante esta temporada de campo y por cuestiones de tiempo no se pudo excavar más abajo de esta capa en MU5.

5.5.2.2 Construcción y ocupación durante la fase Yuta Tiyoo

La construcción más temprana de la fase Yuta Tiyoo documentada en 2013 consistió en dos cimientos, E100 y E101. Estos dos muros fueron orientados norte-sur y estaban colocados paralelos uno frente al otro, con aproximadamente 40cm entre los dos dentro de la unidad 12ZZ (Figuras 5.22, 5.23). Conforme con una examinación de la cara de las piedras en E100 y E101, parece probable que la unidad 12ZZ expuso el exterior de dos edificios – uno al este, representado por E101 y uno al oeste, representado por E100. La cima de E100 y E101 fue encontrada a una profundidad de 21.13 msnm y 21.15 msnm, y la superficie exterior de los muros fueron posteriormente cubiertos por una capa de relleno de construcción (E11) que cubrió mucha de esta área de la acrópolis en algún momento durante la fase Yuta Tiyoo (ver Egan 2012). Un segundo elemento cubierto por E11 era E99, descubierto en MU5 (Figura 5.21). E99 era un basurero que fue excavado dentro de desecho ocupacional de la fase Chacahua tardía (E102). El sedimento en E99 era compuesto por limo arcilloso con inclusiones de ceniza, una concentración alta de cerámica y concha, y una vasija completa que pertenece a la fase Yuta Tiyoo.

Varios elementos eran intrusivos o en la superficie de E11. El primero era un gran pozo, E53, en MU5. E53 fue previamente observado durante las excavaciones de 2012 (Egan y Barber 2012), y en las excavaciones de 2013 se vio que el pozo corta también dentro del basurero E99 (ver Figura 5.21). Encima de la interface superior de E11 había un muro de piedra (E74) alineado a 12 grados al este de norte (ver Figura 5.22). Este muro era parte de un grupo de cimientos bajos (E74, E72) encontrados en esta elevación en 2012 (Egan y Barber 2012) que representan probablemente una estructura residencial

o más. Posteriormente a estos eventos de construcción, el área fue cubierta por E1-s2. E1-s2 representa al superficie moderna y estaba compuesta por arcilla limosa muy compacta con inclusiones de arena gruesa, y corresponde a la fase Yuta Tiyoo o mas tardío.

5.5.3 Conclusiones

Debido a los límites de tiempo, la expansión de las excavaciones en la Operación E fue muy limitada durante la temporada de campo de 2013, y no había tiempo suficiente para llegar a cada objetivo. Sin embargo, esta excavación más reciente ha revelado que múltiples eventos de construcción y una actividad constructiva importante se estaba llevando a cabo en esta parte de la acrópolis durante la fase Yuta Tiyoo. El tamaño y la cercanía de los muros (E74, E73 [ver Egan y Barber 2012], E100 y E101) sugiere que esta arquitectura era doméstica y no la arquitectura ceremonial a gran escala que caracterizó a la acrópolis durante la fase Chacahua. Mas investigaciones en esta área serán valiosas para clarificar la secuencia de construcción de E100 y E101 y para entender como esta parte de la acrópolis fue utilizada durante el Clásico tardío.

Figura 5.1 Esquema de la Operación G

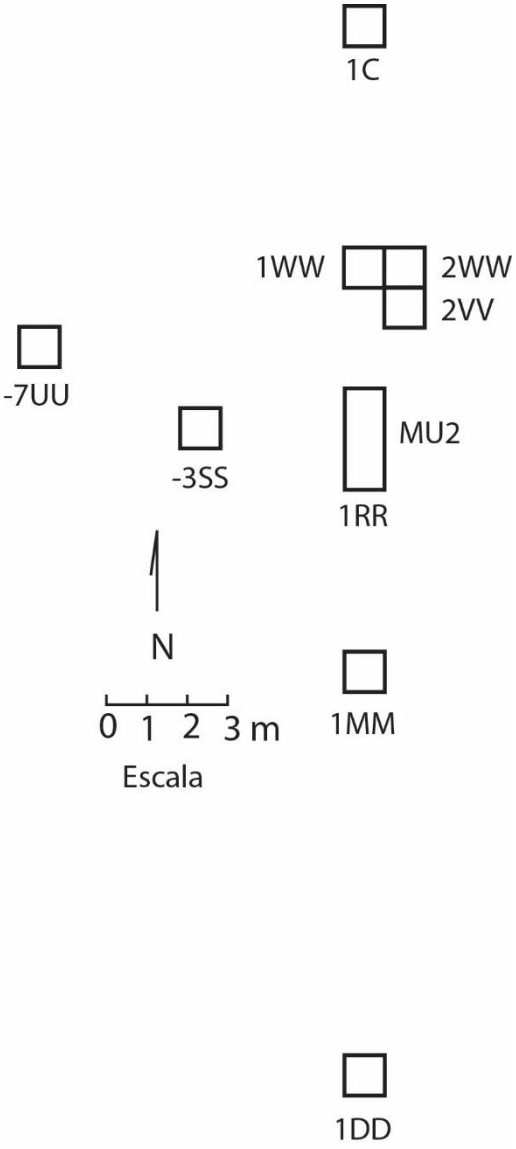


Figura 5.2 MU2/1RR Perfiles de las paredes Este y Sur

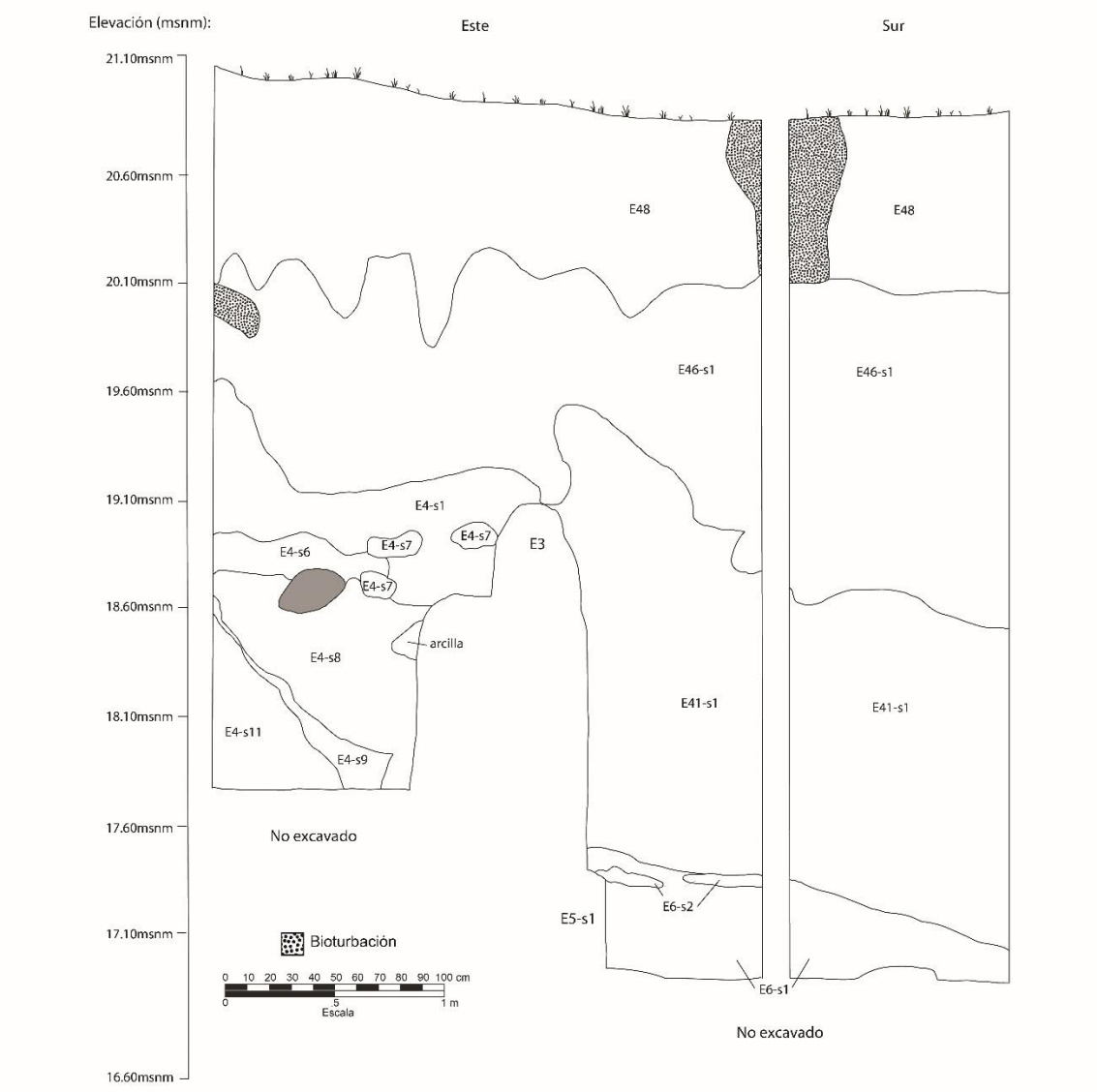


Figura 5.3 MU2/1RR Perfiles de las paredes Oeste y Norte

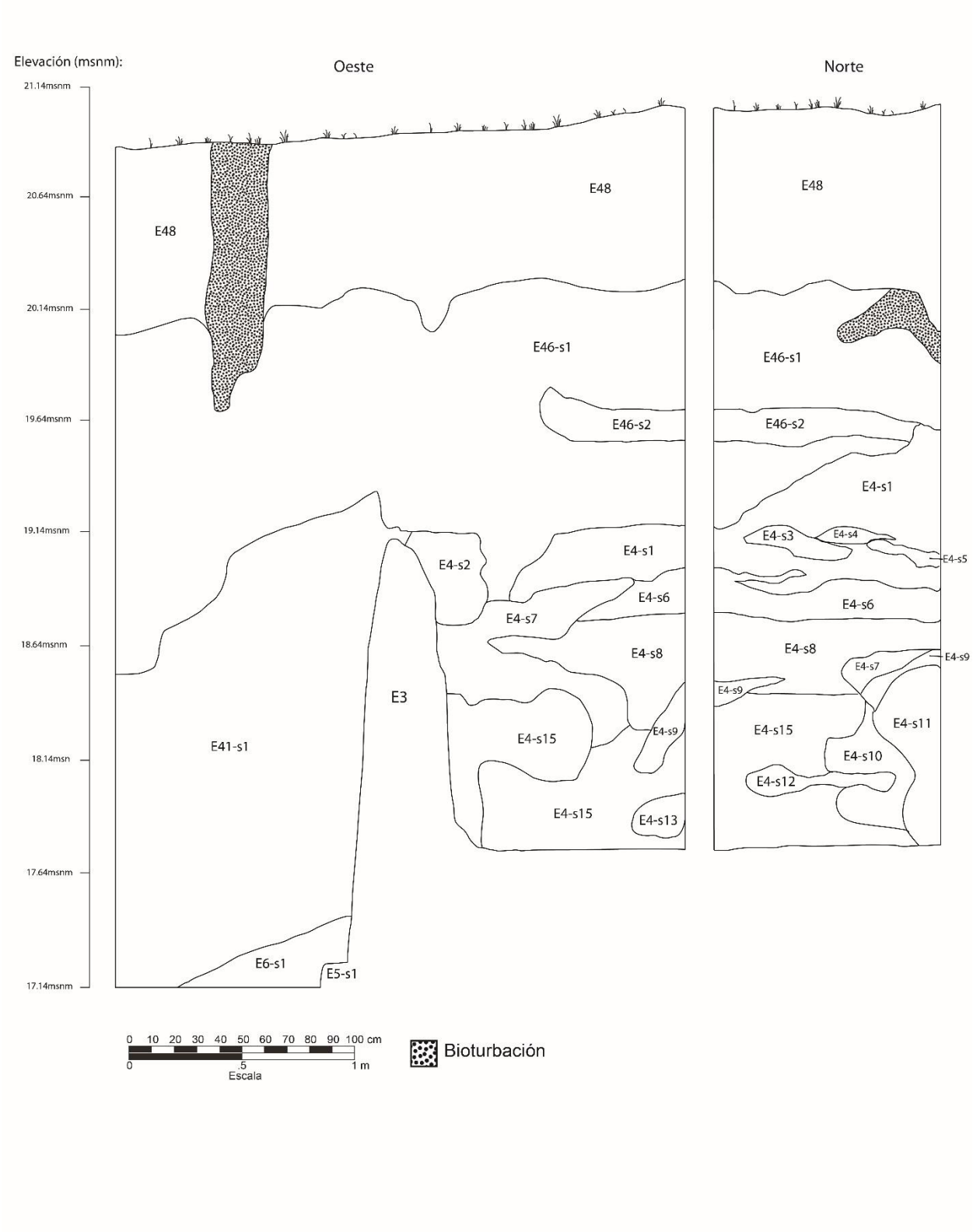


Figura 5.4 (-3SS) Perfiles

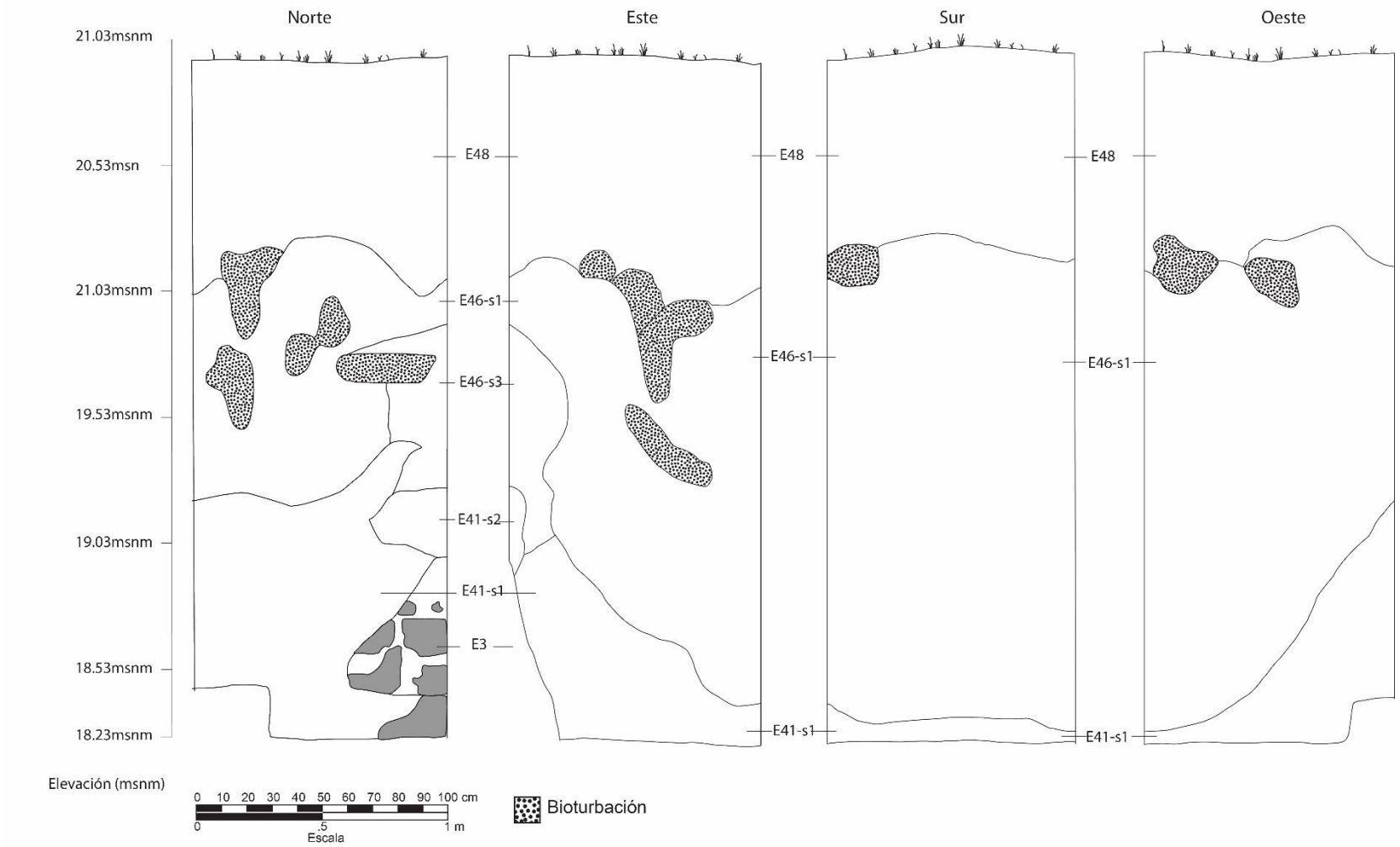


Figura 5.5 Perfil y fotografía de E3



Figura 5.6 MU1/1WW/2WW/2VV Perfiles de las paredes Norte y Este

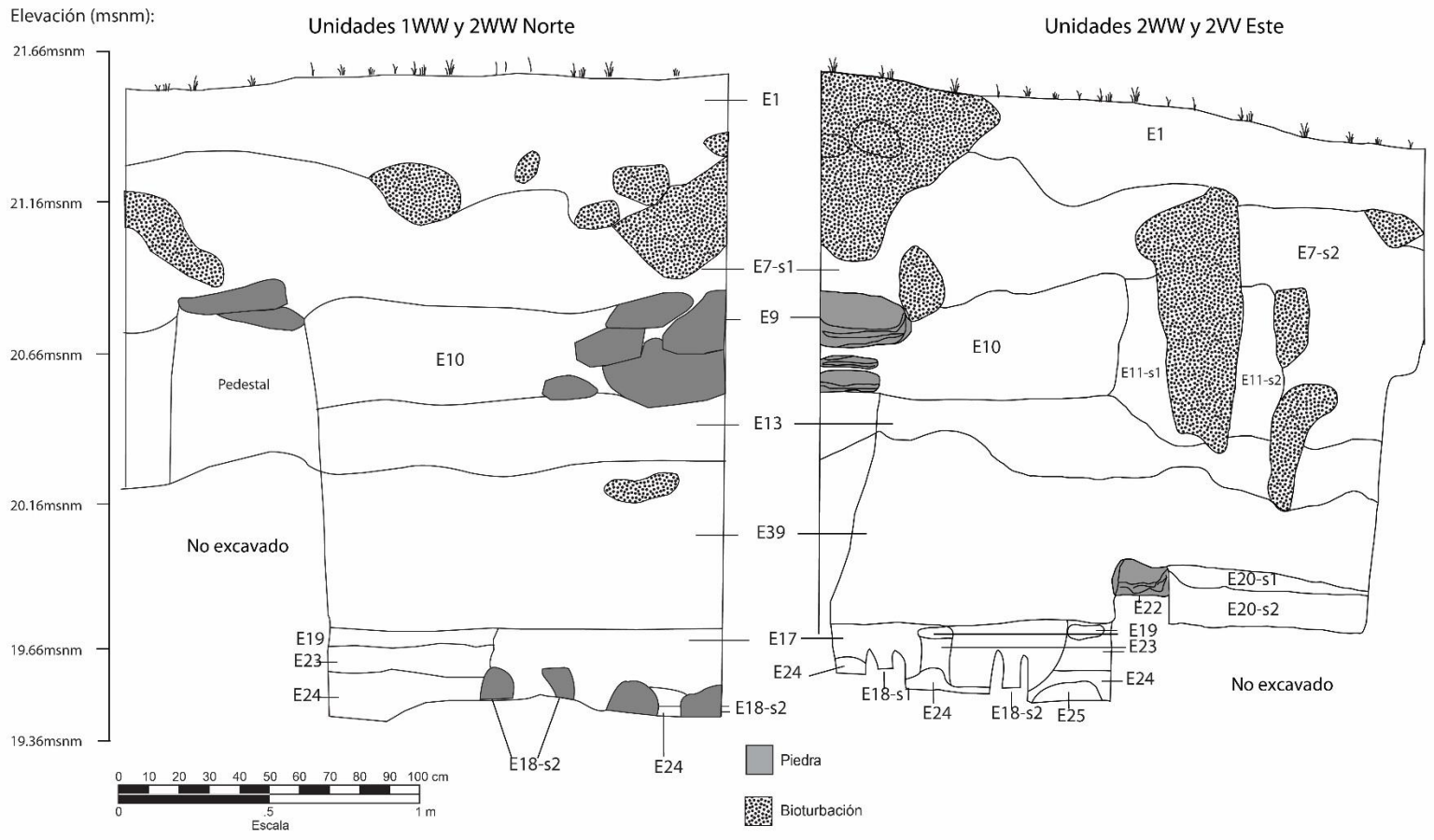


Figura 5.7 2VV/1WW/2WW/MU2 Perfiles de las paredes Sur y Oeste

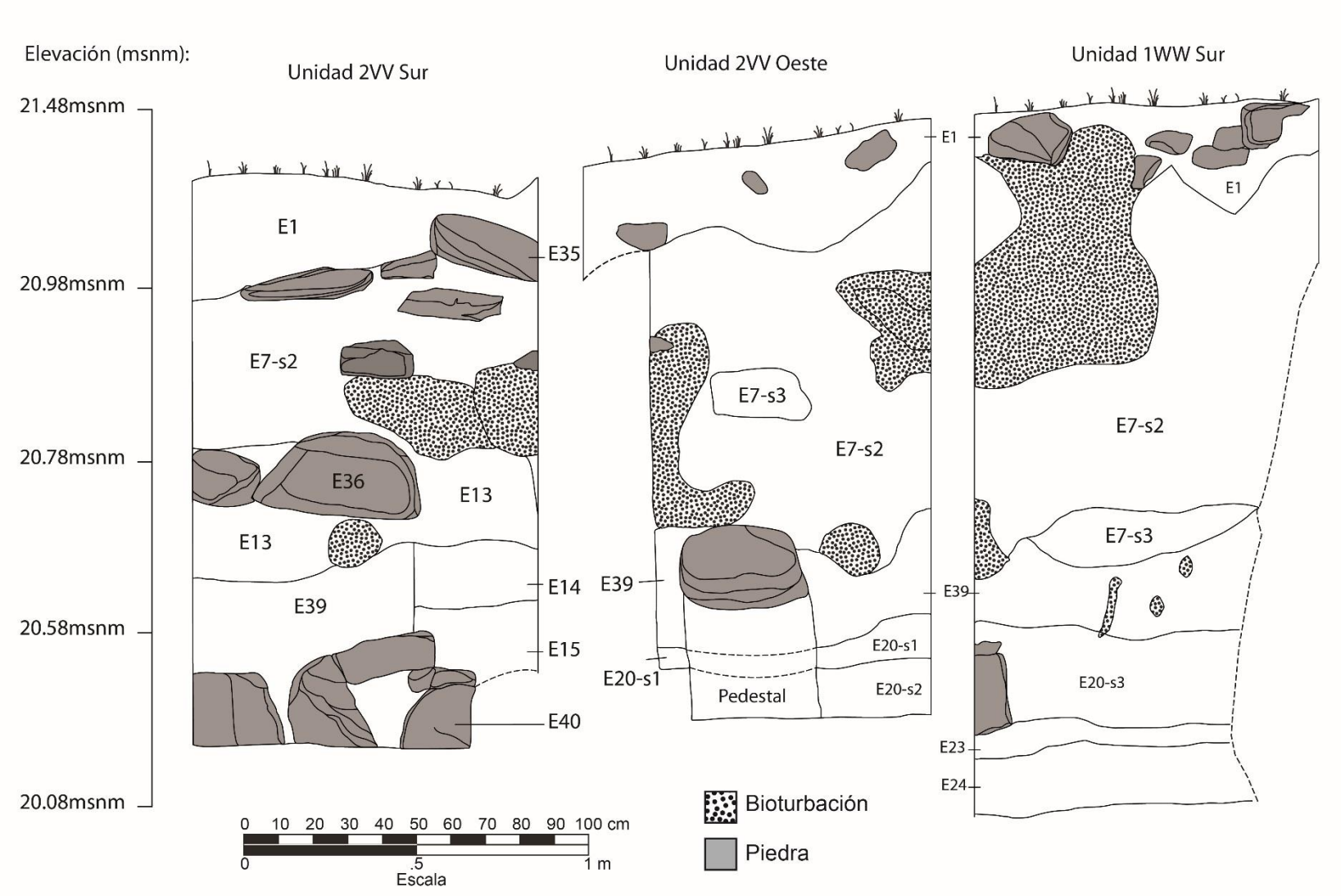


Figura 5.8 1WW estratigrafía del pedestal en la pared oeste

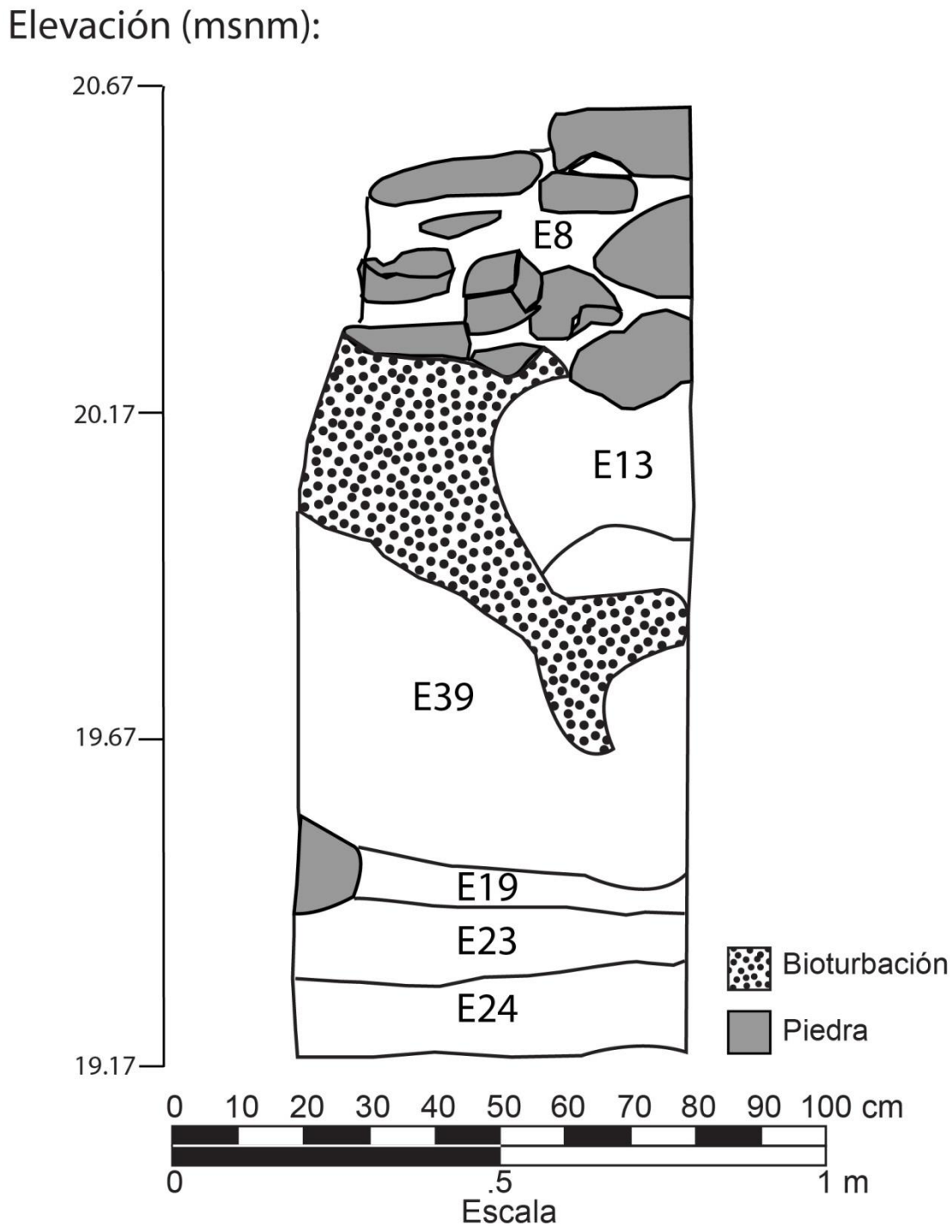


Figure 5.9 Vista en planta de los Elementos 22 y 40

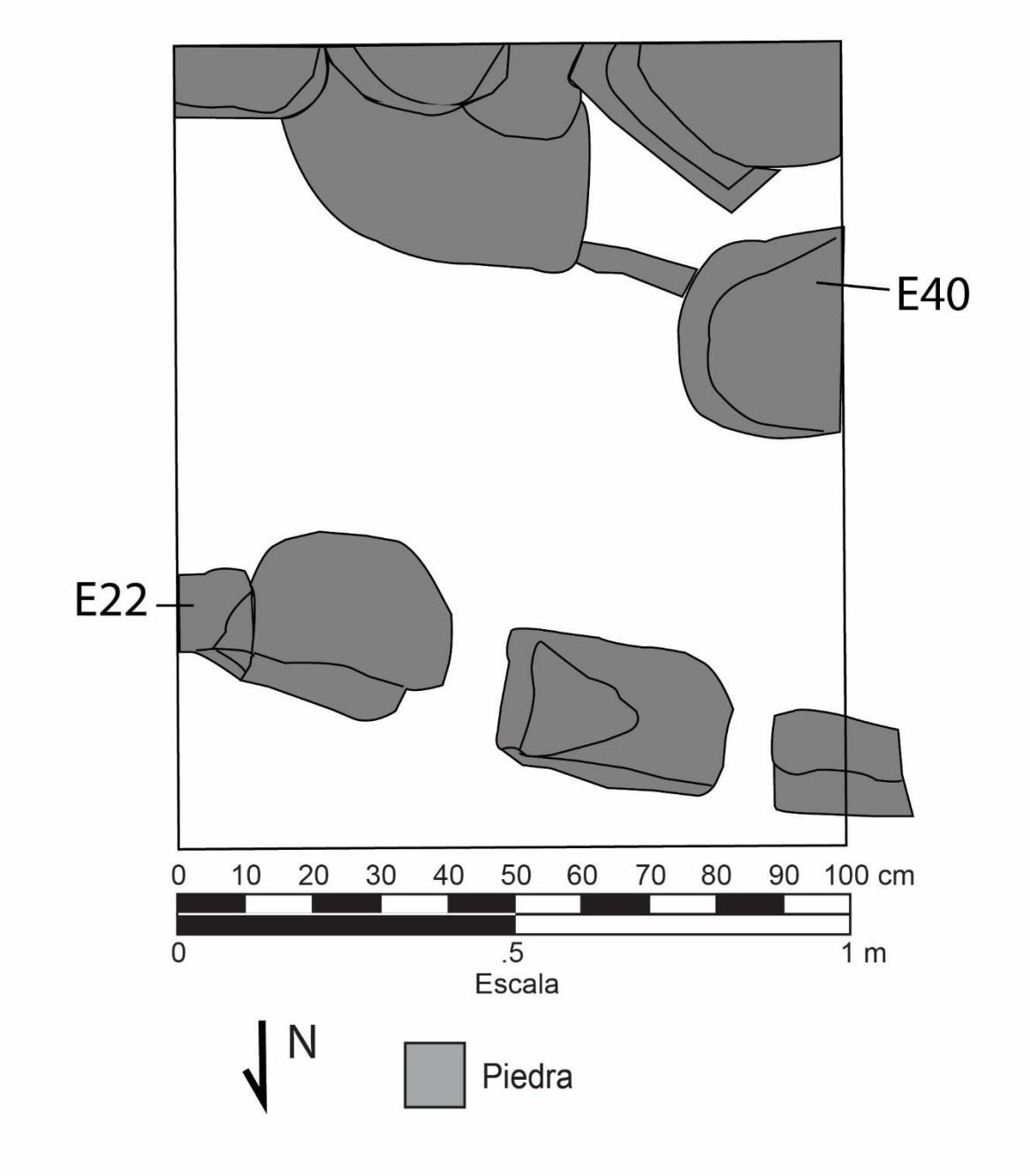


Figura 5.10 Fotografía de los Elementos 22 y 40



Figura 5.11 Vista en planta del Elemento 18

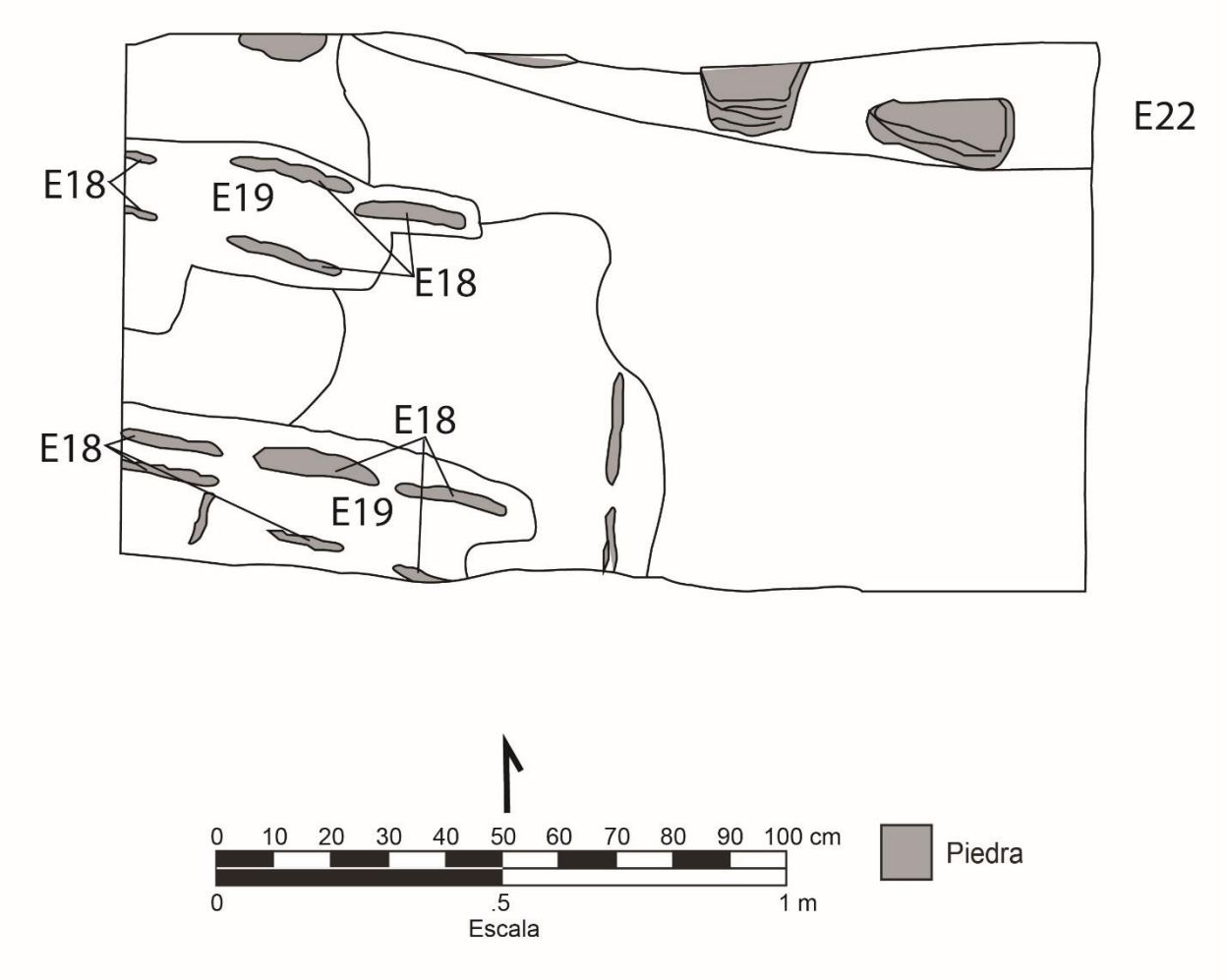


Figura 5.12 Fotografía, Elemento 18



Figura 5.13 1MMPerfiles

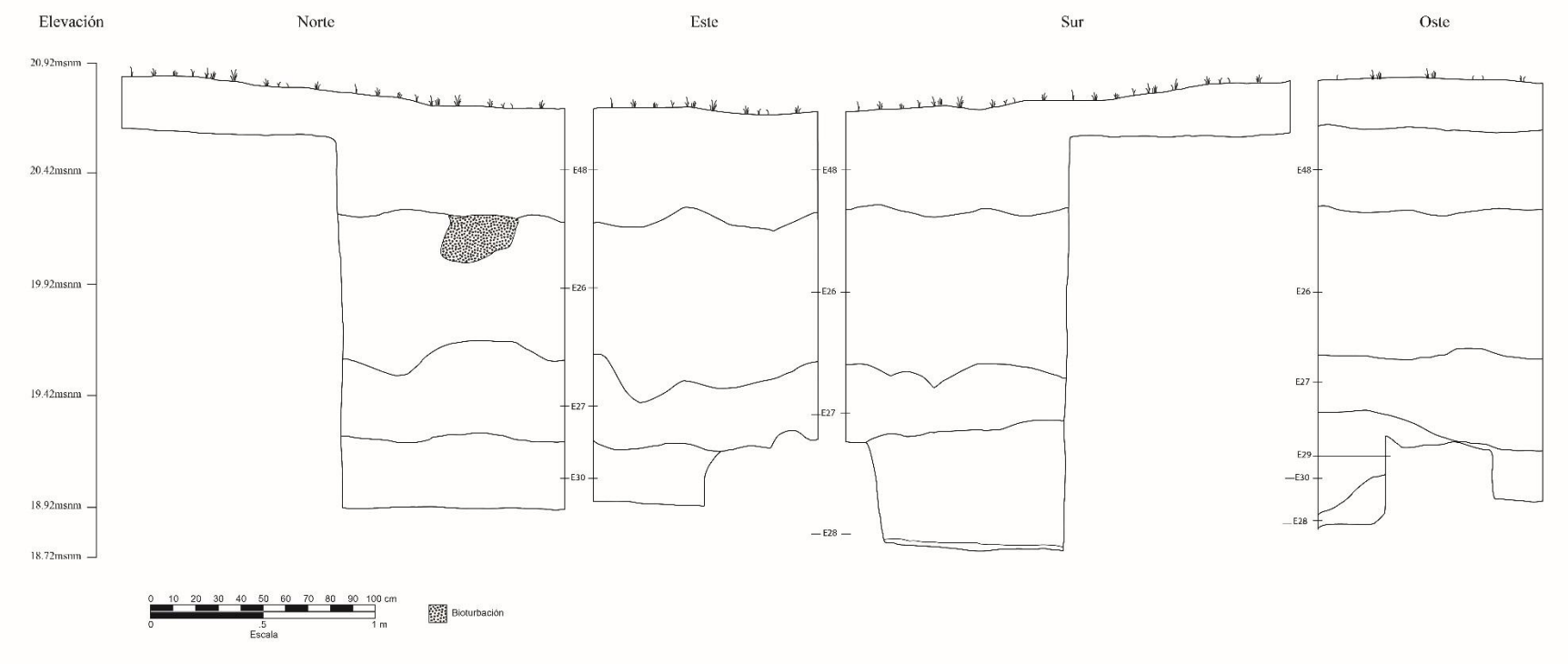


Figura 5.14 Vista en planta del Elemento 29

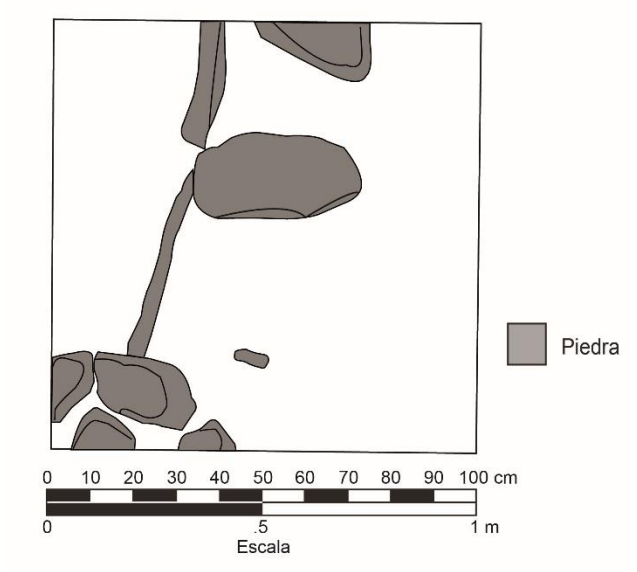




Figura 5.15 1C Perfiles

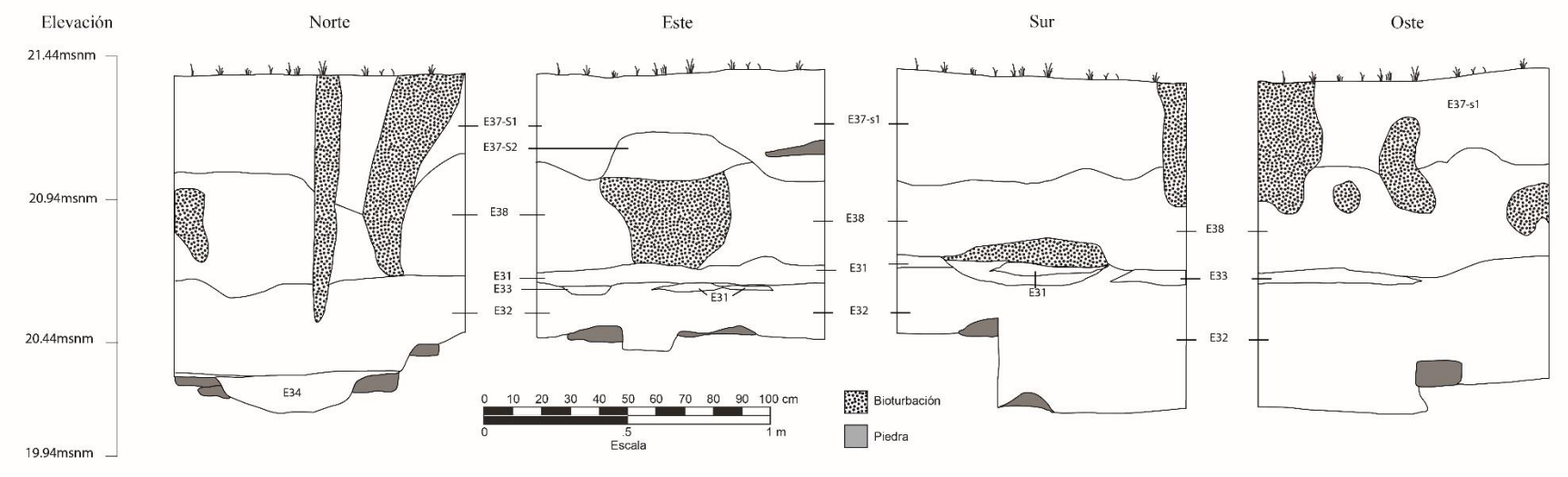


Figura 5.16 1C Vista en planta

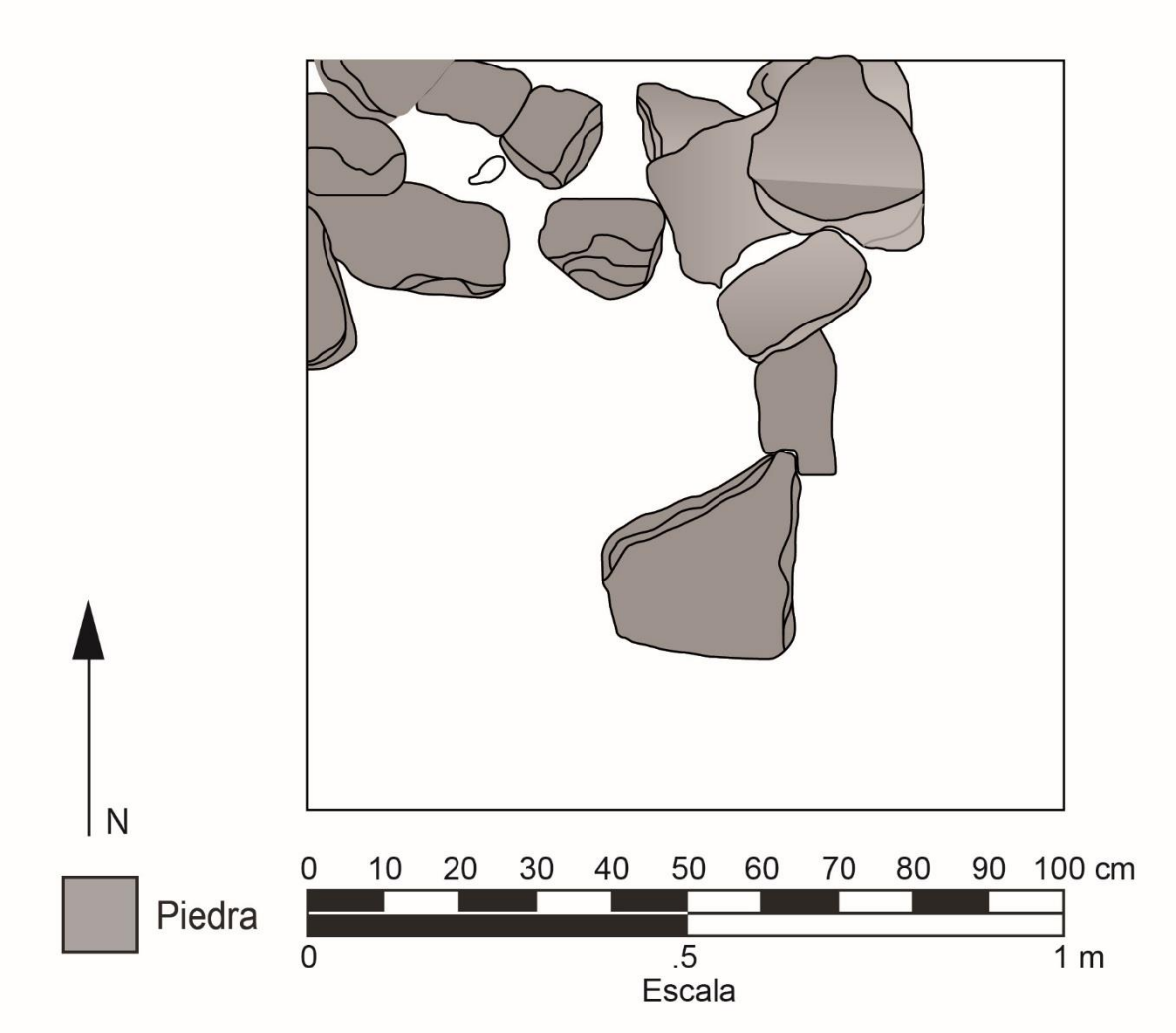


Figura 5.17 (-7UU) Perfiles

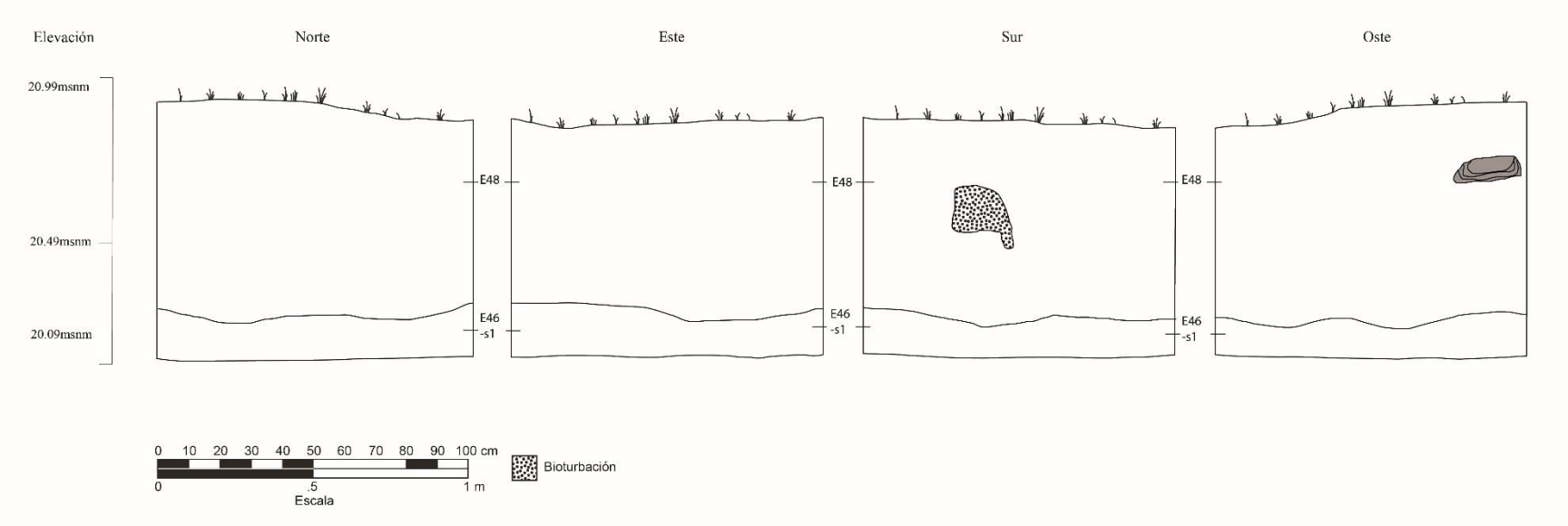


Figura 5.18 1DD Perfiles

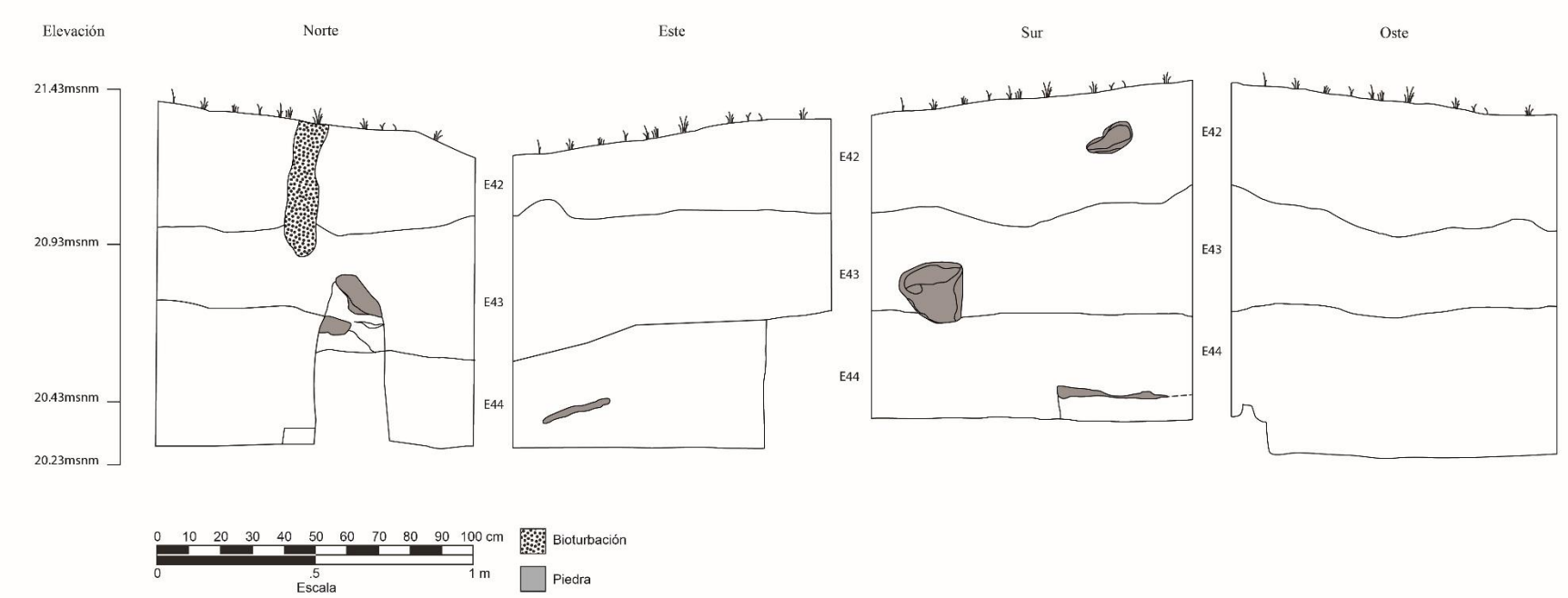


Figura 5.19 Esquema de la Operación E 2013

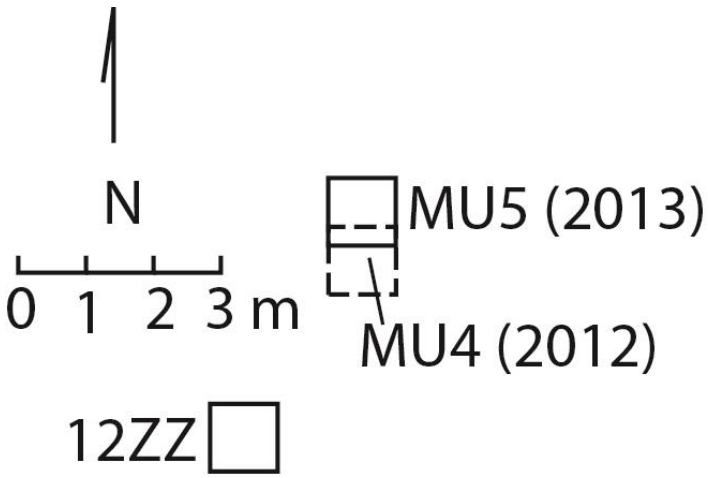


Figura 5.20 MU5 Perfiles

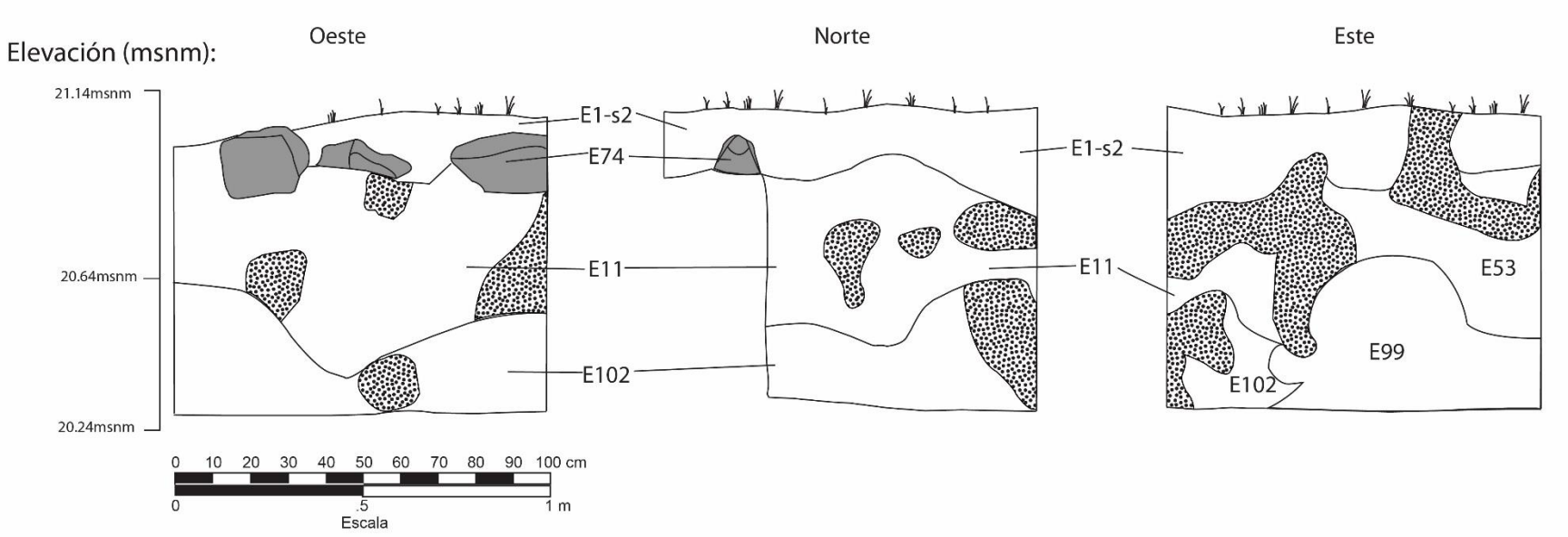


Figura 5.21 Vista en planta de E99

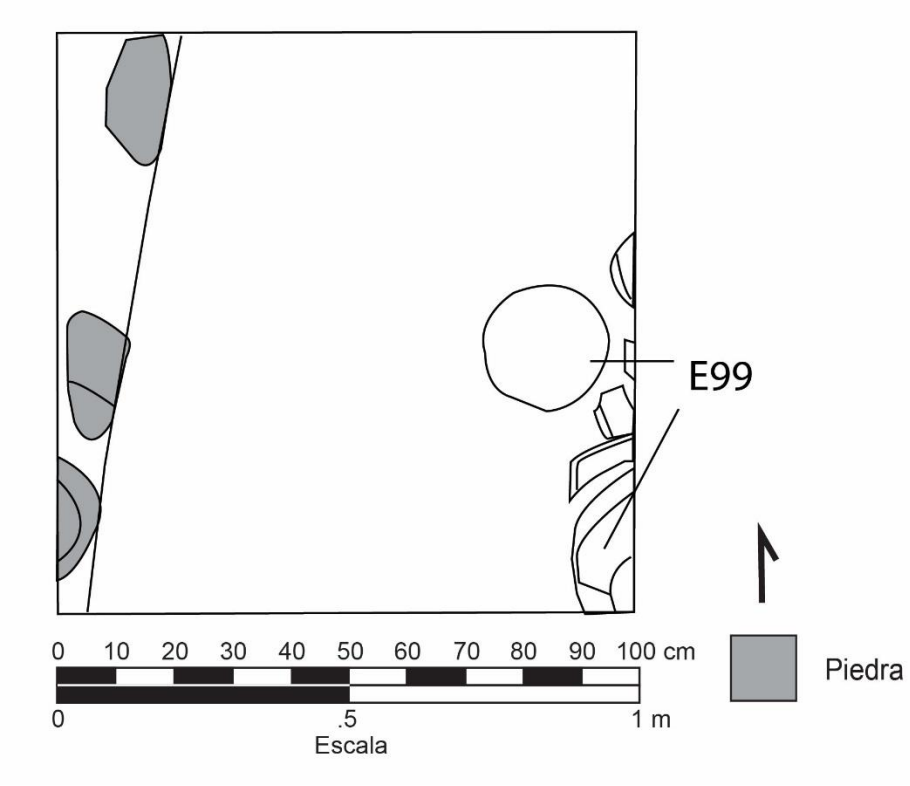


Figura 5.22 12ZZ Perfiles

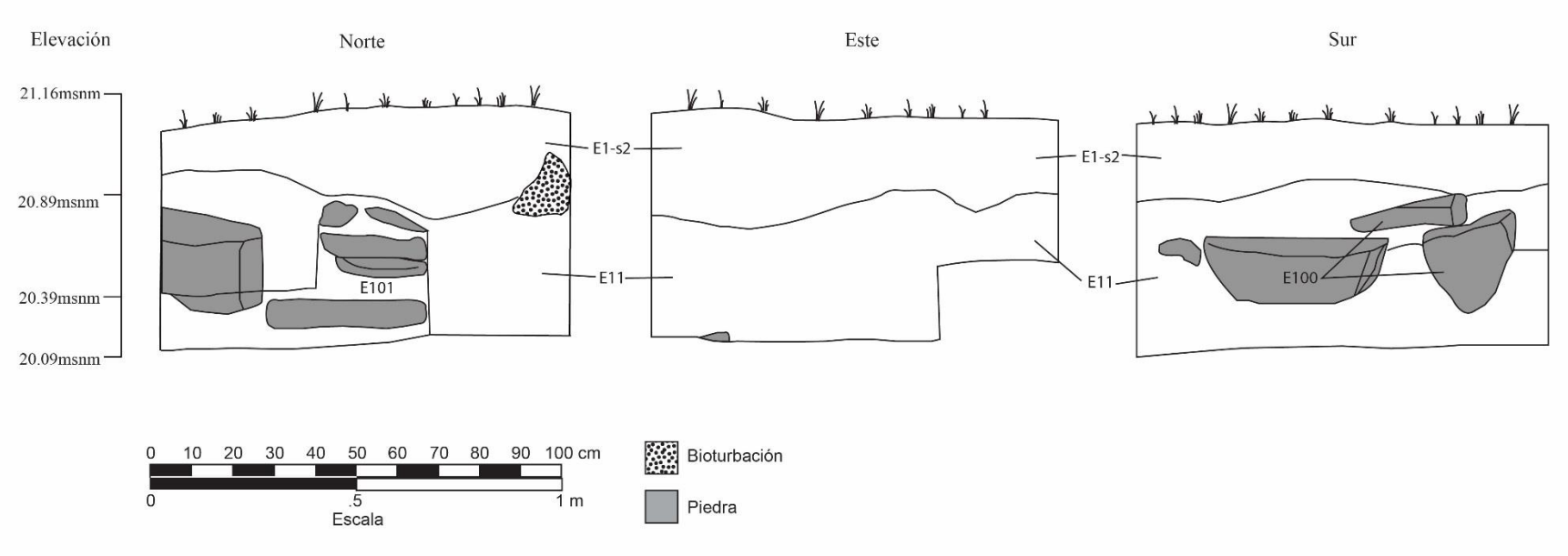
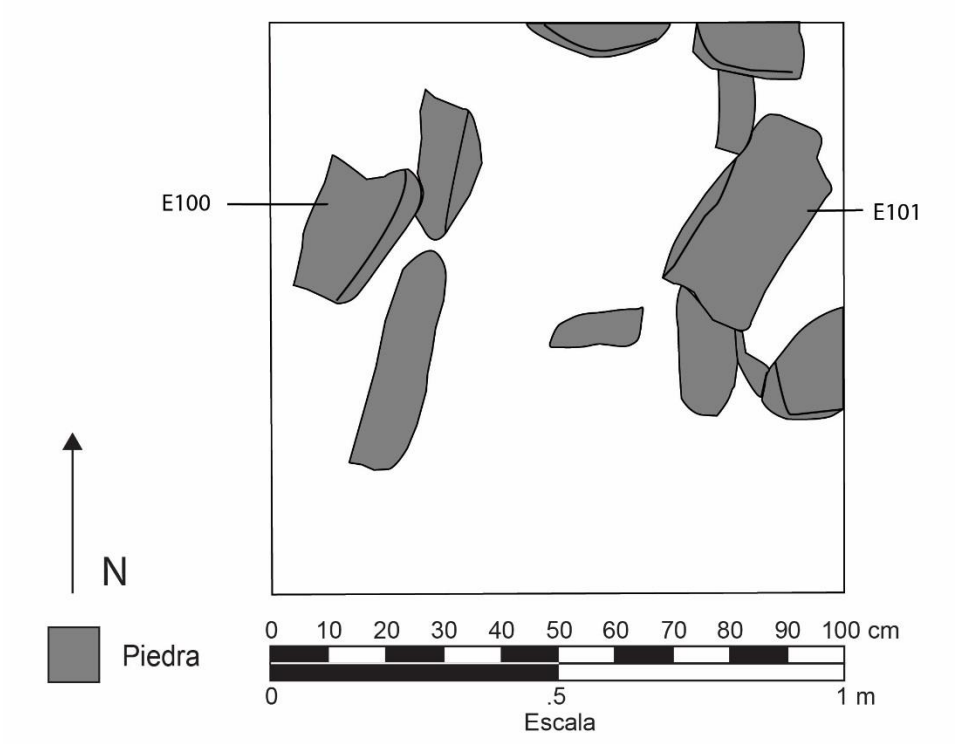


Figura 5.23 Vista en planta del Elementos 100 y 101



Capítulo 6 - Excavaciones de la Operación F

Cuauhtémoc Vidal-Guzmán

6.1 Introducción

La Operación F consistió de 32 unidades de excavación que siguieron la cuadricula asignada a la zona norte de la acrópolis durante el proyecto PRV12 (ver Hill y Villanueva Ruiz 2012; Figura 6.1). Dichas unidades abarcaron un área total de 32.85 m² que aumentaron el área trabajada por la Operación F del PRV12. Debido a que durante los trabajos del PRV12 se descubrieron varias plataformas y muros de piedra de estructuras cuya forma no pudo ser determinada, las excavaciones del PRV13 se enfocaron en profundizar la investigación de los muros nombrados Elemento 55 (E55) de la unidad 40A y Elemento 67 (E67) de la unidad 48A. Por su cercana ubicación a la Estructura 1 de la acrópolis del sitio, los resultados de las excavaciones contribuyeron al entendimiento de la historia ocupacional de la ciudad, proveyendo fechas e información acerca de las diferentes etapas constructivas de esta zona de la acrópolis. Estos datos servirán para indicar la naturaleza de la autoridad política del sitio Río Viejo durante el Formativo Terminal.

Con los hallazgos preliminares del PRV12 en mente, las excavaciones en la Operación F del PRV13 tenían tres objetivos:

1. Exponer la superficie del Formativo Terminal en la zona norte de la acrópolis.
2. Investigar la variabilidad en la arquitectura y actividades de las áreas expuestas.
3. Entender mejor la relación entre los elementos arquitectónicos.

Las excavaciones en la Operación F del PRV13 indicaron que el área norte de la acrópolis fue utilizada principalmente durante el periodo Formativo Terminal tardío. Además, una ofrenda datada hacia el Posclásico Temprano sugiere que la acrópolis siguió siendo utilizada para usos rituales, aunque

con un simbolismo distinto, mucho después de la caída del estado Chatino que tuvo su auge durante el Formativo Terminal.

6.2 Metodología

Las excavaciones llevadas a cabo en la Operación F utilizaron los mismos procedimientos estándares establecidos durante proyectos anteriores en el valle del bajo Río Verde (p. ej. Barber y Joyce 2011, 2012; Joyce 1999; Joyce y Levine 2009; Joyce et al. 1998). La numeración de las unidades excavadas en la Operación F del PRV13, fue una continuación del sistema utilizado durante las excavaciones del PRV12, en el cual unidades de 1x1 m fueron asignadas con un número y una letra. La numeración incrementaba de oeste a este y las letras incrementaban de sur a norte. Ya que el transecto excavado durante el PRV12 se extendió hacia el sur más allá de la línea correspondiente a la letra A, estas unidades fueron asignadas con letras dobles de manera decreciente hacia el sur. Por ejemplo, la unidad directamente al sur de la unidad 36A fue llamada "36ZZ", la siguiente "36YY", etc. En casos donde un elemento abarcaba más de una unidad arbitraria, el área excavada fue llamada "multi-unidad". Hubo siete multi-unidades en las excavaciones de la Operación F (descritas en la Tabla 6.1).

Tabla 6.1: Multi-unidades en la Operación

Número de Multi-unidad	Unidades incluidas	Dimensiones aproximadas (E-O x N-S)	Razonamiento para la designación como multi-unidad
MU-1	48A, 49A	1.1 x 1 m	Se excavó 40 cm de la unidad 49A para exponer más el muro de piedra del E108, que corresponde a un posible muro de contención dentro de la Estructura 8-sub 1
MU-2	47ZZ, 48ZZ	2 x 1 m	Exponer una mayor área del primer (E67) y segundo (E101) cuerpo escalonado de la Estructura 8-sub 1, discernibles en las unidades 47A y 48A
MU-3	36A, 37A	2 x 1 m	Reabrir la unidad 36A (excavada durante el PRV12) para corroborar si el muro de piedra del E132 representaba la parte oeste de la Estructura 8-sub 1

Número de Multi-unidad	Unidades incluidas	Dimensiones aproximadas (E-O x N-S)	Razonamiento para la designación como multi-unidad
MU-4	48C, 49C, 50C	2 x 1 m	Exponer los escalones superiores (E67 y E101) de la Estructura 8-sub 1, discernibles en las unidades 47A y 48A
MU-5	45C, 46C	1.5 x 1 m	Excavar en donde se creyó era la parte media de la Estructura 8
MU-6	37B, 38B	1 x 1 m	Tratar de discernir como se relacionan el muro de piedra del E139 y los escalones de los elementos E123, E124, E125, E12, y E127
MU-7	43E, 44D, 44E	1 x 1.45 m	Excavar una ofrenda (E120) del Posclásico Temprano, que se encontró en la parte noreste de la unidad 43D

Las unidades fueron excavadas por lotes arbitrarios de 10 cm ó 20 cm dependiendo del tipo de material excavado y cuando era posible, conforme cambios culturales o estratigráficos lo dictaban. La unidad básica de análisis tenía un nivel arbitrario de 10 cm. Los lotes de 20 cm se utilizaron en áreas donde no había cambios estratigráficos o en casos de relleno cultural estéril. Se hizo una excepción para las unidades MU6 y 40A (en esta última se continuaron con las excavaciones realizadas por el PRV12) las cuales no fueron excavadas de forma sistemática, ya que estas unidades fueron trabajadas para mejorar nuestro entendimiento en torno a la articulación de los escalones encontrados en las unidades 41D, 42D, 43D y 43C (E123, E124, E125, E126 y E127) y el muro de piedra del E144, y por lo tanto solo se excavaron para liberar dichos elementos. Otra excepción fueron los trabajos realizados en la MU7 para liberar los artefactos de la ofrenda del E120, debido a que estos se encontraban a tan solo aproximadamente 50 cm debajo de la superficie moderna, por debajo de un solo estrato (E1-s3) que representa el humus o superficie moderna.

A cada estrato distinto se le fue dado la letra E seguido de un número. Con frecuencia, se identificaron sub-estratos dentro de los depósitos más grandes y a estos se les asignó la abreviación “s”. Por ejemplo, el E110 tubo dos sub-estratos los cuales fueron nombrados como E110-s1 y E110-s2, respectivamente. La Tabla 6.2 da una lista detallada de todos los elementos. Los números de estratos

siguieron la numeración asignada durante los trabajos en la Operación F del PRV12 y por lo tanto no inician con el elemento E1 sino con el elemento E82. Algunos estratos fueron reasignados con un nuevo número ya que las excavaciones del PRV13 descubrieron más de los susodichos estratos, mejorando su correlación con elementos adyacentes.

Tabla 6.2: Lista de las capas estratigráficas de la Operación F

Número de Estrato	Unidades	Descripciones Munsell y Sedimento	Fecha Probable	Proceso de Formación	Comentarios
E1-s3	36A, 36WW, 36XX, 36YY, 37A, 37XX, 37YY, 38A, 39A, 40A, 41D, 42A, 42D, 43D, 43C, MU6	Migajón con limo arenoso, 10YR 2/2	Yugüe o más tardío	Superficie moderna	Los estratos E1-s1 y E1-s2 fueron excavados por el PRV12 al oeste de donde se concentraron los trabajos del PRV13, en las unidades 0A, 8A, 16A, 17A, 18A, 24A. muy parecido a E1-s4, pero con mucha más arena que limo; arena mediana a gruesa; alta presencia de piedras pequeñas y angulares; baja concentración de cerámica; este estrato se conecta con el E1-s4 en la unidad 42A, aunque su división es difícil de diferenciar (Fig. 6.2, 6.9, 6.16, 6.19 y 6.26)
E1-s4	42A, 43A, 46A, 47A, 48A, 49A, 49E, 50A, 49ZZ, MU2, MU4, MU5	Arcilla arenosa, 10 YR 2/2	Yugüe o más tardío	Superficie moderna	Inclusiones angulares de gravilla y de arena gruesa; alta concentración de tepalcates; sedimento compacto (Fig. 6.3, 6.8, 6.16, 6.17, 6.18, 6.22 y 6.24)
E82	50I, 50J	Arcilla arenosa, 10 YR 2/1	Yugüe o más tardío	Superficie moderna	Estrato con material orgánico que recubre al E83; más oscuro que E83 (Fig. 6.25)

Número de Estrato	Unidades	Descripciones Munsell y Sedimento	Fecha Probable	Proceso de Formación	Comentarios
E120	43D, MU7	Arcilla limosa, 10 YR 3/2	Yugüe	Relleno de fosa de ofrenda	Fosa ancha de poca profundidad que corta a los estratos E9-s1, E9-s2 y E122-2; la ofrenda se encontró en un pozo cuya superficie fue quemada antes de depositar la ofrenda; esta consistía en cuatro vasijas de cerámica, siete navajas de obsidiana, nueve cascabeles de cobre, una placa de cobre, un objeto cilíndrico de cerámica y un hueso tallado (Fig. 6.9 y Fig. 6.34)
E92	49ZZ	N/A	Chacahua / Coyuche	Lajas de piedra	Lajas de mediano tamaño que posiblemente recubren al pozo del E91; se encuentran en la división de los estratos E1-s4 y E91; no es visible en perfil (Fig. 6.32 y 6.33)
E88	49E	Arcilla arenosa, 10 YR 3/2	Chacahua tardío	Relleno de fosa	Fosa angosta de poca profundidad que corta a los estratos E57-s1 y E58-s1; pequeñas inclusiones de gravilla; algunos trozos de bajareque se encuentran en el fondo del pozo (Fig. 6.8)
E118	42D, 43C	Migajón con limo arenoso, 10 YR 3/2	Chacahua tardío	Relleno de fosa	Fosa ancha de poca profundidad que corta a los estratos E9-s1, E122-s1 y E122-s11; Concentración de tepalcates y piedras redondas (posiblemente de río); tierra no compacta; algunas piedras angulares; inclusiones de gravilla (Fig. 6.9)

Número de Estrato	Unidades	Descripciones Munsell y Sedimento	Fecha Probable	Proceso de Formación	Comentarios
E119	43C	Migajón con limo arenoso, 10 YR 3/4	Chacahua tardío	Relleno de fosa	Fosa ancha de poca profundidad que corta a los estratos E9-s1 y E122-s11; alta concentración de tepalcates y piedras laminadas; menos inclusiones de gravilla que el E9-s1; las piedras son de tamaño mediano; algunas piedras de granito (Fig. 6.9)
E166	36A, 37A	Migajón con arcilla	Chacahua tardío	Relleno de Fosa	Fosa ancha de profundidad mediana que corta a los estratos E9-s1 y E9-s4 en las unidades 36A y 37A; la arena es áspera; y no compactada; algunos tiestos de cerámica se encuentran en el fondo de la fosa (Fig. 6.19)
E90	46A, MU2	Arcilla limosa, 10 YR 3/4	Chacahua tardío	Relleno de fosa	Fosa ancha de poca profundidad que corta a los estratos E57-s1 y E58-s1; alta concentración de cerámica y piedras angulares de granito (Fig. 6.3)
E89	MU4	Migajón con limo arenoso, 10 YR 3/4	Chacahua tardío	Relleno de fosa	Fosa angosta de poca profundidad que corta a los estratos E57-s1 y E58-s1; su parte inferior es más ancha que su parte superior, alta concentración de piedras angulares de granito y algunas piedras redondas, posiblemente de río (Fig. 6.24)

Número de Estrato	Unidades	Descripciones Munsell y Sedimento	Fecha Probable	Proceso de Formación	Comentarios
E91	49ZZ, 50A	Arcilla limosa, 10 YR 4/4	Chacahua tardío	Relleno de fosa	Fosa ancha de poca profundidad que corta a los estratos E57-s1, E58-s1 y E110-s1; alta concentración de materiales y piedras chicas, posiblemente de río; pudo haber sido depositado al mismo tiempo que E90 (Fig. 6.3 y 6.22)
E152	36YY, 37YY	Migajón con limo arenoso, 10 YR 4/3	Chacahua tardío	Relleno de fosa	Fosa ancha y profunda que corta a los estrados E9-s1, E9-s16, E9-s10, E131 y E165 en las unidades 36YY y 37YY; Sedimento poco compactado con una moderada concentración de artefactos al fondo del pozo; se ven algunas motitas de arcilla (Fig. 6.26)
E83	50I, 50J	Migajón con limo arcilloso, 10 YR 2/1	Chacahua tardío	Relleno de fosa	Fosa ancha de profundidad variable que corta a los estratos E84-s1, E84-s2, E84-s3 y E84-s4 en las unidades 50I y 50J; inclusiones de concha pulverizada y gravilla; en el fondo del pozo se encuentran algunas piedras chicas angulares (Fig. 6.25)
E57-s1	42A, 43A, 46A, 47A, 47ZZ, 48A, 48ZZ, 49A, 49E, 49ZZ, 50A, MU4, MU5	Arcilla limosa, 10YR 4/3	Chacahua tardío	Relleno de construcción	El estrato E57-s2-s1 fue excavado por el PRV12 al sureste de donde se concentraron los trabajos del PRV13, en la unidad 56OO. concentraciones de piedras angulares y grava; la arena es áspera; esta cortado por varios pozos; sedimento medianamente compacto; presenta pequeñas inclusiones de concha (Fig. 6.3, 6.8, 6.16, 6.17, 6.18, 6.22 y 6.24)

Número de Estrato	Unidades	Descripciones Munsell y Sedimento	Fecha Probable	Proceso de Formación	Comentarios
E9-s1	36A, 36WW, 36XX, 36YY, 37XX, 37YY, 37A, 38A, 39A, 40A, 41D, 42D, 43C, 43D, MU6	Migajón con limo arenoso, 10YR 3/3	Chacahua tardío	Relleno de construcción	Inclusiones de gravilla; algunas piedras angulares; concentración baja-mediana de artefactos incluyendo pequeños tiestos de cerámica; este estrato es cortado por varios pozos (posibles pozos de terminación) en las unidades 42D, 43C, 43D y 36YY (Fig. 6.2, 6.9, 6.19, 6.26)
E9-s2	43D	Arcilla limosa, 10 YR 3/2	Chacahua tardío	Relleno de construcción	Muy compacto; concentración de artefactos mayor a E9-s1; inclusiones de gravilla (Fig. 6.9)
E9-s3	41D, 42D	Arcilla arenosa, 10 YR 4/3	Chacahua tardío	Relleno de construcción	Muy compacto; alta concentración de artefactos; pocas inclusiones de gravilla (Fig. 6.9)
E9-s4	36A	Migajón, 10YR 3/4	Chacahua tardío	Relleno de construcción	Sedimento laminado; algo compacto; muchas inclusiones de gravilla (Fig. 6.19)
E9-s5	36A	N/A	Chacahua tardío	Relleno de construcción	Sedimento algo compacto; inclusiones de gravilla; la división entre este substrato y el E9-s6 es difícil de diferenciar (Fig. 6.19)
E9-s6	36A	Arcilla arenosa, 10 YR 4/4	Chacahua tardío	Relleno de construcción	Menos compacto que E9-s5; algunas inclusiones de gravilla; este substrato presenta laminaciones en su parte inferior (Fig. 6.19)
E9-s7	36A, 37A	Arcilla arenosa, 10 YR 3/4	Chacahua tardío	Relleno de construcción	Relacionado con muchos artefactos; inclusiones de concha y gravilla; contiene algunas motitas de arcilla obscura (Fig. 6.19)

Número de Estrato	Unidades	Descripciones Munsell y Sedimento	Fecha Probable	Proceso de Formación	Comentarios
E9-s8	36A, 37A	Arcilla arenosa, 10 YR 4/3	Chacahua tardío	Relleno de construcción	Menos compacto que E9-s7; relacionado con muchos artefactos; algunas inclusiones de gravilla, contiene algunas motitas de arcilla (Fig. 6.19
E9-s9	36A, 37A	Arcilla arenosa, 10 YR 4/4	Chacahua tardío	Relleno de construcción	Más compacto que E9-s8 (Fig. 6.19)
E9-s10	36WW, 36XX, 36YY, 37A, 37XX, 37YY	Migajón con limo arcilloso, 10 YR 3/4	Chacahua tardío	Relleno de construcción	Muchas inclusiones de gravilla,; se ven varias capas entrelazadas de arena y arcilla; muestra laminaciones (Fig. 6.26)
E9-s11	36WW,37 XX	Arcilla arenosa, 10 YR 4/3	Chacahua tardío	Relleno de construcción	Arcilla algo compacta; algunas inclusiones de gravilla; menos compacta que E9-s12 (Fig. 6.26)
E9-s12	36WW	Migajón con limo arenoso, 10 YR 4/3	Chacahua tardío	Relleno de construcción	Arcilla semi-compacta con algunas inclusiones de gravilla (Fig. 6.26)
E9-s13	36WW	Migajón con limo arcilloso, 10 YR 3/4	Chacahua tardío	Relleno de construcción	Algunas inclusiones de gravilla y pequeñas motitas de arcilla; se observa poca concentración de artefactos en la parte inferior del sub-estrato (Fig. 6.26)
E9-s14	36WW, 36XX	Migajón con limo arenoso, 10 YR 4/4	Chacahua tardío	Relleno de construcción	Más compacto que E9-s1 y E9-s10; Muchas inclusiones de gravilla (Fig. 6.26)
E9-s15	36XX, 36YY	Migajón con limo arcilloso, 10 YR 4/4	Chacahua tardío	Relleno de construcción	Algunas inclusiones de gravilla; muestra laminaciones (Fig. 6.26)
E9-s16	36XX, 36YY	Migajón con arena, 10 YR 4/3	Chacahua tardío	Relleno de construcción	La arena es áspera; sub-estrato no compacto (Fig. 6.26)
E9-s17	36WW, 36XX	Migajón con limo arenoso, 10 YR 4/4	Chacahua tardío	Relleno de construcción	Sub-estrato más compacto que E9-s10; muestra algunas inclusiones de bajareque (Fig. 6.26)

Número de Estrato	Unidades	Descripciones Munsell y Sedimento	Fecha Probable	Proceso de Formación	Comentarios
E9-s18	43D, MU7	Arena, 5 YR, 3/3	Chacahua tardío	Fondo de un pozo de ofrenda	Superficie quemada que delimita el fondo de un pozo utilizado para una ofrenda (E120-s1) (Fig. 6.9 y 6.34)
E165	36XX, 36YY	Arcilla arenosa, 10 YR 4/3	Chacahua tardío	Relleno de fosa	Fosa ancha de mediana profundidad que corta a los estratos E136-s2, E136-s3, E136-s4, E136-s5 y E136-s6; alta concentración de artefactos; muchas inclusiones de concha pulverizada; dentro de la fosa se encontraron dos lajas medianas que posiblemente representaban la apertura de otra fosa en la que se encontró un felino articulado (E162); no fue posible discernir la apertura de esta fosa (Fig. 6.26)
E162	36YY	N/A	Chacahua tardío	Posible ofrenda y felino articulado	Dentro del estrato E165 se encontraron dos lajas medianas que posiblemente cerraron la apertura de otra fosa en la cual fue depositado un felino completamente articulado; no se pudo discernir si en verdad el felino se encontraba dentro de otra fosa o dentro de la matriz del E165 (Fig. 6.26)
E163	36XX	Arcilla limosa, 10 YR 4/4	Chacahua tardío	Relleno de fosa	Fosa angosta de poca profundidad que corta a los estratos E136 -s2 y E136-s3; concentración de concha triturada en el fondo de la fosa; son visibles algunas piedras chicas de granito; algunas motitas de arcilla (Fig. 6.26)

Número de Estrato	Unidades	Descripciones Munsell y Sedimento	Fecha Probable	Proceso de Formación	Comentarios
E153	36XX, 36YY	Arcilla arenosa, 10 YR 4/4	Chacahua tardío	Relleno de fosa	Fosa angosta de poca profundidad que corta a los estratos E131 y E135; también corta al muro de E134; alta concentración de artefactos (Fig. 6.26)
E154	37XX	Migajón con limo arenoso, 10 YR 4/2	Chacahua tardío	Relleno de fosa	Fosa angosta de poca profundidad que corta a los estratos E131 y E136-s4; algunas inclusiones de bajareque y concha triturada (Fig. 6.26)
E155	37XX	Migajón con limo arenoso, 10 YR 4/2	Chacahua tardío	Relleno de fosa	Fosa angosta de poca profundidad que corta a los estratos E131 y E136-s4; Sedimento sin compactar; concentración moderada de artefactos; una piedra grande se encuentra dentro del pozo; muchas inclusiones de gravilla y algunas inclusiones de concha triturada; similar al E154 (Fig.6.26)
E93	46A, 47A	Arcilla limosa, 10 YR 4.5/6	Chacahua tardío	Relleno de fosa	Fosa ancha de poca profundidad que corta al estrato E58-s1; alta concentración materiales y piedras redondas, posiblemente de río; inclusiones de gravilla (Fig. 6.3 y 6.17)
E94	46A	Arcilla limosa, 10 YR 4.5/6	Chacahua tardío	Relleno de fosa	Fosa ancha de poca profundidad que corta al estrato E58-s1; alta concentración de materiales y piedras redondas, posiblemente de río; posiblemente es el mismo estrato que E93 (Fig. 6.17)

Número de Estrato	Unidades	Descripciones Munsell y Sedimento	Fecha Probable	Proceso de Formación	Comentarios
E142	MU6	Arcilla arenosa, 10 YR 4/4	Chacahua tardío	Relleno de fosa	Fosa angosta de poca profundidad que corta a los estratos E131, E135 y E138; concentración moderada de artefactos; pocas inclusiones de gravilla (Fig.6.19)
E110-s1	50A	Migajón con limo arcilloso, 10 YR 4/4	Chacahua tardío	Relleno de construcción	Sedimento que cubre al muro del E95, al piso E112 y al soporte E113; algo compacto; con motitas de arcilla (Fig. 6.22)
E110-s2	50A	Migajón con arena	Chacahua tardío	Relleno de construcción	Más áspero que E110-s1; asociado con un tepalcate (Fig. 6.22)
E117	43A	Migajón con limo arcilloso, 10 YR 4/4	Chacahua tardío	Relleno de construcción o posible fosa	Estrato intrusivo que corta al E58-s1; alta concentración de artefactos; inclusiones de gravilla y rocas chicas de granito (Fig. 6.16)
E159	36YY	N/A	Chacahua tardío	Montón de piedras	Grupo de piedras burdas que probablemente formaron algún muro de una superestructura encima de la Estructura 8, misma que fue desmantelada al finalizar su uso; algunas piedras tenían una cara plana; no es visible en perfil; fueron removidas para continuar la excavación en la unidad 36YY (Fig. 6.14)
E131	36A, 36WW, 36YY, 37A, 37XX, 37YY 38A, 39A, 40A, MU6,	Migajón con limo arenoso, 10 YR 4/3	Chacahua tardío	Relleno de construcción	Sedimento no compacto; alta concentración de artefactos; se encuentra por encima de la superficie quemada E167 y de los estratos E135, E136-s4, E136-s5, E136-s8 y E141-s1 (Fig. 6.2, 6.19 y 6.26)

Número de Estrato	Unidades	Descripciones Munsell y Sedimento	Fecha Probable	Proceso de Formación	Comentarios
E84-s1	50I, 50J	Arcilla limosa, 10 YR 3/4	Chacahua tardío	Relleno de construcción	Relleno que cubre a los estratos E85 y E86; alta cantidad de artefactos; Inclusiones de concha y bajareque; algunas motitas de arcilla (Fig. 6.25)
E84-s2	50I, 50J	Arena con migajón, 10 YR 4/4	Chacahua tardío	Relleno de construcción	Arena con motitas de arcilla; menos compacta que E84-s3 (Fig. 6.25)
E84-s3	50I, 50J	Arena con migajón, 10 YR 3/4	Chacahua tardío	Relleno de construcción	Algunas inclusiones de piedras blancas angulares y trozos pequeños de bajareque (Fig. 6.25)
E84-s4	50I, 50J	Arcilla limosa, 10 YR 4/3	Chacahua tardío	Relleno de construcción	Muy compactado; contiene inclusiones de bajareque, concha pulverizada, rocas de granito y algunos tepalcates; recubre al muro de piedra del E86 en su parte interior; en la esquina sureste de la unidad 50I, el estrato cubre a una piedra de tamaño mediano (Fig. 6.25)
E84-s5	50I, 50J	Arcilla limosa, 10 YR 4/3	Chacahua tardío	Relleno de construcción	Más compacto que E84-s4, ultimo sub-estrato que sostiene al basamento de piedra del E86 en su parte exterior después de que este colapsó (Fig. 6.25)
E84-s6	50J	Arena muy fina, 10 YR 4/4	Chacahua tardío	Relleno de construcción	Arena con motitas de arcilla, algo compacta (Fig. 6.25)
E84-s7	50J	Arcilla limosa, 10 YR 4/4	Chacahua tardío	Relleno de construcción	La arcilla se encuentra en motas medianas y grandes; sin inclusiones (Fig. 6.25)
E84-s8	50J	Arena muy fina, 10 YR 4/4	Chacahua tardío	Relleno de construcción	Arena suelta; sin inclusiones; similar a E84-S6 pero sin motas de arcilla (Fig. 6.25)

Número de Estrato	Unidades	Descripciones Munsell y Sedimento	Fecha Probable	Proceso de Formación	Comentarios
E84-s9	50I, 50J	Arcilla limosa, 10YR 4/3	Chacahua tardío	Relleno de construcción	Arcilla compactada, algunas inclusiones de concha, bajareque y piedra angulares chicas; algunas motitas de arcilla más obscura; en el perfil este se observa una piedra mediana (probablemente piedras que se desprendieron del muro del E86) entre los sub-estratos E84-s5 y E84-s9 (Fig. 6.25)
E84-s10	50J	Arcilla arenosa, 10 YR 4/4	Chacahua tardío	Relleno de construcción	Menos compacto que E84-s9; algunas inclusiones de bajareque asociado con poca cerámica; se encuentra totalmente rodeado por el E84-s9 (Fig. 6.25)
E84-s11	50J	Arcilla arenosa, 10 YR 4/4	Chacahua tardío	Relleno de construcción	Menos compacto que E84-s9; sin inclusiones (Fig. 6.25)
E84-s12	50I, 50J	Arcilla arenosa, 10 YR 4/3	Chacahua tardío	Relleno de construcción	Inclusiones de concha triturada; alta concentración de motas de arcilla medianas y chicas; en el perfil este se observa una piedra grande (probablemente piedras que se desprendieron del muro del E86) entre los sub-estratos E84-s9 y E84-s12 (Fig. 6.25)
E84-s13	50J	Arcilla arenosa, 10 YR 4/3	Chacahua tardío	Relleno de construcción	Asociado con una alta cantidad de artefactos, especialmente bajareque, carbón y concha triturada en el fondo del sub-estrato en el perfil este; varias rocas medianas y grandes (probablemente piedras que se desprendieron del muro del E86) se encuentran en el perfil norte (Fig. 6.25)

Número de Estrato	Unidades	Descripciones Munsell y Sedimento	Fecha Probable	Proceso de Formación	Comentarios
E84-s14	50I, 50J	Arena limosa, 10 YR 4/3	Chacahua tardío	Relleno de construcción	La arcilla se encuentra en motas medianas y grandes; muchas inclusiones de concha triturada y algunas inclusiones de bajareque, similar que el E84-s7, varias rocas grandes (probablemente piedras que se desprendieron del muro del E86) se encuentran dentro de este sub-estrato (Fig. 6.25)
E84-s15	50J	Arcilla limosa, 10 YR 4/4	Chacahua tardío	Relleno de construcción	Sedimento más suelto que E84-s11 y E84-s16; sin inclusiones (Fig. 6.25)
E84-s16	50I, 50J	Arcilla limosa, 10 YR 4/4	Chacahua tardío	Relleno de construcción	Muy compactado; algunas motitas de arcilla obscura; pocas inclusiones de bajareque (Fig. 6.25)
E84-s17	50I, 50J	Arcilla, 10 YR 4/3	Chacahua tardío	Relleno de construcción	Menos compacto que E84-s14; algunas motitas de arcilla pero menos que E84-s12 y E84-s14; algunas inclusiones de bajareque (Fig. 6.25)
E84-s18	50I	Arcilla, 10 YR 4/4	Chacahua tardío	Relleno de construcción	Muy compactado, sin inclusiones (Fig. 6.25)
E84-s19	50I, 50J	Arcilla, 10 YR 3/3	Chacahua tardío	Relleno de construcción	Menos compactado que E84-s18, pero más que E84-s12; algunas inclusiones de bajareque; una piedra mediana (probablemente una piedra que se desprendió del muro del E86) se encuentra dentro del sub-estrato (Fig. 6.25)
E84-s20	50I, 50J	Arcilla limosa, 10 YR 4/3	Chacahua tardío	Relleno de construcción	Más compacto que E84-s16 y con más motitas de arcilla (Fig. 6.25)

Número de Estrato	Unidades	Descripciones Munsell y Sedimento	Fecha Probable	Proceso de Formación	Comentarios
E84-s21	50I, 50J	Arcilla limosa, 10 YR 4/4	Chacahua tardío	Relleno de construcción	Menos compacto que E84-s20, sin inclusiones; tiene una pendiente hacia el norte para sostener el peso del basamento de piedra del E86 (Fig. 6.25)
E84-s22	50I	Arcilla limosa, 10 YR 4/3	Chacahua tardío	Relleno de construcción	Menos compacto que E84-s20, sin inclusiones; más obscura que E84-s22 (Fig. 6.25)
E168	41D, 42D	Arcilla limosa, 7.5 YR 5/6	Chacahua	Probable piso ocupacional	Sedimento compacto, algunas inclusiones de carbón provenientes del evento cuando se quemó el piso; probablemente asociado con la superficie por encima de la Estructura 8 (Fig. 6.9)
E167	39A, 40A	Arcilla arenosa, 7.5YR 5/6	Chacahua	Probable piso ocupacional	Superficie quemada; mala preservación y difícil de seguir hacia el oeste; arena mediana y gruesa; probablemente asociado la posible superestructura encima de la Estructura 8 (6.19)
E135	37A, 38A, 39A	Arcilla arenosa, 10 YR 4/3	Chacahua	Relleno de construcción	Relleno retenido por el E132; algunas inclusiones de piedras de granito y tiestos de cerámica (Fig. 6.19)
E137	MU6	N/A	Chacahua	Piedra	Posible esquina noroeste del muro E132, encima de la Estructura 8 (Fig. 6.14 y 6.19)
E156	36YY, 37XX, 37YY	Arcilla, 10 YR 4/4	Chacahua	Mortero de arcilla	Mortero del E-134; la arcilla es muy compacta, algunas inclusiones de gravilla (Fig. 6.26)

Número de Estrato	Unidades	Descripciones Munsell y Sedimento	Fecha Probable	Proceso de Formación	Comentarios
E134	36YY, 37XX, 37YY	N/A	Chacahua	Alineamiento de piedras	Posible expansión de la plataforma encima de la Estructura 8; orientación noroeste-sureste, con una desviación de 112° este de norte; su cara es hacia el sur; se compone de piedras medianas; utiliza como base el muro del E139 (Fig. 6.14 y 6.26)
E161	36YY, 37YY	Arcilla, 10 YR 4/3	Chacahua	Mortero de arcilla	Arcilla muy compacta; pocas inclusiones de arcilla obscura; mortero del alineamiento (E133) por encima de la Estructura 8 (Fig. 6.26)
E133	36YY, 37YY	N/A	Chacahua	Alineamiento de piedras	Alineamiento que posiblemente sea un desplante de una plataforma encima de la Estructura 8; orientación noroeste-sureste, con una desviación de 100° este de norte; su cara es hacia el sur; se compone de piedras grandes y medianas, pero en su esquina oeste hay una piedra grande que comparte como esquina con el E132 (Fig.6.14 y 6.26)

Número de Estrato	Unidades	Descripciones Munsell y Sedimento	Fecha Probable	Proceso de Formación	Comentarios
E132	36YY, 37A 37YY	N/A	Chacahua	Desplante de muro de piedra	Alineamiento de piedra que posiblemente sea un desplante el desplante de una plataforma encima de la Estructura 8, o un alineamiento provisional; orientación noreste-suroeste, con una desviación de 15° este de norte; su cara es hacia el oeste; se compone de piedras medianas y chicas, pero en su esquina sur hay una piedra grande (Fig. 6.14, 6.26 y 6.27)
E164	36WW	Arcilla arenosa, 10 YR 4/3	Chacahua	Relleno de fosa/ posible elemento de terminación	Fosa angosta de poca profundidad que corta al estrato E136-s6 y al muro de piedra del E139; posiblemente asociada con algún ritual de terminación de la Estructura 8-Sub 1 o un ritual de dedicación de la Estructura 8; alta concentración de artefactos; se observan algunos tiestos grandes de cerámica gris; algunas inclusiones de tiestos triturados (Fig. 6.26)
E136-s1	36WW	Migajón con limo arenoso, 10 YR 3/4	Chacahua	Relleno de construcción	Concentración moderada de artefactos; inclusiones de piedras angulares chicas (Fig.6.26)
E136-s2	36WW, 36XX	Arcilla limosa, 10YR 4/3	Chacahua	Relleno de construcción	Alta concentración de artefactos pero menos que E136-s3; inclusiones de gravilla; este estrato es cortado por el E163 en la unidad 36XX (Fig.6.26)

Número de Estrato	Unidades	Descripciones Munsell y Sedimento	Fecha Probable	Proceso de Formación	Comentarios
E136-s3	36WW, 36XX	Migajón con limo arenoso, 10 YR 4/3	Chacahua	Relleno de construcción	Alta concentración de artefactos; muchas inclusiones de concha triturada; menos compacto que E136-s4y E136-s1; muy parecido al estrato E136-s5, presenta muchas laminaciones (Fig.6.26)
E136-s4	36WW, 36XX, 37XX	Arcilla, 10 YR 4/3	Chacahua	Relleno de construcción	Arcilla algo limosa, con manchas amarillas parecidas al desgrasante vegetal del E138; muy pocas motitas de arcilla más obscura (Fig.6.26)
E136-s5	36WW, 36XX, 37XX	Migajón con limo arenoso, 10 YR 4/3	Chacahua	Relleno de construcción	Alta concentración de artefactos; muchas inclusiones de concha triturada; muy parecido al estrato E136-s3, presenta laminaciones (Fig.6.26)
E136-s6	36WW, 36XX, 36YY, 37XX	Arcilla, 10 YR 4/3	Chacahua	Relleno de construcción	Arcilla muy compacta, pero menos que el E141-s1; pocas inclusiones de gravilla (Fig.6.26)
E136-s7	36XX	Arcilla limosa, 10YR 4/3	Chacahua	Relleno de construcción	Arcilla menos compacta que E136-s6; algunas inclusiones de concha triturada; algunas inclusiones de bajareque y gravilla; podría representar una fosa (Fig.6.26)
E136-s8	36A, 37A	Arcilla, 10 YR 4/3	Chacahua	Relleno de construcción	Estrato que recubre al muro del E132; la arcilla se encuentra en motitas; inclusiones de concha triturada y bajareque (Fig.6.26)

Número de Estrato	Unidades	Descripciones Munsell y Sedimento	Fecha Probable	Proceso de Formación	Comentarios
E141-s1	36A, 36XX, 36YY, 37A, MU6	Arcilla, 10 YR 4/3	Chacahua	Relleno de construcción	Arcilla muy dura y compacta; estrato que cubre al muro del E139 de la fachada oeste de la Estructura 8-sub 1; probablemente puesto para cimentar la construcción de la Estructura 8 (Fig.6.19 y 6.26)
E141-s2	36YY	Arcilla limosa, 10YR 4/3	Chacahua	Relleno de construcción	Menos compacto que el E141-s1; inclusiones de concha triturada y gravilla; algunas piedras chicas de granito son visibles en el fondo (Fig.6.26)
E141-s3	36XX	Arcilla limosa, 10YR 4/3	Chacahua	Relleno de construcción	Menos compacta que E141-s1; sin inclusiones (Fig.6.26)
E141-s4	36XX	Migajón con limo arenoso, 10 YR 4/3	Chacahua	Relleno de construcción	La arena es áspera; algunas inclusiones de concha pulverizada; se observa algo de carbón mezclado con la matriz del sub-estrato (Fig.6.26)
E140	MU6	Arcilla, 10 YR 4/4	Chacahua	Relleno de construcción	Arcilla compacta con pocas inclusiones de gravilla; este estrato recubre a la posible expansión del muro del E139 (Fig.6.19)
E160-s1	36XX	Arcilla limosa, 10 YR 3/4	Chacahua	Relleno de construcción	Arcilla limosa algo compacta, pero menos que el E-141-s1; sin inclusiones (Fig. 6.12)
E160-s2	36XX	Arcilla limosa, 10YR 4/3	Chacahua	Relleno de construcción	Sub-estrato que cubre a la banqueta del E-157 y las lajas del E-158; la arcilla es algo compacta (Fig. 6.12)
E160-s3	36XX	Migajón con arena, 10 YR 3/4	Chacahua	Relleno de construcción	Sub-estrato que cubre a la banqueta del E-157 y las lajas del E-158; alta concentración de artefactos; inclusiones de concha pulverizada (Fig. 6.12)

Número de Estrato	Unidades	Descripciones Munsell y Sedimento	Fecha Probable	Proceso de Formación	Comentarios
E160-s4	36XX	Arcilla limosa, 10YR 4/3	Chacahua	Relleno de construcción	Sub-estrato que cubre a la banqueta del E-157 y las lajas del E-158; arcilla compacta y sin inclusiones (Fig. 6.12)
E160-s5	36XX	Arena, 10YR 4/2	Chacahua	Relleno de construcción	Sub-estrato que cubre a la banqueta del E-157 y las lajas del E-158; la arena no esta compacta (Fig. 6.12)
E122-s1	42D, 43C, 43D	Arcilla limosa, 10 YR 4/3	Chacahua	Relleno de construcción	Arcilla algo compacta con alta concentración de limo; algunas inclusiones de gravilla (Fig. 6.9)
E122-s2	42D, 43C, 43D	Arcilla arenosa, 10 YR 4/3	Chacahua	Relleno de construcción	Relleno superior que cubre las escaleras oeste de la Estructura 8-Sub 1; mezcla de arcilla limosa, arena fina y arena limosa (Fig. 6.9)
E122-s3	41D, 42D	Arcilla limosa, 10 YR 3/4	Chacahua	Relleno de construcción	Muchas inclusiones de concha y algo de bajareque (Fig. 6.9)
E122-s4	41D, 42D, 43D	Arcilla, 10 YR 3/4	Chacahua	Relleno de construcción	Sedimento compacto; sin inclusiones (Fig. 6.9)
E122-s5	41D, 42D	Arcilla arenosa, 10 YR 4/3	Chacahua	Relleno de construcción	Sedimento menos compacto que E122-s4; muchas inclusiones de concha; la división entre este substrato y el substrato E122-s3 es división de observar, pueden ser el mismo substrato pero E122-s5 tiene una mayor concentración de concha (Fig. 6.9)
E122-s6	41D	Arcilla limosa, 10 YR 4/3	Chacahua	Relleno de construcción	La arcilla se encuentra en motas de mediano tamaño muy compactas; algunas inclusiones de concha (Fig. 6.9)
E122-s7	41D	Arcilla arenosa, 10 YR 3/4	Chacahua	Relleno de construcción	Pocas inclusiones de concha; menos compacta que E122-s6 y E122-s4 (Fig. 6.9)

Número de Estrato	Unidades	Descripciones Munsell y Sedimento	Fecha Probable	Proceso de Formación	Comentarios
E122-s8	41D, 42D	Arcilla, 10 YR 4/4	Chacahua	Relleno de construcción	Arcilla compacta pero menos que E122-s4; sin inclusiones (Fig. 6.9)
E122-s9	42D	Migajón con limo arenoso, 10 YR 4/4	Chacahua	Relleno de construcción	Muchas inclusiones de concha; algunas inclusiones de gravilla (Fig. 6.9)
E122-s10	42D, 43D	Arcilla limosa, 10 YR 4/3	Chacahua	Relleno de construcción	Sedimento que cubre al primer escalón de la escalinata de la Estructura 8-sub 1; algunas inclusiones de concha y gravilla (Fig. 6.9)
E122-s11	43D, MU7	Arena, 5 YR, 3/3	Chacahua	Fondo de un pozo de ofrenda	Superficie quemada que delimita el fondo de un pozo utilizado para una ofrenda (E120-s1) (Fig. 6.9)
E85-s1	50I	Arcilla limosa, 10 YR 4/3	Chacahua	Relleno de construcción	Relleno retenido por el muro de piedra del E86; algunas inclusiones de gravilla (Fig. 6.25)
E85-s2	50I	Arcilla, 10 YR 4/3	Chacahua	Relleno de construcción	Inclusiones de bajareque se encuentran dentro de todo el estrato (Fig. 6.25)
E85-s3	50I	Arcilla, 10 YR 4/4	Chacahua	Relleno de construcción	Arcilla compacta; sin inclusiones (Fig. 6.25)
E85-s4	50I	Arcilla limosa, 10 YR 3/4	Chacahua	Relleno de construcción	Sin inclusiones; mas compacto que E85-s3 (Fig. 6.25)
E85-s5	50I	Arcilla limosa, 10 YR 4/3	Chacahua	Relleno de construcción	Mas compacto que E85-s2; algunas inclusiones de bajareque (Fig. 6.25)

Número de Estrato	Unidades	Descripciones Munsell y Sedimento	Fecha Probable	Proceso de Formación	Comentarios
E100	MU4	N/A	Chacahua	Muro de piedra	Muro de piedra; orientación noreste-suroeste, con una desviación de 30° este de norte; su cara es hacia el oeste, se compone de piedras medianas y grandes; debido al área expuesta del elemento, no se pudo discernir su utilidad; en base a su altura puede que sea la parte trasera del muro del E95 o una cajón de mampostería del relleno E58-s1 que es retenido por el muro del E95 (Fig. 6.24)
E58-s1	43A, 46A, 47A, 47ZZ, 48A, 48ZZ, 49A, 49E, 49ZZ, MU4, MU5	Arcilla limosa, 10 YR 5.5/4	Chacahua	Relleno de construcción	Relleno retenido por el muro del E95 de la Estructura 8; con algunas inclusiones de arena gruesa y limo semi-compacto; pequeñas inclusiones de concha (Fig. 6.3, 6.8, 6.18, 6.19, y 6.24)
E58-s2	49E	Arcilla limosa, 10 YR 3/4	Chacahua	Relleno de construcción	Menos compacto que E58-s1, sin inclusiones; una piedra mediana se encuentra dentro de este estrato en el perfil norte (Fig. 6.8)
E58-s3	46A, 47A, 48A	Arcilla limosa, 10 YR 4/4	Chacahua	Relleno de construcción	Variedad en el relleno de construcción; estrato poco compacto; sin inclusiones de concha
E58-s4	MU4	Migajón con arena, 10 YR 3/4	Chacahua	Relleno de construcción	Variedad en el relleno de construcción; estrato algo compacto (Fig. 24)
E58-s5	MU4	Arcilla limosa, 10 YR 3/4	Chacahua	Relleno de construcción	Más suave que E58-s1; el estrato es cortado por un bloque de adobe en el perfil norte (Fig. 6.24)
E87-s1	50I, 50J	Arcilla limosa, 10 YR 4/4	Chacahua	Mortero de arcilla del muro E86	Arcilla muy compacta; sin inclusiones (Fig. 6.25)

Número de Estrato	Unidades	Descripciones Munsell y Sedimento	Fecha Probable	Proceso de Formación	Comentarios
E87-s2	50I, 50J	Arcilla, 10 YR 4/4	Chacahua	Mortero de arcilla del muro E86	Arcilla compacta, pero menos que E87-s1; sin inclusiones (Fig. 6.25)
E86	50I, 50J	N/A	Chacahua	Muro de contención	Muro de piedra; orientación este-oeste, con una desviación de 95° este de norte, su cara es hacia el norte; se compone de piedras grandes y medianas; este muro podría ser la cara norte de la Estructura 8 y por lo tanto esta relacionado con la fachada este (E95) (Fig. 6.25)
E113	49A, 50A	Arcilla, 10 YR 3/4	Chacahua	Soporte de muro de piedra	Arcilla compacta por encima del piso del E112 que parece funcionar como un soporte para el muro del E95 (Fig. 6.3 6.22)
E96	49A, MU4	Arcilla, 10 YR 3/4	Chacahua	Mortero de arcilla del muro E95	Arcilla muy compacta; sin inclusiones (Fig. 6.22)
E95	49A, MU4	N/A	Chacahua	Muro de piedra	Segunda y última fase constructiva de la Estructura 8; orientación noreste-suroeste, con una desviación de 23° este de norte; su cara es hacia el este; se compone de piedras grandes y medianas; corta al piso del E112 (Fig. 6.3 6.22 y 6.24)
E112	49A, 49ZZ, 50A	Arena, 5 YR 5/8	Chacahua	Piso	Arena gruesa; superficie ocupacional por encima de los substratos del E59; anterior a la construcción del muro del E95 aunque podría estar relacionado con este, formando una superficie ocupacional por encima de la fachada este de la Estructura 8 (Fig. 6.3 y 6.22)

Número de Estrato	Unidades	Descripciones Munsell y Sedimento	Fecha Probable	Proceso de Formación	Comentarios
E109	49E	N/A	Chacahua	Desecho de actividad	Concentración de cerámica, concha, y algunos huesos de animal que puede representar un basurero depositado entre estratos E59-s17 y E59-s18 o desecho de comida consumida durante la construcción de la Estructura 8; no es visible en perfil (Fig.6.23)
E111	49ZZ, 50A	Arcilla limosa, 5 YR 3/3	Chacahua	Posible piso	Arcilla muy compacta y sin inclusiones; superficie delgada que podría representar un piso o una superficie quemada asociado a la construcción de la Estructura 8; difícil de seguir (Fig. 6.22)
E59-s1	48A, 49A, 49ZZ, MU2, MU4	Migajón con arena, 10YR 4/6	Chacahua	Relleno de construcción	Relleno que cubre a la Estructura 8-sub 1; capa delgada de arenas; la arena es muy fina; sin materiales asociados; los sub-estratos E59-s3, E59-s6 y E59-s7 fueron reasignados como estrato E76; el PRV12 utilizó las designaciones E59-s4, E59-s8, E59-s9 y E59-s10 para nombrar algunos estratos en la unidad 56A, mientras que E59-s11 y E59-s12 fueron utilizados en la unidad 56OO (Fig. 6.3, 6.8 y 6.24)
E59-s2	48A, 49A, 49ZZ, 50A, MU2, MU4	Migajón con limo arcilloso, 10 YR 5.5/4	Chacahua	Relleno de construcción	Pequeña capa entre sub-estratos de arena; poco compacto, pero más que E59-s1; ningún material asociado (Fig. 6.3, 6.8, 6.22 y 6.24)

Número de Estrato	Unidades	Descripciones Munsell y Sedimento	Fecha Probable	Proceso de Formación	Comentarios
E59-s5	48A, 49A, 49ZZ, 49E, MU2, MU4	Migajón con arena, 10 YR 4/4	Chacahua	Relleno de construcción	Asociado con poco material; presenta algunas motas de arcilla; este estrato engloba los estratos E59-s1, E59-s2 y E59-s5 de las excavaciones del 2012 (Fig. 6.3, Fig. 6.8 y 6.24)
E59-s13	49A, 49ZZ, 50A, MU2	Arcilla limosa, 10 YR 5/3	Chacahua	Relleno de construcción	Sedimento poco compacto; inclusiones de mica; este estrato engloba los estratos E59-s1, E59-s3, E59-s7 y E59-s8 de las excavaciones del 2012 (Fig. 6.3 y 6.22)
E59-s14	49A, 49ZZ, 50A	Migajón con arena, 10 YR 5/6	Chacahua	Relleno de construcción	Segundo relleno de arenas; este relleno engloba substratos de arenas finas con inclusiones de mica discernibles en la unidad 50A, pero no en la unidad 49ZZ (Fig. 6.3 y 6.22)
E59-s15	49E	Migajón con limo arcilloso, 10 YR 4/3	Chacahua	Relleno de construcción	Sedimento algo compacto; la arena es gruesa (Fig. 6.8)
E59-s16	49E	Arena, 10 YR 3/4	Chacahua	Relleno de construcción	Arena muy fina y suelta; con motitas de arcilla (Fig. 6.8)
E59-s17	49E	Arcilla limosa, 10YR 4/3	Chacahua	Relleno de construcción	Sedimento muy compacto; algunas inclusiones de gravilla (Fig. 6.8)
E59-18	49E	Migajón con arena, 10 YR 3/4	Chacahua	Relleno de construcción	Sedimento poco compacto; con pocas motas de arcilla; asociado con pocos artefactos, especialmente en el perfil este (Fig. 6.8)
E59-s19	50A	Arena con migajón, 10 YR 3/4	Chacahua	Relleno de construcción	La arena es fina, con algunas motitas de arcilla, sedimento algo compacto (Fig. 6.22)
E59-s20	50A	Arena con migajón, 10 YR 3/4	Chacahua	Relleno de construcción	Menos compacto que E59-s19; con menos motitas de arcilla que E59-s19 (Fig. 6.22)
E59-S21	50A	Arcilla limosa, 10 YR 4/4	Chacahua	Relleno de construcción	Arena muy fina y suelta (Fig. 6.22)

Número de Estrato	Unidades	Descripciones Munsell y Sedimento	Fecha Probable	Proceso de Formación	Comentarios
E59-S22	50A	Arcilla limosa, 10 YR 4/4	Chacahua	Relleno de construcción	La arena es más fina que la del E59-s21 (Fig. 6.22)
E59-s23	50A	Arcilla arenosa, 10 YR 4/4	Chacahua	Relleno de construcción	Arena fina, compacta, algunas inclusiones de concha (Fig. 6.22)
E121	40A	Migajón con limo arcilloso, 10YR 4/3	Chacahua	Relleno de fosa	Fosa angosta de mediana profundidad que corta a los estratos E138-s1, E149-s1, E149-s2, E63-s3 y E63-s1; algunas inclusiones de concha; algunos tiesto son visibles en el fondo del pozo (Fig. 6.2)
E98	43A, 46A, MU2, MU5	Arcilla limosa, 10 YR 5/4	Chacahua	Piso	Segundo piso ocupacional de la Estructura 8-sub 1; no quemado; arcilla muy compacta; su superficie no es plana (Fig. 6.3, 6.16, 6.17, y 6.18)
E99-s1	43A, 46A, MU2, MU5	Arcilla, 5 YR 3/3	Chacahua	Piso	Primer piso ocupacional de la Estructura 8-sub 1; quemado (Fig. 6.3, 6.16, 6.17 y 6.18)
E99-s2	46A, MU2, MU5	Arcilla, 10 YR 3/4	Chacahua	Piso	Primer piso ocupacional de la Estructura 8-sub 1; no quemado; arcilla muy compact encontrada por abajo del E99-s1 (Fig. 6.3, 6.16, 6.17 y 6.18)
E99-s3	MU5	Arcilla, 5 YR 4/6	Chacahua	Piso	Primer piso ocupacional de la Estructura 8-sub 1; quemado; se encuentra por abajo del E99-s2 (Fig. 6.18)
E138-s1	37A, 38A, 40A	Arcilla, 10 YR 4/4	Chacahua	Adobe vertido (Relleno estructurado tipo 1)	Arcilla mezclada con pasto como desgrasante vegetal, muy compacta; estrato retenido por el muro del E139 (Fig.6.2 y 6.19)
E138-s2	40A	Arcilla limosa, 10YR 6/4	Chacahua	Adobe vertido (Relleno estructurado tipo 1)	Mas compacto que E138-s1 (Fig.6.2)

Número de Estrato	Unidades	Descripciones Munsell y Sedimento	Fecha Probable	Proceso de Formación	Comentarios
E138-s3	40A	Arcilla arenosa, 10YR 6/4	Chacahua	Adobe vertido (Relleno estructurado tipo 1)	Capa de relleno muy compacto; presencia de arena fina (Fig.6.2)
E63-s1	40A	Migajón con limo arcillo, 10YR 4/3	Chacahua	Relleno de construcción	Relleno constructivo con inclusiones de concha; se observan manchas amarillas como de desgrasante vegetal similares a las del E138-s1; quizá sea un sub-estrato de este elemento (Fig.6.2)
E63-s2	40A	Migajón con limo arenoso, 10 YR 4/3	Chacahua	Relleno de construcción	Algunas inclusiones de concha (Fig.6.2)
E63-s3	40A	Arcilla, 10 YR 4/4	Chacahua	Relleno de construcción	Arcilla compacta; sin inclusiones (Fig.6.2)
E56	40A	N/A	Chacahua	Elemento de piedra	Elemento principalmente de piedras gruesas con un forma semi-circular que atraviesa la unidad sobre el eje norte-sur; debido a su mala preservación y a que no se expuso más de este elemento no fue posible discernir su función; probablemente es una caja de construcción que retiene al relleno constructivo del E138 (Fig.6.2)
E116	46A	N/A	Chacahua	Alineamiento de piedras	Muro que crea un posible cajón de construcción; asociado con la edificación de la Estructura 8-sub 1 (E101); hacia el sur retiene al relleno del E114-s3 y E114-s4; posiblemente construido encima del relleno del E115-s1 (Fig. 6.17)

Número de Estrato	Unidades	Descripciones Munsell y Sedimento	Fecha Probable	Proceso de Formación	Comentarios
E114-s1	43A, 46A, MU5	Arena, 10 YR 5/4	Chacahua	Relleno de construcción	Segundo tipo de relleno constructivo no consolidado de la Estructura 8-sub 1; arena fina algo compacta; alta concentración de motitas de arcilla, especialmente en el perfil norte (Fig. 6.16 6.17 y 6.18)
E114-s2	46A	Arcilla limosa, 10YR 4/6	Chacahua	Relleno de construcción	Posiblemente representa una gran concentración de arcilla dentro del E114-s2 (Fig. 6.17)
E114-s3	43A, 46A, MU5	Arcilla limosa, 10 YR 5/4	Chacahua	Relleno de construcción	Algunas motitas de arcilla obscura pero en menor cantidad que en E114-s1; más claro que E114-s1 (Fig. 6.16 6.17 y 6.18)
E114-s4	46A	Migajón con arcilla, 10 YR 4/3	Chacahua	Relleno de construcción	Sedimento más áspero que E114-s2 y E114-s3; la división de este substrato es difícil de diferenciar (Fig. 6.17)
E114-s5	46A	Migajón con limo arenoso, 10 YR 4/4	Chacahua	Relleno de construcción	Muy similar al E114-s4, pero con una concentración de arena fina (Fig. 6.17)
E114-s6	43A, MU5	Migajón con arcilla, 10 YR 4/4	Chacahua	Relleno de construcción	Sedimento compacto; pocas motitas de arcilla; asociado con una concentración de piedras y bajareque en el perfil este (Fig. 6.16 y Fig. 6.18)
E114-s7	43A	Arcilla limosa, 10 YR 4/3	Chacahua	Relleno de construcción	Más compacto que E114-s6; la arcilla se encuentra en motas; muy pocas inclusiones de bajareque, especialmente en el perfil sur (Fig. 6.16)
E114-s8	43A	Arcilla, 10 YR 4/4	Chacahua	Relleno de construcción	Sin inclusiones (Fig. 6.16)
E114-s9	MU5	Migajón con limo, 10 YR 4/4	Chacahua	Relleno de construcción	Algunas motitas de arcilla; similar al E114-s1 (Fig. 6.18)
E114-s10	MU5	Arcilla limosa, 10 YR 4/4	Chacahua	Relleno de construcción	Arcilla muy compacta (Fig. 6.18)

Número de Estrato	Unidades	Descripciones Munsell y Sedimento	Fecha Probable	Proceso de Formación	Comentarios
E114-s11	MU5	Migajón con limo, 10 YR 4/3.5 4/4.5	Chacahua	Relleno de construcción	Arena fina; sin motitas de arcilla (Fig. 6.18)
E114-s12	MU5	Arcilla limosa, 10YR 3/4	Chacahua	Relleno de construcción	Algo compacto; con algunas motitas de arcilla obscura (Fig. 6.18)
E114-s13	MU5	Migajón con arcilla, 10 YR 3/4	Chacahua	Relleno de construcción	Muy compacto; sin inclusiones (Fig. 6.18)
E114-s14	MU5	Arena con migajón, 10 YR 4/3	Chacahua	Relleno de construcción	Arena muy fina y suelta; sin inclusiones (Fig. 6.18)
E115-s1	43A, 46A, MU5	Arcilla, 10 YR 3/4	Chacahua	Relleno de construcción	Primer tipo de relleno constructivo no consolidado de la Estructura 8-sub 1; sedimento compacto; algunas inclusiones de carbón (Fig. 6.16, 6.17 y 6.18)
E115-s2	43A, 46A	Arena, 10 YR 4/4	Chacahua	Relleno de construcción	Sedimento más suelto que E115-s1; la arena es muy fina; contiene motitas muy pequeñas de arcilla (Fig. 6.16 y 6.17)
E115-s3	46A	Arcilla arenosa, 10 YR 4/4	Chacahua	Relleno de construcción	Las motas de arcilla son más grandes y más compactas que el E115-s4 (Fig. 6.17)
E115-s4	43A, 46A	Migajón con arena, 10 YR 3/4	Chacahua	Relleno de construcción	Arena es muy fina; algunas motas de arcilla compacta; se ven algunas raíces (Fig. 6.16 y 6.17)
E115-s5	46A	Arcilla, 10 YR 5/4	Chacahua	Relleno de construcción	Arcilla muy compacta (Fig. 6.17)
E115-s6	46A	Arena, 10 YR 4/3	Chacahua	Relleno de construcción	Arena fina y suelta (Fig. 6.17)
E115-s7	46A	Arena, 10 YR 4/4	Chacahua	Relleno de construcción	Arena muy fina y más suelta que el E115-s6 (Fig. 6.17)
E115-s8	46A	Arcilla, 10 YR 4/3	Chacahua	Relleno de construcción	Sedimento muy compacto; algunas inclusiones de motitas de arcilla más obscura (Fig. 6.17)

Número de Estrato	Unidades	Descripciones Munsell y Sedimento	Fecha Probable	Proceso de Formación	Comentarios
E144	37A, MU6	N/A	Chacahua	Muro de piedra	Posible renovación de la fachada oeste de la Estructura 8-sub 1; al expandir el muro del E139 haca el norte, se cubren parte de las escaleras y posiblemente se mueven hacia el norte; después de esta renovación, se depositó al adobe vertido del E138 (Fig. 6.15 y 6.19)
E158	36XX	N/A	Chacahua	Lajas	Piedras medianas y planas perpendiculares al E157; se encuentran por debajo de la banqueta del E157; continúan hacia el oeste; posiblemente un superficie pavimentada con lajas que fungió como superficie ocupacional (Fig. 6.12, 6.13 y 6.14)
E157	36XX	N/A	Chacahua	Banqueta alrededor del muro E139	Piedras grandes y planas paralelas a la base del muro de piedra del E139, probablemente contemporáneo a este; desplantan de las lajas del E158 con una altura promedio de 30cm; su alineamiento mantiene la misma dirección que el E139 (Fig. 6.12, 6.13 y 6.14)
E143	38A, MU6	Arcilla, 10YR 4/3	Chacahua	Mortero de arcilla	Mortero del muro del E139; arcilla compacta; sin inclusiones (Fig. 6.12)

Número de Estrato	Unidades	Descripciones Munsell y Sedimento	Fecha Probable	Proceso de Formación	Comentarios
E139	36WW, 36XX, 36YY, 37A, 38A, MU6	N/A	Chacahua	Muro de piedra	Muro de piedra de 1.7 m que forma la fachada oeste de la Estructura 8-sub 1; orientación noreste-suroeste, con una desviación de 15° este de norte; su cara es hacia el oeste, se compone de piedras medianas, grandes y chicas; tiene un declive en su parte media (Fig. 6.12, 6.13 y 6.14)
E129-s1	41D, 42D	Arcilla limosa, 10 YR 4/4	Chacahua	Recubrimiento de escalón	Arcilla muy compacta; algunas inclusiones de gravilla y concha pulverizada (Fig. 6.9)
E129-s2	41D, 42D	Arena, 10 YR 3/4	Chacahua	Recubrimiento de escalón	Muchas inclusiones de concha; los granos son angulares y ásperos (Fig. 6.9)
E128	41D, 42D, 43D	Arcilla, 10YR 4/3	Chacahua	Mortero de arcilla	Arcilla muy compacta; sin inclusiones, mortero de la escalinata oeste asociado a los escalones E67, E101, E102 y E103 (Fig. 6.9)
E127	41D	N/A	Chacahua	Escalón de la Estructura 8-sub 1	Quinto escalón (desde la parte superior) de la escalinata oeste, Estructura 8-sub 1; orientación noreste-suroeste, con una desviación de 10° este de norte; su cara es hacia el oeste; solo se expuso una piedra de este escalón (Fig. 6.9, 6.10 y 6.11)

Número de Estrato	Unidades	Descripciones Munsell y Sedimento	Fecha Probable	Proceso de Formación	Comentarios
E126	41D	N/A	Chacahua	Escalón de la Estructura 8-sub 1	Cuarto escalón (desde la parte superior) de la escalinata oeste, Estructura 8-sub 1; orientación noreste-suroeste, con una desviación de 13° este de norte; su cara es hacia el oeste, se compone de piedras medianas y grandes (Fig. 6.9, 6.10 y 6.11)
E125	42D	N/A	Chacahua	Escalón de la Estructura 8-sub 1	Tercer escalón (desde la parte superior) de la escalinata oeste, Estructura 8-sub 1; orientación noreste-suroeste, con una desviación aproximada de 13° este de norte; su cara es hacia el oeste; se compone de piedras medianas y grandes (Fig. 6.9, 6.10 y 6.11)
E124	42D, 43D	N/A	Chacahua	Escalón de la Estructura 8-sub 1	Segundo escalón (desde la parte superior) de la escalinata oeste, Estructura 8-sub 1; orientación noreste-suroeste, con una desviación de 12° este de norte; su cara es hacia el oeste; se compone de piedras medianas y grandes (Fig. 6.9, 6.10 y 6.11)
E123	43D	N/A	Chacahua	Escalón de la Estructura 8-sub 1	Primer escalón (desde la parte superior) de la escalinata oeste, Estructura 8-sub 1; orientación noreste-suroeste, con una desviación de 10° este de norte; su cara es hacia el este; se compone de piedras, medianas y grandes (Fig. 6.9, 6.10 y 6.11)

Número de Estrato	Unidades	Descripciones Munsell y Sedimento	Fecha Probable	Proceso de Formación	Comentarios
E107	49E	Arcilla limosa, 10YR 4/3	Chacahua	Elemento arquitectónico / o desecho?	Arcilla muy compacta; con una gran concentración de concha en la superficie; sedimento parecido al E97; no fue excavado; no se observa en perfil (Fig. 6.8)
E106-s1	49E	Arcilla limosa, 10YR 4/3	Chacahua	Mortero de arcilla	Mortero del E101 en la unidad 49E; arcilla muy compacta; sin inclusiones (Fig. 6.8)
E106-s2	49E	Arcilla limosa, 10YR 4/3	Chacahua	Mortero de arcilla	Arcilla menos compacta que E106-s1; más obscura que E106-s1 (Fig. 6.8)
E97	48A, 49A, 49ZZ, MU2	Arcilla limosa, 10YR 4/3	Chacahua	Enlucido de escalón	Sedimento muy compacto; forma una superficie uniforme por encima del segundo (E101) y tercer escalón (102) de la escalinata este, Estructura 8-sub 1; recubre lo que podría ser un quinto escalón (Fig. 6.3)
E105	47A, 48A, 49A, 49ZZ, MU2	Arcilla 10 YR 4/3	Chacahua	Mortero de arcilla	Mortero asociado con la escalinata este; arcilla muy compacta, pero menos que E97; en algunas áreas aparenta tener inclusiones anaranjadas, posiblemente un desgrasante vegetal; no es visible en perfil (Fig. 6.3)
E104	49ZZ, 50A	N/A	Chacahua	Escalón de la Estructura 8-sub 1	Posible quinto escalón (desde la parte superior) de la escalinata este, Estructura 8-sub 1; solo se expuso su superficie; no es visible en perfil (Fig. 6.4 y 6.5)

Número de Estrato	Unidades	Descripciones Munsell y Sedimento	Fecha Probable	Proceso de Formación	Comentarios
E103	49A, 49ZZ, MU2	N/A	Chacahua	Escalón de la Estructura 8-sub 1	Cuarto escalón (desde la parte superior) de la escalinata este, Estructura 8-sub 1, del lado este; orientación noreste-suroeste, con una desviación de 14° este de norte; su cara es hacia el este, se compone de piedras medianas y grandes; en la unidad 49A esta recubierto por un enlucido de arcilla limosa (E97) que forma una superficie plana; cuando se removieron las piedras del E102 también se removieron algunas piedras de este escalón (Fig. 6.3, 6.4 y 6.5)
E102	48A, 49A, MU2	N/A	Chacahua	Escalón de la Estructura 8-sub 1	Tercer escalón (desde la parte superior) de la escalinata este, Estructura 8-sub 1; orientación noreste-suroeste, con una desviación aproximada de 15° este de norte; su cara es hacia el este; se compone de piedras medianas; en la unidad 48ZZ esta recubierto por un enlucido de arcilla limosa (E97) que forma una superficie plana; las piedras de este escalón fueron minadas quizás para construcciones posteriores (Fig. 6.3, 6.4 y 6.5)

Número de Estrato	Unidades	Descripciones Munsell y Sedimento	Fecha Probable	Proceso de Formación	Comentarios
E101	47A, 48A, 49E, MU2	N/A	Chacahua	Escalón de la Estructura 8-sub 1	Segundo escalón (desde la parte superior) de la escalinata este, Estructura 8-sub 1; orientación noreste-suroeste, con una desviación de 18° este de norte; su cara es hacia el este; se compone de piedras medianas y grandes; en la unidad 48ZZ esta recubierto por un enlucido de arcilla limosa (E97) que forma una superficie plana (Fig. 6.3, 6.4 y 6.5)
E67	47A, MU4, MU2	N/A	Chacahua	Escalón de la Estructura 8-sub 1	Primer escalón (desde la parte superior) de la escalinata este, Estructura 8-sub 1; orientación noreste-suroeste, con una desviación de 15° este de norte; su cara es hacia el este; se compone de piedras, medianas y grandes; en la superficie que forma este escalón se encuentran dos pisos (E98, E99-s1, E99-s2) (Fig. 6.3, 6.4 y 6.5)
E74	48A	Arcilla, 10 YR 4/3	Chacahua	Relleno de construcción	Arcilla semi-compacta, algunas inclusiones de grava fina, este relleno es retenido por la escalinata del lado este (Fig. 6.3)
E98-s1	MU2	Arcilla limosa, 10YR 5/4	Chacahua	Relleno de construcción	Arcilla algo compacta; inclusiones de concha pulverizada (Fig. 6.3)
E98-s2	MU2	Arcilla limosa, 10YR 6/4	Chacahua	Relleno de construcción	Más suave que E98-s1; inclusiones pequeñas de concha (Fig. 6.3)

Número de Estrato	Unidades	Descripciones Munsell y Sedimento	Fecha Probable	Proceso de Formación	Comentarios
E76	48A, 49A, 49ZZ, MU2	Arena con migajón 10 YR 4/6	Chacahua	Relleno de construcción	Arena con motas de arcilla; no asociado con ningún material arqueológico; relleno de la Estructura 8-sub 1 que parece haber sido depositado en un cajón de construcción; contemporáneo a E98-s1 y E98-s2 (Fig. 6.3)
E108	48A, 49A	N/A	Chacahua	Alineamiento de piedras	Orientación noroeste-sureste, parece no tener una cara plana; las piedras que crea un posible cajón de construcción; asociado con la edificación de la Estructura 8-sub 1; hacia el norte retiene al relleno de construcción del E76 y al sur al E98 (Fig. 6.3, 6.4 y 6.5)
E151	40A	Arcilla arenosa, 10 YR 3/4	Chacahua	Relleno de construcción	La arena es muy áspera; algunas piedras de granito; sedimento que cubre al elemento de piedras E146 (Figure 6.2)
E150-s1	40A	Arcilla limosa, 10 YR 4/4	Chacahua	Relleno de construcción	Arcilla compacta, pero menos que E138; sin inclusiones; relleno que cubre al alineamiento de piedras del E145 (Figure 6.2)
E150-s2	40A	Migajón con limo arenoso, 10 YR 4/4	Chacahua	Relleno de construcción	Arena áspera; sin inclusiones (Figure 6.2)
E150-s3	40A	Migajón con limo arenoso, 10 YR 3/4	Chacahua	Relleno de construcción	Mezcla de arcilla y arena áspera; algunas inclusiones de concha pulverizada (Figure 6.2)
E150-s4	40A	Arcilla, 10 YR 4/4	Chacahua	Relleno de construcción	Arcilla compacta; algunas inclusiones de concha pulverizada (Figure 6.2)

Número de Estrato	Unidades	Descripciones Munsell y Sedimento	Fecha Probable	Proceso de Formación	Comentarios
E146	40A	N/A	Chacahua	Alineamiento de piedras	Alineamiento de piedras por debajo del adobe vertido del E138; orientación noreste-suroeste, con una desviación de 20° este de norte; no tiene una cara plana; se compone de piedras medianas (Figure 6.2)
E149-s1	40A	Migajón con limo arenoso, 10 YR 4/3	Chacahua	Relleno de construcción	La arena es áspera; muchas inclusiones de concha; varias capas interpuestas por encima del elemento de piedras E130; posiblemente adobe vertido (Figure 6.2)
E149-s2	40A	Arcilla limosa, 10YR 4/3	Chacahua	Relleno de construcción	Arcilla compacta; algunas inclusiones de concha, probablemente provenientes del substrato E149-s1; forma parte de varias capas interpuestas por encima del elemento de piedras E130; posiblemente adobe vertido (Figure 6.2)
E148	40A	Arcilla, 10 YR 4/3	Chacahua	Relleno de construcción	Arcilla muy compacta; algunas inclusiones de concha pulverizada posiblemente provenientes del E149 que se encuentra por encima de este estrato (Figure 6.2)
E147	40A	Arcilla limosa, 10 YR 4/3	Chacahua	Relleno de construcción	Arcilla muy compacta; sin inclusiones muy similar al E148 (Figura 6.2)
E130	40A	N/A	Chacahua	Alineamiento de piedras	Orientación noreste-suroeste, con una desviación de 17° este de norte, su cara es hacia el oeste; se compone de piedras medianas y grandes; se encuentra por encima del elemento E145; no se pudo discernir su uso original (Figura 6.2)

Número de Estrato	Unidades	Descripciones Munsell y Sedimento	Fecha Probable	Proceso de Formación	Comentarios
E145	40A	N/A	Chacahua	Alineamiento de piedras	Orientación noreste-suroeste, con una desviación de 19° este de norte, su cara es hacia el oeste; se compone de piedras medianas; solo se ve su parte superior; no se pudo discernir su uso original (Figura 6.2)

6.3 Secuencia Histórica

La Operación F del PRV13 reveló varios episodios constructivos en el lado norte de la acrópolis, o Montículo 1, pertenecientes a una edificación la cual fue asignada como Estructura 8, siguiendo la nomenclatura de investigaciones anteriores (Baillie 2007). A diferencia de las excavaciones del PRV12 en la Operación F, el PRV13 encontró evidencia de solo una etapa de ocupación principal datada hacia la fase Chacahua del Formativo Terminal tardío. Además, las excavaciones del PRV13 encontraron una ofrenda que data del período Posclásico Temprano, aunque no hubo evidencia de una ocupación extensiva durante esta etapa en la zona norte de la acrópolis. También, a diferencia de los trabajos del año anterior, el PRV13 encontró mejores contextos cerámicos que incrementaron la certeza de que esta área de la acrópolis data en su mayoría a la fase Chacahua. Sin embargo, debido a que gran parte de los estratos excavados no son contextos primarios sino rellenos de construcción, esto introduce un cierto grado de inseguridad a la datación de varios de los elementos descritos a continuación.

Los elementos más tempranos pertenecen a la etapa inicial de la fase Chacahua cuando se erigió lo que podría ser algún elemento arquitectónico de la primera versión de la Estructura 8. Estos elementos (E130 y E145) podrían representar una versión anterior a la escalinata del lado oeste de la Estructura 8. Sin embargo, debido a su mínima exposición en una sola unidad (40A), es difícil asegurar si

en verdad representan la versión más temprana de la estructura. Otras interpretaciones de estos elementos es que podrían ser muros de contención que retenían sedimento dándole estabilidad a la estructura o alineamientos de piedra que retenían rellenos constructivos durante la construcción de la estructura.

Construcción en la zona norte de la acrópolis se intensificó cuando los ocupantes de Río Viejo erigieron a la Estructura 8-sub 1 de por lo menos 7 x 13 m de lado. Esta estructura es una clara representación de la construcción ritual en la acrópolis como se entiende actualmente después de varias temporadas de investigación. Dichas medidas son tentativas ya que no se encontraron las esquinas de la estructura. La altura máxima de la estructura fue estimada hacia los 2.39 m (19.70 msnm), la cual se obtuvo tomando como base el desplante de una banqueta (E157) adyacente al la fachada oeste y la altura máxima del lado este. La estructura contaba con dos escalinatas, una en su lado este de por lo menos 4 escalones (E67, E101, E102 y E103) y otra en el lado oeste de al menos 5 escalones (E123, E124, E125, E126 y E127); no se encontraron los desplantes de ninguna de las escalinatas. Debido a la mala preservación de su parte superior y la mínima cantidad de artefactos arqueológicos en contextos primarios asociados con la misma, no se pudo discernir el uso especifico de esta edificación. Sin embargo, la ausencia de desechos domésticos sugiere que la estructura tuvo un uso público. Además, se encontraron los restos de un piso quemado asociado a la parte superior de la Estructura 8-sub 1 (E99), como de un revestimiento del mismo piso (E98).

Los habitantes de Rio Viejo construyeron una segunda fase constructiva del mismo edificio excavado en la Operación F, a la cual se le denominó como Estructura 8, que también data a la fase Chacahua (Formativo Terminal tardío). Esta ampliación se extendió hacia lo ancho, ya que la altura solo se incrementó en aproximadamente 30 cm, llegando a una altura máxima de 19.97 msnm. Sin embargo no fue posible definir la extensión máxima de la estructura 8 ya que los lados de la misma solo fueron

expuestos en las unidades 49A (elemento E95) y 50I (elemento E86). También se encontraron los restos de un posible piso ocupacional relacionado con la parte superior de la Estructura 8 (E167 y E168).

Después de su utilización, la Estructura 8 parece haber sido ritualmente terminada, cuando se cubrió con los estratos E131, E9 y E57, y se excavaron varias fosas (E83, E89, E90, E91, E93, E94,E118, E119, E152, E163 y E165) donde se depositaron grandes cantidades de tiestos de cerámica y piedras. Probablemente como parte del mismo evento, se depositó a un felino articulado en su forma anatómica en la fosa E162. Aunque se excavaron otras fosas (E88, E142, E153, E154, E155 y E166) que quizás sean contemporáneas con el evento de clausura, en estas no se encontró mucha cerámica, lo que sugiere que quizás tuvieron un uso distinto a las fosas de terminación.

La organización política regional en Rio Viejo colapsó hacia la transición de la fase Chacahua y Coyuche (Joyce 2008, 2010) causando que la acrópolis cayera en un prolongado desuso. Aunque investigaciones anteriores han demostrado que el Montículo 1 fue reutilizado para el Clásico Tardío (Brzezinski et al. 2012; Joyce 1999), la Operación F del PRV13 no encontró ningún elemento que date de este periodo en la zona norte de la acrópolis.

Para la fase Yugüe del Posclásico Temprano (800 - 1100 d. C.) la acrópolis volvió a ser reutilizada. Sin embargo, las investigaciones en la acrópolis no sugieren una gran presencia humana (Joyce et al. 2001). En el área de la Operación F solo se encontró una ofrenda con varios objetos de cobre, en su mayoría cascabeles, además de cuatro pequeñas vasijas de cerámica, siete navajas de obsidiana y un hueso trabajado; la Tabla 6.3 contiene todos los objetos que conformaron a la ofrenda. Esta fue depositada en una fosa cuya superficie fue quemada como preparativo para la colocación de la misma.

Tabla 6.3: Elementos de la Ofrenda (E120) encontrada en la Operación F del PRV13

Número de objeto	Objeto	Material	Elevación (msnm)	Descripción
1	Cajete	Cerámica	~20.17-20.02	Cajete pequeño; catalogado como (FS. # 1345); no se logro discernir su contexto original

Número de objeto	Objeto	Material	Elevación (msnm)	Descripción
2	Cajete	Cerámica	~20.17-20.03	Cajete pequeño; catalogado como (FS. # 1346); no se logro discernir su contexto original
3	Cajete	Cerámica	20.26	Cajete pequeño de pasta anaranjada depositado boca arriba en el fondo de la ofrenda; catalogado como (FS. # 1728)
4	Cajete	Cerámica	20.22	Cajete pequeño de pasta gris depositado boca abajo en el fondo de la ofrenda; catalogado como (FS. # 1730)
5	Cilindro	Cerámica	20.23	Pequeño cilindro de cerámica de pasta anaranjada; catalogado como (FS. # 1726)
6	Navaja	Obsidiana	20.17	Navaja prismática depositada en su parte dorsal; catalogada como (FS. # 1725)
7	Navaja	Obsidiana	20.21	Navaja prismática depositada en su parte ventral; catalogada como (FS. # 1725)
8	Navaja	Obsidiana	20.2	Navaja prismática depositada en su parte dorsal; catalogada como (FS. # 1725)l
9	Navaja	Obsidiana	20.2	Navaja prismática depositada en su parte ventral; catalogada como (FS. # 1725)
10	Navaja	Obsidiana	20.18	Navaja prismática depositada en su parte ventral; catalogada como (FS. # 1725)
11	Navaja	Obsidiana	20.21	Navaja prismática depositada en su parte dorsal; catalogada como (FS. # 1725)
12	Navaja	Obsidiana	20.22	Navaja prismática depositada en su parte dorsal; catalogada como (FS. # 1725)
13	Cascabel	Cobre	~20.17-20.02	Catalogado como (FS. # 1399); no se logro discernir su contexto original
14	Cascabel	Cobre	~20.17-20.02	Catalogado como (FS. # 1399); no se logro discernir su contexto original
15	Cascabel	Cobre	~20.17-20.02	Catalogado como (FS. # 1399); no se logro discernir su contexto original
16	Cascabel	Cobre	~20.17-20.02	Catalogado como (FS. # 1399); no se logro discernir su contexto original
17	Cascabel	Cobre	~20.17-20.02	Catalogado como (FS. # 1399); no se logro discernir su contexto original
18	Cascabel	Cobre	~20.17-20.02	Catalogado como (FS. # 1399); no se logro discernir su contexto original
19	Cascabel	Cobre	20.22	Catalogado como (FS. # 1727)
20	Cascabel	Cobre	20.2	Catalogado como (FS. # 1727)
21	Cascabel	Cobre	20.2	Catalogado como (FS. # 1727)
22	Placa	Cobre	20.21	Placa de cobre que fue partida en dos antes de haber sido depositada; catalogada como (FS. # 1727)

Número de objeto	Objeto	Material	Elevación (msnm)	Descripción
23	Hueso tallado	Hueso	20.22	Hueso tallado que parece representar un bulto mortuorio; buen estado de preservación; catalogada como (FS. # 1729)

En la siguiente sección se discute con mayor detalle la secuencia estratigráfica de la Operación F del PRV13, iniciando con los contextos más tempranos.

6.3.1 Construcción y Ocupación Durante la Fase Chacahua

6.3.1.1 Estructura 8-sub 1

La Estructura 8-sub 1 representa un basamento con una fachada de piedra y al menos dos escalinatas, una en lado este y otra en el lado este. Debido a que no se expusieron los lados norte y sur, no fue posible discernir con certeza su naturaleza, aunque si es posible postular inferencias bien informadas en el dato arqueológico. Las excavaciones de la Operación F sugieren que el evento de construcción más temprano en esta zona de la acrópolis probablemente pertenece al periodo inicial de la fase Chacahua del Formativo Terminal, cuando se erigieron los primeros elementos arquitectónicos de la Estructura 8. Evidencia de esto se encontró en la unidad 40A (Figura 6.2), cuando se construyeron los alineamientos de piedra del E145 y E130, cuyo uso no fue posible discernir ya que su exposición fue mínima. Posiblemente sean dos escalones de una versión previa a la escalinata oeste de la Estructura 8-sub 1 ya que comparte una alineación similar a los escalones de la misma. Sin embargo, también podrían representar alineamientos de piedra que fijaron rellenos constructivos no excavados. Otras interpretaciones podrían ser que el E145 y E130 estabilizaron al basamento durante periodos de inactividad mientras esta era edificada o ser los restos de pequeñas construcciones que salvaguardaron a los constructores, como Joyce y colegas (2013:142) lo han propuesto para alineamientos de piedra dentro del relleno constructivo de la Estructura 2-sub 2, también perteneciente a la fase Chacahua. El

E145 se encontró a una profundidad de 18.57 msnm y estuvo conformado de piedras medianas con una desviación de aproximadamente 19° este de norte. De este elemento solo se expuso la parte superior de las piedras. El E130 se encuentra encima del E145 y tiene una desviación aproximada de 17° este de norte; esta compuesto de piedras medianas y grandes. La parte superior de este elemento fue excavada durante los trabajos del PRV12 y se le asignó el nombre de E55.

Después de haber sido colocados los elementos de piedra E145 y E130 los habitantes de Río Viejo colocaron varios rellenos constructivos. El E145 fue recubierto con una capa de arcilla muy compacta (E147), mientras que el E130 fue recubierto con otra capa de arcilla (E148) similar al E147 pero con algunas inclusiones de concha pulverizada. Es posible que el E148 y el E147 sean sub-estratos de un mismo elemento. El alineamiento de piedras E130 también fue recubierto, pero este con distintas capas de arena mezclada con concha pulverizada (E149-s1) y de arcilla compacta (E149-s2), que posiblemente sea adobe vertido. Este elemento (E149) también fue excavado durante la temporada 2012, cuando se le asignó los designes E18 y E19. Debido a su mejor entendimiento, se consolidaron estos elementos y se les asignó un nuevo nombre (E49). En algún momento antes de haber sido colocados el relleno constructivo E147, se colocó un alineamiento de piedras medianas (E146) con una orientación noreste-suroeste, y con una desviación de 20° este de norte. Dicho elemento posiblemente representa un cajón de mampostería que retiene al relleno constructivo del E150, o tenga un uso similar al propuesto para los alineamientos E130 y E145. Solo se expuso la parte interna del alineamiento, aunque es posible que este tenga una cara plana hacia el oeste.. El relleno retenido por el muro E146 se compone de arcilla limosa (E150-s1), migajón con limo arenoso (E150-s2 y E150-S3), y de arcilla (E150-s4) y cubre al alineamiento de piedras del E145. Por encima del E146, se encuentra un relleno constructivo nombrado E151 de arcilla arenosa.

En las unidades 48A y 49A se expusieron los restos de un alineamiento de piedras (E108) que probablemente fue un cajón de mampostería asociado con la escalinata del lado este de la Estructura 8

(Fig. 6.3, 6.4 y 6.5). Este fue construido con piedras medianas y grandes que retienen hacia el norte al relleno constructivo del E76 y hacia el sur al E98 (Fig. 6.3). Hacia el sur el muro E108 retiene al relleno constructivo E98, compuesto de dos sub-estratos de arcilla limosa. Durante el PRV12 se excavó otro relleno constructivo (E74) en la unidad 48A, que probablemente sea contemporáneo a los rellenos E76, y E98 (Fig. 6.3).

En su lado este, la Estructura 8-sub 1 tenia una escalinata que posiblemente se extendía por todo el extremo del basamento (Fig. 6.3, 6.4 y 6.5). Los trabajos del PRV12 y el PRV13 expusieron cuatro escalones de la escalinata. El PRV12 expuso parte de los primeros dos escalones superiores, denominándolos como sub-estrato E67-s1 y E67-s2. Las excavaciones del PRV13 liberaron más de estos elementos y por lo tanto se les cambió su designación; al primer escalón, de arriba hacia abajo, se le dejó el nombre de E67 y al segundo se nombró E101. Además, el PRV13 encontró los restos de un tercer (E102) y cuarto (E103) escalón. En las unidades 49ZZ y 50A se detuvieron las excavaciones al encontrase lo que podría ser el recubrimiento de un quinto escalón (E104); este no es visible en perfil. Los escalones fueron hechos utilizando un mortero de arcilla (E105) muy compacta que en algunas áreas parece tener inclusiones anaranjadas, quizá un desgrasante vegetal. Los escalones tenían una orientación noroeste-suroeste, con una desviación promedio de 15.6° este de norte y estaban conformados de piedras medianas y grandes. Estas estaban cubiertas por el estrato E97, un enlucido de arcilla limosa que fungía como recubrimiento de los escalones para crear una superficie uniforme. El tercer escalón (E102) se encontró muy deteriorado ya que algunas piedras que lo conformaron estaban posicionadas perpendicularmente a la ubicación que alguna vez ocuparon al conformar este escalón; dicho deterioro posiblemente fue el resultado de un evento de terminación, o de minar materiales constructivos. En la multi-unidad 4 también se expuso parte del primer escalón de la escalinata este (Fig. 6.6).

Durante las excavaciones de la unidad 49E se encontró un alineamiento de piedra que sigue la alineación del primer escalón de la escalinata este, pero este se encuentra a la profundidad del segundo

escalón (Fig.6.7), y por lo tanto se le designó E101. Esto sugiere que entre las unidades MU4 y 49E podría encontrarse el remate de la escalinata este o que el primer escalón hace un giro de 90° hacia el noroeste. El muro E101 en la unidad 49E fue erigido utilizando como mortero al E106 (Fig. 6.8). Adyacente a este muro se encontró al E107 de arcilla limosa muy compacta, similar al E97 que recubre a los peldaños de la escalinata este. No se pudo discernir para que fue utilizado este elemento. Quizás podría ser un elemento arquitectónico y estar relacionado con el segundo o tercer escalón.

En el lado oeste de la Estructura 8-sub 1 también se encontró una escalinata, aunque a diferencia de su contraparte este, esta no se extendía por todo el lado oeste de la estructura ya que en su extremo sur se encontró un muró que representa la fachada principal del basamento. En las unidades 41D, 42D, 43D y 43C se encontró evidencia de la escalinata oeste (Fig. 6.9, 6.10 y 6.11). Se encontraron los restos de al menos 5 escalones a los cuales se les denominó, de arriba hacia abajo, como E123, E124, E125, E126, y E127 (Fig. 6.11). En promedio los escalones tenían una orientación de 11.6° este de norte, con una cara plana hacia el oeste. Los peldaños fueron hechos con piedras medianas y grandes que fueron pegadas utilizando como mortero un estrato de arcilla muy compacta sin inclusiones al que se nombró E128 (Fig. 9). Debido a su profundidad de 18.49 msnm, solo se expuso una piedra del quinto escalón (Fig. 6.9 y 6.11). Aunque en su mayoría la escalinata se encontraba en buenas condiciones, en algunos lugares como en primer escalón (E123) faltaban algunas piedras del peldaño (Fig. 6.10). A diferencia de la escalinata este, la oeste fue recubierta con al menos un estrato de arena seguido por uno de arcilla, al que se le denominó como E129-s1 y E129-s2, respectivamente.

En cuento a la fachada principal de la Estructura 8-sub 1, no se liberó ningún elemento perteneciente al lado este y por lo tanto no se pudo discernir su naturaleza. Quizás la fachada este estuvo cubierta en su totalidad por la escalinata este. Otra posibilidad es que la escalinata se encontraba restringida en la mitad de la estructura. La fachada oeste estaba formada por un muro de al menos 2 m de alto al cual se le denominó como E139. Este elemento se puede observar en la unidad 36XX (Fig. 6.12,

6.13 y 6.14). Esta compuesto de piedras de diversos tamaños con una desviación de 15° este de norte y fue pegado utilizando el mortero de arcilla del E143. Aunado al muro E139 se encontró una banqueta que corre paralela al muro y que esta compuesta de piedras medianas y grandes, designada como E157 (Fig. 6.12, 6.13 y 6.14). La base de la banqueta desplanta de unas lajas que probablemente fungieron como un pavimento de piedras, quizás de la plaza excavada en el PRV12. A estas lajas se les designó como E158. Un pavimento similar, pero hecho de granito, se encontró en Cerro de la Cruz, un sitio arqueológico situado a tan solo 1.5 km al sur de Río Viejo (Joyce 1994).

En algún momento de la fase Chacahua se modificó la escalinata oeste, ampliando el muro E139 hacia el norte. A la ampliación del muro se le asignó el nombre de E144 (Fig. 6.15). Juntos los muros E139 y E144 formaron la fachada oeste de la Estructura 8-sub 1. Sin embargo, no fue posible discernir con seguridad la naturaleza de la modificación a la fachada oeste. También, debido a que no se expuso lo suficiente de la escalinata oeste, así como del muro de la fachada oeste, no fue posible saber como se relacionan estos dos elementos. Quizás en alguna zona al norte de la MU6 se encuentra dicha articulación.

El PRV13 logro discernir al menos dos tipos de sedimento no consolidados que fungieron como relleno constructivo de la Estructura 8-sub 1. Al estrato más profundo se le denominó como E115, y este fue expuesto en las unidades 43A (Fig.6.16) y 46A (Fig. 6.17). El E115 estuvo compuesto de ocho sub-estratos principalmente de arcilla, arena, y migajón con arena. El segundo relleno constructivo de la Estructura 8-sub 1 fue el E114. Este estrato se encontró por encima del E115 en las unidades 43A, 46A y MU5 (Fig. 6.18). Consistía de diferentes capas de arcilla limosa, arena y migajón. En la unidad 46A, también se encontró un alineamiento de piedras, quizás con funciones similares a los elementos E130 y E145, al que se le designó el nombre de E116 (Fig. 6.17).

En la unidad 40A, el PRV12 expuso un alineamiento de piedras de forma semicircular (E56) que debido a su mala preservación y a que no se expuso más de este elemento, no fue posible discernir su

función (Fig.6.2). Quizás retenía algún relleno constructivo de la Estructura 8-sub 1. También en la unidad 40A, se encontró un relleno constructivo no consolidado al que se le designó como E63 (Fig. 6.2). Justo por encima de este elemento se encontró el único relleno constructivo estructurado (E138) de la Estructura 8-sub 1. Dicho sedimento esta compuesto por arcilla muy compacta mezclada con pasto como desgrasante vegetal. Este relleno estructurado es retenido por la fachada oeste de la Estructura 8-sub 1, como se observa en la unidad 37A (Fig. 6.19).

Las excavaciones del PRV13 encontraron dos superficies de ocupación pertenecientes a la Estructura 8-sub 1. La primera fue el E99 que se observa en las unidades 43A (Fig. 6.16), 46A (Fig. 6.17), 47ZZ (Fig. 6.3), y MU5 (Fig. 6.18). Este elemento cuenta con tres sub-estratos; el más profundo fue el E99-s3 encontrado a una profundidad de 19.43 msnm en la unidad MU5 (Fig. 6.21). Esta hecho de una superficie de arcilla muy compacta y quemada en algunas partes. El segundo sub-estrato (E99-s2) se encuentra por encima del E99-s3 y se esta compuesto de arcilla muy compacta. El sub-estrato más reciente, E99-s1, fue encontrado a una profundidad de 19.53 msnm en la unidad 46A y esta compuesto de arcilla que presenta restos de haber sido quemada en algunas partes (Fig. 21). La segunda superficie de ocupación, perteneciente al E98, se encontró a una profundidad promedio de 19.60 msnm (Fig. 6.16, 6.17, 6.3 y 6.18). Esta se encuentra encima del E99-s1 y probablemente representa un revestimiento, aunque su superficie no es plana.

En algún momento, antes de finalizar la ocupación de la Estructura 8-sub 1 se cavó una fosa angosta (E121), quizá como parte de un rito de terminación o para minar materiales. Esta es visible en el perfil este de la unidad 40A (Fig. 6.2). Dicha fosa concluyó con la ocupación de la Estructura 8-sub 1. A la siguiente fase constructiva, también perteneciente a la fase Chacahua, se le designó como Estructura 8.

6.3.1.2 Estructura 8

La segunda fase constructiva de la Estructura 8 inició cuando los habitantes de Rio Viejo depositaron el estrato E59 que cubrió la fachada y escalinata este de la Estructura 8-sub 1 y elevó la

superficie por encima de la edificación, así como del área donde se construyó la Estructura 8. Este estrato cubrió un área relativamente extensa ya que las excavaciones del PRV12 (Hill y Villanueva Ruiz 2012) lo encontraron en la unidad 56A, 6m al este de donde finalizaron las excavaciones del PRV13. En la unidad 50A (Fig. 6.22), entre los sub-estratos E59-s14 y E59-s20 se encontró un estrato de arcilla rojiza al cual se le nombró E111. Debido a su mínima exposición, no fue posible discernir su uso; quizá sea una superficie ocupacional temporal durante la construcción de la Estructura 8. También, en la unidad 49E, entre los estratos E59-s17 y E59-s18 y a una profundidad promedio de 18.45 msnm, se encontraron los restos de un posible basurero provisional que contenía algunos tiestos de cerámica, concha y restos de huesos de animal. A este elemento se le designó como E109 (Fig. 6.23), pero no es visible en perfil. Basureros chicos similares se han encontrado en los rellenos de la Estructura 2-sub 2, también datada hacia la fase Chacahua, los cuales han sido interpretados como evidencia de área pequeñas de actividad donde los constructores habrían descansado y cocinado sus alimentos (Joyce et al 2013).

Al finalizar de depositar el relleno constructivo E59, se creó una nueva superficie ocupacional de arena a la cual se le llamó E112. En esta superficie descansó la nueva fachada superior este de la Estructura 8, que estuvo compuesta por el muro E95 de piedras medianas y grandes con una desviación de 23° este de norte (Fig. 6.3 6.22 y 6.24). El muro fue erigido utilizando un mortero de arcilla muy compacta (E96). Además, el muro tuvo un soporte de arcilla en su desplante (E113).

Hacia el norte, los habitantes de Río Viejo crearon una nueva fachada para la plataforma que sostuvo a la Estructura 8. Esta se encontró en las unidades 50I y 50J y se le dio el nombre de E86 (Fig. 6.25). Estaba conformada por piedras medianas y grandes, con una orientación de 95° este de norte. El PRV13 no logró encontrar el desplante del muro debido a que este presentaba una curvatura convexa que hacia riesgosa su excavación y por los tanto se decidió parar los trabajos en las unidades 50I y 50J a 16.83 msnm, por lo que no se pudo conocer la altura de la Estructura 8. Las piedras fueron unidas utilizando un mortero de arcilla (E87) del cual se encontraron dos sub-estratos. El E87-s1 era de arcilla

limosa muy compacta y sin inclusiones, mientras que el E87-s2 era de arcilla sin inclusiones y menos compacta que el E87-s1. Los muros de piedra E95 y E86 fueron los únicos elementos de la fachada de la Estructura 8 encontrados durante el PRV13.

Las excavaciones en la Operación F encontraron varios rellenos constructivos de la Estructura 8, todos no estructurados. Del lado este, el muro de piedra del E95 retenía al relleno E58 hecho principalmente de arcilla limosa. En la unidad MU4 (Fig. 6.24), dentro del sub-estrato E58-s1se expuso un alineamiento de piedra (E100), que debido a su altura de 20.10 msnm podría ser la parte trasera del muro E95 o quizás fue utilizado para estabilizar parte del relleno E58. Hacia el norte, el muro E86 retenía a un sedimento principalmente hecho de arcilla y arcilla limosa (E85).

Del lado oeste, la escalinata de la Estructura 8-Sub 1 en las unidades 41D, 42D,43D, y 43C fue cubierta por los distintos sub-estratos del relleno constructivo E122 (Fig. 6.9). Esto elevó la superficie hasta una altura promedio de 20.05 msnm en esta zona. Es probable que los diferentes estratos del E122 y los del E58 sean contemporáneos ya que ambos cubren a las escalinatas de la Estructura 8-sub 1. Asimismo, la fachada oeste de la Estructura 8-sub 1 fue cubierta por varios estratos, quizás contemporáneos al E122 y E58. El más profundo fue el E160 que cubrió a las lajas del E158, como se observa en la unidad 36XX (Fig. 6.12). Justo encima de este estrato se depositó a los elementos E140 y E141. Estas arcillas crearon una capa dura de alrededor de unos 1.50 m que posiblemente estabilizaron las subsecuentes construcciones. Sobre el E141, se deposito al relleno constructivo E136 (Fig. 6.26), del cual los sub-estratos E136-s3 y E136-s5 presentan muchas laminaciones como las encontradas en la zona de la plaza durante los trabajos del PRV12 (Hill y Villanueva Ruiz 2012). Además, el sub-estrato E136-s4 aparenta tener manchas amarillas, similares a las del E138, que quizás representen un desgrasante vegetal. Durante la deposición del E136-6, se cavó una fosa (E164) donde se colocó una alta concentración de tiestos grandes de cerámica gris, quizás un basurero momentáneo durante la construcción de la nueva fase de la Estructura 8, similar al elemento E109. Ni las excavaciones del PRV12

ni las del PRV13 encontraron la nueva fachada oeste de la Estructura 8 que retiene a todos estos rellenos constructivos. Debido a las unidades ya excavadas, es posible que la fachada se encuentre entre las unidades 32A, 36A y 37A o a escasos metros de donde se terminaron las excavaciones del PRV13.

Una vez consolidado el terreno por encima de la Estructura 8, se construyeron varios alineamientos de piedras, que quizás fueron parte de una plataforma pequeña, o los cimientos de una superestructura. El alineamiento oeste (E132) estuvo compuesto de piedras medianas y chicas con una desviación de 15° este de norte. En su esquina suroeste se encontró una piedra grande que desplantaba por encima del muro E139. El E132 se encontró en un mal estado de preservación (Fig. 6.27). Además, debido a su posición por encima del muro E139, el alineamiento E132 tuvo que ser removido en la unidad 37A para exponer al muro E139. El E132 compartía su esquina sudeste con el alineamiento de piedras del E133 que estaba formado de piedras medianas y grandes con una desviación de 100° este de norte, y que fue erigido utilizando un mortero de arcilla muy compacta (E161) (Fig. 6.26). Hacia el sur del alineamiento de piedras E133 se encontró otro alineamiento de piedras paralelo al E133, al cual se le denominó como E134 (Fig. 6.28). Dicho alineamiento fue hecho con piedras medianas con una desviación de 112° este de norte que fueron pegadas utilizando al mortero E156 de arcilla muy compacta. El E134 podría representar una expansión de la construcción por encima de la Estructura 8. En la esquina noroeste de la unidad MU6, se encontró una piedra de grandes proporciones (E137) (Fig. 6.19), similar a la de la esquina compartida por los alineamientos E132 y E133, que quizá represente la esquina noroeste de alineamiento E132.

Los alineamientos de piedra E132, E133, y E134 retenían a un relleno de arcilla arenosa al que se nombró E135. Por encima de este relleno constructivo, en la unidad 40A, el PRV12 encontró los restos de un piso posiblemente relacionado con dichos alineamientos. El PRV13 encontró a este mismo estrato en la unidad 39A confirmando su uso como un piso por encima del relleno constructivo E135. Por lo tanto se cambió su designación de E12-s2, dada durante el PRV12, a E167. Además, en las unidades 41D

y 42D, se encontraron los restos de una superficie ocupacional (E168) que al igual que el E167 se encontraba quemada en algunas partes (Fig. 6.29). Quizás, el E168 y el E167 son contemporáneos y representan la superficie ocupacional contemporánea, por encima de la Estructura 8. Dichos estratos representan los últimos elementos arquitectónicos directamente relacionados con el uso de la Estructura 8.

En algún momento durante la ocupación de la Estructura 8, el muro E86 se empezó a inclinar de forma convexa en su parte superior. Por lo tanto, los habitantes de Río Viejo utilizaron varios tipos de relleno no consolidado, desde arcilla limosa, migajón con limos arenoso, arena con migajón, arena muy fina, hasta arcilla y arcilla limosa (E84 con sus respectivos sub-estratos) para cubrir al muro E86 (Fig. 6.25). Entre los diferentes sub-estratos del E84 se encontraron varias piedras medianas, probablemente provenientes de la parte superior del muro E86. Esto sugiere una rápida movilización de mano de obra, puesto que al parecer el muro E86 requirió una veloz intervención. Ya que solo se expusieron 3.70 m de este estrato, no se pudo conocer el área total que abarca este episodio constructivo. Sin embargo, su extensión sugiere que esta zona de la acrópolis fue edificada por un pequeño numero de masivos rellenos constructivos, puestos a lo largo de un corto tiempo. En su mayoría el estrato E84 carecía de materiales arqueológicos.

6.3.1.3 Estratos posteriores a la Estructura 8 (Chacahua tardío)

Después de la ultima superficie ocupacional de la Estructura 8 (elemento E167 y E168), los habitantes de Río Viejo llevaron acabo rituales de terminación similares a los documentados por el PRV12 en la Operación A (Brzezinski et al. 2012). Primero, se cubrió a la estructura con el estrato E131. Este se extendió por las unidades 36A,37A, 38A, 39A, 40A, 41D, 42D, 43C, 43D, MU6, 36YY, 36WW, 37XX, 37YY, lo que siguiere que fue un relleno constructivo que abarcó gran parte de la zona oeste de la Estructura 8. Además, en algún momento de la fase Chacahua tardío, la esquina suroeste del alineamiento de piedras del E132 fue desmantelada y sus piedras amontonadas creando al elemento

E159. Varias de estas piedras tenían una cara plana lo que reforzá la interpretación de que formaron parte del alineamiento de piedras E132 (Fig. 6.30). Sin embargo, las piedras fueron removidas para continuar la excavación en la unidad 36YY. También en la fase Chacahua tardío, en la unidad 43A, el estrato E117 fue depositado por encima del E58-S1. Sin embargo, no se pudo discernir con seguridad su proceso de formación; quizás sea contemporáneo al E131 y forme parte del mismo evento para recubrir a la Estructura 8. Durante el mismo periodo cuando se colocaron los estratos E131 y E117 puede que se haya depositado al elemento E110 que recubrió la fachada este de la Estructura 8.

Una vez recubierta la Estructura 8, los ritos de terminación continuaron con la excavación de varias fosas que fueron rellenadas con sedimentos ricos en cerámica y piedras Fosas similares se encontraron en la Operación A del PRV12 (Brzezinski et al. 2012). A los elementos en la Operación F se les nombró como E93, E94 y E163. Aunque se encontraron otras fosas (E155, E154, E153,142) excavadas desde el estrato E131, estas no tenían cerámica en su interior y por lo tanto puede que hayan sido utilizadas en usos ajenos a los rituales de terminación.

Quizás durante los ritos de clausura también se excavó y rellenó la fosa E165 que contenían una alta cantidad de artefactos, especialmente cerámica. Dentro de esta fosa se encontraron dos lajas medianas que posiblemente representan la apertura de otra fosa en la que se encontraron los restos de un felino cuyo esqueleto estaba articulado, al que se designó como E162 (Fig. 6.31). Puede que el felino del E162 forma parte del mismo programa de terminación y/o abandono de la Estructura 8.

Los habitantes de Río Viejo finalizaron los ritos de terminación al colocar los últimos dos rellenos constructivos de la fase Chacahua tardío, perteneciente al periodo Formativo. Del lado oeste de la Operación F del PRV13 se encontró al estrato E9, hecho principalmente por arcillas arenosas o migajón con limo arenoso. También, la mayoría de los sub-estratos eran compactos y mostraban una cantidad moderada de artefactos, principalmente cerámica y bajareque. Los sub-estratos E9-10 y E9-6 presentaban laminaciones. Contemporáneo al E9, pero de lado este, se depositó al relleno E57 que

contenía concentraciones de piedras angulares y grava, además de pequeñas concentraciones de concha. Una ves depositados los rellenos E9 y E57 se excavaron varias fosas (E118, E119, E90, E89, E91, E152 y E83) que contenían altas concentraciones de cerámica, además de piedras angulares de granito y piedras redondas de río. Como los elementos E93, E94 y E163, las fosas que fueron excavadas desde los estratos E9 y E57 eran similares a las encontradas en la Operación A del PRV12 (Brzezinski et al. 2012) y posiblemente forman parte de los rituales de clausura de la Estructura 8. Las fosas E88 y E166, que también fueron escavadas desde los estratos E9 y E57, no presentaron grandes cantidades de cerámica en su interior y por lo tanto puede que hayan tenido un uso distinto que las fosas de terminación ó daten a fechas posteriores a la ocupación de la fase Chacahua

En la unidad 49ZZ se encontraron tres lajas a las cuales se les designó como E92 (Fig. 6.32 y 6.33). Estas se encontraron entre la división de un estrato de la fase Chacahua (E91) y uno de la fase Yugüe (E1-s4) y por lo tanto no fue posible discernir con certeza su temporalidad. Tampoco fue posible determinar su uso.

6.3.2 Ocupación durante la Fase Yugüe

A diferencia de las excavaciones del PRV12 que no encontraron contextos primarios pertenecientes a la fase Yugüe en la Operación F, las investigaciones del PRV13 expusieron una ofrenda que data a esta etapa del Posclásico temprano. Antes de depositar la ofrenda se quemó la superficie de la fosa donde esta fue colocada; a dicha superficie quemada se le designó como E9-s18 y E122-s11, conforme a la superficie del elemento anteriormente depositado durante la fase Chacahua (Fig. 6.34 y 6.35). La ofrenda contenía cuatro vasijas miniatura de cerámica, un objeto cilíndrico de cerámica, por lo menos siete navajas de obsidiana, un hueso trabajado, una placa de cobre y nueve cascabeles de cobre (Tabla 6.3). No se logró registrar *in situ* la esquina suroeste de la ofrenda. Sin embargo, la ofrenda no fue depositada en la superficie quemada del fondo de la fosa ya que los artefactos fueron encontrados entre un estrato de arcilla limosa al que se nombró E120.

En algún momento de la fase Yugüe o después de esta, inició la formación de las diferentes superficies modernas; dichos estratos son E1-s3, E1-24, y E82. Estos son muy compactos y con cierto índice de deflación, además de presentar evidencia de haber sido perturbados por ganado y/o actividades agrícolas modernas como la quema de vegetación. Las cenizas de un episodio de quema de vegetación anterior al inicio de las actividades del PRV13 representó un obstáculo para la toma de fotografías ya que constantemente el viento movía a la ceniza dentro de los pozos.

6.4 Conclusiones

La ampliación de los trabajos llevados a cabo en la Operación F durante el PRV13 ayudaron a evaluar, confirmar y expandir la información obtenida durante PRV12. El PRV13 confirmó la noción de que la mayor parte de las construcciones en la zona norte de la acrópolis pertenece a la fase Chacahua del periodo Formativo Terminal. Además, el PRV13 encontró evidencia de una mínima ocupación durante la fase Yugüe del Posclásico temprano.

Con la aparición de Río Viejo como principal centro urbano de la región del bajo Río Verde durante el Formativo Terminal, se inició la construcción de arquitectura monumental en el sitio. En la zona de la Operación F, esto se vio ejemplificado con la construcción de la Estructura 8 sub-1. Siendo una edificación de gran tamaño localizada en el corazón del centro urbano de Río Viejo, la estructura representó un gran proyecto de trabajo comunitario. Sus elementos arquitectónicos sugieren que la estructura fue una construcción compleja que posiblemente tuvo un uso público. Su posicionamiento enfrente de la Estructura 2 refuerza esta interpretación. Quizás, la Estructura 8-sub 1 delimitaba la plaza excavada por el PRV12. Además, contextualizarla dentro del programa constructivo que erigió a la acrópolis, brinda la posibilidad de comprender que la Estructura 8-sub 1 formó parte de la fabricación de una tenue y breve identidad regional.

La subsecuente Estructura 8 representó la segunda fase constructiva de la zona norte de la acrópolis. El PRV13 liberó parte de la fachada superior este, además de una porción de la fachada norte. La magnitud de la fachada norte, así como de los rellenos constructivos sugieren que la Estructura 8 fue de grandes dimensiones. Sin embargo, por la falta de contextos primarios o artefactos in situ, no fue posible conocer la función que ocupó el basamento dentro del contexto social religioso de la acrópolis. Después de su uso, la Estructura 8 fue ritualmente terminada cuando se cubrió con varios sedimentos y se crearon fosas que fueron rellenadas con sedimentos mezclados con piedras y cerámica. Después, como parte del programa que concluyó el uso de la Estructura 8, se colocaron más sedimentos y se excavaron otras fosas, lo que sugiere que posiblemente los rituales de terminación no concluyeron sino hasta los primeros años de la fase Coyuche de periodo Clásico Temprano.

En la Operación F, solo se encontró un uso mínimo del área norte perteneciente a la fase Yugüe del Posclásico temprano. Investigaciones anteriores apuntan a que la acrópolis fue utilizada por gente común (Joyce et al 2001). Esto sugiere que la ofrenda encontrada en la Operación F pudo tener un aura más privada, muy diferente a la previa ocupación pública de la acrópolis.

Futuras excavaciones asistirían a expandir nuestro conocimiento de la arquitectura en la Operación F. Especialmente, ayudarían a delimitar las medidas exactas de la Estructura 8-sub 1 y Estructura 8. También ayudarían a esclarecer como se relacionan varios de los elementos arquitectónicos, como por ejemplo como es la coyuntura entre la escalinata oeste y la fachada oeste, o como se articula la fachada norte y la fachada este. Además esclarecerían la relación entre la Estructura 8, la plaza encontrada en el 2012 y la Estructura 2. También ayudarían a delimitar la ocupación perteneciente a la fase Yugüe en la zona norte de la acrópolis.

Las excavaciones del PRV12 y PRV13 en la Operación F sirvieron para crear una imagen más completa de la historia ocupacional de la zona norte de la acrópolis de Río Viejo. También sirvieron para discernir varios procesos culturales que tuvieron lugar a lo largo de la historia de Río Viejo.

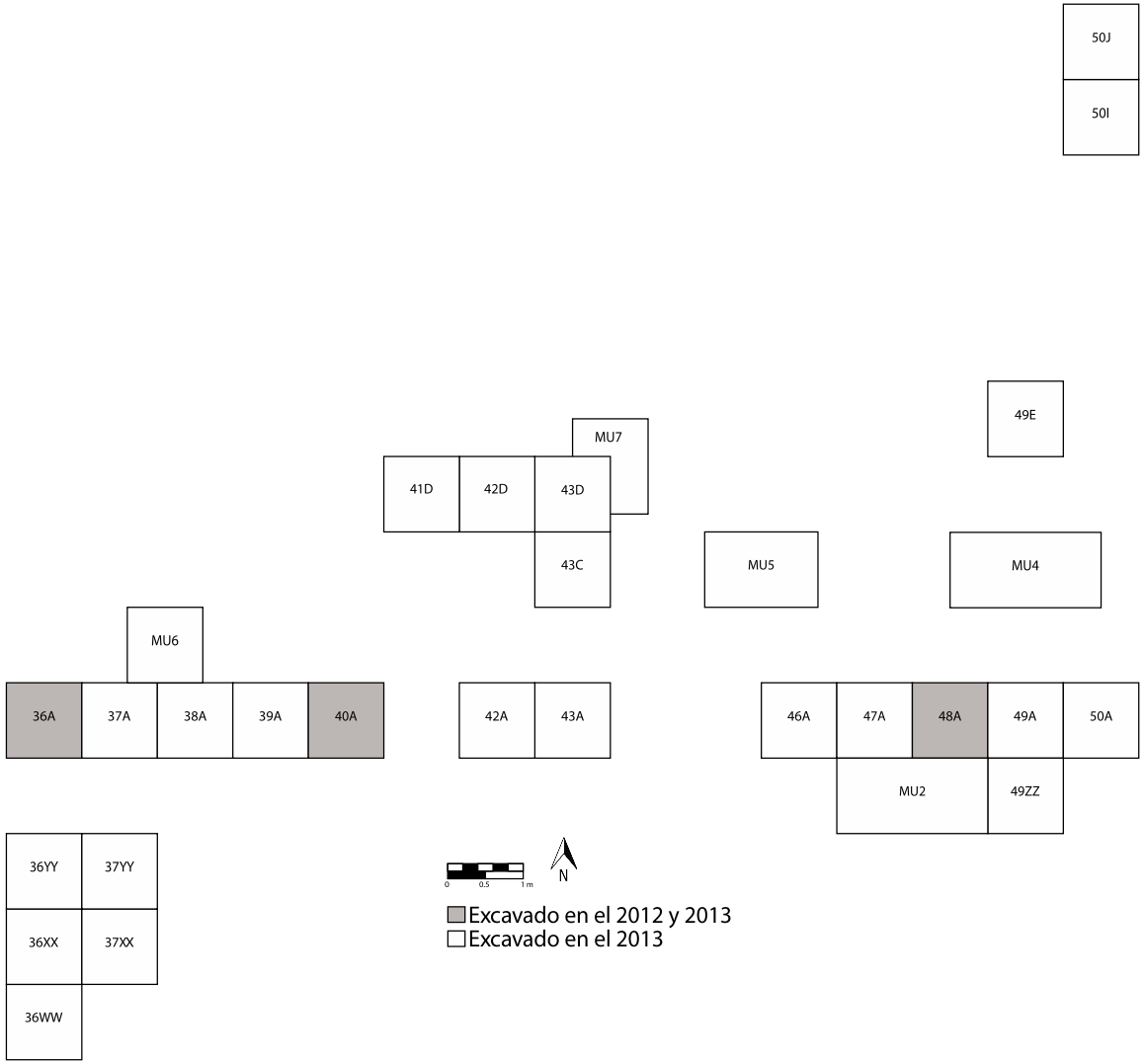


Figura 6.1: Croquis de la Operación F

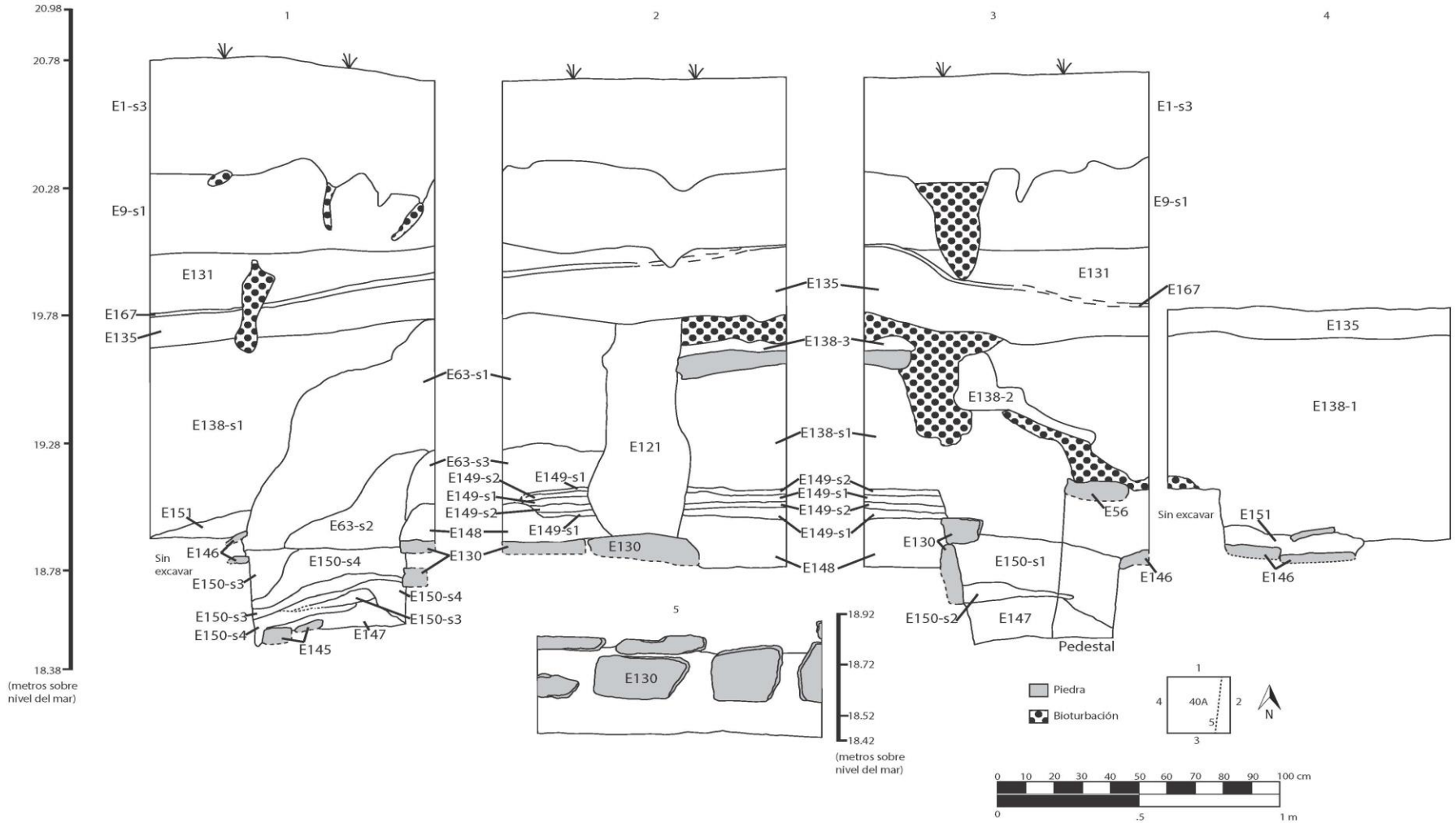


Figura 6.2: Perfiles de la unidad 40A

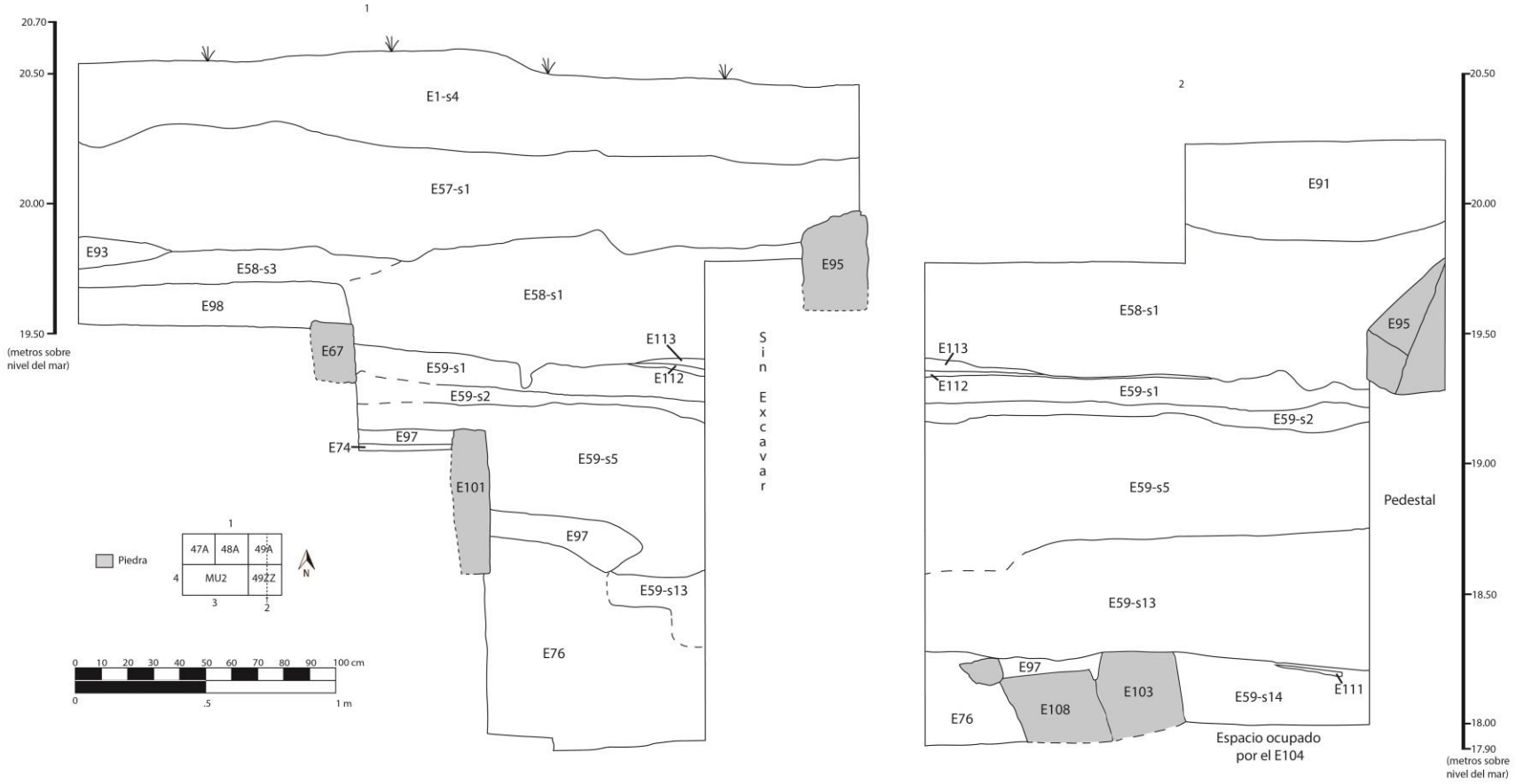


Figura 6.3: Perfiles de la unidades 47A, 48A, 49A, MU2, y 49ZZ

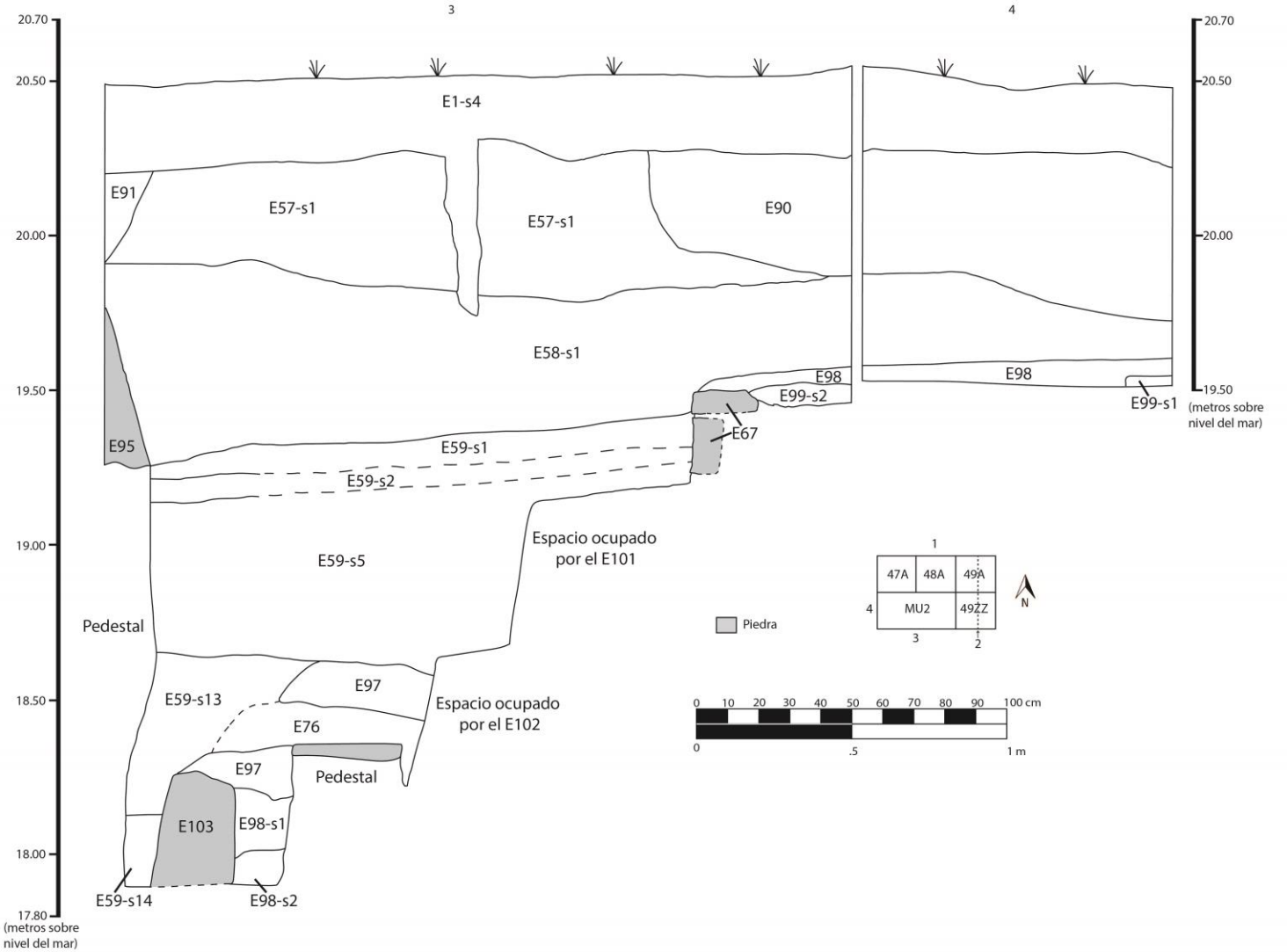


Figura 6.3: Perfiles de la unidades 47A, 48A, 49A, MU2, y 49ZZ (continuación)

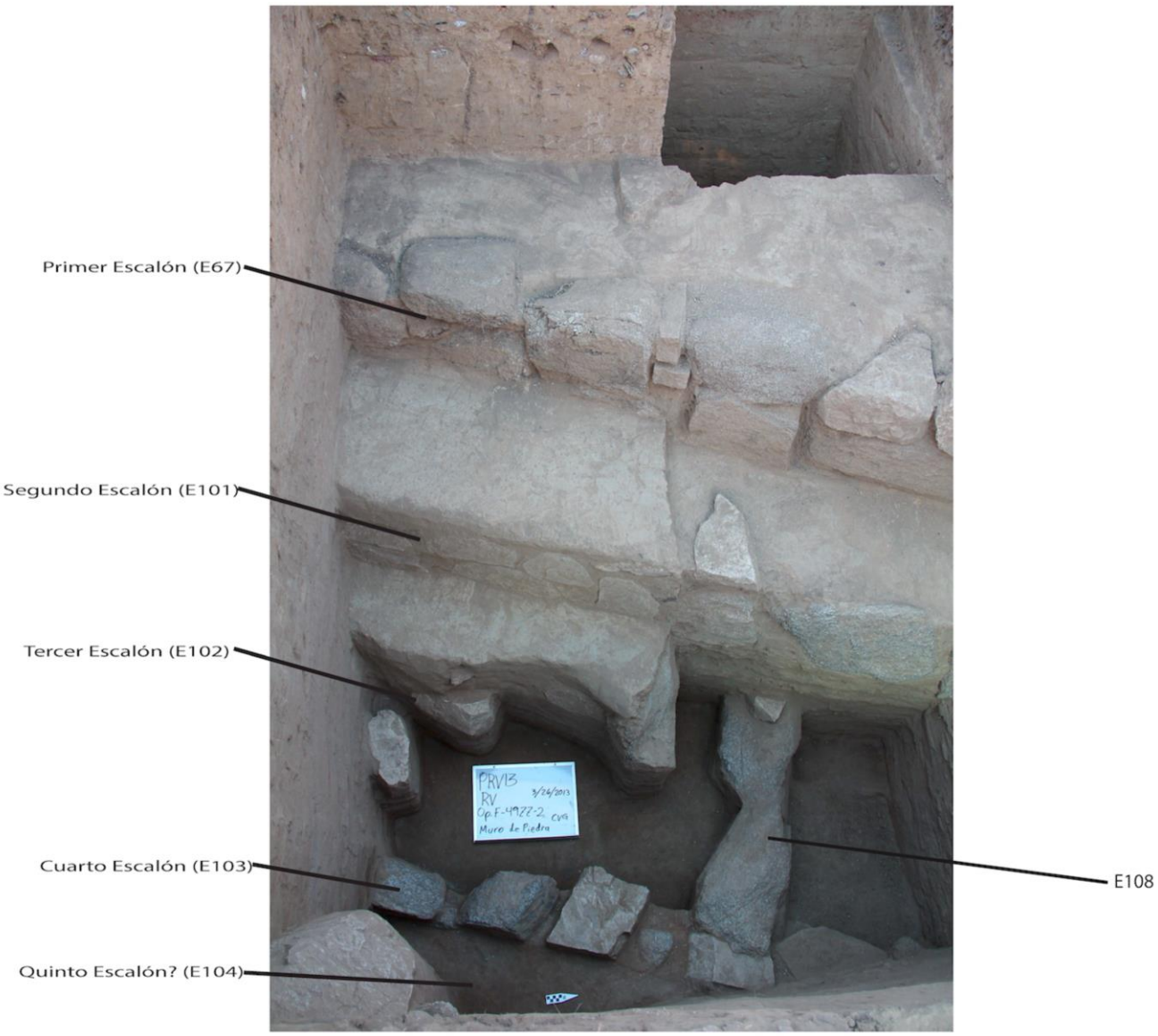


Figura 6.4: Escalinata este de la Estructura 8-sub 1 (vista hacia el oeste)

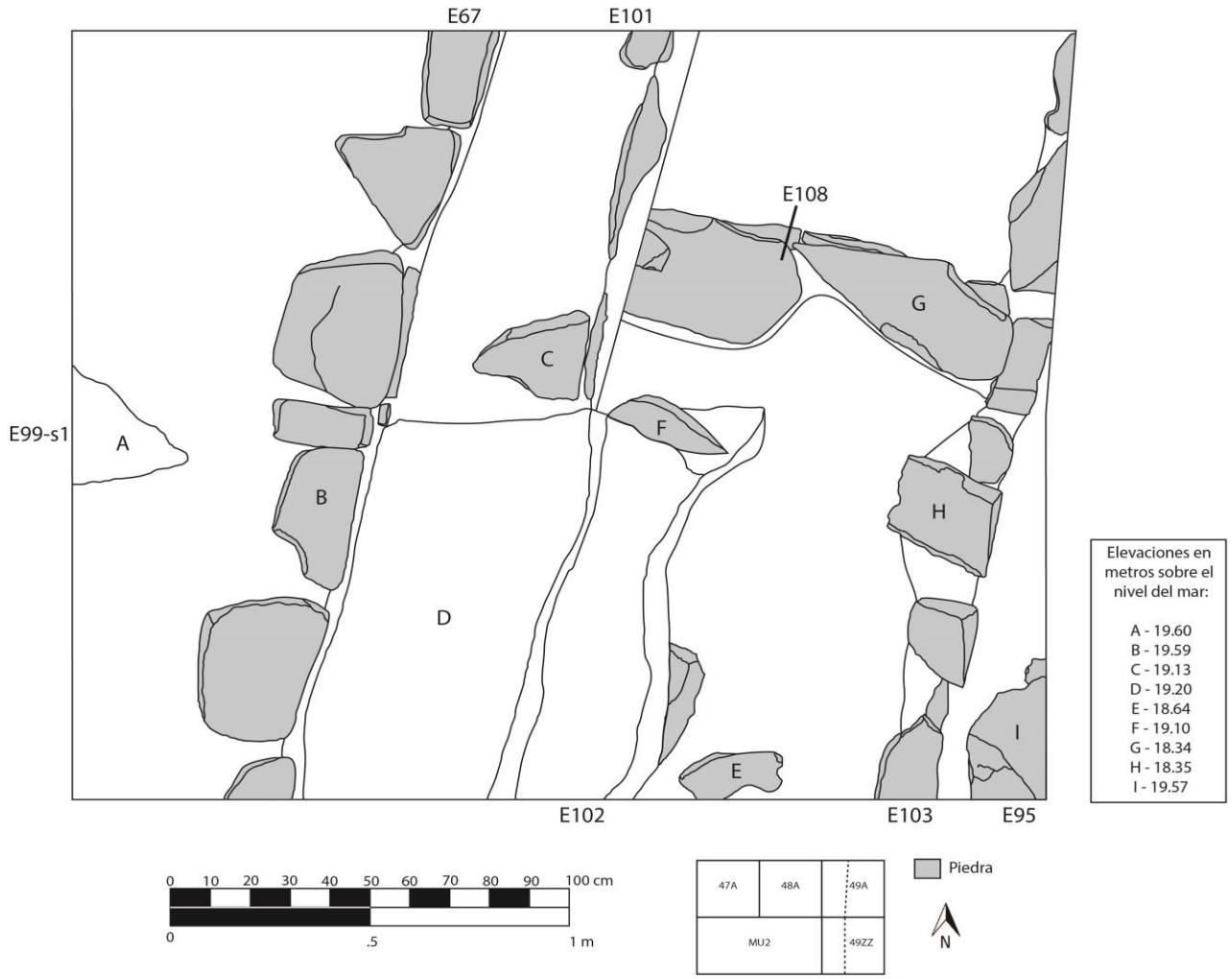


Figura 6.5: Dibujo de planta de la escalinata este, Estructura 8-sub 1

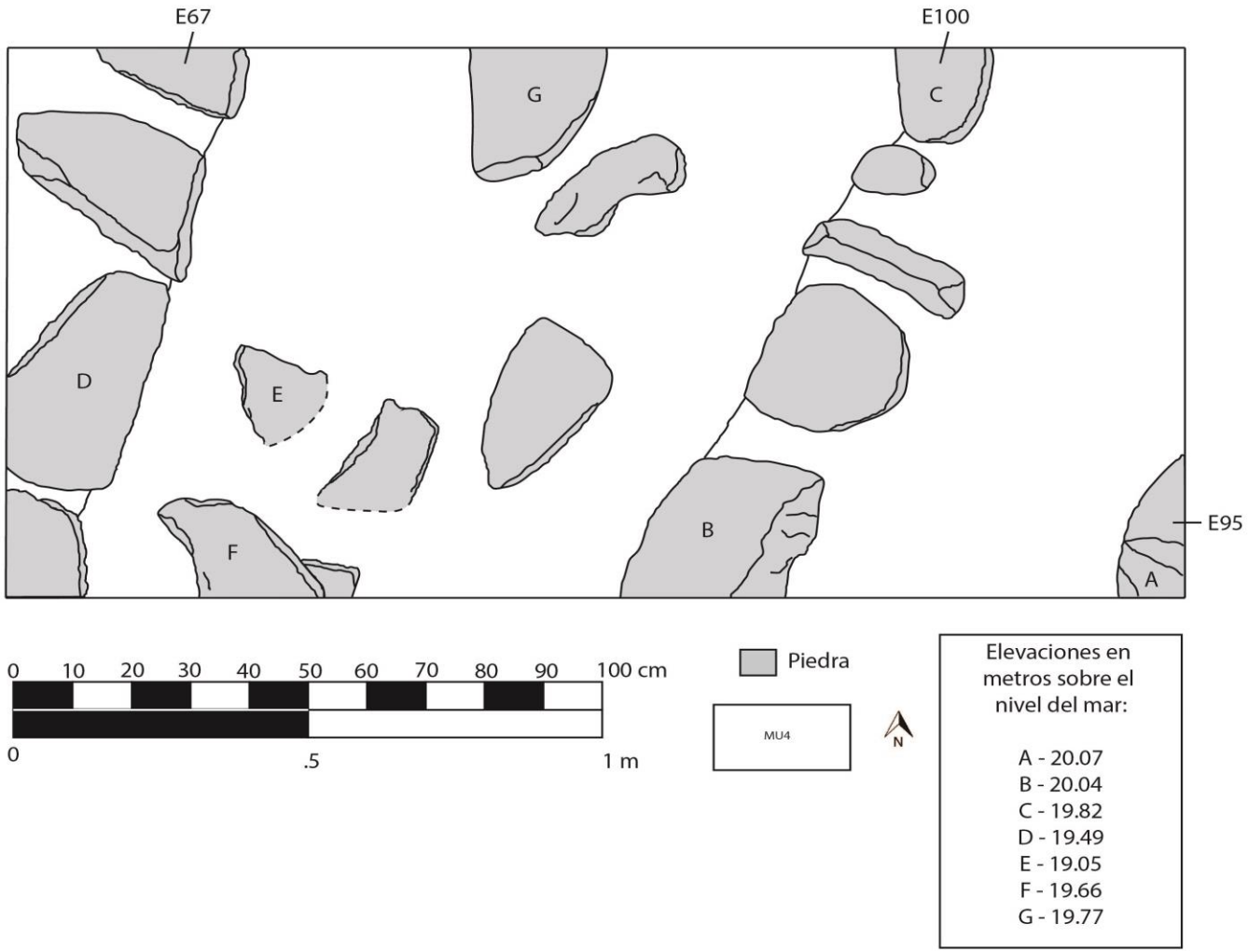


Figura 6.6: Dibujo de planta de la Multi-unidad 4

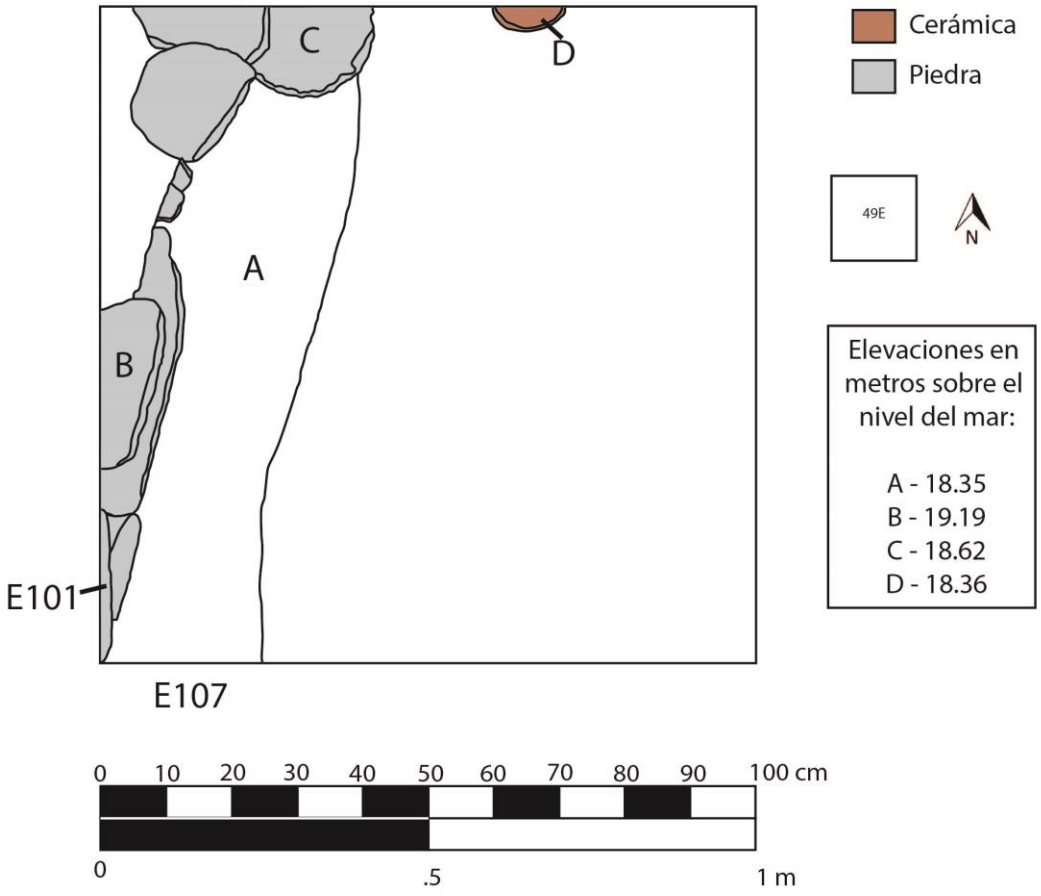


Figura 6.7: Dibujo de planta de la unidad 49E

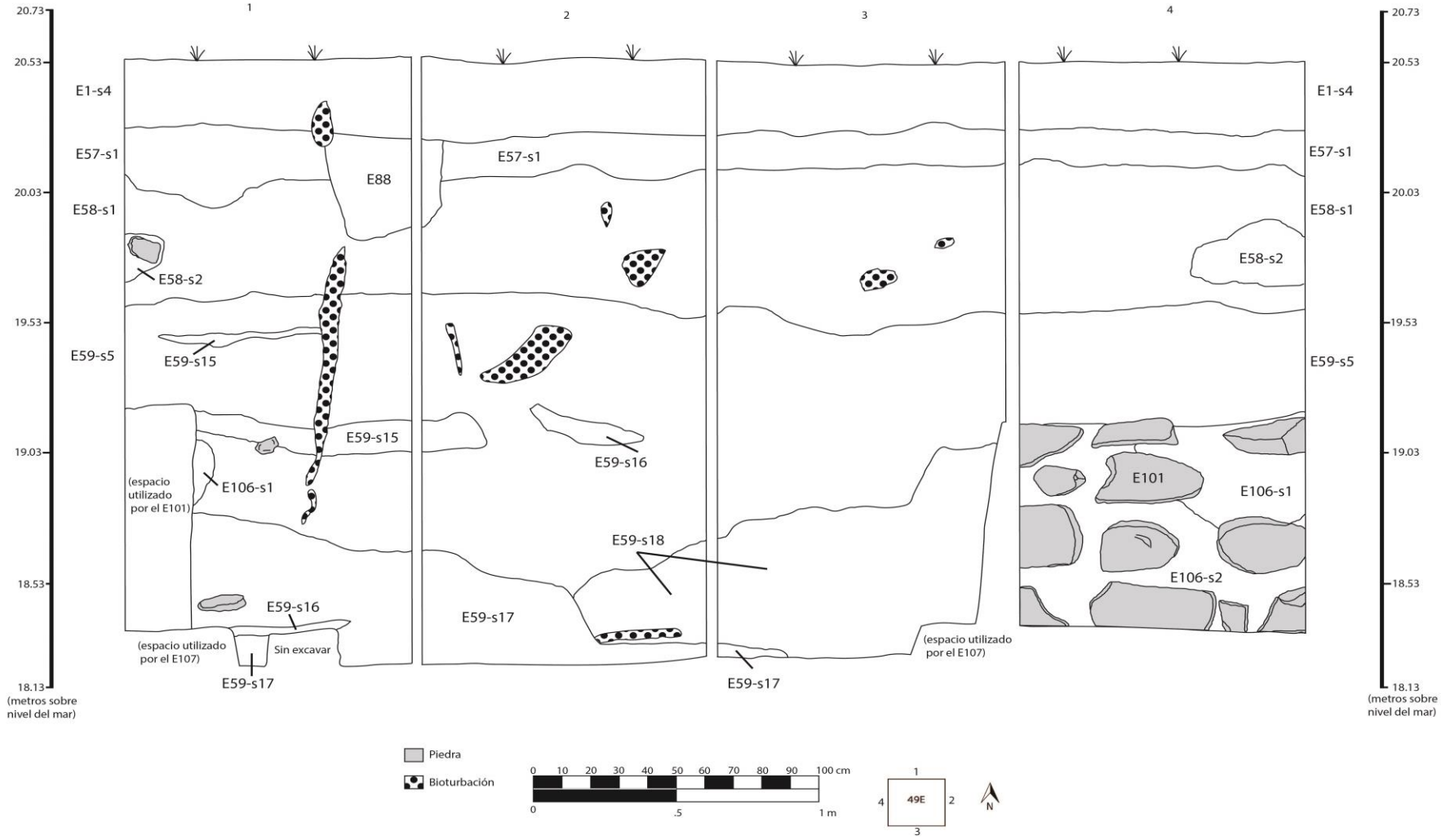


Figura 6.8: Perfiles de la unidad 49E

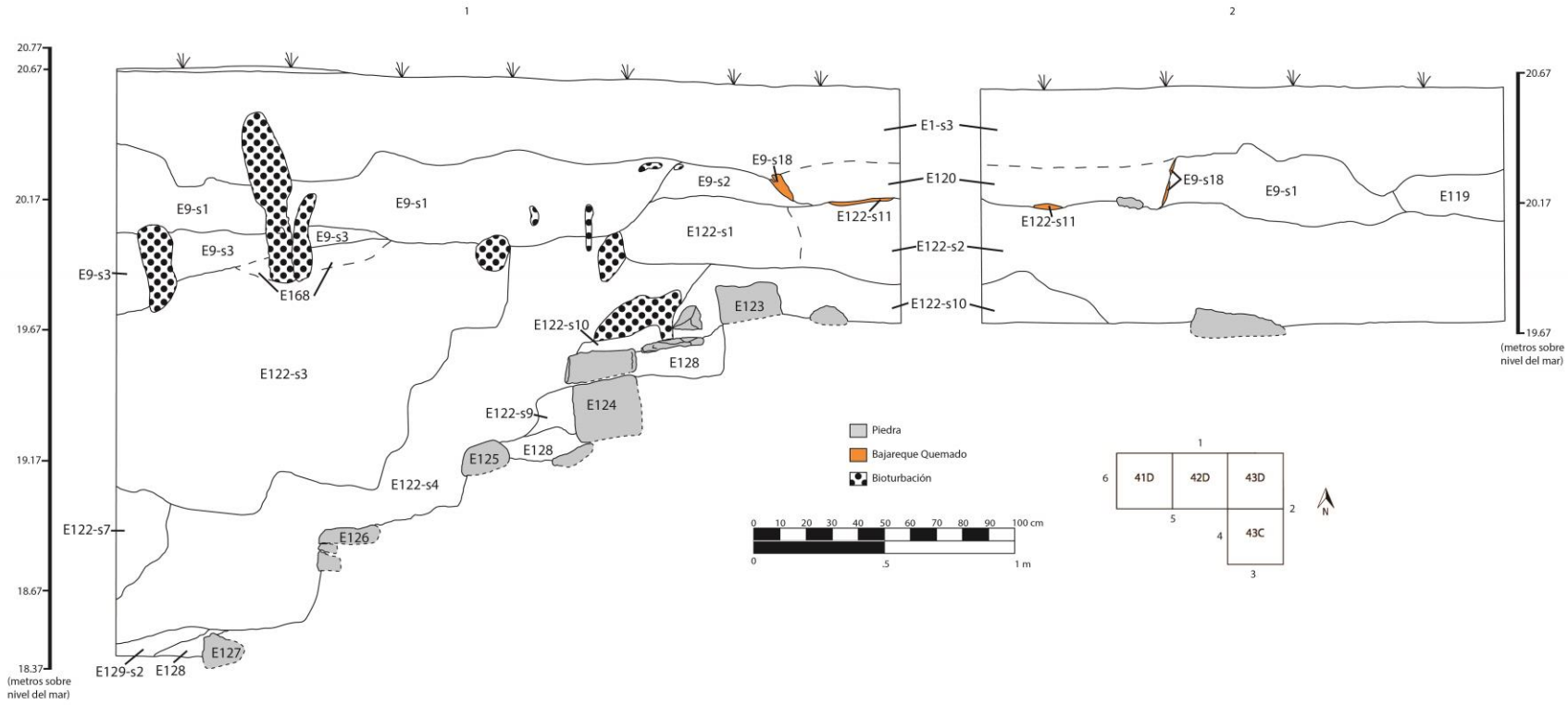


Figura 6.9: Perfiles de las unidades 41D, 42D, 43D, y 43C

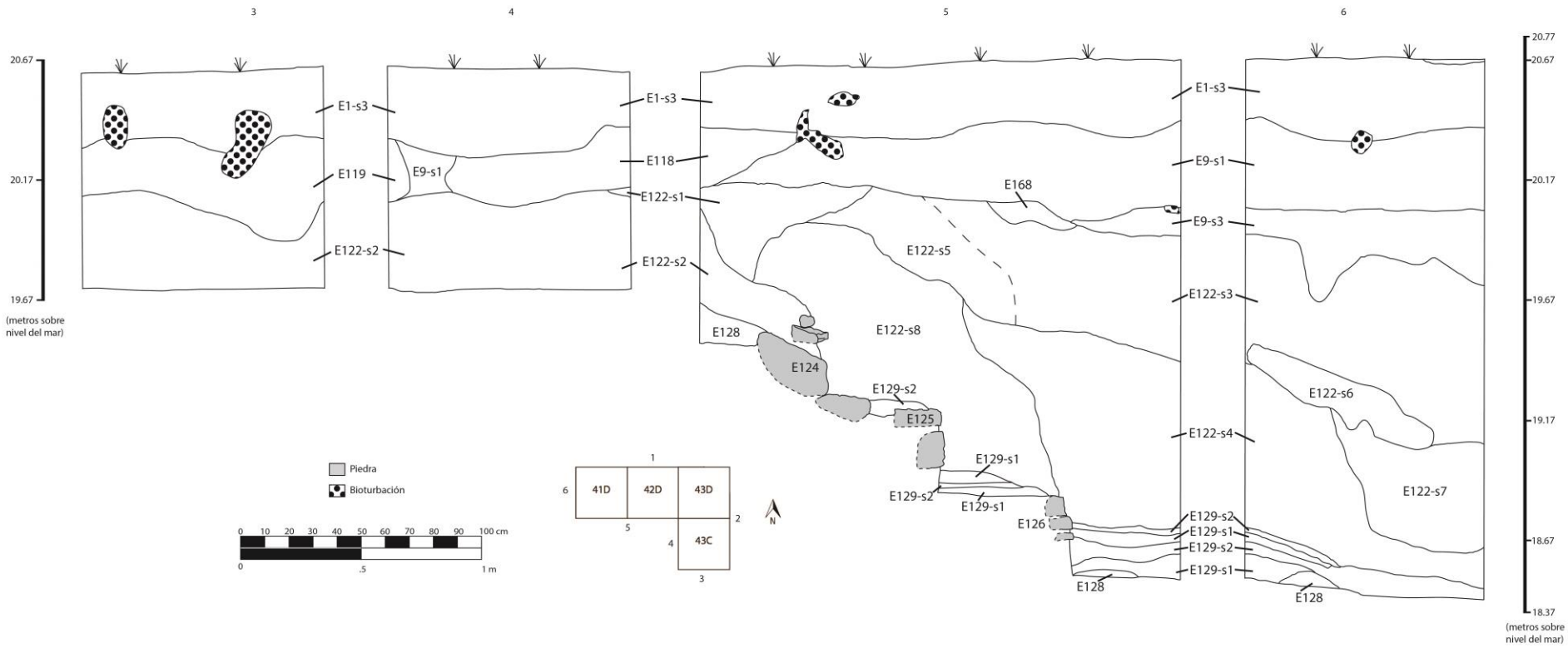


Figura 6.9: Perfiles de las unidades 41D, 42D, 43D, y 43C (Continuación)



Figura 6.10: Fotografía de la escalinata oeste en las unidades 41D, 42D, 43D, y 43C (vista hacia el este)

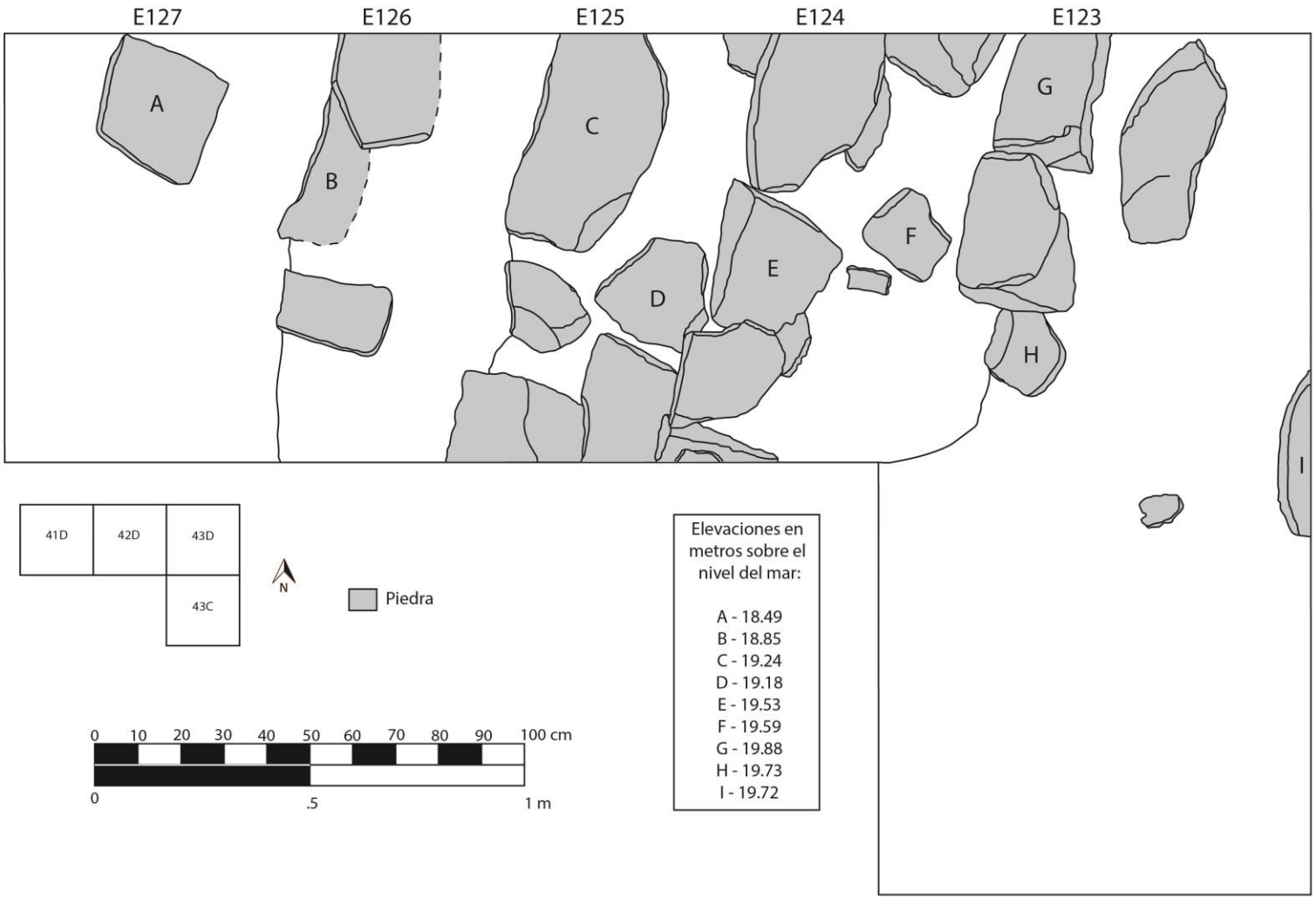


Figura 6.11: Dibujo de planta de la unidades 41D, 42D, 43D, y 43C

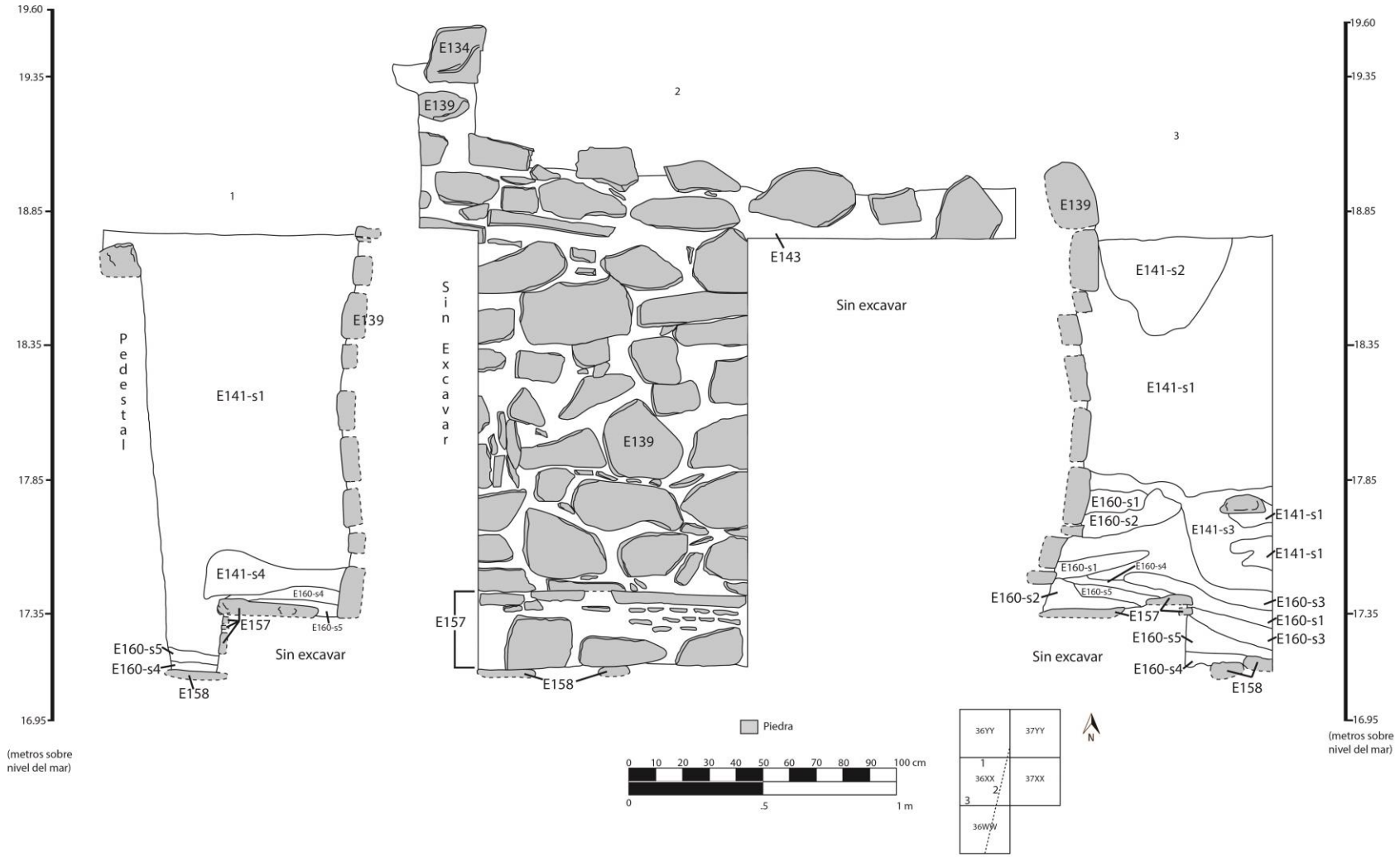


Figura 6.12: Perfiles de la unidad 36XX



Figura 6.13: Fotografía de planta de las unidades 36YY, 36XX, 36WW, 37YY y 37XX

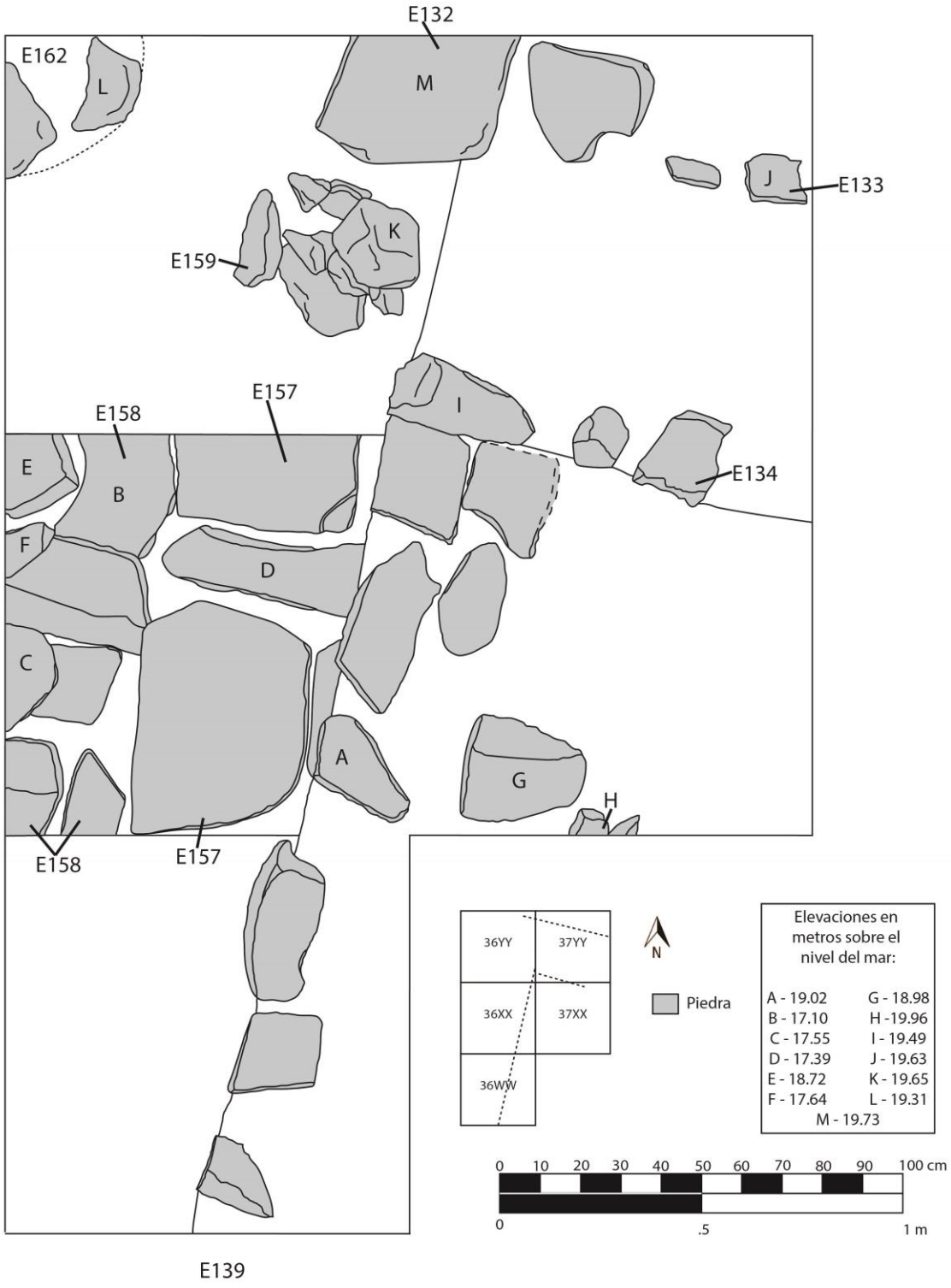


Figura 6.14: Dibujo de planta de las unidades 36YY, 36XX, 36WW, 37YY y 37XX

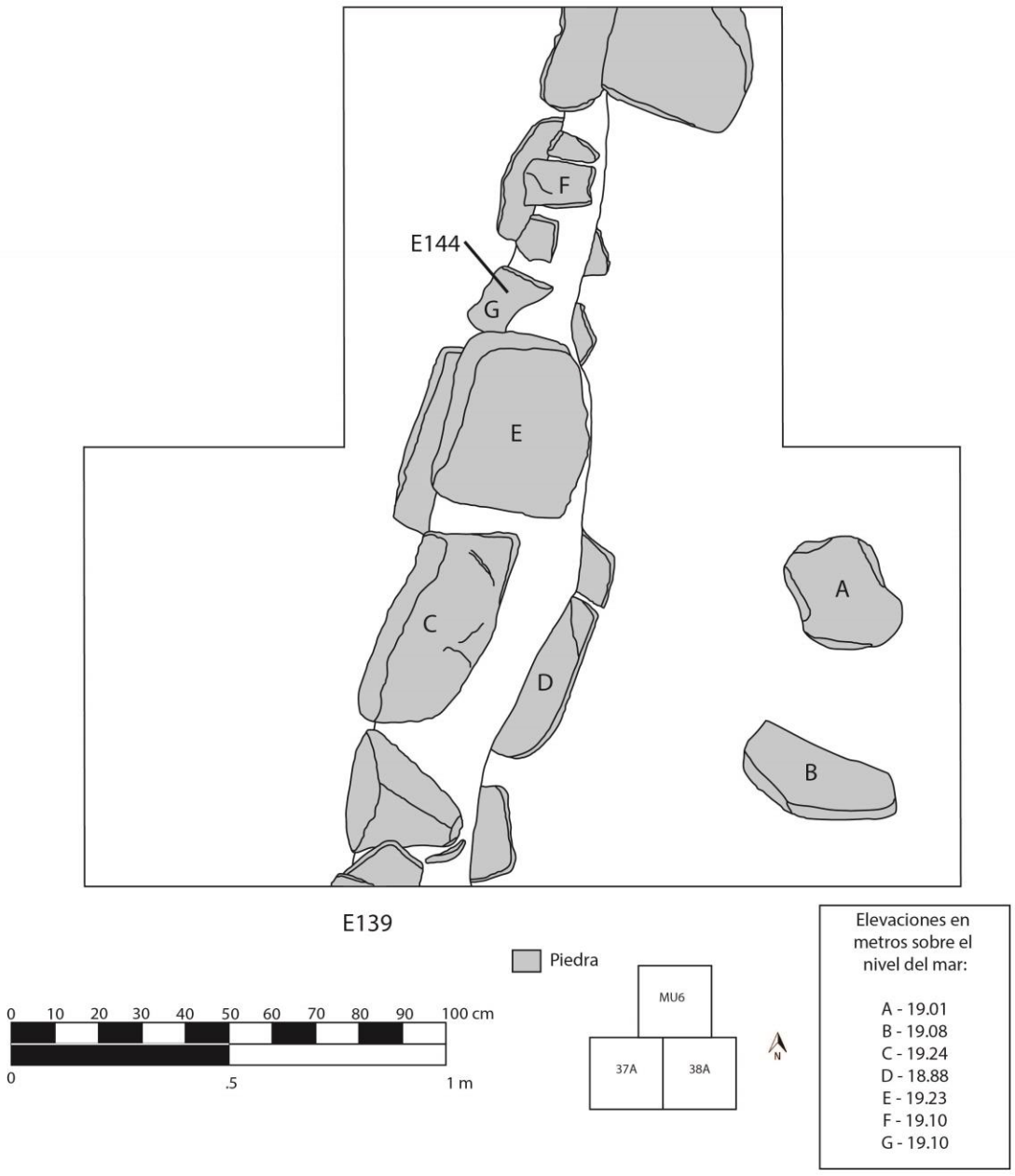


Figura 6.15: Dibujo de planta de las unidades 37A, 38A, y MU6

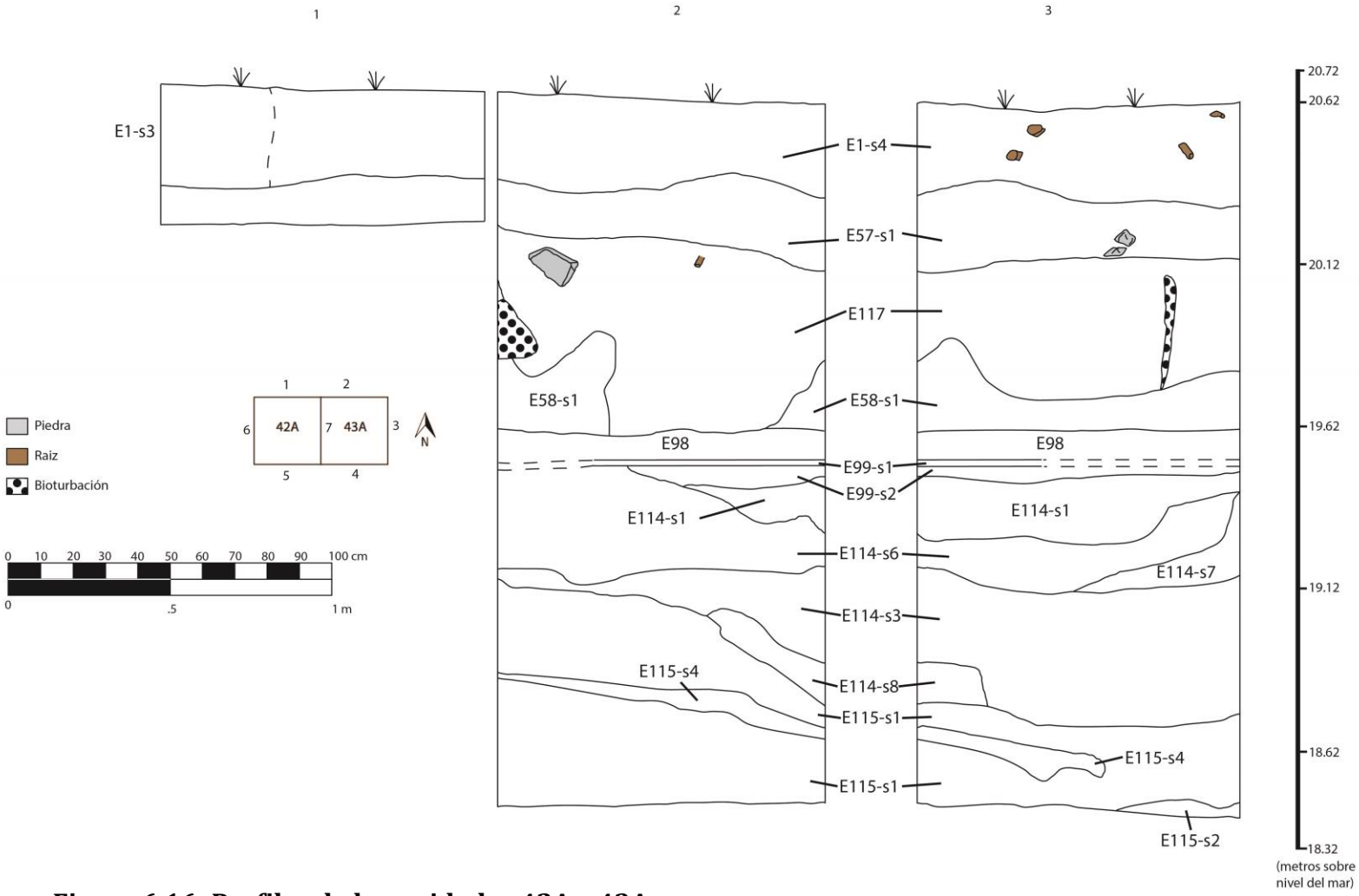


Figura 6.16: Perfiles de las unidades 42A y 43A

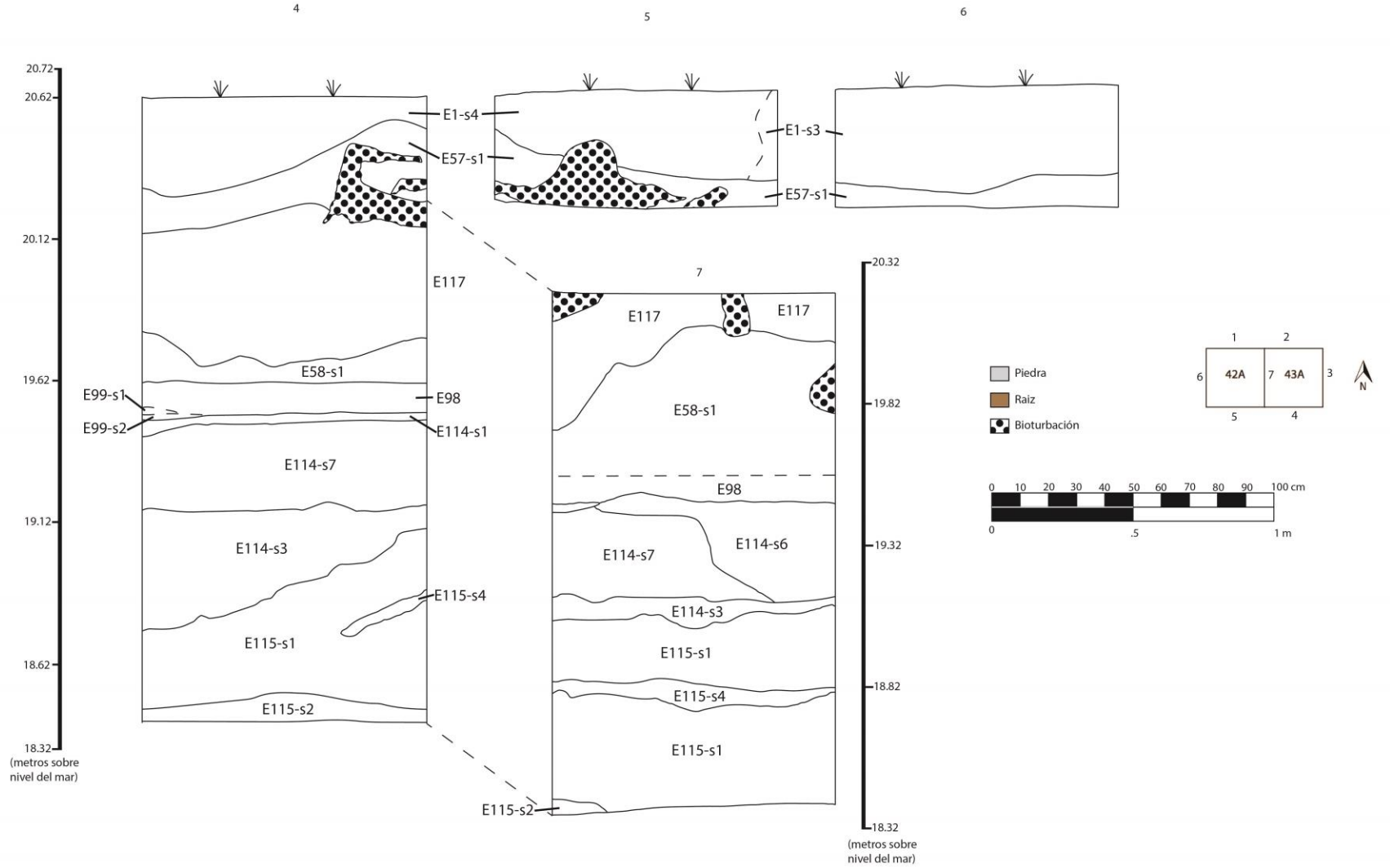


Figura 6.16: Perfiles de las unidades 42A y 43A (continuación)

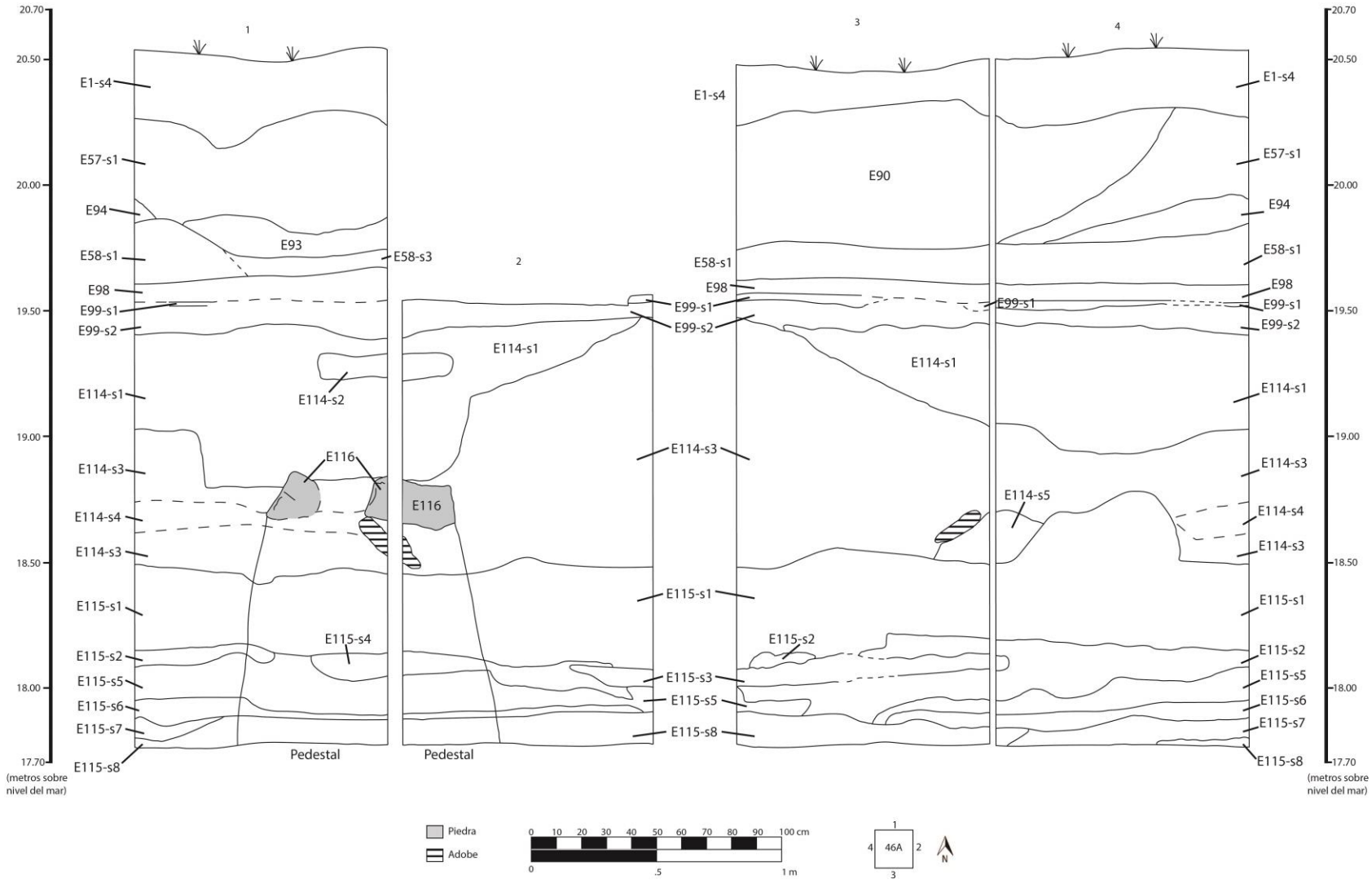


Figura 6.17: Perfiles de la unidad 46A

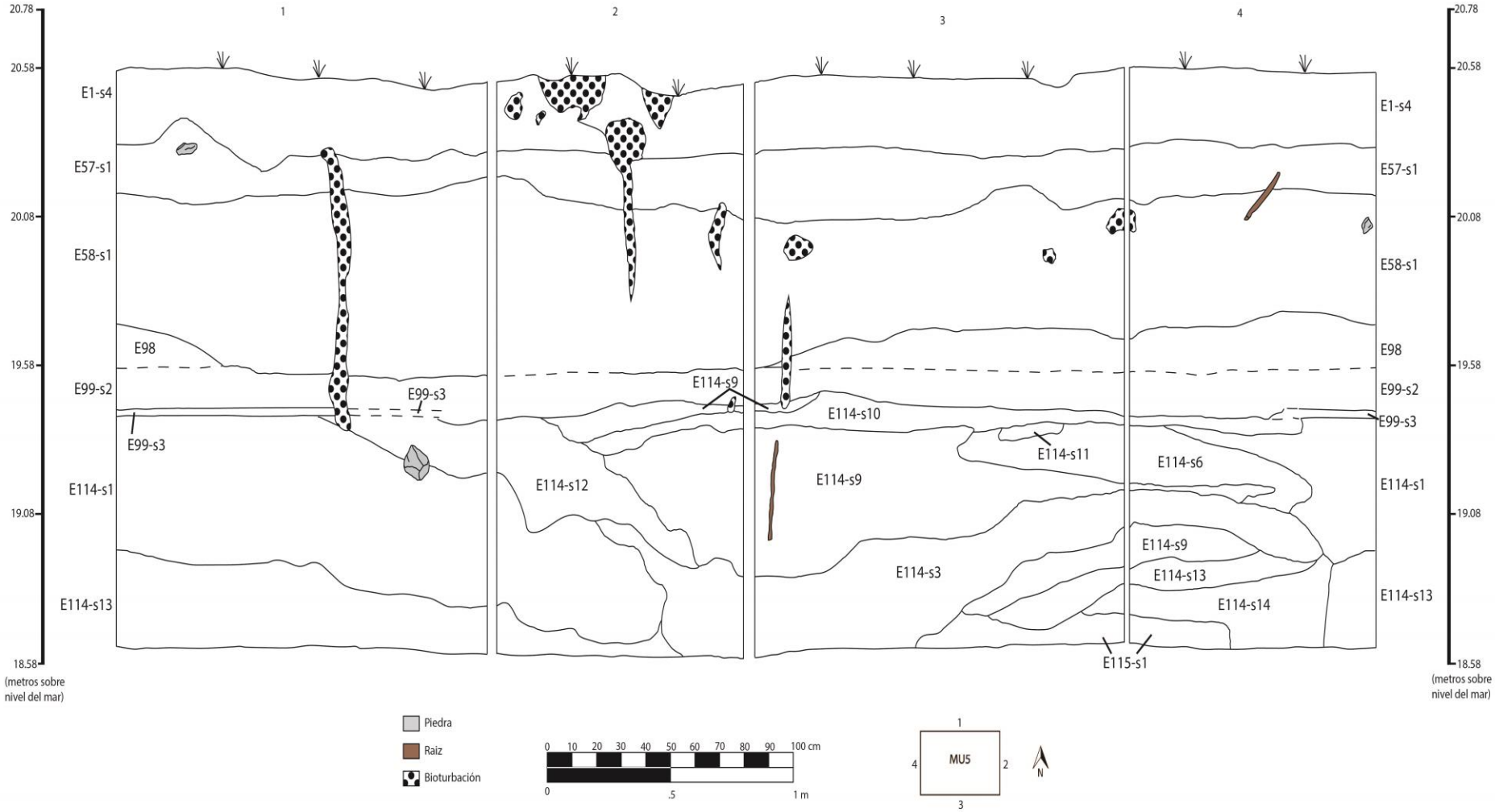


Figura 6.18: Perfiles de la Multi-unidad 5

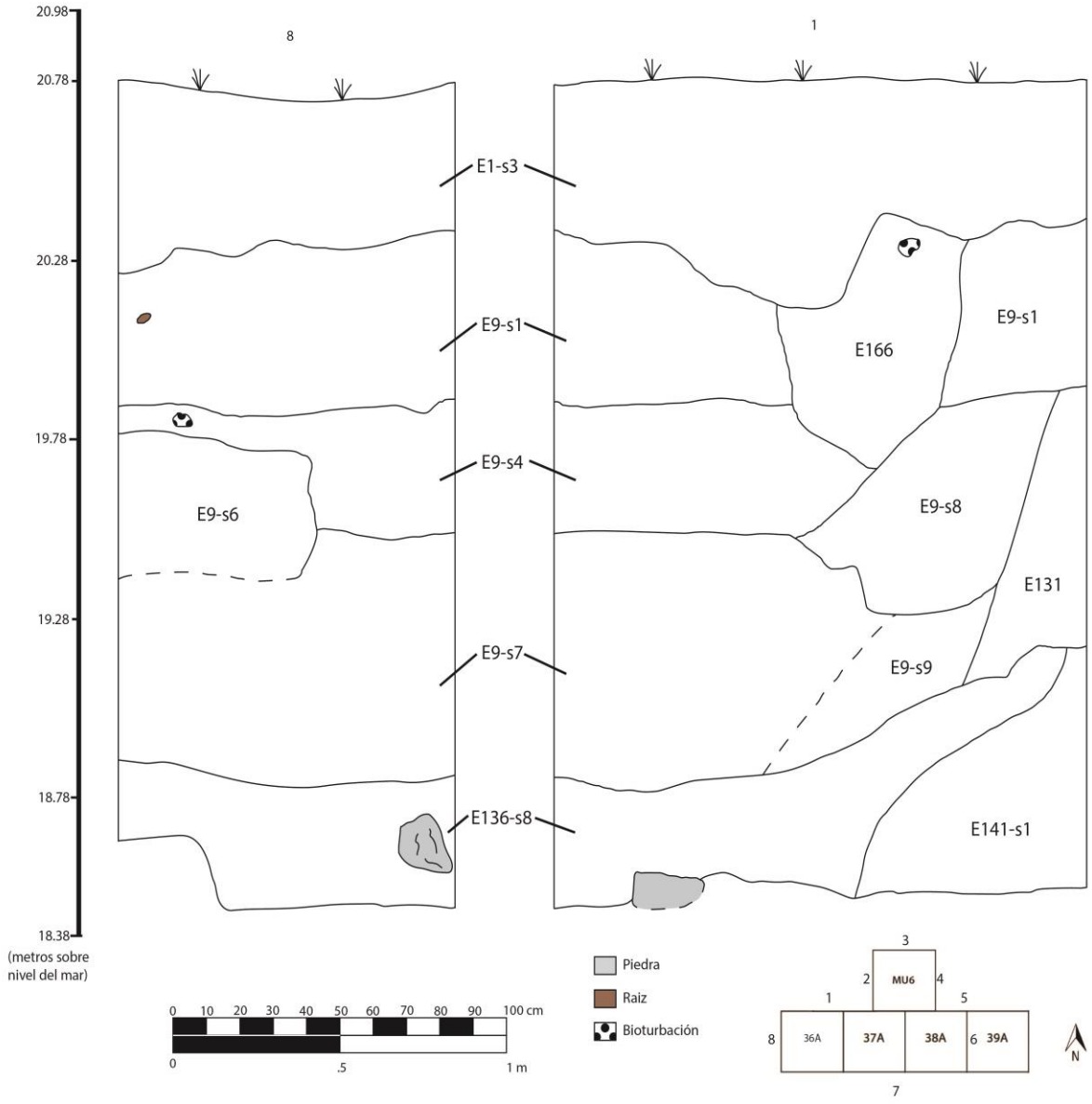


Figura 6.19: Perfiles de las unidades 36A, 37A, 38A, 39A, y MU6

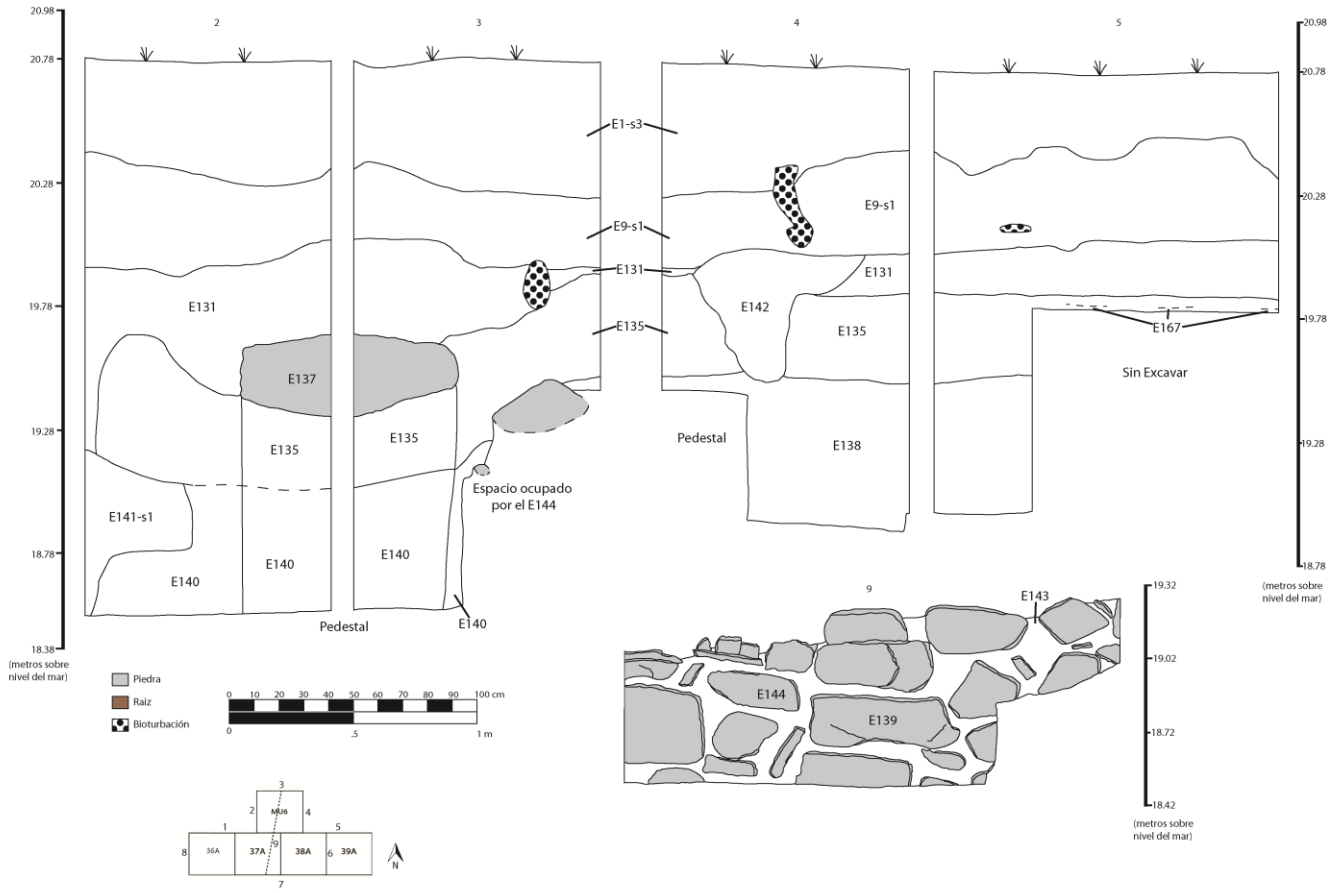


Figura 6.19: Perfiles de las unidades 36A, 37A, 38A, 39A, y MU6 (continuación)

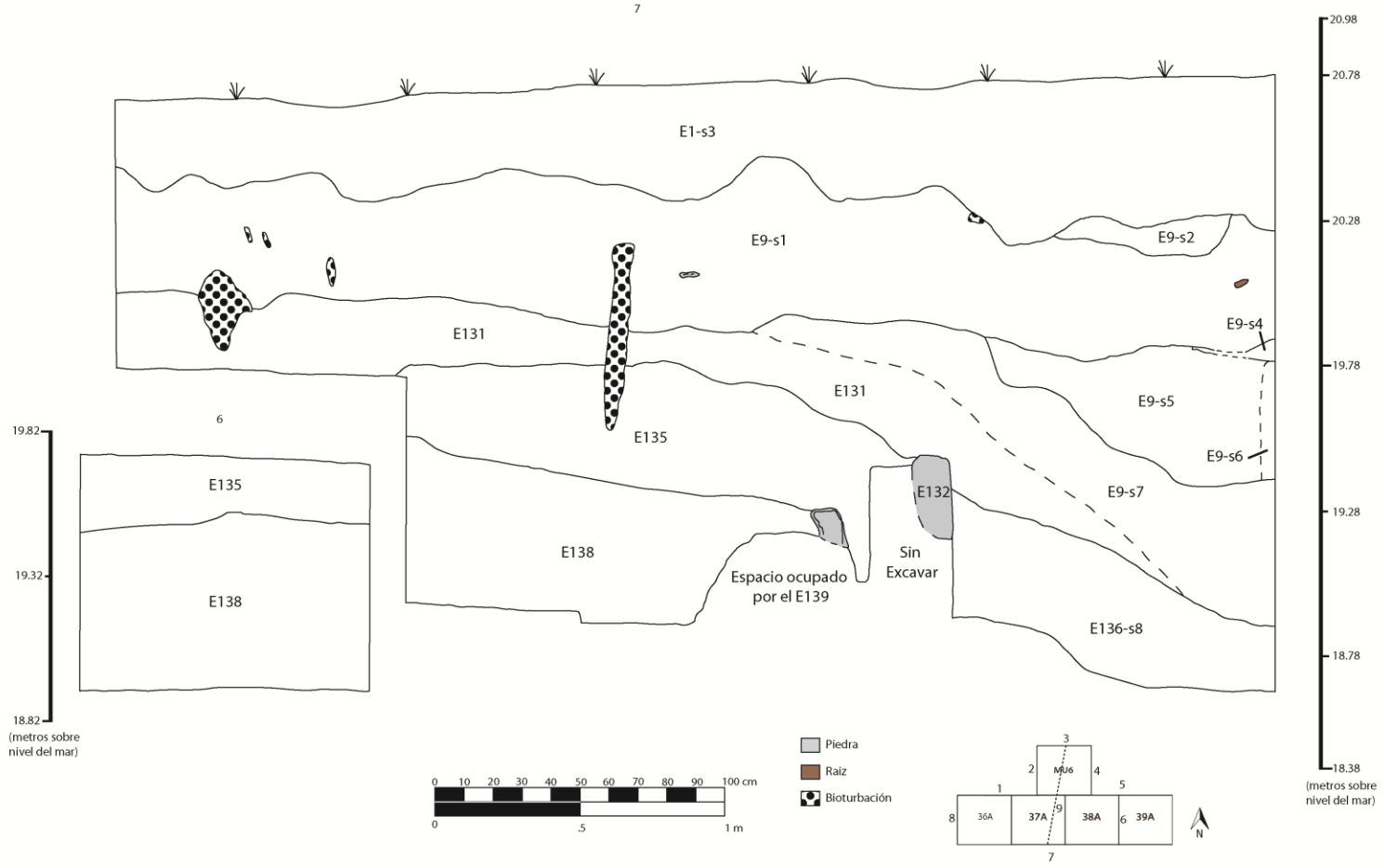


Figura 6.19: Perfiles de las unidades 36A, 37A, 38A, 39A, y MU6 (continuación)



Figura 6.20: Piso (E99-s3) en la unidad MU5



Figura 6.21: Piso (E99-s1) en la unidad 46A (la unidad indicada en la pizarra es incorrecta)

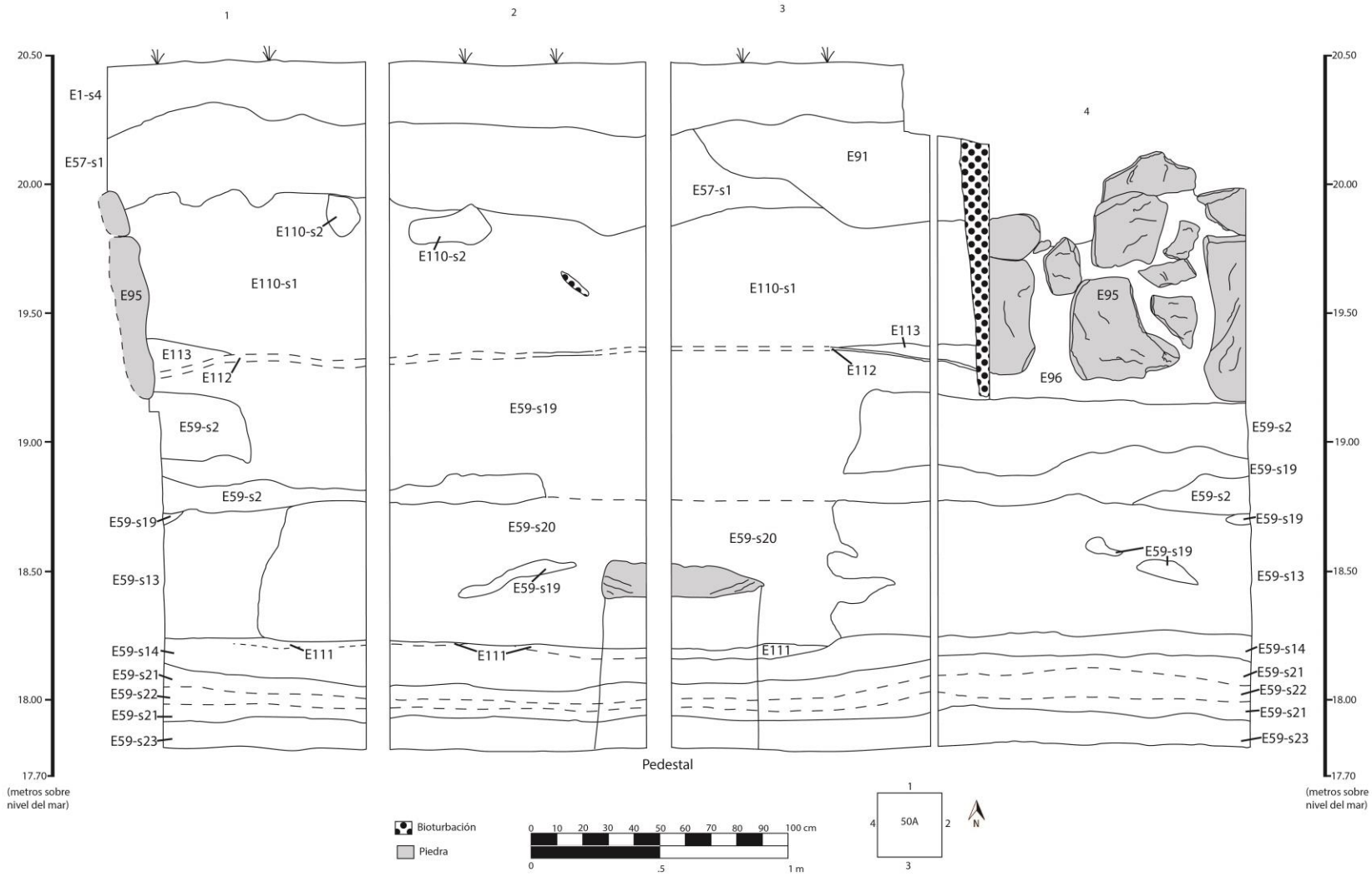


Figura 6.22: Perfiles de la unidad 50A



Figura 6.23. Desecho de actividad (E109) en la unidad 40E

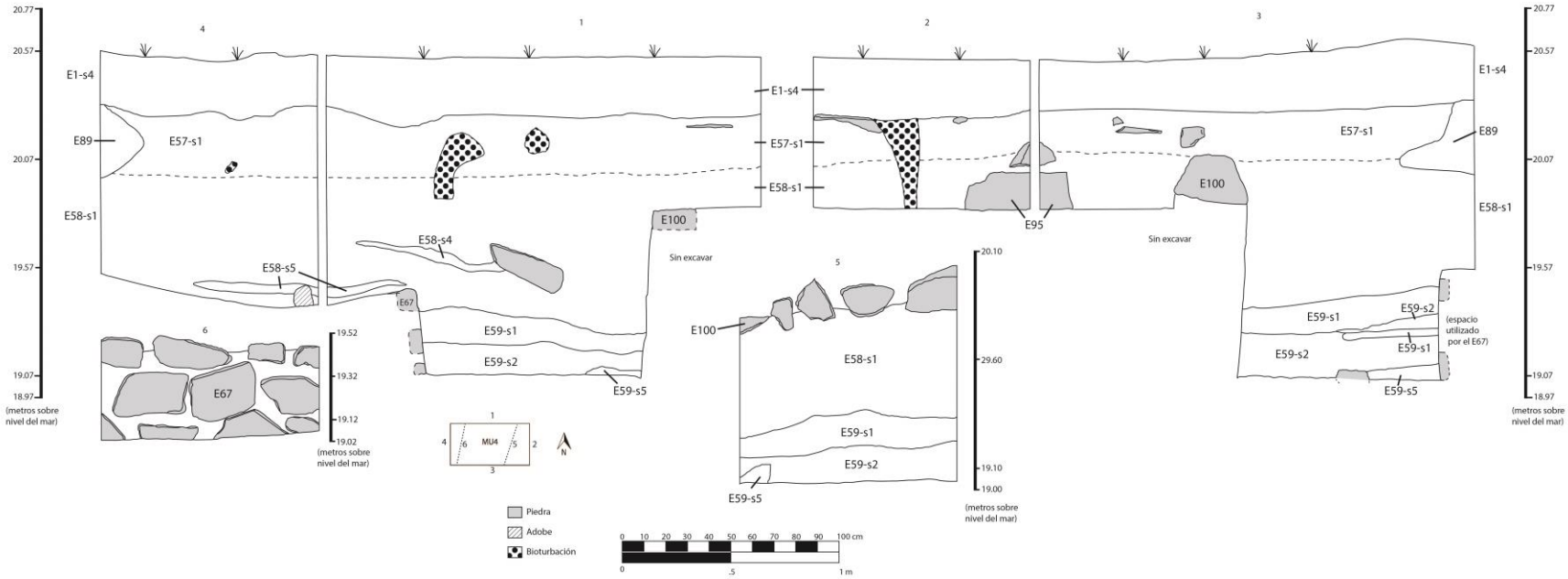


Figura 6.24: Perfiles de la multi-unidad 4

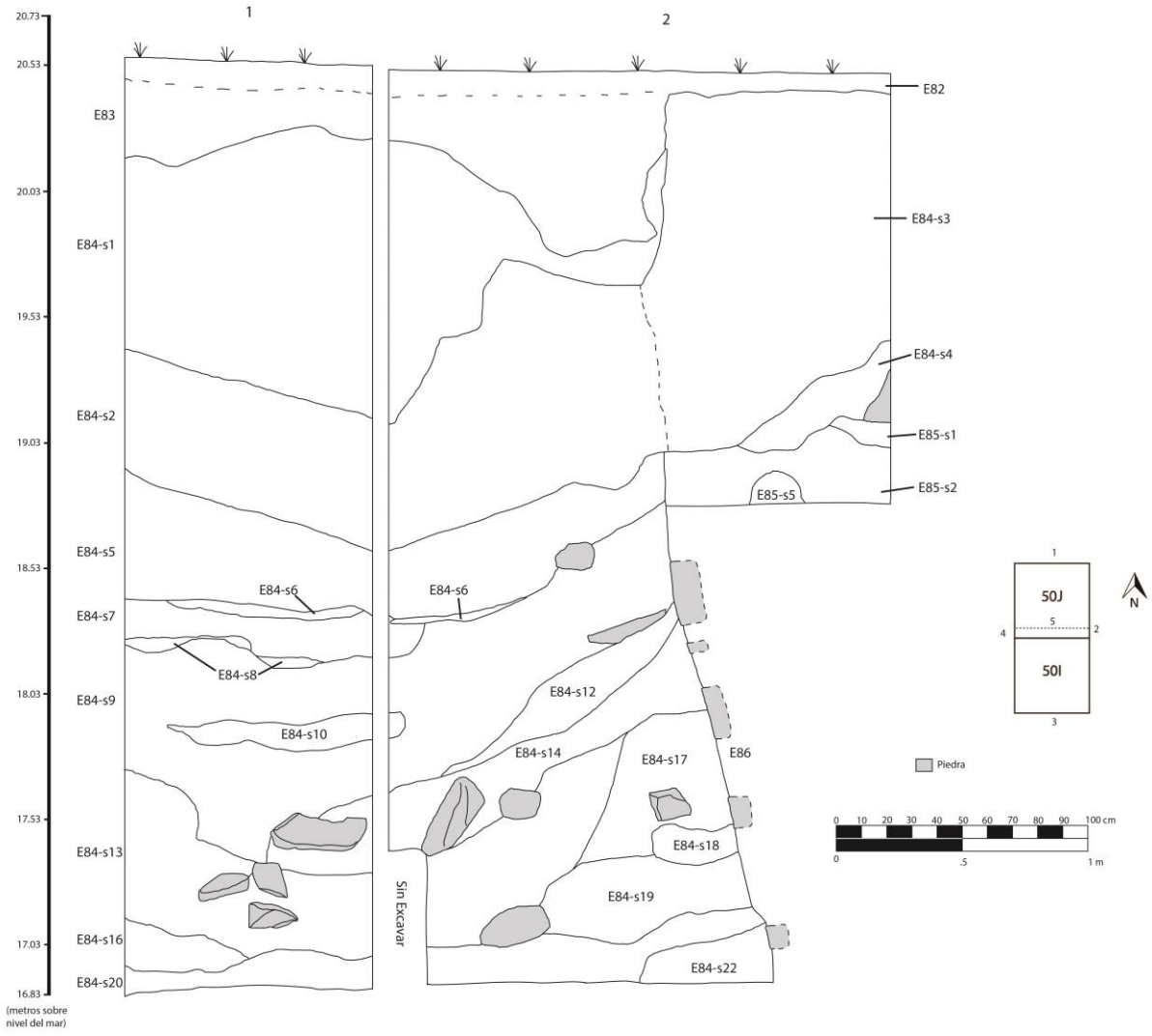


Figura 6.25: Perfiles de las unidades 50I y 50J

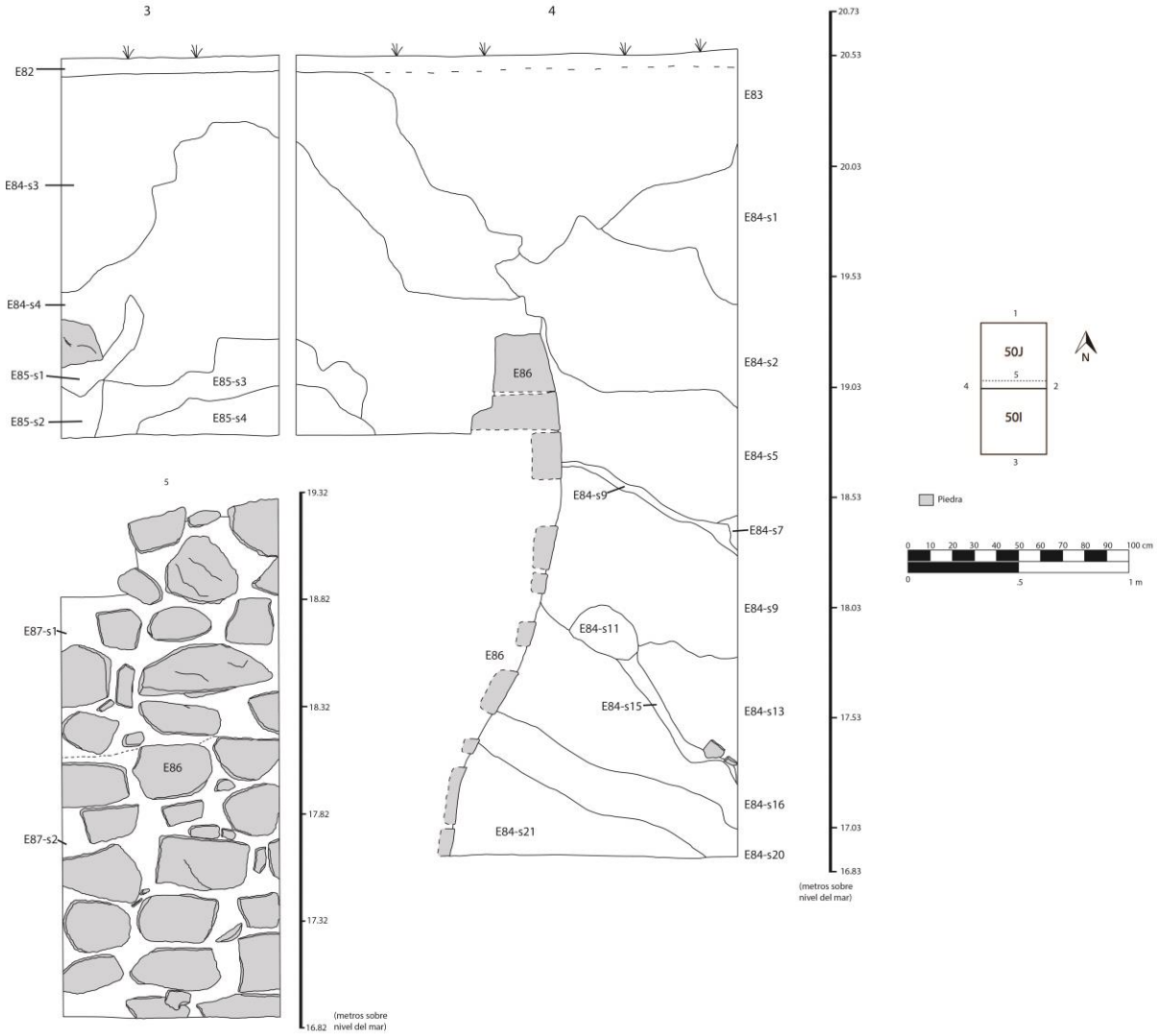


Figura 6.25: Perfiles de las unidades 50I y 50J (continuación)

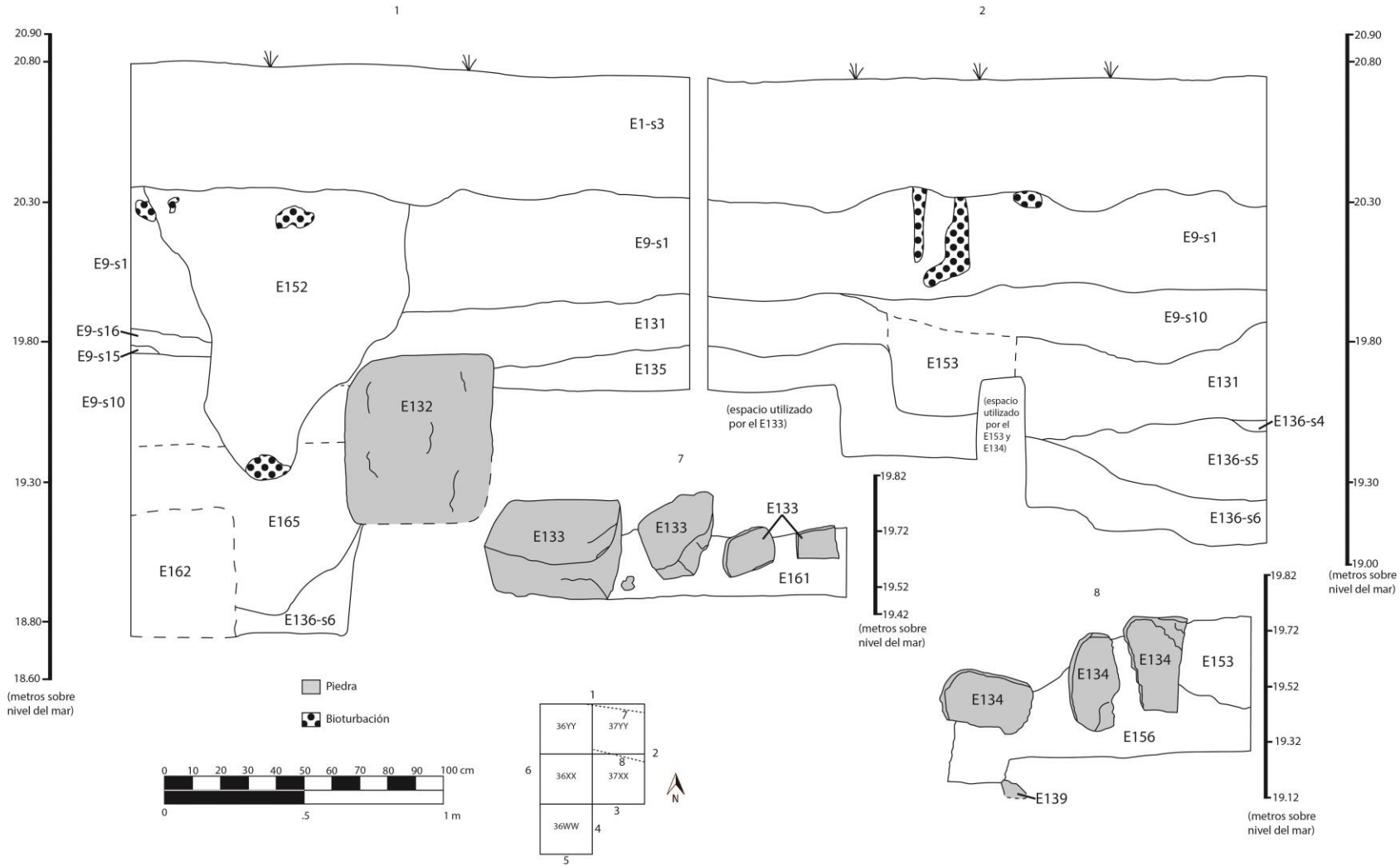


Figura 6.26: Perfiles de las unidades 36WW, 36XX, 36YY, 37XX, y 37YY

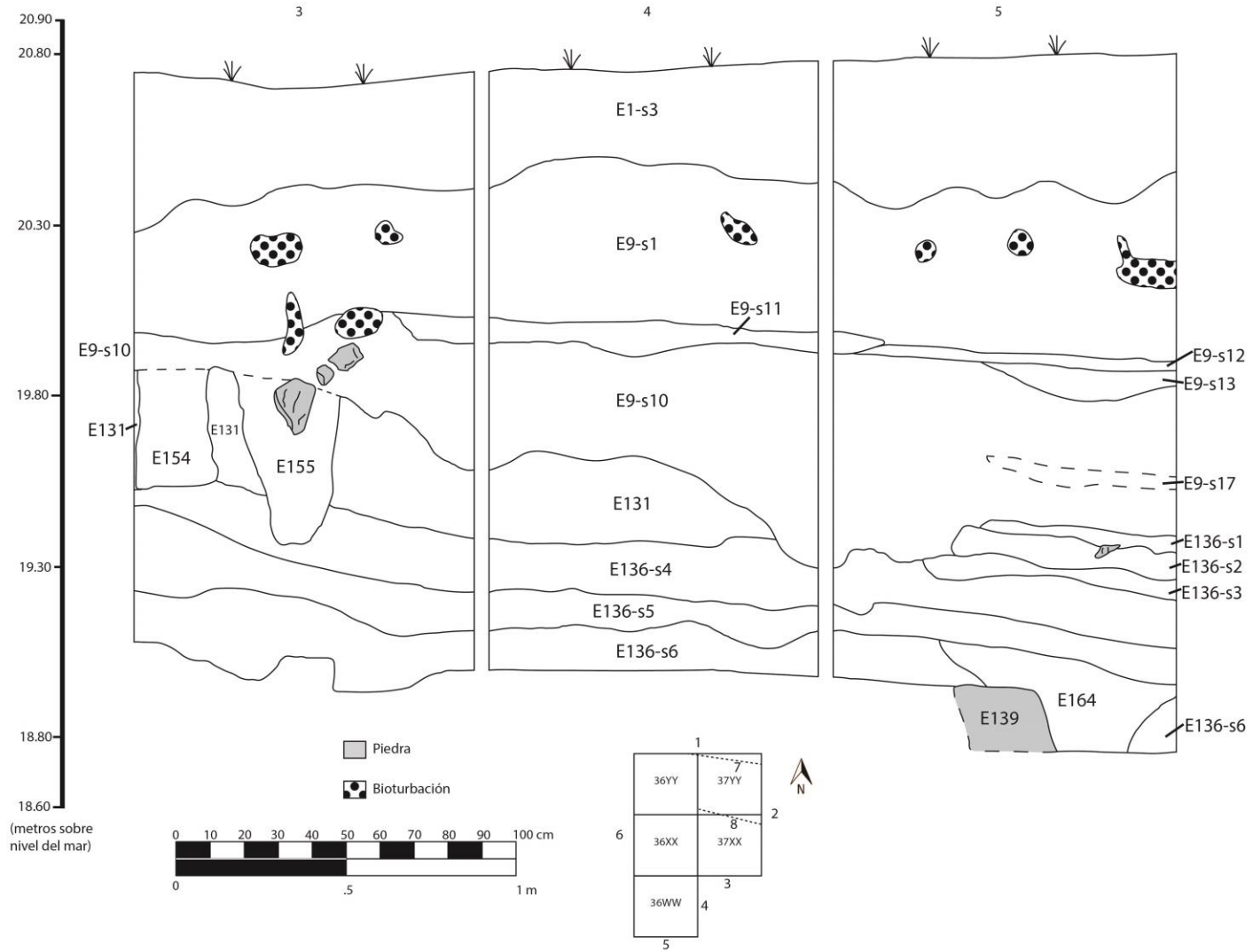


Figura 6.26: Perfiles de las unidades 36WW, 36XX, 36YY, 37XX, y 37YY (continuación)

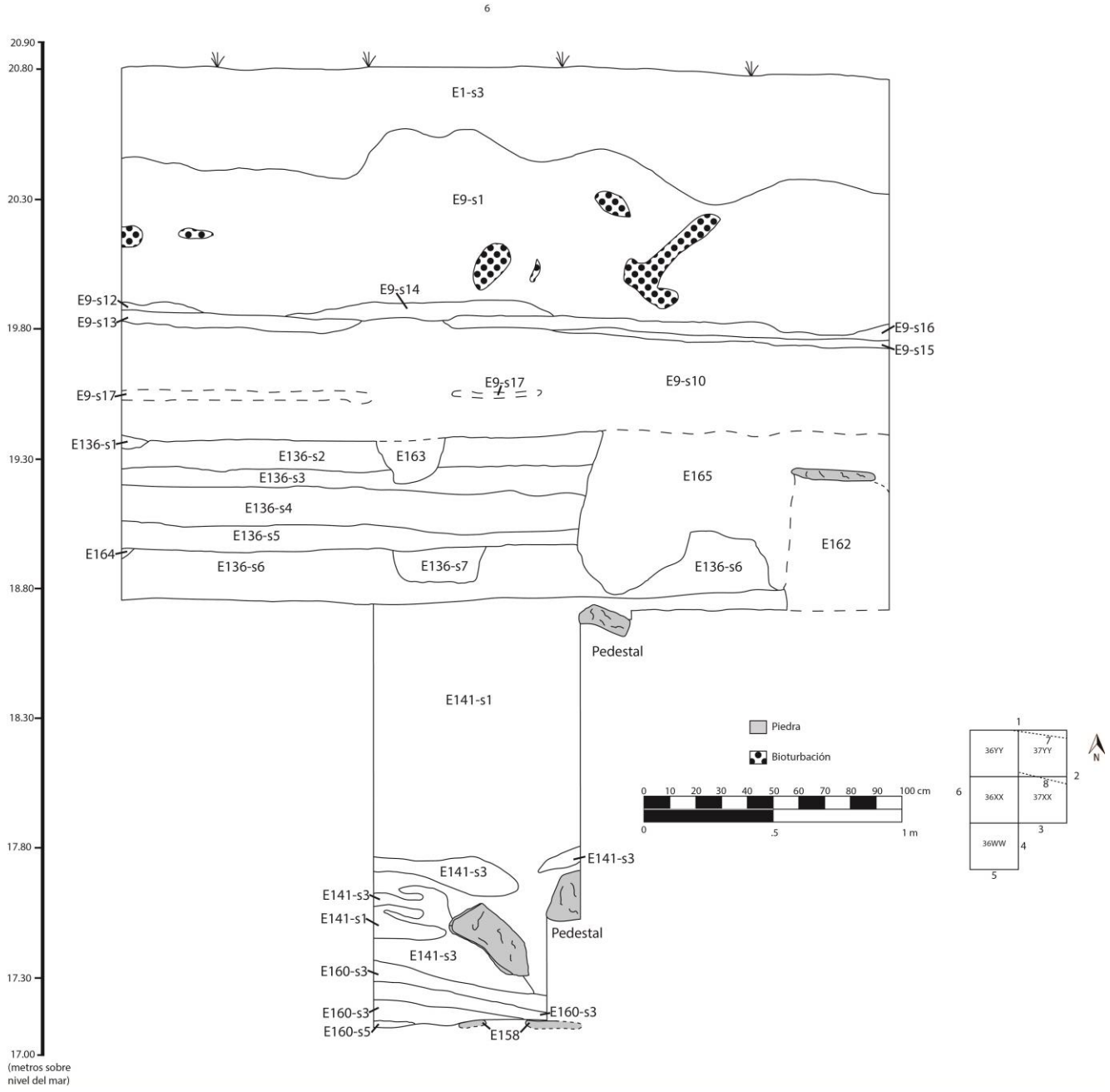


Figura 6.26: Perfiles de las unidades 36WW, 36XX, 36YY, 37XX, y 37YY (continuación)



Figura 6.27: Desplante de muro de piedra E132 (vista hacia el este)



Figura 6.28. Elementos de piedra E159, E132, E133, E134, y E139 en las unidades 36XX, 36YY, 37XX y 37YY.



Figura 6.29: Probable piso ocupacional del E168 en la unidad 41D; presenta evidencia de haber sido quemada



Figura 6.30: Piedras con cara plana, provenientes del E159.



Figura 6.31: Felino articulado perteneciente al E162 en la unidad 36YY (vista hacia el noroeste)

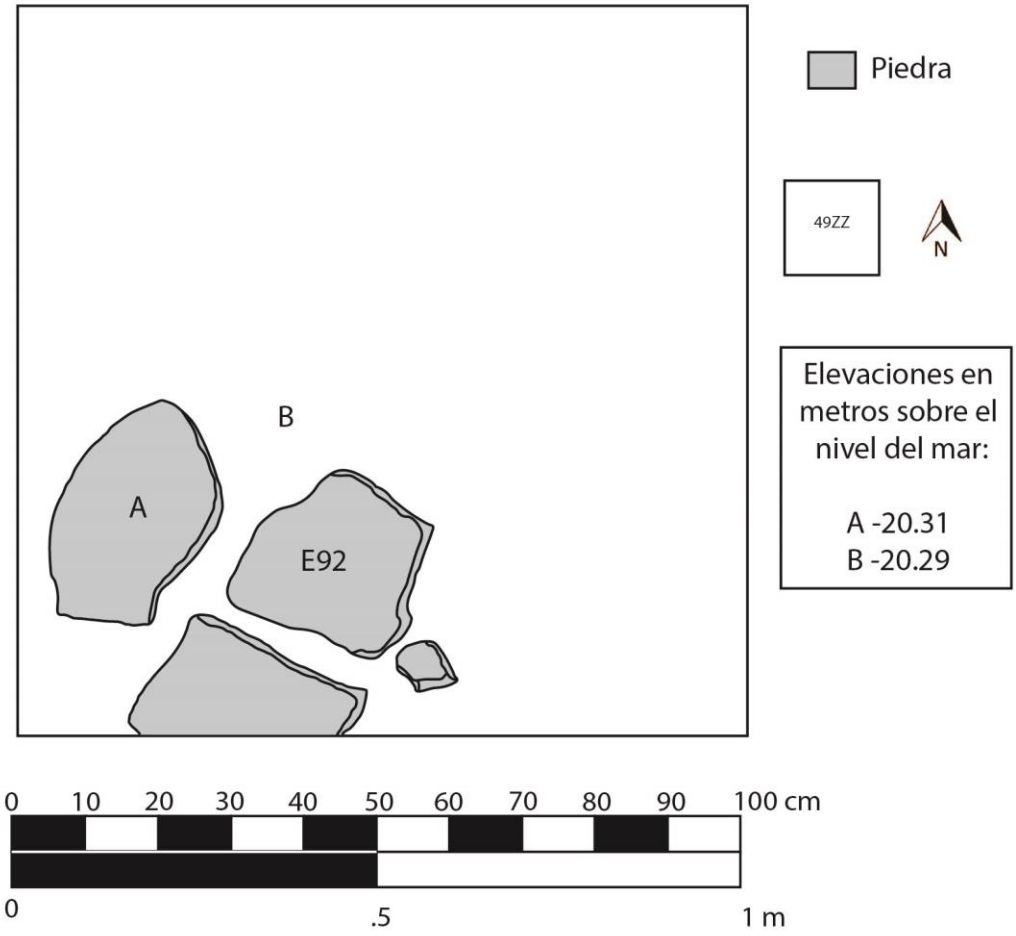


Figura 6.32: Dibujo de planta de la unidad 49ZZ, donde se muestra al E92



Figura 6.33: Lajas de piedra del E92

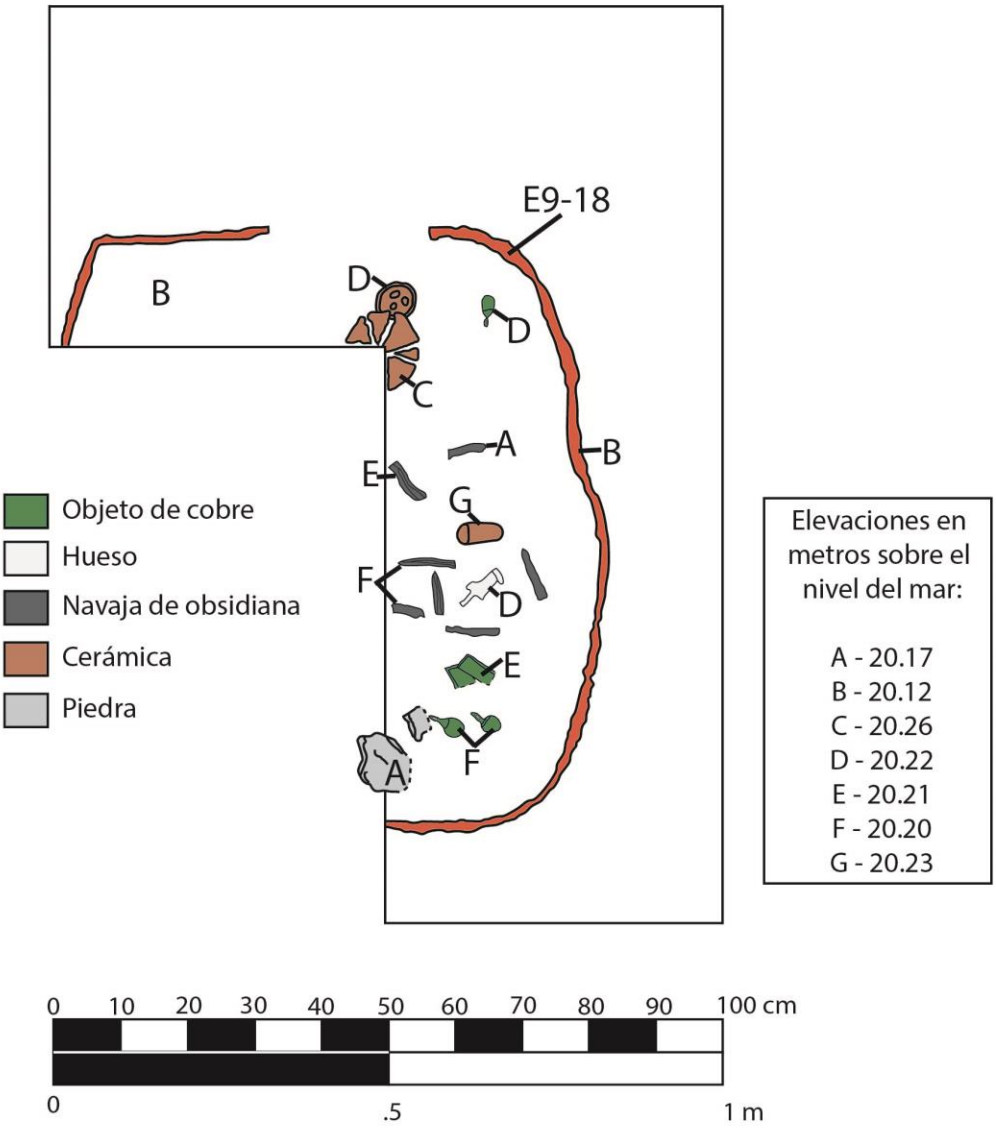


Figura 6.34: Dibujo de planta de la multi-unidad 7; se observa los diferentes elementos de una ofrenda de la fase Yugüe



Figura 6.35: Elementos de la ofrenda perteneciente a la fase Yugüe

CAPÍTULO 7 - Excavaciones en Cerro de la Virgen

Jeffrey S. Brzezinski

7.1 Introducción

Este capítulo presenta los resultados de las excavaciones llevadas a cabo en el sitio de Cerro de la Virgen durante la temporada de campo de 2013 del Proyecto Río Verde (PRV13). Cerro de la Virgen es un centro secundario ubicado sobre un cerro grande del mismo nombre al este del Río Verde, a 14 km al norte del océano Pacifico. El cerro cuenta con dos cumbres vinculados por un lomo que corre del norte al sur; la cumbre sureña se eleva a más de 200 metros sobre la planicie aluvial. El sitio mide 92.25 ha en tamaño y cubre la mayoría del cerro y quizás hasta 100m de la planicie aluvial al sur. Investigaciones previas en Cerro de la Virgen incluyeron un recorrido de cubertura total llevada a cabo por Arthur Joyce en 2000 (Joyce et al. 2009) que identifico las terrazas impresionantes y los cimientos de mampostería del sitio. En 2003, Sarah Barber (Barber 2005) hizo unas excavaciones en una residencia de la élite (Residencia 1) cerca de la cima del cerro. Allí, identificó por lo menos tres etapas de construcción que pertenecían todas a la fase Chacahua del periodo Formativo terminal. Barber identificó prácticas rituales asociadas a la residencia de la élite en la forma de depósitos de vasijas de cerámica así como la posible evidencia de festines. Una exploración preliminar del centro público y ceremonial del sitio fue llevado a cabo sobre las terrazas construidas debajo y al oeste de la Residencia 1.

Las investigaciones del 2013 en Cerro de la Virgen se enfocaron en el centro cívico-ceremonial del sitio, localizado en la ladera oeste y poca empinada del cerro (Figuras 7.1 y 7.2). Identificamos y mapeamos varios complejos arquitectónicos (Complejos A, B, y C) ubicados alrededor de una plaza pública abierta al suroeste de la Residencia 1. La base del centro cívico-ceremonial está formada por la Terraza 2, un espacio ancho y plano con un área de aproximadamente 1.1 ha construido dentro del lado

del cerro. La Terraza 2 sostiene un complejo arquitectónico (Complejo C), dos terrazas más pequeñas al noroeste (Terrazas 12 y 13) y colinda con la Terraza 11 al noreste. Las Terrazas 11 y 12 contienen complejos arquitectónicos (los Complejos A y B respectivamente), con cimientos de piedra en varias configuraciones. El espacio entre las Terrazas 12 y 13 formaron la parte larga de una cancha de juego de pelota en forma de "I". Pudimos reconocer los complejos como elementos distintos por la presencia de elementos arquitectónicos que demarcaron los espacios como separados. Por ejemplo, los Complejos B y C eran separados por una plaza abierta al centro de la Terraza 2; Complejo A esta ubicado a aproximadamente 7m arriba de los Complejos B y C en la Terraza 11 (ver abajo).

En la mitad norte del centro cívico-ceremonial, los habitantes de Cerro de la Virgen construyeron dos terrazas más pequeñas (la Terrazas 12 y 13) que ampliaron la superficie ocupacional del borde norte de la Terraza 2. El espacio entre las Terrazas 12 y 13 formaron la parte central de un juego de pelota. Los constructores extrajeron piedras de los afloramientos de granito cercanos (Raymond Mueller 2013, comunicación personal) y las trabajaron para formar bloques de varios tamaños para la construcción de los muros de contención de las terrazas, los cuales fueron orientados en dirección paralela entre ellos. La parte central del juego de pelota medía aproximadamente 25m de largo y 6m de ancho, tomando una forma en "I" parecida a las canchas de juego de pelota en otros sitios de periodo Formativo en Oaxaca, incluyendo en Monte Albán (Gillespie 1991; Kowalewski et al. 2009; Scarborough et al. 1982). La Terraza 12 sostiene el complejo arquitectónico B, que consiste en un edificio en forma de "L" con un cimiento de piedra y dos pequeños patios localizados al este y al oeste. La Terraza 13 pudo haber sostenido dos estructuras más pequeñas, pero la presencia de pozos de saqueo no nos permitió delimitar estas estructuras desde nuestras observaciones en la superficie. Mientras que la parte sur de la cancha de juego de pelota se encontró casi intacta, la parte norte ha sido deslavada por erosión. Después del abandono del sitio, gran parte de la cancha de juego de pelota fue llenada por coluvión y quizás también de basura durante las ocupaciones pos-Formativas del sitio.

El Complejo C se encuentra del otro lado de la plaza abierta, al sur de la chancha de juego de pelota. El Complejo C consiste en un edificio en forma de “L” y dos edificios rectangulares adyacentes ubicados cerca del lado sur de la Terraza 2. Pozos de saqueo han causado fuertes daños a los edificios más pequeños. La fachada del edificio en forma de “L” está orientada hacia un pequeño patio, que se abre hacia la plaza de la Terraza 2. La Terraza 11 se ubica al este y se levanta a 5-6 metros sobre la plaza. La Terraza 11 sostiene el complejo arquitectónico A; un edificio en forma de “L” con patios localizados al norte y la sur. Los edificios en los complejos A y B eran de tamaño parecido pero eran orientados en direcciones opuestas, con el Complejo B abriéndose hacia el este y el Complejo A abriéndose hacia el oeste. Unas escaleras monumentales con escalones y balaustradas se dirigen desde la base de la Terraza 11 hacia la Terraza 10, que tiene una vista del centro cívico-ceremonial. Sobre la Terraza 10, los constructores colocaron la Estructura 1, un edificio rectangular con cimientos de piedra. Un pequeño patio abierto ocupó el espacio entre las escaleras y la Estructura 1.

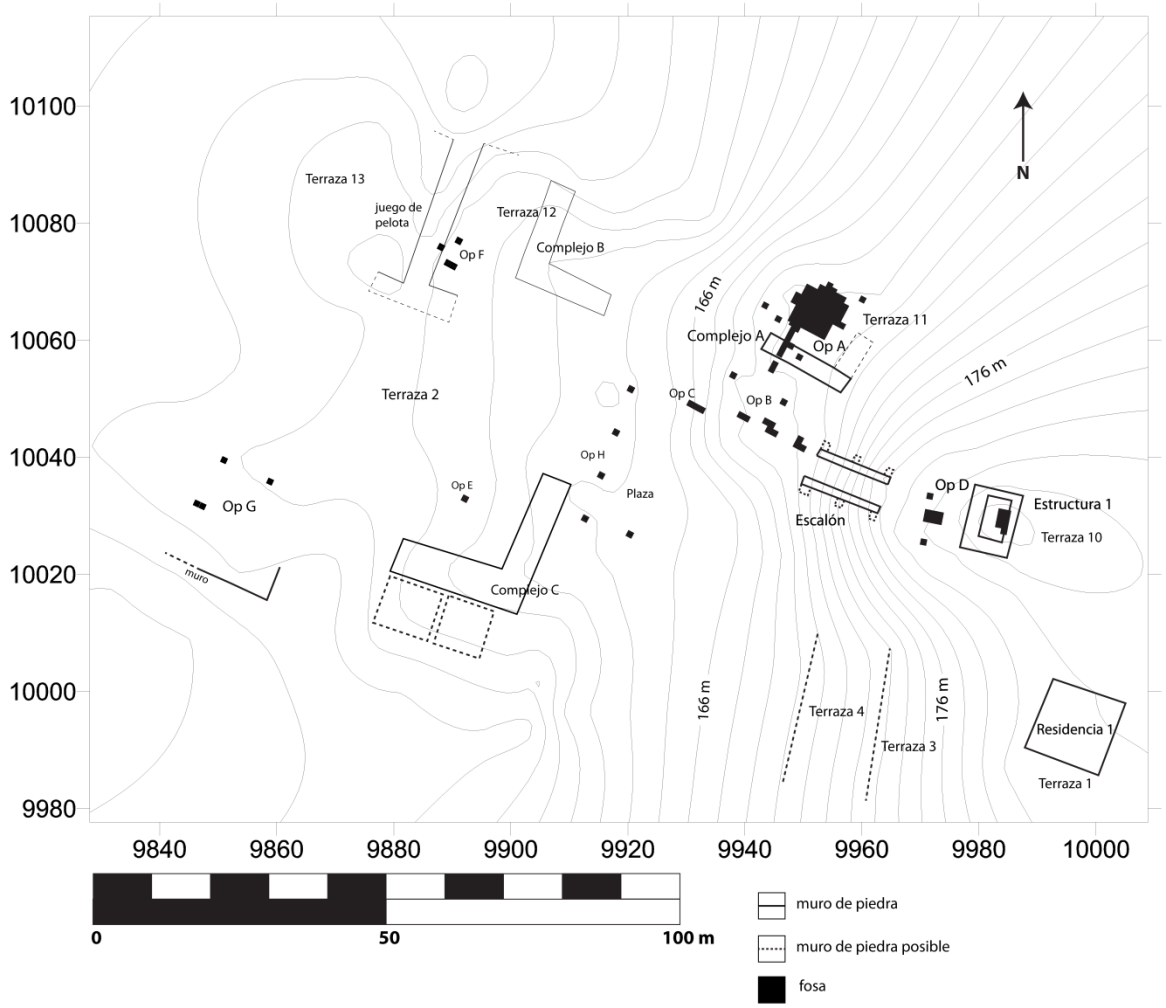


Figura 7.1: Mapa topográfica del centro ceremonial de Cerro de la Virgen con las excavaciones de 2013.

7.1.1 Metodología

Las excavaciones llevadas a cabo durante el PRV13 en Cerro de la Virgen utilizaron los procedimientos estandarizados utilizados durante previos proyectos en el valle del bajo Río Verde (ver Barber y Joyce 2011; Joyce et al. 1991, 1999; Joyce y Levine 2009; Joyce et al. 1998). La numeración de las unidades de excavación continuó el sistema utilizado durante las excavaciones del PRV00, PRV09, y PRV12 en Río Viejo, durante las cuales a todas las unidades de 1m x 1m les fueron asignados un número

y una letra (Barber y Joyce 2011; 2012). Las unidades fueron colocadas sobre una cuadricula cartesiana de acuerdo con la orientación general del sitio (norte-sur azimut de 25°-205°) y asignado un número y una letra. Sobre la cuadricula cartesiana, los números aumentan de oeste a este y las letras aumentan en secuencia de sur a norte, empezando con la unidad 0A. Por ejemplo, la unidad directamente adyacente al este de la unida 0A es "1A"; la unidad directamente adyacente al norte de la unidad 0A es "0B". En casos donde un elemento abarcaba más de una unidad arbitraria, un número de "multi-unidad" fue asignado. Una letra fue dada a cada estrato distinto para diferenciar los estratos naturales de los elementos culturales (con la abreviación E para elementos culturales y N para estratos naturales). Frecuentemente, los excavadores identificaron sub-estratos dentro de depósitos más grandes (abreviados con "s" por sub-estrato). Objetos identificados como parte de contextos especiales tal como ofrendas fueron dados "números de objeto" donde el número del objeto (por ejemplo "Ob1" en "E17-Ob1" de la Operación A) se refiere al objeto y el número del elemento (por ejemplo "E17" en "E17-Ob1" de la Operación A) se refiere al elemento en general.

La metodología de la excavación siguió también los procedimientos utilizados en previos proyectos en el bajo Verde (Barber y Joyce 2011; Joyce 1991, 1999; Joyce y Levine 2009; Joyce et al. 1998). Los excavadores quitaron sedimento de unidades de sondeo utilizado paletas y brochas, así como cribas con malla de ¼ pulgar (6.35mm). Los artefactos de material diferente (cerámica, lítica, hueso, etc) fueron colocados en bolsas separadas y etiquetados con información indicando su proveniencia tal como el Numero de Operación, el Numero de la Unidad, el Número de Lote, el número "field specimen", el tipo de material, y la fecha de excavación. Donde era posible identificar estratos culturales distintos, los excavadores removieron sedimento y artefactos correspondiendo a cada estrato cultural como un solo "lote". Cuando los estratos culturales eran excepcionalmente gruesos (por ejemplo capas de relleno de construcción más de 10 cm de grueso), el sedimento fue sacado en lotes de 10 cm para mantener el

control vertical. Medidas de profundidad fueron registradas desde el dato utilizado hilo, niveles, y cinta métrica. La ubicación de cada dato fue registrado utilizado una Estación Total.

7.1.2 Resumen

La investigación del PRV13 en Cerro de la Virgen se enfocó en el centro público y ceremonial del sitio tras la exploración del Complejo A (las Operaciones A, B y C), en centro de la plaza de la Terraza 2 (las Operaciones E y H), la esquina suroeste de la Terraza 2 (la Operación G), la Terraza 10 y la Estructura 1 (la Operación D), y la cancha de juego de pelota (la Operación F). Los datos recogidos de estas operaciones sugieren que la gente ocupó el centro ceremonial de Cerro de la Virgen tan temprano como el periodo Formativo terminal, indicado por varios contextos de relleno de construcción con cerámica de la fase Minizundo. Sin embargo ningún contexto primario de la fase Minizundo fue encontrado. La construcción y el uso del centro cívico-ceremonial parecen haber empezado lentamente durante la fase Miniyua y se intensificó durante la fase Chacahua. Los datos estratigráficos indican que la Terraza 2, la Terraza 10 y la Terraza 11 fueron completadas en algún momento cerca del final de la fase Miniyua, quizás durante el periodo de transición entre ésta fase y la fase Chacahua. Evidencia arqueológica (tal como la ausencia de desecho doméstico y elementos para cocinar) indican que estas áreas eran espacios y edificios públicos y no-residenciales que fueron utilizados para ceremonias que involucraban a la comunidad más amplia de Cerro de la Virgen.

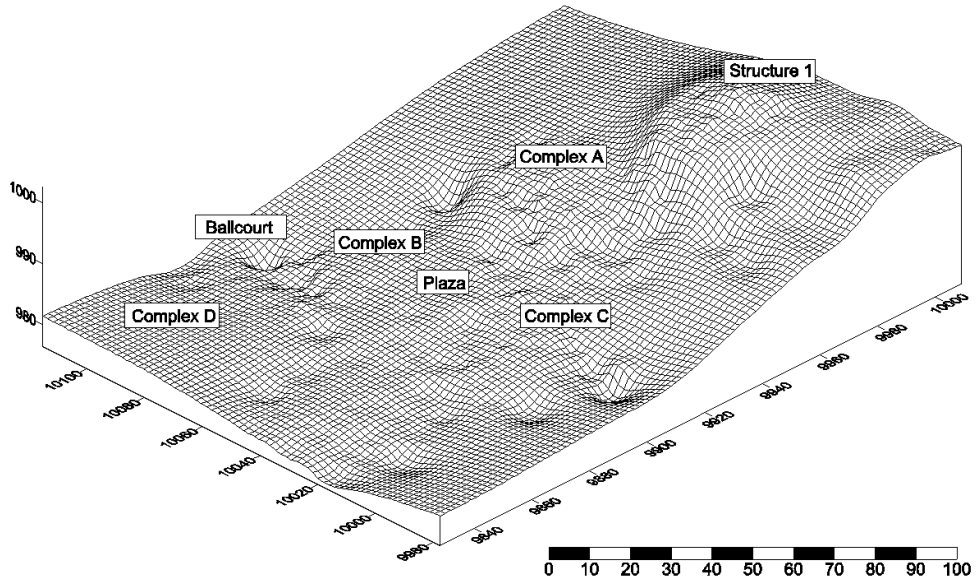


Figura 7.2: Mapa topográfico estilo "alambre" del centro cívico-ceremonial de Cerro de la Virgen

Los residentes del sitio participaron en varias actividades en esta área durante el Formativo terminal, incluyendo un rango importante de prácticas incluyendo depósitos rituales y festines. La colocación ritual de objetos especiales dentro de edificios públicos era una práctica común en Mesoamérica durante el periodo Formativo, estaba frecuentemente asociada con la dedicación, terminación, o transformación de un espacio particular (Barber y Joyce 2007; Mock 1998). En Cerro de la Virgen la colocación ritual de objetos especiales parece haber sido una práctica fundamental que creó un sentimiento de identidad comunitaria. Por ejemplo, un grupo posible de objetos de piedra rotos fue colocado como una ofrenda dedicatoria dentro del relleno de construcción de la Terraza 10 (ver Sección 7.5). Actividades rituales llevadas a cabo en el Complejo A (ver las secciones 7.2 y 7.3) incluyeron la colocación de un gran depósito de vasijas de cerámica dentro de compartimientos hechos con lajas de piedra en el patio norte, así como festines llevados a cabo en ambos patios, indicados por la presencia de varios fogones. Una variedad de vasijas de cerámica también fueron puestas dentro del relleno de la Estructura 1 para dedicar varias etapas de su construcción. Vasijas colocadas dentro de pozos sirvieron

también para cerrar ritualmente una etapa de vida particular de la estructura (ver también Joyce 2008). Mientras que las prácticas de depósito en la Estructura 1 se hicieron dentro de espacios públicos relativamente restringidos, las prácticas rituales parecen también haberse llevado a cabo en la plaza pública mucho más accesible de la Terraza 2. El juego de pelota mesoamericano también se jugaba en la parte norte del centro cívico-ceremonial, y actividades importantes de cocina se hicieron en la parte sur de la Terraza 2. En el patio del edificio en forma de "L" del Complejo C, los investigadores destaparon los rasgos de un gran fogón u horno de tierra que pudo haberse utilizado durante las actividades llevadas a cabo en el espacio público. Aunque la evidencia cerámica de la plaza indica que fue ocupada hasta el periodo Clásico temprano, parece que se dejó de utilizar el centro ceremonial del sitio al fin de la fase Chacahua.

7.2 Excavaciones en la Operación A

7.2.1 Introducción

La Operación A era una gran excavación en bloque (se destapó un total de 75.25 m²) en la parte norte de la Terraza 11 que destapó una pequeña área (6 m²) dentro de los muros de contención de la Estructura 2, un edificio público modular de 4m x 13m orientado este-oeste (115°-295°; ver Figura 7.3 y 7.4). Las excavaciones destaparon también un área grande (69.25 m²) en el patio al norte de la Estructura 2, dejando al aire una ofrenda amplia que consistía de compartimientos de lajas delgadas conteniendo una ofrenda de 260 vasijas de cerámica de varios tamaños y formas. Un edificio posible adicional (la Estructura 3) fue localizado al noreste y ligeramente cuesta arriba, orientado en sentido perpendicular a la Estructura 3 (ver Sección 7.1, figura 7.1). La Estructura 3 no fue excavada. El Complejo A está formado por las Estructuras 2 y 3 y los patios norte y sur. Las excavaciones en la Operación A tenían tres metas:

1. Identificar las técnicas de construcción y los materiales utilizados para construir la Terraza 11 y la Estructura 2.
2. Identificar las actividades llevadas a cabo dentro de la Estructura 2 y en el patio norte.
3. Penetrar dentro de la roca madre en varias áreas para investigar la ocupación más temprana y los episodios de construcción en el área.

La construcción inicial de la Terraza 11 empezó durante el periodo Formativo terminal. Primero, los constructores levantaron y nivelaron la superficie del suelo cuando depositaron hasta 1.2 m de relleno encima de la roca madre para crear la superficie plana de la Terraza 11 (ver Figura 7.5). Después, los constructores hicieron un pequeño montículo con una plataforma en el centro de la terraza, sobre el cual la Estructura 2 fue construida. Durante la construcción de la Estructura 2, una capa gruesa de relleno arenoso suelto fue depositada al norte de la estructura, cubriendo la totalidad del patio. Esta capa de relleno aporto el medio dentro del cual los habitantes de Cerro de la Virgen depositaron una

ofrenda masiva de 260 vasijas de cerámica dentro de compartimientos hechos con lajas de piedra. Mientras que no está claro cuantas ceremonias distintas de depósito estuvieron involucradas para la colocación de las vasijas y los compartimentos, la evidencia estratigráfica indica que fueron colocadas secuencialmente con el tiempo. Desafortunadamente, la composición mixta del relleno que recubre la ofrenda no permitió distinguir pozos particulares dentro de los cuales los depósitos fueron colocados.

Se tomó mucho cuidado para preservar la composición y la integridad de la ofrenda y el relleno que la recubría. Los constructores incluyeron un desagüe de piedra en la base de la Estructura 2 que llevo el agua lejos del área de la ofrenda y hacia el suroeste, fuera de la terraza. Por lo tanto, las vasijas de cerámica recuperadas de la ofrenda se encontraron en relativamente buena condición y proveyeron la mejor fecha para la construcción y uso del Complejo A. Aunque la mayoría de las vasijas halladas en el depósito no eran diagnósticas, las que se pudieron fechar indicaron que la ofrenda fue colocada durante el periodo de transición entre las fases Miniyua y Chacahua. El conjunto de la ofrenda incluye cerámica de tipo café fino de la fase Miniyua así como vasijas tipo gris de la fase Chacahua. De otra manera, las vasijas de la fase Miniyua pudieron haber sido reliquias de familia que fueron depositadas después, quizás solamente durante la fase Chacahua.

Como explicamos abajo, pensamos que los depósitos e más probablemente dejados durante la fase Miniyua, dada la proporción relativamente más alta de vasijas Miniyua en comparación a vasijas Chacahua. Para terminar, además de varias ceremonias de depósito, los residentes de Cerro de la Virgen también participaron en actividades de cocina incluyendo festines que se llevaban a cabo en el área del Complejo A. Varios fogones fueron colocados desde la superficie de la capa con las ofrendas, lo que sugiere que ceremonias de depósito fueron asociadas con festines rituales, los cuales pudieron haber involucrado un gran número de gente, o quizás la comunidad más grande. Poder fechar muestras de carbono hallados en los fogones del Complejo A puede dar más información acerca de la fecha de complejo. El patio norte del Complejo A parece haber sido abandonado cuando se dejaron de hacer

prácticas rituales y construcción al final de la fase Chacahua. La Tabla 7.1 da una lista detallada de los niveles estratigráficos de la Operación A, empezando con el nivel más reciente y terminando con el nivel más viejo.

Tabla 7.1: Lista de niveles estratigráficos en la Operación A:

Estrato	Unidades	Descripciones de Munsell y Sedimento	Fecha Probable	Proceso de Formación	Commentarios
E1	Todas las unidades	10 YR 3/1; arena con migajón de color gris muy oscuro	Moderno	Suelo formado dentro del coluvión (E2)	Capa delgada de tierra formada en la superficie del suelo; se encuentra muy perturbada con grandes cantidades de material orgánico, grava, arena gruesa y cerámica; ver Figuras 7.6-7.15, 7.20-7.32.
E2	*Todos excepto 10D, 10E, 10F, 13E*	*10 YR 3/2;* Migajón arenoso de color gris-café muy oscuro	Pos-Formativo o moderno	Coluvión	Coluvión (25-45cm de grueso) depositado encima del estrato ocupacional de la Operación A; cuenta con sedimento de migajón arenoso con inclusiones gruesos de arena y pedazos de piedra, mica, cerámica erosionad, piedras, y bajareque; contiene una alta frecuencia de madrigueras y perturbaciones por raíces; muy suelto; ver Figuras 7.6 -7.12, 7.14, 7.20-7.32
E3	11J	10 YR 2/1; Migajón arenoso de color negro	Miniyua tardío-Chacahua	Fogón	Fogón poco profundo de diámetro desconocido excavado desde la superficie de E17-s1 en la unidad 11J; lleno de sedimento migajón-arenoso, material orgánico, ceniza, cerámica y pequeñas piedras; ver Figuras 7.32-7.34.
E4	9O, 10O	10 YR 3/2; Arena con migajón de color café-gris muy oscuro	Miniyua tardío-Chacahua	Relleno de pozo	Pequeño pozo poco profundo (25 cm de profundo) excavado desde la cima de E17-s1 y ligeramente dentro de E26-s1; pozo lleno de sedimento muy parecido a E17-s1 pero con incisiones más gruesas y menos cerámica; el sedimento es más oscuro que E26-s1; pocos artefactos; el límite entre E4 y E17-s1 no está claro; ver Figura 7.23

Estrato	Unidades	Descripciones de Munsell y Sedimento	Fecha Probable	Proceso de Formación	Commentarios
E5	10H	10 YR 3/3; Migajón arenoso de color café oscuro	Miniyua tardio-Chacahua	Relleno de pozo	Pozo ancho de aproximadamente 22cm de profundo excavado desde la cima de E17-s3; llenado con migajón arenoso no muy organizado con granos angulares e inclusiones de arena gruesa, mica, y cerámica; menos inclusiones que en E17-s3; sedimento suelto (más suelto que E17-s3); ver Figura 7.12
E6	17M	10 YR 2/1; Migajón limoso de color negro	Miniyua tardío-Chacahua	Fogón	Fogón ancho y poco profundo (18cm de profundo) excavado desde la superficie de E17-s1; consiste en sedimento fino muy orgánico con ceniza, con más migajón que los otros fogones de la Op. A (E7, E8, E9 y E10); muy poca área en la matriz; carbono también detectado; concentración alta de cerámica
E7	8M, 8N, 9M, 9N	10 YR 3/1; Migajón arenoso de color gris muy oscuro	Miniyua tardío-Chacahua	Fogón	Fogón ancho y poco profundo (15cm de profundo) que corta desde la superficie de E17-s1 y poco dentro de E26-s1; la parte superior del fogón está lleno de piedras de tamaño mediano; las piedras no están marcadas por el calor; el sedimento es cenizo y orgánico con inclusiones de piedras quebradizas y machucadas y cerámica erosionada; no visible en perfil, ver Figura 7.34
E8-s2	*15N, 15O*	*10 YR 3/2;* Migajón arenoso de color café grisáceo muy oscuro	Miniyua tardío-Chacahua	Fogón	Sub-estrato superior de un fogón ancho de 30cm de profundo excavado dentro de la superficie de E17-s1 y poco dentro de E26-s1; contiene material orgánico y una concentración grande de ceniza; bien organizado; contiene arena gruesa; menos orgánico y más claro en color que E8-s1; contiene piedras quebradas por el calor de tamaño pequeño y mediano; ver Figuras 7.26, 7.34.

Estrato	Unidades	Descripciones de Munsell y Sedimento	Fecha Probable	Proceso de Formación	Commentarios
E8-s1	15N, 15O	10 YR 2/1; Migajón de color negro	Miniyua tardío-Chacahua	Fogón	Sub-estrato inferior de un fogón que corta desde la parte superior de E17-s1 y poco dentro de E26-s1; consiste en migajón muy orgánico con una concentración muy alta de ceniza, pedazos de carbono, mica y arena gruesa así como piedras quebradizas y cerámica; ver Figura 7.26, 7.34
E9-s2	9N, 10N	10 YR 3/1; Migajón margoso de color gris muy oscuro	Miniyua tardío-Chacahua	Fogón	Sub-estrato superior de un fogón excavado desde la superficie de E17-s1 y un poco dentro de E26-s1; consiste en material orgánico y ceniza; bien organizado; contiene arena gruesa; menos orgánico y de color más claro que E9-s1; ver Figuras 722, 7.26, 7.34
E9-s1	9N, 10N	10 YR 2/1; Migajón negro	Miniyua tardío-Chacahua	Fogón	Sub-estrato inferior de un fogón excavado desde la superficie de E17-s1 y un poco dentro de E26-s1; consiste en migajón muy orgánico con ceniza, carbono, mica y arena gruesa así como pequeñas piedras quebradizas y cerámica; ver Figura 7.22, 7.34
E10	12Q, 12R	10 YR 2/1; arena con migajón de color negro	Miniyua tardío-Chacahua	Fogón	Fogón excavada desde la superficie de E17-s1 y de la parte superior de E26-s1; lleno de arena con migajón con inclusiones de gravilla, ceniza, carbono, piedras pequeñas de tamaño pequeño y mediano, y cerámica erosionada; muchas piedras incluidas dentro del fogón fueron cortadas; el sedimento es bastante suelto; el fogón es ancho en la interface con E17-s1 y más delgada en su base; ver Figura 7.6, 7.34

Estrato	Unidades	Descripciones de Munsell y Sedimento	Fecha Probable	Proceso de Formación	Commentarios
E18-s1	Todos excepto 4J, 10A, 10B, 10D, 10E, 10F, 10G, 10H, 10I, 11F, 13E, MU1	Sin Munsell; vasijas de ofrendaa	Miniyua tardío-Chacahua	Vasijas de ofrenda	Depósito de 260 vasijas de cerámica colocadas dentro de E17 como parte de una ofrenda tras un largo periodo de tiempo; las vasijas fuer colocadas dentro de compartimientos (E18-s2) hechas de lajas delgadas de piedra; la mayoría estas (94%) son de tipo café grueso no diagnostico; las vasijas diagnosticas incluyen siete de tipo café fino de la fase Miniyua, cinco platos tipo gris con incisiones plásticas de la fase Chacahua; tres platos tipo gris con curva hacia el interior que provienen probablemente del periodo de transición entre las fases Miniyua y Chacahua y un plato tipo gris que, por sus similitudes morfologías con las vasijas de la fase Coyuche, pertenece posiblemente a la fase más temprana del periodo Clásico; las formas de las vasijas varían pero consisten principalmente de vasijas cilíndricas de varios tamaños, jarros de cuello corto o sin cuello, y jarros miniaturas; algunas de las vasijas tienen tapa, a veces hecha de pasta diferente que la vasija misma; ver Figuras 7.8, 7.25, 7.37-7.40

Estrato	Unidades	Descripciones de Munsell y Sedimento	Fecha Probable	Proceso de Formación	Commentarios
E18-s2	Todas exceptas 4J, 10A, 10B, 10D, 10E, 10F, 10G, 10H, 10I, 11F, 13E, MU1	Sin Munsell; lajas de piedra (granito)	Miniyua tardío-Chacahua	Marcadores de ofrenda o compartimientos.	Lajas de piedra grabas o naturales de entre 1cm a más de 4cm de grueso colocadas en posición vertical dentro del relleno de la ofrenda (E17-s1, E17-s3); movimiento pos-deposicional probablemente explica las cuantas lajas halladas en posición horizontal; las lajas fueron frecuentemente orientadas para formar "compartimientos" triangulares o cuadrados dentro de los cuales las vasijas de ofrenda (E18-s1) fueron colocadas; también colocadas en líneas eran varias lajas verticales posiblemente una forma convencional de indicar ofrendas particulares; la parte superior de algunas de las lajas parecían haber sido rotas, indicando actividades de apisonado; tipos/tamaños de las lajas no parecen ser estandarizo; a veces compartimientos fueron colocados encima de otros; las lajas eran principalmente orientadas con, o perpendicular a la orientación del sitio (25°-205° con el azimut norte-sur); contiene varios compartimentos individuales pero para que se mas conveniente están asignados un solo número de elemento; ver Figuras 7.6, 7.8, 7.10, 7.20-7.22; 7.24-7.29, 7.31-7.32, 7.37-7.40

Estrato	Unidades	Descripciones de Munsell y Sedimento	Fecha Probable	Proceso de Formación	Commentarios
E11-s1	10D, 10E, 10F	10 YR 3/3; marga limosa de color café oscuro	Miniyua tardío-Chacahua temprano	Relleno de construcción no consolidado	Relleno depositado sobre un desagüe (E20) del lado oeste de la estructura 2 en el complejo A; consiste de marga limosa mal organizada con granos angulares-subangulares e inclusiones de mica, arena gruesa, gravilla, piedras, y cerámica; gran cantidad de perturbaciones por raíces; sedimento muy compacto y grueso pero con pequeñas áreas de limo fino; sub-estrato está mezclado en el perfil; más compacto que E11-s2 y E19; el relleno esta contenido por los muros de contención de piedra E13, E14, E15 y E16; ver Figuras 7.12-7.14.
E11-s2	11F, 13E	10 YR 3/3; marga limosa de color café oscuro	Miniyua tardío-Chacahua temprano	Relleno de construcción no consolidado	Relleno depositado sobre E19 en 11F y E11-s3 y E21-s9 en la unidad 13E; probablemente de una fuente parecida al sedimento que forma E11-s1; consiste de marga limosa mal organizado con cerámica, piedras y grava; menos inclusiones que en E11-s1; los granos aparecen generalmente más redondeados que los en E21-s5; el relleno esta contenido por los muros E13, E14, E15 y E16; ver Figuras 7.13, 7.15
E11-s3	13E	10 YR 4/3; marga arenosa de color café	Miniyua tardío-Chacahua temprano	Relleno no consolidado	Relleno depositado sobre E21-s9 en la unidad 13E; marca entre E11-s3 y E11-s2 no está clara; consiste de marga arenosa poco organizada con granos angulares-subredondeados e inclusiones de grava, mica, y cerámica; de color más claro que E11-s2; relleno esta contenido por los muros de piedra E13, E14, E15 y E16; ver Figura 7.15

Estrato	Unidades	Descripciones de Munsell y Sedimento	Fecha Probable	Proceso de Formación	Commentarios
E12	10A, 10E	Sin Munsell; piedra de granito	Miniyua tardío-Chacahua temprano	Posible escalón	Lina de piedras al sur de, y paralelo a, el muro del cimiento (E14) del Edificio 1 del Complejo A; se puede tratar de un escalón; el sedimento contendido por E12 no fue excavado; ver Figura 7.16
E13	n/a	Sin Munsell; piedra de granito	Miniyua tardío-Chacahua temprano	Muro de contención de un edificio	Muro este de la Estructura 2 en el Complejo A; corre norte-sur por aproximadamente 4m; detectado únicamente en superficie (no excavado); muro contiene probablemente el sedimento depositados durante el episodio de relleno E11; ver Figura 7.16
E14	n/a	Sin Munsell; piedra de granito	Miniyua tardío-Chacahua temprano	Muro de contención de un edificio	Muro sur de la Estructura 2 del Complejo A; corre este-oeste por aproximadamente 13m; detectado únicamente en superficie (no excavado); muro contiene probablemente el sedimento depositado durante el episodio de relleno E11; ver Figura 7.16
E15	n/a	Sin Munsell; piedra de granito	Miniyua tardío-Chacahua temprano	Muro de contención de un edificio	Muro oeste de la Estructura 2 en el Complejo A; corre norte-sur por aproximadamente 4m; detectado únicamente en superficie (no excavado); muro contiene probablemente el sedimento depositado durante el episodio de relleno E11; ver Figura 7.16
E16	10G	Sin Munsell; piedra de granito	Miniyua tardío-Chacahua temprano	Muro de contención de un edificio	Muro norte de la Estructura 2 en el Complejo A; el muro consiste de 2 niveles de piedras cortadas que corre este-oeste por aproximadamente 13 m; construido sobre el desagüe de piedra E20; muro contiene probablemente el sedimento depositado durante el episodio de relleno E11; ver Figura 7.12-7.14, 7.16

Estrato	Unidades	Descripciones de Munsell y Sedimento	Fecha Probable	Proceso de Formación	Commentarios
E17-s1	Todas excepto 10A, 10B, 10D, 10E, 10F, 10G, 10H, 10I, 11F, 13E, MU1	10 YR 3/2; arena con migajón de color café grisáceo muy oscuro	Miniyua tardío-Chacahua temprano	Relleno de ofrenda	Sub-estrato de relleno que cubre las lajas de los compartimientos/marcadores (E18-s2) y las vasijas de ofrenda (E18-s1) en el patio norte de la Estructura 2; depositado y trabajado por largos periodos de tiempo; el sedimento consiste en arena con migajón mal organizada con granos subangulares-subredondeados y inclusiones de pequeñas piedras, cerámica, grava, bajareque quemado, arena gruesa y mica; más suave que los sub-estratos en E26; más compacto que las capas de coluvión más arriba (E2) pero con menos inclusiones y perturbaciones; el desagüe de piedra (E20) fue construido para llevar agua lejos de E17; ver Figuras 7.6 - 7.11, 7.20 – 7.29, 7.31 – 7.32
E17-s2	18R, 18S	10 YR 2/2; Migajón arenoso de color café muy oscuro	Miniyua tardío-Chacahua temprano	Relleno de ofrenda	Sedimento muy parecido a E17-s3 pero sin compartimientos de piedra (E18-s2) ni vasijas (E18-s1); ver Figura 7.30
E17-s3	10G, 10H	10 YR 2/2; Migajón arenoso de color café muy oscuro	Miniyua tardío-Chacahua temprano	Relleno de ofrenda	Sub-estrato de relleno asociado con la ofrenda E18; colinda con la capa de relleno sobre la cual la Estructura 2 está construida (E26-s1); ninguna vasija de ofrenda (E18-s1) ni laja de piedra (E18-s2) fue detectada dentro de E17-s3; el sedimento consiste en migajón arenoso mal organizado con granos angulares e inclusiones de mica, arena gruesa y cerámica; el límite entre E17-s4 y E17-s1 no está claro al norte de 10H; más compacto y más oscuro que E17-s1; ver Figura 7.12

Estrato	Unidades	Descripciones de Munsell y Sedimento	Fecha Probable	Proceso de Formación	Commentarios
E17-s4	10H	5 YR 4/6; Migajón arenoso arcilloso de color rojo amarillento	Miniyua tardío-Chacahua temprano	Relleno de ofrenda	Pequeña capa/sub-estrato de relleno depositado durante la deposición de E17-s3; contiene migajón arenoso arcilloso mal organizado con granos angulares e inclusiones de cerámica quebrada y grava; quizás bajareque desintegrado; la arcilla pudo haber sido calentada o cocida; ver Figuras 7.12, 7.14
E17-s5	16N, 16O, 16P	10 YR 4/2; arena con migajón de color café grisáceo oscuro	Miniyua tardío-Chacahua temprano	Relleno de ofrenda	Sub-estrato de relleno que cubre los compartimientos/marcadores de piedra (E18-s2) y vasijas de ofrenda (E18-s1) en el patio norte de la Estructura 2; depositado y trabajado tras un largo periodo de tiempo; muy parecido a E17-s1 en composición pero de color más claro/grisáceo; el límite entre E17-s1 y E17-s5 no está claro; ver Figura 7.11
E17-s6	13N, 13O	10 YR 3/3; Migajón arenoso de color café oscuro	Miniyua tardío-Chacahua temprano	Relleno de ofrenda	Pequeña capa de relleno depositado durante el depósito de E17; probablemente llena un pequeño pozo o depresión; el sedimento consiste de migajón arenoso mal organizado con granos sub-redondeados e inclusiones de mica y grava, pequeñas piedras y cerámica; una concentración de mica más alta que E17-s1; ver Figura 7.8

Estrato	Unidades	Descripciones de Munsell y Sedimento	Fecha Probable	Proceso de Formación	Commentarios
E19	*11F*	*10 YR 4/4;* Migajón arenoso de color café amarillento	Miniyua tardío-Chacahua temprano	*Relleno de construcción*	Relleno depositado encima del desagüe de piedra (E20); la matriz del sedimento consiste de migajón arenoso moderadamente organizado con granos sub-angulares e inclusiones de mica, arena gruesa, grava y cerámica erosionada; más claro y amarillo en color y con más grava que E21-s1; más compacto que E11-s2; relleno esta contenido por muros de cimiento (E13, E14, E15, E16); ver Figura 7.13
E20-s1	10D, 10E, 10F, 10G	Sin Munsell; piedra de granito	Miniyua tardío-Chacahua temprano	Desagüe de piedra	Base del desagüe de piedra con forma cuadrada que corre debajo del edificio del Complejo A; lajas de granito depositados horizontalmente decima de E21-s1; recubierto por relleno E19; construido para llevar agua lejos de E18; ver Figura 7.13
E20-s2	10D, 10E, 10F, 10G	Sin Munsell; piedra de granito	Miniyua tardío-Chacahua temprano	Desagüe de piedra	Lado este del desagüe de piedra de forma cuadrada debajo del edificio del Complejo A; una sola capa de lajas de granito depositado de manera vertical encima de E20-s1 y/o E21-s1; cubierto por relleno E19; construido para llevar agua lejos de E18; ver Figuras 7.12-7.13
E20-s3	*10D, 10E, 10F, 10G*	Sin Munsell; piedra de granito	Miniyua tardío-Chacahua temprano	Desagüe de piedra	Lado oeste des desagüe cuadrado debajo de la Estructura 2; una sola fila de lajas de granito depositado verticalmente encima de E20-s1 y/o E21-s1; cubierto por relleno E19; construido para llevar agua lejos de E18; ver Figura 7.13

Estrato	Unidades	Descripciones de Munsell y Sedimento	Fecha Probable	Proceso de Formación	Commentarios
E20-s4	10D, 10E, 10F, 10G	Sin Munsell; piedra de granito	Miniyua tardío-Chacahua temprano	Desagüe de piedra	Lajas que cubren el desagüe cuadrado debajo de la Estructura 2; una sola fila de lajas de granito depositado horizontalmente encima de E20-s1 y/o E21-s1; cuberito por relleno de E19; construido para llevar agua lejos de E18; ver Figura 7.13
E21-s1	11F, 10G, 10H	10 YR 4/3; Migajón arenoso de color café	Miniyua tardío-Chacahua temprano	Relleno de construcción no consolidado	Sub-estrato inicial de relleno depositado encima de la roca madre (N1) en la unidad 11F; consiste de migajón arenoso con granos angulares-subredondeados e inclusiones de grava, mica, arena gruesa, pequeñas piedras quebradizas, y cerámica; mediamente compacto y ligeramente limoso; más oscuro en color que E21-s4, E21-s5 y E19; muy parecido en composición a E21-s3; más ligero en color a E21-s2; contiene pocos tepalcates la mayoría de los cuales son muy erosionados; E20 (el desagüe) construido encima de E21-s1; ver Figura 7.12-7.14

Estrato	Unidades	Descripciones de Munsell y Sedimento	Fecha Probable	Proceso de Formación	Commentarios
E21-s2	11F	10 YR 3/1; Migajón arenoso de color gris muy oscuro	Miniyua tardío-Chacahua temprano	Relleno de construcción no consolidado	Sub-estrato de relleno encima de E21-s1; incluye escombro redepositado de un evento de quema temprano durante la secuencia constructiva del Complejo A; consiste de migajón arenoso moderadamente organizado con material orgánico quemado, ceniza, mica y cerámica; la cantidad de mica es alta comparada con los otros sub-estratos del E21; más oscuro y blando que los sub-estratos alrededor; de manera alternativa puede representar un pozo excavado dentro de E21-s1 que fue rápidamente llenado durante la construcción de E21; ver Figura 7.13
E21-s3	11F	10 YR 4/3; Migajón arenoso de color café	Miniyua tardío-Chacahua temprano	Relleno de construcción no consolidado	Sub-estrato de relleno muy parecido a E21-s1; contiene migajón arenoso con granos sub-angualres e inclusiones de mica, arena gruesa y cerámica; representa probablemente una canasta de relleno depositado encima de E21-s2; de color más claro que E21-s2 pero más oscuro que E21-s4; ver Figura 7.13
E21-s4	11F, 13E	10 YR 4/3; arena con migajón de color café	Miniyua tardío-Chacahua temprano	Relleno de construcción no consolidado	Sub-estrato de relleno depositado encima de E21-s3; contiene arena con migajón mal organizado con granos angulares e inclusiones de mica, arena gruesa, y cerámica; de color más claro y con menos tepalcates que E21-s1 y E21-s3; en general menos inclusiones están presentes; ver Figura 7.13

Estrato	Unidades	Descripciones de Munsell y Sedimento	Fecha Probable	Proceso de Formación	Commentarios
E21-s5	11F	10 YR 4/4; Migajón arenoso de color café amarillento oscuro	Miniyua tardío-Chacahua temprano	Relleno de construcción no consolidado	Sub-estrato der relleno depositado encima de E21-s1, E21-s2, y E21-s4 en la unidad 11F; contiene migajón arenoso mal organizado con granos subangulares-redondos e inclusiones de mica, cerámica y grava; más suelto que E21-s1 y E19; de forma comparativa, tiene una cantidad más alta de cerámica; ver Figura 7.13
E21-s6	*13E*	*10 YR 4/3;* arena con migajón color café	Miniyua tardío-Chacahua temprano	Relleno de construcción no consolidado	Sub-estrato de relleno depositado encima de la roca madre en el área de la unidad 13E dentro del edificio; análogo a E21-s1; contiene arena con migajón mal organizado con granos subangulares-subredondeados e inclusiones de mica, arena gruesa y cerámica; contiene menos piedras pulverizadas que E21-s1; de color más claro que E21-s7; moderadamente compacto; más suelto que E21-s8 pero más denso que E21-s7; ver Figura 7.15
E21-s7	13E	10 YR 4/3; arena con migajón de color café	Miniyua tardío-Chacahua temprano	Relleno de construcción no consolidado	Sub-estrato de relleno depositado encima de E21-s6; probablemente corresponde al mismo evento de quema representado por E21-s2; la capa delgada consiste de arena con migajón con granos sub-redondeados e inclusiones de ceniza, arena gruesa, pequeñas piedras y cerámica erosionada; capa no contiene tanto material orgánico quemando como E21-s2, no se detectó ningún rasgo de carbono durante las excavaciones; moderadamente compacto; más suelto que E21-s9 y E21-s8; ver Figura 7.15

Estrato	Unidades	Descripciones de Munsell y Sedimento	Fecha Probable	Proceso de Formación	Commentarios
E21-s8	13E	10 YR 4/3; Migajón arenoso de color café	Miniyua tardío-Chacahua temprano	Relleno de construcción no consolidado	Sub-estrato de relleno depositado encima de E21-s7; contiene Migajón arenoso con granos subangulares-redondeados e inclusiones de grava, pequeñas piedras angulares y cerámica erosionada; de color más claro que E21-s9 y E21-s7; el sedimento es más compacto y contiene pocas inclusiones; ver Figura 7.15
E21-s9	13E	10 YR 4/3; arena con migajón de color café	Miniyua tardío-Chacahua temprano	Relleno de construcción no consolidado	Sub-estrato de relleno depositado encima de E21-s7 y E21-s8; consiste en arena con migajón mal organizada con granos angulares e inclusiones de grava, mica, piedras pequeñas y cerámica; aumento importante de inclusiones en comparación con el subes tratos de E21 inferiores y superiores; sedimento es muy compacto; ver Figura 7.15
E21-s10	11F	10 YR 4/4; Migajón arenoso de color café amarillento oscuro	Miniyua tardío-Chacahua temprano	Relleno de construcción no consolidado	Consiste de pedazos no consolidados de migajón arenoso con mica, arena gruesa e inclusiones de cerámica moderadamente organizado; depositado durante la deposición de E21-s5; ver Figura 7.13
E22	12L	10 YR 2/1; arena con migajón de color negro	Miniyua tardío-Chacahua temprano	Fogón	Pequeño fogón excavado desde la superficie de E26-s1 en la unidad 12L; aproximadamente 10cm de profundo; consiste en arena con migajón muy orgánica con material quemado, carbono, ceniza y piedras pequeñas y medianas; piedras sin rasgo de calor; no visible en perfil; ver Figura 7.34

Estrato	Unidades	Descripciones de Munsell y Sedimento	Fecha Probable	Proceso de Formación	Commentarios
E23	15L	10 YR 2/2; Migajón de color café muy oscuro	Miniyua tardío-Chacahua temprano	Fogón	Pequeño fogón poco profundo excavado desde la superficie de E26-s1 en la Unidad 15L; menos profundo que E24; consiste de sedimento con material orgánico, ceniza, mica, arena gruesa, y cerámica erosionada; sedimento es moderadamente organizado; de color más claro que E24; ver Figura 7.9, 7.34
E24-s1	15K, 15L	10 YR 2/1; Migajón de color negro	Miniyua tardío-Chacahua temprano	Fogón	Sub-estrato inferior de un fogón excavado desde la cima de E26-s1; consiste en migajón bien organizado con una concentración muy alta de material orgánico quemado, carbono, y ceniza; contiene arena gruesa, mica y pequeños tepalcates erosionados; ligeramente más oscuro y más compacto que E24-s2; ver Figura 7.9, 7.34
E24-s2	15K, 15L	10 YR 2/1; Migajón negro	Miniyua tardío-Chacahua temprano	Fogón	Sub-estrato superior de un fogón excavado desde la superficie de E26-s1; consiste de migajón bien organizado con ceniza, mica, arena gruesa y cerámica; carbono no tan presente como en E24-s1; más fino, más suave, y de color más claro que E24-s1; posibles pierdas calentadas también in este sub-estrato pero sin evidencia de haber sido quebradas por el calor; ver Figura 7.9, 7.34
E25	12L, 13L, 14L	Sin Munsell; Vasijas de ofrenda	Miniyua tardío-Chacahua temprano	Vasijas de ofrenda	Vasijas de ofrenda depositado dentro de la capa de relleno E26-s1 en el patio norte del Complejo A antes de la deposición del relleno superior (E17-s1, E17-s3, E17-s4, E17-s5), lajas de granito (E18-s2), y vasijas de ofrenda (E18-s1)

Estrato	Unidades	Descripciones de Munsell y Sedimento	Fecha Probable	Proceso de Formación	Commentarios
E26-s1	Todos excepto 10A, 10B, 10D, 10E, 10F, 10G, 10H, 11F and 13E	10 YR 4/3; arena con migajón de color café	Miniyua tardío-Chacahua temprano	Relleno de construcción no consolidado	Relleno de construcción sobre el cual la gran ofrenda de la Op. A (y todos los sub-estratos dentro de E17) fueron depositados; consiste de una matriz moderadamente organizada de arena con migajón y muy gruesa con granos angulares e inclusiones de grava, mica y cerámica; estrato contiene más inclusiones (cerámica y grava) que E27, per menos que E17-s1; el sedimento es más densamente compacto y más grueso que E6-s1; de color más claro que E27; ver Figuras 7.6-7.10, 7.20-7.29
E26-s2	16O	10 YR 4/4; arena con migajón color café	Miniyua tardío-Chacahua temprano	Relleno de construcción no consolidado	Relleno no consolidado parecido a E26-s1 y E26s-5; ver Figura 7.11, 7.24
E26-s3	13K, 13L, 14M	10 YR 5/3; Migajón color café	Miniyua tardío-Chacahua temprano	Relleno de construcción no consolidado	Sub-estrato del episodio de relleno de E26 que cubre E26-s4 en la esquina sureste del patio norte en el Complejo A; consiste de migajón moderadamente organizado con inclusiones de arena gruesa, mica, piedras, y cerámica; ver Figuras 7.8, 7.10
E26-s4	*13K, 13L, 14M*	*10 YR 3/3;* arena con migajón de color café oscuro	Miniyua tardío-Chacahua temprano	Relleno de construcción no consolidado	Sub-estrato del episodio de relleno de E26 en la esquina sureste del patio norte en el Complejo A; consiste en arena con migajón mal organizada con granos subangulares e inclusiones de arena gruesa, mica y ceramica; contiene tambien pequenas piedras cortadas, algunas de las cuales son quebradas por el calor; no hay ceniza presente; ver Figuras 7.8, 7.10
E26-s5	8M, 9M	10 YR 4/3; arena con migajón color café	Miniyua tardío-Chacahua temprano	Relleno de construcción no consolidado	Muy parecido a E26-s1 pero con granos más gruesos y generalmente menos artefactos; ver Figura 7.10

Estrato	Unidades	Descripciones de Munsell y Sedimento	Fecha Probable	Proceso de Formación	Commentarios
E27	12O	10 YR 5/3; arena con migajón color café	Miniyua tardío-Chacahua temprano	Relleno de construcción no consolidado	Sub-estrato del primer episodio de construcción en el área de la Op. A; consiste en arena con migajón gruesa con granos subangulares e inclusiones de grava, mica particular, y cerámica; aproximadamente 40cm de grueso y con pendiente hacia abajo al norte; ver Figura 7.6
N1	4J, 10H, 11F, 12J, 12O, 13J, 13L, 14J, 14M, 15J, 15K, 15L, 15M, 16O, 16P	Sin Munsell; roca madre gruesa	N/A	Roca madre natural	Roca madre natural; sin artefactos; las unidades designadas incidan áreas donde la roca madre fue removida; la excavación en las otras unidades se dieron por terminadas una vez que se llegó a la roca madre al menos que fue indicado; ver Figuras 7.6-7.11, 7.13, 7.30

7.2.2 Historia Ocupacional

La evidencia más temprana de la ocupación en el área norte del Complejo A es E27, una capa de arena con migajón de 40cm de grueso, depositada directamente encima de la roca madre (N1). La evidencia estratigráfica de la Unidad 12P (el único pozo de sondeo donde E27 fue expuesto) indica que la superficie de N1 en el centro de la Op A era considerablemente más bajo en comparación en las áreas al este y al sur. Los constructores depositaron E27 para levantar la superficie del terreno de 50-60 cm para llegar a una elevación de 168.7-168.8 msnm, lo cual proveyó una superficie nivelada para construcción futura (Figura 7.6). Las unidades restantes en la Op. A no fueron excavadas hacia la roca madre, por lo tanto no se sabe hasta donde se extiende E27 fuera de la Unidad 12P. Con la excepción de un pequeño tiesto de cerámica perteneciendo a la fase Chacahua, toda la cerámica diagnostica recuperada de E27 es de la fase Minizundo. Sin embargo, estos tiestos eran pequeños y erosionados, indicando que fueron excavados de depósitos de la fase Minizundo afuera del Complejo A. Mientras que

la fecha de E27 no está clara, es probable que fue depositado durante el periodo Formativo terminal, dado la fechas de los elementos superiores (ver abajo).

Despues de terminar E27, los constructores empezaron otro episodio de construccion que incluyo las capas de relleno E21 y E26. E26 levantó la superficie del patio norte de 20-25cm adicionales, cubriendo E27 en el centro del patio (unidad 12P; Figura 7.6) y N1 al norte, sur, y este de las areas expuestas por las unidades 4J (Figura 7.7), 13L (Figura 7.8), 15J, 15K, 15L (Figura 7.9), 15M (Figura 7.10) y 16P (Figura 7.11). Todas las otras unidades excvadas en la parte norte de la Op. A no llegaron a la roca madre. Las excavaciones en la unidad 12P no detectaron desecho ocupacional ni pisos conservados entre E27 y E26, indicando un pequeño periodo de descanso entre estas dos fases de construcción. E26 está representado principalmente por el sub-estrato E26-s1, una capa de relleno arena con migajón no consolidado compacto de color café amarillento oscuro que levanto la superficie del área norte del Complejo A a una elevación de 169.2-169.6 msnm[1]. E26 fue probablemente depositado utilizando canastas llenadas de tierra sacado desde depósitos cercas de sedimento. Durante este periodo, la parte norte de la Terraza 11 se convirtió en un área enfocada en actividades de cocina que probablemente provisionaron festines que se llevaron a cabo en el centro ceremonial. Varios fogones fueron excavados desde la cima de E26-s1, incluyendo E24 en las unidades 15K y 15L (Figuras 7.9), E23 en la unidad 15L (Figura 7.9) y E22 en la unidad 12L (no visible en perfil). Cada fogón fue llenado de sedimento con migajón muy oscuro y orgánico conteniendo ceniza y a veces pedazos de carbono. Análisis macrobotánicos de E22, E23, y E24 están pendientes.

Al sur de E26, los constructores depositaron E21, una serie de capas arenosas de composición variada que cubrió la roca madre con 50-60cm de sedimento (unidades 10F, 10G, 10H, 11F y 13E; ver Figuras 7.12, 7.13, 7.14 y 7.15). E21 levantó la superficie del suelo a aproximadamente 169.7 msnm,

[1] Se observó variaciones en la composición del sedimento de E26. Ver descripciones en la Tabla 7.1 de E26-s3 y E26-s4 en las unidades 13L, 13K, y 14M, E26-s5 en las unidades 8M, 9M y E26-s2 en la unidad 160 y E2-s5 en las unidades 8M y 9M

creando una pequeña plataforma o montículo. Similitudes en la composición del sedimento en E21 y E26, en especial en las cantidades de inclusiones de arena gruesa en cada estrato, indica que los constructores tomaron el sedimento de fuentes locales en el cerro. Mientras que pocos tiestos diagnósticos fueron recuperados en E21, la evidencia cerámica de la unidad 13E, que llego hasta la roca madre, demuestra que E21 pertenece al periodo Formativo terminal. Sub-estratos dentro de E21 variaron de forma considerable. Por ejemplo, la presencia de ceniza y elementos orgánicos quemados dentro de la matriz de E21-s2 (unidad 11F) y E21-s7 (unidad 13E), esta diferente a las capas más gruesas y arenosas (E21-s1 y E21-s6) que éstas cubren, ambos de las cuales no contenían material quemado. La variabilidad en el contenido del sedimento sugiere que los constructores depositaron canastas llenas de relleno no consolidado, algunas de las cuales incluían material orgánico quemado, para construir el montículo bajo. Los excavadores no detectaron ninguna superficie ocupacional en la cima de E21, indicando que la construcción en la Estructura 2 continuó poco después que el montículo fue completado.

La superficie de E21 formó la plataforma constructiva de la Estructura 2, un edificio rectangular de 4m x 13m con un cimiento de piedra que contenía probablemente una estructura de bajareque. En la superficie de E21, los constructores hicieron un desagüe cuadrado de piedra (E20) que llevo el agua fuera de la terraza (Figuras 7.12, 7.13, 7.16 y 7.17). Los excavadores descubrieron la punta de entrada del desagüe en la unidad 10G pero no pudieron ubicar su punto terminal, el cual probablemente dio vuelta hacia el oeste para llevar el agua fuera del lado oeste de la Terraza 1 (Figuras 7.18 y 7.19). El desagüe fue cubierto por una capa de relleno de migajón con arena (E19) que también cubrió E21.

Después, los constructores hicieron la Estructura 2 encima de la plataforma baja creada por E21 y E19. El edificio consiste de cuatro muros de contención y de dos niveles de piedra cada uno (E16 corresponde al muro norte, E14 al muro sur, E13 al muro este), que forman un cimiento rectangular de 4m x 13m. E16, E15, E14 y E13 contienen E11, un episodio de relleno de construcción que lleno el

interior de la estructura 2 con sedimento de migajón compacto. Es probable que la superficie del interior ocupacional de la Estructura 2 fue localizada encima de E11, pero cualquier piso o desecho ha sido deslavado. Debajo y al sur de E14, los constructores hicieron una escalera (E12) que sube hacia el cimiento del edificio, lo que puede indicar que la entrada del edificio fue localizada en el muro sur. Los excavadores no detectaron ninguna estructura derrumbada encima del cimiento, pero esto puede ser por la descomposición o erosión de los materiales de construcción. Fragmentos de bajareque quemado con impresiones de cañas fueron encontrados en el relleno adyacente al norte (E17, ver abajo) en las unidades 10O y 8M, lo que puede representar desecho de una subestructura caída de bajareque. Sin embargo, las muestras eran pequeñas (22g y 16g, respectivamente) y pudieron haber sido redepositado de otras partes del sitio.

Durante la construcción de la Estructura 2, el patio norte volvió a ser cubierto por la adición de 20-40cm de arena suelta (E17) que cubrió E26 y levanto la superficie a 169.5-169.9 msnm (ver Figuras 7.20-7.32). La superficie de E17 articuló con la parte superior del desagüe en la unidad 10G, indicando que el desagüe fue utilizado para llevar agua que sobraba lejos de la superficie ocupacional y fuera de la Terraza 11. En esta época, los residentes de Cerro de la Virgen empezaron a llevar a cabo ceremonias de depósito ritual en el patio norte, lo que incluía la colocación de una ofrenda elaborada (E18) dentro de E17. E18 también entro un poco dentro de E26. E18 consistió en 260 vasijas de cerámica (E18-s1) colocadas en secuencia dentro de compartimientos hechos de lajas de piedra (E18-s2). Las lajas, que median entre 0.8 a más de 0.5cm de grueso fueron excavadas de afloramientos locales de granito o fueron recolectadas mientras que se exfoliaban naturalmente (Raymond Mueller 2014, comunicación personal).

Las vasijas de ofrenda más tempranas fueron enterradas justamente debajo del interface entre E17 y E26 (169.4 msnm) en el área expuesto por las unidades 12L, 13L, y 14L (Figura 7.6). Los residentes de Cerro de la Virgen excavaron varios pozos pequeños desde la superficie de E17-s1 y colocaron cuatro

vasijas cilíndricas de tipo café grueso (E18-Ob256, E18-Ob258, E18-Ob259 y E18-Ob260), dos jarros de cuello corto de tipo café grueso (E18-0b254 y E18-Ob255) así como un jarro de cuello corto de tipo café fino (E18-Ob257). E18-Ob257 pertenece a la fase Miniyua, lo que sugiere que las vasijas de ofrenda inicial en E18 fueron depositadas cerca del final de la fase Miniyua o quizás durante la transición entre la fase Miniyua y Chacahua. Alternativamente, E18-Ob257 puede ser una vasija Miniyua que fue guardada y colocada durante la fase Chacahua, lo que haría que la ofrenda fue colocada totalmente durante el periodo Formativo terminal. De acuerdo con la evidencia estratigráfica, por lo menos tres lajas asociadas con las siete ofrendas salieron encima de la superficie de E26. Estas lajas no presentaron ninguna evidencia de daño o desgaste por el clima, indicando que E17 ya era en su lugar cuando la ofrenda empezó a ser depositada.

Aunque la mayoría (94%) de los elementos del E18-s1 consistió en vasijas tipo café grueso no-diagnósticos, la evidencia cerámica de E18 indica que la colocación de la ofrenda empezó en la parte final de la fase Miniyua y se extendió dentro de la fase Chacahua (ver Figuras 7.49 y 7.50). Vasijas diagnosticas dentro del depósito incluyeron sietes vasijas tipo café fino de varias formas que pertenecieron a la fase Miniyua, cinco platos de tipo gris con incisiones decorativas plásticas de la fase Chacahua, tres platos tipo gris con paredes curvadas hacia dentro que pueden pertenecer a una fase transicional entre las fases Miniyua y Chacahua. Uno de los platos tipo gris de la fase Chacahua puede pertenecer al inicio de la fase Clásico, ya que presenta similitudes morfologías con cerámica gris de la fase Coyuche. Sin embargo, esta fecha es tentativa.

La escala de E18 aumenta con el tiempo conforme depósitos adicionales de vasijas y compartimientos fueron colocados (Figuras 7.41-7.46). Los excavadores hallaron 253 vasijas adicionales depositadas completamente dentro del relleno de E17. El relleno arenoso (E17-s1, E17-s2, E17-s3, E17-s4, E17-s5 y E17-s6) que tapó la ofrenda era de sedimento suelto y moteado, indicando que los residentes depositaron, excavaron, y volvieron a trabajar E17 de manera continua para colocar nuevas

ofrendas y recuperar las que ya eran en su lugar (Figura 7.47). Las excavaciones también expusieron varios instantes en donde las vasijas y las lajas fueron colocadas directamente encima de ofrendas previas. Por ejemplo, el área de la ofrenda expuesta en la Unidad 13L, una vasija cilíndrica de tipo café grueso (E18-Ob61) fue colocada directamente encima de una ofrenda cilíndrica más temprana (E18-Ob67; Figura 7.48).

Lajas delgadas de piedra (E18-s2) frecuentemente fueron arregladas para formar "compartimientos" cuadrados o triangulares que contenían una ofrenda o más. Los compartimientos también podían tener filas de dos o más de una docena de lajas paralelas. La mayoría de las lajas paralelas eran orientadas verticalmente, aunque movimiento pos-deposicional hizo que algunas se cayeron o se inclinaron hacia un lado. Un ejemplo de un compartimiento que no tenía ninguna ofrenda fue registrado, lo que puede indicar que las valijas fueron sacadas o reemplazadas en varios momentos, o, que los compartimientos fueron construidos en anticipación a ofrendas futuras. El carácter moteado del sedimento en E17 no permitió determinar si cada laja de un grupo particular fue depositada al mismo tiempo o si fueron colocadas individualmente sobre un periodo más amplio. Muchas de las vasijas de ofrendas fueron acompañadas por tapas de cerámica, algunos con mangos planos, circulares o puntiagudos, lo que sugiere que la gente pudo haber colocado elementos o materiales perecederos dentro de las vasijas (ver Figuras 7.49 y 7.50). Las tapas de los jarros de cuello corto más pequeños, jarros sin cuello, o vasijas cilíndricas con diámetros más pequeños eran típicamente más planos con magnos puntiagudos, rectangulares o circulares, o sin mango. Vasijas más grandes y vasijas cilíndricas fueron ocasionalmente emparejadas con pequeños platos cilíndricos con muros con curva hacia fuera que sirvieron como tapas. Muchas vasijas no tenían tapas, pero es posible que las tapas de algunas vasijas se rompieron y se cayeron dentro de la vasija. Mientras que el sedimento interior de la mayoría de las vasijas conservadas del patio norte fue conservado para análisis futuro, diez vasijas de área de la ofrenda fueron excavadas para investigar su contenido. Ninguna tenía objetos especiales o material

detectable a simple vista, lo que sugiere que las vasijas contenían material perecedero o quizás eran vacías. El análisis de rastros y residuos de estas vasijas está por hacerse. Las excavaciones llevadas a cabo alrededor la Estructura 2 no revelaron ningún depósito parecido dentro del edificio, lo que sugiere que el patio norte era el área principal para dejar ofrendas rituales.

Durante la deposición de la ofrenda E18, los residentes de Cerro de la Virgen también llevaron a cabo otras actividades en el patio norte, incluyendo actividades de cocina para festines. Por lo menos seis fogones (E10 (Figura 7.6 y 7.15), E9 (Figura 7.3.24), E8 (Figura 7.52), E6 (Figura 7.10) y E3 (Figura 7.32)) fueron excavados desde la superficie de E17-s1. Cada uno de los fogones tenía sedimento oscuro y limoso con material orgánico quemado, y a veces carbono y piedras rotas por el calor. Los resultados del análisis de muestras sacadas de los fogones son pendientes. Además, dos pozos anchos y poco profundos fueron excavados, uno desde la superficie de E17-s1 en las unidades 9O y 10O (E4; Figura 7.22) y otro que cortó a través de E17-s7 en las unidades 10H y 10I (E3; Figura 7.13). E3 y E4 eran llenados de sedimento con migajón arenoso parecido a E17-s1 pero no parecen haber sido utilizado por actividades de quema o cocina.

Más tarde en la fase Chacahua, cuando se dejó de hacer prácticas de depósito y festines en el Complejo A, el área dejo de ser utilizado. Se dejó de mantener la superficie de E17 cuando el desagüe de piedra (E20) debajo de la Estructura 2 fue bloqueado con sedimento y el área fue cubierta por 25-40cm de coluvión suelto de color café-grisáceo (E2). El coluvión venia probablemente de la Terraza 10 y el patio alrededor de la Estructura 1 y se fue colectando en la superficie plana del patio norte. Los excavadores registraron capas dentro del E2 con cerámica de la fase Coyuche, indicando que la gente pudo haber continuado de visitar el sitio durante el periodo Clásico temprano. Otra alternativa seria que la cerámica de la fase Coyuche, que era pequeña y erosionada, puede haber sido llevado allí desde el coluvión arriba. Finalmente, una capa de suelo (E1) se desarrolló en la superficie de E2.

7.2.3 Resumen

Las operaciones más extensas de PRV13 en Cerro de la Virgen se hicieron en la Operación A. Estas consistían en excavaciones horizontales midiendo 69.25 m² en el patio norte y 6 m² adentro de la Estructura 2. Los habitantes de Cerro de la Virgen usaron el área de manera extensiva durante el periodo Formativo terminal para varias prácticas rituales, incluyendo la colocación de depósitos ceremoniales y la preparación de comida para festines. En algún momento durante la transición entre las fases Miniyua y Chacahua (ca A.D. 100), los constructores empezaron a construir la parte norte de la Terraza 11, utilizando sedimento de depósitos locales en el cerro. Algunas de las capas de relleno más tempranas incluyen sedimento de depósitos de la fase Minizundo, que demuestra que la gente ocupó el sitio tan temprano como el periodo Formativo terminal. Constructores hicieron la Estructura 2 encima de estas capas de relleno tempranas y crearon un patio plano al norte con el depósito de una capa de arena suelta. Agua fue llevada lejos del patio norte por un desagüe que pasaba debajo de la Estructura 2 hacia el sur. Excavaciones horizontales en el patio norte revelaron un depósito enorme (con un área de 62 m²) de 260 vasijas completas, las cuales, se presume, fueron colocadas dentro de pozos poco profundos excavados dentro del relleno suelto. Las vasijas tenían varias formas, incluyendo vasijas cilíndricas, jarros con cuello corto o sin cuello, platos con bordes que curvan hacia dentro, y varias formas excéntricas.

La evidencia estratigráfica y cerámica sugiere que la gente depositó las vasijas tras un periodo de tiempo extendido, colocándolas dentro de compartimientos hechos de lajas delgadas de granito proveniente de la roca madre local. Además de las actividades de depósito, otras prácticas ceremoniales también se llevaban a cabo en el Complejo A. Las excavaciones revelaron siete pequeños fogones mezclados con los compartimientos de depósito en el patio norte así como dos fogones más grandes y más profundos en el patio sur (ver Sección 7.3). Argumentamos aquí que este patrón puede sugerir que

las prácticas en el patio norte, que no eran visibles desde el patio sur o la plaza abajo, eran más exclusivas que las actividades de cocina que se hacían en el patio sur.

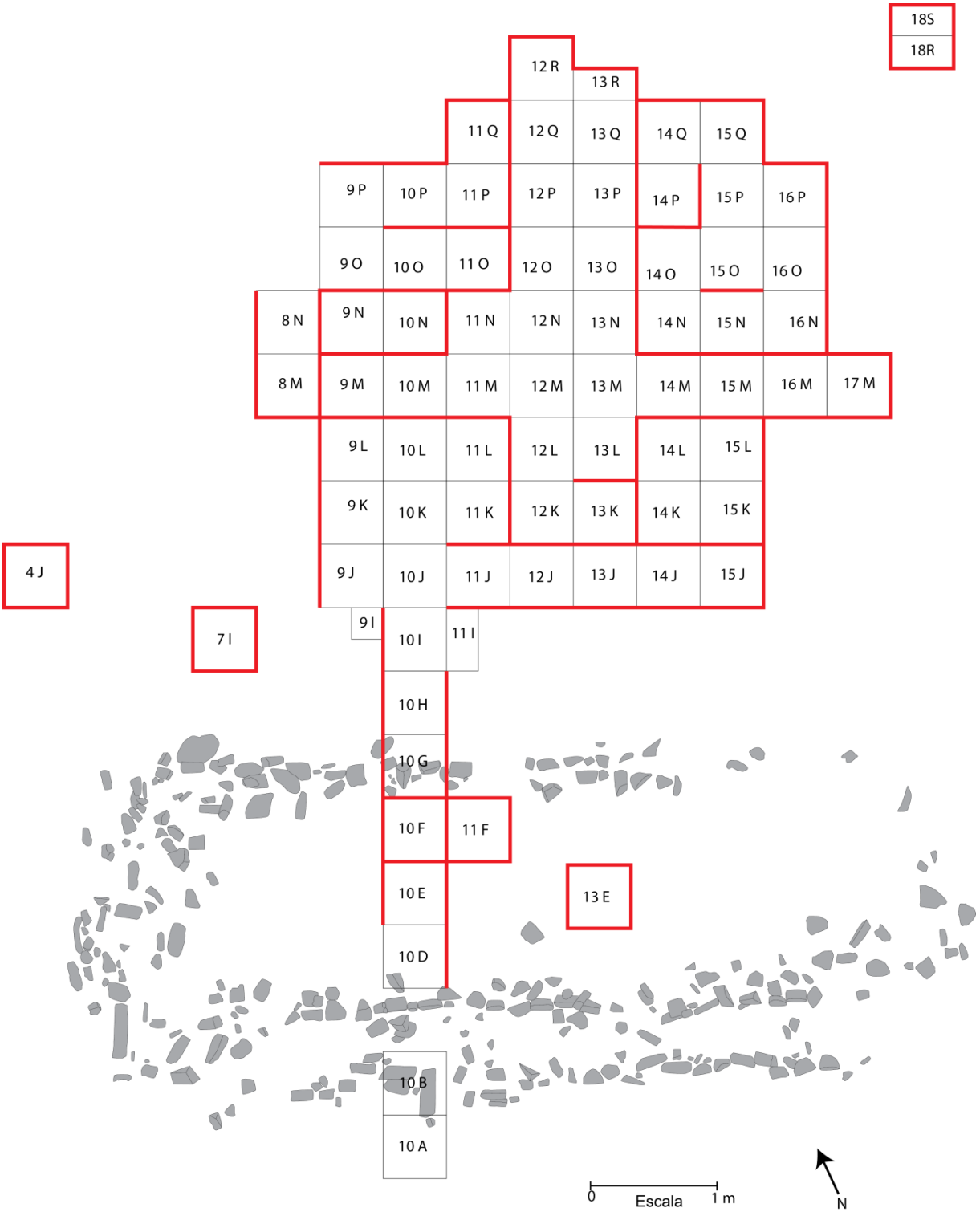


Figura 7.3: Vista en planta de la Estructura 2 y las unidades excavadas en la Operación A. Las líneas rojas indican los perfiles dibujados. Las unidades de excavación están alineadas con la orientación del sitio - 25° al este del norte (magnético)



Figura 7.4: Foto de las unidades excavadas en la Operación A con el muro de contención norte y el desagüe de la Estructura 2 en el primer plano y el área de la ofrenda en el fondo. Las Unidades 10A, 10B, 10D y 10E no se ven en la foto.

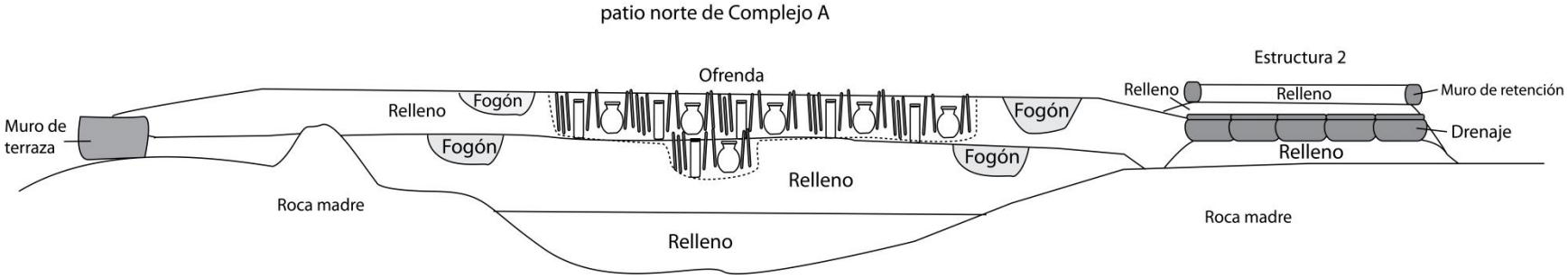


Figura 7.5: Croquis de un corte con vista hacia el este del patio norte y de la Estructura 2 durante el periodo de uso del Complejo A (antes del abandono del sitio). No incluye estratos pos-Formativos. No a escala.

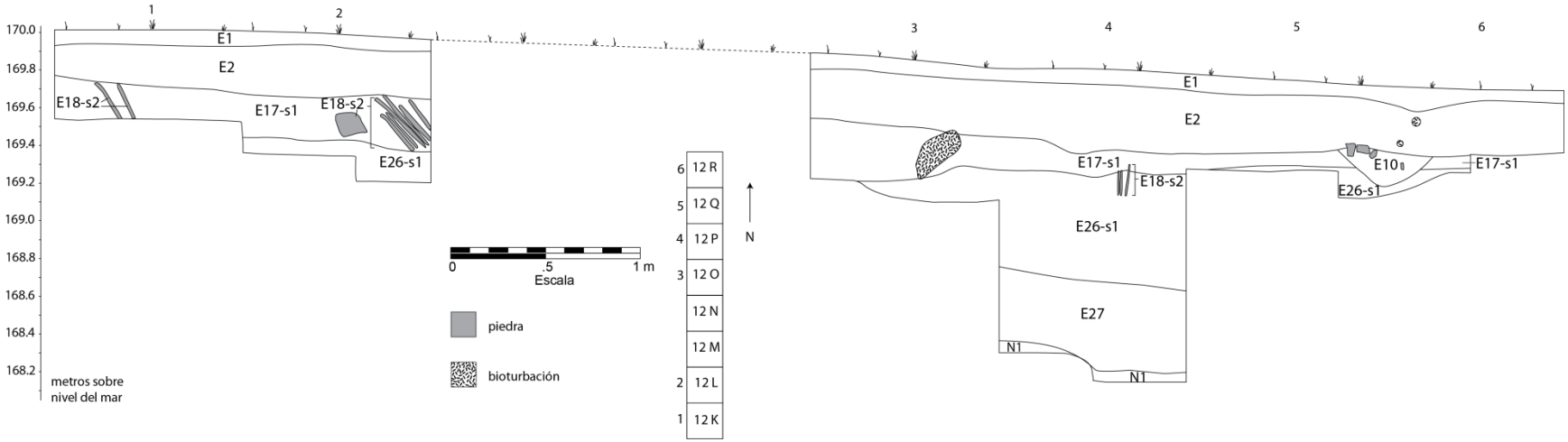


Figura 7.6: Perfil estratigráfico de las paredes oeste de las unidades 12K, 12L, 12O, 12P, 12Q y 12R.

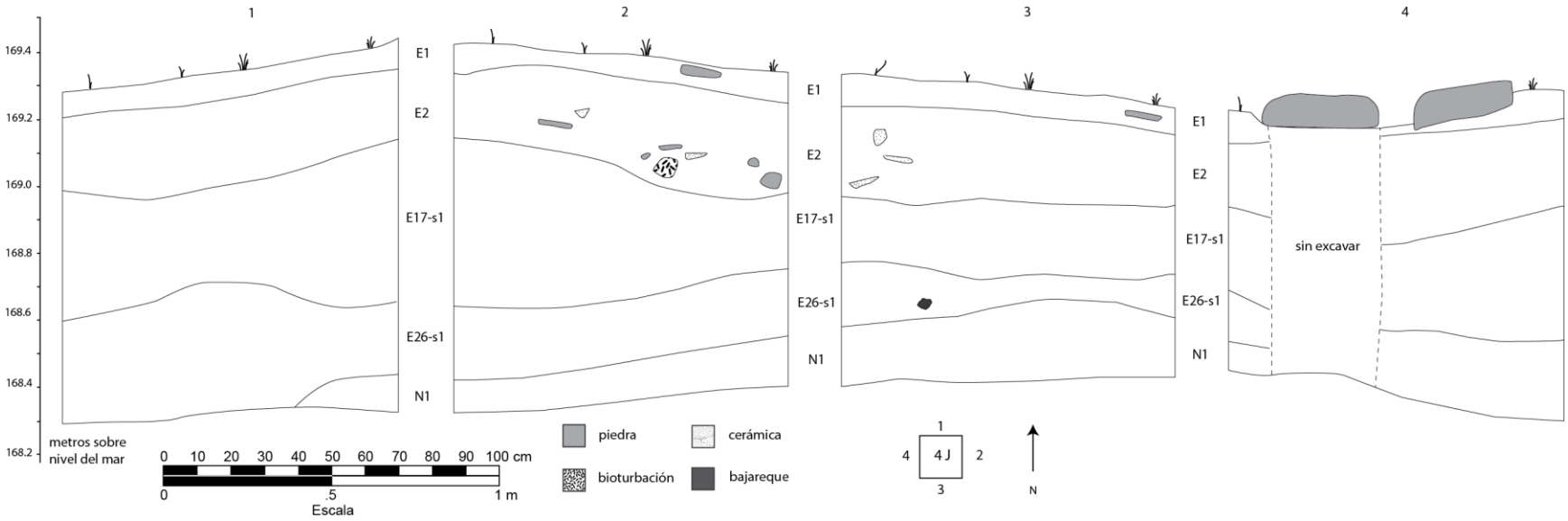


Figura 7.7: Perfil estratigráfico de la unidad 4J

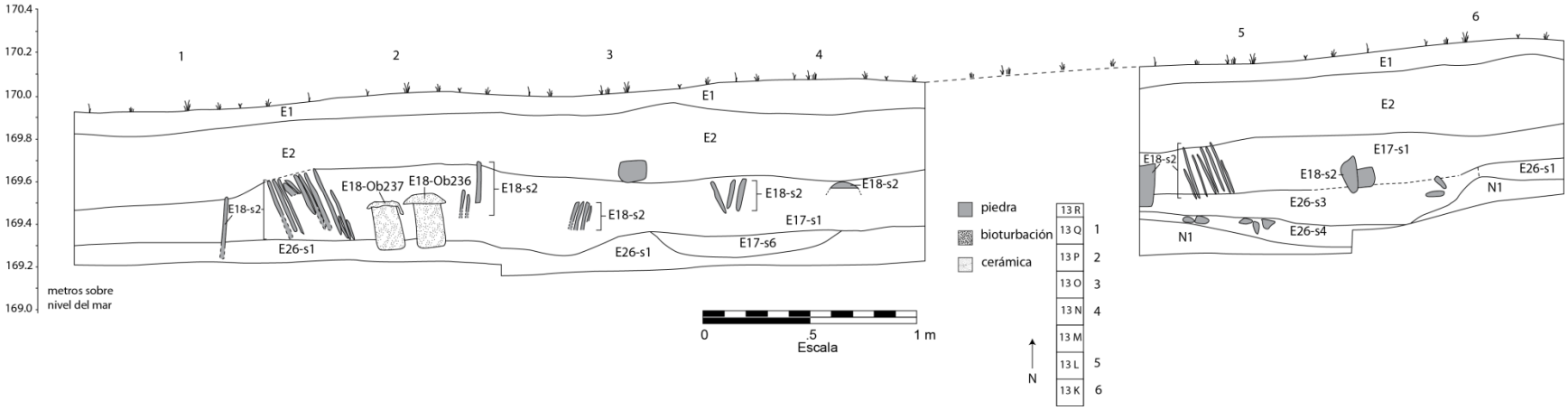


Figura 7.8: Perfil estratigráfico de las paredes este de las unidades 13K, 13L, 13N, 13O, 13P y 13Q

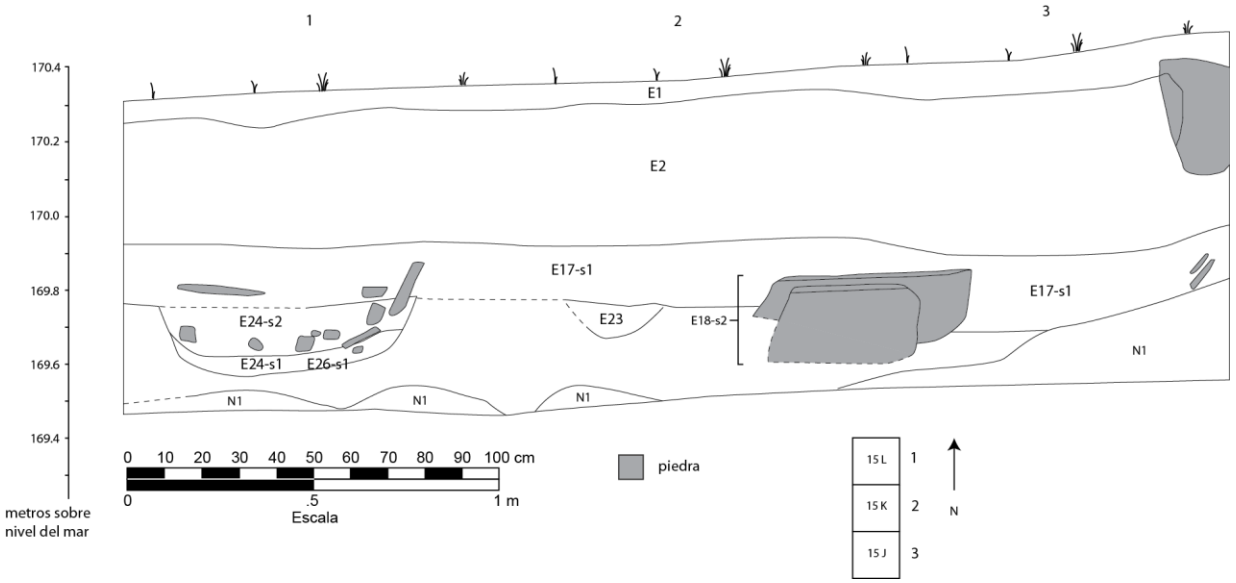


Figura 7.9: Perfil estratigráfico de las paredes este en las unidades 15J, 15K y 15L

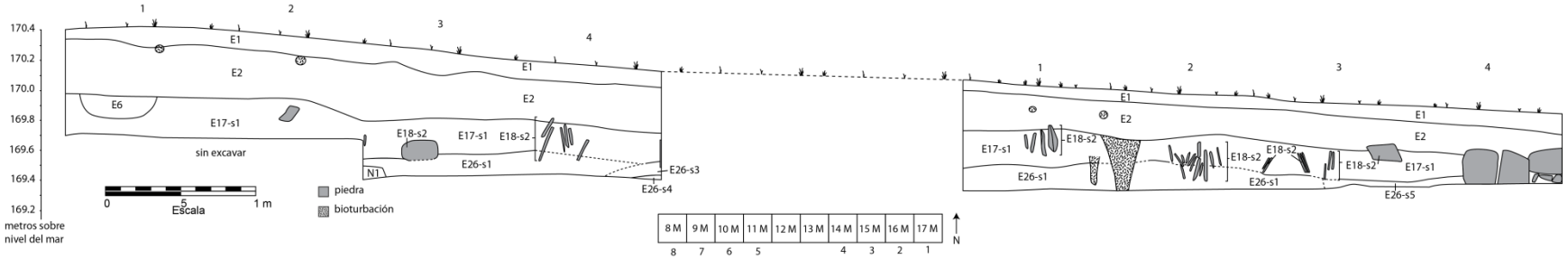


Figura 7.10: Perfil estratigráfico de las unidades 8M, 9M, 10M, 11M, 14M, 15M, 16M, y 17M

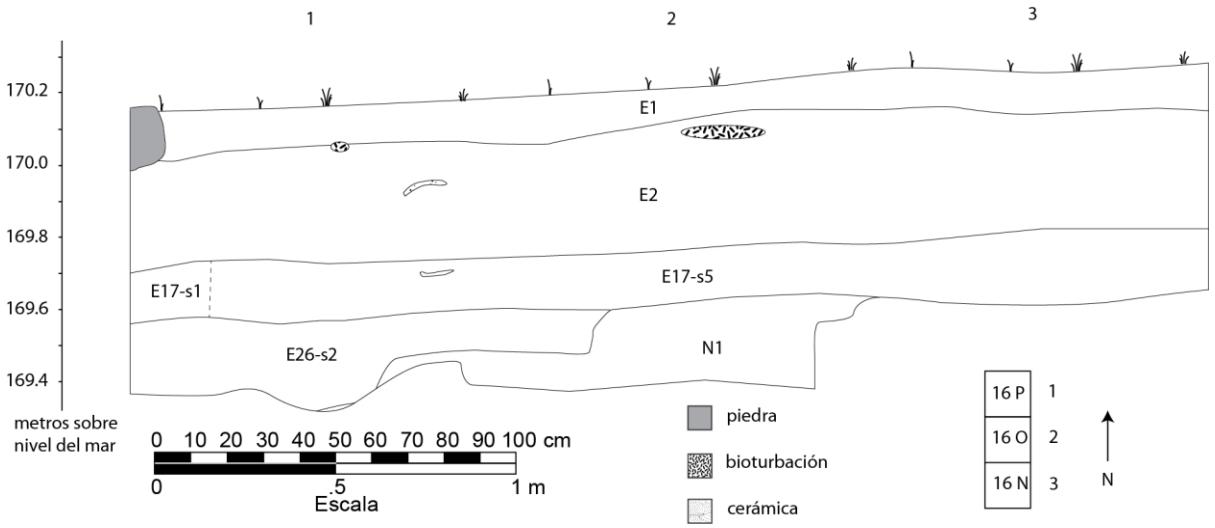


Figura 7.11: Perfil estratigráfico de las paredes este de las unidades 16N, 16O, y 16P

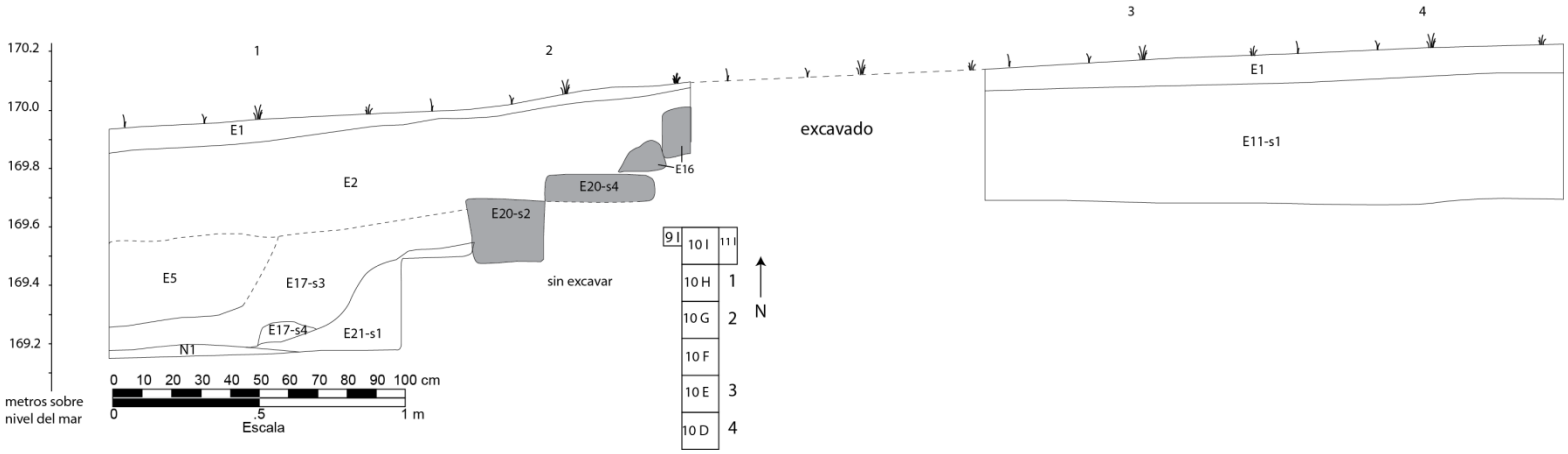


Figura 7.12: Perfil estratigráfico de las paredes este de las unidades 10D, 10E, 10G y 10H

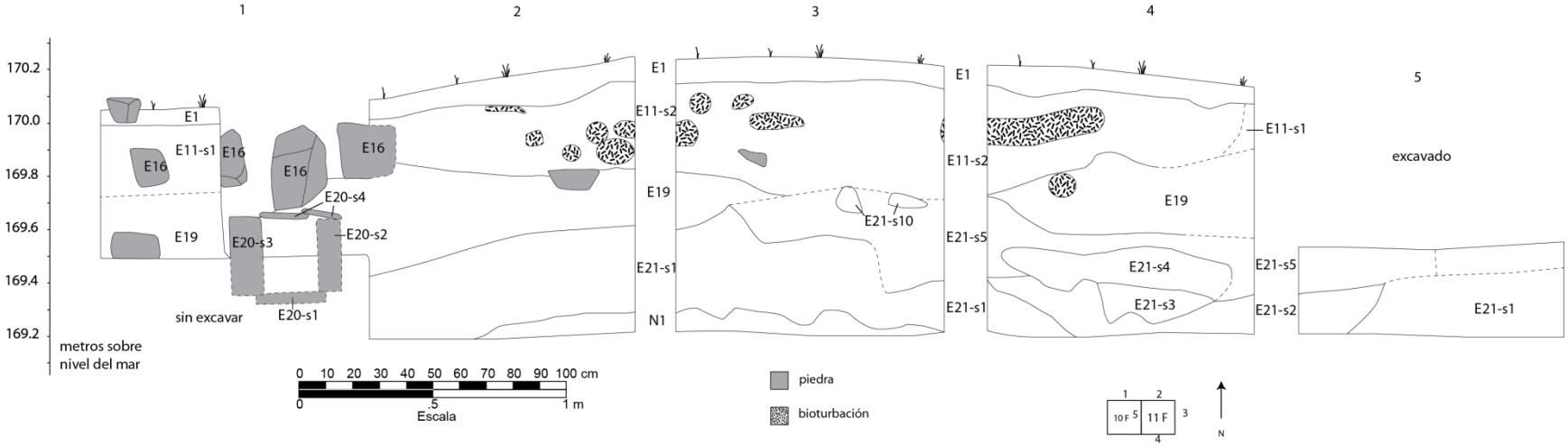


Figura 7.13: Perfil estratigráfico de las unidades 10F y 11F

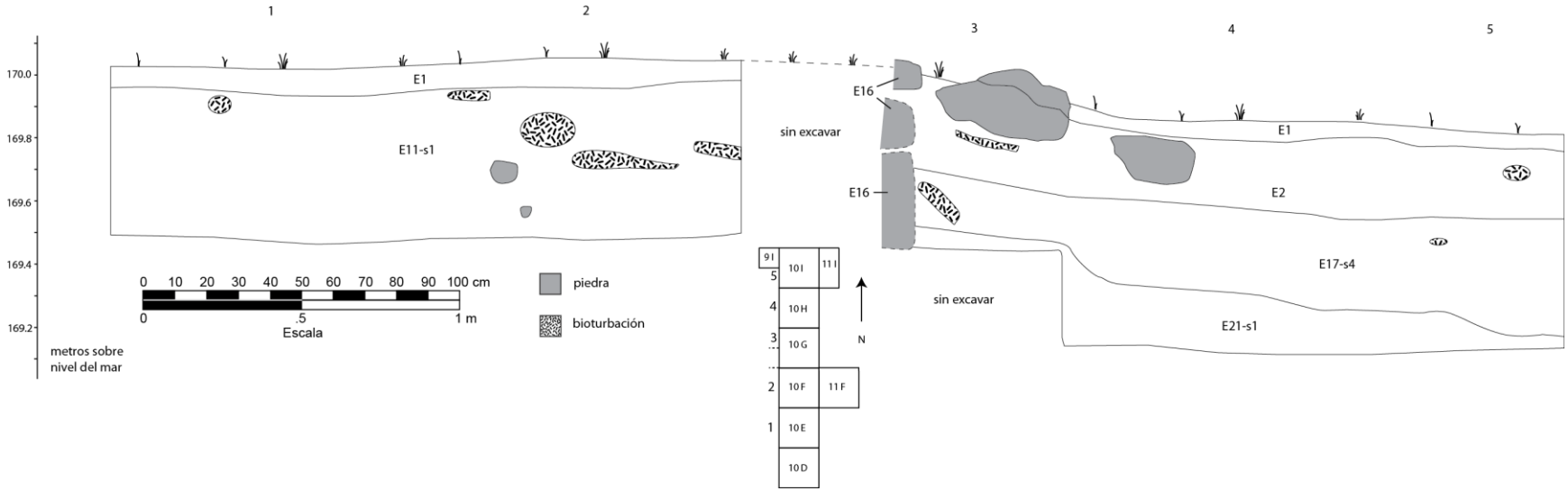


Figura 7.14: Perfil estratigráfico de las unidades 10G, 10H, 10I y el interior de la Estructura 2 (unidades 10F y 10E)

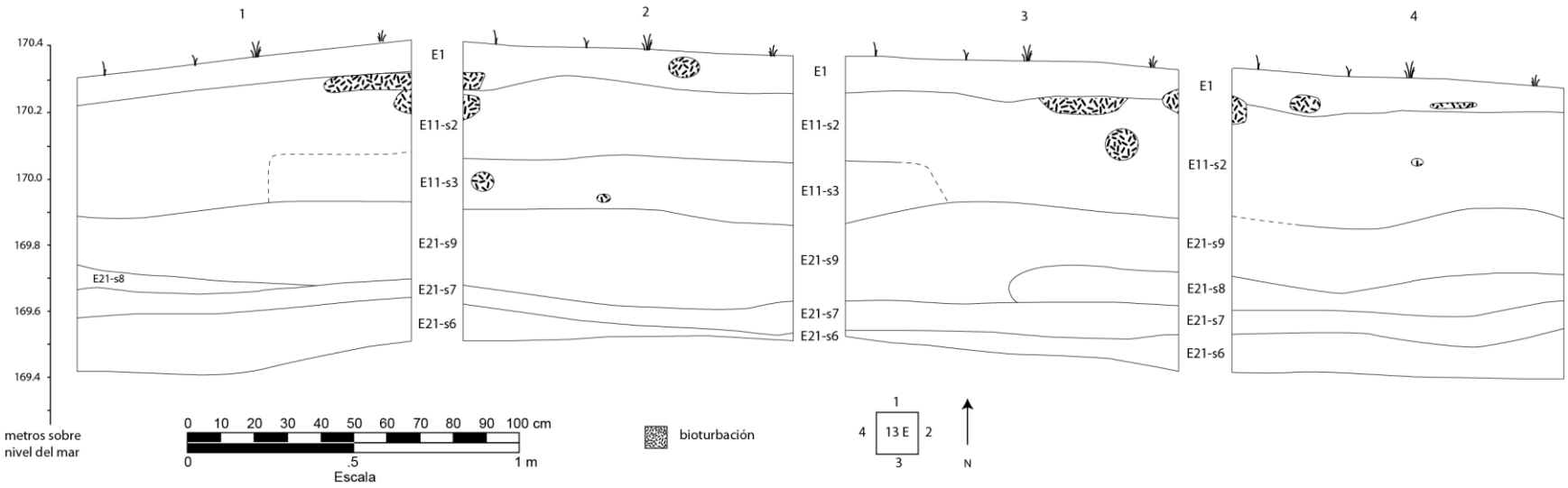


Figura 7.15: Perfil estratigráfico de la Unidad 13E

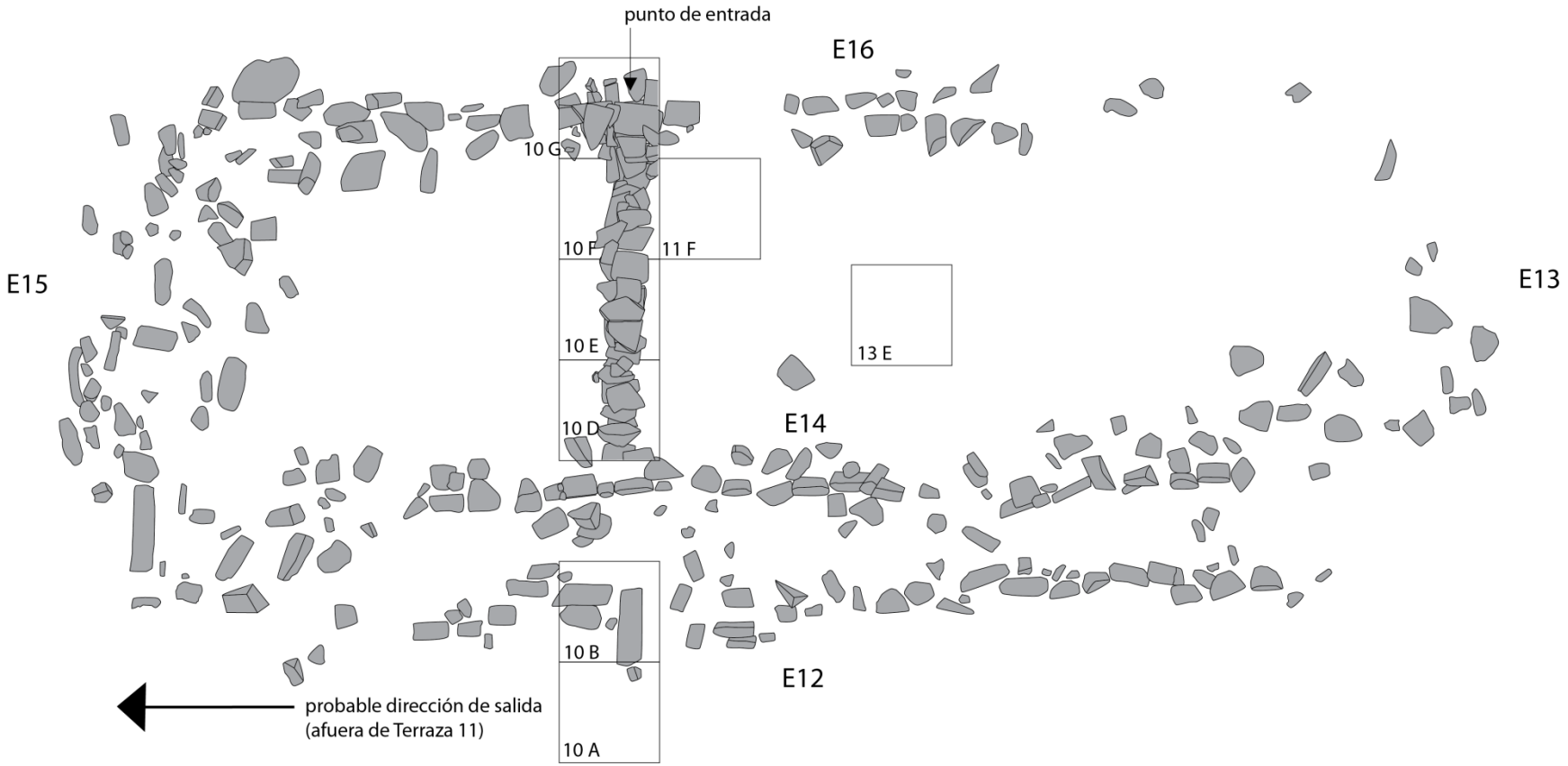


Figura 7.16: Mapa de la Estructura 2 con desagüe (E20) y la dirección del movimiento del agua indicada



Figura 7.17: Foto del desagüe de piedra (E20).



Figura 7.18: Punto de entrada del desagüe de piedra (E20)



Figura 7.19: Punto de entrada del desagüe de piedra (E20)

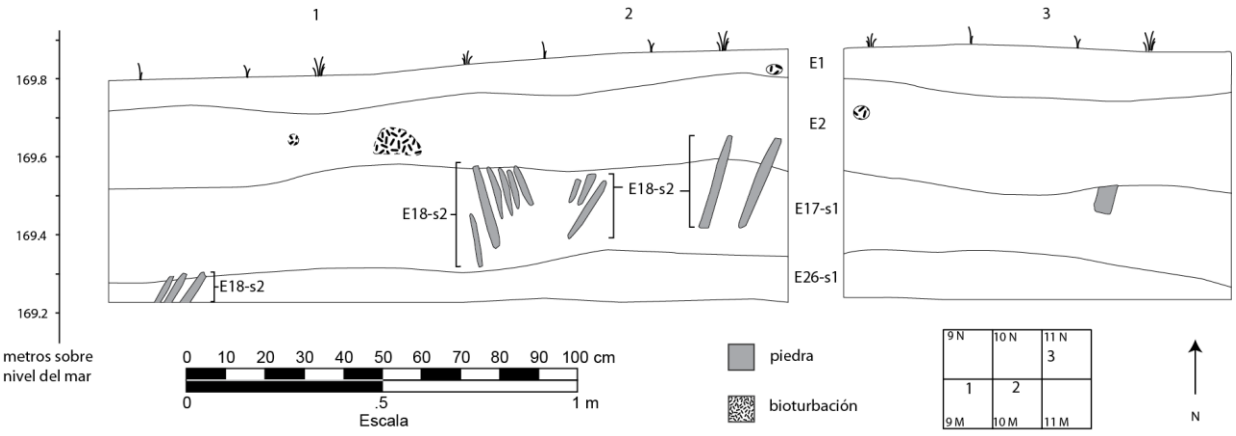


Figura 7.20: Perfiles estratigraficos de las unidades 9M, 10M, y 11N

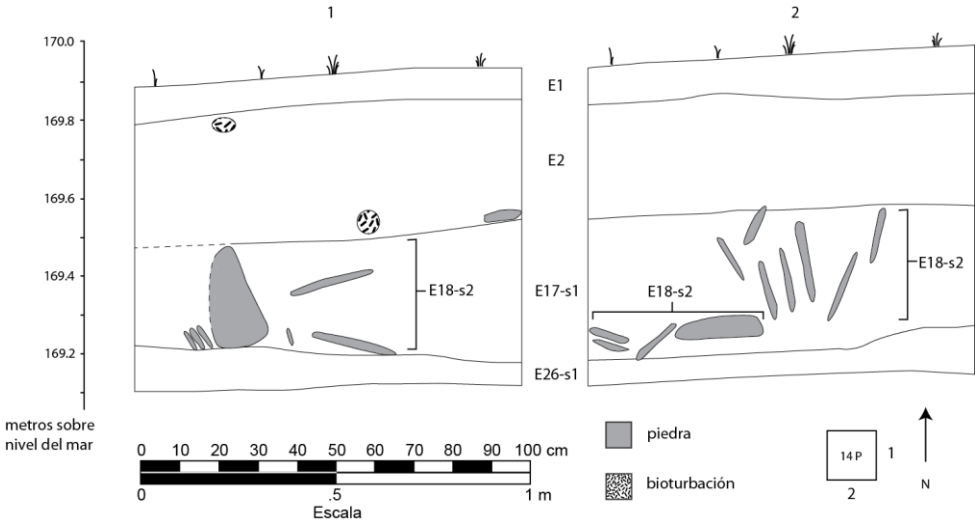


Figura 7.21: Perfil estratigráfico de los muros este y sur de la unidad 14P

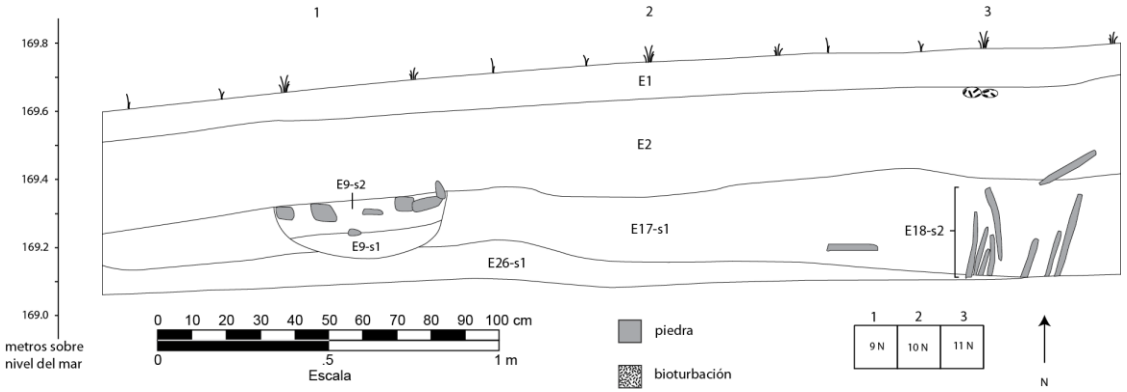


Figura 7.22: Perfil estratigráfico de las unidades 9N, 10N y 11N

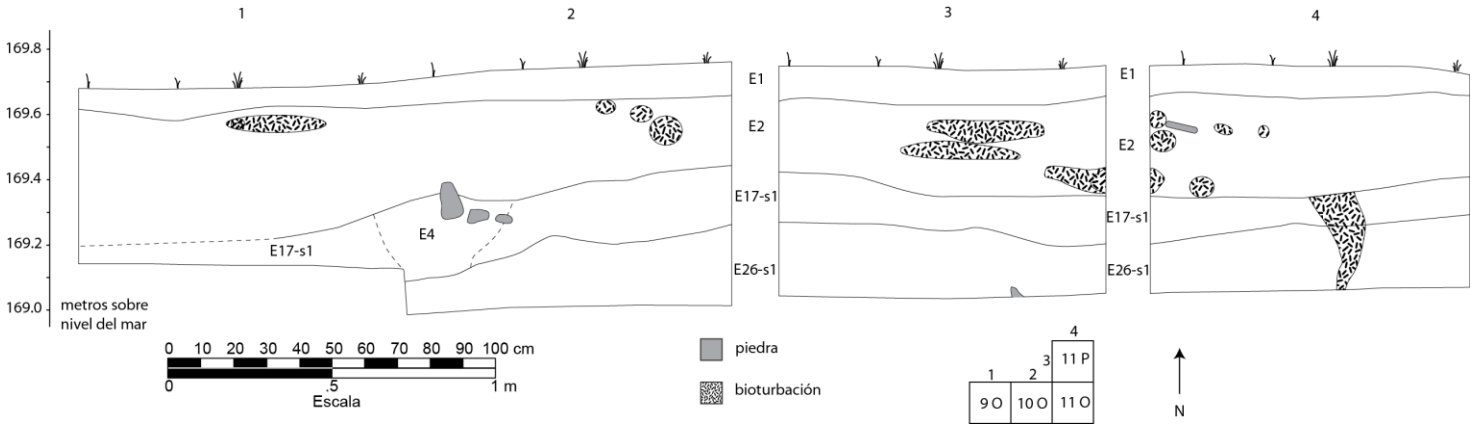


Figura 7.23: Perfil estratigráfico de las unidades 9O, 10O y 11P

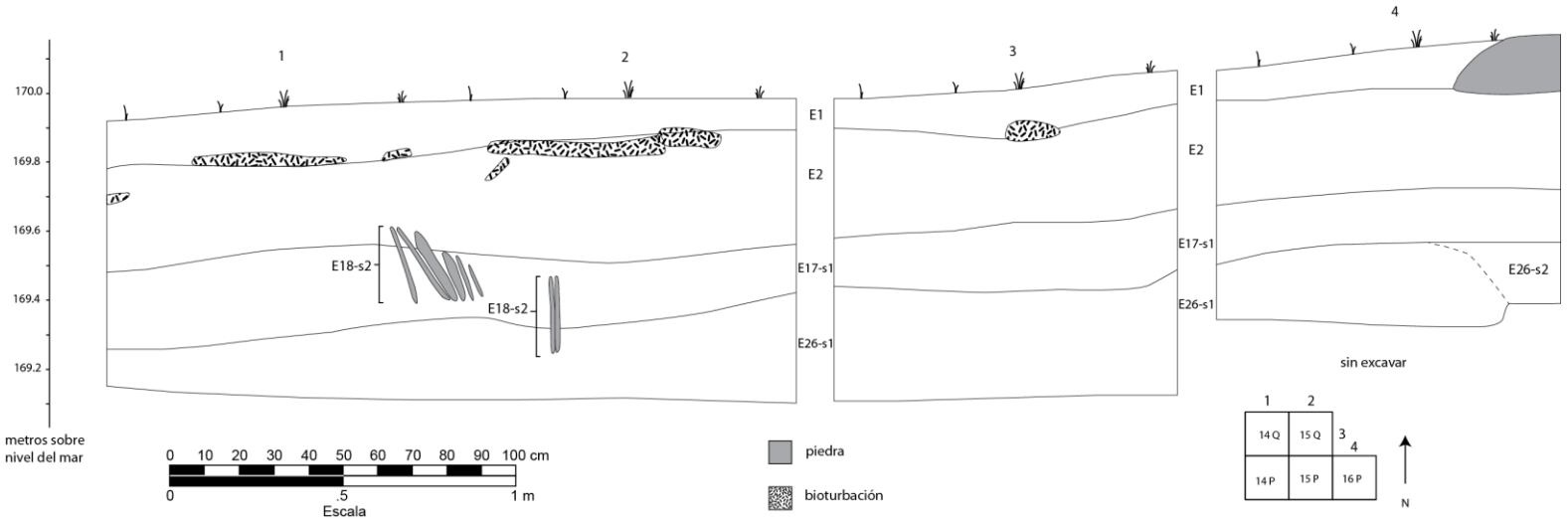


Figura 7.24: Perfil estratigráfico de las unidades 14Q, 15Q, y 16P

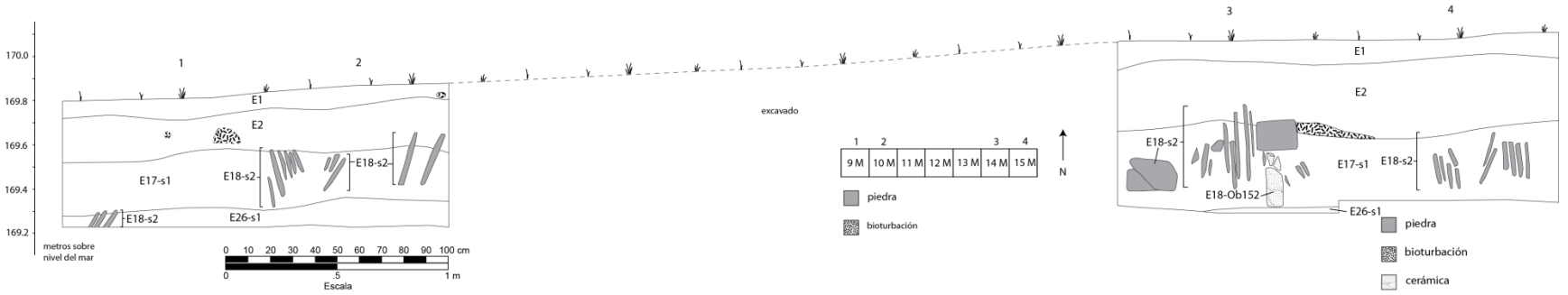


Figura 7.25: Perfil estratigráfico de las unidades 9M, 10M, 14M, y 15M

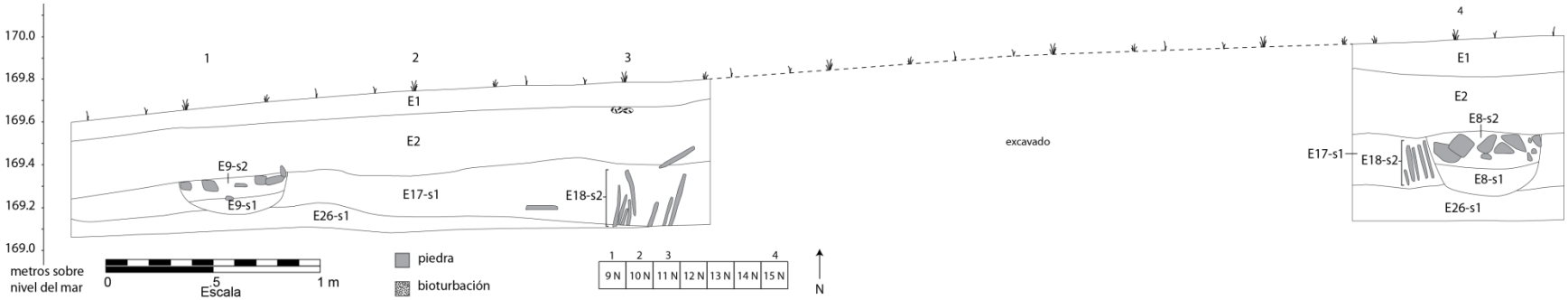


Figura 7.26: Perfil estratigráfico de las unidades 9N, 10N, 11N, y 15N

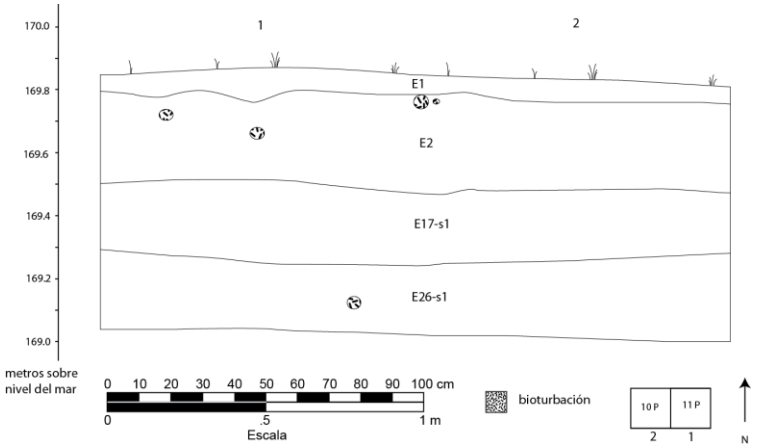


Figura 7.27: Perfil estratigráfico de las unidades 10P y 11P

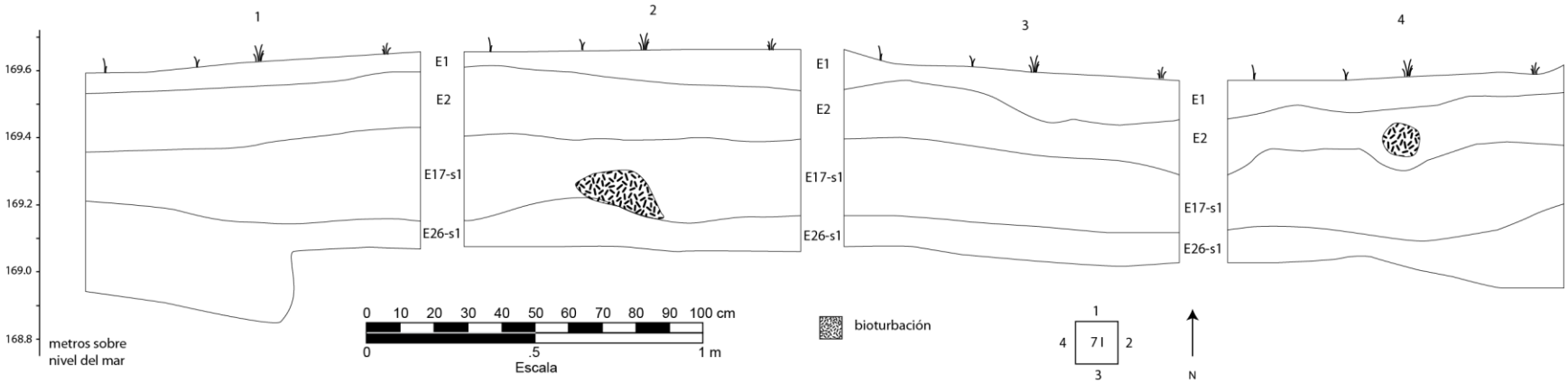


Figura 7.28: Perfil estratigráfico de la unidad 7I.

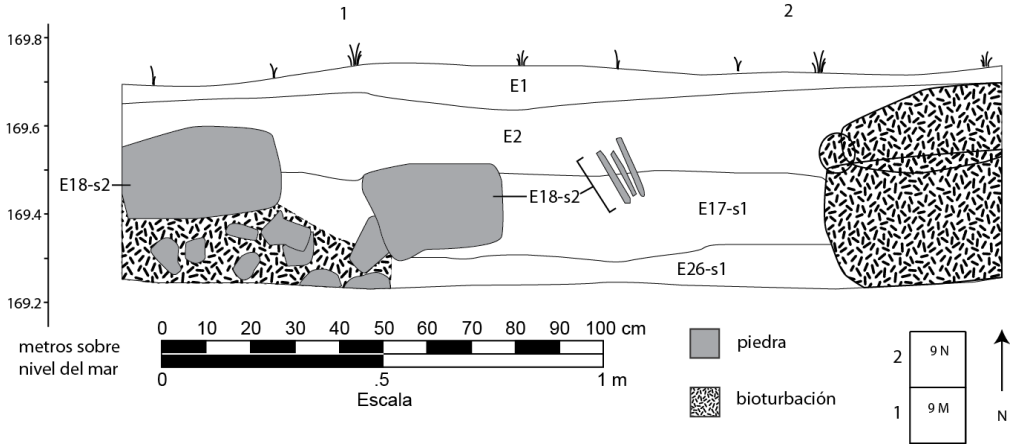


Figura 7.29: Perfil estratigráfico de las unidades 9N y 9M

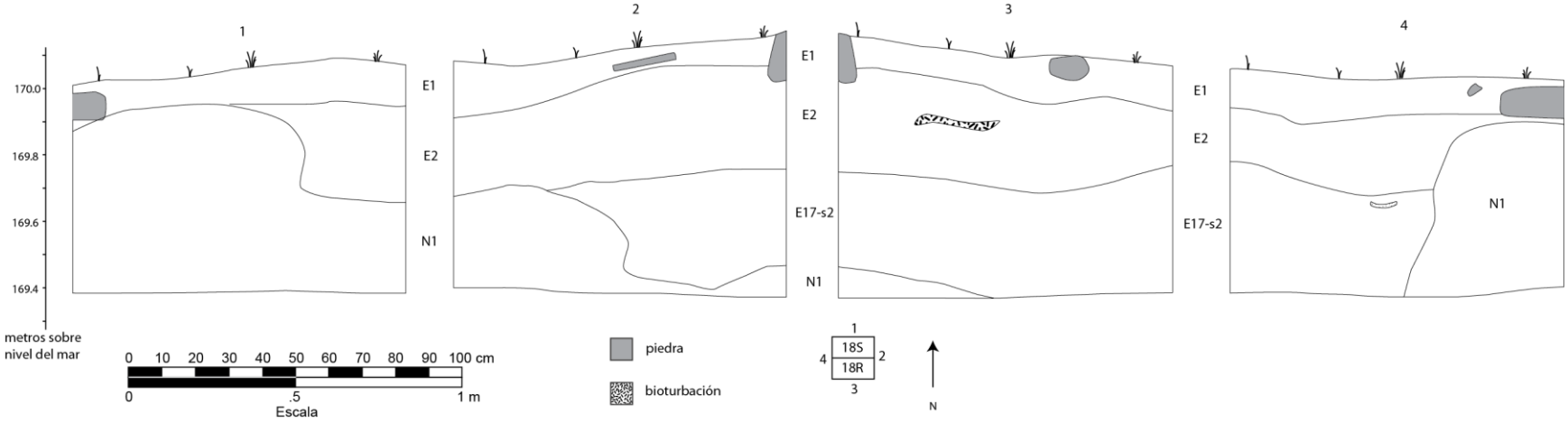


Figura 7.30: Perfil estratigráfico de las unidades 18S y 18R

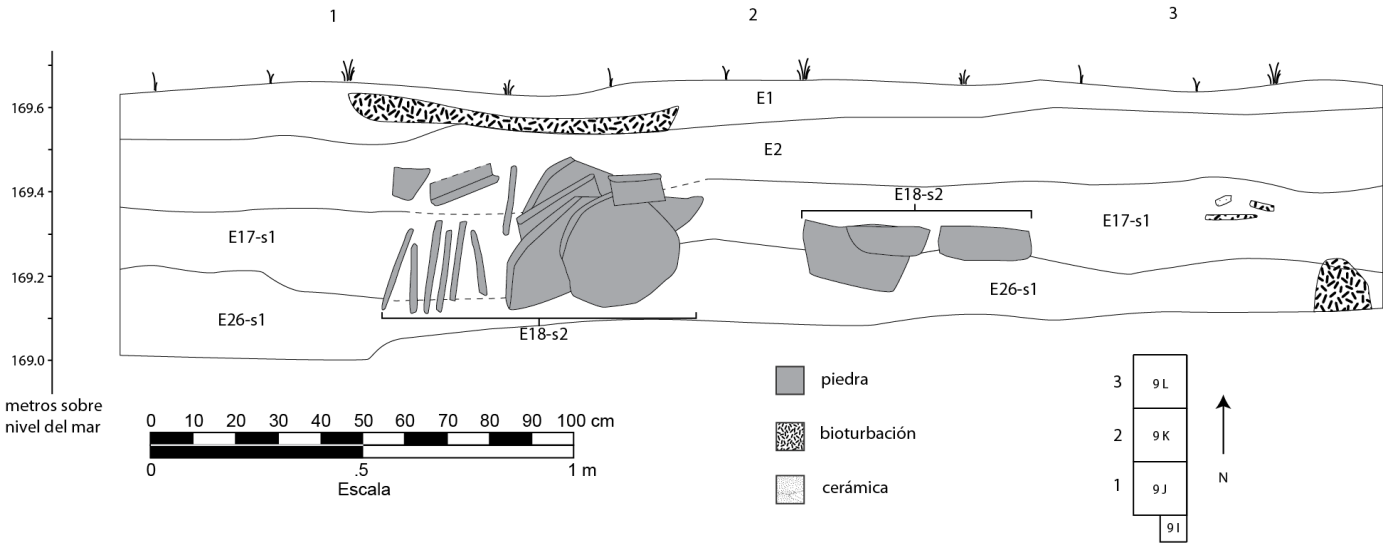


Figura 7.31: Perfil estratigráfico de las unidades 9J, 9K y 9L

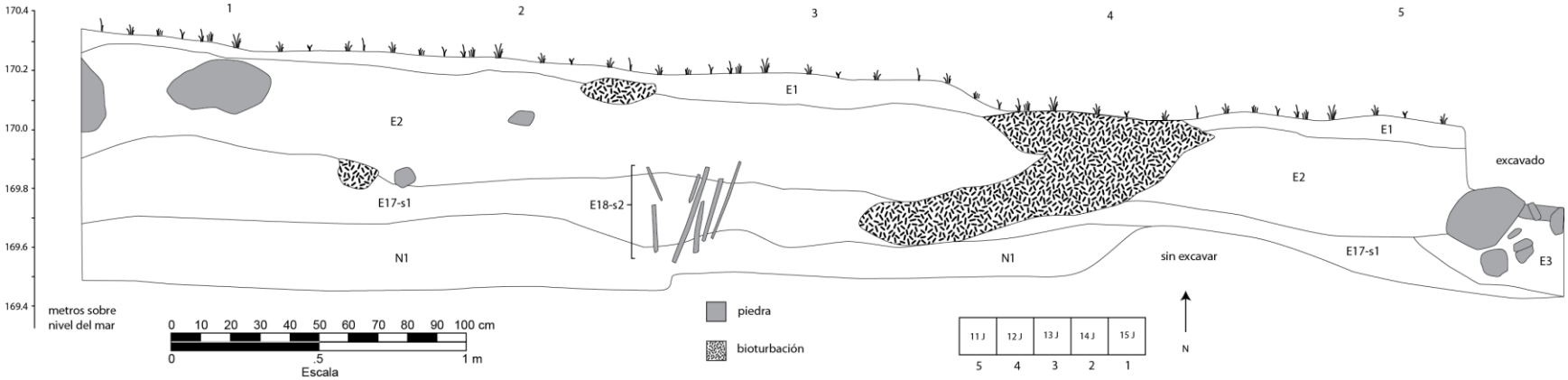


Figura 7.32: Perfil estratigráfico de las unidades 11J, 12J, 13J, 14J y 15J



Figura 7.33: Mapa del área de ofrenda en el patio norte del Complejo A

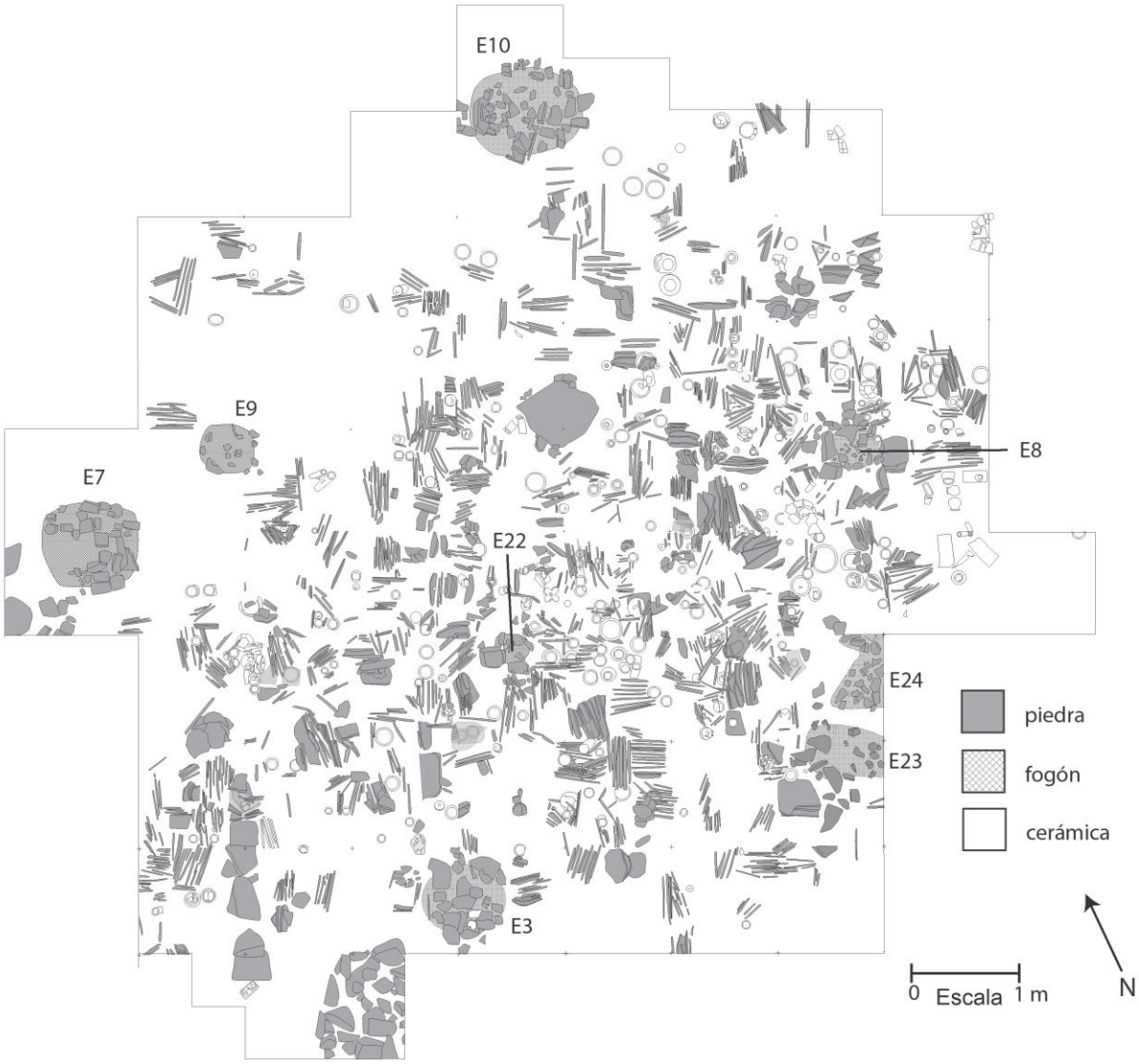


Figura 7.34: Mapa del área de ofrenda con fogones (E3, E7, E8, E9, E10, E22, E23 y E24) indicados



Figura 7.35: Foto de las vasijas de ofrenda con los compartimientos de piedra (en la foto: las unidades 16N y 16O).



Figura 7.36: Foto de las vasijas de ofrendas y compartimientos de piedra (en la foto: las unidades 13P y 13Q)

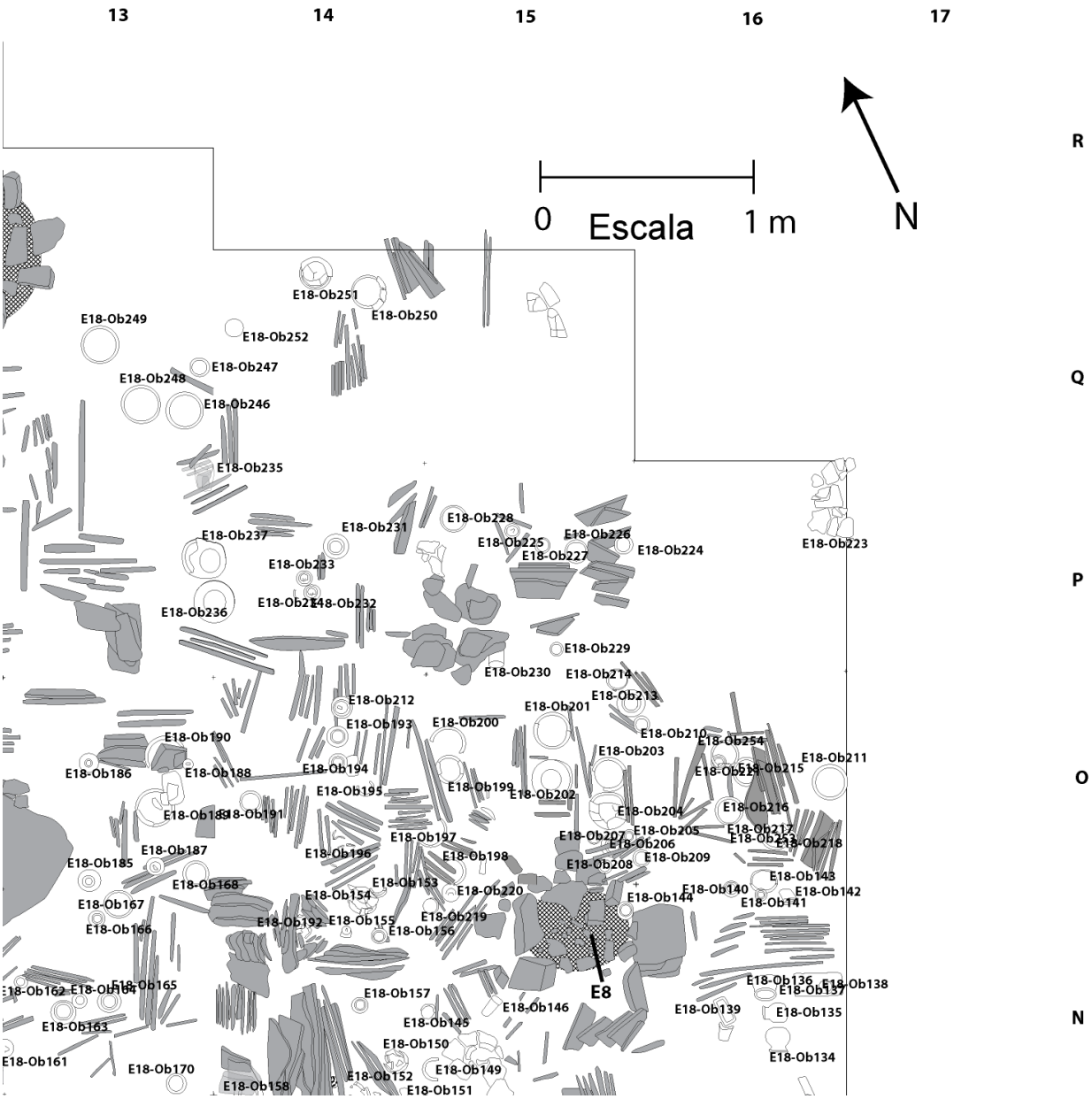


Figura 7.37: Vista en plata del cuadro noreste del área de la ofrenda con vasijas individuales indicadas

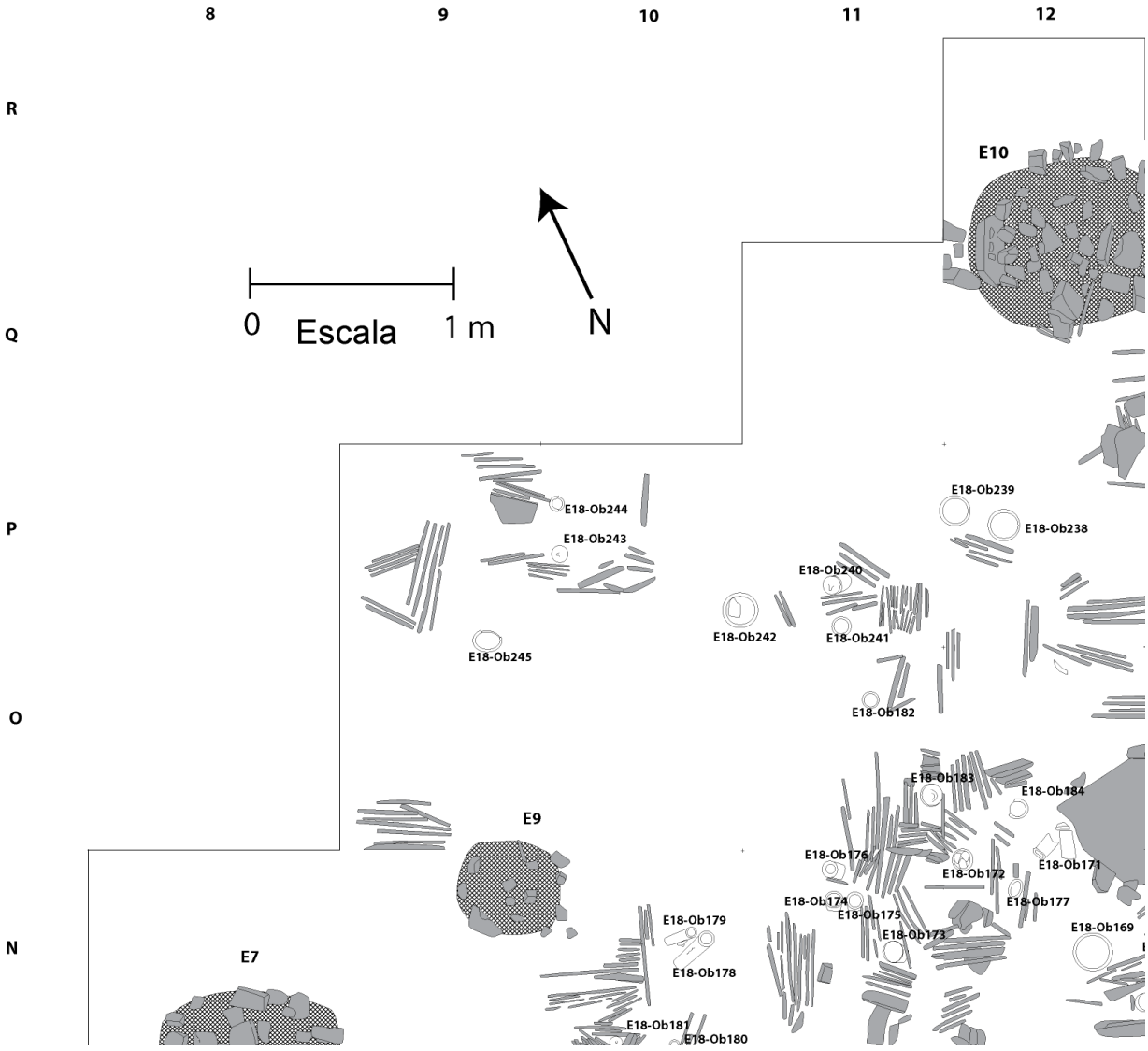


Figura 7.38: Figura en planta del cuadro noroeste del área de la ofrenda con vasijas individuales indicadas

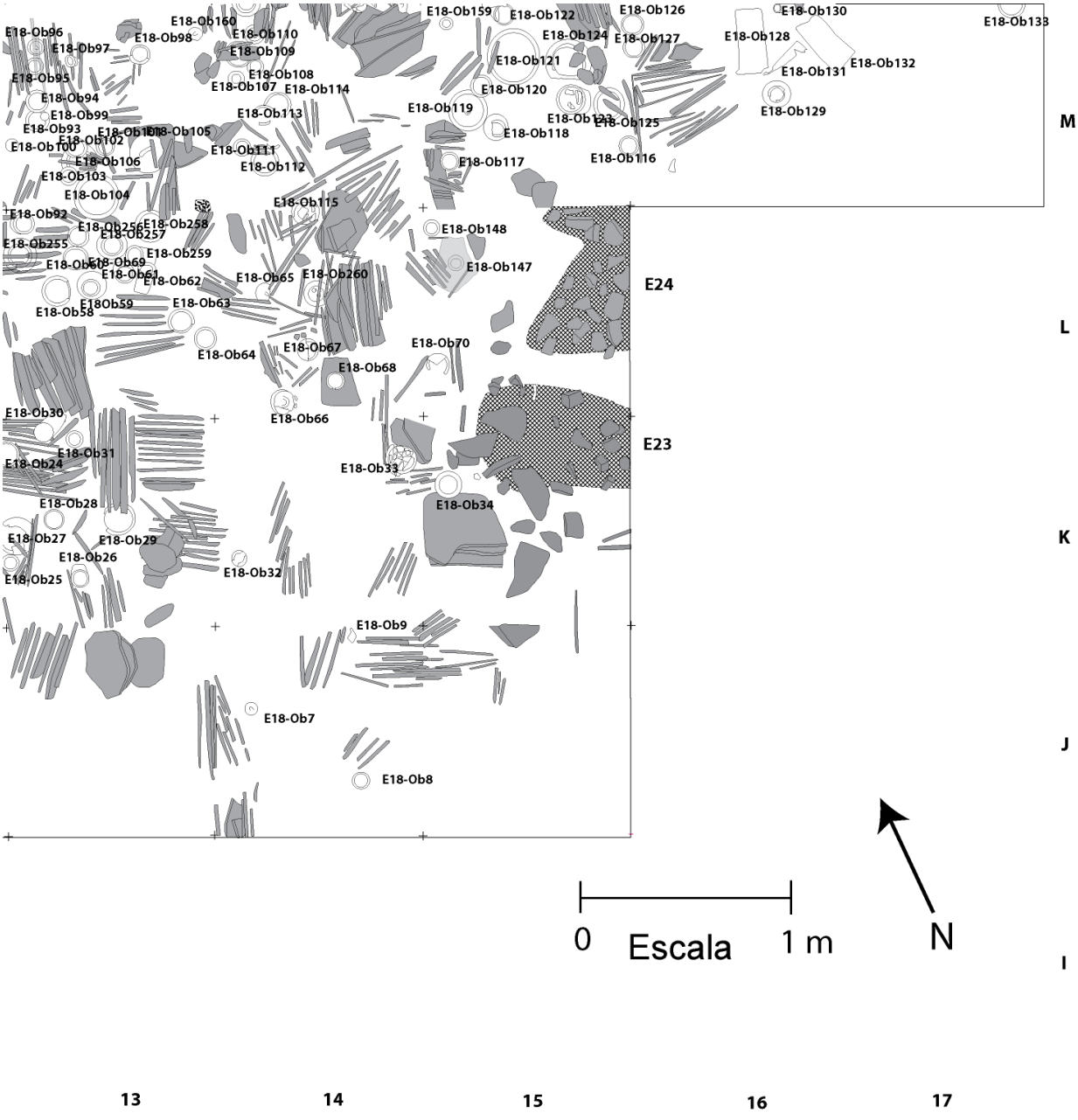


Figura 7.39: Figura en planta del cuadro sureste del área de la ofrenda con vasijas individuales indicadas

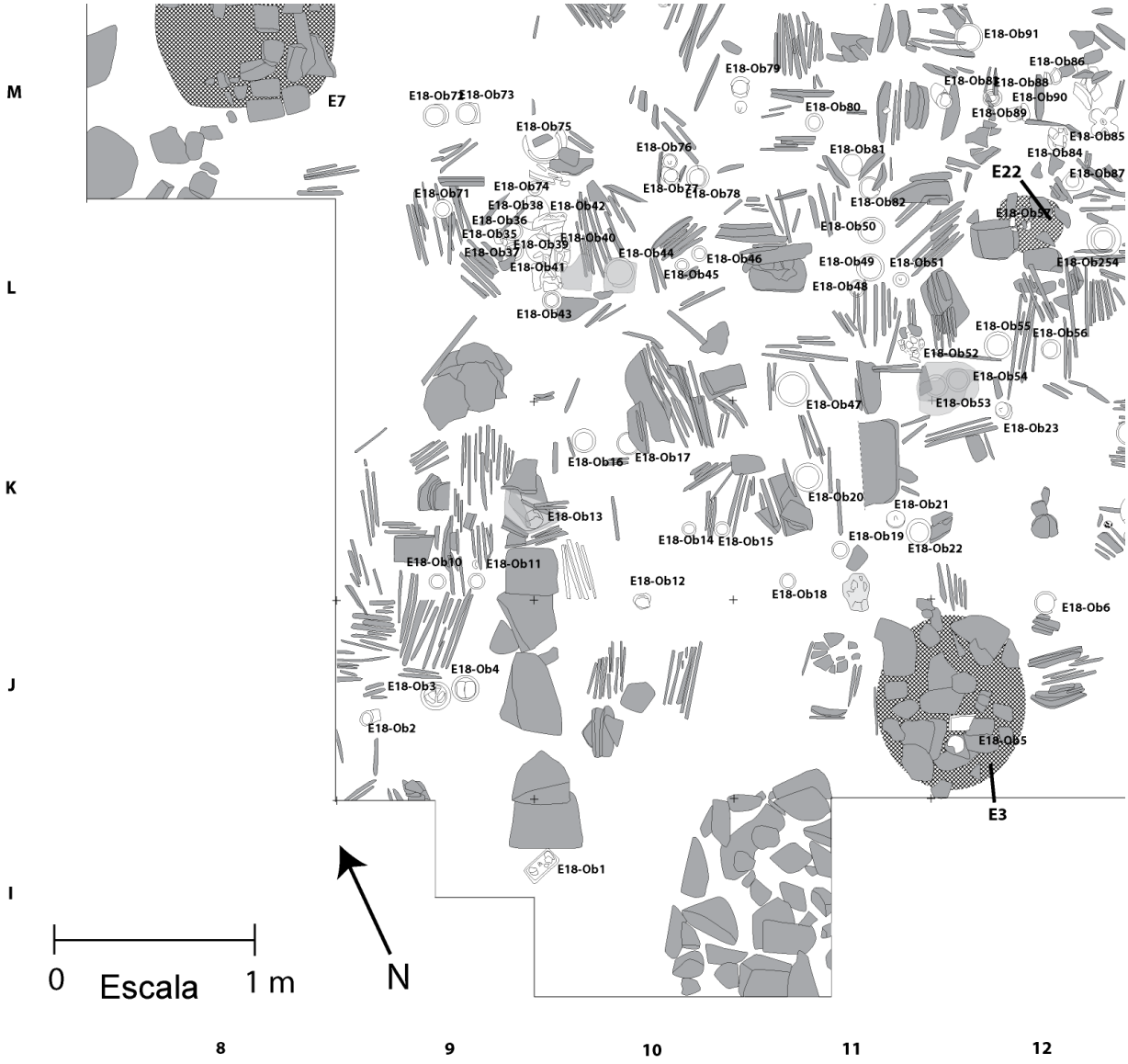


Figura 7.40: Figura en planta del cuadro suroeste del área de la ofrenda con vasijas individuales indicadas

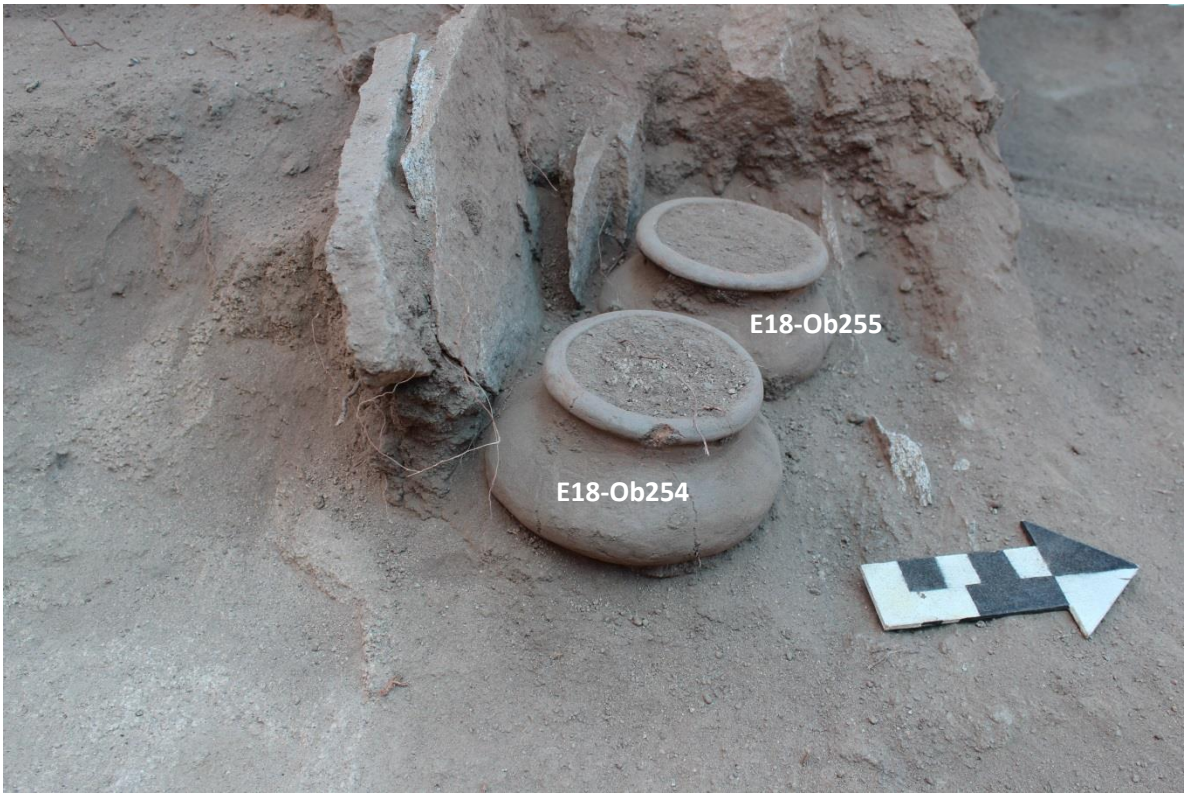


Figura 7.41: Foto de una pareja de vasijas de cuello corto colocadas en un compartimiento de piedra en la unidad 12L



Figura 7.42: Foto de una pareja de vasijas cilíndricas colocadas en el área de 9M

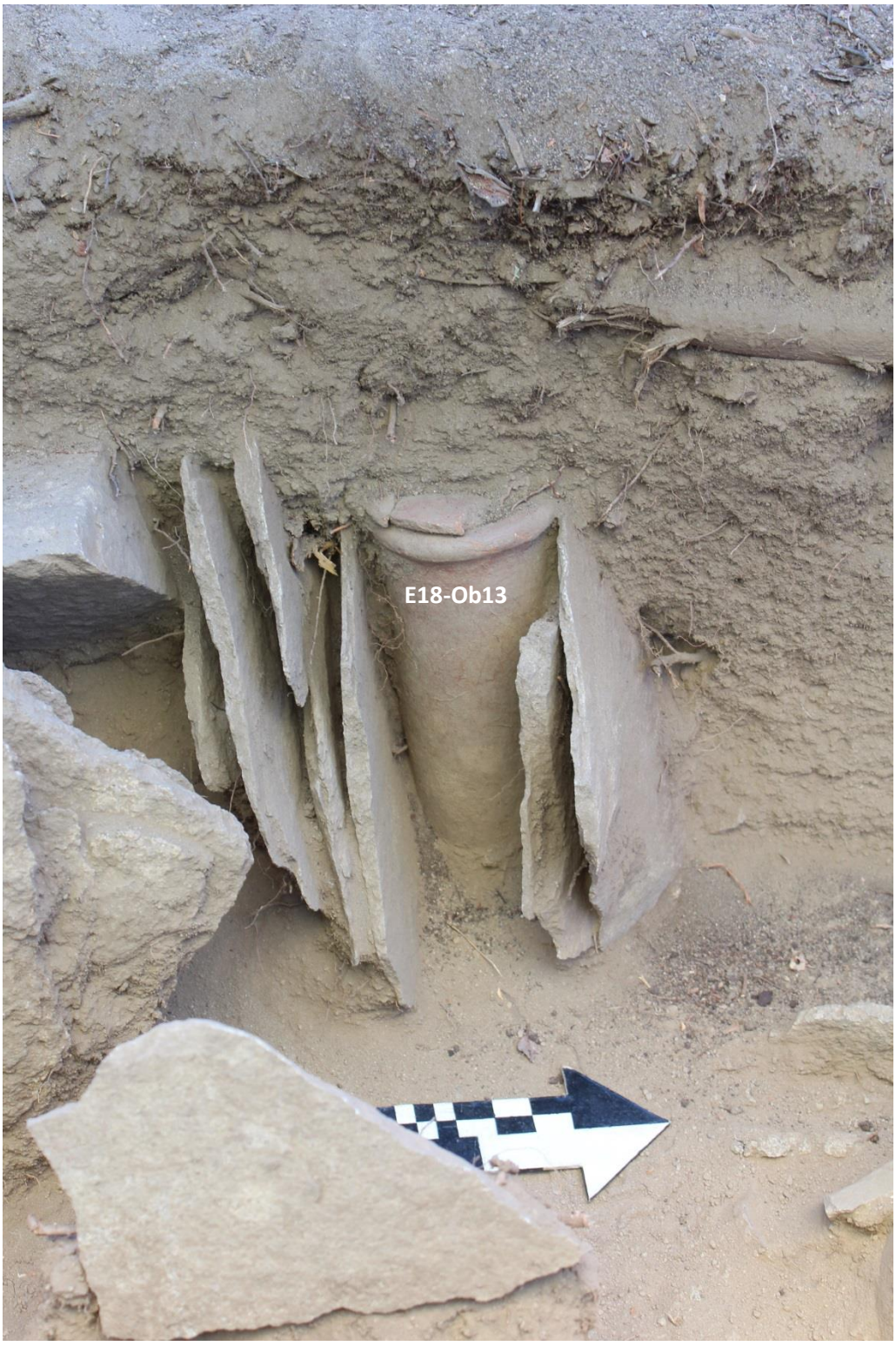


Figura 7.43: Foto de vasijas cilíndricas en un compartimiento en la unidad 10K



Figura 7.44: Foto de una vasija cilíndrica con tapa puntiaguda en un compartimiento en la unidad 14N



Figura 7.45: Foto de vasijas cilíndricas en compartimientos separados por una sola laja en la unidad 13k



Figura 7.46: Foto de vasijas tipo gris de la época Chacahua dentro de un compartimiento de lajas triangulares en la unidad 14O; tepalcates de tipo gris y lajas superiores colocadas encima de vasijas de ofrenda anteriores (E18-Ob196; ver Figura 7.1.45).



Figura 7.47: Foto de un compartimiento de ofrenda encima de una oferta anterior (E18-Ob196).



Figura 7.48: Foto de una vasija de ofrenda (E18-Ob61) colocadas encima de vasijas anteriores (E18-Ob67)



Figura 7.49: Foto de vasijas cilíndricas de la ofrenda E18



Figura 7.50: Foto de vasijas de cuello corto en la ofrenda E18



Figura 7.51: Foto de un fogón (E10) con piedras para calendar en la parte norte del patio norte



Figura 7.52: Foto de un fogón (E7) con piedras para calendar removidas por los excavadores en las unidades 8M, 8N, y 9M

7.3 Excavacions en la Operación B

7.3.1 Introducción

La Operación B consistió en un transecto de unidades con el eje este-oeste en el patio sur en el Complejo A así como dos pozos de sondeo de 1m x 1m localizados al norte del transecto, a aproximadamente 7m al sur de la Estructura 2 (Figuras 7.53 y 7.54). El patio sur del Complejo A era menos restringido que el patio norte, con acceso directo a las escaleras monumentales llegando a la Terraza 10 y la Estructura 1. Al sur y la oeste del patio sur, la Terraza 11 tiene cuesta hacia abajo hacia la Plaza Central. Las actividades llevadas a cabo en el patio sur probablemente hubieran sido visibles desde puntos de vista en la Plaza Central. Las excavaciones en la Op B cubrieron 11 m² en el patio sur y penetraron hasta la roca madre en cuatro unidades (11J, 6J, 1O, y 10O). Las excavaciones en la Op B tenían tres objetivos principales:

1. Identificar las técnicas de construcción y el material utilizado para construir el área sur de la terraza del Complejo A
2. Identificar las actividades llevadas a cabo en el patio sur
3. Llegar hasta la roca madre en varias áreas para investigar las ocupaciones y episodios de construcción más tempranas en el área

La evidencia de la Op B indica que la construcción a gran escala de la Terraza 11 empezó durante el periodo Formativo terminal, quizás tan temprano como la fase Miniyua tardía. Los constructores utilizaron depósitos locales de sedimento con migajón arenoso para la construcción de la terraza, indicando áreas que fueron ocupados durante la fase Minizundo del Formativo terminal. Durante la fase Chacahua, festines rituales fueron llevados a cabo en el patio sur y fueron asociados con las prácticas de depósito hechas en el patio norte (ver Sección 7.2). Los excavadores expusieron dos fogones en el transecto central de las unidades, ambos de los cuales utilizaron piedras de granito como elementos para calentar. Al final de la fase Chacahua, el área se dejó de utilizar. Es posible que los habitantes del

sitio hicieron un ritual de terminación en el patio sur cuando enterraron una pequeña ofrenda consistiendo de un jarrón de cerámica, la cabeza de una figura, y una colección de lajas de piedra parecidas a las encontradas en el patio norte cerca de la superficie de la fase Chacahua. Al igual del patio norte, el patio sur fue cubierto por coluvión deslavado desde la Terraza 10 después del abandono del sitio.

En el Op B, los excavadores empezaron con un transecto compuesto por unidades de 1m x 1m con un eje este-oeste en el patio sur (unidades 5J, 10J y 15J). Cada unidad fue abierta conforme con los elementos encontrados. Por ejemplo, las unidades 5J y 10J fueron extendidas hacia al este para excavar dos fogones (E6 y E4 respectivamente). La unidad 10J también fue extendida hacia el oeste para excavar una pequeña ofrenda (E3) de lajas de piedra, un jarro de cuello corto, y la cabeza de una figurita. Las unidades al este (unidades 15J, 15K y 16J) fueron extendidas alrededor de varios elementos de piedra. Se determinar que estas piedras se habían caido de la escalera monumental al este. Las Unidades 1O y 10º fueron excavadas para explorar la historia ocupacional del área entre el transecto este-oeste y la Estructura 2. La Tabla 7.2 da una lista detallada de los niveles estratigráficos en la Op B, empezando con el nivel más reciente y terminando con el más antiguo.

Tabla 7.2: Lista de niveles estratigráficos en la Operación B

Numero de Estrato	Unidades	Descripciones de Munsell y Sedimento	Fecha Probable	Proceso de Formación	Commentarios
E1	Todas las unidades en la Op B	10 YR 3/2; Migajón de color café grisáceo muy oscuro	Moderno	Suelo formado en el relleno de construcción (E8)	Suelo de superficie con material orgánico, grava y perturbaciones importantes, piedras, e inclusiones de cerámica; generalmente más grueso alrededor de la base de la escalera y del montículo llegando hacia la Estructura 1; ver Figuras 7.55 – 7.59, 7.67

Numero de Estrato	Unidades	Descripciones de Munsell y Sedimento	Fecha Probable	Proceso de Formación	Commentarios
E2	Todas las unidades en la Op B	10 YR 2/2; Migajón arenoso de color café muy oscuro	Pos-Formativo a Moderno	Coluvión	Coluvión de migajón arenoso moderadamente organizado con granos sub-redondeados; contiene inclusiones de pequeñas piedras, grava, arena gruesa, cerámica, y piedras grandes (muchas de ellas caídas de la escalera monumental al este); ver Figuras 7.55-7.59, 7.67
E3-s1	10J y 10K	Sin Munsell; objetos de cerámica	Chacahua	Ofrenda	Ofrenda de terminación posible asociada con las actividades finales en el patio sur del Complejo A; consiste de dos objetos de cerámica incluyendo un fragmento de una figura del periodo Formativo (cabeza; E3-Ob1) y un jarro de cuello corto café grueso no diagnostico (E3-Ob2); la figura y el jarro fueron colocados directamente contra el fogón (E4) en la unidad 10J; la ofrenda fue colocada después de que la capa de relleno E9-s2 fue terminado, a 5-7 cm debajo de la superficie de E9-s2; recubierto por el mismo sedimento (no visible en perfil); ver Figura 7.60
E3-s2	10K	Sin Munsell; Lajas de piedra	Chacahua	Ofrenda	Posible ofrenda de terminación asociada con las últimas actividades en el patio sur del Complejo A; consiste en nueve lajas delgadas colocadas en filas paralelas al norte de E3-s1; el grupo de lajas es parecido a los compartimientos en la Op A-E18-s2; no se ve en perfil; ver Figura 7.60

Numero de Estrato	Unidades	Descripciones de Munsell y Sedimento	Fecha Probable	Proceso de Formación	Commentarios
E4-s2	10J, 10K, 11J	10 YR 3/1; Migajón arenoso de color gris muy oscuro	Chacahua	Fogón	Sub-estrato superior de un fogón profundo (aproximadamente 50cm de grueso) llenado de migajón arenoso moderadamente organizado con granos sub-redondeados; contiene inclusiones de mica, grava, piedras quebradas por el fuego, piedras pulverizadas, carbono, ceniza y cerámica; sedimento esta compacto pero más suave que E4-s1; el pozo corta atraes de E9-s2, E9-s1, y un poco dentro de E10-s1; piedras dejadas en el desecho de fogón pudieron haber servido como elementos para calentar; ver Figuras 7.56-7.57, 7.60
E4-s1	11J, 10J	10 YR 3/2; arena con migajón de color café-grisáceo muy oscuro	Chacahua	Fogón	Sub-estrato inferior del fogón E4 que consiste en arena con migajón con inclusiones de arena gruesa y mica; compacto (más compacto que E4-s2) y bien organizado; capa probablemente depositada inmediatamente antes del primer uso del fogón; sub-estrato no parece tener carbono ni ceniza dentro del sedimento; ver Figura 7.56
E5	10O	10 YR 3/3; Migajón café oscuro	Chacahua	Relleno de un pozo	Pozo poco profundo (aproximadamente 25cm de profundo) que corta desde la cima de 58 y ligeramente dentro de N1 en la unidad 10O; pozo llenado de migajón mal organizado con granos subangulares-angulares; sedimento suelto; contiene inclusiones de mica, arena gruesa, y cerámico erosionada; no contiene carbono ni ceniza; más oscuro que E8 y N1; ver Figura 7.58

Numero de Estrato	Unidades	Descripciones de Munsell y Sedimento	Fecha Probable	Proceso de Formación	Commentarios
E6-s2	5J, 6J	10 YR 2/1; Migajón negro	Chacahua	Fogón	Sub-estrato superior del fogón que curta dentro de la cima de E9-s2 y ligeramente dentro de E10-s1; llenado de Migajón suelto y moderadamente organizado con carbono, ceniza, grava e inclusiones de ceniza; mucho más oscuro y más orgánico que E6-s1; ver Figura 7.55
E6-s1	5J, 6J	10 YR 3/3; Migajón arenoso de color café oscuro	Chacahua	Fogón	Sub-estrato inferior del fogón que curta desde la superficie de E9-s2 y ligeramente dentro de E10-s1; contiene varias perturbaciones en el fondo probablemente causados por madrigueras; lleno de migajón arenoso con cerámico, grava, ceniza y arena gruesa; ningún carbono dentro del perfil; de color más claro que E6-s2, pero más oscuro que E9-s2; menos compacto que E9-s2, pero más compacta que E6-s2; ver Figura 7.55
E7	1O	10 YR 3/3; arena con migajón de color café oscuro	Chacahua	Relleno de construcción	Relleno de arena con migajón moderadamente organizada con inclusiones de grava, mica, carbón y cerámica; puede correlacionarse con E9 y E8; capa más gruesa que contiene sedimento más fino que E9 y E8; ver Figura 7.59
E8	10O	10 YR 3/3; arena con migajón de color café muy oscuro	Chacahua	Relleno de construcción	arena con migajón mal organizada con granos subredondeados-redondeados; contiene inclusiones de arena gruesa, mica, cerámica y pequeñas piedras; probablemente análogo a las capas de relleno E9 y E7; ver Figura 7.58

Numero de Estrato	Unidades	Descripciones de Munsell y Sedimento	Fecha Probable	Proceso de Formación	Commentarios
E9-s2	5J, 6J, 10J, 11J	10 YR 4/2; arena con migajón de color café-grisáceo oscuro	Chacahua	Relleno de construcción	Relleno mal organizado con granos subredondeados; contiene inclusiones de grava, arena gruesa, cerámica, y pequeñas piedras; probablemente análogo a las capas de relleno E8 y E7; el límite entre E9-s2 y E9-s1 en la unidad 5J no está claramente delimitada; E9-s2 tiene color más oscuro, es más arenoso y menos compacto que E9-s1; E9-s2 no está presente en la unidad 6J; ver Figuras 7.55-7.57, 7.60
E9-s1	5J, 10J, 11J	10 YR 4/3; Migajón arenoso de color café	Chacahua	Relleno de construcción	Migajón arenoso mal organizado con granos subangulares; contiene inclusiones de mica, grava, arena gruesa y cerámica erosionada; de color más claro y más compacto que E9-s2; contiene menos arena que E9-s2; depositado directamente encima de la roca madre; E10-s1 y E10-s2 en las unidades 5J y 6J; ver Figuras 7.55-7.56
E10-s1	5J, 6J, 11J	10 YR 4/3; arena con migajón de color café	Transición Miniyua-Chacahua	Relleno de construcción	Capa gruesa de arena con migajón mal organizada con granos subredondeados e inclusiones de grava, cerámica, y pequeñas piedras, relleno mide entre 45-50 cm al este y tiene cuesta abajo hacia el oeste; ver Figuras 7.55-7.56
E10-s2	5J, 6J	10 YR 3/3; arena con migajón de color café oscuro	Transición Miniyua-Chacahua	Relleno de construcción	Capa delgada de sedimento oscuro en la parte superior de E10-s1; sedimento parecido a 10-s1 pero puede haber sido quemado; posible superficie ocupacional o sedimento "limpiado" de un fogón; cubierto por E9-s1; ver Figura 7.55
N1	5J, 6J, 11J, 1O, 10O	Sin Munsell; capa de roca madre gruesa	N/A	Roca Madre	Roca madre natural; sin artefactos; ver Figura 7.58

7.3.2 Historia Ocupacional

El nivel ocupacional más temprano en el área de la Operación B fue E10, una capa de relleno arenoso con migajón de 45-50cm depositado encima de la roca madre (N1). Los constructores probablemente depositaron E10 en un momento tardío en la fase Miniyua o temprano en la fase Chacahua. En la Unidad 5J, los excavadores descubrieron cerámica bien conservada de la fase Miniyua en E10 así como tepalcates erosionados de la fase Minizundo. E10-s1, que representa la mayoría de E10, tiene una pendiente hacia el oeste (las Unidades 5J, 6J y 11J (Figuras 7.55 y 7.56)). El ángulo de la superficie de E10-s1 puede representar el lado de una plataforma temprana construida en el área sur de la Terraza 11. Una capa delgada de sedimento quemado (E10-s2) se encontró encima de E10-s1, indicando que actividades como quema para quitar vegetación se llevaron a cabo allí. La superficie de E10 se encontró a una elevación de 168.5 msnm, a unos 30 cm de la superficie de la capa de relleno más temprano (E27) en la Operación A (168.8 msnm [Sección 7.2, Figura 7.6]). Dado la posición estratigráfica de esta capa encima de la roca madre, la presencia de cerámica de la fase Miniyua, y una elevación comparable al primer episodio de relleno en la patio norte del Complejo A, es probable que E10 pertenece al periodo de transición entre las fases Miniyua y Chacahua.

Después de la construcción de E10 y el uso de la posible plataforma, las actividades de construcción en el área sur del Complejo A se intensificaron- los constructores ampliaron la superficie ocupacional para crear el patio sur del Complejo A. Los constructores depositaron E9 en un momento temprano durante la fase Chacahua, indicado por la presencia importante de cerámica de la fase Chacahua en comparación con la cerámica erosionada de la fase Miniyua recuperada en E9 en las unidades 5J, 6J, 10J, y 11J (Figuras 7.55, 7.56, y 7.57). En el área de la unidad 5J, E9-s1 fue depositado encima de E10-s1 y E10-s2, lo que levanto el área al oeste de la terraza del Complejo A de hasta 40cm y alargo la superficie de Terraza 11 hacia el oeste. E9-s2 elevó el nivel del patio sur por unos 20-30cm y

creó una superficie ocupacional con cuesta ligera hacia el oeste. E9 consiste de sedimento arenoso con migajón, probable coluvión.

Las actividades de construcción de la fase Chacahua en la Operación B también incluyeron el depósito de capas de relleno en la parte norte del patio sur. En el área de la unidad 10O (Figura 7.58), localizado a 7m al sur de la escalera sur (Op A-E12) de la Estructura 2, los constructores depositaron E8. E8 es una capa de relleno de arena con migajón colocada para levantar la plaza de 10-30 cm encima de la roca madre (N1) a una elevación de 169.1 msnm. Al mismo tiempo, los constructores depositaron E7 encima de la roca madre en el área de la unidad 1O, que levantó la superficie de la plataforma de 167.8 msnm (Figura 7.59). E7 mide hasta 80cm de grueso, indicando que el patio sur fue construido relativamente rápidamente durante el segundo episodio de construcción importante en el área (correspondiendo a E7, E8 y E9). Hay una diferencia de casi 1.3 metros entre la superficie de E7 y E8, indicando que aunque el patio sur era relativamente nivelado en el área de las unidades 5J, 6J, 10J, 11J, 9K, y 10K, tenía una cuesta hacia abajo hacia el oeste, fuera de la Terraza 11. E7, E8, y E9 tenía sedimento muy parecido que fue probablemente sacado de áreas parecidas y depositados al mismo tiempo.

Después del segundo episodio importante de construcción (E7, E8, y E9), se dejó de construir el patio sur y los datos indican que las personas empezaron a llevar a cabo otras actividades en el área. La gente probablemente hizo actividades de cocina en el patio sur, indicadas por dos fogones (E4 [unidades 10J, 11J, y 10K; Figuras 7.56, 7.60. 7.61, y 7.62] y E6 [unidades 5J y 6J; Figuras 7.55, 7.63, y 7.64]) excavado desde la superficie de E9-s2 durante la fase Chacahua. E6 es un fogón ancho y poco profundo (aproximadamente 1.35 m en diámetro y 15-20 cm profundo) compuesto por un estrato más arenoso y lleno de ceniza (E6-s1) y un sub-estrato de sedimento quemado, orgánico y con más migajón (E6-s2). Durante el uso de E6, los habitantes del sitio utilizaron piedras de granito como elementos para calentar. Al noreste de la unidad 10O, un pequeño pozo poco profundo fue excavado desde la cima de

E8 y después llenado de sedimento con migajón y oscuro (E5; Figura 7.58). Durante el uso de E6, los habitantes del sitio utilizaron lajas de granito como elementos para calentar. Al noreste de la unidad 10O, un pequeño pozo poco profundo fue excavado desde la cima de E8 y después llenado de sedimento oscuro y con migajón (E5; Figura 7.58). El uso del pozo llenado por E5 no está claro. Los habitantes de Cerro de la Virgen también utilizaron un segundo fogón (E4) localizado en el centro del patio sur. E4 es un fogón ancho y profundo (1.25 m en diámetro, 0.53 m de profundo) compuesto por una capa de sedimento oscuro (E4-s1) en su base cubierto por una capa más gruesa de sedimento oscuro y con más ceniza (E4-s2). Dentro de las inclusiones asociadas con E4-s2 se encontraron carbono, ceniza, y cerámica erosionada, así como piedras quebradas por el calor utilizadas para calentar. En algún momento durante o después del uso E4, los habitantes de Cerro de la Virgen colocaron pequeñas ofrendas (E3) cerca del borde del fogón justo debajo de la superficie de E9-s2 (Figuras 7.60, 7.65. y 7.66). La ofrenda E3 incluía dos objetos de cerámica (E3-s1) y una colección de lajas delgadas de piedra orientadas verticalmente en filas (E3-s2). E3-s1 consistió en un fragmento de una figura (posible de venado; E3-0b1) y una pequeña vasija de tipo café grueso (E3-Ob2). E3-s2 fue colocado en un patrón parecido a las lajas de piedra y los compartimientos en el patio norte del Complejo A. Dado su cercanía al fogón adyacente (E4), E3 pudo haber sido asociado a los festines llevados a cabo en el patio sur. Otra opción es que las ofrendas fueron colocadas como un depósito de terminación antes de abandono del sitio.

Una vez que las actividades de depósito y cocina en el patio sur del Complejo A dejaron de hacerse, el área parece haber sido abandonado. Una capa gruesa de coluvión (E2) se deslavo desde la Terraza 10 por un periodo de tiempo extendido, cubriendo la superficie de E9-s2, E8, y E7, así como los restos de los fogones E4 y E6 por una capa de migajón arenoso oscuro. Las unidades 15J, 15K y 16J (Figura 7.67) expusieron escombro de piedra en la base de la escalera después de que ésta dejo de estar mantenida. Después, un suelo (E1) se formó en la parte superior del coluvión. .

7.3.3 Resumen

La evidencia de la Operación B demuestra que la construcción inicial de la Terraza 11 y el Complejo A empezó casi al final de la fase Miniyua. En este periodo, los constructores también depositaron las capas iniciales de relleno en el área norte del Complejo A, creando una superficie plana y elevada a lo largo de la terraza. De acuerdo con los datos de cerámica recuperados en los fogones, las actividades de cocina que se hicieron en el patio sur durante la fase Chacahua correspondieron a un aumento del uso del patio norte. Dado que el patio sur es relativamente menos restringido que el patio norte, las actividades llevadas a cabo en el patio sur pudieron haber involucradas a una parte más grande de la comunidad de Cerro de la Virgen.

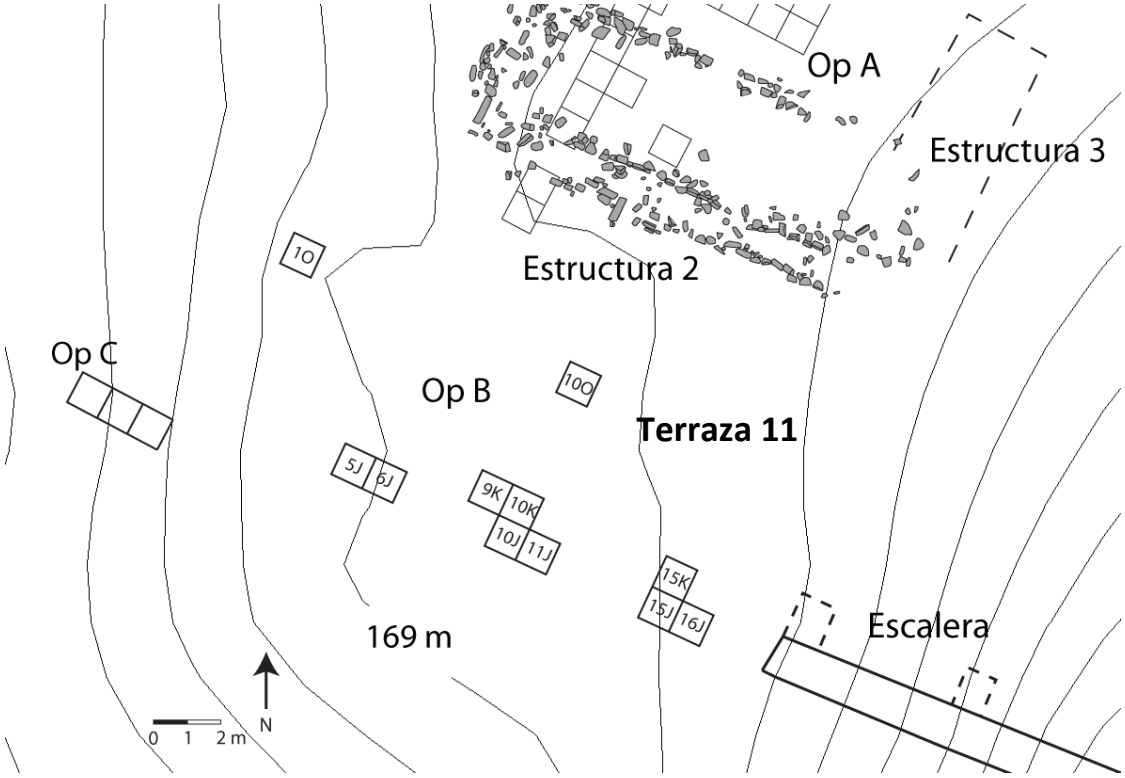


Figura 7.53: Vista en planta de las unidades excavadas en la Operación B (contorno = 1m)



Figura 7.54: Foto de las unidades excavadas en la Operación B viendo hacia el sur; unidad 1O no está visible

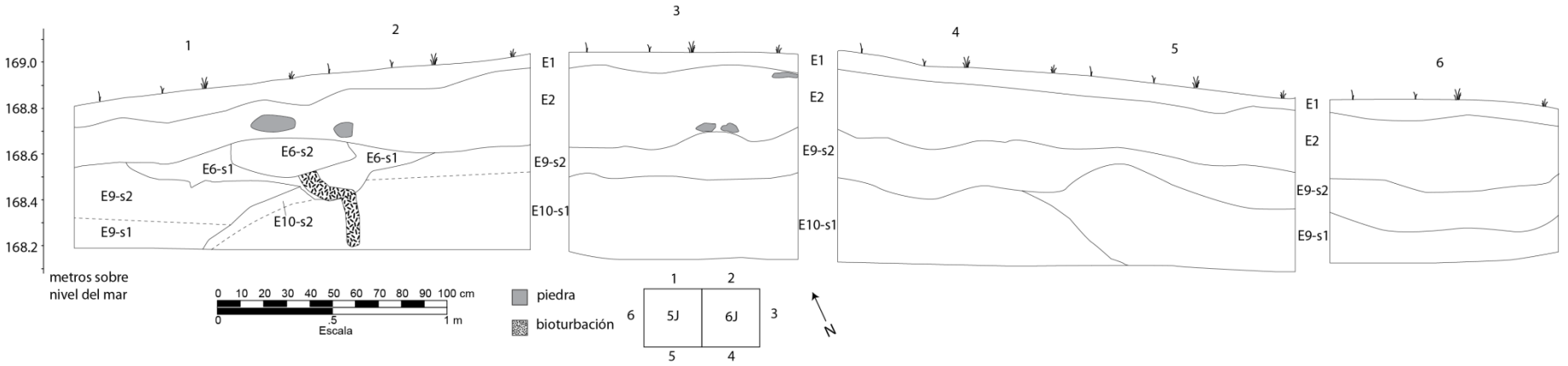


Figura 7.55: Perfil estratigráfico de las unidades 5J y 6J

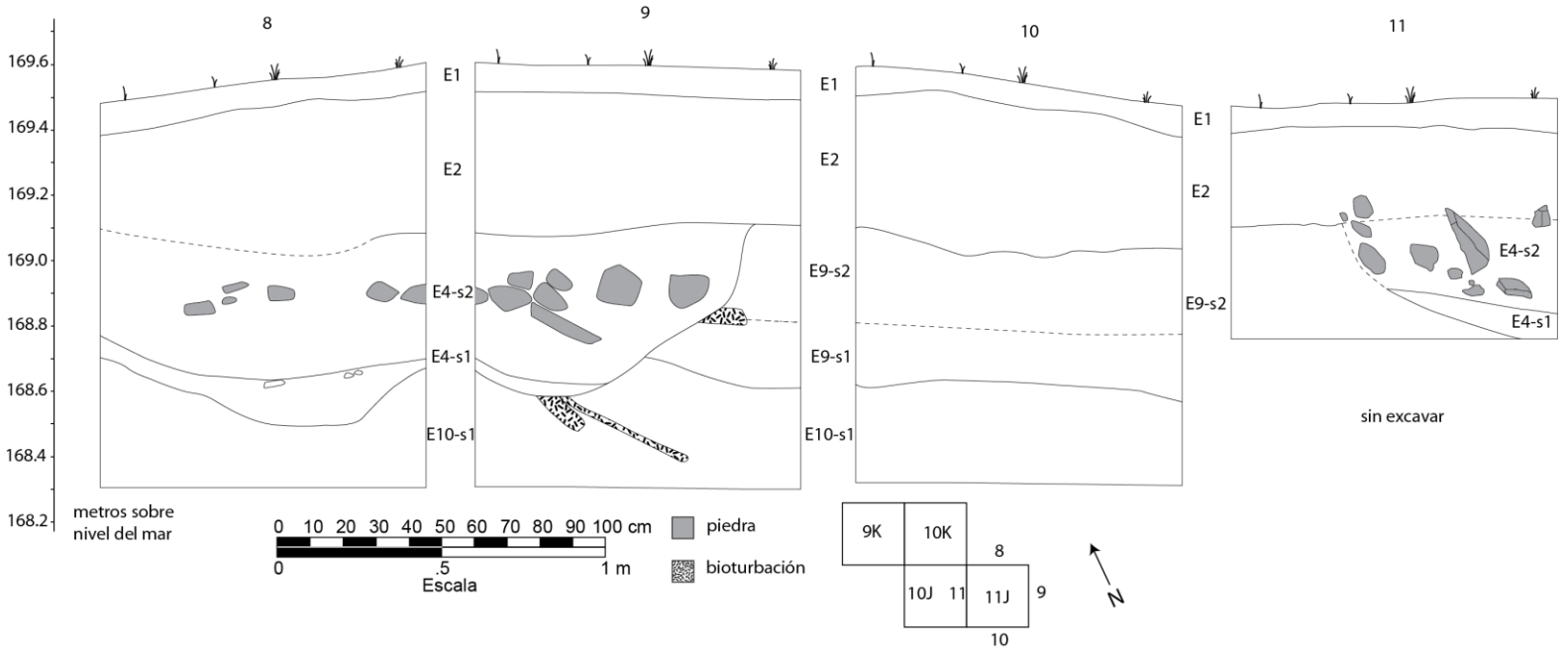


Figura 7.56: **Perfil estratigráfico de la unidad 11J**

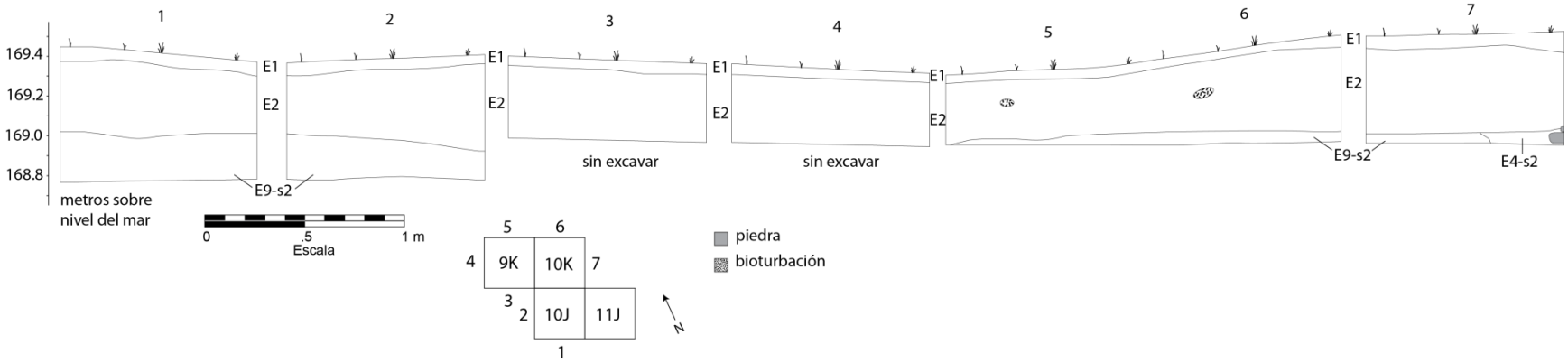


Figura 7.57: Perfil estratigráfico de las unidades 9K, 10K, y 10J

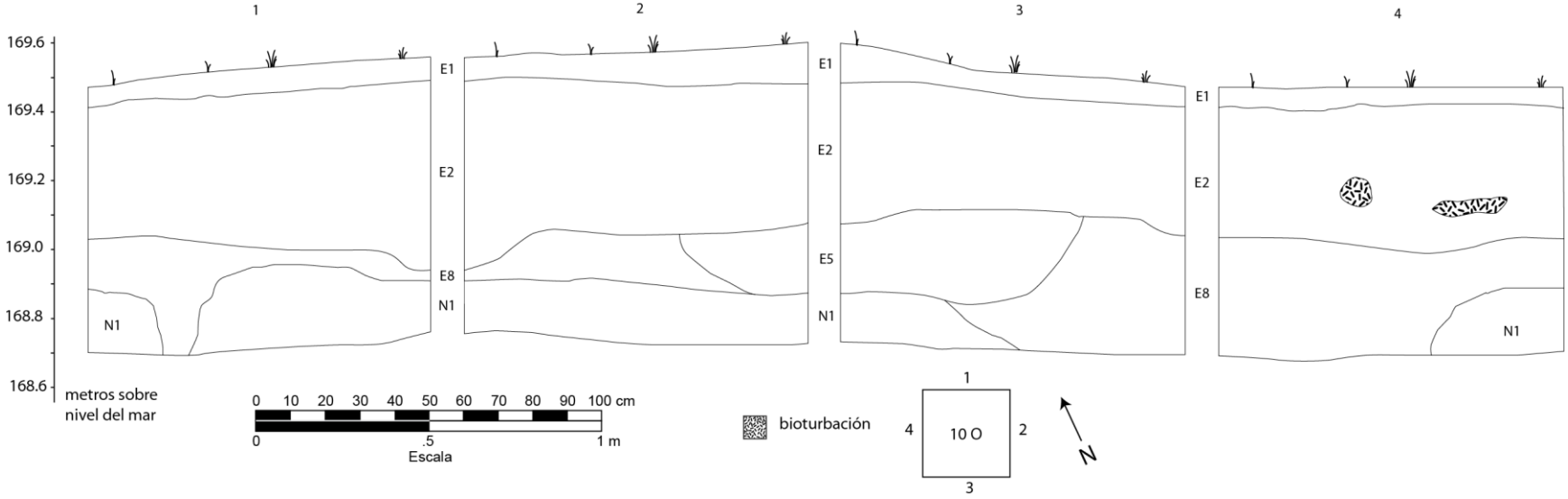


Figura 7.58: Perfil estratigráfico de la unidad 10 O

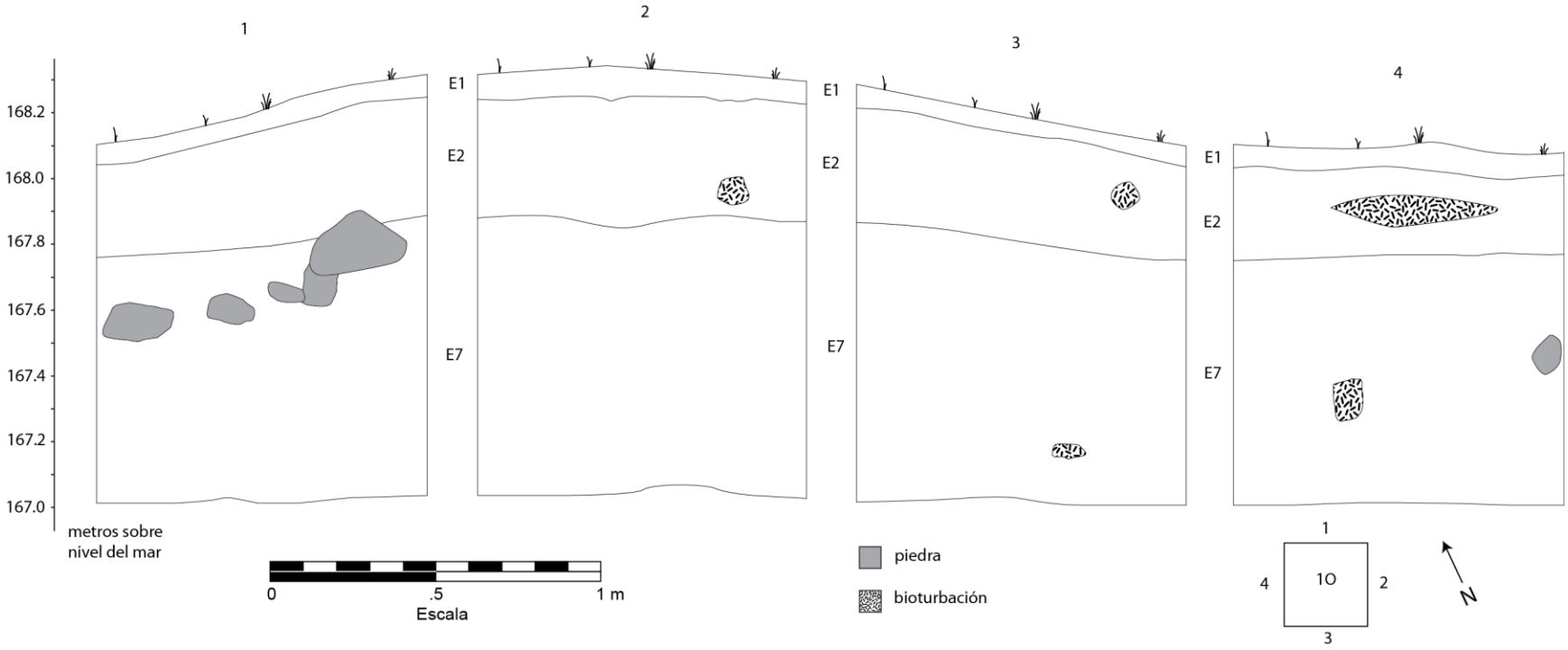


Figura 7.59: Perfil estratigráfico de la unidad 1O

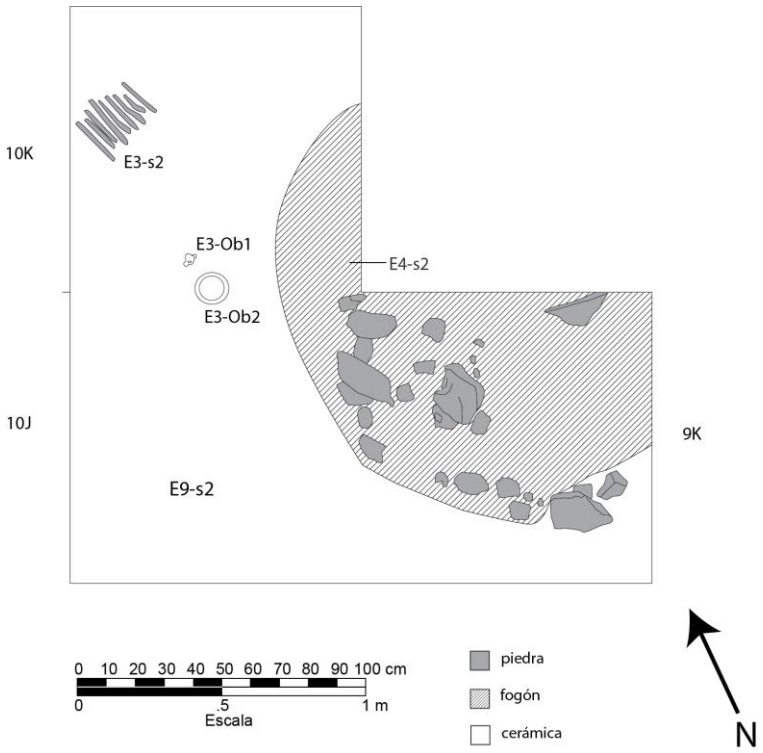


Figura 7.60: Vista en planta de la ofrenda E3 y el estrato superior del fogón (E4-s2); E3-s1 consiste en fragmentos de una figura (E3-Ob1) y una vasija (E3-Ob2), E3-s2 consiste en una colección de lajas de piedra delgada



Figura 7.61: Foto del fogón E4 visto desde arriba



Figura 7.62: Foto del fogón E4 en los perfiles norte y este de la unidad 11J



Figura 7.63: Foto del fogón E6 visto desde arriba



Figura 7.64: Foto del fogón (E6) en el perfil norte de las unidades 5J y 6J

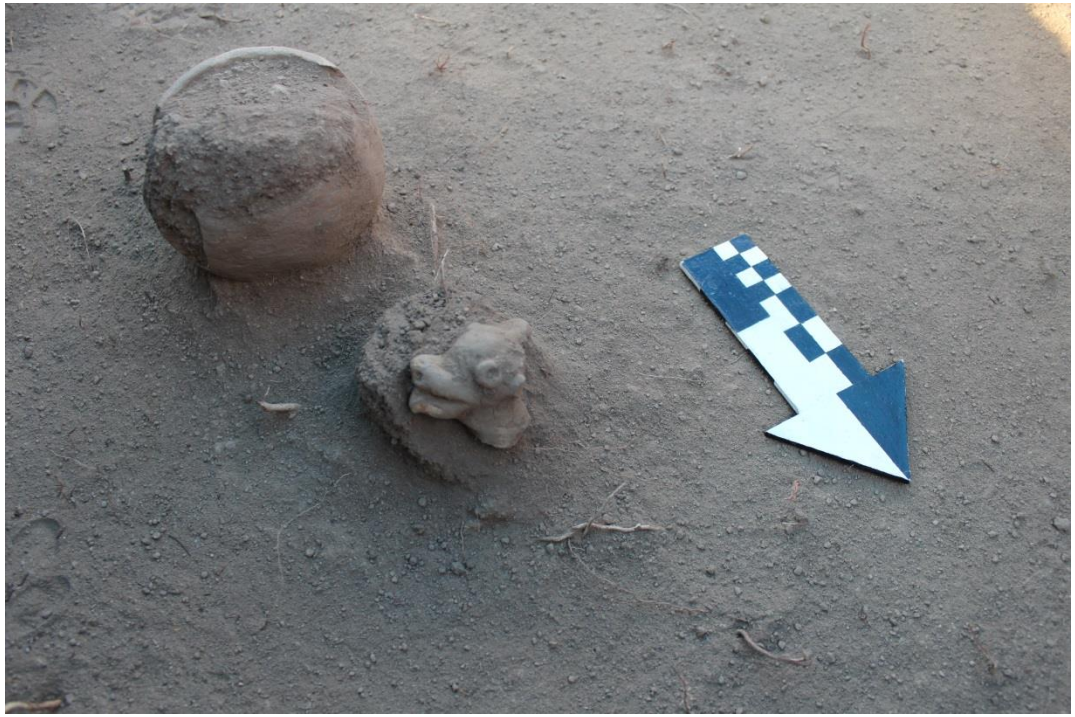


Figura 7.65: Foto de la cabeza de una figura (E3-Ob1) y vasija sin cuello (E3-Ob2).



Figura 7.66: Foto de lajas de piedra incluidas en la ofrenda E3 (E3-Ob3)

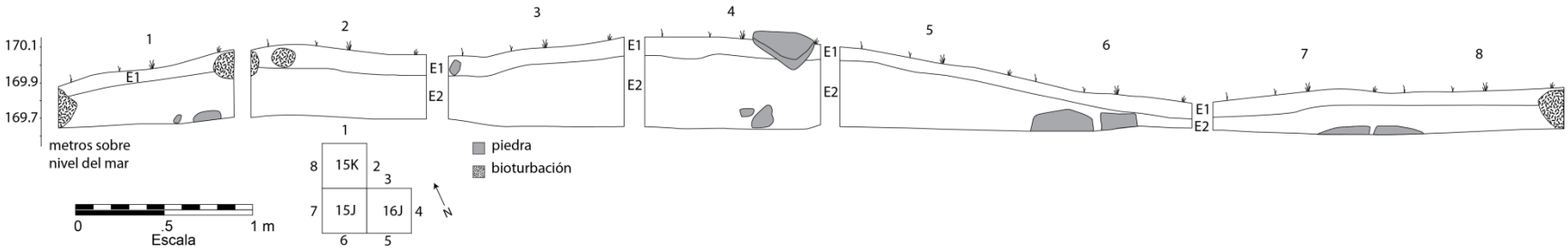


Figura 7.67: Perfil estratigráfico del bloque este de la Operación B, incluyendo los perfiles oeste de las unidades 15J, 15K; perfiles este y norte de las unidades 15K y 16J; perfiles sur de las unidades 15J y 16J

7.4 Excavaciones en la Operación C

7.4.1 Introdución

La Operación C era una pequeña excavación de sondeo (3m x 1m) localizada inmediatamente al oeste del Complejo A en la base de la Terraza 11. La línea de excavaciones de 1m x 1m corría a lo largo de un eje este-oeste (115°-295° azimut), paralela a la orientación del sitio (Figura 7.68). Las excavaciones en la Operación C tenían los siguientes objetivos:

1. Identificar las técnicas de construcción y los materiales utilizados para construir la sección noreste de la plaza en la Terraza 2.
2. Identificar las actividades llevadas a cabo fuera de la Terraza 11 (es decir, elementos ocupacionales, desechos, o basureros).
3. Penetrar hasta la roca madre para investigar la ocupación más temprana y los episodios de construcción en el área.

Las excavaciones llevadas a cabo en la Operación C expusieron una serie de capas de relleno en el área norte de la plaza de la Terraza 2, al oeste (y fuera) del muro de contención de la Terraza 11. La evidencia de la Operación C indica que los constructores depositaron varias capas de sedimento arenoso y con migajón que tenían una pendiente hacia el oeste. Encontrados dentro de las capas de relleno tempranas eran los vestigios de un edificio destruido de bajareque que contenía bajareque quemado con impresiones de caña y superficies conservadas (E4). Mientras que 10J fue la única unidad en la Op C que llegó hasta la roca madre, las unidades 9J y 11J expusieron las capas de relleno superiores, ilustrando la cuesta de un sedimento quemado (E3) y el coluvión superior (E2) depositado después del abandono del Complejo A. La tabla 7.3 provee una lista detallada de las capas estratigráficas en la Operación C, empezando con la más reciente y terminando con la más antigua. Desafortunadamente, la Op C no detectó ningún basurero en la base de la Terraza 11.

Tabla 7.3: Lista de niveles estratigráficos en la Operación C

Numero de Estrato	Uni-dades	Descripciones de Munsell y Sedimento	Fecha Probable	Proceso de Formación	Commentarios
E1	9J, 10J, 11J	10 YR 3/2; Migajón arenoso de color café-grisáceo muy oscuro	Moderno	Suelo formado dentro de coluvión (E2)	Humus de migajón arenoso mal organizado; contiene grava, arena gruesa e inclusiones de cerámica así como perturbaciones de raíces y material orgánico; capa delgada de subsuelo; muy perturbado; ver Figuras 7.69-7.71
E2	9J, 10J, 11J	10 YR 3/1; Migajón de color gris muy oscuro	Coyuche o más tardío	Coluvión	Coluvión de migajón moderadamente organizado con granos angulares-subredondeados; contiene inclusiones de arena gruesa y cerámica; ver Figuras 7.69-7.71
E3	10J	10 YR 3/3; Migajon de color café oscuro	Coyuche o Chacahua	Suelo enterrado formado dentro de relleno de construcción (E4)	Relleno mal organizado formado dentro del relleno de coluvión; contiene inclusiones de mica, arena gruesa, y cerámica erosionada; sedimento es grumoso y se deshace en partículas hexagonales; en general contiene menos inclusiones que E2 y E4; fragmentos de obsidiana verde también encontrados en la parte superior de E3; suelo formado dentro de relleno de construcción; ver Figuras 7.69-7.71
E4	10J	10 YR 4/4; arena con migajón de color café amarillento	Chacahua	Relleno de construcción	Relleno de arena con migajón mal organizada con granos angulares; contiene inclusiones de grava, mica y cerámica; menos compacto que E3 y E5; asociado con el último episodio de la construcción de la Terraza 2; ver Figuras 7.69-7.71

Numero de Estrato	Uni-dades	Descripciones de Munsell y Sedimento	Fecha Probable	Proceso de Formación	Commentarios
E5	10J	5 YR 4/4; arena con migajón de color café rojizo	Chacahua	Relleno de construcción	Relleno de arena con migajón mal organizada con cantidades importantes de bajareque quemado, muchos pedazos con impresiones de cana; probablemente depositado después de la destrucción de una estructura de bajareque (probablemente del Complejo A); contiene también inclusiones de arena gruesa, mica, y cerámica; sedimento contiene granos angulares; muy compacto y de color más rojizo que E6 y E4; ver Figuras 7.69-7.71
E6	10J	10 YR 4/3; Migajón arenoso de color café	Chacahua	Relleno de construcción	Relleno de migajón arenoso mal organizado con granos angulares; contiene inclusiones de grava, mica, y cerámica; menos compacto que E5 pero más compacto que E7-s1; corresponde al final de la primera fase de construcción de la Terraza 11 (Complejo A); ver Figuras 7.69-7.71
E7-s2	10J	10 YR 4/3; Migajón arenoso de color café	Chacahua	Relleno de construcción	Relleno mal organizado con granos angulares; contiene inclusiones de grava, mica, arena gruesa y cerámica; suelto; posiblemente asociado con el primer episodio de construcción del patio sur del Complejo A (Terraza 11); ver Figuras 7.69-7.71
E7-s1	10J	10 YR 4/4; Migajón arenoso de color café amarillento	Chacahua	Relleno de construcción	Capa delgada (6 cm de grueso) de relleno mal organizado con granos angulares; contiene inclusiones de mica, arena gruesa, y cerámica; más suelto y de color más claro que E6 y E7-s2; ver Figuras 7.70-7.71

Numero de Estrato	Uni-dades	Descripciones de Munsell y Sedimento	Fecha Probable	Proceso de Formación	Commentarios
E7-s3	10J	10 YR 4/4; arena con migajón de color café amarillento oscuro	Chacahua	Relleno de construcción	Capa delgada (5 cm de grueso) de relleno mal organizada con granos angulares; contiene inclusiones de mica, arena gruesa, y cerámica erosionada; de color más claro y más arenoso que E7-s2 pero no tan arenoso como E7-s5; ver Figuras 7.70-7.71
E7-s4	10J	10 YR 3/3; Migajón arenoso de color café oscuro	Chacahua	Relleno de construcción	Capa delgada oscura y mal organizada con granos angulares; contiene una concentración elevada de carbono con inclusiones adicionales de grava, mica, piedras angulares, y cerámica erosionada; de color más oscuro que E7-s2 y E7-s3; suelto; ver Figuras 7.70-7.71
E7-s5	10J	10 YR 5/3; arena de color café	Chacahua	Relleno de construcción	Capa delgada (8 cm de grueso) de relleno arenoso mal organizado con granos angulares; contiene inclusiones de grava y concentraciones muy bajas de cerámica; de color más claro, menos compacto y más arenoso que E7-s2; ver Figuras 7.71
N1	10J	Sin Munsell; Roca madre natural	N/A	Roca madre	Roca madre natural; ver Figuras 7.69-7.71

7.4.2 Historia Ocupacional

La Operación C expuso una serie de capas de relleno afuera del muro de contención de la Terraza 11. La capa de construcción más temprana expuesta en la Operación C fue E7, una capa de 20-60 cm de grueso de sedimento arenoso-limoso depositado directamente encima de la roca madre (N1). E7 consiste en varias capas de sedimento arenoso de color amarillento oscuro que crearon una superficie con pendiente hacia el oeste (Figuras 7.96, 7.70, 7.71 y 7.72). Esta superficie llego a una altura de 164.3 msnm. Aunque no está claro hasta donde se extiende E7 hacia el este, la deposición de la capa de

relleno pudo haber provisto una base sobre la cual los constructores hicieron el patio sur de la Terraza 11. Se requiere más investigación del muro de contención de la Terraza 11 para identificar si E7 fue colocado al mismo tiempo que las capas de relleno del patio sur, o después de que se puso el muro de contención. Evidencia cerámica de E7 demuestra que la capa de relleno pertenece a la fase Chacahua, lo que sugiere que pudo haber sido depositada al mismo tiempo que Ob B-E9 (ver Sección 7.3).

Poco después de E7, los constructores colocaron otra capa de relleno arenoso (E6) que levanto el nivel oeste de la Terraza 11 por unos 10-30 cm más, para llegar a una elevación de 164.4 msnm. Las excavaciones no detectaron ni desecho ocupacional ni una superficie entre E7 y E6, lo que sugiere que las capas de relleno fueron depositadas en sucesión inmediata como parte del mismo episodio de construcción. Después de E7 y E6, los habitantes de Cerro de la Virgen depositaron una capa de relleno arenoso limoso con una concentración alta de inclusiones de bajareque quemado (E5), con un tamaño entre menos de 0.5g a fragmentos que pesaban hasta 160g. Algunos de los fragmentos de bajareque quemado conservados mostraron impresiones de cana, de entre 6.8cm-12.8cm de grueso, así como impresiones ocasionales de fibras. Los excavadores recuperaron varios fragmentos de muro preservados, uno de los cuales contenían dos superficies planas que juntaban en un ángulo recto, que puede representar la esquina de un edificio de bajareque. La mayoría de los fragmentos de bajareque quemado en E5 fueron bien conservados, indicando que si fueron expuestos a los elementos, solo fue por solo un periodo corto de tiempo, y que el edificio de donde vienen era ubicado cerca del borde de la Terraza 11. Las excavaciones no detectaron paneles intactos con una superficie interior o exterior, así que no se puede estimar que tan grueso era el muro.

E5 sigue la topografía de E7 y E6 y cuenta con una cuesta ligera hacia el oeste; llegando a una elevación máxima de 164.5 msnm. Aunque cerámica diagnostica fue poca en E5, la evidencia cerámica indica que la capa de relleno pertenece también a la fase Chacahua. Después del depósito de E5, los constructores colocaron una capa adicional de arena con migajón (E4) que levantó la superficie a una

elevación de 165.0 msnm. Después del abandono del sitio, un suelo (E3) se formó dentro del relleno de E4. El episodio de relleno de E4, que, en su forma original, hubiera extendido la superficie superior de E3, fue probablemente asociada con el último episodio de relleno de la Terraza 2. Una vez que se dejó de mantener las Terrazas 2 y 11, una capa de coluvión con migajón (E2), bajando desde el Complejo A, cubrió E3 y una capa delgada de sedimento con migajón y orgánico (E1) se formó dentro del coluvión.

7.4.3 Resumen

Mientras que las excavaciones dentro de la Operación C no encontraron ningún basurero, la secuencia estratigráfica identificada en las unidades 9J, 10J, y 11J indica que la parte norte de la plaza fue construida durante la fase Chacahua. Los habitantes de Cerro de la Virgen utilizaron una variedad de materiales de construcción, incluyendo limo arenoso no consolidado así como escombro redepositado de edificios de bajareque. La evidencia de la Operación C indica también que una vez que se dejó de usar la parte central del sitio, quizás al final de la fase Chacahua, el área paso por un momento de estabilidad relativa dentro del cual un suelo grueso (E3) se formó dentro de la capa final de construcción (E4). Dado la fase más temprana (transición Miniyua-Chacahua) de las actividades en la Terraza 11 (ver Sección 7.2 y 7.3), es probable que el relleno expuesto por la Op C fue depositado después de la construcción de la Terraza 11. Es más, la evidencia de la Op H (ver Sección 7.9) demuestra que los episodios de relleno más tempranos en las partes centrales y sur de la plaza pertenecen exclusivamente a la fase Chacahua. Esto indica que cuando las actividades de depósito ritual y los festines asociados con las Terrazas 10 y 11 empezaron a aumentar e intensificar, la plaza pudo haber sido construida para proveer un área más grande y accesible para que la gente se reúna durante eventos comunales.

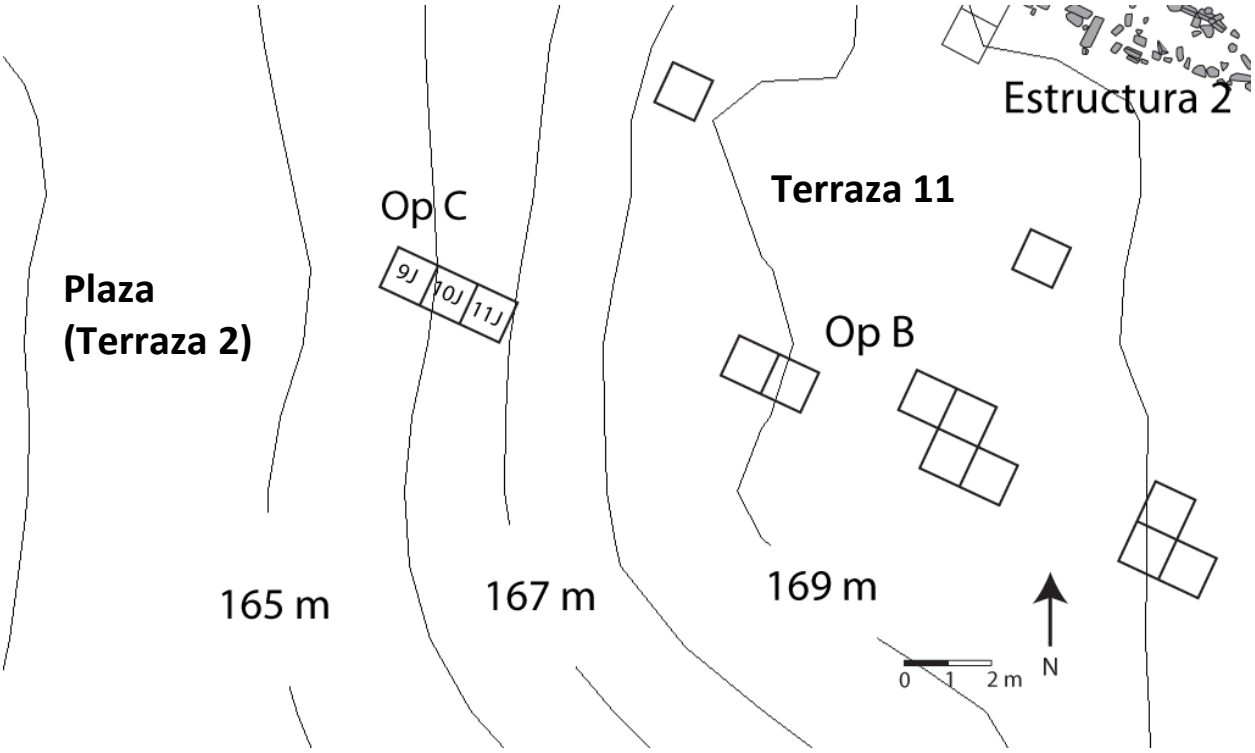


Figura 7.68: Vista en planta de las excavaciones en la Operación C (contorno = 1m)

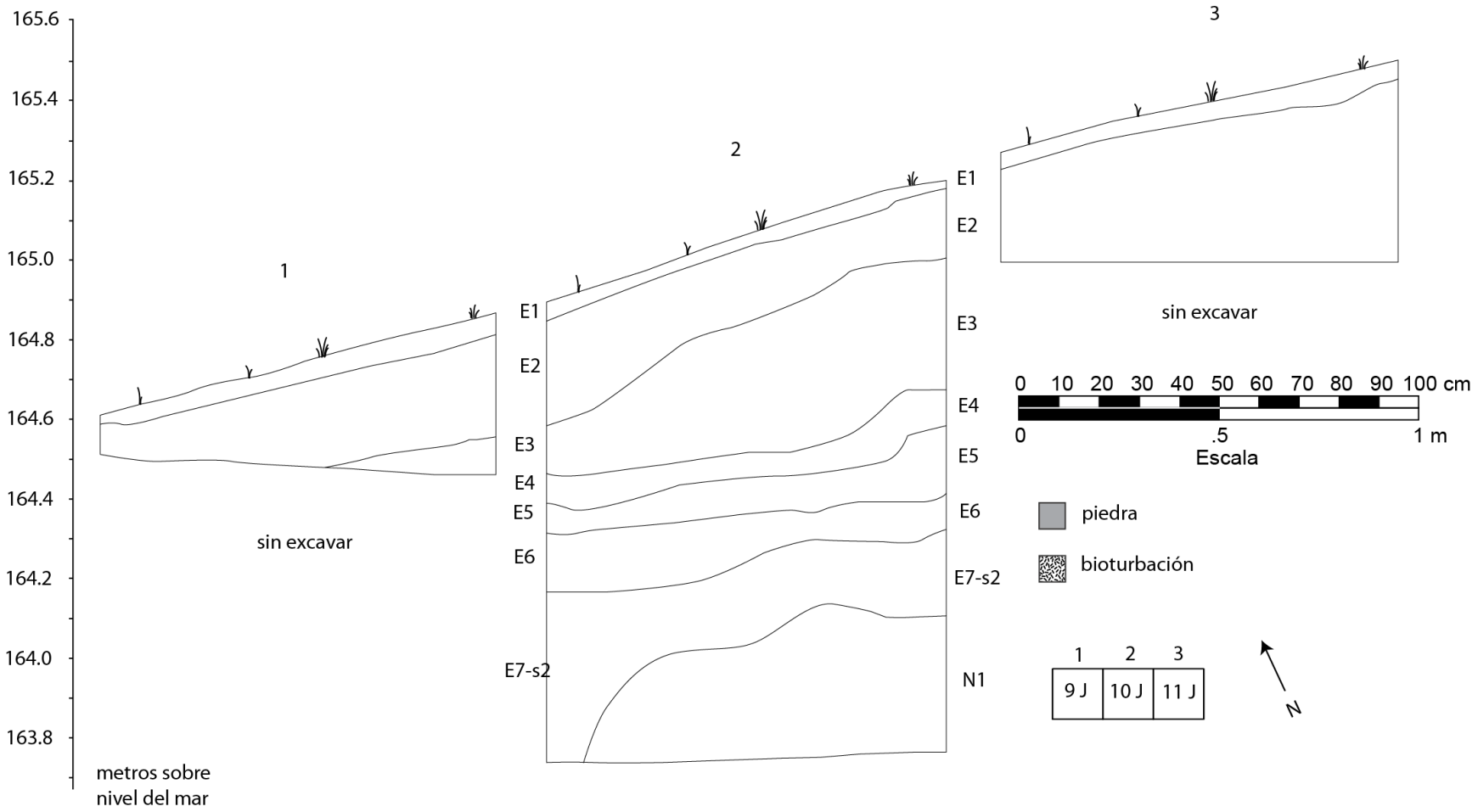


Figura 7.69: Perfiles estratigráficos (norte) de las unidades 9J, 10J, y 11J

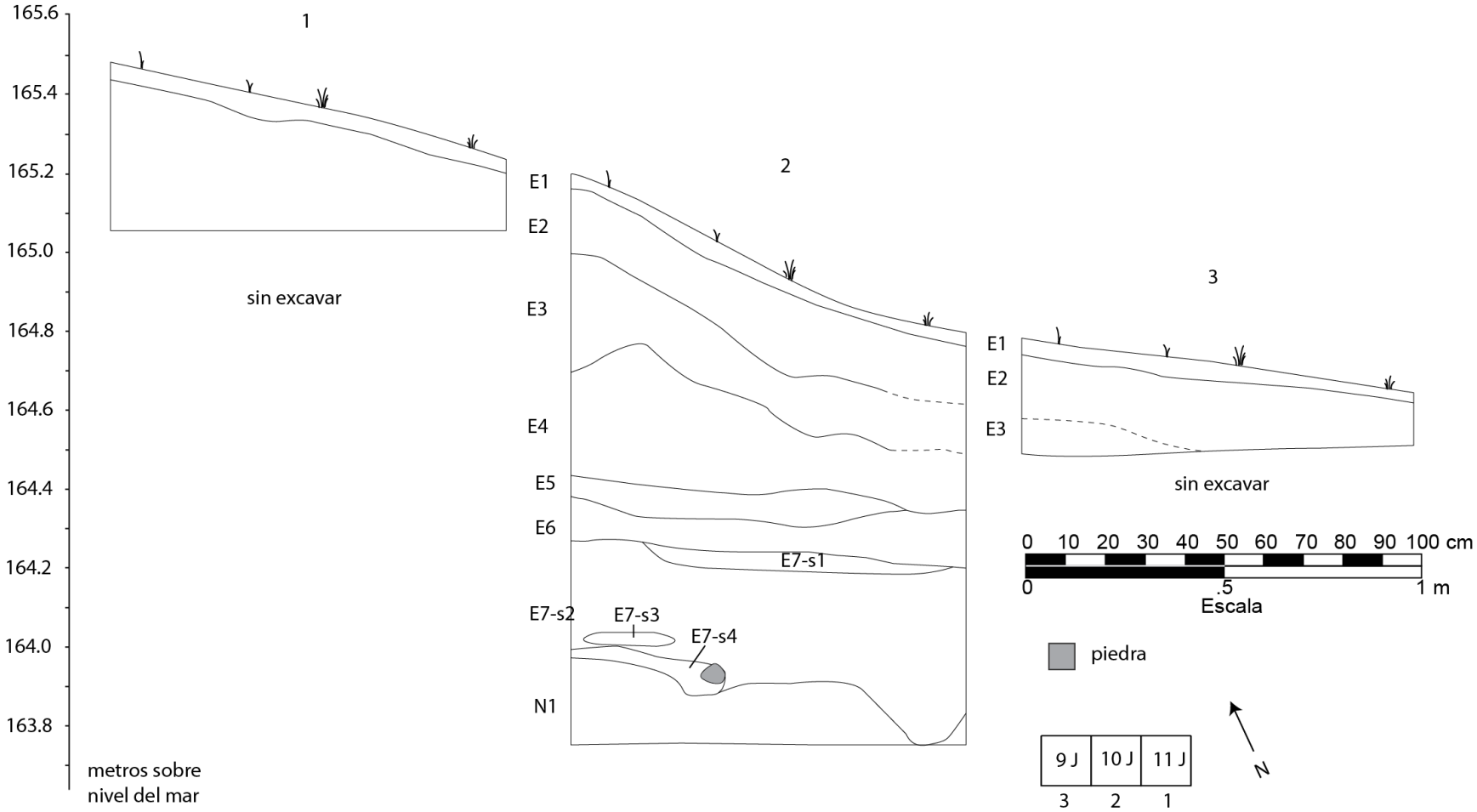


Figura 7.70: Perfiles estratigráficos (sur) de las unidades 9J, 10J y 11J

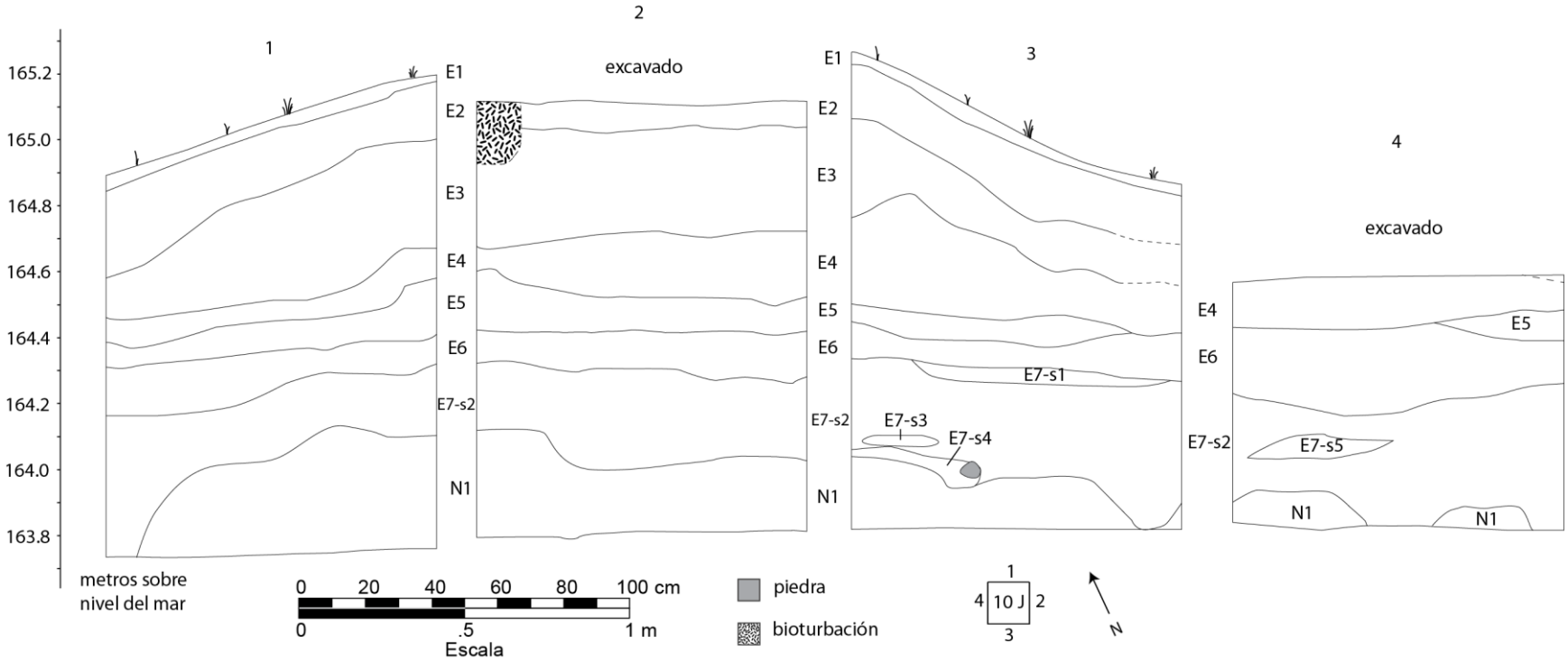


Figura 7.71: Perfil estratigráfico de la unidad 10J



Figura 7.72: Foto del perfil este de la unidad 10J con los niveles estratigráficos indicados

7.5 Excavacions en la Operación D

7.5.1 Introducción

La Operación D consistía en excavaciones de prueba sobre la Terraza 10, una superficie nivelada construida durante el periodo Formativo terminal que sostenía la Estructura 1, una plataforma sub-estructural cuadrada que fue renovada por lo menos una vez durante el Formativo terminal. La Terraza 10 era ubicada directamente al este de la Terraza 11, conectada por una escalera monumental que llego desde la superficie del patio sur del Complejo A hasta el patio adyacente a la Estructura 1 (Figuras 7.73 y 7.74). Las excavaciones en la Operación D fueron separadas en dos grupos principales - el "bloque de la Estructura 1", que investigó la construcción y uso de la Estuctura 1, y el "transecto del patio", que investigó el patio adyacente a la Estructura 1. El bloque de la Estructura 1 expusó un área de 7 m² a dentro de la Estructura 1, y el transecto del patio consistió en tres pozos de sondeo de 1m x 1m en el pequeño patio al oeste de la estructura 1. Una de estas unidades fue extendida para exponer 6 m² en el centro del patio. Las excavaciones en la Operación D tenían tres objetivos:

1. Identificar las técnicas de construcción y los materiales utilizados para construir la Estructura 1 y la Terraza 10
2. Identificar las actividades llevadas a cabo dentro de la Estructura 1 y en el patio adyacente al oeste
3. Penetrar hasta la roca madre dentro de la Estructura 1 y en el patio al oeste para investigar la ocupación y la construcción más temprana en el área

La evidencia de la Op D demuestra que los habitantes de Cerro de la Virgen empezaron la construcción de la Terraza 10 cerca del final de la fase Miniyuna. Este proceso fue iniciado por la colocación de una ofrenda dedicatoria directamente encima de la roca madre (Figura 7.75). La ofrenda consistía en un depósito o posible bulto de objetos de piedra, incluyendo una máscara de piedra grabada casi completa, fragmentos de otra mascara, dos tronos miniaturas, una figura de piedra, así

como varias vasijas de cerámica miniaturas. La ofrenda fue colocada inmediatamente antes de que se empezara la construcción de la Terraza 10. Durante este episodio de construcción, los constructores crearon una superficie ocupacional plana que se extendió al oeste hacia la escalera monumental, que fue probablemente construida alrededor del mismo tiempo. Las excavaciones expusieron bajareque quemado dentro de las primeras capas de relleno de la Terraza 10, sugiriendo que una superestructura de bajareque pudo haber sido construido. Dado la falta de desecho domestico asociada con la Terraza 10, la posible superestructura pudo haber sido un edificio público utilizado por fines rituales. Debajo de la superficie de la Terraza 10, los habitantes de Cerro de la Virgen colocaron una ofrenda de vasijas de cerámica y un hueso largo humano dentro de un pozo que tenía también inclusiones de bajareque. Finalmente, un depósito importante de vasijas de cerámica y lajas de piedra fue colocado en la superficie de la Terraza 10 y sellado con una capa de relleno que incuria quizás los restos quemados de la superestructura. Aunque la presencia de la superestructura es tentativa, sugerimos que las ofrendas eran parte de un deposito ritual que dio por terminado el uso más temprano de la Terraza 10 (ver Figura 7.76).

Después de la terminación de la superficie de la Terraza 10 y posible superestructura, los constructores hicieron una plataforma subestructural (Estructura 1-sub1) con muros de contención de piedra sobre la cual una nueva estructura de bajareque quizás fue construida. Sin embargo, al igual que la superficie de la Terraza 10 anterior, los excavadores no detectaron ningún vestigio de una superestructura. Los datos de cerámica indican que la Estructura 1-sub 1 pertenece a la fase Formativa terminal y puede representar un “aumento” en las actividades ceremoniales asociadas con el centro cívico-ceremonial del sitio (ver Barber y Joyce 2007; Joyce 2010). La construcción de la plataforma levantó y expandió el espacio disponible para las actividades asociadas con el edificio público. Durante la construcción de la Estructura 1-sub1, una ofrenda dedicatoria de vasijas de cerámica fue colocada dentro del relleno, que puede representar un ritual de “dar alma” al edificio público (ver Mock 1998;

Joyce y Barber n.d.). Residentes de Cerro de la Virgen terminaron la Estructura 1-sub 1 ritualmente cuando enterraron una ofrenda de vasijas de cerámica dentro de un pozo excavado dentro de la superficie de la plataforma.

Después de la terminación de la Estructura 1-sub 1, los constructores expandieron la plataforma con la construcción de un segundo grupo de paredes más grandes, que contenían una capa de relleno que cubrió la Estructura 1-sub1. Una ofrenda dedicatoria de vasijas de cerámica fue colocada dentro del relleno de la Estructura 1, la versión final de plataforma. La Estructura 1 levantó la superficie ocupacional y probablemente soportó una superestructura de bajareque, aunque las excavaciones no detectaron ninguna huella de material de construcción perecedero. En esta época, los habitantes de Cerro de la Virgen utilizaron también el patio al lado oeste de la Terraza 10 para actividades rituales, indicados por la ofrenda de vasijas de cerámica depositada justo debajo de la superficie del patio durante la fase Chacahua. Sin embargo, no está claro si el depósito de vasijas en el patio era parte de rituales dedicatorios o de terminación, o si el depósito se relaciona con una ocupación particular de la Estructura 1. Dado que la ofrenda en el patio no fue profundamente enterrada sugerimos que fue depositada durante el uso de la versión final de la Estructura 1 o quizás después de la que plataforma se dijo de utilizar. Las actividades asociadas con la Estructura 1 y el patio probablemente se dieron por terminadas durante la fase Chacahua, indicada por la ausencia de artefactos del periodo Clásico en la Terraza 10. La tabla 7.4 provee una lista detallada de todas las capas naturales y elementos culturales identificados en la Operación D.

Tabla 7.4: Lista de niveles estratigráficos en la Operación D

Numero de Estrato	Unidades	Descripciones de Munsell y Sedimento	Fecha Probable	Proceso de Formación	Commentarios
E1-s1	16N, 16O,	10 YR 3/3; Migajón arenoso de color café oscuro	Moderno	Suelo moderno	Humus mediadamente organizado con granos sub-redondeados; contiene una cantidad moderada de material orgánico e inclusiones de cerámica, grava, piedras, y piedras grandes; varias perturbaciones de raíces presentes, terrones de sedimento movidos, probablemente por detrusión; ver Figuras 7.77, 7.78
E1-s2	3H, 3L, 3M, 3P, 4L, 4M, 5L, 5M	10 YR 3/2; Migajón arenoso de color café grisáceo muy oscuro	Moderno	Suelo moderno	Idéntico a E1-s1 pero de color más claro; ver Figura 7.98-7.91
E2-s1	3L, 3M, 4L, 4M, 5L, 5M	Sin Munsell; vasijas de ofrenda de cerámica	Chacahua	Ofrenda	Depósito de 24 vasijas de cerámica incluyendo 16 jarros de cuello corto o sin cuello, 7 platos, 1 comal (todos no diagnósticos, de tipo café grueso) depositados en pequeños pozos de excavados dentro de E3; no visible en perfil; ver Figura 7.102
E2-s2	4M, 5M	Sin Munsell; lajas de granito delgado	Chacahua	Ofrenda	Lajas delgadas y planas de granito sacas de la roca madre local y orientadas verticalmente dentro del relleno (E3); pudieron haber servido como marcadores para ofrendas particulares pero no parecen haber sido orientadas para formar compartimientos; no visibles en perfil; ver Figura 7.102

Numero de Estrato	Unidades	Descripciones de Munsell y Sedimento	Fecha Probable	Proceso de Formación	Commentarios
E3	3H, 3L, 3M, 3P, 4L, 4M, 5L, 5M	10 YR 3/3; Migajón arenoso de color café oscuro	Chacahua	Relleno de construcción	Migajón arenoso suelto y mal organizado con granos subredondeados; contiene inclusiones de cerámica erosionada, bajareque, material lítico (obsidiana), grava, pequeñas piedras angulares, piedras grandes, material orgánico y hueso de animal fragmentado; recubre E19; E2-s1 (depósito de vasijas) y E2-s2 (lajas de granito) que fueron colocadas dentro de E3; más oscuro y más suelto que E19; muy perturbado (raíces y madrigueras); levantó la superficie del suelo de 20-25cm; ver Figuras 7.89-7.91, 7.102
E4	5L	10 YR 4/2; Migajón arenoso de color café-grisáceo oscuro	Chacahua	Relleno de pozo o posible ofrenda	Pequeño pozo poco profundo (approx. 12cm de profundo) excavado desde la superficie de E19; interior cubierto por lajas delgadas de granito y llenado por migajón arenoso con huellas de ceniza; sedimento contiene inclusiones de cerámica (la mayoría están directamente encima de la laja plana en el fondo del pozo), grava, y pequeñas piedras angulares; cerámica de tipo café grueso no diagnostico pero incluye lo que puede ser el mango de un brasero; cubierto por E3; ver Figuras 7.89, 7.102
E5	12Q, 13Q, 14Q, 15Q, 16Q, 17Q	Sin Munsell; laja de granito	Chacahua	Muro de contención de la Estructura 1	Muro note con orientación este-oeste (117°-297° azimut) colocado encima de E10; corresponde a la fase final de construcción de la plataforma subestructural de la Estructura 1; no visible en perfil, visible en la superficie moderna; ver Figura 7.77

Numero de Estrato	Unidades	Descripciones de Munsell y Sedimento	Fecha Probable	Proceso de Formación	Commentarios
E6	12J, 12K, 12L, 12M, 12N, 12O, 12P, 12Q	Sin Munsell; piedra de granito	Chacahua	Muro de contención de la Estructura 1	Muro oeste con orientación norte-sur (27°-207° azimut) encima de E10; corresponde a la fase final de construcción de la plataforma subestructural de la Estructura 1; no visible en perfil; visible en la superficie moderna; ver Figura 7.77
E7	12J, 13J, 14J, 15J, 16J	Sin Munsell; laja de granito	Chacahua	Muro de contención de la Estructura 1	Muro sur con orientación este-oeste (117°-297° azimut) encima de E10; corresponde a la fase final de construcción de la plataforma subestructural en la Estructura 1; no visible en perfil; visible en la superficie moderna; ver Figura 7.77
E8	16M, 16L	Son Munsell; laja de grainto	Chacahua	Muro de contención de la Estructura 1	Muro este orientado norte-sur (27°-207° azimut) que contiene las capas de relleno E11 y E10; corresponde a la fase final de la construcción de la plataforma subestructural sobre la Terraza 10 (Structura 1); visible en la superficie moderna (ver Figura 7.77); visible en el perfil este de la unidad 16M y 16K; ver figuras 7.77
E9	15M, 15N, 16L, 16M	No Munsell; vasijas de cerámica	Chacahua	Ofrenda	Ofrenda de nueve pequeñas vasijas de cerámica incluyendo tres vasijas de cuello, 5 vasijas cilíndricas corto de tipo café grueso, y una vasija cilíndrica de tipo gris depositadas durante la fase de construcción E10; no visibles en perfil; ver Figuras 7.100, 7.106

Numero de Estrato	Unidades	Descripciones de Munsell y Sedimento	Fecha Probable	Proceso de Formación	Commentarios
E10	15M, 15N, 16N, 16O, 15O,	10 YR 4/3; Migajón arenoso color café	Chacahua	Relleno de construcción	Migajón arenoso mediadamente organizado con granos sub-redondeados; contiene inclusiones de cerámica, arena gruesa y grava, piedras de tamaño pequeño-grande; varias perturbaciones por raíces; cubre E14 y E15; pertenece a la construcción de la versión final de la plataforma sub-estructural de la Terraza 10 (estructura 1); contenido por E8 ver Figuras 7.77, 7.78
E11	16O	10 YR 4/4; Migajón arcilloso de color café amarillento oscuro	Chacahua	Relleno de construcción	Migajón arcilloso arenoso moderadamente organizado con granos subredondeados e inclusiones de grava, mica y cerámica; sedimento es más fino que en los estratos alrededor; depositado afuera (al este) del muro de contención E15; pertenece a la construcción de la versión final de la plataforma sub-estructural en la Terraza 10 (Estructura 1); relleno contenido por E8; ver Figura 7.77
E12	15M	Sin Munsell; vasijas de cerámica	Chacahua	Ofrenda	Ofrenda de un jaro miniatura tipo café grueso depositado cuando el pozo fue llenada con E13; ver Figuras 7.77-7.78
E13	15M	10 YR 3/3; arena con migajón de color café oscuro	Chacahua	Relleno de pozo	Pozo ancho y poco profundo (27 cm) que corta desde la cima de E14-s1; llenada de arena con migajón mal organizada con inclusiones de cerámica, mica y arena gruesa; pozo incluye también la ofrenda E12 (una vasija miniatura tipo café grueso); ver Figuras 7.77, 7.78

Numero de Estrato	Unidades	Descripciones de Munsell y Sedimento	Fecha Probable	Proceso de Formación	Commentarios
E14-s1	15M, 15N, 15O, 16M, 16N, 16O	7.5 YR 4/3; Migajón arenoso de color café	Chacahua	Relleno de construcción	Migajón arenoso compacto y moderadamente organizado con granos sub-redondeados; inclusiones de cerámica, pequeñas piedras angulares, y cerámica pulverizada o pequeños pedazos de arcilla; mas rojizo en color que los estratos alrededor; matriz contiene migajón; más compacto que E14-s2 y E14-s3; contenido por E15; E14 (relleno) y E15 (muro de contención) corresponden a la primera plataforma sub-estructural sobre la Terraza 10 (Estructura 1-sub 1); ver Figuras 7.77, 7.78
E14-s2	15M	2.5 Y 3/3; Migajón arenoso de color oliva oscuro	Chacahua	Relleno de construcción	Pedazos de relleno arenoso con migajón mal organizado depositados durante la fase de construcción E14-s1; contiene grava y arena gruesa pero la muestra es demasiado pequeña para determinar si contiene inclusiones de cerámica; ver Figura 7.78
E14-s3	15M, 15N	10 YR 4/3; MIgajon arenoso de color café	Chacahua	Relleno de construcción	Capa gruesa de relleno depositado dentro de E14-s1; sedimento moderadamente organizado y contiene arena gruesa e inclusiones de cerámica; granos sub-redondeados, más suelto que E14-s1; ver Figura 7.78

Numero de Estrato	Unidades	Descripciones de Munsell y Sedimento	Fecha Probable	Proceso de Formación	Commentarios
E14-s4	15O, 16O	10 YR 4/4; Migajón arenoso de color café amarillento oscuro	Chacahua	Relleno de construcción	Capa mal organizada con granos redondeados-subredondeados depositados durante la fase de construcción E14; sedimento llena un pozo posible o depresión en la superficie de E18-s1; contiene inclusiones de mica, arena gruesa y pequeños tepalcates erosionados; más suelto y de color más claro que E14-s1 y E14-s5; ver Figura 7.77
E14-s5	15O, 16O	10 YR 4/2; Migajón arenoso de color café grisáceo oscuro	Chacahua	Relleno de construcción	Lente compacto y moderadamente organizado depositado encima de E14-s4 durante la construcción de E8; contiene inclusiones de cerámica, pequeñas piedras, mica y arena gruesa; de color más oscuro y más gris que E14-s1; ver Figura 7.77
E15	16M, 16N, 16O	Sin Munsell; laja de granito	Chacahua	Muro de contención de la Estructura 1-sub 1	Muro de piedra de una altura no conocida orientada norte-sur (27°-207° azimut); corresponde con la primera fase de construcción de la plataforma sub-estructural de la Estructura 1 (Estructura 1-sub 1); contiene el relleno de E14; E14 (relleno) y E15 (muro de contención) corresponden a la primera plataforma sub-estructural sobre la Terraza 10 (Estructura 1-sub1); ver Figuras 7.77 y 7.78
E16	15M, 15N	Sin Munsell; vasijas de cerámica	Chacahua	Ofrenda	Ofrenda de cinco vasijas de cerámica, incluyendo cuatro vasijas cilíndricas tipo gris y un plato tipo gris miniatura; vasijas colocadas encima de E18 e inmediatamente cubiertas por E14; posible ofrenda de “dar alma”; no visible en perfil; ver Figura 7.99

Numero de Estrato	Unidades	Descripciones de Munsell y Sedimento	Fecha Probable	Proceso de Formación	Commentarios
E25	15N	10 YR 2/1; Migajón arenoso de color negro	Miniyua tardío o Chacahua temprano	Relleno de pozo	Pequeño pozo poco profundo (11 cm) o fogón excavado desde la cima de E18-s1; llenado con sedimento mal organizado con material orgánico quemado y ceniza conteniendo inclusiones de arena gruesa; limite en perfil no está claro; visible en plata; ver Figura 7.99
E18-s1	15M, 15N, 15O	10 YR 3/3; Migajón de color café oscuro	Miniyua tardío o Chacahua temprano	Relleno de ofrenda (quemado)	Relleno suelto y mal organizado con granos angulares; contiene inclusiones de bajareque quemado, una cantidad importante de carbono, piedras (algunas con marcas de quema), lajas delgadas orientadas verticalmente o horizontalmente, y cerámica; inclusiones de bajareque quemado puede representar los restos de un edificio ritualmente cerrado; cubre ofrendas de vasijas de cerámica (E17); depositados encima de E20 y E23, pudo haber formado un pequeño montículo (ver la interface entre E18 y E20/23 en el perfil sur de la unidad 15M); ver Figura 7.77, 7.78, 7.94
E18-s2	15M	10 YR 3/2; café grisáco muy oscuro	Miniyua tardío o Chacahua temprano	Relleno de ofrenda (quemado)	Migajón mal organizado y suelto con inclusiones orgánicas oscuras consintiendo de carbono y ceniza así como grava y arena gruesa; ubicado entre dos grupos de lajas delgadas de granito y debajo de una vasija tipo café grueso rota (E17-ob1) detectado en el perfil (perfil sur de 15M); ver Figura 7.77, 7.78

Numero de Estrato	Unidades	Descripciones de Munsell y Sedimento	Fecha Probable	Proceso de Formación	Commentarios
E17-s1	15M, 15N, 15O	Sin Munsell; Vasijas de cerámica	Miniyua tardío o Chacahua temprano	Relleno de ofrenda	Ofrenda de 14 vasijas de cerámica tipo café grueso colocadas antes de la deposición de E18; todas las vasijas eran no diagnosticas (la fecha se base en su posición estratigráfica); cubierto pro E18; ver Figura 7.77, 7.78 y 7.94
E17-s2	15M, 15N	Sin Munsell; lajas de granito delgada	Miniyua tardío o Chacahua temprano	Compartimientos de piedra o marcadores	Lajas delgadas de granito orientadas verticalmente dentro del relleno E18; quizás protegieron o delinearon vasijas de ofrenda (E17-s1); cubierto por E18; ver Figura 7.77, 7.78, 7.94
E19	3H, 3L	10 YR 5/3; Migajón arenoso de color café	Miniyua tardío o Chacahua temprano	Relleno de construcción	Migajón arenoso compacto y bien organizado con granos angulares; contiene inclusiones de cerámica erosionada, mica y grava; de color más oscuro y más suelto que E22-s1; puede indicar el mantenimiento de la erosión de la superficie de la Terraza 10; ver Figura 7.89, 7.90
E20-s1	15M, 15N	10 YR 4/4; Migajón arcilloso de color café amarillento	Miniyua tardío o Chacahua temprano	Relleno de pozo	Migajón arcilloso moderadamente organizado con inclusiones de arena gruesa, mica, cerámica, y pequeños pedazos de carbono; granos angulares; sedimento llena pozo que corta desde la cima de E23-s1 (ver perfil este [#1] de unidad 15M); concentración alta de material arcilloso con granos gruesos; posible edificio de bajareque desintegrado; ver Figura 7.77, 7.78, 7.92

Numero de Estrato	Unidades	Descripciones de Munsell y Sedimento	Fecha Probable	Proceso de Formación	Commentarios
E20-s2	15M	10 YR 5/6; Migajón arcilloso de color café amarillento	Miniyua tardío o Chacahua temprano	Relleno de Pozo	Migajón arcilloso con arena moderadamente organizado; sub-estrato dentro de E20-s1; granos sub-redondeados; contiene inclusiones de grava y mica; sedimento puede haber sido quemado antes de su colocación (ver descripción de E20-s3 abajo); posibles vestigios de una super-estructura de bajareque; ver Figura 7.77, 7.78
E20-s3	15M	5 YR 4/3; Migajón arcilloso de color café rojizo	Miniyua tardío o Chacahua temprano	Relleno de Pozo	Capa delgada de material rojizo, quizás quemado, dentro de una matriz con migajón; se puede tratar de secciones de E20-s2 quemadas; quizás los restos de una estructura de bajareque; ver Figura 7.77
E20-s4	15M	10 YR 2/1; Migajón arenoso de color negro	Miniyua tardío o Chacahua temprano	Relleno de Pozo	Capa delgada de material orgánico quemado y oscuro dentro de una matriz de arena con migajón; no detectado en planta, solo visible en el perfil sur de la unidad 15M; quizás vestigio de una superestructura de bajareque; ver Figura 7.77, 7.78
E20-s5	15M	10 YR 4/3; Migajón arcilloso arenoso de color café	Miniyua tardío o Chacahua temprano	Relleno de pozo	Pequeña sección de relleno de pozo consistiendo de migajón arcilloso arenoso moderadamente organizado con inclusiones de mica y grava; menos compacto que el sedimento alrededor (E20-s1); no detectado en planta; de forma alternativa, sub-estrato puede ser una perturbación; ver Figura 7.77, 7.78

Numero de Estrato	Unidades	Descripciones de Munsell y Sedimento	Fecha Probable	Proceso de Formación	Commentarios
E21	15M, 15N	Sin Munsell; Vasijas de ceramica	Miniyua tardío o Chacahua temprano	Ofrenda dentro de pozo	Una ofrenda de 12 vasijas de cerámica y un hueso largo humano depositado como ofrenda durante el episodio de relleno de E20; detectado en el perfil sur de 15M y en planta; consiste de 11 vasijas miniaturas (10 tipo café grueso no diagnóstico y una vasija probablemente Miniyua café fino) y una vasija cilíndrica tipo gris no diagnostico; vasijas arregladas en un grupo al centro de la unidad 15M; ofrenda incluye también un hueso largo humano (posiblemente una reliquia; E21-Ob13) colocada encima de una vasija miniatura tipo café grueso (E21-Ob12); ofrenda cubierta por E20-s1; probablemente una ofrenda dedicatoria que incluyo los restos de una estructura de bajareque y que se hizo antes de la Estructura 1-sub1; ver Figura 7.77, 7.92
E22-s1	3H, 3L, 3P	10 YR 3/6; arena con migajón de color café amarillento	Miniyua tardío o Chacahua temprano	Relleno de construcción	Capa gruesa de relleno con granos subangulares e inclusiones de mica, grava, arena gruesa, e cerámica erosionada; más compacto y con más grava que E19; pertenece a la fase inicial de construcción de la Terraza 10 en el área oeste de la Op D; articulación con E23 al este no está clara; ver Figura 7.89-7.91
E22-s2	3H	Sin Munsell; roca madre redepositada	Miniyua tardío o Chacahua temprano	Relleno de construcción	Pequeñas concentraciones de roca madre fragmentada y redepositada; solo aparece en la unidad 3H; depositada durante la deposición continua de E22-s1; ver Figura 7.90-7.91

Numero de Estrato	Unidades	Descripciones de Munsell y Sedimento	Fecha Probable	Proceso de Formación	Commentarios
E23-s1	15M	10 YR 3/3; arena con migajón de color café oscuro	Miniyua tardío o Chacahua temprano	Relleno de construcción	Relleno compacto, mal organizado con granos sub-angulares, contiene mica, e inclusiones de grava y cerámica; cubre E24-s1 (ofrenda-bulto) y E24-s1 (vasijas de ofrenda) en la unidad 15M; representa la fase inicial de construcción de la superficie de la Terraza 10 en el área este de la Op D; nivel de la superficie de E23 es a aproximadamente 2 m más alto que la superficie de la Terraza 10 al lado oeste de Op D (E22); articulación con E22 no está clara; ver Figura 7.77, 7.78
E23-s2	15M	10 YR 3/3; Migajón arenoso de color café oscuro	Miniyua tardío o Chacahua temprano	Relleno de construcción	Capa delgada suelta y moderadamente organizada con granos redondeados, sub-redondeados; contiene inclusiones de grava material orgánico quemado, ceniza y cerámica fragmentado; límite entre E23-s2 y E23-s1 no está claro; ver Figura 7.78
E24-s1	15M	N/A	Miniyua tardío o Chacahua temprano	Ofrenda (posible bulto)	Ofrenda consistiendo de dos mascaras de piedra incompletas (E24-Ob1 y E24-Ob5), dos 'tronos' de piedra miniatura (E24-Ob3 y E24-Ob4), y una figurina de piedra grabada (E24-Ob2) quizás depositada en un bulto; máscaras y tronos probablemente rotos antes de su colocación (no rotos por movimiento ni presión pos-deposicional); no visible en perfil; cubierto por capa de relleno E23-s1; depositado al mismo tiempo que E24-s2; ver Figura 7.79-7.88

Numero de Estrato	Unidades	Descripciones de Munsell y Sedimento	Fecha Probable	Proceso de Formación	Commentarios
E24-s2	15M	N/A	Miniyua tardío o Chacahua temprano	Ofrenda	Ofrenda de nueve vasijas de cerámica miniatura (ocho vasijas de cuello corto o sin cuello [E24-Ob6 – E24-Ob13] y una vasija cilíndrica y delgada [E24-Ob14]) depositado a lado de objetos de piedra (ver E24-s1); cubierto por E23-s1; ver Figura 7.79, 7.81
N1	15M, 3H, 3L, 3P	Sin Munsell; Roca madre con granos finos	N/A	Roca madre natural	Roca madre; sin artefactos; ver Figuras 7.77, 7.78, 7.90, 7.91

7.5.2 Historia Ocupacional

Las actividades más tempranas llevadas a cabo en la Terraza 10 incluyeron la colocación de un depósito de objetos de piedra (E24-s1) y vasijas de cerámica (E24-s2) directamente sobre la roca madre (N1) cerca del fin de la fase Miniyua o en algún momento temprano de la fase Chacahua (Figuras 7.77-7.81). E24 era una ofrenda dedicatoria cuya colocación ritual "dio alma" al área alrededor directamente antes de la construcción más temprana de la Terraza 10 (E22 y E23, ver abajo). E24-s1 consistió en varios objetos de piedra (ver Figura 7.82) incluyendo una máscara casi completa de una deidad de la lluvia (E24-Ob1; ver Figuras 7.83 y 7.84), una figura esculpida mostrando una persona muerta o un ancestro (E24-Ob2; Figura 7.85), dos tronos miniaturas (E24-Ob3 y E24-Ob4; Figuras 7.86 y 7.87), y una máscara parcial más pequeña (E24-Ob5; Figura 7.88). Todos los objetos fueron rotos antes de su última colocación con la excepción de la figura (E24-Ob2) y quizás fueron atados en un bulto con tela o hilo perecedero. Las excavaciones no detectaron rasgos de material para formar un bulto *in situ*. Además de los objetos de piedra, por lo menos nueve vasijas miniaturas de cerámica (E24-s2), incluyendo ocho vasijas de cuello corto o sin cuello y una vasija cilíndrica, fueron colocadas juntas al lado de E24-s1

(Figura 7.79 y 7.81). La vasija cilíndrica (E24-Ob14) ha sido asignada a la fase Miniyua de manera tentativa, pero la fecha de la ofrenda sigue incierta.

Inmediatamente después de la colocación de E24, los constructores cubrieron la ofrenda y la roca madre alrededor con una capa de relleno de construcción consistiendo de arena con migajón compacta (E23-s1), creando la primera superficie ocupacional de la Terraza 10. E23 solo fue detectada en la unidad 15M, midiendo una elevación de 18.1 msnm en esta área. Al oeste, las construcciones también depositaron E22 utilizando arena con migajón sacada de una fuente parecida a E23 (Figura 7.89). Además del sedimento arena con migajón (E22-s1), el relleno en la parte oeste de la Terraza 10 también incluía concentraciones de roca madre depositada o pulverizada (E22-s2). La colocación de E22 creó un patio al este de la escalera monumental levanto la superficie de entre 0.5 a 0.6 metros encima de la roca madre, a una elevación de aproximadamente 179.0 msnm. La superficie de E23-s1 era ligeramente 2m más elevado que la superficie de E22-s1, sugiriendo que puede haber sido una escalera hacia la parte este de la Terraza 10. De manera alternativa, E23 puede representar una estructura de bajareque desintegrada, sin embargo, el límite entre E22 y E23 no está claro. La cerámica de E22 y E23 era fragmentada y erosionada, solo cuatro tiestos eran diagnósticos, uno de la fase Minizundo y tres de la fase Miniyua. Mientras que estos datos sugieren que la Terraza 10 pertenece a la fase Miniyua, la naturaleza de las muestras de relleno no permite asignar una fecha precisa al nivel. Dado la fecha de la fase Miniyua de la vasija cilíndrica (E24-Ob14) en la ofrenda debajo de E23, es probable que la ofrenda y el relleno superior fueron colocados al final de la fase Miniyua o de la fase Chacahua.

La evidencia estratigráfica sugiere que en algún momento después del depósito de E23, una estructura de bajareque fue construida en el área este de la Terraza 10. Dos capas de relleno (E20 y E18, ver abajo) encontradas encima de E23 tenían una cantidad importante de inclusiones de bajareque quemado, que pudo haber sido parte de los vestigios de por lo menos una superestructura. El uso de la posible superestructura no está claro, pero dado la ausencia de desecho doméstico en la Terraza 10, el

edificio pudo haber sido utilizado por rituales domésticos. Antes de la terminación del uso de la posible estructura, los residentes de Cerro de la Virgen excavaron un pozo grande y ancho en la superficie de E23. El pozo fue llenado con una ofrenda de doce vasijas de cerámica y un huso largo humano (E21), así como desecho quemado de un posible muro de bajareque (E20-s2, E20-s3, E20-s4, E20-s5) y relleno con migajón con una concentración de inclusiones de arcilla (E20-s1; ver Figuras 7.92). E21 consistió en once vasijas miniaturas, una pequeña vasija cilíndrica, y los restos de un hueso largo humano (Figura 7.93). El hueso largo humano (E21-Ob13) fue colocado encima de un vaso miniatura (E11-Ob12), y las demás vasijas fueron colocadas en un grupo al suroeste. E21-Ob13 era probablemente una reliquia, quizás tomado de los restos de un ancestro importante (ver Hamann 2008; R. Joyce 2000). Con la excepción de una de las vasijas miniaturas (E21-Ob4) identificada como una vasija de la fase Miniyua de tipo café fino, todas las vasijas en E21 fueron no-diagnosticadas. Por lo tanto, la fecha de E21 también esta incierta, con una fecha tentativa al final de la fase Miniyua o de la fase Chacahua temprana. La evidencia indica que las inclusiones de arcilla en E20-s1 fueron calentadas y contenía granos gruesos. Eso sugiere que E21 y E20 representan un depósito de terminación que marcó la clausura ritual de la superestructura posible.

Antes de la quema de la superestructura posible, una oferta dedicatoria (E17) fue colocada en la superficie encima de E21 y E20. E17 consistió de 14 vasijas de cerámica (E17-s1) y varias lajas de piedra (E17-s2) colocadas como ofrendas dentro del relleno (ver Figuras 7.94, 7.95 y 7.96). Aunque las lajas de piedra en E17 eran generalmente más gruesas que las lajas colocadas en la ofrenda grande del Complejo A (Op A-E18-s2; ver sección 7.2), estas pudieron haber sido utilizadas en una manera parecida, o como compartimientos de ofrenda, marcadores, o los dos.E17-s1 incluía un plato cónico (apaxtle) tipo café grueso muy grande (65 cm de diámetro) (E17-Ob6), cuatro platos conicos mas pequenos (E17-Ob4, E17-Ob5, E17-Ob10, y E17-Ob11) de entre 16-22 cm de diámetro, una vasija miniatura tipo café grueso (E17-s1) ocho vasijas cilíndricas tipo café grueso de tamaño variado (E17-Ob2, E17-Ob3, E17-Ob7, E17-Ob8,

E17-Ob9, E17-Ob12, E17-Ob13 y E17-Ob14) con un diámetro de entre 16-22 cm. Además, una vasija cilíndrica muy delgada y larga, midiendo 67 cm de largo y 14 cm de ancho (E17-Ob8; Figura 7.79) fue incluida dentro de la ofrenda. Los excavadores encontraron E17-Ob8 en su posición vertical original. Dado su gran tamaño, es probable que un pequeño pozo estrecho fue excavado a través de E20 y dentro de E23 para colocar E17-Ob8, pero los excavadores no pudieron localizar este elemento.

La composición y organización de E17 es un poco diferente a la ofrenda en el patio norte del Complejo A sobre la Terraza 11 (Ob A-E18), lo que sugiere que pueden representar rituales o eventos de diferente tipo. Por ejemplo, las excavaciones en Op D no detectaron vasijas depositadas (o cerca) de compartimientos hechos de lajas delgadas de granito como en la ofrenda del Complejo A. Las piedras incluidas en el relleno (E18) alrededor de E17 eran mucho más gruesas y típicamente colocadas horizontalmente en vez de verticalmente. Sin embargo, a pesar de estas diferencias, la Op A-E18 y Op D-E17 seguían patrones generales que eran únicos a los sitios del periodo Formativo terminal en el bajo Verde. Por ejemplo, las excavaciones en Op D-E17 identificaron dos ejemplos de lajas delgadas orientadas verticalmente y que colindaban con vasijas de ofrenda en el perfil oeste de las unidades 15M y 15N (ver Figuras 7.77 y 7.78), una característica compartida con Op A-E18. Después de la colocación de las vasijas, la superestructura fue quemada, sellando E17 debajo del escombro. E18 representa el material de construcción quemado y el sedimento con migajón que cubrió la ofrenda creyó un pequeño montículo. E17 no incluyo vasijas diagnósticas, así que determinar la fecha del depósito es problemático. Sin embargo, tiestos de cerámica halladas en E18 sugieren que el elemento fue depositado durante la fase Chacahua. Finalmente, un pequeño pozo o posible fogón (E25) fue excavado desde la cima de E18-s1 y llenado con material orgánico quemado dentro de una matriz arenosa. El uso de E25 no está claro.

Al este del bloque de la Estructura 1, en algún momento después de que se terminó la fase inicial de construcción de la Terraza 10, los constructores depositaron una capa adicional de relleno (E19), que cubrió E22 y levanto el nivel del patio por 20-40 cm para llegar a una elevación de entre

179.0-179.2 msnm. Un solo tiesto de cerámica diagnóstico, perteneciendo a la fase Miniyua, fue encontrado del lote excavado dentro de E19; por lo tanto, la fecha de este relleno no está claro. Es posible que E19 fue depositado para mantener una superficie plana hacia el oeste, quizás añadiendo sedimento para contrarrestar la erosión en el lado oeste de la terraza. También es posible que los constructores hicieron la escalera monumental que llega al Complejo A en este mismo momento, aunque las excavaciones del PRV13 no expusieron ningún contexto directamente asociado con la escalera.

Después de la terminación de la probable superestructura, la intensidad de los esfuerzos de construcción en la Terraza 10 aumento, culminando con la construcción de una plataforma subestructural (Estructura 1-sub1) que probablemente sostenía una estructura de bajareque. La Estructura 1-sub 1 fue construida encima de E18 con la construcción de cuatro muros de contención que formaron un rectángulo que contenía hasta 0.65 m de relleno (E14; ver Figuras 7.77 y 7.78). Las excavaciones expusieron solo la fachada interior del muro de contención este (E15; ver Figura 7.98) de la Estructura 1-sub1 (orientada a 27°-207°), pero se presume que los muros norte, oeste y sur también hubieran contenido una capa de sedimento limoso arenoso (E14) y provisto una superficie para la estructura de bajareque. Mientras que E14 fue depositado, los constructores enterraron una ofrenda de 5 vasijas de cerámica (E16; Figura 7.99) dentro del relleno, incluyendo cuatro vasijas cilíndricas tipo café grueso (E16-Ob1, E16-Ob3, E16-Ob4, y E16-Ob5) así como un plato pequeño tipo café grueso (E16-Ob2). Interpretamos E16 como una ofrenda de “dar alma” que se hizo durante la construcción del edificio (ver Mock 1998). Después, un pozo ancho y poco profundo fue excavado desde la cima de E14-s1 y una ofrenda de por lo menos una vasija miniatura tipo gris (E12-Ob1) fue colocada adentro y cubierta por relleno de migajón arenoso (E13). La ofrenda de E12 pudo haber sido un depósito de terminación parecido a E21 que dio por terminado las actividades acosijadas con la Estructura 1-sub1 y marcó el inicio de la última fase de construcción del edificio (Estructura 1; ver Figura 7.75 y 7.76). La presencia de

una superestructura sobre la Estructura 1-sub1 no está confirmada, puesto que las excavaciones arqueológicas no detectaron ningún vestigio de una estructura de bajareque.

Después del depósito de terminación (E12) que cerro la Estructura 1-sub1, una ofrenda dedicatoria (E9) de nueve vasijas de cerámica fue colocada antes de la construcción de la última fase del edificio (Estructura 1). E9 contaba con tres jaros cuello corto tipo café grueso (E9-Ob1, E9-Ob2, y E9-Ob6) asi como seis vasijas cilíndricas tipo café grueso (E9-Ob3, E9-Ob4, E9-Ob5, E9-Ob7, E9-Ob8 y E9-Ob9; ver Figuras 7.100 y 7.101). Ninguna de las vasijas en E9 era diagnóstica. E9 fue inmediatamente cubierto por E10, una capa gruesa de migajón arenoso que levanto la superficie ocupacional de la Estructura 1 a 182.15 msnm. Es probable que el nivel original era más alto, pero que se ha erosionado. Además de E10, los constructores depositaron también una capa de relleno de migajón arenoso arcilloso (E11) afuera de los muros de contención de la Estructura 1-sub1. E11 fue detectado al este de E15. E10 y E11 fueron contenidos por una serie de muros de piedra (E5, E6, E7 y E8), formando la base de una superestructura de bajareque. Los muros este (E8) y oeste (E6) fueron orientados con un azimut de 27°-207° (norte-sur), y los muros norte (E5) y sur (E7) fueron orientados de forma perpendicular, con un azimut de 117°-297° (este-oeste).

En algún momento durante la fase Chacahua, los habitantes de Cerro de la Virgen empezaron también a participar en actividades rituales a una escala más grande afuera del edificio público. En el pequeño patio al oeste, un pozo pequeño y poco profundo (E4) fue excavado hasta llegar a la cima de E19 en el área de la unidad 5L. El interior del pozo fue cubierto por lajas delgadas de granito así como migajón arenoso suelto y mal organizado con rastros de ceniza y cerámica (Figuras 7.8). Actualmente, no se sabe si E4 fue utilizado como fogón, pozo con piedras, o como ofrenda. Después, el patio fue revestido con una capa de migajón arenoso de 25 cm de grueso (E3) sobre el área oeste de la Estructura 1, lo que levanto la superficie ocupacional de 179.25 msnm en la unidad 3P, de 179.48 msnm en las unidades centrales de 3L, 4L, 5L, 3M, 4M y 5M, y de 179.45 msnm en la unidad 3H. Dentro de esta capa

de relleno, los habitantes de Cerro de la Virgen colocaron un depósito de 24 vasijas de cerámica (E2-s1; Figuras 7.102-7.105), incluyendo 16 jaros de cuello corto, siete platos y un comal. Todas las vasijas eran de tipo café grueso no diagnóstico. Varias lajas de piedra E2-s2 también fueron incluidas dentro del relleno de E2-s1, pero no formaban compartimientos como los de las ofrendas en el Complejo A (ver Secciones 7.2 y 7.3), ni una concentración densa como en la plaza (Op G; ver sección 7.9). La falta de evidencia estratigráfica no permite vincular E2, E3 y E4 con un periodo determinado de uso. Después de que se dejó de utilizar el patio, un suelo (E1-s2) se formó encima de E2-s1 cerca de la superficie. Una capa delgada (E1-s1) se formó también en la superficie de E10 en la Estructura 1.

7.5.3 Resumen

La Operación D se enfocó en determinar la secuencia de construcción y el rango de actividades que se llevaron a cabo sobre la Terraza 10, dentro de la Estructura 1 así como afuera del patio. La ausencia de elementos de cocina en la Terraza 10 indica que los habitantes de Cerro de la Virgen no utilizaron el área como residencia. La Estructura 1 y el patio adyacente eran espacios públicos utilizados por prácticas rituales como el depósito de vasijas, aunque la participación en estos rituales quizás fue restringido a un grupo más pequeño y selecto de individuos en comparación con los que participaban en las actividades más accesibles en el Complejo A, abajo.

Evidencia cerámica de las capas estratigráficas más tempranas de la Ocupación D indica que rituales dedicatorios empezaron junto con la construcción de la Terraza 10 (ver Figura 7.76). Antes de la primera fase de construcción del edificio, los residentes de Cerro de la Virgen colocaron una ofrenda dedicatoria (E4) con un posible bulto de objetos de piedra importantes incluyendo una máscara de piedra casi completa, una máscara de piedra parcial, dos tronos miniaturas, y una figura de una persona fallecida. Los objetos de piedra, todos elementos indicativos de la elite, fueron colocados junto con varias vasijas de cerámica como parte de una ofrenda más grande. Una segunda ofrenda (E20), que

incluye vasijas de cerámica así como un hueso largo humano, fue colocada en un pozo que fue llenado justo antes del uso de la posible súper-estructura de bajareque, marcando su terminación ritual.

La construcción sobre la Estructura 1-sub1 empezó con la colocación de otra ofrenda dedicatoria (E18), que consistió en una variedad grande de vasijas de cerámica, incluyendo un apaxtle grande, una vasija cilíndrica muy grande, y varios platos y jaros de cuello corto colocados junto a lajas de granito. El uso de las piedras no está claro, puesto que no parecen formar compartimientos parecidos a los utilizados en la patio norte del Complejo A. La Estructura 1-sub1 fue ampliada después de la colocación de E18, indicada por un muro de contención que puede haber levantado la superficie del edificio de un metro. Las excavaciones no expusieron ningún muro de contención en los otros tres lados del edificio, pero la simetría del edificio sugiere que los muros de contención eran presentes en todos lados. El interior de la estructura fue llenada con migajón arenoso así como varias ofrendas de cerámica (E16), que pudieron haber sido parte de un ritual que daba “de comer” al edificio. La Estructura 1-sub1 fue ritualmente cerrada con la colocación de E12 dentro de un pozo cerca de la superficie.

La estructura 1, la versión final del edificio, tenía un cimiento de piedra bajo colocado encima de una capa de relleno, y que cubria la Estructura 1-sub1. Dentro de esta primera capa de relleno, los constructores enterraron una ofrenda dedicatoria (E9) que probablemente marco la última fase de uso de la estructura. Alrededor del mismo tiempo, la gente empezó a usar el patio al oeste para depósitos rituales. Un depósito de vasijas de cerámica (E3) fue colocado antes de la construcción de la fase final del edificio. Esta última fase constructiva hizo una superficie plana para la Terraza 10. Aunque la significación del depósito dentro del patio no está clara, es posible que fue una ofrenda dedicatoria relacionada con las personas enterradas dentro del edificio.



Figura 7.73: Fotografía de las excavaciones en la Operación D tomada desde arriba de la esquina sureste de la Estructura 1 (visible en primer plano); transecto de las excavaciones en el patio visible en el fondo

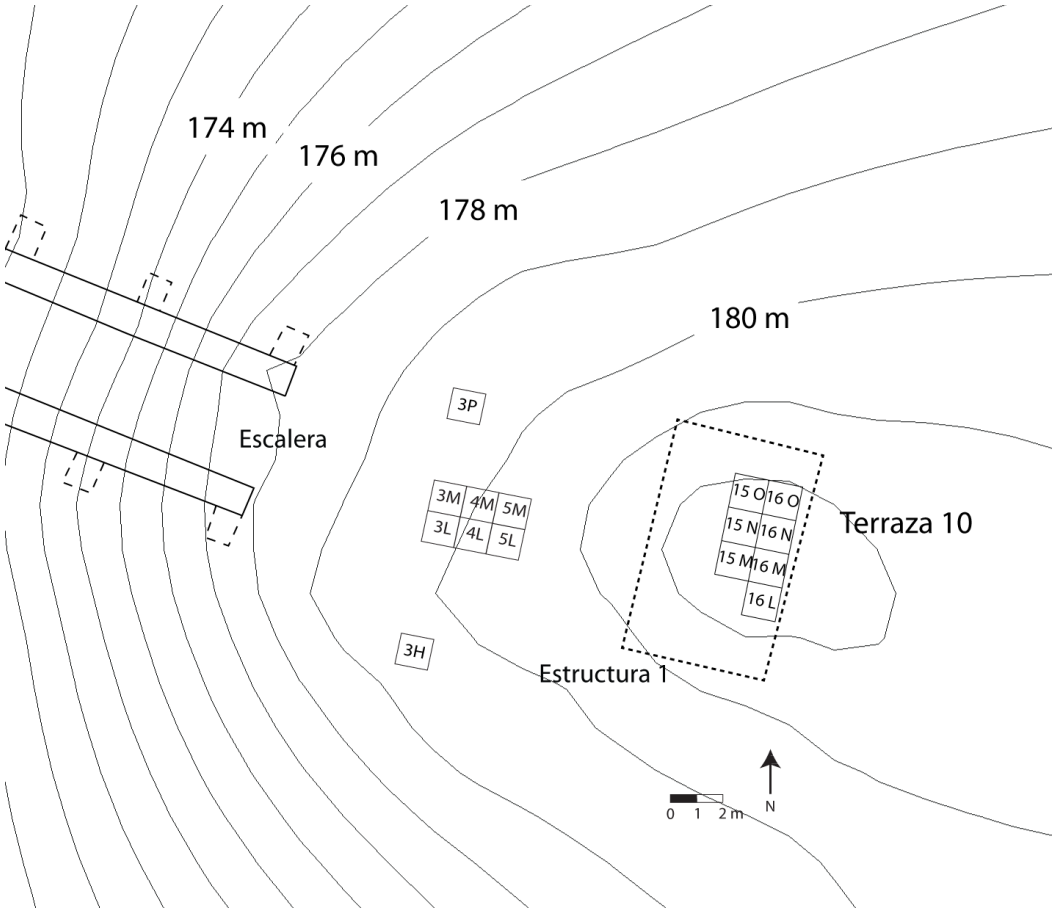


Figura 7.74: Mapa en planta de las excavaciones de la Operación D y Terraza 10 (contorno = 1m)

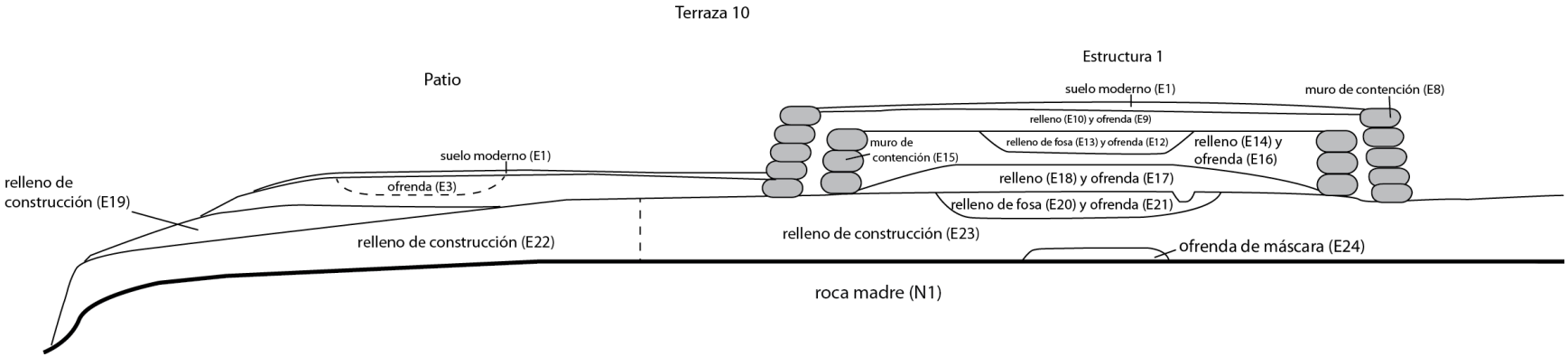


Figura 7.75: Diagrama de la Terraza 10 y la Estructura 1 con vista hacia el norte; no a escala

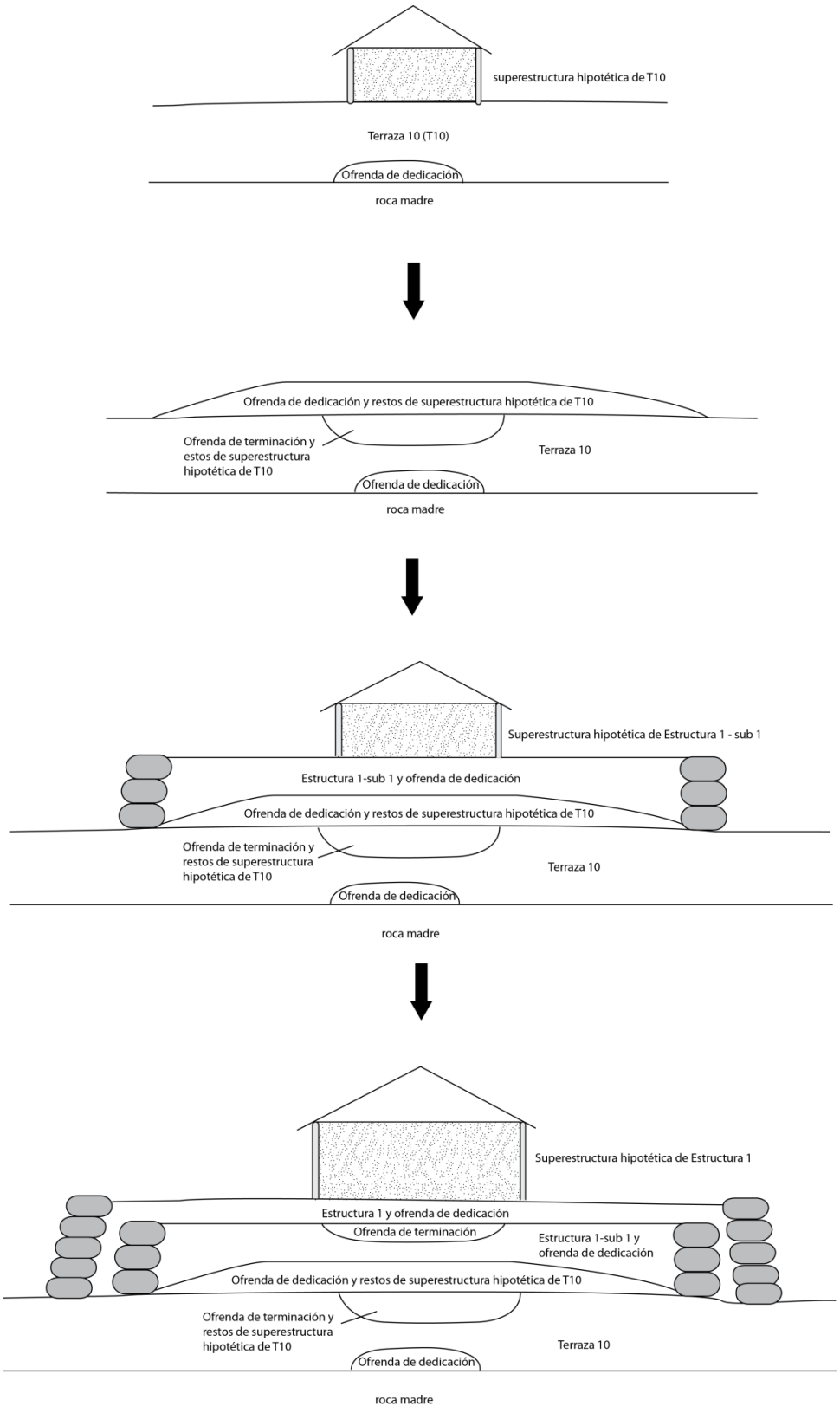


Figura 7.76: Secuencia hipotética de la construcción y ofrendas rituales asociadas con la Terraza 10 y la Estructura 1; dibujos no a escala

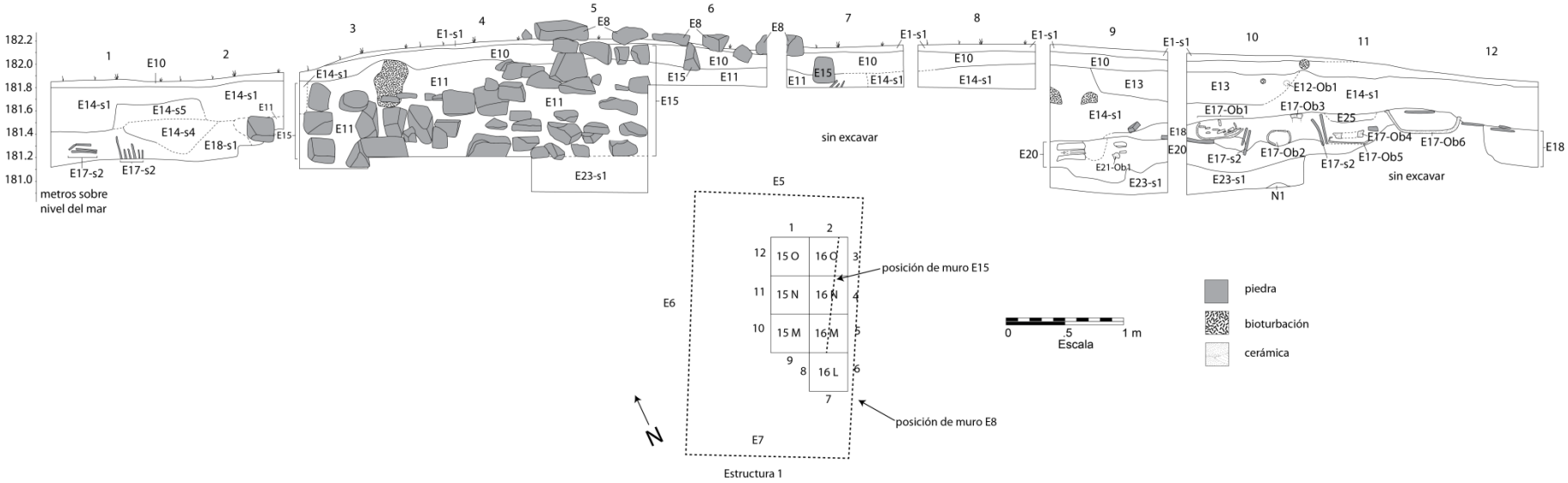


Figura 7.77: Perfiles estratigráficos del bloque de excavación de la Estructura 1. Sub-estratos en E17, E18 e E20 no están etiquetados.

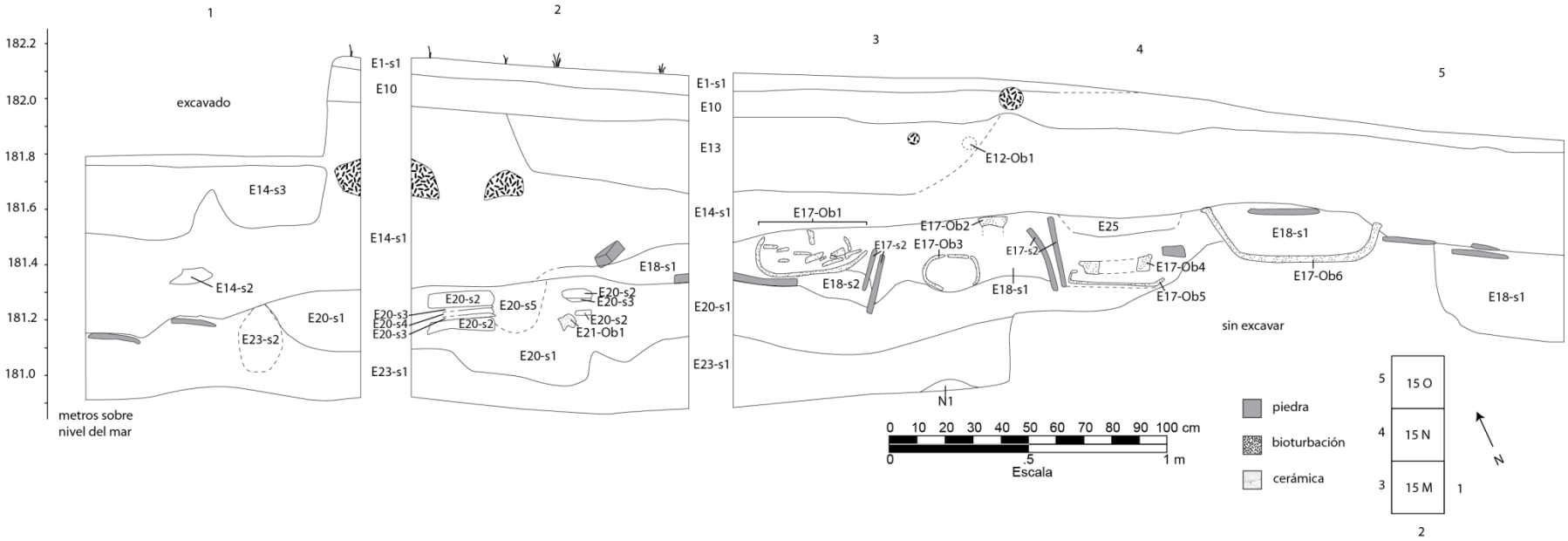


Figura 7.78: Perfiles estratigráficos de las unidades 15M, 15N, y 15O

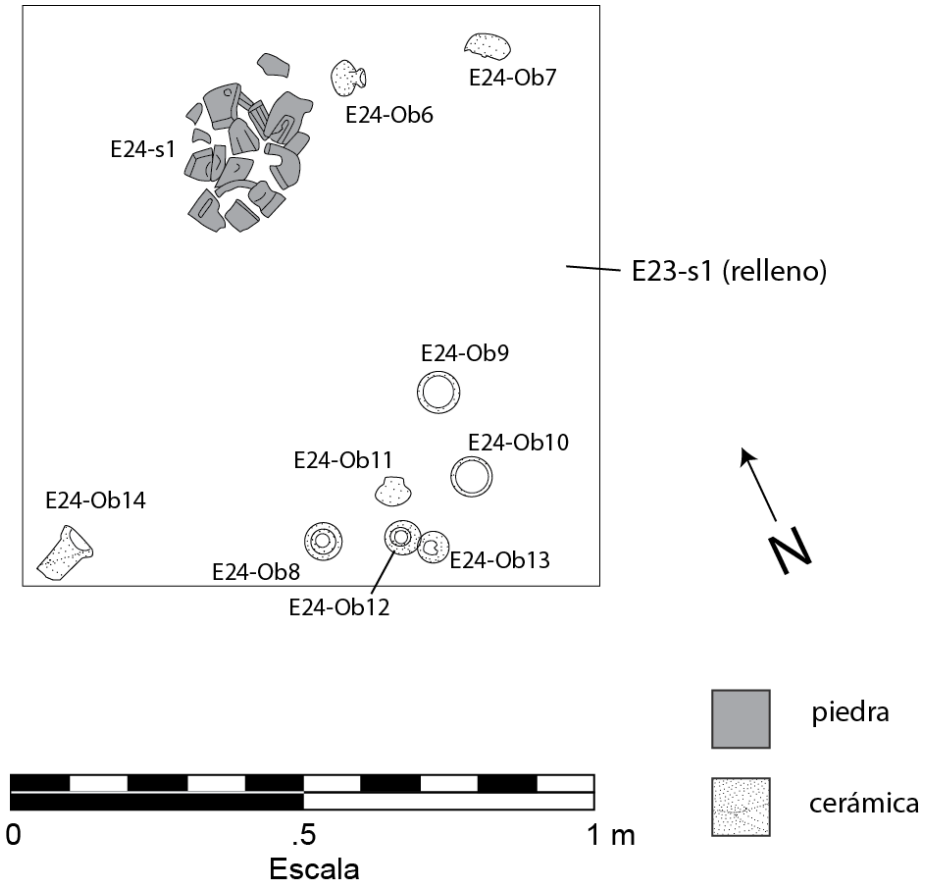


Figura 7.79: Vista en planta de la ofrenda de E24 en la unidad 15M, incluye el grupo de objectos de piedra (24-s1) y vasijas de cerámica (E24-s2)



Figura 7.80: Foto de E24-s1 *in situ*



Figura 7.81: Foto de E24-s2 *in situ* (después de haber sacado E24-s1)



Figura 7.82: Foto de los objetos reconstruidos de la ofrenda E24-s1; empezando arriba a la izquierda y en dirección hacia la derecha: E24-Ob1 (máscara de deidad de la lluvia), E24-Ob5 (máscara parcial), E24-Ob3 (trono miniatura), E24-Ob2 (figura), y E24-Ob4 (trono miniatura)

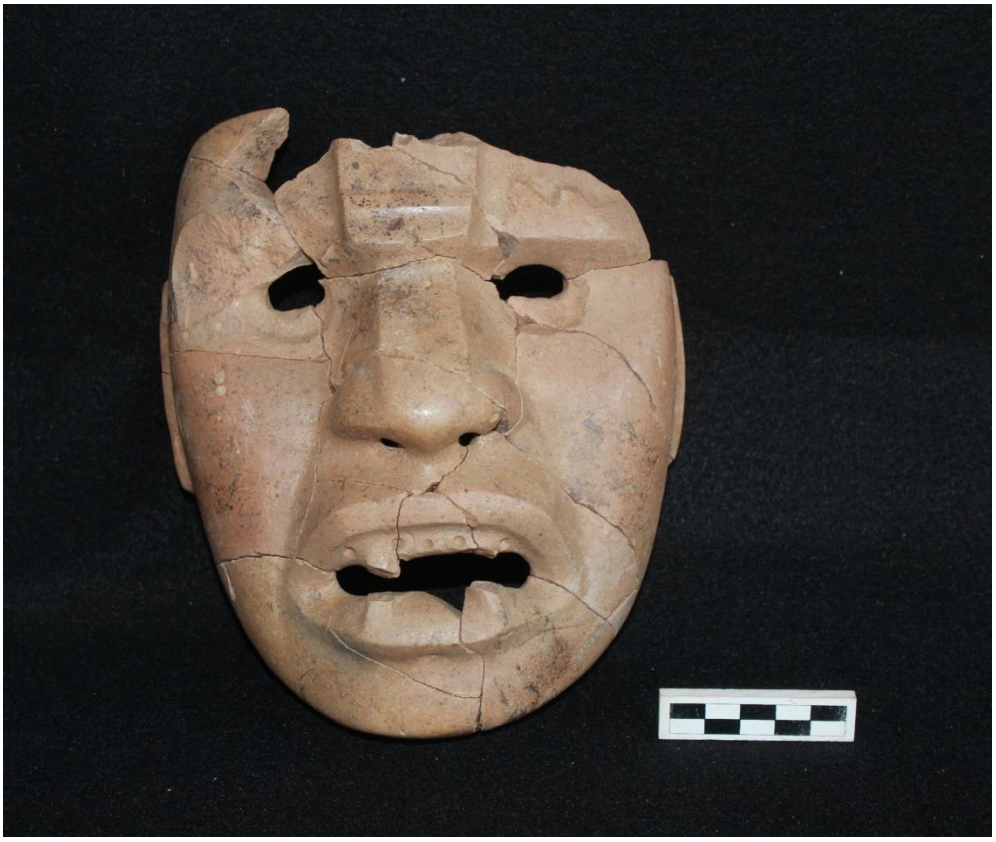


Figura 7.83: Foto de la máscara de la deidad de la lluvia vista de frente (E24-Ob1)



Figura 7.84: Izquierda: foto de los colmillos y dientes con incrustaciones en la boca de la máscara (E24-Ob1); Derecha: foto del interior de la máscara con hoyos para atar hilo y una 'mentonera' para ponerse bien sobre la cara



Figura 7.85: Izquierda: Vista de frente de la figura (E24-Ob2); Derecha: vista de lado de la figura



Figura 7.86: Izquierda: Vista de arriba del trono miniatura (E24-Ob3); Derecha: vista del trono desde abajo

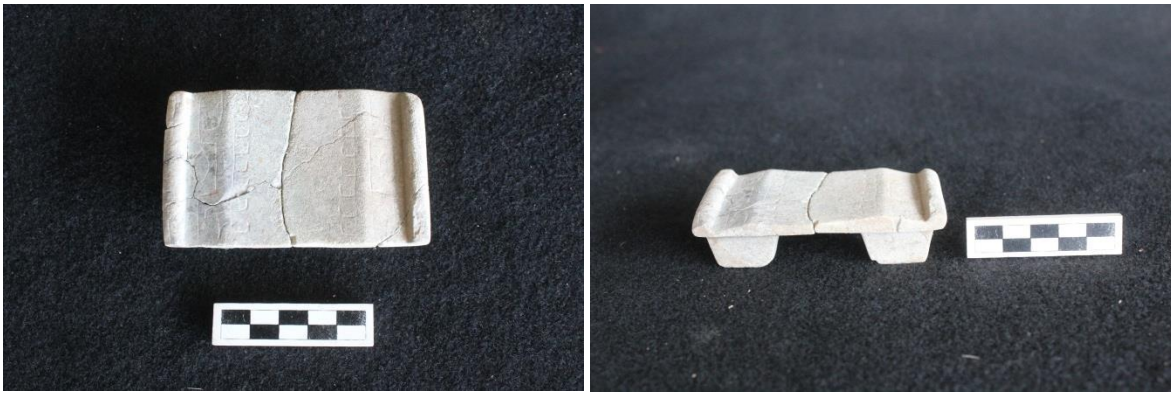


Figura 7.87: Izquierda: vista de arriba del trono miniatura (E24-Ob4); Derecha: vista de lado del trono



Figura 7.88: Foto de la vista de frente de la máscara de piedra parcial (E24-Ob5)

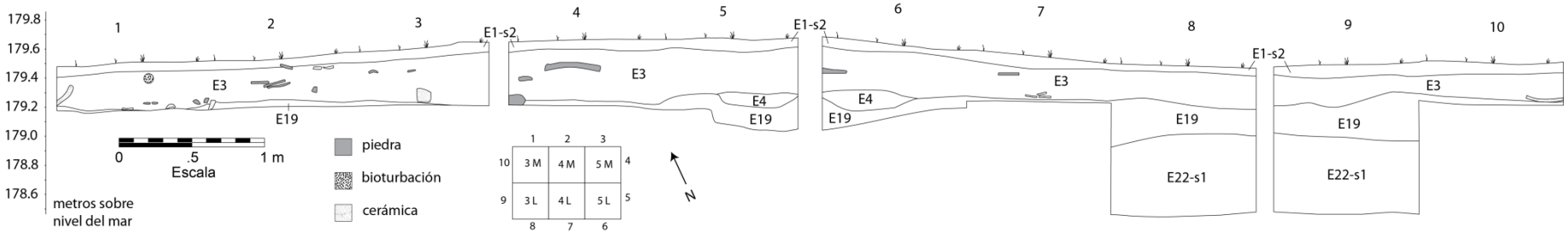


Figura 7.89: Perfiles estratigráficos de la excavación central en el bloque del patio oeste de la Estructura 1

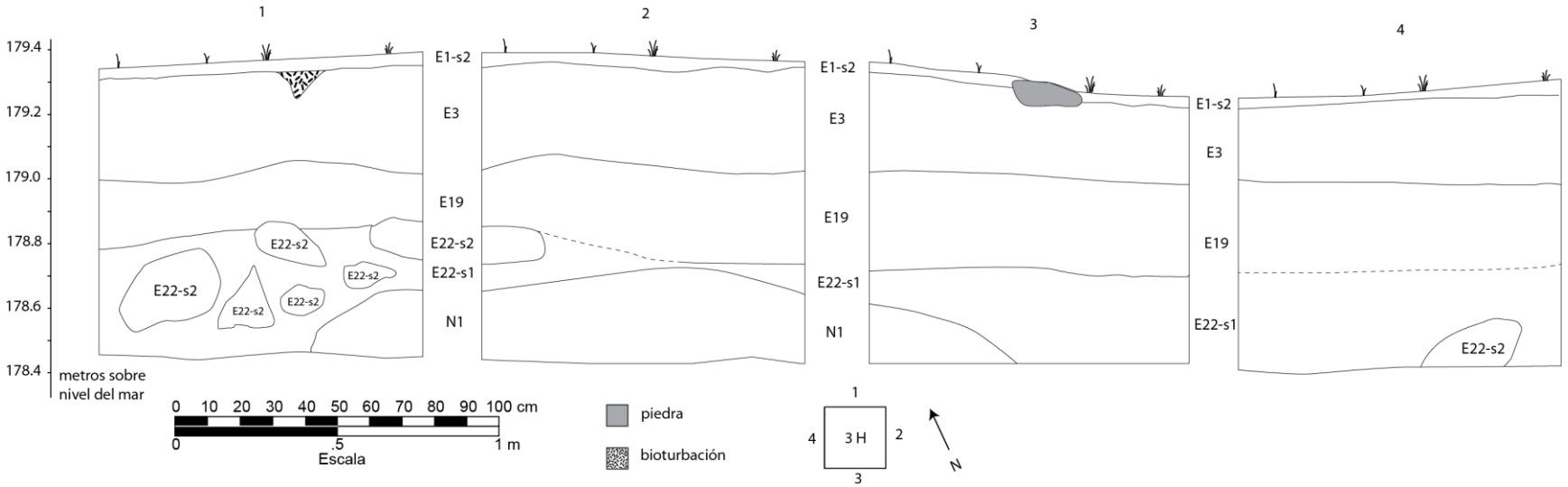


Figura 7.90: Perfiles estratigráficos de la unidad 3H

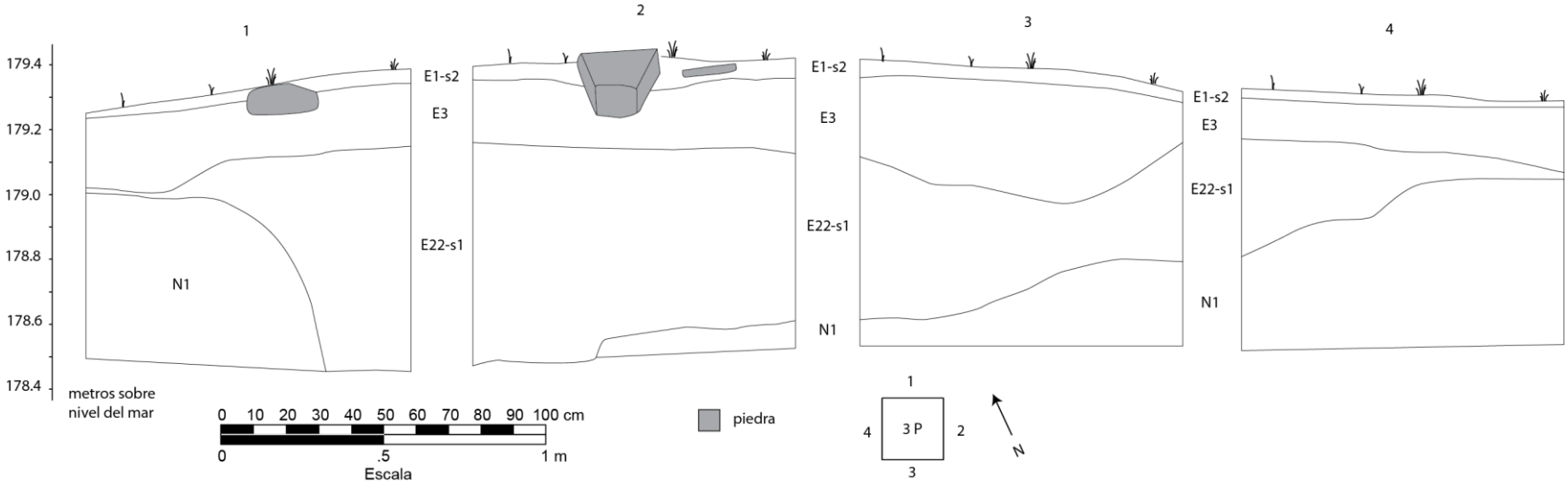


Figura 7.91: Perfiles estratigráficos de la unidad 3P

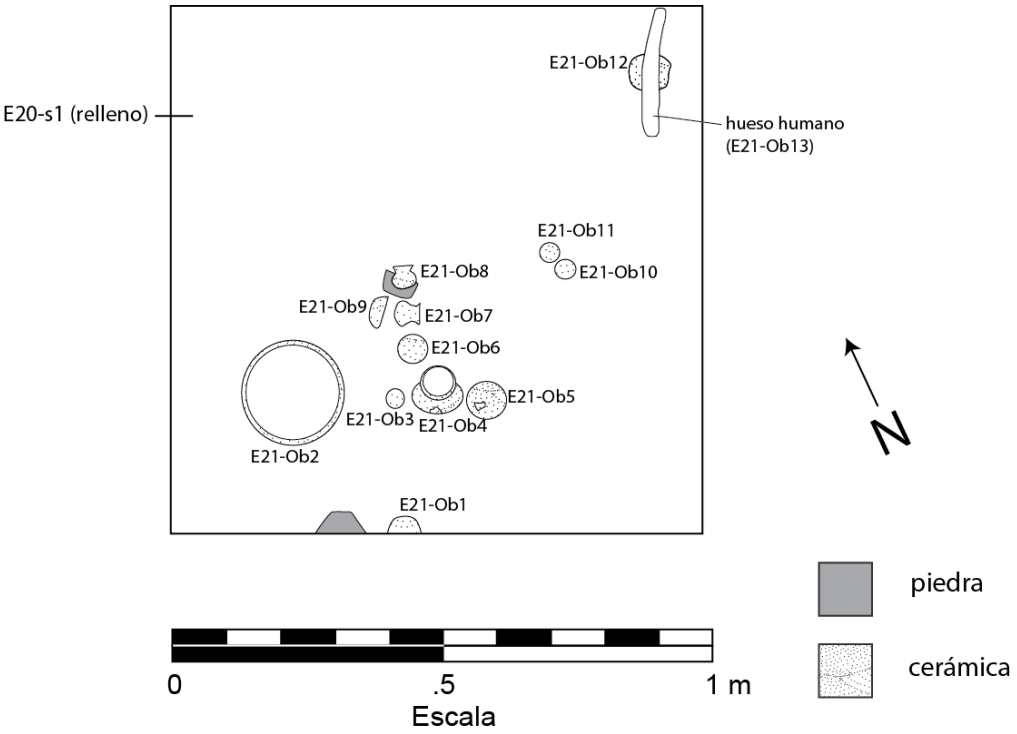


Figura 7.92: Mapa en planta de la ofrenda E21 en la unidad 15M



Figura 7.93: Foto del hueso largo humano (E21-Ob13) encima de vasija de cerámica (E21-Ob12) en la ofrenda E21

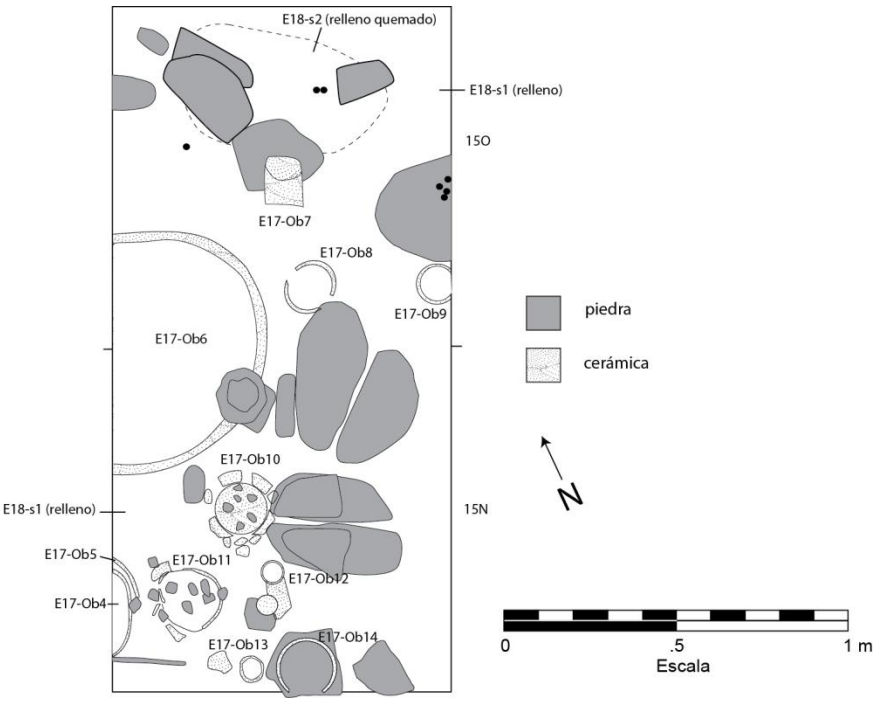


Figura 7.94: Mapa en planta de la ofrenda E17 en las unidades 15N y 15O



Figura 7.95: Foto de la ofrenda E17 en asociación con el muro de contención de la Estructura 1-sub1 (E15)



Figura 7.96: Foto de posiciones relativas de la ofrenda E24 (derecho abajo), la ofrenda E17 (izquierda abajo) y muro de contención E15 (arriba)



Figura 7.97: Foto de vasija cilíndrica excéntrica (E17-Ob8) en la unidad 15O



Figura 7.98: **Foto del muro de contención E15 (abajo) y muro de cimiento E8**

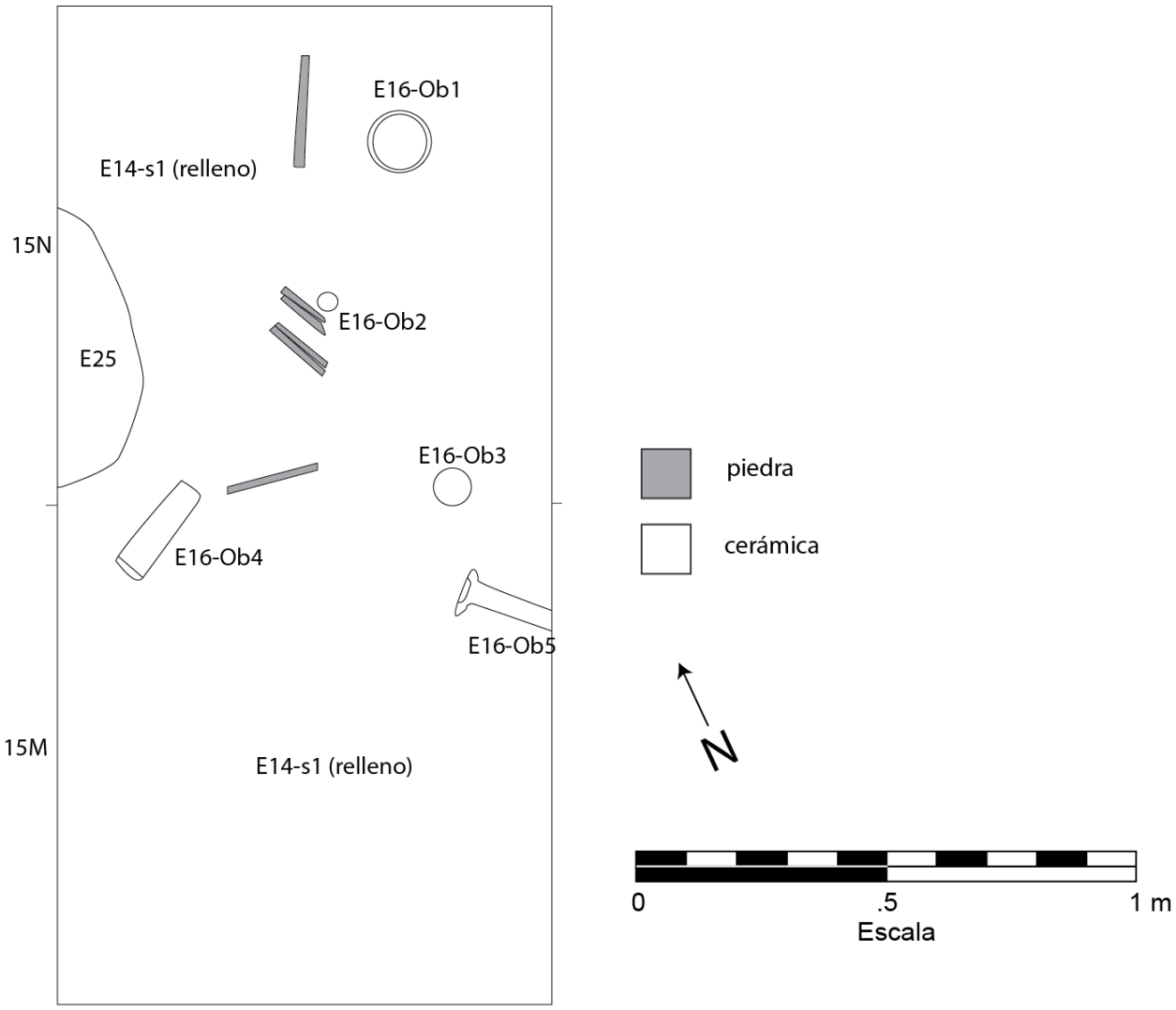


Figura 7.99: Mapa en planta de ofrenda E16 en las unidades 15M y 15N

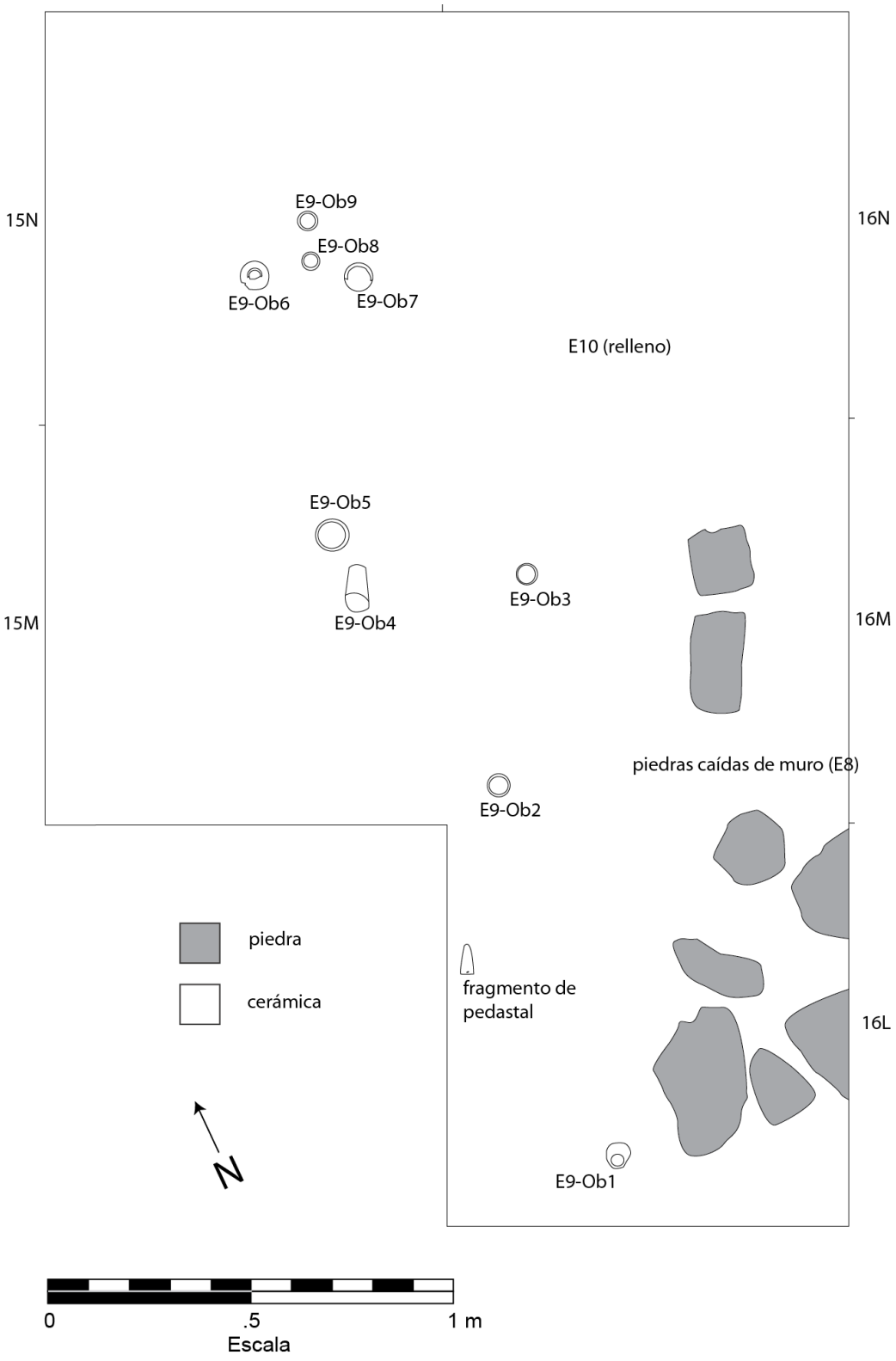


Figura 7.100: Mapa en planta de la ofrenda E9 en las unidades 15M, 15N, 16L, 16M y 16 N



Figura 7.101: Foto de vasijas en la ofrenda E9 (de izquierda a derecho E9-Ob9, E0-Ob8, E9-Ob6)

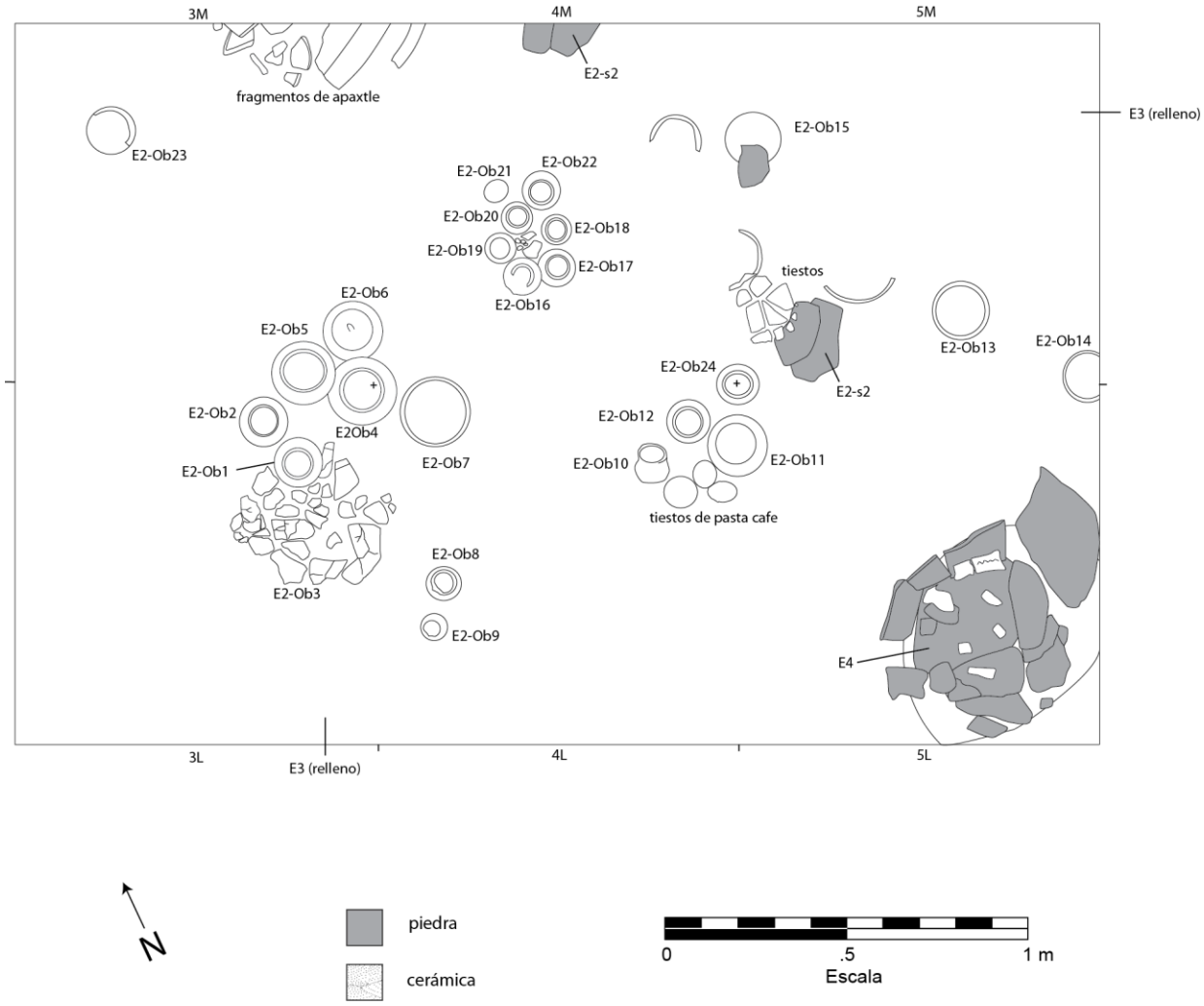


Figura 7.102: Vista en planta de la ofrenda E2 en el bloque central de excavación del patio de la Terraza 10



Figura 7.103: Foto de vasijas en la ofrenda E2



Figura 7.104: Foto de las vasijas en la Ofrenda E2



Figura 7.105: Foto de las vasijas en la ofrenda E2



Figura 7.106: Foto de un posible pozo (E4) en el bloque de excavación en el patio

7.6 Excavaciones en la Operación E

7.6.1 Introducción

La Operación E consiste en una sola unidad de 1m x 1m colocada en el centro de un pequeño patio abierto en el Complejo C (Figura 7.107). El Complejo C se ubica en el borde sur de la Terraza 2 y consiste en tres edificios – las Estructuras 4, 5, y 6 – y un patio que se abre hacia el norte y el oeste. La Estructura 4 es un edificio en forma de "L" con un cimiento de piedra localizada directamente al norte de las Estructuras 5 y 6, edificios rectangulares que han sido altamente saqueados. Hasta la fecha, no se sabe si las piedras delimitando las Estructuras 4, 5, y 6 representan plataformas sub-estructurales separadas o los cimientos de superestructuras, puesto que el PRV13 no investigo ninguno de los edificios. Un solo pozo de sondeo fue colocado en el patio a aproximadamente 18m al noroeste de la esquina interior del cimiento de piedra de la Estructura 4. La unidad de excavación en la Operación E tenía los siguientes objetivos:

1. Identificar las técnicas de construcción y los materiales utilizados para construir el patio en el Complejo C
2. Identificar las actividades llevadas a cabo en el patio del Complejo C
3. Penetrar hasta la roca madre para investigar la ocupación más temprana y los episodios de construcción en el área.

Evidencia de la Operación E indica que la construcción del interior del patio del Complejo C empezó durante la fase Chacahua. Los habitantes de Cerro de la Virgen participaron en actividades de cocina que pudieron haber sido asociadas con festines en la plaza al este. La unidad 10J expuso un posible fogón temprano (E4) perteneciendo a la fase Chacahua así como un horno de tierra más grande (E2) que era utilizado durante el episodio de construcción final en el patio del Complejo C. El tamaño importante del horno de tierra puede ser asociado con la intensificación de actividades rituales de festines que fueron llevados a cabo en el centro del sitio (por ejemplo en el Complejo A; ver secciones 7.2 y 7.3).

Para facilitar excavaciones futuras en el área del Complejo C, el pozo de sondeo fue nombrado "10J" para dar espacio por excavaciones adicionales al sur y al este dentro del patio del complejo C. Las excavaciones penetraron hasta la roca madre en la unidad 10J. Para estimar el tamaño y el volumen del horno de tierra (E2), muestras de 20cm x 20cm fueron sacadas utilizando un barreno para suelos en intervalos de 1m en todas las direcciones hasta que el fondo del horno de tierra no podía ya ser detectado (Figura 7.108). La superficie superior del horno de tierra no era claro puesto que se había mezclado con el coluvión superior, así que estas medidas fueron estimadas utilizando la rotura estratigráfica entre E1 y E2. La Tabla 7.5 contiene una lista detallada de los niveles estratigráficos en la Operación E.

Tabla 7.5: Lista de niveles estratigráficos en la Operación E

Numero de Estrato	Unidades	Descripciones de Munsell y Sedimento	Fecha Probable	Proceso de Formación	Commentarios
E1	10J	10 YR 3/1; arena con migajón de color gris oscuro	Modern	Suelo moderno	Arena con migajón moderadamente organizada con material orgánico; suelo formado dentro de relleno de coluvión; el sedimento incluye inclusiones de arena gruesa, cerámica, grava y material orgánico; muy perturbado (madrigueras y raíces); ver Figura 7.109
E2-s2	10J	10 YR 2/1; arena con migajón de color negro	Chacahua	Fogón/desecho de horno	Sedimento idéntico a E2-s1; línea punteada delimita E2-s1 (horno) de E2-s2 (desecho) probablemente sigue también la superficie original (E3) dentro de la cual E2-s1 fue excavada; E2-s2 fue detectado en todas las pruebas por barreno (ver Figura 7.108) indicando que el desecho probablemente se extendió sobre un área circular de por lo menos 5.5 m en diámetro; ver Figura 7.109

Numero de Estrato	Unidades	Descripciones de Munsell y Sedimento	Fecha Probable	Proceso de Formación	Commentarios
E2-s1	10J	10 YR 2/1; arena con migajón de color negro	Chacahua	Fogón o horno de tierra	Arena con migajón moderadamente organizada con granos angulares; contiene inclusiones de material orgánico quemado, concentración alta de ceniza, arena gruesa, grava, rocas fragmentadas, piedras quebradas por el calor, pequeños tiestos de cerámica erosionados; cerámica no parece haber sido quemada; incisiones de piedra tienen diámetro de 4-5cm o menos (más pequeño en promedio que las inclusiones de piedra en E2); fogón corta probablemente desde la superficie de la capa de relleno E3 (superficie de E3 no visible en perfil); superficie superior de E4 pudo haberse erosionado y cubierto de nuevo por E1; ver Figura 7.109
E3	10J	10 YR 4/4; arena de color café amarillento oscuro	Chacahua	Relleno de construcción	Arena con migajón moderadamente organizada con granos sub-angulares; contiene inclusiones de mica, grava, arena gruesa, cerámica erosionada, y piedras pequeñas; capa de relleno está cortada por E2; ver Figura 7.109

Numero de Estrato	Unidades	Descripciones de Munsell y Sedimento	Fecha Probable	Proceso de Formación	Commentarios
E4	10J	10 YR 3/2; arena con migajón de color café grisáceo muy oscuro	Miniyua o Chacahua	Relleno de pozo	Arena con migajón suelta y mal organizada con inclusiones de grava, ceniza, piedras y cerámica; piedras no parecen haber sido quemadas; ninguna muestra importante de carbono detectada; sedimento es más oscuro y menos compacto que E3 y E5; pozo corta desde la superficie de E5 (25cm de profundo en su punto más profundo) pero no llega a la roca madre debajo de E5; fase cerámica es tentativa ya que un tiesto de la fase Miniyua fue encontrado en este contexto; ver Figura 7.109.
E5	10J	10 YR 4/3; arena color café	Miniyua o Chacahua	Relleno de construcción	Arena moderadamente organizado con granos angulares; contiene inclusiones de mica, grava angular, piedras y pequeños fragmentos de cerámica erosionada; capa de relleno depositada directamente encima de roca madre (roca madre detectada en el último nivel detectado de 10J); sedimento es más compacto que en E3 y E4; fecha tentativa ya que un tiesto de cerámica de la fase Miniyua fue encontrado en este contexto; ver Figura 7.109
N1	10J	Sin Munsell; roca madre	N/A	Roca madre natural	Roca madre natural; ver Figura 7.109

7.6.2 Historia Ocupacional

Las excavaciones en la Operación E revelaron dos episodios de construcción (E5 y E3) en el patio de la Estructura 4 en el Complejo C, cada una seguida por un periodo de uso ocupacional. La fase inicial de construcción pertenece a la fase Chacahua, cuando los constructores depositaron E5, una capa de

relleno de construcción arenosa con incisiones de grava gruesa, piedras, y cerámica (Figura 7.109). E5 fue depositado directamente encima de la roca madre relativamente nivelada (N1) a una elevación de 158.9 msnm, lo que levantó la superficie del suelo por 45-50 cm a un nivel de 159.4 msnm. Después del depósito de E5, se dejó de construir en el área del Complejo C. El área probablemente fue utilizada por varias actividades, aunque los detalles de éstas no están claro. Los habitantes de Cerro de la Virgen excavaron un pozo ancho y poco profundo (E4) desde la superficie de E5 y, en un momento más tarde, rellenaron el pozo con rocas, grava, ceniza y cerámica. Es posible que la gente utilizo el pozo como un fogón en algún momento por la presencia de ceniza en el relleno de migajón arenoso, pero no se detectó ninguna muestra de carbono importante.

Después de que se llenó el pozo con E4, los constructores empezaron un periodo de construcción (E3) que creo una nueva superficie ocupacional en el área del Complejo C. La deposición de E3, una capa de relleno muy arenosa con menos inclusiones que E5, levanto la superficie del suelo de hasta 1 m para llegar a una elevación de 160 msnm, justo debajo de la superficie moderna. La cerámica encontrada en el relleno contenía una mezcla de cerámica de la fase Miniyua y Chacahua, sugiriendo que el relleno fue depositado durante la fase Chacahua. La estructura cuatro en forma de L y las estructuras rectangulares 5 y 6 fueron probablemente construidas en la superficie creada por la deposición de E3 u otra capa de relleno análoga. Sin embargo, las excavaciones del PRV13 no exploraron estos edificios, y por lo tanto, esta hipótesis sigue siendo tentativa.

En algún punto después de la colocación de E3, la gente en Cerro de la Virgen construyó un fogón u horno de tierra grande (E2) en el área expuesto por la unidad 10J. E2 solo fue expuesto en la unidad 10J, así que el tamaño del elemento no se sabe. La gente probablemente excavaron un pozo desde la superficie de E3 a una elevación de aproximadamente 160.1 msnm, creando un horno en el área abierto (E2-s1). E2-s1 fue llenado por ceniza y desecho orgánico dentro de una matriz de limo arenoso con inclusiones de cerámica pequeña e erosionada (no quemada), fragmentos de piedra, y

piedras con huellas de calor que sirvieron probablemente como elementos para calentar (Figura 7.110). Con el tiempo, el desecho del horno (E2-s1) cubrió el área, formado una capa de relleno con ceniza idéntica a E2-s1. Pruebas con barreno fueron llevadas a cabo al norte, sur, este, y oeste de la unidad 10J en intervalos de 1m para estimar el diámetro del elemento en su base. Se estima que el centro del desecho se encuentra a aproximadamente 65 cm al suroeste de la esquina suroeste de la unidad 10J, en lo que correspondería a la unidad 9I. Más investigaciones del E2 son necesarias para determinar su tamaño, forma y contenido con más certeza. Un horno de piedra parecido pero mucho más grande (Op A-E42) fue detectado durante la temporada de campo de 2012 en la acrópolis en Río Viejo (Barber y Joyce 2013). El sedimento con ceniza en la Op E-E2 en Cerro de la Virgen era muy parecido al encontrado en el horno de la OpA-E42 en Rio Viejo, pero en lugar de utilizar granito para calentar, la gente de Rio Viejo utilizó tiestos de cerámica de vasijas utilitarias. Los excavadores tomaron varias muestras de sedimento de 5 litros para flotación de E2 para hacer un análisis de fitolitos y polen, los resultados están por venir. Cuando se dejó de utilizar E2, probablemente durante la fase Chacahua o quizás después, una capa de suelo de migajón arenoso se formó dentro del coluvión erosionado desde la Estructura 4 en la plaza alrededor.

7.6.3 Resumen

La excavación de 1m x 1m (unidad 10J) en la Operación E se enfocó en obtener un entendimiento preliminar de la secuencia constructiva y las actividades llevadas a cabo en el patio del Complejo C. El patio fue construido en dos fases largas, ambas durante la fase Chacahua. La evidencia indica también que actividades a larga escala pudieron haber sido llevadas a cabo en el patio a lo largo de su uso, indicadas por el fogón temprano (E4) y el horno de tierra más tardío (E2) detectados en la unidad 10J.

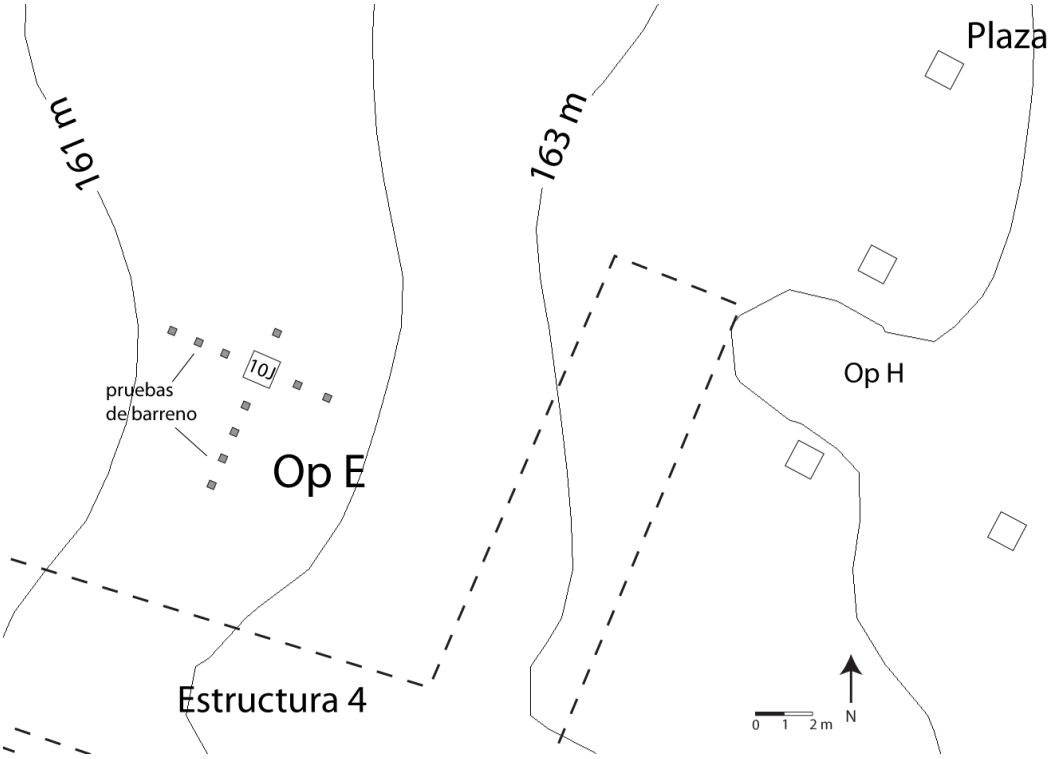


Figura 7.107: Vista en planta del área excavado en la Operación E; muestras de barreno se pueden ver en gris



Figura 7.108: Foto del área excavado en la Operación E

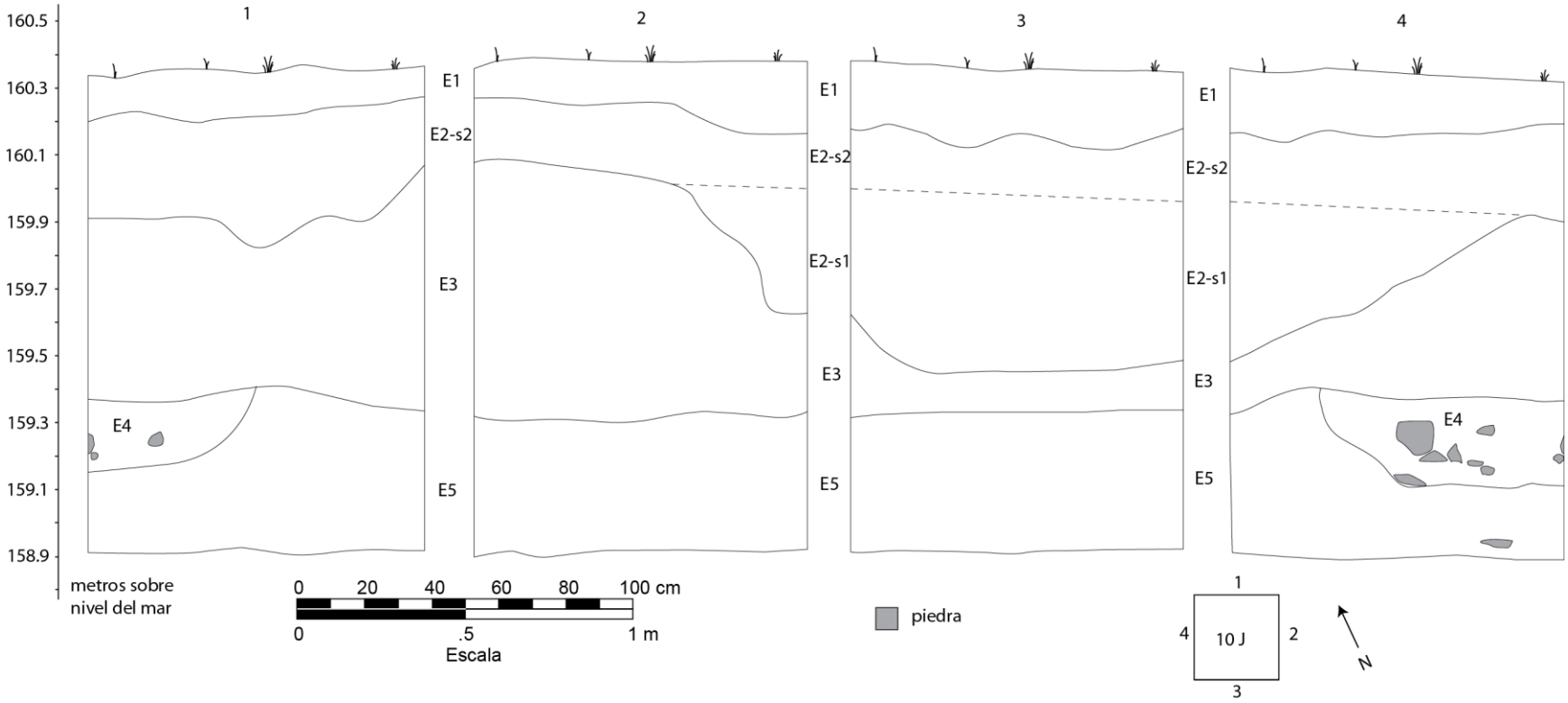


Figura 7.109: Perfil estratigrafico de la unidad 10J

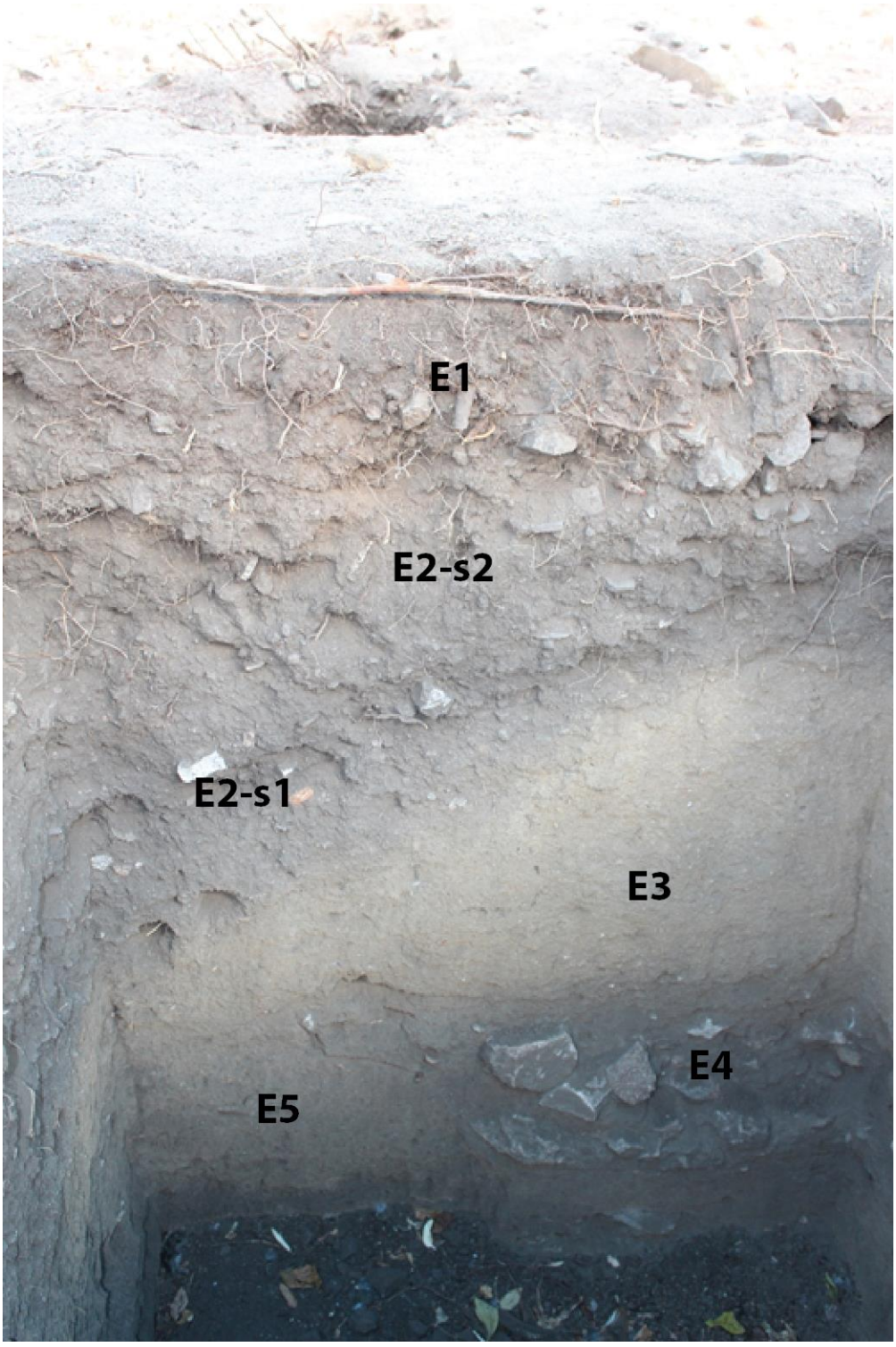


Figura 7.110: Foto del horno de tierra (E2) en el perfil oeste de la unidad 10J

7.7 Excavaciones en la Operación F

7.7.1 Introducción

La operación F consiste de dos pozos de sondeo de 1m x 1m (unidades 10 F y 12H) y un pozo de sondeo de 1m x 2m (unidades 12D y 13D) ubicadas en el lado oeste de la Terraza 12 (Figuras 7.111 y 7.112). El muro de contención oeste de la Terraza 12 sirvió también como el muro este de una cancha de juego de pelota en forma de "I"; con la cancha para jugar ubicada entre las Terrazas 12 y 13. Las excavaciones en la Operación F tenían los siguientes objetivos:

1. Identificar las técnicas de construcción y los materiales utilizados para construir la Terraza 12 y la cancha de juego de pelota
2. Identificar las actividades llevadas a cabo en la Terraza 12
3. Llegar a los depósitos profundamente enterrados en el área al este de muro de contención este de la cancha de juego de pelota para fechar la construcción de la cancha y de la Terraza 12

La evidencia de la Op F indica que la cancha de juego de pelota pertenece a la fase Chacahua, siendo por lo tanto, la única cancha de juego de pelota identificada para el periodo Formativo en el bajo Verde. Las canchas en Mesoamérica en el periodo formativo están asociadas con creencias religiosas y cosmología, siendo el lugar donde frecuentemente se hacían representaciones rituales del viaje simbólico desde el mundo terrenal hacia el otro mundo (Schele y Freidel 1991). La evidencia preliminar de las excavaciones en la Terraza 12 puede representar actividades asociadas con ceremonias mortuorias llevadas a cabo en conjunto con las prácticas rituales en la cancha de juego de pelota. Por ejemplo, restos humanos (B1-I1) fueron encontrados en una capa de relleno en la Terraza 12 que pertenecían a la fase Chcahua. Aunque no está claro si el entierro era primario o secundario, B1-I1 es parte de los pocos restos humanos encontrados en el centro cívico-ceremonial del sitio, sugiriendo que el área pudo haber servido fines mortuorios durante el periodo Formativo terminal (ver también Barber et al. 2013).

Aunque ninguna unidad en la Op F llego hasta la roca madre, las unidades 12H y 10F fueron excavadas hasta la capa estéril. La unidad 10F se ubicó dentro de la chanca de juego de pelota para determinar la elevación de la base del muro este de la cancha (el muro de contención de la Terraza 12). Las unidades 12D y 12H penetraron dentro de los depósitos profundos debajo del muro de contención para fechar el relleno utilizado en la construcción del patio oeste del Complejo B. La unidad 12H no lleno hasta la roca madre, pero los últimos dos lotes no contenían material cultural. En la unidad 12D, los excavadores destaparon los vestigios de un entierro muy mal conservado (B1-I1), que se extendió hacia el este dentro de la Unidad 13D. La Unidad 13D fue abierta para excavar el entierro en su totalidad. La tabla 7.6 provee una lista detalla de todos los elementos culturales y naturales identificados en la Operación F.

Tabla 7.6: Lista de niveles estratigráficos en la Operación F

Numero de Estrato	Unidades	Descripciones de Munsell y Sedimento	Fecha Probable	Proceso de Formación	Commentarios
E1-s1	10F	10 YR 2/2; Migajón de color café muy oscuro	Moderno	Suelo formado dentro del coluvión (E2)	Humus con migajón moderadamente organizado con granos angulares y redondeados; contiene inclusiones de grava, material orgánico, cerámica y piedras pequeñas; muy perturbado; ver Figura 7.113.
E1-s2	12D, 12H, 13D	10 YR 2/2; Migajón de color café muy oscuro	Moderno	Suelo formado en el relleno (E4)	Parecido a E1-s1 pero contiene más limo; ver Figuras 7.114, 7.116
E2	10F	10 YR 3/2; Migajón de café grisáceo de color gris muy oscuro	Coyuche	Coluvión	Coluvión bien organizado con granos redondeados; contiene inclusiones de carbono, pequeñas cantidades de ceniza, piedras desintegradas, arena gruesa, y cerámica; sedimento es suelto (parecido a E4); la diferencia en composición puede ser por la mezcla del sedimento que se filtró por el muro de contención (E12); ver Figura 7.113
E3	10F	10 YR 3/3; Arena con migajón de color café muy oscuro	Chacahua o Coyuche	Relleno de construcción o basurero posible	Relleno arenoso moderadamente organizado con inclusiones de cerámica grande, pequeños fragmentos de figuras, pequeños pedazos de bajareque quemado, arena gruesa, grava, mica, pequeños pedazos de carbono, y pequeñas piedras; más compacto que E2 pero no tan compacto como E16; madrigueras y perturbaciones con raíces presentes; puede representar desecho tirado dentro de la cancha de juego de pelota después de que se dejó de utilizar y que el sitio fue abandonado; ver Figura 7.113

Numero de Estrato	Unidades	Descripciones de Munsell y Sedimento	Fecha Probable	Proceso de Formación	Commentarios
E4	12D, 12H, 13D	10 YR 3/3; Migajón limoso de color café oscuro	Chacahua	Relleno de construcción	Sedimento moderadamente organizado con granos sub-redondeados; contiene inclusiones de material orgánico, arena gruesa, grava y cerámica; suelto, parecido a E2, pero de composición variado (E4 contiene más limo pero menos ceniza y carbono); ver Figuras 7.114, 7.116
E5	12D, 13D	Sin Munsell; piedra	Chacahua	Retaining wall of Structure 7 (low platform)	Muro de contención consistiendo de un nivel de piedras de granito corriendo de este a oeste en las unidades 12D y 13D; algunas piedras eran grandes y con fachada mientras que otras eran pequeñas y fragmentadas; muro contiene E7-s1, presumiblemente formado la Estructura 7 (hipotético, no visto en planta); ver Figura 7.116
B1-I1	12D, 13D	Sin Munsell; restos humanos	Chacahua	Esqueleto humano	Individuo (B1-I1) enterrado en E6; encontrado en mala condición con menos de 10% del material esquelético presente; entierro orientado este-oeste (104°-284° de cabeza hacia los pies); no visible en perfil; ver Figura 7.119
E6	12D, 13D	10 YR 3/3; Arena con migajón de color café oscuro	Chacahua	Posible pozo de entierro	Posible pozo de entierro dentro del cual B1-I1 fue depositado; el pozo es poco profundo y corta desde la cima de E7-s1; la textura del sedimento es idéntica en color a E7-s1 pero es muy suelto; la profundidad del pozo no está claro pero probablemente menos profundo (menos de 30cm); no detectado en perfil

Numero de Estrato	Unidades	Descripciones de Munsell y Sedimento	Fecha Probable	Proceso de Formación	Commentarios
E7-s1	12D, 13D	10 YR 3/3; Arena con migajón de color café oscuro	Chacahua	Relleno de construcción	Arena con migajón mal organizado con granos subangulares-subredondeados; contiene inclusiones de grava, arena gruesa, mica, cerámica erosionada, y pequeñas piedras; el relleno esta contenido por un pequeño muro de contención (E5), creando una plataforma baja (Estructura 7) al norte; probablemente análogo a E9; ver Figura 7.116
E7-s2	13D	10 YR 5/2; Arena con migajón de color café grisáceo	Chacahua	Relleno de construcción	Capa delgada de arena con migajón dentro de una capa más grande, E7-s1; sedimento más fino y más claro en color que E7-s1; ver Figura 7.116
E8	12H	Sin Munsell; vasijas de cerámica	Chacahua	Ofrenda en el relleno	Dos pequeñas vasijas cilíndricas (tipo café grueso) colocadas en el relleno de E9; acompañadas de una tapa posible; no visible en perfil
E9	12H	10YR 3/3; Migajón arenoso de color café oscuro	Chacahua	Relleno de construcción	Migajón arenoso mal organizado con granos angulares; contiene inclusiones de mica, arena gruesa y cerámica erosionada; probablemente análogo a E7-s1; sedimento es parecido a E7-s1 pero es más arenoso y contiene inclusiones menos gruesas (grava, piedras, etc); ver Figura 7.114
E10	12D, 13D	10 YR 3/3; Migajón arenoso de color café oscuro	Chacahua	Relleno de construcción	Sedimento mal organizado con granos angulares; contiene inclusiones de mica, arena gruesa, grava y cerámica erosionada; probablemente análogo a E11; matriz es parecido en composición a E11 pero contiene más grava; ver Figura 7.116

Numero de Estrato	Unidades	Descripciones de Munsell y Sedimento	Fecha Probable	Proceso de Formación	Commentarios
E11	12H	10 YR 3/3; Migajón arenoso de color café oscuro	Chacahua	Relleno de construcción	Relleno mal organizado con granos angulares; contiene inclusiones de mica, arena gruesa y cerámica erosionada; probablemente análogo a E10; matriz es parecida en composición a E10 pero contiene menos grava ver Figura 7.114
E12	10F	Sin Munsell; piedra	Chacahua	Muro de contención de la cancha de juego de pelota	Muro de granito conteniendo capas de relleno E11, E10, E9, E7-s1 y E7-s2 al este; construido encima de E16; contiene 4-5 niveles de muros de tamaño variado; muro contiene la parte este de la cancha de juego de pelota; ver Figura 7.113
E13-s2	12H	10 YR 4/3; Arena con migajón de color café	Chacahua	Relleno de construcción	Arena con migajón mal organizado con relleno de granos angulares; contiene inclusiones de mica, arena gruesa y cerámica; capa depositada al mismo tiempo, pero directamente después de E13-s1; ver Figura 7.114
E13-s1	12H	10 YR 5/3; Migajón arenoso color café	Chacahua	Relleno de construcción	Relleno mal organizado con granos angulares-subangulares; contiene inclusiones de mica, arena gruesa, cerámica y piedras pulverizadas; de color más claro y contiene menos inclusiones que E13-s2 y E14; sedimento es menos suelto que E14; ver Figura 7.114

Numero de Estrato	Unidades	Descripciones de Munsell y Sedimento	Fecha Probable	Proceso de Formación	Commentarios
E14	*12H*	*10 YR 3/2; Arena con migajón de color café gris muy oscuro*	*Chacahua*	*Relleno de pozo*	Relleno mal organizado, moderadamente compacto con granos angulares; contiene inclusiones de mica, grava, arena gruesa, cerámica, piedra pulverizada, piedra quemada, pequeños pedazos de bajareque, ceniza, carbono y hueso (probablemente animal); llena pozo profundo (60-70 cm de profundo) que corta dentro de E15; puede haber sido llenado de desecho de actividades llevadas a cabo en la plataforma baja al este del muro de contención E12; conforme uno va bajando, la concentración de hueso aumenta; ver Figura 7.114
E15	12H	10 YR 3/3; Arena limosa de color café oscuro	Chacahua	Relleno de construcción	Relleno moderadamente organizado con granos angulares; contiene inclusiones de grava, mica, arena gruesa y cerámica; probablemente análogo a E16 en la unidad 10F, corresponde a la primera fase de construcción en el área Op F; mas arenoso y más suelto que E16; ver Figura 7.114
E16	10F	10 YR 4/3; Migajón de color café	Chacahua	Relleno de construcción	Relleno mal organizado con granos subangulares; contiene inclusiones de mica, grava, arena gruesa; cerámica; muy compacto (más compacto que E15 en unidad 12H y E3 en la unidad 10F); menos inclusiones que E3 (cerámica en especial); probablemente análogo a E15 en unidad 12H; ver Figura 7.113

7.7.2 Historia Ocupacional

Excavaciones en Op F revelaron que la construcción en la operación empezó durante la fase Chacahua con la deposición de varias capas de relleno que formo la superficie de construcción de una cancha de

juego de pelota y la Terraza 12. Estas capas de relleno tempranas incluían E16 (expuesto en la unidad 10F; Figura 7.113) y E15 (expuesto en la unidad 12H; Figura 7.114). E16 consiste en por lo menos 50-55cm de relleno compacto con pendiente hacia arriba al este para llegar a una elevación de 159.5 msnm. La elevación puede representar una superficie elevada sobre la cual el muro de contención de la Terraza 12 (muro este de la cancha de juego de pelota; E12 [ver Figura 7.115]) fue construido o puede indicar que erosión ocurrió dentro de la cancha durante su uso (ver abajo). En le área de la unidad 12H, los constructores depositaron por los menos 60 cm de relleno (E15) al mismo tiempo o justo después de que terminaron E16, elevando la superficie del suelo a una elevación de 158.0 msnm. Excavaciones en las unidades 10F y 12H no llegaron hasta la roca madre, así que es posible que E15 y E16 sean más gruesos o que cubrieron depósitos más tempranos. Después de terminar E15, los habitantes de Cerro de la Virgen excavaron un pozo ancho (de aproximadamente 1.5 metros en diámetro) y profundo (65 cm de profundo) que fue depositado con sedimento arenoso con migajón oscuro (E14) con una variedad de inclusiones incluyendo mica, grava, arena gruesa, cerámica, piedras pulverizadas, piedras quemadas, bajareque, carbono, y hueso animal no identificado. Dado la variedad de desecho presente en E14, la gente pudo haber utilizado el pozo para tirar basura proviniendo de las actividades llevadas a cabo en el Complejo B. E15 y E14 fueron cubiertos por dos capas delgadas de limo arenoso mal organizado (E13-s1 y E13-s2).

Los constructores empezaron una fase extensiva de construcción que creyó la Terraza 12 y la cancha de juego de pelota, levantando la superficie al este de la cancha de juego de pelota por entre 50-60 cm. Para hacer la Terraza 12 y la cancha de juego de pelota, los constructores hicieron E12. E12 es un muro de contención de cuatro a cinco niveles de piedras de granito con fachada que contenía las capas de relleno E11, E10, E9 y E7 al este (Figura 7.113). Por el peso del relleno contenido y el movimiento de pos-deposición, en su forma actual el muro de contención E12 tiene inclinación hacia el oeste con un ángulo de aproximadamente 20°. El muro pudo haber sido mantenido recto durante su periodo principal

de uso. E12 mide 1.1m de alto y es de tamaño parecido al muro de contención utilizado para construir la Estructura 1-sub 1 (ver sección 7.5), la parte superior del muro se puede ver en la superficie moderna. Aunque las piedras utilizadas para construir E12 parecen todas tener fachada, los tamaños y la forma de las piedras no están estandarizadas. Presumiblemente, los constructores también hicieron el muro oeste de la cancha de juego de pelota (el muro de contención de la Terraza 13) en este mismo tiempo, que hubiera contenido la cancha en su lado oeste. El PRV13 no excavó ni la Terraza 13, ni el muro oeste de la cancha de jugo de pelota.

Después de la construcción de E12, los constructores depositaron varias capas de relleno de construcción, incluyendo E11 y E9 en el área de la unidad 12H (Figura 7.114 y 7.117), y E10 y E7 en el área de las unidades 12D y 13D (Figura 7.116). Al inicio del periodo de construcción E9, los habitantes de Cerro de la Virgen colocaron dos pequeñas vasijas cilíndricas como ofrenda (E8) dentro del relleno antes de completar la fase de construcción (Figura 7.118). La vasija de ofrenda al este (E8-ob1) tenía un pequeño hoyo en la parte superior de la pared de la vasija, el cual pudo haber servido para reparar arreglar la vasija ante de que fue colocada. La vasija oeste (E8-Ob2) fue acompañada por una tapa, que se halló adyacente a las vasijas de ofrenda. E9, que tiene pendiente hacia abajo al este conforme se acerca a E12, elevo la superficie de la unidad 12H a una elevación de 160.6 msnm.

Durante la deposición de E7-s1, un individuo de sexo y edad no determinado (B1-I1) fue enterrado en un posible pozo de entierro (E6; Figuras 7.119, 7.120 y 7.121). Los restos de B1-I1 fueron mal preservados, con menos de 10% del esqueleto recuperado durante las excavaciones. Basado en la mala preservación de B1-I1, no está claro si el entierro es primario o secundario. Por lo tanto, la orientación aproximada del cuerpo (104°-284°, de la cabeza a los pies) es tentativa. La declinación del pozo de entierro (E6) dentro del cual B1-I1 fue colocado no está claro. Los límites de E6 fueron aproximados de acuerdo con las diferencias en la composición del sedimento. Por ejemplo, la arena con migajón (E6) que rodeaba B1-I1 era mucho más suelto que el relleno alrededor (E7-s1), lo que puede

representar el relleno depositado para cubrir el entierro. Ninguna ofrenda fue encontrada con el entierro.

Después, los constructores hicieron un pequeño muro de contención de piedra (E5) cerca de la cima de E7-s1, que se extendió al este con un ángulo (295°-115°) perpendicular al muro de contención de la Terraza 12 (E12). E5 contenía el sedimento en la parte superior de E7-s1 al norte y pudo haber sido colocado para crear una plataforma baja (Estructura 7) sobre la cual las actividades asociadas con la cancha de juego de pelota del Complejo B fueron llevados a cabo. Mientras que los constructores utilizaron piedras de tamaño parecido a las de E12 en E5, E5 tenía solamente un nivel de piedras, algunas de las cuales no parecían haber sido trabajadas. Los datos de cerámica de las excavaciones detrás y la sur del muro indican que E5 pertenece a la fase Chacahua. Una vez que se completó E7 y E5, los constructores depositaron una capa de relleno de construcción de migajón con limo (E4) que cubrió E9, E7, y E5 al este de E12. Este episodio de construcción marca la última fase de construcción importante de la fase Chacahua en la parte oeste del Complejo B.

Casi al final de la fase Chacahua, o al inicio de la fase Coyuche, la cancha de juego de pelota se dejó de utilizar y una capa de relleno de construcción, basurero, o posible depósito de terminación (E3) cubrió la cancha de juego de pelota al oeste de E12. E3 consistió en arena con migajón de color oscuro que contenía inclusiones de grandes tiestos de cerámica bien conservados, que ocurrieron a una frecuencia más alta que en las capas de relleno anteriores, pequeños pedazos de figuras, bajareque quemado, grava, piedras, y pequeñas motas de carbono. El relleno no parece tener hueso animal ni grandes cantidades de carbono. Basado en su contenido y posición estratigráfica, E3 representa un episodio de relleno que incluyo basura y desecho ocupacional, quizás designado para cerrar o "terminar" la cancha de juego de pelota de manera ceremonial. E3 fue cubierto por una capa de coluvión (E2) que también pudo haber contado con sedimento de E4 que se filtró a través del muro de

contención E12. Después del abandono del sitio, un suelo moderno (E1) se formó en la parte superior de estrato (E4 y E6).

7.7.3 Resumen

Las excavaciones en la Operación F fueron designadas para determinar los métodos de construcción y la fecha de la cancha de juego de pelota, así como para explorar las actividades llevadas a cabo en el patio oeste del Complejo B. Aunque ningún pozo de excavación en la Operación F llego hasta la roca madre, la evidencia estratigráfica de las unidades 10F y 12H indica que el relleno de construcción más temprano pertenece a la fase Chacahua. La construcción del muro de contención de la cancha de juego de pelota (E12), que corre a lo largo de la cancha (aproximadamente 25m), hubiera necesitado una mano de obra importante. Se necesitan más excavaciones para hacer una estimación energética de las horas necesarias para construir el Complejo B. A demás de las actividades asociadas con la cancha de juego de pelota, los habitantes de Cerro de la Virgen participaron en prácticas rituales en el borde del patio oeste del Complejo B. Dos pequeñas vasijas cilíndricas (E8) fueron depositadas dentro de la última capa de relleno (E9). Esta capa fue contenida por E12 y la ofrenda pudo haber servido como ofrenda dedicatoria relacionada con el juego de pelota. Se necesitan más investigaciones en el patio oeste para obtener una muestra más grande de objetos utilizados en las prácticas de depósito de ofrendas para poder comparar el Complejo B con el Complejo A y la Estructura 1. A demás del pequeño deposito, los habitantes de Cerro de la Virgen también colocaron un entierro dentro del relleno detrás de E12. Por el momento no se sabe si B1-I1 se trata de un entierro primario o secundario. Si se trata de un entierro primario, la colocación de B1-I1 quizás fue parte de una ofrenda más grande relacionada con el uso de la cancha de juego de pelota.

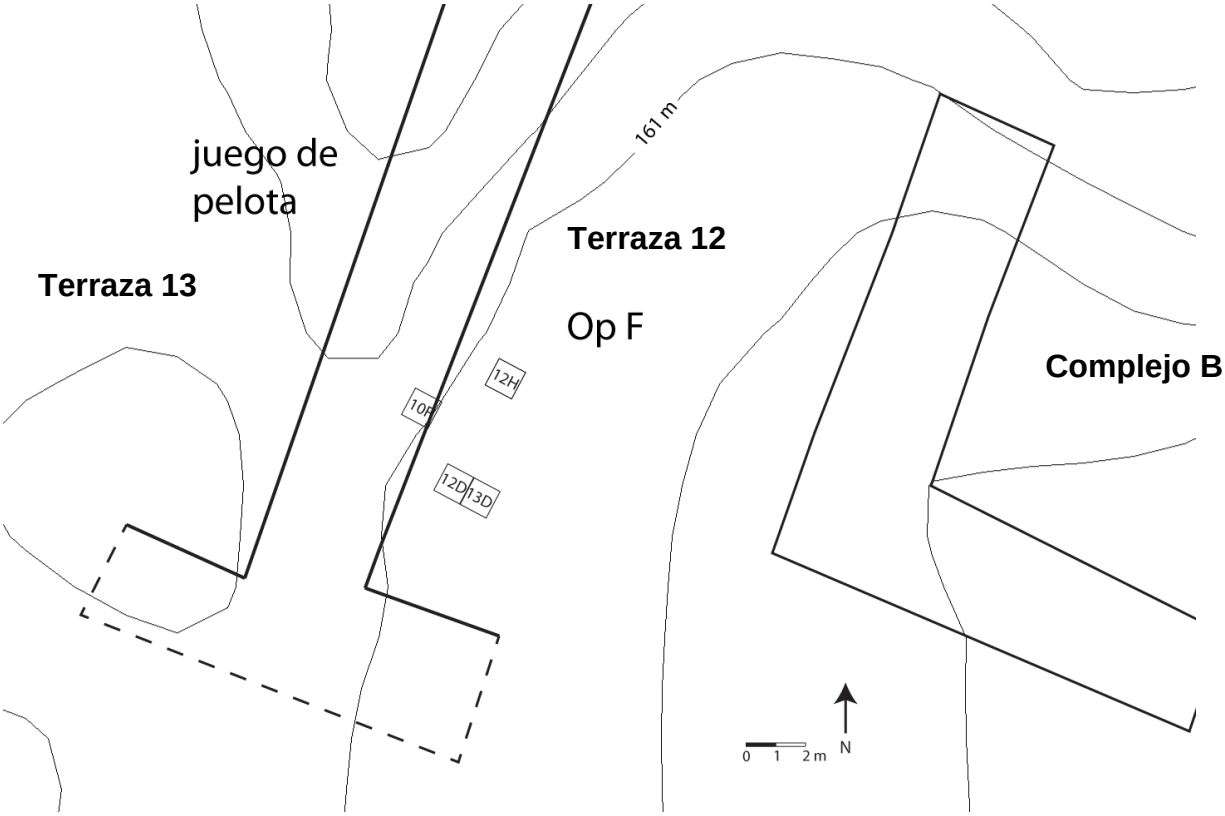


Figura 7.111: Vista en plata de las Excavaciones en la Operación F (contornos = 1 m)



Figura 7.112: Foto de las excavaciones en la Operación F; muro de contención de la Terraza 12 (E12) en primer plano (vista hasta el este)

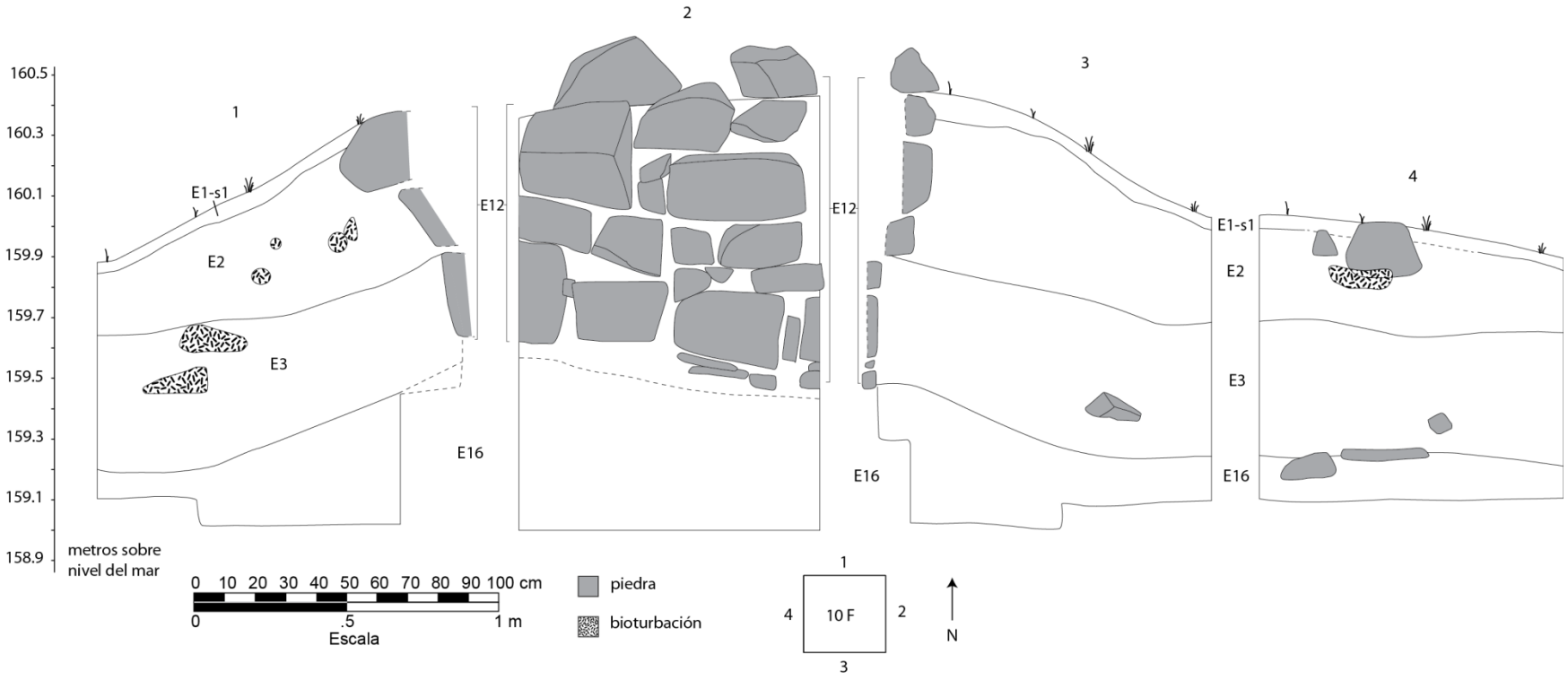


Figura 7.113: Perfil estratigráfico de la unidad

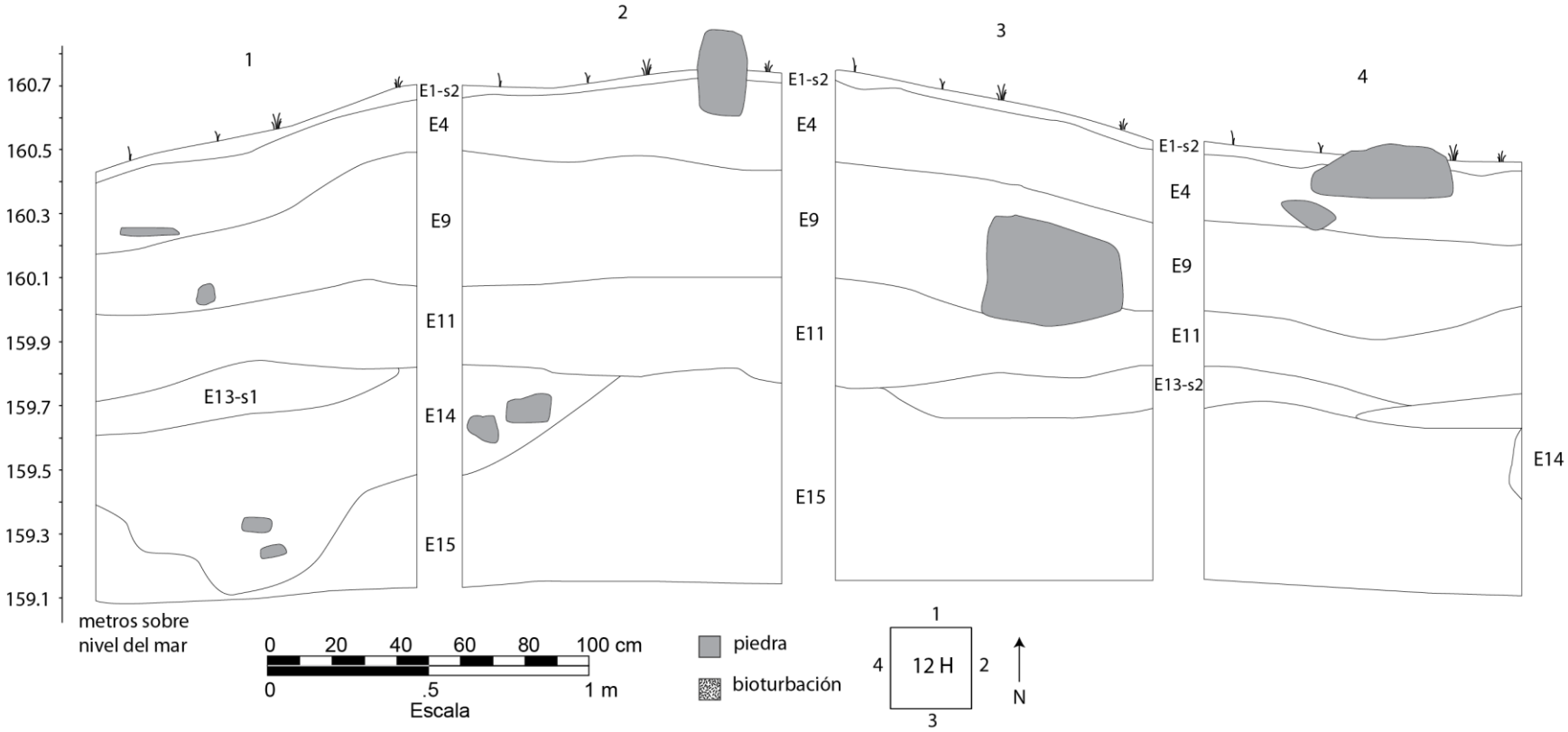


Figura 7.114: Perfil estratigráfico de la unidad 12H



Figura 7.115: Foto del muro de contención (E12) en el perfil este de la unidad 10F

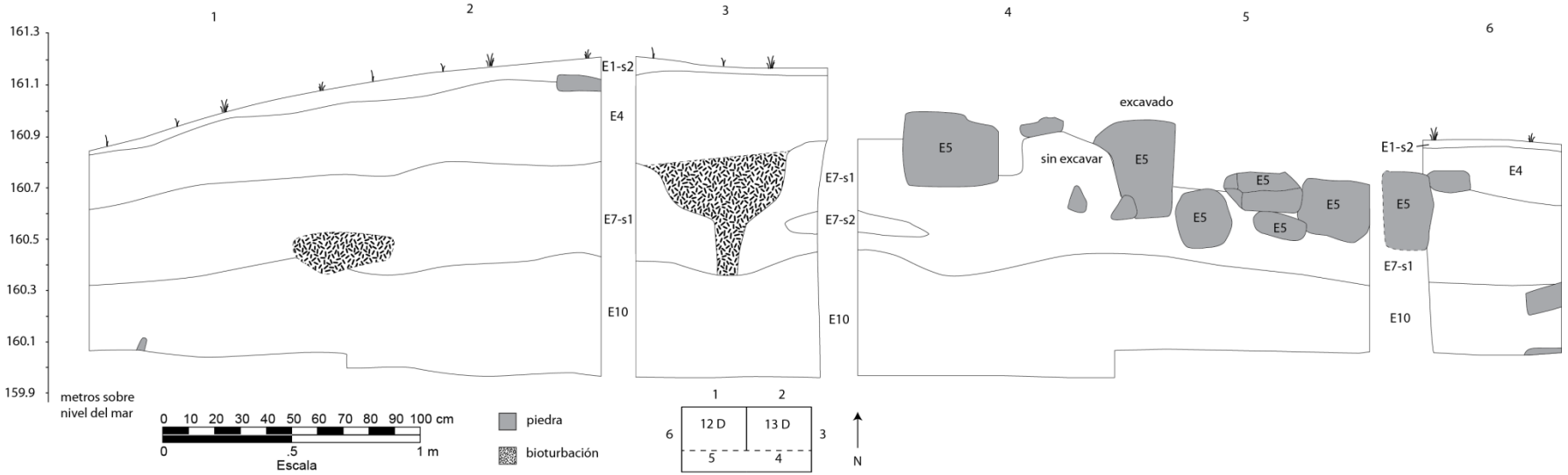


Figura 7.116: Perfiles estratigráficos de las unidades 12D y 13D

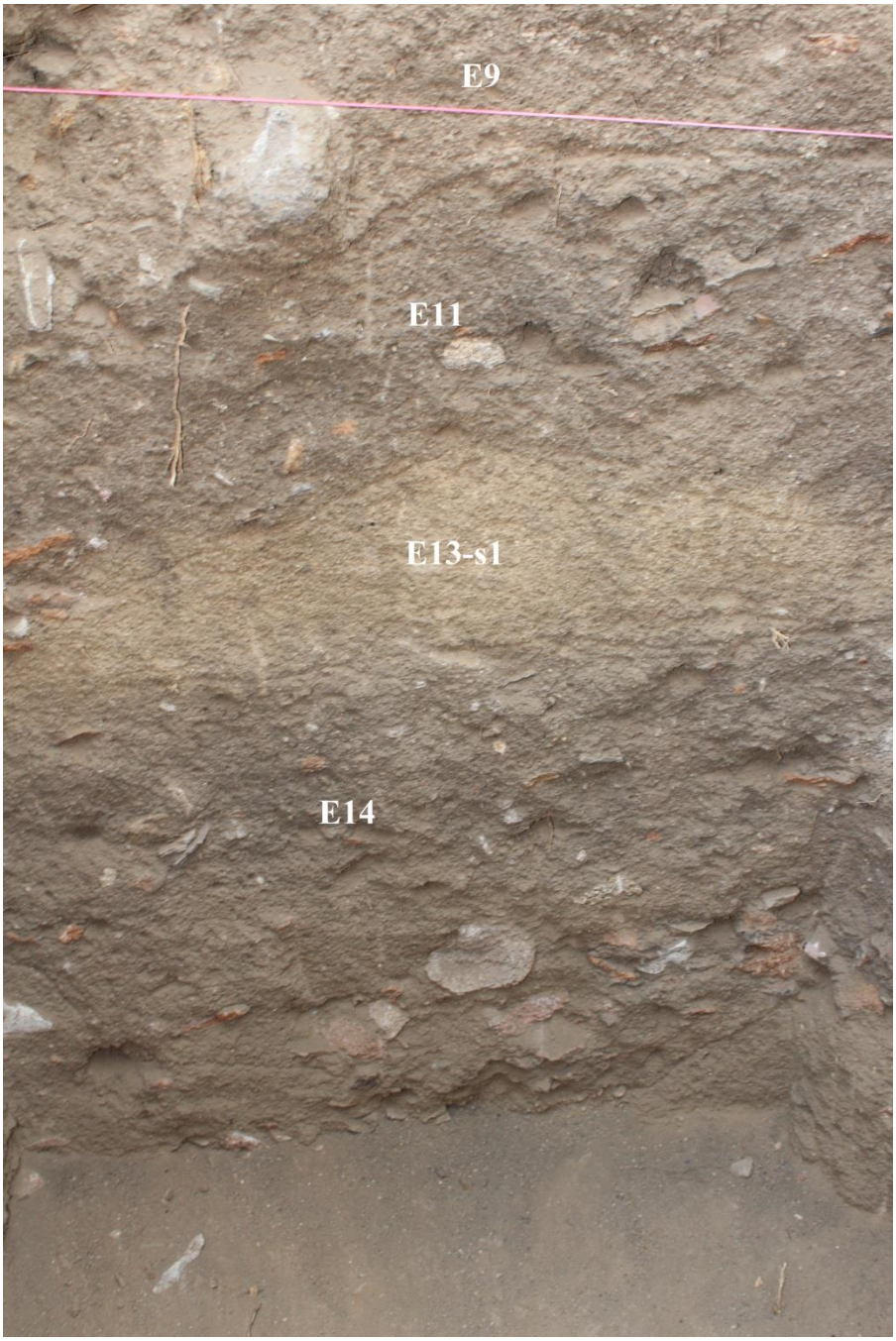


Figura 7.117: Foto de la parte inferior del perfil norte en la unidad 12H



Figura 7.118: Foto de las vasijas de ofrenda en la unidad 12H (E8)

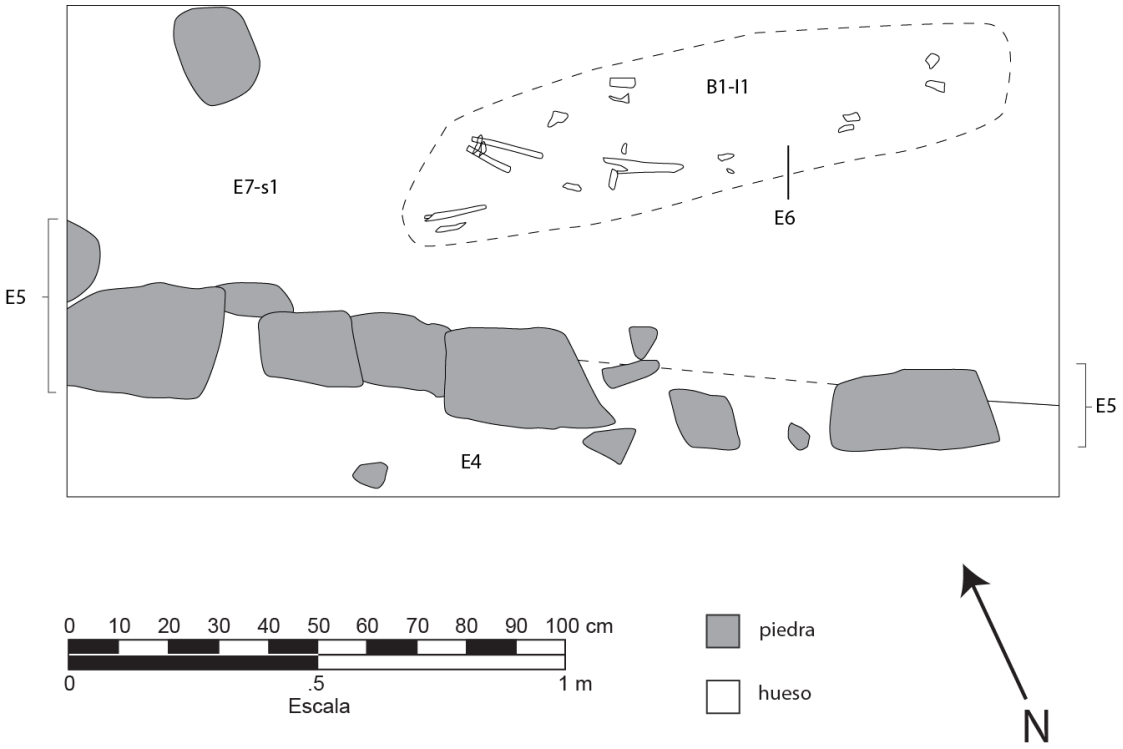


Figura 7.119: Vista en plata de B1-I1 en unidades 12D y 13D



Figura 7.120: Foto de B1-I1 en las unidades 12D y 13D



Figura 7.121: Foto de B1-I1 debajo del muro de contención E5

7.8 Excavaciones en la Operación G

7.8.1 Introducción

La Operación G consistió de dos pozos de sondeo de 1m x 1m (15T y 23T) y un pozo de sondeo de 1m x 2m (unidades 14L y 15L) ubicado en un área plano y abierto en la esquina suroeste del centro ceremonial de Cerro de la Virgen (Figura 7.122). El área fue seleccionado para explorar las actividades y episodios de construcción llevadas a cabo justo a fuera del centro ceremonial del sitio, en particular para determinar si el área fue utilizado para actividades mortuorias por los habitantes de Cerro de la Virgen. La numeración de las unidades de excavación empezó con "14" y con la letra "L" para dar espacio para excavar unidades futuras utilizando la misa cuadricula cartesiana al sur y al oeste. Las excavaciones fueron localizadas en el área de la Op G para obtener datos sobre el área con una cantidad relativamente pequeña de pozos de sondeo. La Op G tenía los siguientes objetivos:

1. Identificar las actividades llevadas a cabo a fuera del centro ceremonial del sitio, determinar particularmente si el área fue utilizado por fines mortuorios.
2. Identificar las técnicas de construcción y los materiales utilizados para la construcción en esta área.
3. Penetrar hasta los depósitos profundos para obtener la fecha de la ocupación más temprana en el área al suroeste del centro del sitio.

Las excavaciones en la Op G no detectaron ninguna evidencia de un cementerio ni encontraron ningún entierro. Sin embargo, el área que se abrió era pequeño (4 m^2), así que no se puede descartar completamente la posibilidad que se hicieron actividades mortuorias en esta sección del sitio. El recorrido de superficie en el sitio y las excavaciones en las unidades 14L y 15L indican que puede haber residencias cerca de la Op G. Dos fragmentos grandes de metates fueron localizados en la superficie cerca de la unidad 15T, sugiriendo que por lo menos se hacían actividades relacionadas con la cocina en

esta área del sitio. A demás, grandes pedazos de material de construcción de bajareque desarticulado fueron detectados en las unidades 14L y 15L, lo que puede representar los vestigios de un edificio cercano. Un posible muro de cimiento fue detectado en la superficie moderna al sur de las excavaciones de la Op G, pero no es investigó más acerca de este elemento.

Tabla 7.7: Lista de niveles estratigráficos en la Operación G

Numero de Estrato	Unidades	Descripciones de Munsell y Sedimento	Fecha Probable	Proceso de Formación	Commentarios
E1	14L, 15L, 15T, 23T	10 YR 3/2; Migajón con arena de color café grisáceo muy oscuro	Moderno	Suelo formado dentro del relleno (E2-s1)	Humus mal organizado de migajón con arena; contiene inclusiones de grava, material orgánico, cerámica, y pequeñas piedras; muy perturbado; ver Figuras 7.123-7.125
E2-s1	14L, 15L, 15T, 23T	10 YR 3/3; Migajón con arena de color café oscuro	Pos-formativo	Coluvión	Migajón con arena mal organizado con coluvión y granos sub-redondeados; contiene inclusiones de mica, cerámica erosionada, arena gruesa, y grava; E2-s1 y E2-s2 son muy perturbadas (madrigueras y raíces); ver Figuras 7.123-7.125
E2-s2	15L	10 YR 2/2; Migajón de color café muy oscuro	Pos-formativo	Coluvión	Migajón mal organizado con granos sub-angulares; contiene inclusiones de mica, grava, y cerámica erosionada; posible perturbación grande – puede explicar la presencia de cerámica del Clásico intrusiva hallada en lotes asociados con E4; ver Figura 7.125
E3	23T	10 YR 3/4; Migajón arenoso de color café amarillento oscuro	Chacahua	Relleno de construcción	Migajón arenoso mal organizado con granos subangulares; contiene inclusiones de mica, grava y cerámica; más suelto que E5; ver Figura 7. 123

Numero de Estrato	Unidades	Descripciones de Munsell y Sedimento	Fecha Probable	Proceso de Formación	Commentarios
E4	14L, 15L	10 YR 4/3; Arena con migajón de color café	Chacahua	Relleno de construcción	Relleno de arena con migajón moderadamente organizada con granos subangulares; contiene incisiones de mica, grava, y grandes cantidades de bajareque con impresiones de caña (quizás parte de una pared de bajareque redepositado); bajareque asociado con niveles superiores; superficie de E4 puede haber sido ocupada; ver Figura 7. 125
E5	23T	10 YR 4/3; Migajón arenoso de color café	Probablemente Chacahua	Relleno de construcción	Migajón arenoso mal organizado con granos subangulares; contiene inclusiones de mica, arena gruesa, grava, y cerámica erosionada; inclusiones de cerámica más grande en tamaño que en los estratos inferiores (E7-s1) y superiores 9E3); probablemente análogo a E6; relleno contiene cerámica de la fase Chacahua así como cerámica redepositada de las fases Miniyua y Minizundo; ver Figura 7.123
E6	15T	10 YR 4/2; Migajón limoso de color café grisáceo oscuro	Probablemente Chacahua	Relleno de construcción	Migajón limoso bien organizado con granos subredondeaos; contiene inclusiones de mica, grava y cerámica erosionada; más compacto que E2-s1 y E5; posiblemente depositado al mismo tiempo que E5; relleno contiene cerámica de la fase Chacahua y cerámica redepositada de la fase Minizundo; ver Figura 7.124

Numero de Estrato	Unidades	Descripciones de Munsell y Sedimento	Fecha Probable	Proceso de Formación	Commentarios
E7-s1	23T	10 YR 6/4; Arena con migajón de color café amarillento claro	Probablemente Chacahua	Relleno de construcción	Relleno de arena con migajón moderadamente organizado con un poco de arcilla; contiene inclusiones de grava, mica, arena gruesa y cerámica erosionada; muy duro y compacto (más compacto que E5); contiene más grava que E5; relleno cuenta con cerámica de la fase Chacahua así como cerámica de la fase Minizundo redeposidata; ver Figura 7.123
E7-s2	23T	10 YR 5/3; arena de color café	Probablemente Chacahua	Relleno de construcción	Capa delgada de relleno arenoso con grava y arena gruesa; ver Figura 7.123

7.8.2 Historia Ocupacional

Las excavaciones en la Op G revelaron dos episodios ocupacionales importantes en el suroeste del Complejo C, ambos perteneciendo probablemente a la fase Chacahua. La capa más temprana de relleno de construcción, E7, fue expuesta en la base de la unidad 23T (Figura 7. 123). Las excavaciones en la unidad 23T no llegaron hasta la roca madre, así que es posible que E7 esté más grueso y/o que haya depósitos más tempranos debajo de E7. E7-s1 consiste en relleno arenoso con migajón muy compacto con inclusiones de cerámica erosionada. Una capa delgada de arena (E7-s2) también fue depositada antes de que se completó E7-s1. La evidencia cerámica indica que los constructores depositaron E7-s1 y E7-s2 durante la fase Chacahua, utilizando sedimento local, incluyendo depósitos de la fase Minizundo. Una proporción relativamente grande de tiestos de cerámica de la fase Minizundo fueron registrados en los depósitos más profundos excavados en 23T. Cerámica hallada en E7 era muy fragmentada y erosionada, sugiriendo que fueron probablemente redepositados dentro del relleno. El episodio de construcción de E7 levanto la superficie para llegar a una elevación de 158.2 msnm.

El próximo periodo de ocupación y construcción en el área de la Op G también pertenece a la fase Chacahua y empiece con la deposición de las capas de relleno E6 y E5. Los constructores depositaron E6 en el área de la unidad 15T (Figura 7.124) y E5 en el área de la unidad 23T (Figura 7. 123), cubriendo la capa E7. E6 consistió de sedimento de migajón limoso con inclusiones de mica, grava y cerámica erosionada de la fase Minizundo. La deposición de E6 levanto la superficie del suelo en el área de la unidad 15T a una elevación de 158.7 msnm. Alrededor del mismo tiempo, los constructores depositaron también E5, una capa gruesa de relleno de migajón con arena que levantó la superficie del suelo en el área hasta 158.7 msnm. Los constructores también depositaron una capa de relleno de arena con migajón (E4) perteneciendo a la fase Chacahua en el área al suroeste de la Op G, que levanto la superficie del suelo a una elevación de 158.2 msnm. Es probable que E4, E5, y E6 fueron depositados alrededor del mismo tiempo y pueden representar el mismo episodio de relleno.

Si E4, E5 y E6 fueron depositados al mismo tiempo, significa que la superficie ocupacional que se levantó hacia el este con un ángulo de 4-5° hubiera sido expuesta por un periodo de tiempo. Mientras que los datos acerca de las actividades de la fase Chacahua en la superficie de E6 y E5 son pocas, las excavaciones en las unidades 14L y 15L revelaron los restos de un gran pedazo de bajareque quemado con impresiones de cana superficies preservadas cerca de la superficie de E4 (Figuras 7.125, 7.126, y 7.127). Las excavaciones en las unidades 14L y 15L demostraron que una súper-estructura de bajareque quizás fue construida y después quemada en el área de la Op G, sugiriendo que la superficie de E4 fue ocupada. Los excavadores recolectaron 5.1 kg de bajareque de lotes asociados con la cima de E4 en las unidades 14L y 15L. Impresiones de cana preservadas dentro del bajareque variaron entre impresiones pequeñas y densas de entre 6.3 y 8.1 cm en diámetro, a impresiones ligeramente más esparcidas con un promedio de entre 6.3 y 8.1 cm de diámetro, a impresiones aún más esparcidas de entre 9.8 y 12.4 cm de diámetro. La pasta del bajareque era típicamente gruesa y arenosa pero ejemplos de pasta con fibras también fueron encontrados. Mientras que solamente pequeños fragmentos de las superficies de las

paredes fueron encontradas, los datos no sugieren que el escombro pertenece a varios edificios. Dada la cantidad y el tamaño de los pedazos recolectados en la cima de E4, es probable que el bajareque proviene de una estructura perecedera de bajareque que fue destruida y limpiada cerca de las unidades 14L y 15L. Otra posibilidad es que el bajareque fue redepositado de otra parte del sitio, pero como la parte grande del muro hubiera sido pesada y frágil, esta última hipótesis no es muy probable. Para determinar si esta área del sitio contaba con unidades domesticas de la fase Chacahua, será necesario llevar a cabo más investigaciones al norte de la parte excavada.

Después que se hicieron las actividades sobre E4, E3 fue depositado para revestir la cima de E5 en el área de la unidad 23T. La deposición de E3 levanto la superficie del suelo por aproximadamente 20-25 cm para llegar a una elevación de 90 cm debajo de datum. Después del revestimiento de E4, el área se dejó de utilizar y fue cubierto por una capa gruesa de coluvión (E2-s1 y E2-s2) que se fue deslavando desde la plaza con el tiempo. En el área de las unidades 14L y 15L, que se encontraron a una elevación considerablemente más baja que en la superficie del suelo en las unidades 15T y 23T al final de la fase Chacahua, hasta 40-45 cm de relleno de coluvión cubrió E4. Finalmente, una capa de suelo moderno (E1) se formó dentro del coluvión.

7.8.3 Resumen

Las excavaciones en la Operación G sugieren que los habitantes de Cerro de la Virgen levantaron la superficie ocupacional en la esquina suroeste de la Terraza 2 varias veces durante la fase Chacahua, quizás teniendo como resultado la intensificación del uso del centro cívico-ceremonial. Una super-estructura de material perecedero fue construida durante la fase Chacahua, pero su uso no está claro. Los artefactos en la superficie, incluyendo dos fragmentos de metate, sugieren que se pudieron haber preparado comida en esta área, pero no se encontró ningún otro elemento tal como fogones o hornos de tierra para corroborar esta teoría. Más examinación del área se necesita para determinar si cumplió una función pública, ceremonial, o doméstica.



Figura 7.122: Mapa de las excavaciones en la Operación G (contorno = 1 m)

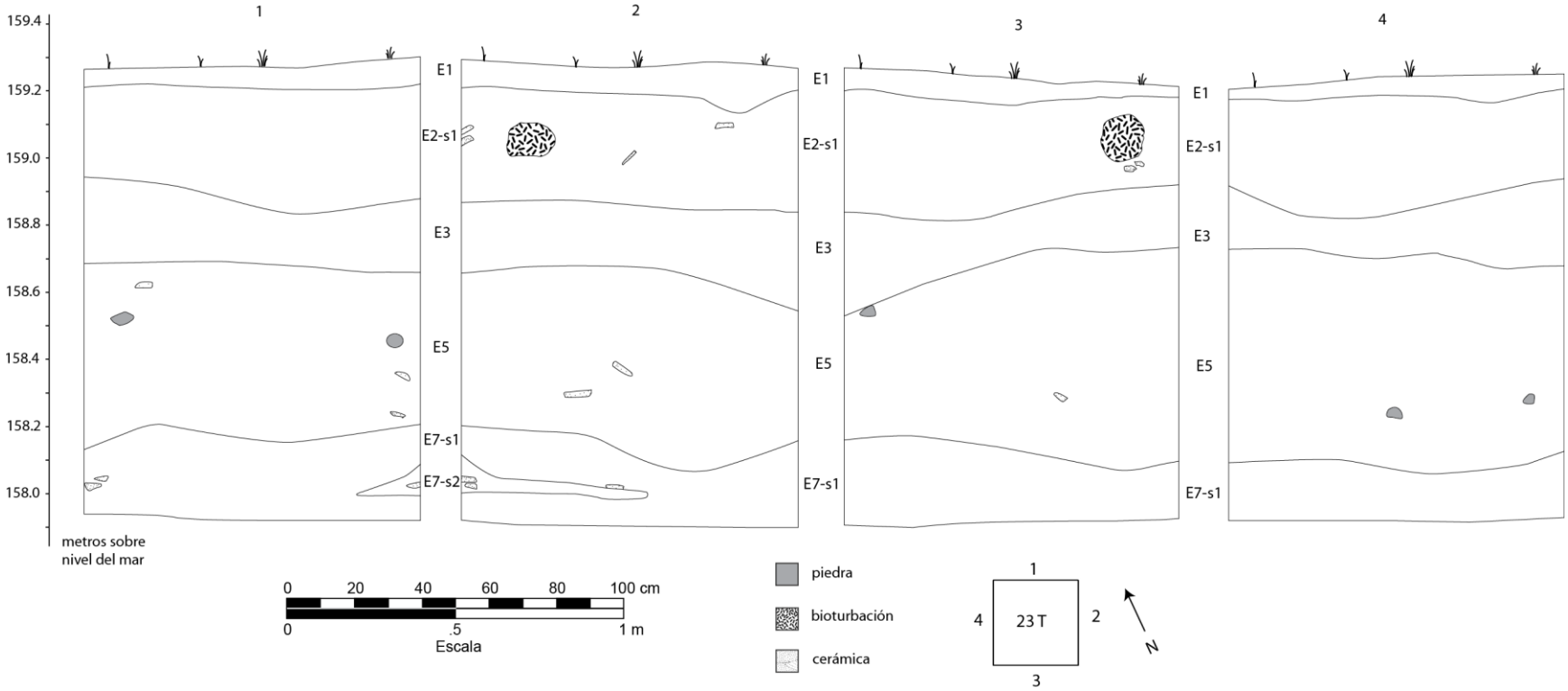


Figura 7.123: Perfil estratigráfico de la unidad 23T

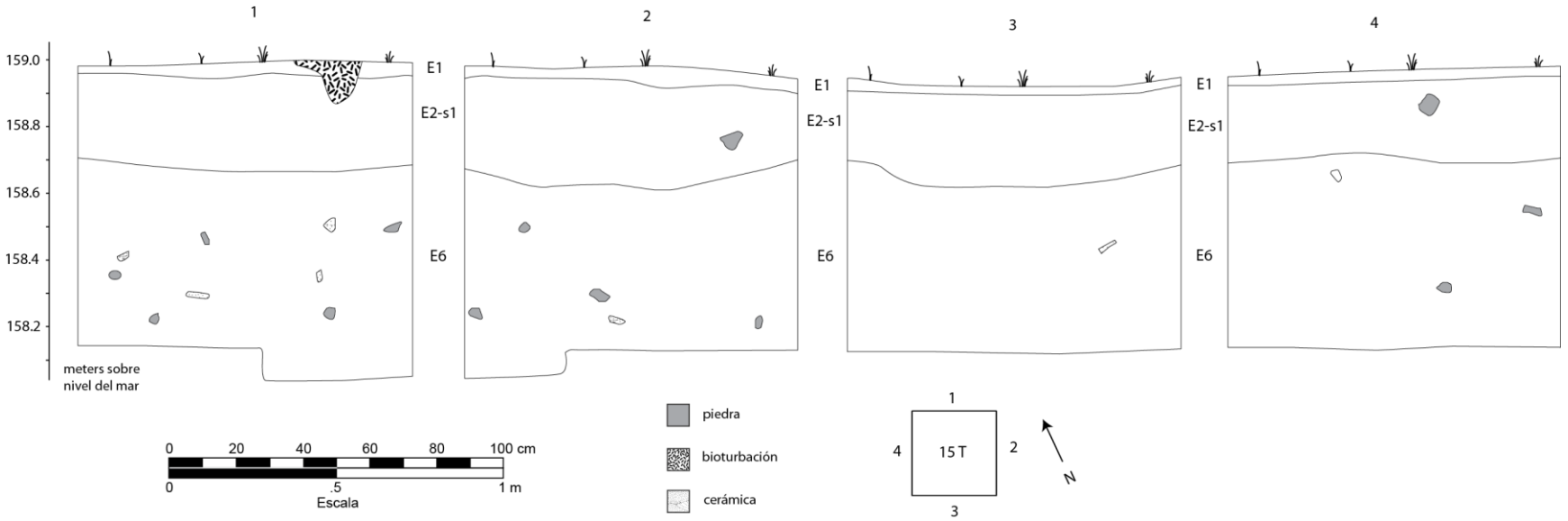


Figura 7.124: Perfil estratigráfico de la unidad 15T

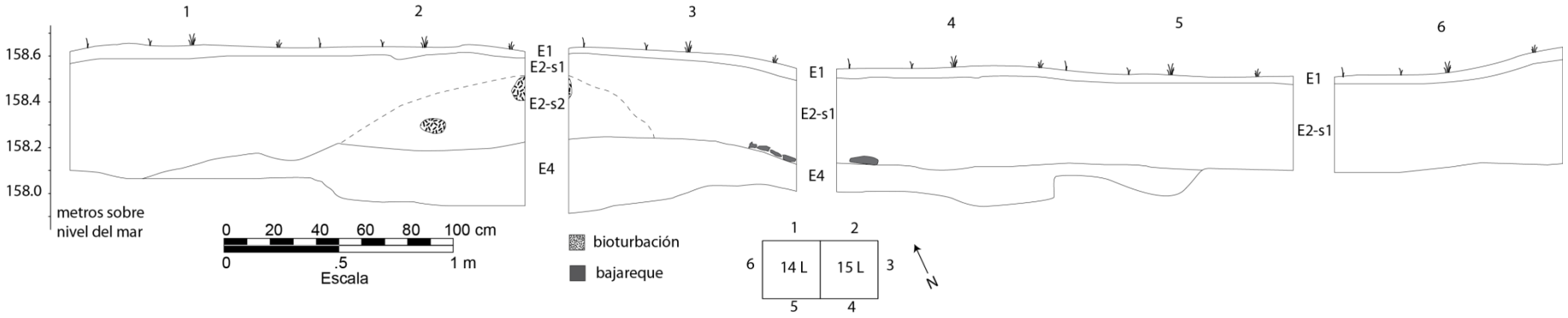


Figura 7.125: **Perfil estratigráfico de las unidades 14L y 15L**



Figura 7.126: Fragmento de muro de bajareque redepositado dentro del relleno de construcción (E4)

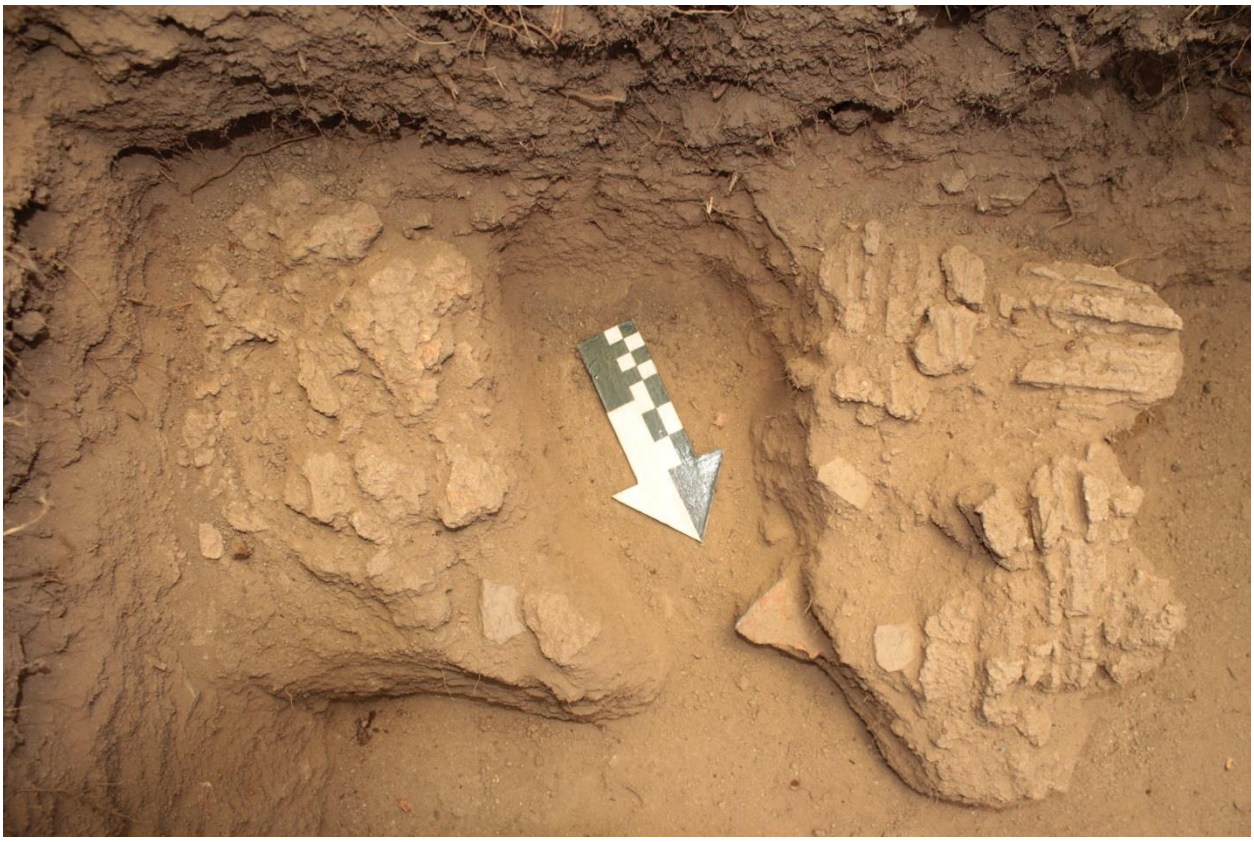


Figura 7.127: Fragmento de muro de bajareque redepositado dentro del relleno de construcción (E4)

7.9 Excavaciones en la Operación H

7.9.1 Introducción

La Operación H consistió de cinco pozos de sondeo localizados en la plaza del centro cívico-ceremonial del sitio. La plaza se un área plano y no restringido localizado al suroeste del Complejo A y al este del Complejo C (Figuras 7.128 y 7.129). Cuatro unidades de 1 x 1m fueron colocados de un línea que seguía la orientación del sitio (25°-205°) y un pozo adicional de 1 x 1m fue colocado directamente al este de la unidad más al sur. El área fue seleccionada para determinar las técnicas de construcción utilizadas para construir la plaza, así como para explorar los tipos de actividades que los habitantes del sitio llevaban a cabo en esta área. La Operación H tenia los siguentes objetivos:

1. Identificar las técnicas de construcción y los materiales utilizados para construir la plaza
2. Identificar las actividades llevadas a cabo en la plaza
3. Penetrar hasta los depósitos profundamente enterrados para fechar la ocupación o la fase de construcción más temprana asociada con la plaza.

La evidencia de la Op H demuestra que la construcción de la plaza empezó durante el periodo Formativo terminal, quizás durante la fase Miniyua tardía. Un pequeño muro de piedra (E14) con un pavimento posible (E15) fue construido en un momento temprano en la construcción de la plaza, pero la manera en que se usó este elemento no está claro. La gente también colocó varios depósitos de lajas de piedra delgada en áreas de la plaza. La orientación vertical de las lajas se parece a la orientación de las lajas de los compartimentos de las ofrendas en el Complejo A, pero las lajas de la Operación H no contenían ninguna ofrenda. Es posible que el área de la plaza fue utilizada para almacenar las lajas de piedra antes de que fueran usadas en ofrendas más complejas, o que las lajas fueron asociadas con ofrendas perecederas. La tabla 7.8 da una lista más detallada de los niveles estratigráficos en la Op. H.

Tabla 7.8: Lista de niveles estraigraficos en la Operación H

Numero de Estrato	Unidades	Descripciones de Munsell y Sedimento	Fecha Probable	Proceso de Formación	Commentarios
E1	Todas las unidades	10 YR 2/2; Migajon de color café muy oscuro	Moderno	Suelo formado dentro del coluvión (E11)	Sedimento de superficie de migajón con granos subredondeados y material orgánico; arena gruesa, mica y cerámica; muy perturbado; suelo formado dentro de relleno de coluvión (superficie de E2); ver Figuras 7.130-7.132, 7.134-7.135
E2	Todas las unidades	10 YR 3/3; Migajon de color café muy oscuro	Pos-formativo a moderno	Coluvión	Relleno mal organizado de migajón arenoso con granos subangulares e inclusiones de grava, arena gruesa, mica, cerámica, piedras, rocas, y de vez en cuando, hueso animal; sedimento es muy suelto; alta presencia de perturbaciones; ver Figuras 7.130-7.132, 7.134-7.135
E3	15KK	10 YR 3/3; Migajón arenoso de color café oscuro	Chacahua tardío o Coyuche	Relleno de construcción	Migajón arenoso mal organizado con granos angulares e inclusiones de mica, arena gruesa, pequeñas piedras, y cerámica; relleno suelto y probablemente colocado como relleno de construcción; también se puede tratar de coluvión; ver Figura 7.130.

Numero de Estrato	**Unidades**	**Descripciones de Munsell y Sedimento**	**Fecha Probable**	**Proceso de Formación**	**Commentarios**
E4	15M	Sin Munsell; lajas de granito delgadas	Probablmente Chacahua	Posible compartimento para ofrenda	Colección de lajas encima y quizás un poco métodos dentro de la cima de E8 en la unidad 15M; lajas forman un elemento circular parecido a los fogones en la Op A pero no se detectó ni ceniza ni carbono; lajas verticales o con un ángulo ligero parecen demarcar los bordes de un elemento, localizado alrededor de varias lajas horizontales; su uso no está claro; se puede relacionar con las lajas debajo del circulo (E11); pero su relación no está claro; ver Figura 7.135
E5	*15U*	Sin Munsell; lajas delgadas de granito	*Chacahua*	Posible compartimento para ofrenda	Lajas delgadas de granito cortadas de la roca madre local colocadas horizontalmente encima de la capa de relleno E6; capa inferior de las lajas es un pocito más alto de la superficie máxima de las lajas verticales en 15T (E9); cubierto en algunos lados por E6; depositado justo antes que se terminara E6; puede ser parte de E9, sin embargo E5 y E9 están separados por 10-25 cm de relleno (E6) y la orientación es diferente entre las piedras (horizontales en vez de verticales); ver Figura 7.131

Numero de Estrato	Unidades	Descripciones de Munsell y Sedimento	Fecha Probable	Proceso de Formación	Commentarios
E6	15U	10 YR 3/3; Migajón arenoso de color café oscuro	Chacahua	Relleno de construcción	Migajón arenoso mal organizado con granos subredondeados e inclusiones de mica, grava, pequeñas piedras y cerámica; se parece más a E8 que E7; no tan grueso como E7 (contiene menos arena gruesa); moderadamente compacto; contiene menos inclusiones que las capas de relleno inferiores (E16); más denso que el coluvión superior (e2); ver Figura 7.131
E7	23M	10 YR 3/4; Arena con migajón de color café amarillento oscuro	Chacahua	Relleno de construcción	Arena con migajón moderadamente organizado con granos angulares e inclusiones de mica, arena gruesa, cerámica, y pequeñas piedras; contiene más inclusiones de mica que E6 y E8; puede ser análogo a E6 y E8; ver Figura 7.134
E8	15M	10 YR 3/3; Migajon con arena de color café oscuro	Chacahua	Relleno de construcción	Relleno mal organizado con granos subredondeados e inclusiones de mica, arena gruesa, grava, cerámica y pequeñas piedras; moderadamente compacto (más compacto que E2); cubre las lajas delgada de piedra (E11) en la unidad 15M; muy parecido a E6 y E7 pero no está claro si son idénticos; ver Figura 7.135
E9	15U	Sin Munsell; lajas delgadas de granito	Chacahua	Posible compartimento para ofrenda	Lajas de granito delgadas cortadas de la roca madre local y orientadas verticalmente en filas siguiendo la orientación del sitio (25°-205° azimut); cubiertas por E8; no visible en perfil

Numero de Estrato	Unidades	Descripciones de Munsell y Sedimento	Fecha Probable	Proceso de Formación	Commentarios
E10	23M	Sin Munsell; lajas delgadas de granito	Chacahua	Posible compartimento para ofrenda	Lajas delgadas de granito cortadas de la roca madre local y arregladas para formar una caja o contenedor; lajas colocadas verticalmente; cubiertas por E7; ver Figura 7.134
E11	*15M*	Sin Munsell; lajas delgadas de granito	Chacahua	Posible compartimento para ofrenda	Lajas de granito delgadas cortadas de la roca madre local y orientadas verticalmente en filas siguiendo la orientación del sitio (25°-205° azimut); cubiertas por E8; ver Figura 7.135
E12	15CC	10 YR 3/2; Migajón de color café grisáceo muy oscuro	Chacahua	Relleno de construcción	Capa de relleno mal organizado con granos angulares e inclusiones posibles de ceniza así como material quemado, cerámica, y pequeñas piedras; cubre un posible escalón (E14) y el pavimento (E15) de la unidad 15CC; sedimento es más suelto y contiene una concentración más alta de cerámica que E2; de color más oscuro que E2; cerámica es mejor preservada que en las otras capas de relleno en la Op H; ver Figura 7.132
E13	15KK	10 YR 3/3; Migajón arenoso de color café oscuro	Chacahua	Relleno de construcción	Relleno mal organizado con granos angulares conteniendo inclusiones de mica, grava, pequeñas piedras, mucha cerámica; cerámica probablemente tiradas dentro del relleno para formar un tiradero de cerámica; no tiene rasgos de un basurero normal (no hay ceniza, carbono, ni hueso animal); cubre la roca madre (N1); ver Figura 7.130

Numero de Estrato	Unidades	Descripciones de Munsell y Sedimento	Fecha Probable	Proceso de Formación	Commentarios
E14	15CC	Sin Munsell; piedra de granito	Chacahua	Posible escalón o muro de contención bajo	Capa superior de piedras en la base de la unidad 15CC; piedras orientadas noreste-suroeste (38°-218° azimut); piedras tienen cara del lado noroeste; posible escalón o muro de contención, E14 hubiera contenido una capa no identificada de relleno al sur/sureste; detectado solamente en la unidad 15CC; ver Figura 7.132
E15	15CC	Sin Munsell; piedra de granito	Chacahua	Posible pavimento de piedra	Piedras planas en la base de la unidad 15CC; posible pavimento de piedra debajo del escalón (E14); detectado solamente en la unidad 15CC; ver Figura 7.132
E16	15U	10 YR 4/3; Arena con migajón de color café	Chacahua	Relleno de construcción	Arena con migajón mal organizado con granos subangulares e inclusiones de grava, mica, y cerámica, piedras pequeñas, rocas, y bajareque y carbono quemado; sedimento es compacto y parece tener un contenido orgánico mas alto y es más oscuro que E6; contiene también una concentración relativamente más alta de cerámica que E6 pero la mayoría no son diagnosticas; estrato de relleno cubre la colección de piedras (E17) a la base de la unidad 15U; ver Figura 7.131

Numero de Estrato	Unidades	Descripciones de Munsell y Sedimento	Fecha Probable	Proceso de Formación	Commentarios
E17	15U	Sin Munsell; piedra de granito	Chacahua	Posible relleno de construcción o caída de piedras	Colección de piedras expuestas en la base de la unidad 15U; localizadas en la esquina noroeste de la unidad; forma y función de las piedras no están claras pero probablemente depositadas como relleno de construcción; ver Figura 7.131
E18	15KK	10 YR 3/3; Migajón arenoso de color café oscuro	Chacahua	Relleno de contrucción	Migajón arenoso moderadamente organizado con granos angulares e inclusiones de mica, arena gruesa, grava y cerámica erosionada; cubre la roca madre (N1) en la unidad 15KK; ver Figura 7.130
N1	Todas las unidades	Sin Munsell; roca madre natural	N/A	Roca madre natural	Estrato superior de la roca madre en el área de la plaza de la Terraza 2; ver Figuras 7.130-7.132, 7.143-7.135

7.9.2 Historia Ocupacional

Las excavaciones en la Op H demostraron que la construcción de la plaza en la Terraza 2 se hizo durante la fase Chacahua, cuando las actividades en el centro cívico-ceremonial del sitio se intensificaron. Los constructores elevaron la superficie del suelo por hasta 1m y llevaron a cabo prácticas rituales de depósito que involucraron lajas delgadas de piedra parecidas a las lajas encontradas en el Complejo A (Terraza 11; ver Sección 7.2) y Estructura 1 (Terraza 10; Sección 7.5). Sin embargo, no se encontró ningún compartimento con vasijas de cerámica en la plaza, lo que sugiere que el área fue utilizada por fines diferentes a las ofrendas encontradas en las Terrazas 10 y 11.

La capa estratigráfica más temprana (E18) fue expuesta en la unidad 15K a una elevación de 163.0 msnm, cerca de la base de la Terraza 11 (Figura 7.130). E18 consistio en migajon arenoso que creo

una superficie ocupacional nivelada sobre la roca madre (N1). La cerámica recuperada de E18 era pequeña y erosionada, con tiestos diagnósticos pertenecido a la fase Minizundo y Chacahua. Hasta la fecha, no está claro si E18 fue depositado como relleno o si se trata de coluvión que fue deslavado desde la Terraza 11. Dado que el primero episodio de construcción y uso de la Terraza 11 empezó durante la transición entre las fases Miniyua y Chacahua, esta última teoría puede ser posible. Después de E18, una colección de piedras (E17) fue depositada en un área al sur, expuesto por la unidad 15U (Figura 7.131). Los excavadores no penetraron debajo de E17, así que es difícil interpretar este estrato. Las piedras no parecen haber sido colocadas una encima de la otra, ni tienen una orientación particular, lo que sugiere que fueron depositadas como parte del relleno. Otra posibilidad es que E17 representa piedras caídas de otras elevaciones.

En algún momento después, los constructores cubrieron E17 con E16, una capa de 0.4-0.45 m de grueso con arena con migajón que contiene bajareque quemado, ceniza, piedras de varias tamaños, cerámica, y grava. E16 fue depositado como relleno de construcción, lo que elevo la superficie a 162.9 msnm. El sedimento tenía motas e incluía más material orgánico que las capas superiores. La cerámica recuperada de E16 era muy pequeña y erosionada; solo tres tiestos fueron diagnósticos – dos de la fase Minizundo y una de la fase Miniyua. Dado que E18 pertenece a la fase Chacahua, y que la cerámica en E16 probablemente fue redepositada, es probable que E16 pertenece también a la fase Chacahua. Mientras que no podemos determinar la extensión horizontal de E16, su posición estratigráfica puede representar una de los primeros episodios de construcción importantes en la plaza.

Después E16, los constructores depositaron una serie de piedras (E15 y E14) en el área expuesto en la unidad 15CC y puede haber sido parte de un cimiento de piedra más grande (Figuras 7.132 y 7.133). El primer grupo de piedras depositadas fue E15, que puede representar un pavimento que llega a un pequeño muro de piedra (E14). Las excavaciones no penetraron debajo de E14/E15, así que la fecha y la composición de la capa estratigráfica sobre la cual estos elementos descansan no se

conoce. Sin embargo, dado su posición estratigráfica y su elevación (163.6 msnm), E14 puede representar un muro de contención de una pequeña plataforma sub-estructural que se localizó encima de E16 o de una capa análoga. Las excavaciones no encontraron ninguna evidencia de una súper-estructura sobre E14, pero eso puede ser porque solo se expuso una pequeña área. La evidencia estratigráfica indica que E14 y E15 pertenecen a la fase Chacahua, pero se necesita más investigación en esta área de la plaza para confirmar esta fecha y determinar el tamaño y la forma del muro de contención y de la plataforma posible.

Más tarde en la fase Chacahua, los constructores depositaron E13 encima de E18 y N1 en la parte norte de la plaza (unidad 15KK). E13 consiste en sedimento de migajón con arena con una concentración alta de inclusiones de cerámica. El relleno no contiene ni ceniza, carbono, ni huesos animales, indicando que probablemente no fue depositado como basurero; sin embargo, la cerámica recuperada dentro de E13 era mejor preservada que casi todos los demás contextos expuestos en las excavaciones del PRV13. Se necesita más análisis en laboratorio de esta cerámica para determinar los tipos de vasija que fueron tiradas en esta área, lo que podría dar información sobre las actividades en las cual fueron utilizadas. Los residentes de Cerro de la Virgen también cubrieron el posible pavimento, muro de contención, y plataforma (E15 y E14) con una capa de relleno de construcción limoso midiendo 20-25 cm de grueso (E12). E12 levanto la superficie del suelo en el área de la unidad 15CC a una elevación de 163.4 msnm, con un pendiente ligero hacia el noroeste, en dirección del Complejo B. E12 puede haber servido para cerrar y sellar la posible plataforma.

Después, los constructores empezaron una serie de capas de relleno (E6 [unidades 15U; Figura 7.131], E7 [unidad 23M; Figura 7.134] y E8 [unidad 15; Figura 7.135]) que contenía posibles compartimentos de ofrenda hechas de lajas delgadas de piedra sacadas de la roca madre local (E9 [unidad 15U; Figura 7.136], E10 [unidad 23M; Figura 7.137], y E11 [unidad 15M; Figura 7.138]). E6, E7 y E8 levantaron la superficie del suelo por 0.30-0.40 m para llegar a una elevación de 163.25 msnm en la

unidad 15U, 163.15 msnm en la unidad 15M, y 163.70 msnm en la unidad 23M. La elevación de la superficie en cada capa de relleno era relativamente equivalente, lo que sugiere que pudieron haber sido parte de una capa de relleno mucho más grande que cubrió un área masiva de la plaza. Sin embargo, la distancia entre las unidades excavadas en la Op H no permite identificar con certeza que las capas pertenecían a un evento de relleno idéntico. La elevación más alta de E7 en la unidad 23M puede indicar que el terreno en la plaza tenía una cuesta gradual hacia abajo de este a oeste, en dirección del Complejo C. La evidencia cerámica en E6, E7, y E8 indica que estas capas de relleno pertenecen a la fase Chacahua.

Después de que E6, E7, y E8 fueron depositados, los habitantes de Cerro de la Virgen colocaron varias colecciones de lajas delgadas de piedra (E9, E10 y E11) dentro del relleno. Las ofrendas fueron probablemente depositadas dentro de pozos cortados en la superficie de E6, E7 y E8; sin embargo, estos pozos no fueron detectados durante las excavaciones. De manera general las lajas eran de tamaño y grosor similar a las lajas encontradas en la gran ofrenda del Complejo A (Op A-E18-s2) y en la ofrenda de terminación en la base de la Estructura 1 (Op D-E17-s2). Sin embargo, los excavadores no encontraron ninguna vasija de cerámica asociada con las lajas en la plaza. Un depósito denso de por lo menos 50 lajas (E9) fue colocado dentro de E6 en el área de la unidad 15U, con una orientación (35°-215°) cerca a la orientación general del sitio (25°-205°). Ninguna otra ofrenda parece haber sido colocada con las lajas, pero es posible que elementos perecederos como comida o líquidos fueron incluidos dentro del depósito. En el área de la unidad 23M, por lo menos 24 lajas de piedra (E10) fueron colocadas dentro de E7 en un grupo rectangular “delimitado” por lajas orientadas este-oeste con un ángulo de 97°-277°. Dentro de estas “lajas de delimitación” se encontraron más lajas orientadas perpendicularmente, con un ángulo de 173°-341°. Dentro de E8, en el área de la unidad 15M, los residentes colocaron un depósito de por lo menos 39 lajas de piedra (E11) de tamaño y grosor variado, todas en fila orientadas sobre un eje este-oeste con un ángulo de 123°-303°, casi perpendicular a la orientación del sitio (25°-205°). A

diferencia de E10, las lajas en E11 fueron orientadas con casi el mismo ángulo horizontal y parecen mostrar más diversidad en tanto a tamaño y forma. El patrón y la orientación de E9, E10 y E11 eran ligeramente diferente, lo que sugiere que pudieron haber sido depósitos independientes. De manera alternativa, si E6, E7 y E8 fueron capas análogas dentro del relleno, y E9, E10 y E11 fueron depositados dentro de pozos al mismo tiempo, es posible que estos elementos fueron parte de una ofrenda más grande.

Después de las actividades iniciales de depósito en la plaza, dos colecciones adicionales de lajas de piedra fueron colocadas en la superficie de E6 y E8. En el área de la unidad 15M, los residentes colocaron una colección de lajas (E4) en un montón plano y circular con lajas verticales rodeando el depósito en la cima de E8. El tamaño de E4 era parecido al tamaño de varios fogones en el Complejo A que fueron asociados con la ofrenda en el patio norte; sin embargo, ningún pedazo de carbono, ninguna ceniza ni restos carbonizados fueron encontrados dentro de E4. En la cima de E6, en la unidad 15U, los residentes colocaron un grupo adicional de lajas de piedras (E5) amontonadas de manera plana en la superficie de E6. No se encontró ninguna vasija de cerámica dentro de esta colección de piedras, lo que sugiere que E4 y E5 fueron utilizados de manera parecida a E9, E10, y E11. Finalmente, en la parte norte de la plaza (unidad 15KK), los constructores depositaron una capa de migajón arenoso (E3) encima de E8. La plaza fue abandonada cerca del final de la fase Chacahua y, con el tiempo, fue cuberita por 0.15-0.25m de coluvión (E2) que se deslavo desde las Terrazas 10 y 11. E2 fue detectado en todas las unidades excavadas en la Op H y solía ser más profundo hacia el suroeste, en el área delas unidades 15M, 15N y 23M. Finalmente, un suelo delgado (E1) se formó dentro del coluvión.

7.9.3 Resumen

El objetivo en la Operación H era de determinar la secuencia de construcción y las actividades llevadas a cabo en la plaza a través de un transecto de unidades de excavación. La evidencia del transecto indica que la construcción en la plaza empezó durante el periodo Formativo terminal, quizás

tan temprano como la fase Miniyua tardía. Estas actividades pueden corresponder a la intensificación de la construcción y de las prácticas rituales en el Complejo A y la Estructura 1, que probablemente se estaban usando cuando se empezó la construcción en la plaza. Las excavaciones en el centro de la plaza detectaron el borde de un posible muro con un escalón y un pavimento (E9 y E10), pero el uso de este muro no está claro en este momento. Las excavaciones también descubrieron una serie de posibles compartimentos de ofrenda parecidos a los encontrados en las Terrazas 10 y 11, pero no se encontró ninguna vasija de cerámica asociada con estas. Más investigación en el área de la plaza es necesaria para determinar el papel que jugaron estos elementos y las actividades llevadas a cabo en el centro ceremonial del sitio.

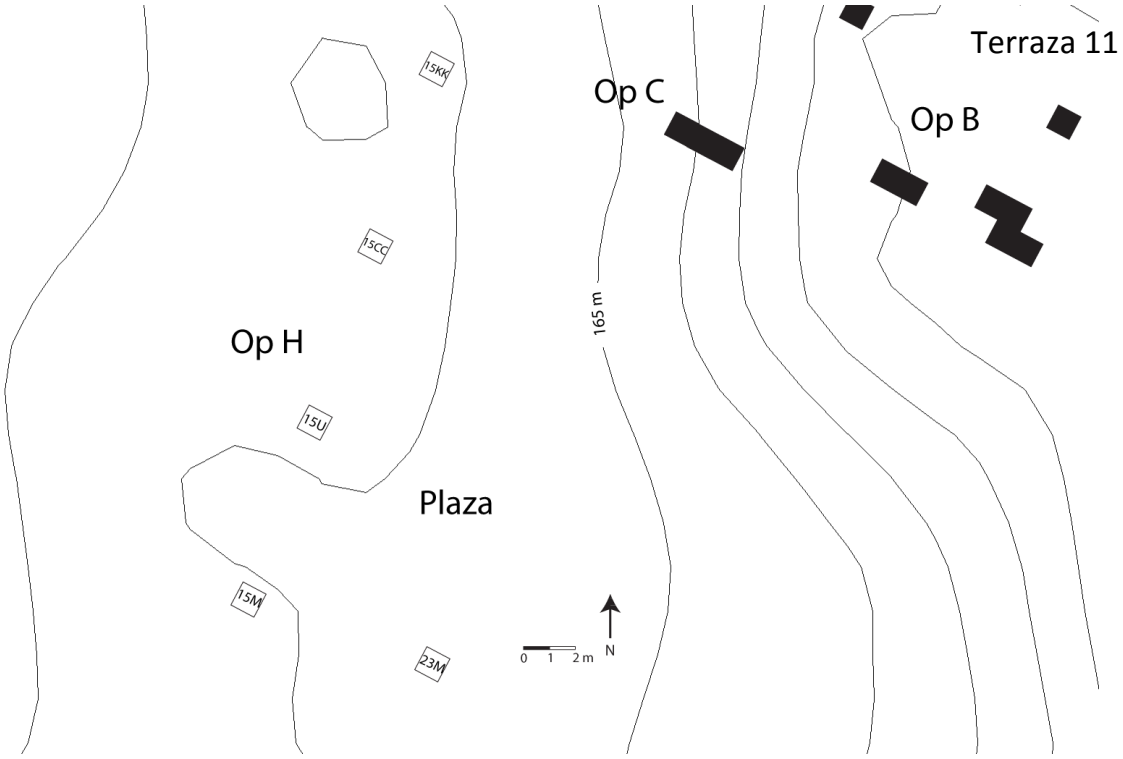


Figura 7.128: Vista en plata de las excavaciones en la Operación H; unidades no incluidas en la Op H están en negro



Figura 7.129: Foto de las unidades de excavacion en la Op H

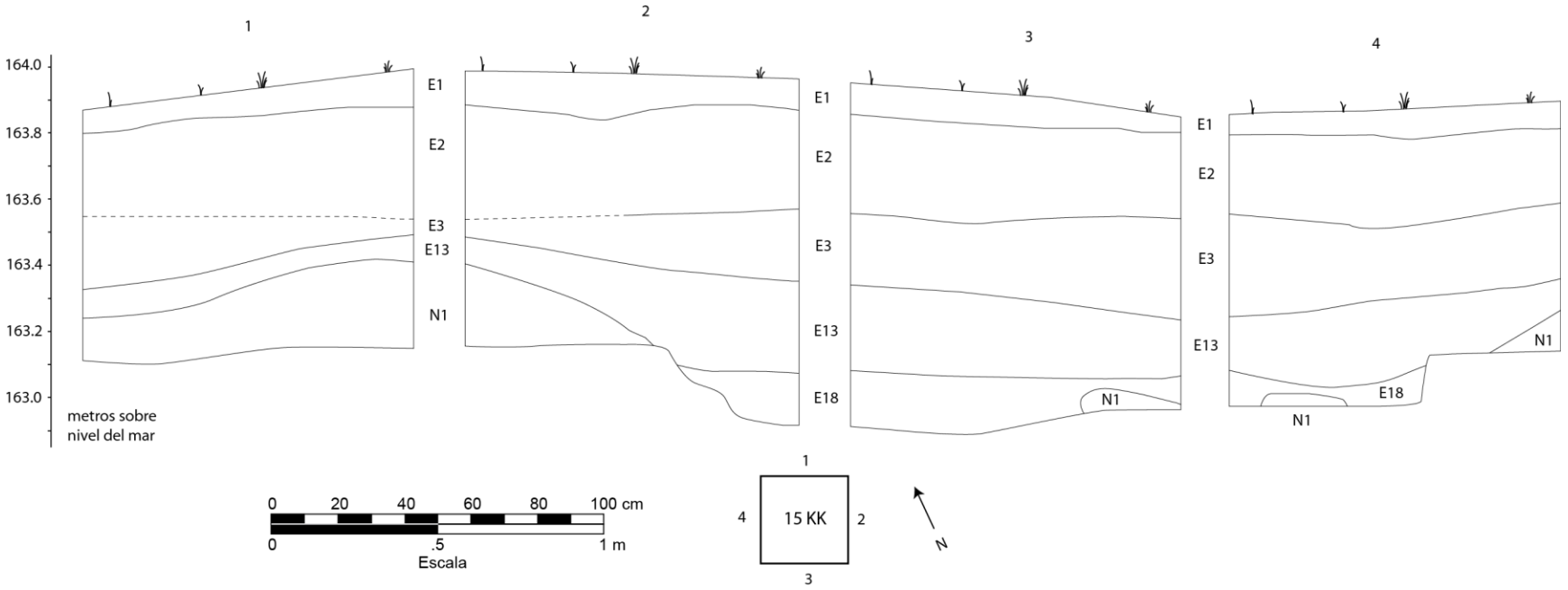


Figura 7.130: Perfil estratigráfico de la unidad 15KK

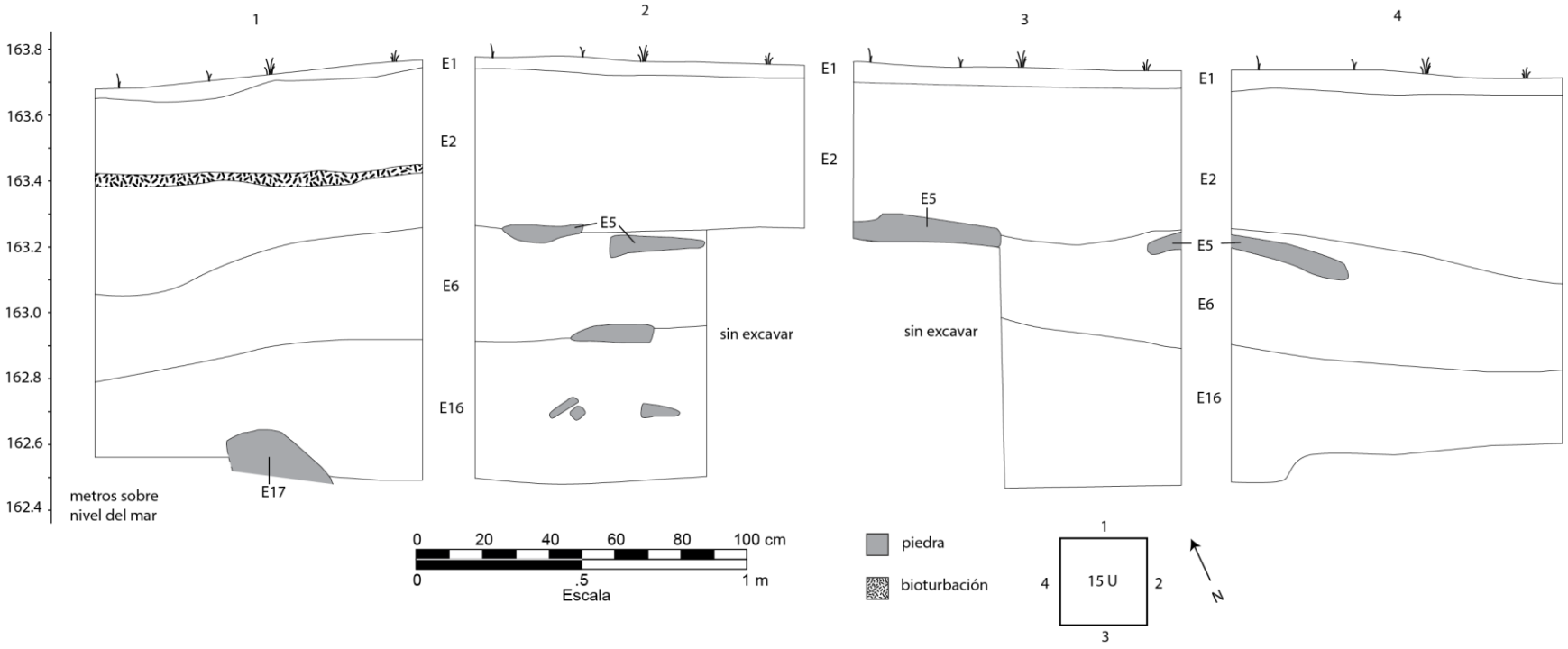


Figura 7.131: Perfil estratigráfico de la unidad 15U

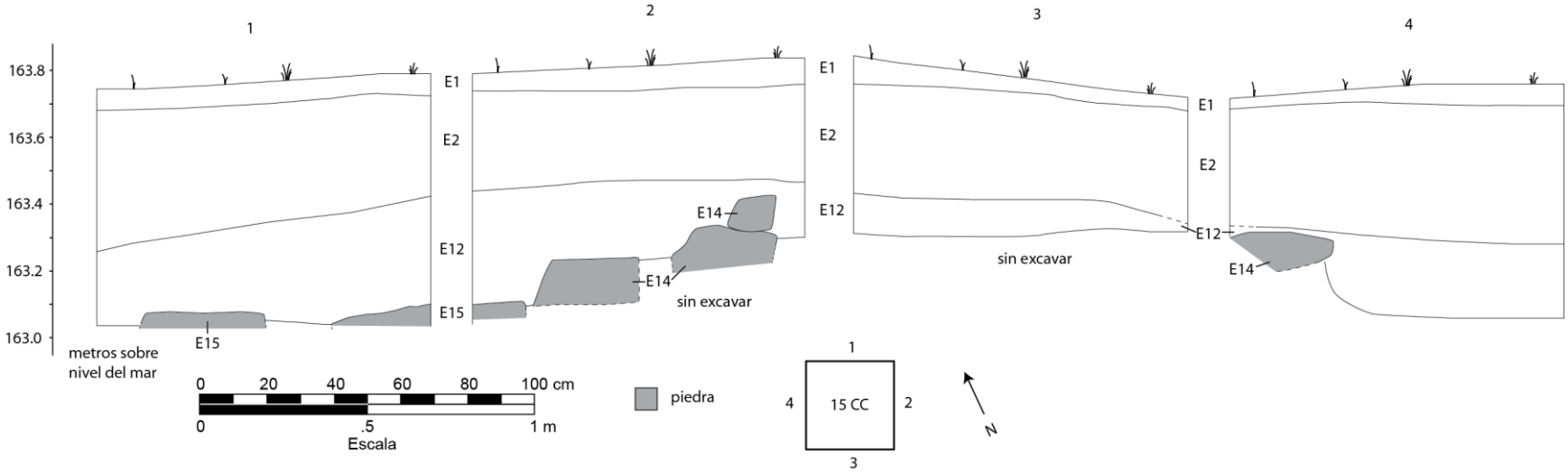


Figura 7.132: Perfil estratigráfico de la unidad 15CC



Figura 7.133: Foto de posible muro o escalón (E9) y pavimento (E10) en la unidad 15CC

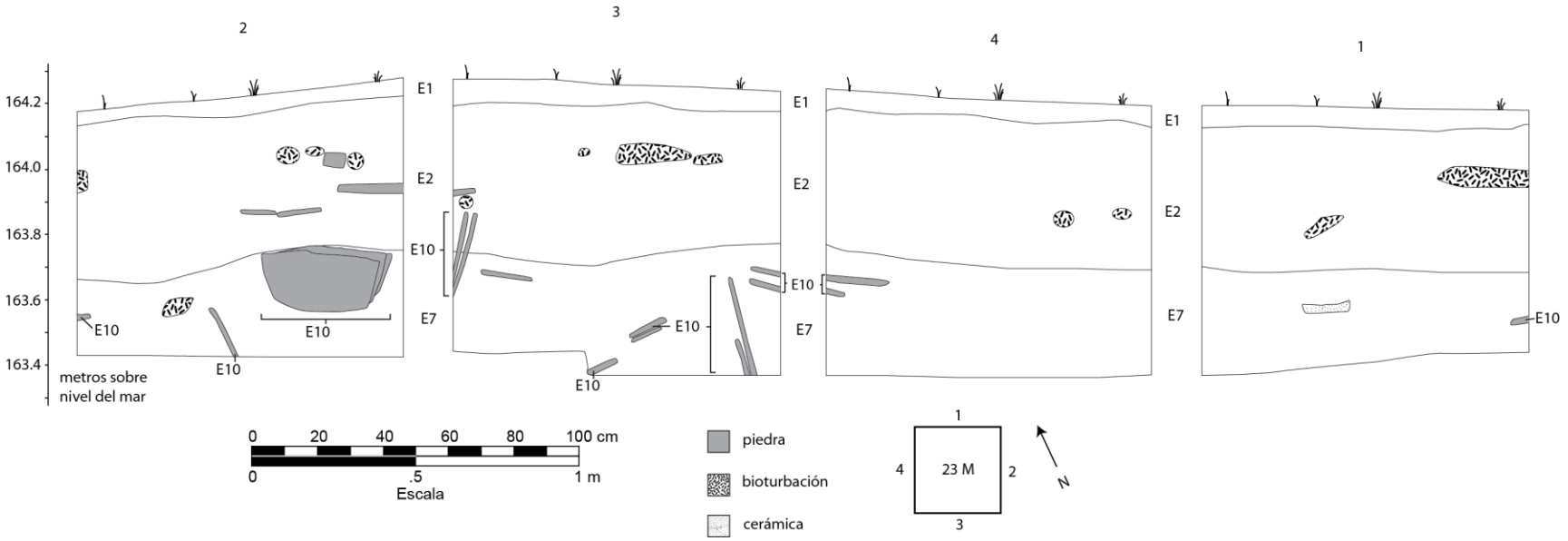


Figura 7.134: Perfil estratigráfico de la unidad 23M

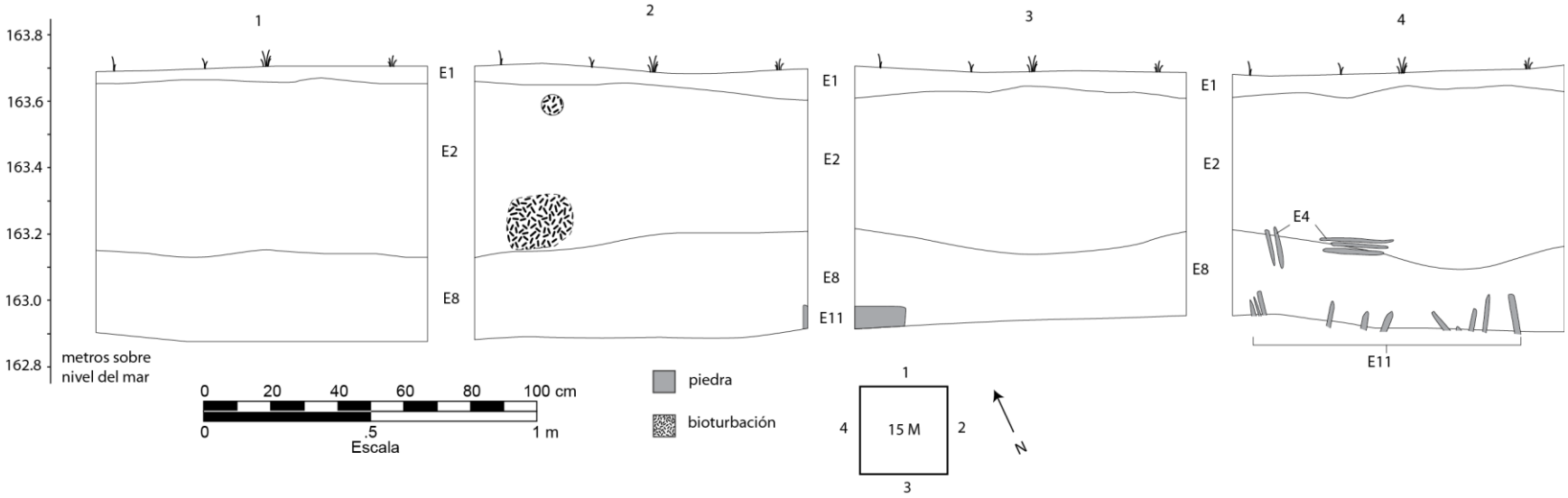


Figura 7.135: Perfil estratigráfico de la unidad 15M



Figura 7.136: Foto de las lajas de piedra o posible compartimento de ofrenda (E9) en la unidad 15U



Figura 7.137: Foto de las lajas de piedra o posible compartimento de ofrenda (E10) en la unidad 23M



Figura 7.138: Foto de las lajas de piedra o posible compartimentos de ofrenda (E11) en la unidad 15M

7.10 Conclusiones

En este capítulo, se han presentado los resultados de las excavaciones llevadas a cabo en el sitio de Cerro de la Virgen, un centro político secundario ocupado durante el periodo Formativo terminal en el valle de bajo Río Verde en Oaxaca, México. La investigación en Cerro de la Virgen fue designada para examinar la articulación entre los sitios secundarios y los centros políticos, con un enfoque en como la oposición y la negociación tuvieron influencia en la organización política a escala regional. La gente llevó a cabo una variedad de actividades rituales en lugares públicos en un sitio encima de un cerro, incluyendo la construcción de edificios ceremoniales públicos (secciones 7.2, 7.3, 7.4, 7.5, 7.6, 7.7, y 7.8), la colocación de ofrendas de vasijas de cerámica y objetos exóticos dentro de depósitos de uso múltiple dentro de las capas de relleno en estos edificios (secciones 7.2, 7.5, y 7.9), y la preparación de comida para festines comunes (secciones 7.3 y 7.6). En la conclusión se hará un resumen de los resultados de las excavaciones de PRV13 y se comparará la variación en las prácticas rituales y los métodos de construcción en Cerro de la Virgen con otros sitios secundarios así como con el centro urbano de Rio Viejo. Al final, evaluaremos el grado de uniformidad entre los rituales públicos y la integración política durante el periodo Formativo terminal basándonos en los nuevos datos de Cerro de la Virgen.

Tradicionalmente, los arqueólogos mesoamericanos han propuesto que las sociedades complejas estaban altamente integradas con jerarquías regionales reconocidas y encabezadas por líderes poderosos (Flannery 1972; Lucero 2006; Martin y Grube 2008; Rathje 1971; Spencer y Redmond 2001; Spores 1974). Los arqueólogos han empezado a cuestionar estas ideas y han empezado a considerar formas alternas de autoridad política (Beekman 1996; Blanton et al. 1996; Blanton y Fargher 2008; Farher et al. 2010), particularmente las que impidieron o complicaron la integración social (Barber 2005; Barber y Joyce 2007; Brumfiel 1992; Joyce 2010; Joyce et al. 2001; Robin 2002; Yaeger 2003). La investigación de sitios secundarios como Cerro de la Virgen añade un nivel a esta investigación sobre la organización política regional porque reconoce la variabilidad entre los sitios secundarios y los centros

urbanos (Barber y Joyce 2007; Gonlin 2004; Hayden 1994; Kolata 1996; Schwartz y Falconer 1994; Yaeger y Robin 2004).

El periodo Formativo terminal en el bajo Rio Verde vio el crecimiento de la población y la creación de comunidades habitacionales así como el desarrollo de una unidad política compleja con su centro político en el sitio de Río Viejo. Varios centros políticos más pequeños también crecieron en este momento, incluyendo Cerro de la Virgen, localizado en el pie de monte a 15 km al noroeste de Rio Viejo. Mientras que la investigación en Rio Viejo sugiere que la gente de las comunidades afuera del centro político hicieron festines y construyeron obras comunitarias allí, la evidencia también indica que las afiliaciones regionales estaban limitadas por fuertes obligaciones locales (Barber y Joyce 2007; Barber et al 2013). Vínculos locales incluyeron la construcción, el mantenimiento, y el uso ritual de los edificios públicos en las comunidades secundarias (Barber 2005; 2013; Barber et al. 2013; Barber y Joyce 2007; Joyce 2010; Joyce et al. 2013). Las investigaciones en Cerro de la Virgen durante el PRV13 examinaron las técnicas de construcción y el uso del espacio dentro del centro cívico-ceremonial del sitio. El análisis preliminar indica diferencias importantes en la manera en que la gente construyó y utilizo el espacio público en Cerro de la Virgen en comparación con los otros sitios de la región. Argumentamos que estos paisajes públicos y sagrados fueron planeados, construidos y utilizados por la población local y no son el resultado de la autoridad política centralizada en Rio Viejo.

Las operaciones de campo en Cerro de la Virgen involucraron un aumento en el reconocimiento y mapeo del centro ceremonial del sitio así como excavaciones más extensivas. El centro cívico-ceremonial consiste en varias terrazas construidas sobre la cuesta oeste del cerro, la más grande siendo la Terraza 2. La Terraza 2 mide 150 x 200 m y sostiene una plaza abierta rodeada por terrazas más pequeñas que contenían edificios públicos (los Complejos A, B y C) y una cancha de juego de pelota. Cuesta arriba y al este de la Terraza 2 se encuentra la Terraza 11, que contenía un complejo arquitectónico (el Complejo A). El Complejo A consiste en dos plataformas bajas (las Estructuras 2 y 3)

orientadas perpendicularmente la una con la otra en la forma de “L” con pequeños patios al norte y al sur. Arriba de la Terraza 11 está la Terraza 10, sobre la cual una pequeña estructura pública (la Estructura 1) con un patio fue construida. Una escalera monumental con balaustrada conectaba las Terrazas 10 y 11. Finalmente, una residencia de la elite (Residencia 1) fue colocada en la cumbre del cerro sobre la Terraza 1 (Barber 2005). Las excavaciones llevadas a cabo durante la temporada de campo de 2013 tomaron muestras de un área amplia del centro cívico-ceremonial para examinar cómo y cuándo las terrazas y los demás edificios fueron construidos y para determinar el tipo de actividades llevadas a cabo en este espacio público. Las excavaciones de prueba en la Terraza 2 investigaron la plaza pública, la cancha de juego de pelota, y el patio del Complejo C. Extensas excavaciones horizontales también fueron llevadas a cabo en las Terrazas 10 y 11.

Las operaciones más extensivas del proyecto fueron llevadas a cabo en el Complejo A. Excavamos un área midiendo 65 m² en el patio norte, una pequeña trinchera a través de la Estructura 2, y tomamos muestras de varias áreas en el patio sur. Las excavaciones en el Complejo A indican que los habitantes de Cerro de la Virgen utilizaron el área de manera extensiva durante el periodo Formativo terminal para varias prácticas rituales, incluyendo la colocación de depósitos ceremoniales y la preparación de comida para festines. Estas actividades empezaron quizás tan temprano como la fase Miniyua tardía. Las excavaciones horizontales en el patio norte revelaron un deposito enorme (de aproximadamente 62 m²) de por lo menos 260 vasijas completas de formas variadas, incluyendo vasijas cilíndricas delgadas, jarrones de cuello corto y sin cuello, platos con paredes curvadas hacia dentro, y varias formas excéntricas. El depósito fue colocado debajo de una superficie plana consistiendo en sedimento arenoso no consolidado y compacto, que fue cubierto después con migajón arenoso suelto.

La evidencia cerámica sugiere que la gente depositó las vasijas tras un periodo extendido de tiempo colocándolas dentro de compartimentos hechos de lajas de granito excavadas desde la roca madre local. La mayoría de la muestra consiste en cerámica tipo café grueso no diagnóstico. Las vasijas

diagnosticas incluyeron siete vasijas de tipo café fino de varias formas perteneciendo a la fase Miniyua, cinco platos tipo gris pertenecientes a la fase Chacahua, dos platos con paredes curvadas hacia dentro pertenecientes al periodo de transición entre las fases Miniyua y Chacahua, y un plato tipo gris pertenecientes quizás al periodo de transición entre la fase Chacahua y la fase Choyuche del Clasico temprano. Se registró un compartimiento de piedra que no tenía ninguna vasija de ofrenda, lo que puede indicar que las vasijas fueron removidas y/o re-emplazadas en varios momentos, o que los compartimientos fueron construidos en anticipación de ofrendas futuras. Otra posibilidad es que una ofrenda orgánica y perecedera de comida o de un líquido fuera depositada en este compartimento (los resultados de un análisis microbotánico están por hacerse).

Los residentes tuvieron mucho cuidado para conservar la integridad de la ofrenda del Complejo A. En la base de la Estructura 2, los constructores hicieron un desagüe de piedra que dirigió el agua lejos de la terraza al oeste. Además de las prácticas de depósito, otras prácticas ceremoniales tales como festines rituales se llevaron a cabo en el Complejo A. Las excavaciones revelaron siete pequeños fogones mezclados con los compartimentos de depósito en el patio norte así como dos fogones más grandes y profundos en el patio sur. Argumentamos aquí que este patrón demuestra que las prácticas en el patio norte, que no hubieran sido visibles del patio sur o desde la plaza debajo, eran más exclusivas que las actividades de cocina que se llevaron a cabo en el patio sur.

La segunda área donde se llevaron a cabo excavaciones extensas fuera la Terraza 10, un área que habría sido aún más restringida que el patio norte del Complejo A. La Terraza 10 sostuvo la Estructura 1, un edificio rectangular pequeño, así como un pequeño patio entre la cima de la escalera monumental y el edificio. Antes de la construcción inicial de la Terraza 10, los habitantes de Cerro de la Virgen colocaron una ofrenda poco usual directamente sobre la roca madre debajo del centro del edificio. Los contenidos del depósito fueron rotos a propósito antes de ser colocados, y consistían en una máscara de piedra casi completa de una deidad de la lluvia, fragmentos de una máscara más pequeña, y dos tronos

miniatura, y una figura esculpida que puede representar un difunto, quizás un ancestro. La máscara casi completa fue hecha de una piedra no local (Raymond Mueller 2013; comunicación personal) y muestra varios elementos iconográficos relacionados con las deidades de la lluvia de la Costa del Golfo, las tierras altas de Oaxaca, y el área Maya (Covarrubias 1946, 1954; Furst 1968; Masson 2001; Sellen 2002; Taube 1996, 2000; Urcid 2009). Los tronos miniaturas, vinculados estilísticamente con la iconografía del Soconusco y las tierras altas de Guatemala, pueden sugerir que la gente de Cerro de la Virgen tuvo acceso a rutas de intercambio vitales (Guernsey Kappelman 2002; Kaplan 1995; Parsons 1988; V. Smith 1984). Actualmente, no está claro si la máscara y los otros objetos en el depósito fueron grabados localmente o importados ya en su forma final. Los hoyos hechos dentro de la máscara más pequeña sugieren que, por lo mínimo, modificaciones secundarias pudieron haberse hecho en estos elementos. Alrededor de los elementos de piedra se encontraron varias vasijas miniaturas de cerámica.

Los constructores enterraron el depósito inmediatamente debajo de la fase de construcción inicial de la Terraza 10. Antes de construir la primera plataforma sub-estructura de la Estructura 1, los habitantes de Cerro de la Virgen excavaron un pozo ancho y poco profundo dentro de la superficie del montículo bajo y lo llenaron con una ofrenda con 11 vasijas miniaturas, una vasija cilíndrica pequeña, y un hueso humano largo. El hueso humano estaba balanceado encima de la apertura de un jarro miniatura. La mayoría de estas ofrendas en el relleno fueron no diagnósticas, pero la evidencia sugiere que el depósito pertenece al periodo Formativo terminal, quizás a la parte más tardía de la fase Miniyua. Incluidos en el depósito se encontraron los restos de una superestructura de adobe. Interpretamos la ofrenda de las vasijas y el hueso humano como un ritual de terminación que quizás cerró la superestructura perecedera sobre la Terraza 10.

Después, los constructores hicieron una plataforma sub-estructural (Estructura 1-sub1) que sostuvo un edificio perecedero. Una ofrenda dedicatoria fue depositada en la base de la plataforma, la cual incluyo varias vasijas de cerámica y lajas de piedra. Un pequeño depósito de terminación marco la

clausura de la Estructura 1-sub1, y la expansión final de la Estructura 1 fue dedicada con una ofrenda adicional de vasijas de cerámica. De acuerdo con los argumentos que dicen que los edificios mesoamericanos precolombinos tenían una fuerza vital, argumentamos que el patrón ritual exhibido en los niveles de construcción en la Estructura 1 representan eventos de "dar alma" para los edificios públicos seguido por su "terminación" ritual (Joyce y Barber sin fecha; Mock 1998; Vogt 1969).

El proyecto de 2013 también examinó varias áreas en la plaza central incluyendo la cancha de juego de pelota ubicado entre la Terrazas 12 y 13 (Sección 7.7), la plaza del Complejo C (Sección 7.5), y la plaza debajo de la Terraza 11 (Sección 7.9), y un área abierta cerca de la esquina suroeste de la Terraza 2 (Sección 7.8). El trabajo de reconocimiento llevado a cabo durante el proyecto de doctorado de Barber en 2003 descubrió una cancha de juego de pelota en forma de "I" ubicada entre las Terrazas 12 y 13 (Barber 2005). La evidencia cerámica del relleno de la Terraza 12 indica que la cancha de juego de pelota fue construida durante la fase Chacahua a lo más temprano. Sin embargo, el fechamiento de las muestras de carbono recuperadas de un pozo perteneciendo a la fase de construcción más temprana de la cancha de juego de pelota está por hacerse. Dado el grado de accesibilidad de la cancha de juego de pelota, las ceremonias involucrando el juego de pelota probablemente incluían a toda la comunidad de Cerro de la Virgen. Las excavaciones en esta área también recuperaron los restos de un entierro humano colocado dentro del relleno de la Terraza 12, lo que sugiere que el área pudo también haber tenido una función mortuoria.

Los festines fueron probablemente hechos durante los eventos de juego de pelota así como durante otras ceremonias asociadas con la plaza. En el patio del Complejo C, ubicado a menos de 20 metros del borde norte del juego de pelota, se encontró un gran horno de tierra utilizado para preparar comida. El horno fue llenado con pequeñas piedras utilizadas como elementos de cocción y se parece a un horno de tierra más grande descubierto en la acrópolis de Rio Viejo en 2012 (Brzezinski et al. 2013). Sin embargo, el horno en Rio Viejo es más de tres veces más grande el que horno en el Complejo C y

utilizó cerámica quemada como elementos para calentar en vez de pequeñas piedras. Al este, los constructores levantaron el nivel de la plaza durante la fase Chacahua, creando un espacio abierto y plano en el centro de la Terraza 2. Las excavaciones expusieron varias colecciones de lajas delgadas enterradas en el relleno de la plaza, que pudieron haber sido colocadas durante ceremonias de depósito ritual diferentes a las llevadas a cabo en las Terrazas 10 y 11. Las excavaciones en el borde suroeste de la plaza revelaron los vestigios de una estructura de bajareque perecedera, pero el uso de esta área no está claro todavía.

La temporada de campo de 2013 en Cerro de la Virgen provee nuevos datos para examinar la integración política regional en el bajo Rio Verde durante el Formativo terminal, particularmente las relaciones entre los sitios secundarios y el centro político de Rio Viejo. Podemos identificar prácticas rituales y métodos de construcción en este sitio secundario que fueron muy diferentes a lo que se ve en otros sitios, incluyendo en el centro político regional de Rio Viejo. Por ejemplo, la construcción de edificios públicos en el centro cívico-ceremonial de Cerro de la Virgen requirió de una inversión de mano de obra mucho más pequeña que para la construcción del Montículo 1 en la acrópolis de Rio Viejo, que utilizó mano de obra de múltiples comunidades en el valle (Joyce 1991, 2006, 2010). Joyce y colegas identificaron por lo menos cinco formas distintas de relleno utilizado para construir la acrópolis, incluyendo canastas llenas de relleno, tierra compacta, adobe vertido, y dos tipos de relleno utilizado bloques de adobe (Joyce y Barber 2011; Joyce et al. 2013). Logramos identificar un patrón diferente en Cerro de la Virgen, donde se presentó una concentración más alta de muros de mampostería hechos de granito y no se observó ninguna construcción de adobe. Con la posible excepción de una superestructura posible sobre la Terraza 10, la mayoría de la arquitectura de tierra en Cerro de la Virgen incorporó depósitos arenosos locales que eran fundamentalmente diferentes a los sedimentos no consolidados de migajón y arcilla hallados en la planicie aluvial en sitios como Yugüe y Loma Don Genaro. Es más, los constructores en los sitios secundarios de la planicie aluvial y en Rio Viejo

incorporaron sedimentos no consolidados de migajón y arcilla así como muros de piedra y de adobe en la arquitectura del Formativo terminal. Sedimentos no consolidados utilizados en el relleno de construcción en Cerro de la Virgen eran de composición casi totalmente arenosa, probablemente sacados de depósitos locales en la cima del cerro.

La organización y los tipos de edificios públicos así como el uso de estos, variaba entre Cerro de la Virgen y los otros sitios durante el Formativo terminal. Por ejemplo, la evidencia actual indica que Cerro de la Virgen era el único sitio del Formativo terminal en el valle con una cancha de juego de pelota. La evidencia de actividades llevadas a cabo dentro del centro cívico-ceremonial del sitio indica que la gente continuó participando en actividades ceremoniales locales, aun después de que se construyó la acrópolis en Rio Viejo (Joyce et al 2013; sin fecha). El horno de tierra en el patio del Complejo C y los numerosos fogones en el Complejo A pueden representar actividades de preparación de comida para festines que hubieran sido atendidos por los miembros de la comunidad de Cerro de la Virgen.

Finalmente, a pesar de la variación en los depósitos ceremoniales encontrados en Cerro de la Virgen, estas ofrendas eran bastante uniformes en comparación con los depósitos hallados en otros sitios del Formativo terminal en la región. La comparación de los depósitos ceremoniales en Cerro de la Virgen con los de contextos parecidos en Yugüe y en San Francisco de Arriba sugiere la presencia de un patrón de variabilidad en el uso de edificios públicos (Barber 2005, 2013; Brzezinski et al. 2014; Lucido et al. sin fecha; Workinger 2002). Por ejemplo, el contenido de los depósitos ceremoniales variaba de manera importante a través del valle. El deposito del Complejo A de Cerro de la Virgen consistió de vasijas cilíndricas de cerámica, algunas de la cuales son parecidas a las encontradas en depósitos en San Francisco de Arriba. Sin embargo, el deposito del Complejo A incluye también vasijas de cuello corto y vasijas miniaturas, y la mayoría de las vasijas en el deposito fueron colocadas dentro de compartimentos de piedra – un patrón único al sitio. Mientras que elementos de prestigio como las máscaras de piedra y

los tronos fueron enterrados en la base de la Estructura 1, estos objetos eran muy diferentes a los bienes exóticos puestos dentro de un depósito en San Francisco de Arriba, el cual incluía artefactos de cristal y de piedra verde. En comparación, los depósitos ceremoniales en Yugüe no contuvieron ningún objeto valioso. De hecho, los dos depósitos más grandes en el sitio tenían una docena de cilindros de cerámica que quizás eran copias amateurs de las vasijas de ofrenda cilíndricas halladas en San Francisco de Arriba y Cerro de la Virgen (ver Barber et al. 2014).

Por lo tanto, la evidencia sugiere que, contrario a los modelos que asumen la cohesión política, la integración durante el Formativo terminal en la unidad política del bajo Verde estaba limitada por las prácticas que vinculaban a la gente con sus comunidades locales. Los datos de Cerro de la Virgen demuestran que las afiliaciones locales seguían muy fuertes a lo largo del periodo Formativo terminal, indicada por la variabilidad extensiva en la manera en que la gente construyó y utilizó edificios públicos. Idiosincrasias en la manera en que los edificios públicos fueron construidos en Cerro de la Virgen en comparación con otros sitios secundarios y con el centro político de Rio Viejo sugiere que eventos comunitarios de construcción fueron llevados a cabo al nivel local y no a través de equipos de trabajo mandados por los dirigentes en el sitio principal. Practicas rituales llevadas a cabo en estos espacios públicos variaban entre cada sitio, incluso entre las comunidades ubicadas en los alrededores del valle. Podemos anticipar que conforme se incrementen los datos acerca de los espacios públicos del Formativo terminal en los sitios dentro de la unidad política de Rio Viejo, continuaremos a identificando variaciones en las practicas rituales de la gente.

CAPÍTULO 8 - Excavaciones en Loma Don Genaro

Arthur A. Joyce, Sarah B. Barber y Carlo Lucido

8.1 Introducción

Loma Don Genaro es un sitio del periodo Formativo terminal que mide 18.75 hectáreas y que se localiza a aproximadamente 6 km al suroeste de Río Viejo en el límite de la planicie aluvial (Figura 1.1). El sitio ha sido recorrido y se ha completado un mapa GPS de sus límites; tres montículos en forma de plataformas fueron también mapeados allí. La plataforma más larga mide 183 m x 71 m x 3 m (Montículo 3; Figura 8.1) y sostiene una posible subestructura que se asemeja a los edificios públicos que fueron excavados en otras partes de la región (Barber 2011; Joyce 2009; Joyce y Forde 2014; Workinger 2002). Como en Cerro de la Virgen, el objetivo de las excavaciones del PRV-2013 en Loma Don Genaro era saber más acerca del grado de integridad entre Río Viejo y su periferia. El grado de concordancia entre las técnicas de construcción, estilos arquitectónicos, y actividades ceremoniales en edificios públicos en Loma Don Genaro y en Río Viejo permitó una evaluación de la autonomía local, la afiliación, y el grado de integración dentro del estado de Río Viejo.

8.2 Metodología

Las investigaciones de campo en Loma Don Genaro comenzaron con el mapeo detallado del sitio usando un tránsito de láser (Figura 8.2). El datum del sitio se estableció y fue marcado con una estaca de hierro. El dato fue usado para crear una red cartesiana del tamaño del sitio. Generamos también un mapa topográfico detallado con el tránsito de láser usando el programa de computadora Surfer. Cada unidad de excavación fue anotada y mapeada con el tránsito de láser.

Las excavaciones en Loma Don Genaro como las en el Montículo 9-Estructura 4 en Río Viejo y en Cerro de la Virgen, consistieron de transectos de unidades de 1 m x 1 m seguidos por bloques de excavación. Se extendieron varias unidades debajo de la superficie de la fase Chacahua para investigar la historia constructiva del Montículo 3. Tambien se hizo un transecto compuesto excavaciones en el probable edificio público del periodo Formativo terminal localizado en el Montículo 3 (Figura 8.3). De norte al sur, el orden de las excavaciones era operaciones A, B, C, D, y E. Las excavaciones examinaron las actividades en el posible edificio público en el Montículo 3 e investigaron la fecha y la función de la arquitectura asociada (Figura 8.4). Las excavaciones también permitieron tomar medidas más precisas del volumen del montículo y, por lo tanto, de la movilización de la mano de obra en este sitio secundario de la Fase Chacahua. Todas las excavaciones en Loma Don Genaro fueron trazadas en un mapa utilizando una estación total.

Las excavaciones en Loma Don Genaro siguieron procedimientos similares a los usados en proyectos anteriores (Barber y Joyce 2012; Joyce y Levine 2009; Joyce et al. 1998). Para control horizontal, los datos erán registrados sobre una rejilla de 1 m^2 mientras que el control vertical seguó los estratos naturales/culturales. Ya que el transecto excavado durante el PRV13 se extendió hacia el norte más allá de la línea correspondiente a la letra Z, estas unidades fueron asignadas con letras dobles de manera creciente hacia el norte. Por ejemplo, la unidad directamente al norte de la unidad 10Z en Operación C fue llamada “10AA”, la siguiente “10BB”, etc. En casos donde un elemento abarcaba más de una unidad arbitraria, el área excavada fue llamada “multi-unidad”.

Los estratos profundos fueron excavados en niveles arbitrarios de 5, 10 o 20 cm para mayor control vertical (Figura 8.5). Todos los matriales excavados fueron catalogados usando un sistema de numeración de Field Specimen (FS). Elementos y hallazgos especiales fueron fotográfiados con una camera digital. Los sedimientos fueron pasados por una criba con malla de apertura de 5 mm.

Sedimentos alrededor de los entierros fueron pasados por una criba con malla de apertura de 2.5 mm. Para obtener muestras paleozoológicas y paleobotánicas para estudios de subsistenicia, el programa de excavación recolectó muestras de sedimentos universales de 10 litros para flotación. Estos fueron recolectados desde los elementos excavados como hogares, yacimientos, basureros, y pozos de almacenaje asi como desde niveles de control seleccionados arbitrariamente. Las técnicas de flotación recobraron material de la flora y la fauna incluyendo concha, huesos de animales y material quemado de plantas. Todas las excavaciones fueron rellenadas al cumplir los trabajos.

8.3 Resumen de las excavaciones

Las excavaciones en el Montículo 3 en Loma Don Genaro se enfocaron sobre el eje norte-sur de la cumbre del montículo. Las Operaciones A, C, y D exploraron la cima del montículo de norte a sur. La Operación B era una sola unidad de 1m x 1m al oeste de la Operación A, y fue designada para investigar si la plataforma de la fase Chacahua se seguía al oeste. La Operación E exploro las actividades y la secuencia ocupacional en el lado sur del montículo. En total $34m^2$ fueron excavados en Loma Don Genaro durante la temporada de campo de 2013. Las excavaciones revelaron que el momento principal de la construcción del montículo pertenece a la fase Chacahua, aunque las actividades humanas en el área mismo del sitio pueden extenderse hasta la fase Minizundo del Formativo tardío (400-150 a.C.), indicado por la presencia de dos tiestos de cerámica de la fase Minizundo. La parte norte del montículo, en el área de las Ops A y B, pudo haber sido utilizada como un espacio o edificio público. La porción central del montículo, en el área de la Op D, pudo haber tenido un fin domestico durante la fase Chacahua. Más investigación es necesaria para confirmar estas interpretaciones. Los datos sugieren que hubo un periodo de abandono del sitio por parte del periodo Clásico temprano antes de su reocupación cerca del final de este momento, alrededor de 500 d.C. La ocupación continuó durante la fase Yuta Tiyoo

del periodo Clásico tardío, visible en el relleno adicional de entre 0.8-1 m de ancho y el desecho ocupacional en la cima del Montículo 3. La presencia de por lo menos 20 entierros pertenecientes al periodo Clásico (ver capítulo 10) indica que hubo una ocupación permanente en el Montículo 3 durante este tiempo. El sitio fue probablemente abandonado al final del periodo Clásico, aunque una pequeña cantidad de cerámica de la fase Yugüe sugiere una cantidad limitada de actividad humana sobre el montículo durante el periodo Posclásico temprano.

En las secciones que siguen, presentamos los datos de la excavación y las secuencias ocupacionales en cada una de las operaciones de Loma Don Genaro. Concluimos el capítulo con una síntesis de los datos de excavación de Loma Don Genaro y con una discusión de las implicaciones para un entendimiento más amplio de las relaciones entre Rio Viejo y las comunidades periféricas en el valle durante el periodo Formativo terminal.

8.4 Operacíon A

Los estratos más tempranos expuestos por la Operación A pertenecían a la fase Chacahua, aunque ninguna de estas unidades llegó a un nivel arqueológicamente esteril (Figura 8.6). Un pequeño número de tepalcates redepositados de la fase Miniyua indican que la ocupación de esta área del sitio empezó en la parte temprana del periodo Formativo Terminal (150 a.C.- 100 d.C.). Sin embargo, los periodos de occupacion en esta área pertenecen a las fases Chacahua y Coyuche. También hay evidencia que esta parte del sitio fue utilizada durante las fases Yuta Tiyoo y Yugüe. La evidencia estratigráfica proveniendo de las unidades en la parte noroeste de la operación (unidades 3VV, 3RR, 6RR, 2OO, 3NN, 3MM) exhiben secuencias ocupacionales consistentes que pueden ser estrechamente correlacionadas. Las cuatro unidades mas la este (10OO, 3NN y 3MM) son también altamente corelacionadas, pero su relación con las unidades al noroeste es menos clara. Las demás unidades en la operación (6NN, 3JJ, y 3FF) tampoco se pueden relacionar de forma muy clara con las otras unidades. Esta sección da un

resume de la secuencia ocupacional de la Operación A, basado en la estratigrafía arqueológica y las relaciones entre las unidades. Las descripciones y la fecha de los estratos se pueden ver en la Tabla 8.1. Puesto que las correlaciones entre las unidades no fueron siempre claras, decidimos ordenar los estratos por unidad de excavación dentro de temporadas, al menos que relaciones estratigráficas claras eran apparentes. Notamos instantes donde las correcaiones parecen ser mas fuertes o mas débiles.

Tabla 8.1: Lista de las capas estratigráficas de la Operación A

Número de Estrato	**Unidades**	**Descripciones de Munsell y Sedimento**	**Fecha Probable**	**Proceso de Formación**	**Comentarios**
E1	3VV, 3RR, 6RR, 2OO, 10OO, 3NN, 6NN, 10NN, 12NN, 3MM, 10MM, 3JJ, 3FF	10 YR 4/3; Arcilla limosa color café	Yuta Tiyoo-Moderno	Superficie con erosión	Superficie orgánica con erosión, probablemente formada dentro del rellno con inclusiones de bajareque, piedra, y cerámica (ver figuras 8.6, 8.12, 8.13, 8.16, 8.17, 8.18, 8.21, 8.22, 8.23, 8.27).
E95	6RR		Yuta Tiyoo-Moderno	Elemento de piedra	Concentración de piedras de uso inseguro depositado en la interfase entre E1 y E2 (representa quizás la limpieza de un terreno; figura 8.17)
E24	3FF	10 YR 5/4; Migajón arcilloso de color café amarillento	Yuta Titoo	Relleno dentro de un pozo	Relleno dentro de un pozo que penetra hacia abajo desde la superficie de E2 (figura 8.27).
Ent. 18-Ind. 25	10MM		Yuta Tiyoo	Entierro	Entierro de un adulto en muy mal condición con una ofrenda de dos vasijas de cerámica.

Número de Estrato	Unidades	Descripciones de Munsell y Sedimento	Fecha Probable	Proceso de Formación	Comentarios
E2	3VV, 3RR, 6RR, 2OO, 10OO, 3NN, 6NN, 10NN, 12NN, 3MM, 10MM, 3JJ, 3FF	10 YR 5/3-10 YR 4/3; Migajón arcilloso limoso de color café	Yuta Tiyoo-Moderno	Tierra	Suelo poco desarollado formado dentro del relleno del periodo Clásico tardío con includiones de bajareque, piedra, concha y cerámica (figuras 8.6, 8.12, 8.13, 8.16, 8.17, 8.18, 8.21, 8.22, 8.23, 8.27).
E63	10NN, 10MM	10 YR 5/4; Migajón arcilloso limoso de color café amarillento	Yuta Tiyoo	Relleno dentro de un pozo de un entierro	Relleno dentro de un pozo de un entierro que corta dentro del E3 y tiene inclusiones de piedra. El pozo contienía los Ent. 3-Ind. 3 y Ent. 3-Ind. 21 (figura 8.12).
Ent. 3	MU1 (10NN, 10MM)		Yuta Tiyoo	Entierro múltiple	Entierro múltiple con dos individuos enterrados en una fosa (E63). Ent. 3-Int.3 es un entierro primario. El otro fue desarticulado. Los dos indivduos eran altamente perturbados (figura 8.30).
E9	10NN	10 YR 5/4; Migajón limoso de color café amarillento	Yuta Tiyoo	Relleno dentro de un pozo	Relleno dentro de un pozo que corta dentro de E10 y tiene inclusiones de cerámica (figura 8.12).
E3	10OO, 10NN, 12NN, 10MM	10 YR 5/4; Migajón limoso arcilloso de color amarillo café	Coyuche-Yuta Tiyoo	Relleno	Relleno de color ligeramente mas claro que E2 y tiene inclusiones de cerámica, bajareque, y concha (figuras 8.12, 8.13).
E22	3JJ	10 YR 5/4; Limo arenoso de color café amarillento	Coyuche-Yuta Tiyoo	Relleno dentro de un pozo	Relleno dentro de un pozo que corta dentro de E12 y tiene inclusiones de cerámica, ceniza y piedra (figura 8.23).

Número de Estrato	**Unidades**	**Descripciones de Munsell y Sedimento**	**Fecha Probable**	**Proceso de Formación**	**Comentarios**
E11	3JJ	10 YR 3/2 Limo arcilloso y arcilla limosa de color gris muy oscuro	Coyuche-Yuta Tiyoo	Relleno	Releno de origen alluvial con inclusiones de cerámica y bajareque. Variaciones en la textura del sedimento probablemente debidas a las ligeras diferenceas en las fuentes del relleno (figura 8.23).
E10-s1	10NN, 10OO	10 YR 5/4; Migajón arcilloso limoso de color café amarillento	Coyuche-Yuta Tiyoo; Coyuche es más probable	Relleno	Relleno con inclusiones de cerámica, bajareque, y concha (figura 8.12).
E10-s2	10NN, 10OO	10 YR 5/4; Migajón limosa arcillosa de color café amarillento	Coyuche-Yuta Tiyoo; Coyuche es más probable	Relleno	Relleno con inclusones de cerámica, bajareque y concha. De color ligeramente mas clara que E10-s1 (figura 8.12).
E85	10NN	10 YR 5/4; Migajón limoso arcilloso de color café amarillento	Coyuche-Yuta Tiyoo; Coyuche es más probable	Relleno dentro de un pozo de entierro (Ent. 5-Ind. 5)	Relleno conteniendo el entierro Ent. 5-Ind. 5 (figura 8.12).
Ent. 5-Ind. 5	MU3 (10NN & 10OO)		Coyuche-Yuta Tiyoo; Coyuche es más probable	Entierro	Entierro de un adulto articulado aunque perturbado con una ofrenda de una figurilla de piedra verde (figura 8.29).
E64	*10NN*	*10 YR 6/3;* Arcilla limosa de color café claro	Coyuche-Yuta Tiyoo; Coyuche es más probable	*Relleno*	Relleno con inclusiones de cerámica. Se puede tratar de un sub-estrato de un solo evento de relleno compuesto por E64, E65, and E31 (figura 8.12).

Número de Estrato	Unidades	Descripciones de Munsell y Sedimento	Fecha Probable	Proceso de Formación	Comentarios
E65	10NN, 10OO	10 YR 6/4; Migajón limoso arcilloso de color café amarillento claro	Coyuche-Yuta Tiyoo; Coyuche es más probable	Relleno	Relleno con inclusiones de cerámica que recubre la plataforma de la fase Chacahua (E62, E66) y un muro de adobe (E67). Puede ser un subestrato de un solo evento de relleno compuesto por E64, E65, y E31 (figura 8.12).
E4-s1	12NN	10 YR 5/4; Migajón limoso arcilloso de color café amarillento	Coyuche-Yuta Tiyoo; Coyuche es más probable	Relleno	Relleno que recubre un muro de piedra de la fase Chacahua (E5) con inclusions de cerámica y concha (figura 8.13).
E4-s2	12NN	10 YR 5/4; Migajón limoso arcilloaso de color café amarillento	Coyuche-Yuta Tiyoo; Coyuche es más probable	Relleno	Ligeramente más grueso que E4-s1. Se puede tratar de la argamasa del muro de piedra (E5; figura 8.12).
E55	3VV	10 YR 5/3; Limo arenoso orgánico de color café	Coyuche-Yuta Tiyoo; Coyuche es más probable	Relleno dentro de un pozo	Pozo que corta dentro de E52 y E56 con incusiones de cerámica, bajareque, y piedra. Por el carácter organico del pozo, es posible que sea sedimento de debajo de un árbol (figura 8.21).
E30	6NN	10 YR 5/4; Migajón limoso arcilloso de color de color café amarillento	Coyuche-Yuta Tiyoo (probablemente Coyuche)	Relleno	Relleno de una fuente aluvial con inclusiones de cerámica, piedra y bajareque. Puede correacionarse con E3 (figura 8.22).
E40	6NN	10 YR 5/4; Migajón arenoso con grava de color café amarillento	Coyuche-Yuta Tiyoo (probablemente Coyuche)	Posible canal de erosión	Depósitos fluviales con inclusiones de bajareque. Posible canal de erosión que corta dentro de E31 (figura 8.22).

Número de Estrato	Unidades	Descripciones de Munsell y Sedimento	Fecha Probable	Proceso de Formación	Comentarios
E31	10NN, 6NN, 10OO	10 YR 6/4; Arcilla limosa de color café amarillento	Coyuche-Yuta Tiyoo (probablemente Coyuche)	Relleno	Relleno que recubre el E66 en las unidades 10NN y 10OO así como E35, E38, E32, E39 y E33 en la unidad 6NN. Relleno de una Fuente alluvial con inclusiones de cerámica, piedra, bajareque, y concha. Cuenta con una densidad de inclusiones más alta que el E30. En las unidades 10NN y 10OO puede ser un sub-estrato de un solo evento de relleno compuesto por E64, E65 y E31 (figuras 8.12, 8.22).
E39	6NN	10 YR 5/4; Arcilla limosa orgánica de color café amarillento	Coyuche-Yuta Tiyoo (probablemente Coyuche)	Relleno	Relleno que recubre E35 (figura 8.22).
E29	3FF	10 YR 5/4; Limo arcilloso de color café amarillento	Chacahua-Yuta Tiyoo	Relleno	Relleno que recubre E51 (figura 8.27).
E96-s1	3FF	10 YR 5/4; Arcilla limosa de color café amarillento	Chacahua-Yuta Tiyoo	Renllo dentro de un pozo de entierro	Relleno dentro del pozo de entierro del Ent. 11-Ind. 12. El pozo corta dentro de E29 (figura 8.27).
E96-s2	3FF		Chacahua-Yuta Tiyoo	Lajas de piedra	Lajas que revisten el lado sur del pozo del entierro E96-s1 (figura 8.27).
Ent. 11-Ind. 12	3FF		Chacahua-Yuta Tiyoo	Entierro humano	Entierro (E96) dentro de una fosa revistida con lajas; perturbado y desarticulado (figura 8.27).
E60	3VV	10 YR 5/4; Migajón limoso de color café amarillento	Probablemente Coyuche	Relleno dentro de un pozo	Pozo excavado dentro de E56 y E59 con inclusiones de cerámica y bajareque. Por el carácter organico del pozo, es posible que sea sedimento de debajo de un árbol (figura 8.21).

Número de Estrato	Unidades	Descripciones de Munsell y Sedimento	Fecha Probable	Proceso de Formación	Comentarios
E61	3VV	10 YR 5/4; Migajón limoso de color café amarillento	Probablemente Coyuche	Relleno dentro de un pozo	Pozo excavado dentro de E52 y E59 con incusiones de cerámica (con una densidad más alta que E55 y E60). Por el carácter organico del pozo, es posible que sea sedimento de debajo de un árbol (quizás la continuación de E60) (figura 8.21).
E44	3RR	10 YR 5/4; Migajón limoso de color café amarillento	Coyuche	Relleno	Relleno no consoloidado con inclusiones de bajareque y cerámica (probablemente corelaciona con E92 en la unidad 6RR y E83 en las unidades 2OO y 3 NN) (figura 8.16)
E45	3RR	10 YR 5/4; Arcilla limosa de color café amarillento	Coyuche	Relleno dentro de un pozo; possible fogón	Pequeña fosa o posible fogón con ceniza e inclusiones de cerámica. E45 corta dentro de un pozo más temprano (E46) (figura 8.16)
E46	3RR	10 YR 5/4; Arcilla limosa organica de color café amarillento	Coyuche	Relleno dentro de un pozo; possible fogón	Fosa o posible fogón relleno con sedimento cenciento suelto. Inclusiones de cerámica y piedras (figura 8.16).
E47	3RR	10 YR 5/4; Migajón limoso arcilloso de color café amarillento	Coyuche	Relleno	Marga limosa arcillosa compacta llena de inclusiones de cerámica y piedra (correlaciona con E92 en la unidad 6RR y E83 en las unidades 2OO y 3NN) (figura 8.16)
E92	6RR	10 YR 5/3; Limo arcilloso de color café claro	Coyuche	Relleno	Limo arcilloso lleno de inclusiones de ceramica, concha, y piedra (corelacional probablemetne con E44 y E47 en la unidad 3RR y E83 en la unidad 200 y 3NN) (figura 8.17).

Número de Estrato	Unidades	Descripciones de Munsell y Sedimento	Fecha Probable	Proceso de Formación	Comentarios
E83	2OO, 3MM, 3NN	10 YR 5/4; Limo arcilloso de color café amarillento	Coyuche	Relleno	Limo arcilloso lleno de inclusiones de ceramica y piedra (correlaciona probablemente con E44 y E47 en la unidad 3RR y E92 en 6RR) (figuras 8.6, 8.18)
E91	3NN		Coyuche	Ofrenda	Una ofrenda consistiendo en dos vasijas de ceramica colocadas dentro de la capa de relleno E83. Una vasija es un frasco miniatura tipo gris y la otra es un frasco miniatura tipo café grueso (figura 8.6, 8.28).
E32	6NN	10 YR 5/4; Migajón arcilloso limoso de color café amarillento	Chacahua tardío-Yuta Tiyoo (probablemente Chacahua tardío-Coyuche)	Relleno	Relleno aluvial compacto con menos inclusiones que las capas superiores. Inclusiones incluyen cerámica, concha y bajareque (figura 8.22).
E33	6NN		Chacahua tardío-Yuta Tiyoo (probablemente Chacahua tardío-Coyuche)	Lajas de piedra	Lajas colocadas sobre un cauce erosional conteniendo basura (E38) quizas por razones higienicas (figura 8.22)
E38-s1	6NN	10 YR 5/4; Migajón arenoso con gravilla de color café amarillento	Chacahua tardío-Yuta Tiyoo (probablemente Coyuche)	Canal de de erosión lleno de basura	Cana de erosión lleno de sedimento organico conteniendo ceniza y carbón con inclusiones de cerámica, piedra, concha y bajareque. E38 corta dentro de E36 (figura 8.22).
E38-s2	6NN	10 YR 5/4; Migajón arenoso con gravilla de color café amarillento	Chacahua tardío-Yuta Tiyoo (probablemente Chacahua tardío-Coyuche)	Canal de de erosión lleno de basura	Pequeño canal de de erosión que se separa de E38-s1 lleno con arena gruesa y gravilla (no visible en perfil)

Número de Estrato	Unidades	Descripciones de Munsell y Sedimento	Fecha Probable	Proceso de Formación	Comentarios
E38-s3	6NN	10 YR 5/4; Migajón arenoso con gravilla de color café amarillento	Chacahua tardío-Yuta Tiyoo (probablemente Chacahua tardío-Coyuche)	Canal de de erosión lleno de basura	Una pequeña capa orgánica dentro de E38-s1 (no visibe en perfil)
E34	6NN	10 YR 6/2; Migajón limoso de color gris-café	Chacahua tardío-Yuta Tiyoo (probablemente Chacahua tardío-Coyuche)	Relleno dentro de un pozo excavado dentro de la base de E38; el pozo fue excavado antes de que E38 fue rellenado	Pozo lleno con ceniza y cerámica quemada cortando dentro de E36 (figura 8.22).
E35-s1	6NN	10 YR 5/4; Arena limosa con gravailla de color café amarillento	Chacahua tardío-Yuta Tiyoo (probablemente Chacahua tardío-Coyuche)	Relleno dentro de un cauce erosional o quizás un pozo	E35 consiste en un cause erosional o quizás un pozo relleno con depósitos alternantes de sedimento más fino y más grueso con relativamente pocas inclusiones. Corta dentro de E36. E35-s1 consiste en arena orgánica y cenicienta con fragmentos de concha (figura 8.22).
E35-s2	6NN	10 YR 5/4; Migajón limoso arcilloso con un poco de grava de color café amarillento	Chacahua tardío-Yuta Tiyoo (probablemente Chacahua tardío-Coyuche)	Relleno dentro de un cauce erosional o quizás un pozo	Sedimento mas fino con mucho barajreque y algunos tepalcates. E35-s2 puede ser basura tirada dentro del cause erosional y no sedimento llevado de mís arriba por el cauce (figura 8.22).
E35-s3	6NN	10 YR 6/4; Migajón arenoso con un poco de grava de color café amarillento	Chacahua tardío-Yuta Tiyoo (probablemente Chacahua tardío-Coyuche)	Relleno dentro de un cauce erosional o quizás un pozo	Migajón arenoso (figura 8.22).

Número de Estrato	Unidades	Descripciones de Munsell y Sedimento	Fecha Probable	Proceso de Formación	Comentarios
E35-s4	6NN	10 YR 6/2; Limo arenoso de color gris-café	Chacahua tardío-Yuta Tiyoo (probablemente Chacahua tardío-Coyuche)	Relleno dentro de un cauce erosional o quizás un pozo	Deposito ceniciento suelto con cerámica y bajareque (figura 8.22).
E35-s5	6NN	10 YR 5/4; grava con limo arenoso de color café amarillento	Chacahua tardío-Yuta Tiyoo (probablemente Chacahua tardío-Coyuche)	Relleno dentro de un cauce erosional o quizás un pozo	Grava y algunos tepalcates (figura 8.22).
E35-s6	6NN	Migajón arenoso (color Munsell no registrado)	Chacahua tardío-Yuta Tiyoo (probablemente Chacahua tardío-Coyuche)	Relleno dentro de un cauce erosional o quizás un pozo	Migajón arenoso con ceniza (parece ser una combinación de E35-s3 y E35-s4; no visible en pefil)
E35-s7	6NN	(Color Munsell no registrado)	Chacahua tardío-Yuta Tiyoo (probablemente Chacahua tardío-Coyuche)	Relleno dentro de un cauce erosional o quizás un pozo	Capa fina de ceniza y carbon (no visible en perfil)
E43	3RR	10 YR 5/4; Migajón limoso arcilloso de color café amarillento	Chacahua tardío- Coyuche temprano	Relleno	Relleno de Migajón limoso arcilloso compacto con inclusiones de cerámica y piedras; ligeramente más grueso que E47 (se puede tartar de un sub-estrato de E47 y quizás corelaciona con E84 en la unidad 6RR y E82 en las unidades 200 y 3NN) (figura 8.16).
E84	6RR	10 YR 6/3; Arcilla limosa de color café claro	Chacahua tardío- Coyuche temprano	Relleno	Rellno de arcilla limosa con menos includsiones que E92 (quizas se trata de un sub-estrato de E92 y puede corelacionarse con E43 en las unidades 3RR y E82 en las unidades 2OO y 3NN) (Figura 8.17).

Número de Estrato	**Unidades**	**Descripciones de Munsell y Sedimento**	**Fecha Probable**	**Proceso de Formación**	**Comentarios**
E82	2OO, 3NN	10 YR 6/4; Arcilla limosa de color café amarillento	Chacahua tardío- Coyuche temprano	Relleno	Relleno de arcilla limosa con menos inclusiones que E83 (correlacion propablemente con E43 en la unidad 3RR y E84 en la unidad 6RR). (Figuras 8.6, 8.18, 8.19)
E6-s1	*12NN*	*10 YR 5/4;* Limo arcilloso de color café amarillento	Chacahua tardío- Coyuche temprano	Relleno	Relleno no consolidado (de orígen aluvial) con inclusiones de cerámica, concha, y bajareque. La variación en la textura representa probablemetne cargas diferentes de tierra. Tiene menos inclusiones que E4 y el sedimento es más fino y más orgánico que E4 y E7 (figura 8.13).
E6-s2	12NN	10 YR 5/4; Arcilla de color café amarillento	Chacahua tardío- Coyuche temprano	Relleno	Capa fina de arcilla con menos inclusiones que E6-s1 (quizás un piso en la base de E5). (figura 8.13).
E52	3VV	10 YR 5/4; Migajón limoso arcilloso de color café amarillento	Chacahua-Coyuche temprano	Relleno	Relleno no consolidado que cubre E53. Relleno que cree una plataforma con E59, E56, E57, y E58 que forma una cédula de construccion para tener E52 y E53. De manera alternativa E52 y E53 pueden haber sido relleno que extendío una plataforma al norte representada por E59, E56, E57 y E58. La superficie superior de E52 incluye una concentración alta de ceramica y evidencia de muchas perturbaciones naturales y humans, lo que sugiere que fue una superficie ocupacional por algún tiempo. (figura 8.21).

Número de Estrato	Unidades	Descripciones de Munsell y Sedimento	Fecha Probable	Proceso de Formación	Comentarios
E53-s1	3VV	10 YR 6/3; Migajón limoso arcilloso de color café claro	Chacahua-Coyuche temprano	Relleno	E53 es relleno no consolidado que cubre E54 (ver mas detalles acerca de E52 arriba) con inclusiones de cerámica, piedra, pedazos de adobe, concha, y mucho bajareque. 53-s1 tiene más concha (figura 8.21).
E53-s2	3VV	10 YR 5/4; Migajón limoso de color café amarillento	Chacahua-Coyuche temprano	Relleno	Ligeramente más grueso que E53-s1 (figura 8.21).
E59-s1	3VV	10 YR 5/4; Migajón limoso arcilloso de color café amarillento	Chacahua-Coyuche temprano (probablemente Chacahua)	Relleno	Relleno compacto de migajón limoso arcilloso con inclusiones de cerámica y pequenos pedazos de bajareque (figura 8.21)
E59-s2	3VV	10 YR 6/4; Migajón arenoso de color café amarillento	Chacahua-Coyuche temprano (probablemente Chacahua)	Relleno	Ligeramente más grueso que E59-s1 (figura 8.21).
E56	3VV	10 YR 5/4; Limo arcilloso de color café amarillento	Chacahua-Coyuche temprano (probablemente Chacahua)	Relleno	Relleno de limo arcilloso compacto con inclusiones de cerámica, concha y piedra (figura 8.21).
E57	3VV	10 YR 4/3; Migajón arcilloso de color café amarillento	Chacahua-Coyuche temprano (probablemente Chacahua)	Relleno con una possible superficie ocupacional	Posible superficie ocupacional o depósito de relleno sobre un muro de tierra compacta (E58). Si es el primero, sugiere que la plataforma representada por E58, E57, E56, E59, E53, y E52 tenía multiples fases de construcción. Inclusiones de cerámica, concha y bajarque (figura 8.21).

Número de Estrato	Unidades	Descripciones de Munsell y Sedimento	Fecha Probable	Proceso de Formación	Comentarios
E51	3FF	10 YR 5/4; Arcilla limosa de color café amarillento	Posiblemente Chacahua	Relleno	Relleno no consolidado con algunas inclusiones (cerámica) (figura 8.27).
Ent. 12-Ind. 13	3FF		Posiblemente Chacahua	Entierro humano	Entierro perturbado y desarticulado dentro de la capa de relleno E51 (figura 8.27)
E68-s1	3FF	10 YR 5/3; Migajón arcilloso de color café amarillento	Posiblemente Chacahua	Relleno	Relleno no consolidado con algunas inclusiones (cerámica) (figura 8.27).
E68-s2	3FF	10 YR 5/4; Migajón limoso arcilloso de color café amarillento	Posiblemente Chacahua	Relleno	Depósito con ceniza (figura 8.27).
E68-s3	3FF	10 YR 5/4; Migajón limoso arcilloso de color café amarillento	Posiblemente Chacahua	Relleno	Capa muy delgada quemada y roja (figura 8.27).
E68-s4	3FF	10 YR 4/3; Migajón limoso arcilloso de color café	Posiblemente Chacahua	Relleno	Depósito quemado y ligeramente rojo (figura 8.27).
E19-s1	3JJ	7.5 YR 4/6; Migajón limoso de color café	Posiblemente Chacahua	Relleno dentro de un pozo	Pozo relleno con sedimento de migajón limoso. E19-21 tiene inclusiones de pequeñas piedras parecidas con las de E12-s2. El pozo corta dentro de E12 y E15 (figura 8.23).
E19-s2	*3JJ*		Probablemente Chacahua	Posible elemento quemado en el fondo del pozo	Una vasjida tipo café grueso parcialmente presente con un depósito de ceniza y carbono a dentro; quizás un elemento quemado (figura 8.23).

Número de Estrato	Unidades	Descripciones de Munsell y Sedimento	Fecha Probable	Proceso de Formación	Comentarios
E19-s3	3JJ	10 YR 5/4; Migajón arcilloso de color café amarillento	Probablemente Chacahua	Relleno dentro de un pozo	Parecido al E19-s1 excepto las inclusiones de bajareque (figura 8.23).
E42	3JJ	7.5 YR 6/4; Migajón arcilloso de color café amarillento	Probablemente Chacahua	Relleno con un pozo de entierro (Ent. 17-Ind. 25)	Relleno que contiene un entierroEnt. 17-Ind. 25 (sin excavar). (figura 8.23).
Ent. 17-Ind. 25	3JJ		Probablemente Chacahua	Entierro	Entierro no excavado (figura 8.23).
E58	3VV	10 YR 5/4; arcilla limosa de color café amarillento	Chacahua	Muro de tierra compacta	Probable muro de tierra compacta. Dos bloques de tierra compacta están visibles. Inclusiones de cerámica, concha y piedra (figura 8.21).
E54	3VV	10 YR 6/4; Migajón limoso arcilloso de color café amarillento	Chacahua	Basurero	Sedimento suelto con ceniza con inclusiones de cerámica, piedra y bajareque. Muchos pedazos grandes de cerámica en el fondo de la unidad (figura 8.21).
E48	3RR	10 YR 6/3; Migajón arenoso de color café claro	Chacahua	Piso o superficie occupacional	Sedimento arenoso (figura 8.16).
E49-s1	3RR	10 YR 5/4; Migajón arcilloso de color café amarillento	Chacahua	Pisos erosionados	E49 es probablemente una secuencia de pisos que han sido mezclados y ya no se pueden distinguir (probablemente corelaciona con E93 en la unidad 6RR). E49-s1 de marga arcillosa (figura 8.16)
E49-s2	3RR	10 YR 6/3; Limo arcilloso de color café claro	Chacahua	Relleno probable entre los pisos	Pedazos mas compactos y finos de sedimento, quizás los restos de capas delgadas que separaban los pisos (figura 8.16).

Número de Estrato	Unidades	Descripciones de Munsell y Sedimento	Fecha Probable	Proceso de Formación	Comentarios
E49-s3	3RR	10 YR 5/2; Arena limosa de color café grisaeco	Chacahua	Piso	Piso de arena erosionado (figura 8.16).
E49-s4	3RR	10 YR 5/3; arcilla limosa de color café	Chacahua	Depósito de ceniza	Capa delgada de ceniza fina (figura 8.16).
E50	3RR	10 YR 4/3; Migajón arenoso de color café	Chacahua	Piso	Piso de arena compacta con cerámica colocada planamente sobre el piso. Orgánico y con ceniza (no se ven en el perfil)
E93-s1	6RR	10 YR 6/2; Limo arenoso de color café grisáceo	Chacahua	Secuencia de pisos de tierra	E93 consiste en una serie de pisos arenosos separados por eventos de revestimiento delgados o capas de sedimento suelto fino. Tiene inclusiones de piedra y algunas piedras y tepalcates y concha (correlaciona probablemete con E49 en la unidad 3RR). E93-s1 consite de limo arenoso sin pisos o capas de recubrimiento visible (pisos y capas de revestimiento mexclados por la erosión) (figura 8.17).
E93-s2	6RR	10 YR 5/4; Limo arenoso de color café amarillento	Chacahua	Secuencia de pisos de tierra	E93-s2 es igual a E93-s1 con la excepción que los sedimentos tienen ceniza (figura 8.17)
E93-s3	6RR	10 YR 6/3; Migajón limoso arcilloso de color café amarillento	Chacahua	Posible capa de relleno o revestimiento	E93-s3 consiste en sedimetno más fino y más compacto que las capas superiores y tiene pocas inclusines; se puede tratar de una superficie de revestimiento (figura 8.17).

Número de Estrato	Unidades	Descripciones de Munsell y Sedimento	Fecha Probable	Proceso de Formación	Comentarios
E93-s4	6RR	10 YR 5/4; Migajón limso arcilloso de color café amarillento	Chacahua	Capa delgada de ceniza	E93-s4 es una capa delgada de ceniza con inclusiones de cerámica y bajareque (figura 8.17).
E93-s5	6RR	10 YR 6/3; Limo arenoso de color café claro	Chacahua	Piso	E93-s5 es una capa distinta de arena, quizás un piso (figura 8.17).
E94-s1	6RR	10 YR 4/3; Limo arcilloso de color café	Chacahua	Relleno	Relleno de limo arcilloso compacto de origen aluvial (figura 8.17).
E94-s2	6RR	10 YR 5/4; Migajón arenoso de color café amarillento	Chacahua	Relleno	E94-s2 es una capa delgada de marga arenosa (figura 8.17).
E76	3NN	10 YR 5/4; Migajón arenoso de color café amarillento	Chacahua	Relleno dentro de un pozo	Relleno dentro de un pozo que corta dentro de E81, E80, E79, E78, E77, y E75. El relleno incluye inclusiones de concha, cerámica y piedra (figura 8.6).
E81-s1	2OO, 3NN	10 YR 5/4; Migajón limoso arcilloso de color café amarillento	Chacahua	Relleno	Capa de revestimiento delgado con inclusiones de concha y cerámica (E81, E80, E79, E78, y E77 consiste en una serie de pisos arenosos con capas de revestimeitno deltado que correlaciona probablemente con E48, E49 y E50 en la unidad 3RR y E93 y E94 en la unidad 6RR. Estratos individuales no represnetan pisos individuales necesariamente) (figuras 8.6, 8.18, 8.19).
E81-s2	3NN	10 YR 5/4; Limo arenoso de color café amarillento	Chacahua	PIso	Piso delgado de arena (figura 8.6).

Número de Estrato	Unidades	Descripciones de Munsell y Sedimento	Fecha Probable	Proceso de Formación	Comentarios
E81-s3	2OO, 3NN	10 YR 5/4; Arena limosa de color café amarillento	Chacahua	Piso	Piso delgado de arena (figuras 8.6, 8.18, 8.19).
E81-s4	2OO, 3NN	10 YR 6/3; Migajón arenoso de color café claro	Chacahua	Piso	Piso delgado de arena con inclusiones de concha (figuras 8.6, 8.18, 8.19).
E81-s5	2OO	10 YR 5/2; Arena limosa de color café grisáceo	Chacahua	Piso	Piso delgado de arena con inclusiones de concha (figura 8.18).
E81-s6	2OO	10 YR 6/4; Migajón arcilloso de color café amarillento claro	Chacahua	Relleno	Capa delgada de revestimietno (figura 8.18).
E80-s1	2OO, 3NN	10 YR 6/2; Migajón arenoso de color café amarillento claro	Chacahua	Piso	Capa delgada de arena con concha e inclusiones de bajareque (figuras 8.6, 8.18, 8.19).
E80-s2	3NN	10 YR 6/2; Migajón arenoso de color café grisáceo claro	Chacahua	Posible molde de poste	Ligeramente más oscuro y orgánico que E80-s1 (figuras 8.6, 8.19).
E80-s3	3NN	10 YR 6/2; Migajón arenoso de color café grisáceo claro	Chacahua	Depósito de ceniza	Depósito de ceniza en E80-s1 (figura 8.6).
E79	2OO, 3NN	10 YR 6/4; Limo arcilloso de color café amarillento claro	Chacahua	Relleno	Capa de revestimiento Delgado con inclusiones de bajaraque (figuras 8.6, 8.18).

Número de Estrato	Unidades	Descripciones de Munsell y Sedimento	Fecha Probable	Proceso de Formación	Comentarios
E78-s1	2OO, 3NN	10 YR 5/4; Arena limosa de color café amarillento	Chacahua	Piso	Piso delgado de arena (figuras 8.6, 8.18, 8.19).
E78-s2	2OO, 3NN	10 YR 5/4; Arena limosa de color café amarillento	Chacahua	Piso	Más compacto que E78-s1 (figuras 8.6, 8.18, 8.19).
E77-s1	2OO, 3NN	10 YR 6/3; Migajón arenoso de color café claro	Chacahua	Piso	Piso delgado de arena con inclusiones de bajareque y concha (figuras 8.6, 8.18, 8.19).
E77-s2	3NN	10 YR 6/4; Limo arenoso de color café amarillento claro	Chacahua	Piso	Ligeramente más grueso que E77-s1 (figura 8.6).
E77-s3	2OO, 3NN	10 YR 6/4; Arcilla limosa de color café amarillento claro	Chacahua	Relleno	Capa delgada de revestimiento con incusiones de concha (figuras 8.6, 8.18, 8.19).
E77-s4	3NN	10 YR 5/3; Limo arenoso de color café	Chacahua	Piso	Piso delgado de arena con inclusiones de concha (figura 8.6).
E90	3NN		Chacahua	Ofrenda	Ofrenda de tres vasijas tipo gris colocadas dentro de E77 y E75. Las vasijas consisten de dos jarrones miniaturas tipo gris y un plato cónico con borde escalonado (figuras 8.6, 8.20).
E75	2OO, 3NN	10 YR 5/4; Arcilla limosa de color café amarillento	Chacahua	Relleno	Capa más gruesa de relleno que separa la secuencia superior de pisos (E81, E80, E79, E78, y E77) de la secuencia inferior (ver abajo). E75 corelacional probablemente con E94 en la Unidad 6RR. Inclusiones de adobe quemado (figuras 8.6, 8.18, 8.19).

Número de Estrato	Unidades	Descripciones de Munsell y Sedimento	Fecha Probable	Proceso de Formación	Comentarios
E74-s1	2OO, 3NN	10 YR 5/4; Arena limosa de color café amarillento	Chacahua	Piso	Piso de arena delgado con inclusiones de bajareque (figuras 8.6, 8.18, 8.19).
E74-s2	2OO, 3NN	10 YR 6/4; Migajón limoso arcilloso de color café amarillento claro	Chacahua	Piso	Más grueso que E74-s1 con inclusiones de concha (figuras 8.6, 8.18, 8.19).
E73	2OO, 3NN	10 YR 5/4; Arena limosa de color café amarillento	Chacahua	Piso	Piso de arena ligeramente más grueso y major conservado que los demas. Con inclusiones de concha (figuras 8.6, 8.18, 8.19).
E72	2OO, 3NN	10 YR 6/4; Migajón arenoso limoso de color café amarillento claro	Chacahua	Relleno	Capa de revestimiento delgado (figuras 8.6, 8.18, 8.19).
E71-s1	2OO, 3NN	Limo arenoso (Munsell no registrado)	Chacahua	Piso	Piso delgado de arena (figuras 8.6, 8.18, 8.19).
E71-s2	3NN	10 YR 5/4; Arena limosa de color café amarillento	Chacahua	Piso	Piso delgado de arena (figura 8.6).
E71-s3	2OO, 3NN	10 YR 5/4; Arcilla limosa de color café amarillento	Chacahua	Relleno	Revestimiento delgado con inclusiones de bajareque (figuras 8.6, 8.18, 8.19).
E71-s4	3NN	10 YR 5/4; Arena limosa de color café amarillento	Chacahua	Piso	Piso delgado de arena con inclusiones de concha (figuras 8.6, 8.19).
E70	3NN	10 YR 6/4; Limo arcilloso de color café amarillento	Chacahua	Relleno	Capa de relleno con grandes pedazos de bajareque (figuras 8.6, 8.19).

Número de Estrato	Unidades	Descripciones de Munsell y Sedimento	Fecha Probable	Proceso de Formación	Comentarios
E89	3NN		Chacahua	Ofrenda	Ofrenda de un vaso tipo gris miniature en el borde entre E69 y E70 (figura 8.6).
E69-s1	3NN	10 YR 5/4; Limo arcilloso de color café amarillento	Chacahua	Relleno	Relleno no consolidado que cubre el muro de adobe E86 y contiene la ofrenda E87 (figura 8.6).
E69-s2	3NN	(datos no registrados)	Chacahua	Tierra quemada	Capa delgada de sediment quemado (figura 8.6).
E69-s3	3NN	10 YR 6/4; Arcilla de color café amarillento claro	Chacahua	Relleno	Capa delgada arcillosa (figura 8.6).
E69-s4	3NN	10 YR 5/4; Limo arenoso de color café amarillento	Chacahua	Adobe	Grandes pedazos de adobe dentro del relleno (figura 8.6).
E86	3NN	10 YR 6/3; Limo arcilloso de color café claro	Chacahua	Relleno de adobe	Relleno de adobe en la base de la unidad (Relleno estructurado Tipo 3; ver Joyce et al 2013:139). Bloques individuales visibles en la parte sur de la unidad (figura 8.6).
E87	3NN		Chacahua	Ofrenda	Ofrenda de 6 vasijas de cerámica dentro de pequeños pozos cortados dentro de E86 que fueron recubiertos por E69. Todas las vasijas eran vasos cilíndricos mal hechos del tipo café grueso (figuras 8.6, 8.7, 8.8, 8.9).

Número de Estrato	Unidades	Descripciones de Munsell y Sedimento	Fecha Probable	Proceso de Formación	Comentarios
E88	3NN		Chacahua	Elemento de piedra (posible ofrenda)	Elemento que consiste en tres discos de granito dentro de un pozo cortado dentro de E86 y ubicado a aproximadamente 30cm debajo de E87. No esta claro si E88 es parte de la ofrenda de vasijas de cerámica o si se trada de un elemento distinto (figuras 8.6, 8.10).
E36-s1	6NN	10 YR 5/4; Limo arcilloso de color café amarillento	Chacahua	Relleno	Depósito no consolidado de origen aluvial (figura 8.22).
E36-s2	6NN	(Munsell no registrado)	Chacahua	Relleno	Capa con ceniza (figura 8.22).
E41-s1	6NN	10 YR 6/3; Arena de color café claro, ligermanete amarillo	Chacahua	Relleno dentro de un pozo o cauce de erosión	Relleno dentro de un pozo o cauce de erosión que corta dentro de E37. E41-s1 es una capa delgada arenosa con inclusiones de concha (figura 8.22).
E41-s2	6NN	10 YR 6/2; Limo arcilloso de color café grisáceo	Chacahua	Relleno dentro de un pozo	Limo arcilloso; sedimentos aluviales redepositados (figura 8.22).
E41-s3	6NN	10 YR 6/4; Arena limosa de color café amarillento claro	Chacahua	Relleno dentro de un pozo	Capa arenosa delgada (figura 8.22).
E41-s4	6NN	10 YR 6/3; Limo arcilloso de color café claro	Chacahua	Relleno dentro de un pozo	Capa con ceniza (figura 8.22).
E41-s5	6NN	10 YR 3/1; Migajón arenoso de color gris muy oscuro	Chacahua	Relleno dentro de un pozo	Migajón renoso (figura 8.22).

Número de Estrato	Unidades	Descripciones de Munsell y Sedimento	Fecha Probable	Proceso de Formación	Comentarios
E41-s6	6NN	Migajón arenoso (Munsell no regisrado)	Chacahua	Relleno dentro de un pozo	Migajón arenoso con ceniza (figura 8.22).
E41-s7	6NN	10 YR 5/8; Migajón arcilloso de color café amarillento	Chacahua	Relleno dentro de un pozo	Migajón arcilloso (figura 8.22).
E37	6NN	10 YR 5/4; Migajón arcilloso de color café amarillento	Chacahua	Relleno	Relleno alluvial compacto sin incusiones (figura 8.22).
E5	12NN		Chacahua	Muro de piedra	Muro de piedra con fachada hacía el este, probablemente asociado con la plataforma creada por E62 y E66 o una extensión más tardía de ésta (figura 8.13).
E67	10NN, 10OO	10 YR 6/4; Limo arcilloso de color café amarillento claro	Chacahua	Bloques de adobe	Muro que consiste en un solo nivel de bloques de adobe, probablemente de un basamiento o de la parte superior de un muro de contención formado con E62 (figura 8.12).
E7	12NN	10 YR 5/4; Arcilla limosa de color café amarillento	Chacahua	Relleno	Relleno no consolidado de origen aluvial con inclusiones de concha y bajareque. Variación en la textura represnta probablemente tierra hechada por canastas individuales. Ligeramente más grueso que E6 (figura 8.13).
E66-s1	10NN, 10OO	10 YR 6/4; Migajón limoso de color café amarillento	Chacahua	Relleno	Relleno no consolidado con pocas inclusiones retenido por un muro de contención o celula de construcción de adobe vertido (E62). (figura 8.12).

Número de Estrato	Unidades	Descripciones de Munsell y Sedimento	Fecha Probable	Proceso de Formación	Comentarios
E66-s2	10NN	10 YR 6/3; Limo arenoso de color café claro	Chacahua	Relleno	Relleno no consolidado de fuentes diferentes (aluvial) que E66-s1 (figura 8.12).
E66-s3	10NN	10 YR 5/4; Limo margoso de color café amarillento	Chacahua	Relleno	Probable canasta de relleno de una fuente diferente que E66-s1 y E66-s2 (figura 8.12).
E66-s4	10NN	10 YR 6/4; Limo arcilloso de color café amarillento claro	Chacahua	Relleno	Ligeramente más grueso que E66-s3 (figura 8.12).
E62-s1	10NN	10 YR 6/4; Arcilla limosa de color café amarillento claro	Chacahua	Adobe vertido	Muro de contención o célula de construcción de adobe vertido (figura 8.12, 8.15).
E62-s2	10NN, 10OO	10 YR 7/4; Arcilla de color café muy claro	Chacahua	Adobe vertido	Adobe vertido; ligeramente más fino que E62-s1 (figura 8.12, 8.15).
E62-s3	10NN	10 YR 6/3; Arcilla limosa de color café claro	Chacahua	Adobe vertido	Adobe vertido utilizando una mezcla ligeramente diferente a la de E62-s1 o E62-s2 (figura 8.12, 8.15).
E8-s1	10NN	10 YR 5/4; Limo arenoso de color café amarillento	Chacahua	Relleno con laminación	Una forma de relleno con laimaciones delgada de material más grueso y más fino con muy pocas inclusiones. Parecido a RV13 Op. F-E9. Se desconoce el proceso que forma las limaciones (figuras 8.12, 8.14).
E8-s2	10NN, 10OO, 12NN	11 YR 6/3; Limo arenoso de color café claro	Chacahua	Relleno con laminación	Más fino que E8-s1 con capas delgadas de arcilla (figura 8.12, 8.13).
E8-s3	10NN, 12NN	10 YR 5/4; Arena de color café amarillento	Chacahua	Relleno con laminación	Arena (figura 8.12, 8.13).

Número de Estrato	Unidades	Descripciones de Munsell y Sedimento	Fecha Probable	Proceso de Formación	Comentarios
E8-s29	12NN	10 YR 5/4; Arena de color café amarillento	Chacahua	Relleno con laminación	Identico a E8-s3 con la excepción que tiene ceniza y bajareque; se puede tratar de una superficie ocupacional (figura 8.13).
E8-s4	10NN	10 YR 5/4; Limo arenoso de color café amarillento	Chacahua	Relleno con laminación	Limo arenoso (figura 8.12).
E8-s5	10NN	10 YR 5/4; Limo arenoso de color café amarillento	Chacahua	Relleno con laminación	Limo arenoso con pequeñas inclusiones de carbono (figura 8.12).
E8-s6	10NN	10 YR 5/4; Limo arenoso de color café amarillento	Chacahua	Relleno con laminación	Limo arenoso (figura 8.12).
E8-s7	10NN	10 YR 5/8; Limo arenoso de color café amarillento	Chacahua	Relleno con laminación	Limo arenoso (figura 8.12).
E8-s8	10NN	(Datos no registrados)	Chacahua	Relleno con laminación	(figura 8.12).
E8-s9	10NN	12 YR 6/3; Limo arenoso de color café claro	Chacahua	Relleno con laminación	Limo arenoso con inclusiones de ceniza, bajareque y concha (figura 8.12).
E8-s10	10NN	12 YR 6/3; Limo margoso arcilloso de color café claro	Chacahua	Relleno con laminación	Limo margoso arcilloso (figura 8.12).
E8-s23	10NN	10 YR 6/4; Arena limosa de color café amarillento claro	Chacahua	Relleno con laminación	Arena limosa con ceniza (figura 8.12).
E8-s24	10NN	10 YR 6/3; Arena limosa de color café claro	Chacahua	Relleno con laminación	Arena limosa (figura 8.12).

Número de Estrato	Unidades	Descripciones de Munsell y Sedimento	Fecha Probable	Proceso de Formación	Comentarios
E8-s11	10NN	10 YR 6/4; Arena limosa de color café amarillento	Chacahua	Relleno con laminación	Arena limosa (figura 8.12).
E8-s12	10NN	10 YR 6/4; Arena limosa de color café amarillento	Chacahua	Relleno con laminación	Arena limosa (figura 8.12).
E8-s13	10NN	10 YR 6/4; Arcilla limosa de color café amarillento claro	Chacahua	Relleno	Arcilla limosa sin laminaciones visibles (figura 8.12).
E8-s14	10NN	10 YR 5/4; Arcilla limosa de color café amarillento	Chacahua	Relleno con laminación	Arcilla limosa (figura 8.12).
E8-s25	10NN	10 YR 5/4; Limo arenoso de color café amarillento	Chacahua	Relleno con laminación	Limo arenoso (figura 8.12).
E8-s15	10NN	(Datos no registrados)	Chacahua	Relleno con laminación	(figura 8.12).
E8-s16	10NN	10 YR 6/3; Arena limosa de color café claro	Chacahua	Relleno con laminación	Arena limosa (figura 8.12).
E8-s17	10NN	10 YR 6/3; Arena limosa de color café claro	Chacahua	Relleno con laminación	Arena limosa (figura 8.12).
E8-s18	10NN	10 YR 5/4; Arena limosa de color café amarillento	Chacahua	Relleno con laminación	Arena limosa (figura 8.12).
E8-s26	10NN	10 YR 6/4; Limo arenoso de color café amarillento claro	Chacahua	Relleno con laminación	Limo arenoso (figura 8.12).

Número de Estrato	Unidades	Descripciones de Munsell y Sedimento	Fecha Probable	Proceso de Formación	Comentarios
E8-s19	10NN	10 YR 5/4; Migajón limoso arenoso de color café amarillento	Chacahua	Relleno con laminación	Migajón limoso arenoso (figura 8.12).
E8-s27	10NN	10 YR 5/4; Limo arenoso de color café amarillento	Chacahua	Relleno con laminación	Limo arenoso (figura 8.12).
E8-s28	10NN	10 YR 5/6; Limo arcilloso de color café amarillento	Chacahua	Relleno con laminación	Limo arcilloso (figura 8.12).
E8-s20	10NN	10 YR 5/4; Arena limosa de color café amarillento	Chacahua	Relleno con laminación	Arena limosa (figura 8.12).
E8-s21	10NN	10 YR 5/4; Arena limosa de color café amarillento	Chacahua	Relleno con laminación	Arena limosa (figura 8.12).
E8-s22	10NN	(Datos no registrados)	Chacahua	Relleno con laminación	(figura 8.12).
E13	3JJ	10 YR 5/4; Limo arcilloso de color café amarillento	Chacahua	Piso o superficie ocupacional	Superficie arcillosa (posible piso) en E12-s1. Sin inclusiones. Se puede tratar de un depósito de bajareque no quemado (figura 8.23).
E12-s1	3JJ	10 YR 4/4; Limo de color café amarillento oscuro	Chacahua	Relleno	Relleno de origen alluvial que es ligeramente más grueso que E11 con pocas inclusiones (figura 8.23)
E12-s2	3JJ	10 YR 6/4; Migajón arcilloso de color café amarillento claro	Chacahua	Relleno	Superficie quemada de E12-s1 (figura 8.23).

Número de Estrato	Unidades	Descripciones de Munsell y Sedimento	Fecha Probable	Proceso de Formación	Comentarios
E14	3JJ	10 YR 5/4; Arcilla limosa de color café amarillento	Chacahua	Edificio de bajareque quemado	Depósito de bajareque y carbono incluyendo pedazos de carbono de hasta 2 cm de largo. Posible edificio de bajareque quemado (figura 8.23).
E15-s1	3JJ	10 YR 5/4; arcilla limosa de color café amarillento	Chacahua	Posible piso de arcilla o depósito de bajareque	Posible piso de arcilla o depósito no quemado de bajarque que baja ligeramente al este con inclusiones de bajareque quemado (figura 8.23).
E15-s2	3JJ	10 YR 5/4; arcilla limosa de color café amarillento	Chacahua	Posible piso de arcilla o depósito de bajareque	Borde quemado (figura 8.23).
E25	3JJ	Migajón arcilloso ligeramente orgánico (munsell not registrado)	Chacahua	Relleno dentro de un pozo	Pozo llenado con migajón arcilloso orgánico con inclusiones densas de cerámica y concha. El pozo corta dentro de E18-s1 y justo debajor de un muro de piedra y de adobe (E20). (figura 8.23).
E26	3JJ		Chacahua	Ofrenda	Ofrenda enterrada dentro de E18-s1 debajo del muro de piedra y de adobe (E20). La ofrenda consiste en dos platos cónicos tipo gris, una olla miniature gris, un pedazo de bajareque quemado, dos piedras de grantia rotas, y una piedra de río (figuras 8.23, 8.25, 8.26).
E16	3JJ	10 YR 5/4; Limo arcilloso de color café amarillento	Chacahua	Relleno	Relleno no consolidado con inclusiones de bajareque (figura 8.23).

Número de Estrato	Unidades	Descripciones de Munsell y Sedimento	Fecha Probable	Proceso de Formación	Comentarios
E17	3JJ	10 YR 6/3; arcilla limosa de color café claro	Chacahua	Posible vestigios de un edificio de bajarque quemado	Capa de bajareque, cerámica, y concha dentro de una matriz de arcilla limosa (figura 8.23).
E21-s1	3JJ	10 YR 6/3; Limo arcilloso de color café claro	Chacahua	Relleno dentro de un pozo	Pozo lleno de limo arcilloso pareciso a E18-s1 con ceniza. El pozo empieza en la parte superior de E18-s1 y esta cubierto por E17 (figura 8.23).
E21-s2	3JJ	10 YR 5/4; Limo arcilloso de color café amarillento	Chacahua	Rellno dentro de un pozo	Pequeños fragmentos de bajareque en la base del pozo (figura 8.23).
E20-s1	3JJ		Chacahua	Posible basamiendo de un edificio quemado de bajareque	Muro de piedra y adobe orientado este-oeste con fachada probablemente hacia el norte. El muro parece haber sido parte de un edificio de bajareque que fue quemado. El muro incluye piedras (E20-s1), bloques de adobe arcillosos (E20-s2), bloques de adobe limosos (E20-s3) con superficies quemadas (E20-s4) y argamasa (E20-s5). (figuras 8.23, 8.25).
E20-s2	3JJ	10 YR 5/8; Arcilla limosa de color café amarillento	Chacahua	Bloques de adobe	Bloques arcillosos de adobe (figura 8.23).
E20-s3	3JJ	10 YR 6/4; Limo arcilloso de color café amarillento	Chacahua	Bloques de adobe	Bloques de adobe con textura más gruesa que E20-s2 (figura 8.23).
E20-s4	3JJ		Chacahua	Bloques de adobe	Borde quemado de E20-s3 (figura 8.23).
E20-s5	3JJ	10 YR 5/4; Limo arcilloso de color café amarillento	Chacahua	Argamasa	Argamasa entre los bloques de adobe en E20-s3. Parece tener cal como componente (figura 8.23).

Número de Estrato	Unidades	Descripciones de Munsell y Sedimento	Fecha Probable	Proceso de Formación	Comentarios
E28	3JJ	10 YR 6/4; Arcilla limosa de color café amarillento	Chacahua	Desecho ocupacional	Una capa de desecho ocupacional en la superficie de E18-s1 (figura 8.23).
E23	3JJ	10 YR 5/4; Migajón arcilloso limoso de color café amarillento	Chacahua	Relleno	Depósito en la base de la ofrenda E27. Quizás el relleno dentro dl pozo que contenía la ofrenda (figura 8.23).
E27	3JJ		Chacahua	Ofrenda	Ofrenda consistiendo de un vaso tipo café grueso en E18-s2. Solo parcialmente visible en perfil. Completa, la vasija se extendería dentro de E18-s1 (figuras 8.23, 8.24, 8.25).
E18-s1	3JJ	10 YR 6/3; Migajón arenoso de color café claro	Chacahua	Relleno	Relleno no consolidado de origen aluvial con incusiones de cerámica, bajareque, y concha (figura 8.23).
E18-s2	3JJ	10 YR 5/4; Arcilla limosa de color café amarillento	Chacahua	Relleno	Sedimento ligeramente más fino con menos inclusiones que E18-s1 (figura 8.23).

8.4.1 La Fase Chacahua

Los estratos más tempranos en la Operación A consisten de depósitos de relleno de la fase Chacahua que parecen representar un episodio grande que levantó el Montículo 3 en Loma Don Genaro. Las capas más tempranas fueron encontradas en la unidad 3NN y consisten de adobes (E86) que llegaron a una elevación de 12.67 msnm (metros sobre el nivel del mar), recubiertos por sedimento no consolidado (E69) que levanto la superficie de la plataforma a 12.97 msnm (Figura 8.7). La técnica de construcción utilizada para el relleno de adob es idéntica al relleno estructurado Tipo 3 identificada en el acropolis de Rio Viejo (Joyce y Barber 2011; Joyce et al. 2013:139), que consiste en bloques de adobe

aislados y bien organizados. Una serie de ofrendas (E87, E88) fueron colocadas en pequeños pozos excavados dentro de E86 y después recubiertas por el relleno de E69. E87 consistía en seis vasijas cilíndricas de tipo café grueso mal hechas (Figuras 8.8, 8.9 y 8.10) que se parecían a las vasijas en las ofrendas halladas en el sitio de Yugüe (Barber 2011, 2013L173-176). Debajo de las vasijas en E87 habia tres discos de piedra (Figura 8.11) que se parecían a un disco de piedra colocado sobre el Entierro 5-Individuo 8 en Cerro de la Cruz, que pertenecia a la fase Miniyua (Joyce et al. 1998). Se desconoce el uso o lo que represntaban estos discos, y su relación con las vaijas de cerámica no esta claro. Estas ofrendas probablemente fueron asociadas con rituales de "dar alma" (ingles: *ensoulement*) a la plataforma (ver Joyce y Barber 2013). Evidencia de quema en la superficie superior de E69 (E69-s2) también puede indicar actividades de dar alma, o con la quema de una estructura de bajareque (ver la discusión de E70 abajo). Despúes, E69 fue recuberto por una capa delgada (5-20 cm de grueso) de relleno no consolidado (E70) que creyó la superficie sobre la cual una serie de pisos fueron construidos (ver abajo). Una ofrenda de una sola vasija miniatura de tipo gris (E89) fue dejada en la interface de E69 y E70 (Figura 8.12). E70 era inusual porque contenía una gran cantidad de bajaraque quemado, indicando la posibilidad que una estructura anterior construida en la superficie de E69 fue quemada e incorporada dentro del relleno. E70 levantó la superficie de la plataforma para llevar a alrededor de 13.0 metros sobre el nivel el mar (msnm).

Al este de la unidad 3NN, en las unidades 10NN (Figura 8.13) y 12NN (Figura 8.14), las excavaciones expusieron depósitos profundos de relleno (E8) que se extendieron desde la base de la unidad a 10.66 msnm a 12.66 msnm. Esto demuestra que este estrato media por lo menos 2m de grueso, siendo por lo tanto la capa de relleno más profunda expuesta en las excavaciones en Loma Don Genaro. E8 era también inusual en que consistía de laminaciones de arena y limo (figura 8.15) parecidas al relleno de la fase Chacahua en la Operación F en la acropolis de Rio Viejo (Op. F-E9; ver capítulo 6). El

proceso bajo el cual el sedimeno se fue organizando en capas delgadas no esta claro, aunque se puede considerar como otro tipo de relleno estruturado (ver Joyce et al. 2013:138-142). En la unidad 10NN, E8 fue recubierdo por 60cm adicionales de relleno que levanto la plataforma a 13.26 msnm. El relleno encima de E8 consistío de cédulas construidas de adobe vertido (E62; Figura 8.16), que fue identificado como Relleno Estructurado Tipo 1 en la acropolis de Rio Viejo (ver Joyce y Barber 2011; Joyce et al 2013:139; E62 fue también expuesto en la base de la unidad 10OO). Dentro de la cedula creada por E62, se colocó relleno no consolidado (E66). Al este de la unidad 12NN, E8 fue recubierto por una capa de 15cm a 25cm de grueso de relleno no consolidado (E7). Aunque parece probable que los depósitos más tempranos en las unidades 10NN, 12NN y 3NN fueron construidos al mismo tiempo para levantar el Monítuclo 3, es también posible que E86 y E89 en la unidad 3NN representan una versión más pequeña y más temprana de la plataforma del Monítuclo 3 que fue extendida hacia el este después en E8, E62, E66 y E7.

Despues del depósito de las capas de relleno, un muro de adobe (E67) consistiendo de una sola capa de bloques fue construido en la superficie del Montículo 3 en las unidades 10OO y 10NN. Hacia el este, en la unidad 12NN un muro de piedra (E5) que consistió de dos capas de piedras trabajadas, fue construido sobre E7. No está claro si E5 y E67 fueron muros de contención que estabilizaron la cumbre de la plataforma del Montículo 3, o si fueron los basamientos de otras estructuras. Ambos muros levantaron la construcción a una elevación de 13.35 metrso sobre el nivel del mar.

En la sección noroeste de la Operación A las unidades 3RR, 6RR, 2OO, 3NN (Figuras 8.7, 8.17, 8.18, 8.19) de la plataforma de la fase Chacahua (E86, E69) formaron una superficie sobre la cual una serie de pisos y capas delgadas de revestimiento fueron construidas (Figura 8.20). A veces pisos individuales y capas distintas de relleno eran visibles, especialmente en las unidades 200 y 3NN, pero en otros instantes los pisos eran erosionados y parecían juntarse. Una serie inicial de pisos (E71-s1, E71-s2,

E71-s4, E73, E74-s1, E74-s2), separados por capas delgadas (de 2-8cm) de revestimiento (E71-s3, E72) levantaron la superficie de la plataforma a 13.2 msnm. Esta serie inicial de pisos fue recubierta por un deposito de relleno de aproximadamente 20 cm de grueso (E75). En las unidades 2OO y 3NN, E75 coresponde probablemente a E94 en la unidad 6RR.

Después del depósito de E75 y E94, una segunda serie de pisos (E77-s1, 77-s2, E77-s4, E78-s1, E78-s2, E80-s1, E81-s2, E81-s2, E81-s3, E81-s4, E81-s5) y capas delgadas de repavimiento (E77-s3, E79, E81-s1, E81-s6) fueron construidos en las unidades 2OO y 3NN. El piso E80-s1 era también asociado con un posible molde de poste y un depósito de ceniza (E80-s3). Una ofrenda de dos vasijas miniaturas de tipo gris y un plato de forma cónico con borde empinado (E90) fue colocadad dentro de E77 y E75 (Figura 8.21). Aunque los pozos donde estas vasijas fueron colocadas no se pudieron destinguir, es probable que las ofrendas fueron enterradas debajo de E78. Un pozo (E76) fue excavado desde el piso E81-s2 y cortaba dentro de los depósitos tan profundos como E75. Esta segunda capa de pisos probables también probablemente fue descubierta en las unidades 3RR y 6RR, donde los pisos son reprenstados por E48, E49-s1, E49-s3, D50, E93-s1, E93-s2, y E93-s5, mientras que los depositos delgados incluyen E49-s2 y E49-s3. Dos pisos fueron también asociados con depósitos de ceniza (E49-s4, y E93-s4), que venían probablemente de actividades asociadas. Estas secuencias de pisos eran todas a una elevación de entre 13.6-13.7 msnm, lo cual indica que formaban parte del mismo piso y sugiere que cubrían un área de por lo menos 7m x 5m. No esta claro si estos pisos formaban una superficie interior o si representan la superficie de una plaza o de un patio.

En la unidad 3VV, la unidad más al norte de la Operación A, las excavaciones expusieron un muro de contención de tierra compactada (E58) con fachada hacia el norte y que puede haber sido asociado con la secuencia de pisos al sur (Figura 8.22). La cima del muro es a una altura de 13.45 msnm, lo cual lo pone a la altura aproximada de la segunda secuencia de pisos en la unidad 3RR, 6RR, 2OO, y

3NN. A la base de la unida 3VV, las excavaciones también expusieron un basurero (E54) con sedimento con ceniza y depósitos densos de tiestos grandes de ceramica con piedra y bajareque quemado. Esto puede representar basura tirada desde el lado de la plataforma sobre la cual los pisos fueron construidos. Una capa de relleno de 12cm de grueso (E57), o quizás una superficie ocupacional, recubrió partes del muro de tierra compactada. Mas tarde en la fase Chacahua, o quizás en la fase Coyuche temprano, el muro de tierra parece haber sido elevado a una altura de 14.04 msnm, visible por el depósito de dos capas de relleno no consolidado (E56, E59). La extensión de este muro pudo haber sido el resultado de una elevación gradual de los pisos al sur conforme el área era mantenido y re-construido. No esta claro como estas capas de relleno no consolidadas fueron estabilizadas, aunque es probable que tenían un muro de contención que fue posteriormente quitado.

Fue más difícil vincular los depósitos de la fase Chacahua en otras unidades de la Operación A (las unidades 6NN, 3JJ, 3FF) con las secuencias ocupacionales descritas abajo. En la unidad 6NN, depósitos de la fase Chacahua fueron altamente perturbados por erosion poserior (Figura 8.23). Los depósitos más tempranos en la unidad 6NN era una capa de relleno no consolidado (E37) que puede haber sido relacionado con E70 o E69 en las unidades 2OO y 3NN y E94 en la unidad 6RR. E37 fue cortado por un pozo o quizás un cauce de erosion, y llenado de depósitos con ceniza (E41). E41 fue recubierto posteriormente por otra capa de relleno no consolidado de origen aluvial (E36). E36 levantó el nivel de la plataforma en esta área a una elevación de 13.85 msnm, que se aproxima a la elevación de la segunda secuencia de pisos en las unidades 3RR, 6RR, 2OO y 3NN. En la unidad 6NN no hay ninguna evidencia de estos pisos, asi que esta área era probablemente fuera del edificio o de la plaza recubierta por los pisos.

Las dos unidades mas la sur en la Operación A (3JJ y 3FF) tampoco se pudieron relacionar de manera clara con las otras unidades, aunque ambas tenían evidencia de ocupaciones de la fase

Chacahua a aproximadamente a misma altura en las demás unidades. En la unidad 3JJ (Figura 8.24) las actividades mas tempranas de la fase Chacahua eran representadas por una capa de entre 50-80cm de grueso de relleno no consolidado de origen aluvial (E18) que contenía una ofrenda (E27). E27 fue parcialmente excavada en la base de la unidad y consistía de una vasija grande tipo café grueso que era parcialmente visible en perfil pero que parecía completa (Figura 8.25). El relleno alrededor de la ofrenda (E23) tenia una textura diferente a E18 y pudo haber sido asociado con un pozo dentro del cual E27 fue colocado, aunque no esta muy claro basándose en los estratos expuestos. La ofrenda pudo haber sido análoga a las ofrendas encontradas en E86 en la unidad 3NN. E18 hubiera levantado la superficie de la plataforma del Montículo 3 en esta área a una elevación de 13.75 msnm, o aproximadamente a la altura de la seguna secuencia de pisos en las unidades 3RR, 6RR, 2OO y 3NN al norte.

Como lo sugiere la observación que la parte inferior de E20 contiene la los 18cm superiores de E18, un muro de adobe y piedra (E20) fue construido hacia finales de la construcción de E18 (Figura 8.26). El muro parece haber sido el basamiento de una estructura de bajareque que se quemó y colapsó (ver abajo). El muro incluye piedra (E20-s1), adobes arcillosos (E20-s2), adobes limosos (E20-s3) con superficies quemadas (E20-s4) y argamasa calcárea (E20-s5). En el perfil este de la unidad 3JJ, un depósito de desecho ocupacional de 20cm de grueso era visible directamente arriba de E18 que se extendía al sur desde la base de E20. Se puede tratar de la superficie ocupacional asociado con la primera versión del edificio. Del lado oeste del la unidad, un pozo (E21) cortó dentro de E18 en este momento, aunque no se observó ninguna evidencia de la superficie occupacional de E28. Un depósito de bajareque quemado, cerámica, y concha en el lado sur del la unidad (E17) así como depósitos de ceniza y de bajareque quemado en el pozo E21 sugiere que la versión initial del edificio de bajareque asociado con E20 fue destruido por el fuego.

Los estratos encima de E17 sugieren que la estructura de bajareque volvió a ser construida después de su destrucción. Una capa de 7cm de grueso (E16) fue depositado sobre el escombro quemado y un piso de arcilla (E15) fue colocado encima del relleno. Es también posbile que este momento el muro E20 fue levantando, aunque no esta claramente visible en la estratigrafía. (La otra posibilidad es que la altura completa del muro era el resultado de un solo evento de construcción). Una ofrenda (E26) fue dejada debajo del muro E20, probablemente para conmemorar la construcción de la segunda versión del edificio de bajareque. La oferta incluyó dos platos cónicos tipo gris, una vasija minuatura tipo gris, un pedazo de bajareque quemado, dos piedras de granito quemado, y una piedra de rio (Figura 8.27). Poco después de la construcción de E26, un pozo (E25) relleno de tiestos de cerámica y concha fue excavado hasta la ofrenda.

La segunda versión de la estructura de bajaraque también parece haber sido quemado, como lo indica un depósito denso de bajareque y carbono (E14) que cubre E15 y E16. E14 incluyia pedazos de carbono que medían hasta 2cm de largo. Despues de la destrucción de la segunda versión de la estructura de bajarque, es posible que la estructura fue construida una tercera vez. Esto esta sugerido por la deposición de una capa de relleno (E12) que cubrió E14, E15, y E16 hasta la cima del muro de piedra y adobe (E20). En áreas, la superficie superior de E12 tenía de quema (E12-s2). Vestigios de un piso de arcilla (E13) cubre E12 en algunas áreas también. Dos pozos cortaban dentro de E12 desde su superficie superior (E19 y E42). E19 contenía una vasija tipo café grueso parcial con un deposito de ceniza y carbono dentro de la vasija que puede indicar un elemento quemado. El otro pozo (E42) era un entierro; se pudo observar huesos largos humanos en el perfil oeste de la unidad (Ent. 17- Ind. 25), pero se tomó la decisión de dejar el entierro sin excavar. No esta claro si los dos pozos eran asociados a la tercera y última versión del edificio E20 o si se hicieron después de su abandono.

El estrato expuesto más profundo expuesto en la unidad 3FF pertenece probablemente a la fase Chacahua, aunque la escasez de tepalcates diagnosticos impide un fechamiento más definitivo (Figura 8.28). El estrato más temprano era un depósito de relleno no consolidado (E68), superpuesto por otro estrato de relleno (E51). Un entierro perturbado y desarticulado fue hallado dentro de E51 (Ent. 12-Ind.13), aunque no se encontró ninguna evidencia de un entierro (ver Capítulo 10).

A lo largo de mucho de la Operación A, el final de la fase Chachua, o quizás el inicio de la fase Coyuche, fue marcado por la deposición de capas de relleno no consolidado. En la unidad 12NN al lado este de la operación, una capa de rellno (E6) cubrió la superficie de E7 al este del muro E5. Al oeste, en la unidad 3VV, el muro de contención (E59, E56, E58) fue cubierto por dos depósitos de relleno (E53, E52). La segunda secuencia de pisos fue cubierta por las capas de relleno E43 en la unidad 3RR, E84 en la unidad 6RR, y E82 en las unidades 2OO y 3NN. Varios estratos en la unidad 6NN también pertenecían probablemente a este periodo, aunque los datos cronológicos no son suficientes para poder ser definitivos. En la unidad 6NN, dos cauces erosionales (E35, E38) cortaron dentro de la última capa de relleno de la fase Chacahua (E36). Estos cauces fueron llenados con depósitos alternantes de alta y baja energía, sugieriendo que agua pasó por ellos de vez en cuando, probablemente durante la temporada de lluvias. También eran lleanados de basura, lo que sugiere que pudieron haber sido utlizados como áreas donde ésta se tiraba. En el pasado, un pequeño pozo (E34) fue excavado dentro de uno de estos cuaces erosionales (E38) y lleando con basura. Una vez que el cauce E38 era totalmente lleno, fue recubierto por una serie de lajas de piedra (E33) y una capa de depósito de 10cm de grueso (E32). Si estos estratos pertenecen al final de la fase Chachua o al inicio de la fase Coyuche, pueden sugierir que esta área del sitio no fue tan bien mantenida en estas épocas como lo había sido anteriormente.

8.4.2 La Fase Coyuche

La ocupación en el área de la Operación A continuyó durante la fase Coyuche, representada principalmente por depósitos de relleno. Sin embargo, en la parte noroeste de la operación, en la unidad 3VV, tres pozos (E55, E60, E61) fueron excavados dentro de depostios más tempranos, aunque los característicos de estos elementos dejan abierto la posibilidad que fueron hoyos de árbol. El relleno de la fase Coyuche cubre los depósitos de la fase Chacahua en las unidades 3RR (E47) y 6RR (E92) así como en 2OO, 3NN, y 3MM (E83); todos estos elementos pueden haber sido parte del mismo episodio de relleno. En la unidad 3NN, una ofrenda (E91) consistiendo de una vasija miniatura tipo gris y una vasija miniatura tipo café grueso fue colocada dentro de E83 (Figura 8.29). En la unidad 3RR, el depósito de relleno E47 fue cortado dentro de un posible fogón (E46) que fue recubierto después. Un segundo pozo, quizás también un fogón (E45) cortó dentro de esta capa. E47, E46, y E45 fueron cubiertos por una última capa de relleno de la fase Coyuche (E44).

Muchos de los estratos posteriores de la Operación A no pudieron ser asignados a una fase especifica, pero probablemente fueron depositados durante el periodo Clásico, más probablemente durante la fase Coyuche. En la unidad 3FF una capa de relleno (E29) fue depositada sobre E51 quizás durante la fase Chacahua, aunque es más probable que fue depositada durante el periodo Clásico. Un entierro (E96-s1) fue excavado desde la superficie superior de E29. En interior de la fosa era cubierta por lajas de piedra (E96-s2) en su lado sur y contenía un entierro perturbado y desarticulado (Ent. 11-Ind.12).

Al noreste de las unidades 6NN, 10MM, 10NN, 10OO, y 12NN, hay una serie de elementos que pertenecen al periodo Clásico, y más específicamente a la fase Coyuche. En la unidad 6NN una capa de relleno (E39) cubría parcialmente uno de los cauces de erosión más temprano (E35). A su turno, E39 fue recubierto por otra capa de relleno (E31), la cual fue cortada por un pequeño cauce de erosión (E40). El

E31 también fue encontrado en las unidades 10NN y 10OO, donde cubrió porciones de la plataforma de la fase Chacahua E66. Otros depósitos de relleno (E65, E64, E10) en las unidades 10NN y 10OO terminaron de recubrir la plataforma de la fase Chacahua (E62, E66, E67). Durante el depósito de estas capas de relleno, un enteirro fue colocado dentro de los estratos E31, E64, E65 y E66 en la unidad 10NN. El entierro (E85) tenía el cuerpo de un adulto articulado (Ent. 5-Ind. 5, ver Capítilo 10)) con una figurina de piedra verde como ofrenda (ver Figura 8.30). En la unidad 12NN, el muro de piedra (E5) sobre la plataforma de la fase Chachaua, asi como el depósito de relleno poserior (E6), fueron cubiertos por relleno (E4). Este último probablemente fue depositado al mismo tiempo que los estratos E31, E64, E65 y E10 en las unidades al oeste. Los estratos fueron cubiertos posteriormente por las capas de relleno E30 en la unidad 6NN y E3 en las unidades 10OO, 10NN, 10MM y 12NN.

Al suroeste de la unidad 3JJ, una capa de relleno del periodo Clásico (E11) cubrió la versión final de la estructura de bajarque asociada con el muro E20. Un pozo (E22) fue excavado después dentro de E11 y E12.

8.4.3 La fase Yuta Tiyoo a la época moderna

Pocas actividades en el área de la Operación A pueden ser claramente asociadas a la fase Yuta Tiyoo y a la época moderna. En la unidad 10NN un pozo (E9) fue excavado dentro de la superificie de E3 y hasta E10, que asociamos de manera tentativa a la fase Yuta Tiyoo. Un poco después, un entierro (E63) fue excavado que cortaba dentro de E3, E9, E10, E64 y E65 en las unidades 10NN y 10MM (MU1). El entierro (Ent. 3) tenía dos individuos; uno de los entierros era primario (Ent. 3-Ind. 3) y el otro era probablemente secundario (Ent.-Ind. 21). Sin embargo, los dos esquelotos fueron perturbados (ver Capítulo 10). Después del entierro de Ent. 3, los estratos E1 y E2 fueron depositados a lo largo de la Operación A. Un entierro muy disturbado fue encontrado dentro de E2 (Ent. 18-Ind. 25). E2 parece haber sido formado en parte por la deposición de una capa de relleno, probablemente durante la fase

Yuta Tiyoo. Un suelo más reciente se formó encima de estos depósitos. E1 represnta este suelo con razgos de erosión. En la unidad 3FF un pozo (E24) cortó dentro de E2, mientras que una concentración de piedras (E95) fue hallada en el borde entre E1 y E2 en la unidad 6RR. Estas piedras pueden representar el borde de un campo agrícola más reciente.

8.4.4 Resumen

Las excavaciones en la Operación A muestran que el area del Montículo 3 fue inicialmente ocupado durante la fase Miniyua, representada por una pequeña cantidad de cerámica redepositada. Sin embargo, el periodo principal para la construcción del montículo parece haber sido la fase Chacahua, cuando varios tipos de relleno estructurado (adobe, adobe vertido, y laminaciones) asi como depósitos de relleno no consolidado fueron utilizados para levantar la plataforma a casi su altura actual. Muros asociados con la plataforma del Monticulo 3 fueron construidos de piedra, adobe, y tierra compacta. Los datos muestran que la construcción de plataformas en Loma Don Genaro utilizó muchas de las técnicas de construcción con tierra encontradas en Río Viejo, aunque este último sitio contaba con una diversidad más grande en tanto a los materiales de construcción (por ejemplo, el método de construcción Tipo 2, así como bloques de aluvión fueron encontrados en Río Viejo pero no en Loma Don Genaro; ver Joyce et al. 2013:139-141).

La fase Chacahua era el periodo más importante de occupación en esta parte del Montículo 3. Las actividades llevadas a cabo allí incluían a construcción y mantenimiento de pisos arenosos. No está claro si estos pisos delimitan una plaza abierta o un patio, o si eran dentro de una estructura techada. La ausencia relativa de restos domesticos sugiere que fueron asociados on un espacio público, aunque más investigación es necesaria para confirmar ésta inferencia. Las ofrendas asocaidas con la construcción inicial y la repavimentación de los pisos son consistentes con patros vistos en otros sitios en el valle del bajo Río Verde (Barber et al. 2014; Joyce y Barber 2013; Joyce et al. n.d.). Hemos argumentado que estas

ofrendas represntan un acta inicial de “dar alma” así como el sostenimiento posterior de edificios y espacios formales. Las vasijas para las ofrendas incluyen cilíndros mal hechos de tipo café grueso, platos cónicos tipo gris, y jarras miniaturas tipo gris.

La ocupación del área de la Operación A continuó durante el periodo Clásico. Las actividades en esta área durante el periodo Clásico eran menos formales que durante el periodo Formativo Terminal. Aunque mucho del área fue repavimentado con nuevas capas de relleno, la presencia de varios pozos y cauces de erosión sugiere que las actividades en el área eran diferences entre el Formativo y el Clásico. Varios entierros fueron colocados durante el periodo Clásico y por lo menos una ofrenda de vasijas de ceramica fue colocada. Algunos tiestos de la fase Yugüe indican el uso ocasional del área durante el periodo Posclásico temprano.

8.5 La Operación B

La Operación B era una unidad de excavacion de 1m x 1m ubicada a 8 metros al oeste de la unidad 2OO en la Operación A. Esta operación fue designada para investigar si la arquitectura de la fase Chacahua descubierta en la Operación A se seguía hacia el oeste. Los estratos más tempranos expuestos en las excavaciones de la Operación B pertenecen a la fase Chacahua, aunque ninguna de las unidades llegó a depósitos arqueológicamente esteril. Un solo tiesto de cerámica redepositado de la fase Miniyua siguere que la ocupación humana de este área del sitio empezó durante el inicio del periodo Formativo terminal (150 a.C. – 100 d.C.). Sin embargo, los periodos más importantes de ocupacción en esta área son las fases Chacahua y Coyuche. Exsite también evidencia que esta parete del sitio fue ocupada durante la fase Yuta Tiyoo. Esta sección presenta un resumen de la secuencia ocupacional de la Operación B, basándose en la estratigrafía arqueológica de la unidad 5NN (ver Tabla 8.2).

Tabla 8.2: Lista de las capas estratigráficas de la Operación B

Número de Estrato	Unidades	Descripciones de Munsell y Sedimento	Fecha Probable	Proceso de Formación	Comentarios
E1-s1	5NN	10 YR 4/3; arcilla limosa de color café	Yuta Tiyoo-Moderno	Superficie erosionada	Superficie orgánica i erosionada, probablemente formada dentro del relleno con inclusiones de bajareque, piedra y cerámica. Muchas raíces.
E1-s2	5NN	10 YR 4/3; Marga limosa arcillosa de color café	Yuta Tiyoo-Moderno	Superficie erosionada	Ligeramente más grueso que E1-s1.
E2-s1	5NN	10 YR 5/4; arcilla limosa de color café amarillento	Coyuche	Suelo moderno formado dentro de relleno Coyuche	Relleno con una superficie ocupacional posible en la superficie de E2-s1.
E2-s2	5NN	10 YR 4/4; arcilla limosa de color café amarilleno oscuro	Coyuche	Suelo modern formado dentro de relleno Coyuche	Con textura más fina que E2-s1.
E3	5NN	10 YR 5/4; arcilla limosa de color café amarillento	Chacahua-Coyuche	Relleno	Encima de E4 y E5
E5-s1	*5NN*	*10 YR 6/3; arcilla limosa de color café claro*	*Chacahua-Coyuche*	*Relleno*	Relleno de origen aluvial que cubre el muro de contención E8
E5-s2	5NN	10 YR 6/4; arcilla limosa de color café amarillento claro	Chacahua-Coyuche	Relleno	De color ligeramente diferente a E5-s1
E4	5NN	10 YR 5/3; arena limosa de color café	Probable Chacahua	Piso	Piso de arena cubriendo E5 encima de E8. Quizás un piso asociado con la plataforma creada por E8.

Número de Estrato	Unidades	Descripciones de Munsell y Sedimento	Fecha Probable	Proceso de Formación	Comentarios
E9	5NN	10 YR 6/3; arcilla limosa de color café claro	Probable Chacahua	Relleno	Relleno contenido por E8.
E8	5NN		Probable Chacahua	Muro de piedra	Murp de piedra con un solo nivel de lajas paradas; probablemente un muro de contención con fachada al este.
E7-s1	5NN	10 YR 5/4; arcilla limosa de color café amarillento	Probable Chacahua	Relleno dentro de un pozo	Relleno dentro de un pozo que corta dentro de E6. Contenía varios tepalcates grandes y pedazos de bajareque.
E7-s2	5NN	Arena (munsell no registrado)	Probable Chacahua	Relleno dentro de un pozo	Capa de arena.
E7-s3	5NN	10 YR 5/4; arcilla arenosa de color café amarilletno	Probable Chacahua	Relleno dentro de un pozo	Capa de arcilla arenosa
E6-s1	5NN	10 YR 6/4; arcilla de color café amarillento claro	Chacahua	Relleno	Relleno sobre el cual el muro de contención E8 fue cotruido y dentro del cua corta E7
E6-s2	5NN	10 YR 6/4; arcilla de color café amarillento claro	Chacahua	Relleno	Más compacto que E6-s1.
E6-s3	5NN	10 YR 7/4; arcilla de color café muy claro	Chacahua	Relleno	Más compacto que E6-s3.

8.5.1 La fase Chacahua

Los estratos más tempranos conocidos para la Operación B consisten en depósitos de la fase Chacahua, lo cuales, tal como en la Operación A, parecen representar un episodio importante en el

levantameitno del Montículo 3 en Loma Don Genaro (Figura 8.31). El perfil estratigráfico de la unidad 5NN empieza con una capa de relleno no consolidado (E6) dentro del cual un pozo (E7) fue excavado. Un muro de contención bajo (de aproximadamente 30 centimetros de alto) expuesto en el perfil oeste de la unidad fue construido en la superficie de E6 con una capa arenosa localizada directamente encima del muro (E4). El muro daba hacia el este y contenia relleno hacia el oeste (E9). La cima del muro de contención lleno a una elevación de aproximadamente 13.8 msnm, mientras que el muro era a aproximadamente 13.5 msnm. Estas elevaciones son parecidas en altura a a seguna secuencia de pisos en las unidades 2OO, 3NN, 3RR, y 6RR en la Operación A (es decir 13.6-13.7 msnm), indicando que quizás fueron contemporanos. Pocos tiestos de ceramica fueron hallados en E4, E5 y E7, y, por lo tanto, el fechamiento de estos estratos y el muro de contención es difícil. Sin embargo, la cantidad baja de artefactos es consistente con la extracción de sedimento para relleno en los primos años de ocupación del sitio (es decir, durante la fase Chacahua).

Despues de la ocupación de la plataforma, los estratos E6, E7, E8 y E4 fueron cubiertos por capas de relleno no consolidado (E5, E3), probablemente en un momento tardío de la fase Chacahua o temprano en la fase Coyuche. Las ocupaciones posteriores en esta área son representadas solamente por un depósito de relleno de la fase Coyuche (E2) y algunos tiestos de cerámica de la fase Yuta Tiyoo hallados en los depósitos de superficie erosionados (E1). Una vasija casi completa tipo gris fue registrada en E2, tratándose quizás de una ofrenda.

8.5.2 Resumen

Las excavaciones en la unidad 5NN de la Operación B son en gran parte constantes con los resultados de la Operación A, localizada a 8 metros al este. El periodo principal de ocupación de la Operación B fue durante la fase Chacahua, represntada por la plataforma baja contenida por E8. Es posible que esta plataforma era asociada con la arquitectura expuesta en la Operación A.

8.6 Operación C

La Op. C consistió en un bloque de 7 unidades de 1m x 1m, las cuales fueron ubicadas al sureste del transecto de la Op. A (ver figura 8.2). La Op. C se empezó para conectar la estratigráfica de la Operación A al norte a la de la Operación D al sur. Sin embargo, la estratigrafía encontrada era totalmente diferente a la de las Ops. A y D. A demás, las excavaciones de la Op. C fueron limitadas por la presencia de varios entierros pertenecientes al periodo Clásico (E6-I6, E9-I10, E10-I11; ver abajo). Las unidades 10BB y 9AA fueron excavadas hasta el relleno del periodo Chacahua, pero las demás unidades fueron excavadas a menos de un metro de profundo. Las excavaciones de la Operación C descubrieron relleno perteneciente a los periodos Formativo terminal y Clásico tardío, así como entierros pertenecientes al periodo Clásico. De acuerdo con los resultados de las otras operaciones, la presencia de cerámica redepositada de la fase Miniyua indica que Loma Don Genaro fue ocupado durante la fase Minizundo del Formativo tardío, quizás indicando una pequeña ocupación o uso del área en esta época. Ningún contexto primario perteneciente a la fase Miniyua fue identificado durante las excavaciones. Tampoco se encontró evidencia de actividades del periodo Clásico temprano en esta área del montículo aunque algunos tiestos de cerámica redepositado de la fase Coyuche confirman la ocupación del sitio durante el periodo Clásico temprano. Al igual que en la Operación A, se encontró un poco de cerámica del periodo Posclásico temprano, lo que sugiere algunas actividades de la fase Yugüe en el sitio. Esta sección da un resumen de la evidencia de las actividades humanas en la Op. C (ver tabla 8.3).

Tabla 8.3: Lista de las capas estratigráficas de la Operación C

Número de Estrato	Unidades	Descripciones de Munsell y Sedimento	Fecha Probable	Proceso de Formación	Comentarios
1-s1	Todos	Limo 2.5Y 3/3, café olivo oscuro	Moderno	Suelo formado en relleno	Mantillo mal desarrollado en el relleno del Clásico tardío
2	Todos	Limo 2.5Y 5/3, café olivo claro	Moderno	Suelo formado en relleno	Subsuelo formado en el relleno de la época Clásica tardía. Muy perturbado por raices. Más compacto que E1.
3	10CC	Arcilla limosa 10YR 5/4, café amarilloso	Yuta Tiyoo	Relleno de entierro	Contiene pequeños fragmentos de bajareque, así como arena fina y mica. Contiene E9-I10.
4-s1	10Z, 11Z	Limo 10YR 5/3, café amarilloso	Yuta Tiyoo	Relleno de pozo	Contiene arena fina y gravilla.
4-s2	10Z, 11Z	Limo 10YR 4/3, café	Yuta Tiyoo	Lente en relleno de pozo	Color es café ligeramente más claro que E3-s1. Contiene arena fina y gruesa.
5	9AA, 10BB, 10Z, 11Z, 11AA	Arcilla limosa 2.5Y 5/4, café olivo oscuro	Yuta Tiyoo	Relleno constructivo	Contiene mica y arena fina. Más compacto que E1. Entierros E6-I6 y E10-I11 se encontraron dentro y cubierto por esta capa de relleno.
6-s1	10BB	Arcilla 10YR 5/4, café amarilloso	Yuta Tiyoo	Relleno de pozo	Capa de relleno dentro de un pozo, contiene arena, mica, fragmentos de concha y de bajareque quemado. Muy compacto.
6-s2	10BB	Arcilla 10YR 5/4, café amarilloso	Yuta Tiyoo	Relleno de pozo	Capa de relleno dentro de un pozo, contiene arena, mica, fragmentos de concha y de bajareque quemado. Menos compacto que E6-s1
6-s3	10BB	Limo 10YR 6/3, café claro	Yuta Tiyoo	Relleno de pozo	Capa de relleno dentro de un pozo, contiene arena, mica, y fragmentos de concha. Suelto.
6-s4	10BB	Limo 10YR 5/2, café grisácea	Yuta Tiyoo	Relleno de pozo	Capa de relleno dentro de un pozo, contiene arena, mica, fragmentos de concha y fragmentos grandes de bajareque quemado.
6-s5	10BB	Limo 10YR 6/3, café claro	Yuta Tiyoo	Relleno de pozo	Capa de relleno dentro de un pozo, contiene arena fina y mica. Más compacto que E6-s3.
6-s6	10BB	Limo 10YR 5/4, café amarilloso	Yuta Tiyoo	Relleno de pozo	Capa de relleno dentro de un pozo, contiene arena fina y mica. Más grueso que E6-s5

Número de Estrato	Unidades	Descripciones de Munsell y Sedimento	Fecha Probable	Proceso de Formación	Comentarios
6-s7	10BB	Limo 2.5Y 4/3, olive Brown	Yuta Tiyoo	Relleno de pozo	Capa con ceniza dentro del relleno del pozo. Contiene arena mediana y grande, y mica.
7	9AA, 10BB	Limo 10YR 2/1, negro	Coyuche-Yuta Tiyoo	Tierra quemada asociado con Entierro 6-Inidividuo 6	Capa de tierra quemada debajo del esqueleto del E6-I6.
8	9AA, 10Z	Arcilla limosa 10YR 5/4, café amarilloso	Coyuche-Yuta Tiyoo	Desecho ocupacional o relleno constructivo	Formación no está claro. Contiene arena y mica.
9-s1	9AA, 10BB, 10Z	Limo 2.5Y 5/3, café olivo claro	Coyuche-Yuta Tiyoo	Relleno constructivo	Relleno de fecha no segura. Contiene una alta cantidad de material cultural, particularmente tiestos de cerámica.
9-s2	10BB	Migajón limoso 2.5Y 5/3, light olive Brown	Coyuche-Yuta Tiyoo	Relleno constructivo	Lente con mica, arena, y gravilla fina.
10-s1	9AA, 10BB	Arcilla limosa 10YR 5/4, café amarilloso	Chacahua tardío o Coyuche temprano	Relleno constructivo	Última capa de relleno antes de la reocupación del sitio en el periodo Clásico tardío
10s2	9AA, 10BB	Migajón limoso arcilloso 10YR 5/4, café amarilloso	Chacahua tardío o Coyuche temprano	Relleno constructivo	Capa delgada de sedimento grueso en el relleno, contiene concha, pequeñas piedras, mica, y arena. De color más claro que E10-s1.
11-s1	9AA, 10BB	Arcilla limosa 10YR 5/4, café amarilloso	Chacahua	Relleno constructivo	Relleno con inclusiones de mica y arena fina. Menos compacto que E10 y E12
11-s2	9AA, 10BB	Limo 10YR 5/4, café amarilloso	Chacahua	Relleno constructivo	Lente de concha y ceniza, más compacto que E8-s1. Color más claro que E8-s1
12-s1	9AA, 10BB	Arcilla arenosa 10YR 5/4, café amarilloso	Chacahua	Relleno constructivo	Relleno probablemente asociado con E11 o E13, pero su formación no está claro
12-s2	9AA	Arcilla 10YR 6/4, café amarilloso claro	Chacahua	Relleno constructivo	Muy compacto, posiblemente el fragmento de un bloque de adobe puesto en relleno
12-s3	9AA	Limo arcilloso 10YR 5/4, café amarilloso	Chacahua	Relleno constructivo	Relleno probable asociado con E9 o E11, pero formación no está clara.

Número de Estrato	Unidades	Descripciones de Munsell y Sedimento	Fecha Probable	Proceso de Formación	Comentarios
13-s1	9AA, 10BB	Limo 2.5Y 5/4, light olive brown	Chacahua	Relleno constructivo	Relleno con inclusiones de arena fina y mica. Más compacto que E12.
13-s2	9AA, 10BB	Migajón 10YR 6/3, café claro	Chacaho	Bloques de adobe	Bloques de adobe puesto en relleno, o parte de relleno estructurado.
14	9AA, 10BB	Limo 2.5Y 5/4, café olivo claro	Chacahua	Relleno constructivo	Relleno con inclusiones de arena fina y mica.
15-s1	9AA	Limo arcilloso 10YR 6/3, café claro	Chacahua	Relleno constructivo	Inclusiones de concha, arena, mica y pequeños fragmentos de bajareque quemado
15-s2	9AA, 10BB	Limo arcilloso 10YR 6/3, café claro	Chacahua	Relleno constructivo	Capa suelta con inclusiones de arena, mica, concha pulverizada, y fragmentos ocasionales de bajareque.
15-s3	9AA	Migajón limo 10YR 5/4, café amarilloso.	Chacahua	Relleno constructivo	Fragmento de bajareque oscuro usado como relleno.
15-s4	9AA	Migajón 10YR 6/4, café amarilloso claro	Chacahua	Relleno constructivo	Bloque de adobe puesto en relleno.
15-s5	9AA	Arcilla 10YR 6/4, café amarilloso claro	Chacahua	Relleno constructivo	Fragmento de adobe puesto en relleno. Más compacto y de color más claro que E15-s4.
15-s6	10BB	Migajón limoso arcilloso 10YR 6/4, café amarilloso claro	Chacahua	Relleno constructivo	Capa de relleno con inclusiones de arena y fragmentos pequeños de bajareque quemado
15-s7	10BB	Ceniza	Chacahua	Relleno constructivo	Lente de ceniza
15-s8	10BB	Limo arcilloso 10YR 6/3, café claro	Chacahua	Relleno constructivo	Bloque de adobe quemado puesto en relleno.
15-s9	10BB	Migajón arenoso 10YR 6/2, gris cafetoso claro	Chacahua	Relleno constructive	Lente de color gris, poco compactado, con alta cantidad de arena mediana y fina.
15-s10	10BB	Limo arcilloso 10YR 5/4, café amarilloso	Chacahua	Relleno constructivo	Lente dentro de relleno

Número de Estrato	Unidades	Descripciones de Munsell y Sedimento	Fecha Probable	Proceso de Formación	Comentarios
15-s11	10BB	Magajón 10YR 6/3, café claro	Chacahua	Relleno constructivo	Lente dentro de relleno

8.6.1 La fase Chacahua

La construcción de la fase Chacahua fue identificado solamente en las dos unidades más profundas de la Op. C, 10BB y 9AA (figuras 8.32, 8.33). Ambas unidades fueron excavadas a una elevación de aproximadamente 12.7 m sobre el nivel del mar.

Las capas de relleno E13, E14 y E15 fueron identificadas como pertenecientes al periodo Formativo terminal tardío. La más temprana de estas, E15, era un estrato heterogéneo consistiendo de sedimento arcilloso limoso con bloques de adobe y capas delgadas de ceniza. De manera parecida, E13 contaba con un número de bloques de adobe dentro del relleno. Ambos estratos pueden ser relleno estructurado Tipo 2, identificado por Joyce et al (2013:139-140), que consiste en bloques de adobe colocados dentro de relleno no consolidado. Entre las capas E13 y E15 en la unidad 10BB y una pequeña porción del lado norte de 9AA, se encontró una capa de relleno no consolidado (E14).

El E12, que consistió en canastas de relleno (E12-s1, E12-s3) y un bloque de adobe (E12-s2) fue colocado directamente encima de E13. El proceso de formación de este elemento no está claro, pero la cantidad baja de artefactos indica que estos tres subestratos fueron parte de un evento asociado con E13 (inmediatamente abajo) o E11, inmediatamente arriba.

Los bloques de adobe y las otras inclusiones en E12 a E15 eran concentrados en las porciones noroestes de ambas unidades, y pueden representar los vestigios de una estructura de tierra, los lados de la cual eran visibles en las excavaciones. Sin embargo, en el momento actual no hay suficiente

evidencia para apoyar esta posibilidad. En cualquier caso, las acciones que formaron E12 a E15 levantaron el nivel del montículo en esta área a 13.25 m sobre el nivel del mar.

No hay evidencia ni de una ocupación ni de una pausa en la construcción entre E13/E12 y las capas subsecuentes de relleno (E11, E10). E10 y E11 consistieron en relleno no consolidado. E11 media aproximadamente 25cm de profundo mientras que E9 llego a los 50cm de profundo. La más temprana de estas capas, E11, parece pertenecer a la fase Chacahua. Sin embargo, E10 contenía cerámica perteneciente a la fase Coyuche del Clásico temprano. Dado la falta de evidencia de una superficie ocupacional en la interface entre E10 y E11, parece probable que ambos estratos fueron parte de un evento de relleno perteneciente al final de la época Formativa o el inicio de la época Clásica. En la unidad 10BB, cerámica naranja de la fase Yuta Tiyoo era presente en elevaciones donde se encuentran E11 y E12. En la unidad 9AA, donde E11 y E12 eran intactos, no se encontró ninguna cerámica del Clásico tardío. La colocación de E10 levanto la plataforma en esta área a 13.7 msnm.

8.6.2 La Fase Coyuche

Como se mencionó arriba, la capa de relleno E10 contenía cerámica perteneciente a la fase Coyuche. De manera parecida, en la unidad 9AA la capa de relleno E9, de 25 cm de grueso, contenía cerámica de las fases Chacahua y Coyuche, con un solo tiesto de la fase Yuta Tiyoo. La fecha del estrato no está claro dado que el tiesto Yuta Tiyoo puede ser intrusivo por la presencia de varias raíces que penetran dentro de E9. La capa E9 levanto la plataforma a una elevación de 14 msnm. Dos capas de desecho ocupacional (E7 y E8) directamente encima de E9. E7 era una capa de tierra quemada quizás asociado con el entierro E6-I6, perteneciente a las fases Coyuche tardío o Yuta Tiyoo temprano. Puesto que E6-I6 era directamente cubierto por la capa de relleno E5, de la fase Yuta Tiyoo, parece pertenecer al periodo Clásico tardío (ver abajo).

8.6.3 La fase Yuta Tiyoo

La actividad más temprana del Clásico tardío, o la última actividad del Clásico temprano, era el entierro de dos individuos. E6-I6 era un entierro elaborado, consistiendo en el entierro extendido de un solo adulto masculino (figura 8.34), de 20 a 40 años de edad (ver Capitulo 10). El individuo tenía incrustaciones de pirita en sus incisivos maxilares y había dos vasijas de cerámica parcial a sus pies y cerca de su hombro derecho (figura 8.35). Estas vasijas tenían elementos diagnósticos de ambos los periodos Clásico temprano y Clásico tardío, lo que sugiere que el individuo fue enterrado al inicio del periodo Clásico tardío (figura 8.36). Debajo y al norte de esqueleto había una capa de sedimento organico y quemado (E7). No está claro que este elemento era asociado con el entierro o no, puesto que se extendió mucho más allá del área del entierro. E10-I11 era ubicado en la esquina noreste de 10BB (figura 8.40). Era muy perturbado por una raíz y no excavado por limitaciones de tiempo.

En algún momento después de la colocación de E7, E8, y E9, un pozo grande (E6) fue excavado dentro de este estrato y el relleno Formativo abajo. E6 era estratificado, contenido material orgánico, artefactos, y fragmentos de bajareque.

Posteriormente, todos estos elementos fueron cubiertos por E5, una capa delgada de relleno de aproximadamente 20-25cm de profundo que levanto la plataforma a 14.15 msnm. El E5 contenía varias piedras de un tamaño utilizado por el cimento de una superestructura, aunque no eran alineados de manera representativa de un edificio intacto.

Dos otros elementos más tardíos penetraron dentro de E5. El primero era un pozo de formación insegura (E4). El segundo era un entierro (E9-I10) que penetro dentro de E5 aunque solamente algunos centímetros del relleno del pozo fue identificado (E3). Localizado en la esquina noroeste de la unidad 10CC, el entierro no fue excavado por limitaciones de tiempo (figura 8.39).

El último depósito de la Op. C consistió en suelo (E1) y subsuelo (E2) que se formaron en el relleno del periodo Clásico tardío. Ambos estratos fueron muy perturbados por raíces. Dos lajas de piedra delgada fueron encontradas en la interface entre E1 y E2. Estas pueden representar los vestigios de una fachada de una plataforma de un edificio, aunque ninguna arquitectura parada era evidente en la Op. C. Dos tiestos pertenecientes a la fase Yugue fueron encontrados en E1, indicando que había actividad humana en el sitio durante el periodo Posclásico temprano. No está claro en qué consistían estas actividades.

8.6.4 Resumen

Las excavaciones en la Op. C aportaron nuevos datos sobre el plano y uso del área central del Montículo 3 en Loma Don Genaro. Durante el periodo Formativo, esta área del montículo fue construido a través de varios eventos de construcción. Las excavaciones no parecen haber descubierto elementos arquitectónicos parados en esta área. El uso del área durante la fase Coyuche no está claro. La ocupación pudo haber continuado desde el periodo Formativo terminal hasta el Clásico temprano. El área fue claramente ocupada al final de la fase Coyuche o al inicio de la fase Yuta Tiyoo, visible en las características transicionales de las vasijas del entierro E6-I6. Este individuo parece haber tenido un estatus elevado, por las incrustaciones elaboradas en sus incisivos. Probablemente hubo una pausa en las actividades durante una parte del periodo Clásico temprano en esta área del montículo aunque se necesita más información. La presencia de dos tiestos de la fase Yügue indica que las actividades humanas en el sitio continuaron durante este periodo, aunque la pequeña cantidad de artefactos muestra que la ocupación no fue significativa durante el Posclásico temprano.

8.7 Operación D

Las excavaciones de la Operación D consistían en dos transectos en la porción central-sur del Montículo 3, vinculados por una excavación en bloque. La Op D. consistió en 11 unidades de 1m x 1m, las cuales fueron ubicadas al sur de las Ops. A, B, y C (ver figura 8.2, 8.41). La Op. D se colocó cuesta abajo de las unidades de las Ops. A/B con la esperanza de encontrar basureros comparables con los hallados en Rio Viejo (ver Egan 2012; Arellano y Salazar Sánchez 2012) y Yugüe (Barber 2005). Al igual que la Op. C, las excavaciones en la Op. D descubrieron varios entierros del periodo Clásico, nueve en total, los cuales complicaron los esfuerzos para identificar elementos del periodo Formativo. Aunque ningún basurero fue encontrado, las excavaciones de la Operación D revelaron una serie de capas pertenecientes al periodo Formativo Terminal. Al igual que en las otras operaciones, la presencia de cerámica redepositda de la fase Miniyua indicó que Loma Don Genaro fue ocupado durante el periodo Formativo Terminal temprano aunque no se encontró ningún contexto primario de la fase Miniyua en la excavación. También había evidencia de relleno probable del periodo Clásico Temprano en la Op. D, evidencia que se vio también en las Ops. A y B al norte. Al igual que la Op. C, dos tiestos de cerámica de la fase Yugue fueron encontrados en la Op D, indicando una presencia ligera de actividad humana sobre el Montículo 3 durante el Posclásico temprano.

Esta sección presenta un resumen de la evidencia de actividad humana en la Op. D (ver Tabla 8.4). Fue posible correlacionar los estratos entre las unidades del bloque de excavación sur y la unidad 10A. La relación entre este grupo de unidades y las al norte (10I y en 10M en particular) y al este (16E, 20E) no esta tan clara. De manera parecida, no fue posible correlacionar los estratos entre estas cuatro unidades periféricas. Aquí se presenta la actividad humana de manera cronológica y después por unidad cuando correlaciones no eran posibles.

Tabla 8.4: Estratigrafía de la Op. D

Número de Estrato	Unidades	Descripciones de Munsell y Sedimento	Fecha Probable	Proceso de Formación	Comentarios
1	Todos	Arcilla limosa 10YR 4/3, Café	Yuta Tiyoo-Moderno	Suelo de superficie formado dentro de relleno o coluvión	Sedimento compacto y arcilloso de color oscuro y orgánico. Alta concentración de artefactos. Estructura moderada.
2-s1	10M	Arcilla limosa 10YR 5/4, café amarillento	Yuta Tiyoo-Moderno	Suelo formado dentro del relleno	Sedimento compacto con inclusiones de arena, mica, y altas cantidades de cerámica.
2-s2	10I	Arcilla limosa 10YR 5/4, café amarillento	Yuta Tiyoo-Moderno	Suelo formado dentro del relleno	Sedimento compacto arcilloso con cantidades altas de cerámica.
2-s3	20E	Migajón limoso 10YR 5/3, café	Yuta Tiyoo-Moderno	Suelo formado en coluvión	Sedimento compacto y arenoso, mal organizado con algunos artefactos.
2-s4	10A, 10E, 11E, 12E, 11F, 12D, 13D, 16E	Migajón limoso arcilloso 10YR 5/3, café	Yuta Tiyoo-Moderno	Suelo formado en el relleno	Suelo compacto y orgánico formado en el relleno del Clásico tardío. Grandes cantidades de artefactos, alguna estructura.
2-s5	11F	NA	Yuta Tiyoo	Capa delgada en el relleno	Sub-estrato compacto en el relleno.
3	10A	NA	Yuta Tiyoo	Relleno de pozo	Sedimento arcilloso compacto con algunos artefactos llenando un pozo poco profundo en E15-s1. Probablemente colocado al mismo tiempo que E2-s4.
4	20E	Migajón 10YR 5/4, café amarillento	Yuta Tiyoo	Coluvión	Capa de sedimento amarillo más gruesa y con pendiente. Más compacto que E5.
5	20E	Limo 10YR 5/4, café amarillento	Yuta Tiyoo	Coluvión	Capa delgada de coluvión con cuesta. Menos compacto que E7.

Número de Estrato	Unidades	Descripciones de Munsell y Sedimento	Fecha Probable	Proceso de Formación	Comentarios
6	20E	Limo 10YR 5/4, café amarillento	Yuta Tiyoo	Coluvión o basurero	Capa gruesa y heterogenia de compacidad variada. Más oscuro y más orgánico que los estratos alrededor. Contiene cerámica, piedras de rio, bajareque quemado, y otros artefactos.
7	20E	Limo con migajón 10YR 5/4, café amarillento	Yuta Tiyoo	Coluvión o relleno	Estrato compacto y limoso con pendiente. Contiene pocos artefactos, un poco de arena y bajareque quemado. Formación no está claro pero se puede tratar de un breve episodio de relleno o de coluvión. Artefactos y tierra quemada en la interface superior del estrato puede indicar un breve periodo de estabilidad de superficie.
8-s1	20E	Migajón 10YR 6/3, café claro	Yuta Tiyoo	Lente en coluvión	Lente compacto de migajón en el coluvión con cantidades densas de concha rota. Arena y bajareque quemado presente.
8-s2	20E	Migajón 10YR 6/3, café claro	Yuta Tiyoo	Coluvión o basurero	Capa gruesa de coluvión suelto con bandas horizontales de concha, ceniza, motas de carbono, y cerámica. Heterogéneo y mal organizado con grandes cantidades de arena.
8-s3	20E	Limo 10YR 5/4, café amarillento	Yuta Tiyoo	Lente en coluvión	Capa delgada de bajareque quemado en coluvión.
9	16E	Migajón arcilloso limoso 10YR 5/4, café amarillento	Yuta Tiyoo	Relleno de pozo de entierro	Relleno de pozo de entierro compacto y de color amarillo asociado con E8-I9. Cuenta con pequeños fragmentos de bajareque quemado y cerámica.
10-s1	16E	Arcilla limosa 10YR 5/4, café amarillento	Yuta Tiyoo	Relleno de pozo de entierro	Relleno del entierro E20-I27 compacto y de color amarillo. Liso con un poco de arena.

Número de Estrato	Unidades	Descripciones de Munsell y Sedimento	Fecha Probable	Proceso de Formación	Comentarios
10-s2	16E	Arcilla limosa 10YR 5/4, café amarillento	Yuta Tiyoo	Relleno de pozo de entierro	Relleno arcilloso moderadamente compacto. De color más oscuro que E10-s2. Contiene cantidades altas de cerámica y bajareque quemado.
10-s3	16E	Migajón limoso arcilloso 10YR 5/4, café amarillento	Yuta Tiyoo	Relleno de pozo de entierro	Relleno de migajón compacto. Contiene cerámica, fragmentos de bajareque quemado, y arena gruesa.
11-s1	10M	Arcilla limosa 10YR 5/4, café amarillento	Yuta Tiyoo	Relleno o superficie ocupacional	Se puede tratar de un evento de revestimiento muy delgado. Estrato muy compacto y arcilloso.
11-s2	10M	Migajón limoso 10YR 5/4, café amarillento	Yuta Tiyoo	Relleno o superficie ocupacional	Se puede tratar de un evento de revestimiento muy delgado. Capa de color amarilla y limosa con menos arena que E11-s3.
11-s3	10M	Migajón 10YR 4/3, café	Yuta Tiyoo	Desecho ocupacional	Capa gris, arenosa y con ceniza. Representa un periodo de actividad encima de la capa de E12.
12	10M	Migajón limoso arcilloso 10YR 5/4, café amarillento	Yuta Tiyoo	Relleno	Primer evento de relleno que puede ser claramente identificado como perteneciente al periodo Clásico Tardío en la unidad 10M.
13-s1	10I	Arcilla limosa 10YR 5/4, café amarillento	Yuta Tiyoo	Relleno	Primer evento de relleno claramente del Clásico tardío en la unidad 10I. Sedimento muy compacto y arcilloso. Puede ser contemporáneo con E12 en la unidad 10M. Incluye fragmentos de bajareque quemado, arena y mica, así como artefactos.
13-s2	10I	NA	Yuta Tiyoo	Lente dentro de relleno	Una capa delgada de material arenoso y grueso. Puede ser coluvión en la interface con E33.

Número de Estrato	Unidades	Descripciones de Munsell y Sedimento	Fecha Probable	Proceso de Formación	Comentarios
14-s1	12D, 13D	Migajón limoso arcilloso 10YR 5/4, café amarillento	Yuta Tiyoo	Relleno de pozo	Relleno de pozo compacto que penetra desde la superficie de E15. Más arenoso que E14-s2.
14-s2	12D, 13D	Arcilla limosa 10 YR 5/4, café amarillento	Yuta Tiyoo	Relleno de pozo	Relleno de pozo.
14-s3	12D, 13D	NA	Yuta Tiyoo	Relleno de pozo	Capa de relleno dentro de un pozo del Clásico tardío. Menos arenoso que E14-s2.
15-s1	10A, 10E, 11E, 11F, 12E, 12D, 13D	Arcilla limosa 10YR 5/4, café amarillento	Yuta Tiyoo	Relleno	Primera capa con fecha clara del periodo Clásico tardío en el bloque central de excavación, encontrado en todas las unidades de excavación en la parte sur de la operación. Compacto.
15-s2	10A	Arcilla limosa 10YR 5/4, café amarillento	Yuta Tiyoo	Relleno	Capa de sedimento más arenoso, probablemente una canasta de relleno.
16-s1	10M	Limo 10Yr 5/3, café	Yuta Tiyoo	Relleno de pozo	Relleno suelo y con ceniza de un pozo poco profundo
16-s2	10M	Limo 10YR 5/4, café amarillento	Yuta Tiyoo	Relleno de pozo	Más compacto que 16-s1 y con menos ceniza. Contiene inclusiones de bajareque quemado.
17	10A	Arcilla limosa 10YR 5/4, café amarillento	Coyuche tardío o Yuta Tiyoo temprano	Relleno de pozo	Relleno compacto de arcilla limosa dentro del cual lajas de piedra fueron colocadas. Puede ser el borde de un entierro. Sedimento parece ser E19 redepositado y compactado.
18-s1	10A	Migajón limoso arcilloso 10YR 5/4 café amarillento	Coyuche tardío o Yuta Tiyoo temprano	Relleno de pozo de entierro	Capa de relleno en un pozo de entierro para el E1-I1 y E1-I17. Más compacto que E18-s2.
18-s2	10A	Migajón limoso arcilloso 10YR 5/4 café amarillento	Coyuche tardío o Yuta Tiyoo temprano	Relleno de pozo de entierro	Relleno de pozo de entierro

Número de Estrato	Unidades	Descripciones de Munsell y Sedimento	Fecha Probable	Proceso de Formación	Comentarios
18-s3	10A	Migajón limoso arcilloso 10YR 5/4 café amarillento	Coyuche tardío o Yuta Tiyoo temprano	Relleno de pozo de entierro	Capa delgada en un pozo de un entierro conteniendo por lo menos una vasija completa.
18-s4	10A	Arcilla con migajón 10YR 5/4, café amarillento	Coyuche tardío o Yuta Tiyoo temprano	Relleno de pozo de entierro	Capa compacta y con migajón en un pozo de entierro. Menos arcillosa que los otros estratos en el pozo.
19	10A	Arcilla limosa 10YR 5/4, café amarillento	Coyuche tardío o Yuta Tiyoo temprano	Relleno	Capa de relleno compacto con artefactos. Probablemente cronológicamente equivalente a E24 en las unidades 10-12E y 12-13D.
20	10A	Migajón 10YR 5/4, café amarillento	Coyuche tardío o Yuta Tiyoo temprano	Desecho ocupacional	Formacion y fecha no esta claro. Puede ser última ocupación del Formativo terminal o el inicio del periodo Clásico. Una capa de arena en la interface entre E24 y E21. Puede ser los vestigios de actividades ocupacionales o una capa delgada dentro del relleno.
21	10A	Arcilla limosa 10YR 5/4, café amarillento	Coyuche tardío o Yuta Tiyoo temprano	Relleno	Fecha insegura por este estrato por dos pozos más tardíos (E18 y E17) que lo corta. Puede ser el último depósito del Formativo terminal o el primer evento de relleno del periodo Clásico.
23	11E	NA	Coyuche tardío o Yuta Tiyoo temprano	Desecho ocupacional	Pequeño depósito de ceniza, tierra quemada, y artefactos en la interface entre E24 y E15. .
24	10E, 11E, 12E, 12D, 13D	Arcilla limosa 10YR 5/4, café amarillento	Coyuche tardío o Yuta Tiyoo temprano	Relleno	Compacto y muy perturbado por la bioturbación. La presencia de desecho ocupacional en la interface con E15, así como el hecho de que varios pozos de entierro terminan en esta misma interface sugiere que había un periodo de estabilidad de superficie después de que este pozo fue colocado.

Número de Estrato	Unidades	Descripciones de Munsell y Sedimento	Fecha Probable	Proceso de Formación	Comentarios
25-s1	12D	Limo 10YR 5/4, café amarillento	Coyuche tardío o Yuta Tiyoo temprano	Relleno de pozo	Relleno de limo compacto en un pozo de propósito desconocido.
25-s2	12D	Limo 10YR 4/3, café	Coyuche tardío o Yuta Tiyoo temprano	Relleno de pozo	Capa suelta y con ceniza en un pozo con inclusiones de grava fina y arena.
25-s3	12D	Arcilla limosa 10YR 5/4, café amarillento	Coyuche tardío o Yuta Tiyoo temprano	Relleno de pozo	Capa en el relleno de un pozo. Moderadamente compacto, con inclusiones de arena y mica.
26	11E	NA	Coyuche tardío o Yuta Tiyoo temprano	Relleno de pozo de entierro	Pozo de entierro de un entierro saqueado (E19-I26).
27-s1	13D	Migajón 10YR 5/4, café amarillento	Coyuche tardío o Yuta Tiyoo temprano	Relleno de pozo de entierro	Relleno arenoso muy compacto alrededor de E16-I19.
27-s2	13D	Arcilla limosa 10YR 5/6, café amarillento	Coyuche tardío o Yuta Tiyoo temprano	Relleno de pozo de entierro	Relleno alrededor de E16-I19.
27-s3	13D	Limo, 10YR 5/4, café amarillento	Coyuche tardío o Yuta Tiyoo temprano	Relleno de pozo de entierro	Relleno compacto alrededor de E16-I16.
28-s1	13D	Limo 10YR 6/4, café amarillento claro	Coyuche tardío o Yuta Tiyoo temprano	Relleno de pozo de entierro	Relleno limoso compacto alrededor de E15-I16.
28-s2	12E, 13D	Arena, 10YR 5/3, café	Coyuche tardío o Yuta Tiyoo temprano	Relleno de pozo de entierro	Capa delgada de arena en el relleno alrededor de E15-I16.
29-s1	10E, 11E, 12E, 12D, 13D	Arcilla limosa 10YR 5/4, café amarillento	Coyuche tardío o Yuta Tiyoo temprano	Relleno	Primer evento de relleno de periodo Clásico en Op D. Cubre los entierros E7-I7/E7-I8 y E13-I14 en las unidades 12D/13D y E1-I1/E1-I17 en la unidad 10E.
29-s2	11E, 12D	Arcilla limosa 10YR 5/4, café amarillento	Coyuche tardío o Yuta Tiyoo temprano	Relleno	Subestrato en el relleno, puede representar una canasta de sedimento.

Número de Estrato	Unidades	Descripciones de Munsell y Sedimento	Fecha Probable	Proceso de Formación	Comentarios
30-s1	12D, 13D	Arcilla limosa 10YR 5/4, café amarillento	Coyuche tardío o Yuta Tiyoo temprano	Relleno de pozo de entierro	Relleno muy compacto en un pozo por E13-I14.
30-s2	12D, 13D	Arcilla 10YR 6/4, café amarillento claro	Coyuche tardío o Yuta Tiyoo temprano	Relleno de pozo de entierro	Estrato muy compacto con grandes fragmentos de bajareque quemado.
30-s3	12D, 13D	Migajón limoso 10YR 5/4, café amarillento	Coyuche tardío o Yuta Tiyoo temprano	Relleno de pozo de entierro	Relleno de entierro compacto, más oscuro en color que E30-s4.
30-s4	12D, 13D	Arcilla limosa, 10YR 5/4, café amarillento	Coyuche tardío o Yuta Tiyoo temprano	Relleno de pozo de entierro	Relleno compacto alrededor de E13-I14.
31	12D	Arcilla limosa 10YR 6/4, café amarillento claro	Coyuche tardío o Yuta Tiyoo temprano	Relleno de pozo	Relleno homogéneo de pozo. Propósito del pozo desconocido. Puede ser la extensión al sur del pozo del entierro 7.
32-s1	16E	Migajón 10YR 5/4, café amarillento	Coyuche o Chacahua tardío	Relleno	Capa de relleno de fecha insegura por la perturbación de pozos de entierros posteriores. Contiene arena gruesa. Más grueso que E32-s2 y de color más oscuro.
32-s2	16E	Migajón limoso arcilloso 10YR 5/4, café amarillento	Coyuche o Chacahua tardío	Relleno	Capa compacto de fecha insegura. Pocos artefactos presentes.
33	10I	Migajón 10YR 5/4, café amarillento	Coyuche	Relleno	Relleno de fecha insegura por la alta perturbación de pozos posteriores. Sedimento compacto con artefactos y arena gruesa.

Número de Estrato	Unidades	Descripciones de Munsell y Sedimento	Fecha Probable	Proceso de Formación	Comentarios
34-s1	10I	Arcilla limosa 10YR 5/4, café amarillento	Coyuche	Desecho ocupacional o relleno	Depósito de fecha y formación insegura. Puede ser desecho ocupacional depositado después del Formativo terminal, o una capa del Clásico temprano. Sedimento grueso con arena y grava fina así como artefactos. Puede representar un sub-estrato de E33.
34-s2	10I	Limo 10YR 5/4, café amarillento	Coyuche	Desecho ocupacional o relleno	Sedimento grueso con arena y artefactos. Más amarillento que E34-s1.
35	16E	Migajón arenoso 10YR 5/4, café amarillento	Chacahua	Superficie ocupacional	Superficie ocupacional probable consistiendo en una banda delgada de arena gruesa y grava fina. También se puede tratar de coluvión.
36-s1	16E	Limo 10YR 5/4, café amarillento	Chacahua	Relleno	Capa compacta con inclusiones de arena fina y mica.
36-s2	16E	Migajón arcilloso limoso 10YR 5/4, café amarillento	Chacahua	Relleno	Capa compacta con migajón e inclusiones de arena y mica.
37-s1	16E	Limo 10YR 5/4, café amarillento	Chacahua	Coluvión o relleno	Capa compacta de arena y grava fina.
37-s2	16E	Arcilla limosa 10YR 5/3, café	Chacahua	Coluvión o desecho ocupacional	Capa de ceniza oscura y orgánica con carbono. Formación no está claro pero puede indicar una capa ocupacional, un basurero, o coluvión.
37-s3	16E	Migajón arenoso 10YR 5/3, café	Chacahua	Coluvión o desecho ocupacional	Capa suelta y con ceniza con arena, artefactos, y altas cantidades de concha. Formación no está claro pero puede indicar una capa ocupacional, un basurero, o coluvión de las actividades llevadas a cabo en la cima del Montículo 3.

Número de Estrato	Unidades	Descripciones de Munsell y Sedimento	Fecha Probable	Proceso de Formación	Comentarios
37-s4	16E	Arcilla limosa 10YR 5/4, café amarillento	Chacahua	Coluvión o desecho ocupacional	Puede ser el mismo estrato que E37-s5.
37-s5	16E	Limo 10YR 6/3, café claro	Chacahua	Coluvión o relleno	Capa de limo compacto con una densidad alta de artefactos. Formación no está claro pero puede ser relleno, un basurero, o coluvión.
37-s6	16E	Migajón arenoso, 10YR 5/3, café	Chacahua	Coluvión o desecho ocupacional	Capa suelta y con ceniza, pero sin concha visible. Formación no está claro pero puede indicar una capa ocupacional, basurero, o coluvión de las actividades llevadas a cabo en la cima del Montículo 3.
38	16E	Arcilla limosa 10YR 5/4, café amarillento	Chacahua	Coluvión o desecho ocupacional	Formación no está claro pero puede ser un subestrato de E39. De color más claro que E39, contiene más artefactos y cantidades de concha más alto que E39.
39	16E	Migajón arenoso 10YR 5/4, café amarillento	Chacahua	Coluvión o desecho ocupacional	Capa delgada y suelta con ceniza, cerámica, y arena gruesa. Formación no está claro pero puede ser coluvión de las actividades cerca de la cima del Montículo 3.
40	16E	Arcilla limosa 10YR 6/3, café claro	Chacahua	Relleno	Capa compacta con arcilla limosa e inclusiones de arena, mica, concha y bajareque.
41-s1	10M	Limo 10YR 5/4, café amarillento	Chacahua	Relleno	Capa compacta y de color gris oscuro. Última capa del Formativo Terminal en esta unidad.
41-s2	*10M*	*NA*	*Chacahua*	Relleno	Capa de relleno, puede representar una canasta de sedimento de relleno.
41-s3	10M	Migajón limoso 10YR 5/4, Café amarillento	Chacahua	Relleno	Menos compacto que E41-s1. Con arena fina.
41-s4	10M	Migajón arenoso 10YR 5/4, café amarillento	Chacahua	Capa delgada en el relleno	Capa delgada de arena fina compacta.

Número de Estrato	Unidades	Descripciones de Munsell y Sedimento	Fecha Probable	Proceso de Formación	Comentarios
42-s1	10M	Arcilla limosa 10YR 6/4, café amarillento claro	Chacahua	Relleno	Capa compacto con alta cantidad de arena, concha y grava fina.
42-s2	10M	Arcilla limosa 10YR 6/4, café amarillento claro	Chacahua	Relleno	Capa que rellena una depresión en E46 y cubre elementos quemados en E44 y E45.
43	10M	Migajón limoso 10YR 6/3, café claro	Chacahua	Desecho ocupacional	Capa suelta con ceniza en la interface entre E44 y E41-s2. Inclusiones de arena, concha quemada y no quemada, y mica.
44-s1	10M	Migajón 10YR 5/4, café amarillento	Chacahua	Elemento quemado	Elemento quemado que penetra desde la superficie superior de E46. Muy suelto con ceniza e inclusiones de tierra quemada, arena, mica y grava fina.
44-s2	10M	Migajón arcilloso limoso 10YR 5/8, café amarillento	Chacahua	Elemento quemado	Bordes rojos quemados en este elemento parecido a una trinchera.
44-s3	10M	Migajón arcilloso limoso 10YR 5/4, café amarillento	Chacahua	Elemento quemado	Más compacto que los demás estratos en este elemento.
45	10M	Migajón arenoso 10YR 6/2, light brownish gray	Chacahua	Elemento quemado	Elemento quemado que penetra desde la superficie superior de E46. Sedimento suelto y con ceniza con inclusiones de tierra quemada.
46	10M	Arcilla limosa 10YR 6/4, café amarillento claro	Chacahua	Relleno	Relleno compacto con inclusiones de bajareque quemado, mica, y una cantidad alta de concha fragmentada.
47	*10l*	*Limo 10YR 5/4, café amarillento*	*Chacahua*	*Relleno*	Última capa de relleno del Formativo Terminal. Sedimento amarillo y limoso con inclusiones de arena gruesa.

Número de Estrato	Unidades	Descripciones de Munsell y Sedimento	Fecha Probable	Proceso de Formación	Comentarios
48	10l	Migajón arenoso 10YR 5/4, café amarillento	Chacahua	Superficie ocupacional	Superficie gruesa
49	10l	Migajón limoso 10YR 5/4, café amarillento	Chacahua	Relleno	Relleno de color amarillo con inclusiones de arena, mica y concha.
50-s1	10l	Migajón 10YR 6/3, café claro	Chacahua	Desecho ocupacional	Capa suelta con ceniza y una cantidad alta de artefactos. Inclusiones de arena, mica, y concha.
50-s2	10l	Migajón arenoso 10YR 5/4, café amarillento	Chacahua	Desecho ocupacional	Capa delgada de concha, arena y grava fina.
51-s1	10l	Arcilla limosa 10YR 5/4, café amarillento	Chacahua	Relleno	Capa compacta con inclusiones de arena, artefactos y concha.
51-s2	10l	Arcilla limosa 10YR 5/4, café amarillento	Chacahua	Relleno	Ligeramente más amarillo que 51-s1.
52	10l	Migajón limoso arcilloso 10YR 5/4, café amarillento	Chacahua	Desecho ocupacional	Capa suelta con ceniza y cantidades altas de artefactos, concha, arena, y fragmentos de bajareque.
53-s1	10l	Migajón arenoso 10YR 4/4, café amarillento oscuro	Chacahua	Relleno	Capa delgada arenosa en relleno
53-s2	10l	Migajón 10YR 3/4, café amarillento oscuro	Chacahua	Relleno	Capa de sedimento quemado en relleno

Número de Estrato	Unidades	Descripciones de Munsell y Sedimento	Fecha Probable	Proceso de Formación	Comentarios
53-s3	10l	Arcilla limosa 10YR 5/6, café amarillento	Chacahua	Relleno	Relleno compacto y limoso con concentraciones de arcilla. Contiene fragmentos de bajareque quemado con motitas de carbono así como arena, mica y concha.
54-s1	10l	Migajón 10YR 5/4, café amarillento	Chacahua	Superficie ocupacional	Vestigios quemados de una superficie ocupacional
54-s2	10l	Migajón arenoso 10YR 4/4, café amarillento oscuro	Chacahua	Desecho ocupacional o relleno	Capa arenosa con inclusiones de micha y concha.
54-s3	10l	Migajón arenoso 10YR 3/3, café oscuro	Chacahua	Superficie ocupacional o desecho ocupacional	Probablemente los vestigios quemados de una superficie ocupacional.
55	10l	Migajón limoso arcilloso 10YR 5/8, café amarillento oscuro	Chacahua	Relleno	Capa de relleno que cubre lo que puede haber sido una depresión.
56	10l	Migajón limoso arcilloso 10YR 4/4, café amarillento oscuro	Chacahua	Relleno	Capa de relleno limoso con inclusiones de arena, mica, y pequeños fragmentos de bajareque quemado.
57	10l	Arena limosa 10YR 4/4, café amarillento oscuro	Chacahua	Elemento quemado	Posible fogón. Contiene arena, mica, concha, y pequeños fragmentos de bajareque.
58-s1	10l	Migajón limo 10YR 5/4, café amarillento	Chacahua	Desecho ocupacional	Capa delgada de migajón.
58-s2	10l	Loamy sand 10YR 4/3, café	Chacahua	Desecho ocupacional	Capa de material orgánico quemado, contiene ceniza y motas de carbono. Asociado con E57.

Número de Estrato	Unidades	Descripciones de Munsell y Sedimento	Fecha Probable	Proceso de Formación	Comentarios
58-s3	10I	Igual que arriba	Chacahua	Desecho ocupacional	Tierra roja quemada asociada con E57.
59-s1	10I	Migajón arcilloso limoso 10YR 4/6, café amarillento oscuro	Chacahua	Relleno	Relleno compacto con migajón y menos inclusiones que E61. Contiene arena, mica, y pequeños fragmentos de bajareque.
60-s1	10I	Migajón arenoso 10YR 5/6, café amarillento	Chacahua	Superficie ocupacional o desecho ocupacional	Banda delgada y de sedimento grueso con artefactos y carbono
60-s2	10I	Migajón arenoso 10YR 4/3, café	Chacahua	Lente de carbón	Capa delgada de material orgánico quemado en la interface entre E61 y E60-s1
61	10I	Arcilla limosa 10YR 4/6, café amarillento oscuro	Chacahua	Relleno	Capa de relleno limosa con motas de arcilla, concha, mica y arena fina.
62-s1	10I	Arcilla 10YR 4/6, café amarillento oscuro	Chacahua	Superficie ocupacional quemado	Capa delgada de arcilla quemada, puede ser el vestigio de un piso quemado o de una superficie ocupacional
62-s2	10I	Arena con migajón 10YR 5/4, café amarillento	Chacahua	Superficie ocupacional o relleno	Capa delgada de arena.
63-s1	10E, 11E, 12E, 12D, 13D, 10A	Arena con migajón 10YR 5/4, café amarillento	Chacahua	Superficie ocupacional	Capa más compacto de arena con un color más oscuro indicando contenido orgánico. Última capa ocupacional perteneciente al periodo Formativo terminal.
63-s2	12D	Migajón 10YR 6/4, café amarillento claro	Chacahua	Desecho ocupacional	Capa en la interface entre e63-s1 y E64
63-s3	12D	NA	Chacahua	Desecho ocupacional	Capa delgada en la interface entre E63-s1 y E64.

Número de Estrato	Unidades	Descripciones de Munsell y Sedimento	Fecha Probable	Proceso de Formación	Comentarios
64	10E, 11E, 12E, 12D, 10A	Limo arcilloso 10YR 5/4, café amarillento	Chacahua	Relleno	Última capa de relleno durante el periodo Formativo Terminal. Compacto y limoso, con inclusiones de arena, concha, y mica.
65	12D, 13D	Arcilla 10YR 5/4, café amarillo	Chacahua	Relleno o superficie ocupacional	Capa delgada, compacta y arcillosa con inclusiones de arena y pequeños fragmentos de bajareque quemado. O una capa de relleno delgada o una superficie ocupacional.
66	*12D, 13D*	*Limo arcilloso 10YR 5/4, café amarillo*	*Chacahua*	*Relleno*	Evento de relleno delgado con inclusines de arena, mica y grava fina. De color mas claro que E65.
67	*10A*	*Limo arcilloso 10YR 6/3, café claro*	*Chacahua*	*Relleno*	Relleno delgado y moderadamente compacto que puede ser un sub-estrato de E66. Inclusiones de arena fina, mica, y pequenos fragmentos de bajareque quemado.
68	10A	Limo con migajón 10YR 6/3, café claro	Chacahua	Desecho ocupacional	Capa de sedimento arenoso con ceniza que representa probablemente un episodio de ocupación. Puede ser contemporaneo con 63-s3.
69-s1	10E, 11E, 12E, 12D, 13D	Migajón arenoso 10YR 5/4, café amarillento	Chacahua	Desecho ocupacional	Capa suelta de sedimento arenoso con ceniza e inclusiones de mica, grava y concha quemada y no quemada.
69-s2	12E	NA	Chacahua	Lente de ceniza	Lente de ceniza en la interface entre E69-s1 y E69-s3.
69-s3	12E, 11E, 10E	Migajón arenoso 10YR 6/3, café claro	Chacahua	Relleno o Desecho ocupacional	Posible superficie ocupacional consistiendo de una capa de arena de grosor variable
70	10A	Migajón arenoso 10YR 5/4, café amarillento	Chacahua	Relleno de pozo	Posible relleno de pozo, identificado por su textura arenosa. Pocos artefactos presente. Inclusiones de mica, fragmentos de concha y pequeños pedazos de bajareque quemado.
71-s1	10A	Arcilla limosa 10YR 6/3, café claro	Chacahua	Relleno	Capa de relleno con inclusiones de arena, concha y mica. Más compacto que E71-s2.

Número de Estrato	Unidades	Descripciones de Munsell y Sedimento	Fecha Probable	Proceso de Formación	Comentarios
71-s2	10A	Limo 10YR 5/4, café amarillento	Chacahua	Relleno	Capa de relleno con inclusiones de arena, fragmentos de bajareque, y mica. Menos compacto que 71-s1.
72-s1	13D	Arena con migajón 10YR 5/4, café amarillento	Chacahua	Lente de ceniza dentro de relleno	Capa delgada de ceniza suelta E72-s5.
72-s2	12D	Arcilla limosa 10YR 6/4, café amarillento claro	Chacahua	Bloque de adobe en el relleno	Bloque de adobe colocado dentro de E72-s4
72-s3	12D	Arcilla 10YR 6/4, café amarillento claro	Chacahua	Bloque de adobe en el relleno	Bloque de adobe colocado dentro de E72-s4
72-s4	12D	Migajón limoso 10YR 5/4, café amarillento	Chacahua	Relleno	Capa de relleno limoso con inclusiones de arena, mica, fragmentos de bajareque, y bloques de adobe (E72-s2, E72-s3). Penúltimo evento de revestimiento de la fase Chacahua.
72-s5	13D	Migajón arenoso 10YR 6/3, café claro	Chacahua	Relleno	Capa de relleno amarillento con concha y concha quemada, arena, mica, y gravailla fina. Penultimo evento de revestimiento de la fase Chacahua.
72-s6	12D	Migajón arenoso 10YR 6/3, café claro	Chacahua	Lente dentro de relleno	Lente de arena y concha dentro de E72.
72-s7	12E	Limo arcilloso 10YR 6/4, café amarillento claro	Chacahua	Relleno	Capa de bandas compactas de relleno limoso. Contiene arena, mica, y gravilla fina. Penúltima capa de revestimiento de la fase Chacahua.
73-s1	11E, 12D	Migajón arcilloso limoso 10YR 6/3, café claro	Chacahua	Elemento quemado	Capa de sedimento grueso con ceniza con altas cantidades de arena, artefactos, concha, mica, y gravilla. Ceniza muy suelta y de color blanco en algunas áreas. Quizás un fogón.

Número de Estrato	Unidades	Descripciones de Munsell y Sedimento	Fecha Probable	Proceso de Formación	Comentarios
73-s2	11E, 12D	NA	Chacahua	Elemento quemado	Lente de sedimento rojo quemado en lo que pudo haber sido un fogón.
73-s3	11E	NA	Chacahua	Elemento quemado	Capa de ceniza dentro del elemento quemado
74	13D	Limo 10YR 5/4, café amarillento	Chacahua	Elemento quemado	Tierra quemada debajo del elemento E73. Quizas contemporaneo con E79.
75	13D	Migajón arenoso 10YR 5/3, café	Chacahua	Desecho ocupacional	Capa gruesa con grandes cantidades de arena, ceniza y artefactos. Quizás asociado con E77 o E72-s7.
76	13D	Migajón arenoso 10YR 5/4, café amarillento	Chacahua	Relleno	Quizás contemporáneo con E77 o E72-s7.
77	12E	Limo arcilloso 10YR 5/4, café amarillento	Chacahua	Desecho ocupacional	Capa ocupacional con ceniza e inclusiones de bajareque quemado, fragmentos de concha quemada y no quemada, arena, y mica.
78-s1	12E	Limo arcilloso 10YR 6/4, café amarillento claro	Chacahua	Relleno	Menos compacto que E78-s2 con inclusiones de arena, mica y algunos fragmentos de concha.
78-s2	12E	Limo 10YR 6/4, café amarillento claro	Chacahua	Relleno	Capa compacta con inclusiones de arena y mica.
79	12E	Limo arcilloso 10YR 5/4, café amarillento	Chacahua	Superficie ocupacional o desecho ocupacional	Posible superficie ocupacional erosionada. Contiene arena, mica, y concha.
80-s1	12E	Limo arcilloso 10YR 6/4, café amarillento claro	Chacahua	Elemento quemado	Deposito arenoso y con ceniza con inclusiones de concha quemada y no quemada. Quizás parte de un pequeño fogón. Todos los subestratos de E80 colindan con un estrato vertical de tierra roja y quemada.

Número de Estrato	Unidades	Descripciones de Munsell y Sedimento	Fecha Probable	Proceso de Formación	Comentarios
80-s2	12E	Migajón 10YR 6/4, café amarillento claro	Chacahua	Elemento quemado	Capa arenosa con inclusiones de concha y mica. Probable parte de un pequeño fogón.
80-s3	12E	Migajón 10YR 5/4, café amarillento	Chacahua	Elemento quemado	Capa arenosa probable parte de un pequeño fogón.
80-s4	12E	Arcilla limosa 10YR 6/4, café amarillento claro	Chacahua	Elemento quemado	Capa compacto en la base de lo que era probablemente un pequeño fogón.
81-s1	12E	Migajón arenoso 10YR 6/3, café claro	Chacahua	Elemento quemado	Depósito con ceniza e inclusiones de concha quemada y no quemada, arena, fragmentos de bajareque o tierra quemada, y mica.
81-s2	12E	Migajón arenoso 10YR 5/8, café amarillento	Chacahua	Elemento quemado	Capa roja, quizás el interior quemado de un pequeño fogón.
82	12E	Limo arcilloso 10YR 6/4, café amarillento claro	Chacahua	Relleno	Capa de relleno con inclusiones de arena, mica y grava fina. Tres pequeños fogones cortan dentro de esta capa. Superficie del estrato probablemente era un área ocupacional.
83-s1	12E	Migajón 10YR 5/4, café amarillento	Chacahua	Desecho ocupacional o relleno	Posible superficie ocupacional o evento de relleno delgado.
83-s2	12E	Migajón limoso arcilloso 10YR 5/4, café amarillento	Chacahua	Desecho ocupacional o coluvión	Posibles capas ocupacionales o episodio breve de erosión.
84	12E	Migajón arenoso 10YR 5/4, café amarillento	Chacahua	Desecho ocupacional	Capa ocupacional densa con arena y ceniza.

Número de Estrato	Unidades	Descripciones de Munsell y Sedimento	Fecha Probable	Proceso de Formación	Comentarios
85	12E	Limo arcilloso, 10YR 5/4, café amarillento	Chacahua	Relleno	Alta cantidad de arena fina.

8.7.1 *Fase Chacahua*

Una pequeña cantidad de tiestos de cerámica del periodo Miniyua de la época Formativa Terminal fue encontrada en las unidades más profundas de la Op. D, indicando que el sitio fue ocupado durante este periodo. Sin embargo, los depósitos más tempranos de la operación consistieron en una serie de eventos de relleno alternando con desecho representando episodios de ocupación durante la fase Chacahua. Estas capas fueron encontrados en las unidades 10I (elementos 45 a 60; figura 8.42) y 12E (elementos 63 a 66, 69, 72, 74, 77 a 85; figura 8.43) pero también eran presentes a lo largo del bloque central de las excavaciones (figuras 8.44, 8.45) y también en la unidad 10A (elementos 63-s1, 64, 67, y 68; Figura 8.46, 8.47). En total, un área de por lo menos 9m (n-s) por 4m (e-o) fue cubierta por este patrón alternante de relleno y desecho entre las elevaciones de 12.6 y 11.4 msnm. El proceso de formación general de estos depósitos incluyo la colocación de capas de sedimento limoso homogéneo entre 10 a 30 cm de grueso (compara E82 en la unidad 12E o E51 en la unidad 10I con E64 en la unidad 12E o E49 en la unidad 10I). La superficie expuesta de estas capas de relleno sirvió como superficies ocupacionales informales, y no pisos preparados, sobre los cuales desecho ocupacional se acumuló. Este desecho incluyo capas de arena gruesa que pueden representar episodios de erosión cuando sedimento más pesado fue transportado por agua durante temporadas de lluvia (ver Capitulo 4, este volumen). Aunque en algunas instancias pisos preparados pudieron haber sido construidos (por ejemplo, el Elemento 69-s3 en la unidad 12E o E48 en 10I). Sin importar si una capa arenosa era presente, cada capa

de relleno fue también cubierta por uno o más depósitos de sedimento ceniciento y suelto conteniendo concha, bajareque quemado y otros artefactos (Elementos 84, 77, 73-s1, 69-s1, 52 y 50-s1).

No esta exactamente claro cómo se formaron estos estratos orgánicos y llenos de artefactos. Pueden representar la acumulación de basura en los bordes de áreas de actividad. El E50 en la unidad 10I puede ejemplificar este tipo de depósito, puesto que tenía sedimento particularmente suelto, orgánico, y lleno de artefactos. Se puede tratar del resultado de la quema de estructuras efémeras tal como ramadas o palapas, el desecho de las cuales fue dejado *in situ* cuando una superficie volvió a ser cubierta por relleno nuevo. De manera parecida, este desecho pudo haber sido traído de cerca como relleno cuanto se hizo el revestimiento de las superficies ocupacionales. Es muy posible que alguna combinación de actividades formó los diferentes depósitos de ceniza en la operación. En total, hubo por lo menos seis episodios diferentes de ocupación y relleno expuestos en el bloque central y en la unidad 10I.

Hubo varios contextos primarios asociado con estos estratos. El más temprano era una serie de elementos quemados en las unidades 12E y 10I[1]. En la unidad 12E, tres pequeños pozos llenados de ceniza y revestido por tierra quemada fueron identificados. E80 y E81 se pueden apreciar en perfil (ver figura 8.43). El tercero era aparente en planta. Los tres elementos fueron cortados desde la interface superior de la capa de relleno E82, a una elevación de (11.9 snm). Estos tres elementos pueden representar fogones. Otro elemento quemado temprano era presente en la unidad 10I (E57) que penetro desde la superficie de las capas de relleno E59 (11.35 snm). Un tercer elemento quemado bien conservado fue localizado en la unidad 11E (E73; ver Figura 8.48). Por la presencia de varias pequeñas piedras en el borde de la capa con ceniza y la presencia de una gran área de tierra quemada (E73-s2)

[1] En elemento más temprano probablemente era presente en el piso de la unidad 12E, sin embargo no había suficiente tiempo para excavar este elemento durante la temporada de campo de 2013.

debajo de la ceniza, este elemento pudo haber sido un fogón revestido con piedras. Era asociado con E72, el penúltimo evento de relleno de la fase Chacahua en el bloque central de la Op D. Por su elevación arriba del nivel del mar (12.4 snm), dos elementos quemados (E44, E45; ver figura 8.49, 8.50) en 10M pueden pertenecer a una fecha más tardía que los ya discutidos. Ambos estratos cortan a través de la misma capa de relleno no consolidado (E46). Al igual que los demás elementos discutidos, ambos cortan desde la interface superior de una capa de relleno, contenían sedimento arenoso y con ceniza, y fueron revestidos con tierra roja quemada (E44-s2).

Un solo entierro de la fase Chacahua fue identificado (E14-I15) en el muro oeste de la unidad 12E. Un solo fémur de adulto fue encontrado, junto con dos molares. El entierro se halló en buen estado de preservación, aunque no se pudo excavar por falta de tiempo.

El grupo de elementos en el bloque central de la Op D, la unidad 10A, y la unidad 10I sugiere un área de actividad doméstica, probablemente de preparación de comida. La falta de ofrendas, así como los encontrados en la Op. D, apoya la idea que la sección del Montículo 3 descubierto por la Op. D fue utilizado por fines domésticos. La cantidad alta de fogones, así como de ceniza y concha quemada, indica la preparación de comida. La presencia de múltiples eventos de revestimiento sugiere también que esta área fue utilizada para la preparación de comida puesto que la colocación frecuente de bandas angostas de relleno hubiera limitado alimañas y olores. El hecho que los fogones y los pisos fueron preservados indica que por lo menos secciones de esta área pudo haber sido techado, pero no se halló evidencia de ninguna superestructura importante de cualquier tipo. La falta de construcciones puede también indicar que el área era utilizado para la preparación de comida ya que estas actividades se llevaban a cabo en áreas abiertas o afuera. La presencia de un entierro en lo que pudo haber sido una área de preparación de comida requiere más investigación. Es posible que los espacios descubiertos en

la excavación de la Op. D formaban parte de un patio domestico y/o que los vestigios de las estructuras residenciales están justo afuera del área excavado.

Se expusieron también varias capas de relleno no consolidado en las excavaciones de la Operación D. Estas incluyeron el elemento 71 en la unidad 10A, que llego a una elevación de 12.29 msnm. Dos capas de relleno y desecho ocupacional como las encontradas en el bloque central de excavación y en la unidad 10I fueron localizadas inmediatamente arriba de este relleno. También había 85 cm de relleno de la fase Chacahua expuestos en la unidad 10M (E41, E42), extendiendo de 12.4 a 13 msnm.

En la unidad 16E, al este y cuesta abajo del bloque central de excavación, una posible capa de relleno fue expuesta en la base de las excavaciones (E40; figura 8.51). Arriba de E40 se encontró una serie de capas que incluyeron altas cantidades de arena, material orgánico, y artefactos (E36-E39). La formación de estos estratos no está claro. Fueron localizados a una elevación más alta que las capas de relleno y desecho ocupacional hallados en las unidades al oeste, extendiendo de 12.3 a 12.8 mnsn. Sin embargo, tienen una apariencia similar en que ambos consistieron en capas alternantes de migajón (E37-s5, E37-s1) y sedimento arenoso y ceniciento con cantidades altas de artefactos e ecofactos (E37-s6, E37-s3, E37-s2). La última capa del Formativo Terminal (E35) pudo haber sido una superficie ocupacional a 12.73 msnm.

8.7.2 La fase Coyuche

Cerámica diagnostica de la fase Coyuche era presente un varios depósitos a lo largo de la Op. D aunque la evidencia de elementos pertenecientes exclusivamente al Clásico Temprano está limitada. En la unidad 10I, dos capas de relleno no consolidado (E33 y E34) pueden ser de la fase Coyuche. También hay una capa de posible relleno en la unidad 16E (E32) que puede pertenecer a la fase Coyuche. En el caso de E17, la perturbación de los estratos por dos entierros (E8-I9 y E20-I27) puede haber introducido

cerámica del periodo Clásico Tardío en el relleno. Dado la presencia de construcción de la fase Coyuche al norte, en las Ops. A y B, es posible que los depósitos en la Op D son también de la época Clásica temprano. Ningún depósito primario más allá del relleno pudo ser fechado de manera definitiva a la fase Coyuche.

8.7.3 Coyuche tardío o Yuta Tiyoo temprano

Las excavaciones en la Operación D revelaron 13 entierros que pertenecían al periodo Clásico. Basándose en las vasijas de ofrenda en ocho de los entierros, la mayoría o todos los entierros pertenecen al fin de la fase Coyuche o al inicio de la fase Yuta Tiyoo (ver tabla 8.5 y Capitulo 10). Estos entierros contaban con vasijas de tipo gris diagnóstico de ambos periodos, lo que sugiere que los individuos fueron enterrados alrededor de AD 500.

Tabla 8.5: Entierros de la Op. D, Loma Don Genaro

Núm. de Entierro	Ubicacción (unidad)	Fecha	Notas
B1-I1	10E	Transición Clásico Temprano-Clásico Tardío	Vasijas de entierro de los periodos Clásico temprano y Clásico tardío presentes
B1-I17	10E	Transición Clásico Temprano-Clásico Tardío	
B2-I2, I18, I20	10A	Transición Clásico Temprano-Clásico Tardío	Restos mezclados de tres individuos. Fosa quizás revestida con lajas.
B4-I4	12D, 12E	Clásico	Muy perturbado, solo algunos fragmentos de hueso largo presente.
B7-I7	12D	Transición Clásico Temprano-Clásico Tardío	Vasijas de entierro de los periodos Clásico temprano y Clásico tardío presentes
B7-I8	12D	Transición Clásico Temprano-Clásico Tardío	Restos mezclados
B8-I9	16E	Clásico	No excavado
E13-I14	12D	Transición Clásico Temprano-Clásico Tardío	Saqueado
E15-I16	12E, 12D, 13D	Transición Clásico Temprano-Clásico Tardío	Fosa elaborada revestida con lajas con 30 vasijas de ofrenda perteneciente o al periodo Clásico

			temprano (11 vasijas) o al Clásico tardío (14 vasijas)
E16-I19	13D	Probablemente Transición Clásico Temprano-Clásico Tardío	Una sola vasija de ofrenda perteneciente al periodo Clásico tardío fue excavado
E17-I23	12E, 12D, 13D	Transición Clásico Temprano-Clásico Tardío	Mezclado con E15-I16
E19-I26	11F	Clásico	Visible solo en perfil, dañado por saqueadores.
E20-I27	16E	Clásico	No excavado

En el bloque central de excavación, los entierros más tempranos penetraron directamente dentro del relleno del periodo Formativo terminal, sugiriendo que hubo una pausa en las actividades en esta área del Montículo 3 durante parte del periodo Clásico temprano. Casi al final del Clásico temprano, o quizás al inicio del Clásico tardío, las actividades reanudaron con una serie continua de entierros y eventos de relleno. Es posible ordenar los entierros cronológicamente dentro del periodo Clásico conforme con su posición estratigráfica. Los entierros más tempranos son E1 (relleno de pozo de entierro E18; figura 8.52), E7 (relleno de pozo de entierro E31; figura 8.53) y E13 (relleno de pozo de entierro E30) porque sus pozos de entierro cortan dentro de los estratos del periodo Formativo terminal y están cubiertos por la capa de relleno E29. Esta relación estratigráfica también demuestra que E29 tiene que pertenecer, a lo más temprano, al periodo Clásico temprano. El próximo grupo de entierros incluye E4 (no visible en perfil), E15-I16/E17-I23 (relleno de entierro E28), E16-I19 (relleno de entierro E27), y E19-I26 (relleno de entierro 26). Los pozos de entierro para estos individuos penetran desde la superficie de E24, cortando a través de E29 y algunos estratos de la fase Chacahua. El E24 tambien ha de pertenecer a la fase Coyuche tardío o la fase Yuta Tuyoo. El Entierro 2-Individuo 2 en la unidad 10A fue colocado dentro de un pozo (E18) que corto a través de E19 y posteriormente cubierto por la capa de relleno E15-s2. Al igual que los otros entierros con vasijas de ofrenda diagnósticas, E2-I2 contenía vasijas características de los periodos Clásico temprano y Clásico tardío. Por lo tanto, el E15 tiene que ser

después de este periodo. Una serie de lajas colocadas verticalmente en la unidad 10A fueron puestas en un pozo adyacente (E17) y pueden representar el borde de otro entierro revestido con lajas.

No había ninguna superficie ocupacional o superestructuras evidentes en el área alrededor de los entierros Coyuche-Yuta Tiyoo, asi que el contexto más amplio de estos entierros no está claro. Pueden ser enterrados en espacio doméstico o público, aunque es posible que el área era domestico durante el periodo Clásico. Un número de los entierros en la Op. D tenían muchas ofrendas, particularmente E2, E15 (figura 8.54), y E13. Parecen representar individuos de estatus más alto aunque un rango de entierros pertenecientes a este periodo sería necesario para verificar esta observación.

8.7.4 La Fase Yuta Tiyoo

Además de los entierros, los depósitos del periodo Clásico incluyen relleno de construcción, relleno de pozo, coluvión, dos entierros posibles, y una capa de desecho ocupacional. En las unidades sin entierros pero con cerámica diagnostica (10I, 10M, 16E, 20E), el fechamiento de los elementos del periodo Clásico más tardío era problemático por evidencia de bioturbación y pozos antiguos. En 10I, la primera capa de relleno perteneciente probablemente a la fase Clasico Tardio (E13) levando la superficie ocupacional en esta área del Montículo 3 a 13.4 msnm. De manera parecida, en la unidad 10M una sola capa de relleno (E12) levanto la superficie del montículo a 13.3 msnm. La superficie creada por el evento de relleno representado por E12 quizás sirvió como superficie ocupacional por un periodo puesto que fue cubierto por un estrato angosto de desecho ocupacional (E11). Una capa de relleno (E15) colocada en los grupos de unidades al sur levantó el montículo en esta área a 13.35-13.5 msnm. Es posible que hubo un periodo de estabilidad después de la colocación de E15 puesto que un pozo grande (E14) cortó desde la interface entre E15 y E2. El pozo no tenía ningún entierro ni material orgánico y su propósito no queda claro.

En la unidad 16E, dos pozos de entierro (E9, E10) cortaron a través de E17, que era una capa de relleno que pudo haber pertenecido a la fase Chacahua o a la fase Coyuche. Los pozos cortaron desde E2-s4, un suelo formado dentro del relleno del periodo Clasico tardío. Los entierros (E8-I9 y E20-I27) no fueron excavados y no tenían ninguna ofrenda que puede ayudar a fechar el deposito. Su elevación (el límite superior de los pozos es 13.3 msnm) sugiere que estos entierros son más tardíos que los del bloque central porque la unidad 16E se encuentra cuesta abajo. Sin embargo, se necesita más evidencia para completamente entender la relación entre E16 con las unidades cuesta arriba al oeste.

La fecha y la formación de los elementos en la unidad 20E es también problemático (figura 8.55). La mayoría de la cerámica encontrada en la unidad pertenece a la fase Chacahua. Había cinco tiestos de la fase Yuta Tiyoo hallados en los últimos 10 cm de la unidad, indicando que todas las profundidades en 20E no pueden ser más antigüos que el Clásico tardío. La elevación de 20E (el fondo del pozo es 12.1 msnm) también argumenta que los elementos encontrados en esta unidad son posteriores a la ocupación del Formativo terminal hallada cuesta arriba. La formación de los estratos de 20E no está claro. El estrato más temprano (E8) era suelto y heterogéneo con bandas de concha, ceniza, cerámica, arena, y gravilla fina. Estas bandas y dos subestratos (E8-s2, E8-s3) seguían la cuesta del basurero. La densidad de los artefactos y de material orgánico puede indicar que se trata de un basurero. También puede ser coluvión, dado la ubicación de la unidad en la cuesta este del Montículo 3. E7 puede haber sido coluvión o relleno. Era una capa compacta con migajón y algunos artefactos. La presencia de artefactos y de tierra quemada en la interface superior de este estrato puede indicar un breve periodo de estabilidad de superficie, sin importar si los estratos se formaron como relleno o coluvión. E7 fue parcialmente cubierto por otra capa orgánica (E6) que puede ser o coluvión o basurero. Los E5 y E4 son probable coluvión dado sus apariencias. Sobre la pared sur de la unidad, los dos estratos

están colocados de manera a que la erosión causó la deposición de las bandas angostas de E5 al mismo tiempo que E4 también estaba siendo depositado.

A lo largo de la operación, los últimos estratos son suelo (E2) y mantillo (E1). Estos formaron dentro del relleno o en coluvión, dependiendo de su ubicación en la operación. Estos estratos se caracterizan por sedimento limoso arcilloso compacto con cantidades variadas de artefactos y otras inclusiones (ver tabla 8.4). Ambos estratos están muy perturbados por bioturbación moderna. Ninguna otra cosa asociada con actividades humanas fue encontrada en estos últimos estratos.

8.7.5 Resumen

Las excavaciones en la operación D destaparon ocupaciones perteneciente a las fases Chacahua, Coyuche tardio/Yuta Tiyoo temprano, y Yuta Tiyoo. La presencia de una cantidad baja de cerámica de las fases Miniyua y Yugüe indica que la ocupación o las activadas humanas en el sitio se extendieron desde el periodo Formativo terminal hasta el periodo Posclásico temprano. Durante el periodo Formativo terminal, el área de la Op D era probablemente un área domestica para la preparación de comida. Depósitos consistiendo de desecho ocupacional, pisos, y relleno se extendieron por casi 1.75 m dentro de la ocupación. No se llegó al límite de estos elementos durante la temporada de campo de 2013, indicando que probablemente continúan. Los únicos elementos presente en estas capas eran fogones.

Después de la fase Chacahua, pudo haber una ocupación continua en el área de la Op. D en el Montículo 3. Algunas capas de relleno perteneciente a la fase Coyuche quizás fueron colocados. En el bloque central de excavación, las capas del Formativo terminal fueron cortadas por tres pozos de entierro pertenecientes a las fases Coyuche tardio/Yuta Tiyoo temprano. No hay evidencia de un periodo de abandono – no se encuentra la formación de suelo ni evidencia de bioturbación antigua entre el relleno que cubre los entierros y las ocupaciones el Formativo terminal. Sin embargo, la fecha de los entierro y la fecha de las capas de relleno de la fase Chacahua indica que el área se dejó de usar.

Es posible que la falta de cerámica tipo naranja, diagnostica a la fase Yuta Tiyoo, indica que los entierros pertenecían a la fase Coyuche.

Una cantidad total de 13 individuos en 11 entierros fueron encontrados durante las excavaciones de la Op D. La mayoría de pertenecen a la transición entre las fases Coyuche y Yuta Tiyoo. Los entierros pueden ser agrupados en por lo menos tres eventos de entierro indicando el uso continuo de esta área del Montículo 3 para enterrar a los muertos.

Las actividades del Clásico tardío involucraron solamente la colocación de relleno, una sola área ocupacional en la unidad 10M, y quizás los dos entierros en la unidad 16E. Ningún elemento indicativo de cualquier otra actividad fue encontrado. A lo largo de la cuesta este del montículo, en la unidad 20E evidencia de la erosión del montículo en la forma de múltiples capas de coluvión.

8.8 Operación E

Las excavaciones de la Operación E se empezaron para entender la historia constructiva y del uso del área sur del Montículo 3. Sin embargo, por falta de tiempo, no fue posible completar excavaciones extensas en esta área antes del final de la temporada de campo de 2013. Solo tres estratos fueron identificados (tabla 8.6; figuras 8.56, 8.57).

Tabla 8.6: Estratigrafía de la Op. E

Número de Estrato	Unidades	Descripciones de Munsell y Sedimento	Fecha Probable	Proceso de Formación	Comentarios
E1	49K, 50K	Arcilla limosa 10YR 5/3, Café	Yuta Tiyoo	Mantillo formado en relleno	Sedimento compacto arcilloso de color gris y orgánico. Altas concentraciones de artefactos.
E2	49K, 50K	Arcilla limosa 10YR 5/4, café amarillento	Yuta Tiyoo	Suelo formado en relleno	Sedimento compacto con inclusiones de arena, mica y cantidades altas de cerámica.
E3	49K, 50K	Arcilla 10YR 5/4, café amarillento	Yuta Tiyoo o Coyuche	Relleno	Sedimento compacto y arcilloso, mas Amarillo que E2.

La fecha de E3 no está claro puesto que solo una pequeña parte del estrato fue descubierta. Las operaciones de la Op. E se extendieron de 13 msnm a 13.54 msnm (la superficie en este área del montículo).

8.9 Conclusiones

Las excavaciones del PRV-2013 en Loma Don Genaro registraron mucha información a cerca de la construcción y uso del Montículo 3 durante la fase Chacahua, así como datos sobre las ocupaciones subsecuentes. Los resultados indican que la mayoría de la construcción del montículo se hizo durante la fase Chacahua, siguiendo un patrón previamente documentado en el valle del bajo Rio Verde. Las técnicas de construcción mostraron muchas similitudes con las encontradas en Rio Viejo. Estas incluyen la presencia de relleno estructural de Tipo 1 y Tipo 3 (Op. A), y quizás también de Tipo 2 (Op. C). También se encontraron capas muy delgadas de relleno (Op A), otra forma constructiva encontrada en Loma Don Genaro y Rio Viejo. La parte norte de la cima del montículo pudo haber servido como espacio ceremonial construido durante la fase Chacahua. Porciones de varias plataformas bajas fueron identificadas, asi como una serie de pisos arenosos y bandas angostas de revestimiento. Ofrendas modestas fueron colocadas debajo de algunos de estos pisos, incluyendo una que se parece mucho a un elemento encontrado en el sitio de Yugue, del lado este del rio, y otro que se parece a una ofrenda de entierro encontrada en el sitio de Cerro de la Cruz, muy cerca de Loma Don Genaro.

La parte central de la cima del Montículo 3 pudo haber tenido propósitos domésticos durante la fase Chacahua. Casi 2 metros de superficie ocupacional y eventos de revestimiento fueron identificados en esta área (Op D). Un número de pequeños elementos de quema y fogones revestidos de piedra fueron encontrados con estas ocupaciones. Sin embargo, a diferencia de las superficies ocupacionales al norte, ninguna de las superficies expuestas tenía ofrendas debajo. Tampoco hubo evidencia clara de la construcción de estructuras en esta área. Ceniza y carbono eran depósitos comunes en esta parte

central del montículo, pero había muy poco desecho ocupacional tal como grandes pedazos de bajareque quemado. Las superficies ocupacionales estaban extendidas sobre un área de por lo menos 36 m2, lo que sugiere que no estaban dentro de los muros de un solo edificio. Juntos, la falta de ofrendas, plataformas, o incluso superestructuras modestas, con el número de fogones sugiere que la porción central del montículo era un área de preparación de comida doméstica o pública. Se necesitan más datos para evaluar completamente esta interpretación. En cualquier caso, parece claro que las actividades ceremoniales evidentes en el norte no ocurrieron en la parte central de la cima del montículo.

Hay un poco de ambigüedad a cerca de la historia ocupacional después de la fase Chacahua. La presencia de capas de relleno conteniendo solamente cerámica de la fase Chacahua y Coyuche puede indicar una continuidad en la ocupación entre el Formativo terminal y el Clásico temprano. Una historia ocupacional así no sería sorprendente, ya que el uso de arquitectura monumental durante la fase Chacahua al inicio del periodo Clásico temprano es evidente en Rio Viejo y Cerro de la Virgen (Barber y Joyce 2012; Capitulo 7, este volumen). La mayoría de la arquitectura monumental fue abandonada, muchas veces de manera permanente, después de la fase Coyuche temprana y no volvió a ser ocupada hasta la fase Yuta Tiyoo del periodo Clasico tardío (Barber y Joyce 2012; Joyce et al. n.d.). En Loma Don Genaro, hay mucha evidencia ocupacional en la fase Coyuche tardía o la fase Yuta Tiyoo basada en las vasijas de ofrenda en muchos de los entierros encontrados durante las excavaciones de 2013. No está claro a lo largo de gran parte de las excavaciones de PRV-13 si hubo una ocupación continua a lo largo del periodo Clásico temprano o si hubo una interrupción en la ocupación de Loma Don Genaro como la que se ve en otras partes de la región. Actualmente, hay por lo menos un poco de evidencia de una interrupción en la ocupación por gran parte del periodo Clásico temprano en la porción central del montículo (Op D). Allí, los pozos de dos entierros pertenecientes a las fases Coyuche terminal/Yuta Tiyoo

tempranas penetran desde la superficie de la última capa de relleno de la fase Chacahua. Este patrón estratigráfico sugiere que no hubo actividades en el área de la Op. D durante la mayor parte o todo el periodo Clásico temprano.

No hay duda de que hubo una ocupación o re-ocupación del sitio durante la transición entre el Clásico temprano y el Clásico tardío (alrededor de 500 d.C). Los pozos de entierro penetraron desde por lo menos tres superficies distintas en la Op. D, indicando que la colocación de entierros y la construcción en el Montículo 3 se seguían haciendo a lo largo de la época. Como la cerámica en el entierro más temprano y el entierro más reciente comparten elementos diagnósticos, se pudo haber llevado a cabo la construcción así como colocado los entierros en un periodo de tiempo relativamente corto. De nuevo, se necesitan más datos para redefinir la cronología de los elementos transicionales Coyuche-Yuta Tiyoo.

La ocupación continúo durante el periodo Clásico tardío. Casi un metro de relleno fue puesto a lo largo de la cima del Montículo 3 después de la colocación de los entierros transicionales Coyuche-Yuta Tiyoo. La presencia de arquitectura perteneciente al periodo Clásico tardío está implícita por la presencia de piedras de tamaño moderado encontradas en los estratos superiores de las excavaciones. Las piedras tuvieron que haber sido llevadas a la cumbre del montículo por humanos y representan quizás los restos de una superestructura ya no existente, o de los cimientos de una plataforma baja. La extensión de la ocupación del periodo Clásico tardío no está claro, dado el alto nivel de perturbación por vegetación moderna y actividad humana. Hay dos entierros (E9-I10 y E19-I26) que fueron colocados después de la transición Coyuche-Yuta Tiyoo, apoyando aún más la idea que hubo una habitación continua del sitio durante el periodo Clásico tardío.

El sitio probablemente fue abandonado al final del periodo Clásico ya que solo una cantidad limitada de tiestos de cerámica de la fase Yugue de la época Posclásica fueron descubiertos. Estas pudieron haber sido depositadas como resultado de actividad humana intermitente en el montículo,

como vestigios de una ocupación que fue localizada en un área del montículo no excavada durante el PRV-13, o como parte de una ocupación efímera que ha sido destruida por actividades modernas. Cada uno de estos tres escenarios son posibles dados los datos disponibles actualmente.

Las excavaciones del PRV-13 en Loma Don Genaro tenían el objetivo de entender la organización política regional durante el periodo Formativo terminal a través de un estudio de las técnicas y estilos arquitectónicos y de ofrendas públicas. Se encontró evidencia de los tres tipos de actividad humana en el Montículo 3. Se pudieron identificar técnicas arquitectónicas compartidas entre Loma Don Genaro y Rio Viejo, así como ofrendas parecidas a las encontradas en otros sitios de la región. Los datos arquitectónicos indican que hubo practicas compartidas entre Loma Don Genaro y Rio Viejo, mientras que las ofrendas indican relaciones entre sitios secundarios o terceros en vez de entre sitios pequeños y Rio Viejo. Estos resultados sugieren cierto grado de integración (en la arquitectura), pero también un proceso de descentralización (las ofrendas). Se requieren más datos de Rio Viejo y de Loma Don Genaro para entender mejor las practicas distintas de ambos lados.

En Loma Don Genaro, las excavaciones del PRV-13 levantaron un numero de preguntas que se podrán contestar con investigación adicional. Investigación futura debería tener los siguientes objetivos:

- Clarificar el propósito de la arquitectura en el lado norte del montículo. Exponer más los elementos en el área de la Op A de 2013 debería ayudar a determinar la configuración arquitectónica de las plataformas y las superestructuras en esta área. Excavaciones adicionales ayudarían también a determinar cómo estas estructuras fueron utilizadas.
- Clarificar el proposito de la arquitectura en la sección central del monticulo y vincularla con los elementos al norte. Se sabe muy poco sobre los elementos domesticos durante el periodo Formativo Terminal. Si las superficies en el area de la Op. D representan espacios domesticos, ivestigacion futura deberia enfocarse en esta area, puesto que datos acerca

de actividades residenciales ayuarían mucho a entender la organización social durante la fase Chacahua. Si el espacio es un espacio público, un mejor entendimiento de los elementos de la Op D con relación a los elementos al norte ayudaría a crear un entendimiento más completo de las actividades ceremoniales en un sitio periférico.

- Clarificar la secuencia ocupacional del sitio. Todavía no está totalmente claro si la ocupación continuó después de la fase Chacahua hasta la fase Coyuche o si los depósitos de la fase Coyuche pertenecen al final del Clásico temprano y al inicio del Clásico tardío.

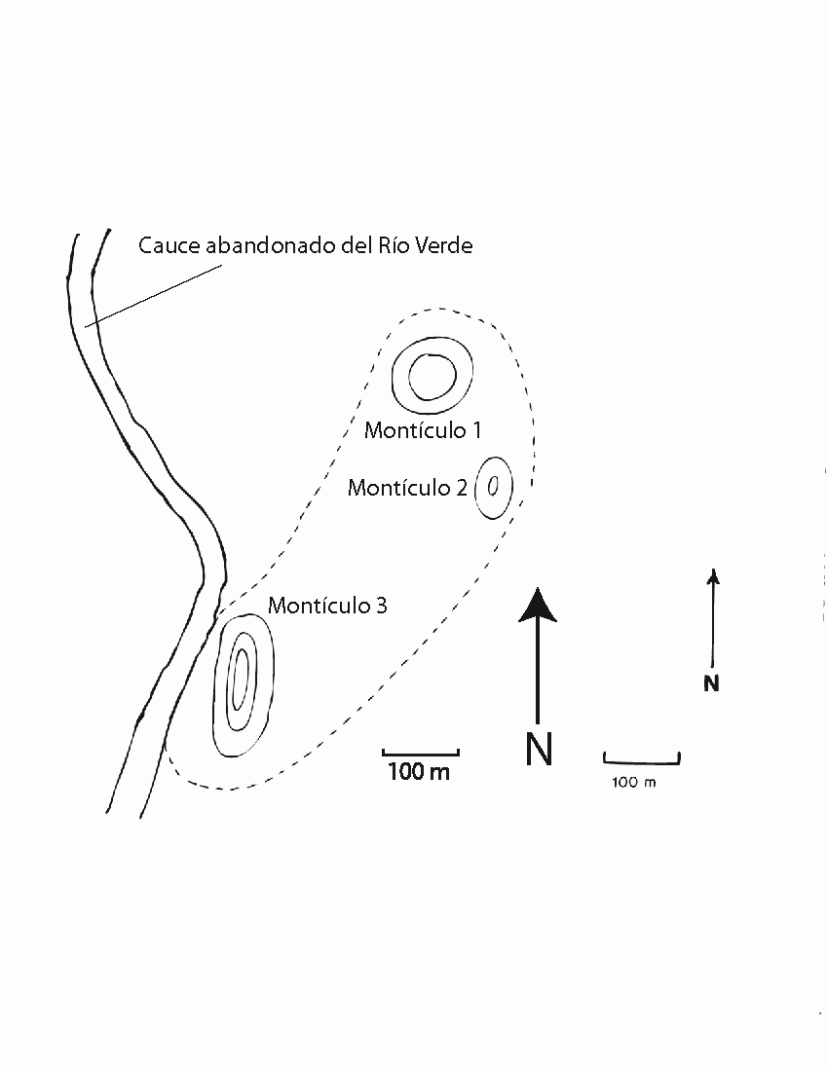


Figura 8.1: Croquis del sitio de Loma Don Genaro

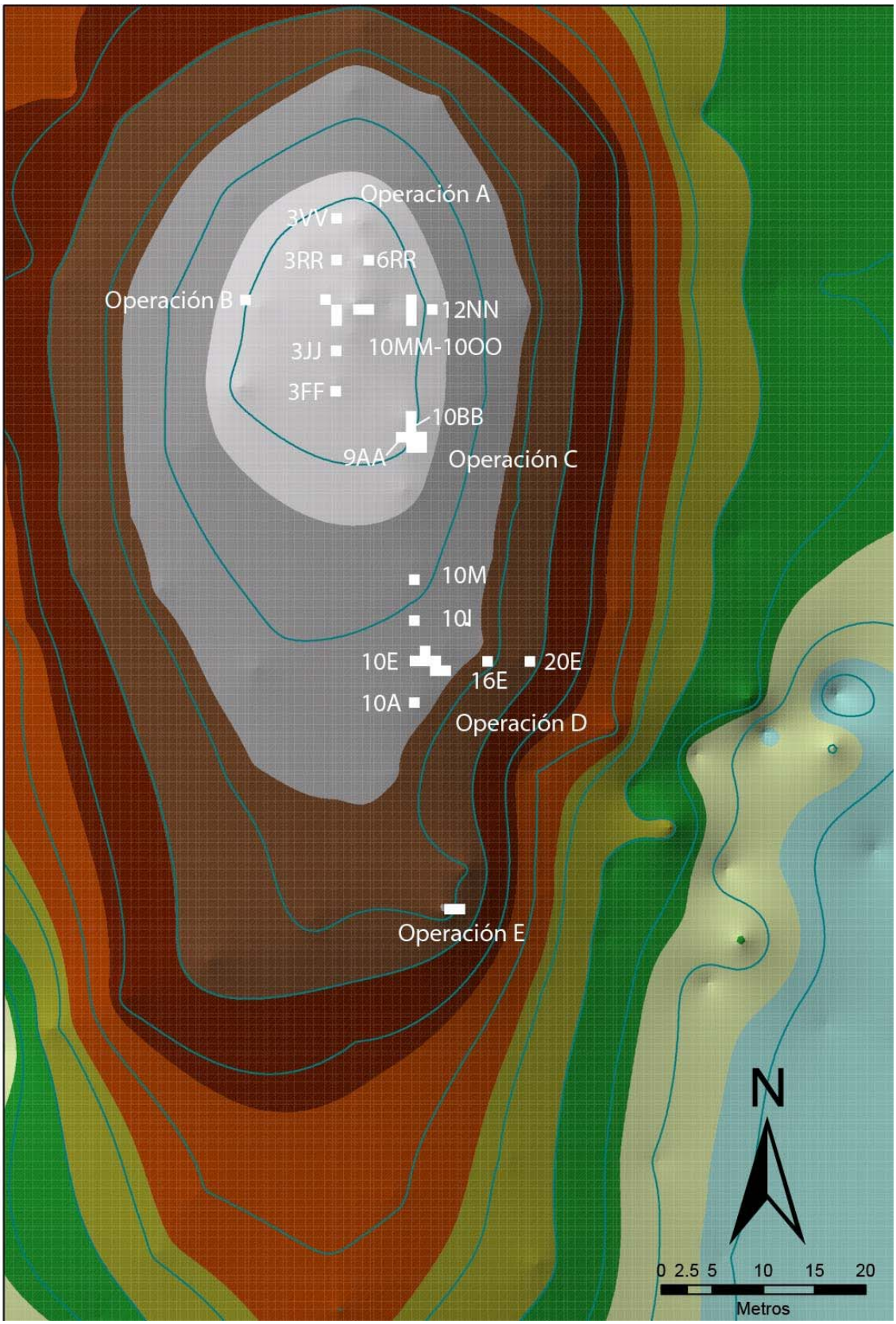


Figura 8.2: Mapeo del sitio mostrando las unidades de excavación (intervalo topográfico 50cm)



Figura 8.3: Vista del Montículo 3 de Loma Don Genaro



Figura 8.4: Excavaciones en Montículo 3 de Loma Don Genaro



Figura 8.5: Excavaciones en Montículo 3 de Loma Don Genaro



Figura 8.6: Vista de la Operación A de Loma Don Genaro

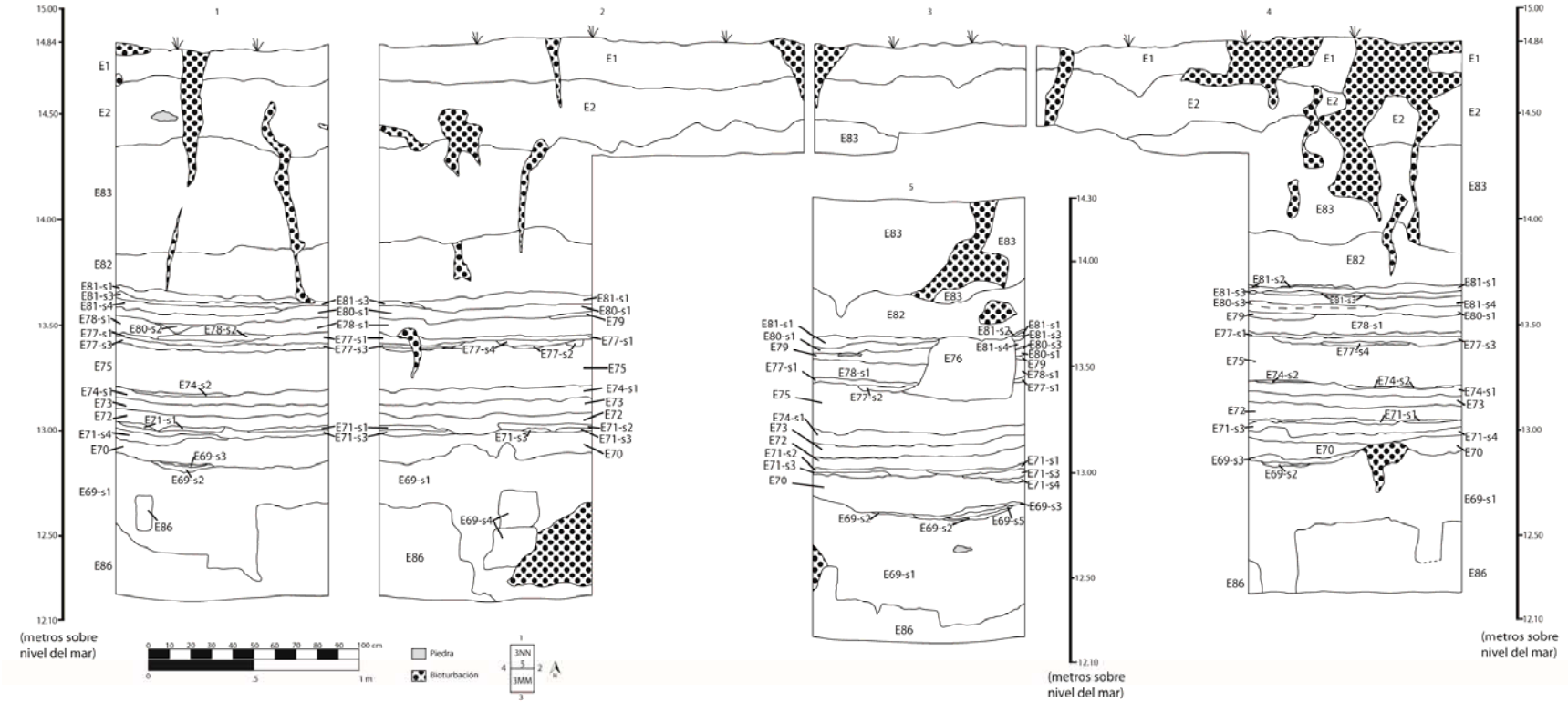


Figura 8.7. Perfiles de la unidad 3NN y 3MM de Operación A

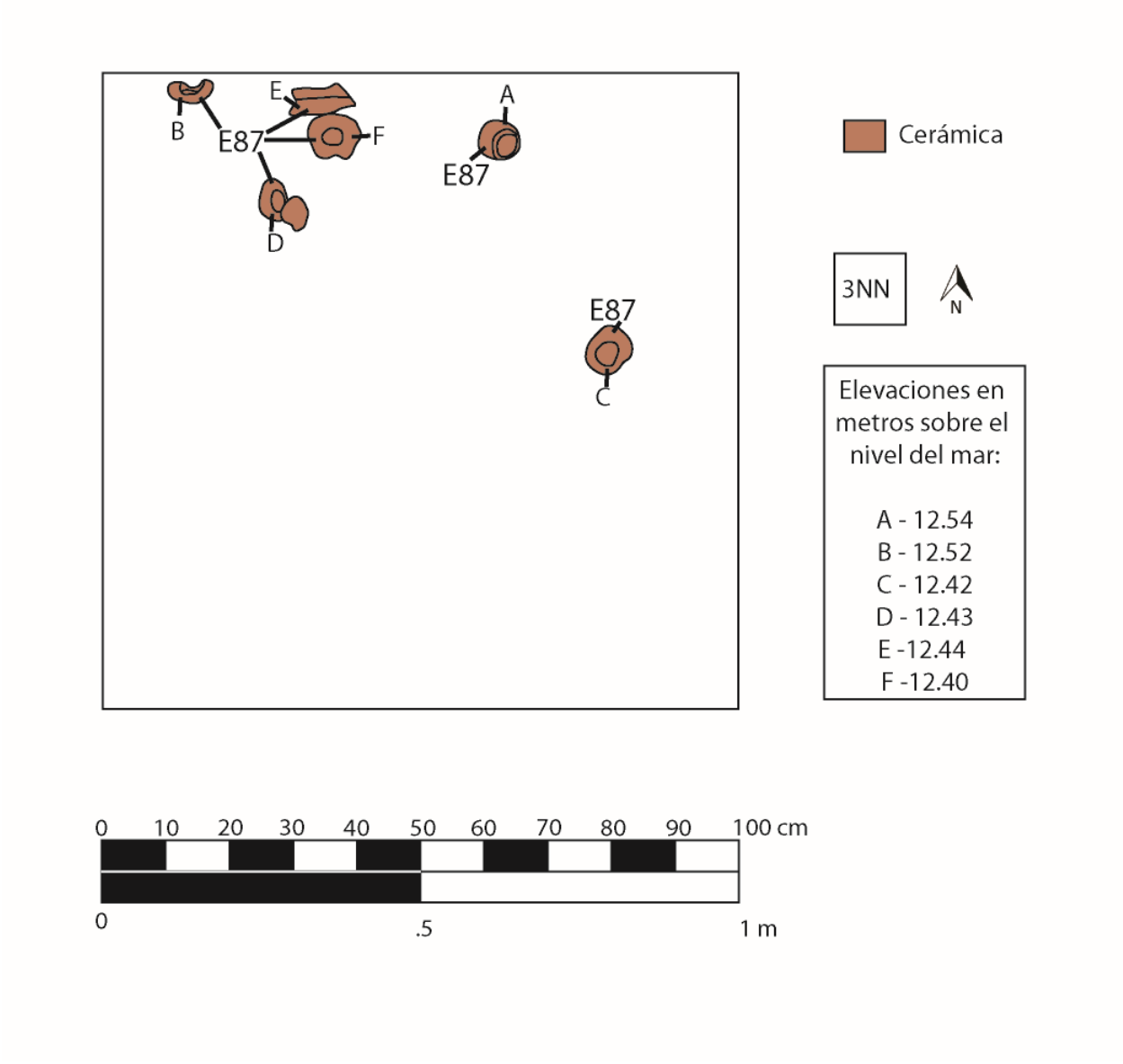


Figura 8.8: Dibujo de planta de la ofrenda E87 de Operación A



Figura 8.9: Foto de la ofrenda E87 de Operación A



Figura 8.10: Las vasijas de la ofrenda E87 de Operación A



Figura 8.11: Los discos de piedra de E88 de Operación A



Figura 8.12: La vasija de la ofrenda E89 de Operación A

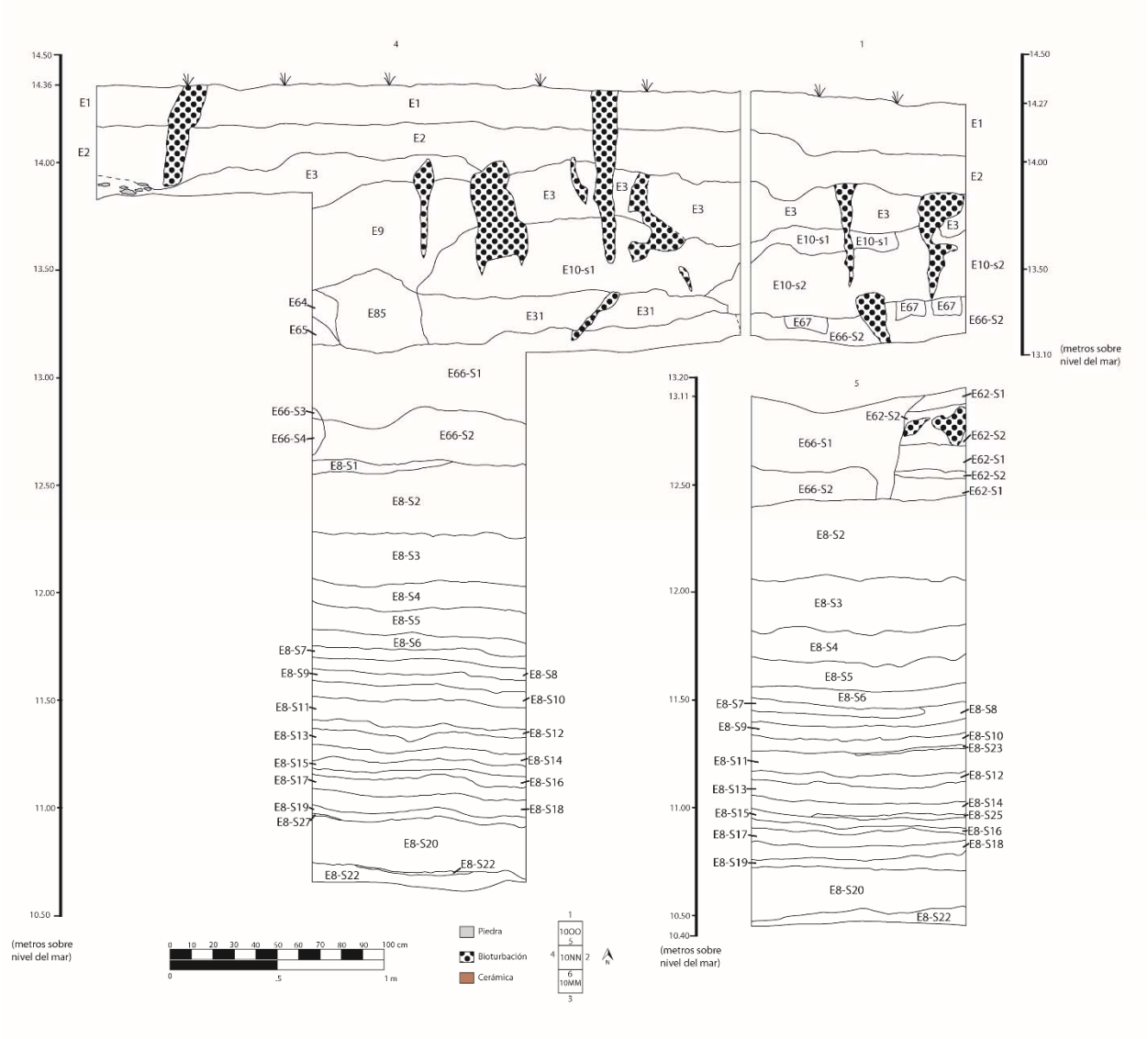


Figura 8.13: Perfiles de las unidades 10MM, 10NN, y 10OO de Operación A

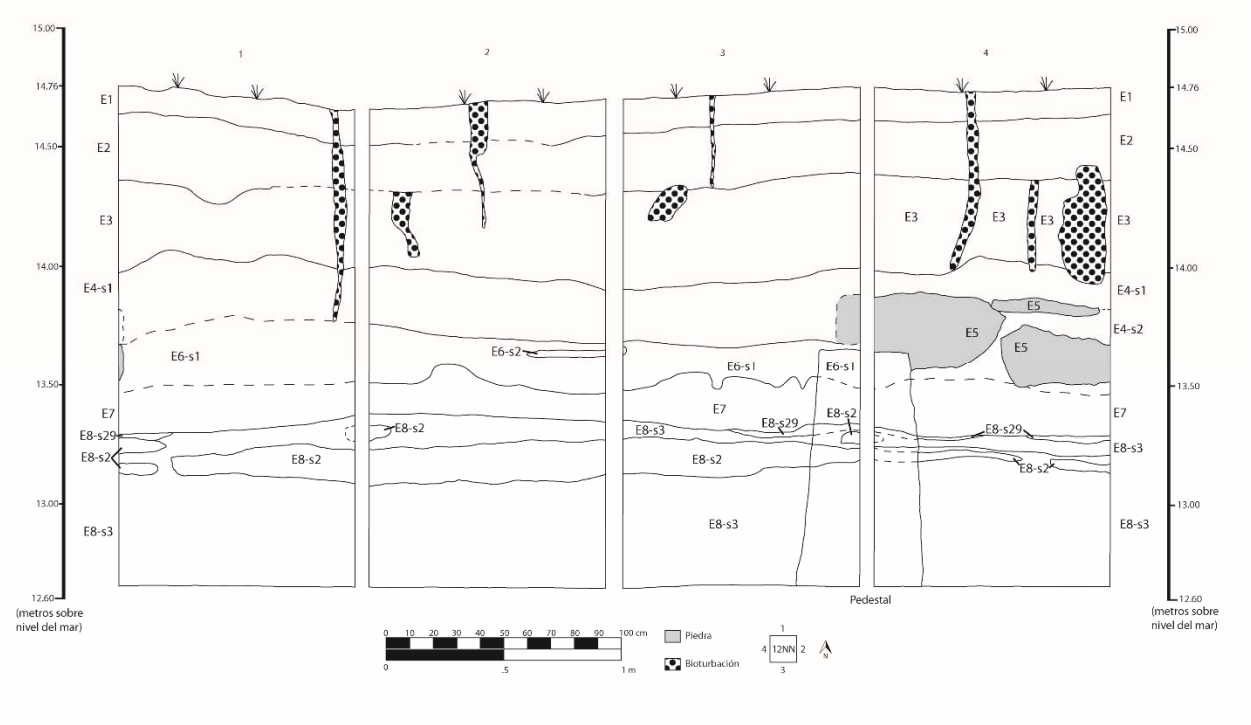


Figura 8.14: Perfiles de la unidad 12NN de Operación A

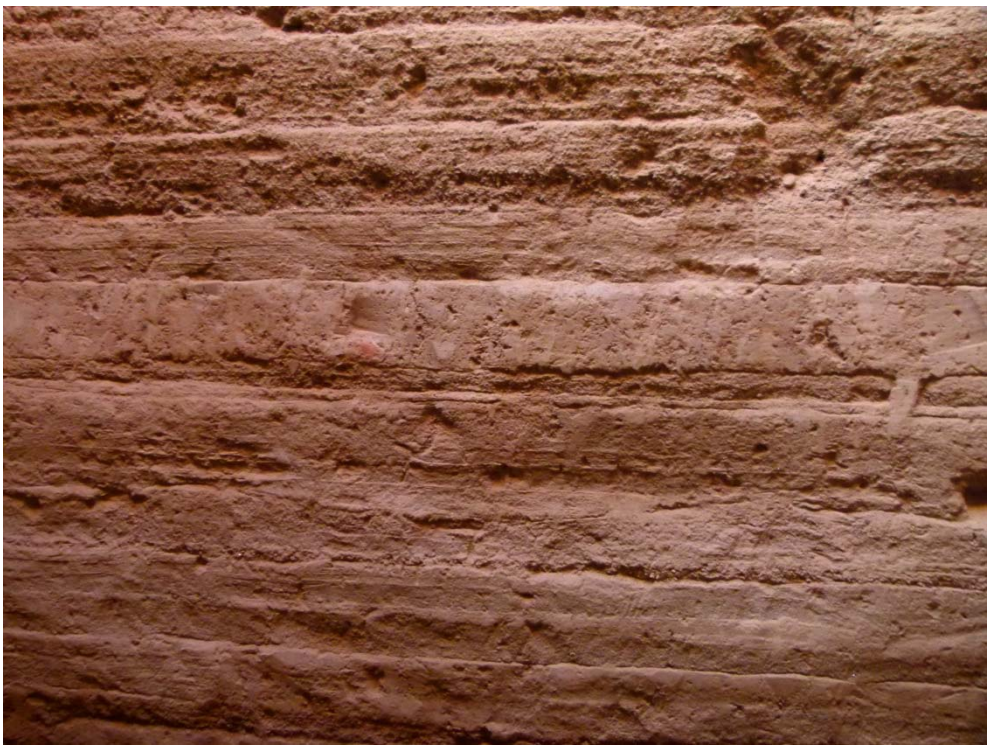


Figura 8.15: Foto del relleno laminado E8 de las unidades 10NN y 12NN de Operación A



Figura 8.16: Foto del adobe vertido E62 de la unidad 10NN de Operación A

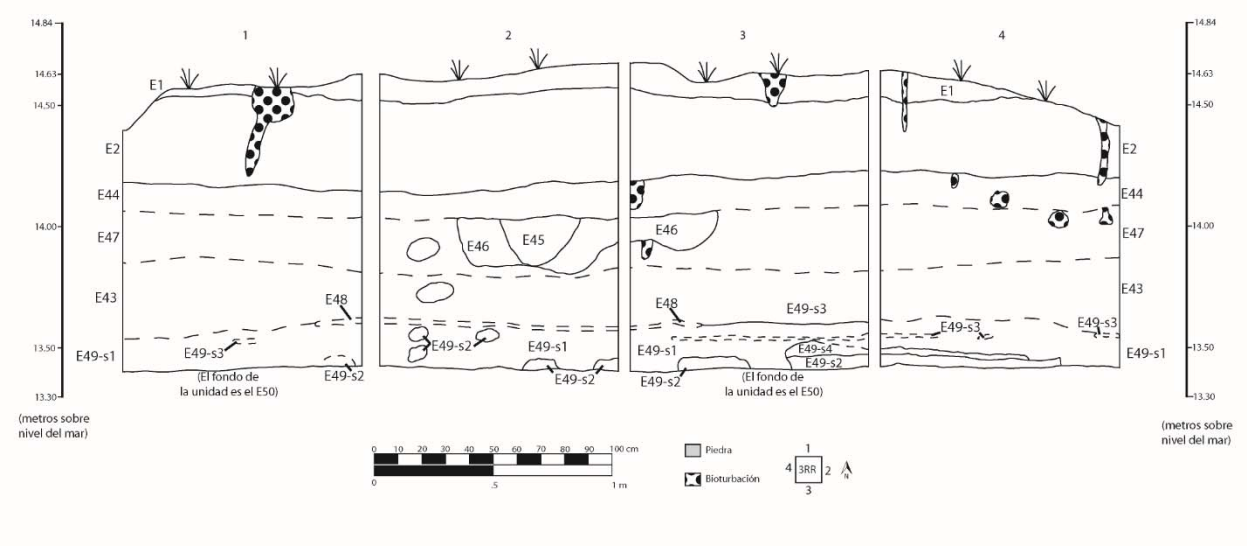


Figura 8.17: Perfiles de la unidad 3RR de Operación A

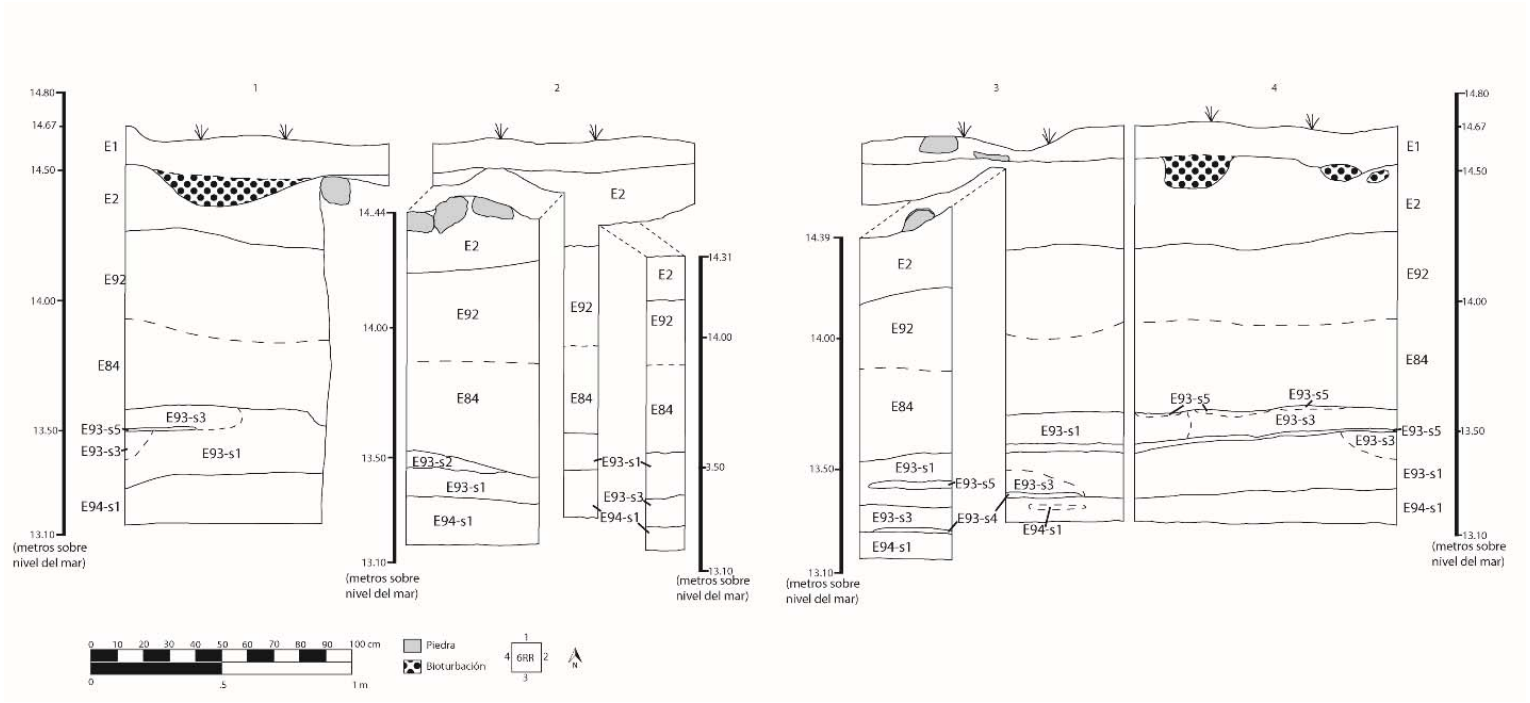


Figura 8.18: Perfiles de la unidad 6RR de Operación A

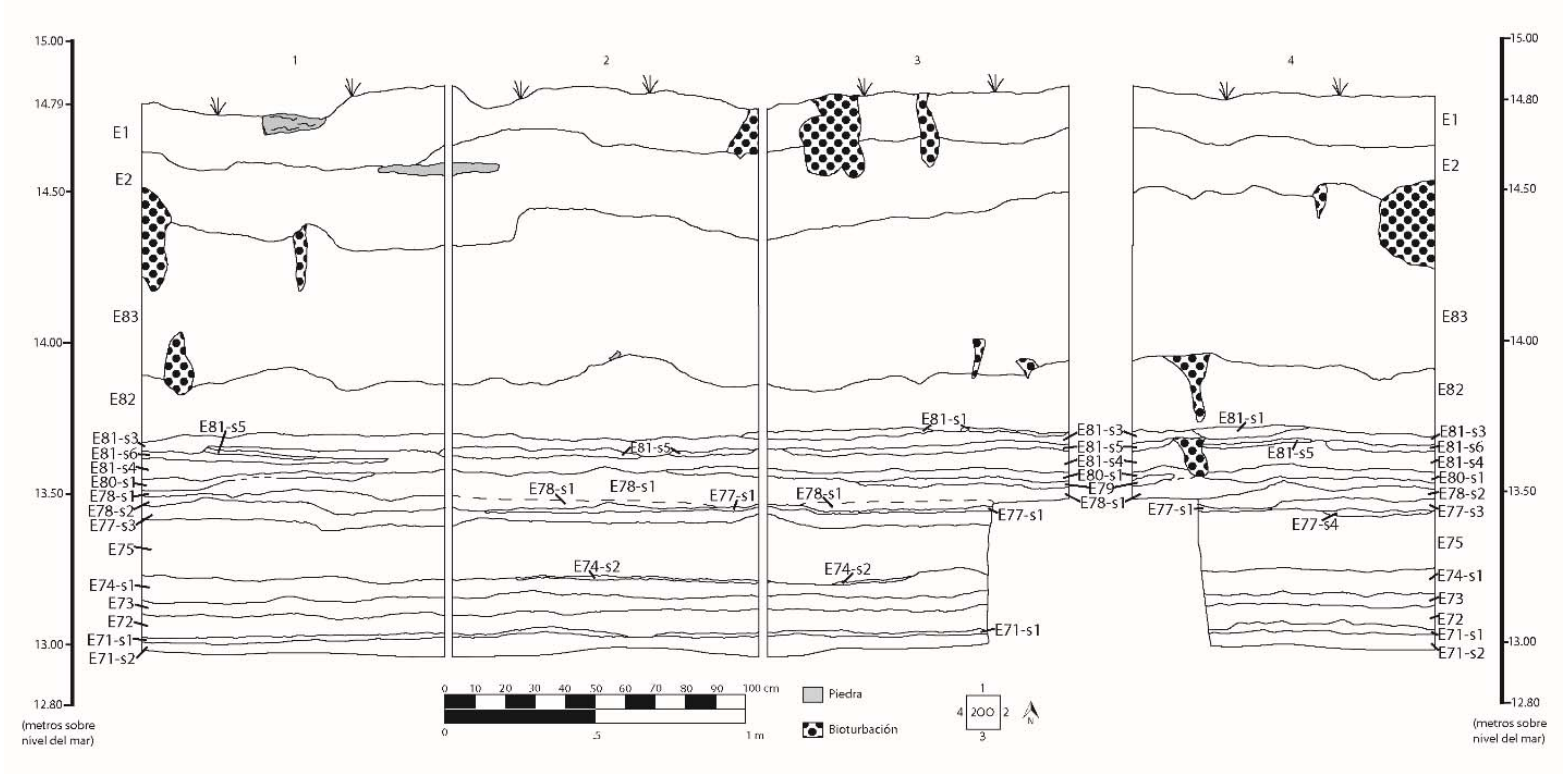


Figura 8.19: Perfiles de la unidad 2OO de Operación A

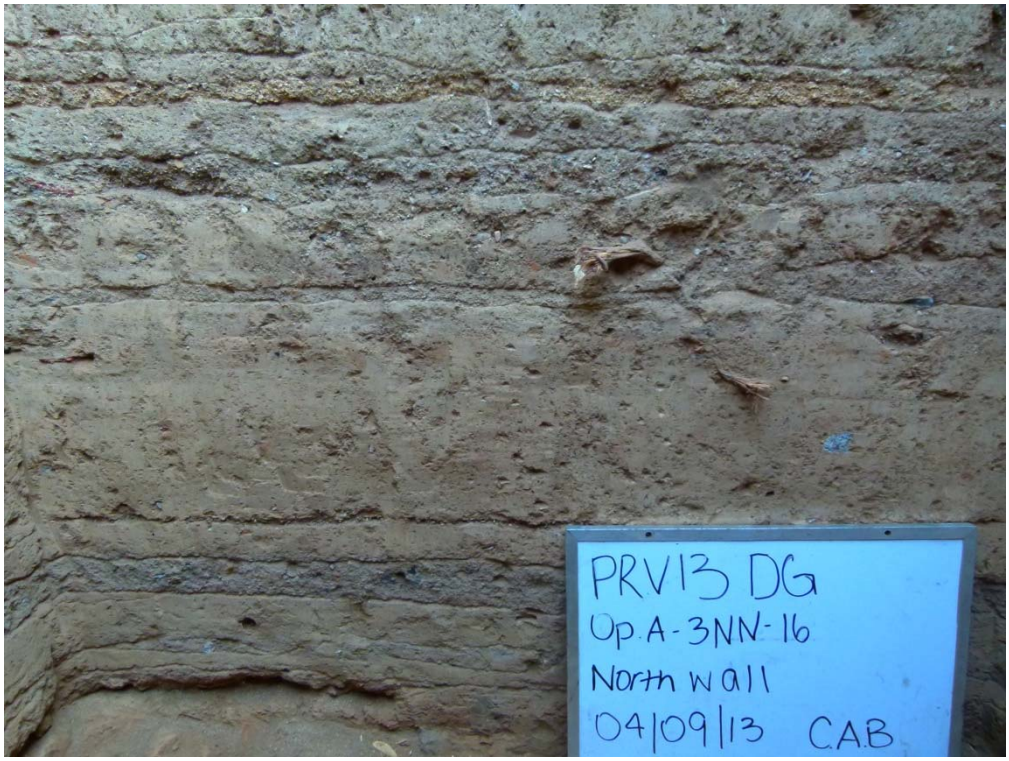


Figura 8.20: Foto de los pisos de arena en la unidad 3NN de Operación A



Figura 8.21: Foto de las tres vasijas de la ofrenda E90 en la unidad 3NN de Operación A

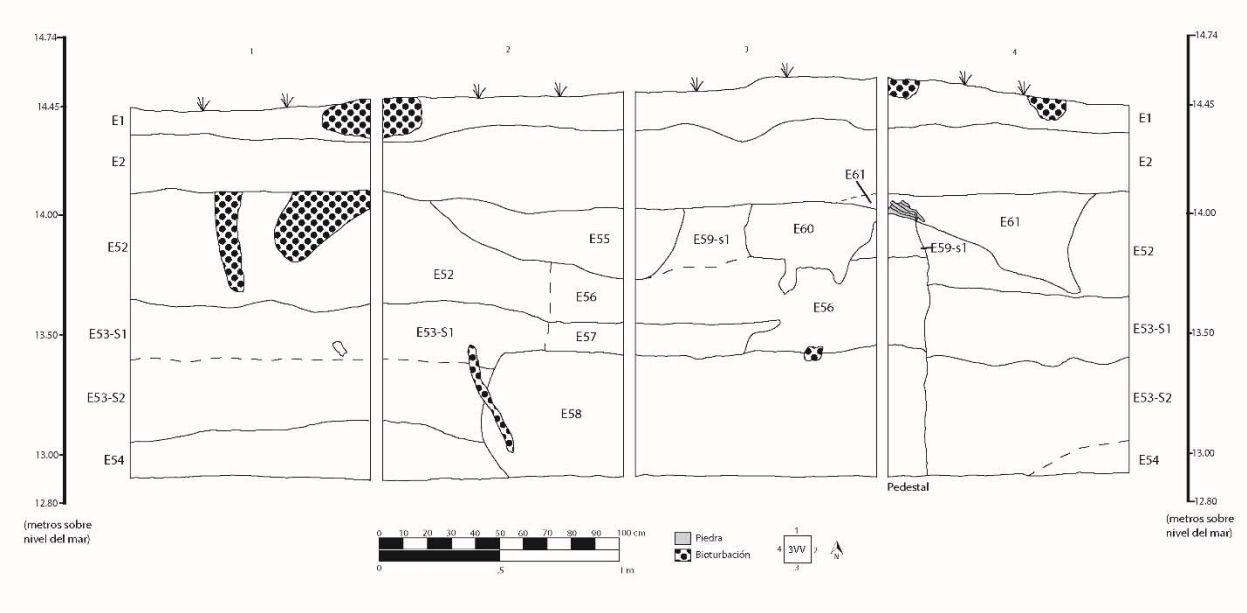


Figura 8.22: Perfiles de la unidad 3VV de Operación A

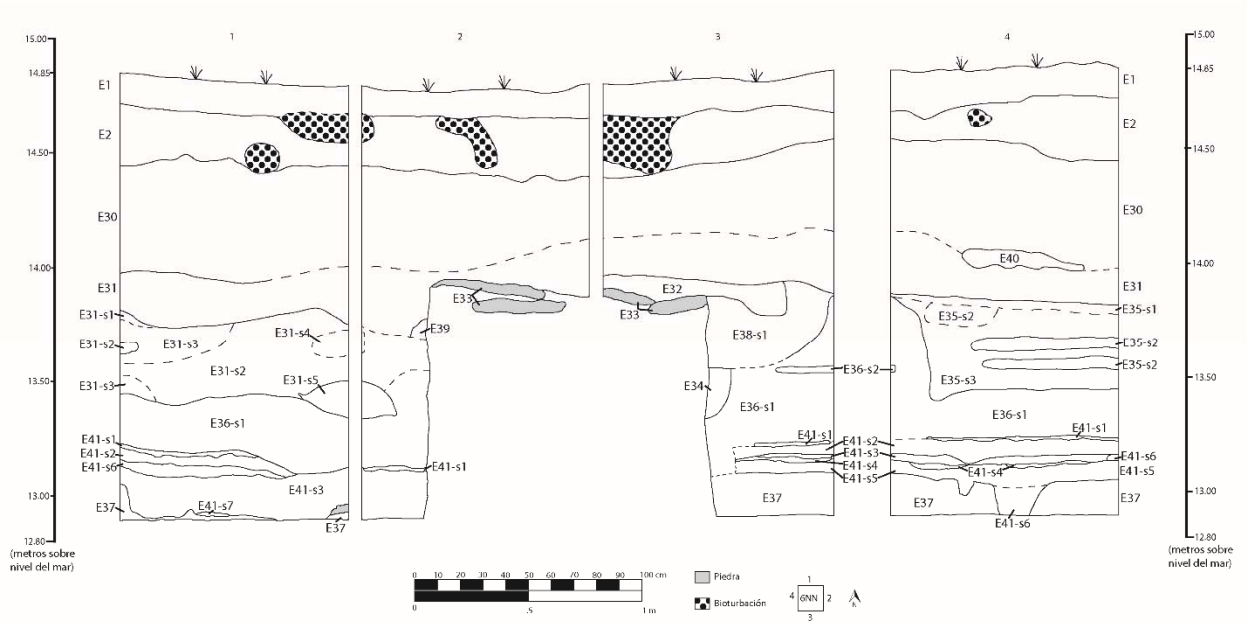


Figura 8.23 Perfiles de la unidad 6NN de Operación A

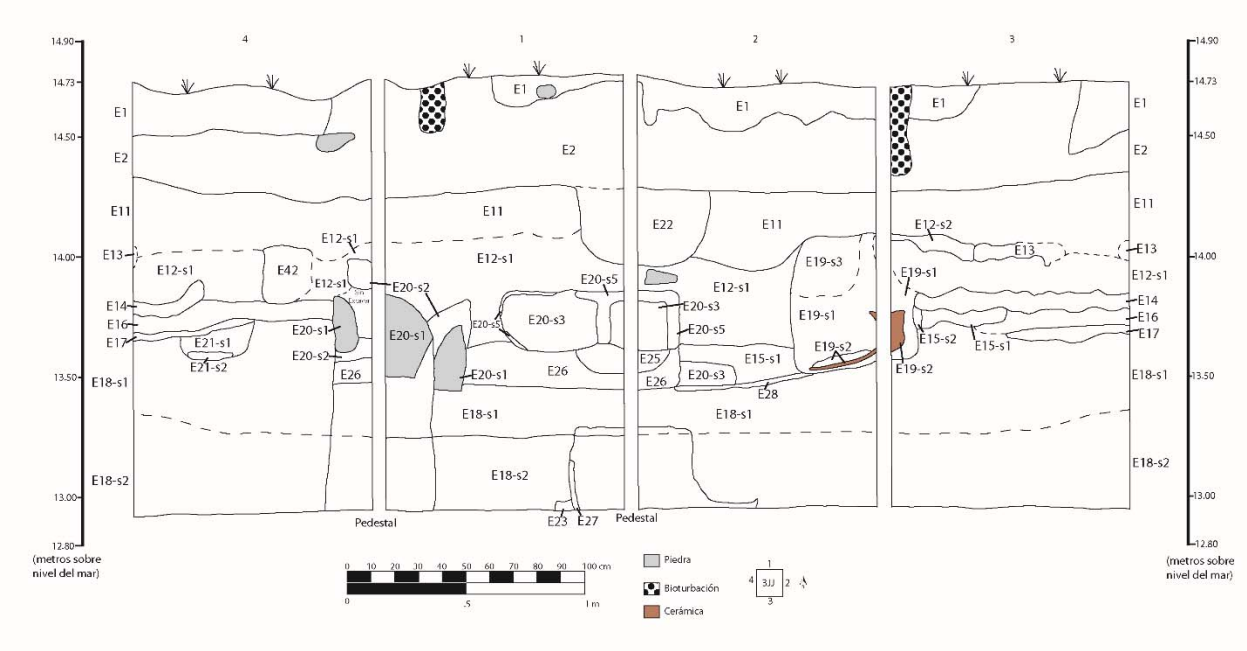


Figura 8.24: Perfiles de la unidad 3JJ de Operación A



Figura 8.25: Foto de la ofrenda E27 en la unidad 3JJ de Operación A



Figura 8.26: Foto del muro de piedra y adobe (E20) en la unidad 3JJ de Operación A. La foto también muestra las ofendas E26 y E27



Figura 8.27: Foto de la ofrenda E26 en la unidad 3JJ de Operación A

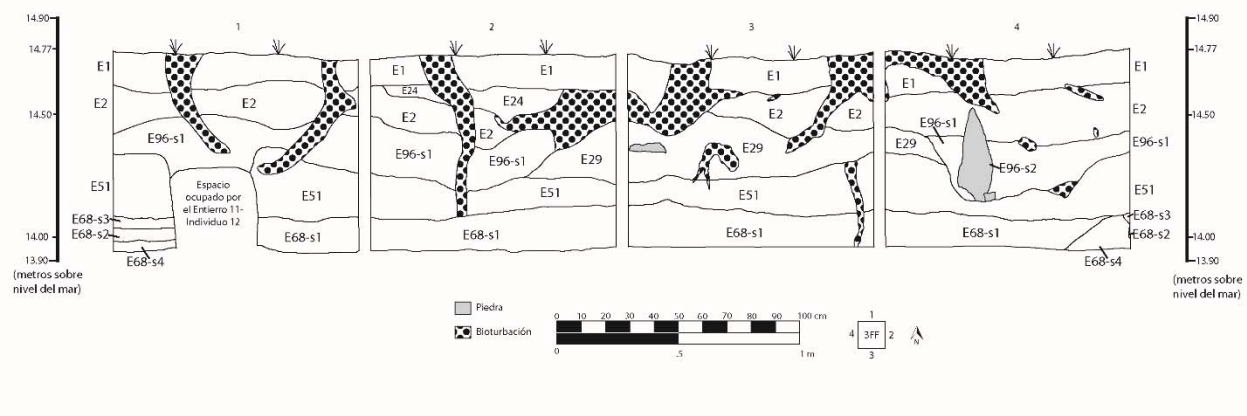


Figura 8.28: Perfiles de la unidad 3FF de Operación A



Figura 8.29: Foto de las vasijas de la ofenda E91 en la unidad 3NN de Operación A



(a)



(b)

Figura 8.30: Foto de Ent. 5-Ind. 5 (a=foto del entierro; b=foto de la ofrenda)

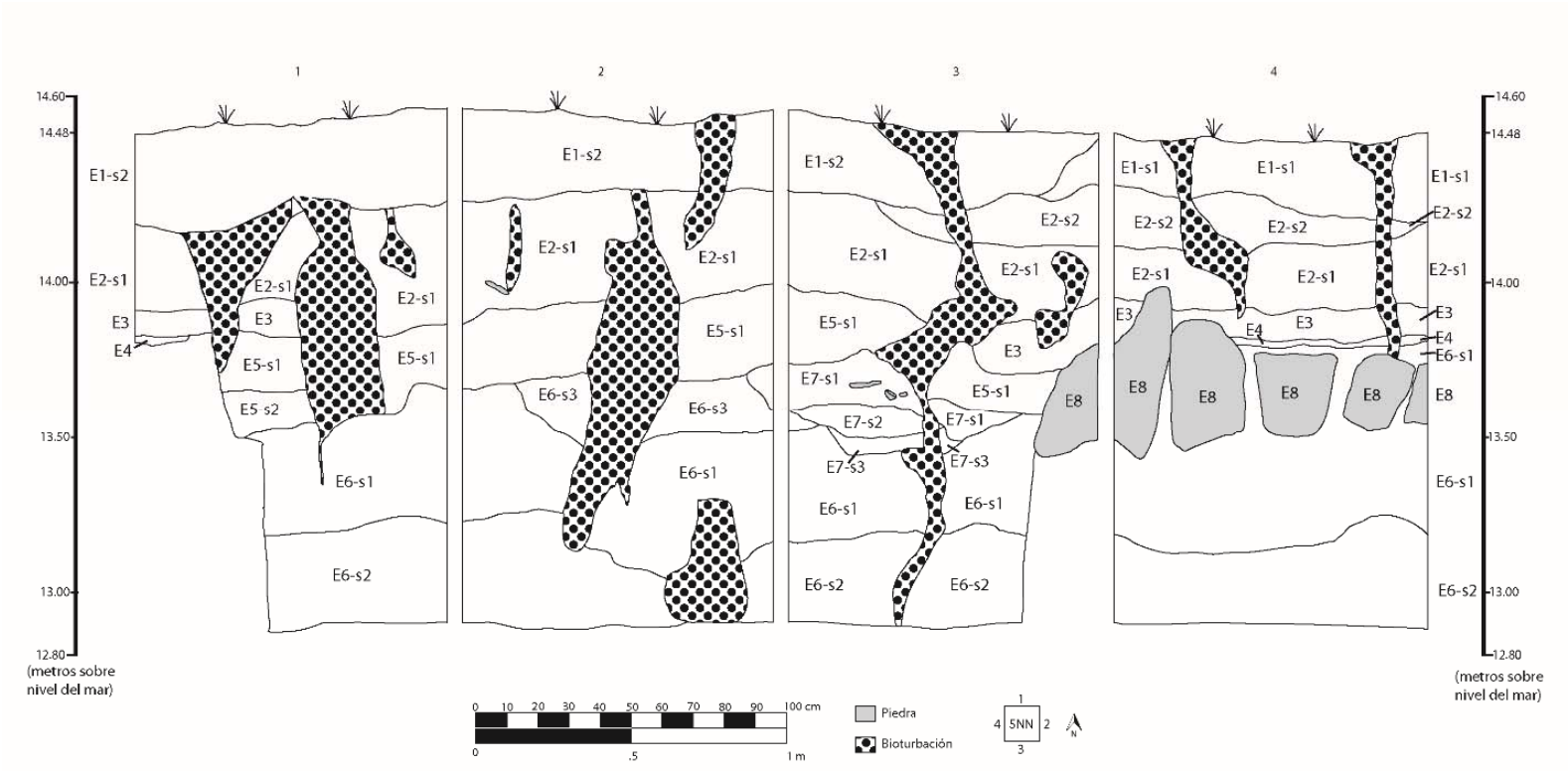


Figura 8.31: Perfiles de la unidad 5NN de Operación B

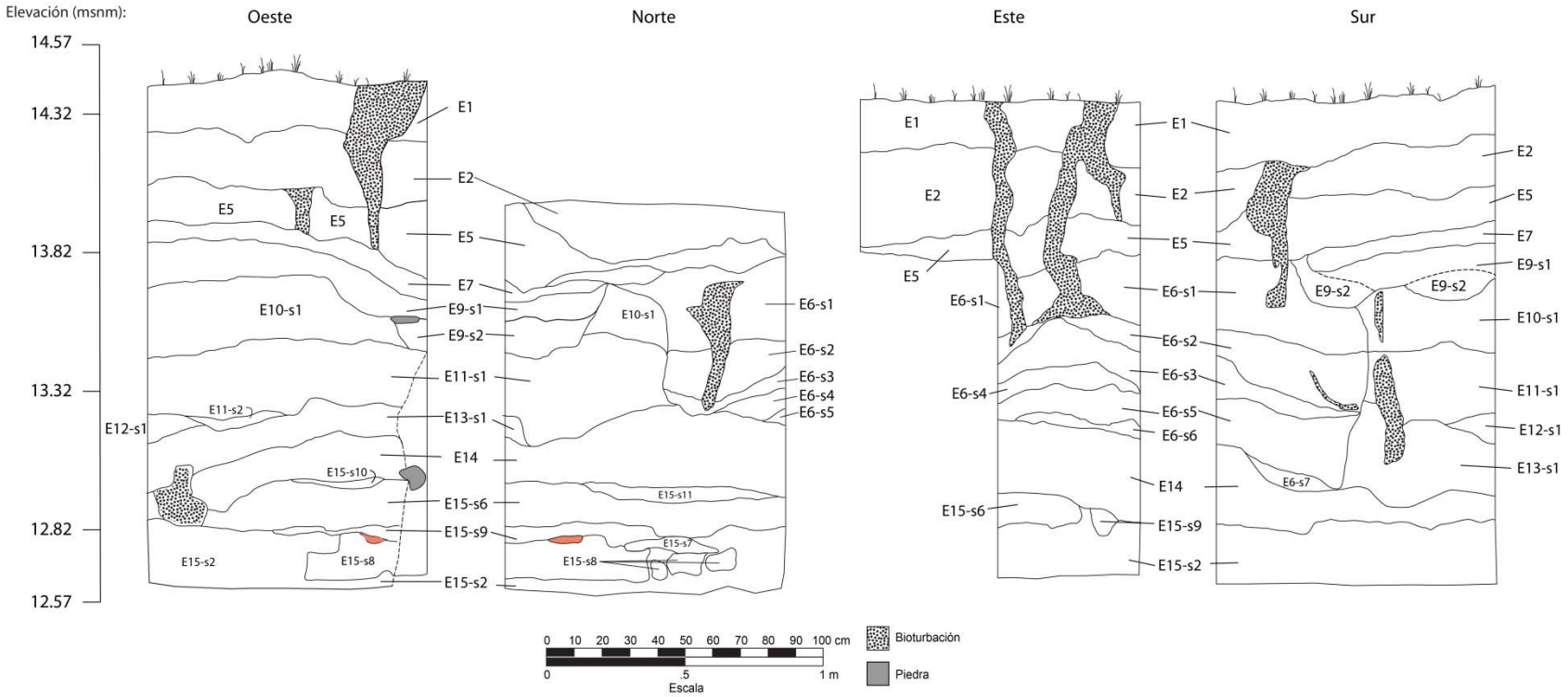


Figura 8.32: Perfiles de la unidad 10BB de Operación C

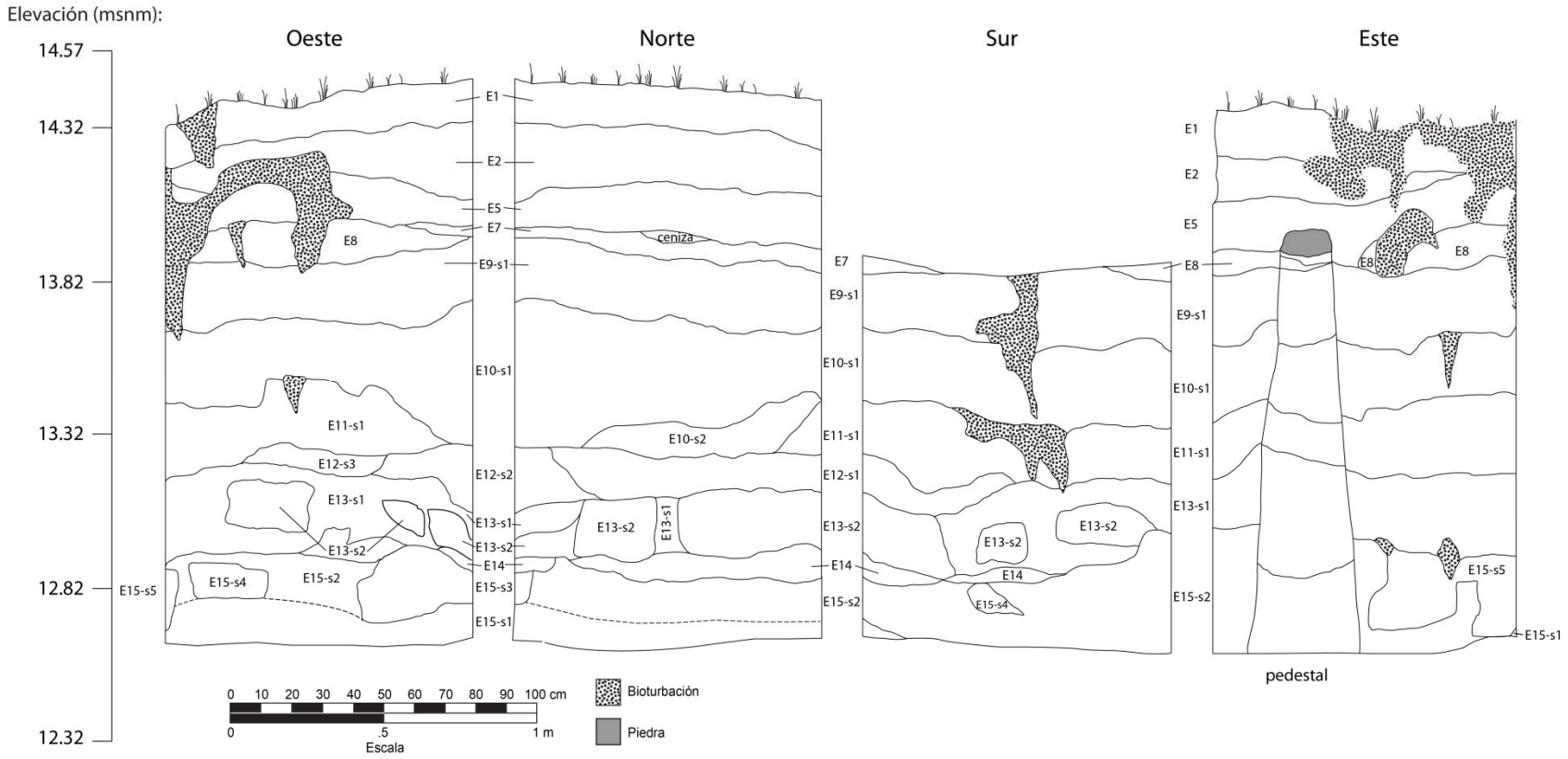


Figura 8.33: Perfiles de la unidad 9AA de Operación C



Figura 8.34: Fotografía de Entierro6-Individuo 6



Figura 8.35: Incrustaciones de pirita, E6-I6



Figura 8.36: Ofrendas enterrados con E6-I6. Un cajete parcial de la fase Coyuche (arriba) y una ollita de la fase Yuta Tiyoo (abajo)

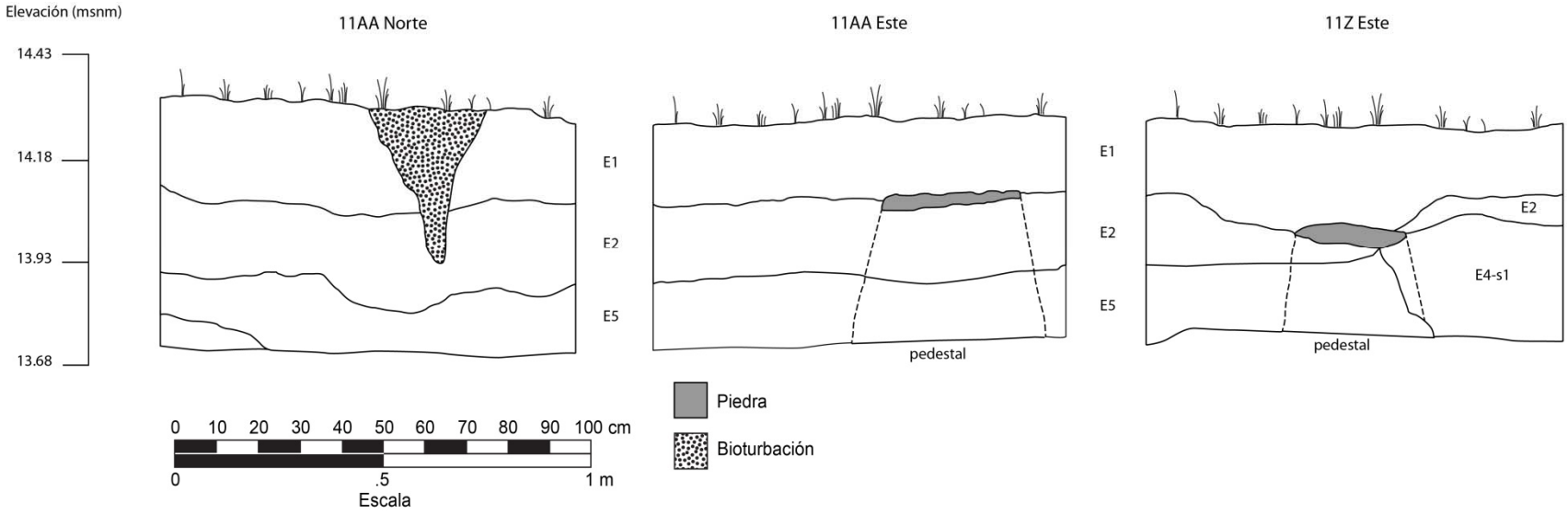


Figura 8.37: Perfiles de las unidades 11AA (norte, este) y 11Z (este)

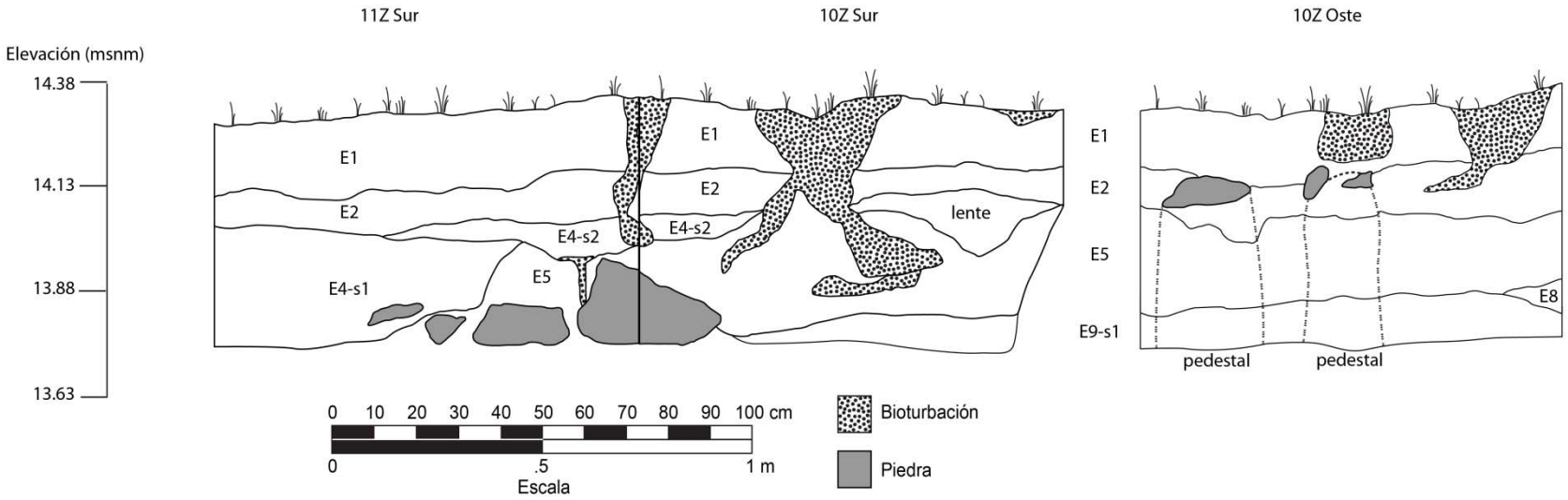


Figura 8.38: Perfiles de las unidades 11Z (sur) y 10Z (sur, este)

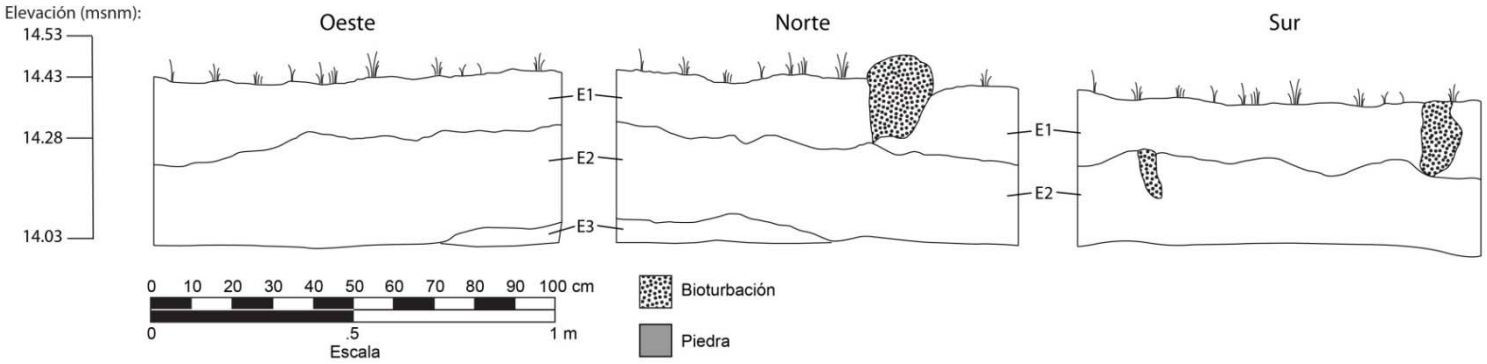


Figura 8.39: Perfiles de la unidad 10CC



Figura 8.40: Fotografía de Entierro 10-Individuo 11

Figura 8.41: Fotografía de la Operación D



8.42: Perfiles de la unidad 10I

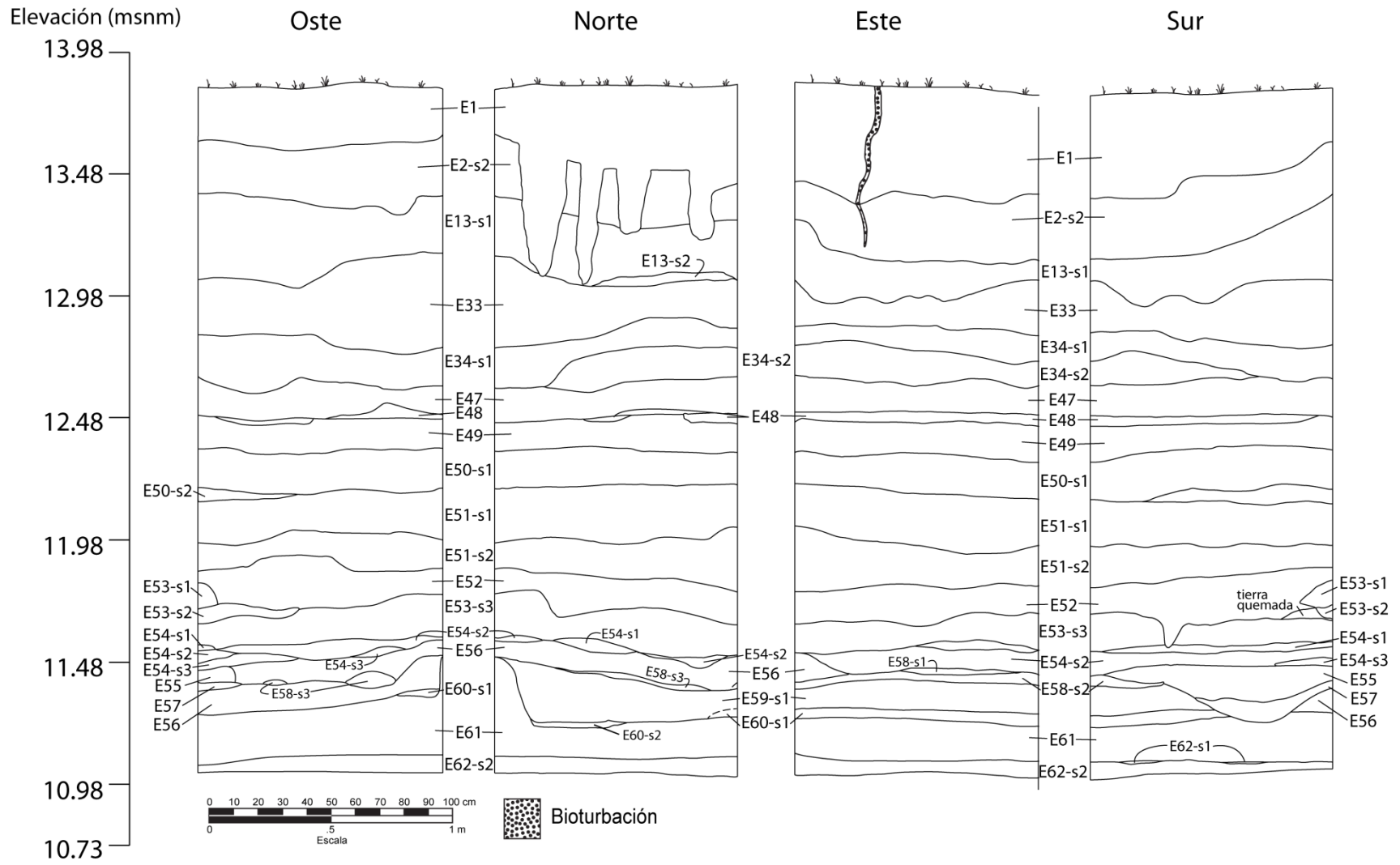


Figura 8.43: Bloque central, perfil norte

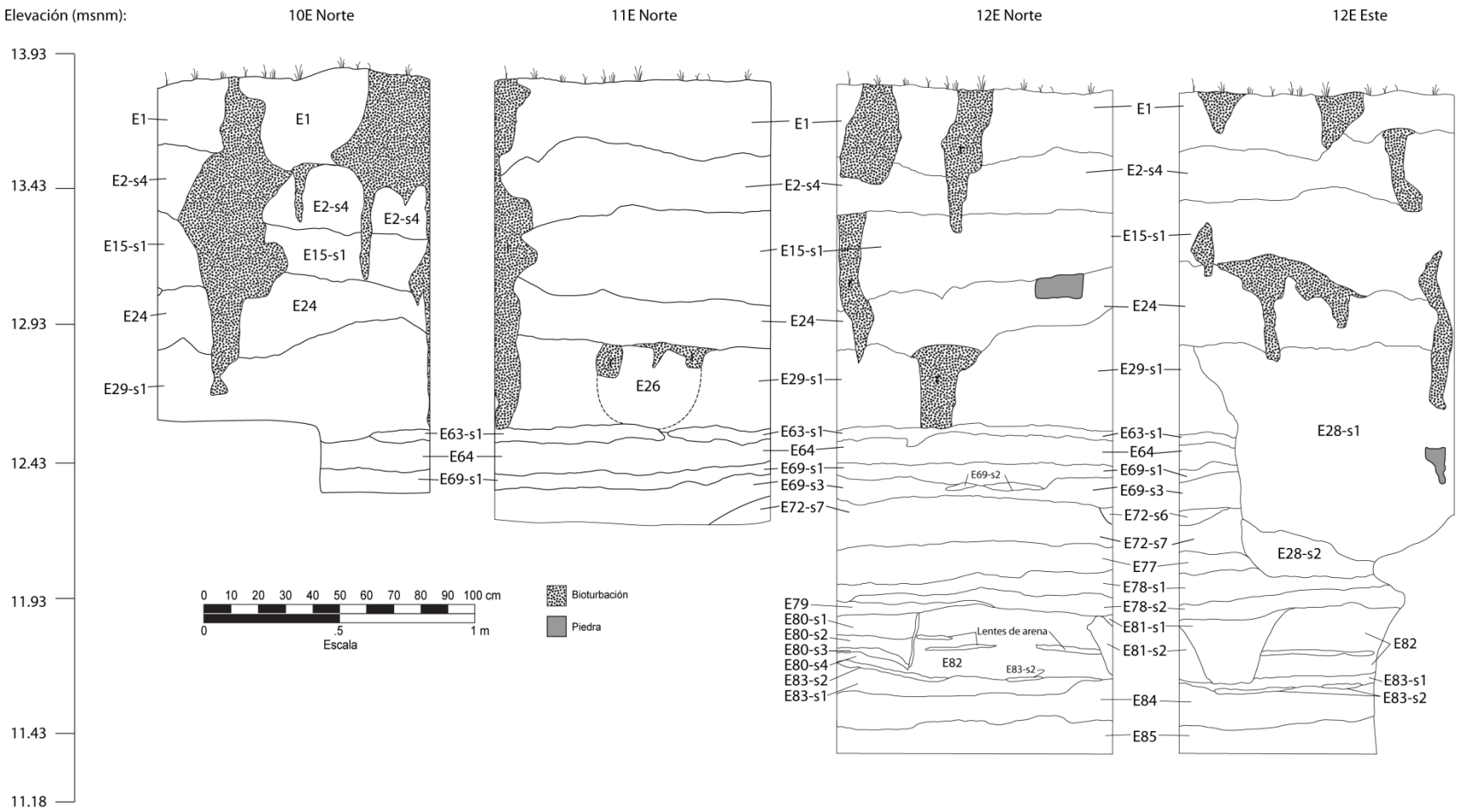


Figura 8.44: Bloque central, perfiles oeste y sur

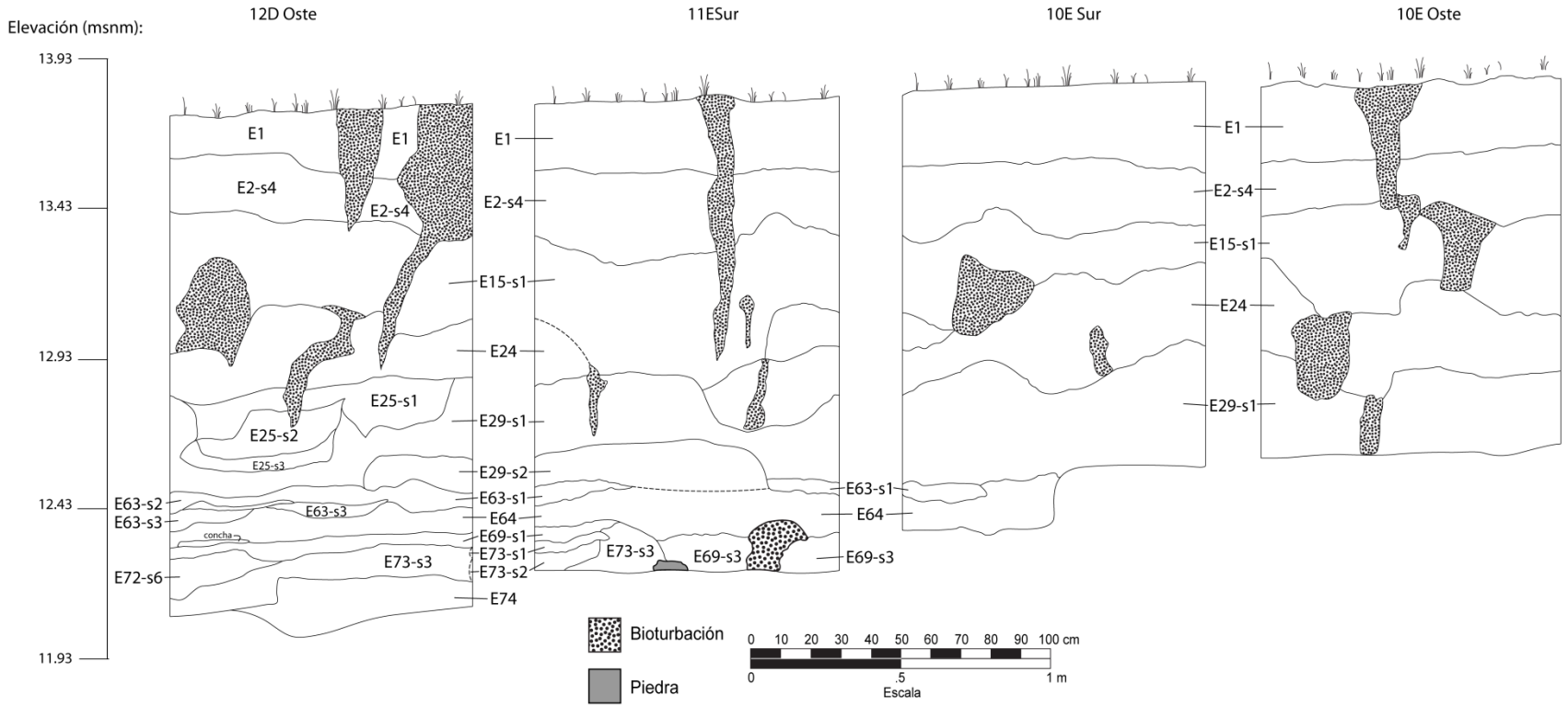


Figura 8.45: Bloque central, perfiles de la unidad 13D y 12D sur

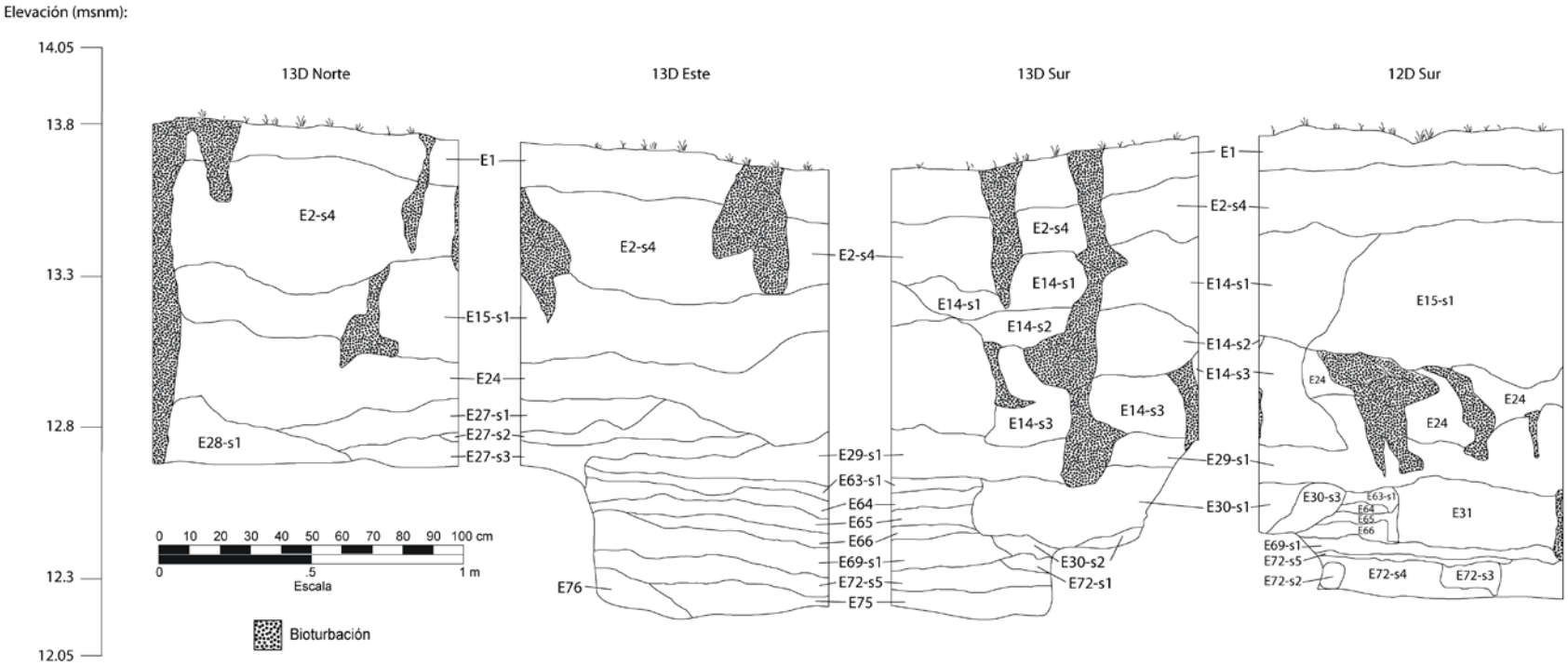


Figura 8.46: Perfiles de la unidad 10A

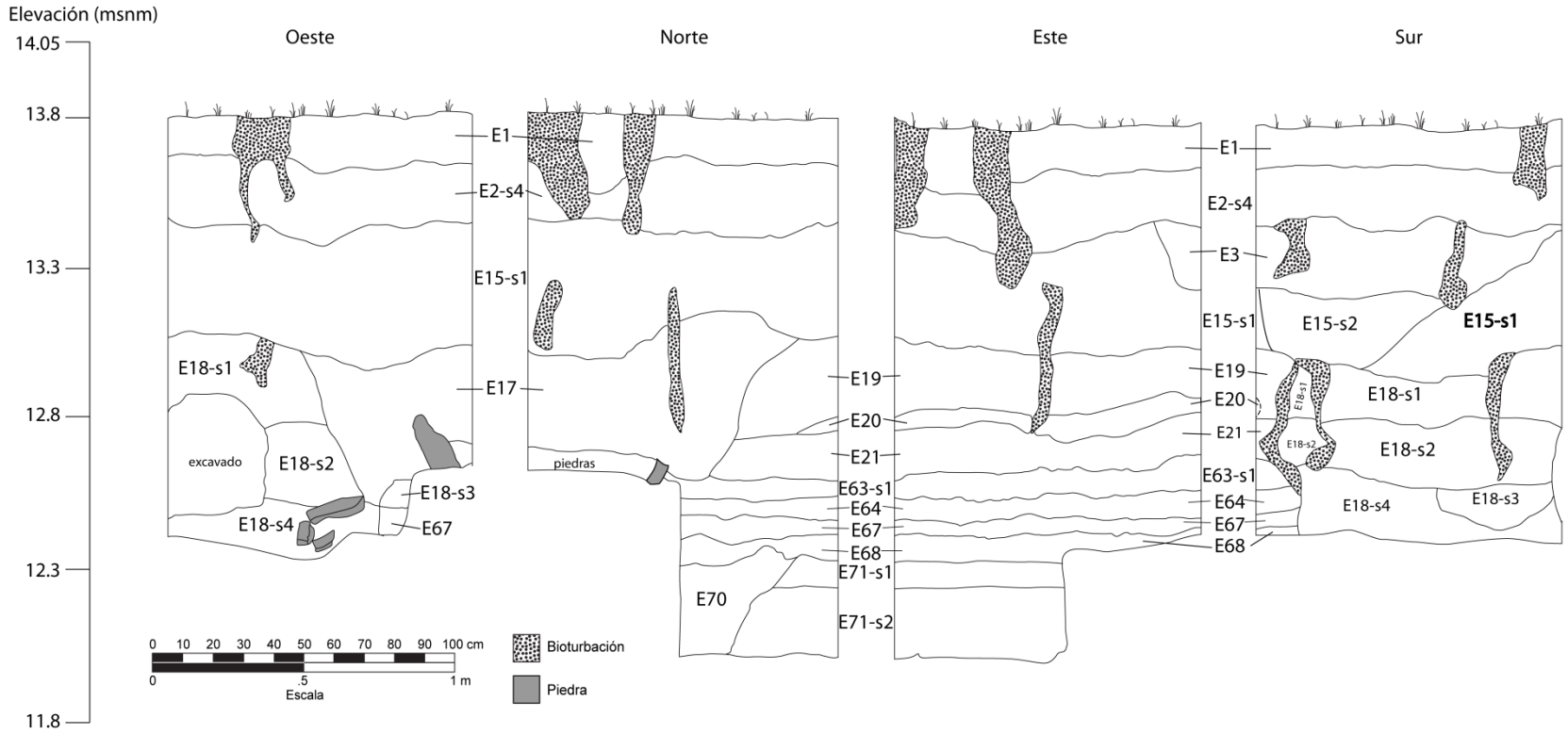


Figura 8.47: Fotografía de los estratos 63-s1, 64, y 68 en la unidad 10A

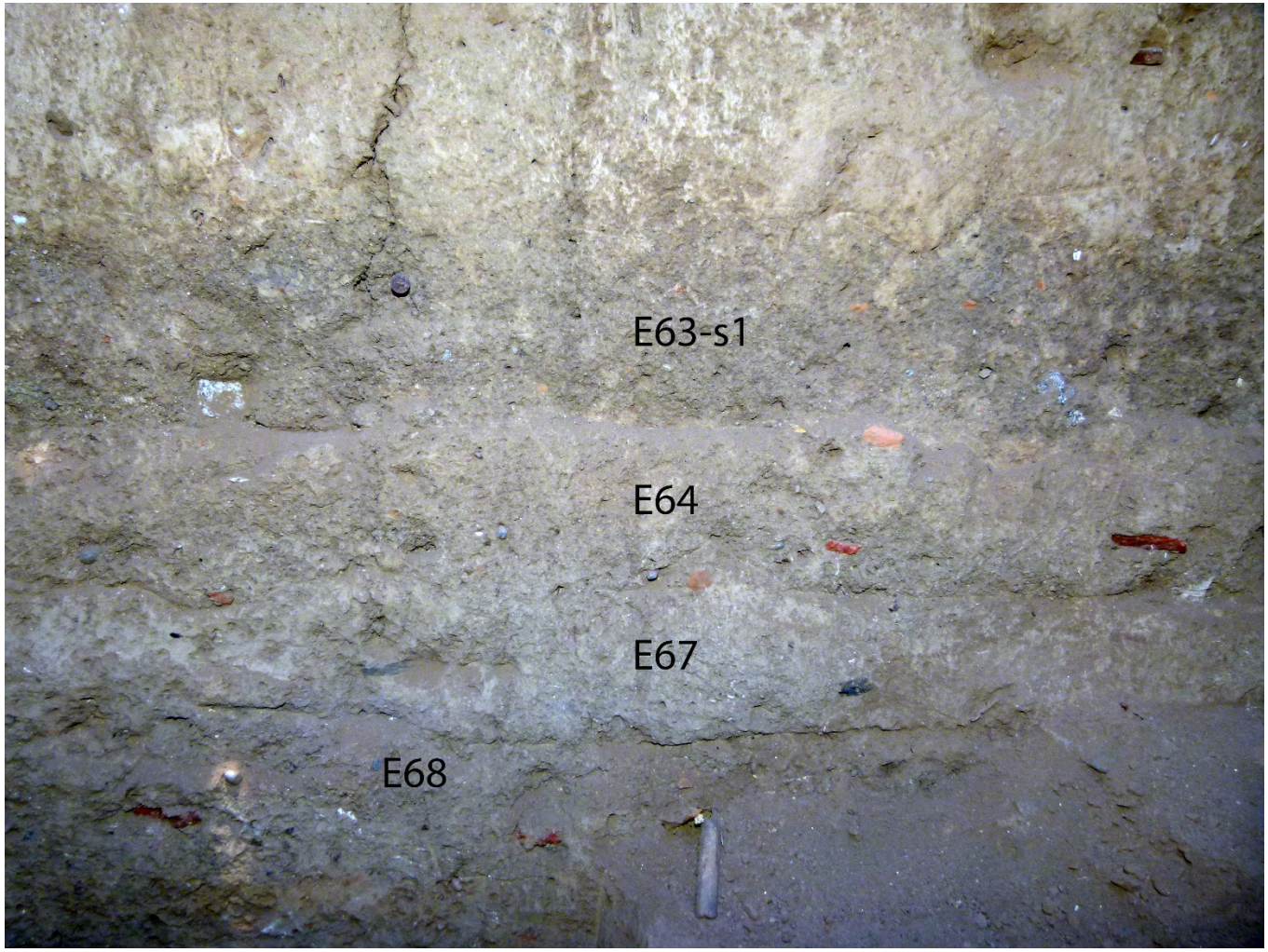


Figura 8.48: Fotografía del elemento E73, un fogón en la unidad 11E



Figura 8.49: Pefiles de la unidad 10M

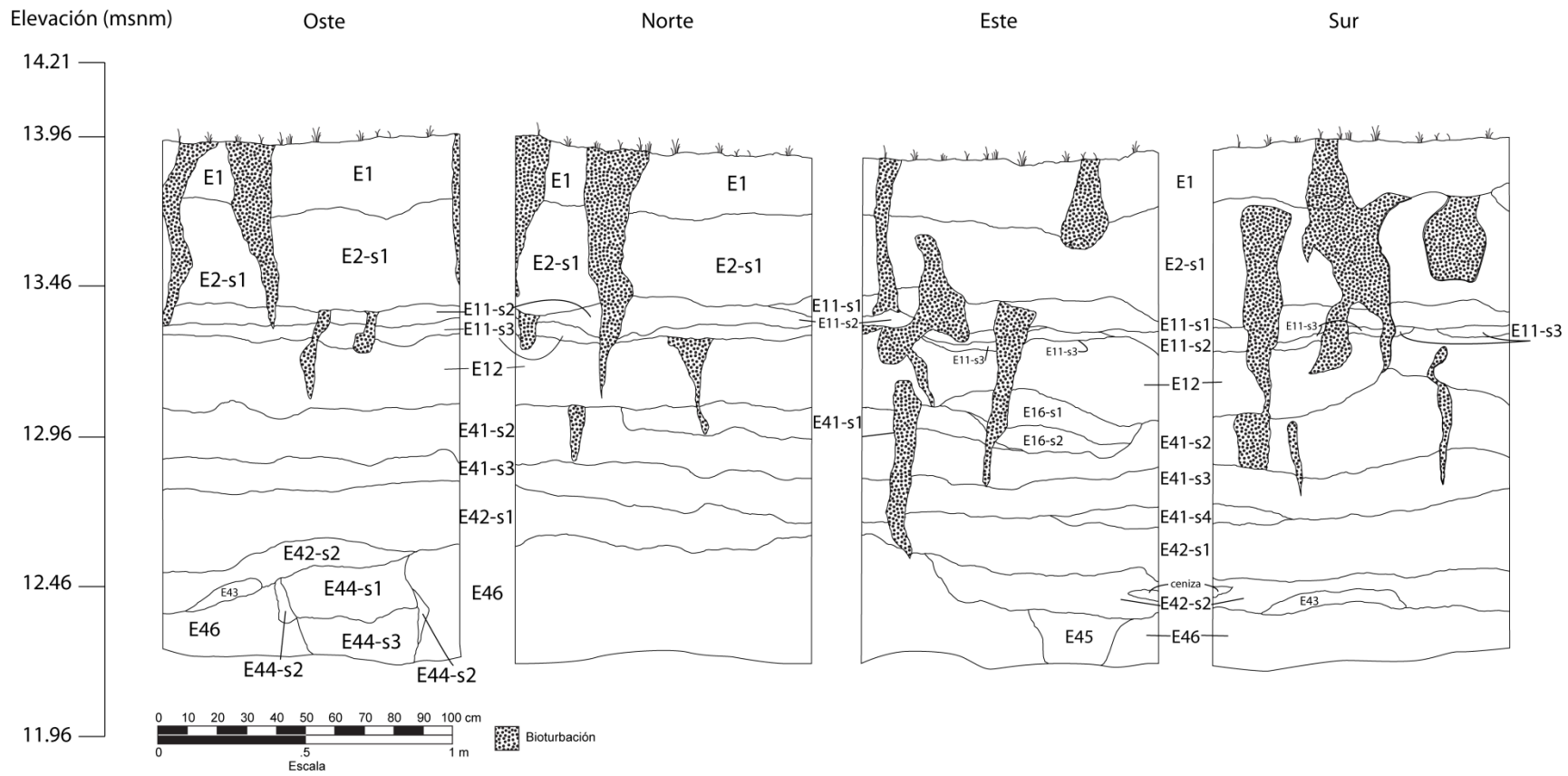


Figura 8.50: Fotografía del elemento E45, unidad 10M



Figura 8.51: Perfiles de la unidad 16E

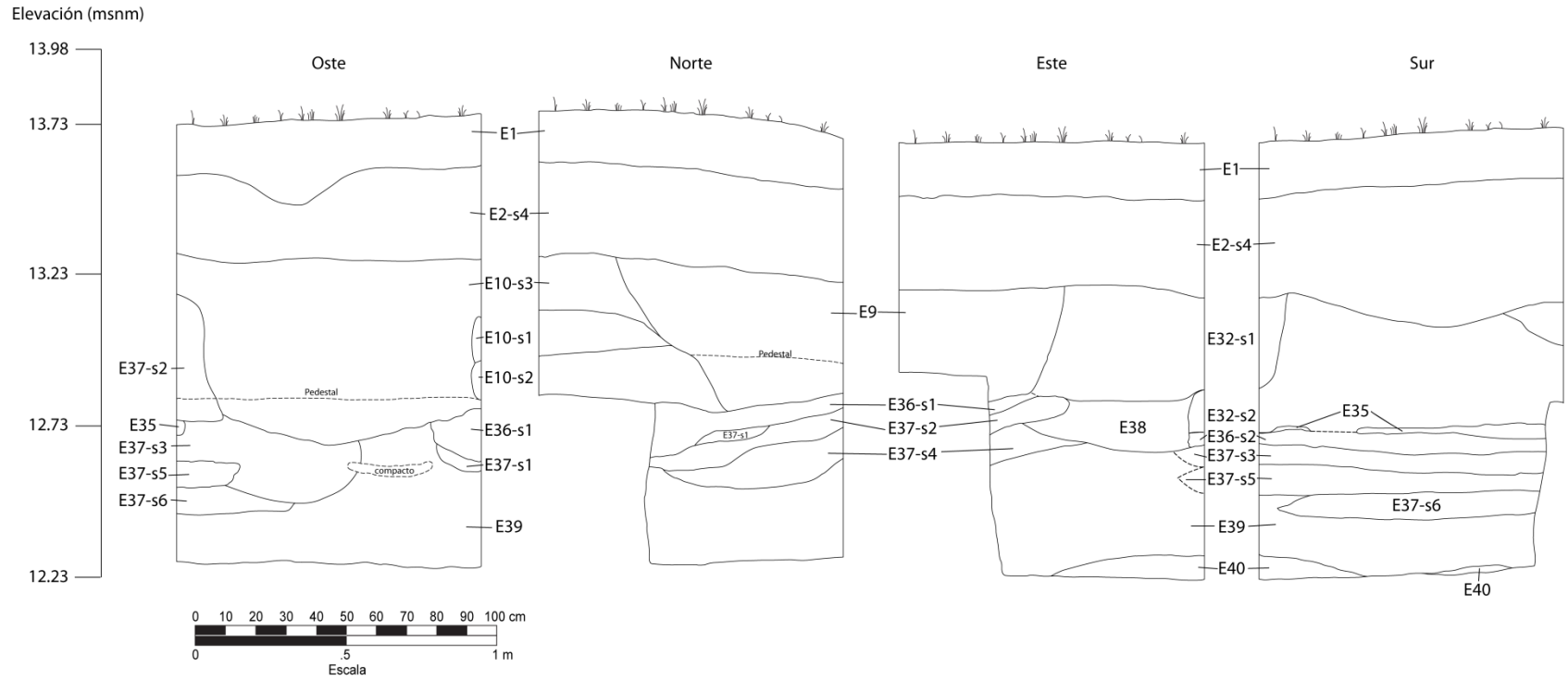


Figura 8.52: Entierro 1-Individuo 1



Figura 8.53: Entierro 7, Individuos 7 y 8



Figura 8.54: Ofrendas del Entierro 15-Individuo 16



Figura 8.55: Perfiles de la unidad 20E

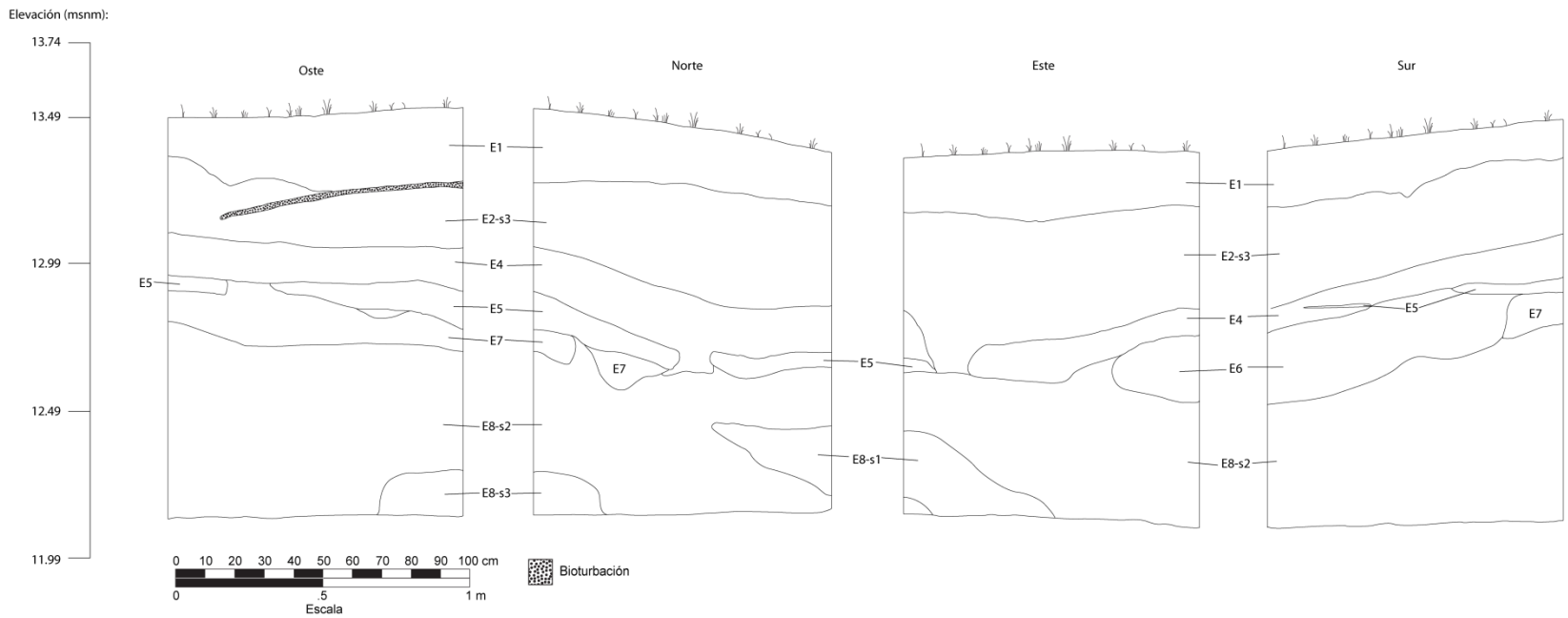


Figura 8.56: Perfiles norte e este de la Operación E

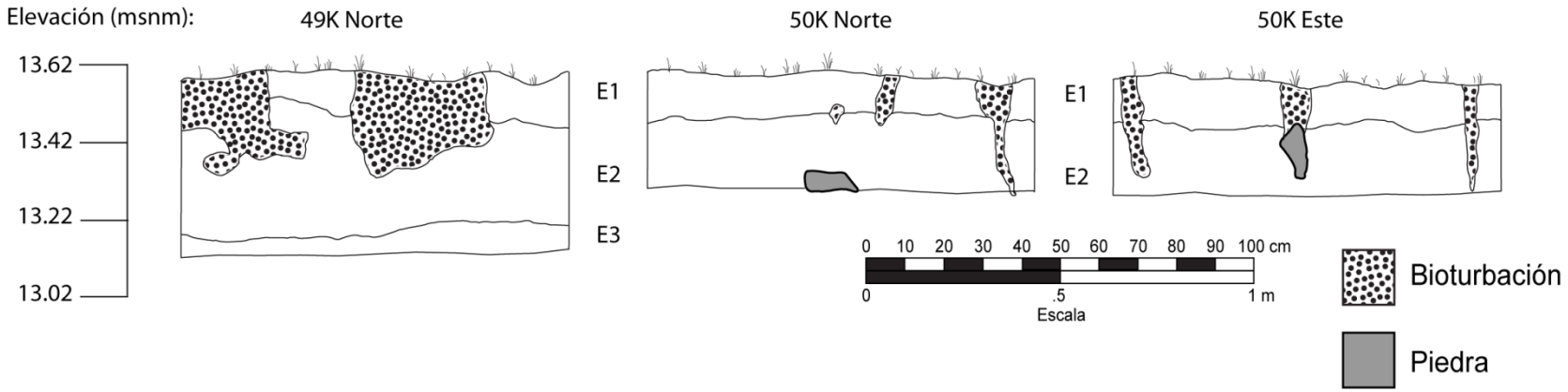
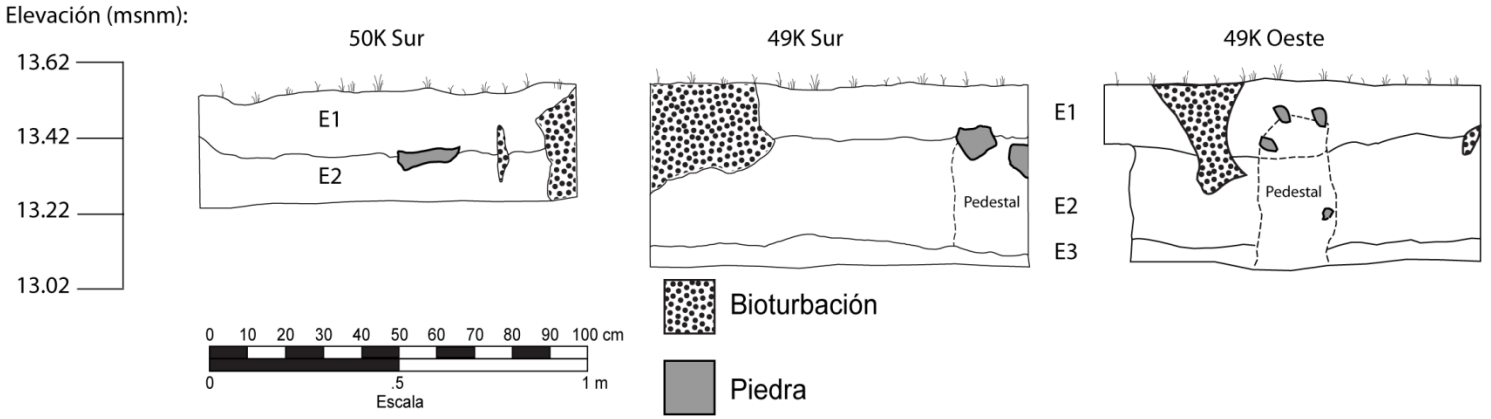


Figura 8.57: Perfiles sur y oeste de la Operación E



CAPÍTULO 9 - Recorrido Regional de Superficie

Jessica D. Hedgepeth Balkin y Raymond Mueller

9.1 Introducción

Este capítulo presenta los resultados del recorrido de cobertura completa realizado del 18 de marzo al 23 de abril durante el proyecto Rio Verde 2013 (PRV 2013). Durante la temporada de campo, la meta principal era la exploración de la manera en que cambios en la centralización política afectaron el patrón de asentamiento y de organización social a escala regional durante el ascenso y la caída de la unidad política de Río Viejo en el periodo Formativo. Los esfuerzos se enfocaron en la parte noroeste de la planicie aluvial del valle (ver Figura 9.1).

Antes de 2012, los investigadores recorrieron 152 km² en el valle del bajo Río Verde a lo largo de tres temporadas de campo (ver Joyce 1999; Joyce et al. 2009; Workinger 2002), incluyendo porciones de la planicie aluvial, el pie de monte, los valles secundarios, y la planicie costera. En 2012, como parte de un proyecto de dos años, Hedgepeth y Koukopoulos (2012) reiniciaron el recorrido de cobertura completa. Se añadieron dos partes a los esfuerzos previos: 1) un bloque de 7.85 km^2 que incluía la planicie aluvial, el valle secundario, y las tierras de pie de monte al noroeste del Río Verde, y 2) un bloque de 3.65 km^2 en el pie de cierro al este del Río Verde. En total el área recorrida fue de 163.5 km^2.

En el 2013, los investigadores cerraron el hueco entre el bloque noroeste de 2012 y el área previamente cubierta de la planicie aluvial suroeste (ver Figura 9.1; ver también Joyce 1999, Joyce et al. 2009), añadiendo 29.52 km^2 de cobertura. En el punto más al norte de esta adicción, se encuentra la unión de la carretera MX 200 y el Arroyo el Tigre, y en el punto más al sur, se encuentra el pueblo moderno de La Boquilla. De este a oeste, el recorrido corría desde Río Verde hasta el límite del pie de

monte. Los investigadores solo entraron al pie de monte para seguir los sitios que se extendían desde la planicie aluvial o desde zonas secundarias del valle hasta los cerros.

9.2 Metodología del Recorrido

La metodología del recorrido del PVR13 sigó principalmente aquella usada durante recorridos previos en la región (Joyce 1999; ver también Hedgepeth y Koukopoulos 2012; Joyce et al. 2009, Workinger 2002). El estudio de los asentamientos fue conducido por equipos que consistían en supervisores de campo (Jessica Hedgepeth Balkin, Dr. Raymond Mueller, y Paris Ferrand) y hasta cuatro trabajadores locales. Las áreas a recorrer fueron establecidas usando un equipo de GPS (Global Positioning System) en conjunto con mapas de GIS (Geographic Information Systems). Los campos fueron recorridos por miembros del equipo puestos en intervalos de 20 metros y caminando en línea recta. Los límites de los sitios fueron basados en el decline gradual de artefactos usando la regla de los "100 metros" (por ej. si los esparcimientos de artefactos están separados por más de 100 metros de espacio vacío, se consideran como sitios distintos). Los límites de los sitios fueron mapeados con GPS. También se hicieron observaciones acerca del ambiente del sitio (por ejemplo el tipo de vegetación, el nivel de erosión, características del suelo, el uso del terreno) así como de la distribución de artefactos y arquitectura (la densidad relativa de cerámica, lítica y concha, la preservación de la cerámica, la presencia o no de elementos como muros y/o piedras grabadas, el número y el tamaño de montículos).

En cada sitio, se tomaron muestras de hasta 100 tiestos de cerámica diagnóstica (bordes y tiestos de cuerpo decorados). La localización de las muestras fue colectada usando los siguientes métodos: 1) áreas pequeñas de 1-3 m^2, representadas por puntos sencillos en el GPS, y 2) áreas mayores a 3 m^2 registrado en el GPS como polígonos. El método de colección varió dependiendo del terreno, visibilidad de la superficie, y distribución de la cerámica. El segundo método fue usado con más frequencia en el 2013, ya que las muestras se encontraron en un área más amplia. Una vez la muestra recogida, se

determinó su fecha utilizando la cronología de cerámica establecida (Baillie 2012, Hedgepeth 2010, Joyce 1991; Joyce et al. 1998; 2001, Urquhart 2010). Para sitios con varios componentes, la extensión de distintos momentos de ocupación se estableció examinando la distribución de tiestos diagnósticos perteneciendo a las ocho fases cerámicas de la región.

Nuevos sitios fueron enumerados consecutivamente por región empezando con el sitio Río Verde 170 (abreviado RV170), el cual continua la secuencia numérica de temporadas de campo pasadas (ver Grove 1988, Hedgepeth y Koukopoulos 2012; Joyce 1991, Joyce 1999, Joyce et al. 2009). Finalmente, los datos obtenidos fueron registrados en una base de datos de GIS para (1) hacer un mapa detallado de los asentamientos, y (2) crear modelos geo-espaciales de los cambios en el patrón de asentamientos relacionado con la centralización de las unidades políticas durante el periodo Formativo.

La densidad de artefactos y formas arquitectónicas son elementos significantes en las descripciones de los sitios en el reste de este reporte. Por lo tanto, es necesario proveer de una breve discusión de la terminología empelada. La densidad se discute en referencia a dos tipos de artefactos mayores: tiestos de cerámica y metates. Las tablas 9.1 y 9.2 muestran las categorías relativas utilizadas en este estudio. Naturalmente, la densidad se cuantifica de manera deferente para cada tipo de artefacto debido a 1) la varianza en uso, y 2) la tendenciade vasijas de cerámica individuales a romperse en múltiples piezas pequeñas. En otras palabras, se requieren menos metates por hectárea para constituir una “alta” densidad.

Tabla 9.1: Categorías Relativas de Densidad de Cerámica

Categoría Ordinal	***Densidad (por m^2)***
Muy Bajo	*< 1*
Bajo	*1-5*
Mediano	*5-10*
Alto	*10-25*

Tabla 9.2: Categorías Relativas de Metates

Categoría Ordinal	***Densidad (por ha.)***
Baja	*<1*
Mediana	*1-5*
Alto	*>5*

En cuanto a la arquitectura, el resto de esta sección se enfocará en categorías de paredes de piedra y estructuras observadas durante el recorrido del 2013. Los tipos discutidos son también comunes en otras partes del bajo Río Verde (ver Barber et al. 2013, Joyce 1991; Joyce et al. 2013, 2009, 1999). Dos formas importantes de paredes de piedra pueden ser definidas: muros de contención y muros de cimientos. El anterior fue usado para contener o soportar el relleno de construcción de terrazas y plataformas (ver abajo). Estos consistían en una o más capas de piedra. En casos excepcionales, piedras verticales trabajadas – u ortostatos – también fueron colocadas dentro de paredes de retención, tal como en Cerro de la Cruz (Joyce 1991:179), La Soledad (Hedgepeth y Koukopoulos 2012), y dos de los sitios mencionados abajo (RV50 y RV188). Por el otro lado, las paredes de cimiento eran paredes sin soporte localizadas directamente sobre la superficie del suelo o introducidas unos cuantos centímetros por debajo el nivel del suelo. Estas paredes se usaban para delinear un espacio ocupacional relativamente plano, el cual era frecuentemente de forma rectangular o cuadrada. Estas podrían haber soportado paredes perecederas hechas de materiales tales como bajareque, adobe, o madera.

En ocasiones, artefactos de la superficie y formas arquitectónicas permitan una descripción más específica de los eventos que tuvieron lugar en estos espacios. Por ejemplo, las actividades residenciales pueden ser indicadas por desechos domésticos tales como cerámica o piedra trabajada dentro de pequeños espacios cerrados. Las actividades públicas o administrativas pueden ser sugeridas por plazas o arquitectura ceremonial tal como canchas de juego de pelota y artefactos como estelas y grandes cantidades de cerámica decorada elaboradamente que se usaba probablemente para festines.

Además de los cimientos, se registraron dos categorías de estructuras durante el recorrido de 2013: terrazas y plataformas. Las terrazas son superficies planas cerradas durante la adición de capas de relleno a una pendiente natural, la cuales fueron estabilizadas por por lo menos un muro de contención (ver Joyce 1991:87). Por el otro lado las plataformas consisten en relleno elevado artificialmente sobre la superficie natural del suelo y contenido en sus cuatro lados por paredes de contención. Debido a la apariencia tipo cerro de estas estructuras, el término "montículo" también es utilizado frecuentemente para describirlas. Debe ser notado que la erosión, construcción moderna, y otras perturbaciones remueven frecuentemente partes significantes de muros de contención. Como resultado, las plataformas descritas abajo se deben de interpretar con precaución.

9.3 Resultados

El recorrido de 2013 descubrió 24 sitios de entre 0.02 a 75.12 hectáreas (ver Figura 9.2), con Comino de la Humedad (75.12 ha) y Piedra Ancha (69.2 ha) representando los asentamientos más grandes. Síes asentamientos (RV39, RV43, RV50, RV51, RV52 y RV74) ya fueron investigados durante proyectos anteriores (ver Brockington 1974; Grove 1988; Joyce 1991; Joyce y Winter 1989). Cada sitio inspectado durante el PRV-13 está descrito en esta sección. El apéndice B provee los registros públicos de monumentos y zonas arqueológicos del INAH perteneciente a cada sitio, incluyendo mapas basados en datos de GPS.

9.3.1 RV39: Emiliano Zapata

Emiliano Zapata (RV39) fue registrado por primera vez durante el Proyecto Arqueológico Rio Verde (RVAP) en 1986 durante un recorrido regional (ver Grove 1988; Joyce y Winter 1989). Este sitio de 7.56 hectáreas (Figura 9.3) colinda con la frontera suroeste de pueblo moderno de Emiliano Zapata y se encuentra alrededor de 100 metros al noroeste de MX 200. RV39 es un sitio del bajo pie de monte, en el

borde de un valle secundario. Como tal, el sitio tiene un pendiente muy gradual- se encuentra entre 25-30 metros sobre el nivel del mar- y tiene erosión leve a moderada.

La arquitectura del sitio de Emiliano Zapata (RV39) consiste en 1) un muro de piedra en la parte noreste del sitio, y 2) terrazas probables (T1, T2, T3 y T4) en la mitad oeste cerca de las concentraciones de artefactos 1 y 2 (ver Figura 9.3). Además del muro, un metate hecho dentro de una piedra grande también fue registrado en el borde este del sitio, aunque fue encontrado a más de 100 metros al sur del muro. Cada una de las terrazas al oeste contenía por lo menos un muro de contención. En dos casos (T1 y T2), más de un muro fue registrado, los cuales pueden representar diferentes lados de la terraza (es decir, el lado oeste y el lado este). En vez de cuatro terrazas separadas, es posible que dos terrazas escalonadas fueron originalmente construidas consistiendo en 1) T1 y T2, y 2) T3 y T4 (ver Figura 9.3). Esta posibilidad se puede sugerir ya que los muros en cada pareja fueron construidos en elevaciones diferentes. Además, dos pequeños fragmentos de muro se encontraron en elevaciones intermediaras entre T3 y T4. Aunque los propósitos de estos pequeños muros no se conocen, es posible que fueron asociados con “escalones” adicionales de las terrazas.

La cerámica hallada indica que Emiliano Zapata (RV39) fue poblado durante las fases Chacahua y Yuta Tiyoo. La ocupación más grande ocurrió durante la fase Chacahua.

9.3.2 RV43: Camino Charquito el Guayaba

Camino Charquito el Guayaba (RV43) fue registrado por primera vez durante el recorrido del RVAP (Grove 1988; Joyce y Winter 1989). El sitio se ubica a alrededor de un kilómetro al noroeste del pueblo de Charco Nduayoo. Las poblaciones locales se refieren comúnmente a este pueblo como “El Charquito”, el nombre de la laguna adyacente a su borde este. El RV43 se ubica sobre un abanico aluvial en la base del pie de monte (ver Figura 9.4). De esta manera, el sitio incluye componentes de ambos los valles secundarios y el pie de monte, y se eleva entre 40 y 50 metros sobre el nivel del mar. Midiendo

9.95 hectáreas, RV43 se está utilizando actualmente como terreno de cultivo y las actividades de arado han perturbado los depósitos arqueológicos al noreste.

Los vestigios prehispánicos hallados en Camino Charquito el Guayaba (RV43) consisten en gran parte de piedra trabajada y artefactos de cerámica. La única arquitectura incluye dos muros al sureste del sitio. Es evidente que la preparación de comida se llevaba a cabo en el sitio ya que los investigadores registraron cuatro metates en total en la parte norte del sitio. Tres metates estándares fueron encontrados dispersos ampliamente, y un metate de roca era ubicado en una subida natural que había sido altamente arada. Los investigadores no observaron ninguna evidencia de arquitectura formal en esta subida pero es posible que algunas de las numerosas y dispersas piedras antes formaban parte de muros prehispánicos.

En general, la densidad cerámica era relativamente baja en RV43. Además de la muestra 2, una muestra debajo de la superficie (la muestra 1) fue tomada a 60-80 centímetros debajo de la superficie de un perfil de suelo expuesto en el sureste por la irrigación moderna. La cerámica indica que el sitio fue ocupado durante las fases Chacahua y Yuta Tiyoo.

9.3.3 RV50: Piedra Ancha

Midiendo 69.20 hectáreas, Piedra Ancha (RV50) es el segundo sitio más grande del recorrido del 2013, después de RV170. El sitio fue registrado por primera vez por Brockington (ver Brockington 1974) durante su *Oaxaca Coast Project* en 1970-1971. El RVAP también investigó el sitio (Grove 1988; Joyce y Winter 1989; ver también Joyce 1991:413-416). En su frontera noroeste, RV50 colinda con el pueblo moderno de Atotonilquillo y su parte noreste se extiende hasta el pueblo moderno de Piedra Ancha. Por cuestiones de tiempo, no se pudo hacer un recorrido formal del pueblo de Piedra Ancha, y por lo tanto es posible que RV50 se sigue más al este.

Los vestigos arqueológicos en Piedra Ancha (RV50) se agrupan principalmente en el pie del monte bajo, en una cresta que atraviesa el sitio (ver Figura 9.5). Una pequeña parte del asentamiento se halla en las crestas arriba de estas laderas, en los cerros bajos al sur, y en valles secundarios al noreste. Como resultado de la variación topográfica, la elevación del sitio es entre 25-120 metros sobre el nivel del mar. Áreas del sitio que se encuentren en el pie de monte están entre 40 y 120 metros sobre el nivel del mar, mientras que áreas sobre la planicie aluvial y los cerros bajos se encuentren a 25-40 metros sobre el nivel del mar. No es sorprendente que la bioturbación es muy intensa en las laderas del pie de monte, donde el sedimento así como tiestos de cerámica que están erosionándose se pueden apreciar. Por lo tanto, la densidad de la cerámica es más alta en estas cuestas y más baja en la cumbre de las crestas. Es muy probable que vestigios arqueológicos en la base de las cuestas han sido enterrados por sedimento.

El uso de terreno moderno y las perturbaciones en Piedra Ancha también varían considerablemente. Los impactos más grandes al sitio provienen de áreas a las afueras de los pueblos modernos de Atontonilquillo y Piedra Ancha. Además de estas zonas urbanizadas, la mayoría de la mitad norte del sitio se usa para el cultivo y como terreno de pastura, con el cultivo confinado al terreno más plano. Las áreas al pie de monte más inclinadas están cubiertas por un bosque de arbustos. La mitad sur del sitio muestra una distribución topográfica similar a áreas cultivadas en comparación a áreas de poca vegetación.

Como se muestra, la mayor parte de la arquitectura en Piedra Ancha se localiza en las laderas del pie de monte. Esta discusión se divide geográficamente entre los restos encontrados: 1) sobre y al norte de la cresta, y 2) al sur de la cresta. La ocupación parece ser más intensa al norte. Esto probablemente es debido al hecho de que las cuestas tendían a ser más inclinadas al lado sur de la cresta.

Un posible sector residencial podría ser definido junto a la frontera noroeste del pueblo moderno de Piedra Ancha. La mayoría de este sector se localiza en un radio de 300 metros del pueblo (muestras 4, 6, y 9-11; T1-T3), pero algunos restos se encuentran esparcidos a 500 metros de distancia (muestra 4; ver Figura 9.5). Aquí, los habitantes del sitio ocuparon las laderas de entre 40 y 60 metros sobre el nivel del mar. La mayoría de las áreas ocupadas se encontraban sobre terrazas naturales creadas sobre afloramientos de roca madre o por rocas grandes. En algunos casos, estas superficies podrían haber sido aplanadas artificialmente, o modificadas añadiendo sedimento de otro lugar. Sin embargo, por lo menos dos áreas fueron formalmente convertidas en terrazas. La primera incluye una secuencia de por lo menos tres terrazas a elevaciones diferentes (T1, T2, y T3; ver Figura 9.6) con muros de contención visibles. Uno de los muros fue construido utilizando 2-3 capas horizontales de piedras grandes (Figura 9.7). A más de 250 metros de la frontera este del sitio, otro grupo de terrazas (T4 y T5) fue registrado a distintas elevación. Una de las terrazas (T4) contaba con un muro de contención en su lado sureste, cuesta abajo. Varios muros más pequeños también fueron registrados en la superficie de la T4, que cuales formaron pequeños espacios rectangulares (ver abajo). Dos terrazas adicionales pueden haber sido construidos al noreste (T6) y al noroeste (T7).

En general, la evidencia de actividad residencial es diversa a lo largo de las laderas norte del pie de monte. En la mayoría de las áreas asentadas, los investigadores observaron muy poca arquitectura visible además de una pequeña cantidad de muros de contención perteneciendo a terrazas. Típicamente en el caso de encontrarse muros aislados, solo serían uno o dos los que se registraron sobre ambos las terrazas artificiales o las superficies naturalmente planas de las cuestas ocupadas. Por lo tanto, es difícil determinar si fueron cimientos de residencias o muros de contención para plataformas bajas. Sin embargo, los espacios rectangulares delimitados en la Terraza 4 posiblemente son cimientos de residencia. Es posible que la evidencia de residencias en otras áreas haya sido destruida por fuertes

perturbaciones en el área ocasionada por erosión, pastura de ganado, y actividades agrícolas (ver arriba). Evidencia adicional de actividades domésticas incluye una densidad media de metates (menos de 15 a lo largo de 14 hectáreas aproximadamente), la mayoría de los cuales se hallaron dentro de rocas grandes. La densidad de metates más elevada se encuentra en la frontera este de RV50, dentro de 200 metros del pueblo moderna de Piedra Ancha.

Las actividades residenciales también pudieron haber ocurrido sobre las crestas elevadas entre 60-120 metros sobre el nivel del mar, donde las áreas naturalmente planas fueron ocupadas (muestras 7 y 8; ver Figura 9.5). Mientras que no se registró casi nada de arquitectura, muchos metates de roca fueron encontrados al lado este de una cresta con un pequeña área de 360 m². Sin duda, los habitantes del sitio aprovecharon una concentración natural de rocas grandes. De igual manera, altas densidades de metates se han encontrado en otras áreas del bajo Verde tales como en Las Pilitas/Yucutita (RV32; ver Joyce 1999:14-15) y Monte El Santo (RV158; ver Hedgepeth y Koukopoulos 2012:507, 512). Dichas áreas pudieron haber sido usadas para el procesamiento especializado de maíz, posiblemente para un arreglo comunal (Hedgepeth y Koukopoulos 2015:512; Joyce 1999:14-15).

Áreas aluviales y en el pie de monte cercanas a la frontera norte del sitio (muestras 1-3; ver Figura 9.5) contenían características menos definidas que otras áreas descritas hasta el momento. En la zona aluvial, un solo mano de metate fue encontrado en una colina muy baja, y dos pequeños fragmentos fueron registrados en las cercanías (alrededor de 70 metros al norte). En contraste con las otras cuestas ocupadas más al sur, los habitantes del sitio solo se establecieron en los cerros del bajo pie de monte (40 metros sobre el nivel del mar) en la punta norte del sitio. Allí, la única evidencia de ocupación que se encontró fue tepalcates esparcidos (muestras 1-3).

En la mitad sur de RV50, otro posible sector residencial se localiza cerca de la frontera suroeste del pueblo moderno de Piedra Ancha. La ocupación se localizó en una sola cuesta (muestras 13 y 16-17;

ver Figura 9.5) donde al menos tres niveles diferentes fueron ocupados, con un rango de entre 40 a 80 metros sobre el nivel del mar. Tal como en áreas más al norte (muestras 4, 6, y 9-11; T1-T3), los constructores crearon terrazas artificiales a partir de paredes de contención creadas por el hombre (T8-T-11) y también utilizaron afloramientos de roca natural. Uno de los muros de contención fue construido utilizado ortosatos (Figura 9.8). Ya que se encontraron paredes más pequeñas y más de 25 metates en las superficies ocupacionales, ese sector probablemente era residencial. Desecho domestico adicional se encontró esparcido al noroeste de este grupo; los investigadores detectaron más de 15 metates y varios restos de pared.

Muestras de cerámica indican que Piedra Ancha fue asentada desde la fase Miniyua hasta los tiempos después de la conquista española. La ocupación más grande ocurrió durante la case Coyuche. Los asentamientos iniciales de la fase Miniyua se ubicaron en las pequeñas áreas al norte (muestra 2) y al este (muestras 10 y 11) del sitio. Durante la fase Chacahua, la ocupación se extendió a casi todas las áreas de Piedra Ancha con la excepción del sector residencial al sur (muestras 13-17). Solo el componente noroeste de esta área contaba con una fecha de la fase Chacahua (muestra 12). El asentamiento de la fase Coyuche era continuo en casi las mismas áreas de RV50. La ocupación en el sector residencial al sur se amplió para cubrir todas las áreas menos los componentes al noreste (muestra 14) y al centro (muestra 16). Durante la fase Yuta Tiyoo, partes del sitio al este y al noreste fueron abandonados (S3, S5, S6, S7, S9 y S11). Sin embargo, por primera vez todos los sectores residenciales al sur fueron ocupados (muestras 12-17). El asentamiento se redujo aún más durante la fase Yugüe, cuando contaba solamente pequeñas partes de los componentes este (muestra 6) y sureste (muestra 14). Durante la fase Yucudzaa, la ocupación solo continuó alrededor de la muestra 6. Después de la conquista española, el asentamiento se movió hacia una pequeña área en la punta norte del sitio, cerca del pueblo moderno de Atotonilquillo (muestra 1).

9.3.4 RV51: Loma Emiliano Zapata

Loma Emiliano Zapata (RV51) es un pequeño sitio (0.12 ha) ubicado a 400 metros al oeste del pueblo moderno de Emiliano Zapata. El sitio fue registrado por primera vez en 1986 durante el recorrido de RVAP (Grove 1988; Joyce y Winter 1989). Ubicado entre dos laderas del pie de monte, RV51 se ubica en una colina natural que mide entre 35-40 metros sobre el nivel del mar. Como resultado, la erosión es moderada. Actualmente, el sitio no está siendo cultivado. Ningún elemento arquitectónico ha sido encontrado (ver Figura 9.9). La densidad de artefactos es muy leve, y la única muestra (muestra 1) recogida indica que Loma Emiliano Zapata (RV51) fue ocupada durante las fases Chacahua y Coyuche.

9.3.5 RV52: Loma la Boquilla

Loma La Boquilla (RV52) es un sitio de 10.16 hectáreas ubicado a 1 kilómetro al noroeste del pueblo moderno de La Boquilla. El sitio fue originalmente investigado durante el recorrido del RVAP (Grove 1988; Joyce y Winter 1989). Es posible que RV52 forma parte del sitio de La Boquilla (RV17) que se extiende dentro del pueblo moderno del mismo nombre (ver Grove 1988:15-16; Joyce 1991:10-11). Se necesitaría más investigación para confirmar las fronteras de estos sitios.

RV52 se ubica en las laderas del pie de monte en una altitud de 25-60 metros sobre el nivel del mar (ver Figura 9.10). Geológicamente, estas laderas se pueden dividir en tres categorías, de elevación más alta a más baja: 1) cuestas, 2) pie de monte con erosión, y 3) pie de monte sedimentario. La segunda categoría también se puede llamar “pediment” en inglés e incluye superficies planas de roca madre que están creadas por procesos de erosión. Tales áreas fueron áreas de depósito del pie de monte. Esto es importante, ya que áreas del pie de monte son ideales para la ocupación humana (ver Figura 9.11). En términos de uso de terreno, ambos las cuestas y el pie de monte están cubiertas por vegetación gruesa (árboles y arbustos), por los cuales la visibilidad es difícil. A cambio, zonas más bajas del pie de monte sirven actualmente como áreas de pastoreo.

La arquitectura en Loma La Boquilla (RV52) se localiza en elevaciones más altas. Por lo menos 3 a 4 terrazas probables (T1-T4) con muros de contención fueron registrados en la frontera sur del sitio, donde el pie de monte se transforma en una zona de crestas (alrededor de 50-70 metros sobre el nivel del mar; ver Figura 9.10). Cuatro muros de contención más pequeños de propósito desconocido fueron también encontrados en esta área. Cuesta debajo de estas terrazas, cerca a la frontera oeste del sitio, los investigadores encontraron dos pequeños muros adicionales. Un metate en roca también fue registrado a 60 metros al norte de estos muros, cerca de la muestra 3.

Los vestigios arquitectónicos en el bajo pie de monte fueron mucho menos completos, debido en gran parte a las actividades de pastoreo actuales (ver arriba). Solo 4 pequeños muros fueron registrados cerca de la esquina noroeste del sitio. Dos metates también fueron encontrados al norte y al este.

En general, la densidad de artefactos en RV52 fue baja, aunque la vegetación pudo haber afectado estos resultados. Muestras de cerámica indican que el sitio fue ocupado durante las fases Minizundo, Coyuche, y Yugüe, con la ocupación más importante durante esta última fase.

9.3.6 RV74: La Humedad

La Humedad (RV74) se ubica alrededor de 600 metros al noroeste del pueblo moderno del mismo nombre. El sitio se extiende desde una cuesta hacia un valle secundario con una elevación de entre 40 a 60 metros sobre el nivel del mar (ver Figura 9.12). La Humedad (RV74) fue registrado por primera vez por Brockington (1974) como “La Humedad #1”. El sitio también fue registrado durante el RVAP (Grove 1988; Joyce y Winter 1989: 260; Joyce 1991: 117) y fue mapeado por Joyce en 2000 con una estación total. Por la construcción reciente de una fábrica de concreto sobre el sitio (Figura 9.13), muchas de sus plataformas prehispánicas así como otros elementos arquitectónicos fueron sistemáticamente destruidos. Por lo tanto, las 10 ha del sitio es una estimación.

Antes de la construcción de la fábrica de concreto en 2011-2012, La Humedad (RV74) contaba con montículos de un tamaño considerable, una cancha de juego de pelota, y muchas estelas lisas y grabadas (ver Joyce 1991:434). Jorrín (1974:37) describe una estela que tenía una figura grabada viendo hacia enfrente que llevaba un tocado con "cascadas de volutas y una masa de plumas rectas emergiendo de la parte superior [en inglés: *sweeping side scrolls and a mass of straight plumes emerging from the top*]". La ubicación de esta estela no se conoce actualmente, ya que no fue encontrada durante el mapeo con estación total en 2000. La mayoría de las otras estelas fueron probablemente enterradas o destruidas durante la construcción de la fábrica, ya que ninguna fue hallada durante la temporada de campo de 2013.

Actualmente, solo cuatro elementos arquitectónicos se pueden observar en la superficie del sitio: la única cancha de juego de pelota del sitio en el borde este del sitio, un pequeño montículo en la esquina sureste (montículo 1; ver Figuras 9.12 y 9.14), y dos muros aislados al suroeste. El montículo 1 todavía contiene muros de contención alrededor de sus lados este y sur así como un muro más pequeño arriba. La cancha de juego de pelota y las estelas registradas durante los recorridos anteriores (Brockington 1974; Jorrín 1974; Joyce 1991) sugieren que el sitio fue utilizado durante ceremonias públicas y/o por metas administrativas. La evidencia indica que también había residencias allí (ver Joyce 1991:434).

No se encontraron ninguna muestra de cerámica diagnostica en La Humedad durante el recorrido de 2013. Sin embargo, muestras anteriores (Brockington 1974; Joyce 1991:410-436), indican que el sitio fue asentado durante las fases Miniyua y Yugüe.

9.3.7 RV170: Camino a La Humedad

Camino a La Humedad (RV170) representa el sitio más grande encontrado durante el recorrido del 2013. Midiendo 75.12 hectáreas, el sitio se encuentra en los dos lados de la carretera MX 200 e

incluye la totalidad del pueblo moderno de La Humedad. El sitio se extiende desde la convergencia de los arroyos La Humedad y La Soledad al oeste, y se diriga hacia el pie de monte. Por lo tanto, alrededor de dos tercios del sitio se ubica en la zona secundaria del valle con una elevación de entre 40 a 120 metros sobre el nivel del mar (ver Figura 9.15). En el sureste, los habitantes prehispánicos aprovecharon de un abanico aluvial que se encuentra un poco elevado sobre el valle. Los depósitos allí fueron más estabilizados por su altitud un poco más elevada así como la presencia de la vegetación local como árboles y arbustos. La porción del sitio al oeste, en el pie de monte, se encuentra debajo de las laderas más inclinadas, haciendo que las ocupaciones aquí fueron ligeramente más elevadas que en la zona secundaria del valle.

Las perturbaciones más importantes al RV170 son por la carretera MX 200 y por el pueblo de La Humedad, al noreste. Por la presencia de residencias y negocios modernos, el equipo no pudo detectar arquitectura ni pudo definir sectores del sitio dentro del pueblo moderno. Otras áreas del sitio son mucho menos afectadas por actividades modernas. Actualmente, la parte sureste del RV170 está siendo irrigada para crear tierra de pastoreo. La parte oeste del sitio está dedicada principalmente a las actividades de cultivo o de pastoreo. Al suroeste, el alto nivel de erosión está destapando muros prehispánicos en los lados cuesta arriba del pie de monte, pero no en los lados cuesta abajo.

La mayoría de la arquitectura registrada en Camino de La Humedad (RV170) se ubica en el tercio sureste del sitio, particularmente alrededor de la carretera MX 200 (ver Figura 9.15). Evidencia preliminar sugiere que la mayoría de los restos en esta área están asociados con actividades residenciales, aunque también pudieron haber tenido eventos cívico-ceremoniales. Un área potencial por estas actividades es un posible montículo-plataforma (M1) del lado este de la carretera donde se registraron las muestras de superficie 2 y 3. La muestra 2 se halló en la superficie del montículo, mientras que la muestra 3 se trataba de una muestra de debajo de la superficie, tomada de una

trinchera moderna que atraviesa el montículo (ver Figura 9.16). La trinchera expuso relleno de construcción compuesto por desecho como pequeños tiestos de cerámica (Figura 9.17). Las observaciones iniciales sugieren que el relleno se elevaba probablemente entre 75 cm a 1 metro sobre la superficie del valle, aunque se necesitaría más investigación para comprobarlo. Arriba del montículo una variedad de artefactos eran presentes tal como lascas de obsidiana, cerámica decorada y sin decoración, y una azuela. Sin embargo, por la perturbación causada por actividades modernas de irrigación y de pastoreo, se encontró poca evidencia prehispánica de muros de contención o de muros en la superficie de le montículos.

El Montículo 1 probablemente continua al lado oeste de la carretera MX 200 (ver Figura 9.15), donde fueron registrados por lo menos cuatro muros y un metate en su superficie. Tal como en la plataforma este, los muros de contención y otros elementos arquitectónicos probablemente fueron destruidos para crear tierra de pastoreo. En conjunto, la plataforma entera mide alrededor de 300 x 100 metros, lo cual indica que una cantidad importante de mano de obra fue movilizada para su construcción. Su forma baja y larga es comparable con las plataformas “de uso mixto” encontradas ampliamente a lo largo del valle que contienen edificios tanto públicos como residenciales. Dichas construcciones han sido registradas en sitios incluyendo Río Viejo, Yugüe, Charco Redondo y San Francisco de Arriba (ver Barber 2005:117-118; Joyce 1991:393, 2005:20-23; Workinger 2002:147-230). Como era de esperar, algunas plataformas de uso mixto en la capital de Río Viejo (ver Workinger y Joyce 1999) eran considerablemente más grandes que el Montículo 1 en Camino a La Humedad. Sin embargo, las dimensiones del montículo eran comparables a otros ejemplos notables tanto en Río Viejo como en sitios periféricos tales como: 1) Montículo 9-Estructua 4 en Río Viejo, con medidas de 200 x 125 metros (Joyce 2010:189; 2008:230-231; Workinger y Joyce 1999), y 2) La plataforma de Yugüe, con medidas de 300 x 200 metros (Barber 2013:170). Además de estas similitudes arquitectónicas, una segunda línea de

evidencia; la gran variedad de artefactos registrado en su superficie (ver arriba), sugiere que el Montículo 1 era una plataforma de uso mixto.

Directamente al oeste del Montículo 1, otro pequeño montículo (M2) fue registrado con medidas de 60 x 30 metros (ver Figura 9.15). En este caso, un potencial muro de contención era visible a lo largo del lado norte. Encima del montículo, se registraron tres metates junto con diversos fragmentos de muro. Una relativa alta frecuencia en esta pequeña área de artefactos para el procesamiento de comida sugiere que el montículo pudo haber tenido un propósito más residencial.

Las actividades domésticas pudieron haber continuado en la frontera sur del sitio, en donde dos montículos adicionales se registraron al sur de la muestra 6 (ver Figura 9.15). El Montículo 3 mide aproximadamente 40 x 20 metros, y tiene fragmentos de muro de contención en su lado norte. Con un tamaño de aproximadamente 30 x 20 metros, el Montículo 4 es ligeramente más pequeño. Se encontró únicamente un fragmento de muro de contención en su lado sur. Por lo menos cuatro metates se encontraron dispersos directamente al sur y sureste de estos montículos. Uno de los metates se encontró en la cima del cerro en la frontera sur del sitio, junto con dos restos más de muro. Como en el caso del Montículo 2, la alta densidad de metates sobre los montículos 3 y 4 provee evidencia preliminar de que estas áreas funcionaron como plataformas residenciales.

Un sector residencial adicional podría estar definido al suroeste, donde habitantes antiguos de RV170 ocuparon las laderas del pie de monte. Al menos dos terrazas probable (T1 y T2) se encontraron en los alrededores de la muestra 1 (ver Figura 9.15) con muros de contención en su lados cuesta bajo. Los investigadores también observaron diversos muros adicionales y un metate de roca sobre la superficie plana de la terraza; otro metate de roca y una mano se encontraron en los alrededores. Ocupación residencial probablemente también ocurrió a elevaciones mayores en la frontera suroeste de

RV170, donde se encontraron diversos metates adicionales (en su mayor parte metates en roca) y 3-4 muros, en una cresta a 80-100 metros sobre el nivel del mar.

En la esquina noroeste del sitio, una terraza adicional (T3) pudo haber sido construida cerca de la muestra 7 a la misma elevación que las terrazas de la muestra 1 (60-80 metros sobre el nivel del mar; ver Figura 9.15). Sin embargo, no se encontraron muros de contención cuesta bajo probablemente debido a la extensiva erosión (ver arriba). A pesar de esto, la presencia de desecho doméstico era evidente, incluyendo tres metates en roca y un metate estándar. También se registraron cuatro fragmentos de muro.

El cuadrante noreste de Camino de La Humedad (RV170) se encuentra actualmente dominado por el pueblo moderno de La Humedad. Sin embargo, aún es evidente que esta área fue alguna vez parte del sitio antiguo tal como lo sugieren artefactos encontrados erosionándose en puentes y bordes de caminos así como en las superficies de patios caseros. Al menos cinco metates prehispánicos se encontraron en la frontera suroeste del pueblo, a pesar de que estos fueron probablemente removidos de su ubicación original.

Se recuperaron muestras de cerámica diagnostica de todas las áreas importantes de RV170 con la excepción del cuadrante noreste alrededor del pueblo moderno. Esta información indica que el sitio fue ocupado desde la fase Minizundo hasta los tiempos después de la conquista. El periodo de ocupación más grande fue durante la fase Yucudzaa ya que cerámica de la fase Postclásica Tardía fue encontrada en otras las porciones del sitio afuera del cuadrante noroeste. Significativamente, la evidencia sugiere que la ocupación de mayor importancia incluya el Montículo 1, como se discute arriba (muestras 2 y 3). La muestra (3) de relleno de montículo está fechada en la fase Yugüe, mientras que la muestra de superficie (2) está fechada en la fase Yucudzaa. Por lo tanto el montículo 1 fue erigido ya

sea durante la fase Yugüe tardía o la fase Yucudzaa temprana. Pudo haber sido utilizado durante el Posclásico Temprano, pero la ocupación más grande tomo lugar en el Posclásico Tardío.

9.3.8 RV171: Cerro Grande

Cerro Grande (RV171) se sitúa a alrededor de 430 metros al oeste del pueblo de La Soledad y a 150 metros al oeste de la carretera MX 200. La mayor parte de la ocupación se encuentra en la cima de una cresta secundaria (Figura 9.18) que se extiende al suroeste de un desagüe del pie de monte. Los restos prehispánicos se extendían hacia las colinas en la base de la cresta así como hacia el valle secundario de los alrededores. Este sitio se encuentra entre 50 y 70 metros sobre el nivel del mar (ver Figura 9.19) y tiene un área de aproximadamente 12.36 hectáreas. Debido a la excavación de cantera moderna no es posible determinar la frontera noroeste con certeza. La porción del sitio encima de la cresta se encuentra actualmente sin cultivar y está cubierta por hierbas y matorrales xerófilos, junto con algunos árboles. Las áreas de menor altitud son utilizadas como tierra de pastoreo.

La cresta secundaria por si misma contiene dos formas principales de arquitectura: 1) construcciones sin terraza encima de la cresta, y 2) terrazas en las laderas oeste y este (T1, T2, T3, y T4; ver Figura 9.19). Con respecto a la primera, diversos muros se encontraron en un espacio que parece haber sido aplanado artificialmente. Esto es sugerido por dos muros de contención que rodean los lados de la cresta - uno largo construido a lo largo del lado oeste antes de que la elevación comience a disminuir, y un fragmento más pequeño en la frontera noroeste. Estos muros probablemente retuvieron sedimento usado para nivelar la cima y limitar la erosión. Como resultado, la cima de la cresta era lo suficientemente plana para suportar numerosas estructuras. Varios pequeños espacios semi-rectangulares o semi-cuadrados indicativos de residencia eran visibles (ver Figura 9.20). También se encontró en esta área una alta densidad de metates, lo que corroboro su uso doméstico.

La mayor parte de las terrazas en las laderas de la cresta eran relativamente modestas en tamaño y se construyeron con 1-2 niveles, o capas verticales, de piedra (T2, T3, y T4). En contraste, se registró una terraza mucho más grande (T1; ver Figura 9.21) junto a las muestras 2 y 3 en el lado suroeste de la cresta, directamente en medio del sitio (ver Figura 9.19). Con medidas de 70 x 25 metros en sus puntos más anchos, esta terraza se construyó usando 3-4 niveles de piedra en sus muros de contención. Las actividades asociadas con esta terraza no son claras en estos momentos. Un solo metate encontrado encima provee poca evidencia de actividades domésticas, sobre todo desde que una mayor densidad de piedra trabajada se encontró en la cima de la cresta. Sin embargo, debe mantenerse en mente que terrazas residenciales de un tamaño similar han sido registradas en Tututepec (ver Joyce et al. 2009:333-341).

Tres agrupamientos arquitectónicos adicionales fueron colocados en la base de la cresta. Una posible plataforma baja fue construida en la frontera este del sitio (Montículo 1; ver Figura 9.19), tal como es sugerido por tres muros de contención delineando un espacio de 5 x 7.5 metros. Directamente al sur de esta plataforma se encontró una pequeña elevación de aproximadamente 1 metro sobre la superficie del valle. Esta elevación contenía una curiosa característica rectangular, un elemento que media acerca de 1.5 x 0.5 metros y construido utilizado lajas de piedra (Figura 9.22). Su tamaño, forma, y materiales de construcción son similares a las tumbas de mampostería que se encuentran en otras partes de Oaxaca, tal como en San José Mogote (Tumba 11; ver Marcus y Flannery 1996:132) y Huamelulpan (Gaxiola 1984:64-65). Por lo tanto este elemento pudo haber contenido originalmente un entierro. Sin embargo, no se encontraron artefactos u otros restos (como materiales esqueléticos) en la superficie que pudieron haber proveído información acerca del uso del elemento.

Los dos agrupamientos arquitectónicos restantes se encontraron localizados respectivamente en los bordes suroeste y sureste del sitio. El primero consiste en una posible área residencial baja una

ligera elevación donde la muestra 5 fue colectada. Dos metates y varios alineamientos de piedra sugieren evidencia de actividades domésticas. En la elevación, se identificaron dos estructuras de forma cuadrada. En contraste, los muros registrados en el suroeste alrededor de la muestra 6 no tenían un patrón visible. También se encontró un metate en esta área.

Las muestras de cerámica recolectadas en Cerro Grande (RV171) indican que el asentamiento tomo lugar desde la fase Chacahua hasta la fase Yuta Tiyoo. Información preliminar sugiere que el sitio se encontraba densamente ocupado durante el periodo Clásico Tardío.

9.3.9 RV172: Roca Baja

Roca Baja (RV172) se localiza a 280 metros al este de la carretera MX 200 y a 600 metros al sureste del pueblo de La Soledad. Es un pequeño sitio de 0.13 hectáreas limitado a un afloramiento bajo de roca madre en una ciénaga de un valle secundario. La elevación de RV172 es entre 45 y 50 metros sobre el nivel del mar. Actualmente, el sitio está siendo utilizado como tierra de pastoreo, aunque gran parte del área está cubierto por vegetación baja y matorrales con algunos árboles.

Los vestigios arquitectónicos y los artefactos sugieren que RV172 es de carácter no residencial. En primer lugar, no se encontró casi ningún tiesto de cerámica u otro artefacto portátil sugestivo de actividades residenciales. Dos metates fueron registrados en el sitio, pero estos fácilmente pudieron haber sido utilizados para preparar comida por actividades de corta duración llevadas a cabo en el sitio. En segundo lugar, la construcción del sitio se concentró sobre el afloramiento de roca madre con una posible tumba (ver Figura 9.23), en vez de estructuras residenciales; se encontró solamente un solo alineamiento de muro en RV172. Las investigaciones preliminares sugieren que los constructores pudieron haber añadido sedimento en la base del afloramiento, posiblemente del pántano alrededor. Posteriormente, una posible tumba fue construida sobre una porción elevada y relativamente plana del cerro (Figura 9.24). Específicamente, se encontró un pasaje rectangular de piedra con escalones. Parece

que los constructores lo tallaron dentro de la roca madre existente y que añadieron algunas piedras suyas. Los investigadores encontraron también una roca tallada cerca de la tumba (ver Figura 9.23) en la frontera suroeste del cerro. Estos grabados muy erosionados pueden incluir glifos (Figura 9.25).

Roca Baja (RV172) puede haber sido un sitio ceremonial análogo a Cerro de los Tepalcates (RV143). Ubicado cerca de las lagunas de la costa, RV143 también era localizado sobre un afloramiento rocoso que se eleva sobre terreno más plano. Tal como RV172, una tumba se encontró en el sitio así como inscripciones grabadas dentro de rocas. Ambos sitios tenían poca cerámica, poca arquitectura, y una densidad grande de metates. En el caso de Cerro de los Tepalcates, un metate se encontró en el sitio mismo, y cuatro más fueron registrados en una colina cercana (ver Joyce et al. 2009:351-353). Por lo tanto, la gente prehispánica en estos sitios parece haber sigo involucrada en ceremonias o eventos asociados con la preparación de comida. Los metates sugieren que el consumo de maíz fue importante, pero la ubicación de ambos sitios en áreas pantanosas indica que recursos con proteína tal como pescado y mariscos también fueron consumidos.

Se piensan que las inscripciones con glifos de Cerro de los Tepalcates representan nombres calendáricos de líderes del periodo Clásico (Joyce et al. 2001; Urcid 1993), y que por lo tanto allí es donde se enterraba y honoraba a los gobernantes (ver también Joyce 2012:246). Es posible que los glifos en Roca Baja proveen evidencia de eventos parecidos, aunque se necesita un estudio formal de los glifos. Puesto que solo hay poca cerámica en el sitio, no se puede proporcionar fechas de uso en estos momentos

9.3.10 RV173: Arroyo Vista

Arroyo Vista (RV173) es aproximadamente a 450 metros al oeste de la carretera MX 200 y a un kilómetro al noroeste del pueblo moderno de La Humedad. El sitio se localiza actualmente en un valle

secundario al pie del pie de monte. Por lo tanto fue formado por una mezcla de depósitos aluviales y de coluvión. La elevación del sitio es entre 50 a 60 metros sobre el nivel del mar. Se estima que el sitio tiene una área de 3.67 hectáreas. Es posible que RV173 continúa al norte y al este, pero la vegetación densa impidió un recorrido formal de estas áreas.

Un arroyo grande divide el sitio en dos componentes: uno al sur y uno al norte (ver Figura 9.26). Actualmente, el sector norte se usa para cultivar mango y plátano, mientras que el sector sur no se usa ni está ocupado. Se encontró un cerro bajo en el centro del área cultivado que contenía tiestos de cerámica sobre la totalidad de su superficie. Ninguna arquitectura era visible en este sector. La porción sur del sitio contenía dos componentes principales. Una pequeña subida fue encontrada al suroeste con tres metates y cinco muros prehispánicos, algunos de los cuales pudieron haber contenido lajas grandes. La apariencia natural de estas lajas indica que no eran ortostatos formalmente trabajados (Figura 9.27). La densidad relativamente alta de los metates en esta pequeña área sugiere que fue de uso residencial. Al sureste, solo se observó un metate asociado con un pequeño muro.

Por lo general la densidad de artefactos era relativamente bajo en Arroyo Vista (RV173). Una sola muestra (Muestra 1), proveniente del lado norte del arroyo, fue colectada. Los datos indican que el sitio fue ocupado durante las fases Coyuche y Yuta Tiyoo.

9.3.11 RV174: Loma la Humedad

Loma La Humedad (RV174) se ubica a aproximadamente 750 metros al oeste de la carretera MX 200 y al 780 metros al noroeste del pueblo moderno de La Humedad. Con una área de 4.47 hectáreas, este sitio se ubica en la base del pie de monte en un abanico aluvial en una elevación de 60-80 metros sobre el nivel del mar (ver Figura 9.28). Actualmente, el sitio se utiliza como tierra de pastoreo. Algunos árboles y arbustos eran esparcidos por el lado oeste del sitio así como en las laderas ocupadas más bajas

del área y en las pendientes más empinadas. Cinco muros de piedra eran agrupados en unas de las cuestas.

Tiestos de cerámica diagnósticos fueron solo recuperados de un área (Muestra 1) en el cuadrante noreste del sitio. Esta muestra indica que el sitio fue ocupado durante la fase Yuta Tiyoo.

9.3.12 RV175: Paradero La Tortuga

El sitio de Paradero La Tortuga (RV175) mide 5.47 hectáreas, es un pequeño sitio localizado a aproximadamente 300 metros al oeste del pueblo de La Soledad. Este sitio se ubica en un valle secundario en el borde del pie de monte, con una altitud de entre 40 y 60 metros sobre el nivel del mar. La elevación va bajando gradualmente de un cerro bajo en la tercio norte del sitio hacia el terreno del valle al sur.

El cauce del pequeño rio La Soledad sirve como el borde natural del sitio al este. Paradero La Tortuga (RV174) es altamente perturbado por actividades de extracción de piedra y de construcción en su lado norte, las cuales removieron artefactos de su superficie. Por lo tanto, la frontera del sitio en esta área no se puede definir bien. Del otro lado de las zonas de cantera y construcción, RV175 no se encuentro actualmente en uso y está cubierto por vegetación tal como pasto, vides, y matorral xerófilo.

Falta describir dos grupos arquitectónicos importantes. Al norte, dos muros fueron registrados así como un metate. Un posible montículo (M1) también se encontró en medio del sitio (ver Figura 9.29). Esto se sugeriere por dos grandes líneas de investigación. Primero una superficie plana y elevada se encontró en la planicie aluvial. Segundo, un muro de contención fue construido en el borde este de esta superficie. Sin embargo, se necesita más información para determinar si este muro de contención pudo haberse usado como parte de una terraza. En otras palabras, sedimentos erosionados de la colina norte del sitio pudieron haber creado una colina baja en la planicie aluvial. A pesar de esto, la ocupación prehispánica es evidente debido a que múltiples muros adicionales se registraron en la cima del área

elevada. Notablemente, se encontró, sobresaliendo en su borde este, una vasija completa de almacenamiento. Directamente al sur los investigadores observaron dos muros más y un metate.

La densidad de artefactos en Paradero La Tortuga (RV175) es notablemente alta debido a perturbaciones. De acuerdo con los datos de muestreo, el sitio fue habiado desde la fase Chacahua a través de la fase Yuta Tiyoo. La ocupación más grande probablemente se dío durante la fase Coyuche.

9.3.13 RV176: Las Piedras

Las Piedras (RV176) es un sitio muy pequeño (0.02 ha) dentro de un valle secundario localizado a aproximadamente 1 kilómetro al sureste del pueblo moderno de La Humedad y a 30 metros al oeste de MX 200. Localizado en un abanico aluvial al pie del monte, RV176 tiene una elevación promedio de entre 30 a 40 metros sobre el nivel del mar. El sitio consiste principalmente en una concentración de cerámica. A pesar de no haberse encontrado arquitectura intacta, una colección pequeña de piedras y ladridos modernos se encontraron en el límite noroeste del cerro (ver Figura 9.30). Por lo tanto es posible que los habitantes modernos del área desmantelaron los muros prehispánicos y los reusaron en estructuras más recientes. Cerámica recolectada de Las Piedras (RV176) indica que el sitio estaba ocupado desde la fase Yuca Tiyoo hasta la fase Yucudzaa.

9.3.14 RV177: Monte La Soledad

Monte La Soledad (RV117) se encuentra a 270 metros al este de la carretera MX 200 e incluye el pequeño pueblo moderno de La Soledad. El sitio se localiza principalmente en una cresta (ver Figura 9.31), el lado oeste de la cual se extiende hasta le cauce del Arroyo La Humedad. La elevación del sitio esta entre 50-80 metros sobre el nivel del mar. Con una área de 20.13 hectáreas, RV117 es una mezcla compleja de zonas de cultivo y áreas no cultivadas. Se encuentran tierras de pastoreo en el componente del sitio que esta sobre el valle secundario, así como en la cumbre plana de la cresta al noreste. Por otro lado, las áreas al noroeste están actualmente utilizadas para cultivar limones. Al sur de los huertos de

limones, junto al Arroyo La Humedad se encuentran las dos casas de La Soledad moderno. Todas las demás áreas del sitio no se están actualmente siendo utilizadas y se encuentran recubiertas por un denso matorral y pequeños árboles.

La mayoría de la ocupación en Monte La Soledad se hizo sobre una serie de cerros a lo largo de una cresta en forma de *v*. El asentamiento más denso ocurrió sobre terrazas en las laderas de los cerros (T1-T12; ver Figura 9.31). Evidencia dispersa de actividades residenciales se hallaron también en la cresta, particularmente en las áreas al sur y al este del sitio.

En el tercio más al sur de Monte La Soledad, dos colinas fueron ocupadas. Los residentes hicieron terrazas en una de las colinas (T1-T6) ubicadas en la frontera sur del sitio, a una elevación de 50 metros sobre el nivel del mar. Esto se ve indicado por probables muros de contención registrados en las laderas oeste y este de la colina. Varios muros fueron registrados en la cima de la colina también, y un grupo de ellos formó un espacio burdamente cuadrado (4 x 6 m), que pudo haber sido una residencia. Evidencias adicionales de actividades domésticas incluyeron 4-5 metates encontrados o en la cubre mismo del cerro, o en sus laderas sur y este. Otros muros fueron esparcidos en la ladera este, a aproximadamente 30 metros de la T6. A alrededor de 100 metros al noreste de las terrazas, a una elevación de aproximadamente 60 metros sobre el nivel del mar, otra colina ocupada fue registrada con una estela lisa y parada (ver Figura 9.31 y 9.32). Tres metates fueron encontrados a 30 metros al noreste de esta estela.

El asentamiento más elevado era en la frontera este del sitio cerca de la muestra 3, donde la cresta llego a un apogeo de 80 metros sobre el nivel del mar. Probables muros de terrazas fueron registrados en la ladera este del cerro (T7, T8, y T9: ver Figura 9.31), y por lo menos un muro fue encontrado en la cumbre del cerro. Actividades domésticas pueden ser tentativamente sugeridas por la presencia de tres metates registrados.

Áreas al oeste y al norte de Monte La Soledad fueron altamente perturbadas por la presencia moderna de residencias y su proximidad con el Arroyo La Humedad. Por lo tanto, las actividades Prehispánicas en estas porciones del sitio no eran muy claras. Al oeste, posibles vestigios prehispánicos fueron encontrados cerca de una casa moderna en la base de la cresta en forma de *v*. Los investigadores registraron dos muros de piedra y un metate en el patio de la casa, que se ubica encima de una colina. Un posible muro de terraza (T10) también fue observado en la ladera noreste de la colina (ver Figura 9.31). El terreno subió directamente al este de la casa y afloramientos de roca madre sirvieron para crear espacios naturalmente planos. Sin embargo, los antiguos habitantes de RV177 quizás construyeron por lo menos dos muros de contención en esta área (T11 y T12). Los investigadores registraron una mano de un metate. En la cuesta sur de la colina, siete muros dispersos adicionales y dos metates fueron encontrados. Actividades prehispánicas eran aún más difíciles de identificar en la planicie aluvial al norte. Se hallaron un metate y un grupo de 5-10 muros en esta área. Sin embargo, algunos de los muros pudieron haber sido modificados por uso moderno o construido recientemente.

Las muestras de cerámica recuperadas en Monte La Soledad (RV177) indican que el sitio fue ocupado desde la fase Chacahua hasta la fase Yuta Tiyoo. La ocupación más larga ocurrió probablemente durante la fase Yuta Tiyoo.

9.3.15 RV178: Camino a Atotonilquillo

Localizado a aproximadamente 1.27 kilómetros al sureste del pueblo moderno de La Humedad, Camino a Atotonilquillo (RV178) corre justo al borde este de la carretera MX 200. El sitio se ubica en un abanico aluvial en un valle secundario. Por lo mismo, RV178 tiene una pendiente muy ligera (de aproximadamente 5 grados) y tiene una elevación de entre 30-40 metros sobre el nivel del mar. Midiendo 5.42 hectáreas, el sitio se utiliza como terreno de cultivo y sirve de residencia para un biólogo

de la UNAM. La casa del científico se encuentra en el medio del sitio. La erosión es mínima en el sitio, ya que el biólogo ha trabajado para minimizar sus efectos.

Pocos vestigios arqueológicos eran presentes en la superficie de Camino a Atotonilquillo (RV178); ningún rasgo arquitectónico era visible (ver Figura 9.33) y una densidad muy baja de cerámica fue observada principalmente en los sectores este y oeste del sitio. La mayoría de la cerámica fue encontrada sobre elevaciones aluviales naturales. Ya que no se encontró ningún tepalcate diagnóstico, hasta el momento no se puede asignar ninguna fecha a RV178.

9.3.16 RV179: Atotonilquillo

Atotonilquillo (RV179) es directamente adyacente con la frontera noroeste del pequeño pueblo con el mismo nombre. La carretera MX 200 corta a través de la esquina noreste del sitio (ver Figura 9.34). RV179 se sitúa principalmente sobre una serie de crestas angostas, y su frontera este se extiende sobre cuestas más bajas de coluvión. La punta al noreste del sitio se ubica sobre la zona del valle secundario. Por lo tanto, la elevación del sitio varía mucho: entre 30-100 metros sobre el nivel del mar. Como se puede predecir, la erosión es menos fuerte en las laderas coluviales y es más presente en las cuestas de las crestas. Ésta última área también cuenta con muchas madrigueras de roedores. Como resultado, muchos artefactos ligeros como tepalcates han sido movidos cuesta bajo de su posición original. Actualmente, la mayor parte de los 11.42 hectáreas de Atotonilquillo no está siendo cultivado. Hierbas mixtas y matorrales recubren la cresta, y las laderas coluviales se están utilizado como tierra de pastoreo. También se está haciendo cultivo de plátano en la zona aluvial al noreste. Allí, la mayoría de los muros de piedra han sido altamente perturbados por actividades de arado.

Es importante notar que dos fuentes de agua están asociadas con el sitio: 1) un manantial artesiano adyacente a la esquina sureste del sitio, justo arriba del piso del valle, y 2) un manantial no-artesiano cuyo punto de origen es el arroyo en la esquina suroeste del sitio (ver Figuras 9.34 y 9.35).

Manantiales artesianos tienden a tener una presión más alta que los manantiales no artesianos puesto a su contacto con elementos debajo de la superficie como una falla geográfica. Aparte de estos manantiales, la fuentes más cercanas de agua dulce están en la parte superior del arroyo La Humedad (0.2 km al este), y el Río Verde (3.5 km al este). Especialmente en comparación con los manantiales, el arroyo La Humedad no pudo haber proveído de mucha agua en la estación de secas cuando su flujo desaparece casi completamente. Hoy en día, los campesinos excavan trincheras hasta llegar al nivel freático durante la estación de secas. En ubicar Atotonilquillo cerca de los manantiales, la gente prehispánica hubiera tenido acceso seguro al agua por todo el año.

La mayor parte de la arquitectura en Atotonilquillo (RV179) consiste en terrazas construidas dentro de laderas coluviales o de crestas (ver Figura 9.34). Las terrazas en la mitad este del sitio (T1-T6) fueron registradas en cuatro áreas diferentes con elevaciones de entre 40-60 metros sobre el nivel del mar. En las áreas al noroeste (T1 y T2) y al sureste (T5 y T6) del sitio, las terrazas fueron construidas por pares, con muros de contención individuales colocados en elevaciones diferentes. Un tercer par (T3 y T4) pudo haber sido construido en la parte medio-este del sitio, a casi la misma elevación. Sin embargo no se sabe si los muros observados en la Terraza 4 eran muros de contención. Una densidad relativamente alta de metates de roca (5), fue registrada alrededor de las terrazas al sureste (T3-T6), lo que sugiere que esta área era asociada con actividades domésticas.

Notablemente, el área con más terrazas del RV179 se encontraba a menos de 100 metros al este del manantial no artesiano (muestras 1 y 3; ver Figura 9.34). Por lo menos 6 terrazas confirmadas (T7, T10, T11, T13, T15 y T16) y cuatro terrazas posibles (T8, T9, T12, y T14) fueron construidoas a lo largo de una cresta con elevaciones de entre 50 a 100 metros sobre el nivel del mar (Figura 9.36), dando una apariencia escalonada a la cresta. Los investigadores registraron aproximadamente 7 muros de contención diferente. Se registraron también siete muros adicionales de tamaño pequeño y mediano,

algunos de los cuales pudieron haber servido o como muros de contención o como cimientos de estructuras puestas encima de las superficies planas de las terrazas. Más investigación es necesaria para clarificar el plano arquitectónico de esta área del sitio.

Las áreas ocupacionales del sitio que quedan incluyen el nacimiento del manantial no artesiano al suroeste, y una colina aluvial baja, en la punta norte del sitio. En el nacimiento del manantial los habitantes del sitio ocuparon un área plana creada naturalmente por afloramientos de roca madre con una elevación de aproximadamente 100 metros sobre el nivel del mar. Dos pequeños muros fueron encontrados sobre este descanso. En el área aluvial del sitio, dos muros fueron registrados, uno de los cuales puede haber sido un muro de contención. Si se trata de un muro de contención, significaría que un montículo fue realmente construido. Sin embargo, dado el alto nivel de perturbación por actividades de arado en estos momentos no se puede elaborar más acerca de los elementos arquitectónicos en la punta norte del sitio.

Muestras de cerámica indican que Atotonilquillo (RV179) fue habitado durante las fases Minizundo y Chacahua hasta la fase Yuta Tiyoo. La ocupación más grande ocurrió durante la fase Coyuche.

9.3.17 RV180: Hierba Gruesa

Hierba Gruesa (RV180) se ubica en un valle secundario a 20 metros al este de MX 200 (ver Figura 9.37) y a alrededor de 400 metros al norte del pueblo de Piedra Ancha. Actualmente utilizado como tierra de pastoreo, este sitio de 0.02 hectáreas está cubierto por hierbas y vegetación gruesa que compromete la visibilidad. Las interpretaciones arqueológicas también son difíciles por la erosión moderada en el sitio así como la presencia de un área de alta perturbación al lado oeste del sitio probablemente causada por la construcción de caminos. Presentemente, todo lo que queda del sitio es

una sola pared de piedra ubicada en la mitad oeste del sitio y una concentración muy ligera de artefactos. No se encontró ningún tiesto de cerámica diagnóstico.

9.3.18 RV181: La Sola Pared

La Sola Pared (RV181) es un pequeño sitio (0.15 ha) en un valle secundario localizado a menos de 600 metros al este de la carretera MX 200 y el pueblo moderno de Piedra Ancha. Puesto que RV181 se encuentra a solamente un poco más de 100 metros al norte de RV183 (ver Figura 9.38), es posible que los dos sitios fueron actualmente conectados. La altitud de La Sola Pared (RV181) tiene un promedio de 25 metros sobre el nivel del mar, y por lo tanto, es ideal como terreno de pastoreo, su uso actual. La arquitectura del sitio consiste en un solo muro de piedra en la mitad sur del sitio. Una cantidad moderada de desecho domestico fue encontrada, incluyendo dos metates y una mano de metate. No se recolectó ningún tiesto de cerámica diagnóstico.

9.3.19 RV182: El Rancho Alto

El Rancho Alto (RV182) está localizado a menos de 200 metros al sur de RV43, y, por lo tanto, se ubica sobre el mismo abanico aluvial (ver Figura 9.39). Aquí, la elevación tiene un rango más grande, de entre 30 a 50 metros sobre el nivel del mar. El uso moderno del terreno esta también parecido a RV43. Aunque El Rancho Alto (RV182) es de un tamaño un poco más grande (11.42 ha) que su homólogo al norte, no se encontró mucha evidencia arqueológica en el sitio. Los investigadores registraron una densidad baja de cerámica, la mayoría de la cual era dispersada a lo largo de la cuesta noroeste-sureste del sitio. Las muestras indican que RV182 fue ocupado durante la fase Yuta Tiyoo.

9.3.20 RV183: Piedra Ancha Baja

Piedra Ancha Baja (RV183) se ubica a solamente 200 metros al este de la carretera MX 200 y del pueblo moderno de Piedra Ancha. El sitio abarca zonas del valle secundario así como de la planicie

aluvial, pero se encuentra a menos de 400 metros al oeste del pie de monte. Partes de Piedra Ancha Baja (RV183) son caracterizadas por cerros ondulantes muy bajos. En general, la altitud del sitio es entre 20 a 30 metros sobre el nivel del mar. Mucho de este sitio de tamaño mediano (24.04 ha) se utiliza actualmente como tierra de pastoreo. RV183 ha sido fuertemente perturbado por dos elementos modernos: 1) un camino de tierra que corta a través de un montículo (M1) al norte *(Figuras 9.40 y 9.41)* y 2) varios pozos excavados en áreas cerca de la frontera norte del sitio (Figura 9.42). Como resultado, los dos-tercios del sitio más al sur están en mejores condiciones.

A pesar de las perturbaciones en la parte norte del sitio, dos sectores posibles se pueden definir. El primero de estos se concentra alrededor del montículo (M1) ya mencionado (ver Figura 9.40). Los límites exactos del montículo no están claros, pero una estimación conservadora lo daría una medida de 95 x 76 metros en sus lados más anchos. Aunque el camino de tierra cortó el montículo, este proporcionó una vista excelente del relleno del montículo, que consistía en tepalcates, pequeñas piedras, y otro desecho (Figura 9.43); la altura del montículo varia de entre 80 a 120 centímetros arriba de la planicie aluvial. Por lo menos dos pequeños fragmentos de muros de contención fueron observados alrededor de los lados norte y oeste del montículo. Alrededor de 6 a 7 muros adicionales fueron encontrados en la superficie, agrupados en los lados oeste y este del montículo. En ambos casos, los muros parecían formar tres lados de un cuadrado. Por lo tanto, estructuras de forma parecida fueron colocadas arriba. En ambos casos, lo ancho de los lados restantes (9 metros) era un poco más ancho que las residencias tipicas en el bajo Verde, aunque es posible que originalmente delimitaban un patio. Aparte de la cerámica, pocos artefactos fueron encontrados en la superficie que pudieron dar evidencia acerca de las actividades asociadas con el montículo; solo un mano de metate y una hacha fueron registrados. Esta construcción puede ser un pequeño ejemplo de plataformas de uso mixto encontradas frecuentemente en la región del bajo Verde (ver también Barber 2013:170, 2005:117-118; Joyce

1991:393, 2005:20-23; Joyce et al. 2013:136; Workinger 2002:147-230). Sin embargo se necesita más investigación para saber si la arquitectura encima de las plataformas era de uso doméstico o cívico-ceremonial.

El Montículo 1 pudo haber continuado por alrededor de 70 metros al sur del camino de tierra (ver Figura 9.40). Los restos arqueológicos encontrados en esta área eran sobre 2 a 3 niveles de una superficie no plana. Posibles muros de contención con grandes piedras colindaban con el lado noroeste del nivel más bajo de la superficie así como con el lado este del segundo nivel. Si esta área no plana era realmente parte del montículo 1, hubiera extendido el área del montículo por tanto como 77 x 56 metros. Sin embargo, se necesita más investigación para confirmar estas propuestas.

El segundo sector posible incluye áreas al norte del Monticulo 1 a una distancia de menos de 200 metros. Esta porción del RV183 puede haber sido residencial. Una densidad relativamente alta de metates (7) fueron registrados, algunos de los cuales fueron asociados con muros. Cerca de la frontera norte del sitio, dos metates fueron encontrados cerca del borde sur de una subida de 15 x 10 metros que pudo haber sido un montículo. Los investigadores registraron un posible muro de contención a lo largo del lado norte del montículo y un segundo muro en su cumbre. De forma alternativa, los habitantes del sitio pudieron haber modificado un cerro natural. Otro metate fue encontrado cerca de un muro aislado más al sur, y los demás vestigios de piedra pulida fueron dispersados más lejos de los muros. La forma fragmentada de la arquitectura en esta área de RV183 es probablemente debido a daños ocasionados por la excavación de varios pozos (ver arriba).

Los restos en la parte noreste del sitio no son tan definibles. Solo se encontró un solo muro en la esquina noreste, pero no se detectó ninguna cerámica. A menos de 200 metros al sur del muro, cerca de las muestras 2 y 3, varios vestigios domésticos fueron registrados, incluyendo tres manos y dos metates.

En el tercio sur de TV183, por lo menos 2 a 3 posibles terrazas fueron construidas (T1, T2, y T3: ver Figura 9.40). Esto puede ser vinculado con el hecho que la elevación aumenta en esa área, particularmente conforme se va acercando a la frontera sur del sitio. Las terrazas 1 y 3 tenían posibles muros de contención. Ningún otro muro o artefacto no-cerámico fue registrado en esta área del sitio.

La densidad de artefactos es más alta al sur. Las muestras de cerámica indican que Piedra Ancha Baja fue ocupada de la fase Miniyua hasta después de la conquista española. Los datos preliminares sugieren que la ocupación más grande pudo haber sido durante la época Posclásica temprana. Sin embargo, se necesitan más muestras para poder saber los detales de la historia ocupacional.

9.3.21 RV184: Cerro del Rancho

Cerro el Rancho (RV184; ver Figura 9.44) está a 400 metros al sureste del pueblo de El Rancho. El sitio esta sobre un cerro natural y bajo, ubicado en un valle secundario. La altitud esta entre 35-45 metros sobre el nivel del mar. RV184 mide 1.26 hectáreas en área y actualmente sirve como tierra de pastoreo. El sitio presenta perturbaciones importantes en su centro, donde un gran pozo fue excavado (Figura 9.45).

Más de 18 muros fueron registrados en el cerro. En vez de delimitar espacios que sugieren residencias, como cuadros o rectángulos, la mayoría de ellos eran: 1) líneas únicas de piedras, o 2) grupos de 2-3 muros que formaban una sola esquina o forma de corchete. Los muros eran típicamente orientados o norte-sur, o este-oeste a niveles diferentes de la colina. Por lo tanto, muchos de ellos eran probablemente utilizados como muros de contención de terrazas. En la base del cerro, uno de los muros de contención fue construido con dos capas, o niveles verticales (Figura 9.46), dándole aún más estabilidad estructural a la terraza. Estos niveles tenían una orientación inclinada, parecido a los muros de contención de la época Posclásica temprana en otras áreas del valle del Río Verde (ver Arnaud et al.

2009:70). Por supuesto, el ángulo original de construcción ha sido exagerado por los procesos de erosión.

Puesto que la densidad de artefactos en Cerro el Rancho (RV184) es relativamente baja, las actividades asociadas con las terrazas son poco claras. Un solo metate de roca fue encontrado cerca del centro del sitio, que otorga evidencia para la preparación de comida. Ya que no se encontró ningún tiesto de cerámica diagnóstico, no se puede asignar una fecha al sitio en estos momentos.

9.3.22 RV185: El Puente

El Puente (RV185) se ubica a 0.7 kilómetros al oeste del Río Verde y a 800 metros al noroeste del puente Río Verde. La elevación de este sitio sobre la planicie aluvial es de entre 20-25 metros sobre el nivel del mar. RV185 mide 0.36 hectáreas y actualmente se está utilizando por agricultura de temporal. La visibilidad era difícil por la vegetación densa. No se registró ningún elemento arquitectónico y solo tres pedazos de cerámica fueron recolectados (Muestra 1; ver Figura 9.47). Los datos indican que el sitio fue ocupado durante la fase Yugüe.

9.3.23 RV186: Cerro del Charquito

Cerro del Charquito (RV186) es un pequeño sitio en el pie de monte (4.43 ha) localizado a aproximadamente 200 metros al norte de la carretera Mx 200 y a 125 metros al noreste de pueblo moderno de El Charquito (Charco Nduayoo). RV186 descansa sobre una colina y tiene una elevación de entre 20 y 60 metros sobre el nivel del mar (ver Figura 9.48). Actualmente, el sitio no está siendo cultivado y está cubierto por vegetación densa.

La arquitectura consiste de 3-5 terrazas registradas a elevaciones variadas en las porciones al sur y al noreste del sitio (ver Figura 9.48). La terraza la más baja (T1) se ubica a 20 metros sobre el nivel del mar en la esquina noreste de RV186. Aquí, un solo muro de contención era el único vestigio arqueológico. Más arriba, entre 20 y 40 metros sobre el nivel del mar, los investigadores registraron tres

muros de contención alineados con el noreste. Estos muros pueden representar terrazas separadas (T2, T3 y T4), pero se necesita más investigación para determinar si una o varias de ellas fueron conectadas originalmente. También se registró un solo metate a 20 metros al oeste de los muros. La terraza la más alta (T5) fue construida a 60 a 70 metros sobre el nivel del mar en la frontera sur de RV186. A menos de 40 metros cuesta abajo del muro de contención de la Terraza 5, otra posible terraza puede haber sido construida (T6), cerca de la muestra 1. Sin embargo no está claro si la roca madre o un muro de contención fueron utilizados para crear una superficie ocupacional.

Los dos metates encima de T6, así como el metate en T2, pueden sugerir de manera tentativa que los habitantes del sitio utilizaron terrazas artificiales y quizás "naturales" por fines residenciales. Un tercer metate fue registrado a 40 metros al este de la muestra 2, pero no se observó ningún elemento arquitectónico cerca. De acuerdo con los datos de las muestras, Cerro del Charquito fue ocupado desde la fase Chacahua hasta la fase Yuta Tiyoo.

9.3.24 RV187: Camino al Rancho

Camino al Rancho (RV187) se localiza a 0.9 kilómetros al este de MX 200 y a 500 metros al oeste del pueblo de El Rancho. Midiendo 4.34 hectáreas, RV187 es un sitio dentro de un valle secundario posicionado sobre colinas bajas a la base del pie de monte. Sin embargo, la elevación es relativamente constante a través de RV187 (30-35 metros sobre el nivel del mar). Existen perturbaciones modernas en el sitio pero son mínimas, el área actualmente no se usa como terreno de cultivo y está cubierto principalmente por terreno herboso para pastoreo.

La arquitectura de Camino al Rancho (RV187) consiste principalmente de tres probables montículos con plataformas en la parte norte del sitio (M1, M2 y M3; ver Figura 9.49). En cada estructura, cuatro muros de contención delimitaban áreas rectangulares. Las medidas de estos montículos son: el Montículo 1 mide 18 x 5.25 metros, el Montículo 2 mide 12 x 5.7 metros, y el

Montículo 3 mide 9 x 5.6 metros. Todos los muros de contención fueron construidos de piedras muy grandes, algunas de las cuales eran ortostatos (ver Figuras 9.50 y 9.51). Puesto que ningún otro elemento arqueológico además de cerámica fue registrado, las actividades asociadas con estas plataformas no están claras.

Vestigios adicionales en RV187 incluyen un solo metate de roca y pequeños muros en un abanico aluvial al sur. Muestras de cerámica diagnostico fueron recolectados de esta misma área. Estos datos indican que el sito fue habitado durante la fase Yuta Tiyoo.

9.3.25 RV188: Loma Pequeña

Loma Pequeña (RV188; ver Figura 9.52) está ubicada a un poco más de 100 metros al este de RV184. Por lo tanto, la topografía y el uso modero del terreno son casi idénticos entre los dos sitios. Vestigios arqueológicos fueron encontrados en una colina baja que fue altamente perturbada por un gran pozo de excavación en su centro (Figura 9.53). Se registró únicamente un solo muro en el tercio más al sur de la colina. No se recolecto ningún tiesto de cerámica diagnóstico.

9.3.26 RV189: Buena Vista

Buena Vista (RV189) está localizado a 1.2 kilómetros al sureste del pueblo moderno de El Plantanillo. Ubicado al pie del talud del pie de monte (Figura 9.54), RV189 tiene una altura de entre 40-60 metros sobre el nivel del mar. El sitio es principalmente utilizado como tierra de pastoreo y está cubierto por hierbas así como algunos arbustos. Las áreas cuesta abajo también están siendo cultivadas. Por la erosión, la mayoría de la cerámica era recolectada en estos campos.

El RV189 mide 3.03 hectáreas, pero es probable que esto es una subestimación. Mientras que el equipo de recorrido estaba documentando el sitio, les pidieron que se fueran antes de poder registrar todos los elementos. Sus esfuerzos fueron aún más comprometidos por el hecho que piedras de algunas de las estructuras prehispánicas habían sido movidas recientemente. A pesar de esto, el equipo logro

documentar cerca de 5 terrazas confirmadas (T1, T3-T5, T7, y T8) así como dos terrazas posibles (T2 y T6; ver Figura 9.55). Los habitantes del sitio construyeron cada una de las terrazas dentro del cerro a una elevación de entre 40-60 metros sobre el nivel del mar, añadiendo un poco de relleno para nivelarlas. Muros de piedra eran asociados con cada una de estos elementos (T1-T8), algunos de los cuales eran muros de contención. No está claro si los demás muros eran muros de contención o cimientos. Ya que ningún otro artefacto o elemento fue registrado además de cerámica, las actividades asociadas con la arquitectura del sitio no están claras.

Con la excepción de alrededor de las terrazas, la densidad de artefactos en Buena Vista (RV189) era baja. Sin embargo, dos muestras fueron recolectadas de las mitades este (Muestra 1) y oeste (Muestra 2) del sitio. Estos datos indican que RV189 fue habitado durante las fases Coyuche y Yuta Tiyoo. La ocupación más grande ocurrió durante la fase Coyuche.

9.3.27 RV190: Cresta Norte

Localizado a dos kilómetros al noroeste del pueblo moderno de La Boquilla, Cresta Norte (RV190) se extiende desde la ladera de un cerro hasta un abanico colluvial que se encuentra ligeramente elevado encima de la cuenca de un valle secundario cercano. Por lo tanto, la elevación de Cresta Norte es entre 25-80 metros sobre el nivel del mar (ver Figura 9.56). Mientras que la erosión es relativamente moderada en las terrazas en las laderas del cerro, es mucho más fuerte en las cuestas del cerro. En consecuencia, mucha de la cerámica de este sitio ha sido desplazada cuesta abajo en este sitio de 2.27 hectáreas. Actualmente, RV190 no está cultivado y se encuentra cubierto por bosque y matorral; arboles cubren aproximadamente 40% del sitio. Una cantera de piedra localizada entre Cresta Norte (RV190) y su vecino al sur (RV197) puede haber movió vestigios arqueológicos. Por lo tanto es posible que estos dos sitios eran actualmente conectados.

La ocupación en RV190 ocurrió en tres niveles diferentes que suben la elevación del noreste al suroeste. Los habitantes construyeron terrazas en el nivel superior (T1) e inferior (T3) (ver Figura 9.56). Mientras que muros de contención formales fueron encontrados en ambos áreas (e.g. Figura 9.57), los constructores también utilizaron rocas naturales y roca madre (Figura 9.58). Otro muro fue también registrado en el nivel del medio (T3), pero no está claro si fue utilizado como muro de contención. Nos dos niveles más bajos también contaban con un metate cada uno, lo que sugiere que actividades domésticas también ocurrieron en estas áreas.

Solo se encontró una muestra de cerámica de Cresta Norte. Los datos indican que el sitio fue ocupado de la fase Minizundo y Chacahua.

9.3.28 RV191: Cerro de Zapata

Cerro de Zapata (RV191) está localizado en las cuestas no cultivadas del pie de monte que delimita el perímetro noreste del pueblo moderno de Emiliano Zapata. La altitud del sitio es de entre 40-60 metros sobre el nivel del mar (ver Figura 9.59). Por las condiciones topográficas, la erosión en el sitio es moderada en general pero más fuerte en las cuestas más inclinadas. El área del sitio es de 3.19 hectáreas.

La arquitectura en RV191 consiste principalmente de probables terrazas en por lo menos dos cerros diferentes al oeste (T1) y en el medio (T3-T5) del sitio (ver Figura 9.59). Aproximadamente siete muros fueron registrados en el área, incluyendo por lo menos un muro de contención. Otra terraza pudo haber sido construida también la este (T6), aunque ningún muro fue registrado en esta área. En las tres laderas, dos metates fueron encontrados sobre o cerca de las terrazas. La cerámica era concentrada en la porción oeste del sitio, pero no se encontró ningún ejemplo diagnóstico.

9.3.29 RV192: Muros Bajos

Muros Bajos (RV192) está ubicado en un ambiente parecido a RV187, RV184, y RV188. La mayoría del sitio se encuentra en una zona de valles segundarios, y la punta más al sur está en el pie de monte; la elevación es de entre 30 a 50 metros sobre el nivel del mar (ver Figura 9.60). RV192 está a 0.6 kilómetros al oeste del pueblo de El Charquito (Charco Nduayoo) y se utiliza como terreno de pastoreo y de cultivo. Puesto a las actividades de arado, la erosión del sitio es moderada.

La arquitectura de Muros Bajos (RV192) consiste en solamente 3 pequeños muros, todos encontrados en las colinas bajas en la parte sur del sitio. Uno de los muros pudo haber sido construido en la época moderna. Cuatro metates fueron encontrados a elevaciones variadas dentro de 40 metros de los muros, indicando actividades domésticas. En áreas aluviales al noroeste, solo se encontró un metate. De acuerdo con la única muestra (Muestra 1) recolectada al sureste (ver Figura 9.60), RV192 fue ocupado durante las fases Miniyua y Chacahua.

9.3.30 RV193: La Planicie Hermosa

La Planicie Hermosa (RV193) es un sitio de tamaño mediano (14.06 ha) localizado a 1.2 kilómetros al noroeste del pueblo moderno de La Boquilla. Ubicado en la orilla del pie de monte, RV193 es el sitio más grande de la planicie aluvial registrado en 2013. La mitad norte es caracterizada por una serie de colinas bajas mientras que la mitad sur es relativamente plana. La elevación del sitio mide entre 20-30 metros sobre el nivel del mar. Actualmente, RV193 se utiliza para agricultura y fue parcialmente dañando en sus colinas norte por tractores. Además, la terraza en la esquina noroeste del sitio tiene un pozo excavado y un muro prehispánico destruido.

La arquitectura en La Planicie Hermosa (RV193) consiste principalmente de una terraza probable (T1) cerca de su frontera noroeste (ver Figura 9.61). Allí, tres muros fueron colocados en la colina conforme la elevación llegaba a 20 metros sobre el nivel del mar. Además de cerámica, ningún artefacto

fue directamente asociado con esta terraza. A aproximadamente 75 metros al sureste de la terraza, un metate fue registrado. La única arquitectura que queda en RV193 incluye la esquina de un muro sobre un cerro bajo en la mitad del sitio.

La densidad de cerámica era relativamente alta a lo largo de la mayoría de RC193. Muestras indican que el sitio fue ocupado de la fase Minizundo hasta Yugüe, con una interrupción durante la fase Miniyua.

9.3.31 RV194: Arroyo Grande

Arroyo Grande (RV196; ver Figura 9.62) es un pequeño sitio (0.5 ha) localizado a 1.3 kilómetros al noroeste del pueblo moderno de La Boquilla. Con una elevación de entre 30 a 40 metros sobre el nivel del mar, el sitio se ubica sobre una ladera del pie de monte a menos de 200 metros al sureste de un cauce de un manantial. La erosión es moderada. Actualmente, Arroyo Grande (RV194) se utiliza como tierra de pastoreo y está cubierto por pasto grueso. Dos metates de roca fueron encontrados en la porción norte del sitio, pero ninguna muestra de cerámica fue recolectada.

9.3.32 RV195: Camino a Zapata

Camino a Zapata (RV195) es un pequeño sitio (1.25 ha) localizado a aproximadamente 200 metros al sur de El Charquito y a 180 metros al noreste de Emiliano Zapata. La carretera MX 200 está a menos de 50 metros al este (ver Figura 9.63). Ubicado en la base de una cuesta del pie de monte, RV195 tiene una elevación de entre 20-60 metros sobre el nivel del mar. El sitio no esta siendo cultivado y tiene un grado de erosión moderado por el cambio de elevación. La erosión es más fuerte en las cuestas más inclinadas al norte.

Los vestigios arqueológicos de RV195 incluyen un solo muro de piedra en la porción aluvial sur y cerámica que se está erosionando del cerro (40 metros sobre el nivel del mar) en el área de la Muestra 1. Los datos indican que RV195 fue ocupado durante la fase Minizundo.

9.3.33 RV196: Zapata Baja

Zapata Baja (RV196) se localiza directamente adyacente con la frontera este del pueblo moderno de Emiliano Zapata y la carretera MX 200 (ver Figura 9.64). Ubicado en el terreno inundable del Río Verde, el sitio tiene una elevación promedio de entre 25-30 metros sobre el nivel del mar. El área está siendo utilizada actualmente para la agricultura. Con una área de 3.23 hectáreas, RV196 contiene un pequeño fragmento de muro al norte. La densidad de artefactos es muy ligera a través del sitio y no se encontró ningún tiesto de cerámica diagnóstico.

9.3.34 RV197: Cresta Sur

Cresta Sur (RV197) se ubica a aproximadamente 130 metros al suroeste de RV190. Una cantera de roca, ya mencionado previamente, pudo haber removido el material cultural conectando los dos sitios. Midiendo 1.47 hectáreas, RV197 descansa sobre cuestas del pie de monte más bajas que su homologo al norte (25-40 metros sobre el nivel del mar). Sin embargo, el uso actual del terreno es muy parecido entre los dos sitios. La arquitectura en Cresta Sur (RV197) incluye dos posibles terrazas (T1 y T2) construidas dentro de una cresta (ver Figura 9.65). Ambas terrazas contienen posibles muros de contención orientados suroeste a noreste. Las muestras de cerámica indican que el sitio fue ocupado durante la fase Chacahua y después de la conquista española.

9.4 Discusión: Distribución de los sitios, uso del terreno, y geomorfología

El recorrido de 2013 fue llevado a cabo en tres grandes zonas fisiográficas: la planicie aluvial, los valles secundarios, y el pie de monte (ver Tabla 9.3). La gran mayoría del recorrido se hizo sobre la planicie aluvial y los valles secundarios (75.1%), con una superficie casi igual recorrida en cada zona. De manera interesante, solo una pequeña porción de la ocupación prehispánica registrada era en la planicie aluvial (7.8%), mientras que proporciones más grandes ocurrieron en ambos los valles segundarios

(48.7%) y en el pie de monte (43.5%; ver Tabla 9.4). Dos grandes factores pueden explicar esta distribución general: 1) preferencia prehispánica, y 2) procesos geomorfológicos que afectan la visibilidad de los sitios. En esta sección se explorará cada una de estas posibilidades.

Tabla 9.3: Zonas fisiográficas representadas en el área del recorrido de 2013

Zona	Area (ha)	% del recorrido total, 2013
Planicie aluvial	1517	40.8 %
Valle secundario	1276	34.3%
Pie de monte	924	24.9%

Tabla 9.4: Distribución de los sitios por zona fisiográfica: Recorrido de 2013

Zona	Area ocupacional (ha)	% del area total de sitios, 2013
Planicie aluvial	25.21	7.8 %
Valle secundario	157.75	48.7 %
Pie de monte	140.73.	43.5%

Quizas para evitar las inundaciones, la gente prehispánica buscó lugares a cierta distancia del Río Verde, en terreno ligeramente más elevado que la planicie aluvial. Como lo indica la ubicación de los sitios de 2013 (Tabla 9.4; ver también Figura 9.2). Es probable que los habitantes de los valles también querían estar cerca a tierra de cultivo y otras fuentes secundarias de agua como manantiales provenientes de las tierras altas. El sitio de Atotonilquillo (RV179), por ejemplo, era cerca de dos fuentes de agua perenne (ver arriba). Es interesantes notar que casi un tercio (32.4%) de todos los sitios de 2013 tenían componentes de dos zonas fisiográficas. En todos estos casos, los sitios abarcaban valles secundarios y el pie de monte. Además, los sitios con componentes solamente en el pie de monte o en valles secundarios eran típicamente localizados cerca de la transición entre estas dos zonas. Hasta la fecha, solo pequeñas porciones de áreas más allá la planicie aluvial al oeste del Río Verde han sido recorridas de manera sistemática (ver Hedgepeth y Koukopoulos 2012 Joyce 1991; Joyce et al. 2009). Sin embargo el recorrido del valle al este sugiere que la gente prehispánica tenían una preferencia por o a) el pie de

monte bajo, o b) áreas más elevadas en la planicie aluvial o valles secundarios (ver Hedgepeth y Koukopoulos 2012 Joyce 1991; Joyce et al. 2009).

La distribución de sitios se puede explicar también por dos grandes procesos terrestres en el área: primero, la bioturbación por animales macroscópicos es ubicuo en el área recorrido, especialmente en las cuestas laterales de los cerros (Figura 9.66). En algunos sitios, el suelo era cubierto por madrigueras que rompían la superficie y se hundían por 15 a 30 centímetros (Figura 9.67). Junto con el sedimento llevado a la superficie se encontraban muchos artefactos, principalmente tiestos de cerámica. Mientras que este proceso asuraba la detección de materiales que de otra manera no se hubieran podido notar, también hacia que los tiestos eran susceptibles al movimiento cuesta abajo por lluvias u otros mecanismos. Sedimento que se mueve cuesta abajo no se estabilize hasta llegar a elevaciones más bajas donde la cuesta se vuelve más plana y el transporte de energía se vuelve menos. Obstrucciones como muros de piedra también pueden parar el movimiento de sedimento. Por estos procesos, tepalcates se encuentran comúnmente a cierta distancia cuesta debajo de su lugar de origen.

Un segundo proceso importante afectando la distribución de los sitios es el enteramiento de vestigios prehispánicos. Esto ocurre más frecuentemente en dos áreas grandes: en la planicie aluvial (Figura 9.68) y en la base de las cuestas empinadas (Figura 9.69). Para el primero, el enterramiento ocurre durante inundaciones por la acumulación vertical de sedimentos. Típicamente estos depósitos consisten en arcilla y lomo, pero también pueden incluir arena en áreas más cercanas al cauce principal del Río Verde y de afluentes más elevados. En las áreas del pie de monte, en ángulo de la cuesta es el factor principal que controla el proceso de enterramiento. Conforme va bajando el ángulo, por ejemplo en la base de cuestas empinadas, el depósito de sedimento ocurre por la reducción de la energía de transporte. Este proceso es especialmente importante en áreas de actividad humana y donde hay alta perturbación por la reducción de vegetación.

Por causa de los procesos naturales terrestres descritos arriba, la interpretación de la distribución de sitios se debe de hacer con precaución. En el área del pie de monte, los sitios arqueológicos pueden ser más frecuentemente detectados en áreas con alta perturbación, como en las cuestas empinadas, por ejemplo. A cambio, sitios en la base de las laderas y en la zona de inundación del Río Verde, pueden ser fácilmente enterrados. Investigaciones arqueológicas futuras deben incluir excavaciones más profundas con muestras tomadas con barreno, particularmente en las áreas de depósito de sedimento en el pie de monte. Hasta el momento, el uso de barrenos para tomar muestras en la planicie aluvial no ha sido productivo para detectar suelos ni sitios enterrados (ver Joyce 1991; Joyce y Mueller 1992; Mueller 1991).

9.5 Conclusión: Cambios diacrónicos en la distribución de sitios

El recorrido de 2013 ha añadido a nuestro entendimiento de los cambios en los asentamientos en el bajo Verde y a la organización política regional durante el periodo Formativo así como en los periodos Clásicos y Posclásicos. Con respecto al periodo Formativo, investigaciones anteriores indican que los asentamientos más tempranos se enfocaron en la planicie aluvial, con el aumento de asentamientos en el pie de monte y los valles secundarios empezando en la fase Minizundo. La ocupación secundaria de los valles llego a su máximo (17.8%) en esta época (ver Tabla 9.5; ver Joyce 2013, 2010, 2008, 1999, 1991; Joyce et al. 2009). Durante la fase Chacahua, la ocupación regional aumentó de manera importante, y una unidad política urbana y poderosa se desarrolló (ver Barber y Joyce 2007; Joyce 2013, 2010). Los asentamientos eran distribuidos de manera relativamente parejo entre el pie de monte (43.0%) y la planicie aluvial (43.9%). Aunque solo una proporción moderada de todos los asentamientos del Valle (13.3%) fueron ubicados en los valles secundarios, sigue siendo una ocupación relativamente alta en comparación con los demás periodos. Centros poblados importantes de la fase Chacahua se desarrollaron en el pie de monte y en la planicie aluvial. Sitios del pie de monte más importantes

incluyen Cerro de la Virgen (RV66), y La Soledad (RV65). Sin embargo, el crecimiento de Río Viejo como la capital indica que la planicie aluvial era el centro político del Valle (Barber y Joyce 2007; Joyce 2013, 2010).

Tabla 9.5: Asentamientos Prehispánicos por zona fisiográfica (Antes del recorrido de 2013)

Periodo	Fase	Pie de monte	Planicie aluvial	Valle secundario	Planicie costera
Posclásico tardío	Yucudzaa (A.D. 1100-1522)	93.1%	3.4%	3.5%	0.0%
Posclásico temprano	Yugue (A.D. 800-1100)	58.9%	40.1%	0.0%	1.0%
Clásico tardio	Yuta Tiyoo (A.D. 500-800)	39.5%	51.3%	7.1%	2.1%
Clásico temprano	Coyuche (A.D. 250-500)	64.5%	21.5%	14.0%	0.0%
Formativo terminal tardío	Chacahua (A.D. 100-250)	43.0%	43.9%	13.1%	0.0%
Formativo terminal temprano	Miniyua (150-B.C.-A.D. 100)	23.5%	69.4%	7.1%	0.0%
Formativo tardío	Minizundo (400-150 B.C.)	49.0%	33.2%	17.8%	0.0%
Formativo mediano tardio	Charco (700-400 B.C.)	0.9%	99.1%	0.0%	0.0%
Formativo temprano/ Formativo mediano temprano	(1800-700 B.C)	0.0%	1.6%	0%	98.4%

Nuevos datos apoyan de forma mixta los patrones regionales previamente documentados del periodo Formativo. Tres grandes puntos de acuerdo pueden ser identificados. En primer lugar, la ocupación en la zona de recorrido de 2013 aumentó de manera significativa durante el Formativo terminal (ver Tabla 9.6). En segundo lugar, los asentamientos en el pie de monte aumentaron durante la fase Miniyua, con niveles parecidos de población quizás mantenidos en el periodo Formativo Terminal tardío. Aunque la proporción de área total ocupada en la zona del pie de monte bajó durante la fase Chacahua, un centro de población importante creció en el sitio de Piedra Ancha (RV50). Por lo tanto, las poblaciones del pie de monte pudieron haberse simplemente juntadas en lugar de migrar fuera del pie

de monte al final del periodo Formativo. Finalmente, durante el periodo prehispánico los asentamientos en los valles secundarios al noroeste están en su punto más alto durante las fases Minizundo y Chacahua.

Tabla 9.6: Estimación de población por fase en la zona de recorrido de 2013[1]

Periodo	Fase	Occupacion (ha)
Posclásico tardío	Yucudzaa (A.D. 1100-1522)	178.38
Posclásico temprano	Yugue (A.D. 800-1100)	202.96
Clásico tardío	Yuta Tiyoo (A.D. 500-800)	290.33
Clásico temprano	Coyuche (A.D. 250-500)	263.09
Formativo terminal tardío	Chacahua (A.D. 100-250)	270.87
Formativo terminal temprano	Miniyua (150-B.C.-A.D. 100)	184.38
Formativo tardío	Minizundo (400-150 B.C.)	114.28

[1] *Incluye únicamente sitios con muestras de cerámica fechables*

A pesar de estas similitudes en la distribución regional de los asentamientos, los datos de 2013 también divergen de las investigaciones anteriores. Al final del periodo Formativo en el valle al noroeste, la ocupación en el pie de monte era relativamente baja. Mientras que los asentamientos en los valles secundarios a lo largo del bajo Verde llega a su máximo en las fases Minizundo y Chacahua, la ocupación en los valles secundarios al noroeste es proporcionalmente mucho más elevada. En la zona de recorrido de 2013, por lo menos dos-tercios de los asentamientos de la fase Minizundo y tres-cuartos de los asentamientos de la fase Chacahua ocurrieron en los valles secundarios. Esto sugiere que la ocupación en los valles secundarios durante el Formativo Tardío/Terminal era más extensa que lo que se suponía. Aunque esta zona no esta tan fértil como la planicie aluvial (ver Goman et al. 2010, 2013; Mueller et al.

2013), puede haber sido un lugar importante de producción agrícola para mantener a la población que crecía rápidamente.

Datos recientes de recorrido también apoyan de manera mixta a los patrones observados por el periodo Clásico Temprano (ver Joyce 2010, 1999, 1991; Joyce et al. 2009, 2001). Datos anteriores indican que los asentamientos en el pie de monte llegaron a su máximo durante la fase Coyuche, con el colapso de la unidad política de Río Viejo (Tabla 9.5). En la zona de recorrido de 2013, la ocupación en el pie de monte también aumentó de manera significativa. Es más, Piedra Ancha (RV50) llego a su ocupación máxima al igual que otros sitios de tamaño mediano (RV179) y pequeño (RV189) en el pie de monte. Sin embargo, los asentamientos en la zona de recorrido eran divididos de manera pareja entre el pie de monte y los valles secundarios en vez de estar concentrados en el pie de monte.

Los hallazgos del recorrido de 2013 difieran mucho de los datos anteriores acerca del periodo Clásico tardío. Datos anteriores (ver Joyce 2010, 1999, 1991; Joyce et al. 2009, 2001) indican que el asentamiento general en el bajo Verde se volvió a concentrar en la planicie aluvial cuando la unidad política de Río Viejo fue establecido de nuevo. Como resultado, la ocupación en el pie de monte y en los valles secundarios disminuyo (Tabla 9.5). Sin embargo, en la zona de recorrido de 2013, la distribución de asentamientos entre el pie de monte y los valles secundarios se mantuvo relativamente igual a su distribución durante la fase Coyuche, aunque la ocupación en sitios individuales o aumentó o disminuyó.

Después del secundo colapse de la unidad política de Río Viejo al final de periodo Clásico Tardío, la investigación anterior indica que los asentamientos aumentan en el pie de monte de manera regular. Como resultado, los asentamientos en la planicie aluvial y en los valles secundarios disminuyeron de manera importante al inicio de la fase Posclásica Temprana (Tabla 9.5; ver Joyce 2010; Joyce et al. 2004, 2001). Con el establecimiento de un imperio Mixteco centrado en Tututepec, los asentamientos del pie de monte durante el Posclásico Tardío culminaron a cerca de 90%, la ocupación más alta en el pie de

monte de toda la época prehispánica (Tabla 9.5). Además, la ocupación se movió hasta el lado este del río y los asentamientos en los valles secundarios aumentaron ligeramente.

Los asentamientos del Posclásico registrados en 2013 presentan un patrón interesante que solo apoya parcialmente los datos regionales anteriores. La distribución de los asentamientos de la fase Yugüe no cambiaron de manera significativa entre las fases Yuta Tiyoo y Coyuche: la ocupación se quedó dividida entre el pie de monte y los valles secundarios, con una población más elevada en los valles secundarios. Es decir, los asentamientos en el pie de monte en la zona de recorrido de 2013 no aumentaron como se ve en otras áreas del bajo Verde.

Durante la fase Yucudzaa, el único movimiento en el patrón de asentamiento en el área del proyecto era un pequeño aumento en los asentamientos en los valles secundarios. Sin embargo, el centro importante de RV170 llego a su ocupación máxima durante esta fase. El sitio se ubica principalmente en una zona de valle secundario, aunque aproximadamente un-tercio del sitio se extiende hacia el pie de monte. Importantemente, hasta la fecha RV170 es el sitio más grande del Posclásico Tardío encontrado del lado oeste del Río Verde. Casi la mitad de los asentamientos de la fase Yucudzaa en la zona de recorrido fueron localizados en este sitio. Para resumir, el asentamiento del Posclásico Tardío en el valle noroeste era un poquito más elevado en los valles secundarios, en vez de ser concentrados en el pie de monte como en otros áreas del bajo Verde. Sin embargo, la disminución de la ocupación durante el Posclásico Tardío (Tabla 9.6) apoya la hipótesis que la gente estaba migrando fuera del valle oeste (ver Joyce et al. 2004).

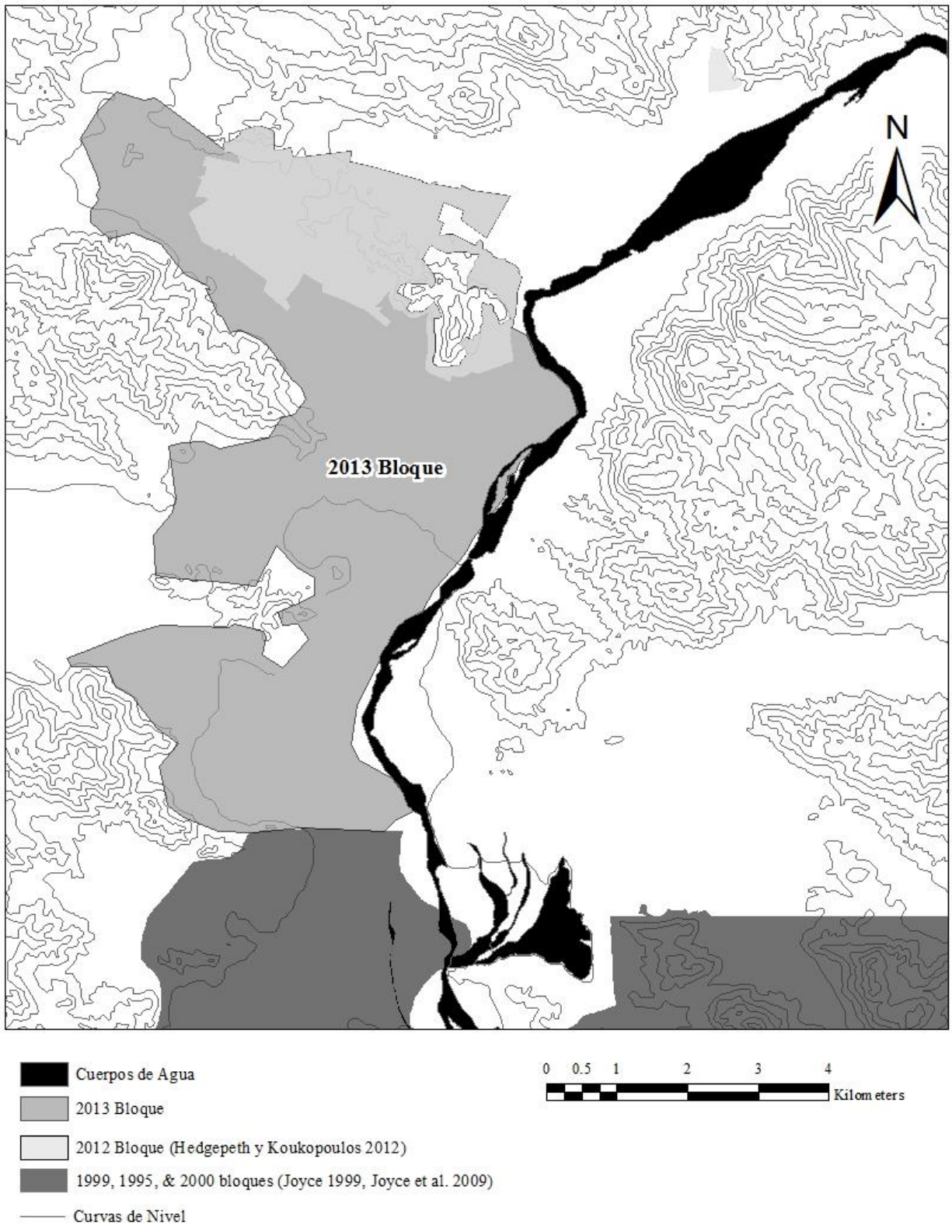


Figura 9.1: Vista general de los bloques de recorrido, sección oeste del Valle del bajo Río Verde

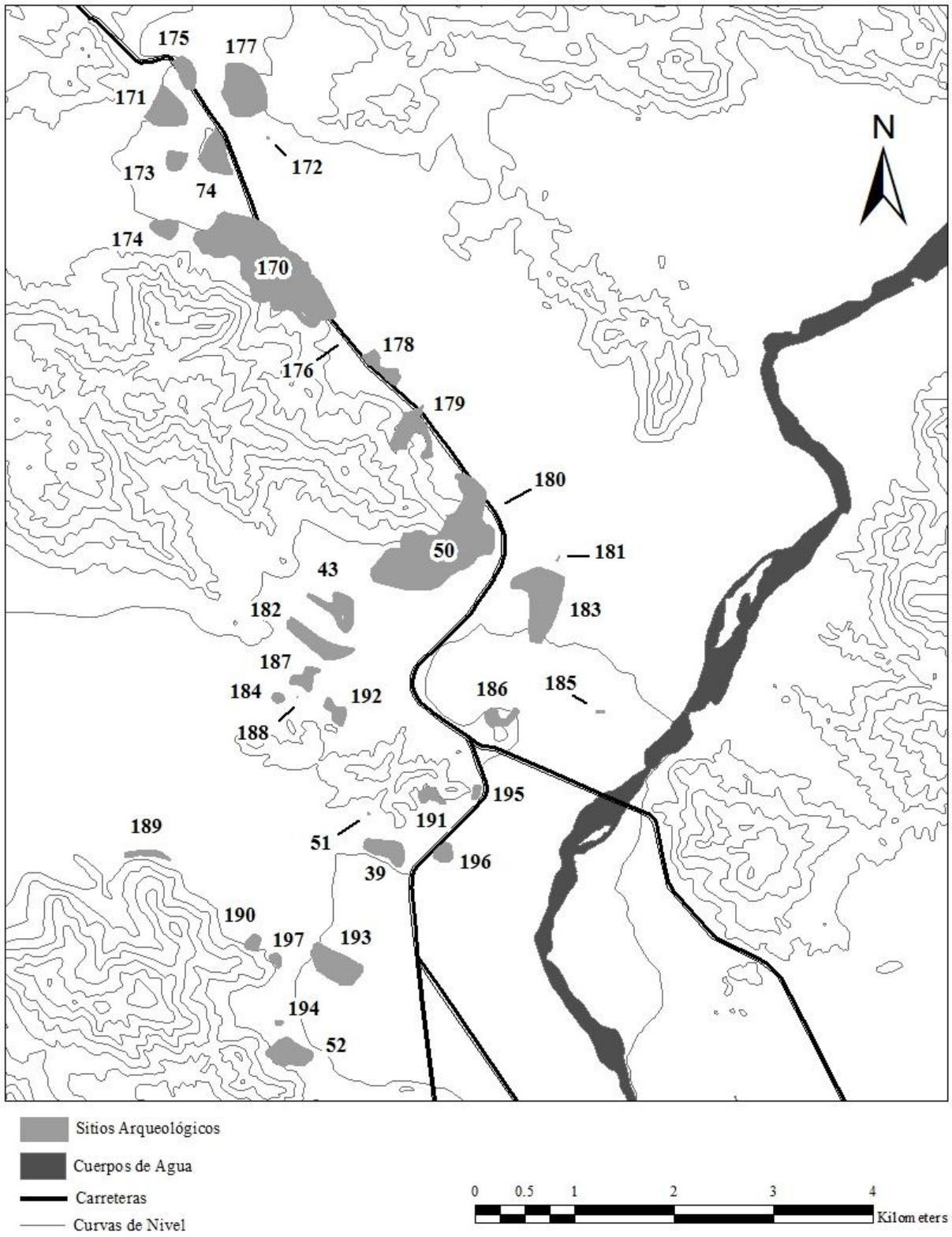


Figura 9.2: Mapa general de los sitios registrados en 2013

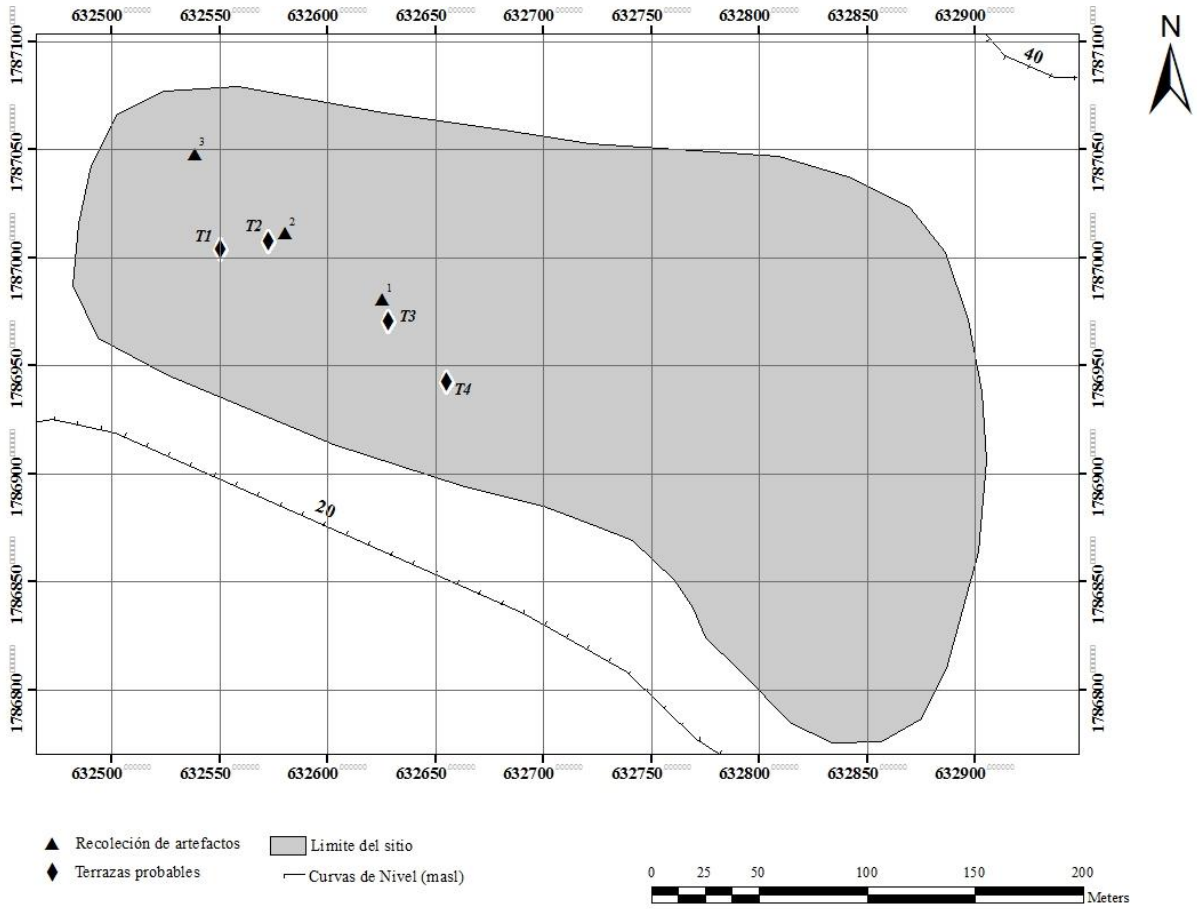


Figura 9.3: Mapa GPS, Emiliano Zapata (RV39)

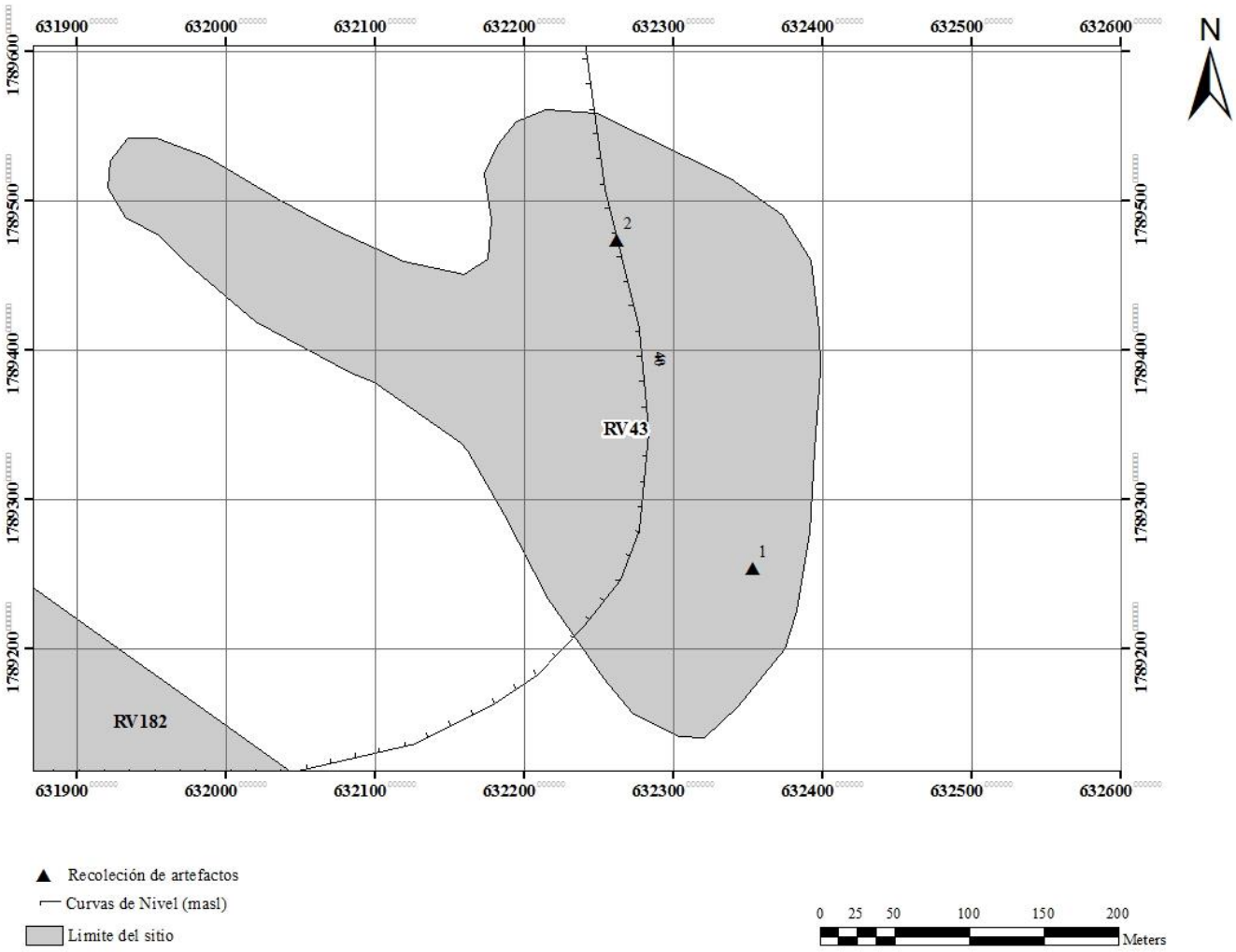


Figura 9.4: Mapa GPS, Camino Charquito el Guayaba (RV43)

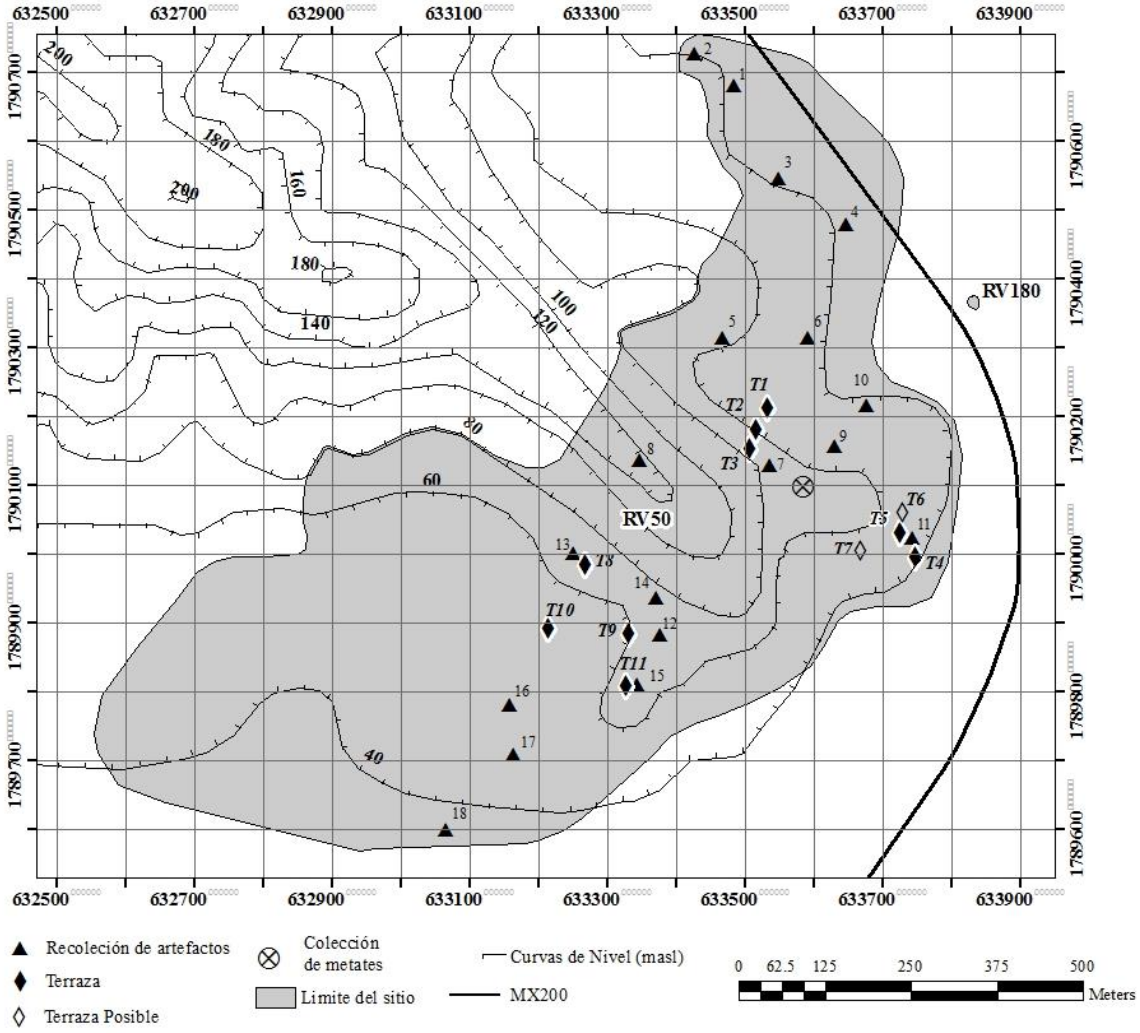


Figura 9.5: Mapa GPS, Piedra Ancha (RV50)



Figura 9.6: Terrazas con multiples niveles al norte de la cresta de Piedra Ancha (RV50)



Figura 9.7: Muro de contención con 2-3 capas de piedras horizontals, Piedra Ancha (RV50)



Figura 9.8: Muro de contencion con ortostatos, sección suroeste de Piedra Ancha (RV50)

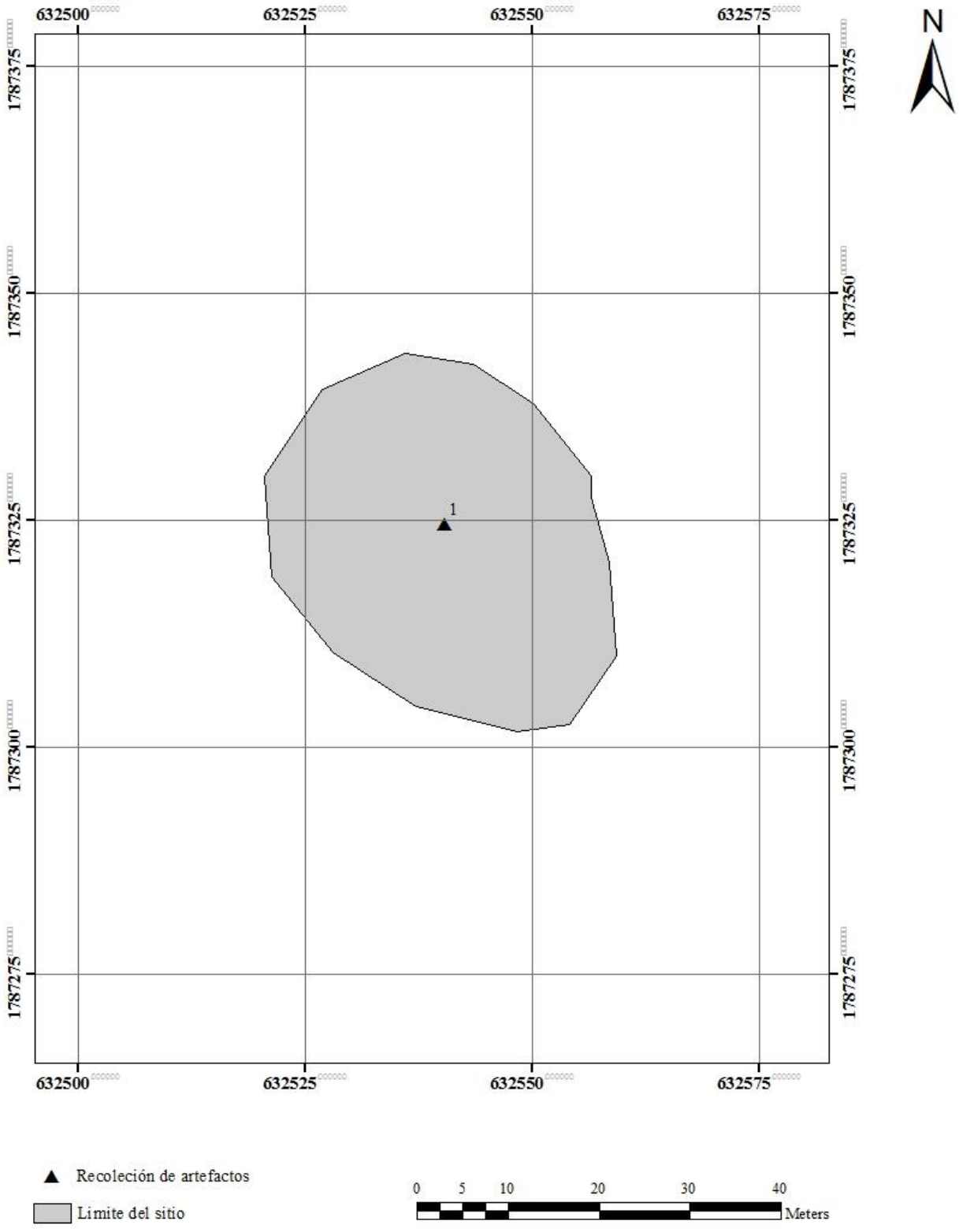


Figura 9.9: Mapa GPS, Loma Emiliano Zapata (RV51)

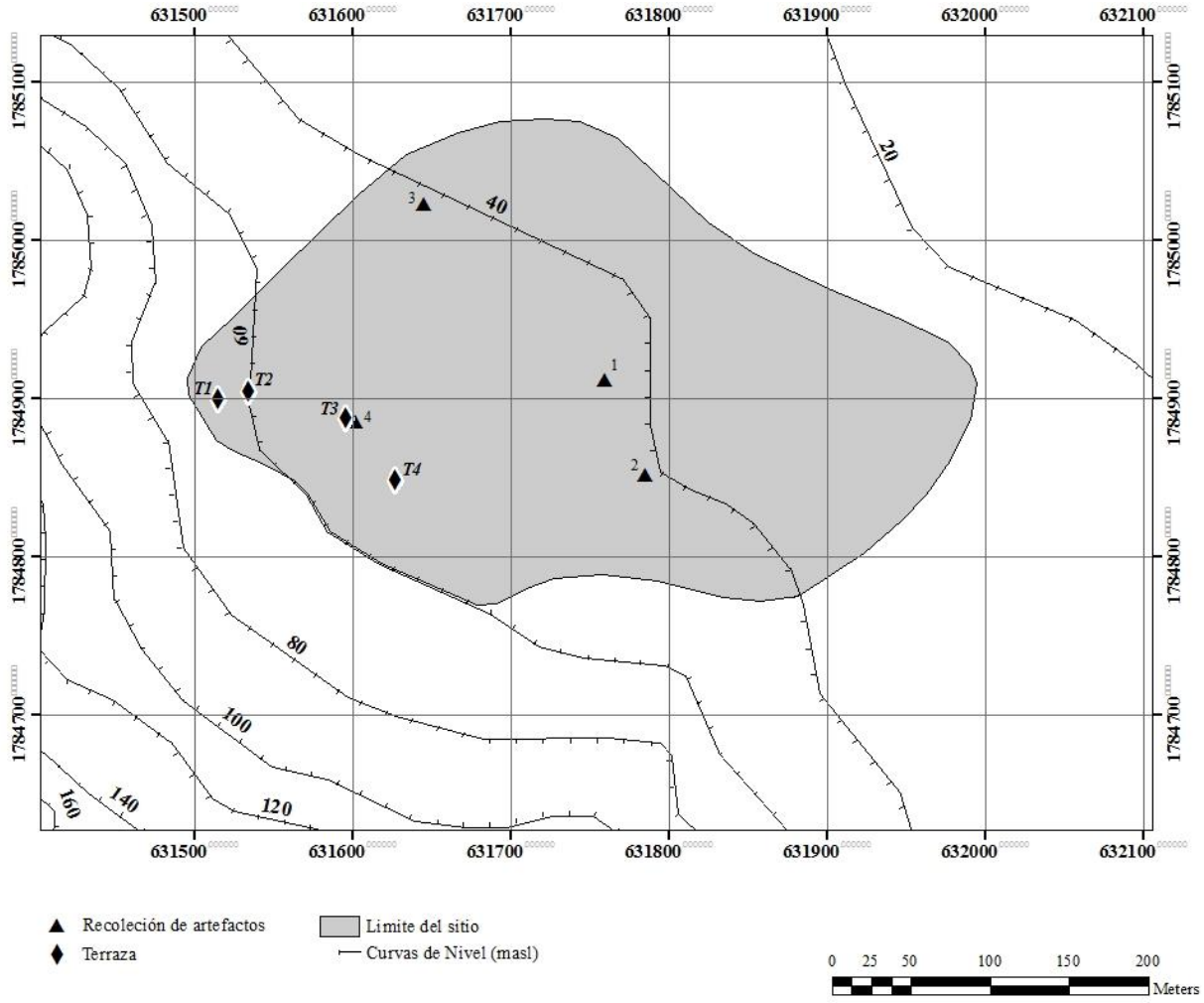


Figura 9.10: Mapa GPS, Loma la Boquilla (RV52)



Figura 9.11: Pie de monte, RV52

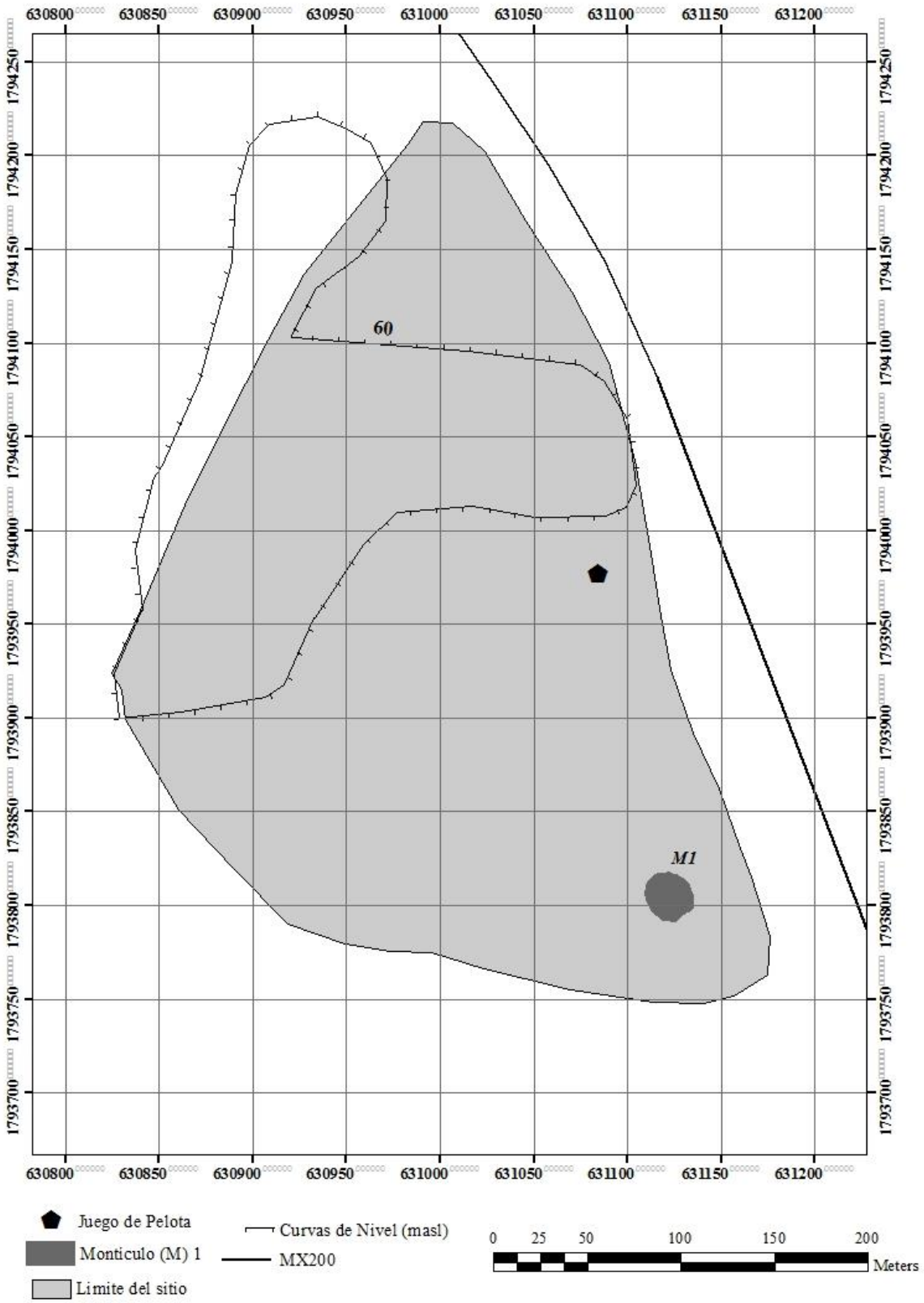


Figura 9.12: Mapa GPS, La Humedad (RV74)



Figura 9.13: Fábrica de hormigón, La Humedad (RV74)



Figura 9.14: Montículo 1 de La Humedad (RV74) cerca de la fábrica de hormigón

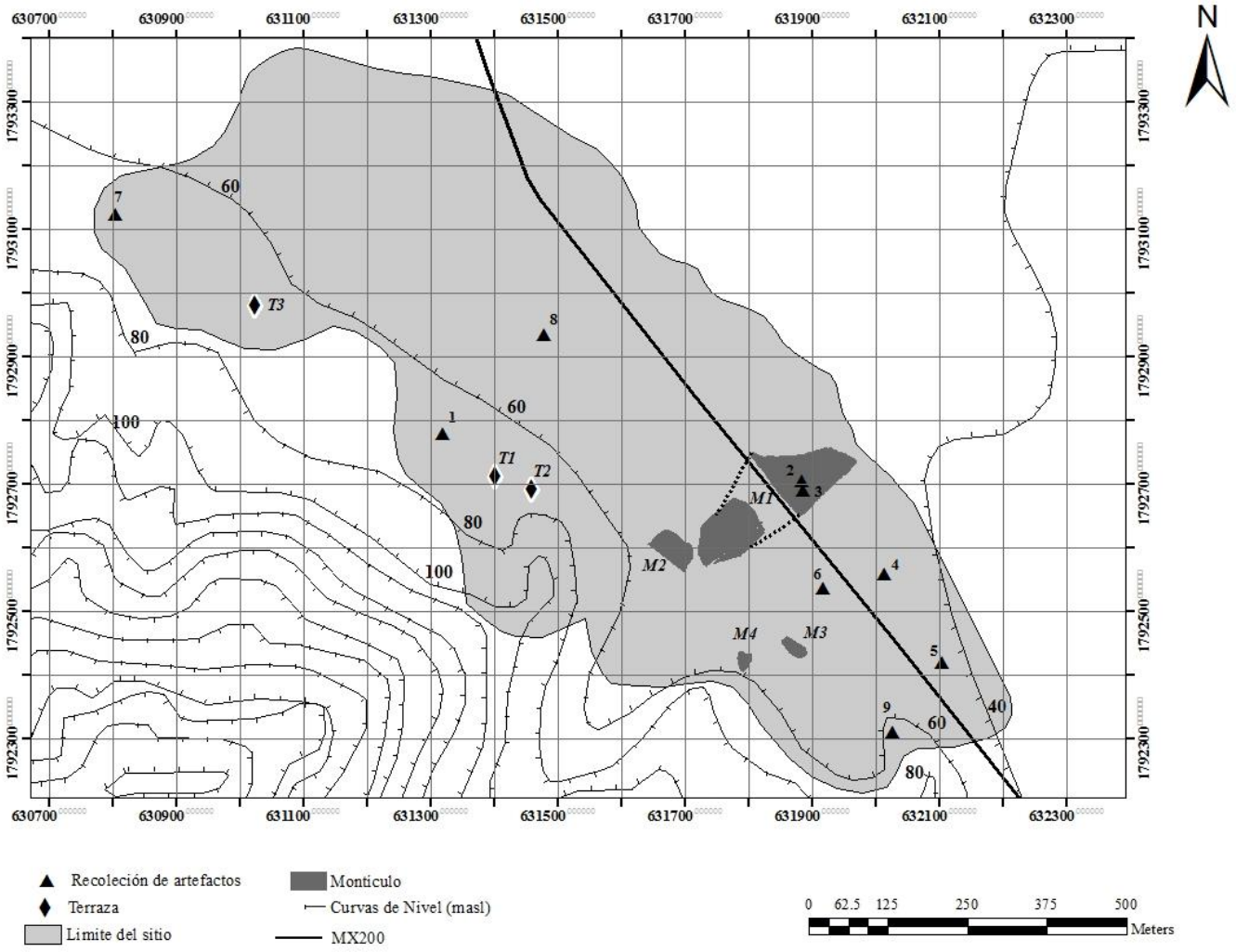


Figura 9.15: Mapa GPS, Camino a la Humedad (RV170)



Figura 9.16: Montículo con plataforma (M1) con trinchera moderna, Camino a la Humedad (RV170)



Figura 9.17: Vista de cerca del relleno del montículo expuesto, RV170



Figura 9.18: Cresta de Cerro Grande (RV171)

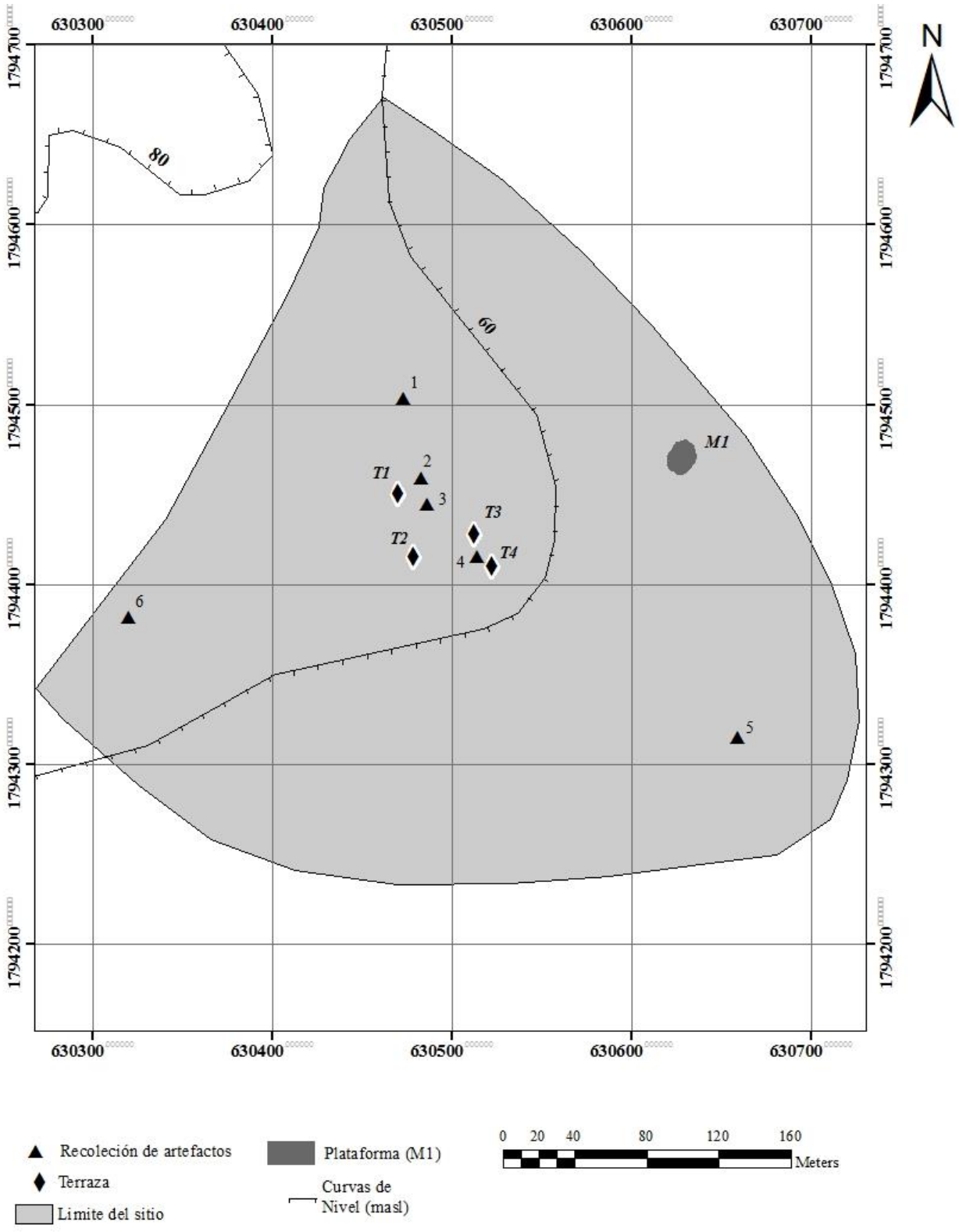


Figura 9.19: Mapa GPS, Cerro Grande (RV171)



Figura 9.20: Posible residencia sobre la cresta, RV171



Figura 9.21: Muro de terraza grande, RV171



Figura 9.22: Elemento rectangular RV171

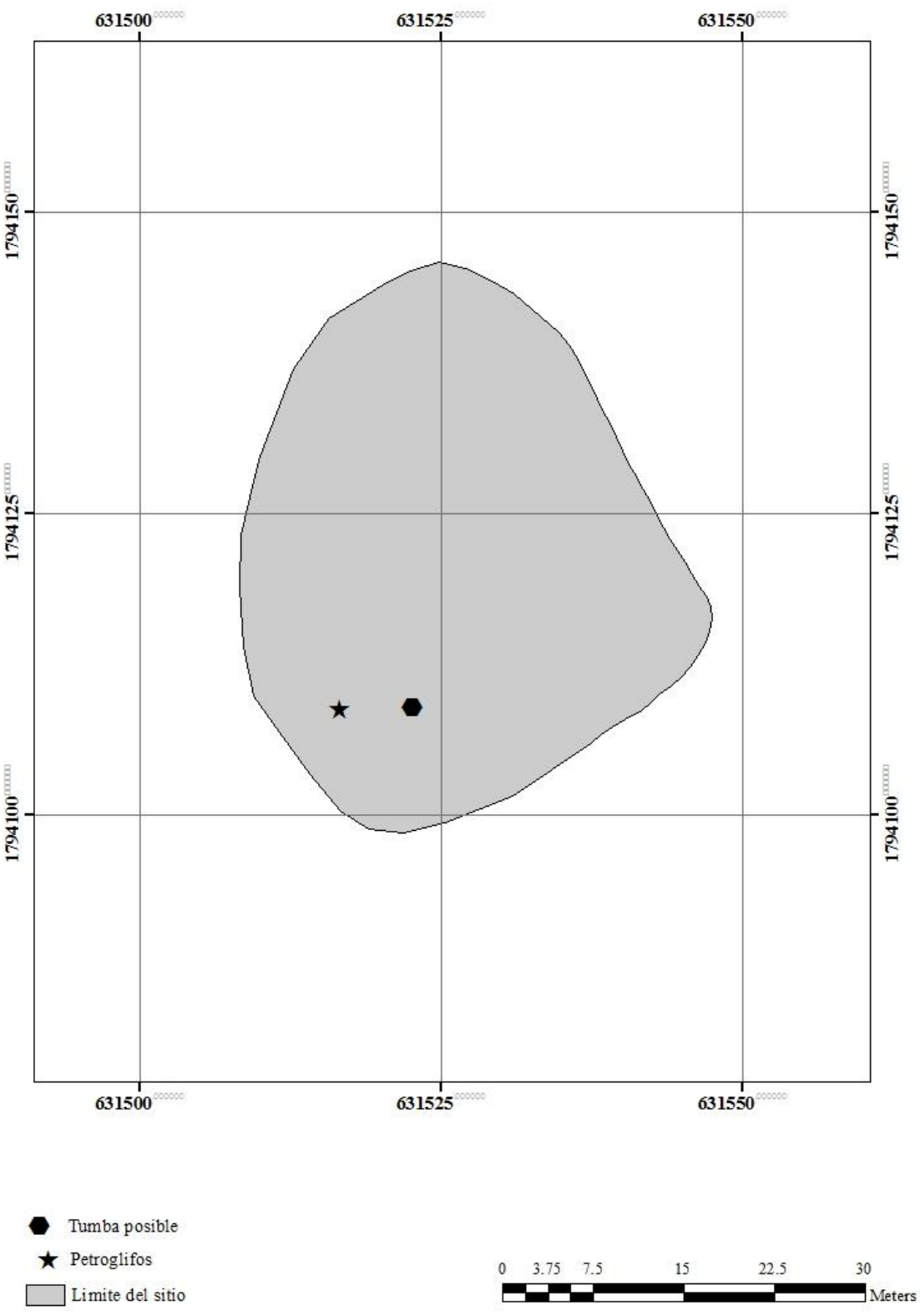


Figura 9.23: Mapa GPS, Roca Baja (RV172)



Figura 9.24: Posible tumba, Roca Baja (RV172)



Figura 9.25: Petroglífos, RV172

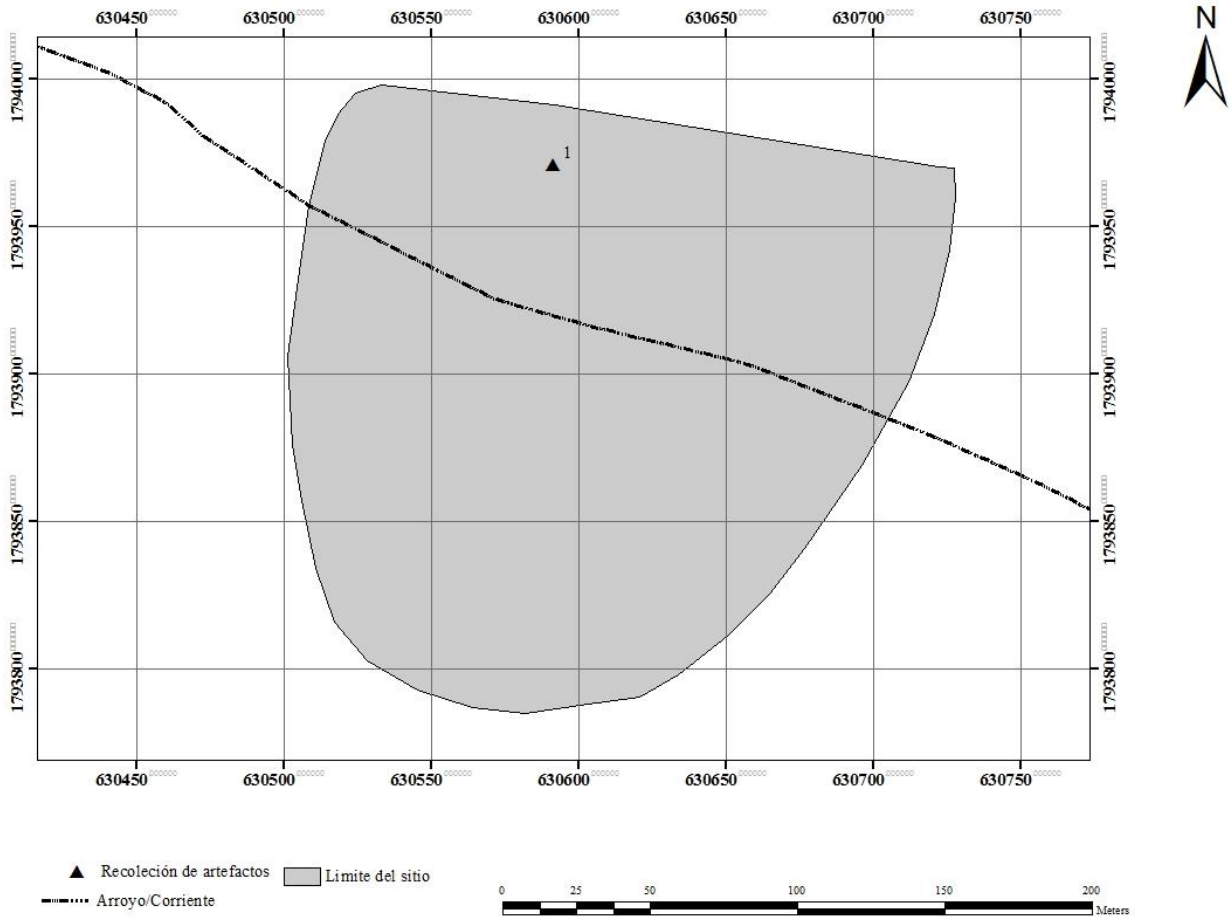


Figura 9.26: Mapa GPS, Arroyo Vista (RV173)



Figura 9.27: Laja de piedra posiblemente incluida dentro de un muro, Arroyo Vista (RV173)

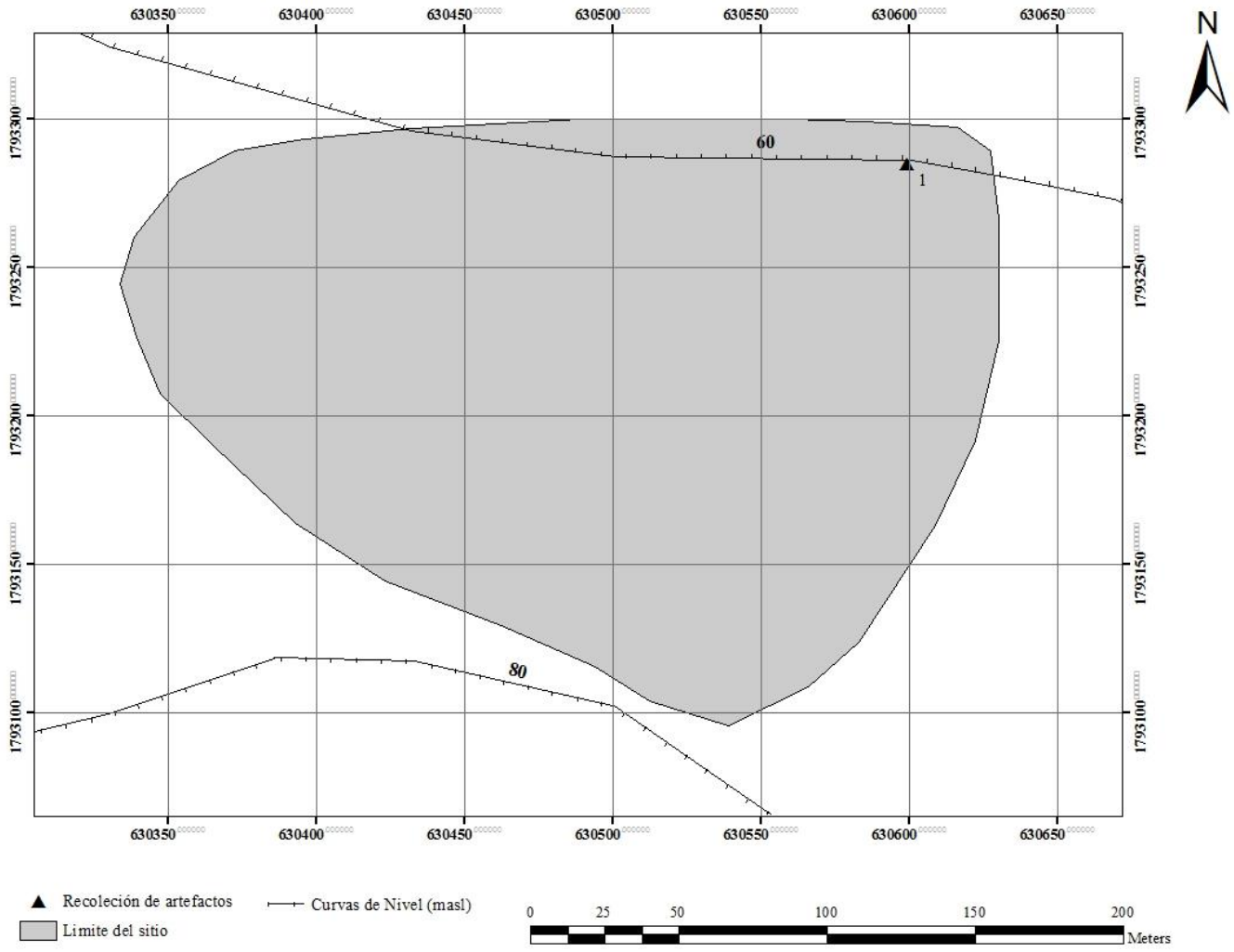


Figura 9.28: Mapa GPS, Loma la Humedad (RV174)

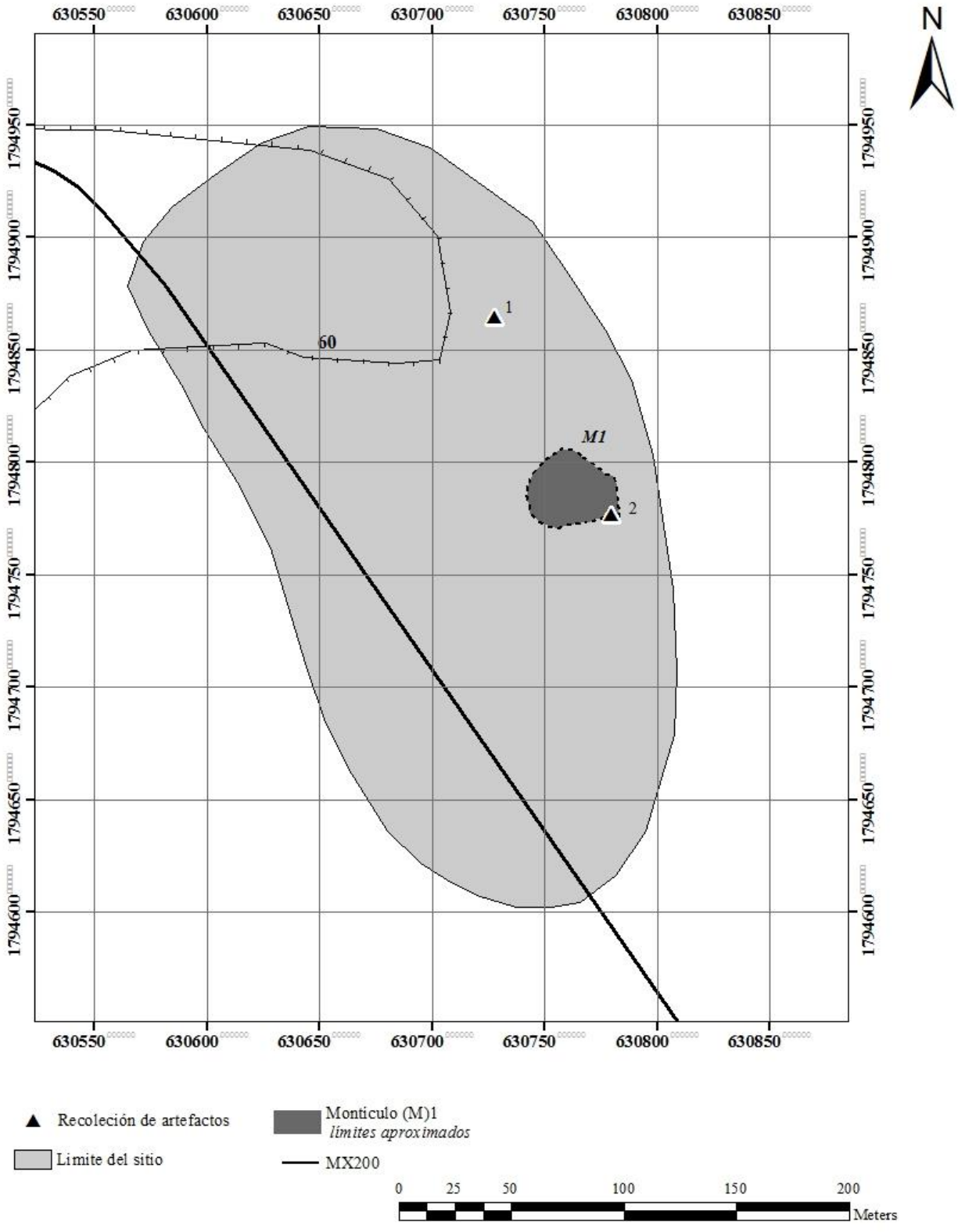


Figura 9.29: Mapa GPS, Paradero la Tortuga (RV175)

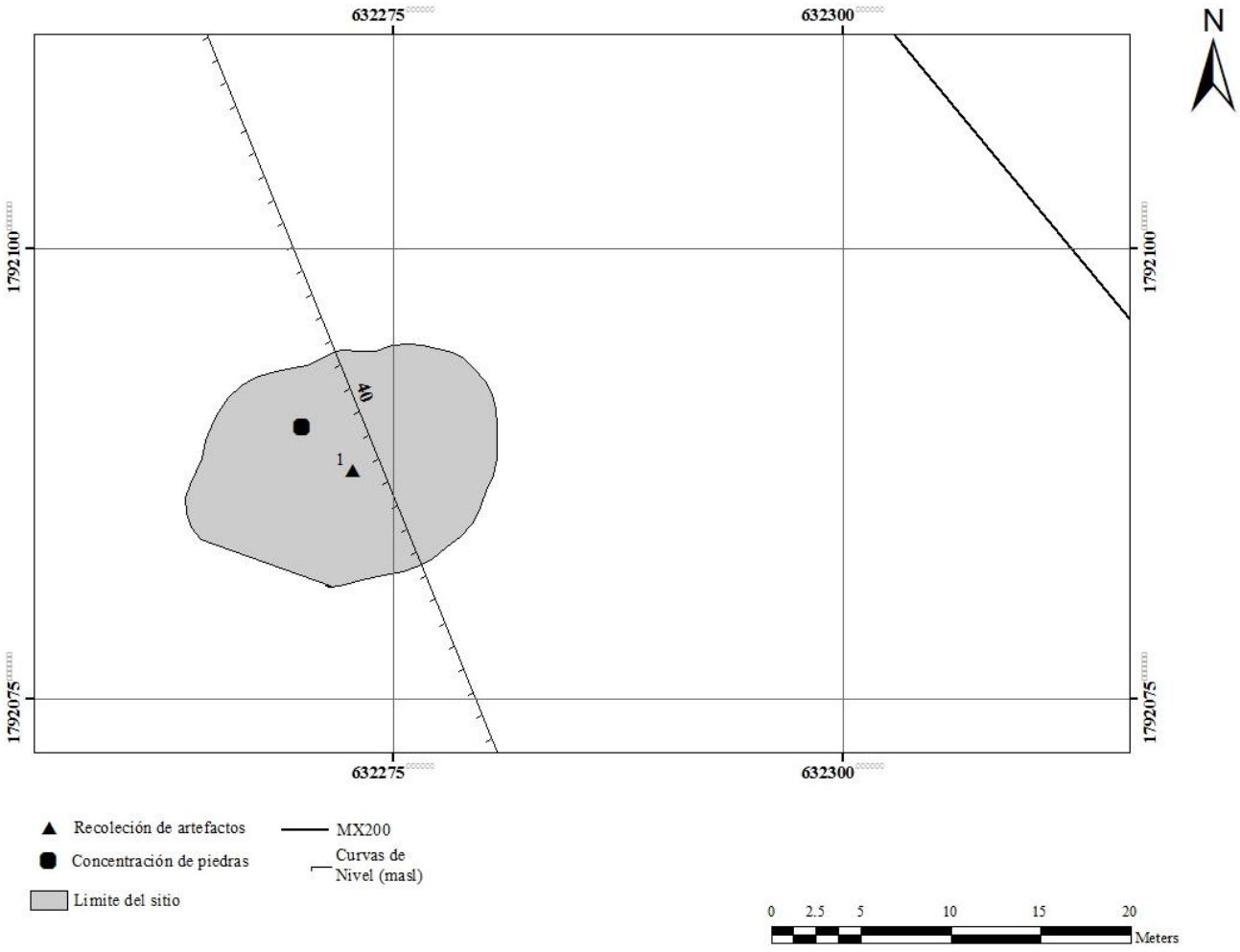


Figura 9.30: Mapa GPS, Las Piedras (RV176)

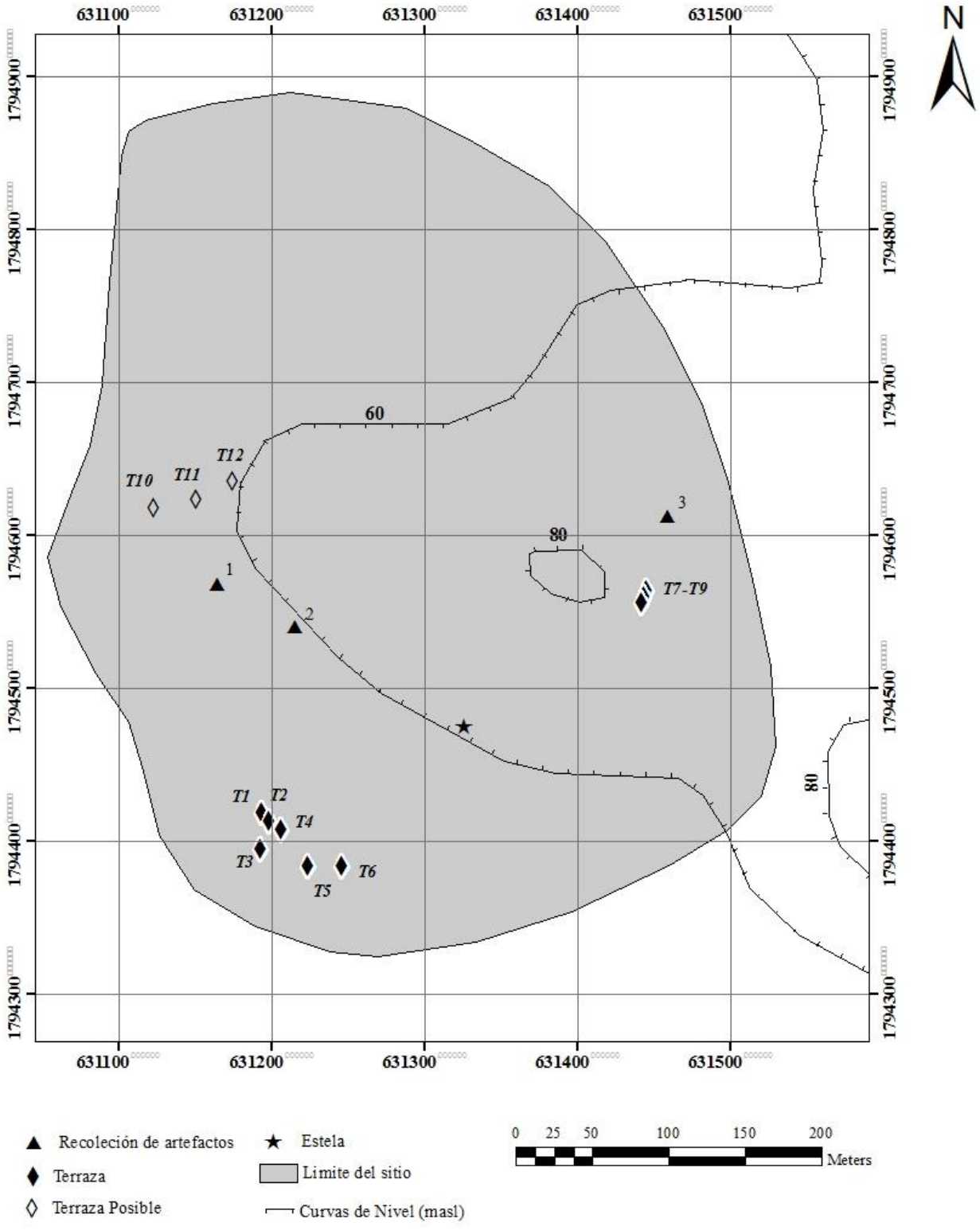
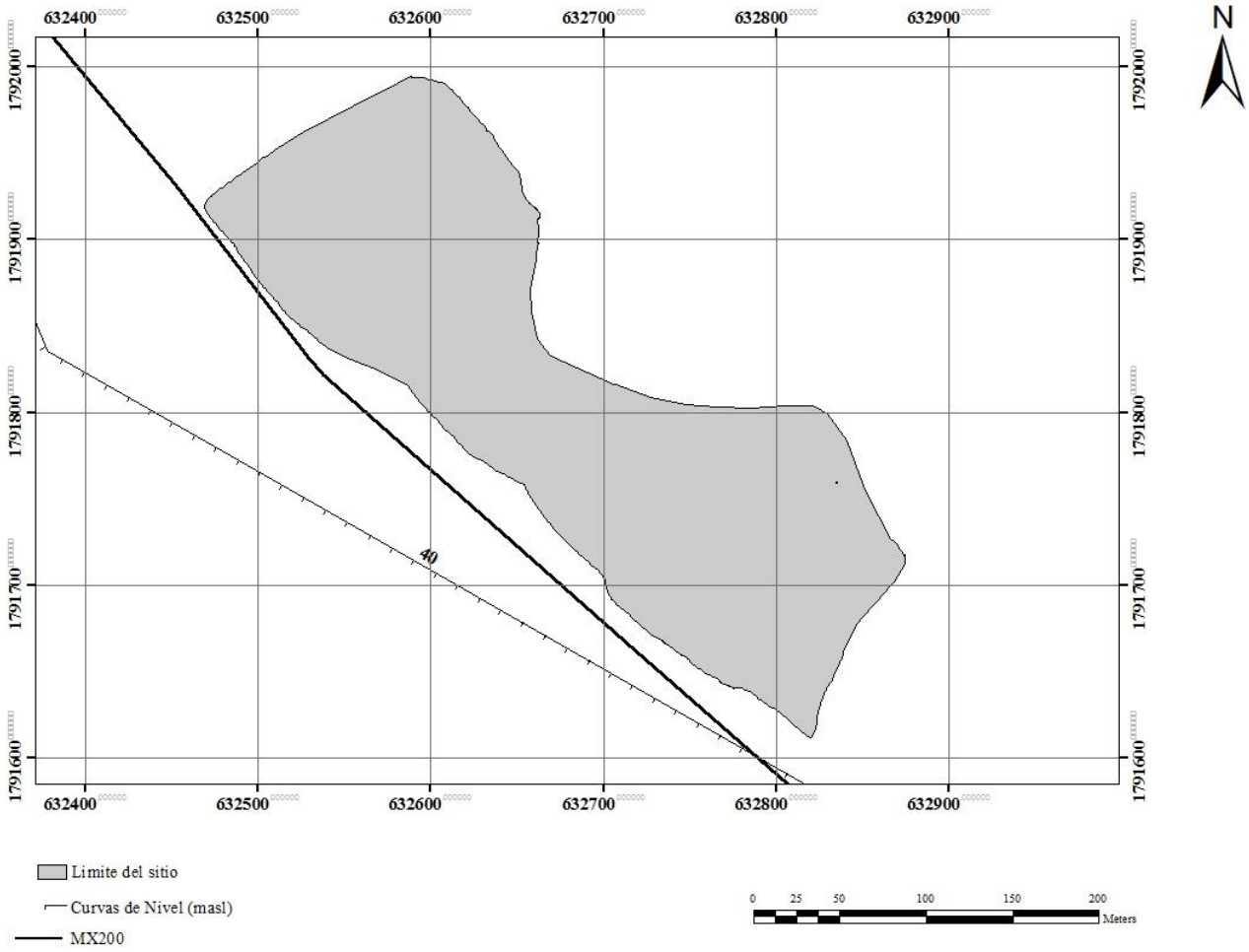


Figura 9.31: Mapa GPS, Monte la Soledad (RV177)



Figura 9.32: Estela recta, Monte la Soledad (RV177)



Figurea 9.33: Mapa GPS, Camino a Atotonilquillo (RV178)

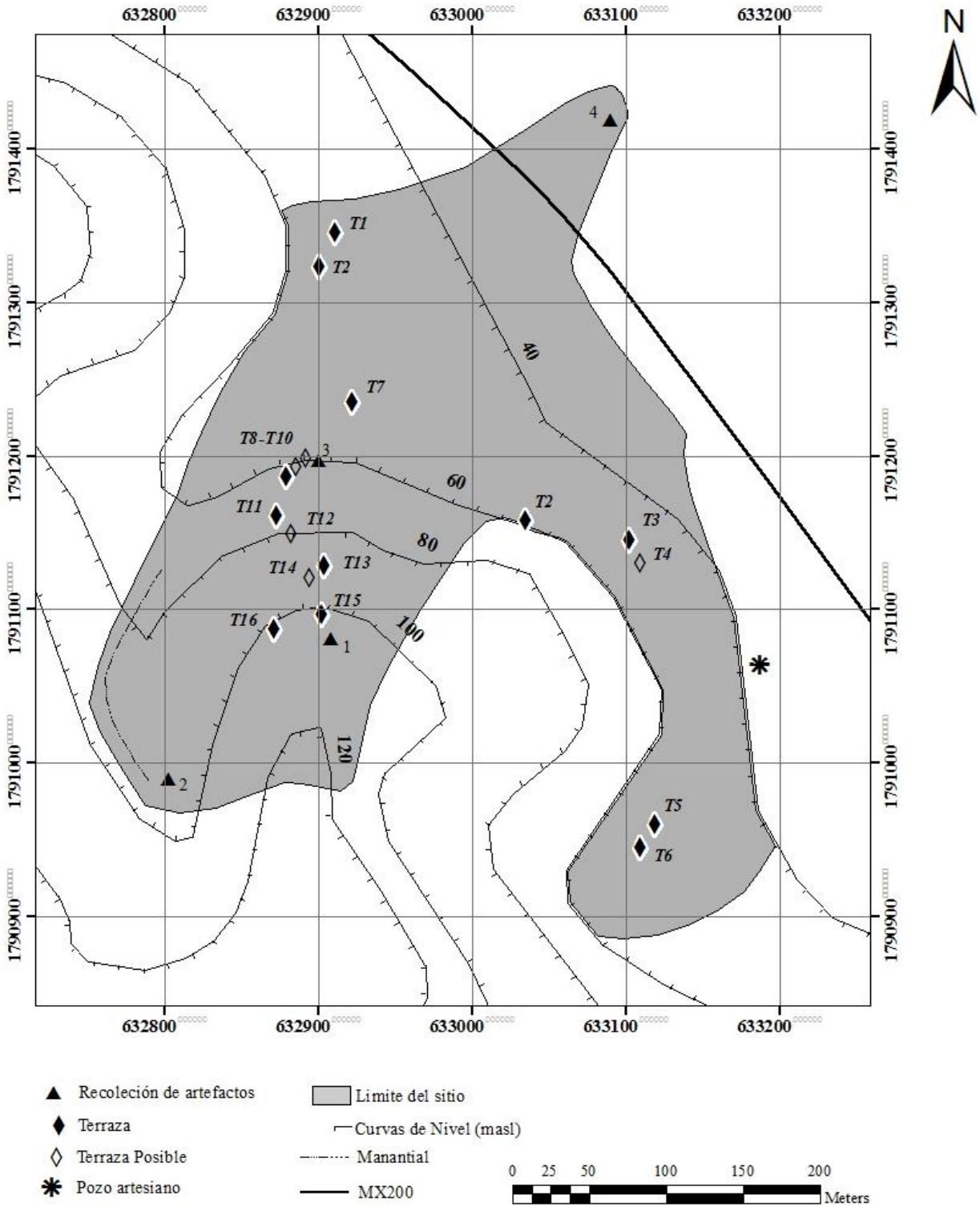


Figura 9.34: Mapa GPS, Atotonilquillo (RV179)



Figura 9.35: Nacimiento de manantial, Atotonilquillo (RV179)



Figura 9.36: Cresta “escalonada” con una serie de terrazas, Atotonilquillo (RV179)

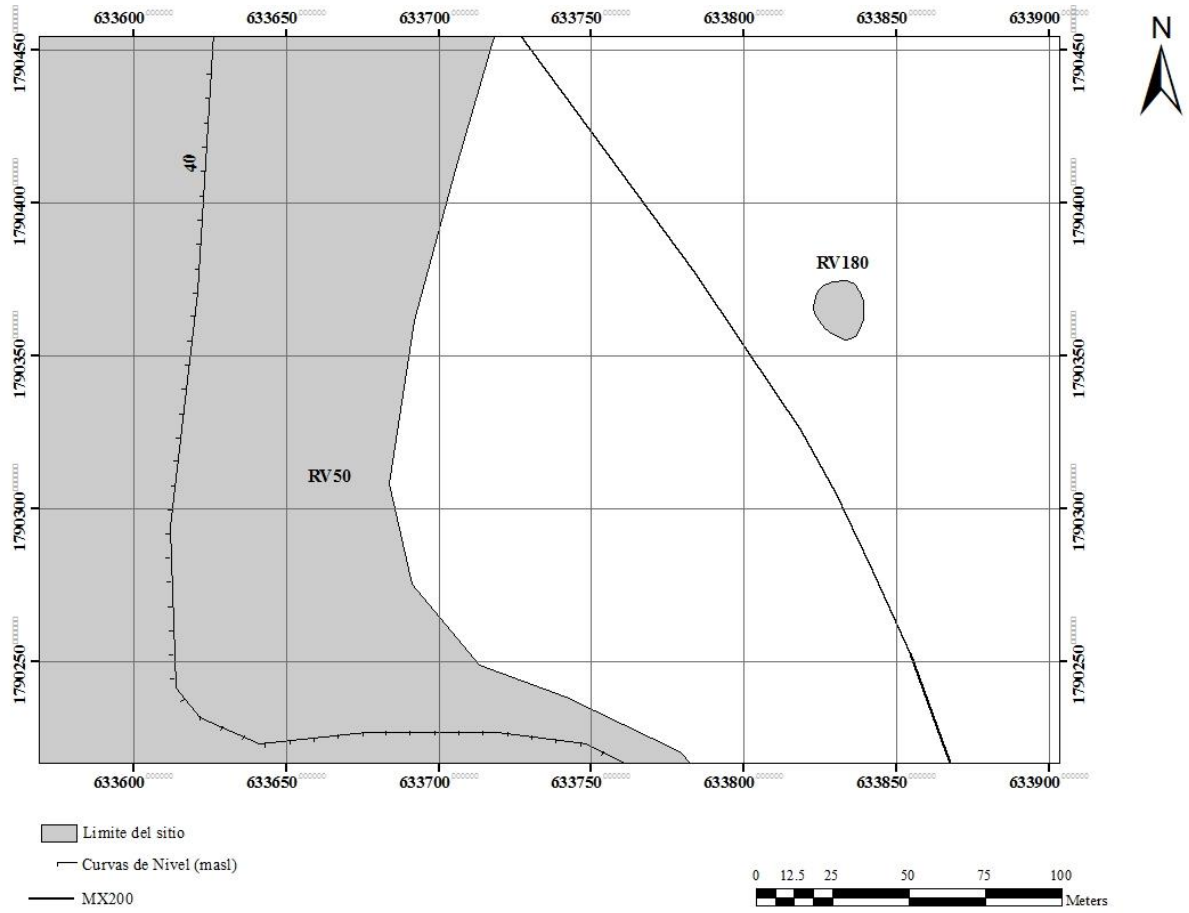


Figura 9.37: Mapa GPS, Hierba Gruesa (RV180)

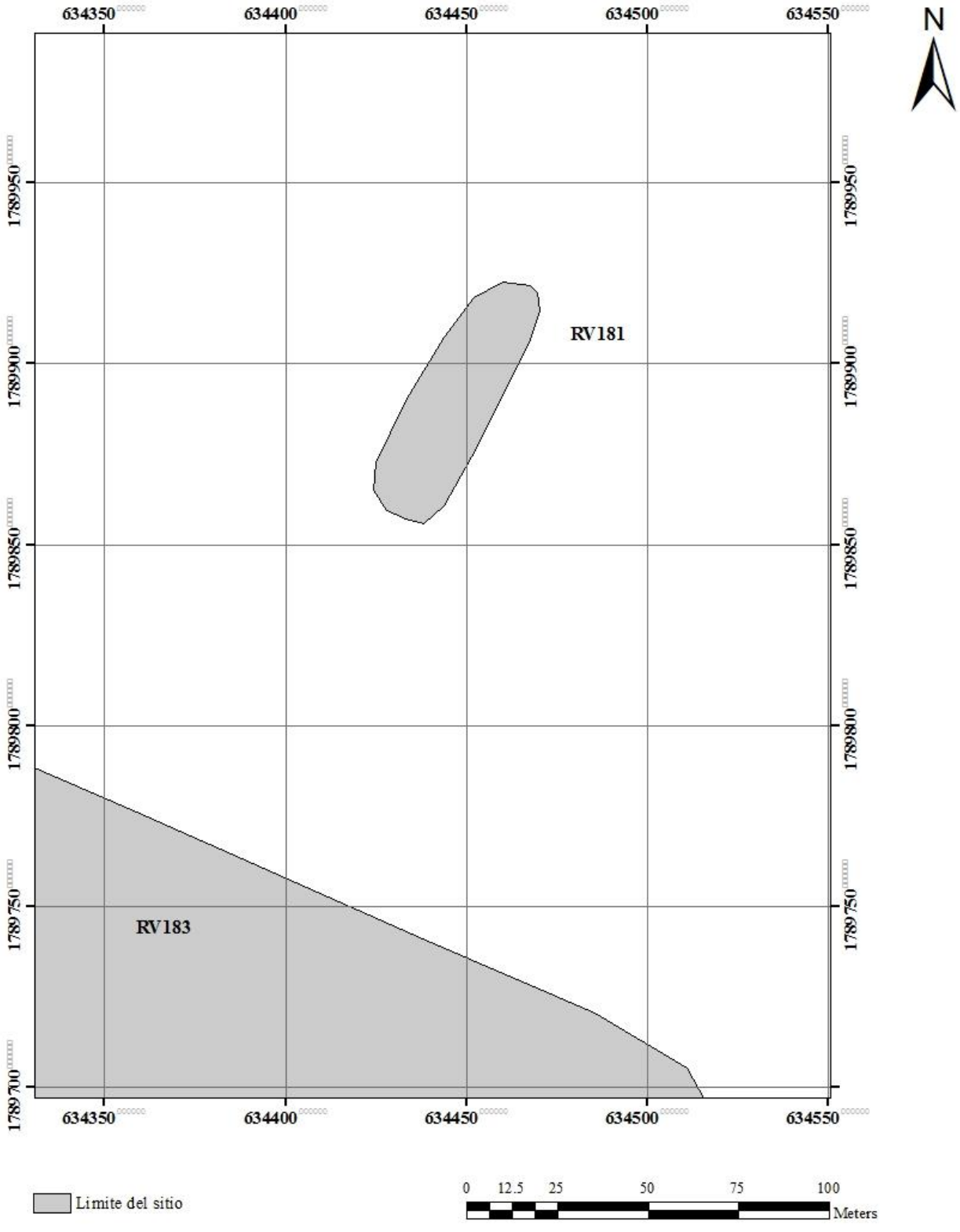


Figura 9.38: Mapa GPS, La Sola Pared (RV181)

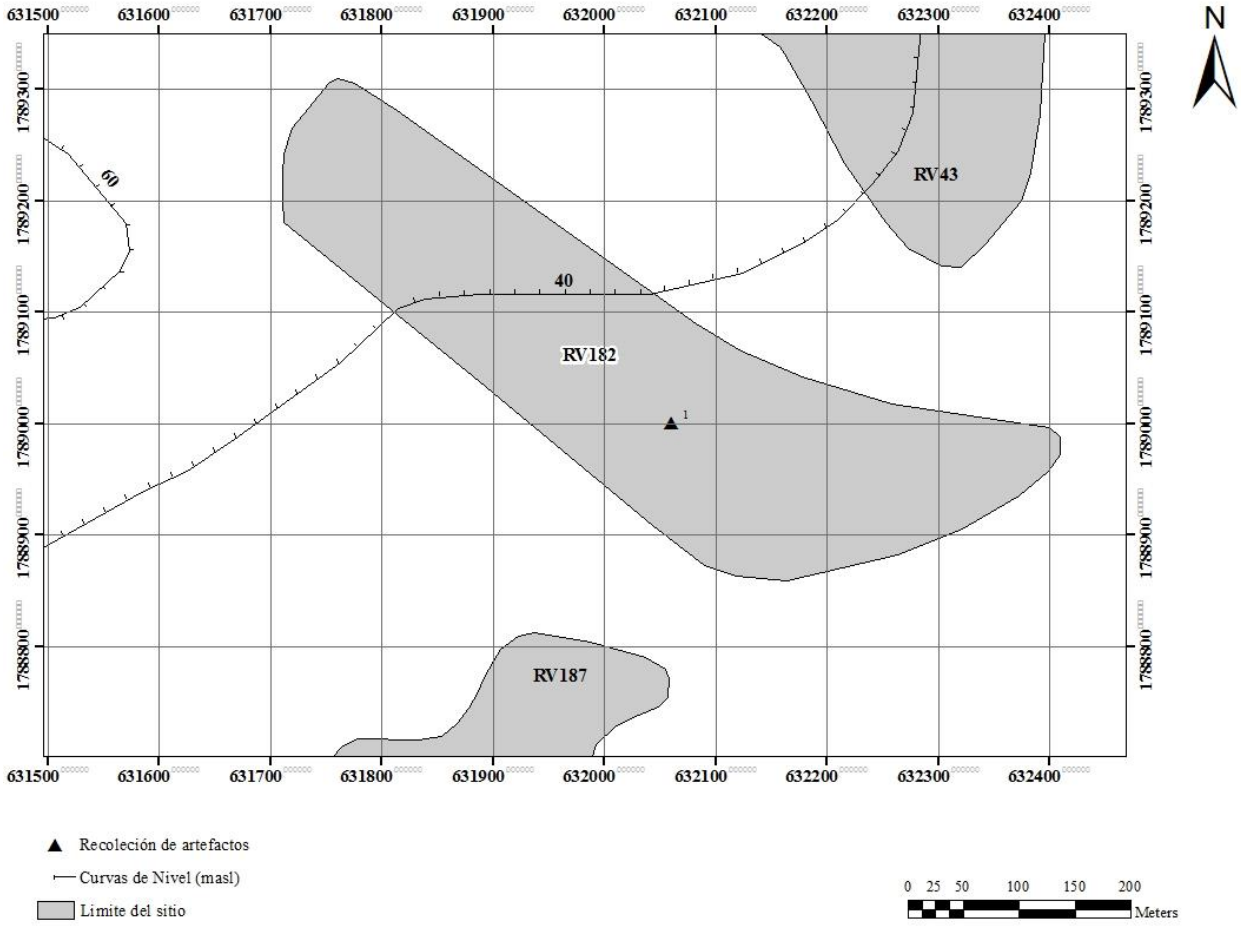


Figura 9.39: Mapa GPS, El Rancho Alto (RV182)

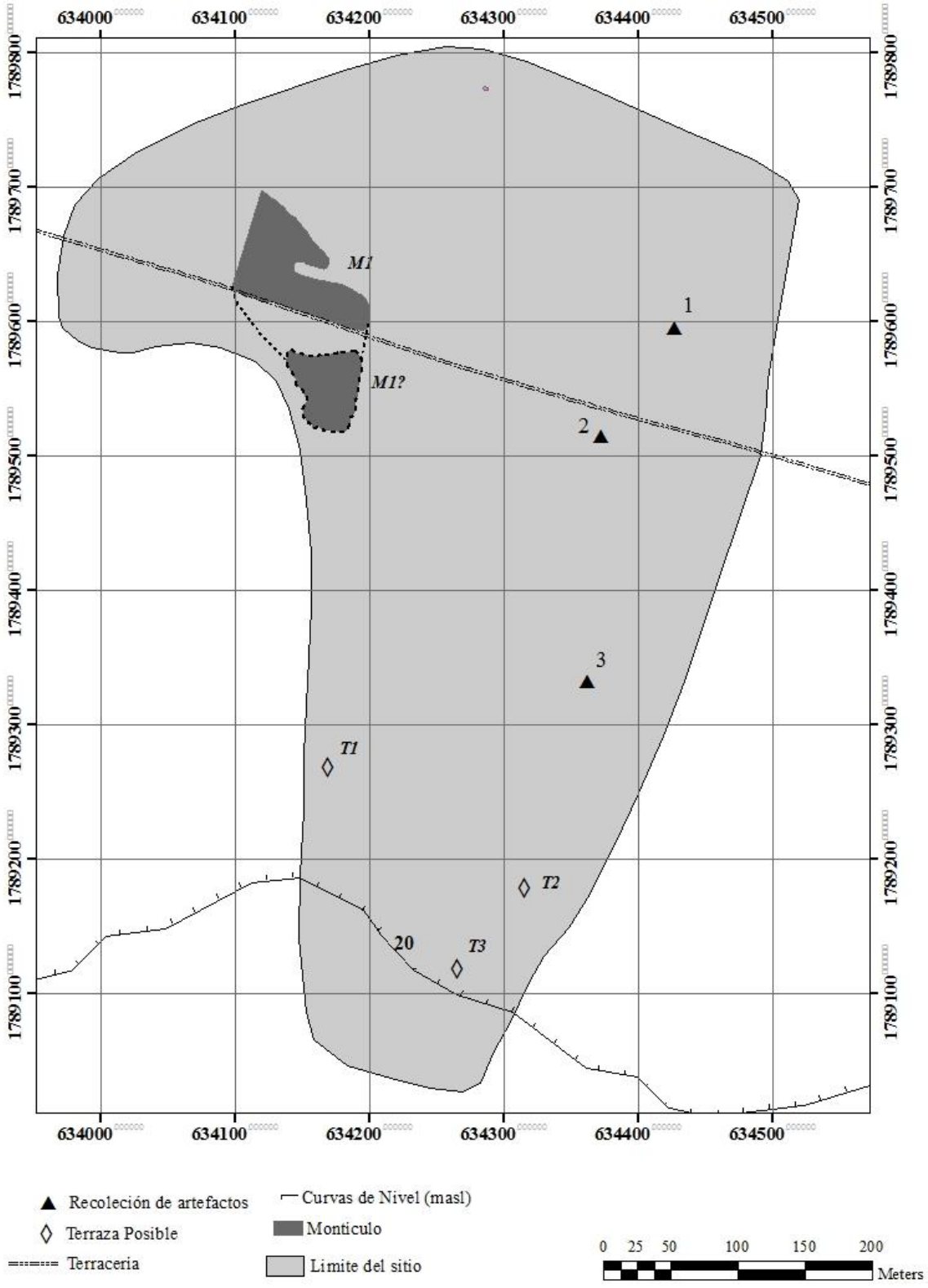


Figura 9.40: Mapa GPS, Piedra Ancha Baja (RV183)



Figura 9.41: Montículo 1, Piedra Ancha Baja (RV183)



Figura 9.42: Hoyos excavados, RV183



Figura 9.43: Relleno de montículo (M1), RV183

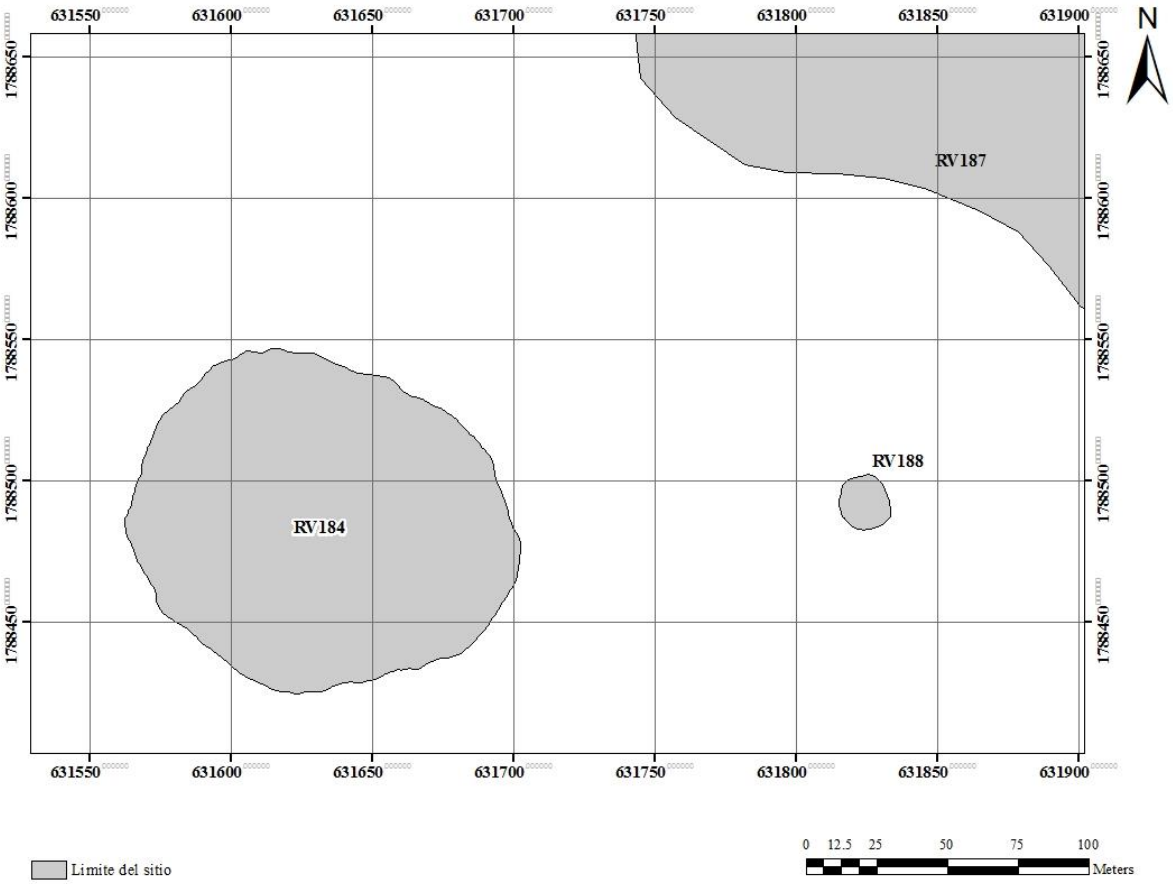


Figura 9.44: Mapa GPS, Cerro del Rancho (RV184)



Figura 9.45: Pozo excavado, Cerro del Rancho (RV184)



Figura 9.46: Muro de contención con doble fila de piedra, RV184

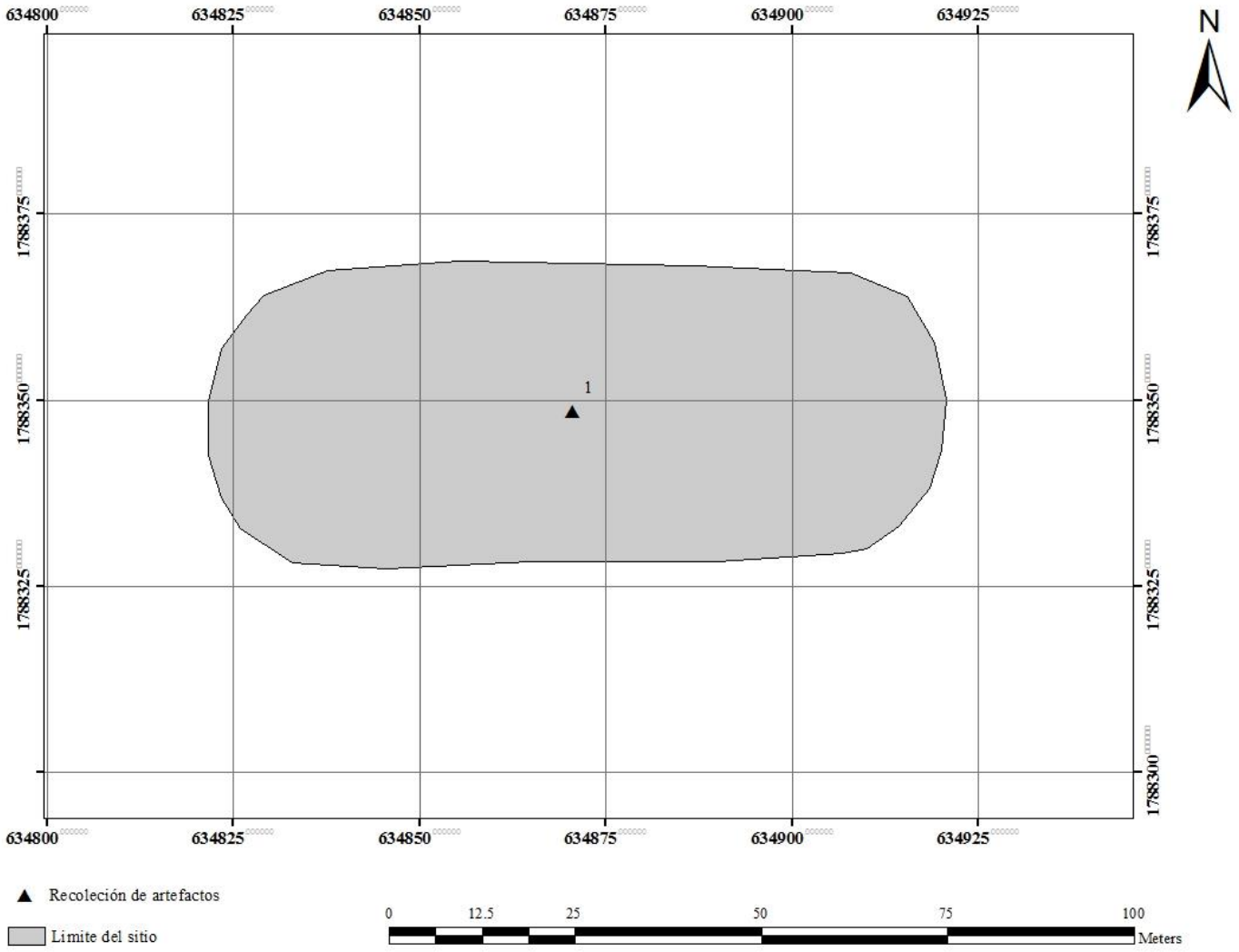


Figura 9.47: Mapa GPS, El Puente (RV185)

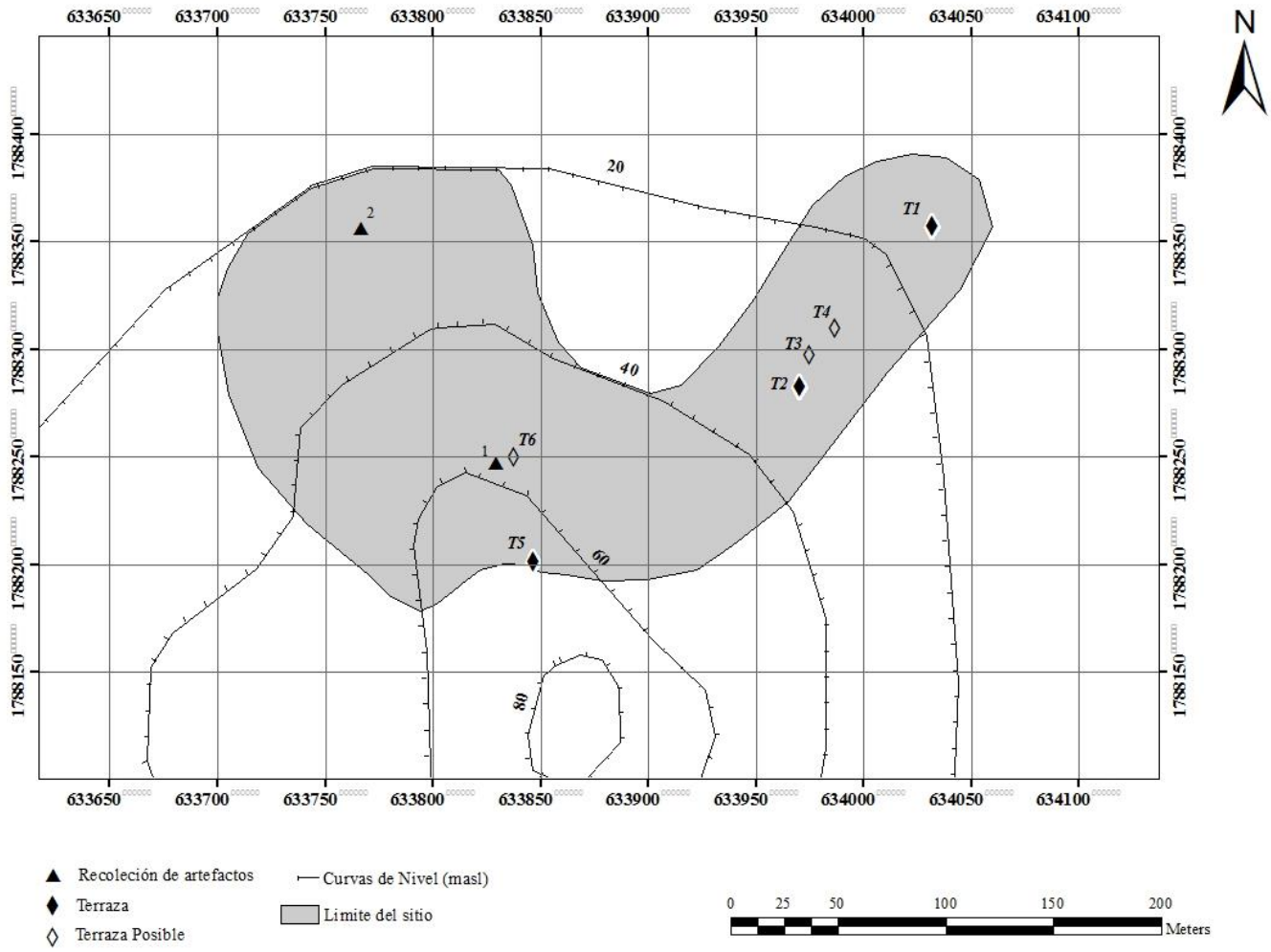


Figura 9.48: Mapa GPS, Cerro del Charquito (RV186)

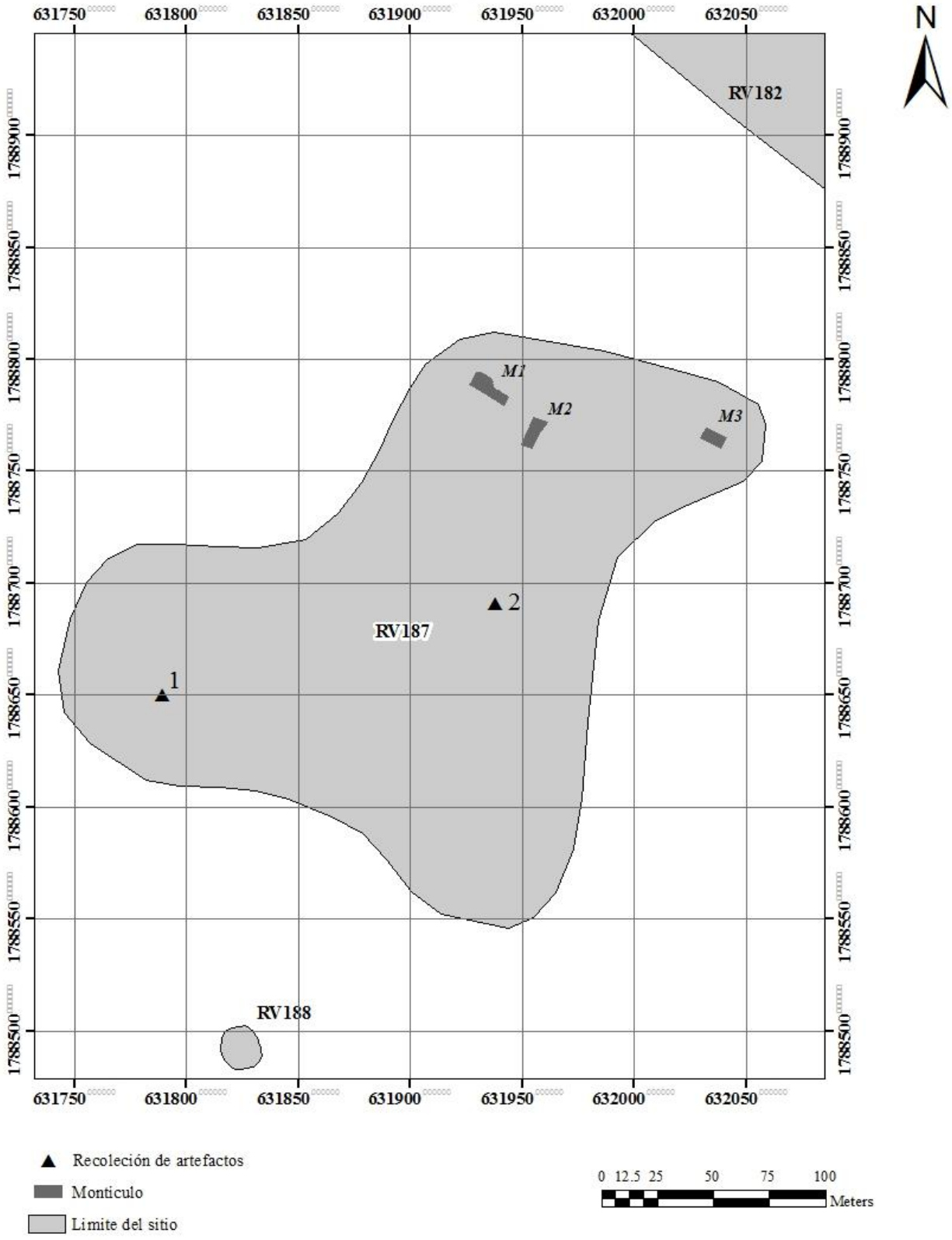


Figura 9.49: Mapa GPS, Camino al Rancho (RV187)



Figura 9.50: Muro de contención con ortostatos, Camino al Rancho (RV187)



Figura 9.51: Muro de contención con ortostatos, RV187

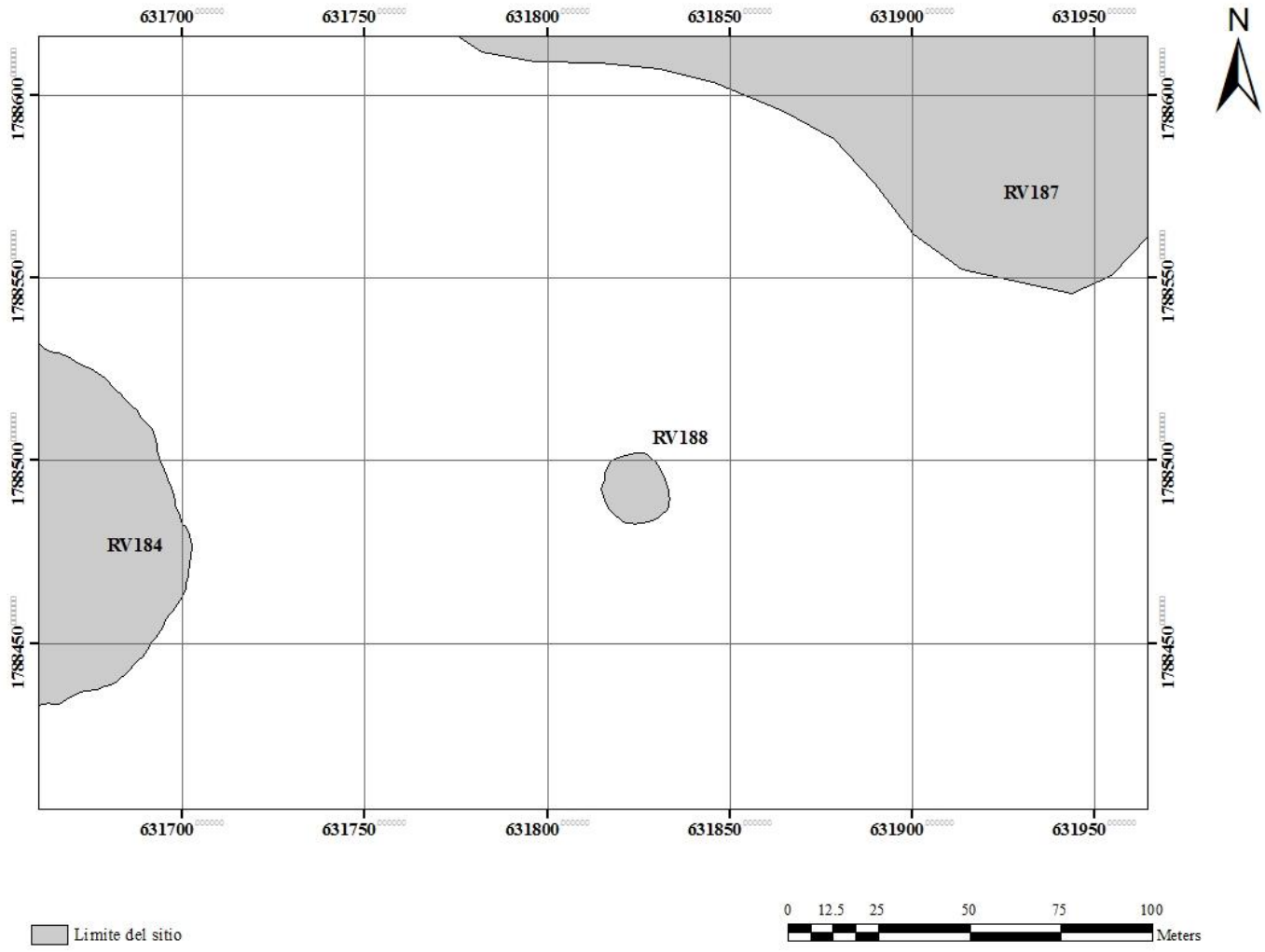


Figura 9.52: Mapa GPS, Loma Pequeña (RV188)



Figura 9.53: Pozo excavado, Loma Pequeña (RV188)



Figura 9.54: Base de la cuesta, Buena Vista (RV189)

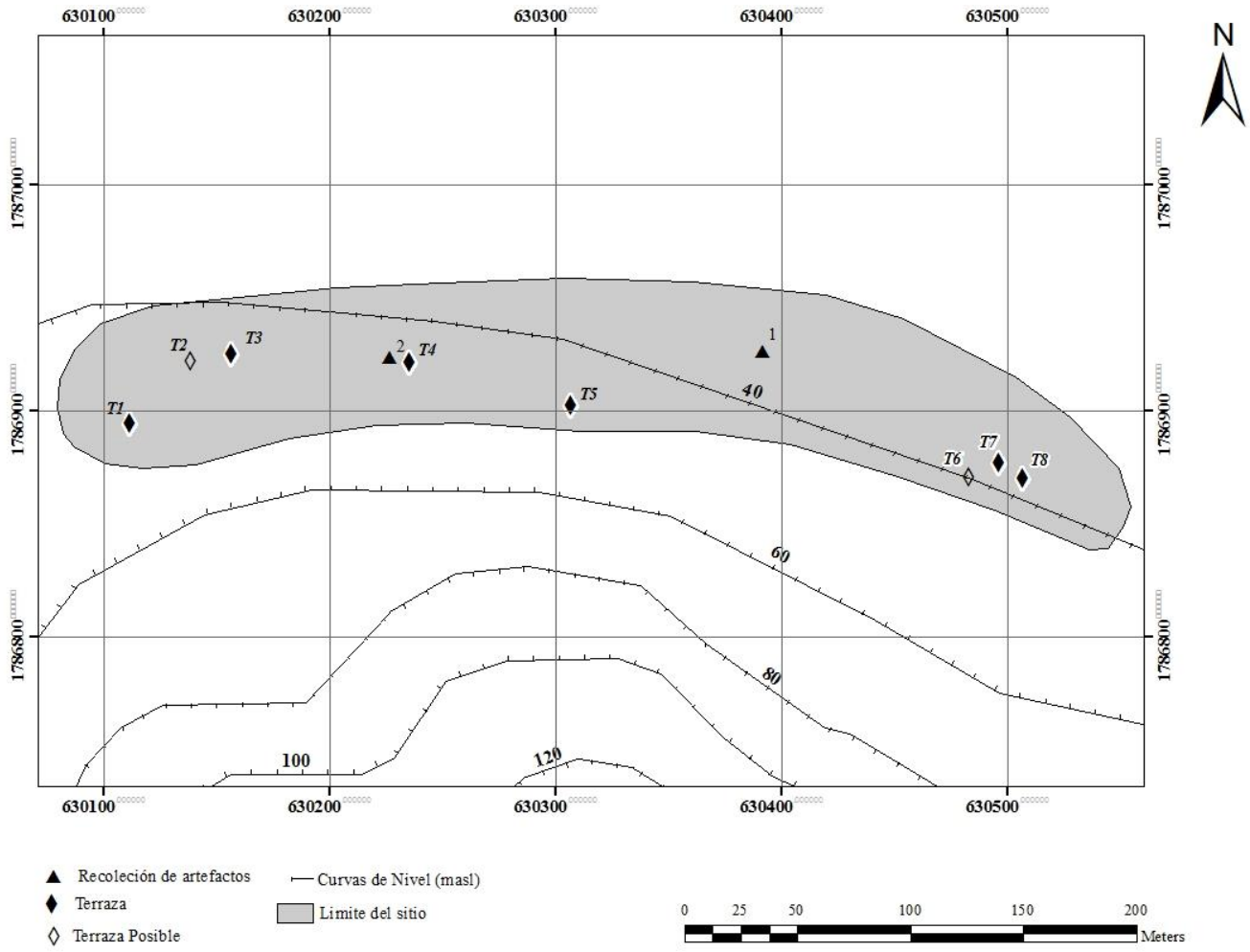


Figura 9.55: Mapa GPS, Buena Vista (RV189)

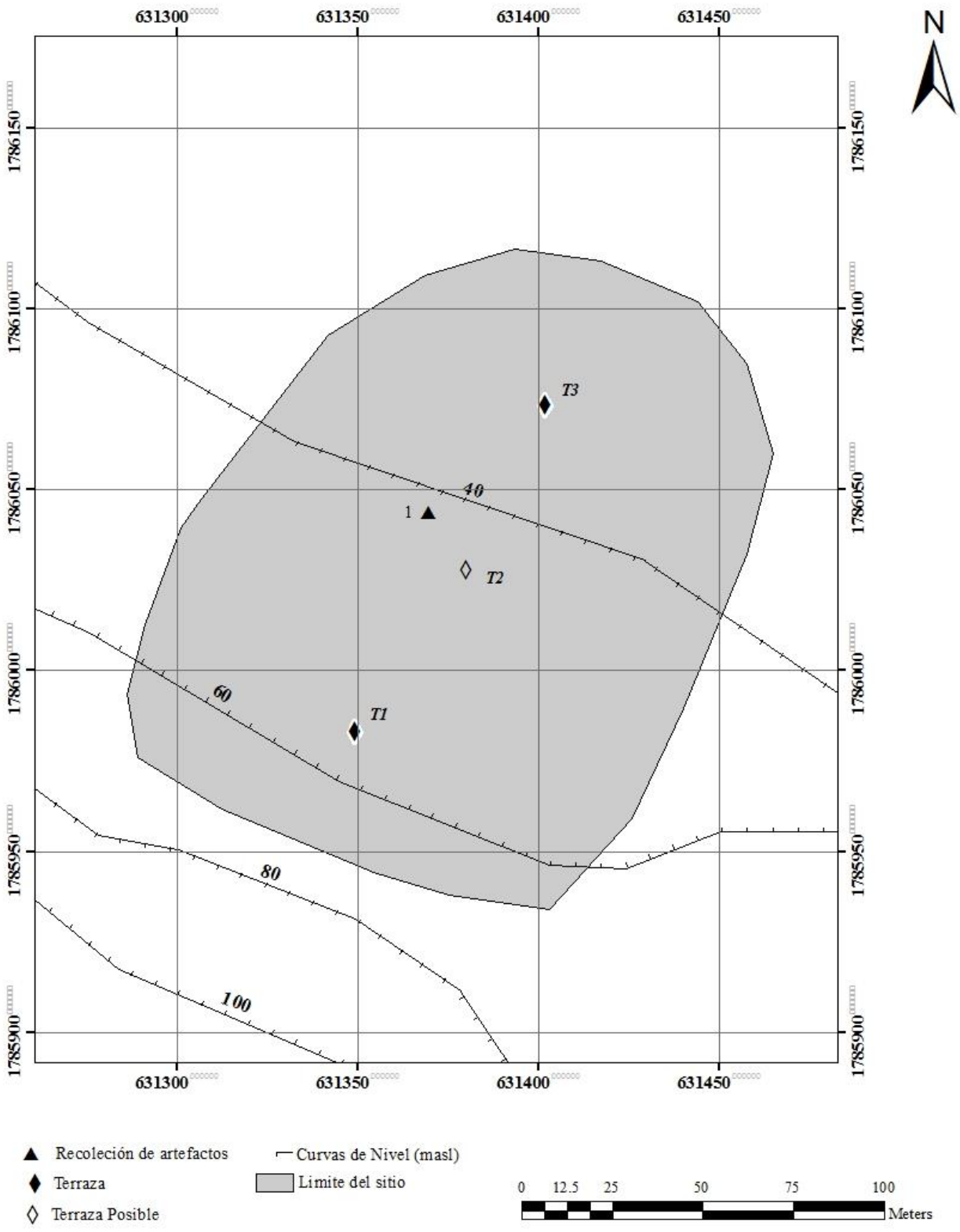


Figura 9.56: Mapa GPS, Cresta Norte (RV190)



Figura 9.57: Muro de contención de terraza, Cresta Norte (RV190)



Figura 9.58: Roca madre utilizada como muro de contención “natural” para una terraza, RV190

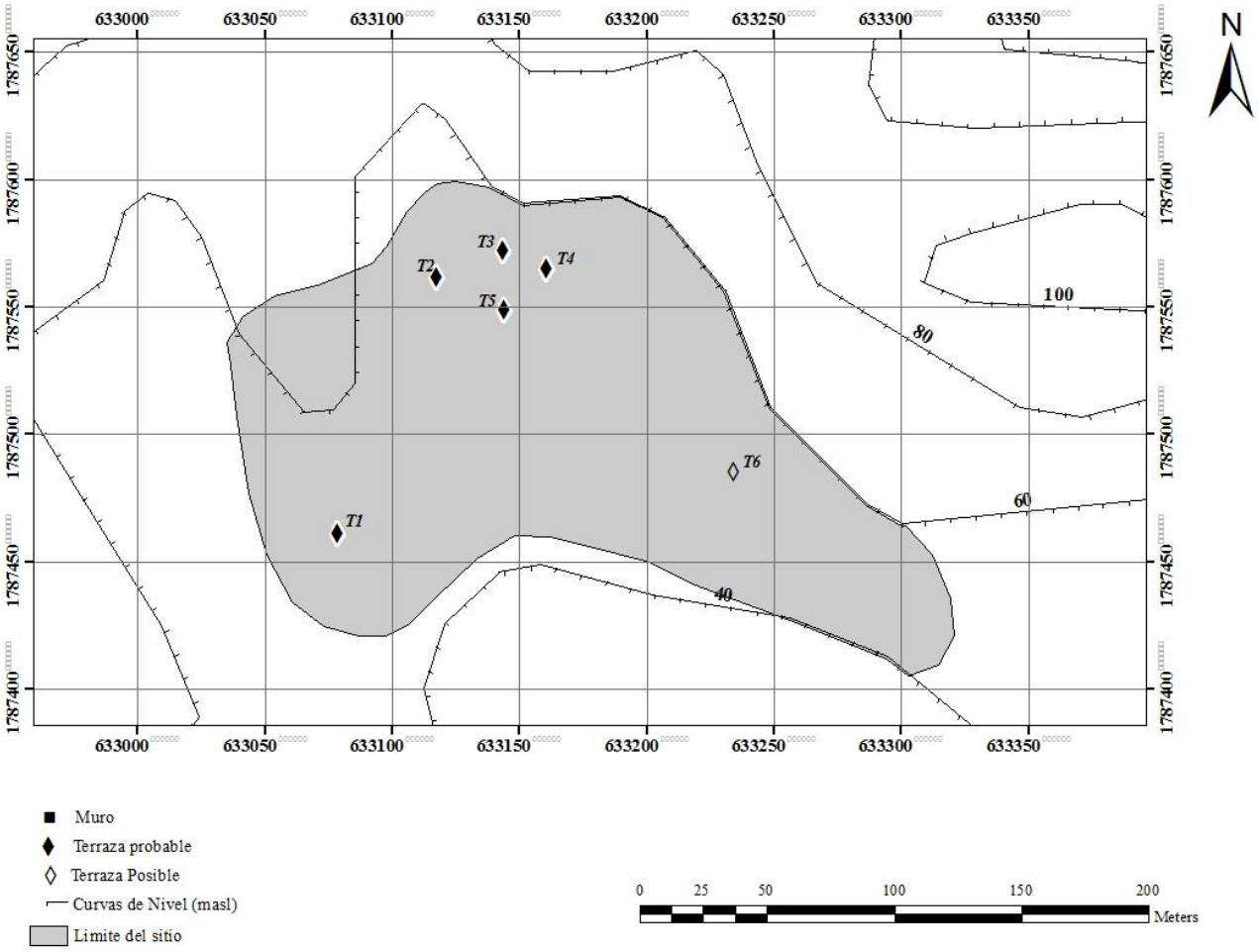


Figura 9.59: Mapa GPS, Cerro de Zapata (RV191)

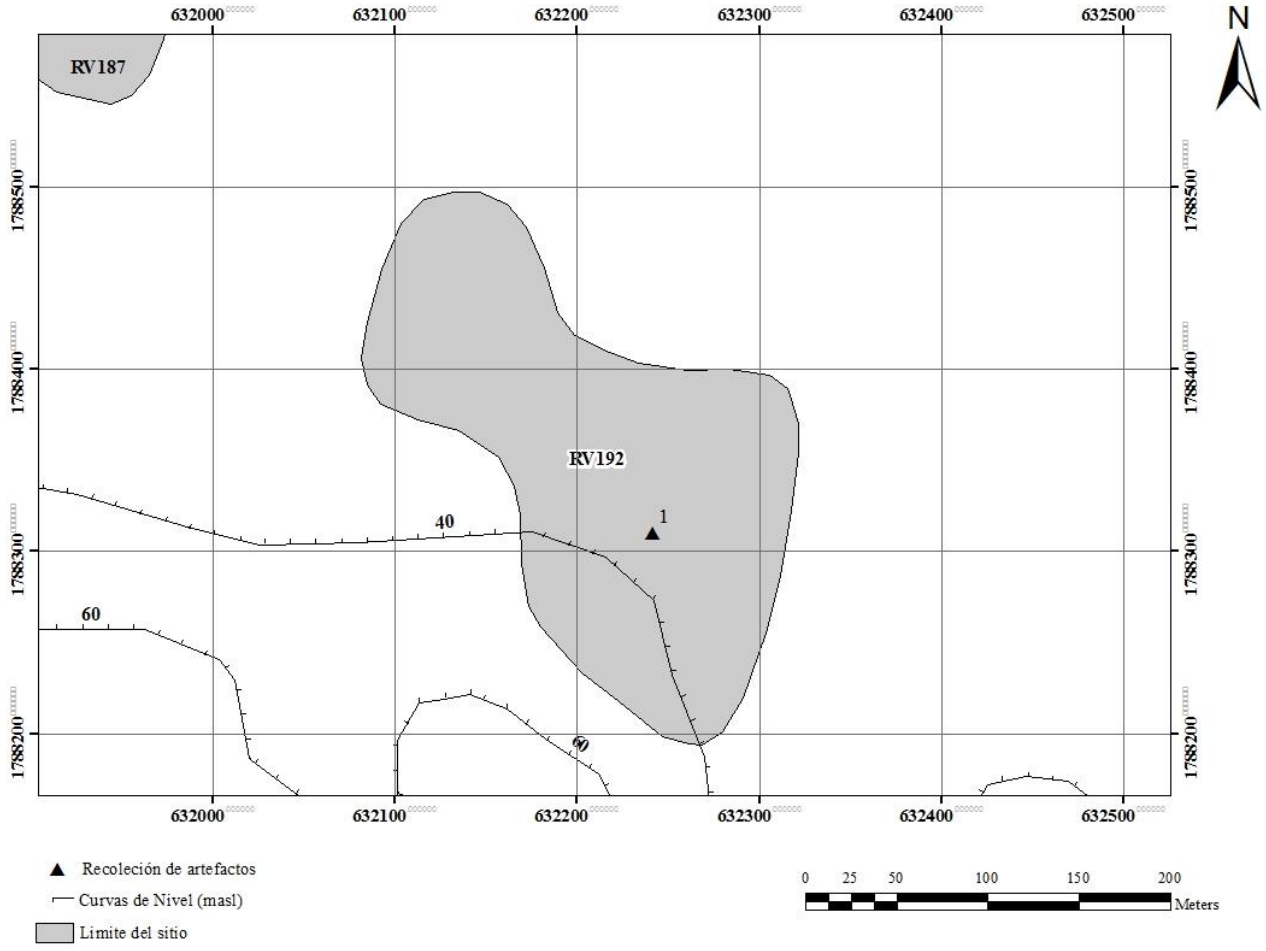


Figura 9.60: Mapa GPS, Muros Bajos (RV192)

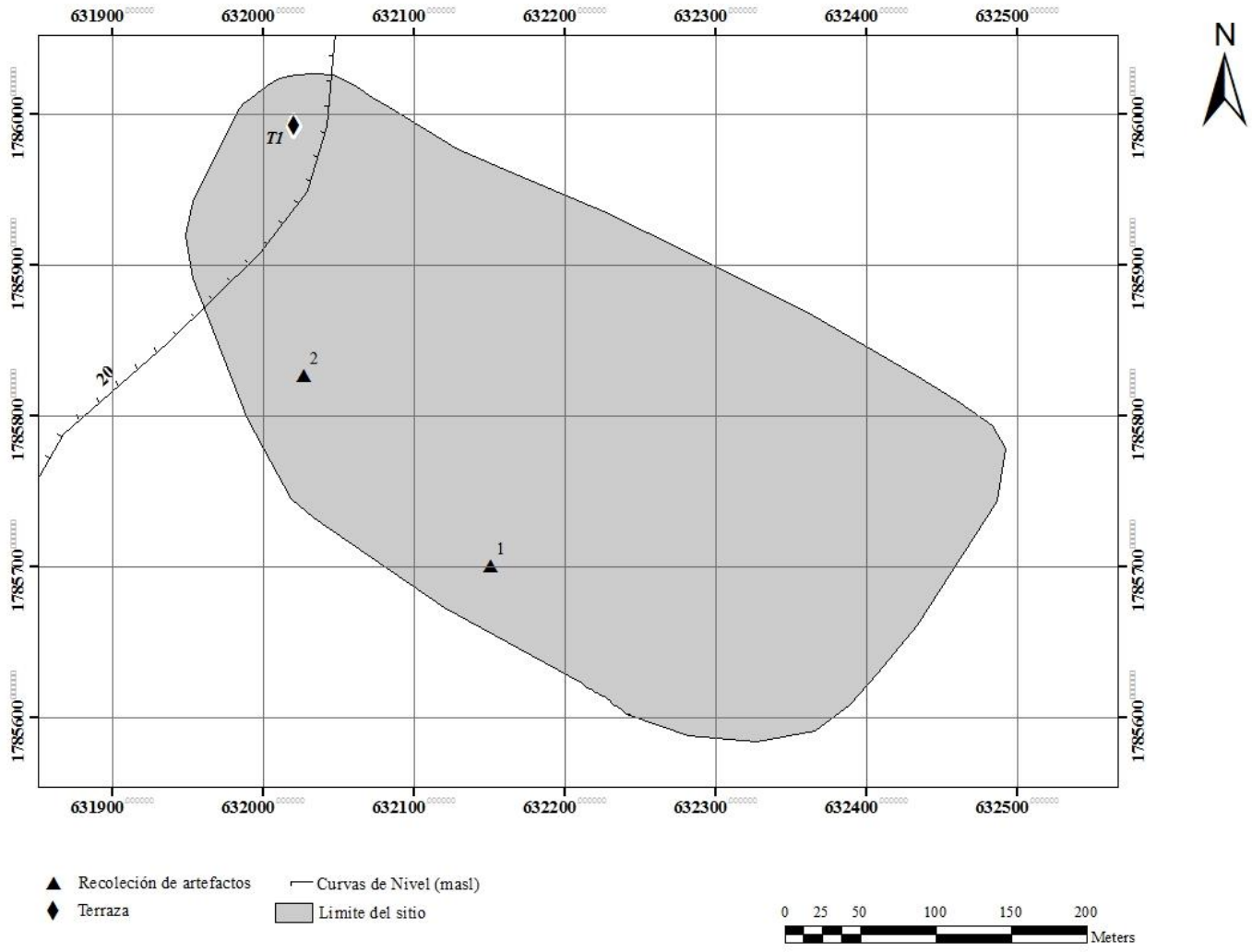


Figura 9.61: Mapa GPS, La Planicie Hermosa (RV193)

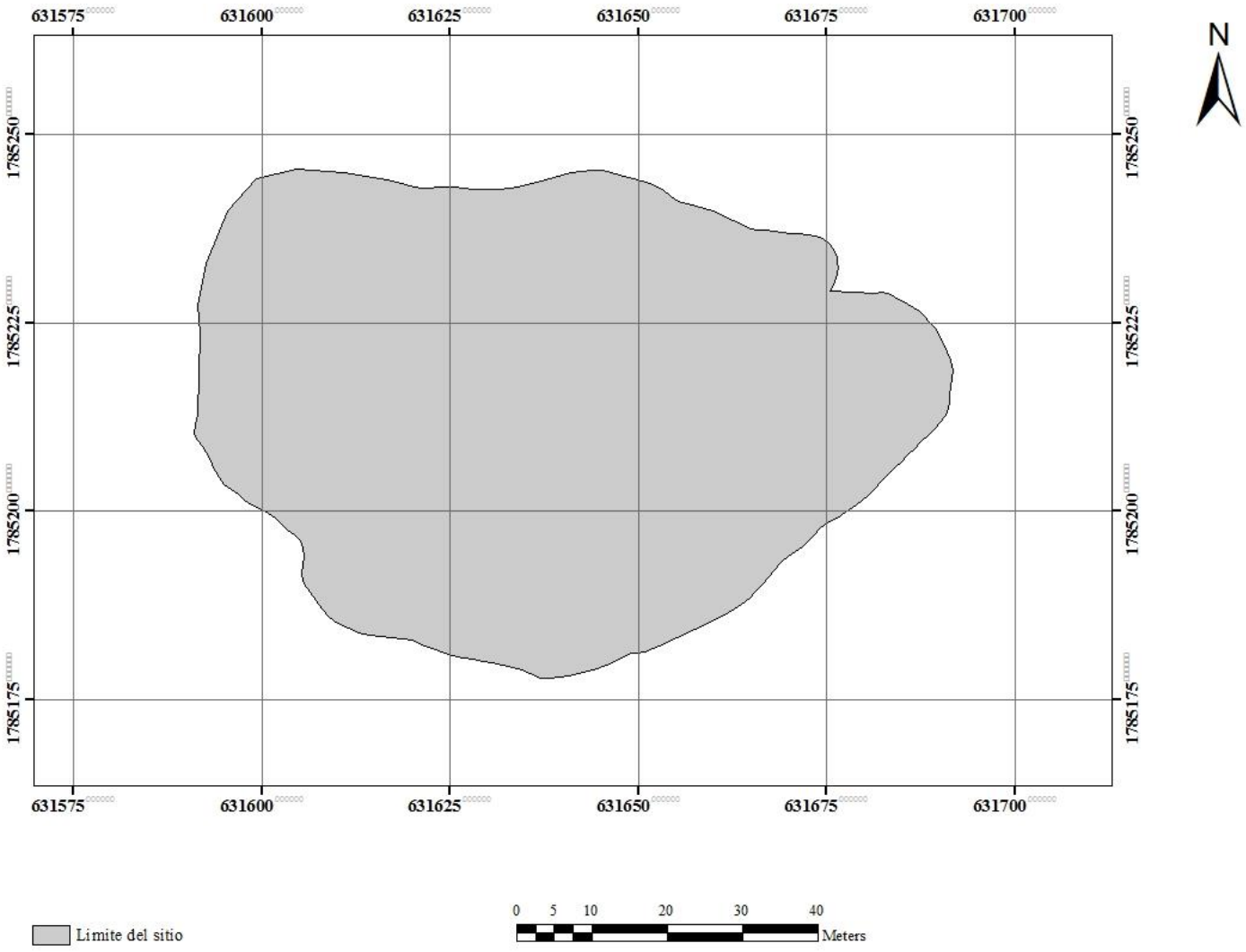


Figura 9.62: Mapa GPS, Arroyo Grande (RV194)

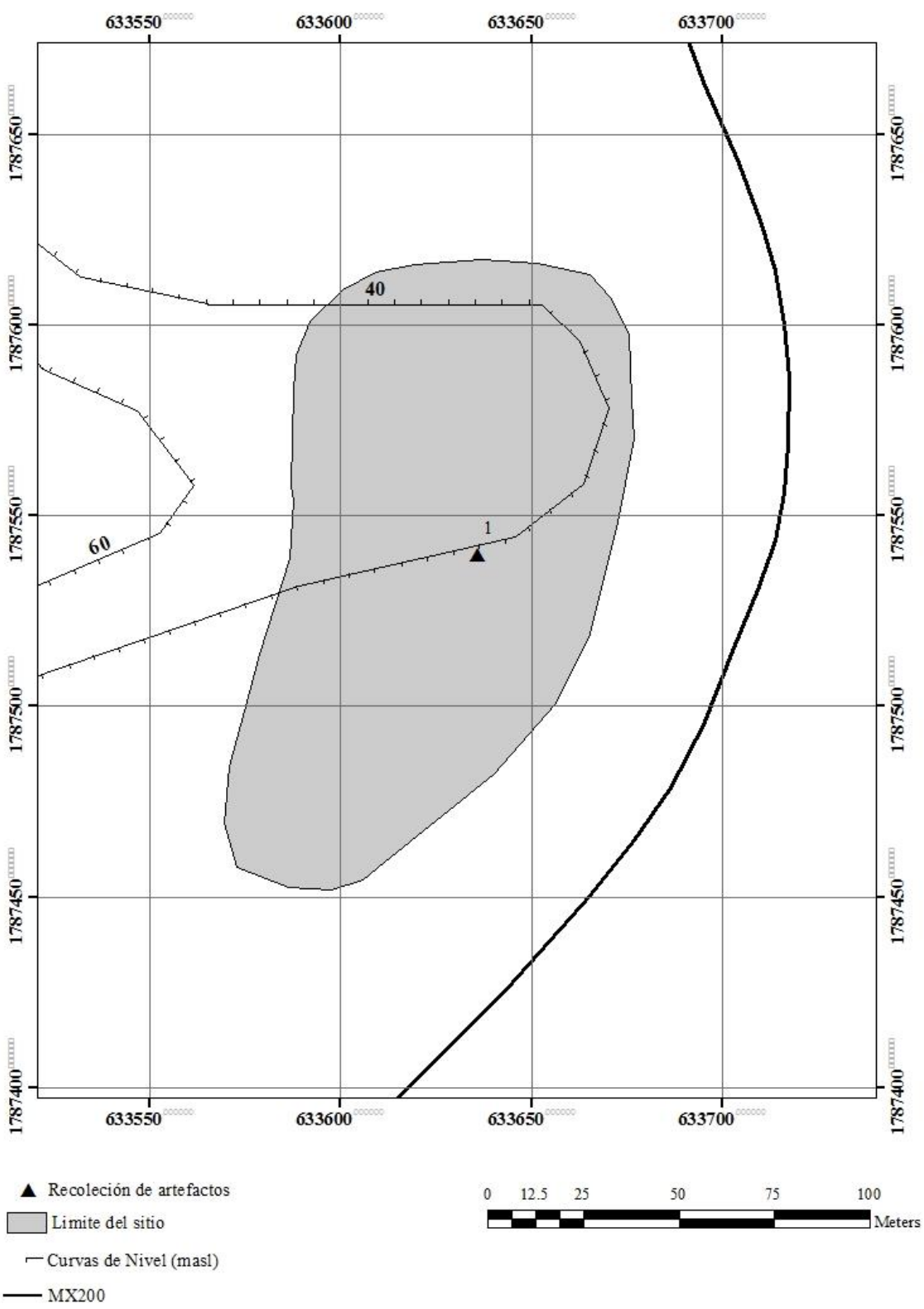


Figura 9.63: Mapa GPS, Camino a Zapata (RV195)

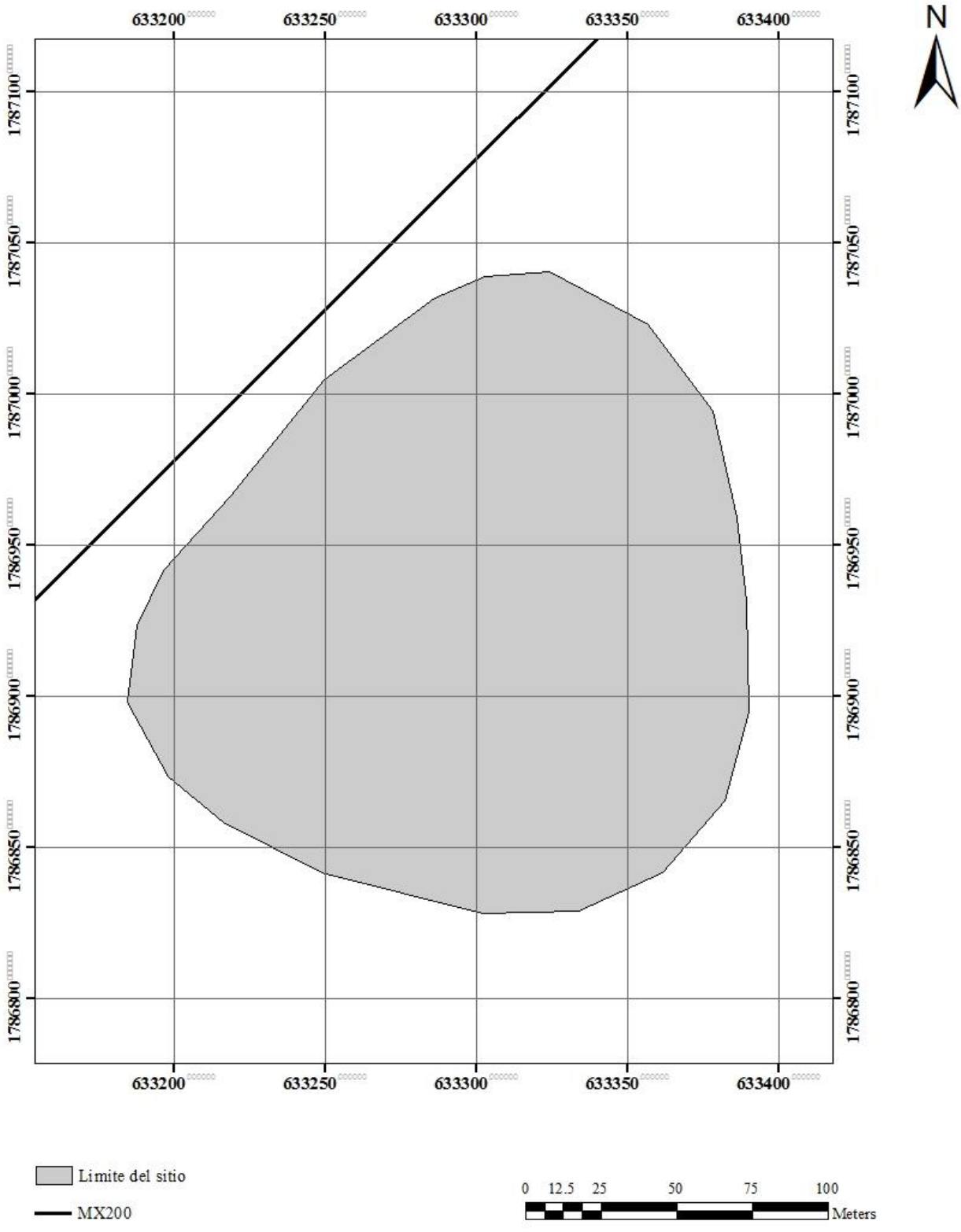


Figura 9.64: Mapa GPS, Zapata Baja (RV196)

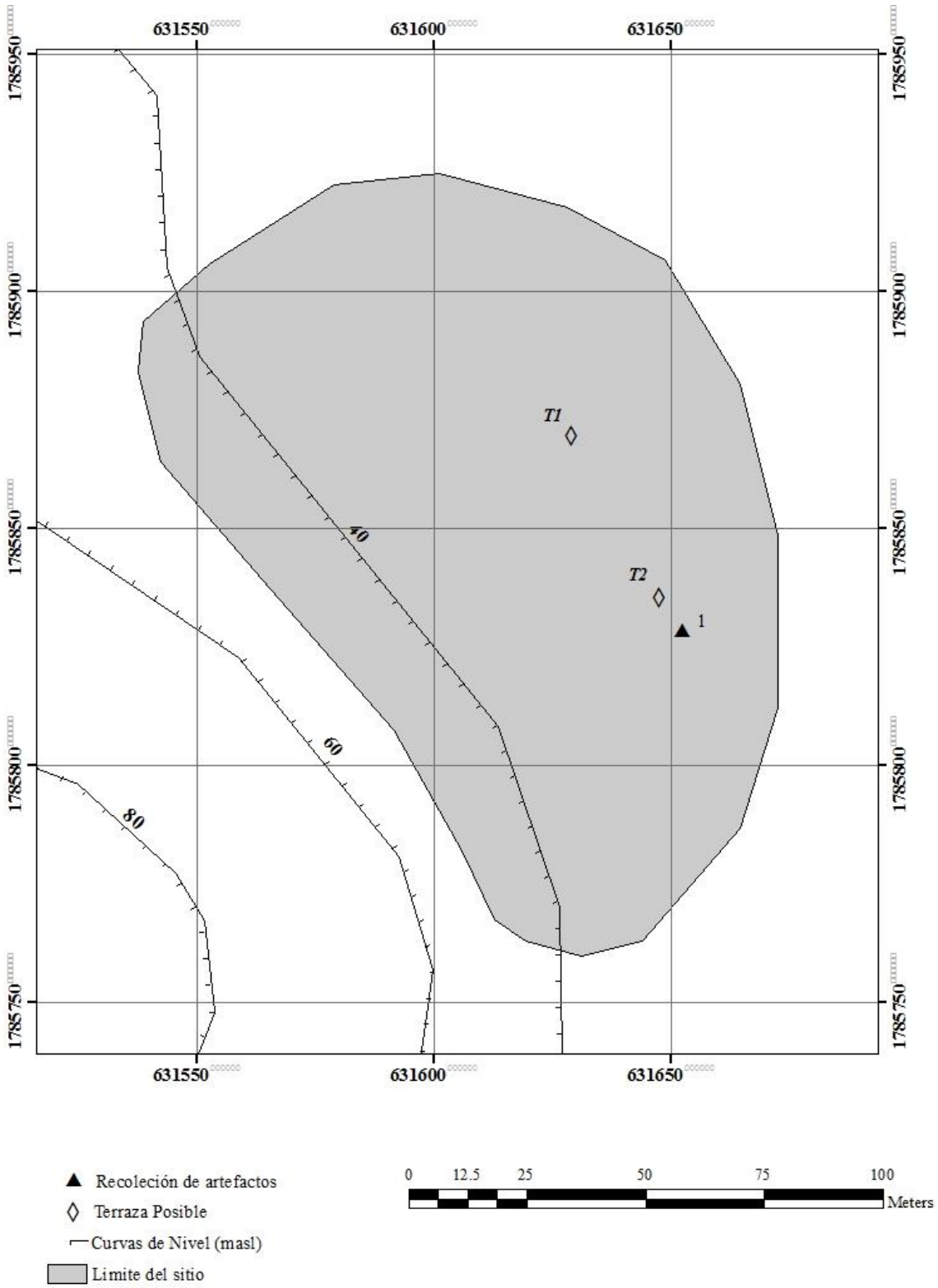


Figura 9.65: Mapa GPS, Cresta Sur (RV197)



Figura 9.66: Vista en plano de bioturbaciones en Piedra Ancha (RV50)



Figura 9.67: Vista en perfil de tuneles en Piedra Ancha (RV50)



Figura 9.68: Sedimento horizonte-A enterrado en la planicie aluvial (ver escala)



Figura 9.69: Sedimento coluvial horizonte-A enterrado en RV50 (ver mando naranja)

CAPÍTULO 10 - LISTA DE LOS ENTIERROS IDENTIFICADOS

Arion T. Mayes

10.1 Introducción

Las siguientes páginas proveen información básica acerca de los entierros recuperados durante el PRV2013. Se proporcionan datos sobre la edad, sexo, y patologías de los esqueletos cuando posible discernirlos.

10.2 Entierros de Río Viejo, PRV 2013

Entierro 106, Individuo 118
Ubicación: Op. A unidad 2X-4,-5
Clase de entierro: posiblemente primario
Cronología: Clásico tardío
Número de individuos: 1
Sexo: no determinado
Edad: adulto joven
Posición: no determinada
Orientación: no determinada
Conservación: en mala condición
Patología ósea: no determinada
Patología dental: caries
Notas: esqueleto solamente completo al 10%; parcialmente excavado; posiblemente parte del mismo entierro que E107-I119
Ofrendas: 1 vasija del periodo Clásico tardío, puesta boca abajo sobre el cráneo

Entierro 107, Individuo 119
Ubicación: Op. A, unidad 2X-6
Clase de entierro: primario
Cronología: Clásico tardío
Número de individuos: 1
Sexo: femenino
Edad: adulto de mediana edad (35-50)
Posición: sentado con brazos y piernas cruzados
Orientación: no determinada
Conservación: en mala condición
Patología ósea: diplöe expandida
Patología dental: no determinada
Notas: esqueleto solamente completo al 40%

Ofrendas: 1 vasija del periodo Clásico tardío puesta en la mano izquierda

Entierro 108, Individuo 120
Op. B-45G
Clase de entierro: no determinado
Cronología: Formativo Terminal tardío
Número de individuos: 1
Sexo: no determinado
Edad: probablemente adulto
Posición: no determinada
Orientación: no determinada
Conservación: en mala condición
Patología ósea: no determinada
Patología dental: no determinada
Notas: no fue excavado; solamente se expuso un cráneo
Ofrendas:

Entierro 109, Individuo 121
Op. C-11I
Clase de entierro: no determinada
Cronología: probablemente Clásico tardío
Número de individuos: 1
Sexo: no determinado
Edad: probablemente adulto
Posición: no determinada
Orientación: no determinada
Conservación: en mala condición
Patología ósea: no determinada
Patología dental: no determinada
Notas: no fue excavado; solamente se expuso un cráneo
Ofrendas:

Entierro 110, Individuo 122
Ubicación: Op. A, MU2-6
Clase de entierro: posiblemente primario
Cronología: Clásico tardío
Número de individuos: 1
Sexo: no determinado
Edad: probablemente adulto
Posición: posiblemente extendido
Orientación: noreste-sudoeste
Conservación: normal
Patología ósea: no determinada
Patología dental: no determinada
Notas: no fue excavado
Ofrendas:

Entierros Cerro de la Virgen, PRV 2013

E21-Ob13 (Ofrenda)
Ubicación: Op. D, unidad 15M-7
Clase de entierro: secundario
Cronología: Formativo
Número de individuos: 1
Sexo: no determinado
Edad: adulto
Posición: no determinada
Orientación: 39-219º (consiste solamente en un hueso largo)
Conservación: en muy mal condición
Patología ósea: no determinada
Patología dental: no determinada
Notas: esqueleto solamente completo al 1%; posible reliquia de familia
Ofrendas: Hueso colocado sobre la boca de una vasija de cuello corto tipo café grueso

Entierro 1, Individuo 1
Ubicación: Op. F Unidad 13D-3
Clase de entierro: no determinado
Cronología: Formativo
Número de individuos: 1
Sexo: posiblemente masculino
Edad: adulto
Posición: pronograda
Orientación: no determinada
Conservación: en muy mal condición
Patología ósea: no determinada
Patología dental: no determinada
Notas: esqueleto solamente completo al 10%, sin cráneo
Ofrendas:

Entierros Loma Don Genaro PRV

Entierro 1, Individuo 1
Ubicación: Op. D, unidad 10E-13 & 14
Clase de entierro: primario
Cronología: transición Clásico temprano-Clásico tardío
Número de individuos: 2
Sexo: femenino
Edad: adulto
Posición: extendido, lado izquierda
Orientación: este-oeste
Conservación: en mala condición
Patología ósea: osteoartritis
Patología dental: no determinada
Notas: completo al 40%

Ofrendas: 1 vasija completa y 1 vasija parcial de pasta gris del periodo Clásico temprano; 2 vasijas parciales de pasta gris del periodo Clásico tardío

Entierro 1, Individuo 17
Ubicación: Op. D, unidad 10E-13 & 14
Clase de entierro: primario
Cronología: Transición Clásico temprano-Clásico tardío
Número de individuos: 2
Sexo: no determinado
Edad: adulto
Posición: no determinada
Orientación: no determinada
Conservación: en mala condición
Patología ósea: osteoartritis
Patología dental: no determinada
Notas: completo al 5%
Ofrendas: 1 vasija completa de pasta gris del periodo Clásico temprano

Entierro 2, Individuo 2
Ubicación: Op. D, unidad 10A-11 a 14
Clase de entierro: primario; quizás dentro de una fosa delimitada con lajas
Cronología: Transición Clásico temprano-Clásico tardío
Número de individuos: 3
Sexo: posiblemente masculino
Edad: adulto (20-50)
Posición: extendido, lado derecho
Orientación: 260°-80° (cabeza a pies)
Conservación: normal
Patología ósea: osteoartritis
Patología dental: no determinada
Notas: completo al 50%, mezclado con E2-I18 y E2-I20
Ofrendas: mezclado con E2-I18 y E2-I20; 4 vasijas grises completas o parciales del periodo Clásico temprano; 12 vasijas grises completas o parciales del periodo Clásico tardío

Entierro 2, Individuo 18
Ubicación: Op. D, unidad 10A-14
Clase de entierro: posiblemente primario
Cronología: Transición Clásico temprano-Clásico tardío
Número de individuos: 3
Sexo: posiblemente Masculino
Edad: adulto (20-35)
Posición: no determinada
Orientación: no determinada
Conservación: normal
Patología ósea: no determinada
Patología dental: no determinada
Notas: esqueleto completo al 35%
Ofrendas: mezclado con E2-I2 y E2-I20; ver arriba

Entierro 2, Individuo 20

Ubicación: Op. D, unidad 10A-14
Clase de entierro: no determinada
Cronología: probablemente Transición Clásico Temprano-Clásico Tardío
Número de individuos: 3
Sexo: no determinado
Edad: juvenil (2-4)
Posición: no determinada
Orientación: no determinada
Conservación: en mala condición
Patología ósea: no determinada
Patología dental: no determinada
Notas: <1% completo
Ofrendas: mezclado con E2-I2 y E2-I18; ver arriba

Entierro 3, Individuo 3
Ubicación: Op. A, MU1-3
Clase de entierro: primario
Cronología: Transición Clásico temprano-Clásico tardío
Número de individuos: 2
Sexo: Femenino
Edad: adulto (35-50)
Posición: acostado
Orientación: 180°-0° (cabeza a pies)
Conservación: en muy mala condición
Patología ósea: no determinada
Patología dental: enfermedad periodontal
Notas: esqueleto menos de 10% completo; mezclado con E3-I21
Ofrendas: posiblemente 2 vasijas de pasta gris

Entierro 3, Individuo 21
Ubicación: Op. A, MU1-3
Clase de entierro: no determinado
Cronología: Transición Clásico Temprano-Clásico Tardío
Número de individuos: 2
Sexo: no determindo
Edad: juvenil (2-4)
Posición: no determinada
Orientación: no determinada
Conservación: en muy mala condición
Patología ósea: no determinada
Patología dental: hipoplasia linear del esmalte
Notas: fragmentos quemados de hueso, esqueleto menos de 1% completo, mezclado con E3-I3
Ofrendas:

Entierro 4, Individuo 4
Ubicación: Op. D, unidades 12E y 12D
Clase de entierro: secundario
Cronología: Transición Clásico Temprano-Clásico Tardío
Número de individuos: 1
Sexo: no determinado

Edad: adulto (20-35)
Posición: N/A
Orientación: N/A
Conservación: muy mal conservado
Patología ósea: no determinada
Patología dental: no determinada
Notas: esqueleto completo al 15%
Ofrendas:

Entierro 5, Individuo 5
Ubicación: Op. A, unidad MU3-1 y 2
Clase de entierro: primario
Cronología: no determinado
Número de individuos: 1
Sexo: posiblemente femenino
Edad: adulto (35-50)
Posición: extendido, lado derecho
Orientación: 200°-20° (cabeza a pies)
Conservación: normal
Patología ósea: trauma a la vértebra cervical, osteoartritis y osteofitosis, estrés ocupacional
Patología dental: no determinada
Notas: 85% completo
Ofrendas: 1 figurilla de piedra

Entierro 6, Individuo 6
Ubicación: Op. D, unidad MU4
Clase de entierro: primario
Cronología: Transición Clásico temprano-Clásico tardío
Número de individuos: 1
Sexo: masculino
Edad: adulto (20-40)
Posición: Acostado extendido
Orientación: 240° – 60° (cabeza a pies)
Conservación: normal
Patología ósea: osteoartritis y osteofitosis
Patología dental: hipoplasia linear del esmalte
Notas: mandíbula y fragmentos de maxila con incisivos modificados e incrustaciones dentales, 70% completo
Ofrendas: 1 vasija de pasta gris del periodo Clásico temprano, 1 vasija de pasta gris del periodo Clásico tardío

Entierro 7, Individuo 7
Ubicación: Op. D, unidad 12D
Clase de entierro: primario
Cronología: Transición Clásico temprano-Clásico tardío
Número de individuos: 1
Sexo: posiblemente Masculino
Edad: adulto
Posición: probablemente extendido, lado izquierdo
Orientación: aprox. 160° – 20° (cabeza a pies)

Conservación: normal
Patología ósea: osteoartritis
Patología dental: no determinada
Notas: 40% completo
Ofrendas: mezclado con E7-I8; 2 vasijas de pasta gris del periodo Clásico temprano, 2 vasijas de pasta gris del periodo Clásico tardío

Entierro 7, Individuo 8
Ubicación: Op. D, unidad 12D
Clase de entierro: probablemente primario
Cronología: Transición Clásico temprano-Clásico tardío
Número de individuos: 1
Sexo: no determinado
Edad: adulto
Posición: posiblemente extendido
Orientación: no determinada
Conservación: normal
Patología ósea: no determinada
Patología dental: no determinada
Notas: 10% completo
Ofrendas: mezclado con E7-I7; 2 vasijas de pasta gris del periodo Clásico temprano, 2 vasijas de pasta gris del periodo Clásico tardío

Entierro 8, Individuo 9
Ubicación: Op. D, unidad 16E-5 y 6
Clase de entierro: no determinado
Cronología: Clásico
Número de individuos: 1
Sexo: no determinado
Edad: no determinada
Posición: no determinada
Orientación: no determinada
Conservación: no determinada
Patología ósea: no determinada
Patología dental: no determinada
Notas: no fue excavado
Ofrendas:

Entierro 9, Individuo 10
Ubicación: Op. C, unidad 10CC-2
Clase de entierro: no determinado; posiblemente secundario
Cronología: Clásico tardío
Número de individuos: no determinado
Sexo: no determinado
Edad: no determinada
Posición: no determinada
Orientación: no determinada
Conservación: en mala condición
Patología ósea: no determinada
Patología dental: no determinada

Notas: no fue excavado
Ofrendas: 1 vasija entera de pasta gris, no excavado

Entierro 10, Individuo 11
Ubicación: Op. C, unidad 10BB-5
Clase de entierro: no determinado; posiblemente secundario
Cronología: Clásico
Número de individuos: no determinado
Sexo: no determinado
Edad: no determinada
Posición: no determinada
Orientación: no determinada
Conservación: en mala condición
Patología ósea: no determinada
Patología dental: no determinada
Notas: no fue excavado; fragmentos de hueso esparcidos
Ofrendas:

Entierro 11, Individuo 12
Ubicación: Op. A, unidad 3FF-5, 6, & 7
Clase de entierro: no determinado
Cronología: no determinada
Número de individuos: 1
Sexo: posiblemente masculino
Edad: adulto (20-35)
Posición: no determinada
Orientación: no determinada
Conservación: en mala condición
Patología ósea: no determinada
Patología dental: no determinada
Notas: <5% completo; fragmentos de cráneo
Ofrendas:

Entierro 12, Individuo 13
Ubicación: Op. A, unidad 3FF-8 y 9
Clase de entierro: NA
Cronología: no determinado
Número de individuos: no determinado
Sexo: no determinado
Edad: no determinada
Posición: no determinada
Orientación: no determinada
Conservación: en muy mala condición
Patología ósea: no determinada
Patología dental: no determinada
Notas: fragmentos de costillas
Ofrendas: quizás los restos de una tumba delimitada por lajas

Entierro 13, Individuo 14
Ubicación: Op. D, unidad 12D-12

Clase de entierro: primario; tumba delimitada con lajas
Cronología: Transición Clásico temprano-Clásico tardío
Número de individuos: 1
Sexo: posiblemente masculino
Edad: adulto
Posición: extendido
Orientación: noroeste-sureste
Conservación: normal
Patología ósea:
Patología dental: no determinada
Notas: saqueado; <10% completo
Ofrendas: 1 vasija parcial de pasta gris del periodo Clásico tardío; 1 vasija completa de pasta gris del periodo Clásico temprano; otras vasijas saqueadas o destruidas

Entierro 14, Individuo 15
Ubicación: Op. D, unidad 12D-12
Clase de entierro: no determinado; probablemente primario
Cronología: no determinado
Número de individuos: 1
Sexo: no determinado
Edad: adulto
Posición: no determinada
Orientación: probablemente norte-sur
Conservación: normal
Patología ósea:
Patología dental: no determinada
Notas: Solamente dos dientes excavados
Ofrendas:

Entierro 15, Individuo 16
Ubicación: Op. D, unidad 12E- 9 y 10
Clase de entierro: primario; tumba delimitada con lajas
Cronología: Transición Clásico temprano-Clásico tardío
Número de individuos: 1
Sexo: Femenino
Edad: adulto (39-44)
Posición: no determinada (perturbado por saqueo)
Orientación: noroeste a sureste (de cabeza a pies; perturbado por saqueo)
Conservación: bien
Patología ósea: osteoartritis y osteofitosis
Patología dental: hipoplasia linear del esmalte
Notas: completo al 85%; maxila con incisivos modificados
Ofrendas: 14 vasijas parciales o completas de pasta gris del periodo Clásico tardío; 11 vasijas parciales o completas de pasta gris del periodo Clásico temprano; 1 vasija completa del periodo Clásico (sin características diagnosticas de fecha temprana o tardía); 4 vasijas completas de pasta gris del periodo Clásico temprano probablemente asociadas

Entierro 16, Individuo 19
Ubicación: Op. D, unidad 13D
Clase de entierro: no determinado

Cronología: Transición Clásico Temprano-Clásico Tardío
Número de individuos: no determinado
Sexo: no determinado
Edad: no determinada
Posición: no determinada
Orientación: no determinada
Conservación: no determinada
Patología ósea: no determinada
Patología dental: no determinada
Notas: no fue excavado
Ofrendas: 1 vasija de pasta gris de la transición Clásico temprano-Clásico tardío

Entierro 17, Individuo 23
Ubicación: Op. D, unidad 12E
Clase de entierro: no determinado
Cronología: probablemente transición Clásico temprano-Clásico tardío
Número de individuos: 1
Sexo: no determinado
Edad: adulto (20-50)
Posición: no determinada
Orientación: no determinada
Conservación: Normal
Patología ósea: no determinada
Patología dental: hipoplasia linear del esmalte
Notas: <5% completo; diente suelta y huesos de los pies dentro del relleno arriba de E15-I16
Ofrendas:

Entierro 18, Individuo 25
Ubicación: Op. A, 10MM-3 y MU1-1
Clase de entierro: NA
Cronología: Transición Clásico temprano-Clásico tardío
Número de individuos: 1
Sexo: no determinado
Edad: adulto (35-50)
Posición: no determinada
Orientación: N/A
Conservación: en muy mal condición
Patología ósea: no determinada
Patología dental: hypercementosis e hipoplasia linear en los dientes
Notas: 20% completo; fragmentado
Ofrendas: 1 vasija de pasta gris de la transición Clásico temprano-Clásico tardío; 1 vasija de pasta gris del periodo Clásico tardío

Entierro 19, Individuo 22
Ubicación: Op. D, unidad 11E
Clase de entierro: no determinado
Cronología: Probablemente Clásico Tardío
Número de individuos: no determinado
Sexo: no determinado

Edad: no determinado
Posición: no determinado
Orientación: no determinado
Conservación: no determinado
Patología ósea: no determinado
Patología dental: no determinado
Notas: no excavado, visible solamente en pérfil
Ofrendas:

Entierro 20, Individuo 24
Ubicación: Op. D, unidad 16E
Clase de entierro: no determinado
Cronología: Clásico
Número de individuos: no determinado
Sexo: no determinado
Edad: no determinado
Posición: no determinado
Orientación: no determinado
Conservación: no determinado
Patología ósea: no determinado
Patología dental: no determinado
Notas: no excavado
Ofrendas:

Capítulo 11- Métodos del Laboratorio de Campo del PRV13

Patrick Carroll

El laboratorio fue organizado para procesar y catalogar el material arqueológico proveniente de tres sitios diferentes del valle del bajo Río Verde como parte del Proyecto Río Verde de 2013. Los tres sitios incluían el sito principal, Río Viejo, y dos sitios secundarios, Loma Don Genaro y Cero de la Virgen. El trabajo en laboratorio empezó el 1º de mayo y se terminó el 20 de junio. Los procesos y métodos principales del laboratorio incluían:

1. Organizar el material excavado de cada sitio para mantener la integridad de las colecciones a lo largo del análisis en laboratorio.
2. Lavar el material excavado para facilitar los futuros análisis y la identificación del material.
3. Contar, pesar, y dividir el material de acuerdo con su materia prima y de las necesidades de análisis futuros.
4. Preparar material para ser analizado en el laboratorio de campo (identificación, determinación de fecha, dibujo) o preparar material para análisis futuro.
5. Preparar el material excavado para ser guardado en las bodegas del INAH.

El laboratorio fue estructurado para mantener la integridad del material proveniente de las excavaciones en tres sitios diferentes y tres operaciones de excavación distintas. Cuando el material fue llevado al laboratorio, fue depositado en un área central hasta que los elementos fueron registrados en las hojas correspondientes en cuadernos dedicados a cada sitio individual y cada operación (ver figura 11.1). Esto permitía saber muy rápidamente en que parte del proceso analítico el material excavado se encontraba en cualquier momento específico. Los cuadernos daban también la ubicación exacta del material dentro del laboratorio.

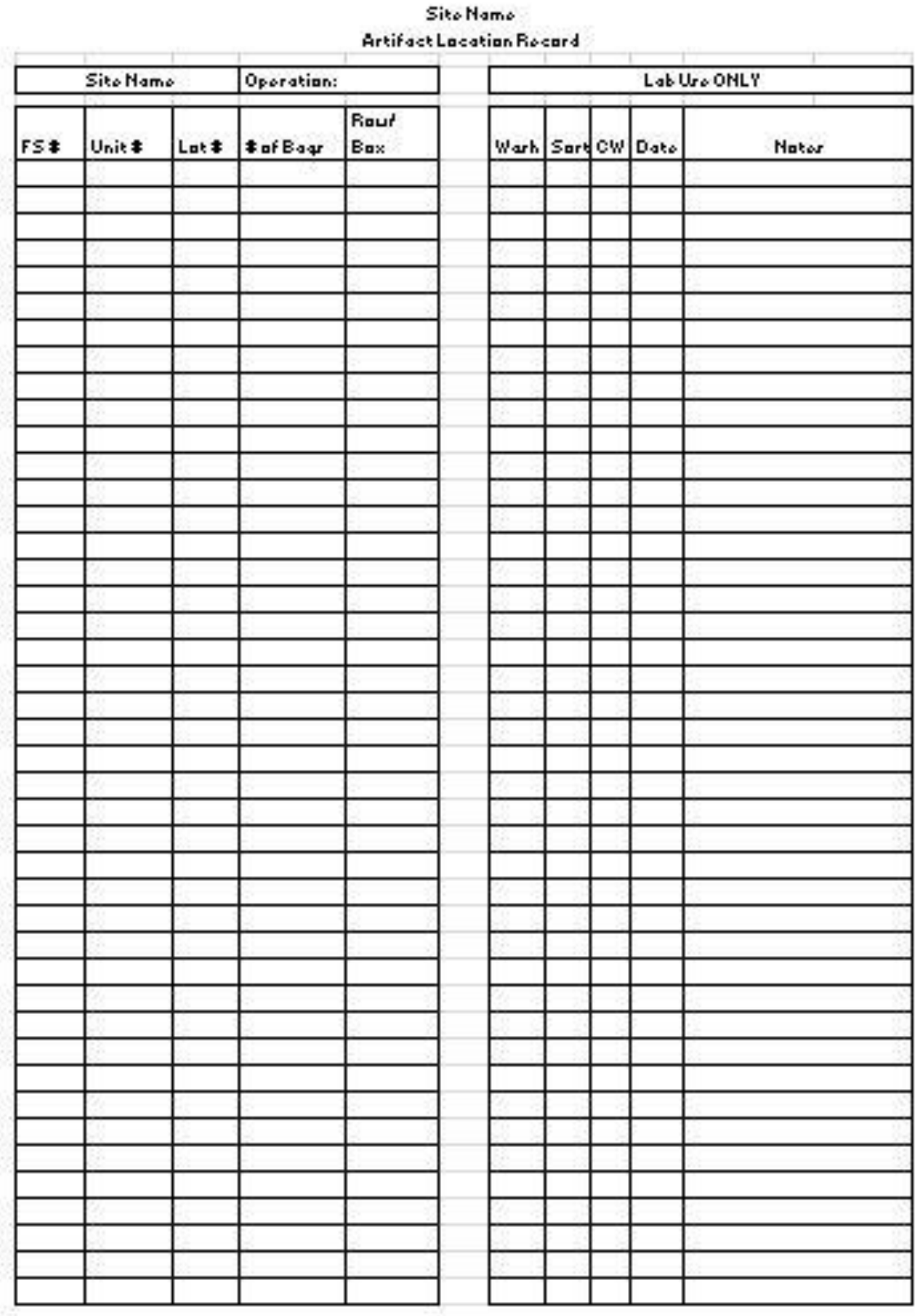
Después de ser registrado, el material excavado fue lavado y secado, y regresado a su lugar en el laboratorio hasta ser fechado o necesitado para otro análisis. El proceso de fechado incluía la construcción de bases de datos por cada sitio y operación que incluía la información siguiente (ver base

de datos de este reporte): el número de la unidad, el lote, el número de campo del elemento (en inglés *field specimen number, FS*), las fechas basado en el análisis de los Drs. Arthur Joyce y Sarah Barber, la cantidad de tiestos de cerámica diagnostica, y si la cerámica en los lotes correspondientes estaba erosionada o no. La distribución de fases de cerámica y una guía para las bases de datos se pueden ver en la Tabla 11.1.

Después de haber sido fechado (Tablas 11.2, 11.3, y 11.4), el material cerámico fue numerado con tinta china como precaución para asegurar que la información acerca del contexto no se perdiera si se removiera un tiesto del área de almacenamiento. Las vasijas completas o reconstruidas también fueron marcadas con tinta china. Algunas vasijas completas no fueron lavadas ni marcadas con tina para poderlas analizar de manera más profunda en el futuro. Estos análisis incluyen estudios micro-morfológicos del sedimento adentro de las vasijas, lo cual se hizo de manera parcial por la Dra. Shanti Morell-Hart en el campo en 2013.

El material excavado que no era cerámica incluía lítica y hueso. La lítica fue lavada, secada y guardada para análisis futuro y almacenamiento en la bodega del INAH. El material óseo no fue analizado al menos que estuviera directamente relacionado con entierros. Este análisis fue llevado a cabo por la Dra. Arion Mayes y su equipo de estudiantes en bioarqueología (ver capítulo 10*).* Todo el material fue guardado y organizado para facilitar análisis futuros en la bodega del INAH.

Figura 11.1: Hoja de Registro para Material Excavado



Site Name

Artifact Location Record

Site Name			Operation:			Lab Use ONLY				
FS #	Unit #	Lot #	# of Bags	Roof Box		Wash	Sort	CW	Date	Notes

Tabla 11.1: Correlación entre Fases Cerámicas y Códigos de Registro

Código en las Tablas	Periodo Temporal	Fase Cerámica
LMF	Formativo Medio Tardío	Charco
LF	Formativo Tardío	Minizundo
ETF	Formativo Terminal Temprano	Miniyua
TF	Formativo Terminal	NA: Formativo Terminal, pero no fue posible determinar fase
LTF	Formativo Terminal Tardío	Chacahua
EC	Clásico Temprano	Coyuche
LC	Clásico Tardio	Yuta Tiyoo
EPC	Posclásico Temprano	Yugüe
LPC	Posclásico Tardío	Yucudzaa

(unit=unidad; lot=lote; F.S.= el número de campo del elemento; Diag.=número de tiestos de cerámica diagnósticos; eroded=condición de la muestra cerámica (erosionado o no)

Tabla 11.2: Fechas cerámicas de los lotes excavados en Río Viejo

Cerámica de la Operación A

Unit.	Lot.	F.S.	LMF	LF	ETF	LTF	EC	LC	EPC	LPC	%	Diag.	Eroded
1W	2	3-1			33	11	11	45			100	9	
1W	3	3-3						100			100	5	X
1W	4	3-4				5	95				100	20	X
1W	5	3-6			20	50	30				100	10	X
1W	6	3-10				30	70				100	10	X
1W	7	3-13				100					100	2	X
1W	8	3-14									0	0	X
1W	9	3-15				100					100	5	X
1W	10	3-17				94	6				100	16	X
1W	11	3-20			1	98	1				100	36	
1W	12	3-23				100					100	62	
1W	13	3-27				100					100	46	
1W	14	3-32				100					100	5	X
1W	15	3-36			5	95					100	20	X
1W	16	3-38				100					100	10	X
1W	17	3-43				100					100	12	X
1W	18	3-47			14	86					100	22	
1W	19	3-104									0	0	X
1W	20	3-103				100					100	18	X
1W	21	3-105			6	94					100	38	
1W	22	3-108				100					100	30	
1W	23	3-113				100					100	44	
1W	24	3-115				100					100	21	
1W	25	3-117			1	99					100	72	
2W	1	3-121						100			100	1	X
2W	2	3-126				16	40	44			100	25	X
2W	3	3-132				71	23	6			100	35	X
2W	4	3-135				100					100	54	
2W	5	3-138			9	91					100	65	
2W	7	3-296			41	59					100	56	
2W	8	3-307				100					100	3	
2X	1	3-315				12		76	12		100	7	X
2X	2	3-322				14	79	7			100	14	X
2X	3	3-328			9	16	43	32			100	25	
2X	4	3-408			8	60	20	12			100	25	X
2X	6	3-405				100					100	5	X
2X	7	3-415				100					100	35	X
2X	8	3-421			10	90					100	26	
2X	9	3-431				100					100	16	X
2X	10	3-436									0	0	X

Unit.	Lot.	F.S.	LMF	LF	ETF	LTF	EC	LC	EPC	LPC	%	Diag.	Eroded
3F	2	3-976				80		20			100	5	X
3F	3	3-978			7	72	7	7	7		100	15	X
3F	4	3-1129				100					100	11	X
3F	5	3-1135				100					100	8	X
3F	6	3-1136				100					100	29	X
3F	6	3-1139				100					100	1	
3F	7	3-1141				100					100	4	X
3F	8	3-1144			12	88					100	76	
3G	2	3-932				50		50			100	6	X
3G	3	3-933						50	50		100	14	X
3G	4	3-936				5		70	25		100	20	
3G	5	3-938					100				100	2	X
3G	6	3-942				67		33			100	3	X
3G	7	3-944				100					100	1	
3G	8	3-945			50	50					100	2	X
3G	9	3-947			100						100	1	
3G	10	3-949				100					100	1	
3G	11	3-952				100					100	4	X
3G	12	3-956				100					100	11	X
3G	13	3-959				100					100	1	X
3W	4	3-613				100					100	12	
3W	5	3-623				100					100	42	X
3W	6	3-690			100						100	2	
3W	7	3-637									0	0	
3W	8	3-699			100						100	1	
3W	9	3-705									0	0	
4F	3	3-960			7	7		46	40		100	15	X
4F	4	3-963			5	5	5	65	20		100	20	X
4F	5	3-966				60	20	20			100	5	X
4F	6	3-968				100					100	2	
4F	7	3-970				50	25	25			100	4	
4F	8	3-972				100					100	1	
4F	9	3-973				50	50				100	4	
4F	10	3-974				75	25				100	4	
4F	10	3-975						100			100	10	
4F	14	3-1618				100					100	2	
4F	15	3-1619				91	9				100	22	
4G	2	3-1639				86	14				100	29	

Unit.	Lot.	F.S.	LMF	LF	ETF	LTF	EC	LC	EPC	LPC	%	Diag.	Eroded
MU1	1	3-605			100						100	2	X
MU2	2	3-1153			2		1	45	52		100	8	X
MU2	3	3-1158									0	0	X
MU2	4	3-1160			20	20	40	20			100	5	X
MU2	5	3-1157				100					100	3	X
MU2	5	3-1162									0	0	X
MU2	6	3-1163				70		30			100	10	X
2X	6	3-13018				100					100	5	X

Cerámica de la Operación B

Unit.	Lot.	F.S.	LMF	LF	ETF	LTF	EC	LC	EPC	LPC	%	Diag.	Eroded
44B	3	3-717					40	60			100	10	X
44B	4	3-720			10	25	25	40			100	12	
44B	5	3-718			33		67				100	3	X
44B	6	3-726			20	70	10				100	10	X
44B	7	3-731			7	80	13				100	15	X
44B	8	3-734				75	25				100	4	
44B	9	3-794				50	50				100	10	X
44B	10	3-804				100					100	5	X
44B	11	3-809			6	94					100	35	X
44B	12	3-815				100					100	10	
44B	13	3-820				100					100	1	
44B	14	3-825				100					100	5	
44B	15	3-828			33	66					99	3	
44B	16	3-832									0	0	
44C	2	3-896			15	18	24	43			100	33	
44C	3	3-904				66	33				99	6	
44C	4	3-915			15	85					100	12	
44C	5	3-921				100					100	1	X
45G	3	3-1087			4	8	8	40	40		100	25	X
45G	4	3-1088				6	9	49	36		100	33	X
45G	5	3-1095				28	11	17	44		100	18	X
45G	6	3-1100						11	89		100	186	
45G	8	3-1114				8		8	84		100	60	X
45G	9	3-1118			10	10	30	50			100	10	X
45G	10	3-1122					30	70			100	10	X
45G	11	3-1125			7	7		86			100	19	X
45G	12	3-1230			10	20	50	20			100	10	X
45G	13	3-1232				100					100	13	
45G	14	3-1235									0	0	
45G	15	3-1238				20		20	60		100	5	X
45G	16	3-1242			33	67					100	3	X

Unit.	Lot.	F.S.	LMF	LF	ETF	LTF	EC	LC	EPC	LPC	%	Diag.	Eroded
45G	17	3-1251			40	60					100	10	X
45G	18	3-1259			50	50					100	14	X
45G	19	3-1265			33	66					99	3	
45G	20	3-1269				100					100	3	
45G	21	3-1272			16	68	16				100	6	
45G	22	3-1387				100					100	1	X
45G	23	3-1401									0	0	X
46K	3	3-1419					6	35	59		100	17	X
46K	4	3-1426			5	5		66	24		100	21	
46K	5	3-1435				5	27		68		100	22	X
46K	6	3-1441				6		38	56		100	16	X
46K	7	3-1445							100		100	1	X
46K	8	3-1448							100		100	6	X
46K	9	3-1452					24	53	23		100	17	
46K	10	3-1455						86	14		100	7	
46K	11	3-1457				62		38			100	8	X
46K	12	3-1467			13	29		58			100	7	
46K	13	3-1468				29	43	14	14		100	7	
46K	14	3-1520				66	22	12			100	9	
46K	15	3-1528				100					100	6	X
46K	16	3-1533			14	72		14			100	7	
46K	17	3-1538			25	75					100	4	
46K	18	3-1549				100					100	9	
46K	19	3-1558				50	50				100	2	
46K	20	3-1566			50	50					100	2	
46K	22	3-1625			9	91					100	11	
46K	23	3-1630			8	92					100	13	
46K	24	3-1635				100					100	14	
MU1	1	3-928				100					100	5	
MU1	2	3-1034			25	75					100	13	
MU1	3	3-1042			27	73					100	37	
MU1	4	3-1049			56	44					100	40	X
MU1	5	3-1053			44	56					100	45	X
MU1	6	3-1057			48	52					100	48	
MU1	7	3-1062			45	55					100	31	
MU1	8	3-1066			50	50					100	30	
MU1	9	3-1070			50	50					100	4	X

Cerámica de la Operación C

Unit.	Lot.	F.S.	LMF	LF	ETF	LTF	EC	LC	EPC	LPC	%	Diag.	Eroded
,MU1	3	3-875			100						100	1	X
10A	1	3-463				12		88			100	16	X
10A	2	3-464			6	7	18	68	1		100	82	
10A	3	3-476			33	33	33				99	3	X
10A	4	3-481				33	67				100	6	X
10A	5	3-489									0	0	X
10A	6	3-490									0	0	
10A	7	3-499									0	0	X
10A	8	3-512			86			14			100	7	X
10A	9	3-513			100						100	3	X
10A	10	3-522			50	50					100	4	X
10A	11	3-524			100						100	6	X
10A	14	3-528			100						100	1	X
10A	15	3-529									0	0	X
10A	16	3-534			100						100	3	X
10ZZ	2	3-644			4	7	64	25			100	28	X
10ZZ	3	3-647				50	18	32			100	22	X
10ZZ	4	3-653			8	16	43	33			100	12	
10ZZ	5	3-665				33		66			99	6	
10ZZ	6	3-667				40	60				100	7	
10ZZ	7	3-669			33	66					99	3	
10ZZ	8	3-673					100				100	2	
10ZZ	9	3-674			50			50			100	2	
10ZZ	10	3-677				50	25	25			100	4	
10ZZ	11	3-680									0	0	
10ZZ	12	3-681					100				100	3	
10ZZ	14	3-834					100				100	2	
10ZZ	16	3-835									0	0	
10ZZ	19	3-842									0	0	X
10ZZ	21	3-843			100						100	6	X
10ZZ	22	3-844			100						100	7	X
10ZZ	23	3-846			100						100	1	X
10ZZ	24	3-858									0	0	X
10ZZ	26	3-1208									0	0	X
10ZZ	27	3-1209			100						100	6	X
10ZZ	28	3-1220									0	0	X
10ZZ	29	3-1224									0	0	
10ZZ	31	3-1324			100						100	1	X
10ZZ	32	3-1328									0	0	X
10ZZ	32	3-1335									0	0	X

Unit.	Lot.	F.S.	LMF	LF	ETF	LTF	EC	LC	EPC	LPC	%	Diag.	Eroded
11A	1	3-61						100			100	6	
11A	2	3-66				21	36	43			100	14	
11A	3	3-70			14	19	9	58			100	21	X
11A	4	3-79				5	33	62			100	18	X
11A	5	3-83			12	22	22	44			100	9	
11A	6	3-88			20	33		47			100	15	
11A	7	3-91				28	57	15			100	14	
11A	8	3-92			12			88			100	8	
11A	9	3-155						100			100	7	
11A	10	3-156			60			40			100	5	
11A	11	3-159			100						100	2	
11A	13	3-170			100						100	5	
11A	14	3-178			100						100	3	X
11A	15	3-179			100						100	2	
11A	16	3-180			100						100	1	X
11A	17	3-183			100						100	3	
11A	18	3-188									0	0	X
11A	19	3-192									0	0	X
11A	20	3-195									0	0	X
11A	22	3-346			100						100	7	
11A	23	3-348			100						100	3	
11A	26	3-355									0	0	X
11A	27	3-356									0	0	X
11A	28	3-358									0	0	X
11A	29	3-379									0	0	X
11A	33	3-380									0	0	X
11A	34	3-383									0	0	X
11A	35	3-390									0	0	X
11A	36	3-446									0	0	X
11A	37	3-449									0	0	X
11A	38	3-452									0	0	X
11A	39	3-462									0	0	
11B	2	3-1338					82	18			100	9	
11B	3	3-1348				15	46	39			100	13	X
11B	5	3-1353				100					100	2	
11B	6	3-1354									0	0	X
11B	7	3-1358									0	0	
11B	8	3-1359									0	0	
11B	9	3-1360									0	0	
11B	10	3-1361				100					100	1	

Unit.	Lot.	F.S.	LMF	LF	ETF	LTF	EC	LC	EPC	LPC	%	Diag.	Eroded
11B	11	3-1363			100						100	2	
11B	12	3-1366									0	0	
11B	13	3-1369									0	0	
11B	14	3-1370									0	0	
11B	15	3-1371									0	0	
11B	16	3-1372					100				100	1	X
11B	17	3-1473									0	0	X
11B	19	3-1490			29		14	57			100	7	
11B	20	3-1497			66			33			99	3	
11B	21	3-1498			100						100	4	
11B	23	3-1500									0	0	
11B	25	3-1507									0	0	
11B	26	3-1508									0	0	
11B	27	3-1510									0	0	
11B	28	3-1519									0	0	
11D	3	3-539			25			75			100	4	
11D	4	3-639						100			100	2	
11D	5	3-641				100					100	1	X
11D	6	3-649									0	0	X
11D	7	3-660					100				100	2	
11D	9	3-670									0	0	X
11D	10	3-671									0	0	X
11D	11	3-672									0	0	X
11D	12	3-675									0	0	X
11D	14	3-679									0	0	X
11D	17	3-685									0	0	X
11D	21	3-848									0	0	X
11D	22	3-872			100						100	1	X
11D	25	3-882									0	0	X
11D	27	3-1181			100						100	1	X
11D	30	3-1513			100						100	1	
11D	31	3-1668			100						100	5	
11D	32	3-1673				100					100	7	X
11D	33	3-1675									0	0	
11D	34	3-1676			100						100	5	X
11D	35	3-1678			100						100	10	
11G	1	3-500				5	75	20			100	43	
11G	2	3-502			1	10	79	10			100	42	
11G	3	3-505					100				100	12	
11G	4	3-507				10	50	30	10		100	10	X

Unit.	Lot.	F.S.	LMF	LF	ETF	LTF	EC	LC	EPC	LPC	%	Diag.	Eroded
11G	5	3-510			25	6	51	18			100	10	X
11G	6	3-511					100				100	2	X
11G	7	3-514				20	80				100	5	X
11G	8	3-515									0	0	X
11G	9	3-516					100				100	3	X
11G	10	3-518									0	0	X
11G	11	3-521									0	0	X
11G	12	3-525									0	0	X
11G	13	3-527			100						100	1	X
11G	14	3-530			12	25	44	19			100	16	X
11G	15	3-533									0	0	X
11G	17	3-535			76	12		12			100	8	X
11G	18	3-537			100						100	3	X
11G	19	3-643									0	0	X
11G	20	3-651									0	0	X
11G	21	3-652		50	50						100	2	X
11G	22	3-655			100						100	3	X
11G	23	3-657									0	0	X
11G	25	3-683									0	0	X
11I	3	3-1182				29	59	12			100	17	X
11I	4	3-1186					100				100	18	X
11I	5	3-1191					100				100	5	X
11I	6	3-1193			5		95				100	20	X
11I	7	3-1196			8	4	88				100	25	X
11I	8	3-1211			8	3	73	16			100	38	
11I	9	3-1329			8		92				100	40	X
11I	10	3-1337					100				100	10	X
11I	11	3-1341			100						100	1	X
11I	12	3-1343									0	0	X
11I	13	3-1347			100						100	3	
11I	14	3-1356									0	0	X
11I	16	3-1471									0	0	
11I	18	3-1476			100						100	1	
11I	19	3-1478									0	0	
11I	20	3-1492			100						100	1	
11I	22	3-1515			100						100	1	
11I	23	3-1677									0	0	
11K	1	3-63					10	70	20		100	10	X
11K	2	3-68									0	0	
11K	3	3-73									0	0	

Unit.	Lot.	F.S.	LMF	LF	ETF	LTF	EC	LC	EPC	LPC	%	Diag.	Eroded
11K	4	3-76									0	0	
11K	5	3-84									0	0	
11K	6	3-86									0	0	
11K	8	3-90									0	0	
11K	9	3-94									0	0	
11K	11	3-98									0	0	
11K	12	3-150									0	0	
11K	13	3-151									0	0	
11K	14	3-153			100						100	1	
11K	15	3-160			100						100	6	
11K	16	3-163									0	0	X
11K	17	3-165									0	0	
11K	18	3-167			100						100	1	
11K	19	3-171									0	0	
11K	20	3-174			100						100	2	
11K	21	3-175									0	O	
11K	22	3-182			75	25					100	4	X
11K	23	3-184									0	0	
11K	24	3-190									0	0	X
11K	25	3-191									0	0	
11K	26	3-193			100						100	1	
11K	27	3-196			100						100	1	
11K	28	3-344			100						100	1	
11K	29	3-349									0	0	
11K	30	3-352			100						100	4	
11K	31	3-359			100						100	4	
11K	32	3-362			84	16					100	6	
11K	33	3-364			100						100	4	
11K	34	3-369			100						100	11	
11K	35	3-374			100						100	1	
11K	36	3-376			100						100	6	
11K	37	3-384		3	97						100	35	
11K	38	3-387			100						100	13	X
11K	39	3-391									0	0	X
11K	40	3-442			100						100	7	
11K	41	3-444									0	0	
11K	42	4-453			100						100	1	X
11K	43	3-454			100						100	35	X
11K	44	3-457			100						100	4	X
11K	45	3-460			100						100	15	X

Unit.	Lot.	F.S.	LMF	LF	ETF	LTF	EC	LC	EPC	LPC	%	Diag.	Eroded
11K	46	3-468		16	84						100	19	
11K	47	3-474			100						100	32	
11K	48	3-478									0	0	
11K	49	3-483									0	0	X
11K	50	3-488			100						100	2	
11K	52	3-494									0	0	
11K	53	3-496									0	0	X
6D	2	3-836			100						100	1	X
6D	3	3-837									0	0	X
6D	4	3-838									0	0	X
6D	5	3-839									0	0	X
6D	6	3-840			100						100	3	X
6D	7	3-851			100						100	1	X
6D	8	3-852			100						100	2	X
6D	9	3-856					100				100	1	X
6D	10	3-857									0	0	X
6D	11	3-864			100						100	24	X
6D	12	3-867									0	0	X
6D	14	3-876									0	0	X
6D	15	3-879									0	0	X
6D	16	3-1179									0	0	X
6D	17	3-1202			100						100	1	X
6D	19	3-1206									0	0	X
6D	22	3-1207									0	0	X
6D	24	3-1219									0	0	X
6D	26	3-1325									0	0	X
9ZZ	2	3-1368			12	13	65	10			100	134	
9ZZ	5	3-1487			40		20	40			100	5	
9ZZ	6	3-1493					50	50			100	4	
9ZZ	7	3-1494			33		66				99	3	
9ZZ	8	3-1495			100						100	3	
9ZZ	9	3-1504									0	0	
9ZZ	10	3-1505									0	0	
9ZZ	11	3-1516									0	0	
9ZZ	12	3-1518									0	0	
MU1	1	3-865									0	0	X
MU1	4	3-1190									0	0	X

Cerámica de la Operación E

Unit.	Lot.	F.S.	LMF	LF	ETF	LTF	EC	LC	EPC	LPC	%	Diag.	Eroded
12ZZ	3	3-1298						100			100	7	X
12ZZ	4	3-1306						100			100	5	X
12ZZ	5	3-1311				50		50			100	2	X
12ZZ	6	3-1317						100			100	3	X
MU5	3	3-1291				14	14	72			100	7	X
MU5	4	3-1295				67		33			100	9	X
MU5	5	3-1300				90		10			100	17	
MU5	6	3-1304			14	86					100	7	X
MU5	7	3-1309				100					100	2	X
MU5	8	3-1313					8	92			100	25	

Cerámica de la Operación F

Unit.	Lot.	F.S.	LMF	LF	ETF	LTF	EC	LC	EPC	LPC	%	Diag.	Eroded
36WW	4	3-627									0	0	
36WW	5	3-629						100			100	1	
36WW	6	3-632				100					100	1	
36WW	7	3-634									0	0	
36WW	8	3-636									0	0	
36WW	9	3-688									0	0	
36WW	10	3-692				100					100	6	X
36WW	11	3-695				100					100	3	
36WW	12	3-697				100					100	3	X
36WW	13	3-701				100					100	1	
36WW	14	3-703			25	75					100	4	
36WW	15	3-706			33	66					99	3	
36WW	16	3-710			12	88					100	8	
36WW	17	3-1413				100					100	3	X
36WW	18	3-1417			5	90	5				100	20	X
36WW	19	3-1423			22	78					100	9	X
36XX	2	3-723					100				100	1	
36XX	3	3-730									0	0	
36XX	4	3-789		5		95					100	18	
36XX	5	3-800			37	63					100	8	
36XX	6	3-1375			16	84					100	6	X
36XX	7	3-1382				100					100	3	
36XX	8	3-1391				100					100	2	X
36XX	9	3-1412									0	0	
36XX	10	3-1428									0	0	
36XX	11	3-1440									0	0	

Unit.	Lot.	F.S.	LMF	LF	ETF	LTF	EC	LC	EPC	LPC	%	Diag.	Eroded
36XX	12	3-1444									0	0	
36XX	13	3-1461			100						100	2	X
36XX	14	3-1469			100						100	5	X
36XX	15	3-1527									0	0	
36XX	16	3-1544									0	0	
36YY	2	3-887				100					100	3	
36YY	3	3-889				100					100	2	
36YY	4	3-911			20	60	20				100	6	
36YY	5	3-913				100					100	4	
36YY	6	3-919				100					100	1	
36YY	7	3-926				100					100	4	
36YY	8	3-1032				96		4			100	19	
36YY	9	3-1038				100					100	5	
37A	2	3-399				100					100	5	X
37A	3	3-414			10	90					100	10	X
37A	4	3-418			20	80					100	15	X
37A	5	3-438			14	86					100	7	X
37A	6	3-593				100					100	2	X
37XX	2	3-1102				50		50			100	2	X
37XX	3	3-1106						100			100	1	X
37XX	4	3-1112									0	0	
37XX	5	3-1117				100					100	7	
37XX	6	3-1227				100					100	13	
37XX	7	3-1248				100					100	24	
37XX	8	3-1255			14	86					100	14	X
37XX	9	3-1545				100					100	1	X
37YY	2	3-1075						100			100	1	X
37YY	3	3-1076				100					100	3	X
37YY	4	3-1080			13	87					100	15	
37YY	5	3-1086				100					100	5	
37YY	6	3-1091				100					100	3	
38A	1	3-142									0	0	X
38A	2	2-145						33	67		100	3	X
38A	3	3-295									0	0	X
38A	4	3-299									0	0	X
38A	5	3-303				100					100	1	X
38A	6	3-305									0	0	X
38A	8	3-310				100					100	4	X
38A	9	3-312				100					100	2	
38A	10	3-317				100					100	3	

Unit.	Lot.	F.S.	LMF	LF	ETF	LTF	EC	LC	EPC	LPC	%	Diag.	Eroded
38A	11	3-323				100					100	3	X
38A	12	3-325				100					100	1	
38A	13	3-326									0	0	
38A	14	3-333									0	0	
38A	15	3-335									0	0	
39A	2	3-341			33	67					100	3	X
39A	3	3-393			6	94					100	16	X
41D	2	3-1575			25	50		25			100	4	X
41D	3	3-1589				100					100	3	
41D	4	3-1599				100					100	5	X
41D	5	3-1604			33	66					99	6	
41D	6	3-1608									0	0	
41D	7	3-1611									0	0	
41D	8	3-1614			100						100	1	
41D	9	3-1617			100						100	1	
41D	10	3-1718									0	0	
41D	11	3-1719									0	0	
41D	12	3-1721									0	0	
41D	13	3-1722			100						100	1	
42D	2	3-1464		5	9	18	59	9			100	21	X
42D	3	3-1523			80	20					100	5	X
42D	4	3-1532									0	0	
42D	6	3-1542									0	0	
42D	7	3-1552			100						100	1	
42D	8	3-1554									0	0	
43A	3	3-1572				50	50				100	2	
43A	4	3-1582				79	21				100	14	
43A	5	3-1585			25	50	25				100	4	
43A	6	3-1587				75	25				100	4	
43A	7	3-1595			100						100	6	
43A	8	3-1596				100					100	3	
43A	9	3-1602				100					100	1	
43A	10	3-1603									0	0	
43A	13	3-1612									0	0	
43A	14	3-1616									0	0	
43C	2	3-1378						66	33		99	3	X
43D	2	3-1384				75	25				100	4	X
43D	3	3-1385				61	15	15	9		100	13	
43D	4	3-1395		17	49		17	17			100	6	X
43D	5	3-1410			60	20	20				100	5	X

Unit.	Lot.	F.S.	LMF	LF	ETF	LTF	EC	LC	EPC	LPC	%	Diag.	Eroded
43D	6	3-1431			50	25	25				100	4	X
43D	7	3-1443			100						100	1	X
43D	8	3-1449			100						100	1	X
43D	9	3-1560									0	0	
46A	1	3-41			29	71					100	17	X
46A	2	3-101				95	5				100	63	X
46A	3	3-112			100						100	1	X
46A	5	3-398									0	0	X
46A	10	3-413									0	0	
46A	14	3-428									0	0	X
46A	17	3-391									0	0	
47A	1	3-51			30	30	10	10	20		100	10	X
47A	2	3-55			35	40	15	10			100	20	X
47A	3	3-56				100					100	2	X
49A	1	3-50									0	0	X
49A	2	3-54				80	10	10			100	10	X
49A	3	3-58									0	0	X
49A	4	3-59									0	0	X
49E	6	3-618									0	0	
49E	12	3-633									0	0	
49E	15	3-693									0	0	
49E	22	3-728									0	0	X
50A	1	3-146						100			100	3	X
50A	2	3-306				67	33				100	3	X
50A	9	3-401							100		100	1	X
50A	10	3-426									0	0	X
50A	11	3-429									0	0	X
50I	3	3-788			100						100	2	
50I	4	3-793									0	0	X
50I	5	3-798			50	50					100	2	
50I	6	3-803									0	0	X
50I	7	3-806									0	0	X
50I	8	3-808				100					100	1	
50I	9	3-813									0	0	X
50I	10	3-814									0	0	X
50I	11	3-819						100			100	1	X
50I	12	3-822									0	0	
50I	13	3-823									0	0	
50I	14	3-831									0	0	
50I	15	3-884									0	0	

	Lot.	F.S.	LMF	LF	ETF	LTF	EC	LC	EPC	LPC	%	Diag.	Eroded
50I	16	3-886									0	0	
50I	17	3-888									0	0	
50I	18	3-893									0	0	
50I	19	3-901									0	0	
50I	20	3-908									0	0	
50I	21	3-924									0	0	
50I	23	3-931									0	0	
50I	24	3-1040									0	0	X
50I	26	3-1047									0	0	X
50J	2	3-1073			30	40	20	10			100	10	X
50J	3	3-1078				100					100	5	X
50J	4	3-1083									0	0	X
50J	5	3-1093									0	0	
50J	6	3-1097									0	0	X
50J	7	3-1103									0	0	X
50J	8	3-1111									0	0	X
50J	9	3-1113									0	0	X
50J	10	3-1116									0	0	X
50J	11	3-1120									0	0	
50J	12	3-1124									0	0	
50J	13	3-1231									0	0	
50J	14	3-1236									0	0	
50J	15	3-1245									0	0	
50J	16	3-1253									0	0	
50J	17	3-1254									0	0	
50J	19	3-1264									0	0	
50J	21	3-1373									0	0	
50J	22	3-1381									0	0	
50J	24	3-1383									0	0	
50J	25	3-1393									0	0	
50J	26	3-1403									0	0	
50J	27	3-1415									0	0	
50J	29	3-1439									0	0	
50J	30	3-1447									0	0	
50J	31	3-1454									0	0	
MU1	1	3-60									0	0	X
MU1	2	3-549			100						100	1	
MU1	4	3-124									0	0	X
MU2	1	3-130			10	50	10	30			100	10	X
MU2	2	3-135			32	60	8				100	25	X

Unit	Lot.	F.S.	LMF	LF	ETF	LTF	EC	LC	EPC	LPC	%	Diag.	Eroded
MU2	3	3-144									0	0	X
MU2	5	3-320									0	0	
MU2	7	3-337									0	0	
MU3	1	3-594				100					100	5	X
MU3	2	3-597				100					100	4	X
MU3	3	3-601				100					100	1	X
MU3	4	3-608			16	84					100	6	X
MU3	5	3-611				100					100	1	X
MU3	6	3-619				100					100	2	X
MU3	7	3-626									0	0	
MU4	3	3-1557			25	25	50				100	4	
MU4	4	3-1564				100					100	3	
MU4	5	3-1568									0	0	
MU4	7	3-1581									0	0	
MU4	8	3-1584									0	0	
MU5	3	3-1556			10	80	10				100	10	
MU5	4	3-1563				40	40	20			100	5	X
MU5	5	3-1565									0	0	
MU5	6	3-1569									0	0	
MU5	13	3-1610									0	0	
MU5	16	3-1717									0	0	

Cerámica de la Operación G

Unit	Lot.	F.S.	LMF	LF	ETF	LTF	EC	LC	EPC	LPC	%	Diag.	Eroded
(-3SS)	4	3-772			10			40	50		100	10	X
(-3SS)	5	3-775						50	50		100	2	X
(-3SS)	6	3-776							100		100	3	X
(-3SS)	7	3-779									0	0	X
(-3SS)	8	3-781							100		100	1	
(-3SS)	9	3-784									0	0	X
(-3SS)	11	3-983									0	0	X
(-3SS)	12	3-985			100						100	1	X
(-3SS)	13	3-996									0	0	X
(-3SS)	14	3-998									0	0	X
(-3SS)	15	3-1009			100						100	1	X
(-3SS)	16	3-1015			67			33			100	3	X
(-7UU)	1	3-1021				20	20	60			100	5	

Unit	Lot.	F.S.	LMF	LF	ETF	LTF	EC	LC	EPC	LPC	%	Diag.	Eroded
(-7UU)	2	3-1023				15		20	65		100	20	
(-7UU)	3	3-1026						52	48		100	21	X
(-7UU)	4	3-1028				20		10	70		100	10	
(-7UU)	5	3-1278				14	43	43			100	7	
(-7UU)	6	3-1280						64	36		100	14	
(-7UU)	7	3-1281				14		72	14		100	7	X
(-7UU)	8	3-1284		25	25			50			100	4	X
0MM	1	3-1288						60	40		100	9	
1C	1	3-197			6			61	33		100	16	X
1C	2	3-204			9	9	9	27	46		100	11	X
1C	3	3-205						100			100	7	X
1C	4	3-207				30		50	20		100	10	X
1C	5	3-210						84	16		100	6	X
1C	6	3-214				50		50			100	2	X
1C	7	3-217				30		70			100	10	X
1C	8	3-220				25	9	66			100	12	
1C	9	3-221			10	20	10	60			100	10	X
1C	10	3-222				25		75			100	4	X
1C	11	3-223			16			84			100	6	
1C	12	3-227			20	40		40			100	5	
1DD	3	3-1016						100			100	4	X
1DD	4	3-1018				7		9	84		100	45	
1DD	5	3-1019						23	77		100	71	X
1DD	6	3-1024		3		3	6	48	40		100	35	
1DD	7	3-1277			4	4	12	36	44		100	25	X
1DD	8	3-1279					25	75			100	8	
1DD	9	3-1282				50		25	25		100	4	
1DD	10	3-1285				25		25	50		100	4	
1MM	5	3-782		10		10		40	40		100	10	
1MM	6	3-981			60	20				20	100	5	
1MM	7	3-984				100					100	2	X
1MM	8	3-987			33		33	33			99	3	
1MM	9	3-990				33	33		33		99	3	
1MM	10	3-993					100				100	1	
1MM	11	3-997				100					100	1	
1MM	12	3-1001									0	0	
1MM	13	3-1004					100				100	2	
1MM	14	3-1006					100				100	1	X
1MM	15	3-1008									0	0	X
1MM	16	3-1011									0	0	

Unit	Lot.	F.S.	LMF	LF	ETF	LTF	EC	LC	EPC	LPC	%	Diag.	Eroded
1MM	17	3-1012									0	0	
1MM	18	3-1014									0	0	X
1MM	23	3-1027									0	0	
1MM	24	3-1276									0	0	
1RR	1	3-229							100		100	3	X
1RR	2	3-232				6			94		100	16	X
1RR	3	3-235				9		15	76		100	33	X
1RR	4	3-236			5			10	85		100	20	X
1RR	5	3-240				50			50		100	4	X
1RR	6	3-246			50			50			100	2	X
1RR	7	3-248				25	25	25	25		100	4	X
1RR	8	3-250					50	50			100	2	X
1RR	9	3-255					100				100	2	
1RR	10	3-256									0	0	
1RR	11	3-261									0	0	X
1RR	12	3-262									0	0	
1RR	13	3-266									0	0	X
1RR	15	3-270		100							100	2	X
1RR	16	3-277									0	0	
1RR	17	3-279									0	0	
1RR	18	3-284									0	0	
1RR	20	3-558									0	0	
1RR	23	3-289									0	0	
1RR	25	3-292									0	0	
1RR	31	3-294									0	0	
1RR	37	3-767									0	0	X
1RR	41	3-1289									0	0	
MU1	1	3-548									0	0	X
MU1	2	3-549			100						100	1	
MU1	3	3-557									0	0	X
MU1	4	3-551									0	0	
MU1	5	3-553									0	0	
MU1	6	3-555									0	0	
MU1	9	3-563									0	0	
MU1	10	3-564									0	0	
MU1	11	3-561									0	0	X
MU1	12	3-566									0	0	X
MU1	13	3-576									0	0	
MU2	2	3-554						33	67		100	3	X
MU2	3	3-568			50	50					100	2	X

Unit	Lot.	F.S.	LMF	LF	ETF	LTF	EC	LC	EPC	LPC	%	Diag.	Eroded
MU2	5	3-572									0	0	
MU2	11	3-736									0	0	
MU2	13	3-587									0	0	X
MU2	14	3-741									0	0	
MU2	16	3-747									0	0	
MU2	17	3-753									0	0	
MU2	18	3-754									0	0	
MU2	19	3-761									0	0	X
MU2	20	3-764									0	0	
MU2	21	3-774									0	0	X
MU2	23	3-777									0	0	
VV2	4	3-743						100			100	12	X
VV2	5	3-746			25			50	25		100	4	X
VV2	6	3-750									0	0	X
VV2	7	3-756									0	0	
WW1	1	3-231			2	14	8	19	57		100	37	X
WW1	2	3-238						15	85		100	20	X
WW1	3	3-242						45	55		100	11	X
WW1	4	3-249			6	37		44	13		100	16	X
WW1	5	3-251			8	15	15	24	38		100	13	
WW1	6	3-258					10	90			100	12	
WW1	7	3-265			10	35		50	5		100	20	X
WW1	8	3-273			25	20	5	50			100	20	X
WW1	9	3-282				43		43	14		100	7	X
WW1	10	3-287									0	0	
WW1	11	3-288					100				100	2	X
WW2	3	3-540			4	18	18	60			100	28	X
WW2	4	3-543				17		83			100	6	X
WW2	5	3-546			60	20		20			100	5	X

Tabla 11.3: Fechas cerámicas de los lotes excavados en Cerro de la Virgen

Cerámica de la Operación A

Unit.	Lot.	F.S.	LMF	LF	ETF	LTF	EC	LC	EPC	LPC	%	Diag.	Eroded
10A	1	3-8229			33	66					99	3	X
10A	2	3-8230		33	33	33					99	3	
10B	1	3-8221			30	80					110	5	X
10B	2	3-8222			44	56					100	9	X
10D	1	3-8235				100					100	1	X
10D	2	3-8237		100							100	1	
10D	3	3-8239		100							100	2	
10D	4	3-8247									0	0	X
10E	1	3-8050									0	0	X
10E	2	3-8051				100					100	1	X
10E	3	3-8052		100							100	1	X
10E	4	3-8054			100						100	1	X
10E	5	3-8056									0	0	X
10E	6	3-8059		50	50						100	4	X
10E	7	3-8060									0	0	X
10E	8	3-8061									0	0	X
10E	9	3-8078									0	0	X
10F	1	3-8063									0	0	X
10F	2	3-8066		100							100	1	X
10F	3	3-8069									0	0	X
10F	4	3-8071									0	0	X
10F	5	3-8081			100						100	1	X
10G	1	3-8074									0	0	X
10G	2	3-8076			66	33					99	3	X
10G	3	3-8172				100					100	2	X
10G	4	3-8175									0	0	X
10G	5	3-8182									0	0	X
10G	6	3-8185			100						100	1	X
10H	1	3-8082			100						100	2	X
10H	2	3-8084		20	30	50					100	6	X
10H	3	3-8087									0	0	X
10H	4	3-8089		33		66					99	3	
10H	5	3-8091				100					100	3	X
10H	6	3-8093									0	0	X
10H	7	3-8095									0	0	X
10I	2	3-9177				100					100	1	X
10J	2	3-9160									0	0	X
10J	3	3-9179									0	0	X
10K	1	3-8771									0	0	X
10K	2	3-8772		100							100	1	X

Unit.	Lot.	F.S.	LMF	LF	ETF	LTF	EC	LC	EPC	LPC	%	Diag.	Eroded
10K	3	3-8777				100					100	1	X
10K	3	3-9162		100							100	1	X
10L	1	3-8807									0	0	X
10L	2	3-8810			100						100	4	X
10L	3	3-8817		100							100	6	X
10L	4	3-8757		86	14						100	7	X
10M	1	3-8163									0	0	X
10M	2	3-8180			100						100	2	X
10M	3	3-8704									0	0	
10M	3	3-8705									0	0	X
10M	8	3-8150									0	0	X
10N	1	3-8741									0	0	
10N	2	3-8744									0	0	
10N	3	3-8750			100						100	1	X
10N	4	3-8753									0	0	X
10N	5	3-8755									0	0	
10Ń	2	3-8939									0	0	X
10O	1	3-8597				100					100	1	X
10O	2	3-8601		100							100	1	
10O	4	3-8801									0	0	X
11F	1	3-8073									0	0	X
11F	2	3-8075		100							100	1	X
11F	3	3-8077			100						100	1	X
11F	4	3-8080									0	0	X
11F	5	3-8083									0	0	X
11F	6	3-8086			100						100	1	X
11F	7	3-8090									0	0	X
11F	8	3-8092									0	0	X
11F	9	3-8094									0	0	X
11F	10	3-8096									0	0	X
11F	11	3-8097									0	0	X
11I	1	3-9175				100					100	1	X
11J	1	3-8285			33	33	33				99	3	
11J	2	3-8292									0	0	X
11K	2	3-9144		100							100	1	X
11L	2	3-9084									0	0	X
11M	1	3-8160									0	0	X
11M	2	3-8179									0	0	X
11M	3	3-8713			66	33					99	3	
11N	1	3-8291				100					100	1	X

Unit.	Lot.	F.S.	LMF	LF	ETF	LTF	EC	LC	EPC	LPC	%	Diag.	Eroded
11N	2	3-8297			66	33					99	3	
11N	3	3-8795			100						100	3	X
11Ń	2	3-8933									0	0	
11O	1	3-8806									0	0	
11O	2	3-8809		100							100	1	X
11O	3	3-8814				100					100	1	X
11O	4	3-8821									0	0	X
11O	5	3-8822									0	0	X
11P	2	3-8877				100					100	3	X
11P	3	3-8881	33			67					100	3	X
12J	1	3-8280				58	14	28			100	7	X
12J	3	3-8283				100					100	4	X
12K	1	3-8276									0	0	
12K	2	3-8277		50		50					100	2	
12L	1	3-8265				100					100	3	X
12L	2	3-8274		33	66						99	3	X
12L	3	3-8941			100						100	2	X
12L	4	3-8946									0	0	X
12M	1	3-8151									0	0	X
12M	3	3-8156		33	66						99	3	X
12M	4	3-8722									0	0	
12M	4	3-8725		66	33						99	3	
12N	1	3-8165									0	0	X
12N	2	3-8177									0	0	X
12N	3	3-8500		100							100	4	X
12Ń	1	3-8171				100					100	1	X
12Ń	2	3-8176									0	0	X
12Ń	3	3-8497		100							100	2	X
12O	1	3-8186				100					100	3	X
12O	2	3-8251		81	6	13					100	7	X
12O	3	3-8489									0	0	X
12O	4	3-8529		100							100	1	X
12O	5	3-8531									0	0	X
12O	6	3-8533									0	0	X
12O	7	3-8537									0	0	X
12O	8	3-8538		100							100	2	X
12O	9	3-8540		100							100	4	X
12O	10	3-8595		75		25					100	4	X
12P	1	3-8154									0	0	X
12P	2	3-8155					100				100	1	X

Unit.	Lot.	F.S.	LMF	LF	ETF	LTF	EC	LC	EPC	LPC	%	Diag.	Eroded
12P	3	3-8159				100					100	2	X
12P	5	3-8170			100						100	1	X
12Q	1	3-8161									0	0	X
12Q	2	3-8162									0	0	X
13E	1	3-8053			50	50					100	4	X
13E	2	3-8057			66	33					99	3	X
13E	3	3-8058		25	75						100	4	X
13E	4	3-8062			60	40					100	7	X
13E	5	3-8064				100					100	5	X
13E	6	3-8067		25	25	50					100	8	X
13E	7	3-8068				100					100	1	X
13E	8	3-8070		100							100	1	X
13E	9	3-8072									0	0	X
13J	2	3-9085				100					100	1	X
13J	3	3-9140									0	0	X
13K	2	3-8969									0	0	
13K	3	3-8865									0	0	X
13L	1	3-8331				100					100	2	X
13L	2	3-8499			50	50					100	2	X
13L	3	3-8802									0	0	X
13M	1	3-8236									0	0	X
13M	2	3-8240									0	0	X
13M	4	3-8737									0	0	X
13N	1	3-8282				50		50			100	2	X
13N	2	3-8284		33	33	33					99	3	
13N	4	3-8805		100							100	2	X
13Ń	1	3-8184			50	50					100	2	
13Ń	2	3-8187		100							100	2	
13Ń	3	3-8498		100							100	3	
13O	1	3-8349									0	0	
13O	2	3-8947									0	0	X
13P	1	3-8490		50		50					100	2	X
14J	2	3-9153			50	50					100	2	X
14J	3	3-9169									0	0	X
14K	2	3-9161			33	67					100	3	X
14K	3	3-9172		67	33						100	3	X
14L	2	3-8873				100					100	5	X
14L	3	3-9041									0	0	X
14L	4	3-9070		100							100	1	X
14M	1	3-8275			100						100	1	X

Unit.	Lot.	F.S.	LMF	LF	ETF	LTF	EC	LC	EPC	LPC	%	Diag.	Eroded
14M	2	3-8278				100					100	1	
14M	3	3-8492									0	0	X
14M	4	3-8692			100						100	2	
14N	1	3-8825									0	0	X
14N	2	3-8827									0	0	
14N	3	3-8835				100					100	1	X
14N	4	3-8836			50	50					100	4	X
14Ń	2	3-8858				100					100	4	X
14Ń	3	3-8868		75	25						100	4	X
14O	1	3-8505			40	20		40			100	5	X
14O	2	3-8525									0	0	
14O	3	3-8823		50		50					100	2	X
14P	2	3-9069				100					100	1	X
14P	3	3-9079			50	50					100	2	X
15J	1	3-8721			25	63	12				100	8	
15J	2	3-8728			25	75					100	4	X
15J	3	3-8729			100						100	1	
15J	4	3-8736									0	0	X
15J	5	3-8739									0	0	X
15J	6	3-8790									0	0	X
15K	2	3-8875				100					100	6	X
15K	3	3-9048									0	0	X
15K	4	3-9055			50	50					100	2	X
15L	3	3-8879				100					100	4	X
15L	3	3-9047									0	0	X
15L	4	3-9053			100						100	1	X
15M	1	3-8307									0	0	X
15M	2	3-8313			100						100	2	X
15M	3	3-8491			100						100	1	X
15M	4	3-8700		100							100	1	
15N	2	3-8846									0	0	X
15N	2	3-8932				100					100	2	X
15N	3	3-8849									0	0	
15N	4	3-8852		75		25					100	4	X
15Ń	1	3-8826									0	0	
15Ń	2	3-8940		25	75						100	4	X
15Ń	3	3-8954				100					100	1	X
15Ń	4	3-8960									0	0	X
15O	2	3-9071				100					100	2	X
15P	1	3-8702									0	0	

Unit.	Lot.	F.S.	LMF	LF	ETF	LTF	EC	LC	EPC	LPC	%	Diag.	Eroded
15P	2	3-8707				50	50				100	2	
15P	3	3-8708		100							100	2	
15P	3	3-8709		100							100	2	
15P	4	3-8714									0	0	X
16M	1	3-8321		33	66						99	3	
16M	2	3-8325				100					100	1	
16M	3	3-8332		100							100	1	X
16N	1	3-8506		50		50					100	2	X
16N	2	3-8524				50	50				100	2	
16Ń	2	3-9051									0	0	
16Ń	3	3-9060		67	33						100	3	X
16O	1	3-9141									0	0	X
16O	2	3-9142		50		50					100	2	X
16O	3	3-9151				100					100	1	X
16O	3	3-9173									0	0	X
17M	1	3-8534		100							100	1	X
17M	2	3-8536				100					100	1	
17M	3	3-8539		12	25	50	13				100	8	
1OO	3	3-8796									0	0	X
1OO	5	3-8803									0	0	X
4J	1	3-8663		13	13	74					100	23	X
4J	2	3-8670		10	70	20					100	21	
4J	3	3-8673			87	13					100	15	
4J	4	3-8676				100					100	4	X
4J	5	3-8681									0	0	
4J	6	3-8685				100					100	1	X
4J	7	3-8686									0	0	X
4J	8	3-8740		66	33						99	3	
7I	1	3-8677									0	0	X
7I	2	3-8678		100							100	2	
7I	3	3-8680		100							100	2	
7I	4	3-8682									0	0	
7I	5	3-8684									0	0	
7I	6	3-8687		100							100	1	
8M	1	3-8264					100				100	1	X
8M	2	3-8260				100					100	2	X
8N	1	3-8267				100					100	2	X
8N	2	3-8273			100						100	1	X
9I	1	3-9170									0	0	X
9J	1	3-8727					100				100	1	X

Unit.	Lot.	F.S.	LMF	LF	ETF	LTF	EC	LC	EPC	LPC	%	Diag.	Eroded
9J	2	3-8662		100							100	2	X
9J	3	3-8665		100							100	1	
9J	4	3-8669									0	0	
9K	2	3-9155		33	67						100	3	X
9K	3	3-9166		100							100	2	X
9L	1	3-8749		100							100	1	
9L	2	3-8754									0	0	
9L	3	3-8758		50	50						100	2	
9L	4	3-8759									0	0	
9M	1	3-8262									0	0	X
9M	2	3-8263		100							100	1	X
9M	3	3-8701		50		50					100	2	X
9N	1	3-8775				100					100	1	X
9N	2	3-8776				100					100	1	X
9N	3	3-8782									0	0	X
9N	4	3-8786		66	33						99	3	
9Ń	2	3-8854									0	0	X
9Ń	3	3-8857				100					100	2	X
9Ń	4	3-8863									0	0	X
9O	1	3-8952			100						100	1	X
9O	2	3-8955		50		50					100	2	X
9O	3	3-8938									0	0	X
MU1	1	3-8206				75	25				100	4	X
MU1	2	3-8209				100					100	2	X
MU1	3	3-8212				100					100	2	X
MU1	4	3-8213				50	50				100	2	X
MU1	5	3-8216									0	0	X
MU1	6	3-8219									0	0	
MU2	1	3-8256				100					100	1	X
MU2	2	3-8261									0	0	X
MU3	1	3-8298									0	0	
MU3	2	3-8299			100						100	1	X
MU4	1	3-8503				100					100	1	X
MU4	2	3-8530									0	0	
MU5	1	3-8598			100						100	1	
MU5	2	3-8600			50	50					100	2	

Cerámica de la Operación B

Unit.	Lot.	F.S.	LMF	LF	ETF	LTF	EC	LC	EPC	LPC	%	Diag.	Eroded
10J	1	3-8001									0	0	X
10J	2	3-8002									0	0	X
10J	3	3-8004			50	50					100	4	
10J	4	3-8005				100					100	2	X
10J	5	3-8007			33	66					99	3	
10J	6	3-8013									0	0	
10J	7	3-8015		25	25	50					100	4	X
10K	1	3-8008									0	0	
10K	2	3-8009			40	60					100	7	X
10K	3	3-8010									0	0	
10K	4	3-8107									0	0	
10K	5	3-8111									0	0	
10Ń	1	3-8113									0	0	
10Ń	2	3-8114		25	25	50					100	4	X
10Ń	3	3-8117			14	86					100	7	
10Ń	4	3-8127		66		33					99	3	
10Ń	5	3-8140				100					100	1	X
11J	1	3-8017									0	0	X
11J	2	3-8018			33	66					99	3	X
11J	3	3-8019			100						100	1	
11J	4	3-8020				100					100	2	X
11J	5	3-8022				93	7				100	7	X
11J	6	3-8025				100					100	1	
11J	7	3-8036				100					100	1	X
11J	8	3-8047		100							100	1	X
11J	9	3-8102									0	0	
11J	10	3-8104					100				100	5	
15J	1	3-8305			66	33					99	3	
15J	2	3-8049			75	25					100	4	
15K	1	3-8145				100					100	2	
15K	2	3-8148		20	20	40	20				100	5	
16J	1	3-8100			45	45	10				100	9	
1Ń	1	3-8115			100						100	1	
1Ń	2	3-8118			16	84					100	6	
1Ń	3	3-8125		67		33					100	3	X
1Ń	4	3-8129				100					100	1	
1Ń	5	3-8131									0	0	
1Ń	6	3-8138				100					100	1	
1Ń	7	3-8141									0	0	
5J	1	3-8112				100					100	3	

Unit.	Lot.	F.S.	LMF	LF	ETF	LTF	EC	LC	EPC	LPC	%	Diag.	Eroded
5J	2	3-8134		100							100	2	
5J	3	3-8128		100							100	3	
5J	4	3-8144									0	0	
5J	5	3-8146		100							100	6	X
5J	6	3-8147			100						100	1	
6J	1	3-8028									0	0	
6J	1	3-8200		100							100	1	
6J	2	3-8030									0	0	
6J	3	3-8031				100					100	1	X
6J	4	3-8042									0	0	
6J	5	3-8109		100							100	4	
6J	7	3-8202									0	0	
9K	1	3-8132				100					100	1	
9K	2	3-8136			25	75					100	4	

Cerámica de la Operación C

Unit.	Lot.	F.S.	LMF	LF	ETF	LTF	EC	LC	EPC	LPC	%	Diag.	Eroded
10I	1	3-8220			75	25					100	8	
10J	1	3-8201		60	20	20					100	5	
10J	2	3-8203		20	20	60					100	5	
10J	3	3-8204		50				50			100	2	X
10J	4	3-8208		60		20	20				100	5	X
10J	5	3-8215		80	20						100	5	X
10J	6	3-8217		66		33					99	3	X
10J	7	3-8224									0	0	X
10J	8	3-8232									0	0	X
10J	9	3-8233			50	50					100	2	
10K	1	3-8227			100						100	2	
10K	2	3-8228		20	80						100	5	

Cerámica de la Operación D

Unit.	Lot.	F.S.	LMF	LF	ETF	LTF	EC	LC	EPC	LPC	%	Diag.	Eroded
15M	1	3-8301									0	0	
15M	2	3-8315				100					100	1	
15M	3	3-8320									0	0	
15M	4	3-8329									0	0	
15M	4	3-8640									0	0	X
15M	4	3-8645									0	0	
15M	5	3-8341									0	0	X
15M	6	3-8401			100						100	1	X
15M	7	3-8402									0	0	X
15M	8	3-8563		100							100	12	
15M	9	3-8576									0	0	
15N	1	3-8411									0	0	
15N	2	3-8436				100					100	1	X
15N	3	3-8442									0	0	X
15N	3	3-8446									0	0	X
15N	4	3-8550									0	0	
15Ń	1	3-8641				100					100	1	
15Ń	2	3-8646									0	0	
15Ń	3	3-8652									0	0	
16L	1	3-8326				100					100	1	
16L	2	3-8335			50			50			100	2	X
16M	1	3-8309		50		50					100	2	
16M	2	3-8317									0	0	
16M	3	3-8657									0	0	
16M	4	3-8660									0	0	X
16M	5	3-8760									0	0	X
16N	1	3-8337									0	0	X
16N	2	3-8345									0	0	X
16N	3	3-8418									0	0	X
16N	4	3-8548									0	0	X
16N	5	3-8644			100						100	1	
16Ń	1	3-8647									0	0	
16Ń	2	3-8654									0	0	X
3H	1	3-8339									0	0	X
3H	2	3-8344									0	0	X
3H	3	3-8347									0	0	X
3H	4	3-8400		100							100	1	X
3H	5	3-8405									0	0	X
3L	1	3-8407									0	0	
3L	2	3-8410			100						100	2	X

Unit.	Lot.	F.S.	LMF	LF	ETF	LTF	EC	LC	EPC	LPC	%	Diag.	Eroded
3L	3	3-8561									0	0	X
3M	1	3-8551									0	0	
3P	1	3-8575									0	0	
3P	1	3-8588									0	0	
3P	2	3-8586									0	0	
4L	1	3-8417		50		50					100	2	X
4L	1	3-8580									0	0	X
4M	1	3-8439			100						100	1	X
4M	1	3-8560									0	0	
5L	1	3-8419									0	0	X
5L	1	3-8421									0	0	X
5L	1	3-8579									0	0	
5L	2	3-8587									0	0	
5L	3	3-8642									0	0	
5M	1	3-8565									0	0	
5M	1	3-8581									0	0	X
5M	1	3-8584									0	0	

Cerámica de la Operación E

Unit.	Lot.	F.S.	LMF	LF	ETF	LTF	EC	LC	EPC	LPC	%	Diag.	Eroded
10J	1	3-8350									0	0	
10J	2	3-8352		92	8						100	12	
10J	3	3-8355			73	27					100	11	X
10J	4	3-8357			100						100	3	X
10J	5	3-8360			33	66					99	3	X
10J	6	3-8362									0	0	
10J	7	3-8363			100						100	3	X
10J	8	3-8367			100						100	1	
10J	9	3-8368			100						100	1	
10J	10	3-8372		100							100	1	
10J	11	3-8375									0	0	X
10J	12	3-8376									0	0	X
10J	13	3-8380									0	0	
10J	14	3-8381									0	0	X
10J	15	3-8386			100						100	1	
10J	16	3-8387									0	0	
10J	17	3-8388									0	0	X
10J	19	3-8391									0	0	X
10J	19	3-8393			100						100	1	
10J	20	3-8397									0	0	X

Cerámica de la Operación F

Unit.	Lot.	F.S.	LMF	LF	ETF	LTF	EC	LC	EPC	LPC	%	Diag.	Eroded
10F	1	3-8351				100					100	1	
10F	2	2-8353			14	72	14				100	7	
10F	3	3-8358			14	86					100	7	
10F	4	3-8364		50		50					100	4	
10F	5	3-8370		10		80	10				100	10	X
10F	6	3-8373				100					100	4	
10F	7	3-8377									0	0	
10F	8	3-8383			60	40					100	7	
10F	9	3-8385				100					100	2	
10F	10	3-8389			100						100	4	
10F	11	3-8392									0	0	
10F	12	3-8394			75	25					100	8	
10F	13	3-8398		33	66						99	3	
12D	1	3-9025		40		60					100	5	
12D	2	3-9028				100					100	1	
12D	3	3-9030		25	25	50					100	4	X
12D	4	3-9032				100					100	11	
12D	5	3-9035			100						100	1	X
12D	6	3-9105			50	50					100	2	X
12D	7	3-9116		50	50						100	2	X
12D	8	3-9118				100					100	1	X
12D	9	3-9123		75		25					100	4	X
12H	1	3-9089			33	67					100	3	X
12H	2	3-9093			50	50					100	6	X
12H	3	3-9094		25	50	25					100	8	
12H	4	3-9095		16	51	33					100	6	X
12H	5	3-9097				100					100	2	X
12H	6	3-9106				100					100	2	X
12H	7	3-9109			10	90					100	10	X
12H	8	3-9113									0	0	X
12H	9	3-9115		100							100	1	X
12H	10	3-9119									0	0	X
12H	11	3-9122		100							100	1	X
12H	12	3-9124		40	60						100	5	X
12H	13	3-9127				100					100	1	X
12H	14	3-9133		67	33						100	3	X
12H	15	3-9136		100							100	2	X
12H	16	3-9138									0	0	X
13D	1	3-9039		20	10	70					100	10	
13D	2	3-9091		10		90					100	10	X

Unit.	Lot.	F.S.	LMF	LF	ETF	LTF	EC	LC	EPC	LPC	%	Diag.	Eroded
13D	3	3-9102				100					100	5	X
13D	4	3-9129		17	33	50					100	6	X
13D	5	3-9131									0	0	X
13D	3	3-13001		100							100	1	X

Cerámica de la Operación G

Unit.	Lot.	F.S.	LMF	LF	ETF	LTF	EC	LC	EPC	LPC	%	Diag.	Eroded
14L	1	3-8917		50	25	25					100	4	X
14L	2	3-8918		50		50					100	4	
14L	3	3-8924				100					100	3	X
15L	1	3-8890		50		50					100	2	X
15L	2	3-8895		8	8	82					98	11	X
15L	3	3-8897		30	10	40	10	10			100	10	X
15L	4	3-8901		100							100	1	X
15S	1	3-8612									0	0	
15S	2	3-8613									0	0	
15S	3	3-8618		75	25						100	4	
15S	4	3-8788		100							100	2	
15S	5	3-8893	100								100	1	X
15S	6	3-8898									0	0	X
15S	7	3-8903		100							100	1	X
15S	8	3-8915									0	0	X
15S	9	3-8921		100							100	2	X
23L	1	3-8615		80		20					100	10	X
23S	1	3-8614			7	86	7				100	15	X
23S	2	3-8616		72		28					100	7	X
23S	3	3-8787		100							100	2	X
23S	4	3-8891		100							100	1	X
23S	5	3-8892		100							100	2	X
23S	6	3-8894									0	0	X
23S	7	3-8896		100							100	1	X
23S	8	3-8905									0	0	X
23S	9	3-8906									0	0	X
23S	10	3-8912		100							100	1	X
23S	11	3-8916									0	0	X
23S	12	3-8919						100			100	1	X
23S	13	3-8925									0	0	X
14L	4	3-8928				100					100	2	X

Cerámica de la Operación H

Unit.	Lot.	F.S.	LMF	LF	ETF	LTF	EC	LC	EPC	LPC	%	Diag.	Eroded
15BB	1	3-9011									0	0	X
15BB	2	3-9012									0	0	X
15BB	3	3-9013				100					100	1	X
15BB	4	3-9014			10	90					100	11	
15BB	5	3-9018		7	21	72					100	14	X
15BB	6	3-9019				100					100	6	X
15BB	7	3-9022			13	74	13				100	8	X
15JJ	1	3-9023									0	0	
15JJ	2	3-9024									0	0	X
15JJ	3	3-9026				100					100	1	X
15JJ	4	3-9027				100					100	1	X
15JJ	5	3-9029		10	10	80					100	10	X
15JJ	6	3-9031		7		86	7				100	15	X
15JJ	7	3-9033		33	11	56					100	9	
15JJ	8	3-9037		50		50					100	4	X
15JJ	9	3-9038		100							100	2	X
15M	1	3-8971									0	0	X
15M	2	3-8974				100					100	1	X
15M	3	3-8976			33	33	18	8	8		100	12	X
15M	4	3-8979									0	0	X
15M	5	3-8980				100					100	1	X
15M	6	3-8982				100					100	3	X
15M	7	3-8984		66	33						99	6	
15M	8	3-8839		50	50						100	2	X
15M	9	3-8992			75		25				100	4	X
15T	1	3-8972									0	0	X
15T	2	3-8973									0	0	
15T	3	3-8975				100					100	1	X
15T	4	3-8977				100					100	2	X
15T	4	3-9004									0	0	
15T	5	3-8981				100					100	6	X
15T	6	3-8983		100							100	5	
15T	7	3-8987			33	33		33			99	3	X
15T	8	3-8990		100							100	1	X
15T	9	3-8991			100						100	1	
15T	10	3-8992			100						100	1	
15T	11	3-8995									0	0	X
15T	12	3-8996									0	0	X
15T	13	3-9002		100							100	2	X
23M	1	3-8998			100						100	1	X

Unit.	Lot.	F.S.	LMF	LF	ETF	LTF	EC	LC	EPC	LPC	%	Diag.	Eroded
23M	2	3-9000				100					100	2	X
23M	3	3-9001				100					100	2	X
23M	4	3-9003				100					100	6	X
23M	5	3-9005		11	22	66					99	9	
23M	5	3-9008									0	0	X
23M	5	3-9009									0	0	X
23M	5	3-9010									0	0	X
23M	6	3-9016			50	50					100	4	
23M	7	3-9020									0	0	X
23M	8	3-9021									0	0	X

Tabla 11.4: Fechas cerámicas de los lotes excavados en Loma Don Genaro

Cerámica de la Operación A

Unit.	Lot.	F.S.	LMF	LF	ETF	LTF	EC	LC	EPC	LPC	%	Diag.	Eroded
10A	1	3-5001									0	0	X
10A	2	3-5004						100			100	3	X
10A	3	3-5005						100			100	1	X
10A	4	3-5007						100			100	2	X
10A	5	3-5008						100			100	2	X
10A	6	3-5009									0	0	X
10A	7	3-5011					50	50			100	2	X
10A	8	3-5013					33	67			100	3	X
10A	9	3-5015									0	0	X
10A	10	3-5018					100				100	1	X
10A	11	3-5020						100			100	2	X
10A	12	3-5022				62		38			100	8	X
10A	13	3-5028				100					100	4	X
10A	14	3-13028									0	0	X
10A	14	3-5126			20	80					100	6	
10A	14	3-5631				33	15	52			100	6	
10A	15	3-5706				100					100	1	X
10A	16	3-5707									0	0	X
10A	17	3-5708									0	0	
10A	18	3-5710				100					100	6	X
10AA	1	3-5332				17		66	17		100	6	X
10AA	2	3-5337					50	50			100	10	X
10AA	3	3-5339					70	30			100	10	X
10BB	1	3-5142				33		66			99	3	X
10BB	2	3-5147					45	55			100	16	X
10BB	3	3-5199				10	60	30			100	7	X
10BB	4	3-5204		9	9		82				100	9	
10BB	5	3-5208					100				100	20	X
10BB	6	3-5212		16	7	15		62			100	13	
10BB	7	3-5214				43	29	27			99	7	X
10BB	8	3-5215				100					100	2	
10BB	9	3-5218				11	29	60			100	17	
10BB	10	3-5224				20		80			100	5	X
10BB	11	3-5227				100					100	1	
10BB	12	3-5229				100					100	1	
10BB	13	3-5232				100					100	6	
10BB	14	3-5234				90		10			100	11	
10BB	15	3-5239				100					100	4	

Unit.	Lot.	F.S.	LMF	LF	ETF	LTF	EC	LC	EPC	LPC	%	Diag.	Eroded
10BB	16	3-5240									0	0	
10BB	17	3-5243				100					100	5	
10BB	18	3-5519				100					100	11	X
10BB	18	3-5721				100					100	3	
10CC	1	3-5133					17	75	8		100	12	X
10CC	2	3-5136				4	28	68			100	20	
10E	1	3-5050						100			100	1	X
10E	2	3-5051					100				100	1	X
10E	3	3-5053						100			100	4	X
10E	4	3-5054					100				100	1	X
10E	5	3-5055						100			100	5	X
10E	6	3-5057						50	50		100	2	X
10E	7	3-5062						100			100	1	X
10E	8	3-5064						100			100	1	X
10E	9	3-5065				67	33				100	3	X
10E	10	3-5068				100					100	3	X
10E	11	3-5072									0	0	X
10E	12	3-5082					100				100	1	X
10E	13	3-5085				50		50			100	2	X
10E	14	3-5091				100					100	1	X
10E	15	3-5032									0	0	X
10E	16	3-5034				100					100	1	
10E	17	3-5213									0	0	
10I	1	3-5056					50	50			100	10	X
10I	2	3-5059						100			100	6	X
10I	3	3-5061						100			100	22	
10I	4	3-5063					16	84			100	25	X
10I	5	3-5066					50	50			100	2	X
10I	6	3-5067				33	33	33			99	3	X
10I	7	3-5081				25	75				100	4	X
10I	8	3-5073				33		67			100	6	X
10I	9	3-5080				50	50				100	4	X
10I	10	3-5084				25	75				100	4	X
10I	11	3-5087					100				100	1	X
10I	12	3-5089				100					100	2	X
10I	13	3-5092				100					100	5	X
10I	14	3-5094				100					100	4	X
10I	15	3-5096				100					100	3	X
10I	16	3-5097				100					100	11	
10I	17	3-5100				100					100	15	

Unit.	Lot.	F.S.	LMF	LF	ETF	LTF	EC	LC	EPC	LPC	%	Diag.	Eroded
10I	18	3-5103				100					100	3	
10I	19	3-5108				100					100	8	X
10I	20	3-5115					33	66			99	6	
10I	21	3-5117				100					100	7	
10I	22	3-5120			10	90					100	20	
10I	23	3-5121				100					100	5	X
10I	24	3-5299				100					100	4	X
10I	25	3-5302				100					100	4	X
10I	26	3-5305				100					100	3	
10I	27	3-5306									0	0	
10I	28	3-5307				100					100	1	
10I	29	3-5310				100					100	2	X
10M	1	3-5024				33	67				100	3	X
10M	2	3-5093				16	17	66			99	6	X
10M	3	3-5095				14	43	43			100	7	X
10M	4	3-5098				12	71	17			100	17	X
10M	5	3-5109				25	62	13			100	8	
10M	6	3-5037					86	14			100	7	
10M	7	3-5039				100					100	1	
10M	8	3-5320				100					100	3	X
10M	9	3-5321				100					100	4	X
10M	10	3-5322				100					100	3	X
10M	11	3-5324									0	0	X
10M	12	3-5326									0	0	X
10M	13	3-5329									0	0	X
10M	14	3-5330				100					100	1	X
10M	15	3-5331									0	0	X
10MM	1	3-5177						75	25		100	4	X
10MM	2	3-5178					40	60			100	5	X
10MM	3	3-5184				13	25	62			100	15	X
10NN	1	3-5040				16	25	58			99	12	
10NN	2	3-5043					25	75			100	4	
10NN	3	3-5045					33	66			99	3	
10NN	4	3-5049					100				100	2	
10NN	5	3-5253									0	0	
10NN	6	3-5255					100				100	2	
10NN	7	3-5258					100				100	2	
10NN	8	3-5265									0	0	
10NN	9	3-5273									0	0	
10NN	10	3-5367				100					100	1	

Unit.	Lot.	F.S.	LMF	LF	ETF	LTF	EC	LC	EPC	LPC	%	Diag.	Eroded
10NN	11	3-5371									0	0	
10NN	12	3-5373									0	0	
10NN	13	3-5378									0	0	
10NN	14	3-5381				100					100	1	X
10NN	15	3-5386				100					100	2	
10NN	16	3-5441				100					100	1	
10NN	17	3-5445				100					100	1	
10NN	18	3-5537									0	0	
10NN	19	3-5589									0	0	
10NN	20	3-5591									0	0	X
10NN	21	3-5592									0	0	X
10NN	22	3-5596									0	0	
10NN	23	3-5597									0	0	X
10NN	25	3-5598									0	0	
10NN	26	3-5601									0	0	
10NN	27	3-5602				100					100	3	
10NN	28	3-5604				100					100	1	
10NN	29	3-5605									0	0	
10NN	30	3-5608									0	0	
10NN	31	3-5609				100					100	3	
10NN	32	3-5619									0	0	X
10OO	1	3-5151					16	84			100	6	
10OO	2	3-5156						100			100	5	
10OO	3	3-5157				16	32	52			100	6	
10OO	4	3-5159				30	10	60			100	10	
10OO	5	3-5164				100					100	2	X
10OO	6	3-5165						100			100	1	
10OO	7	3-5170						100			100	1	
10OO	8	3-5172									0	0	
10OO	9	3-5174									0	0	
10OO	10	3-5285						100			100	3	
10OO	11	3-5286									0	0	
10Z	1	3-5325					40	60			100	10	X
10Z	2	3-5328				23	30	47			100	30	X
11AA	1	3-5298					40	60			100	5	
11AA	2	3-5300					25	75			100	8	
11AA	3	3-5304					44	56			100	30	X
11AA	4	3-5311					55	45			100	11	X
11AA	5	3-5316				16	16	68			100	6	X
11E	1	3-5129						100			100	4	

Unit.	Lot.	F.S.	LMF	LF	ETF	LTF	EC	LC	EPC	LPC	%	Diag.	Eroded
11E	2	3-5130				100					100	1	
11E	3	3-5131				40		60			100	5	X
11E	4	3-5135				66	33				99	3	X
11E	5	3-5139				100					100	2	
11E	6	3-5141									0	0	
11E	7	3-5143				93	7				100	14	
11E	8	3-5200				100					100	7	
11E	9	3-5202			33	66					99	3	
11E	10	3-5205				100					100	7	
11E	11	3-5712				100					100	6	
11E	12	3-5722				100					100	5	
11E	LOOT	3-5785				66		33			99	3	
11F	1	3-5603				6	27	67			100	15	X
11F	2	3-5630				10	50	40			100	10	X
11Z	1	3-5319					50	50			100	6	X
11Z	2	3-5323					27	73			100	11	X
12D	1	3-5588				33	50	17			100	6	
12D	2	3-5590				84	16				100	6	
12D	3	3-5595				40	60				100	5	X
12D	4	3-5600				33	33	33			99	6	
12D	5	3-5616				100					100	1	X
12D	6	3-13000									0	0	X
12D	6	3-13004				100					100	2	X
12D	6	3-5618				60	40				100	5	
12D	7	3-5623									0	0	
12D	8	3-5624									0	0	X
12D	9	3-5625									0	0	X
12D	10	3-5628									0	0	X
12D	11	3-5703				86	14				100	7	X
12D	12	3-5718			100						100	1	X
12E	1	3-5216						100			100	5	
12E	2	3-5217						100			100	4	
12E	3	3-5219				100					100	5	X
12E	4	3-5230				90	10				100	9	
12E	5	3-5231				80		20			100	10	
12E	6	3-5242							100		100	1	X
12E	7	3-5244				100					100	4	
12E	8	3-5297				100					100	1	X
12E	9	3-5688				100					100	1	X
12E	10	3-5717									0	0	X

Unit.	Lot.	F.S.	LMF	LF	ETF	LTF	EC	LC	EPC	LPC	%	Diag.	Eroded
12E	11	3-5719				100					100	2	
12E	12	3-5720				100					100	2	X
12E	13	3-5726				100					100	2	
12E	14	3-5727				100					100	4	
12E	15	3-5728				100					100	6	
12E	16	3-5732									0	0	
12E	17	3-5733				100					100	1	X
12NN	1	3-5621			100						100	1	X
12NN	2	3-5622				50		50			100	2	
12NN	3	3-5627				25	75				100	4	X
12NN	4	3-5689				100					100	1	X
12NN	5	3-5690									0	0	
12NN	6	3-5691									0	0	X
12NN	7	3-5700				100					100	1	X
12NN	8	3-5701									0	0	X
12NN	9	3-5705				100					100	6	
12NN	10	3-5676			100						100	1	
12NN	11	3-5679				100					100	2	
12NN	12	3-5680				100					100	2	X
12NN	13	3-5684			100						100	1	
12NN	14	3-5737				100					100	1	
12NN	15	3-5739				100					100	2	
13D	1	3-5507					16	84			100	6	X
13D	2	3-5509				50		50			100	2	
13D	3	3-5514				20	80				100	5	X
13D	4	3-5518				50	50				100	4	X
13D	5	3-5523									0	0	X
13D	6	3-5524				10	90				100	10	X
13D	7	3-5530				100					100	2	
13D	8	3-5531									0	0	
13D	9	3-5533				100					100	4	
13D	10	3-5534				100					100	2	X
16E	1	3-5428						100			100	1	
16E	2	3-5429				25	50	25			100	8	X
16E	3	3-5430				100					100	2	
16E	4	3-5490				100					100	13	X
16E	5	3-5492				100					100	6	X
16E	6	3-5498				100					100	9	
16E	7	3-5500				100					100	9	X
16E	8	3-5503				100					100	5	X

Unit.	Lot.	F.S.	LMF	LF	ETF	LTF	EC	LC	EPC	LPC	%	Diag.	Eroded
16E	9	3-5504				100					100	4	
16E	10	3-5505				100					100	4	X
16E	11	3-5506				100					100	4	X
20E	1	3-5338									0	0	X
20E	2	3-5340				40	60				100	5	X
20E	3	3-5394				90	10				100	10	X
20E	4	3-5397				100					100	12	
20E	5	3-5399				100					100	6	
20E	6	3-5401				100					100	11	
20E	7	3-5405									0	0	
20E	8	3-5406			6	94					100	29	
20E	9	3-5412				100					100	4	
20E	10	3-5413				100					100	15	
20E	11	3-5418				100					100	22	
20E	12	3-5425					28	72			100	7	
20E	12	3-5425					28	72			100	7	
20O	1	3-5655				9	49	42			100	33	X
20O	2	3-5657					100				100	6	X
20O	3	3-5665									0	0	
20O	4	4-5666				100					100	3	
20O	5	3-5671				100					100	1	X
20O	6	3-5672				100					100	1	
20O	7	3-5675				100					100	2	X
20O	8	3-5677									0	0	
20O	9	3-5685				100					100	2	X
20O	10	3-5736				100					100	1	
20O	11	3-5748				100					100	4	
20O	12	3-5751				100					100	3	
20O	13	3-5754				100					100	2	X
20O	14	3-5755				100					100	2	
20O	16	3-5765									0	0	
3FF	1	3-5549									0	0	
3FF	2	3-5553									0	0	X
3FF	3	3-5557						100			100	11	X
3FF	4	3-5559									0	0	X
3FF	5	3-5563				100					100	1	
3FF	6	3-5567									0	0	
3FF	7	3-5569									0	0	
3FF	8	3-5640					50	50			100	2	X
3FF	9	3-5645									0	0	

Unit.	Lot.	F.S.	LMF	LF	ETF	LTF	EC	LC	EPC	LPC	%	Diag.	Eroded
3JJ	1	3-5548						100			100	2	
3JJ	2	3-5551						100			100	8	
3JJ	3	3-5554				10	10	80			100	10	
3JJ	4	3-5555					33	66			99	6	
3JJ	5	3-5558				66		33			99	3	
3JJ	6	3-5560					100				100	1	
3JJ	7	3-5562									0	0	
3JJ	8	3-5565									0	0	
3JJ	9	3-5571									0	0	
3JJ	10	3-5574									0	0	
3JJ	11	3-5577				100					100	3	X
3JJ	12	3-5582									0	0	
3JJ	13	3-5583				100					100	1	
3JJ	14	3-5584				100					100	2	
3JJ	16	3-5643				100					100	1	
3JJ	17	3-5647			100						100	1	
3JJ	18	3-5650									0	0	
3JJ	19	3-5651									0	0	
3JJ	20	3-5653									0	0	X
3JJ	22	3-5660				100					100	2	X
3JJ	23	3-5664									0	0	X
3JJ	24	3-5667				100					100	2	X
3JJ	25	3-5670									0	0	X
3JJ	NP	3-5779				100					100	4	X
3MM	1	3-5106				14	14	72			100	7	
3MM	2	3-5107									0	0	
3MM	3	3-5114				20	80				100	5	X
3MM	4	3-5118				60		40			100	7	
3NN	1	3-5124				20	40	40			100	5	
3NN	2	3-5044			10		25	25	40		100	12	X
3NN	3	3-5048			13	13	37	37			100	8	
3NN	4	3-5149					100				100	1	
3NN	5	3-5153									0	0	
3NN	6	3-5155				33	33	33			99	3	X
3NN	7	3-5158									0	0	
3NN	8	3-5162									0	0	
3NN	9	3-5167									0	0	X
3NN	10	3-5169				80		20			100	5	X
3NN	11	3-5176				100					100	2	
3NN	12	3-5179									0	0	

Unit.	Lot.	F.S.	LMF	LF	ETF	LTF	EC	LC	EPC	LPC	%	Diag.	Eroded
3NN	13	3-5181				100					100	1	
3NN	14	3-5182				100					100	1	X
3NN	15	3-5186									0	0	
3NN	16	3-5189				100					100	3	
3NN	17	3-5190				100					100	6	
3NN	18	3-5246									0	0	
3NN	19	3-5249									0	0	
3NN	20	3-5637				100					100	1	
3NN	21	3-5606									0	0	
3NN	22	3-5607									0	0	X
3NN	24	3-5750									0	0	
3NN	26	3-5753									0	0	
3NN	27	3-5758			25	50	25				100	4	
3NN	28	3-5761									0	0	
3RR	1	3-5361					100				100	2	X
3RR	2	3-5362					75		25		100	4	X
3RR	3	3-5364			7		86		7		100	15	X
3RR	4	3-5369				10	90				100	10	X
3RR	5	3-5372				8	84	8			100	12	X
3RR	6	3-5375					100				100	6	X
3RR	7	3-5380				33	50		17		100	6	X
3RR	8	3-5384				29	71				100	14	X
3RR	9	3-5391									0	0	X
3RR	10	3-5443				100					100	2	
3RR	11	3-5447				100					100	3	
3RR	12	3-5448				100					100	5	X
3RR	13	3-5452				100					100	3	X
3RR	14	3-5457				100					100	3	
3VV	1	3-5262					20	80			100	5	
3VV	2	3-5263					50	50			100	2	
3VV	3	3-5264					100				100	3	
3VV	4	3-5267				14	86				100	7	
3VV	5	3-5270				5	95				100	19	X
3VV	6	3-5274				14	86				100	7	X
3VV	7	3-5278				95	5				100	20	X
3VV	8	3-5281				100					100	3	
3VV	9	3-5282				100					100	1	
3VV	10	3-5289				100					100	6	
3VV	11	3-5351				100					100	11	X
3VV	12	3-5354				80	20				100	5	

Unit.	Lot.	F.S.	LMF	LF	ETF	LTF	EC	LC	EPC	LPC	%	Diag.	Eroded
3VV	13	3-5356				100					100	19	X
3VV	14	3-5358				100					100	9	
3VV	15	3-5359				100					100	8	X
6NN	1	3-5293				50	50				100	2	X
6NN	2	3-5392									0	0	X
6NN	3	3-5343				14	86				100	7	X
6NN	4	3-5345					90		10		100	10	X
6NN	5	3-5346				50	50				100	4	X
6NN	6	3-5347									0	0	
6NN	7	3-5348				12	88				100	8	X
6NN	8	3-5349									0	0	X
6NN	9	3-5449				100					100	1	
6NN	10	3-5455									0	0	
6NN	11	3-5458						100			100	2	
6NN	12	3-5460				100					100	1	X
6NN	14	3-5468				100					100	4	
6NN	15	3-5472				100					100	4	
6NN	16	3-5474				100					100	1	
6NN	17	3-5479									0	0	
6NN	18	3-5480				66	33				99	3	
6NN	19	3-5483				100					100	1	X
6NN	20	3-5486				100					100	5	
6NN	21	3-5539				100					100	1	X
6NN	22	3-5543				100					100	2	
6RR	1	3-5656					14	86			100	7	X
6RR	2	3-5681			25	50	25				100	4	X
6RR	3	3-5740				100					100	6	X
6RR	4	3-5743				100					100	1	
6RR	5	3-5744				100					100	3	
6RR	6	3-5757				100					100	2	X
6RR	7	4-5759			10	90					100	10	X
6RR	8	3-5767				100					100	2	
9AA	7	3-5495				57	43				100	14	X
9AA	10	3-5512			11	89					100	9	
9AA	11	3-5515				100					100	7	
9AA	1	3-5393					50	50			100	6	X
9AA	2	3-5395				10		90			100	10	X
9AA	3	3-5403				28		72			100	7	X
9AA	4	3-5437					100				100	3	X
9AA	5	3-5491				33	66				99	6	X

Unit.	Lot.	F.S.	LMF	LF	ETF	LTF	EC	LC	EPC	LPC	%	Diag.	Eroded
9AA	6	3-5494				14	69	17			100	35	X
9AA	8	3-5502									0	0	X
9AA	9	3-5508				100					100	2	
9AA	12	3-5517				100					100	1	
MU1	1	3-5193				25	75				100	4	X
MU1	3	3-13017				100					100	2	X
MU1	3	3-5247					100				100	1	X
MU2	1	3-5313			8	92					100	8	X
MU2	2	3-5317				100					100	2	
											0		
MU3	1	3-5276									0	0	
											0		
MU3	2	3-13024									0	0	X
											0		
MU4	1	3-5408				100					100	3	
MU4	1	3-13006				25	25	50			100	8	
MU4	1	3-5435				20	40	40			100	5	
MU4	1	3-5436					53	47			100	17	
MU4	1	3-5438						100			100	1	
MU5	1	3-5419						100			100	1	X

Cerámica de la Operación B

Unit.	Lot.	F.S.	LMF	LF	ETF	LTF	EC	LC	EPC	LPC	%	Diag.	Eroded
5NN	1	3-5462			4	92		4			100	24	
5NN	2	3-5464					50	50			100	2	X
5NN	3	3-5465					50	50			100	4	X
5NN	4	3-5467					97	3			100	33	X
5NN	5	3-5471					100				100	3	X
5NN	6	3-5473									0	0	X
5NN	7	3-5476					100				100	1	
5NN	8	3-5482									0	0	X
5NN	9	3-5484				100					100	1	
5NN	11	3-5488				100					100	1	X
5NN	12	3-5489									0	0	
5NN	13	3-5540									0	0	X
5NN	15	3-5542				100					100	2	
5NN	16	3-5545									0	0	
5NN	17	3-5546									0	0	
5NN	SP	3-5776									0	0	

Cerámica de la Operación C

Unit.	Lot.	F.S.	LMF	LF	ETF	LTF	EC	LC	EPC	LPC	%	Diag.	Eroded
50K	1	3-5522				50	50				100	2	X
50K	2	3-5527						100			100	1	X
50K	3	3-5529									0	0	
49K	1	3-5532						100			100	2	
49K	2	3-5535					100				100	1	
49K	3	3-5576					100				100	2	
49K	4	3-5538									0	0	

CAPÍTULO 12-Vasijas Enteras del PRV13

Patrick Carroll

12.1 Introducción

Las excavaciones del Proyecto Rio Verde 2013 descubrieron 339 vasijas de cerámica completas o casi completas. A mayoría de los hallazgos salieron de los entierros en Loma Don Genaro pertenciendo a la transición entre la época Clasica temprana y Clasica tardía (n= 78; ver Capitulos 8, 10) y a una serie de ofrendas en Cerro de la Virgen pertenecientes a la época Formativa terminal (n=248, ver Capitulo 7). El pequeño numbero de vasijas de Rio Viejo (n=13) eran ofrendas del Clasico tardío y entierros en la acropolis. Habia una gran gama de formas de vasija, tipo de pasta, y tamaños en la muestra del PRV 13, incluyendo: vasijas grandes y cilíndricas tipo café grueso de la fase Chacahua (por ejemplo FS#3-8167); platos cónicos tipo gris con pequeños spoprtes tetrapoides pertenciendo a la fase Coyuche (por ejemplo FS#3-12216); y platos óonicos diferentamente cocidos con pequeños soportes tetrapoides caracteristicos de la fase Yugüe (FS#3-1396) de una ofrenda de la época Posclásica temprano en Rio Viejo; y un jarro tripoide incisio tipo gris perteneciente a la fase Yuta Tiyoo (FS#3-1303).

La tabla abajo y en las próximas páginas provee imágenes e información acerca del contexto para las vasijas completas o parciales encontradas durante el PRV13.

Table 12.1: Vasjias Entras de Proyeto Rio Verde 2013									
Número de Control	**Operación**	**Unidad**	**Lote**	**Número de Vasija**	**Fase Cerámica**	**Periodo**	**Contexto**	**Imagen**	**Sitio Arqueológico**
3-12027	A	10NN	3	--	Coyuche	Clásico temprano	--		Loma don Genaro
3-12028	A	10NN	3	--	Coyuche	Clásico temprano	--		Loma don Genaro
3-12036	A	3NN	13	--	Chacahua	Formativo terminal tardío	--		Loma don Genaro
3-12203	A	12E	B15	4	Yuta Tiyoo	Clásico tardío	Ofrenda de entierro 15		Loma don Genaro

3-12204	A	12E	B15	5	Coyuche	Clásico temprano	Ofrenda de entierro 15		Loma don Genaro
3-12205	A	12E	B15	17	Yuta Tiyoo	Clásico tardío	Ofrenda de entierro 15		Loma don Genaro
3-12206	A	12E	B15	18	Yuta Tiyoo	Clásico tardío	Ofrenda de entierro 15		Loma don Genaro
3-12207	A	12E	B15	12	Coyuche	Clásico temprano	Ofrenda de entierro 15		Loma don Genaro
3-12208	A	12E	B15	12A	Yuta Tiyoo	Clásico tardío	Ofrenda de entierro 15		Loma don Genaro

3-12209	A	12E	B15	14	Sin fecha	Clásico	Ofrenda de entierro 15		Loma don Genaro
3-12210	A	12E	B15	16	Transición Coyuche - Yuta Tiyoo	Transición Clásico temprano-Clásico tardío	Ofrenda de entierro 15		Loma don Genaro
3-12211	A	12E	B15	8	Yuta Tiyoo	Clásico tardío	Ofrenda de entierro 15		Loma don Genaro
3-12212	A	12E	B15	6	Yuta Tiyoo	Clásico tardío	Ofrenda de entierro 15		Loma don Genaro
3-12213	A	12E	B15	15	Yuta Tiyoo	Clásico tardío	Ofrenda de entierro 15		Loma don Genaro

3-12214	A	12E	B15	3	Yuta Tiyoo	Clásico tardío	Ofrenda de entierro 15		Loma don Genaro
3-12215	A	12E	B15	7	Yuta Tiyoo	Clásico tardío	Ofrenda de entierro 15		Loma don Genaro
3-12216	A	12E	B15	2	Coyuche	Clásico temprano	Ofrenda de entierro 15		Loma don Genaro
3-12218	A	12E	B15	1	Yuta Tiyoo	Clásico tardío	Ofrenda de entierro 15		Loma don Genaro

3-12219	A	12E	B15	--	Coyuche	Clásico temprano	Ofrenda de entierro 15		Loma don Genaro
3-12220	A	12E	B15	--	Yuta Tiyoo	Clásico tardío	Ofrenda de entierro 15		Loma don Genaro
3-12221	A	12E	B15	--	Yuta Tiyoo	Clásico tardío	Ofrenda de entierro 15		Loma don Genaro
3-12222	A	12D	B13	--	Yuta Tiyoo	Clásico tardío	Ofrenda de entierro 13		Loma don Genaro
3-12223	A	12E	B15		Yuta Tiyoo	Clásico tardío	Ofrenda de entierro 15		Loma don Genaro

3-12224	A	12E	B15	--	Coyuche	Clásico temprano	Ofrenda de entierro 15		Loma don Genaro
3-12225	A	12E	B15	--	Coyuche	Clásico temprano	Ofrenda de entierro 15		Loma don Genaro
3-12227	A	10E	B1	--	Yuta Tiyoo	Clásico tardío	Ofrenda de entierro 1		Loma don Genaro
3-12228	A	11E	LOOTED	--	Yuta Tiyoo	Clásico tardío	N/A		Loma don Genaro
3-12229	A	12E	B15	--	Transición Coyuche - Yuta Tiyoo	Transición Clásico temprano- Clásico tardío	Ofrenda de entierro 15		Loma don Genaro

3-12230	A	12E	B15	--	Transición Coyuche - Yuta Tiyoo	Transición Clásico temprano-Clásico tardío	Ofrenda de entierro 15		Loma don Genaro
3-12231	A	12E	B15	--	Transición Coyuche - Yuta Tiyoo	Transición Clásico temprano-Clásico tardío	Ofrenda de entierro 15		Loma don Genaro
3-12232	A	12D	B13	--	Coyuche	Clásico temprano	Ofrenda de entierro 13		Loma don Genaro
3-12233	A	12E	B15	--	Transición Coyuche - Yuta Tiyoo	Transición Clásico temprano-Clásico tardío	Ofrenda de entierro 15		Loma don Genaro
3-12234	A	12E	B15	--	Yuta Tiyoo	Clásico tardío	Ofrenda de entierro 15		Loma don Genaro

3-12235	A	10E	B1	--	Coyuche	Clásico temprano	Ofrenda de entierro 1		Loma don Genaro
3-12236	A	10E	B1	--	Yuta Tiyoo	Clásico tardío	Ofrenda de entierro 1		Loma don Genaro
3-12237	A	10E	B1	--	Coyuche	Clásico temprano	Ofrenda de entierro 1		Loma don Genaro
3-13032	A	10E	13,14	1	Coyuche	Clásico temprano	--		Loma don Genaro
3-5026	A	10A	13	1	Coyuche	Clásico temprano	--		Loma don Genaro

3-5026	A	10A	13	4	Transición Coyuche - Yuta Tiyoo	Transición Clásico temprano-Clásico tardío	--		Loma don Genaro
3-5026	A	10A	13	3	Yuta Tiyoo	Clásico tardío	--		Loma don Genaro
3-5026	A	10A	13	2	Yuta Tiyoo	Clásico tardío	--		Loma don Genaro
3-5026	A	10A	13	6	Yuta Tiyoo	Clásico tardío	--		Loma don Genaro
3-5026	A	10A	13	5	Transición Coyuche - Yuta Tiyoo	Transición Clásico temprano-Clásico tardío	--		Loma don Genaro

3-5086	A	10E	13	--	Transición Coyuche - Yuta Tiyoo	Transición Clásico temprano-Clásico tardío	--		Loma don Genaro
3-5125	A	10A	14	1	Yuta Tiyoo	Clásico tardío	--		Loma don Genaro
3-5125	A	10A	14	7	Coyuche	Clásico temprano	--		Loma don Genaro
3-5125	A	10A	14	6	Yuta Tiyoo	Clásico tardío	--		Loma don Genaro
3-5125	A	10A	14	4	Yuta Tiyoo	Clásico tardío	--		Loma don Genaro

3-5125	A	10A	14	9	Yuta Tiyoo	Clásico tardío	--		Loma don Genaro
3-5125	A	10A	14	3	Yuta Tiyoo	Clásico tardío	--		Loma don Genaro
3-5125	A	10A	14	2	Yuta Tiyoo	Clásico tardío	--		Loma don Genaro
3-5125	A	10A	14	5	Yuta Tiyoo	Clásico tardío	--		Loma don Genaro
3-5125	A	10A	14	8	Yuta Tiyoo	Clásico tardío	--		Loma don Genaro

3-5125	A	10A	14	5A	Yuta Tiyoo	Clásico tardío	--		Loma don Genaro
3-5154	A	3NN	6	2	Sin fecha	--	--		Loma don Genaro
3-5154	A	3NN	6	1	Chacahua	Formativo terminal tardío	--		Loma don Genaro
3-5168	A	10OO	6	2	Yuta Tiyoo	Clásico tardío	--		Loma don Genaro
3-5183	A	3NN	14	2	Chacahua	Formativo terminal tardío	--		Loma don Genaro

3-5185	A	10MM	3	3	--	--	--		Loma don Genaro
3-5185	A	10MM	3	1	Yuta Tiyoo	Clásico tardío	--		Loma don Genaro
3-5185	A	10MM	3	2	Coyuche	Clásico temprano	--		Loma don Genaro
3-5431	A	MU4	1	--	Yuta Tiyoo	Clásico tardío	--		Loma don Genaro
3-5432	A	MU4	1	--	Coyuche	Clásico temprano	--		Loma don Genaro

3-5613	A	3NN	22	--	Chacahua	Formativo terminal tardío	--		Loma don Genaro
3-5638	A	3NN	30	--	Chacahua	Formativo terminal tardío	--		Loma don Genaro
3-5642	A	3FF	8	--	Chacahua	Formativo terminal tardío	--		Loma don Genaro

3-5662	A	3JJ	22	--	Sin fecha	--	--		Loma don Genaro
3-5697	A	12D	6	--	Chacahua	Formativo terminal tardío	--		Loma don Genaro
3-5699	A	12D	6	1	Coyuche	Clásico temprano	Ofrenda de entierro 7		Loma don Genaro
3-5711	A	12E	10	--	Coyuche	Clásico temprano	--		Loma don Genaro
3-5713	A	12E	10	--	Coyuche	Clásico temprano	--		Loma don Genaro

3-5716	A	12E	10	--	Coyuche	Clásico temprano	--		Loma don Genaro
3-5747	A	3NN	23	3	Sin fecha	--	--		Loma don Genaro
3-5747	A	3NN	23	4	Chacahua	Formativo terminal tardío	--		Loma don Genaro
3-5747	A	3NN	23	2	Sin fecha	--	--		Loma don Genaro

3-5769	A	3NN	26	--	Chacahua	Formativo terminal tardío	--		Loma don Genaro
3-5699	A	12D	6	1A	Yuta Tiyoo	Clásico tardío	Ofrenda de entierro 7		Loma don Genaro
3-5715	A	12E	10	--	Coyuche	Clásico temprano	--		Loma don Genaro
3-1161	A	MU2	4	--	Yuta Tiyoo	Clásico tardío	--		Rio Viejo

3-13005	A	2X	4,5	--	Yuta Tiyoo	Clásico tardío	Ofrenda de entierro 106		Rio Viejo
3-1303	E	MU5	5	--	Yuta Tiyoo	Clásico tardío	--		Rio Viejo
3-1315	E	MU5	8	--	Sin fecha	--	--		Rio Viejo
3-1396	F	43D	4	--	Yugue	Posclassico temprano	--		Rio Viejo
3-1397	F	43D	4	--	Yuta Tiyoo	Clásico tardío	--		Rio Viejo

3-1644	A	4G	3	--	Yuta Tiyoo	Clásico tardío	--		Rio Viejo
3-1645	A	4G	3	--	Yuta Tiyoo	Clásico tardío	--		Rio Viejo
3-1646	A	4G	3	--	Yuta Tiyoo	Clásico tardío	--		Rio Viejo
3-1647	A	4G	3	--	Yuta Tiyoo	Clásico tardío	--		Rio Viejo
3-403	A	2X	6	--	Yuta Tiyoo	Clásico tardío	--		Rio Viejo

3-404	A	2X	6	--	Yuta Tiyoo	Clásico tardío	ofrenda de entierro		Rio Viejo
3-975	A	4F	10	--	Yuta Tiyoo	Clásico tardío	--		Rio Viejo
8156	A	12M	3	1	Sin fecha	--	Ofrenda de Op. A		Cerro de la Virgen
8249	A	12M	3	4	Sin fecha	--	Ofrenda de Op. A		Cerro de la Virgen

8167	A	11M	2	6	Sin fecha	--	Ofrenda de Op. A		Cerro de la Virgen
8168	A	11M	2	7	Sin fecha	--	Ofrenda de Op. A		Cerro de la Virgen

8198	A	10M	2	8	Sin fecha	--	Ofrenda de Op. A		Cerro de la Virgen
8169	A	12N	2	10	Sin fecha	--	Ofrenda de Op. A		Cerro de la Virgen

8194	A	12Ñ	2	13	Sin fecha	--	Ofrenda de Op. A		Cerro de la Virgen
8188	A	13Ñ	2	15	Sin fecha	--	Ofrenda de Op. A		Cerro de la Virgen
8189	A	13Ñ	2	16	Sin fecha	--	Ofrenda de Op. A		Cerro de la Virgen

8190	A	13Ñ	2	17	Sin fecha	--	Ofrenda de Op. A		Cerro de la Virgen
8191	A	13Ñ	2	18	Chacahua	Formativo terminal tardío	Ofrenda de Op. A		Cerro de la Virgen
8199	A	10M	2	19	Sin fecha	--	Ofrenda de Op. A		Cerro de la Virgen

8270	A	9M	2	23	Sin fecha	--	Ofrenda de Op. A		Cerro de la Virgen
8268	A	9M	2	24	Sin fecha	--	Ofrenda de Op. A		Cerro de la Virgen

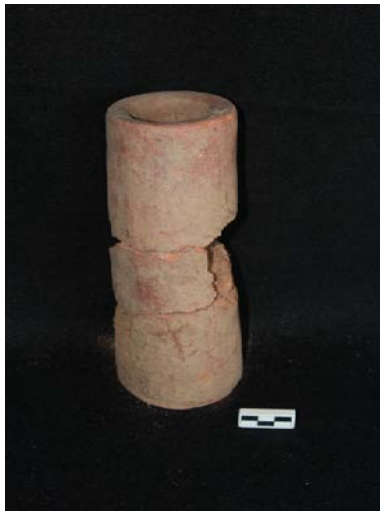
8269	A	9M	2	25	Sin fecha	--	Ofrenda de Op. A		Cerro de la Virgen
8241	A	13M	2	26	Sin fecha	--	Ofrenda de Op. A		Cerro de la Virgen
8242	A	13M	2	27	Sin fecha	--	Ofrenda de Op. A		Cerro de la Virgen

8605	A	13M	3	28	Sin fecha	--	Ofrenda de Op. A		Cerro de la Virgen
8244	A	13M	2	29	Sin fecha	--	Ofrenda de Op. A		Cerro de la Virgen

8245	A	13M	2	30	Sin fecha	--	Ofrenda de Op. A		Cerro de la Virgen
8606	A	13M	3	31	Sin fecha	--	Ofrenda de Op. A		Cerro de la Virgen

8248	A	13M	2	32	Sin fecha	--	Ofrenda de Op. A		Cerro de la Virgen
8607	A	13M	3	33	Sin fecha	--	Ofrenda de Op. A		Cerro de la Virgen

8272	A	12L	2	34	Sin fecha	--	Ofrenda de Op. A		Cerro de la Virgen
8293	A	12L	2	36	Sin fecha	--	Ofrenda de Op. A		Cerro de la Virgen

8632	A	14M	2	39	Sin fecha	--	Ofrenda de Op. A		Cerro de la Virgen
8690	A	14M	4	41	Sin fecha	--	Ofrenda de Op. A		Cerro de la Virgen
8287	A	13N	2	43	Sin fecha	--	Ofrenda de Op. A		Cerro de la Virgen

8288	A	13N	2	44	Sin fecha	--	Ofrenda de Op. A		Cerro de la Virgen
8289	A	13N	2	45	Sin fecha	--	Ofrenda de Op. A		Cerro de la Virgen
8290	A	13N	2	46	Sin fecha	--	Ofrenda de Op. A		Cerro de la Virgen

8697	A	15M	4	47	Transición Miniyua - Chacahua	Transición Formativo terminal temprano - Formativo terminal tardío	Ofrenda de Op. A		Cerro de la Virgen
8591	A	15M	2	48	Sin fecha	--	Ofrenda de Op. A		Cerro de la Virgen

8630	A	15M	3	49	Sin fecha	--	Ofrenda de Op. A		Cerro de la Virgen
8294	A	12K	2	51	Sin fecha	--	Ofrenda de Op. A		Cerro de la Virgen

8637	A	12K	2	52	Sin fecha	--	Ofrenda de Op. A		Cerro de la Virgen
8296	A	12K	2	54	Sin fecha	--	Ofrenda de Op. A		Cerro de la Virgen

8501	A	16M	3	55	Sin fecha	--	Ofrenda de Op. A		Cerro de la Virgen
8502	A	16M	3	56	Sin fecha	--	Ofrenda de Op. A		Cerro de la Virgen

8636	A	16M	3	57	Sin fecha	--	Ofrenda de Op. A		Cerro de la Virgen
8592	A	15M	2	59	Sin fecha	--	Ofrenda de Op. A		Cerro de la Virgen

8593	A	15M	2	60	Sin fecha	--	Ofrenda de Op. A		Cerro de la Virgen
8626	A	15M	3	61	Sin fecha	--	Ofrenda de Op. A		Cerro de la Virgen

8791	A	11N	3	62	Sin fecha	--	Ofrenda de Op. A		Cerro de la Virgen
8522	A	13O	1	63	Miniyua	Formative terminal temprano	Ofrenda de Op. A		Cerro de la Virgen

8523	A	13O	1	64	Sin fecha	--	Ofrenda de Op. A		Cerro de la Virgen
8493	A	13P	1	65	Sin fecha	--	Ofrenda de Op. A		Cerro de la Virgen

8494	A	13P	1	66	Sin fecha	--	Ofrenda de Op. A		Cerro de la Virgen
8594	A	15M	2	70	Sin fecha	--	Ofrenda de Op. A		Cerro de la Virgen

8503	A	16M	3	72	Sin fecha	--	Ofrenda de Op. A		Cerro de la Virgen
8507	A	13L	2	73	Sin fecha	--	Ofrenda de Op. A		Cerro de la Virgen

8508	A	13L	2	74	Sin fecha	--	Ofrenda de Op. A		Cerro de la Virgen
8509	A	13L	2	75	Sin fecha	--	Ofrenda de Op. A		Cerro de la Virgen

8510	A	13L	2	76	Sin fecha	--	Ofrenda de Op. A		Cerro de la Virgen
8511	A	13L	2	77	Sin fecha	--	Ofrenda de Op. A		Cerro de la Virgen

8512	A	13L	2	78	Sin fecha	--	Ofrenda de Op. A		Cerro de la Virgen
8514	A	13L	2	80	Sin fecha	--	Ofrenda de Op. A		Cerro de la Virgen

8516	A	16N	2	82	Sin fecha	--	Ofrenda de Op. A		Cerro de la Virgen
8517	A	16N	2	83	Sin fecha	--	Ofrenda de Op. A		Cerro de la Virgen
8518	A	14O	2	84	Sin fecha	--	Ofrenda de Op. A		Cerro de la Virgen

8519	A	14O	2	85	Sin fecha	--	Ofrenda de Op. A		Cerro de la Virgen
8520	A	14O	2	86	Sin fecha	--	Ofrenda de Op. A		Cerro de la Virgen

8521	A	14O	2	87	Sin fecha	--	Ofrenda de Op. A		Cerro de la Virgen
8604	A	13N	3	88	Sin fecha	--	Ofrenda de Op. A		Cerro de la Virgen

8603	A	13Ñ	3	89	Sin fecha	--	Ofrenda de Op. A		Cerro de la Virgen
8611	A	13Ñ	3	90	Miniyua	Formativo terminal temprano	Ofrenda de Op. A		Cerro de la Virgen
8621	A	16N	2	98	Sin fecha	--	Ofrenda de Op. A		Cerro de la Virgen

8622	A	16N	2	99	Sin fecha	--	Ofrenda de Op. A		Cerro de la Virgen
8608	A	13M	3	102	Sin fecha	--	Ofrenda de Op. A		Cerro de la Virgen

8624	A	14M	2	103	Sin fecha	--	Ofrenda de Op. A		Cerro de la Virgen
8629	A	12K	2	104	Sin fecha	--	Ofrenda de Op. A		Cerro de la Virgen

8634	A	17M	3	106	Chacahua	Formativo terminal tardío	Ofrenda de Op. A		Cerro de la Virgen
8695	A	15M	4	107	Chacahua	Formativo terminal tardío	Ofrenda de Op. A		Cerro de la Virgen

8638	A	10O	2	108	Sin fecha	--	Ofrenda de Op. A		Cerro de la Virgen
8798	A	10O	4	110	Sin fecha	--	Ofrenda de Op. A		Cerro de la Virgen

8694	A	14M	4	112	Sin fecha	--	Ofrenda de Op. A		Cerro de la Virgen
8710	A	11M	3	117	Sin fecha	--	Ofrenda de Op. A		Cerro de la Virgen

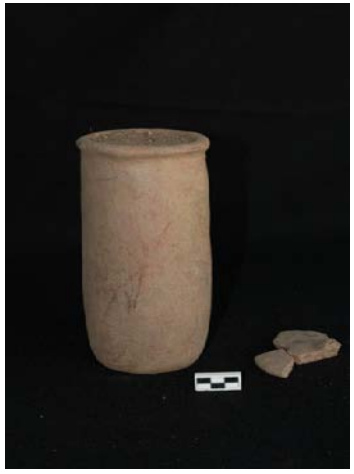
8717	A	12M	4	119	Sin fecha	--	Ofrenda de Op. A		Cerro de la Virgen
8718	A	12M	4	120	Sin fecha	--	Ofrenda de Op. A		Cerro de la Virgen

8719	A	12M	4	121	Sin fecha	--	Ofrenda de Op. A		Cerro de la Virgen
8720	A	12M	4	122	Sin fecha	--	Ofrenda de Op. A		Cerro de la Virgen
8723	A	12M	4	123	Sin fecha	--	Ofrenda de Op. A		Cerro de la Virgen

8724	A	12M	4	124	Sin fecha	--	Ofrenda de Op. A		Cerro de la Virgen
8730	A	13M	4	125	Sin fecha	--	Ofrenda de Op. A		Cerro de la Virgen
8732	A	13M	4	127	Sin fecha	--	Ofrenda de Op. A		Cerro de la Virgen

8733	A	13M	4	128	Sin fecha	--	Ofrenda de Op. A		Cerro de la Virgen
8734	A	13M	4	129	Sin fecha	--	Ofrenda de Op. A		Cerro de la Virgen

8735	A	13M	4	130	Sin fecha	--	Ofrenda de Op. A		Cerro de la Virgen
8738	A	9J	2	131	Sin fecha	--	Ofrenda de Op. A		Cerro de la Virgen
8667	A	9J	3	132	Sin fecha	--	Ofrenda de Op. A		Cerro de la Virgen

8666	A	9J	3	133	Sin fecha	--	Ofrenda de Op. A		Cerro de la Virgen
8792	A	11N	3	134	Sin fecha	--	Ofrenda de Op. A		Cerro de la Virgen

8793	A	11N	3	135	Sin fecha	--	Ofrenda de Op. A		Cerro de la Virgen
8794	A	11N	3	136	Sin fecha	--	Ofrenda de Op. A		Cerro de la Virgen

8797	A	11N	3	137	Sin fecha	--	Ofrenda de Op. A		Cerro de la Virgen
8799	A	13L	3	138	Sin fecha	--	Ofrenda de Op. A		Cerro de la Virgen

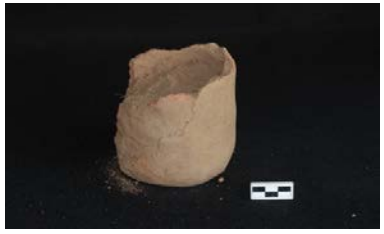
8800	A	13L	3	139	Sin fecha	--	Ofrenda de Op. A		Cerro de la Virgen
8813	A	10L	2	140	Sin fecha	--	Ofrenda de Op. A		Cerro de la Virgen

8816	A	11O	3	142	Sin fecha	--	Ofrenda de Op. A		Cerro de la Virgen
8744	A	10N	2	143	Sin fecha	--	Ofrenda de Op. A		Cerro de la Virgen

8746	A	10N	2	144	Sin fecha	--	Ofrenda de Op. A		Cerro de la Virgen
8747	A	10N	2	145	Sin fecha	--	Ofrenda de Op. A		Cerro de la Virgen

8748	A	10N	2	146	Sin fecha	--	Ofrenda de Op. A		Cerro de la Virgen
8818	A	10L	3	147	Sin fecha	--	Ofrenda de Op. A		Cerro de la Virgen

8819	A	10L	3	148	Sin fecha	--	Ofrenda de Op. A		Cerro de la Virgen
8761	A	10L	3	149	Sin fecha	--	Ofrenda de Op. A		Cerro de la Virgen

8769	A	9L	3	150	Miniyua	Formativo terminal temprano	Ofrenda de Op. A		Cerro de la Virgen
8763	A	9L	3	151	Miniyua	Formativo terminal temprano	Ofrenda de Op. A		Cerro de la Virgen
8762	A	9L	3	152	Miniyua	Formativo terminal temprano	Ofrenda de Op. A		Cerro de la Virgen
8764	A	9L	3	154	Sin fecha	--	Ofrenda de Op. A		Cerro de la Virgen

8766	A	9L	3	155	Sin fecha	--	Ofrenda de Op. A		Cerro de la Virgen
8824	A	14O	3	156	Sin fecha	--	Ofrenda de Op. A		Cerro de la Virgen

8831	A	12L	3	157	Sin fecha	--	Ofrenda de Op. A		Cerro de la Virgen
8832	A	12L	3	158	Sin fecha	--	Ofrenda de Op. A		Cerro de la Virgen
8765	A	9L	3	159	Chacahua	Formativo terminal tardío	Ofrenda de Op. A		Cerro de la Virgen
8768	A	9L	3	160	Miniyua	Formativo terminal temprano	Ofrenda de Op. A		Cerro de la Virgen
8833	A	14N	3	161	Sin fecha	--	Ofrenda de Op. A		Cerro de la Virgen

8834	A	14N	3	162	Sin fecha	--	Ofrenda de Op. A		Cerro de la Virgen
8942	A	12L	3	163	Sin fecha	--	Ofrenda de Op. A		Cerro de la Virgen

8774	A	10K	2	166	Sin fecha	--	Ofrenda de Op. A		Cerro de la Virgen
8785	A	10K	2	167	Sin fecha	--	Ofrenda de Op. A		Cerro de la Virgen

8778	A	10K	3	168	Sin fecha	--	Ofrenda de Op. A		Cerro de la Virgen
8779	A	10K	3	169	Sin fecha	--	Ofrenda de Op. A		Cerro de la Virgen
8780	A	10K	3	170	Sin fecha	--	Ofrenda de Op. A		Cerro de la Virgen

8841	A	14N	4	171	Transición Miniyua - Chacahua	Transición Formativo terminal temprano - Formativo terminal tardío	Ofrenda de Op. A		Cerro de la Virgen
8842	A	14N	4	173	Sin fecha	--	Ofrenda de Op. A		Cerro de la Virgen
8840	A	14N	4	174	Sin fecha	--	Ofrenda de Op. A		Cerro de la Virgen
8844	A	14N	4	175	Sin fecha	--	Ofrenda de Op. A		Cerro de la Virgen
8837	A	14N	4	176	Sin fecha	--	Ofrenda de Op. A		Cerro de la Virgen

8948	A	15Ñ	3	178	Sin fecha	--	Ofrenda de Op. A		Cerro de la Virgen
8949	A	15Ñ	3	179	Sin fecha	--	Ofrenda de Op. A		Cerro de la Virgen
8950	A	15Ñ	3	180	Sin fecha	--	Ofrenda de Op. A		Cerro de la Virgen

8951	A	15Ñ	3	181	Sin fecha	--	Ofrenda de Op. A		Cerro de la Virgen
8956	A	15Ñ	3	183	Sin fecha	--	Ofrenda de Op. A		Cerro de la Virgen
8957	A	15Ñ	3	184	Sin fecha	--	Ofrenda de Op. A		Cerro de la Virgen

8958	A	15Ñ	3	185	Sin fecha	--	Ofrenda de Op. A		Cerro de la Virgen
8959	A	15Ñ	3	186	Sin fecha	--	Ofrenda de Op. A		Cerro de la Virgen

8962	A	15Ñ	3	187	Sin fecha	--	Ofrenda de Op. A		Cerro de la Virgen
8963	A	15Ñ	3	188	Sin fecha	--	Ofrenda de Op. A		Cerro de la Virgen

8965	A	13K	2	190	Sin fecha	--	Ofrenda de Op. A		Cerro de la Virgen
8966	A	13K	2	191	Sin fecha	--	Ofrenda de Op. A		Cerro de la Virgen

8967	A	13K	2	192	Sin fecha	--	Ofrenda de Op. A		Cerro de la Virgen
8935	A	15N	2	194	Sin fecha	--	Ofrenda de Op. A		Cerro de la Virgen
8936	A	15N	2	195	Sin fecha	--	Ofrenda de Op. A		Cerro de la Virgen

8937	A	15N	4	196	Sin fecha	--	Ofrenda de Op. A		Cerro de la Virgen
8851	A	11Ñ	2	197	Sin fecha	--	Ofrenda de Op. A		Cerro de la Virgen

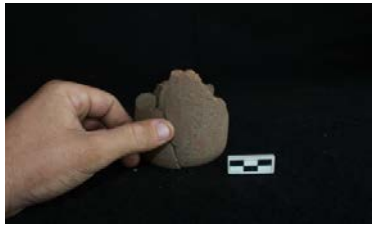
8850	A	11Ñ	2	198	Sin fecha	--	Ofrenda de Op. A		Cerro de la Virgen
8853	A	15N	4	199	Chacahua	Formativo terminal tardío	Ofrenda de Op. A		Cerro de la Virgen

8862	A	15N	4	200	Sin fecha	--	Ofrenda de Op. A		Cerro de la Virgen
8859	A	14Ñ	2	202	Sin fecha	--	Ofrenda de Op. A		Cerro de la Virgen
8860	A	14Ñ	2	203	Sin fecha	--	Ofrenda de Op. A		Cerro de la Virgen

8861	A	14Ñ	2	204	Sin fecha	--	Ofrenda de Op. A		Cerro de la Virgen
8872	A	14Ñ	2	206	Sin fecha	--	Ofrenda de Op. A		Cerro de la Virgen

8867	A	13K	3	208	Sin fecha	--	Ofrenda de Op. A		Cerro de la Virgen
8869	A	14Ñ	3	209	Sin fecha	--	Ofrenda de Op. A		Cerro de la Virgen

8870	A	14Ñ	3	210	Sin fecha	--	Ofrenda de Op. A		Cerro de la Virgen
8884	A	14L	2	213	Sin fecha	--	Ofrenda de Op. A		Cerro de la Virgen

8885	A	14L	2	214	Sin fecha	--	Ofrenda de Op. A		Cerro de la Virgen
8880	A	15L	4	215	Sin fecha	--	Ofrenda de Op. A		Cerro de la Virgen
8886	A	14L	2	216	Sin fecha	--	Ofrenda de Op. A		Cerro de la Virgen

8887	A	14L	2	217	Sin fecha	--	Ofrenda de Op. A		Cerro de la Virgen
8888	A	16N	1	218	Sin fecha	--	Ofrenda de Op. A		Cerro de la Virgen
9040	A	16Ñ	6	219	Sin fecha	--	Ofrenda de Op. A		Cerro de la Virgen

9042	A	14L	3	220	Sin fecha	--	Ofrenda de Op. A		Cerro de la Virgen
9049	A	15L	4	221	Sin fecha	--	Ofrenda de Op. A		Cerro de la Virgen

9050	A	15L	4	222	Sin fecha	--	Ofrenda de Op. A		Cerro de la Virgen
9054	A	16Ñ	2	223	Sin fecha	--	Ofrenda de Op. A		Cerro de la Virgen
9061	A	16Ñ	3	224	Sin fecha	--	Ofrenda de Op. A		Cerro de la Virgen

9062	A	16Ñ	3	225	Sin fecha	--	Ofrenda de Op. A		Cerro de la Virgen
9058	A	15O	1	226	Sin fecha	--	Ofrenda de Op. A		Cerro de la Virgen

9059	A	15O	1	227	Sin fecha	--	Ofrenda de Op. A		Cerro de la Virgen
9057	A	15O	1	228	Sin fecha	--	Ofrenda de Op. A		Cerro de la Virgen

9063	A	16Ñ	3	229	Sin fecha	--	Ofrenda de Op. A		Cerro de la Virgen
9064	A	16Ñ	3	230	Sin fecha	--	Ofrenda de Op. A		Cerro de la Virgen

9065	A	16Ñ	3	231	Sin fecha	--	Ofrenda de Op. A		Cerro de la Virgen
9066	A	16Ñ	3	232	Miniyua	Formativo terminal temprano	Ofrenda de Op. A		Cerro de la Virgen

9067	A	16Ñ	3	233	Sin fecha	--	Ofrenda de Op. A		Cerro de la Virgen
9072	A	15O	2	235	Sin fecha	--	Ofrenda de Op. A		Cerro de la Virgen

9081	A	14P	2	236	Sin fecha	--	Ofrenda de Op. A		Cerro de la Virgen
9082	A	14P	2	237	Sin fecha	--	Ofrenda de Op. A		Cerro de la Virgen

9083	A	14P	2	238	Sin fecha	--	Ofrenda de Op. A		Cerro de la Virgen
9075	A	15O	2	239	Sin fecha	--	Ofrenda de Op. A		Cerro de la Virgen
9076	A	16Ñ	3	240	Sin fecha	--	Ofrenda de Op. A		Cerro de la Virgen

9077	A	15O	2	241	Sin fecha	--	Ofrenda de Op. A		Cerro de la Virgen
9078	A	15O	2	242	Sin fecha	--	Ofrenda de Op. A		Cerro de la Virgen

9086	A	11L	2	243	Sin fecha	--	Ofrenda de Op. A		Cerro de la Virgen
9087	A	11L	2	244	Sin fecha	--	Ofrenda de Op. A		Cerro de la Virgen

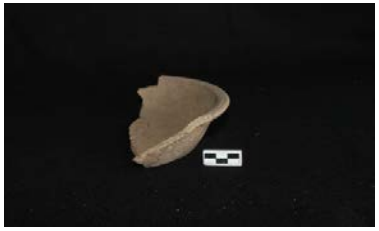
9088	A	11L	2	245	Sin fecha	--	Ofrenda de Op. A		Cerro de la Virgen
9139	A	11L	2	246	Sin fecha	--	Ofrenda de Op. A		Cerro de la Virgen

9145	A	11K	2	248	Sin fecha	--	Ofrenda de Op. A		Cerro de la Virgen
9146	A	11K	2	249	Sin fecha	--	Ofrenda de Op. A		Cerro de la Virgen

9147	A	11K	2	250	Sin fecha	--	Ofrenda de Op. A		Cerro de la Virgen
9148	A	11K	2	251	Sin fecha	--	Ofrenda de Op. A		Cerro de la Virgen

9152	A	11L	2	252	Sin fecha	--	Ofrenda de Op. A		Cerro de la Virgen
9154	A	14J	2	253	Sin fecha	--	Ofrenda de Op. A		Cerro de la Virgen

9156	A	9K	2	254	Sin fecha	--	Ofrenda de Op. A		Cerro de la Virgen
9157	A	9K	2	255	Sin fecha	--	Ofrenda de Op. A		Cerro de la Virgen

9158	A	14J	4	256	Sin fecha	--	Ofrenda de Op. A		Cerro de la Virgen
9171	A	9I	1	258	Sin fecha	--	Ofrenda de Op. A		Cerro de la Virgen
9182	A	14J	3	260	Chacahua	Formativo terminal tardío	Ofrenda de Op. A		Cerro de la Virgen
8304	D	15M	1	1	Sin fecha	--	Ofrenda de Est. 1 en Op. D		Cerro de la Virgen

8306	D	15M	1	2	Sin fecha	--	Ofrenda de Est. 1 en Op. D		Cerro de la Virgen
8316	D	15M	2	5	Sin fecha	--	Ofrenda de Est. 1 en Op. D		Cerro de la Virgen
8324	D	15M	4	6	Sin fecha	--	Ofrenda de Est. 1 en Op. D		Cerro de la Virgen

8334	D	15M	4	7	Sin fecha	--	Ofrenda de Est. 1 en Op. D		Cerro de la Virgen
8328	D	16L	1	10	Sin fecha	--	Ofrenda de Est. 1 en Op. D		Cerro de la Virgen
8542	D	15M	7	12	Sin fecha	--	Ofrenda de Est. 1 en Op. D		Cerro de la Virgen
8541	D	15M	7	13	Probable Miniyua	Formativo terminal temprano	Ofrenda de Est. 1 en Op. D		Cerro de la Virgen

8545	D	15M	7	15	Sin fecha	--	Ofrenda de Est. 1 en Op. D		Cerro de la Virgen
8546	D	15M	7	16	Sin fecha	--	Ofrenda de Est. 1 en Op. D		Cerro de la Virgen
8544	D	15M	7	17	Sin fecha	--	Ofrenda de Est. 1 en Op. D		Cerro de la Virgen
8447	D	15M	7	20	Sin fecha	--	Ofrenda de Est. 1 en Op. D		Cerro de la Virgen
8448	D	15M	7	21	Sin fecha	--	Ofrenda de Est. 1 en Op. D		Cerro de la Virgen

8413	D	15N	1	22	Chacahua	Formativo terminal tardío	Ofrenda de Est. 1 en Op. D		Cerro de la Virgen
8414	D	15N	1	23	Sin fecha	--	Ofrenda de Est. 1 en Op. D		Cerro de la Virgen

8415	D	15N	1	24	Sin fecha	--	Ofrenda de Est. 1 en Op. D		Cerro de la Virgen
8444	D	15N	3	29	Sin fecha	--	Ofrenda de Est. 1 en Op. D		Cerro de la Virgen
8570	D	15M	8	33	Sin fecha	--	Ofrenda de Est. 1 en Op. D		Cerro de la Virgen

8566	D	15M	8	34	Sin fecha	--	Ofrenda de Est. 1 en Op. D		Cerro de la Virgen
8567	D	15M	8	35	Sin fecha	--	Ofrenda de Est. 1 en Op. D		Cerro de la Virgen
8568	D	15M	8	36	Sin fecha	--	Ofrenda de Est. 1 en Op. D		Cerro de la Virgen
8569	D	15M	8	37	Sin fecha	--	Ofrenda de Est. 1 en Op. D		Cerro de la Virgen
8577	D	15M	9	39	Sin fecha	--	Ofrenda de Est. 1 en Op. D		Cerro de la Virgen

8578	D	15M	9	40	Sin fecha	--	Ofrenda de Est. 1 en Op. D		Cerro de la Virgen
8653	D	15Ñ	2	41	Sin fecha	--	Ofrenda de Est. 1 en Op. D		Cerro de la Virgen
8659	D	15Ñ	3	42	Sin fecha	--	Ofrenda de Est. 1 en Op. D		Cerro de la Virgen
8658	D	16Ñ	2	43	Sin fecha	--	Ofrenda de Est. 1 en Op. D		Cerro de la Virgen
8422	D	3L	2	1	Miniyua	Formativo terminal temprano	Ofrenda en patio de Op. D		Cerro de la Virgen

8423	D	3L	2	2	Sin fecha	--	Ofrenda en patio de Op. D		Cerro de la Virgen
8427	D	4L	1	6	Sin fecha	--	Ofrenda en patio de Op. D		Cerro de la Virgen
8428	D	4L	1	7	Sin fecha	--	Ofrenda en patio de Op. D		Cerro de la Virgen
8429	D	4L	1	8	Sin fecha	--	Ofrenda en patio de Op. D		Cerro de la Virgen
8430	D	4L	1	9	Sin fecha	--	Ofrenda en patio de Op. D		Cerro de la Virgen

8431	D	4L	1	10	Sin fecha	--	Ofrenda en patio de Op. D		Cerro de la Virgen
8573	D	3M	1	12	Sin fecha	--	Ofrenda en patio de Op. D		Cerro de la Virgen
8555	D	4M	1	12	Sin fecha	--	Ofrenda en patio de Op. D		Cerro de la Virgen
8556	D	4L	1	13	Sin fecha	--	Ofrenda en patio de Op. D		Cerro de la Virgen
8557	D	4M	1	14	Sin fecha	--	Ofrenda en patio de Op. D		Cerro de la Virgen

8558	D	4M	1	15	Sin fecha	--	Ofrenda en patio de Op. D		Cerro de la Virgen
8559	D	4M	1	16	Sin fecha	--	Ofrenda en patio de Op. D		Cerro de la Virgen
8554	D	4M	1	17	Sin fecha	--	Ofrenda en patio de Op. D		Cerro de la Virgen
8553	D	4M	1	18	Sin fecha	--	Ofrenda en patio de Op. D		Cerro de la Virgen
8572	D	3M	1	19	Sin fecha	--	Ofrenda en patio de Op. D		Cerro de la Virgen

8432	D	5M	1	20	Sin fecha	--	Ofrenda en patio de Op. D		Cerro de la Virgen
9100	F	12H	5	2	Sin fecha	--	Relleno al este de juego de pelota		Cerro de la Virgen
9099	F	12H	5	1	Sin fecha	--	Relleno al este de juego de pelota		Cerro de la Virgen
9101	F	12H	6	3	Sin fecha	--	Relleno al este de juego de pelota		Cerro de la Virgen
8011	B	10K	3	n/a	Sin fecha	--	Ofrenda		Cerro de la Virgen

CAPÍTULO 13- Resultados del Análisis Paleoetnobotánico de Fracciones Ligeras de Flotación

Shanti Morell-Hart

13. 1 Resumen

Este informe describe los resultados del análisis macrobotánico de 167 muestras de flotación del Proyecto Río Verde. Estas muestras fueron recolectadas atrás de tres temporadas del campo (2009, 2012, 2013). Los resultados representan una exploración detallada pero preliminar de la material macrobotánica, anticipando análisis completa para algunas muestras en una fecha futura. Las metas del análisis, cumplido en 2014 en el laboratorio de INAH en Cuilapan, fueron 1) evaluar la condición de las muestras en términos de fragmentación, erosión, y cantidad de residuos, y, 2) seleccionar muestras para un análisis completo en el futuro, utilizando el conjunto entero de procedimientos paleoetnobotánicos. En esta exploración, algunas muestras fueron ordenadas parcialmente, y notas extensivas se tomaron para cada muestra.

En total, las 167 fracciones ligeras de flotación produjeron muchos residuos incluyendo fragmentos de madera, semillas carbonizadas, tejidos parenquimatosos, frutas secas, y otras partes botánicas. Muchos taxones no se pudieron identificar debido al pobre estado general de preservación o la falta de representación en materiales modernas de referencia. Pero un mínimo de 38 especies se identificaron en las muestras, indicando una diversidad de prácticas etnobotánicas. Lo que sigue es un resumen de los métodos, los resultados, y las conclusiones del análisis paleoetnobotánico preliminar, y algunas direcciones posibles para investigaciones futuras.

13.2 Excavación de las muestras

Las muestras de flotación provienen de tres sitios distintos adentro de la región del Proyecto Río Verde (PRV): Cerro de la Virgen, Río Viejo, y Loma Don Genaro. Fueron recuperadas durante las excavaciones de tres temporadas del campo (2009, 2012, 2013). Excavaciones en cada sitio procedieron de acuerdo con la metodología estándar utilizado por el PRV, y fueron conducidos bajo de los directores del proyecto, Dr. Arthur Joyce y Dr. Sarah Barber. En algunos pozos de prueba, muestras de sedimento se tomaron de lotes excavados y se embolsaron. El volumen de estas muestras de sedimento varió entre 1 a 8 litros.

13.3 Métodos de procesar y análisis en el laboratorio

La flotación de muestras de la temporada del campo de 2009 y 2012 se llevaron a cabo utilizando el método básico de cubeta. Sin embargo, las muestras coleccionadas en la temporada del campo de 2013 se hizo flotar utilizando una máquina de flotación construida para el proyecto en 2013 por Morell-Hart. Esta diferencia en los métodos de flotación resultó en mayores tasas de recuperación por muestra, y resultó en una menor pérdida de especímenes botánicos.

Las muestras que se flotaron en 2013 bajo la dirección de Morell-Hart fueron divididos en fracciones ligeras y pesadas, y registrados en un registro de flotación. Después de flotación, cada muestra se secó totalmente, se marcó con la información de proveniencia, y se insertó en una bolsa de plástico. Las fracciones ligeras y pesadas se retiraron finalmente a la bodega del INAH en Cuilapan de Guerrero, para curación y análisis posterior.

En el laboratorio del INAH en Cuilapan, bajo el permiso de las autoridades del INAH local y nacional, muestras de flotación fueron pesados y analizados. El escaneo se realizó utilizando un microscopio Bausch & Lomb de 1980, con capacidad de 7x - 30x. Iluminación fue provista de una lámpara separada. Hubo algunas limitaciones de este equipo, en la función de iluminación y la visibilidad de las especímenes, especialmente en relación con la identificación de fragmentos de

madera. Las investigaciones futuras se beneficiarían enormemente de un microscopio de mayor poder y una fuente de luz de mayor intensidad, así como capacidades de imagen digital.

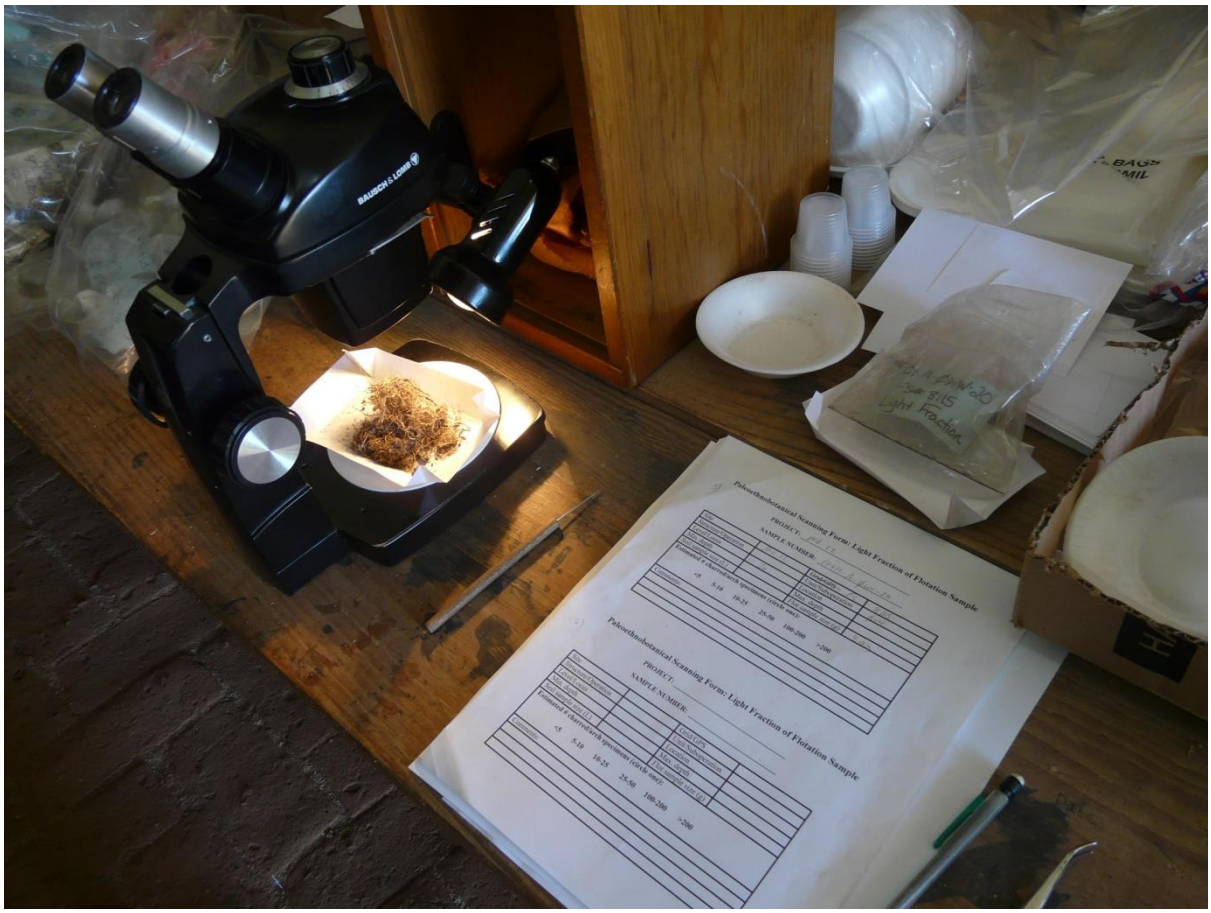


Figura 13.1 Configuración de la estación de análisis paleoetnobotánico en el laboratorio INAH Cuilapan.

Los objetivos iniciales de este análisis habían sido evaluar la calidad general de las muestras, y rápidamente evaluar cantidades aproximadas de material para seleccionar muestras específicas para futuros análisis detallados. Efectivamente, esto implicaría un escaneo muy rápido de cada muestra, y a continuación, llevar a cabo un análisis completa en muestras seleccionadas. Sin embargo, había tan poca material en muchas muestras que un análisis casi completo se llevó a cabo en todas las muestras. Este procedimiento difiere de la exploración rápida de la muestra, porque se toma más tiempo para observar la condición de la muestra (grado de fragmentación y erosión), y las identificaciones rápidas (familia, género) de taxones individuales pueden ser hechos y apuntados. Restos botánicos se clasificaron como restos arqueológicos sólo si fueron carbonizados, y solamente

los especímenes carbonizados se reportan en este análisis. Muchos especímenes fueron altamente fragmentados y erosionados, y hubo baja recuperación para la mayoría de las muestras.

Sin embargo, este análisis preliminar permite la formulación de algunas recomendaciones para análisis completo en el futuro, e aún con el enfoque limitado de exploración, hubo un conjunto diverso de taxones botánicos representado. Un resumen rápido de los taxones recuperados incluye amaranto, diferentes especies en la familia del girasol, girasol real, silene, algunas posibles palmas, muy poco cactus, bucida, posible calabaza, especies de la familia de frijol, frijol común, especies de la familia de la menta, especies de la familia del laurel, posibles fibras de algodón, especies de la familia de algodón, muchas especies de la familia de hierbas, una gran cantidad de maíz (cúpulas, en su mayoría, pero algunos cariópsides/granos también), potentilla, especies de la familia de las solanáceas, semillas de chía, hedeoma, semilla de chan, cola de zorro mijo, posible paulinia, y uva silvestre.

13.4 DE LAS MUESTRAS:

Las muestras estaban en condiciones variables, y contenían una variedad de materiales, junto con los restos carbonizados. Otro material presente en las muestras incluía raicillas, concha, caracol, fragmentos de huesos muy pequeños, nódulos de arcilla, motas de mica, segmentos de insectos, estiércol de roedores, semillas modernas, y fragmentos de corteza moderna. En algunos pocos casos, las muestras tenían un recubrimiento de arcilla gruesa, poniendo difícil la visibilidad y la identificación de los especímenes.

Cinco fracciones pesadas se revisaron para materiales botánicos carbonizados, pero, dado a las limitaciones de tiempo, no fueron totalmente ordenado y clasificado. En estas cinco muestras de fracciones pesadas, sólo se encontró una moderna semilla grande de la familia Fabaceae. De nota, también había huellas de hierbas potencialmente identificables en grumos de bajareque.

13.5 ESPECIMENES BOTANICOS:

Medidas de ubicuidad para distintos taxones iluminan cuales plantas tienen la mayor visibilidad arqueológica (relacionada con los procesos de deposición y durabilidad) y / o cuales plantas tenían más importancia (relacionado con la frecuencia de uso). Se calcularon ubicuidades para cada taxón recuperado, por un recuento simple del número de muestras donde se encontró el taxón. Este número es una medida útil cuando los recuentos básicos totales pueden sesgar representación de una sola planta, en los casos donde se recuperó un número elevado de esa planta, pero de sólo unos pocos lugares.

Había un mínimo de 38 taxones distintos recuperado de las 167 muestras de flotación (Tabla 13.1). Madera, de varias especies desconocidas, era más ubicua en todos los sitios, así que fue encontrada en 164 del total de 167 muestras (98%). Diversas semillas y trozos de tejido parenquimatoso pertenecientes a especies desconocidas (pero probablemente identificables) también se encontraban en múltiples muestras. Otras semillas y especímenes botánicos no eran identificables debido a su alta fragmentación y erosión.

De las especies identificables, el maíz (*Zea mays*) fue más frecuentemente representado, como cúpulas o cariópsides carbonizados. Esta planta domesticada se encontró en al menos 23% de las muestras de los tres sitios, y, potencialmente, 27% de las muestras si se incluyen los especímenes tentativamente identificados como maíz (cf. *Zea mays*). Taxones en la familia de las gramíneas (Poaceae) , la familia del girasol (Asteraceae), la familia de los frijoles (Fabaceae), y la familia de las solanáceas (Solanaceae) tenían ubicuidades medias a bajas (14%, 12%, 5% y 4%, respectivamente), pero hay que tomar en cuenta que cada una de estas categorías representa varios géneros desconocidos. Varios taxones tenían ubicuidades de 2%-3%, incluyendo algunos tentativamente identificados como frijol común (cf. *Phaseolus*), epazote o amaranto (Cheno-Am), semilla de chan (*Hyptis suaveolens*), silene (*Silene*) y chía (*Salvia*). Estos representan taxones de usos más o menos comunes, pero no están presentes de una manera uniforme en los tres sitios.

Los últimos taxones identificados o tentativamente identificados fueron de ubicuidad mínima (1% o menos). Para repetir, estas cifras están relacionadas con procesos de deposición y durabilidad de la muestra tanto como frecuencia de uso. La siguiente tabla resume la ubicuidad de las especies, en cada lugar y en total. Los especímenes arqueobotánicos recuperados indican el uso de varias típicas especies económicas, así como una gama de otras especies que podían haber sido malas hierbas o utilizados para diversos propósitos económicos incluyendo la fibra, la medicina, y flores o arbustos ornamentales.

Tabla 13.1. Ubicuidad de especies recuperadas

Taxón	Don Genaro	Río Viejo	Cerro de la Virgen	
	# muestras	# muestras	# muestras	# total de muestras
Amaranthaceae sp.		1		1
Amaranthus sp.		5		5
Asteraceae sp.	3	16	1	20
cf. Arecaceae sp.			1	1
cf. Bucida sp.			1	1
cf. Cactaceae sp.		1		1
cf. Carica sp.		1		1
cf. Cucurbita sp.		1		1
cf. Fabaceae sp.	1	4		5
cf. Gossypium sp.	1			1
cf. Helianthus sp.			1	1
cf. Hyptis suaveolens			1	1
cf. Lamiaceae sp.		1		1
cf. Lauraceae sp.	1			1
cf. Malvaceae sp.			1	1
cf. Paullinia sp.	1			1
cf. Phaseolus sp.	2	1	1	4
cf. Poaceae sp.	1	1	1	3
cf. Potentilla sp.		1		1
cf. Salvia sp.			2	2
cf. Sida sp.		1		1
cf. Silene sp.		1		1
cf. Solanaceae sp.		5	1	6
cf. Zea mays	1	5	1	7
Cheno-Am		1	2	3
Convolvulaceae sp.			1	1
Fabaceae sp.	2	4	2	8
Hedeoma sp.			2	2
Hyptis suaveolens			1	1
Lamiaceae sp.		1		1
Poaceae sp.	7	10	7	24
Salvia sp.			1	1
Setaria sp.		1		1
Silene sp.	1			1
(inidentificable) pericarpio	1			1
(inidentificable) semilla	12	31	13	56
(desconocido) tejido denso		2		2
(desconocido) endocarpio		2	2	4
(desconocido) fibra		1		1
(desconocido) fruta		3	8	11
(desconocido) trozo	16	46	9	71

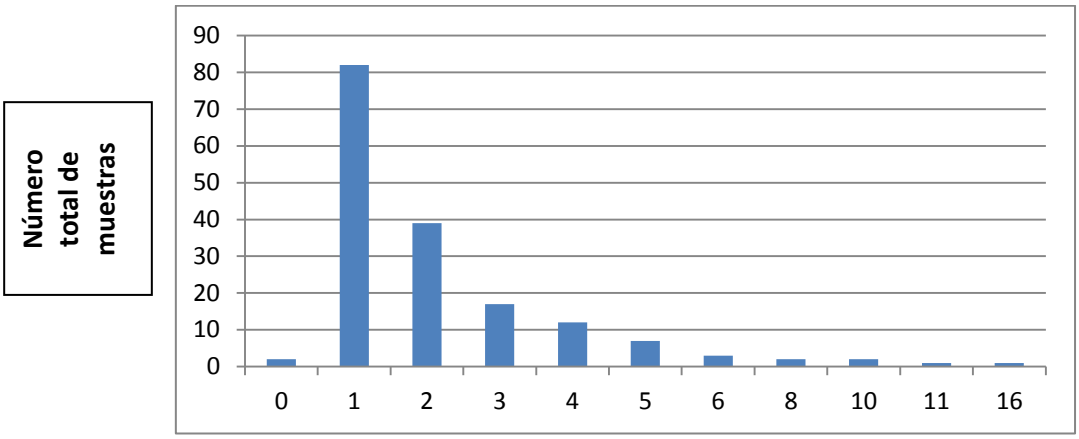
Taxón	Don Genaro	Río Viejo	Cerro de la Virgen	
(desconocido) pericarpio	**1**	**2**	**2**	**5**
(desconocido) semilla	**7**	**69**	**16**	**92**
(desconocido) espina		**1**		**1**
(desconocido) madera	**20**	**105**	**39**	**164**
***Vitis* sp.**		**1**		**1**
***Zea mays* cúpula o cariópside**	**10**	**27**	**2**	**39**

13.6 ESPECIMENES BOTANICOS POR CONTEXTO:

Las medidas de riqueza taxonómica son buenos indicadores generales de las actividades etnobotánicas en locaciones individuales. Estas medidas utilizan la gama de restos botánicos depositados como un índice de la gama de prácticas botánicas. Para los residuos vegetales carbonizados, esta cifra es contingente en las actividades de deposición más que en las prácticas *in situ*, pero todavía puede proporcionar información valiosa sobre la amplia gama de actividades relacionada con un lugar en particular. En el 2014 análisis de la muestra, se calculó la riqueza taxonómica mínima para cada muestra. Aún en los casos de especímenes inidentificables, todavía podían ser diferenciados (por sus tamaños y morfologías generales) de otros especímenes identificables, y la riqueza taxonómica mínima se podrían calcular. Así que la riqueza calculada por muestra indica el número *mínimo* de especies presentes en la muestra, este número de especies es probable 2x - 20x más pequeña que la riqueza actual de la muestra. Procedimientos completos de clasificación (incluyendo el aumento de la magnificación del microscopio) amplificarían este número para cada muestra.

De las 167 muestras analizadas en total, sólo dos no contenían material botánico carbonizado (Tabla 13.2). Las restantes de las 165 muestras tenían una riqueza mínima de 1 a 16 taxones por muestra. Esta riqueza a través de las muestras se anota de la siguiente manera:

Tabla 13.2 Riqueza taxonómica mínima de las muestras



Las muestras con más riqueza taxonómica eran de PRV-13-VR-A-10L-3-PEB1 (mínimo de 16 especies); PRV-12-E-40A-23-PEB1 (mínimo de 11 especies); PRV-12-E-12B-7-PEB1 y PRV-13-VR-A-MU4-1-PEB1 (mínimo de 10 especies); PRV-12-D-1A-4-PEB1 y PRV-13-DG-A-10M-WP-PEB1 (mínimo de 8 especies); y PRV-09-E-18-PEB1, PRV-12-A-0TT-22-PEB1, y PRV-13-VR-A-MU2-2-PEB1 (mínimo de 6 especies). Dado la alta diversidad de especies, estas muestras son muy recomendadas para procedimientos completos de clasificación. Los últimos 158 muestras se dividen entre una riqueza taxonómica de 0 a 5 taxones, pero algunas de estas muestras pueden ser objeto de procedimientos completos de clasificación debido a su ubicación en el sitio y / o el conjunto de artefactos asociados.

La muestra individua con mayor riqueza (16) se recuperó de Cerro de la Virgen. La mayor riqueza de una muestra individual en Río Viejo fue 11, y en Loma Don Genaro 8 (Tabla 13.3). Esto indica una alta diversidad de la actividades de deposición en (al menos) una locación en Cerro de la Virgen, mientras no hay tal diversidad de actividad representada en los otros dos sitios. En promedio, sin embargo, los tres sitios son más o menos comparables, así que el promedio de riqueza mínima por muestra es 2.67 para Loma Don Genaro, 2.17 para el Río Viejo, y 2.18 para Cerro de la Virgen. Esto indica un poco menos equivalente dispersión de actividades en el Cerro de la Virgen, y

un poco más equivalente dispersión de actividades en Loma don Genaro. En promedio, 2-3 plantas fueron depositadas en cada contexto.

La mayor riqueza total de especies fue en Río Viejo (63% de todas las especies recuperadas), mientras la menor riqueza fue en Loma don Genaro (34% de todas las especies recuperadas). Cerro de la Virgen cayó en algún punto intermedio (50% de todas las especies recuperadas). Estas cifras probablemente se corresponden directamente al número de muestras recuperadas de cada sitio (65%, 13%, y 23%, respectivamente). Río Viejo cuenta con mayor número de muestras recogidas, y por lo tanto es probable que tenga el mayor número de especies representadas, ya que hay más "oportunidades" para adquirir especies a través de contextos donde actividades botánicos no son duplicados.

Tabla 13.3 Riqueza taxonómica mínima por sitio

Sitio	Número total de muestras en cada sitio	Porciento de muestras representado en cada sitio	Promedio de riqueza mínima por muestra	Número mínimo de especies representados en cada sitio	Porciento de especies representado en cada sitio (# total de especies=38)
Loma Don Genaro	21	13%	2.67	13	34%
Río Viejo	108	65%	2.17	24	63%
Cerro de la Virgen	39	23%	2.18	19	50%

El nivel de erosión de los restos botánicos a través de la muestras fue normalmente adentro de la gama de 2 a 4 (erosión ligera a media), sin ningunos extremamente erosionados (nivel de 5). Unas pocas muestras, sin embargo, parecían estar tan poco erosionadas que tal vez provienen de un contexto de deposición primaria (nivel de 1): PRV-13-RV-C-10ZZ-29-PEB1, PRV-13-VR-A-10L-3-PEB1, y PRV-13-VR-B-11J-8-PEB2. Estas mismas tres muestras fueron también tan ligeramente fragmentadas que parece que son en un contexto de deposición primaria (nivel de 1). Generalmente, en términos de fragmentación, las muestras estaban en la gama de 2 a 4

(fragmentación baja a moderada). Solo una muestra (PRV-13-RV-C-11K-11-PEB1) era extremamente fragmentada (nivel de 5), con restos botánicos que quedaban casi completamente pulverizados.

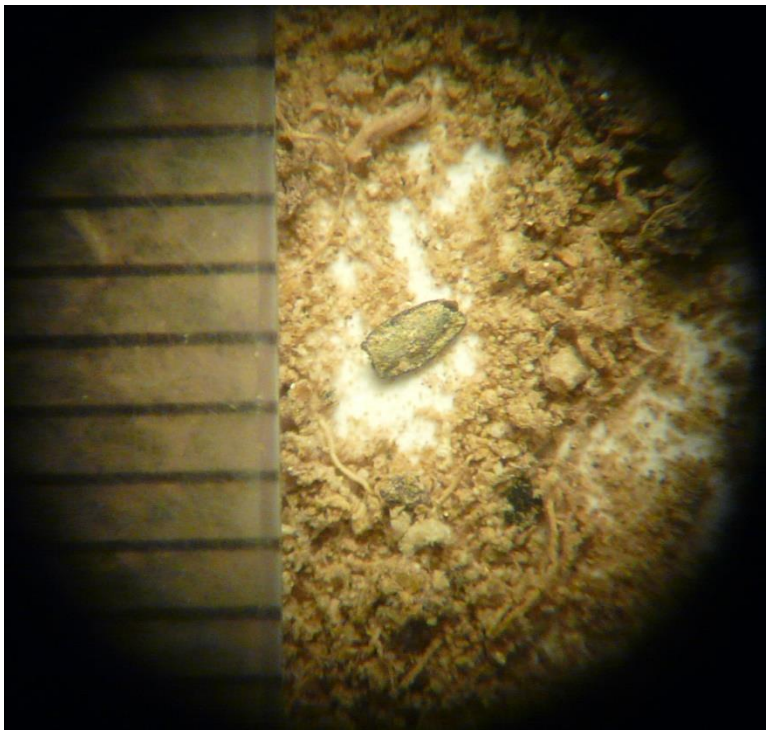


Figura 13.2 PRV-12-A-0E-10-PEB1: Aquenio de *Asteraceae* frecuentemente encontrado. Curiosamente, recuperado frecuentemente de muestras donde también se recupera *Zea mays*.

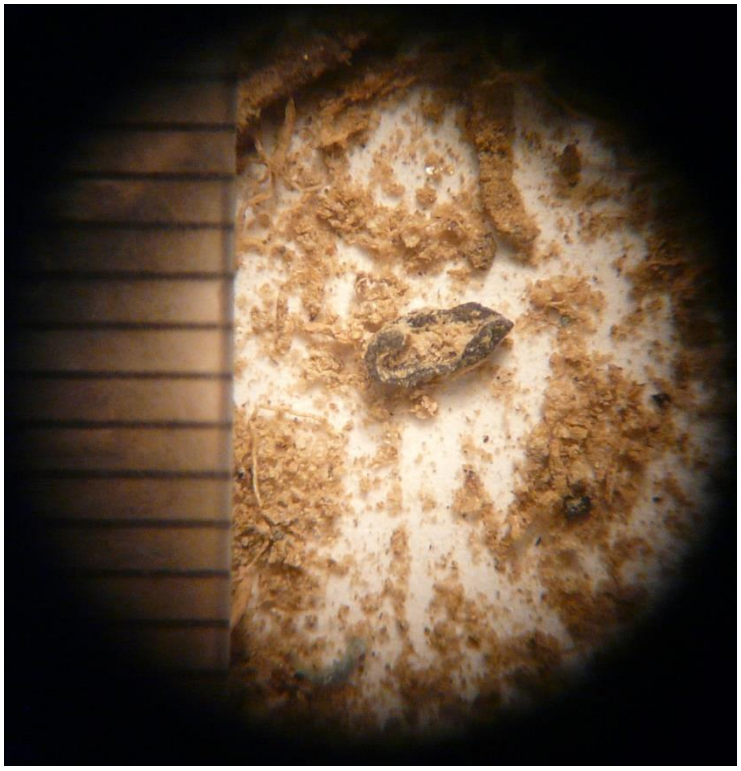


Figura 13.3 PRV-12-A-0E-10-PEB1: Cúpula de *Zea mays*



Figura 13.4 PRV-12-E-13B-8-PEB1: Semilla desconocida encontrada en varias muestras



Figura 13. 5 PRV-12-E-28A-32-PEB1: Dos vistas de la misma semilla de *Fabaceae*



Figura 13.6 PRV-13-DG-A-10M-WP-PEB1: Dos vistas de una semilla desconocida

13.7 FUTUROS ANALISIS:

Los resultados presentados aquí sugieren algunas direcciones potenciales para investigaciones futuras. En primer lugar, se recomienda seguir los procedimientos de clasificación completa para al menos ocho de las muestras ya exploradas, especialmente las que ya se encontraron con alta riqueza taxonómica y / o aquellos que se proviene de contextos de interés particular. Clasificación completa incluiría la redivisión de muestras en múltiples tamaños de fracción, el uso de magnificación del microscopio más alta (40x), tomando el peso de especímenes

individuales, y la grabación de imágenes digitales de las especímenes recuperados. En segundo lugar, los resultados actuales serían muy reforzados por un análisis de los fragmentos de madera recuperados (por un especialista en este campo), ya que las grandes cantidades de madera recuperadas probablemente tendrían mucho que decir acerca de la ecología local y el uso de especies de árboles. En tercer lugar, en excavaciones futuras, aumentando los tamaños de las muestras (a un mínimo de 10 litros por locus) aumentaría la riqueza de cada muestra y ampliaría la gama general de especies recuperadas. Aunque el volumen de muestra de sedimento no es un indicador exacto de las tasas de recuperación botánica, en general, flotando mayores volúmenes de sedimentos resulta en más altas tasas de recuperación de restos arqueobotánicos. Por último, el análisis microbotánico de granos de almidón, fitolitos, y / o cristales oxálicos, recuperados de "grumos" carbonizados de tejido parenquimatosa, superficies de artefactos, y sedimentos próximos, podrían servir para ampliar la gama de especies recuperables a hasta 200%, como ya se ha demostrado en otros lugares (Morell-Hart 2011). Además, dada la diferencia en las tasas de recuperación entre las muestras flotaban en 2009 (sistema de cubeta) y 2012, versus 2013 (la máquina de flotación), el uso consistente de una máquina de flotación, así como defloculantes, se recomienda para obtener la mayor cantidad de datos botánicos.

Aunque hay limitaciones del análisis de exploración rápida de muestras de flotación, la variedad de especies botánicas (al menos 38) permite cierta capacidad para trazar diversidad botánica, que por su parte permite una comprensión de las interacciones humanos-plantas en la región de Río Verde que no se base exclusivamente en una división de plantas domesticadas y especies de malezas. Además de las comunes plantas domesticadas como el maíz, el frijol y la calabaza, se recuperaron varias plantas no domesticadas, plantas conocidas por sus usos medicinales, en construcción, y en fabricación de telas. Esto ilumina una amplia gama de prácticas relacionadas con las plantas, incluyendo algunas asociadas con costumbres alimentarias y otras asociadas con una diversa gama de actividades no relacionadas con los alimentos.

CAPÍTULO 14: La Arqueofauna de Río Viejo, Oaxaca, México

Petra Cunningham-Smith

Sarah B. Barber

Se presenta en este informe preliminar la identificación de restos zooarqueológicos de la zona arqueológica de Río Viejo, en Oaxaca, México. Se recogieron estas muestras durante las excavaciones arqueológicas llevadas a cabo por parte del Proyecto Río Verde (PRV) durante las temporadas de campo de 2009, 2012 y 2013. El conjunto contiene casi 8.000 fragmentos de huesos de vertebrados e invertebrados recuperados del centro ceremonial del sitio. Este informe preliminar describe frecuencias taxonómicas en todos los contextos arqueológicos incluidos en la colección exportada en julio de 2014. Más información, como el MNI (mínimo número de individuos) y el análisis cronológico se incluirán en el informe final.

14.1 Contextos Arqueológicos

Los materiales incluidos en la colección descrita en este informe pertenecen a 10 contextos arqueológicos, los cuales datan a los periodos Formativo Terminal temprano (150 a.C. a 100 d.C.), Formativo Terminal tardío (100 – 250 d.C.), y Clásico tardío (500 – 800 d.C.). Los contextos son:

- Operación C, PRV2013: Elementos 28,36, y 37. Todos son basureros fechando al periodo Formativo Terminal temprano. Los basureros se ubican en la base de un montículo escalonado hecho de barro en Montículo 9 de Río Viejo (ver Fig. 1).
- Operación C, PRV2012: Elementos 7 y 18 (ver Arellano González et al. 2012). Los dos contextos son basureros fechando al periodo Formativo Terminal tardío. Se ubican en la parte sur del

Montículo 1, la acrópolis monumental de Río Viejo (ver Fig. 1). No hubo ningún edificio o superficie ocupacional asociado con estos contextos.

- Operación D, PRV2012: Elementos 5 y 39 (ver Rivas 2012). El E5 fue el relleno de un pozo que fechó al momento de abandono del Montículo 1 de Río Viejo al fin del periodo Formativo Terminal tardío. Posiblemente fue una ofrenda de terminación. El E39 fue un basurero asociado con un edificio ritual.
- Operación E, PRV2012: Elementos 14, 24, 29, y 35. Todos los contextos se ubican en el área suroeste del Montículo 1 de Río Viejo. El E14 consistió en el relleno de un pozo masivo de más que 4 m en diámetro. No quedó claro si el contexto fue un basurero u un basurero redepositado. Contuvo tiestos de cerámica de ambos los periodos Formativo Terminal temprano y tardío. Los elementos 24, 29, y 35 son basureros del periodo Formativo Terminal tardío. No hubo ningún edificio o superficie ocupacional asociada con estos contextos.
- Operación E, PRV2009: Elementos 5 y 6 (ver Barber y Baillie 2011). Estos dos elementos fueron estratos dentro de un basurero que fechó al periodo Clásico Tardío. Se ubicaron al lado oeste del patio hundido del Montículo 1 de Río Viejo. No hubo ningún edificio o superficie ocupacional asociada con estos contextos.

Este informe no provee datos sobre la distribución de fauna entre estos contextos, sino más bien una lista completa de toda la fauna identificada. El informe final incluirá detalles de fauna por contexto.

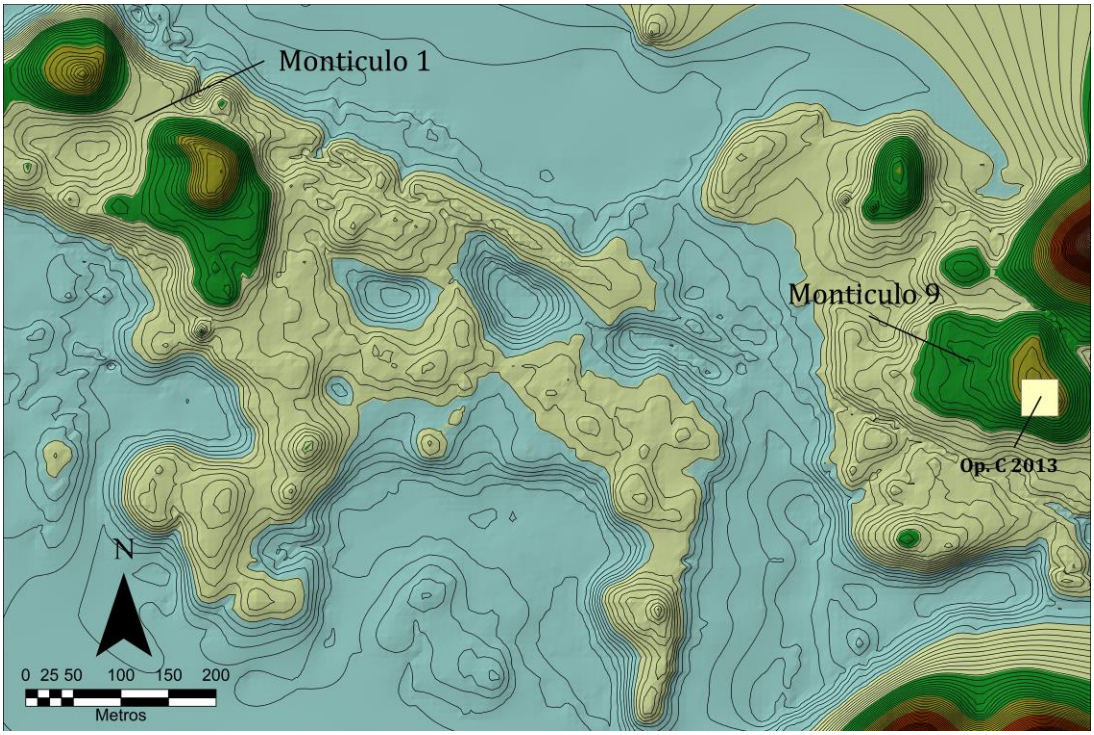


Figura 14.1: Mapa topográfico de Río Viejo, con los montículos 1 y 9 y la Op. C de 2013 indicados

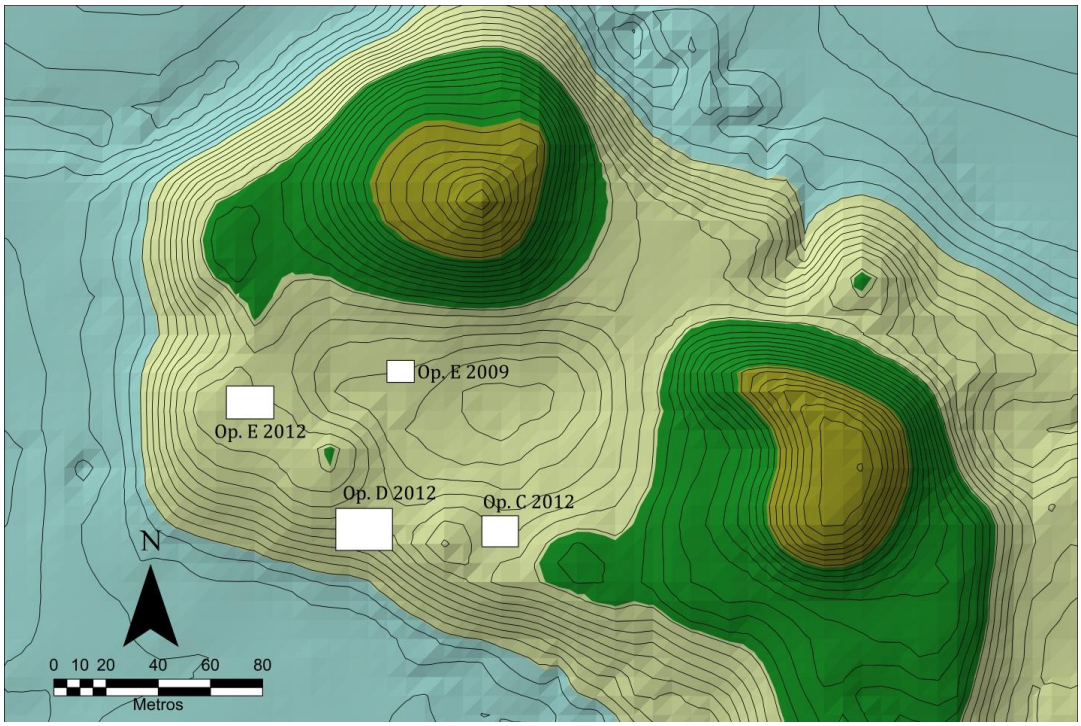


Figura 14.2: Mapa topográfico del Montículo 1 de Río Viejo, con las operaciones C, D y E indicados

14.2 Metodología

La arqueofauna de Río Viejo fue identificada al orden taxonómico más bajo posible. Se analizó el conjunto utilizando la colección comparativa del Museo de Ciencias Naturales de Florida, Departamento de Arqueología Ambiental. Las identificaciones se realizaron por Petra Cunningham-Smith, bajo la dirección de la Dra. Kitty Emery, curadora de Arqueología Ambiental. Frecuencias de especies se presentan aquí como NISP (número de ejemplares identificados) como se describe en Reitz y Wing (1999: 215). La lista anexada no incluye las muestras de moluscos, identificadas y pesadas pero demasiadas numerosas para contar. Se agregarán más información sobre este grupo de datos en el informe final.

14.3 Patrones Generales de Uso de Animales

Los resultados preliminares del análisis zooarqueológico indican que los residentes de Río Viejo utilizan una amplia gama de especies disponibles, incluyendo los moluscos marinos y otros invertebrados, anfibios, reptiles, aves, y mamíferos ambos pequeños y grandes (Tabla 14.1). El conjunto está dominado por moluscos de agua marina y salobre, los cuales comprenden más de 30% de la colección. También se utilizaron los invertebrados marinos como lapas y cangrejos. Peces, incluyendo el róbalo y el pargo, también están presentes en el conjunto, aunque con mucha menos frecuencia que otras especies acuáticas.

Reptiles y anfibios fueron utilizados por los habitantes de Río Viejo, y el conjunto incluye ranas/sapos, cocodrilos, iguanas, tortugas y serpientes. Las aves no fueron comunes en la colección, pero se recuperaron especies incluyen miembros de las familias de pato y paloma.

Una gran variedad de material óseo de mamíferos fueron recuperados, incluyendo el venado cola blanca, conejo, tlacuache y perro. Material óseo del perro fue entre lo más común de los mamíferos. Varias mandíbulas caninas identificadas en la colección presentan anomalías dentales que

requieren más investigación. Sea posible que pertenezcan a la raza canina xoloitzcuintli. La presencia de venado cola blanca, conejos y otros pequeños mamíferos sugieren explotación de los recursos de la planicie de inundación del Río Verde o áreas de bosque caducifolio.

Un análisis más detallado del contenido de esta colección está en marcha, y la información adicional se incluirá en el informe final.

Tabla 14.1 Lista Preliminar de los Taxones Recuperados en las Excavaciones de Río Viejo

Taxón	NISP	% of NISP
Marine Mollusks (no especificado)	340	4.30
Gastropoda	671	8.45
Bivalvia	575	7.24
Anomia peruviana	1	0.01
Arcidae	4	0.05
Cerithiidae	366	4.60
Cerithidiopsis californica	109	1.38
Chione sp.	18	0.22
Illione subrugosa	255	3.21
Lucinidae	1	0.01
Mytella charruana	18	0.22
Mytilidae	2069	26.0
Nassarius sp.	4	0.05
Naticidae	2	0.02
Neritidae	29	0.36
Ostrea conchaphila	1	0.01
Ostreidae	82	1.03
Theodoxus luteofasciatus	6	0.07
Turritellidae	1	0.01
Vermetidae	1	0.01
Balanomorpha	1464	18.41
Brachyura	24	0.30
Siluriformes	1	0.01
Actinopterygii	331	4.16
Centropomus sp.	3	0.03
Lutjanidae	1	0.01
Mugilidae	1	0.01
Anura	111	1.39
Reptilia	1	0.01
Serpentes	1	0.01

Viperidae	1	0.01
Iguanidae	7	0.08
Testudines	1	0.01
Kinosternidae	34	0.42
Crocodylus acutus	2	0.02
Aves	16	0.20
Anas c.f. discours	1	0.01
Quiscalus sp.	1	0.01
Zenaida sp.	1	0.01
Mammalia	195	2.45
Mammalia (grande)	69	0.86
Mammalia (mediano)	128	1.61
Mammalia (pequeño)	12	0.15
Rodentia	13	0.16
Geomys sp.	1	0.01
Sylvalagus sp.	24	0.30
Didelphis marsupialis	1	0.01
Didelphis sp.	3	0.03
Mephitis sp.	1	0.01
Canidae	17	0.21
Canis familiaris	50	0.62
Carnivora	3	0.03
Artiodactyl	3	0 03
Odocoileus virginanus	7	0.08
Tayassuidae	1	0.01
Vertebrata	848	10.6
TOTAL	7942	

CAPÍTULO 15: ANÁLISIS DE ARTEFACTOS LÍTICOS DE LA ACRÓPOLIS DE RÍO VIEJO

Max Seidita

15.1 Introducción

Este capítulo presenta el análisis del material lítico excavado en basureros durante la temporada de campo de 2012 del Proyecto Río Viejo. Este material contiene piezas de piedra volcánica trabajada, herramientas informales, desecho de pedernal, así como navajas y desecho de obsidiana. Los artefactos de obsidiana eran los más comunes de todo el material lítico.

El análisis del material lítico fue designado para determinar las formas que tenían las herramientas formales e informales. En el caso de la obsidiana, el análisis también fue designado para colocar los artefactos dentro de la secuencia de producción de núcleo-navaja (en inglés "core-blade") de Clark y Bryant (1997). Se escogió este método analítico para que la información obtenida se pudiera utilizar junto con los estudios de otros materiales hallados en los basureros de Rio Viejo. El análisis del material lítico consiste primeramente en catalogar el material lítico por su forma y material lo que sirve para colocar la obsidiana dentro de una secuencia de producción. La presencia de uso y desgaste fue establecida con el uso de lupas de mano de magnificación entre 10x-20x. La lítica también fue medida utilizando calibradores digitales, y, cuando posible, fue pesada a una precisión de 1/100 de un gramo. Los ocho basureros incluidos en este análisis provienen de tres operaciones diferentes. Cada uno de los ocho basureros pertenecía a la fase Chacahua del periodo Formativo terminal.

15.2 Río Viejo Operación C

El elemento 7 era un basurero asociado con un pozo adentro del elemento de relleno 4, y fue encontrado en la unidad 0AA (ver Arellano González et al. 2012). El elemento 7 contenía 6 elementos líticos. Unidad 0AA – Lote 11 contenía una sola lasca delgada de obsidiana. Esta lasca grande tenía rasgos de uso en sus dos lados, no tenía plataforma, y era de color negro y opaco. La Unidad 0AA – Lote 16 contenía una sola lasca de pedernal sin rasgo de uso. La Unidad 0AA – Lote 17 contenía dos fragmentos de manos de metate. Ambos fragmentos eran del lado final del mano pero no pertenecían al mismo mano. Solo uno de los fragmentos tenía rasgos de uso: uno de los lados había sido utilizado para dar golpes fuertes. Finalmente, la Unidad 0AA – Lote 18 contenía un pedazo de cuarzo. Se había quitado lascas de la parte dorsal del cuarzo, mientras que la superficie ventral de la pieza mostró huellas de percusión. La piedra era pulida y rota con rasgos de uso y desgaste en un lado.

15.3 Río Viejo Operación D

El elemento 5 consistió en relleno dentro de un pozo asociado con una estructura ritual que contenía dos artefactos de lítica. La Unidad 1A – Lote 4 contenía una piedra de percusión con marcas de golpe en sus lados proximales y distales. La unidad 1A – Lote 6 contenía una celta de piedra. La celta, probablemente una hecha de granita era pulida y de color negro. La celta tenia marcas de uso incluyendo pequeños golpes en sus lados proximales y distales. El borde lateral también estaba roto.

El Elemento 39 era un basurero con pendiente que se extendía lejos de una plataforma baja que sostuvo una superestructura ritual. El Elemento 39 contenía 6 elementos líticos. La unidad 2Z-Lote 4 contenía dos fragmentos de manos de metate: un fragmento terminal y un

fragmento central. Ninguno mostró evidencia de uso. La Unidad 2Z-Lote 5 contenía una piedra de percusión y una celta de granito. La piedra de percusión tenía evidencia de golpes en un borde y tenía varias áreas rotas. La celta, que era más pequeña que la celta de la Unidad 2Z-Lote 4, era pulida y de color negra. Tampoco tenía rasgos de uso. El tipo de piedra específica no se sabe. El único material lítico de la unidad 2Z-Lote 8 era una piedra de rio que fue utilizado como percutor. El percutor mostro rasgos de uso en un lado y era de color beige.

15.4 Contextos de basureros en la Operación E

Las unidades 12AB y 13AB de la Op E contenían el elemento 51, un basurero que no pudo ser asociado a ningún elemento arquitectónico especifico fuera del relleno general de la plataforma. El Elemento 51 contenía 15 artefactos de lícita. La Unidad 12A-Lote 10 contenía 4 pedazos de obsidiana: 2 fragmentos mediales de navaja, una lasca, y la porción distal de una navaja sobrepasada (en inglés: "plunge blade"). Uno de los fragmentos mediales era de color verde claro mientras que las tres otras piezas eran grises, negros, u opacos. La Unidad 12A-Lote 11 contenía 2 fragmentos de navaja de obsidiana, uno que era la parte proximal de una navaja de tercera serie (en inglés "third-series blade") y el otro siendo la parte medial de una navaja de tercera serie. El fragmento de navaja proximal era de color negro claro con una plataforma abradida. El fragmento de navaja medial era de color gris con bandas negra con fuertes rasgos de uso en sus bordes laterales. La unidad 12B-Lote 7 contenía obsidiana y piedra trabajada. La única pieza de obsidiana era una lasca gris con una cicatriz de lascado en su superficie dorsal y una plataforma abradida. El primer pedazo de piedra trabajada era parte de una mano de metate con evidencia de percusión en sus bordes donde la mano fue utilizada como herramienta improvisada. La última pieza de lítica que se halló en el Lote 7 fue el fragmento de una piedra trabajada con una sola superficie pulida. La Unidad 12B-Lote 8 contenía 2 piezas de obsidiana,

una lasca para preparar un núcleo, un fragmento medial de una navaja de tercera serie, y dos pedazos de piedra trabajada. La lasca de preparación de núcleo era de color gris claro y provenía de la parte lateral de la plataforma del núcleo; tenía cicatrices de lascado en su borde lateral. La plataforma de la lasca no era presente, sin embargo se podía ver el concoide. La lasca era de color gris claro. El fragmento de navaja medial tenía rasgos de uso a lo largo de ambos lados y era de color gris claro. Los artefactos de piedra trabajada consistían en un fragmento de piedra pulida en tres lados y una mano de metate completo con evidencia de percusión en un lado.

El Elemento 29 era un deposito parecido a un basurero recuperado de la Unidad 20A. La Unidad 20A – Lote 13 contenía una sola pieza de obsidiana. La superficie dorsal de la lasca era cubierta por cicatrices de lascado y la plataforma era presente y parecía haber sido abradida. La lasca era de color gris claro con bandas de gris borroso.

El Elemento 24, en la Unidad 28A, era un gran basurero dentro de un pozo. La Unidad 28A – Lote 24 contenía una sola pieza de obsidiana: una lasca sacada durante la preparación de un núcleo con plataforma, o quizás una lasca sacada durante el trabajo de un núcleo. La lasca no era intacta y tenía cicatrices de lascado a lo largo de su superficie dorsal, los lados laterales tenían forma cuadrada y era de color negro y opaco.

El elemento 14 era un basurero muy grande perteneciendo a la fase Chacahua temprana o a la fase Miniyua tardía. Fue descubierta en las Unidades 40A y 44A. Este basurero puede haber sido redepositado y contiene más lítica que cualquier otro contexto analizado, con un total de 18 artefactos. La Unidad 40A – Lote 14 contiene 16 fragmentos de navajas de obsidiana. Estas piezas de obsidiana eran todos fragmentos de navajas de tercera serie con cuatro fragmentos proximales y 12 fragmentos mediales. Las navajas median entre 7.72 mm a 27.76mm de largo y juntas pesaban 7.76g. Todos los fragmentos mostraron evidencia de uso en lo largo de sus bordes

laterales. Ninguno de los fragmentos proximales mostró plataformas abradidas. La Unidad 40A-Lote 26 contenía un percutor que era roto y mostraba uso en el borde de la sección rota. La Unidad 44A – Lote 21 contenía un solo percutor con rasgos de martillero en un lado.

15.5 Conclusiones

El pequeño tamaño de la muestra de lítica (N=49) en estos contextos hace difícil una interpretación. Dado el uso múltiple de las manos de metate es difícil determinar cómo las manos encontradas en esta muestra fueron utilizadas. En análisis de residuos puede indicar si las manos fueron utilizadas para la producción de comida o por otro uso de molienda general. La presencia de celtas en los Elementos 5 y 39 de la Operación D sugiere que esta estructura o área particular tenía un uso ceremonial. La obsidiana formaba el 60% de la muestra (N=30) y consistía en gran parte en fragmentos de lasca de tercera serie. El desecho lítico presente en estos contextos no sugiere que los elementos fueron producidos allí, sino que el desecho fue utilizado como herramienta informal. El rango de color de la obsidiana presente en las muestras indica que por lo menos dos, y quizás tres o más fuentes estaban siendo explotadas durante la fase Chacahua. Una de las muestras era de Pachuca, visible en su color verde transparente. Al igual que los artefactos de piedra trabajada, el análisis químico de la obsidiana ayudará a determinar las fuentes de piedra siendo explotados en esta época.

CAPÍTULO 16- Conclusiones: El Proyecto Río Verde 2013

Arthur A. Joyce

Sarah B. Barber

16.1 Introducción

El enfoque del Proyecto Río Verde 2013 fue el de examinar la formación, organización, y colapso de la unidad política regional más temprana que se desarrolló en la región del bajo Río Verde. El proyecto del 2013 fue la continuación de casi tres décadas de investigación en Río Viejo y otros sitios en el valle (Barber 2005; Barber y Joyce 2011; Joyce 1991, 2010, 2013; Joyce and Forde 2014; Joyce y Levine 2009; Joyce et al. 1998; Workinger 2002) y representa la cuarta fase de un proyecto plurianual que pondrá a prueba de una manera más completa las suposiciones acerca de la formación, organización, y colapso del estado en el valle del bajo Río Verde durante el Formativo Terminal. El proyecto del 2013 incluyó excavaciones en los sitios de Río Viejo, Cerro de la Virgen, y Loma Don Genaro así como un recorrido de superficie en un área al oeste del río y varios estudios de laboratorio.

El proyecto tenía cuatro objetivos, tres de los cuales pertenecían a nuestras suposiciones, el cuarto pertenecía a educación pública. Los objetivos fueron 1) determinar la historia de la construcción, organización espacial, y uso de la arquitectura pública de Río Viejo (Montículos 1 y 9); 2) examinar la construcción, organización y uso de la arquitectura pública de los sitios secundarios de Cerro de la Virgen y Loma Don Genaro; 3) entender los cambios en la distribución de la población al nivel regional; 4) documentar imágenes digitales, videos, y entrevistas para una página web bilingüe en español e inglés.

16.2 Objetivo 1: la historia de la construcción, organización espacial, y uso de la arquitectura pública en Río Viejo

Las excavaciones en Rio Viejo (RV20) se enfocaron en la acrópolis así como en una estructura pública más temprana sobre el Montículo 9-Estructura 4. Las excavaciones en la Operación C en la cima del Montículo 9-Estructura 4 expusieron una plataforma de tierra monumental con rasgos de festines rituales y por lo menos cinco episodios de reconstrucción durante la fase Miniyua del periodo Formativo terminal (150 B.C. – 100 A.D.). Estos episodios de reconstrucción parecen haber sido una forma de mantenimiento de los edificios como respuesta a la erosión gradual de la arquitectura hecha de tierra. Este patrón se ve frecuentemente con arquitectura de tierra. Las primeras fases de construcción documentadas tenían también huellas de recubrimiento elaborado en la estructura en la forma de estuco de cal. Varios episodios de recubrimiento eran evidentes y una de las superficies fue pintada de rojo. Creemos que esta estructura formaba parte del centro ceremonial de Rio Viejo inmediatamente antes de la construcción del Montículo 1 de la acrópolis.

Excavaciones en la acrópolis de Rio Viejo expusieron partes de varios edificios monumentales que hacen más clara la organización espacial del complejo ceremonial durante la fase Chacahua del periodo Formativo terminal (100-250 d.C.). Nuestras excavaciones fortalecen la evidencia que la acrópolis fue construida muy al final de la fase Formativa Terminal temprana y al inicio de la fase Formativa Terminal tardía. La acrópolis habría sido un proyecto de construcción masivo y habría movilizado mano de obra de Rio Viejo y más allá (Joyce et al. 2013). El edificio más expuesto en 2013 fue la estructura 8, expuesta en la Operación F ubicada al lado norte del acrópolis. La estructura 8 consistió en una plataforma orientada norte-sur con escaleras en sus lados este y oeste. Datos que indican que la plataforma fue construida en dos fases relativamente breves es consistente con evidencia anterior de que la acrópolis fue ocupada probablemente por menos de 100 años antes de ser

abandonada. Muros de contención de varios otros edificios, pertenecientes probablemente a la fase Formativa Terminal tardía fueron también expuestos en la Operación G.

Las excavaciones en las Operaciones A y B siguieron la excavación de una plataforma baja asociada con un desagüe de piedra que se empezó en el año 2012 (Brzezinski et al 2012). Junto con el trabajo llevado a cabo en 2012, las excavaciones del 2013 siguieron el muro de contención y el desagüe por aproximadamente 25 m. El muro de contención tenía una orientación norte-sur y contenía una plataforma al oeste. A lo largo de la base de la plataforma, se encontró un desagüe que llevaba agua de lluvia del norte al sur, aunque no está claro en donde el agua fue recolectada y descargada. Ambos el muro de contención y el desagüe pasaron por dos fases constructivas. Un tercer muro de contención puede representar una tercera versión de esta plataforma, aunque no se encontró ningún desagüe asociado con este muro.

Como otras áreas excavadas en la acrópolis en 2009 y 2012, las excavaciones de 2013 en las Operaciones A, B, y F registraron depósitos de terminación asociados con la arquitectura del periodo Formativo Terminal tardío. Inmediatamente antes del abandono de la acrópolis, la arquitectura en estas operaciones fue cubierta por capas de relleno. Después, se excavó fosas dentro del relleno. Muchas de estas fosas fueron llenadas con cerámica y se parecen a los depósitos de terminación encontrados en otras partes de Mesoamérica (Stanton et al. 2008).

En la Operación B, depósitos de coluvión y pequeños canales de erosión muestran que durante el periodo de terminación ritual la acrópolis no estaba siendo mantenida como antes. La gente construyó un pequeño muro en el área de la Operación B que parece haber protegido el área al norte (Operación A) del escorrentía. Los datos sugieren que el área protegida fue el enfoque de los rituales de terminación. En conjunto, estos datos son consistentes con elementos vistos en otras partes de la acrópolis que también pensamos fueron los resultados de rituales de terminación (ver Barber y Joyce 2012).

Las excavaciones de 2013 fortalecen otra observación poco usual hecha durante las temporadas de campo anteriores: hay poca evidencia directa de una asociación entre los gobernantes de Río Viejo y el centro ceremonial en la época Formativa Terminal, un patrón diferente a lo que se ve en otras partes de Mesoamérica (Joyce et al 2013). A pesar de cuatro temporadas de excavación en la acrópolis, todavía no se ha encontrado ninguna presencia de la elite tal como residencias nobles, tumbas o entierros elaborados pertenecientes a la nobleza, o monumentos de piedra con retratos de líderes. Hemos encontrado un área elaborada y espacialmente restringida en le Estructura 2 de la acrópolis que indica cierto grado de exclusividad, marcando (presuntamente) distinciones de estatus. Sin embargo, vemos evidencia de una autoridad política regional en la distribución de la población, en la coordinación requerida para llevar a cabo construcción monumental, y en el patrocinio de grandes festines a gran escala en la acrópolis.

Sin embargo, el resultado quizás más importante de las excavaciones en la acrópolis es la ausencia de evidencia por prácticas religiosas como las que hemos documentado en estructuras y espacios públicos en sitios secundarios. Hemos encontrado evidencia de festines rituales en la forma de elementos de cocina a gran escala y basureros no-domésticos en la acrópolis y en edificios públicos en otros sitios (Barber 2013). Sin embargo, no hemos encontrado evidencia de la ubicación de ofrendas rituales ni de entierros humanos en la acrópolis. La ausencia de evidencia por estas prácticas rituales contrasta fuertemente con los datos de otros sitios. Durante las temporadas de campo anteriores, cementerios comunes fueron excavados en edificios públicos en el sitio del Formativo Tardío de Cerro de la Cruz y en los sitios del Formativo Terminal de Yugüe y Charco Redondo (Barber et al. 2013; Joyce 1994), mientras que depósitos rituales impresionantes han sido descubiertos en Yugüe y San Francisco de Arriba (Barber 2013; Workinger 2002). Las excavaciones de 2013 en Cerro de la Virgen y Loma Don Genaro apoyan también este patrón (ver abajo).

Las excavaciones en la acrópolis son consistentes con investigación previa (Joyce y Barber 2011) que indicaba que la estructura fue reocupada durante los periodos Clásico Tardío y Posclásico Temprano. Las excavaciones de 2013 en la Operación A y B aportan datos adicionales sobre la ofrenda compleja colocada al oeste de la Estructura 2 en la acrópolis. Excavaciones en 2009 y 2012 encontraron tres vasijas de cerámica de gran tamaño que contenían entierros humanos. Afuera, junto a éstas, se encontraron varios entierros articulados y un depósito de hueso humano desarticulado, cortado y quemado. Asociado con las vasijas que contenían entierros humanos se encontraron además varias vasijas completas pero más pequeñas. Las excavaciones de 2013 en la Operación A descubrieron una concentración de cuatro vasijas completas parecidas a las vasijas halladas alrededor de las vasijas grandes con entierros. Es posible que una cuarta vasija grande con entierro se encontraba allí en el pasado, pero fue removida después de la colocación de la ofrenda compleja. La operación también descubrió dos entierros del periodo Clásico Tardío que pudieron haber formado parte de la ofrenda. Los dataos hallados en 2013 son consistentes con excavaciones anteriores que indicaron que la ofrenda fue colocada cuando la acrópolis volvió a ser ocupada en el periodo Clásico Tardío y que fue cubierto por depósitos posteriores. A demás de la ofrenda compleja, las excavaciones de 2013 dieron poca información acerca del uso adicional de la acrópolis en esta época.

Las excavaciones de 2013 añadieron al conocimiento de la construcción y la ocupación de residencias de bajo estatus sobre la acrópolis durante el Posclásico Temprano (Egan y Barber 2012; Joyce et al. 2001). Las excavaciones de la Operación E descubrieron rasgos de estructuras residenciales del periodo Posclásico tardío en la esquina suroeste del Montículo 1. Las excavaciones de la Operación G destaparon fragmentos de un muro de contención de piedra bajo que puede representar los cimientos de una modesta plataforma residencial del periodo Clásico Tardío Terminal o del periodo Posclásico Temprano. Además, los estratos superiores de la operación tenían una cantidad elevada de cerámica del periodo Posclásico Temprano, depositada allí por el escurrimiento desde las plataformas sub-

estructurales alrededor. En la Operación B, un basurero domestico del periodo Posclásico Temprano indica la presencia de una residencia cerca. Además, excavaciones en la Operación F expusieron una ofrenda que contenía artefactos de cobre, vasijas de cerámica, navajas de obsidiana, y un hueso trabajado. El objetivo de esta ofrenda no está claro y no se encontró evidencia de una residencia en esta parte de la acrópolis.

16.3 Objetivo 2: Examinar la construcción, organización y uso de arquitectura pública en los sitios secundarios de Cerro de la Virgen y Loma Don Genaro

En el sitio de Cerro de la Virgen (RV66), en el piedemonte, las excavaciones se enfocaron en poder fechar el sitio así como en definir las practicas asociadas con el centro ceremonial del sitio, un espacio que consiste en varios edificios alrededor de una plaza pública grande. La plaza mide aproximadamente 2800 m², con una cancha de juego de pelota en su lado oriente y edificios públicos en sus lados norte y sur. En el lado este de la plaza, unas escaleras anchas suben hasta la cumbre natural del cerro para llegar a una terraza arriba de la plaza (Terraza 10). Esta terraza contiene la estructura 1, un edificio público pequeño. Al sureste y arriba de la estructura 1 se encuentra la residencia de alto estatus excavada por Barber (2005). A pesar de que artefactos redepositados del periodo Formativo tardío fueron encontrados asociados con el centro ceremonial y de que varios elementos pertenecen a la fase Miniyua del Formativo Terminal, las excavaciones confirmaron que el sitio fue ocupado principalmente durante la fase Chacahua del Formativo Terminal, así como lo fue la residencia de alto estatus. La acrópolis aparece haber sido abandonada durante la transición del Formativo hacia el Clásico, aproximadamente al mismo tiempo que el abandono de la acrópolis de Río Viejo. Las excavaciones de 2013 se enfocaron en la plaza y en los edificios que la rodeaban, así como en la Terraza 10, especialmente la Estructura 1.

En Cerro de la Virgen, las excavaciones en los edificios alrededor de la plaza demostraron evidencia de festines y de ceremonias de depósito. A lo largo del borde noreste de la plaza, las investigaciones examinaron la Terraza 11, sobre la cual se encontraba un complejo arquitectónico (el Complejo A), que consistía en dos plataformas bajas construidas en ángulos rectos de una a la otra, con patios al norte y al sur. Se encontraron varios fogones que habían sido puestos dentro de la superficie de ambos patios, probablemente por festines rituales. El patio norte del Complejo A era el más restringido de los dos, con un edificio público que delimitaba sus lados sur y este. Las excavaciones en esta área (la Operación A), expusieron ofrendas que cubrieron 62 m² e incluyeron 260 vasijas de cerámica completas colocadas dentro de compartimentos de lajas de granito. La estratigrafía y la posición de las ofrendas y las lajas indican que consistían en varias ofrendas individuales que fueron colocadas a través de un periodo largo de tiempo. Un desagüe de piedra desviaba el agua y la llevaba debajo del edificio al sur (Estructura 2) del Complejo A.

En otras partes alrededor de la plaza, las excavaciones hallaron evidencia de posibles actividades ceremoniales y residenciales. A lo largo del lado sur de la plaza, en una pequeña plaza asociada con el complejo arquitectónico C, excavaciones (Operación E) expusieron un fogón así como un horno de tierra grande, indicando que se preparaba comida a gran escala en esta área, probablemente asociada con festines rituales. Excavaciones en la cancha de juego de pelota en el lado oriente de la plaza (Operación F) confirmaron que pertenecía al periodo Formativo Terminal. Las excavaciones en la esquina suroeste de la plaza descubrieron concentraciones de bajareque quemado así como metates, lo que sugiere que esta área pudo haber sido residencial. Un transecto de excavaciones que atravesó la plaza indicó que ésta pudo haber sido construida durante el Formativo Terminal temprano, pero que su periodo de uso principal fue durante el Formativo Terminal tardío.

Excavaciones se llevaron a cabo también en la Terraza 10 arriba de la plaza (la Operación D). Las excavaciones indicaron que la Terraza 10 fue construida al final del periodo Terminal Formativo

temprano y que fue ocupada durante el Formativo Terminal tardío. Un pequeño edificio público en la terraza (la Estructura 1) vio dos fases de construcción, cada una marcada por rituales de "dar alma" al edificio (en inglés, *ensoulment*) y de terminación que involucraban ofrendas de vasijas de cerámica. Ofrendas rituales asociadas con la primera fase de construcción pueden representar también ofrendas secuenciales colocadas para "dar de comer" al edificio. Algunas de estas ofrendas fueron asociadas con lajas de piedra parecidas a las lajas encontradas en el Complejo A, aunque en la mayoría de los casos no aparecen haber sido colocadas para formar compartimientos para poner ofrendas. La ofrenda más impresionante fue colocada como parte del ritual inicial para dar alma al edificio, y estaba asociada con la construcción de la terraza sobre la cual la primera versión de la Estructura 1 fue construida. Esta ofrenda incluía una máscara de piedra del dios de la lluvia, hallada rota pero casi completa. Junto con ésta máscara se encontraron fragmentos de otra máscara, una figura de piedra que representa posiblemente un bulto de momia, y dos miniaturas tronos de piedra. Dada la concentración ajustada en la cual estos objetos fueron encontrados, es posible que fueran envueltos en un bulto sagrado. Las excavaciones en el lado oeste de la Terraza 10 descubrieron ofrendas adicionales de vasijas de cerámica asociadas con lajas de piedra. Al igual que la plaza abajo, la Terraza 10 parece haber sido abandonada durante la transición del periodo Formativo al periodo Clásico.

El otro sitio secundario excavado durante la temporada de campo de 2013 fue Loma Don Genaro (RV25) ubicado a aproximadamente 6 km al suroeste de Río Viejo, al borde de la planicie aluvial. Se llevaron a cabo excavaciones en transectos en el Montículo 3, la plataforma más grande de las tres plataformas visibles en la superficie del sitio. Cerámica redepositada indica que el área alrededor del Montículo 3 fue ocupada por primera vez durante el Formativo Terminal, aunque los depósitos más tempranos excavados en 2013 pertenecen a la fase Formativa Terminal tardía. Éstos se tratan de depósitos de relleno profundos que sugieren que gran parte del Montículo 3 fue construido durante la fase Chacahua.

En la cima del Montículo 3, las excavaciones descubrieron varias ofrendas de cerámica halladas debajo de una serie de pisos (la Operación A). No está claro si estas ofrendas estaban asociadas con una residencia o con un modesto edificio público. Al sur de esta estructura (la Operación B), las excavaciones expusieron parte de una probable residencia perteneciendo a la fase Formativa Terminal tardía. El sitio pudo haber sido abandonado por un momento corto al final de la fase Chacahua, pero volvió a ser utilizado durante el Clásico Temprano. Una serie de entierros fueron encontrados dentro del Montículo 3 durante la transición entre la fase Clásica Temprana y Clásica Tardía. La ocupación del sitio disminuyó y el lugar parece haber sido totalmente abandonado durante el Posclásico Temprano.

16.4 Meta 3: Entender cambios en la distribución de la población al nivel regional

En 2013, el recorrido de superficie completo añadió 29.5 km² de área recubierta en la planicie aluvial, el pie de monte, y en los valles secundarios al oeste del río Verde. El recorrido de 2013 documento 24 sitios de entre 0.02 y 75.12 hectáreas, con Camino de la Humedad (75.1 ha) y Piedra Ancha (69.2 ha) representando las ocupaciones más importantes. Los sitios en el área recorrida en 2013 estaban concentrados en el pie de monte y en los valles secundarios con relativamente pocos sitios hallados en la planicie aluvial.

Los resultados del recorrido de 2013 son consistentes con los datos de recorridos anteriores (Hedgepeth y Koukopoulos 2012; Joyce et al. 2001, 2004, 2009), aunque el área demostró una proporción más elevada de asentamientos en los valles secundarios durante la mayoría de los periodos. Dentro de la zona de recorrido de 2013, los asentamientos aumentaron durante el periodo Formativo, así como en toda la región. Con el colapso de la unidad política de Río Viejo alrededor de 250 A.D., los asentamientos se movieron hacia el pie de monte. El periodo Clásico temprano era un momento de fragmentación política sin un centro político regional. A su vez, un número de pequeños centros demográficos crecieron en la región, particularmente en el pie de monte, aunque no está claro si estos

fueron los centros políticos de pequeñas unidades políticas. El sitio de Piedra Ancha (RV 50), registrado durante el recorrido de 2013, era uno de estos centros demográficos. Río Viejo se convirtió en un centro político regional una vez más durante el periodo Clásico Tardío, aunque, a diferencia con otras partes del valle, los patrones de asentamiento de la zona de recorrido de 2013 no parecen haber sido muy afectados. Con el colapso de Río Viejo en el Posclásico Temprano, los asentamientos en la región se movieron hacia el pie de monte, aunque la zona recorrida en 2013 parece haber sido una excepción, ya que la distribución de sitios en ésta área no cambió mucho entre las fases Coyuche y Yuta Tiyoo.

Un hallazgo importante durante el recorrido de 2013 fue la primera evidencia de asentamientos importantes al oeste del río, después del crecimiento de la unidad política de Tututepec durante el Posclásico Tardío. Antes de la temporada de campo de 2013, solo 6 ha. del periodo Posclásico Tardío había sido descubierta al oeste del río. Aunque los asentamientos disminuyeron en el área recorrida a lo largo del periodo Posclásico, hay una concentración importante de asentamientos en el área durante el Posclásico tardío. Camino de la Humedad (RV170) se volvió un sitio importante durante este momento y probablemente era el rival de Charco Redondo (RV 1) para ser la comunidad del Posclásico Tardío más grande de la región afuera del centro urbano de Tututepec.

16.5 Meta 4: Documentar imágenes digitales, videos, y entrevistas para una página web bilingüe en español e inglés.

Durante la temporada de campo de 2013, Jane Crayton, la diseñadora de la página web del proyecto, tomo cientos de fotos, videos y entrevistas para desarrollar un sitio web para el Proyecto Rio Verde. Las entrevistas se hicieron con miembros del proyecto en español y en inglés. La versión en inglés del sitio web está hecha (www.rioverdearchaeology.org) y la versión en Español está casi completa (todo el texto ha sido traducido al Español; falta poner subtítulos para los videos grabados en inglés).

16.6 Conclusiones

El PRV13 era la cuarta fase de un programa de investigación arqueológico plurianual diseñado con el propósito de examinar el proceso de centralización política en el valle del bajo Río Verde en la costa oeste de Oaxaca. Los resultados del proyecto han proporcionado información invaluable que permitirá la generación de hipótesis nuevas y más refinadas acerca de la antigua ocupación de la región. Los descubrimientos más importantes del proyecto incluyen:

1. La excavación de un impresionante edificio público de la fase Miniyua del Formativo Terminal temprano (Montículo 9 – Estructura 4) al sur de la acrópolis. La estructura fue construida con arquitectura de piedra, incluyendo un muro de contención de tierra apisonada, que pasó por varias fases de mantenimiento por causa de la erosión. La escala de la estructura junto con evidencia de festines rituales sugiere que puede haber sido el centro cívico-ceremonial de Río Viejo inmediatamente antes de la construcción de la acrópolis. El Montículo 9-Estructura 4 parece haber sido abandonado al final de la fase Miniyua.
2. La excavación de arquitectura pública sobre la acrópolis de Río Viejo, que aumenta el entendimiento de la organización arquitectónica del centro ceremonial durante la fase Chachua.
3. El descubrimiento de elementos adicionales durante el periodo cuando la acrópolis fue ritualmente cerrada. Estos elementos incluyen varios pozos llenos de cerámica rota descubierta en las operaciones A, B y F de PRV13. En la Operación B del PRV13, la evidencia estratigráfica indica que durante el periodo de terminación ritual y abandono, algunas partes de la acrópolis no fueron mantenidas y el escurrimiento llevo depósitos de coluvión cuesta abajo. En esta área, la gente construyó un muro bajo para controlar el escurrimiento y quizás para proteger el área al sur, donde las ceremonias de terminación se llevaron a cabo.
4. Las excavaciones en el sitio secundario de Cerro de la Virgen encontraron evidencia de ceremonias públicas pertenecientes a las fases Miniyua y Chacahua. Las excavaciones se enfocaron en el complejo cívico-ceremonial del sitio y demostraron que su construcción

probablemente empezó al final de la fase Miniyua y continúo durante la fase Chacahua, durante la cual fue muy utilizada. Ceremonias comunes incluían la colocación de ofrendas ceremoniales en el patio norte del Complejo A. Estas ofrendas eran parecidas a las halladas en otros sitios del Formativo Terminal, incluyendo Yugüe y San Francisco de Arriba. Evidencia de festines rituales en lugares públicos también fue descubierta, incluyendo varios fogones y un gran horno de tierra. Datos parecidos han sido encontrados en sitios más tardíos del Formativo incluyendo Cerro de la Cruz, Río Viejo, y Yugüe.

5. El descubrimiento de ofrendas probablemente colocadas durante rituales de "dar alma" (*ensoulment*) y terminación asociados con un edificio público de acceso restringido en la Terraza 10 de Cerro de la Virgen. El ritual inicial de dar alma al edificio incluyó la colocación de un posible bulto sagrado que contenía una máscara de una deidad del dios de la lluvia.
6. Datos indican una ocupación importante del sitio secundario de Loma Don Genaro durante la fase Chacahua. Uno de los edificios tenía una ofrenda modesta de vasijas de cerámica debajo del piso.
7. La documentación de una variedad de técnicas de arquitectura de tierra incluyendo adobe, adobe vertido, y tierra apisonada. Las excavaciones de 2013 demostraron que estas técnicas fueron utilizadas en el Montículo 9-Estructura 4 en Río Viejo y en Loma Don Genaro así como en la acrópolis.
8. Los patrones de asentamiento indican que el crecimiento de la unidad política de Río Viejo durante el periodo Formativo Terminal fue acompañado por un aumento importante de población al nivel regional.
9. Datos adicionales que indican la colocación de una ofrenda impresionante de la fase Yuta Tiyoo durante la fase Clásica tardía, incluyendo entierros y vasijas de cerámica excavadas en 2013. La

ofrenda parece haber formado parte de una ceremonia que volvió a "reanimar" el edificio cuando la acrópolis volvió a ser ocupada durante el Clásico tardío.

10. El descubrimiento de datos adicionales que indican la construcción de residencias de gente común sobre la acrópolis de Río Viejo durante el periodo Posclásico temprano, quizás empezando al final del periodo Clásico tardío. También se descubrió una ofrenda ceremonial durante esta época que incluía artefactos de cobre.
11. El descubrimiento del primer sitio grande de la época Posclásica tardía del lado oeste del río Verde (i.e. Camino de la Humedad).

Las investigaciones futuras

Las investigaciones futuras buscarán refinar aún más nuestro entendimiento del desarrollo del período Formativo en la región. El trabajo futuro debería enfocarse en lo siguiente:

1. Seguir la exploración de la acrópolis de Río Viejo para confirmar patrones de asentamiento que han sido indicados por la investigación previa, incluyendo la falta de evidencia de ofrendas rituales y cementerios, y la ausencia de una residencia de alto estatus. El área al sureste de la acrópolis debería ser un enfoque de investigación. Investigaciones adicionales en la parte oeste de la acrópolis y entre la estructuras 2 y 8 ayudaría también a entender la disposición arquitectónica de la fase Chacahua.
2. Continuar la investigación de los rituales públicos durante el periodo Formativo Terminal en sitios secundarios como Cerro de la Virgen y Loma Don Genaro para facilitar comparaciones con ceremonias públicas en Río Viejo y su relación con la integración política de la región.
3. Llevar a cabo excavaciones horizontales en las residencias del periodo Formativo Terminal en Río Viejo y en sitios secundarios. Hasta la fecha, solo se han excavado residencias de alto-estatus (Barber 2005) y se necesitan más datos acerca de los efectos de la formación y colapso de la centralización política durante el Formativo sobre las practicas diarias en contextos domésticos.

Además, será necesario comparar la preparación y el consumo de comida en contextos púbicos y domésticos.

4. Completar el recorrido regional para registrar con más detalle los cambios demográficos y en los patrones de asentamiento al final del periodo Formativo, en relación con el surgimiento y la caída de la unidad política de Rio Viejo.

BIBLIOGRAFÍA

Arellano González, G.
2012 Análisis de bajareque. 2012. En Informe técnico de la temporada 2012 del proyecto "El Proyecto Río Verde (PRV12)", editado por A. Joyce y S. Barber, pp. 280-335. Informe coleccionado en el Archivo Técnico, INAH, México.

Arellano Gonzalez, G., V. Salazar Chávez, T. Hill
2012 Excavaciones en la operación C. En *Proyecto Río Verde: Informe Técnico de la Temporada de 2012*. Editado por S.B. Barber y A.A. Joyce, pp. 201-279. Informe coleccionado en el Archivo Técnico, INAH, México.

Arnaud Bustamante, L., .M.N. Levine, y A. A. Joyce
2009 Río Viejo, Operación A, Excavaciones Horizontales. En *El Proyecto Rio Verde, Informe Final,* A. Joyce y M. N. Levine (eds.), pp.20-80. Informe coleccionado en el Archivo Técnico, INAH, México.

Baillie, H. A.B.
2007 *Late Classic Rio Viejo Mound 1 Construction and Occupation, Oaxaca, Mexico*. Tesis de maestría, Departamento de Antropología,, University of Colorado, Boulder.

Barber, S. B.
2005 *Identity, Tradition, and Complexity: Negotiating Status and Authority in Pacific Coastal Mexico*. Tesis de doctorado, Departamento de Antropología, University of Colorado, Boulder.

2008 *El Proyecto Río Verde 2003: Informe Final*. Informe coleccionado en el Archivo Técnico, INAH, México.

2009 *Estudio Geofísico del Bajo Rio Verde.* Informe coleccionado en el Archivo Técnico, INAH, México.

2011 Complejidad política de la perspectiva local: Comunidades durante el período Preclásico Terminal en el bajo Río Verde. En *Monte Albán en la encrucijada regional y disciplinaria. Memoria de la quinta Mesa Redonda de Monte Albán*, editado por N. M. Robles García y Á. I. Rivera Guzmán, pp. 375-390. Centro INAH-Oaxaca, Oaxaca, México.

2013 Defining Community and Status at Outlying Sites During the Terminal Formative Period. En *Polity and Ecology in Formative Period Coastal Oaxaca*. Editado por A. A. Joyce, pp. 165-192. University Press of Colorado, Boulder.

Barber, S. B. y H. B.A. Baillie
2011 Excavaciones de la Operación E. en El Proyecto Río Verde: Informe Técnico de la Temporada de 2009. Editado por S. B. Barber y A. A. Joyce, pp. 94-104. Informe coleccionado en el Archivo Técnico, INAH, México.

Barber, S. B. y A. A. Joyce
2007 Polity Produced and Community Consumed: Negotiating Political Centralization in the Lower Río Verde Valley, Oaxaca. En *Mesoamerican Ritual Economy*. Editado por E. C. Wells y K. L. Davis-Salazar, pp. 221-244. University Press of Colorado, Boulder.

Barber, S.B. y A.A. Joyce (eds.)
2011 *El Proyecto Río Verde: Informe Técnico de la Temporada de 2009*. Informe coleccionado en el Archivo Técnico, INAH, México.

2012 *Proyecto Río Verde: Informe Técnico de la Temporada de 2012.* Informe coleccionado en el Archivo Técnico, INAH, México.

Barber, S. B., Joyce A. A., Aguilar, J., Mayes, A., Butler, y Butler, M.
2013 Formative Period Burial Practices and Cemeteries. En *Polity and Ecology in Formative Period Coastal Oaxaca. E*ditado por Arthur A. Joyce, pp 97-134. The University Press of Colorado, Boulder.

Barber, S. B., A. A. Joyce, y J. S. Brzezinski
2013 *Recent Excavations at the Rio Viejo Acropolis, Oaxaca, Mexico*. Ponencia presentada durante la 78ª reunión anual de la Society for American Archaeology, Honolulu, HI.

Barber, S. B., A. Workinger y A. A. Joyce
2014 Situational Inalienability and Social Change in Formative Period Coastal Oaxaca. En *Inalienable Possessions in the Archaeology of Mesoamerica*. Editado por B. Kovacevich M. G. Callaghan, pp. 38-53. American Anthropological Association, Washington, DC.

Beekman, C.
1996 Political boundaries and political structure: The limits of the Teuchitlan tradition. *Ancient Mesoamerica*, 7(1), 135-147.

Blanton, R. y L. Fargher
2008 *Collective Action in the Formation of Pre-Modern States.* Springer, New York.

Blanton, R., G. Feinman, S. A. Kowalewski, y P. N. Peregrine
1996 A Dual-Processual Theory for the Evolution of Mesoamerican Civilization. *Current Anthropology* 37(1):1-14.

Blanton, R. E., S. A. Kowalewski, G. Feinman, y J. Appel
1982 *Monte Albán's Hinterland, Part 1: Prehispanic Settlement Patterns of the Central and Southern Parts of the Valley of Oaxaca, Mexico*. Prehistory and Human Ecology of the Valley of Oaxaca, vol. 7. Memoirs of the University of Michigan, No.15, Museum of Anthropology, Ann Arbor.

Brockington, D.
1974 Reconnaissance from the Rio Tonameca to Salina Cruz. En *The Oaxaca Coast Project Reports: Part 11***.** Editado por D. Brockington, M. Jorrín y J. R. Long, pp. 3-33. Vanderbilt University Publications in Anthropoloqy, 9. Vanderbilt University. Nashville.

Brumfiel, E.
1992 Distinguished Lecture in Archaeology: Breaking and Entering the Ecosystem - Gender, Class, and Faction Steal the Show. *American Anthropologist* 94(3):551-567.

Brzezinski, J. S. y J. Aguilar
2011 Excavaciones de la Operación A. En *El Proyecto Rio Verde: Informe Técnico de la Temporada de*

2009 entregado al Consejo de Arqueología y el Centro INAH Oaxaca del Instituto Nacional de Antropología e Historia. Editado por S. B. Barber y A. A. Joyce, pp.8-47. Informe coleccionado en el Archivo Técnico, INAH, México.

Brzezinski, J.S., A.A. Joyce, y C. Lucido
2012 Excavaciones en la Operación A. En *El Proyecto Río Verde, Informe Técnico de la Temporada de 2012.* Editado por S. B. Barber y A. A. Joyce, pp. 13-156. Informe coleccionado en el Archivo Técnico, INAH, México.

Clark, J. y D. Bryant
1997 A technological typology of prismatic blades and debitage from Ojo de Agua, Chiapas, Mexico. *Ancient Mesoamerica* 8: pp. 111-136.

Covarrubias, M.
1946 El arte" olmeca" o de La Venta. *Cuadernos Americanos* 28(4):153-179.

1954 The eagle, the jaguar, and the serpent: Indian art of the Americas: North America: Alaska, Canada, the United States (Vol. 1). Knopf, New York.

Egan R., y S. Barber
2012 Excavaciones en la operación E. En *El Proyecto Río Verde, Informe Técnico de la Temporada de 2012*. Editado por S.B. Barber y A. A. Joyce, pp. 336-421. Informe coleccionado en el Archivo Técnico, INAH, México.

Fargher, L. F., R. E. Blanton y V. Y. Heredia Espinoza
2010 Egalitarian Ideology and Political Power in Prehispanic Central Mexico: The Case of Tlaxcallan. *Latin American Antiquity* 3:227-251.

Flannery, K. V.
1972 The Cultural Evolution of Civilizations*. Annual Review of Ecology and Systematics* 2:399-426.

Furst, P.
1968 The Olmec Were-jaguar Motif in the Light of Ethnographic Reality. En *Dumbarton Oaks Conference on the Olmec*. Editado por E. P. Benson, pp. 143-178. Dumbarton Oaks Research Library and Collection. Washington.

García-Mendoza, A. J. y J. A, Meave del Castillo
2011 *Diversidad florística de Oaxaca: de musgos a angiospermas (colecciones y lista de especies).*

Gaxiola, M.
1984 *Huamelulpan: Un centro urbano de la Mixteca Alta.* Colección Científica 114. Instituto Nacional de Antropología e Historia, México, D.F..

Gillespie, S.D.
1991 Ballgames and Boundaries. En *The Mesoamerican Ballgame*. Editado por V. L. Scarborough y D. R. Wilcox, pp. 317-45. University of Arizona Press, Tucson.

Goman, M., A. Joyce , R. Mueller, y L. Paschyn

2010 Multi-Proxy Paleoecological Reconstruction of Prehistoric Land Use History in the Western Region of the Lower Río Verde Valley, Oaxaca, Mexico. *The Holocene* 20(5):761-772.

Goman, M., A. A. Joyce,y R.G. Mueller
2013 Paleoecological Evidence for Early Agriculture and Forest Clearance in Coastal Oaxaca. En *Polity and Ecology in Formative Period Coastal Oaxaca.* Editado por A. A. Joyce pp. 43-64. The University Press of Colorado, Boulder.

Gonlin, N.
2004 Methods for Understanding Classic Maya Commoners: Structure Function, Energetics, and More. En *Ancient Maya Commoners*. Editado por J.C. Lohse, F. Valdez Jr. University of Texas Press, Austin.

Grove, D. C.
1988 *Archaeological Investigations on the Pacific Coast of Oaxaca, Mexico, 1986*. Informe entregado al National Geographic Society, Washington, D.C.

Guernsey-Kappelman, J.
2001 Sacred Geography at Izapa and the Performance of Rulership. En *Landscape and Power in Ancient Mesoamerica.* Editado por R. Koontz, K. Reese-Taylor, y A. Headrick, pp. 81-111. Westview Press, Boulder.

Hayden, B.
1994 Village Approaches to Complex Societies. En *Archaeological Views from the Coutnryside*. G. Schwartz y S. Falconer, eds. Smithsonian Institution Press: Washington, DC.

Hedgepeth, J. D.
2010 *The Domestic Economy of Early Postclassic Río Viejo, Oaxaca, Mexico: Daily Practice in the Wake of Administrative Collapse*. VDM Verlag Dr. Müller Aktiengesellschaft & Co., Saarbrücken, Germany.

Hedgepeth, J.D. y Koukopoulos, J.R.M.
2012 Recorrido Regional de Superficie. En *Proyecto Río Verde: Informe Técnico de la Temporada de 2012*. Editado por Sarah B. Barber y Arthur A. Joyce, pp. 490-537. Informe coleccionado en el Archivo Técnico, INAH, México.

Hill. T., B. Villanueva Ruíz. 2012. Excavaciones en la operación F. En *Proyecto Río Verde: Informe Técnico de la Temporada de 2012*. Editado por S.B. Barber y A. Joyce, pp. 422-477. Informe coleccionado en el Archivo Técnico, INAH, México.

Hutson, S. R. y T. Stanton
2007 Cultural logic and practical reason: The structure of discard in ancient Maya houselots. *Cambridge Archaeological Journal*, 17(2):123-144.

Jorrín, M.
1974 Stone Monuments. En *The Oaxaca Coast Project Reports: Part I*. Editado por D. Brockington, M. Jorrín y J. R. Long, pp. 3-21. Vanderbilt University Publications in Anthropoloqy, 8. Vanderbilt University. Nashville.

Joyce, A. A.

1991 *Formative Period Occupation in the Lower Río Verde Valley, Oaxaca, Mexico: Interregional Interaction and Social Change*. Tesis de doctorado, Departamento de Antropología, Rutgers University.

1994 Late Formative Community Organization and Social Complexity on the Oaxaca Coast. *Journal of Field Archaeology.* 21(2): 147-168.

2005 La arqueología del bajo Río Verde. *Acervos* 7(29):16-36.

2006 The Inhabitation of Río Viejo's Acropolis. En *Space and Spatial Analysis in Archaeology*. Editado por E. C. Robertson, J. D. Seibert, D. C. Fernández, y Marc U. Zeder, pp. 83-96. University of New Mexico y University of Calgary Presses, Albuquerque and Calgary.

2008 Domination, Negotiation, and Collapse: A History of Centrlized Authority on the Oaxaca Coast. En *After Monte Alban: Transformation and Negotiation in Oaxaca, Mexico*. Editado por J. Blomster, pp. 219-54. University Press of Colorado, Boulder.

2009 La acrópolis de Río Viejo: Una biografía de lugar. En *Bases de la Complejidad Social en Oaxaca, Memoria de la Cuarta Mesa Redonda de Monte Albán*. Editado por N. Robles García, pp. 529-554. INAH, México, D.F.

2010 *Mixtecs, Zapotecs, and Chatinos: Ancient Peoples of Southern Mexico.* Wiley-Blackwell, Malden.

Joyce, A.A. (ed.)
1999 *El Proyecto Patrones de Asentamiento del Río Verde*. Informe coleccionado en el Archivo Técnico, INAH, México.

2013 *Polity and Ecology in Formative Period Coastal Oaxaca.* University Press of Colorado, Boulder.

Joyce, A. A. y S. B. Barber
2011 Excavating the Acropolis at Río Viejo, Oaxaca, Mexico. *Mexicon* 33(1):15-20.

2013 Ensoulment, Entrapment, and Political Centralization: Religion and Politics in Terminal Formative Coastal Oaxaca. Ponencia presentada en la Taller Religion and Innovation in Human Affairs, Oxford, Inglaterra.

Sin Fecha *Ensoulment, Entrapment, and Political Centralization: Religion and Politics in Terminal Formative Coastal Oaxaca,* manuscrito en poseción de los autores.

Joyce, A.A., S. B. Barber, J. Brzezinski, C. J. Lucido, y V. Salazar Chávez
n.d. Negotiating Political Authority and Community in Terminal Formative Coastal Oaxaca. En *Political Strategies in Pre-Columbian Mesoamerica,* editado por S. Kurnick y J. Baron. University Press of Colorado, Boulder, en prensa.

Joyce, A. A., L. Arnaud Bustamante, y M. N. Levine.
2001 Commoner Power: A Case Study from the Classic Period Collapse on the Oaxaca Coast. *Journal of Archaeological Method and Theory* 8(4): 343-85.

Joyce, A. A. y J. Forde.

2014 *El Pueblo de la Tierra del Cielo: Arqueología de la Mixteca de la Costa.* Centro INAH Oaxaca, México.

Joyce, A. A. y M. N. Levine (editores)
2009 *El Proyecto Rio Verde, Informe Final Entregado al Consejo de Arqueología y el Centro INAH Oaxaca del Instituto Nacional de Antropología e Historia*. Informe coleccionado en el Archivo Técnico, INAH, México.

Joyce, A. A., M. N. Levine y S. B. Barber
2013 Place-Making and Power in The Terminal Formative: Excavations on Río Viejo's Acropolis. En *Polity and Ecology in Formative Period Coastal Oaxaca*. Editado por A. A. Joyce, pp. 135-163. University Press of Colorado, Boulder.

Joyce, A. A. y R. G. Mueller
1992 The Social impact of anthropogenic landscape modification in the Río Verde drainage basin, Oaxaca, Mexico. *Geoarchaeology* 7:503-526.

Joyce, A. A., M. Oland y P. C. Kroefges
2009 Recorrido Regional de Superficie. En *El Proyecto Rio Verde 2000, Informe Final*. Editado por A. Joyce y M. N. Levine, pp. 322-353. Informe coleccionado en el Archivo Técnico, INAH, México.

Joyce, A. A. y M. Winter
1989 Investigaciones arqueológicas en la cuenca del Río Verde inferior, 1988. *Notas Mesoamericanas* 11:249-262.

Joyce, A. A., M. Winter y R. G. Mueller
1998 *Arqueología de la Costa de Oaxaca: Asentamientos del Periodo Formativo en el Valle del Río Verde Inferior.* Estudios de Antropología e Historia No. 40, Centro INAH Oaxaca.

Joyce, A.A., Workinger, A., Hamann, B., Kroefges, P., Oland, M., y King, S.M.
2004 Lord 8 Deer 'Jaguar Claw' and the Land of the Sky: The Archaeology and History of Tututepec. *Latin American Antiquity* 15(3):272-297

Kaplan, J.
1995 The incienso throne and other thrones from Kaminaljuyú, Guatemala. *Ancient Mesoamerica,* 6, 185-196.

Kolata, A.
1996 *Tiwanaku and its Hinterland: archaeology and paleoecology in an Andean civilization.* Smithsonian Institution Press: Washington, DC.

Kowalewski, S. A., A. K. Balkansky, y L. R. Stiver Walsh. T. Pluckhahn, J. F. Chamblee, V. Pérez Rodriguez, V Y. Heredia Espinoza, y C. A. Smith.
2009 *Origins of the Nuu: Archaeology in the Mixteca Alta.* University Press of Colorado, Boulder.

Kowalewski, S. A., G. M. Feinman, L. Finsten, R. E. Blanton y L. M. Nicholas

1989 *Monte Alban's Hinterland, Part II: Prehispanic Settlement Patterns in Tlacolula, Etla, and Ocotlan, the Valley of Oaxaca, Mexico*. Memoirs of the Museum of Anthropology 23. University of Michigan, Ann Arbor.

Lentz, D. L. y R. Dickau
2005 *Seeds of Central America and Southern Mexico: The Economic Species.* Memoirs of the New York Botanical Garden V. 91. New York Botanical Garden Press, Bronx, New York.

Lucero, L.
2006 *Water and Ritual: The Rise and Fall of Classic Maya Rulers.* University of Texas Press, Austin.

Lucido, C., S. Barber, y A. Joyce
Sin fecha. Excavaciones en Loma Don Genaro. En *El Proyecto Río Verde, Informe Técnico de la Temporada de 2013.* Editado por Arthur A. Joyce y Sarah B. Barber. Informe coleccionado en el Archivo Técnico, INAH, México.

Marcus, J., y K.V. Flannery
1996 *Zapotec Civilization: How Urban Society Evolved in Mexico's Oaxaca Valley*. Thames and Hudson, New York.

Martin, A, C. y W. D. Barkley
1973 *Seed Identification Manual.* University of California Press, Berkeley.

Masson, M. A.
2001 El sobrenatural Cocijo y poder de linaje en la antigua sociedad zapoteca. *Mesoamérica* 41:1–30.

Martin, S. y N. Grube
2000 *Chronicle of the Maya Kings and Queens.* Thames and Hudson, London.

Menchaca, V.
2013 Excavaciones en la operación E y G. En *El Proyecto Río Verde, Informe Técnico de la Temporada de 2013. E*ditado por A. Joyce y S. Barber. Informe coleccionado en el Archivo Técnico, INAH, México.

Morell-Hart, S.
2011 *Paradigms and Syntagms of Ethnobotanical Practice in Pre-Hispanic Northwestern Honduras.* Tesis de doctorado, Department of Anthropology, University of California, Berkeley, Berkeley.

Mock, S. B. (editor)
1998 *The sowing and the dawning: termination, dedication, and transformation in the archaeological and ethnographic record of Mesoamerica.* University of New Mexico Press, Albuquerque.

Mueller, R G.
1991 Appendix 2: Technical Report on the Geomorphological Research of the Río Verde Formative Project. En *Formative Period Occupation in the Lower Río Verde Valley, Oaxaca, Mexico: Interregional Interaction and Social Change* por A.A. Joyce. Tesis Doctoral. Department of Anthropology, Rutgers University, New Brunswick.

Mueller, R. G., A. A. Joyce, A. Borejsza, y M. Goman

2013 Paleoecological Evidence for Early Agriculture and Forest Clearance in Coastal Oaxaca. En *Polity and Ecology in Formative Period Coastal Oaxaca,* editado por A. A. Joyce pp 65-96. The University Press of Colorado, Boulder.

Parsons, L. A.
1988 Proto-Maya Aspects of Miraflores-Arenal Monumental Stone Sculpture from Kaminaljuyú and the Southern Pacific Coast. *Maya Iconography,* 6, 43.

Rathje, W. L.
1971 The origin and development of lowland Classic Maya civilization*. American Antiquity, 275-285.*

Reitz, E. J. y E. S. Wing
1999 *Zooarchaeology*. 1ª ed. Cambridge University Press, Cambridge.

Rivas. A.
2012 Excavaciones en la operación D. En *Proyecto Río Verde: Informe Técnico de la Temporada de 2012*. Editado por S.B. Barber y A.A. Joyce, pp. 280-335. Informe coleccionado en el Archivo Técnico, INAH, México.

Robin, C.
2002 Outside of Houses. *Journal of Social Archaeology 2(2):245-267.*

Salazar Chávez, V., C. Vidal-Guzmán
2013 Excavaciones en la operación A. En Informe técnico de la temporada 2013 del proyecto "El Proyecto Río Verde (PRV13)", editado por A. Joyce y S. Barber. Informe final entregado al Consejo de Arqueología, INAH.

Salazar Chávez, V., C. Vidal-Guzmán
2013 Excavaciones en la operación B. En *Proyecto Río Verde: Informe Técnico de la Temporada de 2013*. Editado por A.A. Joyce y S.B. Barber. Informe final entregado al Consejo de Arqueología, INAH, México.

Salazar Chávez, V., K. López Carranco
2013 Excavaciones en la operación C. En Informe técnico de la temporada 2013 del proyecto "El Proyecto Río Verde (PRV13)", editado por A. Joyce y S. Barber. Informe final entregado al Consejo de Arqueología, INAH.

Sanders, W. T., R. S. Santley y J. R. Parsons
1979 *The basin of Mexico: ecological processes in the evolution of a civilization*. Academic Press, New York.

Sellen, A. T.
2002 Storm-God Impersonators from Ancient Oaxaca. *Ancient Mesoamerica,* 13(1), 2-19.

Spencer, C. S. y E. M. Redmond
2001 Multilevel Selection and Political Evolution in the Valley of Oaxaca, 500-100 B.C. *Journal of Anthropological Archaeology* 20:195-229.

Smith, V.

1984 *Izapa relief carving: form, content, rules for design, and role in Mesoamerican art history and archaeology (No. 27).* Dumbarton Oaks, Washington, DC.

Scarborough, V., B. Mitchum, S. Carr, y D. Freidel
1982 Two Late Preclassic Ballcourts at the Lowland Maya Center of Cerros, Northern Belize. *Journal of Field Archaeology,* 9(1), 21-34. Chicago

Schele, L., y D. Freidel
1991 The courts of creation: ballcourts, ballgames, and portals to the Maya otherworld. *The Mesoamerican Ballgame*, pp. 289-315.

Scwhartz, G. M.y S. E. Falconer
1994 Rural Approaches to Social Complexity. *En Archaeological Views from the Countryside.* Editado por G. Schwartz y S. Falconer, pp. 1-9. Smithsonian Institution Press, Washington, DC.

Spores, R.
1974 *Stratigraphic Excavations in the Nochixtlan Valley, Oaxaca.* Vanderbilt University Publications in Anthropolgy No. 11, Nashville, TN.

Stanton, T. W., M. K. Brown, y J. B. Pagliaro
2008 Garbage of the gods? Squatters, refuse disposal, and termination rituals among the ancient Maya. *Latin American Antiquity* 19(3):227-247.

Taube, K.
1996 The Olmec Maize God: The Face of Corn in Formative Mesoamerica*. Res*, 39-81.

2000 Lightning Celts and Corn Fetishes: The Formative Olmec and the Development of Maize symbolism in Mesoamerica and the American Southwest. En *Olmec Art and Archaeology in Mesoamerica.* Editado por J. E. Clark, & M. E. Pye, pp. 297-337. Studies in the History of Art 58, Washington, DC.

Urcid, J.
1993 The Pacific Coast of Oaxaca and Guerrero: The Westernmost Extent of Zapotec Script. *Ancient Mesoamerica* 4:141-165.

2009 Personajes Enmascarados: El Rayo, El Trueno, y La Lluvia en Oaxaca. *Arqueología Mexicana* 16(6):30-34.

Urquhart, K.R.
2010 *Analysis of Charco Phase Ceramics from the Site of Corozo*, Oaxaca. Tesis de Licenciatura, University of Colorado, Boulder.

Vogt, E. Z.
1969 *Zinacantan: a Maya community in the Highlands of Chiapas.* Belknap Press, Cambridge.

Workinger, Andrew
2002 *Coastal/Highland Interaction in Prehispanic Oaxaca, Mexico: The Perspective from San Francisco de Arriba.* Tesis de doctorado, Departamento de Antropología, Vanderbilt University, Nashville.

Workinger, A., y A. A. Joyce
1999 Excavaciones arqueológicas en Río Viejo. En *El Proyecto Patrones de Asentamiento del Río Verde*, Editado pr A.A. Joyce, pp. 51-119. Informe coleccionado en el Archivo Técnico, INAH, México.

Yaeger, J.
2003 Untangling the Ties that Bind: The City, the Countryside, and the Nature of Maya Urbanism at Xunantunich, Belize. En *The Social Construction of Ancient Cities.* Editado por M. L. Smith, pp. 121-155. Smithsonian Books, Washington, DC.

Yaeger, J. y C. Robin
2004 Heterogeneous hinterlands: The social and political organization of commoner settlements near Xunantunich, Belize. En *Ancient Maya Commoner*. Editado por J.C. Lohse y F. Valdez, pp. 147-174. University of Texas Press, Austin.

APÉNDICE B-OFICIOS RELEVANTES

SEP
SECRETARÍA DE EDUCACIÓN PÚBLICA

CONACULTA

Instituto Nacional de Antropología e Historia

Oficio Núm.401.B(4)19.2013/36/0156
México, D.F., a 01 de febrero de 2013

DR. ARTHUR A. JOYCE
INVESTIGADOR DEL DEPARTAMENTO DE ANTROPOLOGÍA DE LA UNIVERSIDAD DE COLORADO, BOULDER
P R E S E N T E.

Estimado Dr. Joyce:

En seguimiento al oficio núm. **401.B(4)19.2013/36/0118,** relacionado con la **Propuesta del Proyecto Río Verde, Temporada 2013**, me permito agradecer el envío de la información solicitada por este Consejo de Arqueología, con lo cual la propuesta ha sido aprobada.

Sin otro particular, aprovecho la ocasión para enviarle un cordial saludo.

A T E N T A M E N T E.

DR. PEDRO FRANCISCO SÁNCHEZ NAVA
PRESIDENTE DEL CONSEJO DE ARQUEOLOGÍA

C.c.p. Etnlgo. Sergio Raúl Arroyo García.- Director General del I.N.A.H.
Dr. Bolfy E. Cottom Ulín.- Secretario Técnico del I.N.A.H.
Dra. Nelly Margarita Robles García.- Coordinadora Nacional de Arqueología.
Lic. Humberto Carrillo Ruvalcaba.- Coordinador Nacional de Centros INAH.
Arq. Eloy Jesús Pérez Sibaja.- Delegado del Centro INAH Oaxaca
Sección de Arqueología del Centro INAH Oaxaca
Archivo Técnico.

PFSN/csf.

CONSEJO DE ARQUEOLOGÍA
Argentina No. 12, 2do. Piso (entrada por Donceles)
Colonia Centro, Delegación Cuauhtémoc, C.P. 06010, México, D.F.
Tel. / Fax (55) 5702 6914 e-mail: consejo.arqueologia@inah.gob.mx

SEP
SECRETARÍA DE EDUCACIÓN PÚBLICA

CONACULTA

Instituto Nacional de Antropología e Historia

Oficio Núm. 401.B(4)19.2013/36/0157

México, D.F., a 01 de febrero de 2013

LIC. ENRIQUE ÁLVAREZ TOSTADO
DIRECTOR DE ASUNTOS DE LO CONSULTIVO
COORDINACIÓN NACIONAL DE ASUNTOS JURÍDICOS
P R E S E N T E.

Estimado Lic. Álvarez Tostado:

Anexo al presente me permito enviarle copia del documento aprobado por este Consejo de Arqueología, acerca de la **Propuesta del Proyecto Río Verde, Temporada 2013,** elaborada por el Dr. Arthur A. Joyce, Investigador de la Universidad de Colorado Boulder. Lo anterior a fin de que se elabore la autorización correspondiente.

No omito aclararle que dicho proyecto está sujeto al cobro del 15% por tratarse de un proyecto financiado por una institución extranjera.

Sin más por el momento aprovecho la oportunidad para enviarle un cordial saludo.

A T E N T A M E N T E

DR. PEDRO FRANCISCO SÁNCHEZ NAVA
PRESIDENTE DEL CONSEJO DE ARQUEOLOGÍA

C.c.p. Dr. Sergio Raúl Arroyo García.- Director General del I.N.A.H.
Dr. Bolfy E. Cottom Ulín.- Secretario Técnico del I.N.A.H.
Dra. Nelly Margarita Robles García.- Coordinadora Nacional de Arqueología.
Arq. Eloy Jesús Pérez Sibaja.- Delegado del Centro INAH Oaxaca
Sección de Arqueología del Centro INAH Oaxaca
Dr. Arthur A. Joyce.- Investigador de la Universidad de Colorado Boulder
Archivo Técnico.

PFSN /csf.

CONSEJO DE ARQUEOLOGÍA
Argentina No. 12, 2do. Piso (entrada por Donceles)
Colonia Centro, Delegación Cuauhtémoc, C.P. 06010, México, D.F.
Tel. / Fax (55) 5702 6914 e-mail: consejo.arqueologia@inah.gob.mx

INAH

INSTITUTO NACIONAL DE ANTROPOLOGÍA E HISTORIA

Tesoreria General
Córdoba No. 45, Col. Roma,
Deleg. Cuauhtémoc
C.P. 06700, México, D.F.

CONACULTA

FOLIO No. 15019

COMPROBANTE DE INGRESOS VARIOS

UNIDAD ADMINISTRATIVA: DELEGACION CENTRO INAH OAXACA

ZONA ARQUEOLÓGICA O MUSEO: DEPARTAMENTO ADMINISTRATIVO

RECIBÍ DE: DR. ARTHUR JOYCE, INVESTIGADOR DE LA UNIVERSIDAD DE COLORADO, ESTADOS UNIDOS

LA CANTIDAD DE $: 96,000.00

IMPORTE | I.V.A. | TOTAL $

(IMPORTE CON LETRA)

NOVENTA Y SEIS MIL PESOS 00/100 M.N.

POR CONCEPTO DE: PAGO DEL 15% del Proyecto Arqueologico denominado "RIO VERDE" localizado en los municipios de Jamiltepec y Tututepec, Oaxaca

LUGAR Y FECHA: OAXACA DE JUAREZ, OAXACA A 13 DE MARZO 2013

ORIGINAL

RECEPTOR
(Nombre y Firma)

ACTA ENTREGA-RECEPCIÓN DE MATERIALES

ACTA DE ENTREGA-RECEPCION DE MATERIALES ARQUEOLÓGICOS DEL **PROYECTO ARQUEOLÓGICO RÍO VERDE**, TEMPORADA 2013, A CARGO DE LOS DOCTORES ARTHUR JOYCE, INVESTIGADOR DEL DEPARTAMENTO DE ANTROPOLOGÍA DE LA UNIVERSIDAD DE COLORADO EN BOULDER Y SARAH BARBER, INVESTIGADORA DEL DEPARTAMENTO DE ANTROPOLOGÍA DE LA UNIVERSIDAD DE FLORIDA CENTRAL.----------

SIENDO LAS QUINCE HORAS CON CUARENTA MINUTOS DEL DÍA VEINTISEIS DE JUNIO DEL DOS MIL TRECE, EN LAS INSTALACIONES QUE OCUPA LOS LABORATORIOS Y BODEGA DEL CENTRO INAH OAXACA, UBICADO EN EL EXCONVENTO DE CUILAPAN DE GUERRERO EN LA POBLACIÓN DEL MISMO NOMBRE, DOMICILIO CONOCIDO, LA ARQLGA. ADRIANA GIRALDO ENCARGADA DEL **PROYECTO CONFORMACIÓN Y ORGANIZACIÓN DE UN ACERVO DE MATERIALES ARQUEOLÓGICOS, RESGUARDADOS EN EL EXCONVENTO DE CUILAPAN DE GUERRERO** Y LOS DOCTORES ARTHUR JOYCE Y SARAH BARBER, COODIRECTORES DEL PROYECTO ANTES MENCIONADO. LO ANTERIOR PARA EFECTO DE HACER ENTREGA FORMAL POR PARTE DEL DOCTOR ARTHUR JOYCE, DE LOS MATERIALES ARQUEOLÓGICOS PROCEDENTES DEL **PROYECTO ARQUEOLÓGICO RIO VERDE, OAXACA 2013.**----------

ACTO SEGUIDO, AMBAS PARTES PROCEDIERON A EFECTUAR LA REVISION Y EL CONTEO DE LAS BOLSAS QUE CONTIENE EL MATERIAL ARQUEOLÓGICO, RESULTANDO 105 CAJAS CONTENIENDO MATERIAL CERÁMICO, LITICO, COBRE, HUESO, CONCHA Y MUESTRAS PALEOBOTANICAS. SE ANEXA INVENTARIO DEL MATERIAL.----------

POR LO QUE NO HABIENDO OTRO ASUNTO QUE TRATAR SE PROCEDE A CERRAR LA PRESENTE ACTA SIENDO LAS CATORCE HORAS DEL DIA EN QUE SE ACTÚA, FIRMANDO PARA CONSTANCIA Y DE CONFORMIDAD LOS QUE EN ELLA INTERVINIERON.----------

RECIBEN

ANTROP. SERGIO BENIGNO BAUTISTA ORZUNA
DIRECTOR DEL CENTRO INAH OAXACA

ARQLGA. ADRIANA GIRALDO GUTIERREZ
COORDINADORA DEL PROYECTO
CONFORMACIÓN Y ORGANIZACIÓN DE
UN ACERVO DE MATERIALES ARQUEOLÓGICOS
RESGUARDADOS EN EL EX CONVENTO
DE CUILAPAN DE GUERRERO

ARQLGO. AGUSTÍN E. ANDRADE C.
COORDINADOR DE LA SECCIÓN DE
ARQUEOLOGÍA, CENTRO INAH
OAXACA

ENTREGA

DOCTOR ARTHUR JOYCE
COODIRECTOR DEL PROYECTO
ARQUEOLÓGICO RIO VERDE,
OAXACA 2013

DOCTORA SARAH BARBER
COODIRETORA DEL PROYECTO
ARQUEOLÓGICO RIO VERDE,
OAXACA 2013

TESTIGO

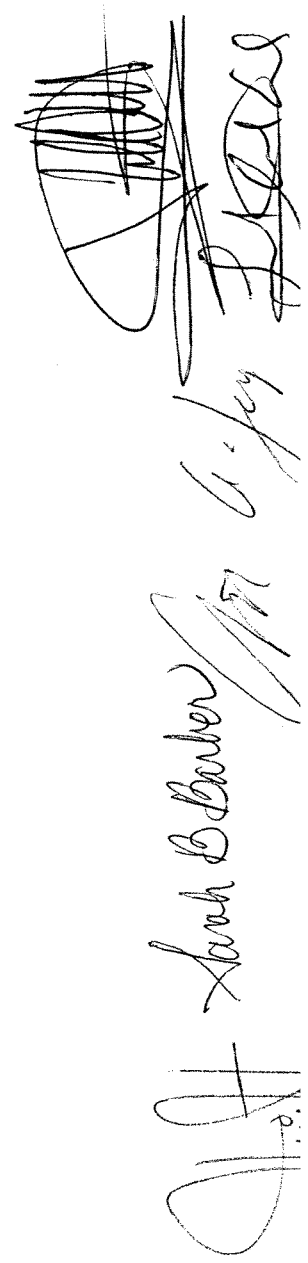
LIC. JULIO LEZAMA AGUILAR
ENCARGADO DEL EXCONVENTO DE CUILAPAN
CENTRO INAH OAXACA

P.A.
C. MARISSA MARTÍNEZ
CUSTODIA DE MUSEO

Numero de Caja por Cuilapan	Sito
1	RIO VIEJO
2	RIO VIEJO
3	RIO VIEJO
4	RIO VIEJO
5	LOMA DON GENARO
6	RIO VIEJO
7	LOMA DON GENARO
8	LOMA DON GENARO
9	RIO VIEJO
10	RIO VIEJO
11	RIO VIEJO
12	RIO VIEJO
13	RIO VIEJO
14	RIO VIEJO
15	RIO VIEJO
16	LOMA DON GENARO
17	LOMA DON GENARO
18	RIO VIEJO
19	RIO VIEJO
20	RIO VIEJO
21	LOMA DON GENARO, RIO VIEJO
22	RIO VIEJO
23	RIO VIEJO
24	RIO VIEJO
25	RIO VIEJO
26	LOMA DON GENARO
27	LOMA DON GENARO, RIO VIEJO
28	RIO VIEJO
29	RIO VIEJO
30	RIO VIEJO
31	CERRO DE LA VIRGEN
32	CERRO DE LA VIRGEN
33	CERRO DE LA VIRGEN
34	CERRO DE LA VIRGEN
35	CERRO DE LA VIRGEN
36	RIO VIEJO
37	LOMA DON GENARO
38	RIO VIEJO
39	LOMA DON GENARO
40	LOMA DON GENARO
41	RIO VIEJO, LOMA DON GERNARO, CERRO DE LA VIRGEN

42	RIO VIEJO, LOMA DON GERNARO, CERRO DE LA VIRGEN
43	RIO VIEJO, LOMA DON GERNARO, CERRO DE LA VIRGEN
44	CERRO DE LA VIRGEN, LOMA DON GERNARO
45	RIO VIEJO, LOMA DON GERNARO, CERRO DE LA VIRGEN
46	RIO VIEJO, LOMA DON GERNARO, CERRO DE LA VIRGEN
47	RECORRIDO
48	CERRO DE LA VIRGEN
49	RIO VIEJO, LOMA DON GERNARO, CERRO DE LA VIRGEN
50	RIO VIEJO, LOMA DON GERNARO, CERRO DE LA VIRGEN
51	RIO VIEJO, LOMA DON GERNARO, CERRO DE LA VIRGEN
52	RIO VIEJO, LOMA DON GERNARO, CERRO DE LA VIRGEN
53	RIO VIEJO, LOMA DON GERNARO, CERRO DE LA VIRGEN
54	RIO VIEJO, LOMA DON GERNARO, CERRO DE LA VIRGEN
55	RIO VIEJO, LOMA DON GERNARO, CERRO DE LA VIRGEN
56	LOMA DON GERNARO
57	LOMA DON GERNARO
58	CERRO DE LA VIRGEN
59	CERRO DE LA VIRGEN
60	LOMA DON GENARO, RIO VIEJO
61	LOMA DON GENARO, RIO VIEJO
62	LOMA DON GENARO, RIO VIEJO
63	LOMA DON GENARO, RIO VIEJO
64	LOMA DON GENARO, RIO VIEJO
65	CERRO DE LA VIRGEN
66	CERRO DE LA VIRGEN
67	CERRO DE LA VIRGEN
68	CERRO DE LA VIRGEN
69	CERRO DE LA VIRGEN
70	CERRO DE LA VIRGEN
71	CERRO DE LA VIRGEN
72	LOMA DON GENARO, RIO VIEJO
73	CERRO DE LA VIRGEN
74	CERRO DE LA VIRGEN
75	CERRO DE LA VIRGEN
76	CERRO DE LA VIRGEN
77	CERRO DE LA VIRGEN
78	CERRO DE LA VIRGEN
79	CERRO DE LA VIRGEN
80	CERRO DE LA VIRGEN
81	CERRO DE LA VIRGEN
82	CERRO DE LA VIRGEN
83	CERRO DE LA VIRGEN
84	CERRO DE LA VIRGEN
85	CERRO DE LA VIRGEN

86	CERRO DE LA VIRGEN
87	CERRO DE LA VIRGEN
88	CERRO DE LA VIRGEN
89	CERRO DE LA VIRGEN
90	CERRO DE LA VIRGEN
91	CERRO DE LA VIRGEN
92	CERRO DE LA VIRGEN
93	CERRO DE LA VIRGEN
94	CERRO DE LA VIRGEN
95	CERRO DE LA VIRGEN
96	CERRO DE LA VIRGEN
97	CERRO DE LA VIRGEN
98	CERRO DE LA VIRGEN
99	CERRO DE LA VIRGEN
100	CERRO DE LA VIRGEN
101	CERRO DE LA VIRGEN
102	CERRO DE LA VIRGEN
103	CERRO DE LA VIRGEN
104	CERRO DE LA VIRGEN
105	CERRO DE LA VIRGEN



Descripción de Contenido	Cantidad de Bolsa por Caja	Numero de completo Vesijas
Ceramicas de Operacion C	13	
Ceramicas de Operacion A,C	8	
Ceramicas de Operacion A,C	5	
Ceramicas de Operacion A,B,C	11	
Ceramicas de Operacion A, B	17	
Ceramicas de Operacion C	5	
Ceramicas de Operacion A,B	24	
Ceramicas de Operacion A,B	23	
Ceramicas de Operacion A	6	
Ceramicas de Operacion A,F	10	
Ceramicas de Operacion C,F	9	
Ceramicas de Operacion A	4	
Ceramicas de Operacion A	5	
Ceramicas de Operacion C	4	
Ceramicas de Operacion B	7	
Ceramicas de Operacion A,B	17	
Ceramicas de Operacion A,B	13	
Ceramicas de Operacion A,B,C	7	
Ceramicas de Operacion B	3	
Ceramicas de Operacion A	4	
Ceramicas de Operacion A,B	26	
Ceramicas de Operacion F	10	
Ceramicas de Operacion C,F	46	
Ceramicas de Operacion C,F Ceramicas de entierro Operacion A	11	
Ceramicas de Operacion C,F	27	
Ceramicas de Operacion A,B	12	
Ceramicas de Operacion A,B,C	5	
Ceramicas de Operacion C	2	
Ceramicas de Operacion C	12	
Ceramicas de Operacion B,C	3	
Ceramicas de Operacion A,F	126	
Ceramicas de Operacion F	10	
Ceramicas de Operacion A	17	
Ceramicas de Operacion A,H, E, B, D	16	
Ceramicas de Operacion A,H, E, B, D,F	29	
Ceramics de Operacion E	6	
Ceramicas de Operacion A,B	59	
Ceramicas de Operacion A,B	13	
Ceramicas de Operacion A,B	10	
Ceramicas de Operacion A,B	18	
Carbón de Sitos: Rio Viejo, Loma Don Gernaro, Cerro de la Virgen		

Concha de Sitos: Rio Viejo, Loma Don Gernaro, Cerro de la Virgen		
Lítica de Sitos: Rio Viejo, Loma Don Gernaro, Cerro de la Virgen		
Muestras especiales (figurillas, sellos, etc.) de Sitos: Cerro de la Virgen y Loma don Gernaro		
Hueso de Sitos: Rio Viejo, Loma Don Gernaro, Cerro de la Virgen		
Muestras especiales (figurillas, sellos, etc.) de Sitos: Rio Viejo, Loma Don Gernaro, Cerro de la Virgen		
Ceramicas y Litcas de Recorrido		
Baja y piedras		
Fracciones ligeras de flotación		
Sedimentos y residues de vasijas para analysis de fitólitos		
Fraccion pesadas de flotación		
Muestras para estudios de fitólitos		
Fraccion pesadas de flotación		
Fraccion pesadas de flotación		
B2I2B, B106I119,B7I8, B1I1, B1I17, B3I13C, B3I13C, B7I7, B11I12, B14I15, B15I16B, B13I14, B3I13,B106I118, B4I4		
B2I2, B5I5, B1I1		
B15I16, B15I16		
Muestras especiales (figurillas, sellos, etc.) de Operacion D		
Lajas y Piso Pintado		
Vesjias Completo		29
Vesjias Completo		21
Vesjias Completo		14
Vesjias Completo		23
Vesjias Completo		15
Vesjias Completo de Operacion A		6
Vesjias Completo de Operacion A		14
Vesjias Completo de Operacion A		12
Vesjias Completo de Operacion A		7
Vesjias Completo de Operacion A		8
Vesjias Completo de Operacion A		11
Vesjias Completo de Operacion A		9
Vesjias Completo		7
Vesjias Completo de Operacion A		7
Vesjias Completo de Operacion A		7
Vesjias Completo de Operacion A		13
Vesjias Completo de Operacion A		6
Vesjias Completo de Operacion A		3
Vesjias Completo de Operacion A		4
Vesjias Completo de Operacion A		3
Vesjias Completo de Operacion A		10
Vesjias Completo de Operacion A		9
Vesjias Completo de Operacion A		5
Vesjias Completo de Operacion A		9
Vesjias Completo de Operacion A		9
Vesjias Completo de Operacion A		12

Vesjias Completo de Operacion A		6
Vesjias Completo de Operacion A		3
Vesjias Completo de Operacion A		4
Vesjias Completo de Operacion A		5
Vesjias Completo de Operacion A		6
Vesjias Completo de Operacion A		5
Vesjias Completo de Operacion D		21
Vesjias Completo de Operacion D		17
Vesjias Completo de Operacion D		17
Vesjias Completo de Operacion A		10
Vesjias Completo de Operacion A		10
Vesjias Completo de Operacion A		9
Vesjias Completo de Operacion A		6
Vesjias Completo de Operacion A		8
Vesjias Completo de Operacion A		7
Vesjias Completo de Operacion A		7
Vesjias Completo de Operacion A		10
Vesjias Completo de Operacion A		5
Vesjias Completo de Operacion A		2
Ceramicas de Operacion A,C, D,E,F,H	11	

Apéndice B: Registro Público de Monumentos y Zonas Arqueológicas

REGISTRO PÚBLICO DE MONUMENTOS Y ZONAS ARQUEOLÓGICOS

CATALOGO E INVENTARIO DE ZONAS ARQUEOLOGICAS

CLAVE: **RV39**

Anotó: **Paris Ferrand Alcaraz** Fecha: **11/4/2013** **01. TIPO DE SITIO:** **Asentamiento con terrazas**

02. NOMBRE DEL SITIO: **Emiliano Zapata** Municipio: **Jamiltepec** Estado: **Oaxaca**

03.COORDENADAS UTM: E **632664** **04. NUMERO DE CARTA** **E14D84**

N **1786992** Escala de la Carta **1:50,000**

05. FOTO AÉREA: Inexistente [X]

Compañía o Institución: Escala Fecha de vuelo

Número de o vuelo: Línea: Foto:

Número de marca en foto: Cuadro menor:

06. INFORMACIÓN RECUPERADA POR: 1. Bibliografía [ ] 2. Fotointerpretació [ ] 3. Informante [ ] 4. Casualid [X]

INFORMACIÓN: 1. Verificada en campo [X] 2. No verificada en campo [ ]

07. TAMAÑO DE POBLACIONES MÁS CERCANAS AL SITIO:

Kms.	TAMAÑO DE POBLACIONES (HABITANTES)		
	< 500	500-2500	> 2500
0			
0.1-5		x	
5-10			

08. ACCESO AL SITIO DESDE POBLACIONES A MENOS DE 10 Kms.

Tipo de ruta	ISTANCIA A RECORRERSE (en kms		
	0--1	1--5	5--10
1. Camino Asfalt	x		
2. Terracería	x		
3. Brecha			
4. Vereda			
5. Vía acuática			
6. Vía aérea			

09. USO ACTUAL DEL SUELO

1. Forestal [X] 2. Ganadero [ ] 3. Agricultura de temporal [ ] 4.Agricultura de riego [ ] 5.Urbano [ ] 6.Turístico [ ]

7. Otros

Observaciones sobre proporciones y localización

10. NUMERO Y TAMAÑO DE ESTRUCTURAS DEL SITIO:

EXTENSIÓN **75,600** m2

7.56 Has.

(1 Hectárea= 10,000 m2)

Altura	NÚMERO DE ESTRUCTURAS				
	0--5	6--10	11--50	51--100	> 100
< 2	x				
2--5					
6--10					
> 10					

11. GRADO DE SAQUEO ENCONTRADO EN EL SITIO:

0. Ninguno [X]
1. Saqueo antiguo [ ]
2. Saqueo reciente ocasional [ ]
3. Saqueo reciente sistemático simple [ ]
4. Saqueo reciente sistemático profesi [ ]

12. GRADO DE DESTRUCCIÓN POTENCIAL EN EL SITIO 0. Ninguno [ ]

1. Por obra de infraestructura a corto plazo [ ]
2.- Por obra de infraestructura a mediano plazo [ ]
3. Por obra de infraestructura a largo plazo [ ]
4. Extracción de piedra como actividad familiar [ ]
5. Extracción de piedra como actividad mayor [ ]
6. Nivelación del terreno como obra agrícola [ ]
7, Asentamiento humano [x]
8. Vandalismo [ ]

EROSIÓN:

9. Extensiva severa [ ] 10. Extensiva moderada [ ] 11. Parcial severa [ ] 12. Parcial moderda [x]

13. Observaciones sobre intensidad de destrucción y otros procesos no descritos:

13. GRADO DE EXPOSICION DE ELEMENTOS ARQUEOLOGICOS 0. Ninguno [ ]

1. Estratigrafía [ ] 2. Arquitectura [x] 3. Tumbas [ ] 4. Escultura [ ] 5. Pintura mural [ ]

6, Otros _____
Fotos _____

Observaciones

14. MATERIALES FUNDAMENTALES EN LACONSTRUCCION DE ESTRUCTURAS: 0. No observables [ ]

1. Piedra careada [ ] 2. Pieda y tierra [x] 3. Ladrillo [ ] 4. Adobe [ ] 5. Tierra [ ]

6, Otros _____

Observaciones sobre posición original de material y proporciones:

15. OTROS VALORES DEL SITIO 1. Didáctico [ ]

2. Investigación [x] Conservación Excepcional [ ] 4. Alto valor artístico [ ] 5. Sitio asociado a trabajo excepcional [ ]

Observaciones sobre justificación de la decisión:

16.- TENENCIA DE LA TIERA EN EL ÁREA DEFINIDA POR LOS LÍMITES DEL SITIO:

1. Federal [ ] 2. Comunal [ ] 3. Pequeña propiedad [ ] 4.Mediana propiedad [x] 5. Ejidal [ ]

Observaciones sobre proporciones y localización:

17. CRONOLOGÍA TENTATIVA

MUESTREAR MATERIAL CERÁMICO Y/O LÍTICO DIAGNÓSTICO EN CASO DE QUE EL ÁREA NO HAYA SIDO INVESTIGADA

1. Anterior a 5000 a.n.e. [ ]
2. 5000-1500 a.n.e. [ ]
3. 1500 a.n.e.-200 n.e. [x]
4. 200-650/900 n.e [x]
5. 650/900-1200 n.e [ ]
6. 1200-1521 n.e [ ]
7. Post.1521 n.e. [ ]

BIBLIOGRAFÍA MÍNIMA DEL SITIO

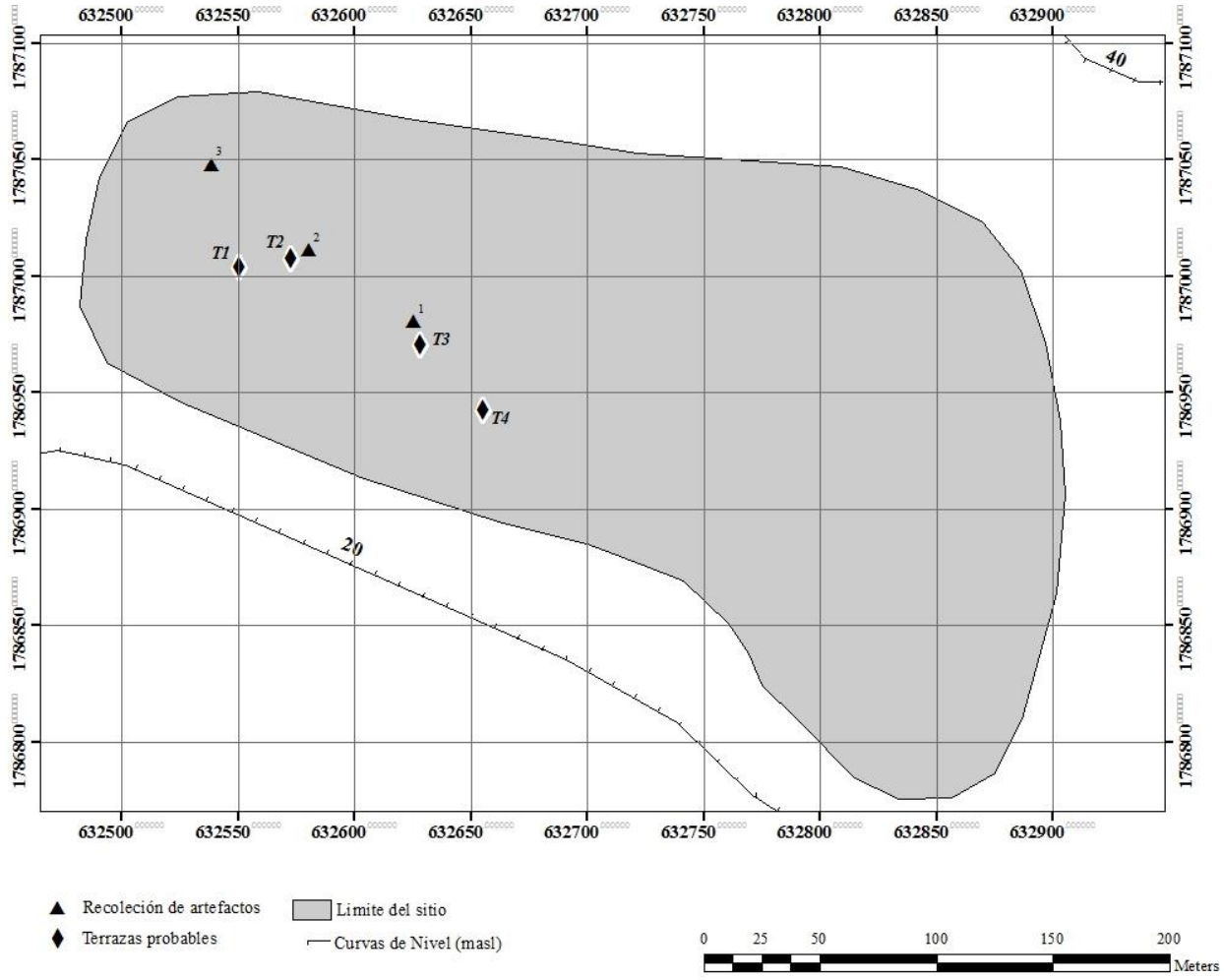
1. Descripción _____

2. Mapa o croquis _____

CROQUIS: Emiliano Zapata (RV39)

ESCALA: 1:2,000

DIBUJO: Límites del sitio, recolecciones de artefactos, y arquitectura



Observaciones:

Emiliano Zapata (RV39) fue registrado por primera vez durante el Proyecto Arqueológico Rio Verde (RVAP) en 1986 durante un recorrido regional (ver Grove 1988; Joyce y Winter 1989). Este sitio de 7.56 hectáreas (Figura 9.3) colinda con la frontera suroeste de pueblo moderno de Emiliano Zapata y se encuentra alrededor de 100 metros al noroeste de MX 200. RV39 es un sitio del bajo pie de monte, en el borde de un valle secundario. Como tal, el sitio tiene un pendiente muy gradual- se encuentra entre 25-30 metros sobre el nivel del mar- y tiene erosión leve a moderada.

La arquitectura del sitio de Emiliano Zapata (RV39) consiste en 1) un muro de piedra en la parte noreste del sitio, y 2) terrazas probables (T1, T2, T3 y T4) en la mitad oeste cerca de las concentraciones de artefactos 1 y 2 (ver Figura 9.3). Además del muro, un metate hecho dentro de una piedra grande también fue registrado en el borde este del sitio, aunque fue encontrado a más de 100 metros al sur del muro. Cada una de las terrazas al oeste contenía por lo menos un muro de contención. En dos casos (T1 y T2), más de un muro fue registrado, los cuales pueden representar diferentes lados de la terraza (es decir, el lado oeste y el lado este). En vez de cuatro terrazas separadas, es posible que dos terrazas escalonadas fueron originalmente construidas consistiendo en 1) T1 y T2, y 2) T3 y T4 (ver Figura 9.3). Esta posibilidad se puede sugerir ya que los muros en cada pareja fueron construidos en elevaciones diferentes. Además, dos pequeños fragmentos de muro se encontraron en elevaciones intermediaras entre T3 y T4. Aunque los propósitos de estos pequeños muros no se conocen, es posible que fueron asociados con “escalones” adicionales de las terrazas.

La cerámica hallada indica que Emiliano Zapata (RV39) fue poblado durante las fases Chacahua y Yuta Tiyoo. La ocupación más grande ocurrió durante la fase Chacahua.

Grove, David C.
1988. *Archaeological Investigations on the Pacific Coast of Oaxaca, Mexico, 1986*. Informe entregado al National Geographic Society, Washington, D.C.1988

Joyce, Arthur A. y Marcus Winter
1989. Investigaciones arqueológicas en la cuenca del Río Verde inferior, 1988. *Notas Mesoamericanas* 11:249-262.

REGISTRO PÚBLICO DE MONUMENTOS Y ZONAS ARQUEOLÓGICOS

CATALOGO E INVENTARIO DE ZONAS ARQUEOLOGICAS

CLAVE: **RV43**

Anotó: **Raymond Mueller** Fecha: **16/4/2013** **01. TIPO DE SITIO:** **Asentamiento**

02. NOMBRE DEL SITIO: **Camino Charquito el Guayaba** Municipio: **Jamiltepec** Estado: **Oaxaca**

03.COORDENADAS UTM: E **632255** **04. NUMERO DE CARTA** **E14D84**

N **1789387** Escala de la Carta **1:50,000**

05. FOTO AÉREA: Inexistente [X]

Compañía o Institución: Escala Fecha de vuelo

Número de o vuelo: Línea: Foto:

Número de marca en foto: Cuadro menor:

06. INFORMACIÓN RECUPERADA POR: 1. Bibliografía [ ] 2. Fotointerpretació [ ] 3. Informante [ ] 4. Casualid [X]

INFORMACIÓN: 1. Verificada en campo [X] 2. No verificada en campo [ ]

07. TAMAÑO DE POBLACIONES MÁS CERCANAS AL SITIO:

Kms.	TAMAÑO DE POBLACIONES (HABITANTES)		
	< 500	500-2500	> 2500
0			
0.1-5		x	
5-10			

08. ACCESO AL SITIO DESDE POBLACIONES A MENOS DE 10 Kms.

Tipo de ruta	ISTANCIA A RECORRERSE (en kms		
	0--1	1--5	5--10
1. Camino Asfalt			
2. Terracería	x		
3. Brecha			
4. Vereda			
5. Vía acuática			
6. Vía aérea			

09. USO ACTUAL DEL SUELO

1. Forestal [ ] 2. Ganadero [ ] 3. Agricultura de temporal [ ] 4.Agricultura de riego [X] 5.Urbano [ ] 6.Turtístico [ ]

7. Otros

Observaciones sobre proporciones y localización

10. NUMERO Y TAMAÑO DE ESTRUCTURAS DEL SITIO:

EXTENSIÓN **95,900** m2

9.59 Has.

(1 Hectárea= 10,000 m2)

Altura	NÚMERO DE ESTRUCTURAS				
	0--5	6--10	11--50	51--100	> 100
< 2	x				
2--5					
6--10					
> 10					

11. GRADO DE SAQUEO ENCONTRADO EN EL SITIO:

0. Ninguno [X]
1. Saqueo antiguo [ ]
2. Saqueo reciente ocasional [ ]
3. Saqueo reciente sistemático simple [ ]
4. Saqueo reciente sistemático profesi [ ]

12. GRADO DE DESTRUCCIÓN POTENCIAL EN EL SITIO

0. Ninguno [ ]

1. Por obra de infraestructura a corto plazo [ ]
2.- Por obra de infraestructura a mediano plazo [ ]
3. Por obra de infraestructura a largo plazo [ ]
4. Extracción de piedra como actividad familiar [ ]
5. Extracción de piedra como actividad mayor [ ]
6. Nivelación del terreno como obra agrícola [x]
7, Asentamiento humano [ ]
8. Vandalismo [ ]

EROSIÓN:

9. Extensiva severa [ ] 10. Extensiva moderada [ ] 11. Parcial severa [ ] 12. Parcial moderda [x]

13. Observaciones sobre intensidad de destrucción y otros procesos no descritos:

13. GRADO DE EXPOSICION DE ELEMENTOS ARQUEOLOGICOS

0. Ninguno [ ]

1. Estratigrafía [x] 2. Arquitectura [x] 3. Tumbas [ ] 4. Escultura [ ] 5. Pintura mural [ ]

6, Otros _____
Fotos _____

Observaciones

14. MATERIALES FUNDAMENTALES EN LACONSTRUCCION DE ESTRUCTURAS:

0. No observables [ ]

1. Piedra careada [ ] 2. Pieda y tierra [x] 3. Ladrillo [ ] 4. Adobe [ ] 5. Tierra [ ]

6, Otros _____

Observaciones sobre posición original de material y proporciones:

15. OTROS VALORES DEL SITIO

1. Didáctico [ ]

2. Investigación [x] Conservación Excepcional [ ] 4. Alto valor artístico [ ] 5. Sitio asociado a trabajo excepcional [ ]

Observaciones sobre justificación de la decisión:

16.- TENENCIA DE LA TIERA EN EL ÁREA DEFINIDA POR LOS LÍMITES DEL SITIO:

1. Federal [ ] 2. Comunal [ ] 3. Pequeña propiedad [x] 4.Mediana propiedad [ ] 5. Ejidal [ ]

Observaciones sobre proporciones y localización:

17. CRONOLOGÍA TENTATIVA

MUESTREAR MATERIAL CERÁMICO Y/O LÍTICO DIAGNÓSTICO EN CASO DE QUE EL ÁREA NO HAYA SIDO INVESTIGADA

1. Anterior a 5000 a.n.e. [ ]
2. 5000-1500 a.n.e. [ ]
3. 1500 a.n.e.-200 n.e. [x]
4. 200-650/900 n.e [x]
5. 650/900-1200 n.e [ ]
6. 1200-1521 n.e [ ]
7. Post.1521 n.e. [ ]

BIBLIOGRAFÍA MÍNIMA DEL SITIO

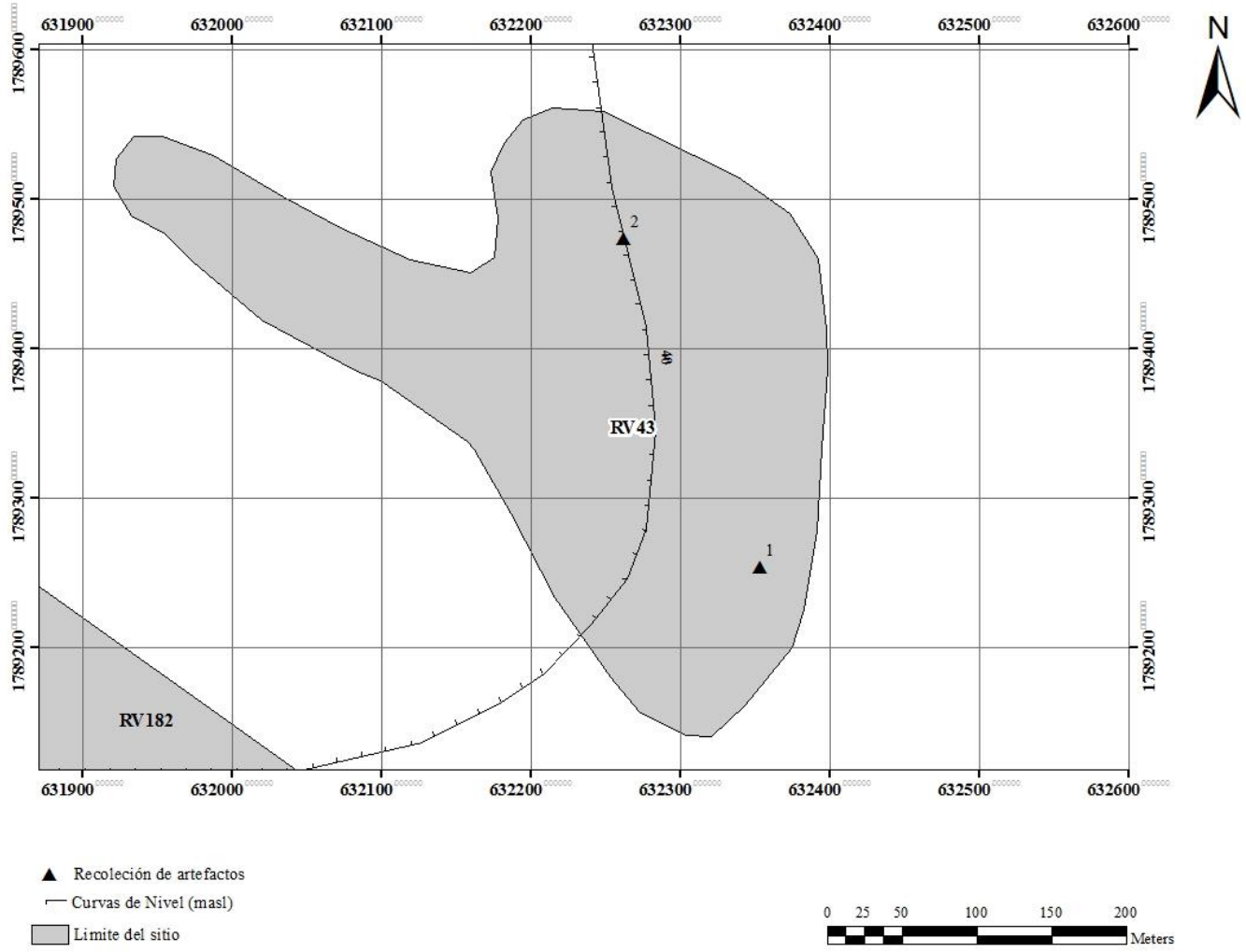
1. Descripción _____

2. Mapa o croquis _____

CROQUIS: Camino Charquito el Guayaba (RV43)

ESCALA: 1:3,000

DIBUJO: Límites del sitio, recolecciones de artefactos, y arquitectura



Observaciones:

Camino Charquito el Guayaba (RV43) fue registrado por primera vez durante el recorrido del RVAP (Grove 1988; Joyce y Winter 1989). El sitio se ubica a alrededor de un kilómetro al noroeste del pueblo de Charco Nduayoo. Las poblaciones locales se refieren comúnmente a este pueblo como "El Charquito", el nombre de la laguna adyacente a su borde este. El RV43 se ubica sobre un abanico aluvial en la base del pie de monte (ver Figura 9.4). De esta manera, el sitio incluye componentes de ambos los valles secundarios y el pie de monte, y se eleva entre 40 y 50 metros sobre el nivel del mar. Midiendo 9.95 hectáreas, RV43 se está utilizando actualmente como terreno de cultivo y las actividades de arado han perturbado los depósitos arqueológicos al noreste.

Los vestigios prehispánicos hallados en Camino Charquito el Guayaba (RV43) consisten en gran parte de piedra trabajada y artefactos de cerámica. La única arquitectura incluye dos muros al sureste del sitio. Es evidente que la preparación de comida se llevaba a cabo en el sitio ya que los investigadores registraron cuatro metates en total en la parte norte del sitio. Tres metates estándares fueron encontrados dispersos ampliamente, y un metate de roca era ubicado en una subida natural que había sido altamente arada. Los investigadores no observaron ninguna evidencia de arquitectura formal en esta subida pero es posible que algunas de las numerosas y dispersas piedras antes formaban parte de muros prehispánicos.

En general, la densidad cerámica era relativamente baja en RV43. Además de la muestra 2, una muestra debajo de la superficie (la muestra 1) fue tomada a 60-80 centímetros debajo de la superficie de un perfil de suelo expuesto en el sureste por la irrigación moderna. La cerámica indica que el sitio fue ocupado durante las fases Chacahua y Yuta Tiyoo.

Grove, David C.
1988. *Archaeological Investigations on the Pacific Coast of Oaxaca, Mexico, 1986*. Informe entregado al National Geographic Society, Washington, D.C.1988

Joyce, Arthur A. y Marcus Winter
1989. Investigaciones arqueológicas en la cuenca del Río Verde inferior, 1988. *Notas Mesoamericanas* 11:249-262.

REGISTRO PÚBLICO DE MONUMENTOS Y ZONAS ARQUEOLÓGICOS

CATALOGO E INVENTARIO DE ZONAS ARQUEOLOGICAS

CLAVE: **RV50**

Anotó: **Raymond Mueller** Fecha: **15/4/2013** **01. TIPO DE SITIO:** **Asentamiento con terrazas**

02. NOMBRE DEL SITIO: **Piedra Ancha** Municipio: **Jamiltepec** Estado: **Oaxaca**

03.COORDENADAS UTM: E **633300** **04. NUMERO DE CARTA** **E14D84**

N **1789962** Escala de la Carta **1:50,000**

05. FOTO AÉREA: Inexistente [X]

Compañía o Institución: Escala Fecha de vuelo

Número de o vuelo: Línea: Foto:

Número de marca en foto: Cuadro menor:

06. INFORMACIÓN RECUPERADA POR: 1. Bibliografía [ ] 2. Fotointerpretació [ ] 3. Informante [ ] 4. Casualid [X]

INFORMACIÓN: 1. Verificada en campo [X] 2. No verificada en campo [ ]

07. TAMAÑO DE POBLACIONES MÁS CERCANAS AL SITIO:

Kms.	TAMAÑO DE POBLACIONES (HABITANTES)		
	< 500	500-2500	> 2500
0		x	
0.1-5			
5-10			

08. ACCESO AL SITIO DESDE POBLACIONES A MENOS DE 10 Kms.

Tipo de ruta	ISTANCIA A RECORRERSE (en kms		
	0--1	1--5	5--10
1. Camino Asfalt	x		
2. Terracería			
3. Brecha	x		
4. Vereda			
5. Vía acuática			
6. Vía aérea			

09. USO ACTUAL DEL SUELO

1. Forestal [X] 2. Ganadero [ ] 3. Agricultura de temporal [ ] 4.Agricultura de riego [X] 5.Urbano [ ] 6.Turtístico [ ]

7. Otros

Observaciones sobre proporciones y localización

10. NUMERO Y TAMAÑO DE ESTRUCTURAS DEL SITIO:

EXTENSIÓN **692,000** m2

69.2 Has.

(1 Hectárea= 10,000 m2)

Altura	NÚMERO DE ESTRUCTURAS				
	0--5	6--10	11--50	51--100	> 100
< 2	x				
2--5	x				
6--10					
> 10					

11. GRADO DE SAQUEO ENCONTRADO EN EL SITIO:

0. Ninguno [X]
1. Saqueo antiguo [ ]
2. Saqueo reciente ocasional [ ]
3. Saqueo reciente sistemático simple [ ]
4. Saqueo reciente sistemático profesi [ ]

12. GRADO DE DESTRUCCIÓN POTENCIAL EN EL SITIO

0. Ninguno [ ]

1. Por obra de infraestructura a corto plazo [ ]
2.- Por obra de infraestructura a mediano plazo [ ]
3. Por obra de infraestructura a largo plazo [ ]
4. Extracción de piedra como actividad familiar [ ]
5. Extracción de piedra como actividad mayor [ ]
6. Nivelación del terreno como obra agrícola [x]
7, Asentamiento humano [x]
8. Vandalismo [ ]

EROSIÓN:

9. Extensiva severa [ ] 10. Extensiva moderada [ ] 11. Parcial severa [x] 12. Parcial moderda [x]

13. Observaciones sobre intensidad de destrucción y otros procesos no descritos:

13. GRADO DE EXPOSICION DE ELEMENTOS ARQUEOLOGICOS

0. Ninguno [ ]

1. Estratigrafía [ ] 2. Arquitectura [x] 3. Tumbas [ ] 4. Escultura [ ] 5. Pintura mural [ ]

6, Otros _____
Fotos _____

Observaciones

14. MATERIALES FUNDAMENTALES EN LACONSTRUCCION DE ESTRUCTURAS:

0. No observables [ ]

1. Piedra careada [x] 2. Pieda y tierra [x] 3. Ladrillo [ ] 4. Adobe [ ] 5. Tierra [ ]

6, Otros _____

Observaciones sobre posición original de material y proporciones:

15. OTROS VALORES DEL SITIO

1. Didáctico [x]

2. Investigación [X] Conservación Excepcional [ ] 4. Alto valor artístico [ ] 5. Sitio asociado a trabajo excepcional [ ]

Observaciones sobre justificación de la decisión:

16.- TENENCIA DE LA TIERA EN EL ÁREA DEFINIDA POR LOS LÍMITES DEL SITIO:

1. Federal [ ] 2. Comunal [ ] 3. Pequeña propiedad [x] 4.Mediana propiedad [x] 5. Ejidal [ ]

Observaciones sobre proporciones y localización:

17. CRONOLOGÍA TENTATIVA

MUESTREAR MATERIAL CERÁMICO Y/O LÍTICO DIAGNÓSTICO EN CASO DE QUE EL ÁREA NO HAYA SIDO INVESTIGADA

1. Anterior a 5000 a.n.e. [ ]
2. 5000-1500 a.n.e. [ ]
3. 1500 a.n.e.-200 n.e. [x]
4. 200-650/900 n.e [x]
5. 650/900-1200 n.e [x]
6. 1200-1521 n.e [x]
7. Post.1521 n.e. [ ]

BIBLIOGRAFÍA MÍNIMA DEL SITIO

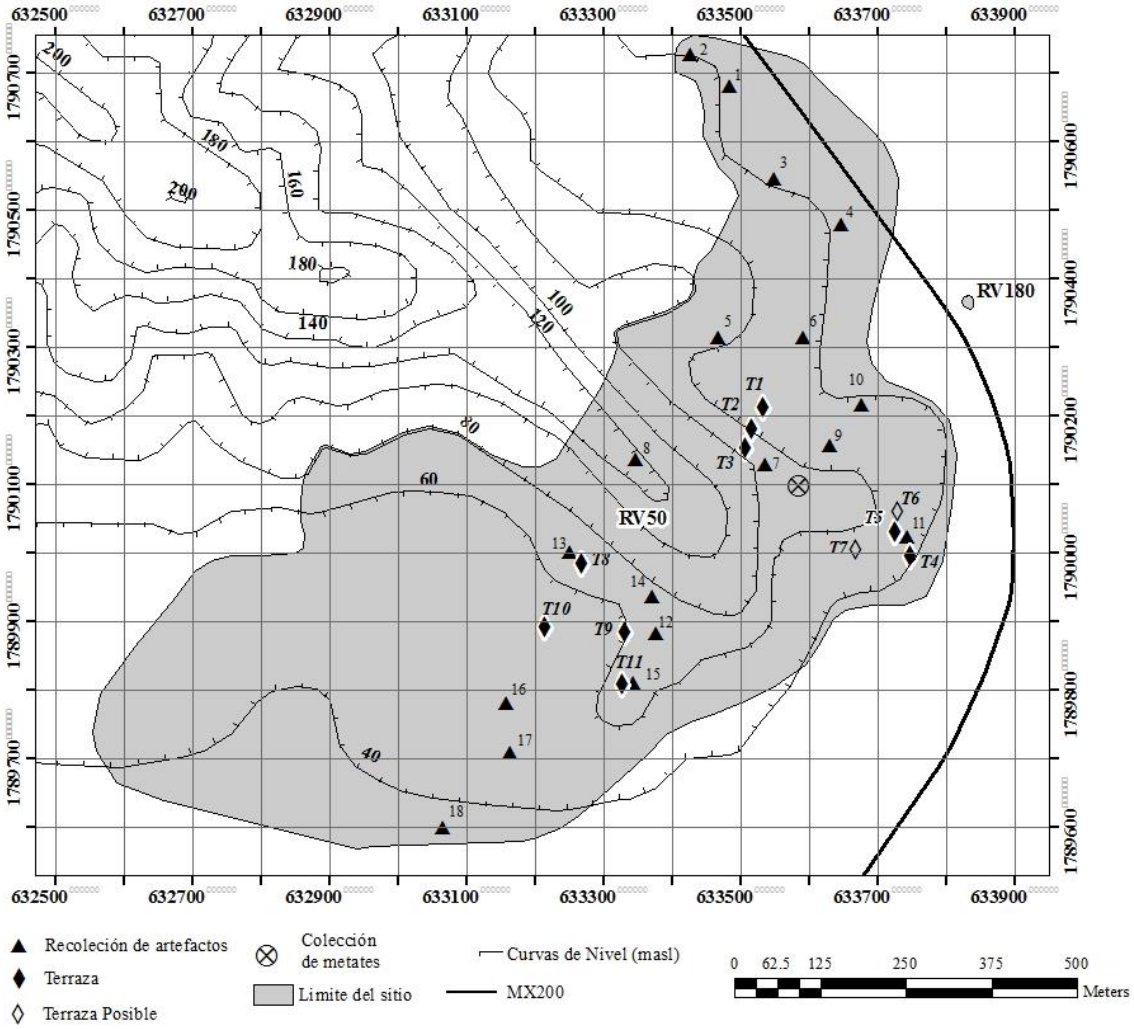
1. Descripción _____

2. Mapa o croquis _____

CROQUIS: Piedra Ancha (RV50)

ESCALA: 1:7,000

DIBUJO: Límites del sitio, recolecciones de artefactos, y arquitectura



Observaciones:

Midiendo 69.20 hectáreas, Piedra Ancha (RV50) es el segundo sitio más grande del recorrido del 2013, después de RV170. El sitio fue registrado por primera vez por Brockington (ver Brockington 1974) durante su *Oaxaca Coast Project* en 1970-1971. El RVAP también investigó el sitio (Grove 1988; Joyce y Winter 1989; ver también Joyce 1991:413-416). En su frontera noroeste, RV50 colinda con el pueblo moderno de Atotonilquillo y su parte noreste se extiende hasta el pueblo moderno de Piedra Ancha. Por cuestiones de tiempo, no se pudo hacer un recorrido formal del pueblo de Piedra Ancha, y por lo tanto es posible que RV50 se sigue más al este.

Los vestigos arqueológicos en Piedra Ancha (RV50) se agrupan principalmente en el pie del monte bajo, en una cresta que atraviesa el sitio (ver Figura 9.5). Una pequeña parte del asentamiento se halla en las crestas arriba de estas laderas, en los cerros bajos al sur, y en valles secundarios al noreste. Como resultado de la variación topográfica, la elevación del sitio es entre 25-120 metros sobre el nivel del mar. Áreas del sitio que se encuentren en el pie de monte están entre 40 y 120 metros sobre el nivel del mar, mientras que áreas sobre la planicie aluvial y los cerros bajos se encuentren a 25-40 metros sobre el nivel del mar. No es sorprendente que la bioturbación es muy intensa en las laderas del pie de monte, donde el sedimento así como tiestos de cerámica que están erosionándose se pueden apreciar. Por lo tanto, la densidad de la cerámica es más alta en estas cuestas y más baja en la cumbre de las crestas. Es muy probable que vestigios arqueológicos en la base de las cuestas han sido enterrados por sedimento.

El uso de terreno moderno y las perturbaciones en Piedra Ancha también varían considerablemente. Los impactos más grandes al sitio provienen de áreas a las afueras de los pueblos modernos de Atontonilquillo y Piedra Ancha. Además de estas zonas urbanizadas, la mayoría de la mitad norte del sitio se usa para el cultivo y como terreno de pastura, con el cultivo confinado al terreno más plano. Las áreas al pie de monte más inclinadas están cubiertas por un bosque de arbustos. La mitad sur del sitio muestra una distribución topográfica similar a áreas cultivadas en comparación a áreas de poca vegetación.

Como se muestra, la mayor parte de la arquitectura en Piedra Ancha se localiza en las laderas del pie de monte. Esta discusión se divide geográficamente entre los restos encontrados: 1) sobre y al norte de la cresta, y 2) al sur de la cresta. La ocupación parece ser más intensa al norte. Esto probablemente es debido al hecho de que las cuestas tendían a ser más inclinadas al lado sur de la cresta.

Un posible sector residencial podría ser definido junto a la frontera noroeste del pueblo moderno de Piedra Ancha. La mayoría de este sector se localiza en un radio de 300 metros del pueblo (muestras 4, 6, y 9-11; T1-T3), pero algunos restos se encuentran esparcidos a 500 metros de distancia (muestra 4; ver Figura 9.5). Aquí, los habitantes del sitio ocuparon las laderas de entre 40 y 60 metros sobre el nivel del mar. La mayoría de las áreas ocupadas se encontraban sobre terrazas naturales creadas sobre afloramientos de roca madre o por rocas grandes. En algunos casos, estas superficies podrían haber sido aplanadas artificialmente, o modificadas añadiendo sedimento de otro lugar. Sin embargo, por lo menos dos áreas fueron formalmente convertidas en terrazas. La primera incluye una secuencia de por lo menos tres terrazas a elevaciones diferentes (T1, T2, y T3; ver Figura 9.6) con muros de contención visibles. Uno de los muros fue construido utilizando 2-3 capas horizontales de piedras grandes (Figura 9.7). A más de 250 metros de la frontera este del sitio, otro grupo de terrazas (T4 y T5)

fue registrado a distintas elevación. Una de las terrazas (T4) contaba con un muro de contención en su lado sureste, cuesta abajo. Varios muros más pequeños también fueron registrados en la superficie de la T4, que cuales formaron pequeños espacios rectangulares (ver abajo). Dos terrazas adicionales pueden haber sido construidos al noreste (T6) y al noroeste (T7).

En general, la evidencia de actividad residencial es diversa a lo largo de las laderas norte del pie de monte. En la mayoría de las áreas asentadas, los investigadores observaron muy poca arquitectura visible además de una pequeña cantidad de muros de contención perteneciendo a terrazas. Típicamente en el caso de encontrarse muros aislados, solo serían uno o dos los que se registraron sobre ambos las terrazas artificiales o las superficies naturalmente planas de las cuestas ocupadas. Por lo tanto, es difícil determinar si fueron cimientos de residencias o muros de contención para plataformas bajas. Sin embargo, los espacios rectangulares delimitados en la Terraza 4 posiblemente son cimientos de residencia. Es posible que la evidencia de residencias en otras áreas haya sido destruida por fuertes perturbaciones en el área ocasionada por erosión, pastura de ganado, y actividades agrícolas (ver arriba). Evidencia adicional de actividades domésticas incluye una densidad media de metates (menos de 15 a lo largo de 14 hectáreas aproximadamente), la mayoría de los cuales se hallaron dentro de rocas grandes. La densidad de metates más elevada se encuentra en la frontera este de RV50, dentro de 200 metros del pueblo moderna de Piedra Ancha.

Las actividades residenciales también pudieron haber ocurrido sobre las crestas elevadas entre 60-120 metros sobre el nivel del mar, donde las áreas naturalmente planas fueron ocupadas (muestras 7 y 8; ver Figura 9.5). Mientras que no se registró casi nada de arquitectura, muchos metates de roca fueron encontrados al lado este de una cresta con un pequeña área de 360 m². Sin duda, los habitantes del sitio aprovecharon una concentración natural de rocas grandes. De igual manera, altas densidades de metates se han encontrado en otras áreas del bajo Verde tales como en Las Pilitas/Yucutita (RV32; ver Joyce 1999:14-15) y Monte El Santo (RV158; ver Hedgepeth y Koukopoulos 2012:507, 512). Dichas áreas pudieron haber sido usadas para el procesamiento especializado de maíz, posiblemente para un arreglo comunal (Hedgepeth y Koukopoulos 2015:512; Joyce 1999:14-15).

Áreas aluviales y en el pie de monte cercanas a la frontera norte del sitio (muestras 1-3; ver Figura 9.5) contenían características menos definidas que otras áreas descritas hasta el momento. En la zona aluvial, un solo mano de metate fue encontrado en una colina muy baja, y dos pequeños fragmentos fueron registrados en las cercanías (alrededor de 70 metros al norte). En contraste con las otras cuestas ocupadas más al sur, los habitantes del sitio solo se establecieron en los cerros del bajo pie de monte (40 metros sobre el nivel del mar) en la punta norte del sitio. Allí, la única evidencia de ocupación que se encontró fue tepalcates esparcidos (muestras 1-3).

En la mitad sur de RV50, otro posible sector residencial se localiza cerca de la frontera suroeste del pueblo moderno de Piedra Ancha. La ocupación se localizó en una sola cuesta (muestras 13 y 16-17; ver Figura 9.5) donde al menos tres niveles diferentes fueron ocupados, con un rango de entre 40 a 80 metros sobre el nivel del mar. Tal como en áreas más al norte (muestras 4, 6, y 9-11; T1-T3), los constructores crearon terrazas artificiales a partir de paredes de contención creadas por el hombre (T8-T-11) y también utilizaron afloramientos de roca natural. Uno de los muros de contención fue construido utilizado ortosatos (Figura 9.8). Ya que se encontraron paredes más pequeñas y más de 25 metates en las superficies ocupacionales, ese sector probablemente era residencial. Desecho domestico adicional se

encontró esparcido al noroeste de este grupo; los investigadores detectaron más de 15 metates y varios restos de pared.

Muestras de cerámica indican que Piedra Ancha fue asentada desde la fase Miniyua hasta los tiempos después de la conquista española. La ocupación más grande ocurrió durante la case Coyuche. Los asentamientos iniciales de la fase Miniyua se ubicaron en las pequeñas áreas al norte (muestra 2) y al este (muestras 10 y 11) del sitio. Durante la fase Chacahua, la ocupación se extendió a casi todas las áreas de Piedra Ancha con la excepción del sector residencial al sur (muestras 13-17). Solo el componente noroeste de esta área contaba con una fecha de la fase Chacahua (muestra 12). El asentamiento de la fase Coyuche era continuo en casi las mismas áreas de RV50. La ocupación en el sector residencial al sur se amplió para cubrir todas las áreas menos los componentes al noreste (muestra 14) y al centro (muestra 16). Durante la fase Yuta Tiyoo, partes del sitio al este y al noreste fueron abandonados (S3, S5, S6, S7, S9 y S11). Sin embargo, por primera vez todos los sectores residenciales al sur fueron ocupados (muestras 12-17). El asentamiento se redujo aún más durante la fase Yugüe, cuando contaba solamente pequeñas partes de los componentes este (muestra 6) y sureste (muestra 14). Durante la fase Yucudzaa, la ocupación solo continuó alrededor de la muestra 6. Después de la conquista española, el asentamiento se movió hacia una pequeña área en la punta norte del sitio, cerca del pueblo moderno de Atotonilquillo (muestra 1).

Brockington, Donald

1974 Reconnaissance from the Rio Tonameca to Salina Cruz. En *The Oaxaca Coast Project Reports: Part 11***.** Vanderbilt University Publications in Anthropoloqy, 9*.* Vanderbilt University. Nashville. Pp. 3-33.

Grove, David C.

1988. *Archaeological Investigations on the Pacific Coast of Oaxaca, Mexico, 1986*. Informe entregado al National Geographic Society, Washington, D.C.1988

Hedgepeth, J.D. y Koukopoulos, J.R.M.

2012 Recorrido Regional de Superficie. En *Proyecto Río Verde: Informe Técnico de la Temporada de 2012*, editado por Sarah B. Barber y Arthur A. Joyce. Informe entregado al Consejo de Arqueología y el Centro INAH Oaxaca, Instituto Nacional de Antropología e Historia, Oaxaca, Oaxaca, Mexico.

Joyce, Arthur A.

1991 *Formative Period Occupation in the Lower Rio Verde Valley, Oaxaca, Mexico: Interregional Interaction y Social Change.* Tesis Doctoral, Rutgers University.

1999 (editor) *El Proyecto Patrones de Asentamiento del Río Verde*. Informe Final entregado al Consejo de Arquelogía, Instituto Nacional de Antropología e Historia, Mexico

Joyce, Arthur A. y Marcus Winter

1989. Investigaciones arqueológicas en la cuenca del Río Verde inferior, 1988. *Notas Mesoamericanas* 11:249-262.

REGISTRO PÚBLICO DE MONUMENTOS Y ZONAS ARQUEOLÓGICOS

CATALOGO E INVENTARIO DE ZONAS ARQUEOLOGICAS

CLAVE: **RV51**

Anotó: **Paris Ferrand Alcaraz** Fecha: **11/4/2013** **01. TIPO DE SITIO:** **Concentración de cerámicas**

02. NOMBRE DEL SITIO: **Loma Emiliano Zapata** Municipio: **Jamiltepec** Estado: **Oaxaca**

03.COORDENADAS UTM: E **632540** **04. NUMERO DE CARTA** **E14D84**

N **1787321** Escala de la Carta **1:50,000**

05. FOTO AÉREA: Inexistente [X]

Compañía o Institución: Escala Fecha de vuelo

Número de o vuelo: Línea: Foto:

Número de marca en foto: Cuadro menor:

06. INFORMACIÓN RECUPERADA POR: 1. Bibliografía [ ] 2. Fotointerpretació [ ] 3. Informante [ ] 4. Casualid [X]

INFORMACIÓN: 1. Verificada en campo [x] 2. No verificada en campo [ ]

07. TAMAÑO DE POBLACIONES MÁS CERCANAS AL SITIO:

		TAMAÑO DE POBLACIONES (HABITANTES)		
		< 500	500-2500	> 2500
Kms.	0		x	
	0.1-5			
	5-10			

08. ACCESO AL SITIO DESDE POBLACIONES A MENOS DE 10 Kms.

		ISTANCIA A RECORRERSE (en kms		
		0--1	1--5	5--10
Tipo de ruta	1. Camino Asfalt			
	2. Terracería	x		
	3. Brecha			
	4. Vereda			
	5. Vía acuática			
	6. Vía aérea			

09. USO ACTUAL DEL SUELO

1. Forestal [x] 2. Ganadero [ ] 3. Agricultura de temporal [ ] 4.Agricultura de riego [ ] 5.Urbano [ ] 6.Turístico [ ]

7. Otros

Observaciones sobre proporciones y localización

10. NUMERO Y TAMAÑO DE ESTRUCTURAS DEL SITIO:

EXTENSIÓN **1,200** m2

0.12 Has.

(1 Hectárea= 10,000 m2)

		NÚMERO DE ESTRUCTURAS				
		0--5	6--10	11--50	51--100	> 100
Altura	< 2	x				
	2--5					
	6--10					
	> 10					

11. GRADO DE SAQUEO ENCONTRADO EN EL SITIO:

0. Ninguno [x]
1. Saqueo antiguo [ ]
2. Saqueo reciente ocasional [ ]
3. Saqueo reciente sistemático simple [ ]
4. Saqueo reciente sistemático profesi [ ]

12. GRADO DE DESTRUCCIÓN POTENCIAL EN EL SITIO 0. Ninguno [x]

1. Por obra de infraestructura a corto plazo [ ]
2.- Por obra de infraestructura a mediano plazo [ ]
3. Por obra de infraestructura a largo plazo [ ]
4. Extracción de piedra como actividad familiar [ ]
5. Extracción de piedra como actividad mayor [ ]
6. Nivelación del terreno como obra agrícola [ ]
7, Asentamiento humano [ ]
8. Vandalismo [ ]

EROSIÓN:

9. Extensiva severa [ ] 10. Extensiva moderada [ ] 11. Parcial severa [ ] 12. Parcial moderda [x]

13. Observaciones sobre intensidad de destrucción y otros procesos no descritos:

13. GRADO DE EXPOSICION DE ELEMENTOS ARQUEOLOGICOS 0. Ninguno [ ]

1. Estratigrafía [ ] 2. Arquitectura [ ] 3. Tumbas [ ] 4. Escultura [ ] 5. Pintura mural [ ]

6, Otros **Solamente cerámicas**
Fotos

Observaciones

14. MATERIALES FUNDAMENTALES EN LACONSTRUCCION DE ESTRUCTURAS: 0. No observables [x]

1. Piedra careada [ ] 2. Pieda y tierra [ ] 3. Ladrillo [ ] 4. Adobe [ ] 5. Tierra [ ]

6, Otros

Observaciones sobre posición original de material y proporciones:

15. OTROS VALORES DEL SITIO 1. Didáctico [ ]

2. Investigación [X] Conservación Excepcional [ ] 4. Alto valor artístico [ ] 5. Sitio asociado a trabajo excepcional [ ]

Observaciones sobre justificación de la decisión:

16.- TENENCIA DE LA TIERA EN EL ÁREA DEFINIDA POR LOS LÍMITES DEL SITIO:

1. Federal [ ] 2. Comunal [ ] 3. Pequeña propiedad [x] 4.Mediana propiedad [ ] 5. Ejidal [ ]

Observaciones sobre proporciones y localización:

17. CRONOLOGÍA TENTATIVA

MUESTREAR MATERIAL CERÁMICO Y/O LÍTICO DIAGNÓSTICO EN CASO DE QUE EL ÁREA NO HAYA SIDO INVESTIGADA

1. Anterior a 5000 a.n.e. [ ]
2. 5000-1500 a.n.e. [ ]
3. 1500 a.n.e.-200 n.e. [x]
4. 200-650/900 n.e [x]
5. 650/900-1200 n.e [ ]
6. 1200-1521 n.e [ ]
7. Post.1521 n.e. [ ]

BIBLIOGRAFÍA MÍNIMA DEL SITIO

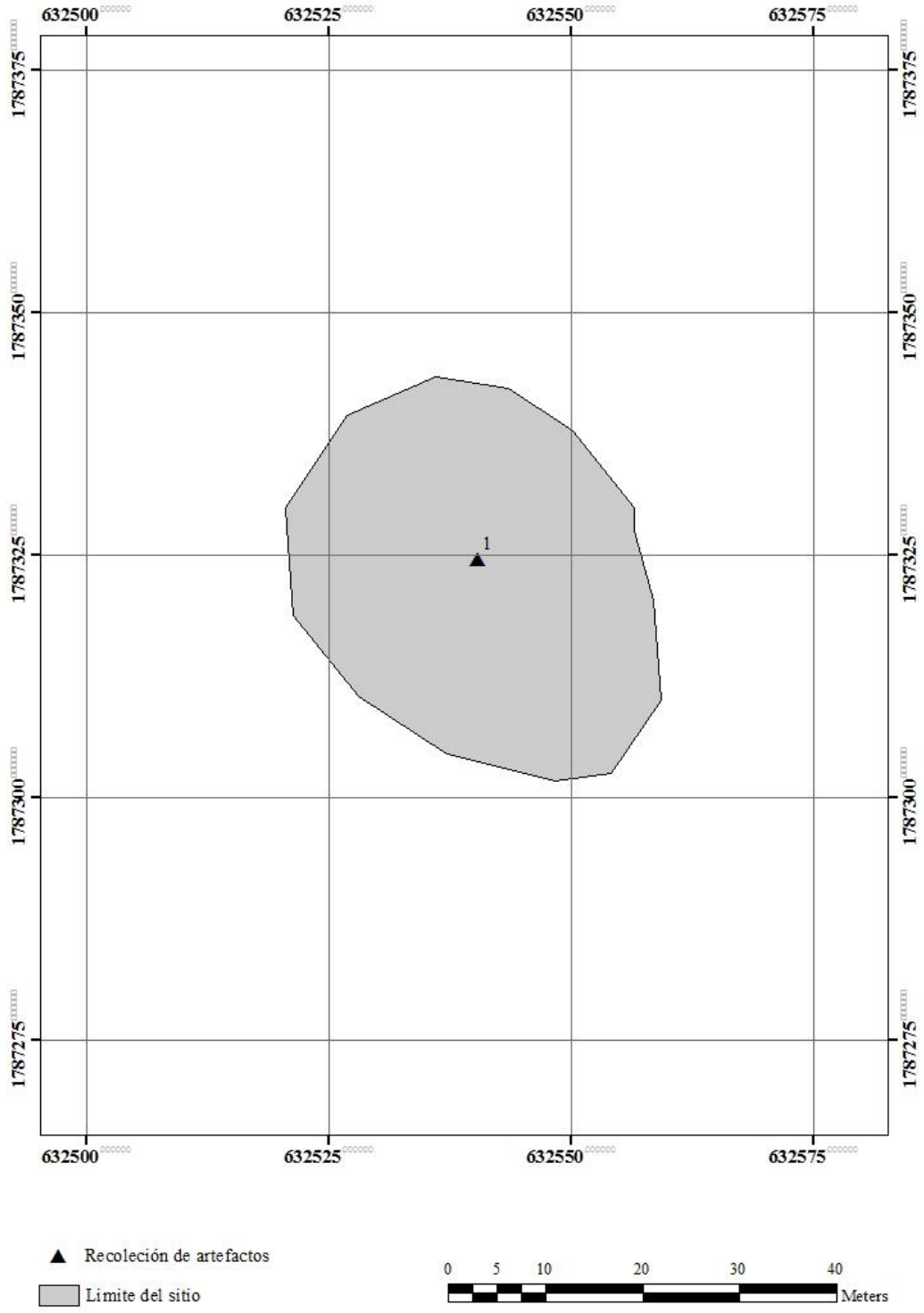
1. Descripción

2. Mapa o croquis

CROQUIS: Loma Emiliano Zapata (RV51)

ESCALA: 1:500

DIBUJO: Límites del sitio, recolecciones de artefactos, y arquitectura



Observaciones:

Loma Emiliano Zapata (RV51) es un pequeño sitio (0.12 ha) ubicado a 400 metros al oeste del pueblo moderno de Emiliano Zapata. El sitio fue registrado por primera vez en 1986 durante el recorrido de RVAP (Grove 1988; Joyce y Winter 1989). Ubicado entre dos laderas del pie de monte, RV51 se ubica en una colina natural que mide entre 35-40 metros sobre el nivel del mar. Como resultado, la erosión es moderada. Actualmente, el sitio no está siendo cultivado. Ningún elemento arquitectónico ha sido encontrado (ver Figura 9.9). La densidad de artefactos es muy leve, y la única muestra (muestra 1) recogida indica que Loma Emiliano Zapata (RV51) fue ocupada durante las fases Chacahua y Coyuche.

Grove, David C.
1988. *Archaeological Investigations on the Pacific Coast of Oaxaca, Mexico, 1986*. Informe entregado al National Geographic Society, Washington, D.C.1988

Joyce, Arthur A. y Marcus Winter
1989. Investigaciones arqueológicas en la cuenca del Río Verde inferior, 1988. *Notas Mesoamericanas* 11:249-262.

REGISTRO PÚBLICO DE MONUMENTOS Y ZONAS ARQUEOLÓGICOS

CATALOGO E INVENTARIO DE ZONAS ARQUEOLOGICAS

CLAVE: **RV52**

Anotó: **Raymond Mueller** Fecha: **18/4/2013** **01. TIPO DE SITIO:** **Asentamiento con terrazas**

02. NOMBRE DEL SITIO: **Loma la Boquilla** Municipio: **Jamiltepec** Estado: **Oaxaca**

03.COORDENADAS UTM: E **631753** **04. NUMERO DE CARTA** **E14D84**

N **1784923** Escala de la Carta **1:50,000**

05. FOTO AÉREA: Inexistente [X]

Compañía o Institución: Escala Fecha de vuelo

Número de o vuelo: Línea: Foto:

Número de marca en foto: Cuadro menor:

06. INFORMACIÓN RECUPERADA POR: 1. Bibliografía [ ] 2. Fotointerpretació [ ] 3. Informante [ ] 4. Casualid [X]

INFORMACIÓN: 1. Verificada en campo [X] 2. No verificada en campo [ ]

07. TAMAÑO DE POBLACIONES MÁS CERCANAS AL SITIO:

		TAMAÑO DE POBLACIONES (HABITANTES)		
		< 500	500-2500	> 2500
Kms.	0			
	0.1-5		x	
	5-10			

08. ACCESO AL SITIO DESDE POBLACIONES A MENOS DE 10 Kms.

		ISTANCIA A RECORRERSE (en kms		
		0--1	1--5	5--10
Tipo de ruta	1. Camino Asfalt			
	2. Terracería	x		
	3. Brecha			
	4. Vereda			
	5. Vía acuática			
	6. Vía aérea			

09. USO ACTUAL DEL SUELO

1. Forestal [X] 2. Ganadero [X] 3. Agricultura de temporal [ ] 4.Agricultura de riego [ ] 5.Urbano [ ] 6.Turtístico [ ]

7. Otros

Observaciones sobre proporciones y localización

10. NUMERO Y TAMAÑO DE ESTRUCTURAS DEL SITIO:

EXTENSIÓN **101,600** m2

10.16 Has.

(1 Hectárea= 10,000 m2)

		NÚMERO DE ESTRUCTURAS				
		0--5	6--10	11--50	51--100	> 100
Altura	< 2	x				
	2--5					
	6--10					
	> 10					

11. GRADO DE SAQUEO ENCONTRADO EN EL SITIO:

0. Ninguno [X]
1. Saqueo antiguo [ ]
2. Saqueo reciente ocasional [ ]
3. Saqueo reciente sistemático simple [ ]
4. Saqueo reciente sistemático profesi [ ]

12. GRADO DE DESTRUCCIÓN POTENCIAL EN EL SITIO

0. Ninguno [ ]

1. Por obra de infraestructura a corto plazo [ ]
2.- Por obra de infraestructura a mediano plazo [ ]
3. Por obra de infraestructura a largo plazo [ ]
4. Extracción de piedra como actividad familiar [ ]
5. Extracción de piedra como actividad mayor [ ]
6. Nivelación del terreno como obra agrícola [x]
7, Asentamiento humano [ ]
8. Vandalismo [ ]

EROSIÓN:

9. Extensiva severa [ ] 10. Extensiva moderada [x] 11. Parcial severa [ ] 12. Parcial moderda [ ]

13. Observaciones sobre intensidad de destrucción y otros procesos no descritos:

13. GRADO DE EXPOSICION DE ELEMENTOS ARQUEOLOGICOS

0. Ninguno [ ]

1. Estratigrafía [ ] 2. Arquitectura [x] 3. Tumbas [ ] 4. Escultura [ ] 5. Pintura mural [ ]

6, Otros _____
Fotos _____

Observaciones

14. MATERIALES FUNDAMENTALES EN LACONSTRUCCION DE ESTRUCTURAS:

0. No observables [ ]

1. Piedra careada [ ] 2. Pieda y tierra [x] 3. Ladrillo [ ] 4. Adobe [ ] 5. Tierra [ ]

6, Otros _____

Observaciones sobre posición original de material y proporciones:

15. OTROS VALORES DEL SITIO

1. Didáctico [ ]

2. Investigación [X] Conservación Excepcional [ ] 4. Alto valor artístico [ ] 5. Sitio asociado a trabajo excepcional [ ]

Observaciones sobre justificación de la decisión:

16.- TENENCIA DE LA TIERA EN EL ÁREA DEFINIDA POR LOS LÍMITES DEL SITIO:

1. Federal [ ] 2. Comunal [ ] 3. Pequeña propiedad [x] 4.Mediana propiedad [ ] 5. Ejidal [ ]

Observaciones sobre proporciones y localización:

17. CRONOLOGÍA TENTATIVA

MUESTREAR MATERIAL CERÁMICO Y/O LÍTICO DIAGNÓSTICO EN CASO DE QUE EL ÁREA NO HAYA SIDO INVESTIGADA

1. Anterior a 5000 a.n.e. [ ]
2. 5000-1500 a.n.e. [ ]
3. 1500 a.n.e.-200 n.e. [x]
4. 200-650/900 n.e [x]
5. 650/900-1200 n.e [x]
6. 1200-1521 n.e [ ]
7. Post.1521 n.e. [ ]

BIBLIOGRAFÍA MÍNIMA DEL SITIO

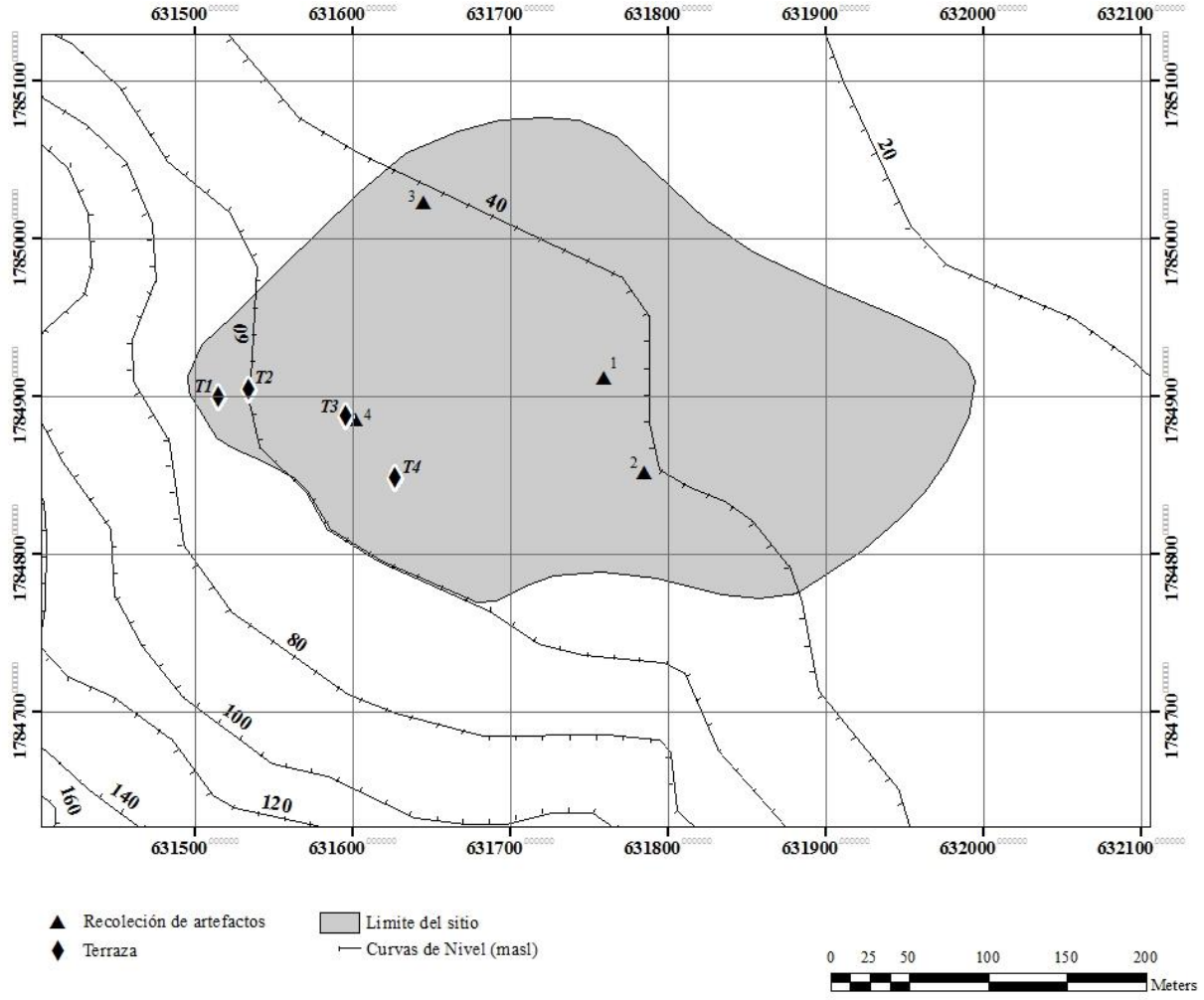
1. Descripción _____

2. Mapa o croquis _____

CROQUIS: Loma La Boquilla (RV52)

ESCALA: 1:3,023

DIBUJO: Límites del sitio, recolecciones de artefactos, y arquitectura



Observaciones:

Loma La Boquilla (RV52) es un sitio de 10.16 hectáreas ubicado a 1 kilómetro al noroeste del pueblo moderno de La Boquilla. El sitio fue originalmente investigado durante el recorrido del RVAP (Grove 1988; Joyce y Winter 1989). Es posible que RV52 forma parte del sitio de La Boquilla (RV17) que se extiende dentro del pueblo moderno del mismo nombre (ver Grove 1988:15-16; Joyce 1991:10-11). Se necesitaría más investigación para confirmar las fronteras de estos sitios.

RV52 se ubica en las laderas del pie de monte en una altitud de 25-60 metros sobre el nivel del mar (ver Figura 9.10). Geológicamente, estas laderas se pueden dividir en tres categorías, de elevación más alta a más baja: 1) cuestas, 2) pie de monte con erosión, y 3) pie de monte sedimentario. La segunda categoría también se puede llamar "pediment" en inglés e incluye superficies planas de roca madre que están creadas por procesos de erosión. Tales áreas fueron áreas de depósito del pie de monte. Esto es importante, ya que áreas del pie de monte son ideales para la ocupación humana (ver Figura 9.11). En términos de uso de terreno, ambos las cuestas y el pie de monte están cubiertas por vegetación gruesa (árboles y arbustos), por los cuales la visibilidad es difícil. A cambio, zonas más bajas del pie de monte sirven actualmente como áreas de pastoreo.

La arquitectura en Loma La Boquilla (RV52) se localiza en elevaciones más altas. Por lo menos 3 a 4 terrazas probables (T1-T4) con muros de contención fueron registrados en la frontera sur del sitio, donde el pie de monte se transforma en una zona de crestas (alrededor de 50-70 metros sobre el nivel del mar; ver Figura 9.10). Cuatro muros de contención más pequeños de propósito desconocido fueron también encontrados en esta área. Cuesta debajo de estas terrazas, cerca a la frontera oeste del sitio, los investigadores encontraron dos pequeños muros adicionales. Un metate en roca también fue registrado a 60 metros al norte de estos muros, cerca de la muestra 3.

Los vestigios arquitectónicos en el bajo pie de monte fueron mucho menos completos, debido en gran parte a las actividades de pastoreo actuales (ver arriba). Solo 4 pequeños muros fueron registrados cerca de la esquina noroeste del sitio. Dos metates también fueron encontrados al norte y al este.

En general, la densidad de artefactos en RV52 fue baja, aunque la vegetación pudo haber afectado estos resultados. Muestras de cerámica indican que el sitio fue ocupado durante las fases Minizundo, Coyuche, y Yugüe, con la ocupación más importante durante esta última fase.

Grove, David C.
1988. *Archaeological Investigations on the Pacific Coast of Oaxaca, Mexico, 1986*. Informe entregado al National Geographic Society, Washington, D.C.1988

Joyce, Arthur A.
1991 *Formative Period Occupation in the Lower Rio Verde Valley, Oaxaca, Mexico: Interregional Interaction y Social Change.* Tesis Doctoral, Rutgers University.

Joyce, Arthur A. y Marcus Winter
1989. Investigaciones arqueológicas en la cuenca del Río Verde inferior, 1988. *Notas Mesoamericanas* 11:249-262.

REGISTRO PÚBLICO DE MONUMENTOS Y ZONAS ARQUEOLÓGICOS

CATALOGO E INVENTARIO DE ZONAS ARQUEOLOGICAS

CLAVE: **RV74**

Anotó: **Raymond Mueller** Fecha: **27/3/2013** **01. TIPO DE SITIO:** **Asentamiento con un montículo y juego de pelota**

02. NOMBRE DEL SITIO: **La Humedad** Municipio: **Jamiltepec** Estado: **Oaxaca**

03.COORDENADAS UTM: E **630995** **04. NUMERO DE CARTA** **E14D84**

N **1793952** Escala de la Carta **1:50,000**

05. FOTO AÉREA: Inexistente [X]

Compañía o Institución: Escala Fecha de vuelo

Número de o vuelo: Línea: Foto:

Número de marca en foto: Cuadro menor:

06. INFORMACIÓN RECUPERADA POR: 1. Bibliografía [ ] 2. Fotointerpretació [ ] 3. Informante [ ] 4. Casualid [X]

INFORMACIÓN: 1. Verificada en campo [X] 2. No verificada en campo [ ]

07. TAMAÑO DE POBLACIONES MÁS CERCANAS AL SITIO:

Kms.	TAMAÑO DE POBLACIONES (HABITANTES)		
	< 500	500-2500	> 2500
0			
0.1-5	x		
5-10			

08. ACCESO AL SITIO DESDE POBLACIONES A MENOS DE 10 Kms.

Tipo de ruta	ISTANCIA A RECORRERSE (en kms		
	0--1	1--5	5--10
1. Camino Asfalt	x		
2. Terracería	x		
3. Brecha			
4. Vereda			
5. Vía acuática			
6. Vía aérea			

09. USO ACTUAL DEL SUELO

1. Forestal [X] 2. Ganadero [ ] 3. Agricultura de temporal [ ] 4.Agricultura de riego [ ] 5.Urbano [ ] 6.Turtístico [ ]

7. Otros **Fábrica de hormigón**

Observaciones sobre proporciones y localización

10. NUMERO Y TAMAÑO DE ESTRUCTURAS DEL SITIO:

EXTENSIÓN **100,000** m2

10 Has.

(1 Hectárea= 10,000 m2)

Altura	NÚMERO DE ESTRUCTURAS				
	0--5	6--10	11--50	51--100	> 100
< 2					
2--5	x				
6--10					
> 10					

11. GRADO DE SAQUEO ENCONTRADO EN EL SITIO:

0. Ninguno [X]
1. Saqueo antiguo [ ]
2. Saqueo reciente ocasional [ ]
3. Saqueo reciente sistemático simple [ ]
4. Saqueo reciente sistemático profesi [ ]

12. GRADO DE DESTRUCCIÓN POTENCIAL EN EL SITIO

0. Ninguno [ ]

1. Por obra de infraestructura a corto plazo [ ]
2.- Por obra de infraestructura a mediano plazo [ ]
3. Por obra de infraestructura a largo plazo [x]
4. Extracción de piedra como actividad familiar [ ]
5. Extracción de piedra como actividad mayor [ ]
6. Nivelación del terreno como obra agrícola [ ]
7, Asentamiento humano [ ]
8. Vandalismo [ ]

EROSIÓN:

9. Extensiva severa [ ] 10. Extensiva moderada [x] 11. Parcial severa [ ] 12. Parcial moderda [ ]

13. Observaciones sobre intensidad de destrucción y otros procesos no descritos:

13. GRADO DE EXPOSICION DE ELEMENTOS ARQUEOLOGICOS

0. Ninguno [ ]

1. Estratigrafía [x] 2. Arquitectura [x] 3. Tumbas [ ] 4. Escultura [ ] 5. Pintura mural [ ]

6, Otros _____

Fotos _____

Observaciones

14. MATERIALES FUNDAMENTALES EN LACONSTRUCCION DE ESTRUCTURAS:

0. No observables [ ]

1. Piedra careada [ ] 2. Pieda y tierra [x] 3. Ladrillo [ ] 4. Adobe [ ] 5. Tierra [ ]

6, Otros _____

Observaciones sobre posición original de material y proporciones:

15. OTROS VALORES DEL SITIO

1. Didáctico [x]

2. Investigación [X] Conservación Excepcional [x] 4. Alto valor artístico [ ] 5. Sitio asociado a trabajo excepcional [ ]

Observaciones sobre justificación de la decisión:

16.- TENENCIA DE LA TIERA EN EL ÁREA DEFINIDA POR LOS LÍMITES DEL SITIO:

1. Federal [ ] 2. Comunal [ ] 3. Pequeña propiedad [ ] 4.Mediana propiedad [x] 5. Ejidal [ ]

Observaciones sobre proporciones y localización:

17. CRONOLOGÍA TENTATIVA

MUESTREAR MATERIAL CERÁMICO Y/O LÍTICO DIAGNÓSTICO EN CASO DE QUE EL ÁREA NO HAYA SIDO INVESTIGADA

1. Anterior a 5000 a.n.e. [ ]
2. 5000-1500 a.n.e. [ ]
3. 1500 a.n.e.-200 n.e. [x]
4. 200-650/900 n.e [x]
5. 650/900-1200 n.e [x]
6. 1200-1521 n.e [ ]
7. Post.1521 n.e. [ ]

BIBLIOGRAFÍA MÍNIMA DEL SITIO

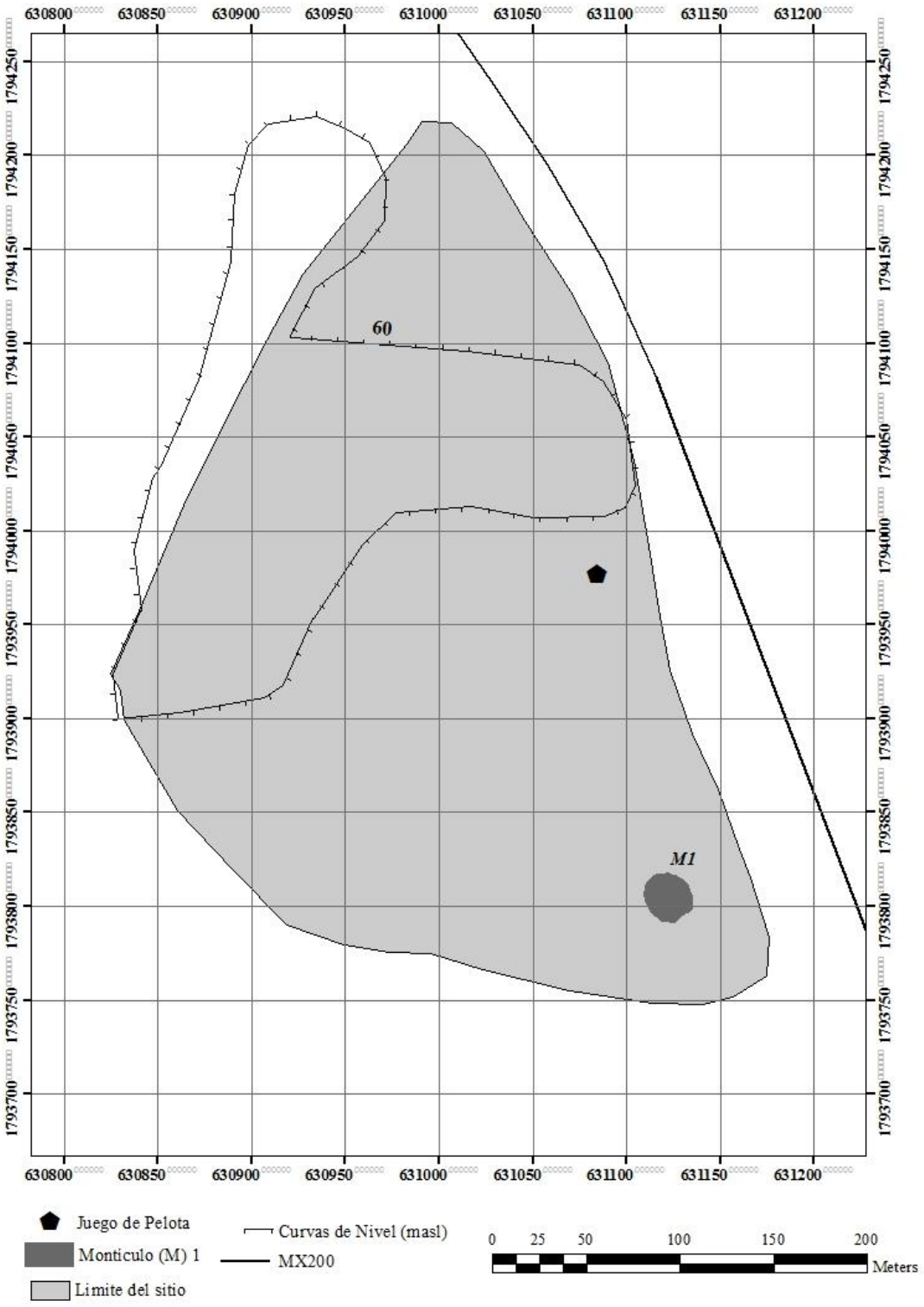
1. Descripción _____

2. Mapa o croquis _____

CROQUIS: La Humedad (RV74)

ESCALA: 1:2,500

DIBUJO: Límites del sitio, recolecciones de artefactos, y arquitectura



Observaciones:

La Humedad (RV74) se ubica alrededor de 600 metros al noroeste del pueblo moderno del mismo nombre. El sitio se extiende desde una cuesta hacia un valle secundario con una elevación de entre 40 a 60 metros sobre el nivel del mar (ver Figura 9.12). La Humedad (RV74) fue registrado por primera vez por Brockington (1974) como "La Humedad #1". El sitio también fue registrado durante el RVAP (Grove 1988; Joyce y Winter 1989: 260; Joyce 1991: 117) y fue mapeado por Joyce en 2000 con una estación total. Por la construcción reciente de una fábrica de concreto sobre el sitio (Figura 9.13), muchas de sus plataformas prehispánicas así como otros elementos arquitectónicos fueron sistemáticamente destruidos. Por lo tanto, las 10 ha del sitio es una estimación.

Antes de la construcción de la fábrica de concreto en 2011-2012, La Humedad (RV74) contaba con montículos de un tamaño considerable, una cancha de juego de pelota, y muchas estelas lisas y grabadas (ver Joyce 1991:434). Jorrín (1974:37) describe una estela que tenía una figura grabada viendo hacia enfrente que llevaba un tocado con "cascadas de volutas y una masa de plumas rectas emergiendo de la parte superior [en inglés: *sweeping side scrolls and a mass of straight plumes emerging from the top*]". La ubicación de esta estela no se conoce actualmente, ya que no fue encontrada durante el mapeo con estación total en 2000. La mayoría de las otras estelas fueron probablemente enterradas o destruidas durante la construcción de la fábrica, ya que ninguna fue hallada durante la temporada de campo de 2013.

Actualmente, solo cuatro elementos arquitectónicos se pueden observar en la superficie del sitio: la única cancha de juego de pelota del sitio en el borde este del sitio, un pequeño montículo en la esquina sureste (montículo 1; ver Figuras 9.12 y 9.14), y dos muros aislados al suroeste. El montículo 1 todavía contiene muros de contención alrededor de sus lados este y sur así como un muro más pequeño arriba. La cancha de juego de pelota y las estelas registradas durante los recorridos anteriores (Brockington 1974; Jorrín 1974; Joyce 1991) sugieren que el sitio fue utilizado durante ceremonias públicas y/o por metas administrativas. La evidencia indica que también había residencias allí (ver Joyce 1991:434).

No se encontraron ninguna muestra de cerámica diagnostica en La Humedad durante el recorrido de 2013. Sin embargo, muestras anteriores (Brockington 1974; Joyce 1991:410-436), indican que el sitio fue asentado durante las fases Miniyua y Yugüe.

Brockington, Donald

1974 Reconnaissance from the Rio Tonameca to Salina Cruz. En *The Oaxaca Coast Project Reports: Part 11***.** Vanderbilt University Publications in Anthropoloqy, 9*.* Vanderbilt University. Nashville. Pp. 3-33.

Grove, David C.

1988. *Archaeological Investigations on the Pacific Coast of Oaxaca, Mexico, 1986*. Informe entregado al National Geographic Society, Washington, D.C.1988

Jorrín, M.

1974 Stone Monuments. En *The Oaxaca Coast Project Reports: Part I*. Vanderbilt University Publications in Anthropoloqy, 8. Vanderbilt University. Nashville. Pp. 3-21.

Joyce, Arthur A.
1991 *Formative Period Occupation in the Lower Rio Verde Valley, Oaxaca, Mexico: Interregional Interaction y Social Change.* Tesis Doctoral, Rutgers University.

Joyce, Arthur A. y Marcus Winter
1989. Investigaciones arqueológicas en la cuenca del Río Verde inferior, 1988. *Notas Mesoamericanas* 11:249-262.

REGISTRO PÚBLICO DE MONUMENTOS Y ZONAS ARQUEOLÓGICOS

CATALOGO E INVENTARIO DE ZONAS ARQUEOLOGICAS

CLAVE: **RV170**

Anotó: **Jessica Hedgepeth Balkin** Fecha: **19/3/2013** **01. TIPO DE SITIO:** **Asentamiento con montículos y terrazas**

02. NOMBRE DEL SITIO: **Camino a la Humedad** Municipio: **Jamiltepec** Estado: **Oaxaca**

03.COORDENADAS UTM: E **631537** **04. NUMERO DE CARTA** **E14D84**

N **1792830** Escala de la Carta **1:50,000**

05. FOTO AÉREA: Inexistente [X]

Compañía o Institución: Escala Fecha de vuelo

Número de o vuelo: Línea: Foto:

Número de marca en foto: Cuadro menor:

06. INFORMACIÓN RECUPERADA POR: 1. Bibliografía [ ] 2. Fotointerpretació [ ] 3. Informante [ ] 4. Casualid [X]

INFORMACIÓN: 1. Verificada en campo [X] 2. No verificada en campo [ ]

07. TAMAÑO DE POBLACIONES MÁS CERCANAS AL SITIO:

Kms.	TAMAÑO DE POBLACIONES (HABITANTES)		
	< 500	500-2500	> 2500
0		x	
0.1-5			
5-10			

08. ACCESO AL SITIO DESDE POBLACIONES A MENOS DE 10 Kms.

Tipo de ruta	DISTANCIA A RECORRERSE (en kms		
	0--1	1--5	5--10
1. Camino Asfalt	x		
2. Terracería	x		
3. Brecha			
4. Vereda			
5. Vía acuática			
6. Vía aérea			

09. USO ACTUAL DEL SUELO

1. Forestal [x] 2. Ganadero [x] 3. Agricultura de temporal [ ] 4.Agricultura de riego [x] 5.Urbano [x] 6.Turístico [ ]

7. Otros

Observaciones sobre proporciones y localización

10. NUMERO Y TAMAÑO DE ESTRUCTURAS DEL SITIO:

EXTENSIÓN **751,200** m2

75.12 Has.

(1 Hectárea= 10,000 m2)

Altura	NÚMERO DE ESTRUCTURAS				
	0--5	6--10	11--50	51--100	> 100
< 2	x				
2--5	x				
6--10					
> 10					

11. GRADO DE SAQUEO ENCONTRADO EN EL SITIO:

0. Ninguno [X]
1. Saqueo antiguo [ ]
2. Saqueo reciente ocasional [ ]
3. Saqueo reciente sistemático simple [ ]
4. Saqueo reciente sistemático profesi [ ]

12. GRADO DE DESTRUCCIÓN POTENCIAL EN EL SITIO

0. Ninguno [ ]

1. Por obra de infraestructura a corto plazo [ ]
2.- Por obra de infraestructura a mediano plazo [ ]
3. Por obra de infraestructura a largo plazo [ ]
4. Extracción de piedra como actividad familiar [ ]
5. Extracción de piedra como actividad mayor [ ]
6. Nivelación del terreno como obra agrícola [ ]
7, Asentamiento humano [x]
8. Vandalismo [ ]

EROSIÓN:

9. Extensiva severa [ ] 10. Extensiva moderada [ ] 11. Parcial severa [ ] 12. Parcial moderda [x]

13. Observaciones sobre intensidad de destrucción y otros procesos no descritos:

13. GRADO DE EXPOSICION DE ELEMENTOS ARQUEOLOGICOS

0. Ninguno [ ]

1. Estratigrafía [x] 2. Arquitectura [x] 3. Tumbas [ ] 4. Escultura [ ] 5. Pintura mural [ ]

6, Otros _____
Fotos _____

Observaciones

14. MATERIALES FUNDAMENTALES EN LACONSTRUCCION DE ESTRUCTURAS:

0. No observables [ ]

1. Piedra careada [ ] 2. Pieda y tierra [x] 3. Ladrillo [ ] 4. Adobe [ ] 5. Tierra [ ]

6, Otros _____

Observaciones sobre posición original de material y proporciones:

15. OTROS VALORES DEL SITIO

1. Didáctico [x]

2. Investigación [X] Conservación Excepcional [ ] 4. Alto valor artístico [ ] 5. Sitio asociado a trabajo excepcional [ ]

Observaciones sobre justificación de la decisión:

16.- TENENCIA DE LA TIERA EN EL ÁREA DEFINIDA POR LOS LÍMITES DEL SITIO:

1. Federal [ ] 2. Comunal [x] 3. Pequeña propiedad [ ] 4.Mediana propiedad [x] 5. Ejidal [ ]

Observaciones sobre proporciones y localización:

17. CRONOLOGÍA TENTATIVA

MUESTREAR MATERIAL CERÁMICO Y/O LÍTICO DIAGNÓSTICO EN CASO DE QUE EL ÁREA NO HAYA SIDO INVESTIGADA

1. Anterior a 5000 a.n.e. [ ]
2. 5000-1500 a.n.e. [ ]
3. 1500 a.n.e.-200 n.e. [x]
4. 200-650/900 n.e [x]
5. 650/900-1200 n.e [x]
6. 1200-1521 n.e [x]
7. Post.1521 n.e. [x]

BIBLIOGRAFÍA MÍNIMA DEL SITIO

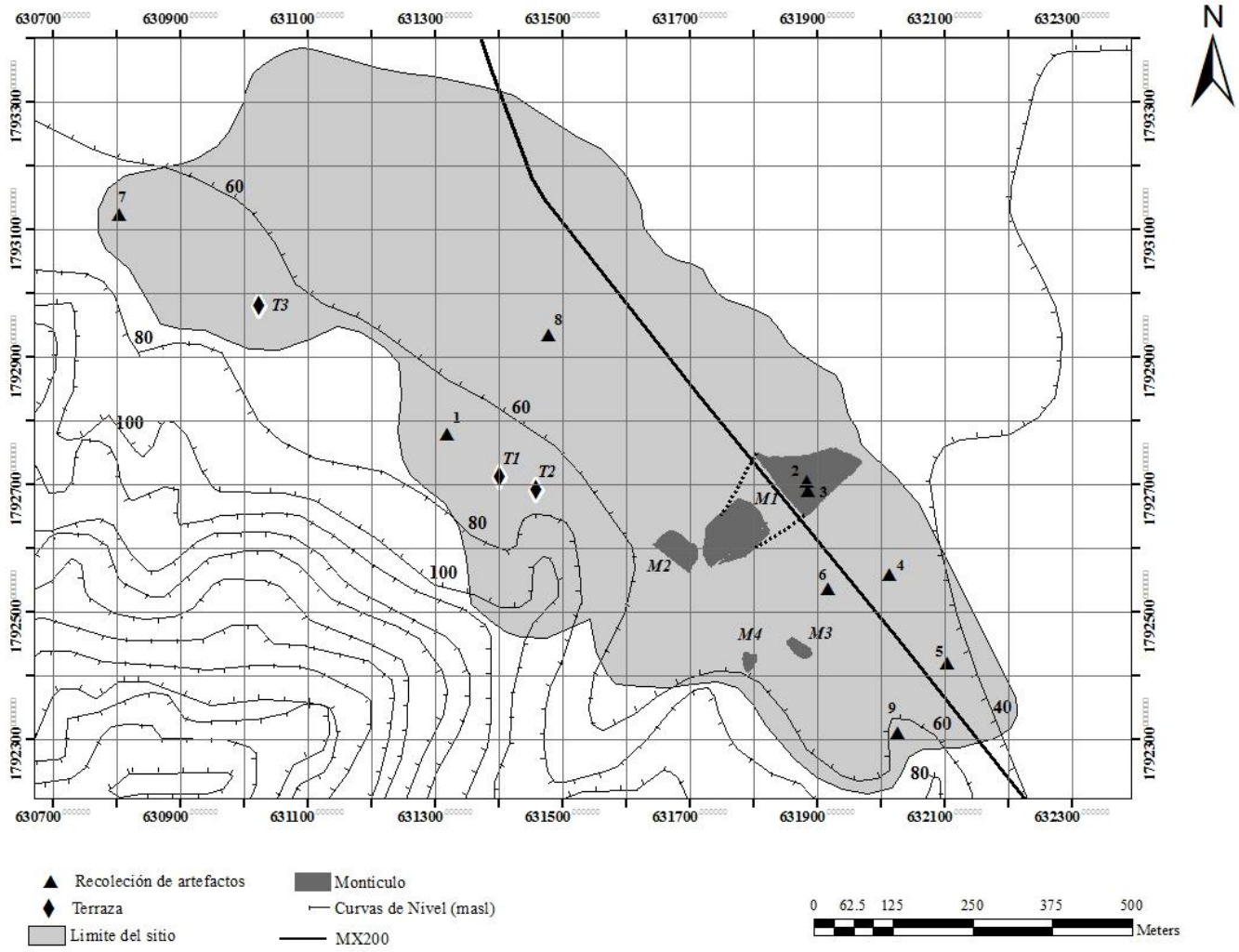
1. Descripción _____

2. Mapa o croquis _____

CROQUIS: Camino a La Humedad (RV170)

ESCALA: 1:7,000

DIBUJO: Límites del sitio, recolecciones de artefactos, y arquitectura



Observaciones:

Camino a La Humedad (RV170) representa el sitio más grande encontrado durante el recorrido del 2013. Midiendo 75.12 hectáreas, el sitio se encuentra en los dos lados de la carretera MX 200 e incluye la totalidad del pueblo moderno de La Humedad. El sitio se extiende desde la convergencia de los arroyos La Humedad y La Soledad al oeste, y se diriga hacia el pie de monte. Por lo tanto, alrededor de dos tercios del sitio se ubica en la zona secundaria del valle con una elevación de entre 40 a 120 metros sobre el nivel del mar (ver Figura 9.15). En el sureste, los habitantes prehispánicos aprovecharon de un abanico aluvial que se encuentra un poco elevado sobre el valle. Los depósitos allí fueron más estabilizados por su altitud un poco más elevada así como la presencia de la vegetación local como árboles y arbustos. La porción del sitio al oeste, en el pie de monte, se encuentra debajo de las laderas más inclinadas, haciendo que las ocupaciones aquí fueron ligeramente más elevadas que en la zona secundaria del valle.

Las perturbaciones más importantes al RV170 son por la carretera MX 200 y por el pueblo de La Humedad, al noreste. Por la presencia de residencias y negocios modernos, el equipo no pudo detectar arquitectura ni pudo definir sectores del sitio dentro del pueblo moderno. Otras áreas del sitio son mucho menos afectadas por actividades modernas. Actualmente, la parte sureste del RV170 está siendo irrigada para crear tierra de pastoreo. La parte oeste del sitio está dedicada principalmente a las actividades de cultivo o de pastoreo. Al suroeste, el alto nivel de erosión está destapando muros prehispánicos en los lados cuesta arriba del pie de monte, pero no en los lados cuesta abajo.

La mayoría de la arquitectura registrada en Camino de La Humedad (RV170) se ubica en el tercio sureste del sitio, particularmente alrededor de la carretera MX 200 (ver Figura 9.15). Evidencia preliminar sugiere que la mayoría de los restos en esta área están asociados con actividades residenciales, aunque también pudieron haber tenido eventos cívico-ceremoniales. Un área potencial por estas actividades es un posible montículo-plataforma (M1) del lado este de la carretera donde se registraron las muestras de superficie 2 y 3. La muestra 2 se halló en la superficie del montículo, mientras que la muestra 3 se trataba de una muestra de debajo de la superficie, tomada de una trinchera moderna que atraviesa el montículo (ver Figura 9.16). La trinchera expuso relleno de construcción compuesto por desecho como pequeños tiestos de cerámica (Figura 9.17). Las observaciones iniciales sugieren que el relleno se elevaba probablemente entre 75 cm a 1 metro sobre la superficie del valle, aunque se necesitaría más investigación para comprobarlo. Arriba del montículo una variedad de artefactos eran presentes tal como lascas de obsidiana, cerámica decorada y sin decoración, y una azuela. Sin embargo, por la perturbación causada por actividades modernas de irrigación y de pastoreo, se encontró poca evidencia prehispánica de muros de contención o de muros en la superficie de le montículos.

El Montículo 1 probablemente continua al lado oeste de la carretera MX 200 (ver Figura 9.15), donde fueron registrados por lo menos cuatro muros y un metate en su superficie. Tal como en la plataforma este, los muros de contención y otros elementos arquitectónicos probablemente fueron destruidos para crear tierra de pastoreo. En conjunto, la plataforma entera mide alrededor de 300 x 100 metros, lo cual indica que una cantidad importante de mano de obra fue movilizada para su construcción. Su forma baja y larga es comparable con las plataformas “de uso mixto” encontradas ampliamente a lo largo del valle que contienen edificios tanto públicos como residenciales. Dichas construcciones han sido registradas en sitios incluyendo Río Viejo, Yugüe, Charco Redondo y San

Francisco de Arriba (ver Barber 2005:117-118; Joyce 1991:393, 2005:20-23; Workinger 2002:147-230). Como era de esperar, algunas plataformas de uso mixto en la capital de Río Viejo (ver Workinger y Joyce 1999) eran considerablemente más grandes que el Montículo 1 en Camino a La Humedad. Sin embargo, las dimensiones del montículo eran comparables a otros ejemplos notables tanto en Río Viejo como en sitios periféricos tales como: 1) Montículo 9-Estructua 4 en Río Viejo, con medidas de 200 x 125 metros (Joyce 2010:189; 2008:230-231; Workinger y Joyce 1999), y 2) La plataforma de Yugüe, con medidas de 300 x 200 metros (Barber 2013:170). Además de estas similitudes arquitectónicas, una segunda línea de evidencia; la gran variedad de artefactos registrado en su superficie (ver arriba), sugiere que el Montículo 1 era una plataforma de uso mixto.

Directamente al oeste del Montículo 1, otro pequeño montículo (M2) fue registrado con medidas de 60 x 30 metros (ver Figura 9.15). En este caso, un potencial muro de contención era visible a lo largo del lado norte. Encima del montículo, se registraron tres metates junto con diversos fragmentos de muro. Una relativa alta frecuencia en esta pequeña área de artefactos para el procesamiento de comida sugiere que el montículo pudo haber tenido un propósito más residencial.

Las actividades domésticas pudieron haber continuado en la frontera sur del sitio, en donde dos montículos adicionales se registraron al sur de la muestra 6 (ver Figura 9.15). El Montículo 3 mide aproximadamente 40 x 20 metros, y tiene fragmentos de muro de contención en su lado norte. Con un tamaño de aproximadamente 30 x 20 metros, el Montículo 4 es ligeramente más pequeño. Se encontró únicamente un fragmento de muro de contención en su lado sur. Por lo menos cuatro metates se encontraron dispersos directamente al sur y sureste de estos montículos. Uno de los metates se encontró en la cima del cerro en la frontera sur del sitio, junto con dos restos más de muro. Como en el caso del Montículo 2, la alta densidad de metates sobre los montículos 3 y 4 provee evidencia preliminar de que estas áreas funcionaron como plataformas residenciales.

Un sector residencial adicional podría estar definido al suroeste, donde habitantes antiguos de RV170 ocuparon las laderas del pie de monte. Al menos dos terrazas probable (T1 y T2) se encontraron en los alrededores de la muestra 1 (ver Figura 9.15) con muros de contención en su lados cuesta bajo. Los investigadores también observaron diversos muros adicionales y un metate de roca sobre la superficie plana de la terraza; otro metate de roca y una mano se encontraron en los alrededores. Ocupación residencial probablemente también ocurrió a elevaciones mayores en la frontera suroeste de RV170, donde se encontraron diversos metates adicionales (en su mayor parte metates en roca) y 3-4 muros, en una cresta a 80-100 metros sobre el nivel del mar.

En la esquina noroeste del sitio, una terraza adicional (T3) pudo haber sido construida cerca de la muestra 7 a la misma elevación que las terrazas de la muestra 1 (60-80 metros sobre el nivel del mar; ver Figura 9.15). Sin embargo, no se encontraron muros de contención cuesta bajo probablemente debido a la extensiva erosión (ver arriba). A pesar de esto, la presencia de desecho doméstico era evidente, incluyendo tres metates en roca y un metate estándar. También se registraron cuatro fragmentos de muro.

El cuadrante noreste de Camino de La Humedad (RV170) se encuentra actualmente dominado por el pueblo moderno de La Humedad. Sin embargo, aún es evidente que esta área fue alguna vez parte del sitio antiguo tal como lo sugieren artefactos encontrados erosionándose en puentes y bordes de caminos así como en las superficies de patios caseros. Al menos cinco metates prehispánicos se

encontraron en la frontera suroeste del pueblo, a pesar de que estos fueron probablemente removidos de su ubicación original.

Se recuperaron muestras de cerámica diagnostica de todas las áreas importantes de RV170 con la excepción del cuadrante noreste alrededor del pueblo moderno. Esta información indica que el sitio fue ocupado desde la fase Minizundo hasta los tiempos después de la conquista. El periodo de ocupación más grande fue durante la fase Yucudzaa ya que cerámica de la fase Postclásica Tardía fue encontrada en otras las porciones del sitio afuera del cuadrante noroeste. Significativamente, la evidencia sugiere que la ocupación de mayor importancia incluya el Montículo 1, como se discute arriba (muestras 2 y 3). La muestra (3) de relleno de montículo está fechada en la fase Yugüe, mientras que la muestra de superficie (2) está fechada en la fase Yucudzaa. Por lo tanto el montículo 1 fue erigido ya sea durante la fase Yugüe tardía o la fase Yucudzaa temprana. Pudo haber sido utilizado durante el Posclásico Temprano, pero la ocupación más grande tomo lugar en el Posclásico Tardío.

Barber, Sarah B.

2005 Heterogeneity, Identity, and Complexity: Negotiating Status and Authority in Terminal Formative Coastal Oaxaca. Tésis Doctoral, ineditado, University of Colorado at Boulder.

2013 Defining Community and Status at Outlying Sites during the Terminal Formative Period. En *Polity and Ecology in Formative Period Coastal Oaxaca,* editado por Arthur A. Joyce pp 165-192. The University Press of Colorado, Boulder, CO

Joyce, Arthur A.

1991 *Formative Period Occupation in the Lower Rio Verde Valley, Oaxaca, Mexico: Interregional Interaction y Social Change.* Tesis Doctoral, Rutgers University.

2005 La arqueología del bajo Río Verde. *Acervos* 7(29):16-36.

2008 Domination, Negotiation, and Collapse: A History of Centralized Authority on the Oaxaca Coast. En *Changing Cloud Formations: Late Classic/Postclassic Sociopolitical Transformations in Oaxaca*, editado por Jeffrey P. Blomster, pp. 219-254. University of Colorado Press, Boulder, CO.

2010 *Mixtecs, Zapotecs, and Chatinos: Ancient Peoples of Southern Mexico*. Wiley-Blackwell, Malden, MA.

Workinger, Andrew

2002 Coastal/Highland Interaction in Prehispanic Oaxaca, Mexico: The perspective from San Francisco de Arriba. Tesis Doctoral, ineditado. Vanderbilt University, Nashville, TN.

Workinger, A., y Joyce, A. A.

1999 Excavaciones arqueológicas en R´ıoViejo. En Joyce, A. A. (ed.), *El Proyecto Patrones de Asentamiento del Río Verde*, Informe entregado al Consejo de Arqueología, Instituto Nacional de Antropología e Historia, Mexico, pp. 51–119.

REGISTRO PÚBLICO DE MONUMENTOS Y ZONAS ARQUEOLÓGICOS

CATALOGO E INVENTARIO DE ZONAS ARQUEOLOGICAS

CLAVE: **RV171**

Anotó: **Jessica Hedgepeth Balkin** Fecha: **19/3/2013** **01. TIPO DE SITIO:** **Asentamiento con terrazas y un montículo**

02. NOMBRE DEL SITIO: **Cerro Grande** Municipio: **Jamiltepec** Estado: **Oaxaca**

03.COORDENADAS UTM: E **630497** **04. NUMERO DE CARTA** **E14D84**

N **1794406** Escala de la Carta **1:50,000**

05. FOTO AÉREA: Inexistente [X]

Compañía o Institución: Escala Fecha de vuelo

Número de o vuelo: Línea: Foto:

Número de marca en foto: Cuadro menor:

06. INFORMACIÓN RECUPERADA POR: 1. Bibliografía [ ] 2. Fotointerpretació [ ] 3. Informante [ ] 4. Casualid [X]

INFORMACIÓN: 1. Verificada en campo [X] 2. No verificada en campo [ ]

07. TAMAÑO DE POBLACIONES MÁS CERCANAS AL SITIO:

Kms.	TAMAÑO DE POBLACIONES (HABITANTES)		
	< 500	500-2500	> 2500
0			
0.1-5	x		
5-10			

08. ACCESO AL SITIO DESDE POBLACIONES A MENOS DE 10 Kms.

Tipo de ruta	ISTANCIA A RECORRERSE (en kms		
	0--1	1--5	5--10
1. Camino Asfalt	x		
2. Terracería	x		
3. Brecha	x		
4. Vereda			
5. Vía acuática			
6. Vía aérea			

09. USO ACTUAL DEL SUELO

1. Forestal [x] 2. Ganadero [x] 3. Agricultura de temporal [ ] 4.Agricultura de riego [ ] 5.Urbano [ ] 6.Turístico [ ]

7. Otros

Observaciones sobre proporciones y localización

10. NUMERO Y TAMAÑO DE ESTRUCTURAS DEL SITIO:

EXTENSIÓN **123,600** m2

12.36 Has.

(1 Hectárea= 10,000 m2)

Altura	NÚMERO DE ESTRUCTURAS				
	0--5	6--10	11--50	51--100	> 100
< 2		x			
2--5	x				
6--10					
> 10					

11. GRADO DE SAQUEO ENCONTRADO EN EL SITIO:

0. Ninguno [X]
1. Saqueo antiguo [ ]
2. Saqueo reciente ocasional [ ]
3. Saqueo reciente sistemático simple [ ]
4. Saqueo reciente sistemático profesi [ ]

12. GRADO DE DESTRUCCIÓN POTENCIAL EN EL SITIO

0. Ninguno [ ]

1. Por obra de infraestructura a corto plazo [ ]
2.- Por obra de infraestructura a mediano plazo [ ]
3. Por obra de infraestructura a largo plazo [x]
4. Extracción de piedra como actividad familiar [ ]
5. Extracción de piedra como actividad mayor [ ]
6. Nivelación del terreno como obra agrícola [ ]
7, Asentamiento humano [ ]
8. Vandalismo [ ]

EROSIÓN:

9. Extensiva severa [ ] 10. Extensiva moderada [ ] 11. Parcial severa [ ] 12. Parcial moderda [x]

13. Observaciones sobre intensidad de destrucción y otros procesos no descritos:

13. GRADO DE EXPOSICION DE ELEMENTOS ARQUEOLOGICOS

0. Ninguno [ ]

1. Estratigrafía [ ] 2. Arquitectura [x] 3. Tumbas [ ] 4. Escultura [ ] 5. Pintura mural [ ]

6, Otros _____
Fotos _____

Observaciones

14. MATERIALES FUNDAMENTALES EN LACONSTRUCCION DE ESTRUCTURAS:

0. No observables [ ]

1. Piedra careada [x] 2. Pieda y tierra [x] 3. Ladrillo [x] 4. Adobe [ ] 5. Tierra [ ]

6, Otros _____

Observaciones sobre posición original de material y proporciones:

15. OTROS VALORES DEL SITIO

1. Didáctico [x]

2. Investigación [X] Conservación Excepcional [ ] 4. Alto valor artístico [ ] 5. Sitio asociado a trabajo excepcional [ ]

Observaciones sobre justificación de la decisión:

16.- TENENCIA DE LA TIERA EN EL ÁREA DEFINIDA POR LOS LÍMITES DEL SITIO:

1. Federal [ ] 2. Comunal [ ] 3. Pequeña propiedad [x] 4.Mediana propiedad [ ] 5. Ejidal [ ]

Observaciones sobre proporciones y localización:

17. CRONOLOGÍA TENTATIVA

MUESTREAR MATERIAL CERÁMICO Y/O LÍTICO DIAGNÓSTICO EN CASO DE QUE EL ÁREA NO HAYA SIDO INVESTIGADA

1. Anterior a 5000 a.n.e. [ ]
2. 5000-1500 a.n.e. [ ]
3. 1500 a.n.e.-200 n.e. [x]
4. 200-650/900 n.e [x]
5. 650/900-1200 n.e [ ]
6. 1200-1521 n.e [ ]
7. Post.1521 n.e. [ ]

BIBLIOGRAFÍA MÍNIMA DEL SITIO

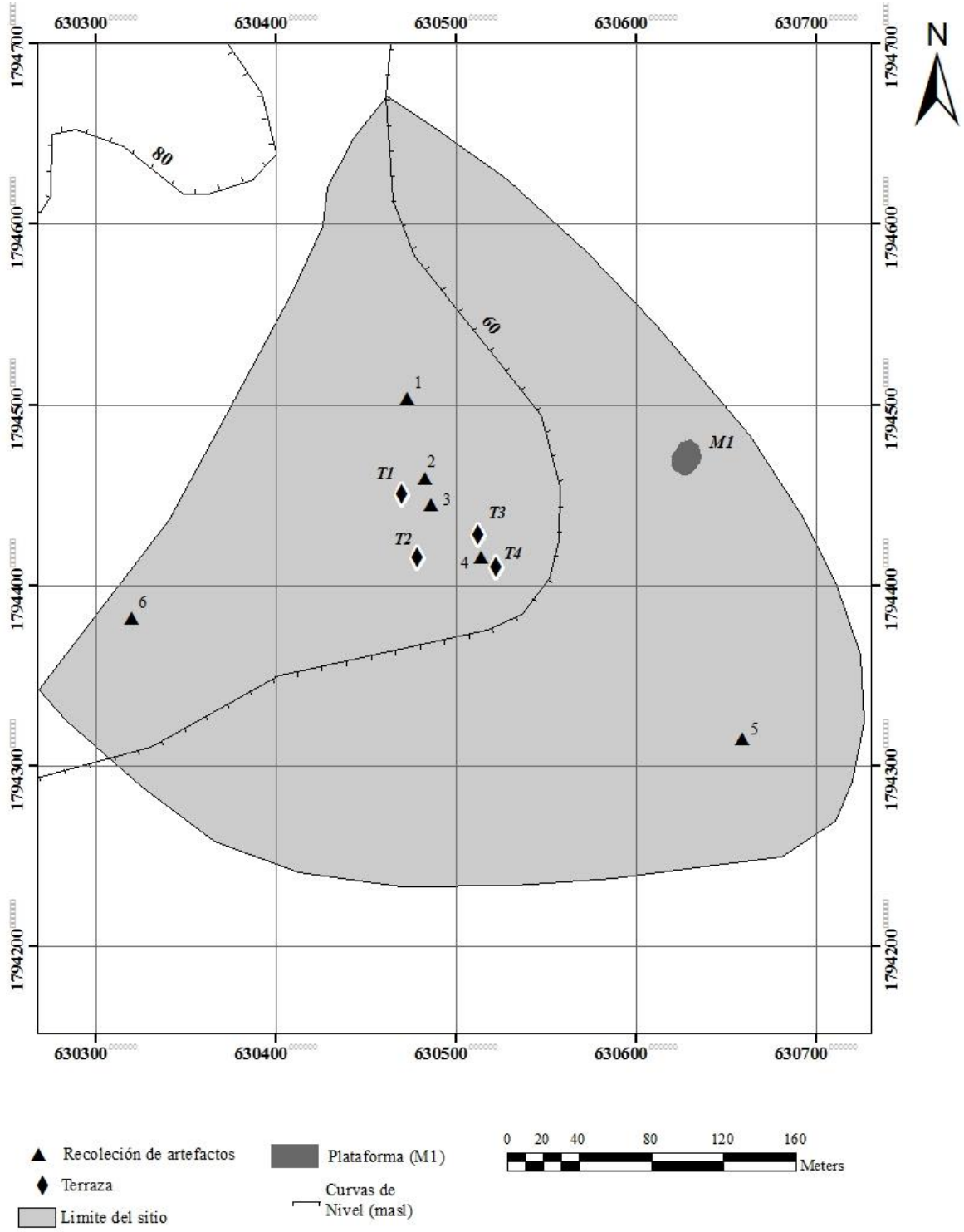
1. Descripción _____

2. Mapa o croquis _____

CROQUIS: Cerro Grande (RV171)

ESCALA: 1:2,500

DIBUJO: Límites del sitio, recolecciones de artefactos, y arquitectura



Observaciones:

Cerro Grande (RV171) se sitúa a alrededor de 430 metros al oeste del pueblo de La Soledad y a 150 metros al oeste de la carretera MX 200. La mayor parte de la ocupación se encuentra en la cima de una cresta secundaria (Figura 9.18) que se extiende al suroeste de un desagüe del pie de monte. Los restos prehispánicos se extendían hacia las colinas en la base de la cresta así como hacia el valle secundario de los alrededores. Este sitio se encuentra entre 50 y 70 metros sobre el nivel del mar (ver Figura 9.19) y tiene un área de aproximadamente 12.36 hectáreas. Debido a la excavación de cantera moderna no es posible determinar la frontera noroeste con certeza. La porción del sitio encima de la cresta se encuentra actualmente sin cultivar y está cubierta por hierbas y matorrales xerófilos, junto con algunos árboles. Las áreas de menor altitud son utilizadas como tierra de pastoreo.

La cresta secundaria por si misma contiene dos formas principales de arquitectura: 1) construcciones sin terraza encima de la cresta, y 2) terrazas en las laderas oeste y este (T1, T2, T3, y T4; ver Figura 9.19). Con respecto a la primera, diversos muros se encontraron en un espacio que parece haber sido aplanado artificialmente. Esto es sugerido por dos muros de contención que rodean los lados de la cresta - uno largo construido a lo largo del lado oeste antes de que la elevación comience a disminuir, y un fragmento más pequeño en la frontera noroeste. Estos muros probablemente retuvieron sedimento usado para nivelar la cima y limitar la erosión. Como resultado, la cima de la cresta era lo suficientemente plana para suportar numerosas estructuras. Varios pequeños espacios semi-rectangulares o semi-cuadrados indicativos de residencia eran visibles (ver Figura 9.20). También se encontró en esta área una alta densidad de metates, lo que corroboro su uso doméstico.

La mayor parte de las terrazas en las laderas de la cresta eran relativamente modestas en tamaño y se construyeron con 1-2 niveles, o capas verticales, de piedra (T2, T3, y T4). En contraste, se registró una terraza mucho más grande (T1; ver Figura 9.21) junto a las muestras 2 y 3 en el lado suroeste de la cresta, directamente en medio del sitio (ver Figura 9.19). Con medidas de 70 x 25 metros en sus puntos más anchos, esta terraza se construyó usando 3-4 niveles de piedra en sus muros de contención. Las actividades asociadas con esta terraza no son claras en estos momentos. Un solo metate encontrado encima provee poca evidencia de actividades domésticas, sobre todo desde que una mayor densidad de piedra trabajada se encontró en la cima de la cresta. Sin embargo, debe mantenerse en mente que terrazas residenciales de un tamaño similar han sido registradas en Tututepec (ver Joyce et al. 2009:333-341).

Tres agrupamientos arquitectónicos adicionales fueron colocados en la base de la cresta. Una posible plataforma baja fue construida en la frontera este del sitio (Montículo 1; ver Figura 9.19), tal como es sugerido por tres muros de contención delineando un espacio de 5 x 7.5 metros. Directamente al sur de esta plataforma se encontró una pequeña elevación de aproximadamente 1 metro sobre la superficie del valle. Esta elevación contenía una curiosa característica rectangular, un elemento que media acerca de 1.5 x 0.5 metros y construido utilizado lajas de piedra (Figura 9.22). Su tamaño, forma, y materiales de construcción son similares a las tumbas de mampostería que se encuentran en otras partes de Oaxaca, tal como en San José Mogote (Tumba 11; ver Marcus y Flannery 1996:132) y Huamelulpan (Gaxiola 1984:64-65). Por lo tanto este elemento pudo haber contenido originalmente un entierro. Sin embargo, no se encontraron artefactos u otros restos (como materiales esqueléticos) en la superficie que pudieron haber proveído información acerca del uso del elemento.

Los dos agrupamientos arquitectónicos restantes se encontraron localizados respectivamente en los bordes suroeste y sureste del sitio. El primero consiste en una posible área residencial baja una ligera elevación donde la muestra 5 fue colectada. Dos metates y varios alineamientos de piedra sugieren evidencia de actividades domésticas. En la elevación, se identificaron dos estructuras de forma cuadrada. En contraste, los muros registrados en el suroeste alrededor de la muestra 6 no tenían un patrón visible. También se encontró un metate en esta área.

Las muestras de cerámica recolectadas en Cerro Grande (RV171) indican que el asentamiento tomo lugar desde la fase Chacahua hasta la fase Yuta Tiyoo. Información preliminar sugiere que el sitio se encontraba densamente ocupado durante el periodo Clásico Tardío.

Gaxiola, Margarita
1984 *Huamelulpan: Un centro urbano de la Mixteca Alta.* Colección Científica 114. Instituto Nacional de Antropología e Historia, Mexico City.

Joyce, Arthur A., Maxine Oland y Peter C. Kroefges
2009 Recorrido Regional de Superficie. En *El Proyecto Rio Verde 2000, Informe Final*. A. Joyce y M. N. Levine (eds.), pp. 322-353. Informe entregado al Consejo de Arqueología y el Centro INAH Oaxaca, Instituto Nacional de Antropología e Historia, Oaxaca, Oaxaca, Mexico.

Marcus, J., y Flannery, K.V.
1996 *Zapotec Civilization: How Urban Society Evolved in Mexico's Oaxaca Valley*. Thames and Hudson, New York, New York

REGISTRO PÚBLICO DE MONUMENTOS Y ZONAS ARQUEOLÓGICOS

CATALOGO E INVENTARIO DE ZONAS ARQUEOLOGICAS

CLAVE: **RV172**

Anotó: **Raymond Mueller** Fecha: **26/3/2013** **01. TIPO DE SITIO:** **Sito ceremonial con petroglífos**

02. NOMBRE DEL SITIO: **Roca Baja** Municipio: **Jamiltepec** Estado: **Oaxaca**

03.COORDENADAS UTM: E **631524** **04. NUMERO DE CARTA** **E14D84**

N **1794116** Escala de la Carta **1:50,000**

05. FOTO AÉREA: Inexistente [X]

Compañía o Institución: Escala Fecha de vuelo

Número de o vuelo: Línea: Foto:

Número de marca en foto: Cuadro menor:

06. INFORMACIÓN RECUPERADA POR: 1. Bibliografía [ ] 2. Fotointerpretació [ ] 3. Informante [ ] 4. Casualid [X]

INFORMACIÓN: 1. Verificada en campo [X] 2. No verificada en campo [ ]

07. TAMAÑO DE POBLACIONES MÁS CERCANAS AL SITIO:

Kms.	TAMAÑO DE POBLACIONES (HABITANTES)		
	< 500	500-2500	> 2500
0			
0.1-5	x		
5-10			

08. ACCESO AL SITIO DESDE POBLACIONES A MENOS DE 10 Kms.

Tipo de ruta	DISTANCIA A RECORRERSE (en kms		
	0--1	1--5	5--10
1. Camino Asfalt	x		
2. Terracería	x		
3. Brecha			
4. Vereda			
5. Vía acuática			
6. Vía aérea			

09. USO ACTUAL DEL SUELO

1. Forestal [x] 2. Ganadero [x] 3. Agricultura de temporal [ ] 4.Agricultura de riego [ ] 5.Urbano [ ] 6.Turístico [ ]

7. Otros

Observaciones sobre proporciones y localización

10. NUMERO Y TAMAÑO DE ESTRUCTURAS DEL SITIO:

EXTENSIÓN **1,300** m2

0.13 Has.

(1 Hectárea= 10,000 m2)

Altura	NÚMERO DE ESTRUCTURAS				
	0--5	6--10	11--50	51--100	> 100
< 2	x				
2--5					
6--10					
> 10					

11. GRADO DE SAQUEO ENCONTRADO EN EL SITIO:

0. Ninguno [X]
1. Saqueo antiguo [ ]
2. Saqueo reciente ocasional [ ]
3. Saqueo reciente sistemático simple [ ]
4. Saqueo reciente sistemático profesi [ ]

12. GRADO DE DESTRUCCIÓN POTENCIAL EN EL SITIO

0. Ninguno [x]

1. Por obra de infraestructura a corto plazo [ ]
2.- Por obra de infraestructura a mediano plazo [ ]
3. Por obra de infraestructura a largo plazo [ ]
4. Extracción de piedra como actividad familiar [ ]
5. Extracción de piedra como actividad mayor [ ]
6. Nivelación del terreno como obra agrícola [ ]
7, Asentamiento humano [ ]
8. Vandalismo [ ]

EROSIÓN:

9. Extensiva severa [ ] 10. Extensiva moderada [ ] 11. Parcial severa [ ] 12. Parcial moderda [x]

13. Observaciones sobre intensidad de destrucción y otros procesos no descritos:

13. GRADO DE EXPOSICION DE ELEMENTOS ARQUEOLOGICOS

0. Ninguno [ ]

1. Estratigrafía [ ] 2. Arquitectura [x] 3. Tumbas [x] 4. Escultura [ ] 5. Pintura mural [ ]

6, Otros **Petroglífos**

Fotos

Observaciones

14. MATERIALES FUNDAMENTALES EN LACONSTRUCCION DE ESTRUCTURAS:

0. No observables [ ]

1. Piedra careada [ ] 2. Pieda y tierra [x] 3. Ladrillo [ ] 4. Adobe [ ] 5. Tierra [ ]

6, Otros

Observaciones sobre posición original de material y proporciones:

15. OTROS VALORES DEL SITIO

1. Didáctico [x]

2. Investigación [X] Conservación Excepcional [ ] 4. Alto valor artístico [ ] 5. Sitio asociado a trabajo excepcional [ ]

Observaciones sobre justificación de la decisión:

16.- TENENCIA DE LA TIERA EN EL ÁREA DEFINIDA POR LOS LÍMITES DEL SITIO:

1. Federal [ ] 2. Comunal [ ] 3. Pequeña propiedad [x] 4.Mediana propiedad [ ] 5. Ejidal [ ]

Observaciones sobre proporciones y localización:

17. CRONOLOGÍA TENTATIVA **Cerámicas diagnósticas no disponibles**

MUESTREAR MATERIAL CERÁMICO Y/O LÍTICO DIAGNÓSTICO EN CASO DE QUE EL ÁREA NO HAYA SIDO INVESTIGADA

1. Anterior a 5000 a.n.e. [ ]
2. 5000-1500 a.n.e. [ ]
3. 1500 a.n.e.-200 n.e. [ ]
4. 200-650/900 n.e [ ]
5. 650/900-1200 n.e [ ]
6. 1200-1521 n.e [ ]
7. Post.1521 n.e. [ ]

BIBLIOGRAFÍA MÍNIMA DEL SITIO

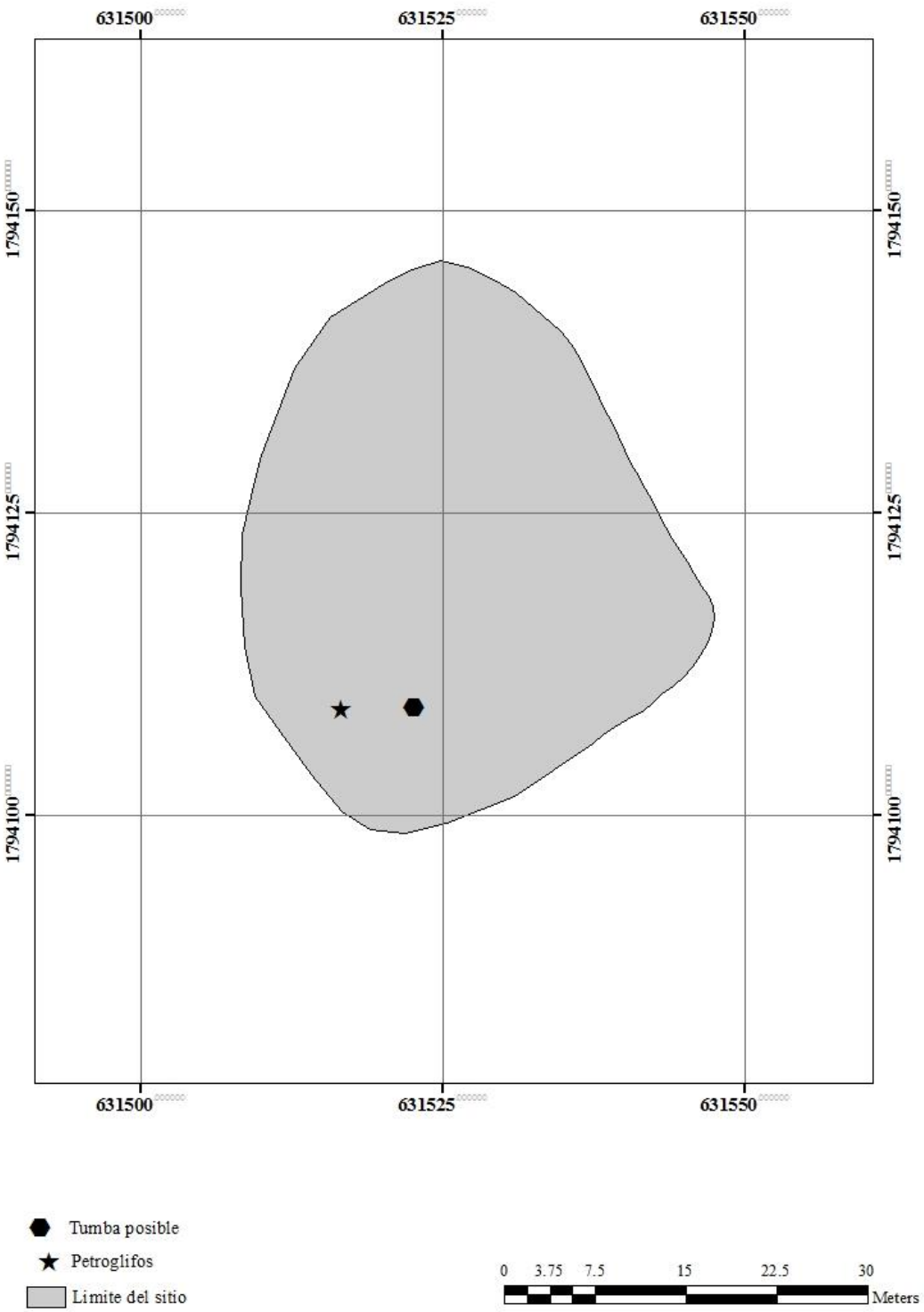
1. Descripción

2. Mapa o croquis

CROQUIS: Roca Baja (RV172)

ESCALA: 1:400

DIBUJO: Límites del sitio, recolecciones de artefactos, y arquitectura



Observaciones:

Roca Baja (RV172) se localiza a 280 metros al este de la carretera MX 200 y a 600 metros al sureste del pueblo de La Soledad. Es un pequeño sitio de 0.13 hectáreas limitado a un afloramiento bajo de roca madre en una ciénaga de un valle secundario. La elevación de RV172 es entre 45 y 50 metros sobre el nivel del mar. Actualmente, el sitio está siendo utilizado como tierra de pastoreo, aunque gran parte del área está cubierto por vegetación baja y matorrales con algunos árboles.

Los vestigios arquitectónicos y los artefactos sugieren que RV172 es de carácter no residencial. En primer lugar, no se encontró casi ningún tiesto de cerámica u otro artefacto portátil sugestivo de actividades residenciales. Dos metates fueron registrados en el sitio, pero estos fácilmente pudieron haber sido utilizados para preparar comida por actividades de corta duración llevadas a cabo en el sitio. En segundo lugar, la construcción del sitio se concentró sobre el afloramiento de roca madre con una posible tumba (ver Figura 9.23), en vez de estructuras residenciales; se encontró solamente un solo alineamiento de muro en RV172. Las investigaciones preliminares sugieren que los constructores pudieron haber añadido sedimento en la base del afloramiento, posiblemente del pántano alrededor. Posteriormente, una posible tumba fue construida sobre una porción elevada y relativamente plana del cerro (Figura 9.24). Específicamente, se encontró un pasaje rectangular de piedra con escalones. Parece que los constructores lo tallaron dentro de la roca madre existente y que añadieron algunas piedras suyas. Los investigadores encontraron también una roca tallada cerca de la tumba (ver Figura 9.23) en la frontera suroeste del cerro. Estos grabados muy erosionados pueden incluir glifos (Figura 9.25).

Roca Baja (RV172) puede haber sido un sitio ceremonial análogo a Cerro de los Tepalcates (RV143). Ubicado cerca de las lagunas de la costa, RV143 también era localizado sobre un afloramiento rocoso que se eleva sobre terreno más plano. Tal como RV172, una tumba se encontró en el sitio así como inscripciones grabadas dentro de rocas. Ambos sitios tenían poca cerámica, poca arquitectura, y una densidad grande de metates. En el caso de Cerro de los Tepalcates, un metate se encontró en el sitio mismo, y cuatro más fueron registrados en una colina cercana (ver Joyce et al. 2009:351-353). Por lo tanto, la gente prehispánica en estos sitios parece haber sigo involucrada en ceremonias o eventos asociados con la preparación de comida. Los metates sugieren que el consumo de maíz fue importante, pero la ubicación de ambos sitios en áreas pantanosas indica que recursos con proteína tal como pescado y mariscos también fueron consumidos.

Se piensan que las inscripciones con glifos de Cerro de los Tepalcates representan nombres calendáricos de líderes del periodo Clásico (Joyce et al. 2001; Urcid 1993), y que por lo tanto allí es donde se enterraba y honoraba a los gobernantes (ver también Joyce 2010:246). Es posible que los glifos en Roca Baja proveen evidencia de eventos parecidos, aunque se necesita un estudio formal de los glifos. Puesto que solo hay poca cerámica en el sitio, no se puede proporcionar fechas de uso en estos momentos.

Joyce, Arthur A.
2010 *Mixtecs, Zapotecs, and Chatinos: Ancient Peoples of Southern Mexico*. Wiley-Blackwell, Malden, MA.

Joyce, Arthur A., Laura Arnaud Bustamante, y Marc N. Levine
2001 Commoner Power: A Case Study from the Classic Period Collapse on the Oaxaca Coast. *Journal of Archaeological Method and Theory* 8(4): 343-385

Joyce, Arthur A., Maxine Oland y Peter C. Kroefges
2009 Recorrido Regional de Superficie. En *El Proyecto Rio Verde 2000, Informe Final*. A. Joyce y M.N. Levine (eds.), pp. 322-353. Informe entregado al Consejo de Arqueología y el Centro INAH Oaxaca, Instituto Nacional de Antropología e Historia, Oaxaca, Oaxaca, Mexico.

Urcid, Javier
1993 The Pacific Coast of Oaxaca and Guerrero: The Westernmost Extent of Zapotec Script. *Ancient Mesoamerica* 4:141-165.

REGISTRO PÚBLICO DE MONUMENTOS Y ZONAS ARQUEOLÓGICOS

CATALOGO E INVENTARIO DE ZONAS ARQUEOLOGICAS

CLAVE: **RV173**

Anotó: **Raymond Mueller y Paris Ferrand Alcaraz** Fecha: **27/3/2013** **01. TIPO DE SITIO:** **Asentamiento**

02. NOMBRE DEL SITIO: **Arroyo Vista** Municipio: **Jamiltepec** Estado: **Oaxaca**

03.COORDENADAS UTM: E **630592** **04. NUMERO DE CARTA** **E14D84**

N **1793910** Escala de la Carta **1:50,000**

05. FOTO AÉREA: Inexistente [X]

Compañía o Institución: Escala Fecha de vuelo

Número de o vuelo: Línea: Foto:

Número de marca en foto: Cuadro menor:

06. INFORMACIÓN RECUPERADA POR: 1. Bibliografía [ ] 2. Fotointerpretació [ ] 3. Informante [ ] 4. Casualid [X]

INFORMACIÓN: 1. Verificada en campo [X] 2. No verificada en campo [ ]

07. TAMAÑO DE POBLACIONES MÁS CERCANAS AL SITIO:

Kms.	TAMAÑO DE POBLACIONES (HABITANTES)		
	< 500	500-2500	> 2500
0			
0.1-5		x	
5-10			

08. ACCESO AL SITIO DESDE POBLACIONES A MENOS DE 10 Kms.

Tipo de ruta	ISTANCIA A RECORRERSE (en kms		
	0--1	1--5	5--10
1. Camino Asfalt	x		
2. Terracería	x		
3. Brecha			
4. Vereda			
5. Vía acuática			
6. Vía aérea			

09. USO ACTUAL DEL SUELO

1. Forestal [X] 2. Ganadero [ ] 3. Agricultura de temporal [ ] 4.Agricultura de riego [X] 5.Urbano [ ] 6.Turtístico [ ]

7. Otros

Observaciones sobre proporciones y localización

10. NUMERO Y TAMAÑO DE ESTRUCTURAS DEL SITIO:

EXTENSIÓN **36,700** m2

3.67 Has.

(1 Hectárea= 10,000 m2)

Altura	NÚMERO DE ESTRUCTURAS				
	0--5	6--10	11--50	51--100	> 100
< 2	x				
2--5					
6--10					
> 10					

11. GRADO DE SAQUEO ENCONTRADO EN EL SITIO:

0. Ninguno [X]
1. Saqueo antiguo [ ]
2. Saqueo reciente ocasional [ ]
3. Saqueo reciente sistemático simple [ ]
4. Saqueo reciente sistemático profesi [ ]

12. GRADO DE DESTRUCCIÓN POTENCIAL EN EL SITIO

0. Ninguno [X]

1. Por obra de infraestructura a corto plazo [ ]
2.- Por obra de infraestructura a mediano plazo [ ]
3. Por obra de infraestructura a largo plazo [ ]
4. Extracción de piedra como actividad familiar [ ]
5. Extracción de piedra como actividad mayor [ ]
6. Nivelación del terreno como obra agrícola [ ]
7, Asentamiento humano [ ]
8. Vandalismo [ ]

EROSIÓN:

9. Extensiva severa [ ] 10. Extensiva moderada [ ] 11. Parcial severa [ ] 12. Parcial moderda [X]

13. Observaciones sobre intensidad de destrucción y otros procesos no descritos:

13. GRADO DE EXPOSICION DE ELEMENTOS ARQUEOLOGICOS

0. Ninguno [ ]

1. Estratigrafía [ ] 2. Arquitectura [x] 3. Tumbas [ ] 4. Escultura [ ] 5. Pintura mural [ ]

6, Otros _____
Fotos _____

Observaciones

14. MATERIALES FUNDAMENTALES EN LACONSTRUCCION DE ESTRUCTURAS:

0. No observables [ ]

1. Piedra careada [ ] 2. Pieda y tierra [x] 3. Ladrillo [x] 4. Adobe [ ] 5. Tierra [ ]

6, Otros _____

Observaciones sobre posición original de material y proporciones:

15. OTROS VALORES DEL SITIO

1. Didáctico [ ]

2. Investigación [X] Conservación Excepcional [ ] 4. Alto valor artístico [ ] 5. Sitio asociado a trabajo excepcional [ ]

Observaciones sobre justificación de la decisión:

16.- TENENCIA DE LA TIERA EN EL ÁREA DEFINIDA POR LOS LÍMITES DEL SITIO:

1. Federal [ ] 2. Comunal [ ] 3. Pequeña propiedad [x] 4.Mediana propiedad [ ] 5. Ejidal [ ]

Observaciones sobre proporciones y localización:

17. CRONOLOGÍA TENTATIVA

MUESTREAR MATERIAL CERÁMICO Y/O LÍTICO DIAGNÓSTICO EN CASO DE QUE EL ÁREA NO HAYA SIDO INVESTIGADA

1. Anterior a 5000 a.n.e. [ ]
2. 5000-1500 a.n.e. [ ]
3. 1500 a.n.e.-200 n.e. [ ]
4. 200-650/900 n.e [x]
5. 650/900-1200 n.e [ ]
6. 1200-1521 n.e [ ]
7. Post.1521 n.e. [ ]

BIBLIOGRAFÍA MÍNIMA DEL SITIO

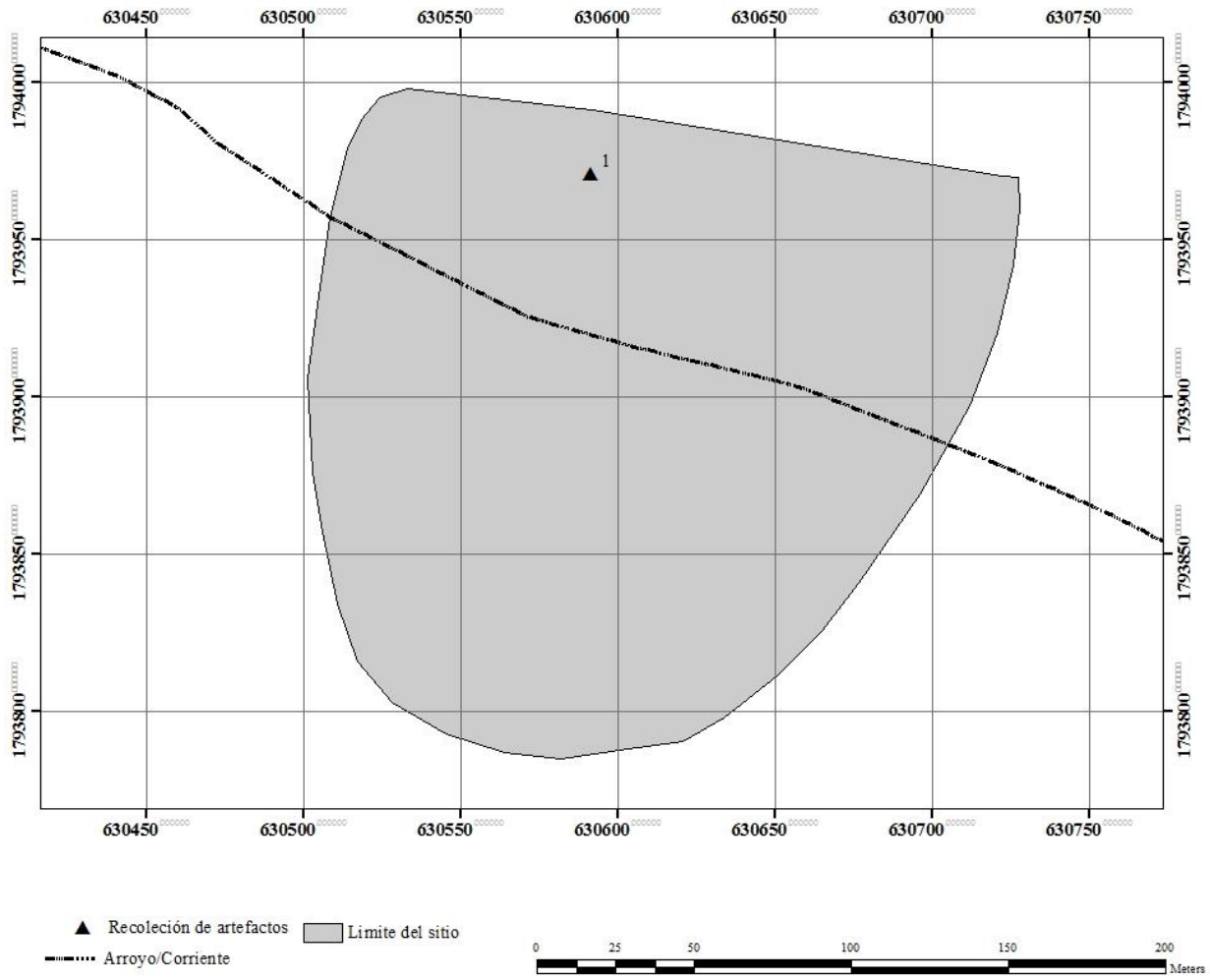
1. Descripción _____

2. Mapa o croquis _____

CROQUIS: Arroyo Vista (RV173)

ESCALA: 1:1,500

DIBUJO: Límites del sitio, recolecciones de artefactos, y arquitectura



Observaciones:

Arroyo Vista (RV173) es aproximadamente a 450 metros al oeste de la carretera MX 200 y a un kilómetro al noroeste del pueblo moderno de La Humedad. El sitio se localiza actualmente en un valle secundario al pie del pie de monte. Por lo tanto fue formado por una mezcla de depósitos aluviales y de coluvión. La elevación del sitio es entre 50 a 60 metros sobre el nivel del mar. Se estima que el sitio tiene una área de 3.67 hectáreas. Es posible que RV173 continúa al norte y al este, pero la vegetación densa impidió un recorrido formal de estas áreas.

Un arroyo grande divide el sitio en dos componentes: uno al sur y uno al norte (ver Figura 9.26). Actualmente, el sector norte se usa para cultivar mango y plátano, mientras que el sector sur no se usa ni está ocupado. Se encontró un cerro bajo en el centro del área cultivado que contenía tiestos de cerámica sobre la totalidad de su superficie. Ninguna arquitectura era visible en este sector. La porción sur del sitio contenía dos componentes principales. Una pequeña subida fue encontrada al suroeste con tres metates y cinco muros prehispánicos, algunos de los cuales pudieron haber contenido lajas grandes. La apariencia natural de estas lajas indica que no eran ortostatos formalmente trabajados (Figura 9.27). La densidad relativamente alta de los metates en esta pequeña área sugiere que fue de uso residencial. Al sureste, solo se observó un metate asociado con un pequeño muro.

Por lo general la densidad de artefactos era relativamente bajo en Arroyo Vista (RV173). Una sola muestra (Muestra 1), proveniente del lado norte del arroyo, fue colectada. Los datos indican que el sitio fue ocupado durante las fases Coyuche y Yuta Tiyoo.

REGISTRO PÚBLICO DE MONUMENTOS Y ZONAS ARQUEOLÓGICOS

CATALOGO E INVENTARIO DE ZONAS ARQUEOLOGICAS

CLAVE: **RV174**

Anotó: **Raymond Mueller** Fecha: **28/3/2013** **01. TIPO DE SITIO:** **Asentamiento**

02. NOMBRE DEL SITIO: **Loma la Humedad** Municipio: **Jamiltepec** Estado: **Oaxaca**

03.COORDENADAS UTM: E **630493** **04. NUMERO DE CARTA** **E14D84**

N **1793215** Escala de la Carta **1:50,000**

05. FOTO AÉREA: Inexistente [X]

Compañía o Institución: Escala Fecha de vuelo

Número de o vuelo: Línea: Foto:

Número de marca en foto: Cuadro menor:

06. INFORMACIÓN RECUPERADA POR: 1. Bibliografía [ ] 2. Fotointerpretació [ ] 3. Informante [ ] 4. Casualid [X]

INFORMACIÓN: 1. Verificada en campo [X] 2. No verificada en campo [ ]

07. TAMAÑO DE POBLACIONES MÁS CERCANAS AL SITIO:

Kms.	TAMAÑO DE POBLACIONES (HABITANTES)		
	< 500	500-2500	> 2500
0			
0.1-5		x	
5-10			

08. ACCESO AL SITIO DESDE POBLACIONES A MENOS DE 10 Kms.

Tipo de ruta	ISTANCIA A RECORRERSE (en kms		
	0--1	1--5	5--10
1. Camino Asfalt	x		
2. Terracería	x		
3. Brecha			
4. Vereda			
5. Vía acuática			
6. Vía aérea			

09. USO ACTUAL DEL SUELO

1. Forestal [X] 2. Ganadero [X] 3. Agricultura de temporal [ ] 4.Agricultura de riego [ ] 5.Urbano [ ] 6.Turtístico [ ]

7. Otros

Observaciones sobre proporciones y localización

10. NUMERO Y TAMAÑO DE ESTRUCTURAS DEL SITIO:

EXTENSIÓN **44,700** m2

4.47 Has.

(1 Hectárea= 10,000 m2)

Altura	NÚMERO DE ESTRUCTURAS				
	0--5	6--10	11--50	51--100	> 100
< 2	x				
2--5					
6--10					
> 10					

11. GRADO DE SAQUEO ENCONTRADO EN EL SITIO:

0. Ninguno [X]
1. Saqueo antiguo [ ]
2. Saqueo reciente ocasional [ ]
3. Saqueo reciente sistemático simple [ ]
4. Saqueo reciente sistemático profesi [ ]

12. GRADO DE DESTRUCCIÓN POTENCIAL EN EL SITIO

0. Ninguno [x]

1. Por obra de infraestructura a corto plazo [ ]
2.- Por obra de infraestructura a mediano plazo [ ]
3. Por obra de infraestructura a largo plazo [ ]
4. Extracción de piedra como actividad familiar [ ]
5. Extracción de piedra como actividad mayor [ ]
6. Nivelación del terreno como obra agrícola [ ]
7, Asentamiento humano [ ]
8. Vandalismo [ ]

EROSIÓN:

9. Extensiva severa [ ] 10. Extensiva moderada [ ] 11. Parcial severa [ ] 12. Parcial moderda [x]

13. Observaciones sobre intensidad de destrucción y otros procesos no descritos:

13. GRADO DE EXPOSICION DE ELEMENTOS ARQUEOLOGICOS

0. Ninguno [ ]

1. Estratigrafía [ ] 2. Arquitectura [x] 3. Tumbas [ ] 4. Escultura [ ] 5. Pintura mural [ ]

6, Otros _____
Fotos _____

Observaciones

14. MATERIALES FUNDAMENTALES EN LACONSTRUCCION DE ESTRUCTURAS:

0. No observables [ ]

1. Piedra careada [ ] 2. Pieda y tierra [x] 3. Ladrillo [ ] 4. Adobe [ ] 5. Tierra [ ]

6, Otros _____

Observaciones sobre posición original de material y proporciones:

15. OTROS VALORES DEL SITIO

1. Didáctico [ ]

2. Investigación [X] Conservación Excepcional [ ] 4. Alto valor artístico [ ] 5. Sitio asociado a trabajo excepcional [ ]

Observaciones sobre justificación de la decisión:

16.- TENENCIA DE LA TIERA EN EL ÁREA DEFINIDA POR LOS LÍMITES DEL SITIO:

1. Federal [ ] 2. Comunal [ ] 3. Pequeña propiedad [x] 4.Mediana propiedad [ ] 5. Ejidal [ ]

Observaciones sobre proporciones y localización:

17. CRONOLOGÍA TENTATIVA

MUESTREAR MATERIAL CERÁMICO Y/O LÍTICO DIAGNÓSTICO EN CASO DE QUE EL ÁREA NO HAYA SIDO INVESTIGADA

1. Anterior a 5000 a.n.e. [ ]
2. 5000-1500 a.n.e. [ ]
3. 1500 a.n.e.-200 n.e. [ ]
4. 200-650/900 n.e [x]
5. 650/900-1200 n.e [ ]
6. 1200-1521 n.e [ ]
7. Post.1521 n.e. [ ]

BIBLIOGRAFÍA MÍNIMA DEL SITIO

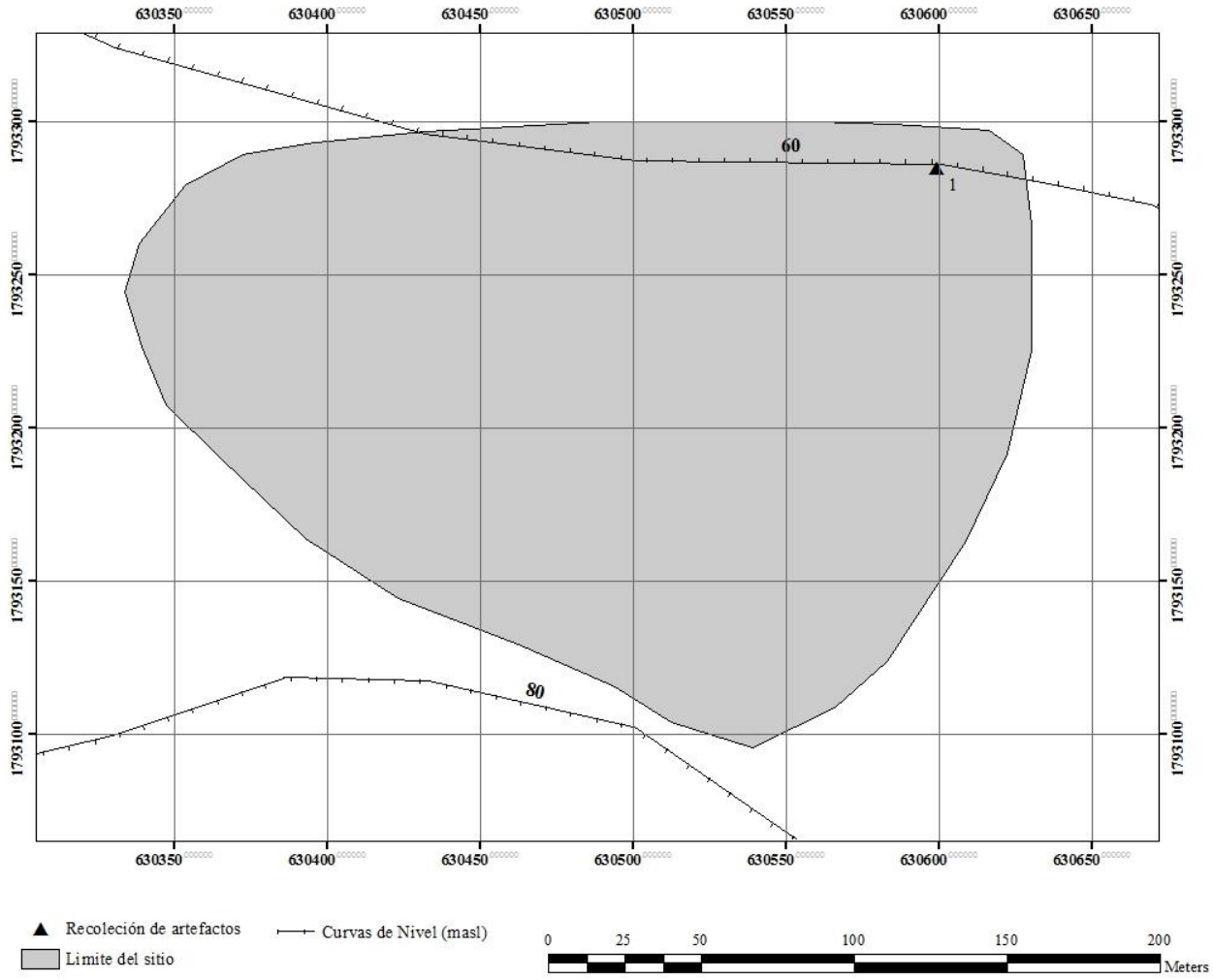
1. Descripción _____

2. Mapa o croquis _____

CROQUIS: Loma La Humedad (RV174)

ESCALA: 1:1,500

DIBUJO: Límites del sitio, recolecciones de artefactos, y arquitectura



Observaciones:

Loma La Humedad (RV174) se ubica a aproximadamente 750 metros al oeste de la carretera MX 200 y al 780 metros al noroeste del pueblo moderno de La Humedad. Con una área de 4.47 hectáreas, este sitio se ubica en la base del pie de monte en un abanico aluvial en una elevación de 60-80 metros sobre el nivel del mar (ver Figura 9.28). Actualmente, el sitio se utiliza como tierra de pastoreo. Algunos árboles y arbustos eran esparcidos por el lado oeste del sitio así como en las laderas ocupadas más bajas del área y en las pendientes más empinadas. Cinco muros de piedra eran agrupados en unas de las cuestas.

Tiestos de cerámica diagnósticos fueron solo recuperados de un área (Muestra 1) en el cuadrante noreste del sitio. Esta muestra indica que el sitio fue ocupado durante la fase Yuta Tiyoo.

REGISTRO PÚBLICO DE MONUMENTOS Y ZONAS ARQUEOLÓGICOS

CATALOGO E INVENTARIO DE ZONAS ARQUEOLOGICAS

CLAVE: **RV175**

Anotó: **Raymond Mueller** Fecha: **25/3/2013** **01. TIPO DE SITIO:** **Asentamiento con un montículo**

02. NOMBRE DEL SITIO: **Paradero la Tortuga** Municipio: **Jamiltepec** Estado: **Oaxaca**

03.COORDENADAS UTM: E **630699** **04. NUMERO DE CARTA** **E14D84**

N **1794783** Escala de la Carta **1:50,000**

05. FOTO AÉREA: Inexistente [X]

Compañía o Institución: Escala Fecha de vuelo

Número de o vuelo: Línea: Foto:

Número de marca en foto: Cuadro menor:

06. INFORMACIÓN RECUPERADA POR: 1. Bibliografía [ ] 2. Fotointerpretac [ ] 3. Informante [ ] 4. Casualic [X]

INFORMACIÓN: 1. Verificada en campo [X] 2. No verificada en campo [ ]

07. TAMAÑO DE POBLACIONES MÁS CERCANAS AL SITIO:

Kms.	TAMAÑO DE POBLACIONES (HABITANTES)		
	< 500	500-2500	> 2500
0			
0.1-5	x		
5-10			

08. ACCESO AL SITIO DESDE POBLACIONES A MENOS DE 10 Kms.

Tipo de ruta	ISTANCIA A RECORRERSE (en kms		
	0--1	1--5	5--10
1. Camino Asfa	x		
2. Terracería	x		
3. Brecha			
4. Vereda			
5. Vía acuática			
6. Vía aérea			

09. USO ACTUAL DEL SUELO

1. Forestal [X] 2. Ganadero [ ] 3. Agricultura de temporal [ ] 4.Agricultura de riego [ ] 5.Urbano [ ] 6.Turtístico [ ]

7. Otros **Extracción de piedras**

Observaciones sobre proporciones y localización

10. NUMERO Y TAMAÑO DE ESTRUCTURAS DEL SITIO:

EXTENSIÓN **54,700** m2

5.47 Has.

(1 Hectárea= 10,000 m2)

Altura	NÚMERO DE ESTRUCTURAS				
	0--5	6--10	11--50	51--100	> 100
< 2	x				
2--5	x				
6--10					
> 10					

11. GRADO DE SAQUEO ENCONTRADO EN EL SITIO:

0. Ninguno [X]
1. Saqueo antigu [ ]
2. Saqueo reciente ocasion [ ]
3. Saqueo reciente sistemático simpl [ ]
4. Saqueo reciente sistemático profe [ ]

12. GRADO DE DESTRUCCIÓN POTENCIAL EN EL SITIO

0. Ninguno [ ]

1. Por obra de infraestructura a corto plazo [x]
2.- Por obra de infraestructura a mediano plazo [ ]
3. Por obra de infraestructura a largo plazo [ ]
4. Extracción de piedra como actividad familiar [ ]
5. Extracción de piedra como actividad mayor [x]
6. Nivelación del terreno como obra agrícola [ ]
7, Asentamiento humano [ ]
8. Vandalismo [ ]

EROSIÓN:

9. Extensiva severa [ ] 10. Extensiva moderada [ ] 11. Parcial severa [ ] 12. Parcial moderda [x]

13. Observaciones sobre intensidad de destrucción y otros procesos no descritos:

13. GRADO DE EXPOSICION DE ELEMENTOS ARQUEOLOGICOS

0. Ninguno [ ]

1. Estratigrafía [x] 2. Arquitectura [x] 3. Tumbas [ ] 4. Escultura [ ] 5. Pintura mural [ ]

6, Otros _____
Fotos _____

Observaciones

14. MATERIALES FUNDAMENTALES EN LACONSTRUCCION DE ESTRUCTURAS:

0. No observables [ ]

1. Piedra careada [ ] 2. Pieda y tierra [x] 3. Ladrillo [ ] 4. Adobe [ ] 5. Tierra [ ]

6, Otros _____

Observaciones sobre posición original de material y proporciones:

15. OTROS VALORES DEL SITIO

1. Didáctico [ ]

2. Investigación [X] Conservación Excepcional [ ] 4. Alto valor artístico [ ] 5. Sitio asociado a trabajo excepcional [ ]

Observaciones sobre justificación de la decisión:

16.- TENENCIA DE LA TIERA EN EL ÁREA DEFINIDA POR LOS LÍMITES DEL SITIO:

1. Federal [x] 2. Comunal [ ] 3. Pequeña propiedad [x] 4.Mediana propiedad [x] 5. Ejidal [ ]

Observaciones sobre proporciones y localización:

17. CRONOLOGÍA TENTATIVA

MUESTREAR MATERIAL CERÁMICO Y/O LÍTICO DIAGNÓSTICO EN CASO DE QUE EL ÁREA NO HAYA SIDO INVESTIGADA

1. Anterior a 5000 a.n.e. [ ]
2. 5000-1500 a.n.e. [ ]
3. 1500 a.n.e.-200 n.e. [x]
4. 200-650/900 n.e [x]
5. 650/900-1200 n.e [ ]
6. 1200-1521 n.e [ ]
7. Post.1521 n.e. [ ]

BIBLIOGRAFÍA MÍNIMA DEL SITIO

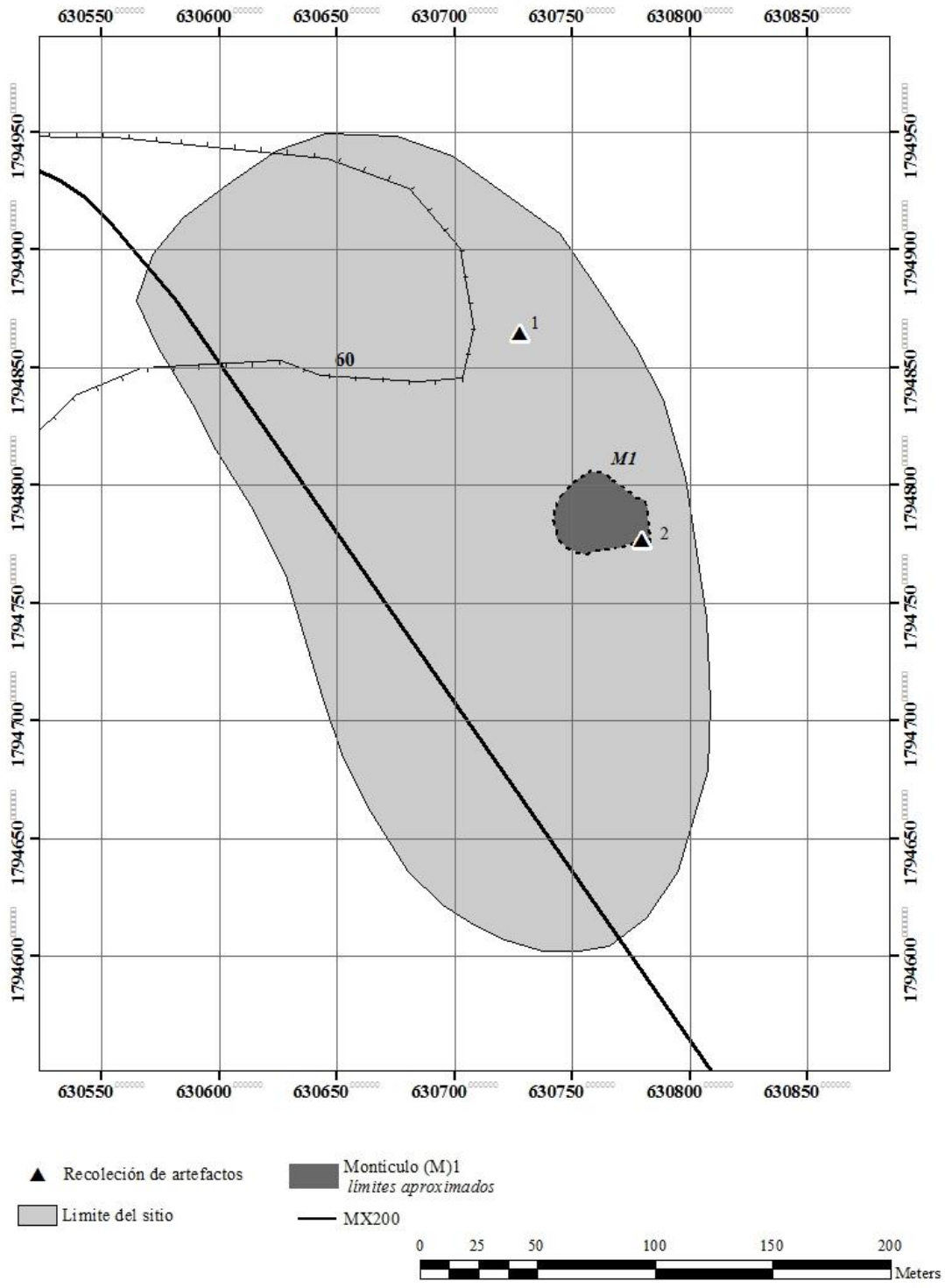
1. Descripción _____

2. Mapa o croquis _____

CROQUIS: Paradero La Tortuga (RV175)

ESCALA: 1:2,000

DIBUJO: Límites del sitio, recolecciones de artefactos, y arquitectura



Observaciones:

El sitio de Paradero La Tortuga (RV175) mide 5.47 hectáreas, es un pequeño sitio localizado a aproximadamente 300 metros al oeste del pueblo de La Soledad. Este sitio se ubica en un valle secundario en el borde del pie de monte, con una altitud de entre 40 y 60 metros sobre el nivel del mar. La elevación va bajando gradualmente de un cerro bajo en la tercio norte del sitio hacia el terreno del valle al sur.

El cauce del pequeño rio La Soledad sirve como el borde natural del sitio al este. Paradero La Tortuga (RV174) es altamente perturbado por actividades de extracción de piedra y de construcción en su lado norte, las cuales removieron artefactos de su superficie. Por lo tanto, la frontera del sitio en esta área no se puede definir bien. Del otro lado de las zonas de cantera y construcción, RV175 no se encuentro actualmente en uso y está cubierto por vegetación tal como pasto, vides, y matorral xerófilo.

Falta describir dos grupos arquitectónicos importantes. Al norte, dos muros fueron registrados así como un metate. Un posible montículo (M1) también se encontró en medio del sitio (ver Figura 9.29). Esto se sugeriere por dos grandes líneas de investigación. Primero una superficie plana y elevada se encontró en la planicie aluvial. Segundo, un muro de contención fue construido en el borde este de esta superficie. Sin embargo, se necesita más información para determinar si este muro de contención pudo haberse usado como parte de una terraza. En otras palabras, sedimentos erosionados de la colina norte del sitio pudieron haber creado una colina baja en la planicie aluvial. A pesar de esto, la ocupación prehispánica es evidente debido a que múltiples muros adicionales se registraron en la cima del área elevada. Notablemente, se encontró, sobresaliendo en su borde este, una vasija completa de almacenamiento. Directamente al sur los investigadores observaron dos muros más y un metate.

La densidad de artefactos en Paradero La Tortuga (RV175) es notablemente alta debido a perturbaciones. De acuerdo con los datos de muestreo, el sitio fue habiado desde la fase Chacahua a través de la fase Yuta Tiyoo. La ocupación más grande probablemente se dío durante la fase Coyuche.

REGISTRO PÚBLICO DE MONUMENTOS Y ZONAS ARQUEOLÓGICOS

CATALOGO E INVENTARIO DE ZONAS ARQUEOLOGICAS

CLAVE: **RV176**

Anotó: **Paris Ferrand Alcaraz** Fecha: **1/4/2013** **01. TIPO DE SITIO:** **Concentración de cerámicas**

02. NOMBRE DEL SITIO: **Las Piedras** Municipio: **Jamiltepec** Estado: **Oaxaca**

03.COORDENADAS UTM: E **632275** **04. NUMERO DE CARTA** **E14D84**

N **1792088** Escala de la Carta **1:50,000**

05. FOTO AÉREA: Inexistente [X]

Compañía o Institución: Escala Fecha de vuelo

Número de o vuelo: Línea: Foto:

Número de marca en foto: Cuadro menor:

06. INFORMACIÓN RECUPERADA POR: 1. Bibliografía [ ] 2. Fotointerpretació [ ] 3. Informante [ ] 4. Casualid [X]

INFORMACIÓN: 1. Verificada en campo [X] 2. No verificada en campo [ ]

07. TAMAÑO DE POBLACIONES MÁS CERCANAS AL SITIO:

Kms.	TAMAÑO DE POBLACIONES (HABITANTES)		
	< 500	500-2500	> 2500
0			
0.1-5		x	
5-10			

08. ACCESO AL SITIO DESDE POBLACIONES A MENOS DE 10 Kms.

Tipo de ruta	ISTANCIA A RECORRERSE (en kms		
	0--1	1--5	5--10
1. Camino Asfalt	x		
2. Terracería	x		
3. Brecha			
4. Vereda			
5. Vía acuática			
6. Vía aérea			

09. USO ACTUAL DEL SUELO

1. Forestal [X] 2. Ganadero [X] 3. Agricultura de temporal [ ] 4.Agricultura de riego [ ] 5.Urbano [ ] 6.Turtístico [ ]

7. Otros

Observaciones sobre proporciones y localización

10. NUMERO Y TAMAÑO DE ESTRUCTURAS DEL SITIO:

EXTENSIÓN **200** m2

0.02 Has.

(1 Hectárea= 10,000 m2)

Altura	NÚMERO DE ESTRUCTURAS				
	0--5	6--10	11--50	51--100	> 100
< 2	x				
2--5					
6--10					
> 10					

11. GRADO DE SAQUEO ENCONTRADO EN EL SITIO:

0. Ninguno [X]
1. Saqueo antiguo [ ]
2. Saqueo reciente ocasional [ ]
3. Saqueo reciente sistemático simple [ ]
4. Saqueo reciente sistemático profesi [ ]

12. GRADO DE DESTRUCCIÓN POTENCIAL EN EL SITIO

0. Ninguno [ ]

1. Por obra de infraestructura a corto plazo [ ]
2.- Por obra de infraestructura a mediano plazo [ ]
3. Por obra de infraestructura a largo plazo [ ]
4. Extracción de piedra como actividad familiar [X]
5. Extracción de piedra como actividad mayor [ ]
6. Nivelación del terreno como obra agrícola [ ]
7, Asentamiento humano [ ]
8. Vandalismo [ ]

EROSIÓN:

9. Extensiva severa [X] 10. Extensiva moderada [ ] 11. Parcial severa [ ] 12. Parcial moderda [ ]

13. Observaciones sobre intensidad de destrucción y otros procesos no descritos:

13. GRADO DE EXPOSICION DE ELEMENTOS ARQUEOLOGICOS

0. Ninguno [ ]

1. Estratigrafía [ ] 2. Arquitectura [ ] 3. Tumbas [ ] 4. Escultura [ ] 5. Pintura mural [ ]

6, Otros **Solamente cerámicas**

Fotos

Observaciones

14. MATERIALES FUNDAMENTALES EN LACONSTRUCCION DE ESTRUCTURAS:

0. No observables [X]

1. Piedra careada [ ] 2. Pieda y tierra [ ] 3. Ladrillo [ ] 4. Adobe [ ] 5. Tierra [ ]

6, Otros

Observaciones sobre posición original de material y proporciones:

15. OTROS VALORES DEL SITIO

1. Didáctico [ ]

2. Investigación [X] Conservación Excepcional [ ] 4. Alto valor artístico [ ] 5. Sitio asociado a trabajo excepcional [ ]

Observaciones sobre justificación de la decisión:

16.- TENENCIA DE LA TIERA EN EL ÁREA DEFINIDA POR LOS LÍMITES DEL SITIO:

1. Federal [ ] 2. Comunal [ ] 3. Pequeña propiedad [X] 4.Mediana propiedad [ ] 5. Ejidal [ ]

Observaciones sobre proporciones y localización:

17. CRONOLOGÍA TENTATIVA

MUESTREAR MATERIAL CERÁMICO Y/O LÍTICO DIAGNÓSTICO EN CASO DE QUE EL ÁREA NO HAYA SIDO INVESTIGADA

1. Anterior a 5000 a.n.e. [ ]
2. 5000-1500 a.n.e. [ ]
3. 1500 a.n.e.-200 n.e. [ ]
4. 200-650/900 n.e [X]
5. 650/900-1200 n.e [X]
6. 1200-1521 n.e [X]
7. Post.1521 n.e. [ ]

BIBLIOGRAFÍA MÍNIMA DEL SITIO

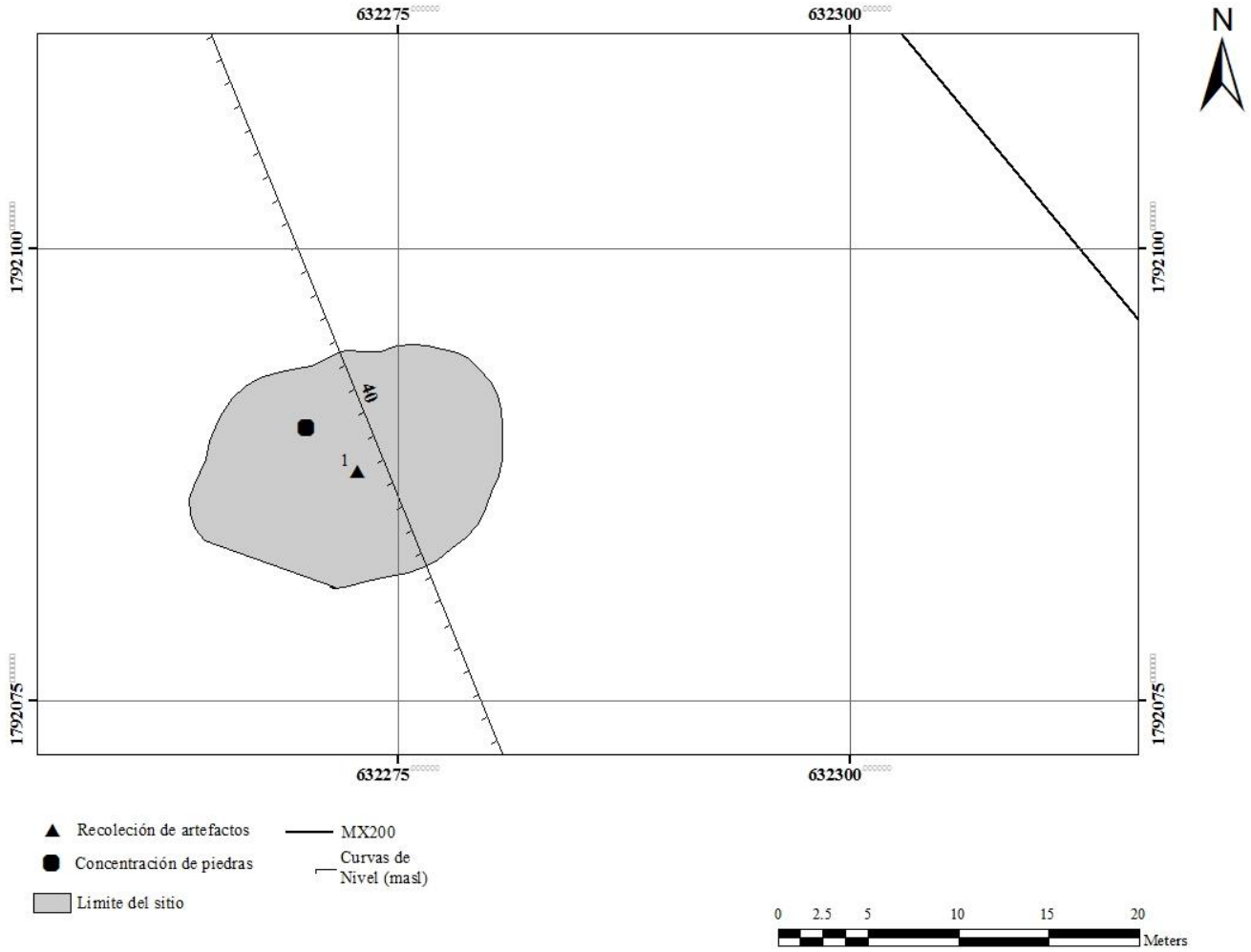
1. Descripción

2. Mapa o croquis

CROQUIS: Las Piedras (RV176)

ESCALA: 1:250

DIBUJO: Límites del sitio, recolecciones de artefactos, y arquitectura



Observaciones:

Las Piedras (RV176) es un sitio muy pequeño (0.02 ha) dentro de un valle secundario localizado a aproximadamente 1 kilómetro al sureste del pueblo moderno de La Humedad y a 30 metros al oeste de MX 200. Localizado en un abanico aluvial al pie del monte, RV176 tiene una elevación promedio de entre 30 a 40 metros sobre el nivel del mar. El sitio consiste principalmente en una concentración de cerámica. A pesar de no haberse encontrado arquitectura intacta, una colección pequeña de piedras y ladridos modernos se encontraron en el límite noroeste del cerro (ver Figura 9.30). Por lo tanto es posible que los habitantes modernos del área desmantelaron los muros prehispánicos y los reusaron en estructuras más recientes. Cerámica recolectada de Las Piedras (RV176) indica que el sitio estaba ocupado desde la fase Yuca Tiyoo hasta la fase Yucudzaa.

REGISTRO PÚBLICO DE MONUMENTOS Y ZONAS ARQUEOLÓGICOS

CATALOGO E INVENTARIO DE ZONAS ARQUEOLOGICAS

CLAVE: **RV177**

Anotó: **Raymond Mueller** Fecha: **26/3/2013** **01. TIPO DE SITIO:** **Asentamiento con una terraza**

02. NOMBRE DEL SITIO: **Monte La Soledad** Municipio: **Jamiltepec** Estado: **Oaxaca**

03.COORDENADAS UTM: E **631274** **04. NUMERO DE CARTA** **E14D84**

N **1794620** Escala de la Carta **1:50,000**

05. FOTO AÉREA: Inexistente [X]

Compañía o Institución: Escala Fecha de vuelo

Número de o vuelo: Línea: Foto:

Número de marca en foto: Cuadro menor:

06. INFORMACIÓN RECUPERADA POR: 1. Bibliografía [ ] 2. Fotointerpretació [ ] 3. Informante [ ] 4. Casualid [X]

INFORMACIÓN: 1. Verificada en campo [X] 2. No verificada en campo [ ]

07. TAMAÑO DE POBLACIONES MÁS CERCANAS AL SITIO:

Kms.	TAMAÑO DE POBLACIONES (HABITANTES)		
	< 500	500-2500	> 2500
0	x		
0.1-5			
5-10			

08. ACCESO AL SITIO DESDE POBLACIONES A MENOS DE 10 Kms.

Tipo de ruta	DISTANCIA A RECORRERSE (en kms		
	0--1	1--5	5--10
1. Camino Asfalt	x		
2. Terracería	x		
3. Brecha			
4. Vereda			
5. Vía acuática			
6. Vía aérea			

09. USO ACTUAL DEL SUELO

1. Forestal [X] 2. Ganadero [X] 3. Agricultura de temporal [ ] 4.Agricultura de riego [X] 5.Urbano [ ] 6.Turtístico [ ]

7. Otros

Observaciones sobre proporciones y localización

10. NUMERO Y TAMAÑO DE ESTRUCTURAS DEL SITIO:

EXTENSIÓN **201,300** m2

20.13 Has.

(1 Hectárea= 10,000 m2)

Altura	NÚMERO DE ESTRUCTURAS				
	0--5	6--10	11--50	51--100	> 100
< 2	x				
2--5					
6--10					
> 10					

11. GRADO DE SAQUEO ENCONTRADO EN EL SITIO:

0. Ninguno [X]
1. Saqueo antiguo [ ]
2. Saqueo reciente ocasional [ ]
3. Saqueo reciente sistemático simple [ ]
4. Saqueo reciente sistemático profesi [ ]

12. GRADO DE DESTRUCCIÓN POTENCIAL EN EL SITIO

0. Ninguno [ ]

1. Por obra de infraestructura a corto plazo [ ]
2.- Por obra de infraestructura a mediano plazo [ ]
3. Por obra de infraestructura a largo plazo [ ]
4. Extracción de piedra como actividad familiar [x]
5. Extracción de piedra como actividad mayor [ ]
6. Nivelación del terreno como obra agrícola [ ]
7, Asentamiento humano [x]
8. Vandalismo [ ]

EROSIÓN:

9. Extensiva severa [ ] 10. Extensiva moderada [ ] 11. Parcial severa [ ] 12. Parcial moderda [x]

13. Observaciones sobre intensidad de destrucción y otros procesos no descritos:

13. GRADO DE EXPOSICION DE ELEMENTOS ARQUEOLOGICOS

0. Ninguno [ ]

1. Estratigrafía [ ] 2. Arquitectura [x] 3. Tumbas [ ] 4. Escultura [ ] 5. Pintura mural [ ]

6, Otros **Estela**
Fotos

Observaciones

14. MATERIALES FUNDAMENTALES EN LACONSTRUCCION DE ESTRUCTURAS:

0. No observables [ ]

1. Piedra careada [ ] 2. Pieda y tierra [x] 3. Ladrillo [ ] 4. Adobe [ ] 5. Tierra [ ]

6, Otros

Observaciones sobre posición original de material y proporciones:

15. OTROS VALORES DEL SITIO

1. Didáctico [ ]

2. Investigación [X] Conservación Excepcional [ ] 4. Alto valor artístico [ ] 5. Sitio asociado a trabajo excepcional [ ]

Observaciones sobre justificación de la decisión:

16.- TENENCIA DE LA TIERA EN EL ÁREA DEFINIDA POR LOS LÍMITES DEL SITIO:

1. Federal [ ] 2. Comunal [x] 3. Pequeña propiedad [x] 4.Mediana propiedad [ ] 5. Ejidal [ ]

Observaciones sobre proporciones y localización:

17. CRONOLOGÍA TENTATIVA

MUESTREAR MATERIAL CERÁMICO Y/O LÍTICO DIAGNÓSTICO EN CASO DE QUE EL ÁREA NO HAYA SIDO INVESTIGADA

1. Anterior a 5000 a.n.e. [ ]
2. 5000-1500 a.n.e. [ ]
3. 1500 a.n.e.-200 n.e. [x]
4. 200-650/900 n.e [x]
5. 650/900-1200 n.e [ ]
6. 1200-1521 n.e [ ]
7. Post.1521 n.e. [ ]

BIBLIOGRAFÍA MÍNIMA DEL SITIO

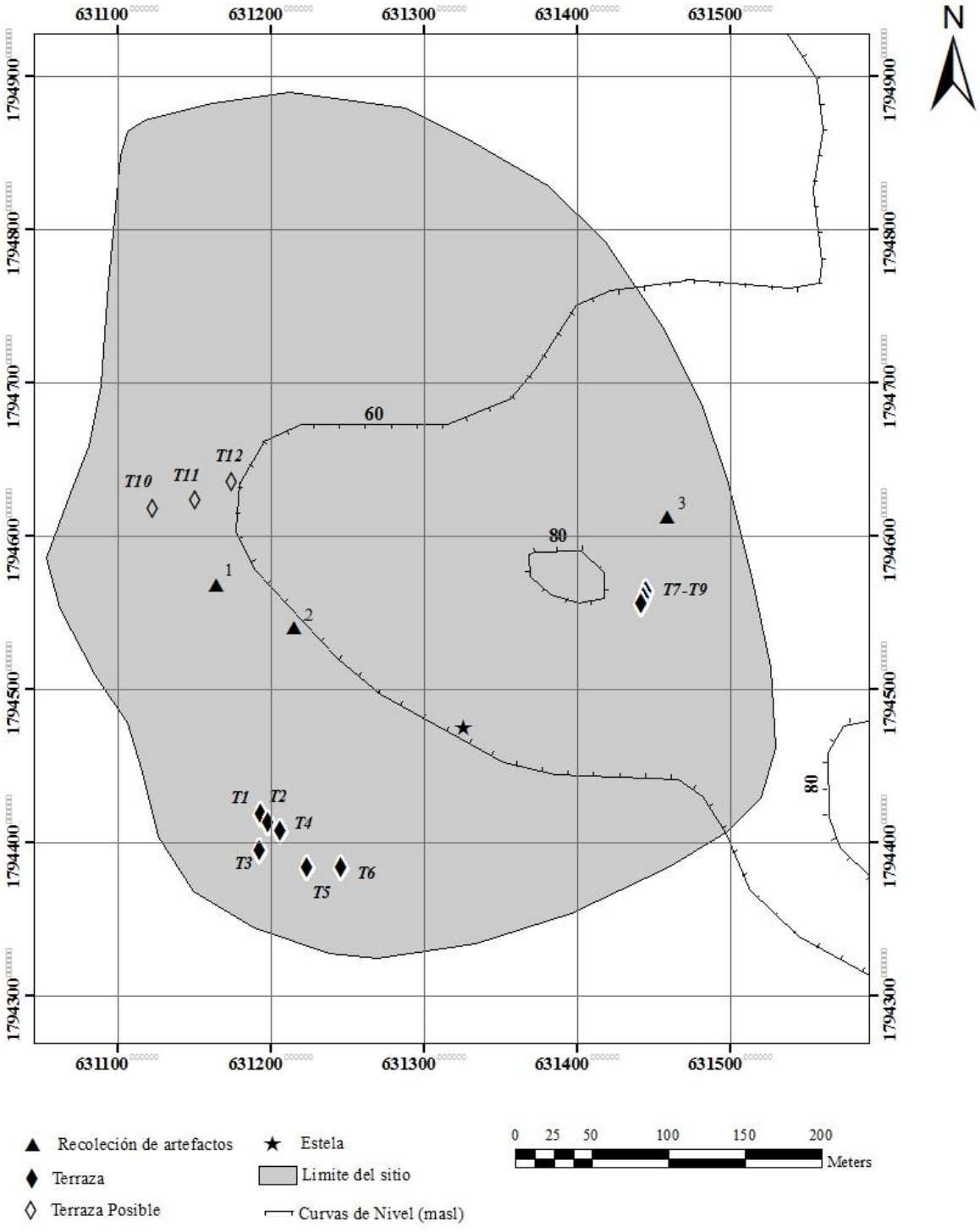
1. Descripción

2. Mapa o croquis

CROQUIS: Monte La Soledad (RV177)

ESCALA: 1:3,000

DIBUJO: Límites del sitio, recolecciones de artefactos, y arquitectura



Observaciones:

Monte La Soledad (RV177) se encuentra a 270 metros al este de la carretera MX 200 e incluye el pequeño pueblo moderno de La Soledad. El sitio se localiza principalmente en una cresta (ver Figura 9.31), el lado oeste de la cual se extiende hasta le cauce del Arroyo La Humedad. La elevación del sitio esta entre 50-80 metros sobre el nivel del mar. Con una área de 20.13 hectáreas, RV117 es una mezcla compleja de zonas de cultivo y áreas no cultivadas. Se encuentran tierras de pastoreo en el componente del sitio que esta sobre el valle secundario, así como en la cumbre plana de la cresta al noreste. Por otro lado, las áreas al noroeste están actualmente utilizadas para cultivar limones. Al sur de los huertos de limones, junto al Arroyo La Humedad se encuentran las dos casas de La Soledad moderno. Todas las demás áreas del sitio no se están actualmente siendo utilizadas y se encuentran recubiertas por un denso matorral y pequeños árboles.

La mayoría de la ocupación en Monte La Soledad se hizo sobre una serie de cerros a lo largo de una cresta en forma de *v*. El asentamiento más denso ocurrió sobre terrazas en las laderas de los cerros (T1-T12; ver Figura 9.31). Evidencia dispersa de actividades residenciales se hallaron también en la cresta, particularmente en las áreas al sur y al este del sitio.

En el tercio más al sur de Monte La Soledad, dos colinas fueron ocupadas. Los residentes hicieron terrazas en una de las colinas (T1-T6) ubicadas en la frontera sur del sitio, a una elevación de 50 metros sobre el nivel del mar. Esto se ve indicado por probables muros de contención registrados en las laderas oeste y este de la colina. Varios muros fueron registrados en la cima de la colina también, y un grupo de ellos formó un espacio burdamente cuadrado (4 x 6 m), que pudo haber sido una residencia. Evidencias adicionales de actividades domésticas incluyeron 4-5 metates encontrados o en la cubre mismo del cerro, o en sus laderas sur y este. Otros muros fueron esparcidos en la ladera este, a aproximadamente 30 metros de la T6. A alrededor de 100 metros al noreste de las terrazas, a una elevación de aproximadamente 60 metros sobre el nivel del mar, otra colina ocupada fue registrada con una estela lisa y parada (ver Figura 9.31 y 9.32). Tres metates fueron encontrados a 30 metros al noreste de esta estela.

El asentamiento más elevado era en la frontera este del sitio cerca de la muestra 3, donde la cresta llego a un apogeo de 80 metros sobre el nivel del mar. Probables muros de terrazas fueron registrados en la ladera este del cerro (T7, T8, y T9: ver Figura 9.31), y por lo menos un muro fue encontrado en la cumbre del cerro. Actividades domésticas pueden ser tentativamente sugeridas por la presencia de tres metates registrados.

Áreas al oeste y al norte de Monte La Soledad fueron altamente perturbadas por la presencia moderna de residencias y su proximidad con el Arroyo La Humedad. Por lo tanto, las actividades Prehispánicas en estas porciones del sitio no eran muy claras. Al oeste, posibles vestigios prehispánicos fueron encontrados cerca de una casa moderna en la base de la cresta en forma de *v*. Los investigadores registraron dos muros de piedra y un metate en el patio de la casa, que se ubica encima de una colina. Un posible muro de terraza (T10) también fue observado en la ladera noreste de la colina (ver Figura 9.31). El terreno subió directamente al este de la casa y afloramientos de roca madre sirvieron para crear espacios naturalmente planos. Sin embargo, los antiguos habitantes de RV177 quizás construyeron por lo menos dos muros de contención en esta área (T11 y T12). Los investigadores registraron una mano de un metate. En la cuesta sur de la colina, siete muros dispersos adicionales y dos metates fueron encontrados. Actividades prehispánicas eran aún más difíciles de identificar en la planicie aluvial

al norte. Se hallaron un metate y un grupo de 5-10 muros en esta área. Sin embargo, algunos de los muros pudieron haber sido modificados por uso moderno o construido recientemente.

Las muestras de cerámica recuperadas en Monte La Soledad (RV177) indican que el sitio fue ocupado desde la fase Chacahua hasta la fase Yuta Tiyoo. La ocupación más larga ocurrió probablemente durante la fase Yuta Tiyoo.

REGISTRO PÚBLICO DE MONUMENTOS Y ZONAS ARQUEOLÓGICOS

CATALOGO E INVENTARIO DE ZONAS ARQUEOLOGICAS

CLAVE: **RV178**

Anotó: **Jessica Hedgepeth Balkin** Fecha: **22/3/2013** **01. TIPO DE SITIO:** **Concentración de cerámicas**

02. NOMBRE DEL SITIO: **Camino a Atotonilquillo** Municipio: **Jamiltepec** Estado: **Oaxaca**

03.COORDENADAS UTM: E **632652** **04. NUMERO DE CARTA** **E14D84**

N **1791790** Escala de la Carta **1:50,000**

05. FOTO AÉREA: Inexistente [X]

Compañía o Institución: Escala Fecha de vuelo

Número de o vuelo: Línea: Foto:

Número de marca en foto: Cuadro menor:

06. INFORMACIÓN RECUPERADA POR: 1. Bibliografía [ ] 2. Fotointerpretació [ ] 3. Informante [ ] 4. Casualid [X]

INFORMACIÓN: 1. Verificada en campo [X] 2. No verificada en campo [ ]

07. TAMAÑO DE POBLACIONES MÁS CERCANAS AL SITIO:

		TAMAÑO DE POBLACIONES (HABITANTES)		
		< 500	500-2500	> 2500
Kms.	0			
	0.1-5	x		
	5-10			

08. ACCESO AL SITIO DESDE POBLACIONES A MENOS DE 10 Kms.

		ISTANCIA A RECORRERSE (en kms		
		0--1	1--5	5--10
Tipo de ruta	1. Camino Asfalt	x		
	2. Terracería	x		
	3. Brecha			
	4. Vereda			
	5. Vía acuática			
	6. Vía aérea			

09. USO ACTUAL DEL SUELO

1. Forestal [ ] 2. Ganadero [ ] 3. Agricultura de temporal [ ] 4.Agricultura de riego [x] 5.Urbano [ ] 6.Turtístico [ ]

7. Otros

Observaciones sobre proporciones y localización

10. NUMERO Y TAMAÑO DE ESTRUCTURAS DEL SITIO:

EXTENSIÓN **54,200** m2

5.42 Has.

(1 Hectárea= 10,000 m2)

		NÚMERO DE ESTRUCTURAS				
		0--5	6--10	11--50	51--100	> 100
Altura	< 2	x				
	2--5					
	6--10					
	> 10					

11. GRADO DE SAQUEO ENCONTRADO EN EL SITIO:

0. Ninguno [X]
1. Saqueo antiguo [ ]
2. Saqueo reciente ocasional [ ]
3. Saqueo reciente sistemático simple [ ]
4. Saqueo reciente sistemático profesi [ ]

12. GRADO DE DESTRUCCIÓN POTENCIAL EN EL SITIO

0. Ninguno [ ]

1. Por obra de infraestructura a corto plazo [ ]
2.- Por obra de infraestructura a mediano plazo [ ]
3. Por obra de infraestructura a largo plazo [ ]
4. Extracción de piedra como actividad familiar [ ]
5. Extracción de piedra como actividad mayor [ ]
6. Nivelación del terreno como obra agrícola [x]
7, Asentamiento humano [ ]
8. Vandalismo [ ]

EROSIÓN:

9. Extensiva severa [ ] 10. Extensiva moderada [ ] 11. Parcial severa [ ] 12. Parcial moderda [x]

13. Observaciones sobre intensidad de destrucción y otros procesos no descritos:

13. GRADO DE EXPOSICION DE ELEMENTOS ARQUEOLOGICOS

0. Ninguno [ ]

1. Estratigrafía [ ] 2. Arquitectura [ ] 3. Tumbas [ ] 4. Escultura [ ] 5. Pintura mural [ ]

6, Otros **Solamente cerámicas**

Fotos

Observaciones

14. MATERIALES FUNDAMENTALES EN LACONSTRUCCION DE ESTRUCTURAS:

0. No observables [x]

1. Piedra careada [ ] 2. Pieda y tierra [ ] 3. Ladrillo [ ] 4. Adobe [ ] 5. Tierra [ ]

6, Otros

Observaciones sobre posición original de material y proporciones:

15. OTROS VALORES DEL SITIO

1. Didáctico [ ]

2. Investigación [X] Conservación Excepcional [ ] 4. Alto valor artístico [ ] 5. Sitio asociado a trabajo excepcional [ ]

Observaciones sobre justificación de la decisión:

16.- TENENCIA DE LA TIERA EN EL ÁREA DEFINIDA POR LOS LÍMITES DEL SITIO:

1. Federal [ ] 2. Comunal 3. Pequeña propiedad [ ] 4.Mediana propiedad [x] 5. Ejidal [ ]

Observaciones sobre proporciones y localización:

17. CRONOLOGÍA TENTATIVA **Cerámicas diagnósticas no disponibles**

MUESTREAR MATERIAL CERÁMICO Y/O LÍTICO DIAGNÓSTICO EN CASO DE QUE EL ÁREA NO HAYA SIDO INVESTIGADA

1. Anterior a 5000 a.n.e. [ ]
2. 5000-1500 a.n.e. [ ]
3. 1500 a.n.e.-200 n.e. [ ]
4. 200-650/900 n.e [ ]
5. 650/900-1200 n.e [ ]
6. 1200-1521 n.e [ ]
7. Post.1521 n.e. [ ]

BIBLIOGRAFÍA MÍNIMA DEL SITIO

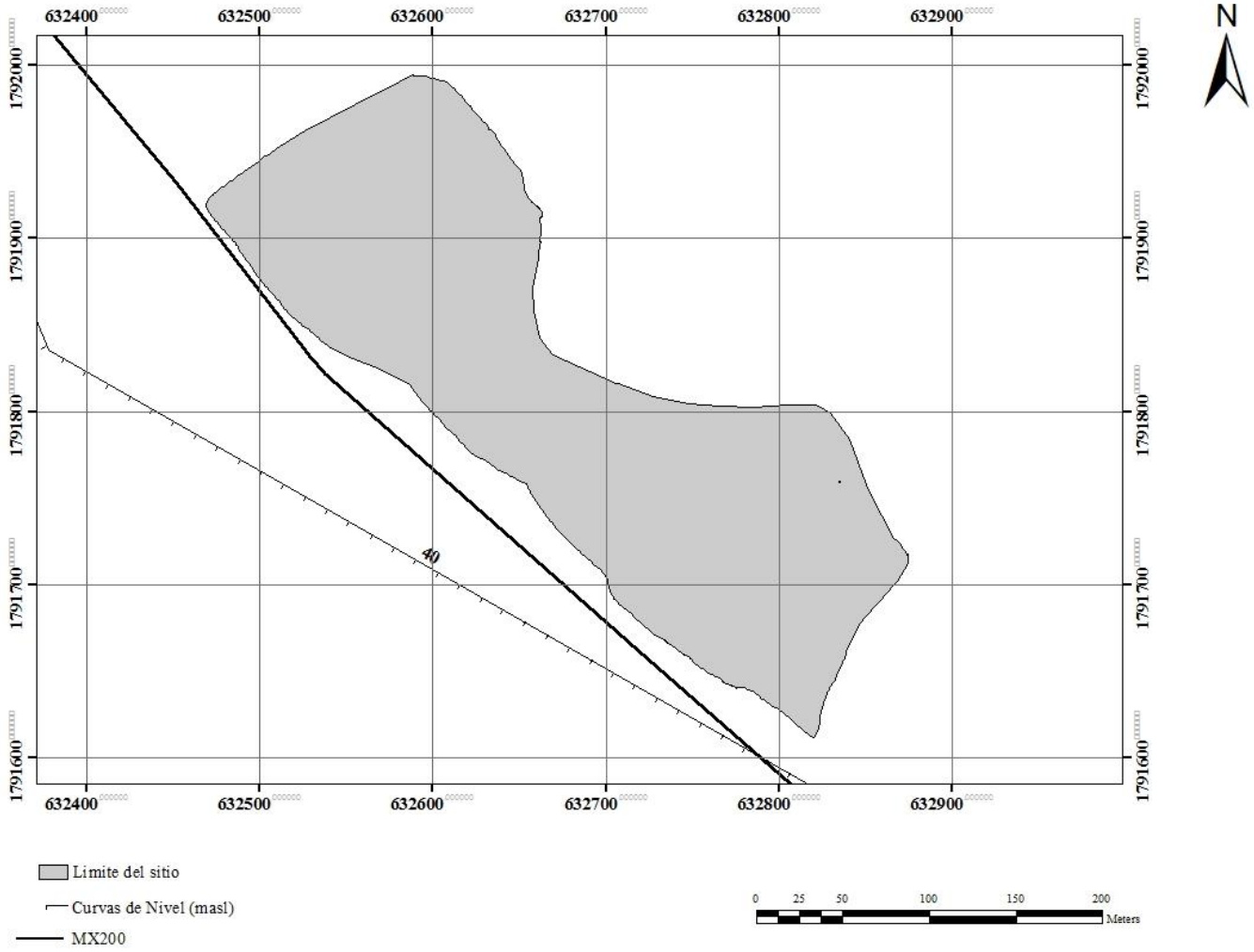
1. Descripción

2. Mapa o croquis

CROQUIS: Camino a Atotonilquillo (RV178)

ESCALA: 1:2,602

DIBUJO: Límites del sitio, recolecciones de artefactos, y arquitectura



Observaciones:

Localizado a aproximadamente 1.27 kilómetros al sureste del pueblo moderno de La Humedad, Camino a Atotonilquillo (RV178) corre justo al borde este de la carretera MX 200. El sitio se ubica en un abanico aluvial en un valle secundario. Por lo mismo, RV178 tiene una pendiente muy ligera (de aproximadamente 5 grados) y tiene una elevación de entre 30-40 metros sobre el nivel del mar. Midiendo 5.42 hectáreas, el sitio se utiliza como terreno de cultivo y sirve de residencia para un biólogo de la UNAM. La casa del científico se encuentra en el medio del sitio. La erosión es mínima en el sitio, ya que el biólogo ha trabajado para minimizar sus efectos.

Pocos vestigios arqueológicos eran presentes en la superficie de Camino a Atotonilquillo (RV178); ningún rasgo arquitectónico era visible (ver Figura 9.33) y una densidad muy baja de cerámica fue observada principalmente en los sectores este y oeste del sitio. La mayoría de la cerámica fue encontrada sobre elevaciones aluviales naturales. Ya que no se encontró ningún tepalcate diagnóstico, hasta el momento no se puede asignar ninguna fecha a RV178.

REGISTRO PÚBLICO DE MONUMENTOS Y ZONAS ARQUEOLÓGICOS

CATALOGO E INVENTARIO DE ZONAS ARQUEOLOGICAS

CLAVE: **RV179**

Anotó: **Raymond Mueller** Fecha: **23/4/2013** **01. TIPO DE SITIO:** **Asentamiento con terrazas**

02. NOMBRE DEL SITIO: **Atotonilquillo** Municipio: **Jamiltepec** Estado: **Oaxaca**

03.COORDENADAS UTM: E **632966** **04. NUMERO DE CARTA** **E14D84**

N **1791203** Escala de la Carta **1:50,000**

05. FOTO AÉREA: Inexistente [X]

Compañía o Institución: Escala Fecha de vuelo

Número de o vuelo: Línea: Foto:

Número de marca en foto: Cuadro menor:

06. INFORMACIÓN RECUPERADA POR: 1. Bibliografía [ ] 2. Fotointerpretació [ ] 3. Informante [ ] 4. Casualid [X]

INFORMACIÓN: 1. Verificada en campo [X] 2. No verificada en campo [ ]

07. TAMAÑO DE POBLACIONES MÁS CERCANAS AL SITIO:

Kms.	TAMAÑO DE POBLACIONES (HABITANTES)		
	< 500	500-2500	> 2500
0	x		
0.1-5			
5-10			

08. ACCESO AL SITIO DESDE POBLACIONES A MENOS DE 10 Kms.

Tipo de ruta	ISTANCIA A RECORRERSE (en kms		
	0--1	1--5	5--10
1. Camino Asfalt	x		
2. Terracería	x		
3. Brecha			
4. Vereda			
5. Vía acuática			
6. Vía aérea			

09. USO ACTUAL DEL SUELO

1. Forestal [X] 2. Ganadero [X] 3. Agricultura de temporal [ ] 4.Agricultura de riego [X] 5.Urbano [X] 6.Turístico [ ]

7. Otros

Observaciones sobre proporciones y localización

10. NUMERO Y TAMAÑO DE ESTRUCTURAS DEL SITIO:

EXTENSIÓN **114,200** m2

11.42 Has.

(1 Hectárea= 10,000 m2)

Altura	NÚMERO DE ESTRUCTURAS				
	0--5	6--10	11--50	51--100	> 100
< 2		x			
2--5					
6--10					
> 10					

11. GRADO DE SAQUEO ENCONTRADO EN EL SITIO:

0. Ninguno [X]
1. Saqueo antiguo [ ]
2. Saqueo reciente ocasional [ ]
3. Saqueo reciente sistemático simple [ ]
4. Saqueo reciente sistemático profesi [ ]

12. GRADO DE DESTRUCCIÓN POTENCIAL EN EL SITIO

0. Ninguno [ ]

1. Por obra de infraestructura a corto plazo [ ]
2.- Por obra de infraestructura a mediano plazo [ ]
3. Por obra de infraestructura a largo plazo [ ]
4. Extracción de piedra como actividad familiar [ ]
5. Extracción de piedra como actividad mayor [ ]
6. Nivelación del terreno como obra agrícola [x]
7, Asentamiento humano [x]
8. Vandalismo [ ]

EROSIÓN:

9. Extensiva severa [ ] 10. Extensiva moderada [ ] 11. Parcial severa [x] 12. Parcial moderda [x]

13. Observaciones sobre intensidad de destrucción y otros procesos no descritos:

13. GRADO DE EXPOSICION DE ELEMENTOS ARQUEOLOGICOS

0. Ninguno [ ]

1. Estratigrafía [ ] 2. Arquitectura [x] 3. Tumbas [ ] 4. Escultura [ ] 5. Pintura mural [ ]

6, Otros _____
Fotos _____

Observaciones

14. MATERIALES FUNDAMENTALES EN LACONSTRUCCION DE ESTRUCTURAS:

0. No observables [ ]

1. Piedra careada [ ] 2. Pieda y tierra [ ] 3. Ladrillo [ ] 4. Adobe [ ] 5. Tierra [ ]

6, Otros _____

Observaciones sobre posición original de material y proporciones:

15. OTROS VALORES DEL SITIO

1. Didáctico [x]

2. Investigación [X] Conservación Excepcional [ ] 4. Alto valor artístico [ ] 5. Sitio asociado a trabajo excepcional [ ]

Observaciones sobre justificación de la decisión:

16.- TENENCIA DE LA TIERA EN EL ÁREA DEFINIDA POR LOS LÍMITES DEL SITIO:

1. Federal [ ] 2. Comunal [x] 3. Pequeña propiedad [ ] 4.Mediana propiedad [x] 5. Ejidal [ ]

Observaciones sobre proporciones y localización:

17. CRONOLOGÍA TENTATIVA

MUESTREAR MATERIAL CERÁMICO Y/O LÍTICO DIAGNÓSTICO EN CASO DE QUE EL ÁREA NO HAYA SIDO INVESTIGADA

1. Anterior a 5000 a.n.e. [ ]
2. 5000-1500 a.n.e. [ ]
3. 1500 a.n.e.-200 n.e. [x]
4. 200-650/900 n.e [x]
5. 650/900-1200 n.e [ ]
6. 1200-1521 n.e [ ]
7. Post.1521 n.e. [ ]

BIBLIOGRAFÍA MÍNIMA DEL SITIO

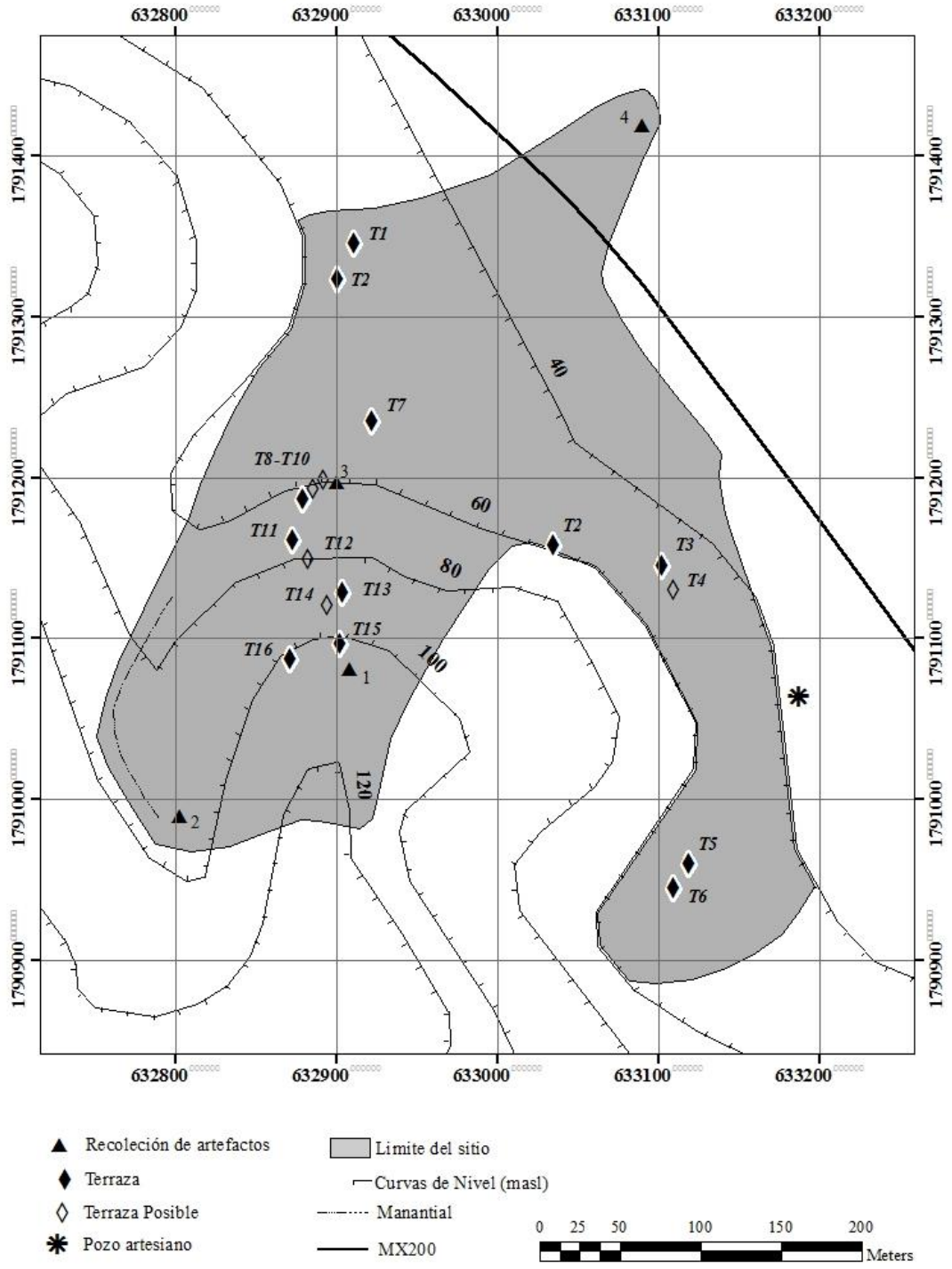
1. Descripción _____

2. Mapa o croquis _____

CROQUIS: Atotonilquillo (RV179)

ESCALA: 1:3,000

DIBUJO: Límites del sitio, recolecciones de artefactos, y arquitectura



Observaciones:

Atotonilquillo (RV179) es directamente adyacente con la frontera noroeste del pequeño pueblo con el mismo nombre. La carretera MX 200 corta a través de la esquina noreste del sitio (ver Figura 9.34). RV179 se sitúa principalmente sobre una serie de crestas angostas, y su frontera este se extiende sobre cuestas más bajas de coluvión. La punta al noreste del sitio se ubica sobre la zona del valle secundario. Por lo tanto, la elevación del sitio varía mucho: entre 30-100 metros sobre el nivel del mar. Como se puede predecir, la erosión es menos fuerte en las laderas coluviales y es más presente en las cuestas de las crestas. Ésta última área también cuenta con muchas madrigueras de roedores. Como resultado, muchos artefactos ligeros como tepalcates han sido movidos cuesta bajo de su posición original. Actualmente, la mayor parte de los 11.42 hectáreas de Atotonilquillo no está siendo cultivado. Hierbas mixtas y matorrales recubren la cresta, y las laderas coluviales se están utilizado como tierra de pastoreo. También se está haciendo cultivo de plátano en la zona aluvial al noreste. Allí, la mayoría de los muros de piedra han sido altamente perturbados por actividades de arado.

Es importante notar que dos fuentes de agua están asociadas con el sitio: 1) un manantial artesiano adyacente a la esquina sureste del sitio, justo arriba del piso del valle, y 2) un manantial no-artesiano cuyo punto de origen es el arroyo en la esquina suroeste del sitio (ver Figuras 9.34 y 9.35).

Manantiales artesianos tienden a tener una presión más alta que los manantiales no artesianos puesto a su contacto con elementos debajo de la superficie como una falla geográfica. Aparte de estos manantiales, la fuentes más cercanas de agua dulce están en la parte superior del arroyo La Humedad (0.2 km al este), y el Río Verde (3.5 km al este). Especialmente en comparación con los manantiales, el arroyo La Humedad no pudo haber proveído de mucha agua en la estación de secas cuando su flujo desaparece casi completamente. Hoy en día, los campesinos excavan trincheras hasta llegar al nivel freático durante la estación de secas. En ubicar Atotonilquillo cerca de los manantiales, la gente prehispánica hubiera tenido acceso seguro al agua por todo el año.

La mayor parte de la arquitectura en Atotonilquillo (RV179) consiste en terrazas construidas dentro de laderas coluviales o de crestas (ver Figura 9.34). Las terrazas en la mitad este del sitio (T1-T6) fueron registradas en cuatro áreas diferentes con elevaciones de entre 40-60 metros sobre el nivel del mar. En las áreas al noroeste (T1 y T2) y al sureste (T5 y T6) del sitio, las terrazas fueron construidas por pares, con muros de contención individuales colocados en elevaciones diferentes. Un tercer par (T3 y T4) pudo haber sido construido en la parte medio-este del sitio, a casi la misma elevación. Sin embargo no se sabe si los muros observados en la Terraza 4 eran muros de contención. Una densidad relativamente alta de metates de roca (5), fue registrada alrededor de las terrazas al sureste (T3-T6), lo que sugiere que esta área era asociada con actividades domésticas.

Notablemente, el área con más terrazas del RV179 se encontraba a menos de 100 metros al este del manantial no artesiano (muestras 1 y 3; ver Figura 9.34). Por lo menos 6 terrazas confirmadas (T7, T10, T11, T13, T15 y T16) y cuatro terrazas posibles (T8, T9, T12, y T14) fueron construidoas a lo largo de una cresta con elevaciones de entre 50 a 100 metros sobre el nivel del mar (Figura 9.36), dando una apariencia escalonada a la cresta. Los investigadores registraron aproximadamente 7 muros de contención diferente. Se registraron también siete muros adicionales de tamaño pequeño y mediano, algunos de los cuales pudieron haber servido o como muros de contención o como cimientos de estructuras puestas encima de las superficies planas de las terrazas. Más investigación es necesaria para clarificar el plano arquitectónico de esta área del sitio.

Las áreas ocupacionales del sitio que quedan incluyen el nacimiento del manantial no artesiano al suroeste, y una colina aluvial baja, en la punta norte del sitio. En el nacimiento del manantial los habitantes del sitio ocuparon un área plana creada naturalmente por afloramientos de roca madre con una elevación de aproximadamente 100 metros sobre el nivel del mar. Dos pequeños muros fueron encontrados sobre este descanso. En el área aluvial del sitio, dos muros fueron registrados, uno de los cuales puede haber sido un muro de contención. Si se trata de un muro de contención, significaría que un montículo fue realmente construido. Sin embargo, dado el alto nivel de perturbación por actividades de arado en estos momentos no se puede elaborar más acerca de los elementos arquitectónicos en la punta norte del sitio.

Muestras de cerámica indican que Atotonilquillo (RV179) fue habitado durante las fases Minizundo y Chacahua hasta la fase Yuta Tiyoo. La ocupación más grande ocurrió durante la fase Coyuche.

REGISTRO PÚBLICO DE MONUMENTOS Y ZONAS ARQUEOLÓGICOS

CATALOGO E INVENTARIO DE ZONAS ARQUEOLOGICAS

CLAVE: **RV180**

Anotó: **Paris Ferrand Alcaraz** Fecha: **2/4/2013** **01. TIPO DE SITIO:** **Concentración de cerámicas**

02. NOMBRE DEL SITIO: **Hierba Gruesa** Municipio: **Jamiltepec** Estado: **Oaxaca**

03.COORDENADAS UTM: E **633830** **04. NUMERO DE CARTA** **E14D84**

N **1790364** Escala de la Carta **1:50,000**

05. FOTO AÉREA: Inexistente [X]

Compañía o Institución: Escala Fecha de vuelo

Número de o vuelo: Línea: Foto:

Número de marca en foto: Cuadro menor:

06. INFORMACIÓN RECUPERADA POR: 1. Bibliografía [ ] 2. Fotointerpretació [ ] 3. Informante [ ] 4. Casualid [X]

INFORMACIÓN: 1. Verificada en campo [X] 2. No verificada en campo [ ]

07. TAMAÑO DE POBLACIONES MÁS CERCANAS AL SITIO:

Kms.	TAMAÑO DE POBLACIONES (HABITANTES)		
	< 500	500-2500	> 2500
0			
0.1-5		x	
5-10			

08. ACCESO AL SITIO DESDE POBLACIONES A MENOS DE 10 Kms.

Tipo de ruta	DISTANCIA A RECORRERSE (en kms		
	0--1	1--5	5--10
1. Camino Asfalt	x		
2. Terracería	x		
3. Brecha			
4. Vereda			
5. Vía acuática			
6. Vía aérea			

09. USO ACTUAL DEL SUELO

1. Forestal [ ] 2. Ganadero [x] 3. Agricultura de temporal [ ] 4.Agricultura de riego [ ] 5.Urbano [ ] 6.Turtístico [ ]

7. Otros

Observaciones sobre proporciones y localización

10. NUMERO Y TAMAÑO DE ESTRUCTURAS DEL SITIO:

EXTENSIÓN **200** m2

0.02 Has.

(1 Hectárea= 10,000 m2)

Altura	NÚMERO DE ESTRUCTURAS				
	0--5	6--10	11--50	51--100	> 100
< 2	x				
2--5					
6--10					
> 10					

11. GRADO DE SAQUEO ENCONTRADO EN EL SITIO:

0. Ninguno [X]
1. Saqueo antiguo [ ]
2. Saqueo reciente ocasional [ ]
3. Saqueo reciente sistemático simple [ ]
4. Saqueo reciente sistemático profesi [ ]

12. GRADO DE DESTRUCCIÓN POTENCIAL EN EL SITIO 0. Ninguno [ ]

1. Por obra de infraestructura a corto plazo [ ]
2.- Por obra de infraestructura a mediano plazo [x]
3. Por obra de infraestructura a largo plazo [ ]
4. Extracción de piedra como actividad familiar [ ]
5. Extracción de piedra como actividad mayor [ ]
6. Nivelación del terreno como obra agrícola [ ]
7, Asentamiento humano [x]
8. Vandalismo [ ]

EROSIÓN:

9. Extensiva severa [ ] 10. Extensiva moderada [ ] 11. Parcial severa [x] 12. Parcial moderda [x]

13. Observaciones sobre intensidad de destrucción y otros procesos no descritos:

13. GRADO DE EXPOSICION DE ELEMENTOS ARQUEOLOGICOS 0. Ninguno [ ]

1. Estratigrafía [ ] 2. Arquitectura [x] 3. Tumbas [ ] 4. Escultura [ ] 5. Pintura mural [ ]

6, Otros _____
Fotos _____

Observaciones

14. MATERIALES FUNDAMENTALES EN LACONSTRUCCION DE ESTRUCTURAS: 0. No observables [ ]

1. Piedra careada [ ] 2. Pieda y tierra [x] 3. Ladrillo [ ] 4. Adobe [ ] 5. Tierra [ ]

6, Otros _____

Observaciones sobre posición original de material y proporciones:

15. OTROS VALORES DEL SITIO 1. Didáctico [ ]

2. Investigación [X] Conservación Excepcional [ ] 4. Alto valor artístico [ ] 5. Sitio asociado a trabajo excepcional [ ]

Observaciones sobre justificación de la decisión:

16.- TENENCIA DE LA TIERA EN EL ÁREA DEFINIDA POR LOS LÍMITES DEL SITIO:

1. Federal [ ] 2. Comunal [ ] 3. Pequeña propiedad [x] 4.Mediana propiedad [x] 5. Ejidal [ ]

Observaciones sobre proporciones y localización:

17. CRONOLOGÍA TENTATIVA **Cerámicas diagnósticas no disponibles**

MUESTREAR MATERIAL CERÁMICO Y/O LÍTICO DIAGNÓSTICO EN CASO DE QUE EL ÁREA NO HAYA SIDO INVESTIGADA

1. Anterior a 5000 a.n.e. [ ]
2. 5000-1500 a.n.e. [ ]
3. 1500 a.n.e.-200 n.e. [ ]
4. 200-650/900 n.e [ ]
5. 650/900-1200 n.e [ ]
6. 1200-1521 n.e [ ]
7. Post.1521 n.e. [ ]

BIBLIOGRAFÍA MÍNIMA DEL SITIO

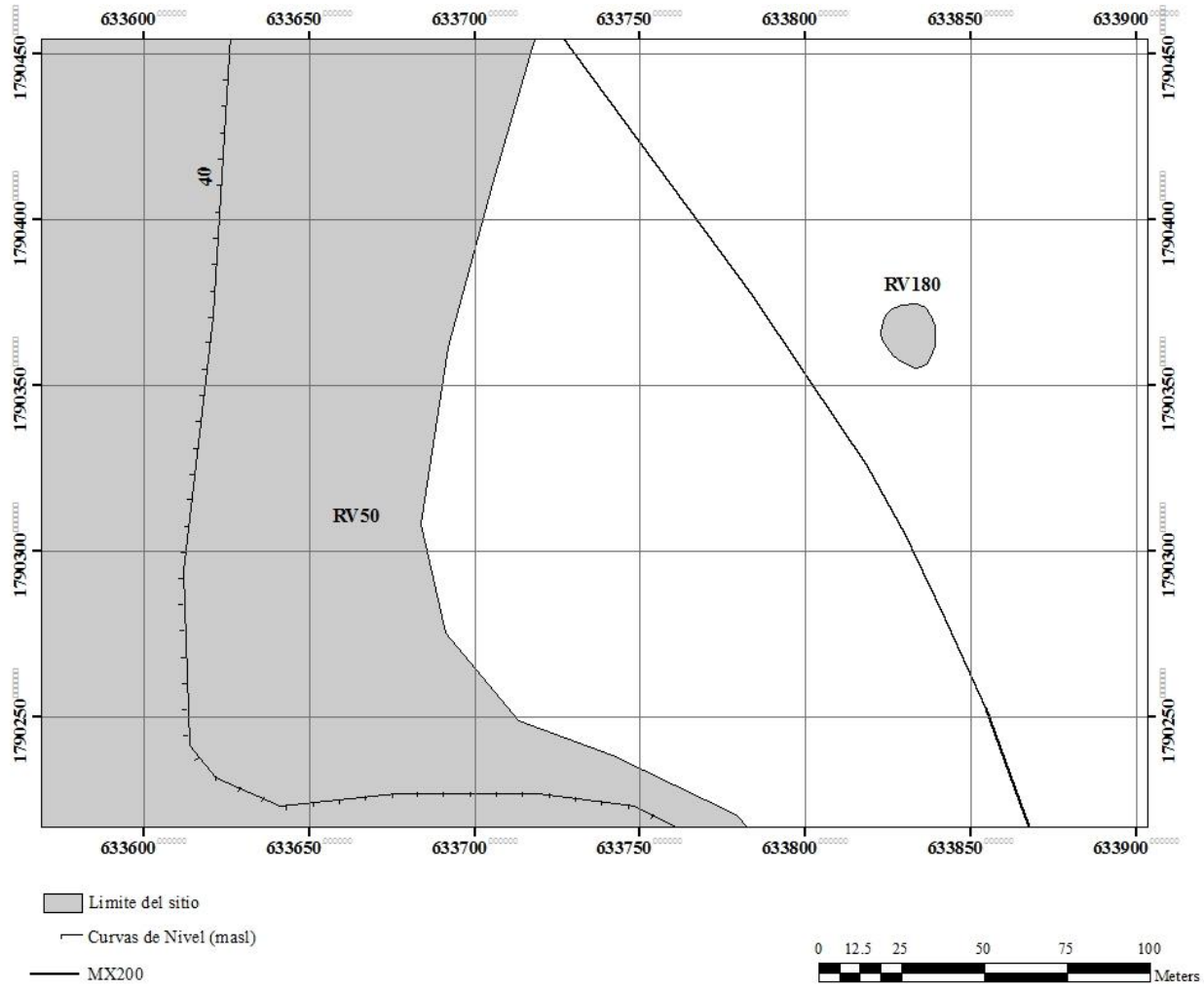
1. Descripción _____

2. Mapa o croquis _____

CROQUIS: Hierba Gruesa (RV180)

ESCALA: 1:412

DIBUJO: Límites del sitio, recolecciones de artefactos, y arquitectura



Observaciones:

Hierba Gruesa (RV180) se ubica en un valle secundario a 20 metros al este de MX 200 (ver Figura 9.37) y a alrededor de 400 metros al norte del pueblo de Piedra Ancha. Actualmente utilizado como tierra de pastoreo, este sitio de 0.02 hectáreas está cubierto por hierbas y vegetación gruesa que compromete la visibilidad. Las interpretaciones arqueológicas también son difíciles por la erosión moderada en el sitio así como la presencia de un área de alta perturbación al lado oeste del sitio probablemente causada por la construcción de caminos. Presentemente, todo lo que queda del sitio es una sola pared de piedra ubicada en la mitad oeste del sitio y una concentración muy ligera de artefactos. No se encontró ningún tiesto de cerámica diagnóstico.

REGISTRO PÚBLICO DE MONUMENTOS Y ZONAS ARQUEOLÓGICOS

CATALOGO E INVENTARIO DE ZONAS ARQUEOLOGICAS

CLAVE: **RV181**

Anotó: **Paris Ferrand Alcaraz** Fecha: **4/4/2013** **01. TIPO DE SITIO:** **Concentración de cerámicas**

02. NOMBRE DEL SITIO: **La Sola Pared** Municipio: **Jamiltepec** Estado: **Oaxaca**

03.COORDENADAS UTM: E **634449** **04. NUMERO DE CARTA** **E14D84**

N **1789899** Escala de la Carta **1:50,000**

05. FOTO AÉREA: Inexistente [X]

Compañía o Institución: Escala Fecha de vuelo

Número de o vuelo: Línea: Foto:

Número de marca en foto: Cuadro menor:

06. INFORMACIÓN RECUPERADA POR: 1. Bibliografía [ ] 2. Fotointerpretació [ ] 3. Informante [ ] 4. Casualid [X]

INFORMACIÓN: 1. Verificada en campo [X] 2. No verificada en campo [ ]

07. TAMAÑO DE POBLACIONES MÁS CERCANAS AL SITIO:

Kms.	TAMAÑO DE POBLACIONES (HABITANTES)		
	< 500	500-2500	> 2500
0			
0.1-5		x	
5-10			

08. ACCESO AL SITIO DESDE POBLACIONES A MENOS DE 10 Kms.

Tipo de ruta	ISTANCIA A RECORRERSE (en kms		
	0--1	1--5	5--10
1. Camino Asfalt	x		
2. Terracería	x		
3. Brecha			
4. Vereda			
5. Vía acuática			
6. Vía aérea			

09. USO ACTUAL DEL SUELO

1. Forestal [ ] 2. Ganadero [x] 3. Agricultura de temporal [ ] 4.Agricultura de riego [ ] 5.Urbano [ ] 6.Turtístico [ ]

7. Otros

Observaciones sobre proporciones y localización

10. NUMERO Y TAMAÑO DE ESTRUCTURAS DEL SITIO:

EXTENSIÓN **1,500** m2

0.15 Has.

(1 Hectárea= 10,000 m2)

Altura	NÚMERO DE ESTRUCTURAS				
	0--5	6--10	11--50	51--100	> 100
< 2	x				
2--5					
6--10					
> 10					

11. GRADO DE SAQUEO ENCONTRADO EN EL SITIO:

0. Ninguno [X]
1. Saqueo antiguo [ ]
2. Saqueo reciente ocasional [ ]
3. Saqueo reciente sistemático simple [ ]
4. Saqueo reciente sistemático profesi [ ]

12. GRADO DE DESTRUCCIÓN POTENCIAL EN EL SITIO

0. Ninguno [X]

1. Por obra de infraestructura a corto plazo [ ]
2.- Por obra de infraestructura a mediano plazo [ ]
3. Por obra de infraestructura a largo plazo [ ]
4. Extracción de piedra como actividad familiar [ ]
5. Extracción de piedra como actividad mayor [ ]
6. Nivelación del terreno como obra agrícola [ ]
7, Asentamiento humano [ ]
8. Vandalismo [ ]

EROSIÓN:

9. Extensiva severa [ ] 10. Extensiva moderada [ ] 11. Parcial severa [ ] 12. Parcial moderda [X]

13. Observaciones sobre intensidad de destrucción y otros procesos no descritos:

13. GRADO DE EXPOSICION DE ELEMENTOS ARQUEOLOGICOS

0. Ninguno [ ]

1. Estratigrafía [ ] 2. Arquitectura [x] 3. Tumbas [ ] 4. Escultura [ ] 5. Pintura mural [ ]

6, Otros _____
Fotos _____

Observaciones

14. MATERIALES FUNDAMENTALES EN LACONSTRUCCION DE ESTRUCTURAS:

0. No observables [ ]

1. Piedra careada [ ] 2. Pieda y tierra [x] 3. Ladrillo [ ] 4. Adobe [ ] 5. Tierra [ ]

6, Otros _____

Observaciones sobre posición original de material y proporciones:

15. OTROS VALORES DEL SITIO

1. Didáctico [ ]

2. Investigación [X] Conservación Excepcional [ ] 4. Alto valor artístico [ ] 5. Sitio asociado a trabajo excepcional [ ]

Observaciones sobre justificación de la decisión:

16.- TENENCIA DE LA TIERA EN EL ÁREA DEFINIDA POR LOS LÍMITES DEL SITIO:

1. Federal [ ] 2. Comunal [ ] 3. Pequeña propiedad [ ] 4.Mediana propiedad [X] 5. Ejidal [ ]

Observaciones sobre proporciones y localización:

17. CRONOLOGÍA TENTATIVA **Cerámicas diagnósticas no disponibles**

MUESTREAR MATERIAL CERÁMICO Y/O LÍTICO DIAGNÓSTICO EN CASO DE QUE EL ÁREA NO HAYA SIDO INVESTIGADA

1. Anterior a 5000 a.n.e. [ ]
2. 5000-1500 a.n.e. [ ]
3. 1500 a.n.e.-200 n.e. [ ]
4. 200-650/900 n.e [ ]
5. 650/900-1200 n.e [ ]
6. 1200-1521 n.e [ ]
7. Post.1521 n.e. [ ]

BIBLIOGRAFÍA MÍNIMA DEL SITIO

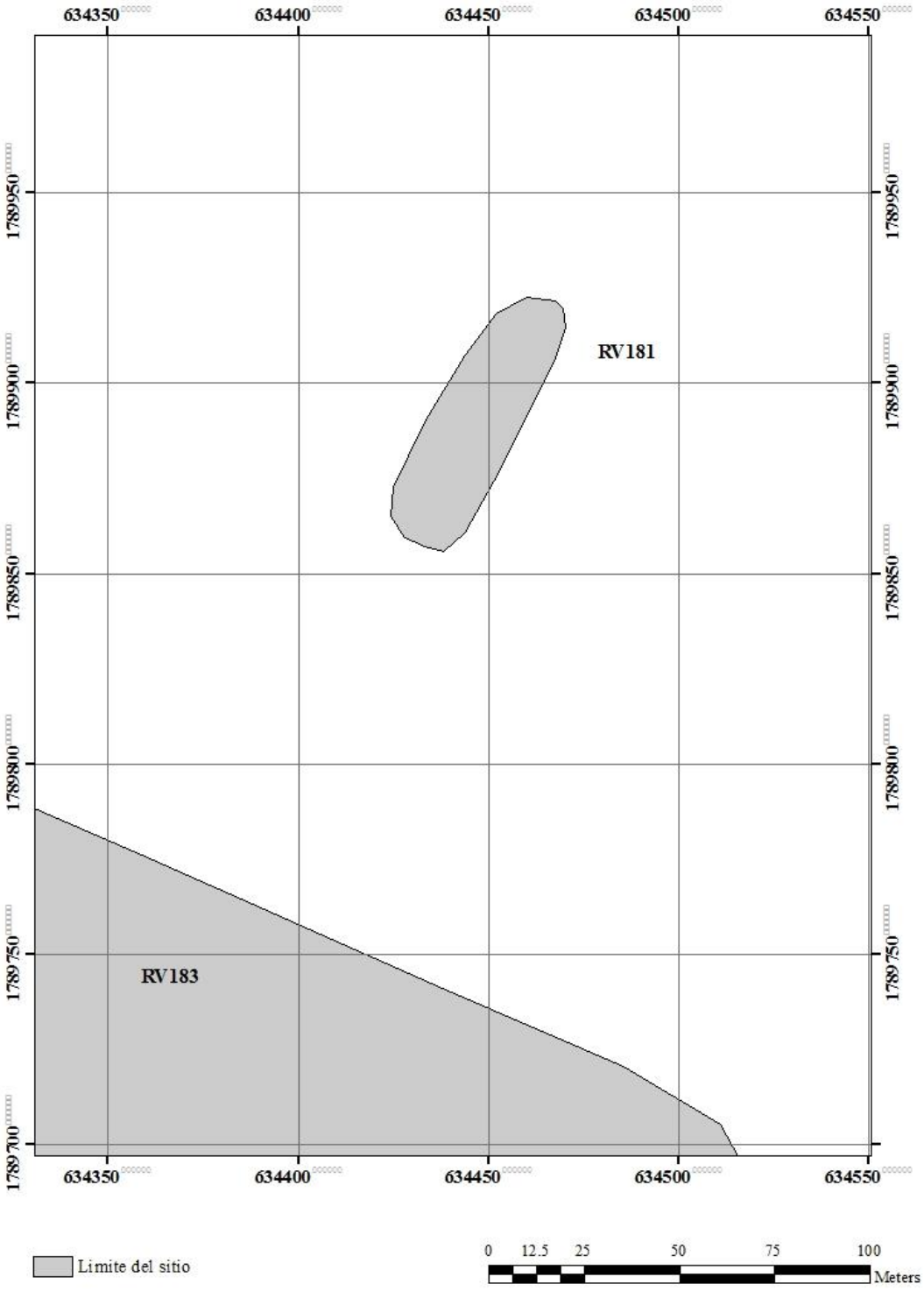
1. Descripción _____

2. Mapa o croquis _____

CROQUIS: La Sola Pared (RV181)

ESCALA: 1:1,250

DIBUJO: Límites del sitio, recolecciones de artefactos, y arquitectura



Observaciones:

La Sola Pared (RV181) es un pequeño sitio (0.15 ha) en un valle secundario localizado a menos de 600 metros al este de la carretera MX 200 y el pueblo moderno de Piedra Ancha. Puesto que RV181 se encuentra a solamente un poco más de 100 metros al norte de RV183 (ver Figura 9.38), es posible que los dos sitios fueron actualmente conectados. La altitud de La Sola Pared (RV181) tiene un promedio de 25 metros sobre el nivel del mar, y por lo tanto, es ideal como terreno de pastoreo, su uso actual. La arquitectura del sitio consiste en un solo muro de piedra en la mitad sur del sitio. Una cantidad moderada de desecho domestico fue encontrada, incluyendo dos metates y una mano de metate. No se recolectó ningún tiesto de cerámica diagnóstico.

REGISTRO PÚBLICO DE MONUMENTOS Y ZONAS ARQUEOLÓGICOS

CATALOGO E INVENTARIO DE ZONAS ARQUEOLOGICAS

CLAVE: **RV182**

Anotó: **Raymond Mueller y Paris Ferrand Alcaraz** Fecha: **16/4/2013** **01. TIPO DE SITIO:** **Concentración de cerámicas**

02. NOMBRE DEL SITIO: **El Rancho Alto** Municipio: **Jamiltepec** Estado: **Oaxaca**

03.COORDENADAS UTM: E **632020** **04. NUMERO DE CARTA** **E14D84**

N **1789052** Escala de la Carta **1:50,000**

05. FOTO AÉREA: Inexistente [X]

Compañía o Institución: Escala Fecha de vuelo

Número de o vuelo: Línea: Foto:

Número de marca en foto: Cuadro menor:

06. INFORMACIÓN RECUPERADA POR: 1. Bibliografía [ ] 2. Fotointerpretació [ ] 3. Informante [ ] 4. Casualid [X]

INFORMACIÓN: 1. Verificada en campo [X] 2. No verificada en campo [ ]

07. TAMAÑO DE POBLACIONES MÁS CERCANAS AL SITIO:

Kms.	TAMAÑO DE POBLACIONES (HABITANTES)		
	< 500	500-2500	> 2500
0			
0.1-5		x	
5-10			

08. ACCESO AL SITIO DESDE POBLACIONES A MENOS DE 10 Kms.

Tipo de ruta	ISTANCIA A RECORRERSE (en kms		
	0--1	1--5	5--10
1. Camino Asfalt	x		
2. Terracería	x		
3. Brecha			
4. Vereda			
5. Vía acuática			
6. Vía aérea			

09. USO ACTUAL DEL SUELO

1. Forestal [ ] 2. Ganadero [ ] 3. Agricultura de temporal [ ] 4.Agricultura de riego [x] 5.Urbano [ ] 6.Turtístico [ ]

7. Otros

Observaciones sobre proporciones y localización

10. NUMERO Y TAMAÑO DE ESTRUCTURAS DEL SITIO:

EXTENSIÓN **114,200** m2

11.42 Has.

(1 Hectárea= 10,000 m2)

Altura	NÚMERO DE ESTRUCTURAS				
	0--5	6--10	11--50	51--100	> 100
< 2	x				
2--5					
6--10					
> 10					

11. GRADO DE SAQUEO ENCONTRADO EN EL SITIO:

0. Ninguno [X]
1. Saqueo antiguo [ ]
2. Saqueo reciente ocasional [ ]
3. Saqueo reciente sistemático simple [ ]
4. Saqueo reciente sistemático profesi [ ]

12. GRADO DE DESTRUCCIÓN POTENCIAL EN EL SITIO 0. Ninguno [X]

1. Por obra de infraestructura a corto plazo [ ]
2.- Por obra de infraestructura a mediano plazo [ ]
3. Por obra de infraestructura a largo plazo [ ]
4. Extracción de piedra como actividad familiar [ ]
5. Extracción de piedra como actividad mayor [ ]
6. Nivelación del terreno como obra agrícola [ ]
7, Asentamiento humano [ ]
8. Vandalismo [ ]

EROSIÓN:

9. Extensiva severa [ ] 10. Extensiva moderada [ ] 11. Parcial severa [ ] 12. Parcial moderda [X]

13. Observaciones sobre intensidad de destrucción y otros procesos no descritos:

13. GRADO DE EXPOSICION DE ELEMENTOS ARQUEOLOGICOS 0. Ninguno [ ]

1. Estratigrafía [ ] 2. Arquitectura [x] 3. Tumbas [ ] 4. Escultura [ ] 5. Pintura mural [ ]

6, Otros **Solamente cerámicas**
Fotos

Observaciones

14. MATERIALES FUNDAMENTALES EN LACONSTRUCCION DE ESTRUCTURAS: 0. No observables [X]

1. Piedra careada [ ] 2. Pieda y tierra [ ] 3. Ladrillo [ ] 4. Adobe [ ] 5. Tierra [ ]

6, Otros

Observaciones sobre posición original de material y proporciones:

15. OTROS VALORES DEL SITIO 1. Didáctico [ ]

2. Investigación [X] Conservación Excepcional [ ] 4. Alto valor artístico [ ] 5. Sitio asociado a trabajo excepcional [ ]

Observaciones sobre justificación de la decisión:

16.- TENENCIA DE LA TIERA EN EL ÁREA DEFINIDA POR LOS LÍMITES DEL SITIO:

1. Federal [ ] 2. Comunal [ ] 3. Pequeña propiedad [ ] 4.Mediana propiedad [X] 5. Ejidal [ ]

Observaciones sobre proporciones y localización:

17. CRONOLOGÍA TENTATIVA

MUESTREAR MATERIAL CERÁMICO Y/O LÍTICO DIAGNÓSTICO EN CASO DE QUE EL ÁREA NO HAYA SIDO INVESTIGADA

1. Anterior a 5000 a.n.e. [ ]
2. 5000-1500 a.n.e. [ ]
3. 1500 a.n.e.-200 n.e. [ ]
4. 200-650/900 n.e [x]
5. 650/900-1200 n.e [ ]
6. 1200-1521 n.e [ ]
7. Post.1521 n.e. [ ]

BIBLIOGRAFÍA MÍNIMA DEL SITIO

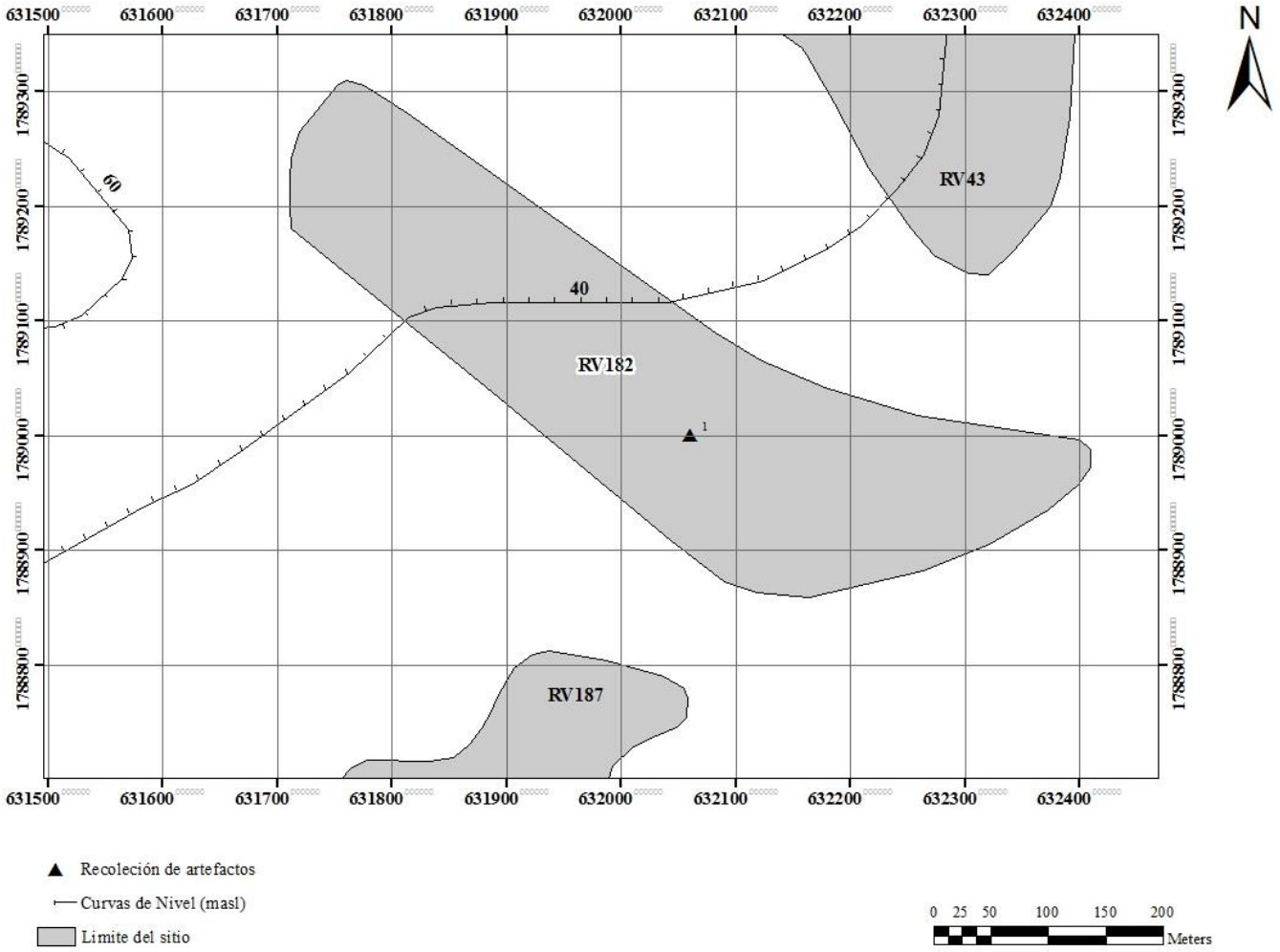
1. Descripción

2. Mapa o croquis

CROQUIS: El Rancho Alto (RV182)

ESCALA: 1:4,000

DIBUJO: Límites del sitio, recolecciones de artefactos, y arquitectura



Observaciones:

El Rancho Alto (RV182) está localizado a menos de 200 metros al sur de RV43, y, por lo tanto, se ubica sobre el mismo abanico aluvial (ver Figura 9.39). Aquí, la elevación tiene un rango más grande, de entre 30 a 50 metros sobre el nivel del mar. El uso moderno del terreno esta también parecido a RV43. Aunque El Rancho Alto (RV182) es de un tamaño un poco más grande (11.42 ha) que su homólogo al norte, no se encontró mucha evidencia arqueológica en el sitio. Los investigadores registraron una densidad baja de cerámica, la mayoría de la cual era dispersada a lo largo de la cuesta noroeste-sureste del sitio. Las muestras indican que RV182 fue ocupado durante la fase Yuta Tiyoo.

REGISTRO PÚBLICO DE MONUMENTOS Y ZONAS ARQUEOLÓGICOS

CATALOGO E INVENTARIO DE ZONAS ARQUEOLOGICAS

CLAVE: **RV183**

Anotó: **Paris Ferrand Alcaraz** Fecha: **3/4/2013** **01. TIPO DE SITIO:** **Asentamiento con terrazas y un montículo**

02. NOMBRE DEL SITIO: **Piedra Ancha Baja** Municipio: **Jamiltepec** Estado: **Oaxaca**

03.COORDENADAS UTM: E **634311** **04. NUMERO DE CARTA** **E14D84**

N **1789486** Escala de la Carta **1:50,000**

05. FOTO AÉREA: Inexistente [X]

Compañía o Institución: Escala Fecha de vuelo

Número de o vuelo: Línea: Foto:

Número de marca en foto: Cuadro menor:

06. INFORMACIÓN RECUPERADA POR: 1. Bibliografía [ ] 2. Fotointerpretació [ ] 3. Informante [ ] 4. Casualid [X]

INFORMACIÓN: 1. Verificada en campo [X] 2. No verificada en campo [ ]

07. TAMAÑO DE POBLACIONES MÁS CERCANAS AL SITIO:

Kms.	TAMAÑO DE POBLACIONES (HABITANTES)		
	< 500	500-2500	> 2500
0			
0.1-5		x	
5-10			

08. ACCESO AL SITIO DESDE POBLACIONES A MENOS DE 10 Kms.

Tipo de ruta	ISTANCIA A RECORRERSE (en kms		
	0--1	1--5	5--10
1. Camino Asfalt	x		
2. Terracería	x		
3. Brecha			
4. Vereda			
5. Vía acuática			
6. Vía aérea			

09. USO ACTUAL DEL SUELO

1. Forestal [ ] 2. Ganadero [X] 3. Agricultura de temporal [ ] 4.Agricultura de riego [ ] 5.Urbano [ ] 6.Turtístico [ ]

7. Otros

Observaciones sobre proporciones y localización

10. NUMERO Y TAMAÑO DE ESTRUCTURAS DEL SITIO:

EXTENSIÓN **240,400** m2

24.04 Has.

(1 Hectárea= 10,000 m2)

Altura	NÚMERO DE ESTRUCTURAS				
	0--5	6--10	11--50	51--100	> 100
< 2	x				
2--5	x				
6--10					
> 10					

11. GRADO DE SAQUEO ENCONTRADO EN EL SITIO:

0. Ninguno [ ]
1. Saqueo antiguo [ ]
2. Saqueo reciente ocasional [X]
3. Saqueo reciente sistemático simple [X]
4. Saqueo reciente sistemático profesi [ ]

12. GRADO DE DESTRUCCIÓN POTENCIAL EN EL SITIO

0. Ninguno [ ]

1. Por obra de infraestructura a corto plazo [ ]
2.- Por obra de infraestructura a mediano plazo [ ]
3. Por obra de infraestructura a largo plazo [x]
4. Extracción de piedra como actividad familiar [ ]
5. Extracción de piedra como actividad mayor [ ]
6. Nivelación del terreno como obra agrícola [ ]
7, Asentamiento humano [ ]
8. Vandalismo [ ]

EROSIÓN:

9. Extensiva severa [ ] 10. Extensiva moderada [ ] 11. Parcial severa [ ] 12. Parcial moderda [x]

13. Observaciones sobre intensidad de destrucción y otros procesos no descritos:

13. GRADO DE EXPOSICION DE ELEMENTOS ARQUEOLOGICOS

0. Ninguno [ ]

1. Estratigrafía [x] 2. Arquitectura [x] 3. Tumbas [ ] 4. Escultura [ ] 5. Pintura mural [ ]

6, Otros _____
Fotos _____

Observaciones

14. MATERIALES FUNDAMENTALES EN LACONSTRUCCION DE ESTRUCTURAS:

0. No observables [ ]

1. Piedra careada [ ] 2. Pieda y tierra [x] 3. Ladrillo [ ] 4. Adobe [ ] 5. Tierra [ ]

6, Otros _____

Observaciones sobre posición original de material y proporciones:

15. OTROS VALORES DEL SITIO

1. Didáctico [x]

2. Investigación [X] Conservación Excepcional [ ] 4. Alto valor artístico [ ] 5. Sitio asociado a trabajo excepcional [ ]

Observaciones sobre justificación de la decisión:

16.- TENENCIA DE LA TIERA EN EL ÁREA DEFINIDA POR LOS LÍMITES DEL SITIO:

1. Federal [ ] 2. Comunal [ ] 3. Pequeña propiedad [ ] 4.Mediana propiedad [x] 5. Ejidal [ ]

Observaciones sobre proporciones y localización:

17. CRONOLOGÍA TENTATIVA

MUESTREAR MATERIAL CERÁMICO Y/O LÍTICO DIAGNÓSTICO EN CASO DE QUE EL ÁREA NO HAYA SIDO INVESTIGADA

1. Anterior a 5000 a.n.e. [ ]
2. 5000-1500 a.n.e. [ ]
3. 1500 a.n.e.-200 n.e. [x]
4. 200-650/900 n.e [x]
5. 650/900-1200 n.e [x]
6. 1200-1521 n.e [x]
7. Post.1521 n.e. [x]

BIBLIOGRAFÍA MÍNIMA DEL SITIO

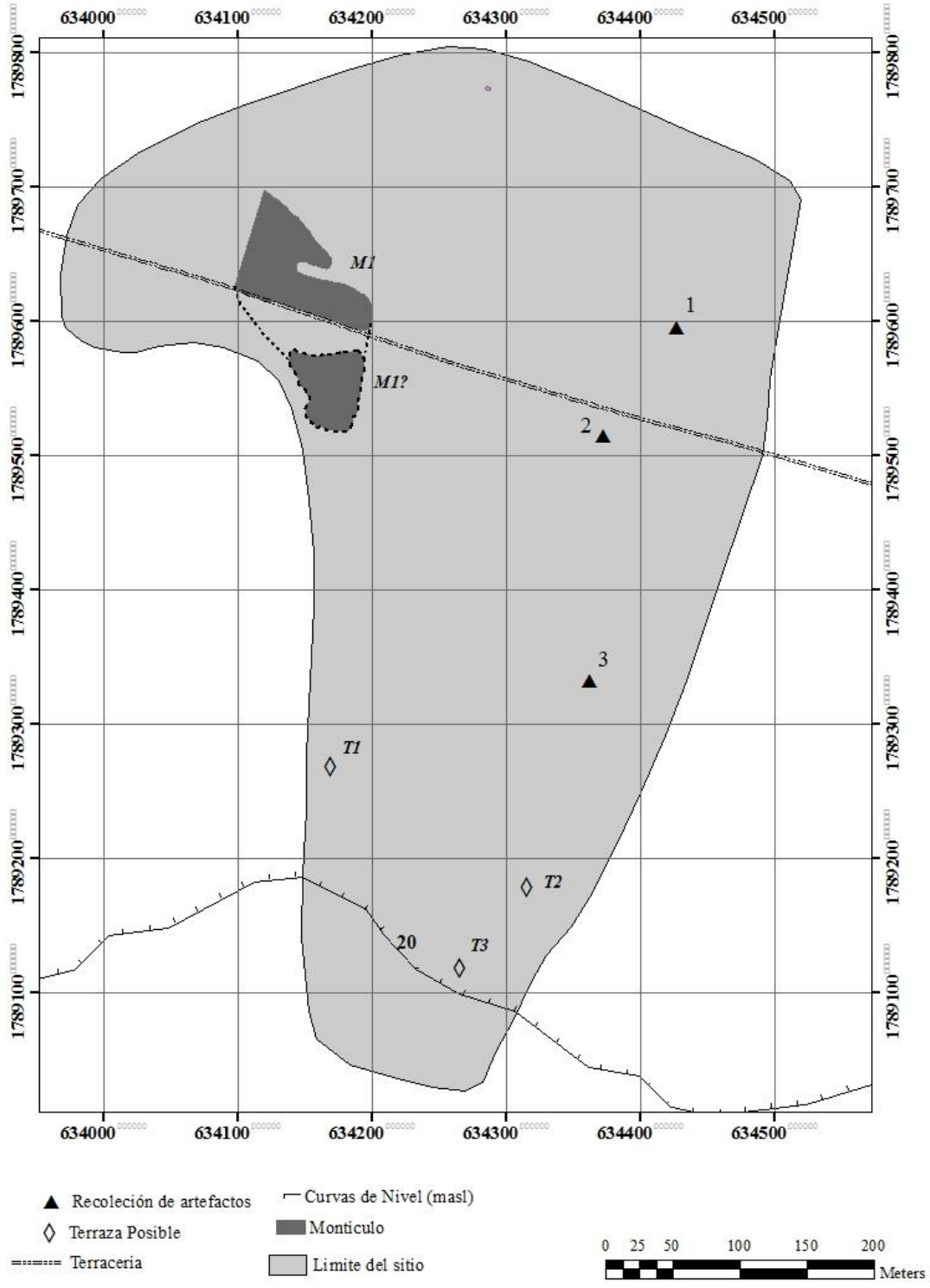
1. Descripción _____

2. Mapa o croquis _____

CROQUIS: Piedra Ancha Baja (RV183)

ESCALA: 1:3,500

DIBUJO: Límites del sitio, recolecciones de artefactos, y arquitectura



Observaciones:

Piedra Ancha Baja (RV183) se ubica a solamente 200 metros al este de la carretera MX 200 y del pueblo moderno de Piedra Ancha. El sitio abarca zonas del valle secundario así como de la planicie aluvial, pero se encuentra a menos de 400 metros al oeste del pie de monte. Partes de Piedra Ancha Baja (RV183) son caracterizadas por cerros ondulantes muy bajos. En general, la altitud del sitio es entre 20 a 30 metros sobre el nivel del mar. Mucho de este sitio de tamaño mediano (24.04 ha) se utiliza actualmente como tierra de pastoreo. RV183 ha sido fuertemente perturbado por dos elementos modernos: 1) un camino de tierra que corta a través de un montículo (M1) al norte *(Figuras 9.40 y 9.41)* y 2) varios pozos excavados en áreas cerca de la frontera norte del sitio (Figura 9.42). Como resultado, los dos-tercios del sitio más al sur están en mejores condiciones.

A pesar de las perturbaciones en la parte norte del sitio, dos sectores posibles se pueden definir. El primero de estos se concentra alrededor del montículo (M1) ya mencionado (ver Figura 9.40). Los límites exactos del montículo no están claros, pero una estimación conservadora lo daría una medida de 95 x 76 metros en sus lados más anchos. Aunque el camino de tierra cortó el montículo, este proporcionó una vista excelente del relleno del montículo, que consistía en tepalcates, pequeñas piedras, y otro desecho (Figura 9.43); la altura del montículo varia de entre 80 a 120 centímetros arriba de la planicie aluvial. Por lo menos dos pequeños fragmentos de muros de contención fueron observados alrededor de los lados norte y oeste del montículo. Alrededor de 6 a 7 muros adicionales fueron encontrados en la superficie, agrupados en los lados oeste y este del montículo. En ambos casos, los muros parecían formar tres lados de un cuadrado. Por lo tanto, estructuras de forma parecida fueron colocadas arriba. En ambos casos, lo ancho de los lados restantes (9 metros) era un poco más ancho que las residencias tipicas en el bajo Verde, aunque es posible que originalmente delimitaban un patio. Aparte de la cerámica, pocos artefactos fueron encontrados en la superficie que pudieron dar evidencia acerca de las actividades asociadas con el montículo; solo un mano de metate y una hacha fueron registrados. Esta construcción puede ser un pequeño ejemplo de plataformas de uso mixto encontradas frecuentemente en la región del bajo Verde (ver también Barber 2013:170, 2005:117-118; Joyce 1991:393, 2005:20-23; Joyce et al. 2013:136; Workinger 2002:147-230). Sin embargo se necesita más investigación para saber si la arquitectura encima de las plataformas era de uso doméstico o cívico-ceremonial.

El Montículo 1 pudo haber continuado por alrededor de 70 metros al sur del camino de tierra (ver Figura 9.40). Los restos arqueológicos encontrados en esta área eran sobre 2 a 3 niveles de una superficie no plana. Posibles muros de contención con grandes piedras colindaban con el lado noroeste del nivel más bajo de la superficie así como con el lado este del segundo nivel. Si esta área no plana era realmente parte del montículo 1, hubiera extendido el área del montículo por tanto como 77 x 56 metros. Sin embargo, se necesita más investigación para confirmar estas propuestas.

El segundo sector posible incluye áreas al norte del Monticulo 1 a una distancia de menos de 200 metros. Esta porción del RV183 puede haber sido residencial. Una densidad relativamente alta de metates (7) fueron registrados, algunos de los cuales fueron asociados con muros. Cerca de la frontera norte del sitio, dos metates fueron encontrados cerca del borde sur de una subida de 15 x 10 metros que pudo haber sido un montículo. Los investigadores registraron un posible muro de contención a lo largo del lado norte del montículo y un segundo muro en su cumbre. De forma alternativa, los habitantes del sitio pudieron haber modificado un cerro natural. Otro metate fue encontrado cerca de

un muro aislado más al sur, y los demás vestigios de piedra pulida fueron dispersados más lejos de los muros. La forma fragmentada de la arquitectura en esta área de RV183 es probablemente debido a daños ocasionados por la excavación de varios pozos (ver arriba).

Los restos en la parte noreste del sitio no son tan definibles. Solo se encontró un solo muro en la esquina noreste, pero no se detectó ninguna cerámica. A menos de 200 metros al sur del muro, cerca de las muestras 2 y 3, varios vestigios domésticos fueron registrados, incluyendo tres manos y dos metates.

En el tercio sur de TV183, por lo menos 2 a 3 posibles terrazas fueron construidas (T1, T2, y T3: ver Figura 9.40). Esto puede ser vinculado con el hecho que la elevación aumenta en esa área, particularmente conforme se va acercando a la frontera sur del sitio. Las terrazas 1 y 3 tenían posibles muros de contención. Ningún otro muro o artefacto no-cerámico fue registrado en esta área del sitio.

La densidad de artefactos es más alta al sur. Las muestras de cerámica indican que Piedra Ancha Baja fue ocupada de la fase Miniyua hasta después de la conquista española. Los datos preliminares sugieren que la ocupación más grande pudo haber sido durante la época Posclásica temprana. Sin embargo, se necesitan más muestras para poder saber los detales de la historia ocupacional.

Barber, Sarah B.

2005 Heterogeneity, Identity, and Complexity: Negotiating Status and Authority in Terminal Formative Coastal Oaxaca. Tésis Doctoral, ineditado, University of Colorado at Boulder.

2013 Defining Community and Status at Outlying Sites during the Terminal Formative Period. En *Polity and Ecology in Formative Period Coastal Oaxaca,* editado por Arthur A. Joyce pp 165-192. The University Press of Colorado, Boulder, CO.

Joyce, Arthur A.

1991 *Formative Period Occupation in the Lower Rio Verde Valley, Oaxaca, Mexico: Interregional Interaction y Social Change.* Tesis Doctoral, Rutgers University.

2005 La arqueología del bajo Río Verde. *Acervos* 7(29):16-36.

Joyce, Arthur A., Levine, M.N., y Barber, S.B.

2013 Place-Making and Power in the Terminal Formative: Excavations on Río Viejo's Acropolis. En *Polity and Ecology in Formative Period Coastal Oaxaca,* editado por Arthur A. Joyce pp 135-164. The University Press of Colorado, Boulder, CO.

Workinger, Andrew

2002 Coastal/Highland Interaction in Prehispanic Oaxaca, Mexico: The perspective from San Francisco de Arriba. Tesis Doctoral, ineditado. Vanderbilt University, Nashville, TN.

REGISTRO PÚBLICO DE MONUMENTOS Y ZONAS ARQUEOLÓGICOS

CATALOGO E INVENTARIO DE ZONAS ARQUEOLOGICAS

CLAVE: **RV184**

Anotó: **Raymond Mueller** Fecha: **19/4/2013** **01. TIPO DE SITIO:** **Asentamiento**

02. NOMBRE DEL SITIO: **Cerro del Rancho** Municipio: **Jamiltepec** Estado: **Oaxaca**

03.COORDENADAS UTM: E **631620** **04. NUMERO DE CARTA** **E14D84**

N **1788487** Escala de la Carta **1:50,000**

05. FOTO AÉREA: Inexistente [X]

Compañía o Institución: Escala Fecha de vuelo

Número de o vuelo: Línea: Foto:

Número de marca en foto: Cuadro menor:

06. INFORMACIÓN RECUPERADA POR: 1. Bibliografía [ ] 2. Fotointerpretació [ ] 3. Informante [ ] 4. Casualid [X]

INFORMACIÓN: 1. Verificada en campo [X] 2. No verificada en campo [ ]

07. TAMAÑO DE POBLACIONES MÁS CERCANAS AL SITIO:

		TAMAÑO DE POBLACIONES (HABITANTES)		
		< 500	500-2500	> 2500
Kms.	0			
	0.1-5	x		
	5-10			

08. ACCESO AL SITIO DESDE POBLACIONES A MENOS DE 10 Kms.

		ISTANCIA A RECORRERSE (en kms		
		0--1	1--5	5--10
Tipo de ruta	1. Camino Asfalt		x	
	2. Terracería	x		
	3. Brecha			
	4. Vereda			
	5. Vía acuática			
	6. Vía aérea			

09. USO ACTUAL DEL SUELO

1. Forestal [ ] 2. Ganadero [X] 3. Agricultura de temporal [ ] 4.Agricultura de riego [ ] 5.Urbano [ ] 6.Turtístico [ ]

7. Otros

Observaciones sobre proporciones y localización

10. NUMERO Y TAMAÑO DE ESTRUCTURAS DEL SITIO:

EXTENSIÓN **12,600** m2

1.26 Has.

(1 Hectárea= 10,000 m2)

		NÚMERO DE ESTRUCTURAS				
		0--5	6--10	11--50	51--100	> 100
Altura	< 2	x				
	2--5					
	6--10					
	> 10					

11. GRADO DE SAQUEO ENCONTRADO EN EL SITIO:

0. Ninguno [ ]
1. Saqueo antiguo [ ]
2. Saqueo reciente ocasional [ ]
3. Saqueo reciente sistemático simple [X]
4. Saqueo reciente sistemático profesi [ ]

12. GRADO DE DESTRUCCIÓN POTENCIAL EN EL SITIO 0. Ninguno [x]

1. Por obra de infraestructura a corto plazo [ ]
2.- Por obra de infraestructura a mediano plazo [ ]
3. Por obra de infraestructura a largo plazo [ ]
4. Extracción de piedra como actividad familiar [ ]
5. Extracción de piedra como actividad mayor [ ]
6. Nivelación del terreno como obra agrícola [ ]
7, Asentamiento humano [ ]
8. Vandalismo [ ]

EROSIÓN:

9. Extensiva severa [ ] 10. Extensiva moderada [ ] 11. Parcial severa [ ] 12. Parcial moderda [x]

13. Observaciones sobre intensidad de destrucción y otros procesos no descritos:

13. GRADO DE EXPOSICION DE ELEMENTOS ARQUEOLOGICOS 0. Ninguno [ ]

1. Estratigrafía [x] 2. Arquitectura [x] 3. Tumbas [ ] 4. Escultura [ ] 5. Pintura mural [ ]

6, Otros _____
Fotos _____

Observaciones

14. MATERIALES FUNDAMENTALES EN LACONSTRUCCION DE ESTRUCTURAS: 0. No observables [ ]

1. Piedra careada [ ] 2. Pieda y tierra [x] 3. Ladrillo [ ] 4. Adobe [ ] 5. Tierra [ ]

6, Otros _____

Observaciones sobre posición original de material y proporciones:

15. OTROS VALORES DEL SITIO 1. Didáctico [ ]

2. Investigación [X] Conservación Excepcional [ ] 4. Alto valor artístico [ ] 5. Sitio asociado a trabajo excepcional [ ]

Observaciones sobre justificación de la decisión:

16.- TENENCIA DE LA TIERA EN EL ÁREA DEFINIDA POR LOS LÍMITES DEL SITIO:

1. Federal [ ] 2. Comunal [ ] 3. Pequeña propiedad [ ] 4.Mediana propiedad [x] 5. Ejidal [ ]

Observaciones sobre proporciones y localización:

17. CRONOLOGÍA TENTATIVA **Cerámicas diagnósticas no disponibles**

MUESTREAR MATERIAL CERÁMICO Y/O LÍTICO DIAGNÓSTICO EN CASO DE QUE EL ÁREA NO HAYA SIDO INVESTIGADA

1. Anterior a 5000 a.n.e. [ ]
2. 5000-1500 a.n.e. [ ]
3. 1500 a.n.e.-200 n.e. [ ]
4. 200-650/900 n.e [ ]
5. 650/900-1200 n.e [ ]
6. 1200-1521 n.e [ ]
7. Post.1521 n.e. [ ]

BIBLIOGRAFÍA MÍNIMA DEL SITIO

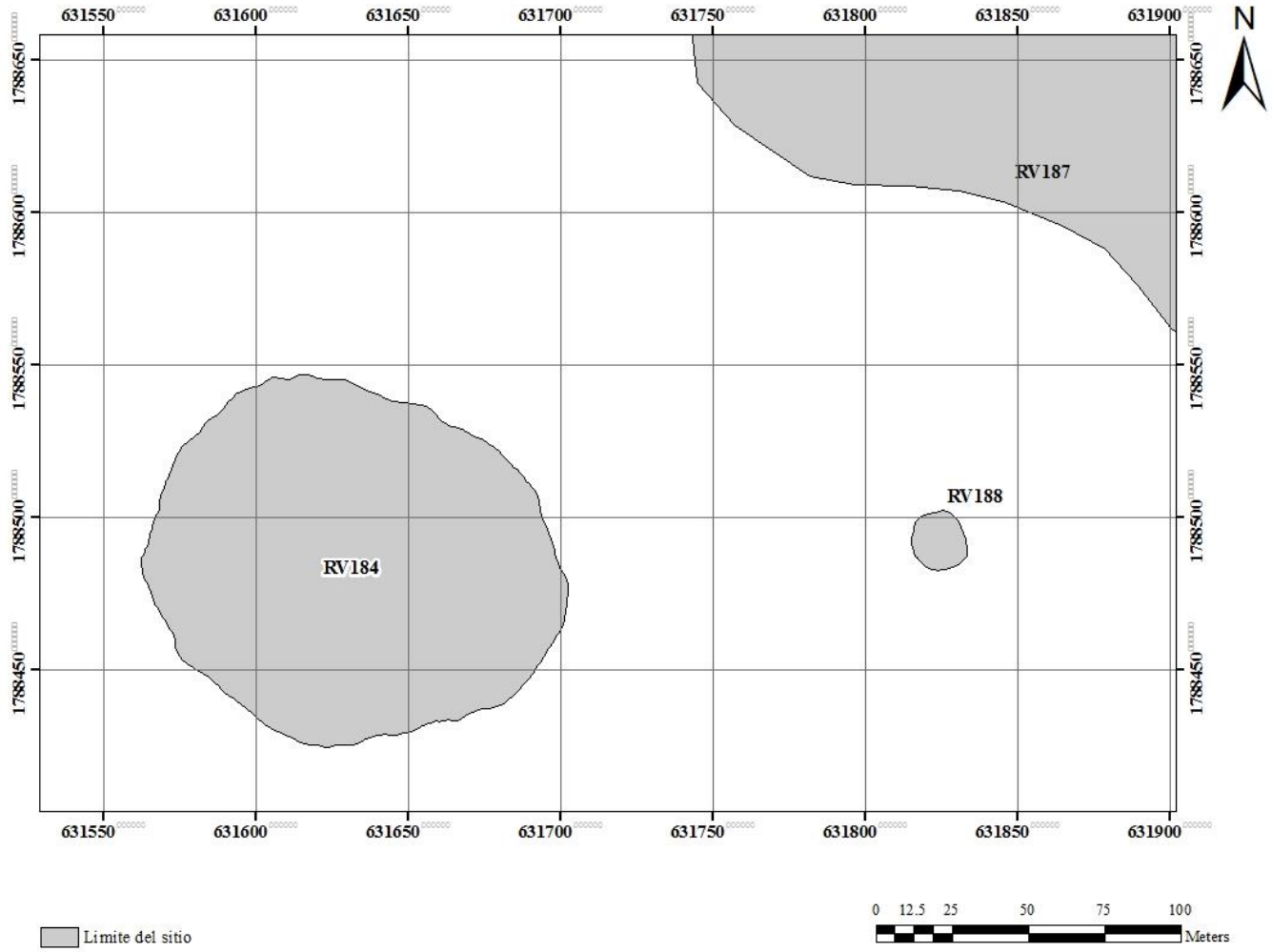
1. Descripción _____

2. Mapa o croquis _____

CROQUIS: Cerro del Rancho (RV184)

ESCALA: 1:1,500

DIBUJO: Límites del sitio, recolecciones de artefactos, y arquitectura



Observaciones:

Cerro el Rancho (RV184; ver Figura 9.44) está a 400 metros al sureste del pueblo de El Rancho. El sitio esta sobre un cerro natural y bajo, ubicado en un valle secundario. La altitud esta entre 35-45 metros sobre el nivel del mar. RV184 mide 1.26 hectáreas en área y actualmente sirve como tierra de pastoreo. El sitio presenta perturbaciones importantes en su centro, donde un gran pozo fue excavado (Figura 9.45).

Más de 18 muros fueron registrados en el cerro. En vez de delimitar espacios que sugieren residencias, como cuadros o rectángulos, la mayoría de ellos eran: 1) líneas únicas de piedras, o 2) grupos de 2-3 muros que formaban una sola esquina o forma de corchete. Los muros eran típicamente orientados o norte-sur, o este-oeste a niveles diferentes de la colina. Por lo tanto, muchos de ellos eran probablemente utilizados como muros de contención de terrazas. En la base del cerro, uno de los muros de contención fue construido con dos capas, o niveles verticales (Figura 9.46), dándole aún más estabilidad estructural a la terraza. Estos niveles tenían una orientación inclinada, parecido a los muros de contención de la época Posclásica temprana en otras áreas del valle del Río Verde (ver Arnaud et al. 2009:70). Por supuesto, el ángulo original de construcción ha sido exagerado por los procesos de erosión.

Puesto que la densidad de artefactos en Cerro el Rancho (RV184) es relativamente baja, las actividades asociadas con las terrazas son poco claras. Un solo metate de roca fue encontrado cerca del centro del sitio, que otorga evidencia para la preparación de comida. Ya que no se encontró ningún tiesto de cerámica diagnóstico, no se puede asignar una fecha al sitio en estos momentos.

Arnaud Bustamante, Laura, Marc N. Levine, y Arthur A. Joyce
2009 Rio Viejo, Operación A, Excavaciones Horizontales. En *El Proyecto Rio Verde, Informe Final,* A. Joyce y M. N. Levine (eds.), pp.20-80. Informe entregado al Consejo de Arqueología y el Centro INAH Oaxaca, Instituto Nacional de Antropología e Historia, Oaxaca, Oaxaca, Mexico.

REGISTRO PÚBLICO DE MONUMENTOS Y ZONAS ARQUEOLÓGICOS

CATALOGO E INVENTARIO DE ZONAS ARQUEOLOGICAS

CLAVE: **RV185**

Anotó: **Paris Ferrand Alcazar** Fecha: **5/4/2013** **01. TIPO DE SITIO:** **Concentración de cerámicas**

02. NOMBRE DEL SITIO: **El Puente** Municipio: **Jamiltepec** Estado: **Oaxaca**

03.COORDENADAS UTM: E **634876** **04. NUMERO DE CARTA** **E14D84**

N **1788355** Escala de la Carta **1:50,000**

05. FOTO AÉREA: Inexistente [X]

Compañía o Institución: Escala Fecha de vuelo

Número de o vuelo: Línea: Foto:

Número de marca en foto: Cuadro menor:

06. INFORMACIÓN RECUPERADA POR: 1. Bibliografía [ ] 2. Fotointerpretació [ ] 3. Informante [ ] 4. Casualid [X]

INFORMACIÓN: 1. Verificada en campo [X] 2. No verificada en campo [ ]

07. TAMAÑO DE POBLACIONES MÁS CERCANAS AL SITIO:

		TAMAÑO DE POBLACIONES (HABITANTES)		
		< 500	500-2500	> 2500
Kms.	0			
	0.1-5	x	x	
	5-10			

08. ACCESO AL SITIO DESDE POBLACIONES A MENOS DE 10 Kms.

		ISTANCIA A RECORRERSE (en kms		
		0--1	1--5	5--10
Tipo de ruta	1. Camino Asfalt	x		
	2. Terracería	x		
	3. Brecha			
	4. Vereda			
	5. Vía acuática			
	6. Vía aérea			

09. USO ACTUAL DEL SUELO

1. Forestal [ ] 2. Ganadero [ ] 3. Agricultura de temporal [X] 4.Agricultura de riego [ ] 5.Urbano [ ] 6.Turtístico [ ]

7. Otros

Observaciones sobre proporciones y localización

10. NUMERO Y TAMAÑO DE ESTRUCTURAS DEL SITIO:

EXTENSIÓN **3,600** m2

0.36 Has.

(1 Hectárea= 10,000 m2)

		NÚMERO DE ESTRUCTURAS				
		0--5	6--10	11--50	51--100	> 100
Altura	< 2	x				
	2--5					
	6--10					
	> 10					

11. GRADO DE SAQUEO ENCONTRADO EN EL SITIO:

0. Ninguno [X]
1. Saqueo antiguo [ ]
2. Saqueo reciente ocasional [ ]
3. Saqueo reciente sistemático simple [ ]
4. Saqueo reciente sistemático profesi [ ]

12. GRADO DE DESTRUCCIÓN POTENCIAL EN EL SITIO

0. Ninguno [X]

1. Por obra de infraestructura a corto plazo [ ]
2.- Por obra de infraestructura a mediano plazo [ ]
3. Por obra de infraestructura a largo plazo [ ]
4. Extracción de piedra como actividad familiar [ ]
5. Extracción de piedra como actividad mayor [ ]
6. Nivelación del terreno como obra agrícola [ ]
7, Asentamiento humano [ ]
8. Vandalismo [ ]

EROSIÓN:

9. Extensiva severa [X]
10. Extensiva moderada [ ]
11. Parcial severa [ ]
12. Parcial moderda [ ]

13. Observaciones sobre intensidad de destrucción y otros procesos no descritos:

13. GRADO DE EXPOSICION DE ELEMENTOS ARQUEOLOGICOS

0. Ninguno [X]

1. Estratigrafía [ ]
2. Arquitectura [ ]
3. Tumbas [ ]
4. Escultura [ ]
5. Pintura mural [ ]

6, Otros **Solamente cerámicas**

Fotos

Observaciones

14. MATERIALES FUNDAMENTALES EN LACONSTRUCCION DE ESTRUCTURAS:

0. No observables [X]

1. Piedra careada [ ]
2. Pieda y tierra [ ]
3. Ladrillo [ ]
4. Adobe [ ]
5. Tierra [ ]

6, Otros

Observaciones sobre posición original de material y proporciones:

15. OTROS VALORES DEL SITIO

1. Didáctico [ ]
2. Investigación [X]
Conservación Excepcional [ ]
4. Alto valor artístico [ ]
5. Sitio asociado a trabajo excepcional [ ]

Observaciones sobre justificación de la decisión:

16.- TENENCIA DE LA TIERA EN EL ÁREA DEFINIDA POR LOS LÍMITES DEL SITIO:

1. Federal [ ]
2. Comunal [ ]
3. Pequeña propiedad [ ]
4.Mediana propiedad [X]
5. Ejidal [ ]

Observaciones sobre proporciones y localización:

17. CRONOLOGÍA TENTATIVA

MUESTREAR MATERIAL CERÁMICO Y/O LÍTICO DIAGNÓSTICO EN CASO DE QUE EL ÁREA NO HAYA SIDO INVESTIGADA

1. Anterior a 5000 a.n.e. [ ]
2. 5000-1500 a.n.e. [ ]
3. 1500 a.n.e.-200 n.e. [ ]
4. 200-650/900 n.e [ ]
5. 650/900-1200 n.e [X]
6. 1200-1521 n.e [ ]
7. Post.1521 n.e. [ ]

BIBLIOGRAFÍA MÍNIMA DEL SITIO

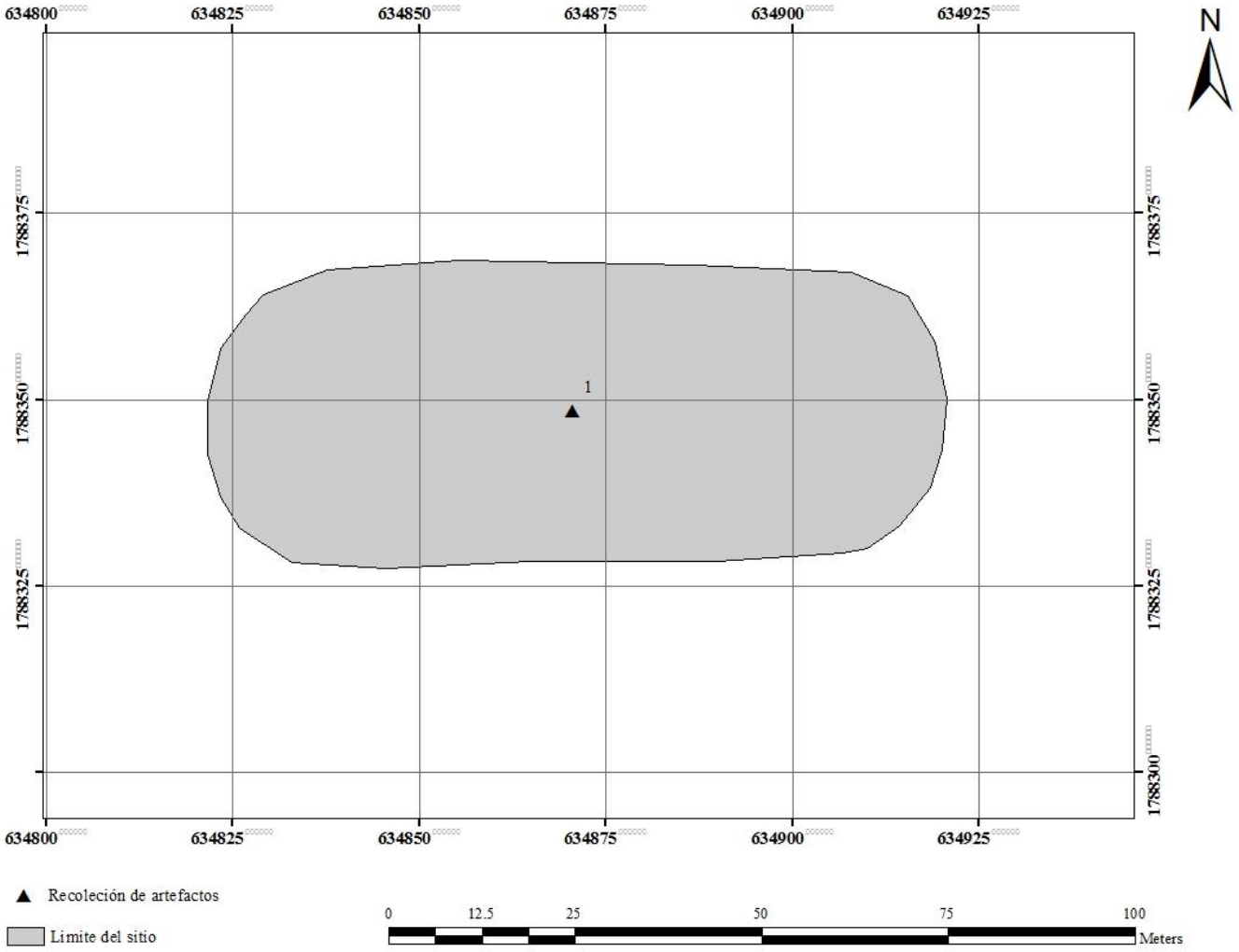
1. Descripción

2. Mapa o croquis

CROQUIS: El Puente (RV185)

ESCALA: 1:600

DIBUJO: Límites del sitio, recolecciones de artefactos, y arquitectura



Observaciones:

El Puente (RV185) se ubica a 0.7 kilómetros al oeste del Río Verde y a 800 metros al noroeste del puente Río Verde. La elevación de este sitio sobre la planicie aluvial es de entre 20-25 metros sobre el nivel del mar. RV185 mide 0.36 hectáreas y actualmente se está utilizando por agricultura de temporal. La visibilidad era difícil por la vegetación densa. No se registró ningún elemento arquitectónico y solo tres pedazos de cerámica fueron recolectados (Muestra 1; ver Figura 9.47). Los datos indican que el sitio fue ocupado durante la fase Yugüe.

REGISTRO PÚBLICO DE MONUMENTOS Y ZONAS ARQUEOLÓGICOS

CATALOGO E INVENTARIO DE ZONAS ARQUEOLOGICAS

CLAVE: **RV186**

Anotó: **Paris Ferrand Alcaraz** Fecha: **8/4/2013** **01. TIPO DE SITIO:** **Asentamiento con terrazas**

02. NOMBRE DEL SITIO: **Cerro del Charquito** Municipio: **Jamiltepec** Estado: **Oaxaca**

03.COORDENADAS UTM: E **633903** **04. NUMERO DE CARTA** **E14D84**

N **1788255** Escala de la Carta **1:50,000**

05. FOTO AÉREA: Inexistente [X]

Compañía o Institución: Escala Fecha de vuelo

Número de o vuelo: Línea: Foto:

Número de marca en foto: Cuadro menor:

06. INFORMACIÓN RECUPERADA POR: 1. Bibliografía [ ] 2. Fotointerpretació [ ] 3. Informante [ ] 4. Casualid [X]

INFORMACIÓN: 1. Verificada en campo [X] 2. No verificada en campo [ ]

07. TAMAÑO DE POBLACIONES MÁS CERCANAS AL SITIO:

Kms.	TAMAÑO DE POBLACIONES (HABITANTES)		
	< 500	500-2500	> 2500
0			
0.1-5		x	
5-10			

08. ACCESO AL SITIO DESDE POBLACIONES A MENOS DE 10 Kms.

Tipo de ruta	ISTANCIA A RECORRERSE (en kms		
	0--1	1--5	5--10
1. Camino Asfalt	x		
2. Terracería	x		
3. Brecha			
4. Vereda			
5. Vía acuática			
6. Vía aérea			

09. USO ACTUAL DEL SUELO

1. Forestal [X] 2. Ganadero [ ] 3. Agricultura de temporal [ ] 4.Agricultura de riego [ ] 5.Urbano [ ] 6.Turtístico [ ]

7. Otros

Observaciones sobre proporciones y localización

10. NUMERO Y TAMAÑO DE ESTRUCTURAS DEL SITIO:

EXTENSIÓN **44,300** m2

4.43 Has.

(1 Hectárea= 10,000 m2)

Altura	NÚMERO DE ESTRUCTURAS				
	0--5	6--10	11--50	51--100	> 100
< 2	x				
2--5					
6--10					
> 10					

11. GRADO DE SAQUEO ENCONTRADO EN EL SITIO:

0. Ninguno [X]
1. Saqueo antiguo [ ]
2. Saqueo reciente ocasional [ ]
3. Saqueo reciente sistemático simple [ ]
4. Saqueo reciente sistemático profesi [ ]

12. GRADO DE DESTRUCCIÓN POTENCIAL EN EL SITIO

0. Ninguno [X]

1. Por obra de infraestructura a corto plazo [ ]
2.- Por obra de infraestructura a mediano plazo [ ]
3. Por obra de infraestructura a largo plazo [ ]
4. Extracción de piedra como actividad familiar [ ]
5. Extracción de piedra como actividad mayor [ ]
6. Nivelación del terreno como obra agrícola [ ]
7, Asentamiento humano [ ]
8. Vandalismo [ ]

EROSIÓN:

9. Extensiva severa [ ] 10. Extensiva moderada [ ] 11. Parcial severa [ ] 12. Parcial moderda [X]

13. Observaciones sobre intensidad de destrucción y otros procesos no descritos:

13. GRADO DE EXPOSICION DE ELEMENTOS ARQUEOLOGICOS

0. Ninguno [ ]

1. Estratigrafía [ ] 2. Arquitectura [x] 3. Tumbas [ ] 4. Escultura [ ] 5. Pintura mural [ ]

6, Otros _____
Fotos _____

Observaciones

14. MATERIALES FUNDAMENTALES EN LACONSTRUCCION DE ESTRUCTURAS:

0. No observables [ ]

1. Piedra careada [ ] 2. Pieda y tierra [x] 3. Ladrillo [ ] 4. Adobe [ ] 5. Tierra [ ]

6, Otros _____

Observaciones sobre posición original de material y proporciones:

15. OTROS VALORES DEL SITIO

1. Didáctico [ ]

2. Investigación [X] Conservación Excepcional [ ] 4. Alto valor artístico [ ] 5. Sitio asociado a trabajo excepcional [ ]

Observaciones sobre justificación de la decisión:

16.- TENENCIA DE LA TIERA EN EL ÁREA DEFINIDA POR LOS LÍMITES DEL SITIO:

1. Federal [ ] 2. Comunal [ ] 3. Pequeña propiedad [ ] 4.Mediana propiedad [X] 5. Ejidal [ ]

Observaciones sobre proporciones y localización:

17. CRONOLOGÍA TENTATIVA

MUESTREAR MATERIAL CERÁMICO Y/O LÍTICO DIAGNÓSTICO EN CASO DE QUE EL ÁREA NO HAYA SIDO INVESTIGADA

1. Anterior a 5000 a.n.e. [ ]
2. 5000-1500 a.n.e. [ ]
3. 1500 a.n.e.-200 n.e. [x]
4. 200-650/900 n.e [x]
5. 650/900-1200 n.e [ ]
6. 1200-1521 n.e [ ]
7. Post.1521 n.e. [ ]

BIBLIOGRAFÍA MÍNIMA DEL SITIO

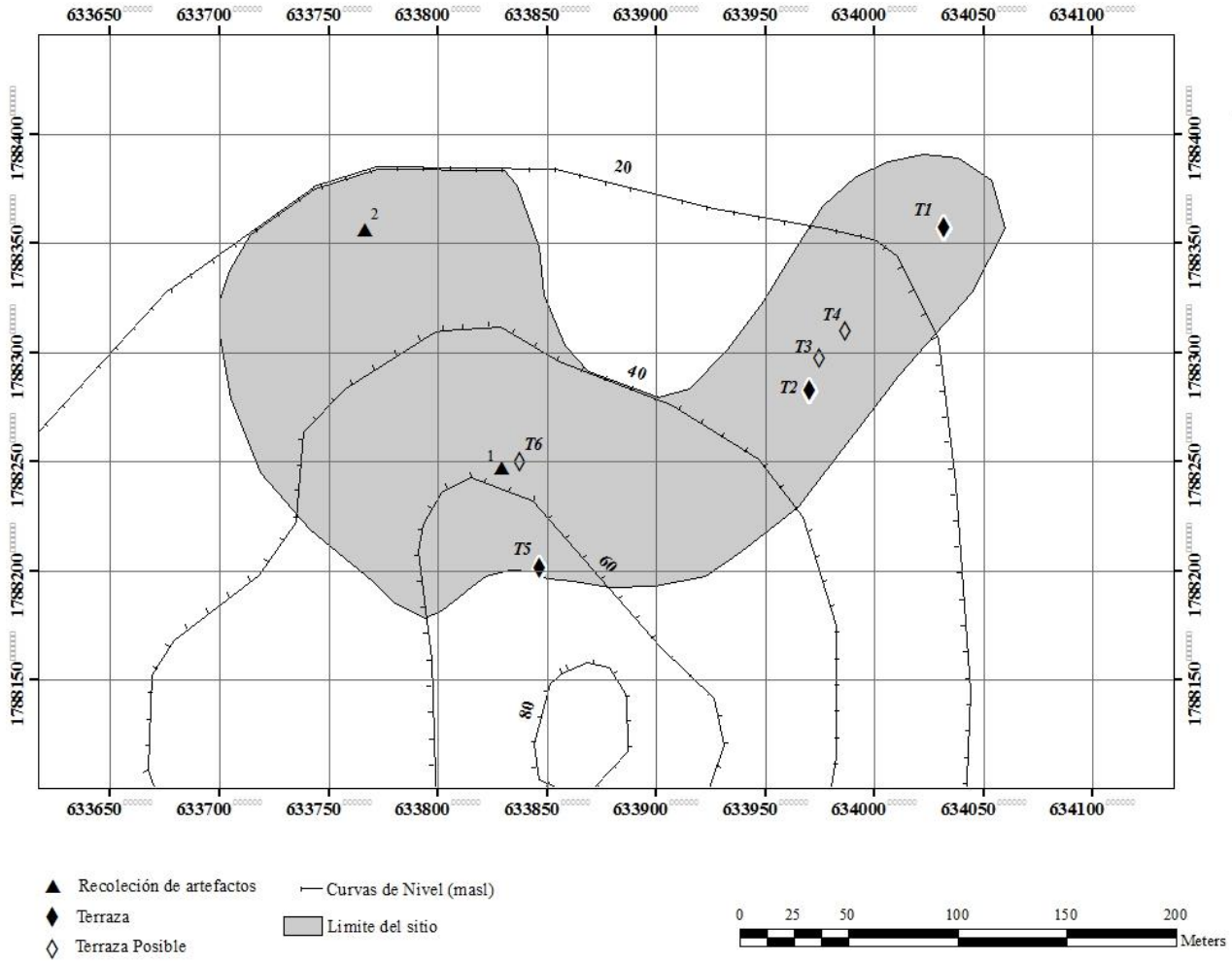
1. Descripción _____

2. Mapa o croquis _____

CROQUIS: Cerro del Charquito (RV186)

ESCALA: 1:2,135

DIBUJO: Límites del sitio, recolecciones de artefactos, y arquitectura



Observaciones:

Cerro del Charquito (RV186) es un pequeño sitio en el pie de monte (4.43 ha) localizado a aproximadamente 200 metros al norte de la carretera Mx 200 y a 125 metros al noreste de pueblo moderno de El Charquito (Charco Nduayoo). RV186 descansa sobre una colina y tiene una elevación de entre 20 y 60 metros sobre el nivel del mar (ver Figura 9.48). Actualmente, el sitio no está siendo cultivado y está cubierto por vegetación densa.

La arquitectura consiste de 3-5 terrazas registradas a elevaciones variadas en las porciones al sur y al noreste del sitio (ver Figura 9.48). La terraza la más baja (T1) se ubica a 20 metros sobre el nivel del mar en la esquina noreste de RV186. Aquí, un solo muro de contención era el único vestigio arqueológico. Más arriba, entre 20 y 40 metros sobre el nivel del mar, los investigadores registraron tres muros de contención alineados con el noreste. Estos muros pueden representar terrazas separadas (T2, T3 y T4), pero se necesita más investigación para determinar si una o varias de ellas fueron conectadas originalmente. También se registró un solo metate a 20 metros al oeste de los muros. La terraza la más alta (T5) fue construida a 60 a 70 metros sobre el nivel del mar en la frontera sur de RV186. A menos de 40 metros cuesta abajo del muro de contención de la Terraza 5, otra posible terraza puede haber sido construida (T6), cerca de la muestra 1. Sin embargo no está claro si la roca madre o un muro de contención fueron utilizados para crear una superficie ocupacional.

Los dos metates encima de T6, así como el metate en T2, pueden sugerir de manera tentativa que los habitantes del sitio utilizaron terrazas artificiales y quizás “naturales” por fines residenciales. Un tercer metate fue registrado a 40 metros al este de la muestra 2, pero no se observó ningún elemento arquitectónico cerca. De acuerdo con los datos de las muestras, Cerro del Charquito fue ocupado desde la fase Chacahua hasta la fase Yuta Tiyoo.

REGISTRO PÚBLICO DE MONUMENTOS Y ZONAS ARQUEOLÓGICOS

CATALOGO E INVENTARIO DE ZONAS ARQUEOLOGICAS

CLAVE: **RV187**

Anotó: **Raymond Mueller** Fecha: **19/4/2013** **01. TIPO DE SITIO:** **Asentamiento con montículos**

02. NOMBRE DEL SITIO: **Camino al Rancho** Municipio: **Jamiltepec** Estado: **Oaxaca**

03.COORDENADAS UTM: E **631901** **04. NUMERO DE CARTA** **E14D84**

N **1788680** Escala de la Carta **1:50,000**

05. FOTO AÉREA: Inexistente [X]

Compañía o Institución: Escala Fecha de vuelo

Número de o vuelo: Línea: Foto:

Número de marca en foto: Cuadro menor:

06. INFORMACIÓN RECUPERADA POR: 1. Bibliografía [ ] 2. Fotointerpretació [ ] 3. Informante [ ] 4. Casualid [X]

INFORMACIÓN: 1. Verificada en campo [X] 2. No verificada en campo [ ]

07. TAMAÑO DE POBLACIONES MÁS CERCANAS AL SITIO:

Kms.	TAMAÑO DE POBLACIONES (HABITANTES)		
	< 500	500-2500	> 2500
0			
0.1-5		x	
5-10			

08. ACCESO AL SITIO DESDE POBLACIONES A MENOS DE 10 Kms.

Tipo de ruta	DISTANCIA A RECORRERSE (en kms		
	0--1	1--5	5--10
1. Camino Asfalt	x		
2. Terracería	x		
3. Brecha			
4. Vereda			
5. Vía acuática			
6. Vía aérea			

09. USO ACTUAL DEL SUELO

1. Forestal [ ] 2. Ganadero [X] 3. Agricultura de temporal [ ] 4.Agricultura de riego [ ] 5.Urbano [ ] 6.Turtístico [ ]

7. Otros

Observaciones sobre proporciones y localización

10. NUMERO Y TAMAÑO DE ESTRUCTURAS DEL SITIO:

EXTENSIÓN **43,400** m2

4.34 Has.

(1 Hectárea= 10,000 m2)

Altura	NÚMERO DE ESTRUCTURAS				
	0--5	6--10	11--50	51--100	> 100
< 2	x				
2--5					
6--10					
> 10					

11. GRADO DE SAQUEO ENCONTRADO EN EL SITIO:

0. Ninguno [X]
1. Saqueo antiguo [ ]
2. Saqueo reciente ocasional [ ]
3. Saqueo reciente sistemático simple [ ]
4. Saqueo reciente sistemático profesi [ ]

12. GRADO DE DESTRUCCIÓN POTENCIAL EN EL SITIO

0. Ninguno [X]

1. Por obra de infraestructura a corto plazo [ ]
2.- Por obra de infraestructura a mediano plazo [ ]
3. Por obra de infraestructura a largo plazo [ ]
4. Extracción de piedra como actividad familiar [ ]
5. Extracción de piedra como actividad mayor [ ]
6. Nivelación del terreno como obra agrícola [ ]
7, Asentamiento humano [ ]
8. Vandalismo [ ]

EROSIÓN:

9. Extensiva severa [ ] 10. Extensiva moderada [ ] 11. Parcial severa [ ] 12. Parcial moderda [X]

13. Observaciones sobre intensidad de destrucción y otros procesos no descritos:

13. GRADO DE EXPOSICION DE ELEMENTOS ARQUEOLOGICOS

0. Ninguno [ ]

1. Estratigrafía [ ] 2. Arquitectura [x] 3. Tumbas [ ] 4. Escultura [ ] 5. Pintura mural [ ]

6, Otros _____
Fotos _____

Observaciones

14. MATERIALES FUNDAMENTALES EN LACONSTRUCCION DE ESTRUCTURAS:

0. No observables [ ]

1. Piedra careada [x] 2. Pieda y tierra [x] 3. Ladrillo [ ] 4. Adobe [ ] 5. Tierra [ ]

6, Otros _____

Observaciones sobre posición original de material y proporciones:

15. OTROS VALORES DEL SITIO

1. Didáctico [X]

2. Investigación [X] Conservación Excepcional [ ] 4. Alto valor artístico [ ] 5. Sitio asociado a trabajo excepcional [ ]

Observaciones sobre justificación de la decisión:

16.- TENENCIA DE LA TIERA EN EL ÁREA DEFINIDA POR LOS LÍMITES DEL SITIO:

1. Federal [ ] 2. Comunal [ ] 3. Pequeña propiedad [ ] 4.Mediana propiedad [X] 5. Ejidal [ ]

Observaciones sobre proporciones y localización:

17. CRONOLOGÍA TENTATIVA

MUESTREAR MATERIAL CERÁMICO Y/O LÍTICO DIAGNÓSTICO EN CASO DE QUE EL ÁREA NO HAYA SIDO INVESTIGADA

1. Anterior a 5000 a.n.e. [ ]
2. 5000-1500 a.n.e. [ ]
3. 1500 a.n.e.-200 n.e. [ ]
4. 200-650/900 n.e [x]
5. 650/900-1200 n.e [ ]
6. 1200-1521 n.e [ ]
7. Post.1521 n.e. [ ]

BIBLIOGRAFÍA MÍNIMA DEL SITIO

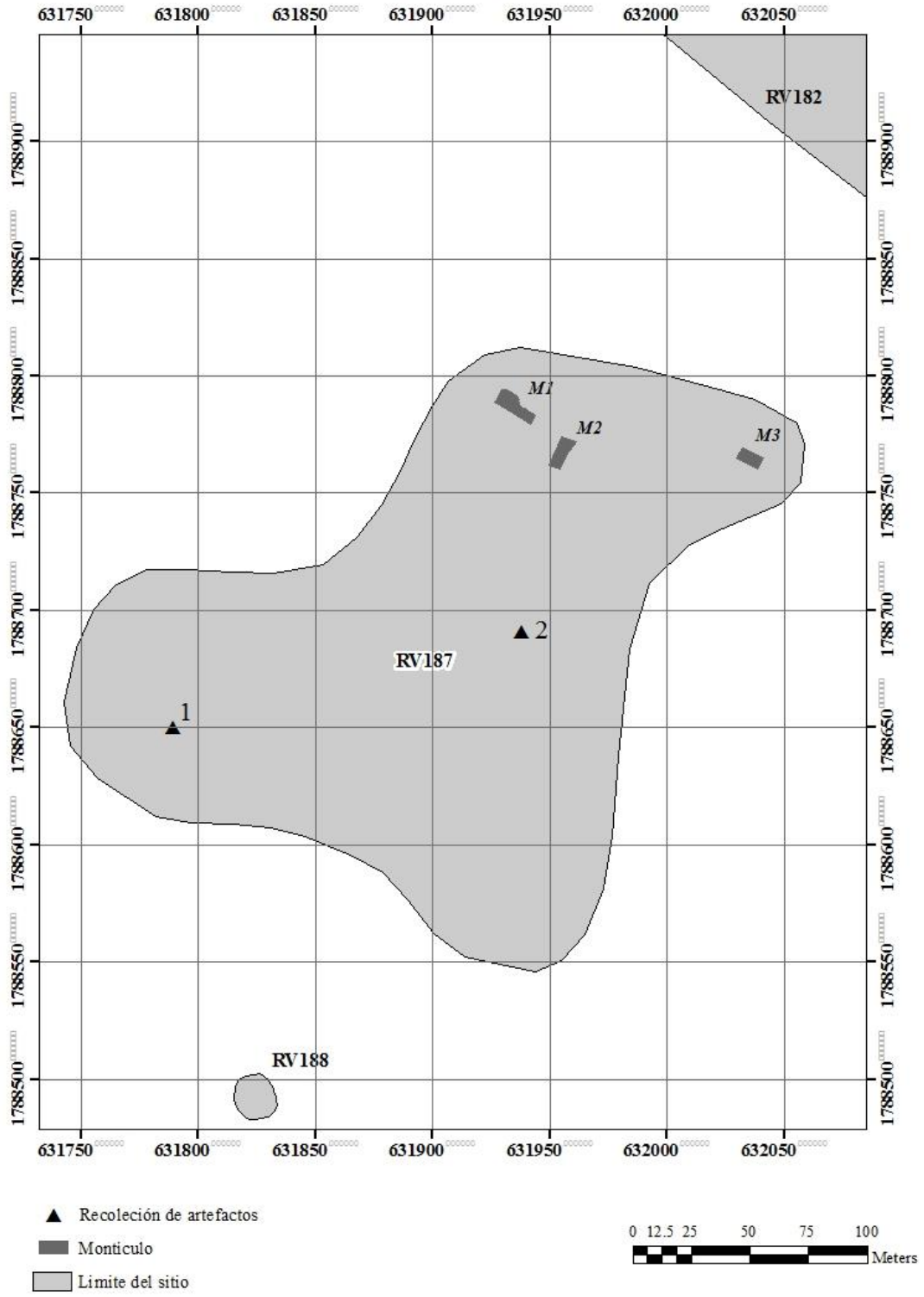
1. Descripción _____

2. Mapa o croquis _____

CROQUIS: Camino al Rancho (RV187)

ESCALA: 1:2,000

DIBUJO: Límites del sitio, recolecciones de artefactos, y arquitectura



Observaciones:

Camino al Rancho (RV187) se localiza a 0.9 kilómetros al este de MX 200 y a 500 metros al oeste del pueblo de El Rancho. Midiendo 4.34 hectáreas, RV187 es un sitio dentro de un valle secundario posicionado sobre colinas bajas a la base del pie de monte. Sin embargo, la elevación es relativamente constante a través de RV187 (30-35 metros sobre el nivel del mar). Existen perturbaciones modernas en el sitio pero son mínimas, el área actualmente no se usa como terreno de cultivo y está cubierto principalmente por terreno herboso para pastoreo.

La arquitectura de Camino al Rancho (RV187) consiste principalmente de tres probables montículos con plataformas en la parte norte del sitio (M1, M2 y M3; ver Figura 9.49). En cada estructura, cuatro muros de contención delimitaban áreas rectangulares. Las medidas de estos montículos son: el Montículo 1 mide 18 x 5.25 metros, el Montículo 2 mide 12 x 5.7 metros, y el Montículo 3 mide 9 x 5.6 metros. Todos los muros de contención fueron construidos de piedras muy grandes, algunas de las cuales eran ortostatos (ver Figuras 9.50 y 9.51). Puesto que ningún otro elemento arqueológico además de cerámica fue registrado, las actividades asociadas con estas plataformas no están claras.

Vestigios adicionales en RV187 incluyen un solo metate de roca y pequeños muros en un abanico aluvial al sur. Muestras de cerámica diagnostico fueron recolectados de esta misma área. Estos datos indican que el sito fue habitado durante la fase Yuta Tiyoo.

REGISTRO PÚBLICO DE MONUMENTOS Y ZONAS ARQUEOLÓGICOS

CATALOGO E INVENTARIO DE ZONAS ARQUEOLOGICAS

CLAVE: **RV188**

Anotó: **Raymond Mueller** Fecha: **19/4/2013** **01. TIPO DE SITIO:** **Concentración de cerámicas y un muro**

02. NOMBRE DEL SITIO: **Loma Pequeña** Municipio: **Jamiltepec** Estado: **Oaxaca**

03.COORDENADAS UTM: E **631823** **04. NUMERO DE CARTA** **E14D84**

N **1788493** Escala de la Carta **1:50,000**

05. FOTO AÉREA: Inexistente [X]

Compañía o Institución: Escala Fecha de vuelo

Número de o vuelo: Línea: Foto:

Número de marca en foto: Cuadro menor:

06. INFORMACIÓN RECUPERADA POR: 1. Bibliografía [ ] 2. Fotointerpretació [ ] 3. Informante [ ] 4. Casualid [X]

INFORMACIÓN: 1. Verificada en campo [X] 2. No verificada en campo [ ]

07. TAMAÑO DE POBLACIONES MÁS CERCANAS AL SITIO:

Kms.	TAMAÑO DE POBLACIONES (HABITANTES)		
	< 500	500-2500	> 2500
0			
0.1-5		x	
5-10			

08. ACCESO AL SITIO DESDE POBLACIONES A MENOS DE 10 Kms.

Tipo de ruta	ISTANCIA A RECORRERSE (en kms		
	0--1	1--5	5--10
1. Camino Asfalt	x		
2. Terracería	x		
3. Brecha			
4. Vereda			
5. Vía acuática			
6. Vía aérea			

09. USO ACTUAL DEL SUELO

1. Forestal [ ] 2. Ganadero [x] 3. Agricultura de temporal [ ] 4.Agricultura de riego [ ] 5.Urbano [ ] 6.Turtístico [ ]

7. Otros

Observaciones sobre proporciones y localización

10. NUMERO Y TAMAÑO DE ESTRUCTURAS DEL SITIO:

EXTENSIÓN **300** m2

0.03 Has.

(1 Hectárea= 10,000 m2)

Altura	NÚMERO DE ESTRUCTURAS				
	0--5	6--10	11--50	51--100	> 100
< 2	x				
2--5					
6--10					
> 10					

11. GRADO DE SAQUEO ENCONTRADO EN EL SITIO:

0. Ninguno [X]
1. Saqueo antiguo [ ]
2. Saqueo reciente ocasional [ ]
3. Saqueo reciente sistemático simple [ ]
4. Saqueo reciente sistemático profesi [ ]

12. GRADO DE DESTRUCCIÓN POTENCIAL EN EL SITIO 0. Ninguno [ ]

1. Por obra de infraestructura a corto plazo [ ]
2.- Por obra de infraestructura a mediano plazo [ ]
3. Por obra de infraestructura a largo plazo [ ]
4. Extracción de piedra como actividad familiar [x]
5. Extracción de piedra como actividad mayor [ ]
6. Nivelación del terreno como obra agrícola [ ]
7, Asentamiento humano [ ]
8. Vandalismo [ ]

EROSIÓN:

9. Extensiva severa [ ] 10. Extensiva moderada [ ] 11. Parcial severa [ ] 12. Parcial moderda [x]

13. Observaciones sobre intensidad de destrucción y otros procesos no descritos:

13. GRADO DE EXPOSICION DE ELEMENTOS ARQUEOLOGICOS 0. Ninguno [ ]

1. Estratigrafía [x] 2. Arquitectura [x] 3. Tumbas [ ] 4. Escultura [ ] 5. Pintura mural [ ]

6, Otros _____
Fotos _____

Observaciones

14. MATERIALES FUNDAMENTALES EN LACONSTRUCCION DE ESTRUCTURAS: 0. No observables [ ]

1. Piedra careada [ ] 2. Pieda y tierra [x] 3. Ladrillo [ ] 4. Adobe [ ] 5. Tierra [ ]

6, Otros _____

Observaciones sobre posición original de material y proporciones:

15. OTROS VALORES DEL SITIO 1. Didáctico [ ]

2. Investigación [X] Conservación Excepcional [ ] 4. Alto valor artístico [ ] 5. Sitio asociado a trabajo excepcional [ ]

Observaciones sobre justificación de la decisión:

16.- TENENCIA DE LA TIERA EN EL ÁREA DEFINIDA POR LOS LÍMITES DEL SITIO:

1. Federal [ ] 2. Comunal [ ] 3. Pequeña propiedad [ ] 4.Mediana propiedad [x] 5. Ejidal [ ]

Observaciones sobre proporciones y localización:

17. CRONOLOGÍA TENTATIVA ****No cerámicas diagnosticas****

MUESTREAR MATERIAL CERÁMICO Y/O LÍTICO DIAGNÓSTICO EN CASO DE QUE EL ÁREA NO HAYA SIDO INVESTIGADA

1. Anterior a 5000 a.n.e. [ ]
2. 5000-1500 a.n.e. [ ]
3. 1500 a.n.e.-200 n.e. [ ]
4. 200-650/900 n.e [ ]
5. 650/900-1200 n.e [ ]
6. 1200-1521 n.e [ ]
7. Post.1521 n.e. [ ]

BIBLIOGRAFÍA MÍNIMA DEL SITIO

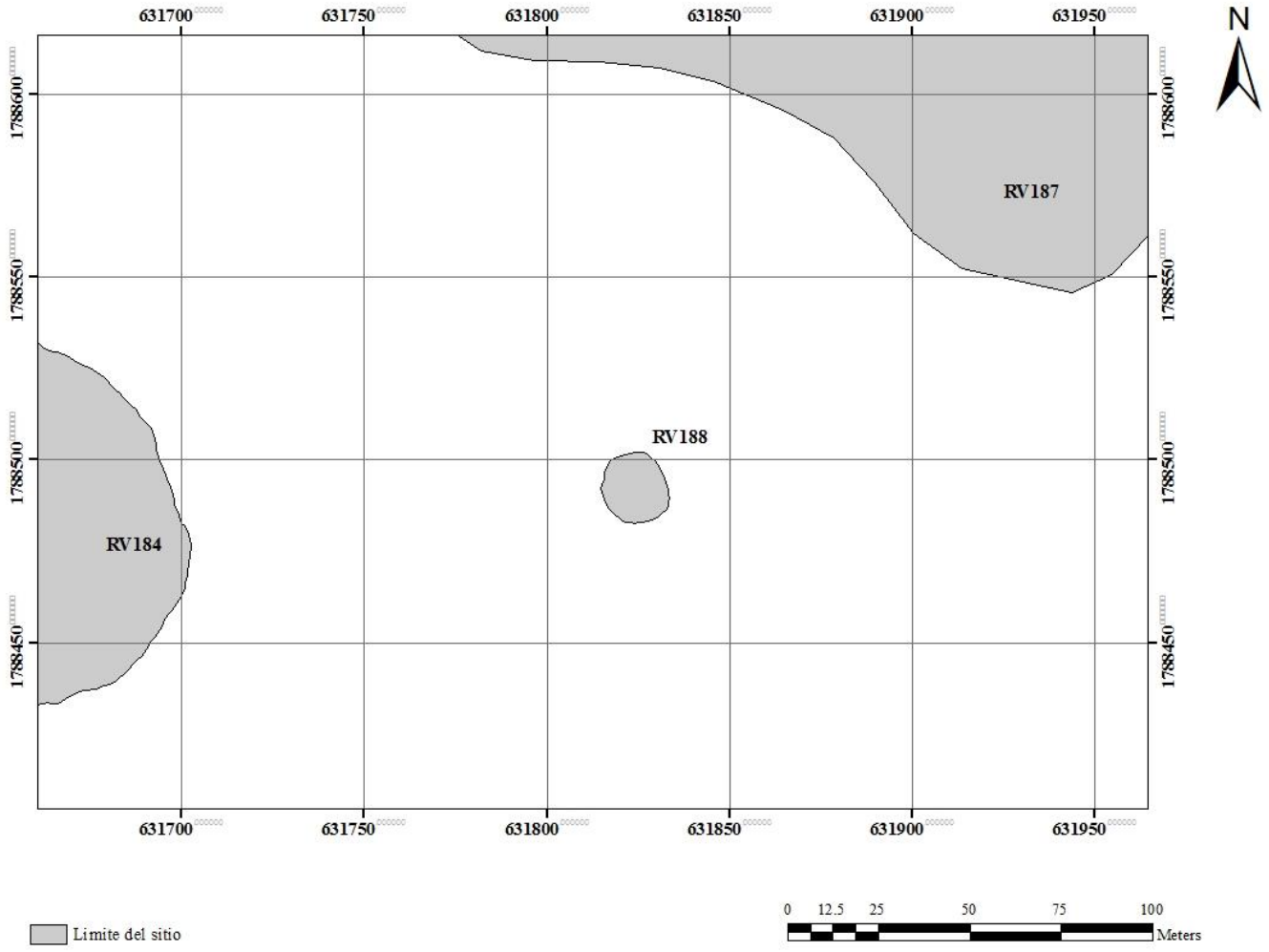
1. Descripción _____

2. Mapa o croquis _____

CROQUIS: Loma Pequeña (RV188)

ESCALA: 1:1,250

DIBUJO: Límites del sitio, recolecciones de artefactos, y arquitectura



Observaciones:

Loma Pequeña (RV188; ver Figura 9.52) está ubicada a un poco más de 100 metros al este de RV184. Por lo tanto, la topografía y el uso modero del terreno son casi idénticos entre los dos sitios. Vestigios arqueológicos fueron encontrados en una colina baja que fue altamente perturbada por un gran pozo de excavación en su centro (Figura 9.53). Se registró únicamente un solo muro en el tercio más al sur de la colina. No se recolecto ningún tiesto de cerámica diagnóstico.

REGISTRO PÚBLICO DE MONUMENTOS Y ZONAS ARQUEOLÓGICOS

CATALOGO E INVENTARIO DE ZONAS ARQUEOLOGICAS

CLAVE: **RV189**

Anotó: **Raymond Mueller** Fecha: **17/4/2013** **01. TIPO DE SITIO:** **Asentamiento con terrazas**

02. NOMBRE DEL SITIO: **Buena Vista** Municipio: **Jamiltepec** Estado: **Oaxaca**

03.COORDENADAS UTM: E **630299** **04. NUMERO DE CARTA** **E14D84**

N **1786926** Escala de la Carta **1:50,000**

05. FOTO AÉREA: Inexistente [X]

Compañía o Institución: Escala Fecha de vuelo

Número de o vuelo: Línea: Foto:

Número de marca en foto: Cuadro menor:

06. INFORMACIÓN RECUPERADA POR: 1. Bibliografía [ ] 2. Fotointerpretació [ ] 3. Informante [ ] 4. Casualid [X]

INFORMACIÓN: 1. Verificada en campo [X] 2. No verificada en campo [ ]

07. TAMAÑO DE POBLACIONES MÁS CERCANAS AL SITIO:

Kms.	TAMAÑO DE POBLACIONES (HABITANTES)		
	< 500	500-2500	> 2500
0			
0.1-5	x	x	
5-10			

08. ACCESO AL SITIO DESDE POBLACIONES A MENOS DE 10 Kms.

Tipo de ruta	DISTANCIA A RECORRERSE (en kms		
	0--1	1--5	5--10
1. Camino Asfalt		x	
2. Terracería	x		
3. Brecha	x		
4. Vereda			
5. Vía acuática			
6. Vía aérea			

09. USO ACTUAL DEL SUELO

1. Forestal [ ] 2. Ganadero [X] 3. Agricultura de temporal [X] 4.Agricultura de riego [ ] 5.Urbano [ ] 6.Turtístico [ ]

7. Otros

Observaciones sobre proporciones y localización

10. NUMERO Y TAMAÑO DE ESTRUCTURAS DEL SITIO:

EXTENSIÓN **30,300** m2

3.03 Has.

(1 Hectárea= 10,000 m2)

Altura	NÚMERO DE ESTRUCTURAS				
	0--5	6--10	11--50	51--100	> 100
< 2		x			
2--5					
6--10					
> 10					

11. GRADO DE SAQUEO ENCONTRADO EN EL SITIO:

0. Ninguno [X]
1. Saqueo antiguo [ ]
2. Saqueo reciente ocasional [ ]
3. Saqueo reciente sistemático simple [ ]
4. Saqueo reciente sistemático profesi [ ]

12. GRADO DE DESTRUCCIÓN POTENCIAL EN EL SITIO

0. Ninguno [ ]

1. Por obra de infraestructura a corto plazo [ ]
2.- Por obra de infraestructura a mediano plazo [ ]
3. Por obra de infraestructura a largo plazo [ ]
4. Extracción de piedra como actividad familiar [x]
5. Extracción de piedra como actividad mayor [ ]
6. Nivelación del terreno como obra agrícola [ ]
7, Asentamiento humano [ ]
8. Vandalismo [ ]

EROSIÓN:

9. Extensiva severa [ ] 10. Extensiva moderada [x] 11. Parcial severa [ ] 12. Parcial moderda [ ]

13. Observaciones sobre intensidad de destrucción y otros procesos no descritos:

13. GRADO DE EXPOSICION DE ELEMENTOS ARQUEOLOGICOS

0. Ninguno [ ]

1. Estratigrafía [ ] 2. Arquitectura [x] 3. Tumbas [ ] 4. Escultura [ ] 5. Pintura mural [ ]

6, Otros _____
Fotos _____

Observaciones

14. MATERIALES FUNDAMENTALES EN LACONSTRUCCION DE ESTRUCTURAS:

0. No observables [ ]

1. Piedra careada [ ] 2. Pieda y tierra [x] 3. Ladrillo [ ] 4. Adobe [ ] 5. Tierra [ ]

6, Otros _____

Observaciones sobre posición original de material y proporciones:

15. OTROS VALORES DEL SITIO

1. Didáctico [ ]

2. Investigación [X] Conservación Excepcional [ ] 4. Alto valor artístico [ ] 5. Sitio asociado a trabajo excepcional [ ]

Observaciones sobre justificación de la decisión:

16.- TENENCIA DE LA TIERA EN EL ÁREA DEFINIDA POR LOS LÍMITES DEL SITIO:

1. Federal [ ] 2. Comunal [ ] 3. Pequeña propiedad [ ] 4.Mediana propiedad [x] 5. Ejidal [ ]

Observaciones sobre proporciones y localización:

17. CRONOLOGÍA TENTATIVA

MUESTREAR MATERIAL CERÁMICO Y/O LÍTICO DIAGNÓSTICO EN CASO DE QUE EL ÁREA NO HAYA SIDO INVESTIGADA

1. Anterior a 5000 a.n.e. [ ]
2. 5000-1500 a.n.e. [ ]
3. 1500 a.n.e.-200 n.e. [ ]
4. 200-650/900 n.e [x]
5. 650/900-1200 n.e [ ]
6. 1200-1521 n.e [ ]
7. Post.1521 n.e. [ ]

BIBLIOGRAFÍA MÍNIMA DEL SITIO

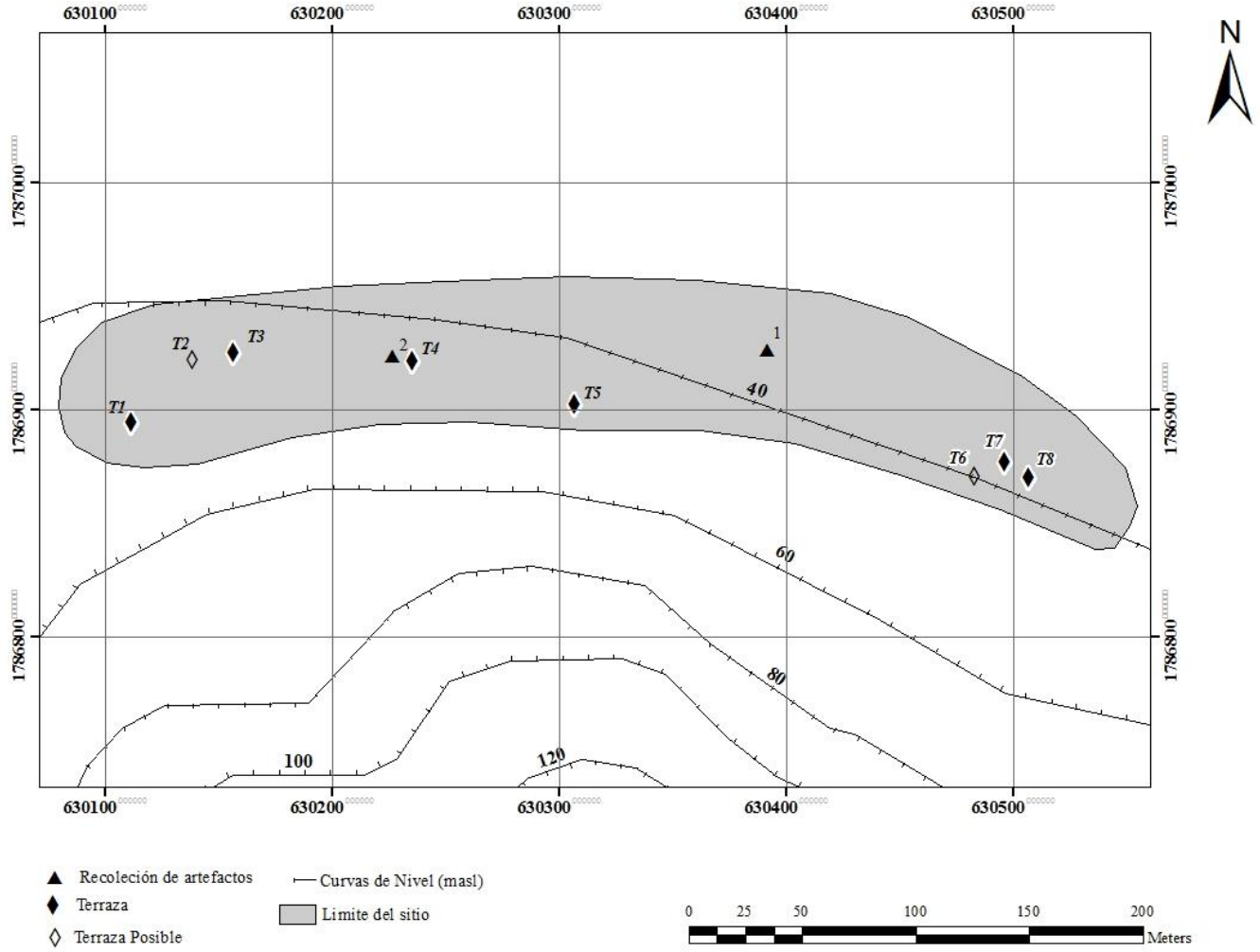
1. Descripción _____

2. Mapa o croquis _____

CROQUIS: Buena Vista (RV189)

ESCALA: 1:2,000

DIBUJO: Límites del sitio, recolecciones de artefactos, y arquitectura



Observaciones:

Buena Vista (RV189) está localizado a 1.2 kilómetros al sureste del pueblo moderno de El Plantanillo. Ubicado al pie del talud del pie de monte (Figura 9.54), RV189 tiene una altura de entre 40-60 metros sobre el nivel del mar. El sitio es principalmente utilizado como tierra de pastoreo y está cubierto por hierbas así como algunos arbustos. Las áreas cuesta abajo también están siendo cultivadas. Por la erosión, la mayoría de la cerámica era recolectada en estos campos.

El RV189 mide 3.03 hectáreas, pero es probable que esto es una subestimación. Mientras que el equipo de recorrido estaba documentando el sitio, les pidieron que se fueran antes de poder registrar todos los elementos. Sus esfuerzos fueron aún más comprometidos por el hecho que piedras de algunas de las estructuras prehispánicas habían sido movidas recientemente. A pesar de esto, el equipo logro documentar cerca de 5 terrazas confirmadas (T1, T3-T5, T7, y T8) así como dos terrazas posibles (T2 y T6; ver Figura 9.55). Los habitantes del sitio construyeron cada una de las terrazas dentro del cerro a una elevación de entre 40-60 metros sobre el nivel del mar, añadiendo un poco de relleno para nivelarlas. Muros de piedra eran asociados con cada una de estos elementos (T1-T8), algunos de los cuales eran muros de contención. No está claro si los demás muros eran muros de contención o cimientos. Ya que ningún otro artefacto o elemento fue registrado además de cerámica, las actividades asociadas con la arquitectura del sitio no están claras.

Con la excepción de alrededor de las terrazas, la densidad de artefactos en Buena Vista (RV189) era baja. Sin embargo, dos muestras fueron recolectadas de las mitades este (Muestra 1) y oeste (Muestra 2) del sitio. Estos datos indican que RV189 fue habitado durante las fases Coyuche y Yuta Tiyoo. La ocupación más grande ocurrió durante la fase Coyuche.

REGISTRO PÚBLICO DE MONUMENTOS Y ZONAS ARQUEOLÓGICOS

CATALOGO E INVENTARIO DE ZONAS ARQUEOLOGICAS

CLAVE: **RV190**

Anotó: **Raymond Mueller** Fecha: **18/4/2013** **01. TIPO DE SITIO:** **Asentamiento con terrazas**

02. NOMBRE DEL SITIO: **Cresta Norte** Municipio: **Jamiltepec** Estado: **Oaxaca**

03.COORDENADAS UTM: E **631374** **04. NUMERO DE CARTA** **E14D84**

N **1786024** Escala de la Carta **1:50,000**

05. FOTO AÉREA: Inexistente [X]

Compañía o Institución: Escala Fecha de vuelo

Número de o vuelo: Línea: Foto:

Número de marca en foto: Cuadro menor:

06. INFORMACIÓN RECUPERADA POR: 1. Bibliografía [ ] 2. Fotointerpretació [ ] 3. Informante [ ] 4. Casualid [X]

INFORMACIÓN: 1. Verificada en campo [X] 2. No verificada en campo [ ]

07. TAMAÑO DE POBLACIONES MÁS CERCANAS AL SITIO:

Kms.	TAMAÑO DE POBLACIONES (HABITANTES)		
	< 500	500-2500	> 2500
0			
0.1-5	x	x	
5-10			

08. ACCESO AL SITIO DESDE POBLACIONES A MENOS DE 10 Kms.

Tipo de ruta	ISTANCIA A RECORRERSE (en kms		
	0--1	1--5	5--10
1. Camino Asfalt		x	
2. Terracería	x		
3. Brecha	x		
4. Vereda			
5. Vía acuática			
6. Vía aérea			

09. USO ACTUAL DEL SUELO

1. Forestal [X] 2. Ganadero [ ] 3. Agricultura de temporal [ ] 4.Agricultura de riego [ ] 5.Urbano [ ] 6.Turtístico [ ]

7. Otros

Observaciones sobre proporciones y localización

10. NUMERO Y TAMAÑO DE ESTRUCTURAS DEL SITIO:

EXTENSIÓN **22,700** m2

2.27 Has.

(1 Hectárea= 10,000 m2)

Altura	NÚMERO DE ESTRUCTURAS				
	0--5	6--10	11--50	51--100	> 100
< 2	x				
2--5					
6--10					
> 10					

11. GRADO DE SAQUEO ENCONTRADO EN EL SITIO:

0. Ninguno [X]
1. Saqueo antiguo [ ]
2. Saqueo reciente ocasional [ ]
3. Saqueo reciente sistemático simple [ ]
4. Saqueo reciente sistemático profesi [ ]

12. GRADO DE DESTRUCCIÓN POTENCIAL EN EL SITIO

0. Ninguno [ ]

1. Por obra de infraestructura a corto plazo [ ]
2.- Por obra de infraestructura a mediano plazo [ ]
3. Por obra de infraestructura a largo plazo [ ]
4. Extracción de piedra como actividad familiar [ ]
5. Extracción de piedra como actividad mayor [x]
6. Nivelación del terreno como obra agrícola [ ]
7, Asentamiento humano [ ]
8. Vandalismo [ ]

EROSIÓN:

9. Extensiva severa [ ] 10. Extensiva moderada [ ] 11. Parcial severa [x] 12. Parcial moderda [x]

13. Observaciones sobre intensidad de destrucción y otros procesos no descritos:

13. GRADO DE EXPOSICION DE ELEMENTOS ARQUEOLOGICOS

0. Ninguno [ ]

1. Estratigrafía [ ] 2. Arquitectura [x] 3. Tumbas [ ] 4. Escultura [ ] 5. Pintura mural [ ]

6, Otros _____
Fotos _____

Observaciones

14. MATERIALES FUNDAMENTALES EN LACONSTRUCCION DE ESTRUCTURAS:

0. No observables [ ]

1. Piedra careada [ ] 2. Pieda y tierra [x] 3. Ladrillo [ ] 4. Adobe [ ] 5. Tierra [ ]

6, Otros _____

Observaciones sobre posición original de material y proporciones:

15. OTROS VALORES DEL SITIO

1. Didáctico [ ]

2. Investigación [X] Conservación Excepcional [ ] 4. Alto valor artístico [ ] 5. Sitio asociado a trabajo excepcional [ ]

Observaciones sobre justificación de la decisión:

16.- TENENCIA DE LA TIERA EN EL ÁREA DEFINIDA POR LOS LÍMITES DEL SITIO:

1. Federal [ ] 2. Comunal [ ] 3. Pequeña propiedad [ ] 4.Mediana propiedad [x] 5. Ejidal [ ]

Observaciones sobre proporciones y localización:

17. CRONOLOGÍA TENTATIVA

MUESTREAR MATERIAL CERÁMICO Y/O LÍTICO DIAGNÓSTICO EN CASO DE QUE EL ÁREA NO HAYA SIDO INVESTIGADA

1. Anterior a 5000 a.n.e. [ ]
2. 5000-1500 a.n.e. [ ]
3. 1500 a.n.e.-200 n.e. [x]
4. 200-650/900 n.e [x]
5. 650/900-1200 n.e [ ]
6. 1200-1521 n.e [ ]
7. Post.1521 n.e. [ ]

BIBLIOGRAFÍA MÍNIMA DEL SITIO

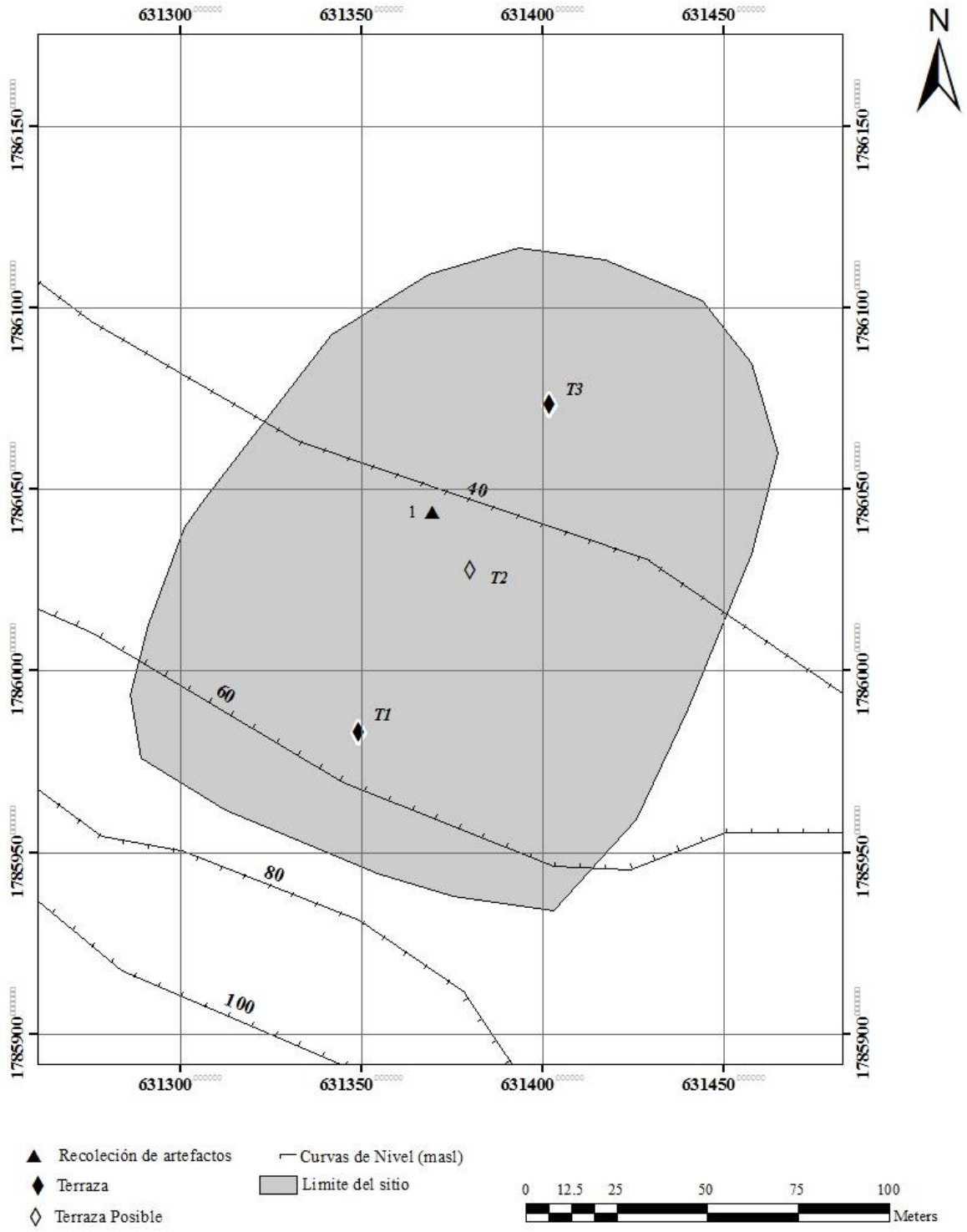
1. Descripción _____

2. Mapa o croquis _____

CROQUIS: Cresta Norte (RV190)

ESCALA: 1:1,250

DIBUJO: Límites del sitio, recolecciones de artefactos, y arquitectura



Observaciones:

Localizado a dos kilómetros al noroeste del pueblo moderno de La Boquilla, Cresta Norte (RV190) se extiende desde la ladera de un cerro hasta un abanico colluvial que se encuentra ligeramente elevado encima de la cuenca de un valle secundario cercano. Por lo tanto, la elevación de Cresta Norte es entre 25-80 metros sobre el nivel del mar (ver Figura 9.56). Mientras que la erosión es relativamente moderada en las terrazas en las laderas del cerro, es mucho más fuerte en las cuestas del cerro. En consecuencia, mucha de la cerámica de este sitio ha sido desplazada cuesta abajo en este sitio de 2.27 hectáreas. Actualmente, RV190 no está cultivado y se encuentra cubierto por bosque y matorral; arboles cubren aproximadamente 40% del sitio. Una cantera de piedra localizada entre Cresta Norte (RV190) y su vecino al sur (RV197) puede haber movió vestigios arqueológicos. Por lo tanto es posible que estos dos sitios eran actualmente conectados.

La ocupación en RV190 ocurrió en tres niveles diferentes que suben la elevación del noreste al suroeste. Los habitantes construyeron terrazas en el nivel superior (T1) e inferior (T3) (ver Figura 9.56). Mientras que muros de contención formales fueron encontrados en ambos áreas (e.g. Figura 9.57), los constructores también utilizaron rocas naturales y roca madre (Figura 9.58). Otro muro fue también registrado en el nivel del medio (T3), pero no está claro si fue utilizado como muro de contención. Nos dos niveles más bajos también contaban con un metate cada uno, lo que sugiere que actividades domésticas también ocurrieron en estas áreas.

Solo se encontró una muestra de cerámica de Cresta Norte. Los datos indican que el sitio fue ocupado de la fase Minizundo y Chacahua.

REGISTRO PÚBLICO DE MONUMENTOS Y ZONAS ARQUEOLÓGICOS

CATALOGO E INVENTARIO DE ZONAS ARQUEOLOGICAS

CLAVE: **RV191**

Anotó: **Paris Ferrand Alcaraz** Fecha: **12/4/2013** **01. TIPO DE SITIO:** **Asentamiento con terrazas**

02. NOMBRE DEL SITIO: **Cerro de Zapata** Municipio: **Jamiltepec** Estado: **Oaxaca**

03.COORDENADAS UTM: E **633149** **04. NUMERO DE CARTA** **E14D84**

N **1787512** Escala de la Carta **1:50,000**

05. FOTO AÉREA: Inexistente [X]

Compañía o Institución: Escala Fecha de vuelo

Número de o vuelo: Línea: Foto:

Número de marca en foto: Cuadro menor:

06. INFORMACIÓN RECUPERADA POR: 1. Bibliografía [ ] 2. Fotointerpretació [ ] 3. Informante [ ] 4. Casualid [X]

INFORMACIÓN: 1. Verificada en campo [X] 2. No verificada en campo [ ]

07. TAMAÑO DE POBLACIONES MÁS CERCANAS AL SITIO:

Kms.	TAMAÑO DE POBLACIONES (HABITANTES)		
	< 500	500-2500	> 2500
0		x	
0.1-5		x	
5-10			

08. ACCESO AL SITIO DESDE POBLACIONES A MENOS DE 10 Kms.

Tipo de ruta	ISTANCIA A RECORRERSE (en kms		
	0--1	1--5	5--10
1. Camino Asfalt	x		
2. Terracería	x		
3. Brecha			
4. Vereda			
5. Vía acuática			
6. Vía aérea			

09. USO ACTUAL DEL SUELO

1. Forestal [X] 2. Ganadero [ ] 3. Agricultura de temporal [ ] 4.Agricultura de riego [ ] 5.Urbano [ ] 6.Turtístico [ ]

7. Otros

Observaciones sobre proporciones y localización

10. NUMERO Y TAMAÑO DE ESTRUCTURAS DEL SITIO:

EXTENSIÓN **31,900** m2

3.19 Has.

(1 Hectárea= 10,000 m2)

Altura	NÚMERO DE ESTRUCTURAS				
	0--5	6--10	11--50	51--100	> 100
< 2	x				
2--5					
6--10					
> 10					

11. GRADO DE SAQUEO ENCONTRADO EN EL SITIO:

0. Ninguno [X]
1. Saqueo antiguo [ ]
2. Saqueo reciente ocasional [ ]
3. Saqueo reciente sistemático simple [ ]
4. Saqueo reciente sistemático profesi [ ]

12. GRADO DE DESTRUCCIÓN POTENCIAL EN EL SITIO

0. Ninguno [X]

1. Por obra de infraestructura a corto plazo [ ]
2.- Por obra de infraestructura a mediano plazo [ ]
3. Por obra de infraestructura a largo plazo [ ]
4. Extracción de piedra como actividad familiar [ ]
5. Extracción de piedra como actividad mayor [ ]
6. Nivelación del terreno como obra agrícola [ ]
7, Asentamiento humano [ ]
8. Vandalismo [ ]

EROSIÓN:

9. Extensiva severa [ ] 10. Extensiva moderada [ ] 11. Parcial severa [X] 12. Parcial moderda [X]

13. Observaciones sobre intensidad de destrucción y otros procesos no descritos:

13. GRADO DE EXPOSICION DE ELEMENTOS ARQUEOLOGICOS

0. Ninguno [ ]

1. Estratigrafía [ ] 2. Arquitectura [x] 3. Tumbas [ ] 4. Escultura [ ] 5. Pintura mural [ ]

6, Otros _____
Fotos _____

Observaciones

14. MATERIALES FUNDAMENTALES EN LACONSTRUCCION DE ESTRUCTURAS:

0. No observables [ ]

1. Piedra careada [ ] 2. Pieda y tierra [x] 3. Ladrillo [ ] 4. Adobe [ ] 5. Tierra [ ]

6, Otros _____

Observaciones sobre posición original de material y proporciones:

15. OTROS VALORES DEL SITIO

1. Didáctico [ ]

2. Investigación [X] Conservación Excepcional [ ] 4. Alto valor artístico [ ] 5. Sitio asociado a trabajo excepcional [ ]

Observaciones sobre justificación de la decisión:

16.- TENENCIA DE LA TIERA EN EL ÁREA DEFINIDA POR LOS LÍMITES DEL SITIO:

1. Federal [ ] 2. Comunal [ ] 3. Pequeña propiedad [ ] 4.Mediana propiedad [X] 5. Ejidal [ ]

Observaciones sobre proporciones y localización:

17. CRONOLOGÍA TENTATIVA ****No cerámicas diagnosticas****

MUESTREAR MATERIAL CERÁMICO Y/O LÍTICO DIAGNÓSTICO EN CASO DE QUE EL ÁREA NO HAYA SIDO INVESTIGADA

1. Anterior a 5000 a.n.e. [ ]
2. 5000-1500 a.n.e. [ ]
3. 1500 a.n.e.-200 n.e. [ ]
4. 200-650/900 n.e [ ]
5. 650/900-1200 n.e [ ]
6. 1200-1521 n.e [ ]
7. Post.1521 n.e. [ ]

BIBLIOGRAFÍA MÍNIMA DEL SITIO

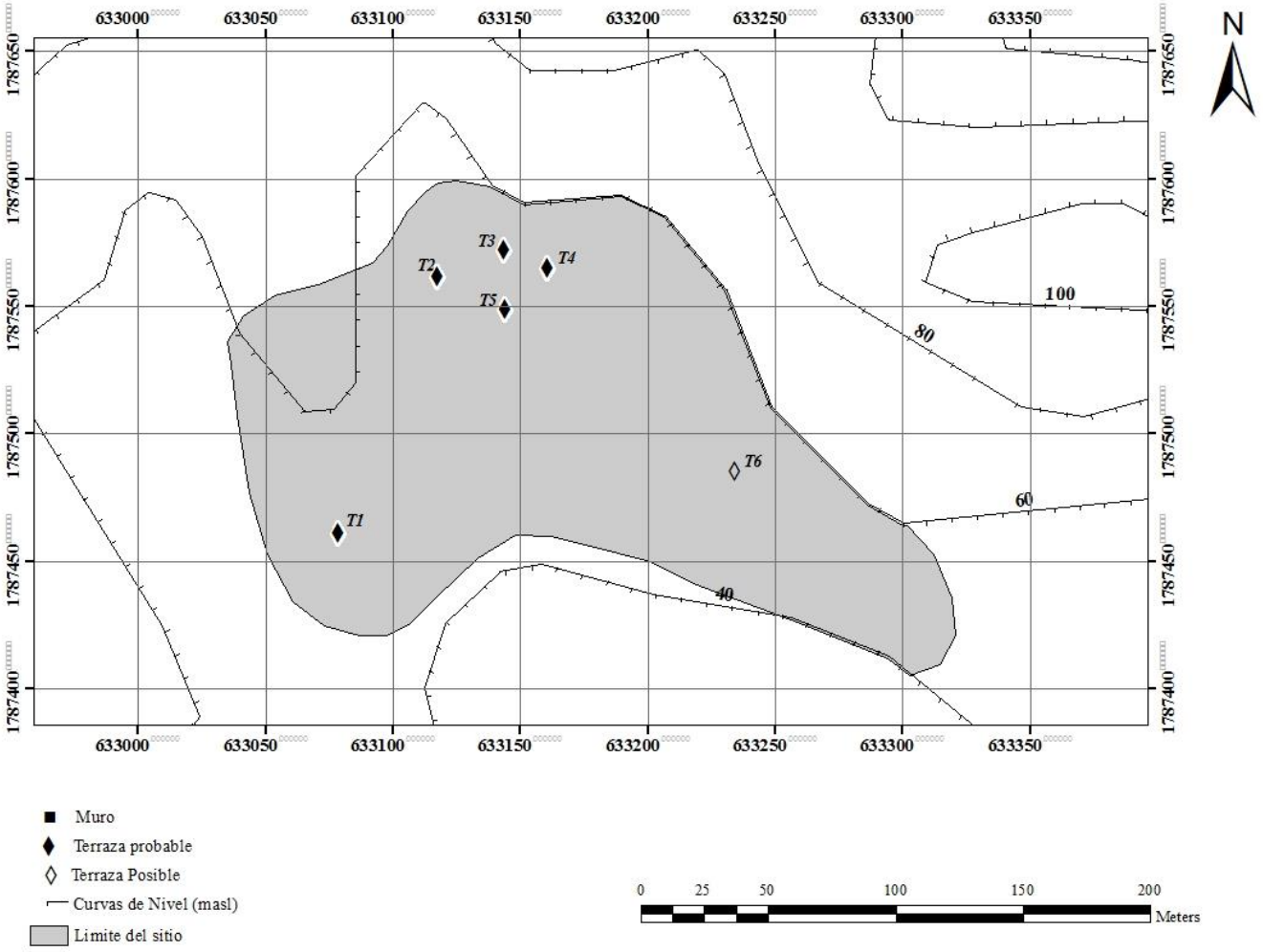
1. Descripción _____

2. Mapa o croquis _____

CROQUIS: Cerro de Zapata (RV191)

ESCALA: 1:1,794

DIBUJO: Límites del sitio, recolecciones de artefactos, y arquitectura



Observaciones:

Cerro de Zapata (RV191) está localizado en las cuestas no cultivadas del pie de monte que delimita el perímetro noreste del pueblo moderno de Emiliano Zapata. La altitud del sitio es de entre 40-60 metros sobre el nivel del mar (ver Figura 9.59). Por las condiciones topográficas, la erosión en el sitio es moderada en general pero más fuerte en las cuestas más inclinadas. El área del sitio es de 3.19 hectáreas.

La arquitectura en RV191 consiste principalmente de probables terrazas en por lo menos dos cerros diferentes al oeste (T1) y en el medio (T3-T5) del sitio (ver Figura 9.59). Aproximadamente siete muros fueron registrados en el área, incluyendo por lo menos un muro de contención. Otra terraza pudo haber sido construida también la este (T6), aunque ningún muro fue registrado en esta área. En las tres laderas, dos metates fueron encontrados sobre o cerca de las terrazas. La cerámica era concentrada en la porción oeste del sitio, pero no se encontró ningún ejemplo diagnóstico.

REGISTRO PÚBLICO DE MONUMENTOS Y ZONAS ARQUEOLÓGICOS

CATALOGO E INVENTARIO DE ZONAS ARQUEOLOGICAS

CLAVE: **RV192**

Anotó: **Raymond Mueller** Fecha: **19/4/2013** **01. TIPO DE SITIO:** **Asentamiento**

02. NOMBRE DEL SITIO: **Muros Bajos** Municipio: **Jamiltepec** Estado: **Oaxaca**

03.COORDENADAS UTM: E **632218** **04. NUMERO DE CARTA** **E14D84**

N **1788337** Escala de la Carta **1:50,000**

05. FOTO AÉREA: Inexistente [X]

Compañía o Institución: Escala Fecha de vuelo

Número de o vuelo: Línea: Foto:

Número de marca en foto: Cuadro menor:

06. INFORMACIÓN RECUPERADA POR: 1. Bibliografía [ ] 2. Fotointerpretació [ ] 3. Informante [ ] 4. Casualid [X]

INFORMACIÓN: 1. Verificada en campo [X] 2. No verificada en campo [ ]

07. TAMAÑO DE POBLACIONES MÁS CERCANAS AL SITIO:

Kms.	TAMAÑO DE POBLACIONES (HABITANTES)		
	< 500	500-2500	> 2500
0			
0.1-5		x	
5-10			

08. ACCESO AL SITIO DESDE POBLACIONES A MENOS DE 10 Kms.

Tipo de ruta	ISTANCIA A RECORRERSE (en kms		
	0--1	1--5	5--10
1. Camino Asfalt	x		
2. Terracería	x		
3. Brecha			
4. Vereda			
5. Vía acuática			
6. Vía aérea			

09. USO ACTUAL DEL SUELO

1. Forestal [ ] 2. Ganadero [X] 3. Agricultura de temporal [X] 4.Agricultura de riego [ ] 5.Urbano [ ] 6.Turtístico [ ]

7. Otros

Observaciones sobre proporciones y localización

10. NUMERO Y TAMAÑO DE ESTRUCTURAS DEL SITIO:

EXTENSIÓN **37,500** m2

3.75 Has.

(1 Hectárea= 10,000 m2)

Altura	NÚMERO DE ESTRUCTURAS				
	0--5	6--10	11--50	51--100	> 100
< 2	x				
2--5					
6--10					
> 10					

11. GRADO DE SAQUEO ENCONTRADO EN EL SITIO:

0. Ninguno [X]
1. Saqueo antiguo [ ]
2. Saqueo reciente ocasional [ ]
3. Saqueo reciente sistemático simple [ ]
4. Saqueo reciente sistemático profesi [ ]

12. GRADO DE DESTRUCCIÓN POTENCIAL EN EL SITIO

0. Ninguno [ ]

1. Por obra de infraestructura a corto plazo [ ]
2.- Por obra de infraestructura a mediano plazo [ ]
3. Por obra de infraestructura a largo plazo [ ]
4. Extracción de piedra como actividad familiar [ ]
5. Extracción de piedra como actividad mayor [ ]
6. Nivelación del terreno como obra agrícola [x]
7, Asentamiento humano [ ]
8. Vandalismo [ ]

EROSIÓN:

9. Extensiva severa [ ] 10. Extensiva moderada [ ] 11. Parcial severa [ ] 12. Parcial moderda [x]

13. Observaciones sobre intensidad de destrucción y otros procesos no descritos:

13. GRADO DE EXPOSICION DE ELEMENTOS ARQUEOLOGICOS

0. Ninguno [ ]

1. Estratigrafía [ ] 2. Arquitectura [x] 3. Tumbas [ ] 4. Escultura [ ] 5. Pintura mural [ ]

6, Otros _____
Fotos _____

Observaciones

14. MATERIALES FUNDAMENTALES EN LACONSTRUCCION DE ESTRUCTURAS:

0. No observables [ ]

1. Piedra careada [ ] 2. Pieda y tierra [x] 3. Ladrillo [ ] 4. Adobe [ ] 5. Tierra [ ]

6, Otros _____

Observaciones sobre posición original de material y proporciones:

15. OTROS VALORES DEL SITIO

1. Didáctico [ ]

2. Investigación [X] Conservación Excepcional [ ] 4. Alto valor artístico [ ] 5. Sitio asociado a trabajo excepcional [ ]

Observaciones sobre justificación de la decisión:

16.- TENENCIA DE LA TIERA EN EL ÁREA DEFINIDA POR LOS LÍMITES DEL SITIO:

1. Federal [ ] 2. Comunal [ ] 3. Pequeña propiedad [ ] 4.Mediana propiedad [x] 5. Ejidal [ ]

Observaciones sobre proporciones y localización:

17. CRONOLOGÍA TENTATIVA

MUESTREAR MATERIAL CERÁMICO Y/O LÍTICO DIAGNÓSTICO EN CASO DE QUE EL ÁREA NO HAYA SIDO INVESTIGADA

1. Anterior a 5000 a.n.e. [ ]
2. 5000-1500 a.n.e. [ ]
3. 1500 a.n.e.-200 n.e. [x]
4. 200-650/900 n.e [x]
5. 650/900-1200 n.e [ ]
6. 1200-1521 n.e [ ]
7. Post.1521 n.e. [ ]

BIBLIOGRAFÍA MÍNIMA DEL SITIO

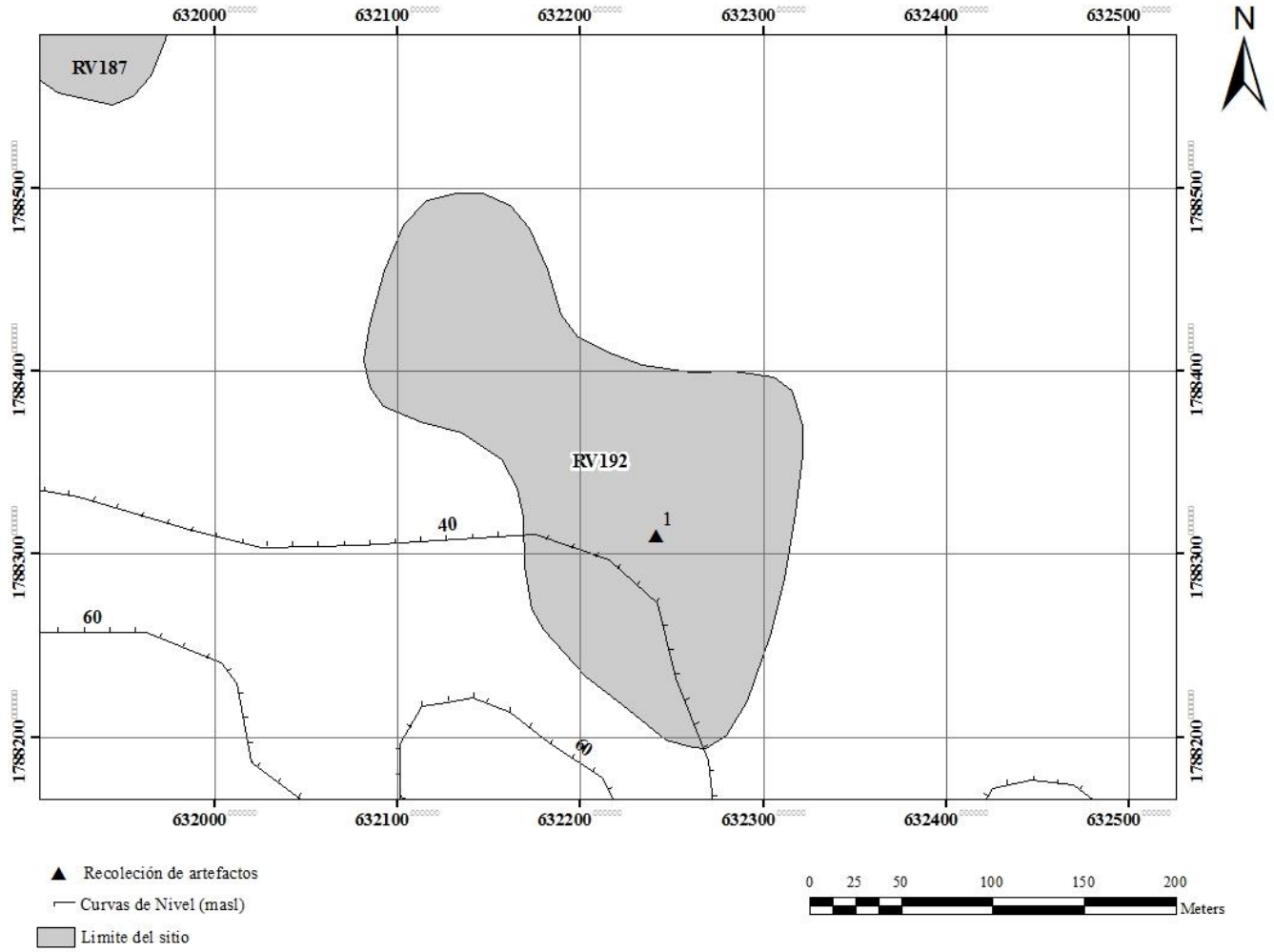
1. Descripción _____

2. Mapa o croquis _____

CROQUIS: Muros Bajos (RV192)

ESCALA: 1:2,500

DIBUJO: Límites del sitio, recolecciones de artefactos, y arquitectura



Observaciones:

Muros Bajos (RV192) está ubicado en un ambiente parecido a RV187, RV184, y RV188. La mayoría del sitio se encuentra en una zona de valles segundarios, y la punta más al sur está en el pie de monte; la elevación es de entre 30 a 50 metros sobre el nivel del mar (ver Figura 9.60). RV192 está a 0.6 kilómetros al oeste del pueblo de El Charquito (Charco Nduayoo) y se utiliza como terreno de pastoreo y de cultivo. Puesto a las actividades de arado, la erosión del sitio es moderada.

La arquitectura de Muros Bajos (RV192) consiste en solamente 3 pequeños muros, todos encontrados en las colinas bajas en la parte sur del sitio. Uno de los muros pudo haber sido construido en la época moderna. Cuatro metates fueron encontrados a elevaciones variadas dentro de 40 metros de los muros, indicando actividades domésticas. En áreas aluviales al noroeste, solo se encontró un metate. De acuerdo con la única muestra (Muestra 1) recolectada al sureste (ver Figura 9.60), RV192 fue ocupado durante las fases Miniyua y Chacahua.

REGISTRO PÚBLICO DE MONUMENTOS Y ZONAS ARQUEOLÓGICOS

CATALOGO E INVENTARIO DE ZONAS ARQUEOLOGICAS

CLAVE: **RV193**

Anotó: **Paris Ferrand Alcaraz** Fecha: **17/4/2013** **01. TIPO DE SITIO:** **Asentamiento con una terraza**

02. NOMBRE DEL SITIO: **La Planicie Hermosa** Municipio: **Jamiltepec** Estado: **Oaxaca**

03.COORDENADAS UTM: E **632210** **04. NUMERO DE CARTA** **E14D84**

N **1785795** Escala de la Carta **1:50,000**

05. FOTO AÉREA: Inexistente [X]

Compañía o Institución: Escala Fecha de vuelo

Número de o vuelo: Línea: Foto:

Número de marca en foto: Cuadro menor:

06. INFORMACIÓN RECUPERADA POR: 1. Bibliografía [ ] 2. Fotointerpretació [ ] 3. Informante [ ] 4. Casualid [X]

INFORMACIÓN: 1. Verificada en campo [X] 2. No verificada en campo [ ]

07. TAMAÑO DE POBLACIONES MÁS CERCANAS AL SITIO:

Kms.	TAMAÑO DE POBLACIONES (HABITANTES)		
	< 500	500-2500	> 2500
0			
0.1-5		x	
5-10			

08. ACCESO AL SITIO DESDE POBLACIONES A MENOS DE 10 Kms.

Tipo de ruta	ISTANCIA A RECORRERSE (en kms		
	0--1	1--5	5--10
1. Camino Asfalt	x		
2. Terracería	x		
3. Brecha	x		
4. Vereda			
5. Vía acuática			
6. Vía aérea			

09. USO ACTUAL DEL SUELO

1. Forestal [ ] 2. Ganadero [ ] 3. Agricultura de temporal [X] 4.Agricultura de riego [ ] 5.Urbano [ ] 6.Turístico [ ]

7. Otros

Observaciones sobre proporciones y localización

10. NUMERO Y TAMAÑO DE ESTRUCTURAS DEL SITIO:

EXTENSIÓN **140,600** m2

14.06 Has.

(1 Hectárea= 10,000 m2)

Altura	NÚMERO DE ESTRUCTURAS				
	0--5	6--10	11--50	51--100	> 100
< 2	x				
2--5					
6--10					
> 10					

11. GRADO DE SAQUEO ENCONTRADO EN EL SITIO:

0. Ninguno [X]
1. Saqueo antiguo [ ]
2. Saqueo reciente ocasional [ ]
3. Saqueo reciente sistemático simple [ ]
4. Saqueo reciente sistemático profesi [ ]

12. GRADO DE DESTRUCCIÓN POTENCIAL EN EL SITIO 0. Ninguno [ ]

1. Por obra de infraestructura a corto plazo [ ]
2.- Por obra de infraestructura a mediano plazo [ ]
3. Por obra de infraestructura a largo plazo [ ]
4. Extracción de piedra como actividad familiar [x]
5. Extracción de piedra como actividad mayor [ ]
6. Nivelación del terreno como obra agrícola [x]
7, Asentamiento humano [ ]
8. Vandalismo [ ]

EROSIÓN:

9. Extensiva severa [ ] 10. Extensiva moderada [ ] 11. Parcial severa [ ] 12. Parcial moderda [x]

13. Observaciones sobre intensidad de destrucción y otros procesos no descritos:

13. GRADO DE EXPOSICION DE ELEMENTOS ARQUEOLOGICOS 0. Ninguno [ ]

1. Estratigrafía [x] 2. Arquitectura [x] 3. Tumbas [ ] 4. Escultura [ ] 5. Pintura mural [ ]

6, Otros _____
Fotos _____

Observaciones

14. MATERIALES FUNDAMENTALES EN LACONSTRUCCION DE ESTRUCTURAS: 0. No observables [ ]

1. Piedra careada [ ] 2. Pieda y tierra [x] 3. Ladrillo [ ] 4. Adobe [ ] 5. Tierra [ ]

6, Otros _____

Observaciones sobre posición original de material y proporciones:

15. OTROS VALORES DEL SITIO 1. Didáctico [ ]

2. Investigación [X] Conservación Excepcional [ ] 4. Alto valor artístico [ ] 5. Sitio asociado a trabajo excepcional [ ]

Observaciones sobre justificación de la decisión:

16.- TENENCIA DE LA TIERA EN EL ÁREA DEFINIDA POR LOS LÍMITES DEL SITIO:

1. Federal [ ] 2. Comunal [ ] 3. Pequeña propiedad [ ] 4.Mediana propiedad [x] 5. Ejidal [ ]

Observaciones sobre proporciones y localización:

17. CRONOLOGÍA TENTATIVA

MUESTREAR MATERIAL CERÁMICO Y/O LÍTICO DIAGNÓSTICO EN CASO DE QUE EL ÁREA NO HAYA SIDO INVESTIGADA

1. Anterior a 5000 a.n.e. [ ]
2. 5000-1500 a.n.e. [ ]
3. 1500 a.n.e.-200 n.e. [x]
4. 200-650/900 n.e [x]
5. 650/900-1200 n.e [x]
6. 1200-1521 n.e [ ]
7. Post.1521 n.e. [ ]

BIBLIOGRAFÍA MÍNIMA DEL SITIO

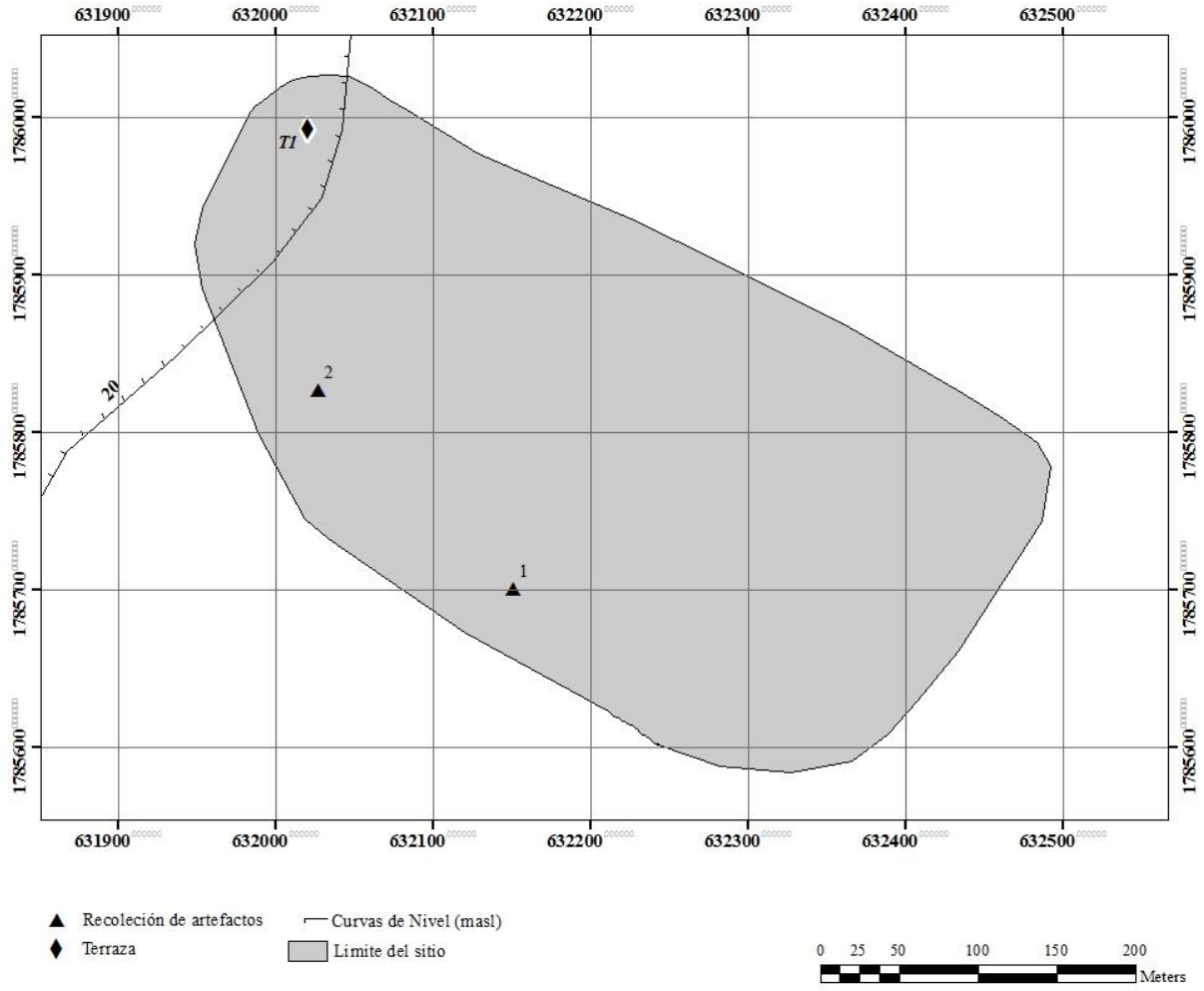
1. Descripción _____

2. Mapa o croquis _____

CROQUIS: La Planicie Hermosa (RV193)

ESCALA: 1:3,000

DIBUJO: Límites del sitio, recolecciones de artefactos, y arquitectura



Observaciones:

La Planicie Hermosa (RV193) es un sitio de tamaño mediano (14.06 ha) localizado a 1.2 kilómetros al noroeste del pueblo moderno de La Boquilla. Ubicado en la orilla del pie de monte, RV193 es el sitio más grande de la planicie aluvial registrado en 2013. La mitad norte es caracterizada por una serie de colinas bajas mientras que la mitad sur es relativamente plana. La elevación del sitio mide entre 20-30 metros sobre el nivel del mar. Actualmente, RV193 se utiliza para agricultura y fue parcialmente dañando en sus colinas norte por tractores. Además, la terraza en la esquina noroeste del sitio tiene un pozo excavado y un muro prehispánico destruido.

La arquitectura en La Planicie Hermosa (RV193) consiste principalmente de una terraza probable (T1) cerca de su frontera noroeste (ver Figura 9.61). Allí, tres muros fueron colocados en la colina conforme la elevación llegaba a 20 metros sobre el nivel del mar. Además de cerámica, ningún artefacto fue directamente asociado con esta terraza. A aproximadamente 75 metros al sureste de la terraza, un metate fue registrado. La única arquitectura que queda en RV193 incluye la esquina de un muro sobre un cerro bajo en la mitad del sitio.

La densidad de cerámica era relativamente alta a lo largo de la mayoría de RC193. Muestras indican que el sitio fue ocupado de la fase Minizundo hasta Yugüe, con una interrupción durante la fase Miniyua.

REGISTRO PÚBLICO DE MONUMENTOS Y ZONAS ARQUEOLÓGICOS

CATALOGO E INVENTARIO DE ZONAS ARQUEOLOGICAS

CLAVE: **RV194**

Anotó: **Raymond Mueller** Fecha: **18/4/2013** **01. TIPO DE SITIO:** **Concentración de cerámicas con metates**

02. NOMBRE DEL SITIO: **Arroyo Grande** Municipio: **Jamiltepec** Estado: **Oaxaca**

03.COORDENADAS UTM: E **631636** **04. NUMERO DE CARTA** **E14D84**

N **1785212** Escala de la Carta **1:50,000**

05. FOTO AÉREA: Inexistente [X]

Compañía o Institución: Escala Fecha de vuelo

Número de o vuelo: Línea: Foto:

Número de marca en foto: Cuadro menor:

06. INFORMACIÓN RECUPERADA POR: 1. Bibliografía [ ] 2. Fotointerpretació [ ] 3. Informante [ ] 4. Casualid [X]

INFORMACIÓN: 1. Verificada en campo [X] 2. No verificada en campo [ ]

07. TAMAÑO DE POBLACIONES MÁS CERCANAS AL SITIO:

Kms.	TAMAÑO DE POBLACIONES (HABITANTES)		
	< 500	500-2500	> 2500
0			
0.1-5		x	
5-10			

08. ACCESO AL SITIO DESDE POBLACIONES A MENOS DE 10 Kms.

Tipo de ruta	ISTANCIA A RECORRERSE (en kms		
	0--1	1--5	5--10
1. Camino Asfalt		x	
2. Terracería	x		
3. Brecha			
4. Vereda			
5. Vía acuática			
6. Vía aérea			

09. USO ACTUAL DEL SUELO

1. Forestal [ ] 2. Ganadero [x] 3. Agricultura de temporal [ ] 4.Agricultura de riego [ ] 5.Urbano [ ] 6.Turtístico [ ]

7. Otros

Observaciones sobre proporciones y localización

10. NUMERO Y TAMAÑO DE ESTRUCTURAS DEL SITIO:

EXTENSIÓN **5,000** m2

0.5 Has.

(1 Hectárea= 10,000 m2)

Altura	NÚMERO DE ESTRUCTURAS				
	0--5	6--10	11--50	51--100	> 100
< 2	x				
2--5					
6--10					
> 10					

11. GRADO DE SAQUEO ENCONTRADO EN EL SITIO:

0. Ninguno [X]
1. Saqueo antiguo [ ]
2. Saqueo reciente ocasional [ ]
3. Saqueo reciente sistemático simple [ ]
4. Saqueo reciente sistemático profesi [ ]

12. GRADO DE DESTRUCCIÓN POTENCIAL EN EL SITIO

0. Ninguno [X]

1. Por obra de infraestructura a corto plazo [ ]
2.- Por obra de infraestructura a mediano plazo [ ]
3. Por obra de infraestructura a largo plazo [ ]
4. Extracción de piedra como actividad familiar [ ]
5. Extracción de piedra como actividad mayor [ ]
6. Nivelación del terreno como obra agrícola [ ]
7, Asentamiento humano [ ]
8. Vandalismo [ ]

EROSIÓN:

9. Extensiva severa [ ] 10. Extensiva moderada [ ] 11. Parcial severa [ ] 12. Parcial moderda [X]

13. Observaciones sobre intensidad de destrucción y otros procesos no descritos:

13. GRADO DE EXPOSICION DE ELEMENTOS ARQUEOLOGICOS

0. Ninguno [ ]

1. Estratigrafía [ ] 2. Arquitectura [ ] 3. Tumbas [ ] 4. Escultura [ ] 5. Pintura mural [ ]

6, Otros **Solamente metates y cerámicas**

Fotos

Observaciones

14. MATERIALES FUNDAMENTALES EN LACONSTRUCCION DE ESTRUCTURAS:

0. No observables [X]

1. Piedra careada [ ] 2. Pieda y tierra [ ] 3. Ladrillo [ ] 4. Adobe [ ] 5. Tierra [ ]

6, Otros

Observaciones sobre posición original de material y proporciones:

15. OTROS VALORES DEL SITIO

1. Didáctico [ ]

2. Investigación [X] Conservación Excepcional [ ] 4. Alto valor artístico [ ] 5. Sitio asociado a trabajo excepcional [ ]

Observaciones sobre justificación de la decisión:

16.- TENENCIA DE LA TIERA EN EL ÁREA DEFINIDA POR LOS LÍMITES DEL SITIO:

1. Federal [ ] 2. Comunal [ ] 3. Pequeña propiedad [ ] 4.Mediana propiedad [X] 5. Ejidal [ ]

Observaciones sobre proporciones y localización:

17. CRONOLOGÍA TENTATIVA ****No cerámicas diagnosticas****

MUESTREAR MATERIAL CERÁMICO Y/O LÍTICO DIAGNÓSTICO EN CASO DE QUE EL ÁREA NO HAYA SIDO INVESTIGADA

1. Anterior a 5000 a.n.e. [ ]
2. 5000-1500 a.n.e. [ ]
3. 1500 a.n.e.-200 n.e. [ ]
4. 200-650/900 n.e [ ]
5. 650/900-1200 n.e [ ]
6. 1200-1521 n.e [ ]
7. Post.1521 n.e. [ ]

BIBLIOGRAFÍA MÍNIMA DEL SITIO

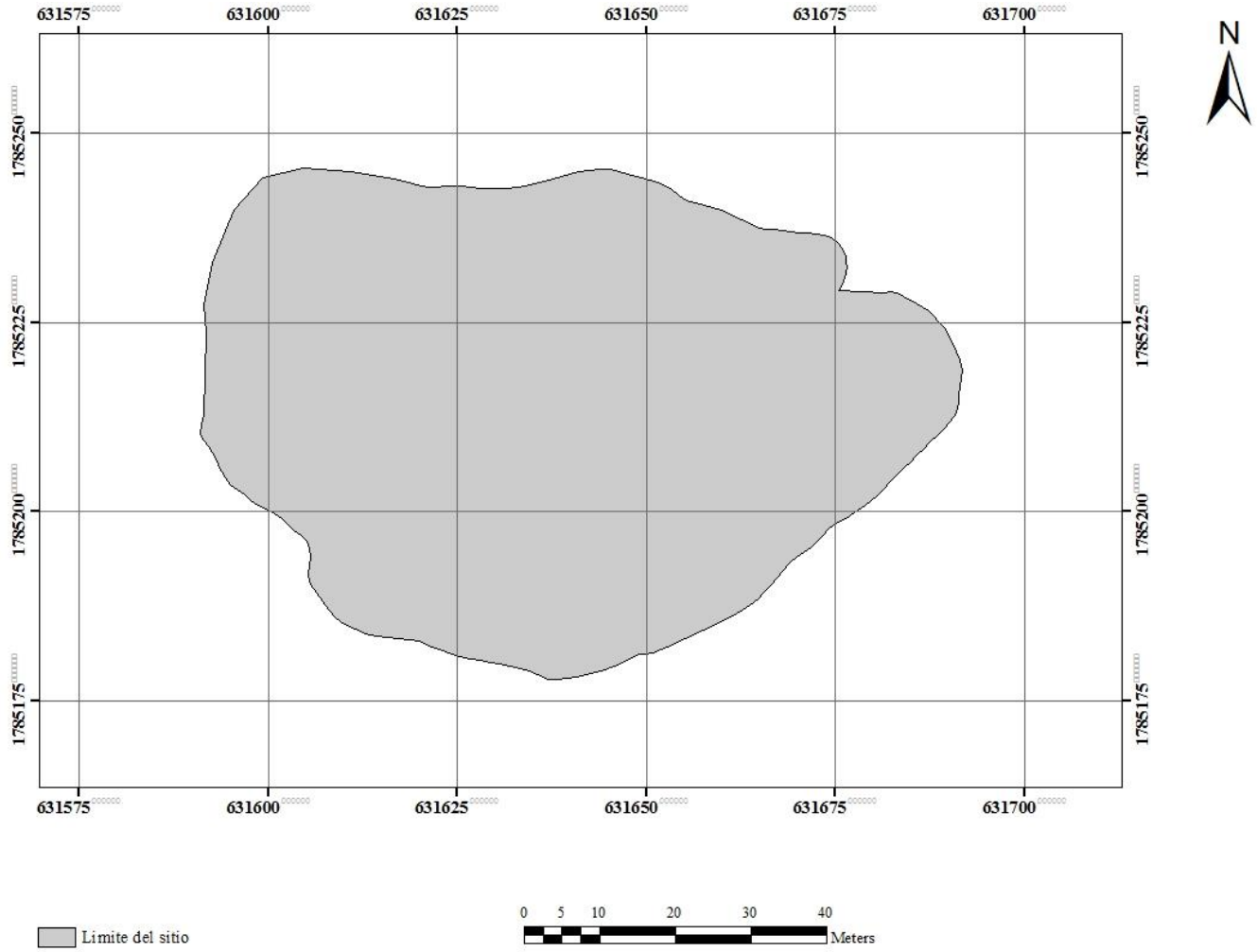
1. Descripción

2. Mapa o croquis

CROQUIS: Arroyo Grande (RV194)

ESCALA: 1:600

DIBUJO: Límites del sitio, recolecciones de artefactos, y arquitectura



Observaciones:

Arroyo Grande (RV194; ver Figura 9.62) es un pequeño sitio (0.5 ha) localizado a 1.3 kilómetros al noroeste del pueblo moderno de La Boquilla. Con una elevación de entre 30 a 40 metros sobre el nivel del mar, el sitio se ubica sobre una ladera del pie de monte a menos de 200 metros al sureste de un cauce de un manantial. La erosión es moderada. Actualmente, Arroyo Grande (RV194) se utiliza como tierra de pastoreo y está cubierto por pasto grueso. Dos metates de roca fueron encontrados en la porción norte del sitio, pero ninguna muestra de cerámica fue recolectada.

REGISTRO PÚBLICO DE MONUMENTOS Y ZONAS ARQUEOLÓGICOS

CATALOGO E INVENTARIO DE ZONAS ARQUEOLOGICAS

CLAVE: **RV195**

Anotó: **Paris Ferrand Alcaraz** Fecha: **12/4/2013** **01. TIPO DE SITIO:** **Concentración de cerámicas con un muro**

02. NOMBRE DEL SITIO: **Camino a Zapata** Municipio: **Jamiltepec** Estado: **Oaxaca**

03.COORDENADAS UTM: E **633627** **04. NUMERO DE CARTA** **E14D84**

N **1787540** Escala de la Carta **1:50,000**

05. FOTO AÉREA: Inexistente [X]

Compañía o Institución: Escala Fecha de vuelo

Número de o vuelo: Línea: Foto:

Número de marca en foto: Cuadro menor:

06. INFORMACIÓN RECUPERADA POR: 1. Bibliografía [ ] 2. Fotointerpretació [ ] 3. Informante [ ] 4. Casualid [X]

INFORMACIÓN: 1. Verificada en campo [X] 2. No verificada en campo [ ]

07. TAMAÑO DE POBLACIONES MÁS CERCANAS AL SITIO:

Kms.	TAMAÑO DE POBLACIONES (HABITANTES)		
	< 500	500-2500	> 2500
0			
0.1-5		x	
5-10			

08. ACCESO AL SITIO DESDE POBLACIONES A MENOS DE 10 Kms.

Tipo de ruta	ISTANCIA A RECORRERSE (en kms		
	0--1	1--5	5--10
1. Camino Asfalt	x		
2. Terracería	x		
3. Brecha			
4. Vereda			
5. Vía acuática			
6. Vía aérea			

09. USO ACTUAL DEL SUELO

1. Forestal [X] 2. Ganadero [ ] 3. Agricultura de temporal [ ] 4.Agricultura de riego [ ] 5.Urbano [ ] 6.Turtístico [ ]

7. Otros

Observaciones sobre proporciones y localización

10. NUMERO Y TAMAÑO DE ESTRUCTURAS DEL SITIO:

EXTENSIÓN **12,500** m2

1.25 Has.

(1 Hectárea= 10,000 m2)

Altura	NÚMERO DE ESTRUCTURAS				
	0--5	6--10	11--50	51--100	> 100
< 2	x				
2--5					
6--10					
> 10					

11. GRADO DE SAQUEO ENCONTRADO EN EL SITIO:

0. Ninguno [X]
1. Saqueo antiguo [ ]
2. Saqueo reciente ocasional [ ]
3. Saqueo reciente sistemático simple [ ]
4. Saqueo reciente sistemático profesi [ ]

12. GRADO DE DESTRUCCIÓN POTENCIAL EN EL SITIO

0. Ninguno [X]

1. Por obra de infraestructura a corto plazo [ ]
2.- Por obra de infraestructura a mediano plazo [ ]
3. Por obra de infraestructura a largo plazo [X]
4. Extracción de piedra como actividad familiar [ ]
5. Extracción de piedra como actividad mayor [ ]
6. Nivelación del terreno como obra agrícola [ ]
7, Asentamiento humano [ ]
8. Vandalismo [ ]

EROSIÓN:

9. Extensiva severa [ ] 10. Extensiva moderada [ ] 11. Parcial severa [X] 12. Parcial moderda [X]

13. Observaciones sobre intensidad de destrucción y otros procesos no descritos:

13. GRADO DE EXPOSICION DE ELEMENTOS ARQUEOLOGICOS

0. Ninguno [ ]

1. Estratigrafía [ ] 2. Arquitectura [x] 3. Tumbas [ ] 4. Escultura [ ] 5. Pintura mural [ ]

6, Otros _____
Fotos _____

Observaciones

14. MATERIALES FUNDAMENTALES EN LACONSTRUCCION DE ESTRUCTURAS:

0. No observables [ ]

1. Piedra careada [ ] 2. Pieda y tierra [x] 3. Ladrillo [ ] 4. Adobe [ ] 5. Tierra [ ]

6, Otros _____

Observaciones sobre posición original de material y proporciones:

15. OTROS VALORES DEL SITIO

1. Didáctico [ ]

2. Investigación [X] Conservación Excepcional [ ] 4. Alto valor artístico [ ] 5. Sitio asociado a trabajo excepcional [ ]

Observaciones sobre justificación de la decisión:

16.- TENENCIA DE LA TIERA EN EL ÁREA DEFINIDA POR LOS LÍMITES DEL SITIO:

1. Federal [ ] 2. Comunal [ ] 3. Pequeña propiedad [ ] 4.Mediana propiedad [X] 5. Ejidal [ ]

Observaciones sobre proporciones y localización:

17. CRONOLOGÍA TENTATIVA

MUESTREAR MATERIAL CERÁMICO Y/O LÍTICO DIAGNÓSTICO EN CASO DE QUE EL ÁREA NO HAYA SIDO INVESTIGADA

1. Anterior a 5000 a.n.e. [ ]
2. 5000-1500 a.n.e. [ ]
3. 1500 a.n.e.-200 n.e. [x]
4. 200-650/900 n.e [ ]
5. 650/900-1200 n.e [ ]
6. 1200-1521 n.e [ ]
7. Post.1521 n.e. [ ]

BIBLIOGRAFÍA MÍNIMA DEL SITIO

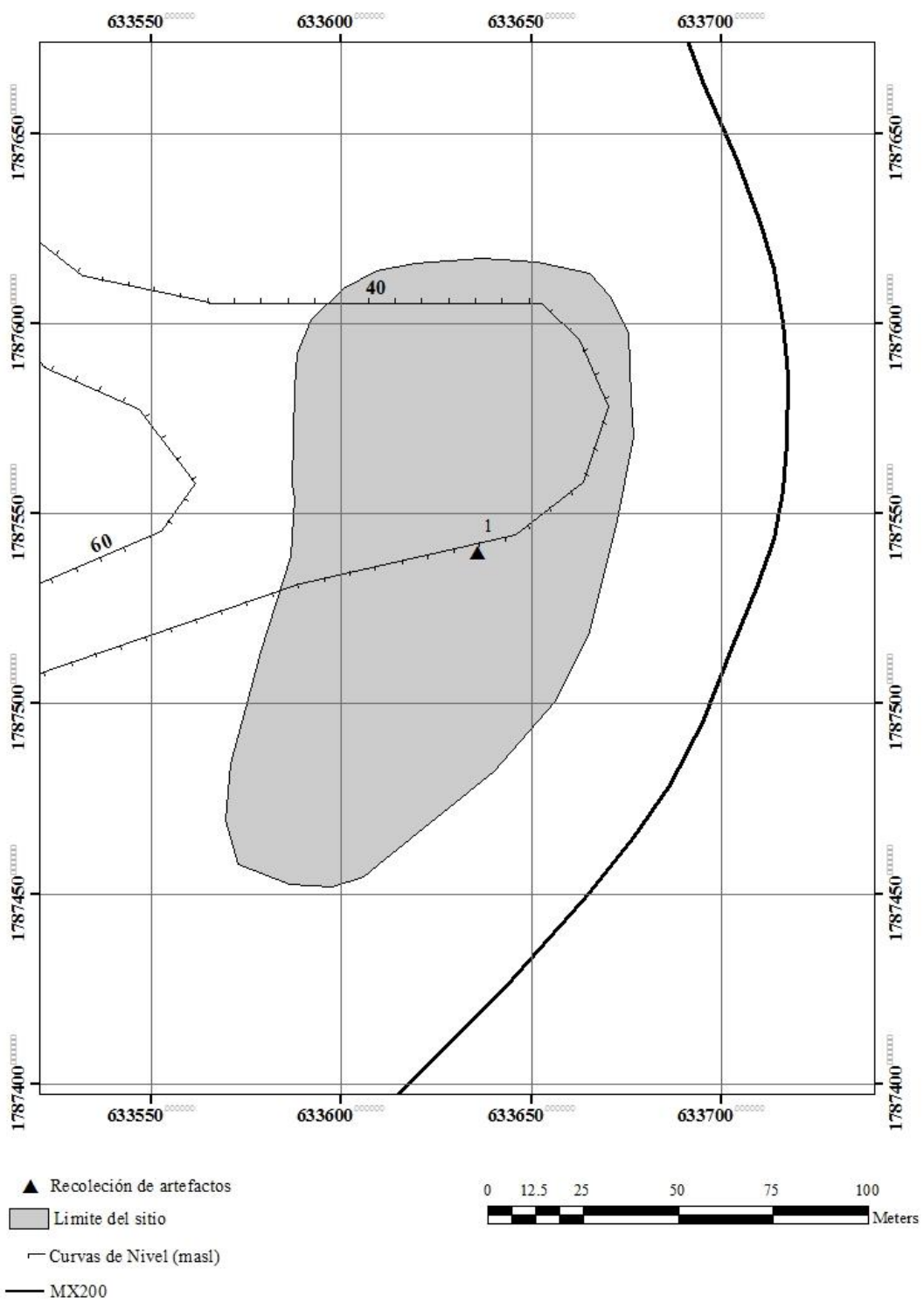
1. Descripción _____

2. Mapa o croquis _____

CROQUIS: Camino a Zapata (RV195)

ESCALA: 1:1,250

DIBUJO: Límites del sitio, recolecciones de artefactos, y arquitectura



Observaciones:

Camino a Zapata (RV195) es un pequeño sitio (1.25 ha) localizado a aproximadamente 200 metros al sur de El Charquito y a 180 metros al noreste de Emiliano Zapata. La carretera MX 200 está a menos de 50 metros al este (ver Figura 9.63). Ubicado en la base de una cuesta del pie de monte, RV195 tiene una elevación de entre 20-60 metros sobre el nivel del mar. El sitio no esta siendo cultivado y tiene un grado de erosión moderado por el cambio de elevación. La erosión es más fuerte en las cuestas más inclinadas al norte.

Los vestigios arqueológicos de RV195 incluyen un solo muro de piedra en la porción aluvial sur y cerámica que se está erosionando del cerro (40 metros sobre el nivel del mar) en el área de la Muestra 1. Los datos indican que RV195 fue ocupado durante la fase Minizundo.

REGISTRO PÚBLICO DE MONUMENTOS Y ZONAS ARQUEOLÓGICOS

CATALOGO E INVENTARIO DE ZONAS ARQUEOLOGICAS

CLAVE: **RV196**

Anotó: **Paris Ferrand Alcaraz** Fecha: **11/4/2013** **01. TIPO DE SITIO:** **Concentración de cerámicas con un muro**

02. NOMBRE DEL SITIO: **Zapata Baja** Municipio: **Jamiltepec** Estado: **Oaxaca**

03.COORDENADAS UTM: E **633294** **04. NUMERO DE CARTA** **E14D84**

N **1786930** Escala de la Carta **1:50,000**

05. FOTO AÉREA: Inexistente [X]

Compañía o Institución: Escala Fecha de vuelo

Número de o vuelo: Línea: Foto:

Número de marca en foto: Cuadro menor:

06. INFORMACIÓN RECUPERADA POR: 1. Bibliografía [ ] 2. Fotointerpretació [ ] 3. Informante [ ] 4. Casualid [X]

INFORMACIÓN: 1. Verificada en campo [X] 2. No verificada en campo [ ]

07. TAMAÑO DE POBLACIONES MÁS CERCANAS AL SITIO:

Kms.	TAMAÑO DE POBLACIONES (HABITANTES)		
	< 500	500-2500	> 2500
0		x	
0.1-5		x	
5-10			

08. ACCESO AL SITIO DESDE POBLACIONES A MENOS DE 10 Kms.

Tipo de ruta	DISTANCIA A RECORRERSE (en kms		
	0--1	1--5	5--10
1. Camino Asfalt	x		
2. Terracería	x		
3. Brecha			
4. Vereda			
5. Vía acuática			
6. Vía aérea			

09. USO ACTUAL DEL SUELO

1. Forestal [ ] 2. Ganadero [ ] 3. Agricultura de temporal [X] 4.Agricultura de riego [ ] 5.Urbano [ ] 6.Turtístico [ ]

7. Otros

Observaciones sobre proporciones y localización

10. NUMERO Y TAMAÑO DE ESTRUCTURAS DEL SITIO:

EXTENSIÓN **32,300** m2

3.23 Has.

(1 Hectárea= 10,000 m2)

Altura	NÚMERO DE ESTRUCTURAS				
	0--5	6--10	11--50	51--100	> 100
< 2	x				
2--5					
6--10					
> 10					

11. GRADO DE SAQUEO ENCONTRADO EN EL SITIO:

0. Ninguno [X]
1. Saqueo antiguo [ ]
2. Saqueo reciente ocasional [ ]
3. Saqueo reciente sistemático simple [ ]
4. Saqueo reciente sistemático profesi [ ]

12. GRADO DE DESTRUCCIÓN POTENCIAL EN EL SITIO 0. Ninguno [X]

1. Por obra de infraestructura a corto plazo [ ]
2.- Por obra de infraestructura a mediano plazo [ ]
3. Por obra de infraestructura a largo plazo [ ]
4. Extracción de piedra como actividad familiar [ ]
5. Extracción de piedra como actividad mayor [ ]
6. Nivelación del terreno como obra agrícola [ ]
7, Asentamiento humano [ ]
8. Vandalismo [ ]

EROSIÓN:

9. Extensiva severa [ ] 10. Extensiva moderada [ ] 11. Parcial severa [ ] 12. Parcial moderda [X]

13. Observaciones sobre intensidad de destrucción y otros procesos no descritos:

13. GRADO DE EXPOSICION DE ELEMENTOS ARQUEOLOGICOS 0. Ninguno [ ]

1. Estratigrafía [ ] 2. Arquitectura [x] 3. Tumbas [ ] 4. Escultura [ ] 5. Pintura mural [ ]

6, Otros _____
Fotos _____

Observaciones

14. MATERIALES FUNDAMENTALES EN LACONSTRUCCION DE ESTRUCTURAS: 0. No observables [ ]

1. Piedra careada [ ] 2. Pieda y tierra [x] 3. Ladrillo [ ] 4. Adobe [ ] 5. Tierra [ ]

6, Otros _____

Observaciones sobre posición original de material y proporciones:

15. OTROS VALORES DEL SITIO 1. Didáctico [ ]

2. Investigación [X] Conservación Excepcional [ ] 4. Alto valor artístico [ ] 5. Sitio asociado a trabajo excepcional [ ]

Observaciones sobre justificación de la decisión:

16.- TENENCIA DE LA TIERA EN EL ÁREA DEFINIDA POR LOS LÍMITES DEL SITIO:

1. Federal [ ] 2. Comunal [ ] 3. Pequeña propiedad [ ] 4.Mediana propiedad [X] 5. Ejidal [ ]

Observaciones sobre proporciones y localización:

17. CRONOLOGÍA TENTATIVA ****No cerámicas diagnosticas****

MUESTREAR MATERIAL CERÁMICO Y/O LÍTICO DIAGNÓSTICO EN CASO DE QUE EL ÁREA NO HAYA SIDO INVESTIGADA

1. Anterior a 5000 a.n.e. [ ]
2. 5000-1500 a.n.e. [ ]
3. 1500 a.n.e.-200 n.e. [ ]
4. 200-650/900 n.e [ ]
5. 650/900-1200 n.e [ ]
6. 1200-1521 n.e [ ]
7. Post.1521 n.e. [ ]

BIBLIOGRAFÍA MÍNIMA DEL SITIO

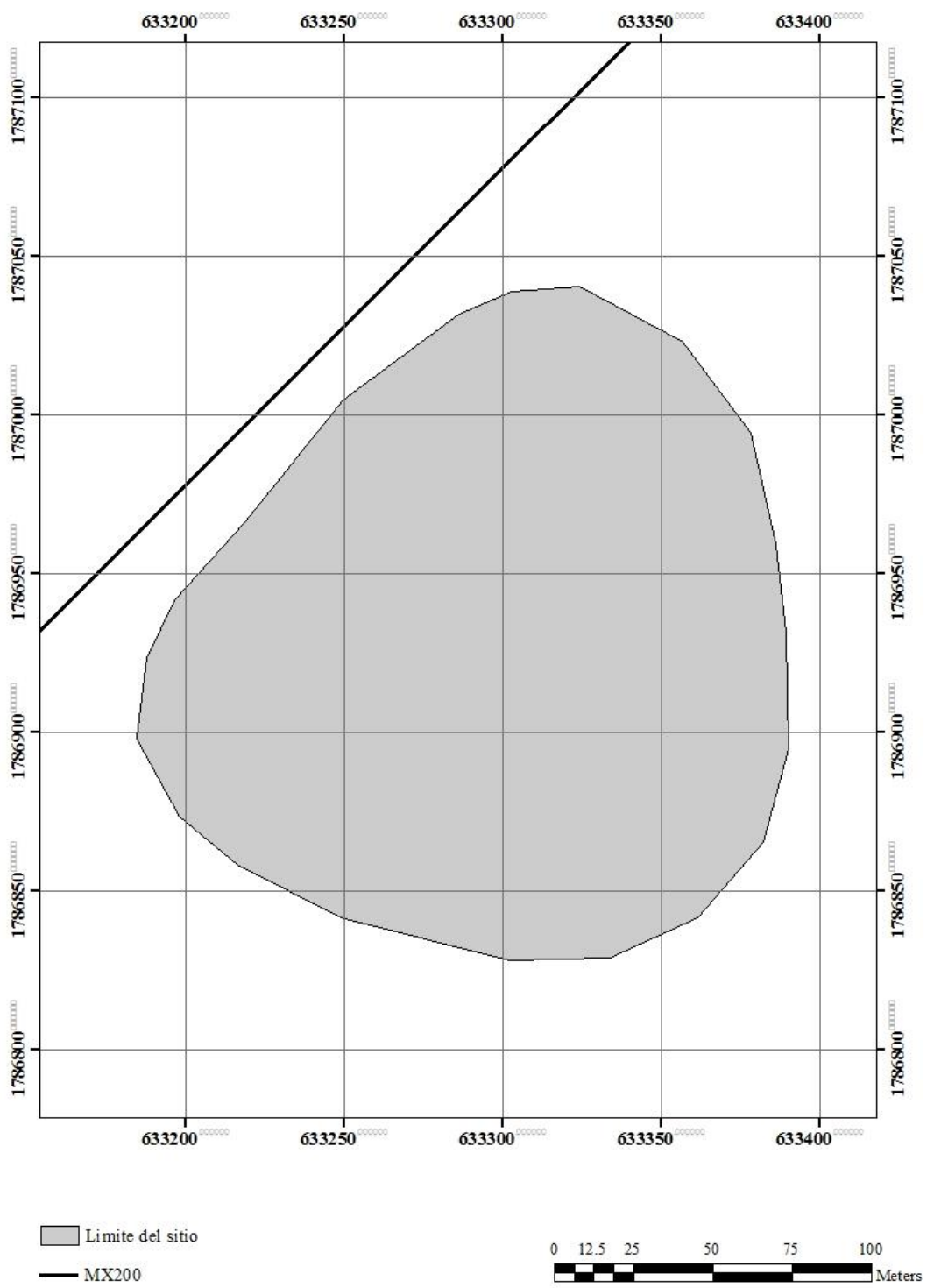
1. Descripción _____

2. Mapa o croquis _____

CROQUIS: Zapata Baja (RV196)

ESCALA: 1:1,500

DIBUJO: Límites del sitio, recolecciones de artefactos, y arquitectura



Observaciones:

Zapata Baja (RV196) se localiza directamente adyacente con la frontera este del pueblo moderno de Emiliano Zapata y la carretera MX 200 (ver Figura 9.64). Ubicado en el terreno inundable del Río Verde, el sitio tiene una elevación promedio de entre 25-30 metros sobre el nivel del mar. El área está siendo utilizada actualmente para la agricultura. Con una área de 3.23 hectáreas, RV196 contiene un pequeño fragmento de muro al norte. La densidad de artefactos es muy ligera a través del sitio y no se encontró ningún tiesto de cerámica diagnóstico.

REGISTRO PÚBLICO DE MONUMENTOS Y ZONAS ARQUEOLÓGICOS

CATALOGO E INVENTARIO DE ZONAS ARQUEOLOGICAS

CLAVE: **RV197**

Anotó: **Raymond Mueller** Fecha: **18/4/2013** **01. TIPO DE SITIO:** **Concentración de cerámicas**

02. NOMBRE DEL SITIO: **Cresta Sur** Municipio: **Jamiltepec** Estado: **Oaxaca**

03.COORDENADAS UTM: E **631612** **04. NUMERO DE CARTA** **E14D84**

N **1785856** Escala de la Carta **1:50,000**

05. FOTO AÉREA: Inexistente [X]

Compañía o Institución: Escala Fecha de vuelo

Número de o vuelo: Línea: Foto:

Número de marca en foto: Cuadro menor:

06. INFORMACIÓN RECUPERADA POR: 1. Bibliografía [ ] 2. Fotointerpretació [ ] 3. Informante [ ] 4. Casualid [X]

INFORMACIÓN: 1. Verificada en campo [X] 2. No verificada en campo [ ]

07. TAMAÑO DE POBLACIONES MÁS CERCANAS AL SITIO:

Kms.	TAMAÑO DE POBLACIONES (HABITANTES)		
	< 500	500-2500	> 2500
0			
0.1-5		x	
5-10			

08. ACCESO AL SITIO DESDE POBLACIONES A MENOS DE 10 Kms.

Tipo de ruta	DISTANCIA A RECORRERSE (en kms		
	0--1	1--5	5--10
1. Camino Asfalt		x	
2. Terracería	x		
3. Brecha	x		
4. Vereda			
5. Vía acuática			
6. Vía aérea			

09. USO ACTUAL DEL SUELO

1. Forestal [X] 2. Ganadero [ ] 3. Agricultura de temporal [ ] 4.Agricultura de riego [ ] 5.Urbano [ ] 6.Turtístico [ ]

7. Otros

Observaciones sobre proporciones y localización

10. NUMERO Y TAMAÑO DE ESTRUCTURAS DEL SITIO:

EXTENSIÓN **14,700** m2

1.47 Has.

(1 Hectárea= 10,000 m2)

Altura	NÚMERO DE ESTRUCTURAS				
	0--5	6--10	11--50	51--100	> 100
< 2	x				
2--5					
6--10					
> 10					

11. GRADO DE SAQUEO ENCONTRADO EN EL SITIO:

0. Ninguno [X]
1. Saqueo antiguo [ ]
2. Saqueo reciente ocasional [ ]
3. Saqueo reciente sistemático simple [ ]
4. Saqueo reciente sistemático profesi [ ]

12. GRADO DE DESTRUCCIÓN POTENCIAL EN EL SITIO

0. Ninguno [ ]

1. Por obra de infraestructura a corto plazo [ ]
2.- Por obra de infraestructura a mediano plazo [ ]
3. Por obra de infraestructura a largo plazo [ ]
4. Extracción de piedra como actividad familiar [ ]
5. Extracción de piedra como actividad mayor [x]
6. Nivelación del terreno como obra agrícola [ ]
7, Asentamiento humano [ ]
8. Vandalismo [ ]

EROSIÓN:

9. Extensiva severa [ ] 10. Extensiva moderada [ ] 11. Parcial severa [x] 12. Parcial moderda [x]

13. Observaciones sobre intensidad de destrucción y otros procesos no descritos:

13. GRADO DE EXPOSICION DE ELEMENTOS ARQUEOLOGICOS

0. Ninguno [ ]

1. Estratigrafía [ ] 2. Arquitectura [x] 3. Tumbas [ ] 4. Escultura [ ] 5. Pintura mural [ ]

6, Otros _____
Fotos _____

Observaciones

14. MATERIALES FUNDAMENTALES EN LACONSTRUCCION DE ESTRUCTURAS:

0. No observables [ ]

1. Piedra careada [ ] 2. Pieda y tierra [x] 3. Ladrillo [ ] 4. Adobe [ ] 5. Tierra [ ]

6, Otros _____

Observaciones sobre posición original de material y proporciones:

15. OTROS VALORES DEL SITIO

1. Didáctico [ ]

2. Investigación [X] Conservación Excepcional [ ] 4. Alto valor artístico [ ] 5. Sitio asociado a trabajo excepcional [ ]

Observaciones sobre justificación de la decisión:

16.- TENENCIA DE LA TIERA EN EL ÁREA DEFINIDA POR LOS LÍMITES DEL SITIO:

1. Federal [ ] 2. Comunal [ ] 3. Pequeña propiedad [ ] 4.Mediana propiedad [x] 5. Ejidal [ ]

Observaciones sobre proporciones y localización:

17. CRONOLOGÍA TENTATIVA

MUESTREAR MATERIAL CERÁMICO Y/O LÍTICO DIAGNÓSTICO EN CASO DE QUE EL ÁREA NO HAYA SIDO INVESTIGADA

1. Anterior a 5000 a.n.e. [ ]
2. 5000-1500 a.n.e. [ ]
3. 1500 a.n.e.-200 n.e. [x]
4. 200-650/900 n.e [x]
5. 650/900-1200 n.e [ ]
6. 1200-1521 n.e [ ]
7. Post.1521 n.e. [x]

BIBLIOGRAFÍA MÍNIMA DEL SITIO

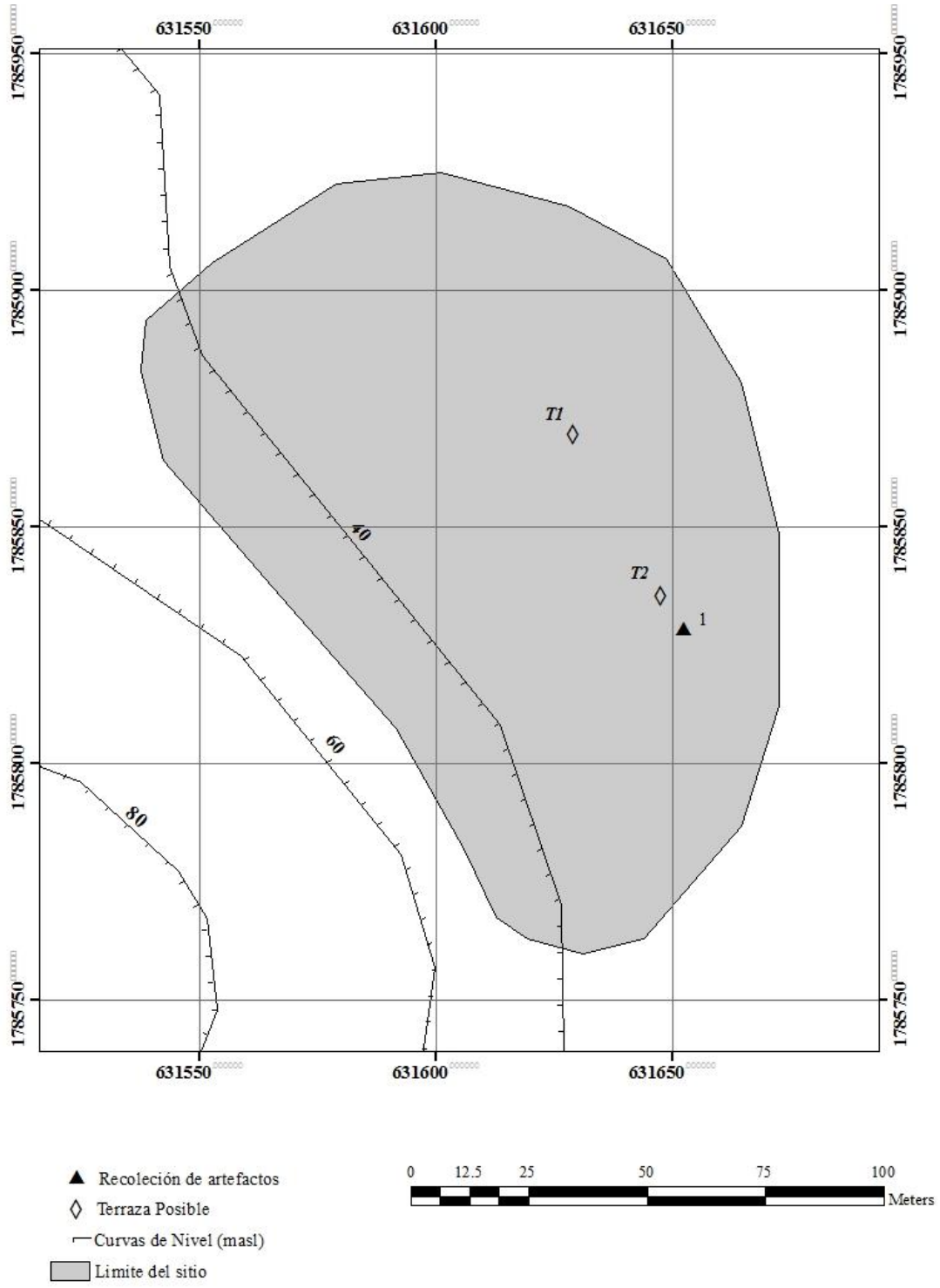
1. Descripción _____

2. Mapa o croquis _____

CROQUIS: Cresta Sur (RV197)

ESCALA: 1:1,000

DIBUJO: Límites del sitio, recolecciones de artefactos, y arquitectura



Observaciones:

Cresta Sur (RV197) se ubica a aproximadamente 130 metros al suroeste de RV190. Una cantera de roca, ya mencionado previamente, pudo haber removido el material cultural conectando los dos sitios. Midiendo 1.47 hectáreas, RV197 descansa sobre cuestas del pie de monte más bajas que su homologo al norte (25-40 metros sobre el nivel del mar). Sin embargo, el uso actual del terreno es muy parecido entre los dos sitios. La arquitectura en Cresta Sur (RV197) incluye dos posibles terrazas (T1 y T2) construidas dentro de una cresta (ver Figura 9.65). Ambas terrazas contienen posibles muros de contención orientados suroeste a noreste. Las muestras de cerámica indican que el sitio fue ocupado durante la fase Chacahua y después de la conquista española.